

FORSCHUNGSZENTRUM  
ROSSENDORF e.V.

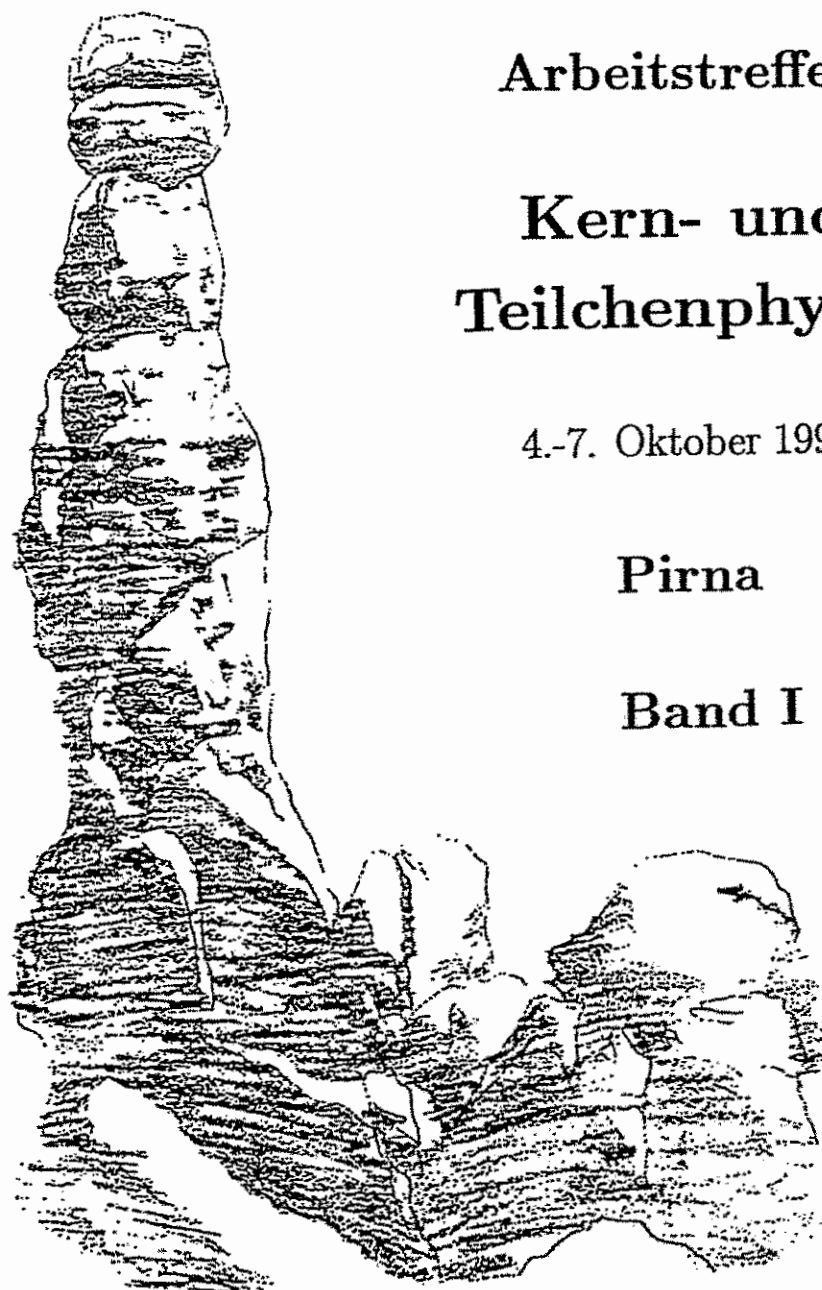
FZR

---

Archiv-Ex.:

FZR-63

November 1994



Arbeitstreffen

Kern- und  
Teilchenphysik

4.-7. Oktober 1994

Pirna

Band I

"Barbarine" - Elbsandsteingebirge

**Forschungszentrum Rossendorf e.V.**

**Postfach 51 01 19 · D-01314 Dresden**

**Bundesrepublik Deutschland**

**Dr. K. Möller      Tel. (0351) 591 3276**

**Dr. L. Naumann    Tel. (0351) 591 3259**

**Telefax                              (0351) 591 3700**

**E-Mail                              [pirna@fz-rossendorf.de](mailto:pirna@fz-rossendorf.de)**



Finanzielle Unterstützung für das Arbeitstreffen

”Kern- und Teilchenphysik 1994”

Pirna, 4.-7.10.1994, haben geleistet:

Bundesministerium für Forschung und Technologie, Bonn

Sächsisches Staatsministerium für Wissenschaft und Kunst, Dresden

Forschungszentrum Rossendorf e.V.

und folgende Firmen:

Canberra Packard GmbH

CES. Deutschland GmbH

LeCroy GmbH

Leybold AG

Philips Components GmbH

Plein & Baus GmbH

Dr. B. Struck

Suhner Elektronik GmbH

Tektronix GmbH

Die Tagungsorganisatoren danken für die Unterstützung.

## Programm-Komitee

D. Drechsel	Universität Mainz
D. Hartwig	GSI Darmstadt
K. Kilian	KFA Jülich
W. Kluge	Universität Karlsruhe
H. Koch	Universität Bochum
K. Möller	TU Dresden
B. Povh	MPI Heidelberg
K. Rith	Universität Erlangen
K. Schubert	TU Dresden
J. Speth	KFA Jülich
G. Wagner	Universität Tübingen
T. Walcher	Universität Mainz
H. Weise	Universität Regensburg

## Organisations-Komitee

### FORSCHUNGSZENTRUM ROSSENDORF

K. Möller  
H. Müller  
U. Baumann  
T. Kirchner  
P. Michel  
B. Naumann  
L. Naumann  
I. Probst  
H. Römer  
A. Schamlott  
Ch. Schneider  
Ch. Schneiderei  
A. Schülke

### MÜNCHEN

G.E. Körner

Arbeitstreffen "Kern- und Teilchenphysik 1994"  
 PIRNA (Tannensäle), 4.-7.10. 1994

Zeitplan

DIENSTAG	MITTWOCH	DONNERSTAG	FREITAG
8:30 Begrüßung	8:30 E. Offermann	8:30 G. Mallot	8:30 E. Grosse
8:45 W. Weise	9:10 R. Beck	9:10 A. Brüll	9:10 K. Kilian
9:25 B. Schoch	9:50 H. Schmieden	9:50 P. Blüm	9:50 J. Kleinfeller
10:05 W. Schwille	10:30 Pause	10:15 C. Strassburger	10:30 Pause
10:45 Pause	11:00 H. Schmitt	10:40 Pause	11:00 H. D. Gräf
11:15 W. Meyer	11:40 S. Paul	11:10 M. Faessler	11:40 P. v. Neumann- Cosel
11:55 H. Clement		11:35 U. Wiedner	
12:45 Mittagspause	12:20 Mittagspause	12:00 K. Beuchert	12:20 Mittagspause
		12:25 Mittagspause	
14:30 THEORIE-WORKSHOP (1. Teil)	13:30 Vortrag über d. WISMUTproblematik	14:30 DETEKTOREN UND DATEN- ERFASSUNG (1. Teil)	14:30 EXPERIMENTE AN e-BESCHLEU- NIGERN
16:00 Pause	15:00 Exkursion (WISMUT/ Sächsische Schweiz)	16:00 Pause	16:00 Pause
16:30 THEORIE-WORKSHOP (2. Teil)		16:30 DETEKTOREN... (2. Teil)	16:30 CERN/LEAR- AKTIVITÄTEN
18:00 PHYSIK AN MESONENFABRIKEN	18:00 Gemeinsames Abendessen	17:15 NEUE PROJEKTE	18:00 Ende

# Programm des Arbeitstreffens "Kern- und Teilchenphysik 1994" in Pirna

Band I      Dienstag, 4. Oktober 1994

W. Weise, Regensburg:	Entwicklungen in der Theorie der Hadronen	1
B. Schoch, Bonn:	Experimente zur Struktur des Nukleons (ELSA)	21
W. Schwille, Bonn:	Photon-Nukleon-Experimente im GEV-Bereich (Resultate mit dem SAPHIR-Detektor) (ELSA)	37
W. Meyer, Bonn:	Pion- und Eta-Produktion an polarisierten Protonen (ELSA)	51
H. Clement, Tübingen:	Experimente mit Pionen am PSI	77
<b>Theorie-Workshop</b>		103
D. Pirjol, Mainz:	Heavy Baryons	105
R. Fleischer, München:	CP-Verletzung im B-System	111
R. Jakob, Wuppertal:	E.m. Formfactors in the modified Hard Scattering Approach	119
W. Melnitchouk, Regensburg:	Deep Inelastic Scattering from Relativistic Constituent Quarks	129
M. Beinker, Dresden:	$q^2q^{-2}$ im Konstituenten-Quarkmodell	139
E. Kolomeitsev, Rossendorf:	Kaon-Polarisation in Kernmaterie	147
<b>Physik an Mesonenfabriken</b>		155
J. Arnold, Freiburg:	Experimente mit polarisierten Neutronen am PSI	157
K.P. Jungmann, Heidelberg:	Präzisionsmessungen am Myoniumatom	171
C. Dohmen, Aachen:	Suche nach der $\mu$ -e Konversion an Kernen im SINDRUM II-Spektrometer	187
J. Hartmann, München:	Neues von $\mu$ CF und langsamen Myonen	195

**Band II****Mittwoch, 5. Oktober 1994**

E. Offermann, Mainz:	Recent Results of the Collaboration A1 (MAMI)	207
R. Beck, Mainz:	Experimente mit reellen Photonen (MAMI)	221
H. Schmieden, Mainz:	Messung des elektrischen Formfaktors des Neutrons (MAMI)	243
H. Schmitt, Freiburg:	Strangeness-Produktion am LEAR	257
S. Paul, CERN:	Physik mit Hyperonen Neues von WA 89 (CERN)	277



G. Mallot, CERN:	Spinstruktur des Nukleons Ergebnisse der Spin Myon Collaboration (CERN)	293
A. Brüll, Heidelberg:	Neue NMC-Resultate aus der tiefinelastischen Myon-Streuung	313
P. Blüm, Karlsruhe:	Das CRYSTAL BARREL Experiment am LEAR	333
C. Straßburger, Bonn:	Wurde im CRYSTAL BARREL Experiment der skalare Glueball entdeckt? (Mesonen I)	345
M. Faessler, München:	Suche nach Mesonen II (CRYSTAL BARREL)	359
U. Wiedner, Hamburg:	Seltene Zerfälle und die Verletzung der OZI-Regel (CRYSTAL BARREL)	373
K. Beuchert, Bochum:	Experimente mit Antiprotonen im Fluge (CRYSTAL BARREL)	395
<b>Detektoren und Datenerfassung</b>		<b>409</b>
M. Heidrich, Heidelberg:	Gasmikrostreifendetektoren	411
K. Zeitelhack, München:	Entwicklung eines schnellen RICH-Detektors für HADES	429
H. Kraus, München:	Status und Perspektiven von Tieftemperatur-Kalorimetern	437
P. Michel, Rossendorf:	Entwicklung eines schnellen TDC mit Konvertierungszeiten im Bereich weniger ns	443
S. Lange, Bochum:	Extraktion der pp-Bremsstrahlung mit künstlichen neuronalen Netzen	451
<b>Neue Projekte</b>		<b>457</b>
V. Burkert, CEBAF:	Geplante Experimente bei CEBAF	459
H. Marsiske, SLAC:	PEP-II: The SLAC-Based Asymmetric B-Factory	473
T. Lohse, Berlin:	B-Physics at HERA-B and LHC	497
U. von Hagen, Karlsruhe:	Das DAΦNE-Projekt	511

E. Grosse, Darmstadt:	Mesonenproduktion in Schwerionenkollisionen bei mittleren Energien	523
K. Kilian, Jülich:	Physikalisches Programm an COSY 3	539
J. Kleinfeller, Karlsruhe:	KARMEN: Neutrino-Spektroskopie an der Spallationsquelle ISIS	573
H.D. Gräf, Darmstadt:	Fünf Jahre Betrieb des S-DALINAC - Ein Statusreport-	597
P. v. Neumann-Cosel, Darmstadt:	Stand der Experimente zum Studium elementarer Kernanregungen am S-DALINAC	613
<b>Experimente an e-Beschleunigern</b>		<b>637</b>
H. Ströher, Gießen:	Untersuchung von $N^*$ -Resonanzen mit $\eta$ -Photoproduktion	639
P. Grabmayr, Tübingen:	$(\gamma, NN)$ -Experimente an leichten Kernen	649
H. Genz, Darmstadt:	Nutzung des S-DALINAC für neuere Entwicklungen in der Strahlungsphysik	663
H. Jüngst, Bonn:	Messung der Reaktionen $\gamma p \rightarrow K^+ \Lambda$ und $\gamma p \rightarrow K^+ \Sigma^0$ von der Schwelle bis 2.0 GeV mit SAPHIR an ELSA	677
A. Richter, Mainz:	Elektropionproduktion $H(e, e' \pi^+)$ an der Dreispektrometeranlage an MAMI	685
<b>CERN/LEAR-Aktivitäten</b>		<b>691</b>
J. Pretz, Mainz:	Messung der Valenz- und Seequarkpolarisation im Nukleon	693
J. Hartmann, München:	Laserspektroskopie langlebiger Zustände in antiprotonischem Helium	699
T. v. Egidy, München:	Antiprotoninduzierte Spaltung und Kernaufheizung	707
J. Brose, Mainz:	Untersuchung der Annihilation von Antiprotonen in Deuterium	723
T. Degener, Bochum:	Anwendung neuronaler Netze in der Datenanalyse	729

Entwicklungen in der Theorie der Hadronen  
– Aspekte der Niederenergie-QCD –

W. Weise  
Regensburg

4. Oktober 1994

ENTWICKLUNGEN  
in der

# THEORIE der HADRONEN

- ASPEKTE der NIEDERENERGIE - QCD -

## 1. CHIRALE STÖRUNGSTHEORIE

- Überblick
- Anwendungen (Physik bei MAMI, ELSA, PSE)

## 2. KONSTITUENTEN-QUARKS als QUASI-TEILCHEN

- Konzepte
- Spin- und Flavourstruktur
- Anwendungen (Bsp.: Strukturfunktionen)

## 3. HADRONEN in MATERIE (p, T)

- Kondensate und Massen
- Chirale Thermodynamik (incl. Gitter-QCD)
- Perspektiven (Physik bei GSI-SIS, CERN, ...)

## INTRODUCTORY REMARKS:

Experiments determine:

$$\langle H'(p') | J^a(x) | H(p) \rangle$$

(FORM FACTORS; exclusive measurements)

$$\langle H(p) | J^a(x) J^b(y) | H(p) \rangle$$

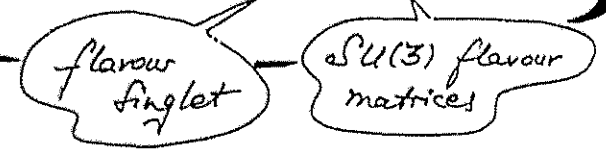
(CURRENT-CURRENT CORRELATION fct.; inclusive measurements)

here:  $|H\rangle$ : composite hadrons (incl. nuclei)  
(also:  $|0\rangle$  "vacuum")

BASIC CURRENTS subject to observation:  
⇒ QUARK FLAVOUR CURRENTS

$$J^a(x) = \bar{q}(x) \Gamma^a q(x)$$

$$\Gamma^a: \begin{cases} \text{DIRAC structure } 1, \gamma_\mu, \gamma_\mu \gamma_5, \dots \\ \text{FLAVOUR structure } 1, \lambda^a \end{cases}$$

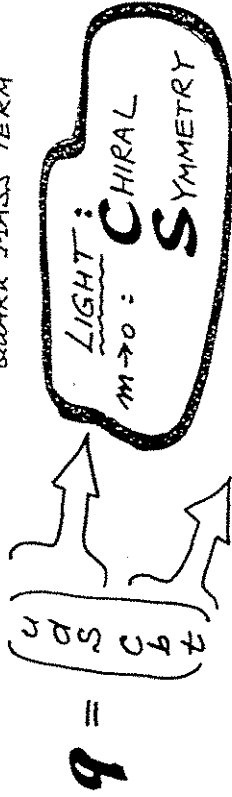


# QCD and CHIRAL SYMMETRY

LAGRANGIAN:

$$\mathcal{L}_{\text{QCD}} = \mathcal{L}_{\text{QCD}}^{(0)} - \bar{q} m q$$

QUARK MASS TERM



HEAVY:

$m \rightarrow \infty$ : Heavy fermion Effective Theory

Light Quarks:  $N_f = 3$  massless quarks as starting point

$$q_L = \frac{1}{2}(1 - \gamma_5)q \quad \begin{matrix} \leftarrow \vec{S} \\ \rightarrow \vec{P} \end{matrix} \quad \text{LEFT-HANDED}$$

$$q_R = \frac{1}{2}(1 + \gamma_5)q \quad \begin{matrix} \leftarrow \vec{S} \\ \rightarrow \vec{P} \end{matrix} \quad \text{RIGHT-HANDED}$$

$\mathcal{L}_{\text{QCD}}^{(0)}$  invariant under:

$$q_{L,R} \Rightarrow \exp[i\theta^a \frac{\lambda^a}{2}] q_{L,R}$$

## CHIRAL $SU(3)_L \otimes SU(3)_R$

CONSERVED CURRENTS:  $V_\mu^a = \bar{q} \gamma_\mu \frac{\lambda^a}{2} q$ ;  $A_\mu^a = \bar{q} \gamma_\mu \gamma_5 \frac{\lambda^a}{2} q$

# 1.

## CHIRALE DYNAMIK

und

## CHIRALE

## STÖRUNGSTHEORIE

## EXPLICIT CHIRAL SYMMETRY BREAKING

$$\Delta \mathcal{L}_{mass} = -m_u \bar{u}u - m_d \bar{d}d - m_s \bar{s}s$$

- SCALAR  $\bar{q}q = \bar{q}_L q_R + \bar{q}_R q_L$  breaks CHIRAL SYMMETRY

### CURRENT QUARK MASSES:

$$m_u = (5 \pm 2) \text{ MeV}$$

$$m_d = (9 \pm 3) \text{ MeV}$$

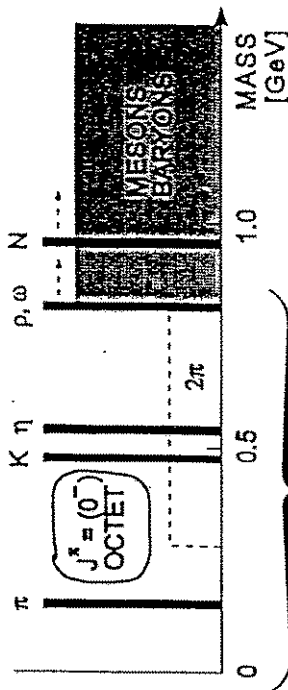
$$m_s = (175 \pm 55) \text{ MeV}$$

(at renormalization scale  $\Lambda \sim 1 \text{ GeV}$ )  
(Gasser, Leutwyler)

- note:  $m_{u,d} \ll M_N \sim 1 \text{ GeV}$  (typical hadronic mass scale)  
 $m_s < M_N$

### CHIRAL PERTURBATION THEORY

## HADRON SPECTRUM (schematic)



GAP

$$\Delta \sim 1 \text{ GeV} \quad (\sim 2 M_{\text{CONSTITUENT}})$$

- $\Rightarrow$  NO parity doublets (no degenerate states with  $J^P = 0^\pm, 1/2^\pm, 1^\pm$  etc.)

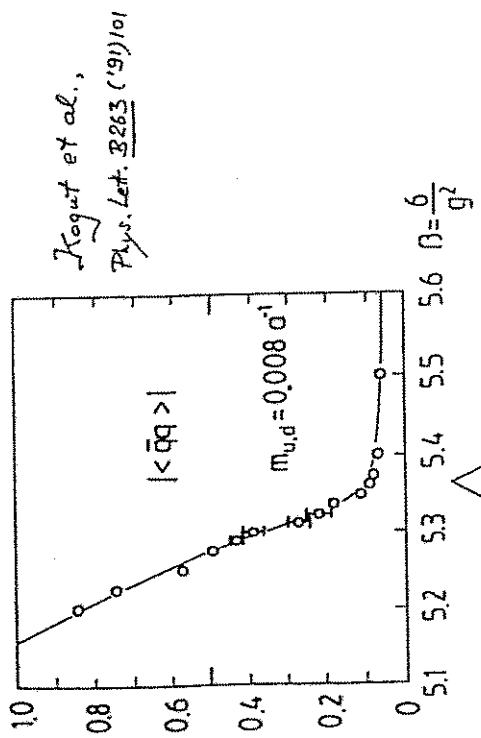
- $\Rightarrow$  CHIRAL SYMMETRY realized in (spontaneously broken) NAMBU - GOLDSTONE mode

(rather than "unbroken" WIGNER - WEYL mode.)

# CHIRAL CONDENSATE

QCD on the LATTICE:

● Spontaneous Chiral Symmetry Breaking



STRONG COUPLING ←  $T_{crit} = 150 \text{ MeV}$  → WEAK COUPLING

● "EMPIRICAL" VALUE (at  $T=0$ ):

$$\langle \bar{u}u \rangle \approx \langle \bar{d}d \rangle = - (230 \pm 25 \text{ MeV})^3 \approx -1.6 \text{ fm}^{-3}$$

RECALL:  $\rho_N = \langle N^+ N^- \rangle_{\text{nuclear matter}} = 0.17 \text{ fm}^{-3}$

**S**PONTANEOUS **SU**(3)<sub>L</sub> ⊗ **SU**(3)<sub>R  
**S**YMMETRY **B**REAKING</sub>

⇒ OCTET OF PSEUDOSCALAR ( $J^P = 0^-$ )  
GOLDSTONE BOSONS

eg. **PIONS**:

$$m_\pi^2 f_\pi^2 = -\frac{1}{2}(m_u + m_d) \langle \bar{u}u + \bar{d}d \rangle + \mathcal{O}(m_\pi^4)$$

(Gell-Mann, Oakes, Renner)



● PION DECAY CONSTANT  $f_\pi = 93.3 \text{ MeV}$

**KAONS**:

$$m_K^2 f_K^2 = -\frac{1}{2}(m_u + m_s) \langle \bar{u}u + \bar{s}s \rangle + \mathcal{O}(m_K^4)$$

## CHIRAL EFFECTIVE LAGRANGIAN

- Low Energy Approximation to QCD with  $N_f = 3$  Quark Flavours  
CHIRAL  $SU(3)_L \otimes SU(3)_R$  spontaneously broken  
down to  $SU(3)_V$  ("eightfold way")

- Pseudoscalar Goldstone Boson fields  $\phi_a(x)$  ( $a = 1, \dots, 8$ )  
as collective variables

$$\lambda^a \phi_a = \sqrt{2} \begin{pmatrix} \frac{\pi^0}{\sqrt{2}} + \frac{\eta_8}{\sqrt{6}} & \pi^+ & \pi^+ & K^+ \\ \pi^- & -\frac{\pi^0}{\sqrt{2}} + \frac{\eta_8}{\sqrt{6}} & \eta_8 & K^0 \\ K^- & \bar{K}^0 & \bar{K}^0 & -\frac{2\eta_8}{\sqrt{6}} \end{pmatrix}$$

- Chiral Fields:

$$U(x) \equiv U^2(x) = \exp[i\lambda^a \phi_a / f]$$

$$U^+ U = 1, \det U = 1$$

- Chiral Transformations:

$$L \in SU(3)_L, R \in SU(3)_R$$

$$U \rightarrow R U L^+$$

- Construct Effective Lagrangian

$$\mathcal{L}_{\text{eff}}(U, \partial_\mu U)$$

organize low-energy, low-momentum limit as power series in  $\partial_\mu U$

... leading term:

## NON-LINEAR SIGMA MODEL

$$\mathcal{L}_{\text{eff}} = \frac{f^2}{4} \text{tr} \partial_\mu U \partial^\mu U^+ + \frac{f^2}{2} b \text{tr} M(U+U^+)$$

Symmetry breaking mass term:

$$M = \begin{pmatrix} m_u & 0 & 0 \\ 0 & m_d & 0 \\ 0 & 0 & m_s \end{pmatrix}$$

- Low Energy QCD (in the absence of baryons:)

→ WEAKLY interacting

GOLDSTONE BOSONS

→ PREDICTIONS for

$\pi\pi, \pi K, \dots$  scattering

(Weinberg, Gasser & Leutwyler)



### 4th ORDER TERMS:

$$\begin{aligned}
 \mathcal{L}_4 = & L_1 \text{tr} (D_\mu U D^\mu U^\dagger)^2 + L_2 \text{tr} (D_\mu U D_\nu U^\dagger) \text{tr} (D^\mu U D^\nu U^\dagger) \\
 & + L_3 \text{tr} (D_\mu U D^\mu U^\dagger D_\nu U D^\nu U^\dagger) \\
 & + L_4 \text{tr} (D_\mu U D^\mu U^\dagger) \text{tr} (X U^\dagger + X^\dagger U) \\
 & + L_5 \text{tr} [D_\mu U D^\mu U^\dagger (X U^\dagger + X^\dagger U)] \\
 & + L_6 [\text{tr} (X U^\dagger + X^\dagger U)]^2 + L_7 [\text{tr} (X U^\dagger - X^\dagger U)]^2 \\
 & + L_8 \text{tr} (X^\dagger U X^\dagger U + X U^\dagger X U^\dagger) \\
 & + L_9 [\text{tr} (-i F_{\mu\nu}^\dagger D^\mu U D^\nu U^\dagger) + \text{tr} (-i F_{\mu\nu}^\dagger D^\mu U^\dagger D^\nu U)] \\
 & + L_{10} \text{tr} (U^\dagger F_{\mu\nu}^\dagger U F_{\mu\nu}^\dagger);
 \end{aligned}$$

$$(F_{\mu\nu}^\dagger = \partial_\mu F_\nu - \partial_\nu F_\mu - i[F_\mu, F_\nu], F_{\mu\nu}^R = v_\mu \pm a_\mu)$$

Coefficient	Value	Source	NJL model (*)
$L_1^{\text{ren}}$ ( $\mu = m_\pi$ )	$[10^{-3}]$		
$L_1$	$0.65 \pm 0.28$	$\pi\pi$ Scatt.	0.96
$L_2$	$1.89 \pm 0.26$	K K	1.95
$L_3$	$-3.06 \pm 0.92$	decay	-5.21
$L_4$	-0		0
$L_5$	$2.3 \pm 0.2$	$F_K / F_\pi$	1.23
$L_6$	-0		0
$L_7$ (*)	$-0.4 \pm 0.2$		-0.40
$L_8$ (*)	$0.9 \pm 0.3$	meson masses	0.62
$2L_7 + L_8$	$0.4 \pm 0.1$		
$L_9$	$7.1 \pm 0.3$	rare pion decays	6.27
$L_{10}$	$-5.6 \pm 0.3$	$(\pi \rightarrow e\nu)$	-5.42

from: Donoghue, Golowich, Holstein  
"Dynamics of the Standard Model"  
Cambridge Univ. Press (1992)

see also: \*) Geisser, Leuphyler, Nucl. Phys. B228 (1985) 465

\*) Ruiz-Arriola, PL B233 (1991) 430

## CHIRAL LAGRANGIAN

with inclusion of

# BARYONS

$$\mathbf{B} = \begin{pmatrix} \Sigma^0 + \frac{\Lambda}{\sqrt{6}} & \Sigma^+ & P \\ \Sigma^- & -\frac{\Sigma^0 + \frac{\Lambda}{\sqrt{6}}}{\sqrt{2}} & n \\ \Xi^- & \Xi^0 & -\frac{2\Lambda}{\sqrt{6}} \end{pmatrix}$$

SU(3)<sub>F</sub>  
OCTET

$$\begin{aligned}
 D_\mu \mathbf{B} &= \partial_\mu \mathbf{B} + [\Gamma_\mu, \mathbf{B}] \\
 \Gamma_\mu &= \frac{1}{2} \left\{ u^\dagger [\partial_\mu - i(v_\mu + q_\mu)] u + u [\partial_\mu - i(v_\mu - q_\mu)] u^\dagger \right\} \\
 U &= u^2 = \exp [i\lambda^a \phi_a / f]
 \end{aligned}$$

external fields  
(vector & axial)

$$\begin{aligned}
 \mathcal{L}^{\text{eff}} &= \mathcal{L}_{\text{MESONS}}(U, \partial_\mu U) + \mathcal{L}_{\text{MESON-BARYON}} \\
 &= \text{tr} \left[ i \bar{\mathbf{B}} \gamma_\mu D^\mu \mathbf{B} - M^{(0)} \bar{\mathbf{B}} \mathbf{B} \right] \\
 &+ \frac{D}{2} \bar{\mathbf{B}} \gamma_\mu \{ u^\dagger, \mathbf{B} \} + \frac{F}{2} \bar{\mathbf{B}} \gamma_5 [u^\dagger, \mathbf{B}]
 \end{aligned}$$

$$u^\dagger = i(u^\dagger D^\mu u - u D^\mu u^\dagger)$$

- Constraints:  $D + F = g_A = 1.26$  ( $\beta$ -decay)
- $D / (D + F) \approx 0.6$  (hyperon decays)

example:

# ELECTRO MAGNETIC INTERACTIONS OF $\pi N N$ SYSTEMS

$$\mathcal{L}_{\pi NN} = \bar{N} [i \gamma_\mu D^\mu - M + \frac{g_A}{2} \gamma_\mu \gamma_5 u^\mu] N$$

TOMOZANA-WEINBERG

$$D^\mu = \partial^\mu - ie A^\mu + \frac{1}{f_\pi} [\pi, \partial^\mu \pi] + \dots$$

KROLL-RUDERMAN

$$u^\mu = -\frac{1}{f_\pi} \partial^\mu \pi + \frac{ie}{f_\pi} [A^\mu, \pi] + \dots$$

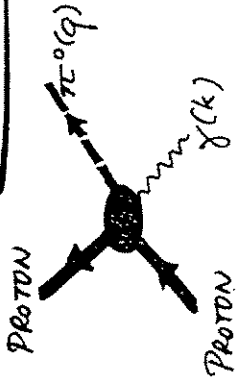
$$(\pi = \vec{\tau} \cdot \vec{\pi}; A^\mu = \frac{1}{2} (1 + \tau_3) A^\mu)$$

recent applications:

NUCLEON E.M. POLARIZABILITIES  
 $\pi^0$  ELECTRO & PHOTOPRODUCTION  
 (Bernard, Kaiser, Meißner)

PROBLEM: inclusion of  $\Delta(1232)$

## example: $\pi^0 - P$ PHOTO PRODUCTION at THRESHOLD



$$\frac{d\sigma}{d\Omega} \Big|_{\vec{q}=0} = \frac{19}{16} |E_{out}|^2$$

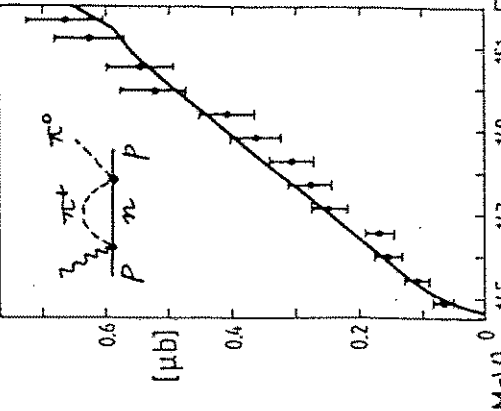
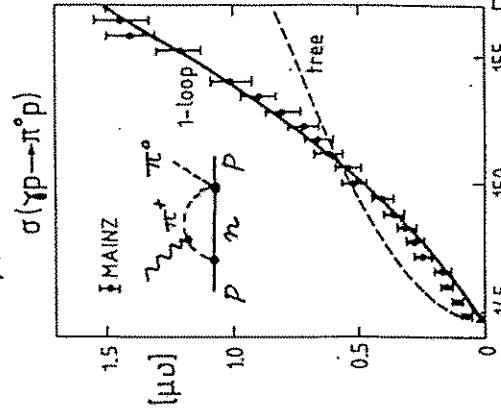
S-WAVE PRODUCTION

$$E_{0+} = \frac{e g_A}{8\pi f_\pi} \left[ -\mu + \left( \frac{3+\kappa_F}{2} + \frac{M_N^2}{16f_\pi^2} \right) \mu^2 + \mathcal{O}(\mu^3) \right]$$

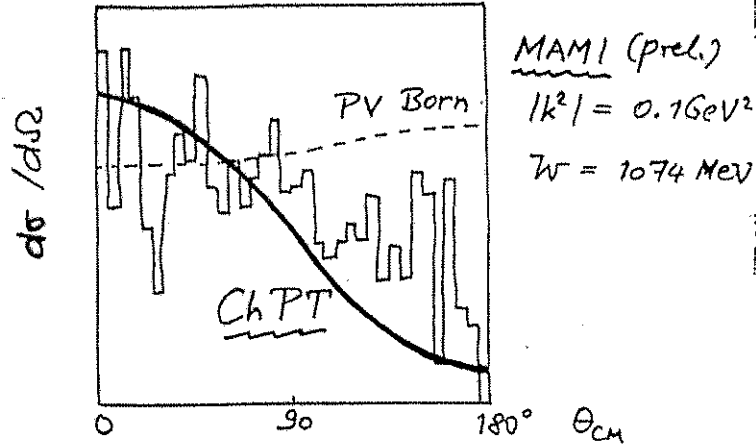
$$= (-3.5 + 4.4 \mu^2 - (2.4) \mu^3) \cdot 10^{-3} m_\pi^{-1} \quad (\mu = \frac{m_\pi}{M_N})$$

• SLOW CONVERGENCE

$$E_{0+} (exp.) = (-2.0 \pm 0.2) \cdot 10^{-3} m_\pi^{-1}$$



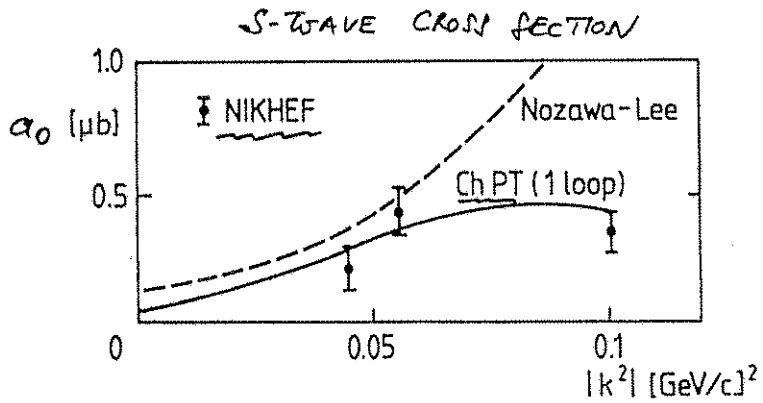
**$\pi^0$  ELECTROPRODUCTION  $ep \rightarrow e'p\pi^0$**



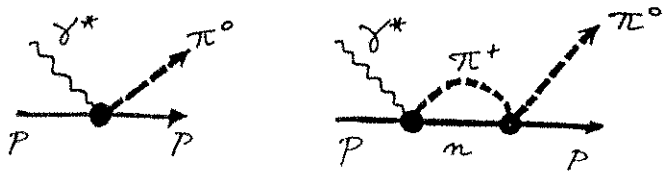
-10-

**KN SCATTERING LENGTH (in fm)**  
 from  
**CHIRAL PERTURBATION THEORY**  
 (Lee, Jung, Min, Rho; Phys. Lett. B (1994))

	$\sigma(Q)$ WEINBERG -TOMOZAWA	$\sigma(Q^2)$	$\sigma(Q^3)$	$\Lambda(1405)$	empirical Re a
$a_{K^-p}$	+0.59	0.32	-0.14	-1.43	-0.67
$a_{K^-n}$	+0.29	0.28	-0.20	-	0.37
$a_{K^+p}$	-0.59	0.32	-0.11	0.08	-0.33
$a_{K^+n}$	-0.29	0.28	-0.18	-	-0.18



Bernard, Kaiser, Lee, Meißner,  
 PRL 70 (1993) 387



$$G = \frac{C}{4\pi(1 + \frac{m_K}{M})} \frac{m_K}{f_K^2}$$

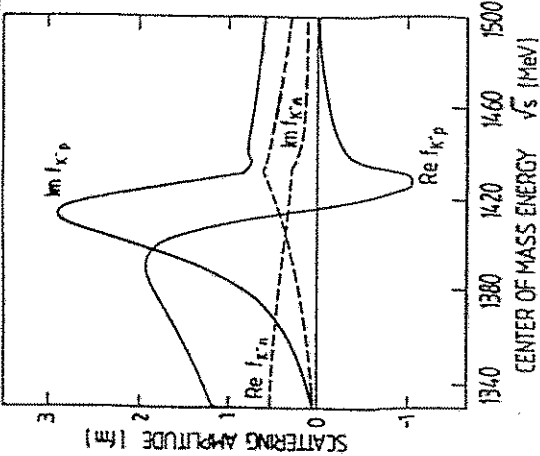
$$G = \begin{cases} \pm 1 \dots K^\pm p \\ \pm \frac{1}{2} \dots K^\pm n \end{cases}$$

$$f_K = 90 \text{ MeV}$$

$\Sigma_{KN}$  term  
 plus corrections

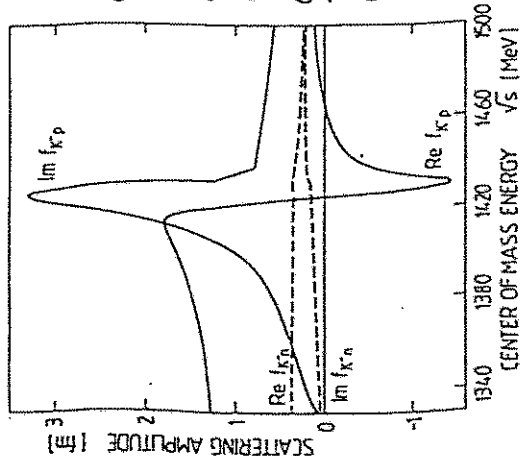
**NOTE:**  
 dominance of  
 $\Lambda(1405)$   
 in  $K^-p$  channel

**K<sup>-</sup>N SCATTERING AMPLITUDES**  
and extrapolation below threshold



A.D. Martin  
NP B (1981)  
empirical  
K-matrix  
analysis

**A(1405)**



A. Steiner, W.W.  
Coupled Channels  
K-matrix  
calculation  
using  
Chiral input  
(ATTRACTION  
from  
TOMIZAWA-  
WEINBERG  
term)

K<sup>-</sup>p THRESHOLD

**2.**  
**KONSTITUENTEN -**  
**QUARKS**  
als  
**QUASI-TEILCHEN**

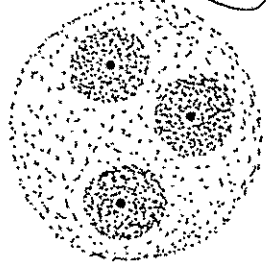
Hinweise:  $\rightarrow$  magnetische Momente:

$$\mu_q = \frac{e}{2M_q} \sigma_q$$

$$\langle r^2 \rangle_q \approx \frac{\text{const}}{M_q^2}$$

$$\langle r^2 \rangle_{u,d} \approx 0.36 \text{ fm}^2$$

$$\langle r^2 \rangle_s \approx 0.16 \text{ fm}^2$$



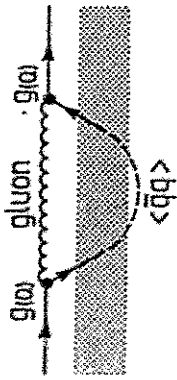
$\rightarrow$  RADIEN  
aus  $\frac{d\sigma}{d\Omega}$   
(Froh, Fischer,  
PLB 245 (1990) 653)

**KONSTITUENTEN - QUARKS**

VALENZ - QUARKS umgeben von  
Polarisationswolken aus  $q\bar{q}$ -PAAREN  
(MESONEN) und Gluonen

### Running Quark Mass

... in the presence of a  $\langle \bar{q}q \rangle$  condensate



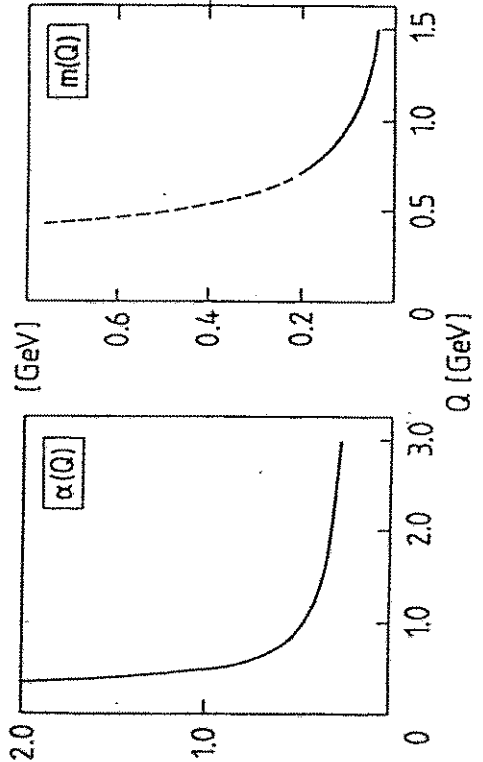
$$\left( \alpha = \frac{12}{33-2N_f} \right)$$

$$M(\alpha) = - \frac{g^2(\alpha)}{\alpha^2} \langle \bar{q}q \rangle \Big|_{\alpha_0} \left[ \frac{g^2(\alpha)}{g^2(\alpha_0)} \right]^{-d}$$

$$\alpha(\alpha) = \frac{g^2(\alpha)}{4\pi} = \frac{12\pi}{(33-2N_f) \ln(\alpha^2/\Lambda_{QCD}^2)}$$

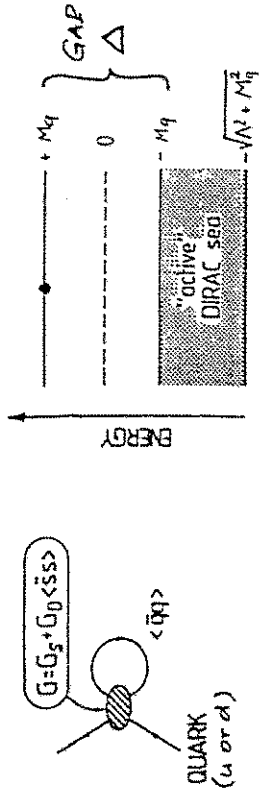
$$(\Lambda_{QCD} = 0.23 \text{ GeV}, \alpha_0 = 1 \text{ GeV})$$

$$\langle \bar{q}q \rangle \Big|_{1 \text{ GeV}} \approx - (0.25 \text{ GeV})^3$$



... a CHEMATIC MODEL: NAMBU & JONA-LASINIO

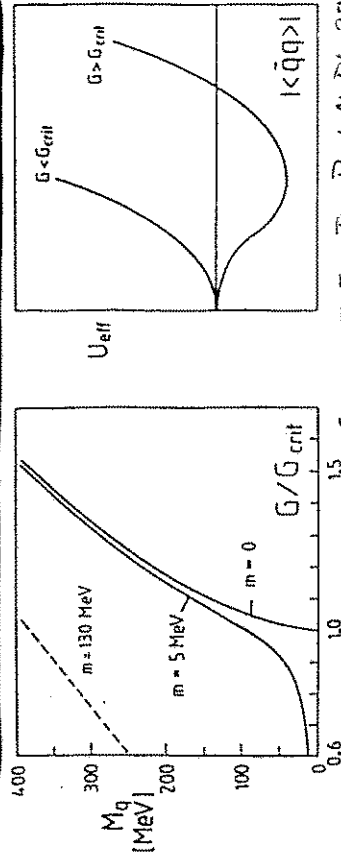
• NJL: MEAN FIELD approx. (Hartree-Fock)



$$M_q = m - G \langle \bar{q}q \rangle$$

GAP eqn.:

$$\langle \bar{q}q \rangle = - 2N_c \int \frac{d^3p}{|\vec{p}| \le \Lambda} \frac{M_q}{\sqrt{p^2 + M_q^2}}$$



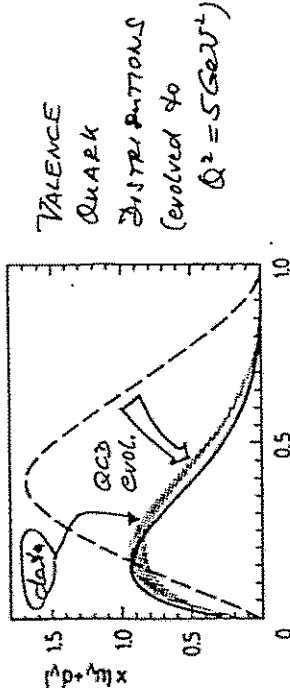
(U. Vogl, W.W. Flieg, Fort. N. Ph. 27(91))

DYNAMICAL QUARK MASS GENERATION ↔ SPONTANEOUS CHIRAL SYMMETRY BREAKING

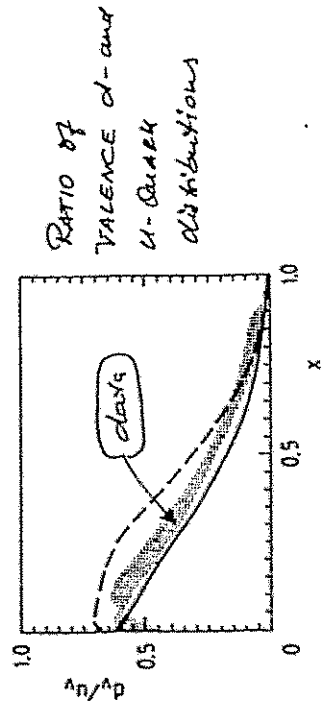
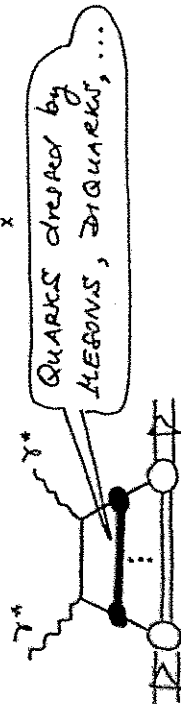
$$G = \frac{g^2}{\Lambda^2}, \Lambda \approx 1 \text{ GeV}, \frac{g_{crit}^2}{4\pi} = \frac{\pi}{3} \sim 1$$

# NUCLEON STRUCTURE FACTS FROM RELATIVISTIC CONSTITUENT QUARKS

(W. Melnitchouk, W. W. P. 334 (1994) 275)



VALENCE QUARK DISTRIBUTIONS evolved to  $Q^2 = 5 \text{ GeV}^2$



RATIO OF VALENCE d- and u-QUARK distributions

# SPIN STRUCTURE OF THE NUCLEON

★ FACTS:  $S_{\mu} \Delta q = \langle N | \bar{q} \gamma_{\mu} \gamma_5 q | N \rangle$

interpretation:  $\Delta q = (q^{\uparrow} + \bar{q}^{\uparrow})(x) - (q^{\downarrow} + \bar{q}^{\downarrow})(x)$

AXIAL CONSTANTS:

NAIVE Q.M.	EMPIRICAL
$5/3$	$1.26$ (neutron $\beta$ decay)
$1$	$0.6 \pm 0.1$ (hyperon decays)
$1$	$0.30 \pm 0.11$ (combined analysis of EMC, SMC, SLAC data)
$0$	$-0.10 \pm 0.04$

$$g_A^{(3)} = g_A - \Delta u - \Delta d$$

$$g_A^{(8)} = \Delta u + \Delta d - 2\Delta s$$

$$\Delta \Sigma = g_A^{(3)} = \Delta u + \Delta d + \Delta s$$

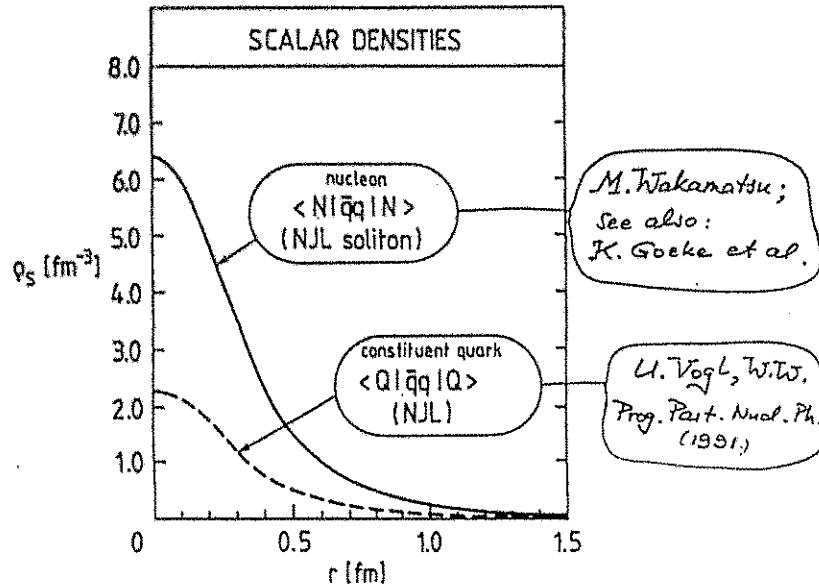
$$\Delta s$$

# SCALAR DENSITIES

OF

CONSTITUENT QUARKS AND NUCLEONS:

## SIGMA TERMS



### • PI N SIGMA term:

$$\begin{aligned} \Sigma_N &= \frac{1}{2} (m_u + m_d) \langle N | \bar{u}u + \bar{d}d | N \rangle \\ &= \frac{1}{2} (m_u + m_d) \int d^3r \rho_s^N(r) = (45 \pm 8) \text{ MeV} \end{aligned}$$

(Gasser, Leutwyler, Sainio)

• note:  $\Sigma_N \approx 3 * \Sigma_Q$

⇒ LOW ENERGY (S-WAVE)  $\pi N$  scattering in terms of  $\pi$ -QUARK scattering

# FLAVOUR STRUCTURE

OF CONSTITUENT QUARKS

### ★ GOTTFRIED SUM:

$$S_G = \int_0^1 \frac{dx}{x} (F_2^p(x) - F_2^n(x)) \quad (x = \frac{Q^2}{2Mv})$$

Charge symmetry, but not  $\bar{u}(x) = \bar{d}(x)$ :

$$S_G = \frac{1}{3} + \frac{2}{3} \int_0^1 dx [\bar{u}(x) - \bar{d}(x)]$$



★ NMC:  $S_G = 0.240 \pm 0.016$  (at  $Q^2 = 5 \text{ GeV}^2$ )

Constituent quarks dressed by pion cloud:

$$|N\rangle = \sqrt{2} |QQQ\rangle + \sqrt{m_\pi} |QQQ\pi\rangle + \dots$$

$$S_G = \frac{2}{3} - \frac{m_\pi}{9} + \dots$$

### ★ STRANGE QUARKS in the NUCLEON:

from analysis of  $\pi N$   $\Sigma$ -term:  $\frac{\langle \pi | \bar{s}s | \pi \rangle}{\langle \pi | \bar{u}u + \bar{d}d | \pi \rangle} = 0.1 \pm 0.1$

CONSTITUENT QUARKS dressed by  $\bar{s}s$  CLOUD:

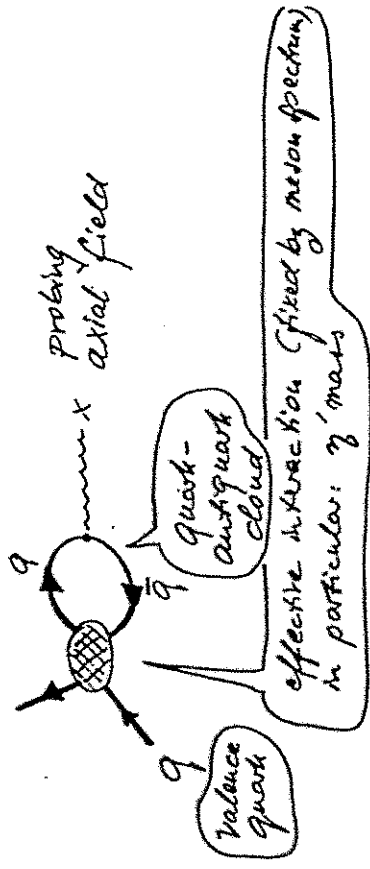
$$\frac{\langle \bar{s}s \rangle_N}{\langle \bar{u}u + \bar{d}d \rangle_N} \lesssim 5\% \quad (\text{K. Steininger, W.W., PLB 329 (194) 169})$$

$$\langle N | \bar{s}s | N \rangle \sim -0.1 \text{ (roughly)}$$

# SPIN STRUCTURE OF CONSTITUENT QUARKS

from CHIRAL (e.g. NTL) EFFECTIVE THEORIES

- ingredients:
  - ★ Spontaneously broken CHIRAL  $SU(3)_L \otimes SU(3)_R$
  - ★ AXIAL ANOMALY in QCD:  $U(1)_A$  breaking  $\partial^\mu A^{(0)}_\mu \sim E-B$  (Singlet axial current) gluons



ANGULAR MOMENTUM:

$$\vec{J}(\text{CONSTITUENT QUARK}) = \vec{S}(\text{VALENCE QUARK}) + \vec{J}(\text{POLARISATION CLOUD})$$

# RESULTS:

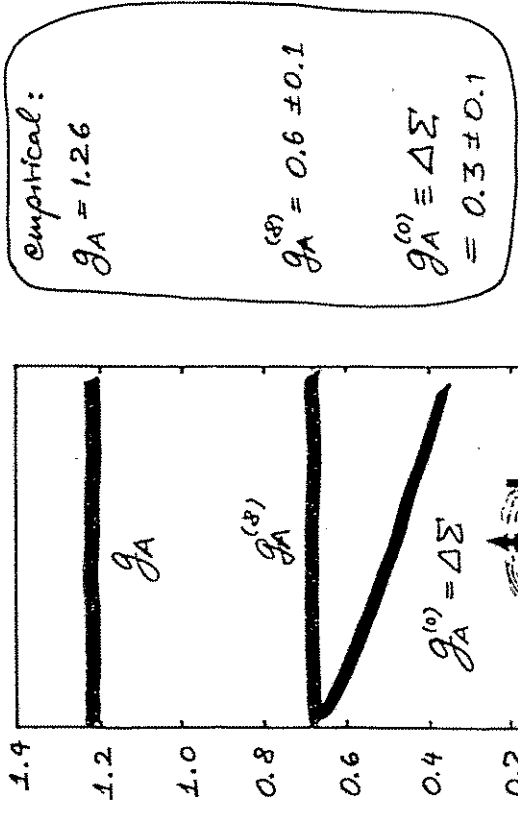
(K. Steinger, W. Tr., Phys. Rev. D 48 (1993) 1433;  
H. Yabu, M. Takikawa, W. Tr., Z. Phys. A 345 (1993) 191)

$$(g_A)_{\text{NUCLEON}}^{(\nu)} = (g_A)_{\text{QUARK}}^{\text{CONST.}} \cdot F^{(\nu)}$$

relativ. nucleon wave fun.

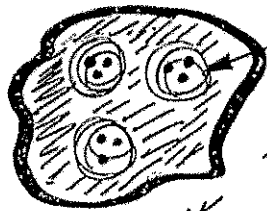
constituent quark structure

AXIAL CONSTANTS





# 3. HADRONEN IN DICHTER / HEIßER MATERIE



$$\langle r_N^2 \rangle^{1/2} \sim 1 \text{ fm}$$

$$d = \begin{cases} 1.8 \text{ fm} & \dots \rho = \rho_0 = 0.17 \text{ fm}^{-3} \\ < 1.3 \text{ fm} & \dots \rho = 3\rho_0 \end{cases}$$

⇒ KEINE "SAUBERE" TRENNUNG  
ZWISCHEN HADRONISCHEN SKALEN  
UND KERN-DIMENSIONEN

## ★ STICHWORTE:

- ÄNDERUNG des  $\langle \bar{q}q \rangle$ -KONDENSATS  
IN MATERIE
- ÄNDERUNG VON HADRON-EIGENSCHAFTEN  
(MASSEN etc.) MIT WACHSENDE  
DICHTE UND TEMPERATUR  
(**C**HIRALE **T**HERMODYNAMIK)

## VACUUM STRUCTURE

- How does  $\langle \bar{q}q \rangle$  condensate change with  
increasing BARYON DENSITY

$$\rho = \langle N^+ N \rangle \quad ?$$

- at  $\rho = 0$ :

$$m \langle \bar{q}q \rangle_{\rho=0} = -m_\pi^2 f_\pi^2 \quad (\text{Gell-Mann, Oakes, Renner})$$

$$m = \frac{1}{2}(m_u + m_d), \quad \langle \bar{q}q \rangle = \langle 0 | \bar{u}u + \bar{d}d | 0 \rangle$$

- at finite nuclear density  $\rho > 0$ :

$$\langle \bar{q}q \rangle_\rho = \langle \bar{q}q \rangle_{\rho=0} + \langle N | \bar{q}q | N \rangle \cdot \rho$$

+ higher orders in density

... more precisely:  $\langle \bar{q}q \rangle_\rho = \langle \bar{q}q \rangle_0 + \frac{\partial}{\partial m} \mathcal{E}(\rho)$

energy density  $\mathcal{E}(\rho) = M_N \rho + \mathcal{E}_{\text{kin}}(\rho) + \mathcal{E}_{\text{int}}(\rho)$

- PION-NUCLEON SIGMA-TERM:

$$\begin{aligned} \Sigma_N &= \frac{1}{2}(m_u + m_d) \langle N | \bar{u}u + \bar{d}d | N \rangle \\ &= m \langle N | \bar{q}q | N \rangle = m \frac{\partial M_N}{\partial m} \\ &= (45 \pm 8) \text{ MeV} \end{aligned}$$

(Gasser, Leutwyler, Sainio; Phys. Lett. B 253 (1991) 252)

**CORRECTIONS** of higher order in  $\rho$   
(R. Brockmann, W.W.)

RESULTS: (Preliminary)

EFFECTIVE  $\pi N$  SIGMA TERM IN MATTER:

$$\Sigma_N(\rho) = \Sigma_N \left( 1 + \frac{m_\pi^2}{A \Sigma_N} \frac{\partial E(\rho)}{\partial m_\pi^2} \right)$$

at  $\rho = \rho_0 = 0.17 \text{ fm}^{-3}$ :

$$\frac{\Sigma_N(\rho_0)}{\Sigma_N} = 1 + 0.4 - 0.25 - 0.01 - 0.04$$

from SCALAR Exchange

from VECTOR Exchange

from (TERM) NOTION

hence:

$$\frac{\langle 99 \rangle \rho = \rho}{\langle 99 \rangle} = 1 - \frac{\Sigma_N(\rho_0)}{m_\pi^2 f_\pi^2} \rho$$

$$\Sigma_N(\rho_0) \approx 1.1 \Sigma_N$$

but:  $\Rightarrow$  subtle cancellations!

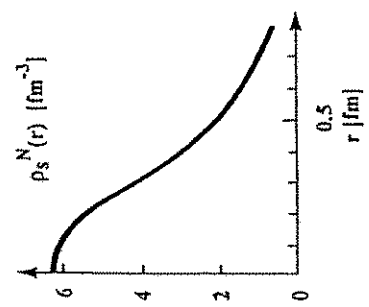
$\Rightarrow$  significant corrections to be expected at higher density  $\rho$

MODEL INDEPENDENT RESULT  
(to leading order in  $\rho$ ):

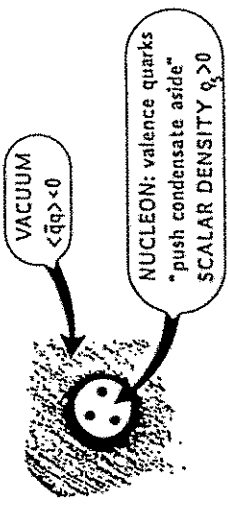
$$\frac{\langle 99 \rangle_\rho}{\langle 99 \rangle_0} = 1 - \frac{\Sigma_N}{m_\pi^2 f_\pi^2} \rho + \dots$$

Drukarev, Levin, NPA (1990, 91)  
Cohen, Furnstahl, Griegel, PRC (1992)  
Lutz, Klimit, W.W., NPA (1992)

NOTE:  $\sim 30\%$  CHANGE OF CONDENSATE  
at  $\rho = \rho_0 = 0.17 \text{ fm}^{-3}$



Interpretation:



$\pi N$  SIGMA-term:

$$\Sigma_N = m \int d^3r \rho_S^N(r)$$

example: CAVITY  $\rho_S^N(r) = -\langle 99 \rangle \theta(R-r)$

$$\Sigma_N = 45 \text{ MeV} \iff R = \left[ \frac{3 \Sigma_N}{4\pi m_\pi^2 f_\pi^2} \right]^{1/3} \approx 0.8 \text{ fm}$$

$$U_N = \frac{4\pi}{3} R^3 \approx 2 \text{ fm}^3 \approx \frac{1}{3} \rho_0^{-1}$$

## SCALAR MEAN FIELD

in nuclei from a QCD point of view

- assume:  $M_N \propto \langle \bar{q}q \rangle$   
(QCD Sum Rules; NJL model)
- then:  $\frac{M_N^*(\rho)}{M_N} = \frac{\langle \bar{q}q \rangle_\rho}{\langle \bar{q}q \rangle_{\rho=0}} = 1 - \frac{\Sigma_N}{m_\pi^2 f_\pi^2} \rho + \dots$

• SCALAR MEAN FIELD ( $\rho_0 = 0.17 \text{ fm}^{-3}$ )

$$U_S = M_N^*(\rho) - M_N$$

$$= - \frac{M_N}{m_\pi^2} \frac{\Sigma_N}{f_\pi^2} \rho$$

$$= -7.2 \Sigma_N \left(\frac{\rho}{\rho_0}\right)$$

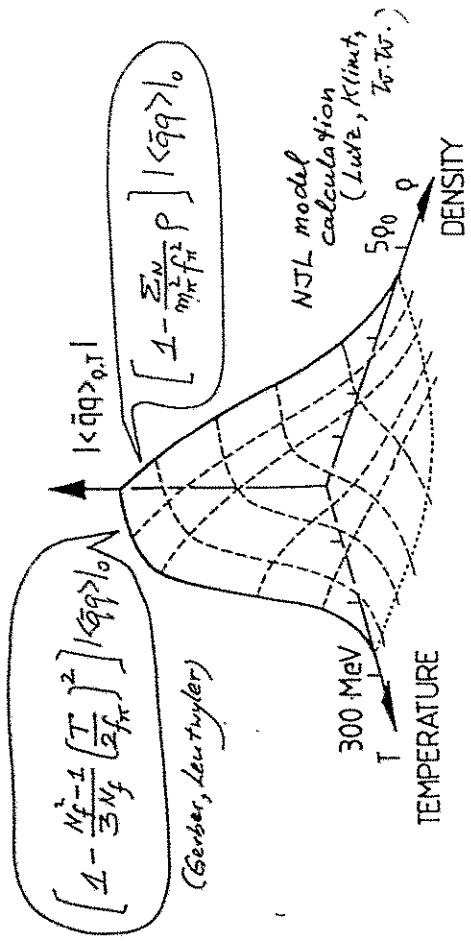
- for  $\Sigma_N = 45 \text{ MeV}$ ,  
 $U_S = -325 \text{ MeV} \left(\frac{\rho}{\rho_0}\right)$
- compare with nuclear Dirac phenomenology

$$U_S(\rho = \rho_0) = -(300 \div 400) \text{ MeV}$$

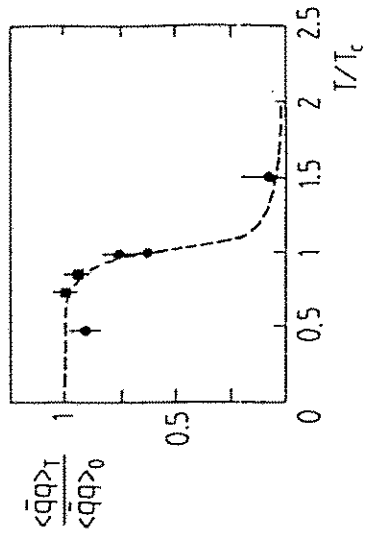
(see: Relativistic Brueckner-Hartree-Fock calculations)

## CHIRAL THERMODYNAMICS

RESTORATION OF CHIRAL SYMMETRY



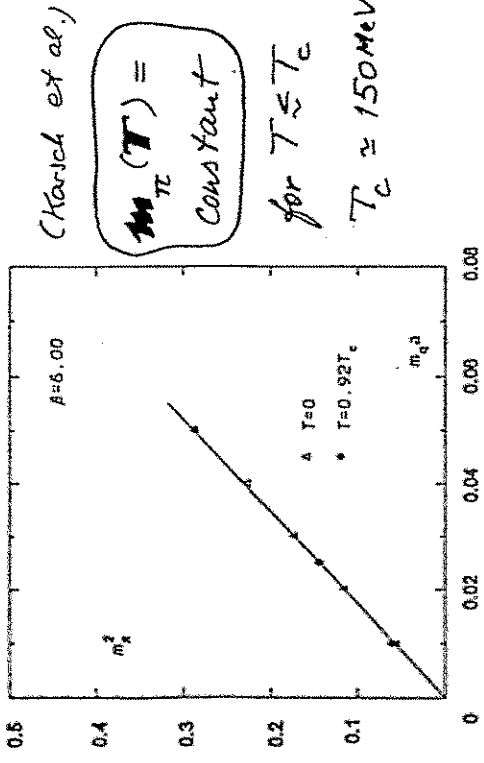
• CHIRAL CONDENSATE in LATTICE QCD  
(G. Boyd et al.)



$T_c \approx 150 \text{ MeV}$

# PION MASS ( $\rho, T$ )

- ★ GELL-MANN, OAKES, RENNER:  
 $m_\pi^2 f_\pi^2 = -\frac{1}{2}(m_u + m_d) \langle \bar{u}u + \bar{d}d \rangle$   
 VALID AT FINITE  $\rho$  AND  $T$  (Lüscher, Pfister, Wittig)
- ★  $T$ -dependence from LATTICE QCD:



$m_{\pi T_c}(T) =$   
 Constant

for  $T \lesssim T_c$   
 $T_c \approx 150 \text{ MeV}$

- ★  $\rho$ -dependence from CHIRAL DYNAMICS:

(Lüscher, Kollmitz, Wittig, Nucl. Phys. A (1992)):

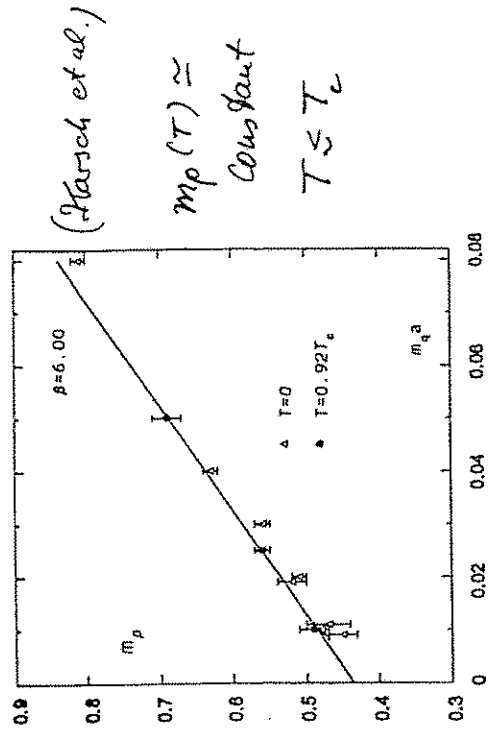
$m_{\pi T_c}(\rho) \approx$  Constant

for  $\rho \lesssim \rho_0$

- ★ PION PROTECTED by  $\Delta$  GOLDSTONE BOSON CHARACTER

# VECTOR MESON MASS ( $\rho, T$ )

- ★  $T$ -dependence from LATTICE QCD:



$m_\rho(T) \approx$   
 Constant  
 $T \lesssim T_c$

- ★  $\rho$ -dependence: yet unclear

$\Rightarrow$  chiral models:  $m_\rho(\rho) \approx$  const.

$\Gamma_\rho$  increases

$\Rightarrow$  QCD sum rules:  $m_\rho(\rho) \rightarrow$

$$m_\rho^* \sim f_\pi^* \sim \langle \bar{q}q \rangle^{1/2} \rho$$

Zusammenfassung:

# NIEDERENERGIE - QCD ⇔ CHIRALE DYNAMIK

## a) CHIRALE STÖRUNGSTHEORIE

Quantitative Beschreibung von Niederenergie-  
proben (insbesondere elektroschwache  
NWT von  $\pi\pi$ ,  $K\pi$ -Systemen)  
aber: nicht geeignet im RESONANZ-Bereich

## b) CHIRALE KONSTITUENTEN - QUARKS

weniger gut fundiert, aber möglicherweise  
nützlich zur Interpolation zwischen  
Niederenergie und tief-molekularer Streuung

## c) CHIRALE THERMODYNAMIK

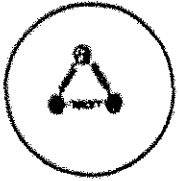
Modell-unabhängige Aussagen  
(z. B.  $\langle \bar{q}q \rangle_{PT}$ ,  $\chi_{m_T}^*(p,T)$ )  
in führender Ordnung  $T \lesssim 100 \text{ MeV}$   $p \lesssim p_0 = 0.17 \text{ fm}^{-3}$   
Offene Fragen ( $p > p_0$ ;  $m_{p,\omega}(p,T); \dots$ )

Experimente zur Struktur des Nukleons  
(ELSA)

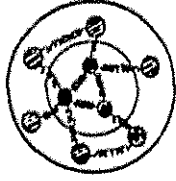
B. Schoch  
Bonn

4. Oktober 1994

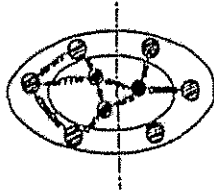
Modelle:



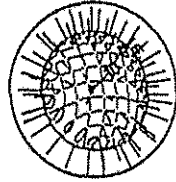
MIT-  
bag model



Chiral  
"bag"-model



Deformed  
"bags"



Soliton

$$|N\rangle = \alpha |N_0\rangle + \beta |N_0 + \pi\rangle + \gamma |\Lambda + 1/2\rangle + \dots$$

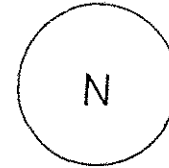
Static properties  
Distribution of charge  
and current  
Formfactors

$$G_M^N(q^2)$$

Relativistic  
effects  
 $d(eie'p)$

Particle production  
Excitation  
Resonances

$$c_2/\mu_1$$



$$P(eie'y)$$

The constituents  
Quarks, Gluons

Spinstructure

ELSA (Status 4.94)

ACCELERATOR

PhD-student, Undergraduate

D. Husmann, W. V. Drachenfels, C. Nietzel, H. Bongartz, T. Götz,  
S. Nakamura, M. Picard, S. Voigt, J. Wenzel, J. Keil

ELAN (e, e'x)

T. Reichelt, B. Schoch, F. Frommberger, G. Gothe, W. Hillert,  
G. Kranefeld, H. Reike, D. Durek, D. Doll, H. Hainig, P. Jakob, C. Kunz,  
G. Pfeiffer, H. Putsch, D. Wacker, G. Schantz, M. Westermann,  
H. Brunhöber, D. Kluxen, M. Tramm

PHÖNIX (Tagged Photons, Pol. Target)

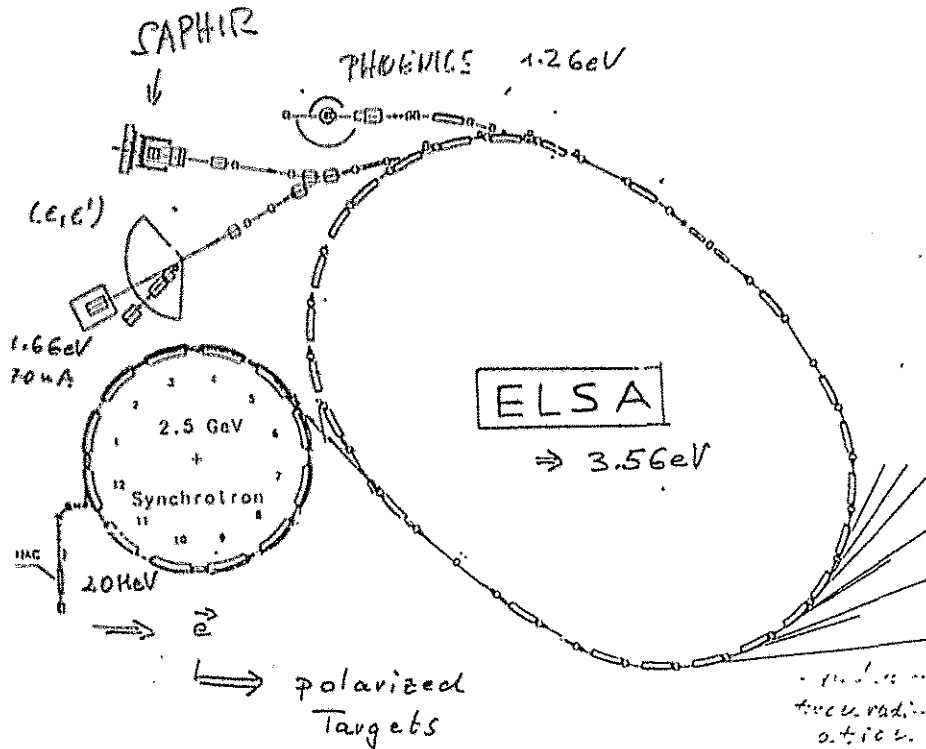
G. Anton, W. Meyer, M. Rigney, R. Dutz, W. Bewlertz, K. Helbing, J. Hey,  
B. Zucht, R. Gehring, S. Goertz, G. Reicherz, A. Thomas, M. Pullmann,  
C. Bradke, M-Blückthun, K. Runkel

SAPHIR (Tagged Photons)

W. Schülle, K. Heinloth, E. Paul, R. Wedemeyer, N. Jakob, D. Menze,  
H. Bockhorst, H. Jungst, U. Kirch, M. Tran, R. Burgwinkel,  
J. Hannappel, J. Scholmann, F. Wehnes, F. Klein, H. van Pee, J. Link  
S. Schmidt, J. Wisskirchen

SYNCHROTRON LIGHT

J. Hormes, F. v. Busch, R. Chauvistre, R. Franke, M. Höfer, G. Küper,  
S. Steil, G. Akhtar, U. Alkemper, U. Ankerhold, J. Doppelfeld, B. Esser,  
A. Brest, A. Pantelouris, J. Pollmann, F. Palm, A. Rashid, J. Rothe,  
W. Schmitt, I. Winter, O. Wollersheim, H. Zumaque-Diaz, D. Reich  
R. becker, S. bender, P. Drotbohm, J. Schramm, J. Zanghellini

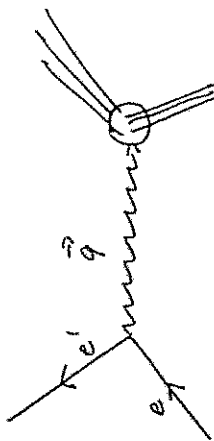


Large acceptance detectors  
Moderate (few MeV) missing  
mass resolution

⇒ Studies on  
the nucleus



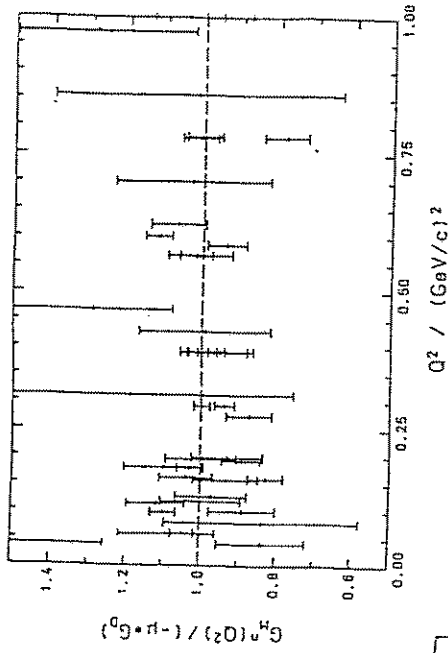
Messung des magnetischen Formfaktors



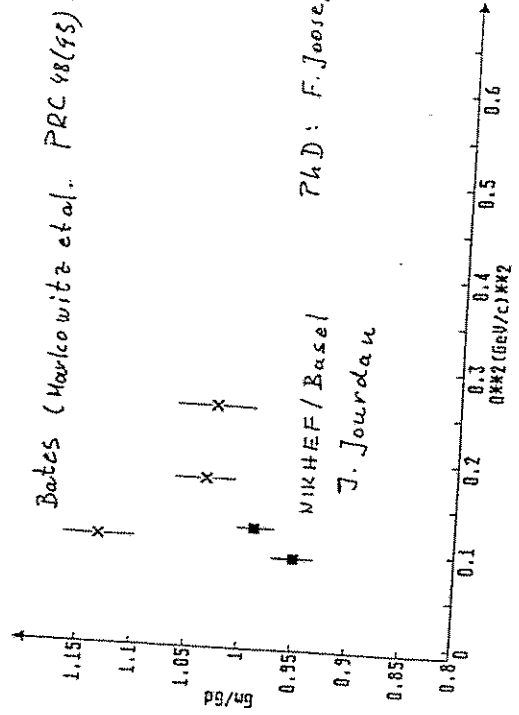
$$\frac{d\sigma}{d\Omega} = \left(\frac{d\sigma}{d\Omega}\right)_M \left[ \frac{G_E^2 + \frac{Q^2}{4M^2} G_M^2}{1 + \frac{Q^2}{4M^2}} + \frac{Q^2}{2M^2} \frac{G_M^2 \tan^2(\theta/2)}{1 + \frac{Q^2}{4M^2}} \right]$$

Relativ gute Beschreibung (qualitativ)

Dipol - FF:  $G_D = \frac{1}{\left(1 + \frac{Q^2}{\Lambda^2}\right)^2}$  mit  $\Lambda = 0.716 \text{ GeV}^2$

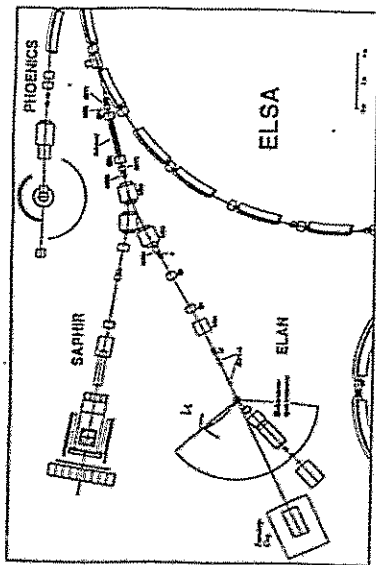


$$G_M^2$$



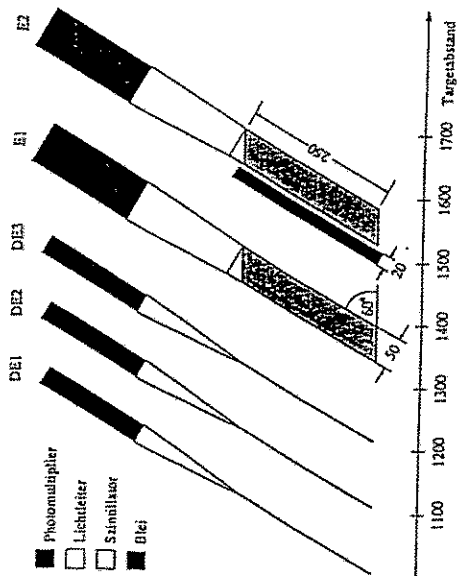
Bates (Markovitz et al. PRC 48(195) 25)

MUKHEF/Basel Ph.D: F. Joose, Utrecht  
J. Jourdan

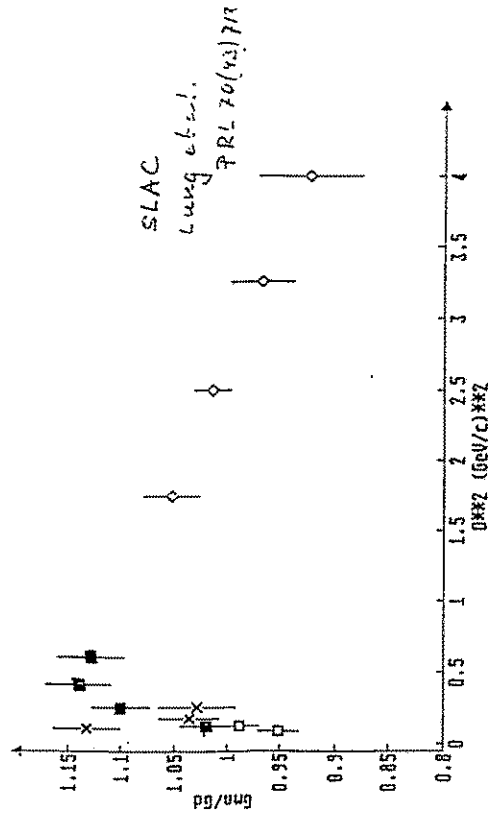
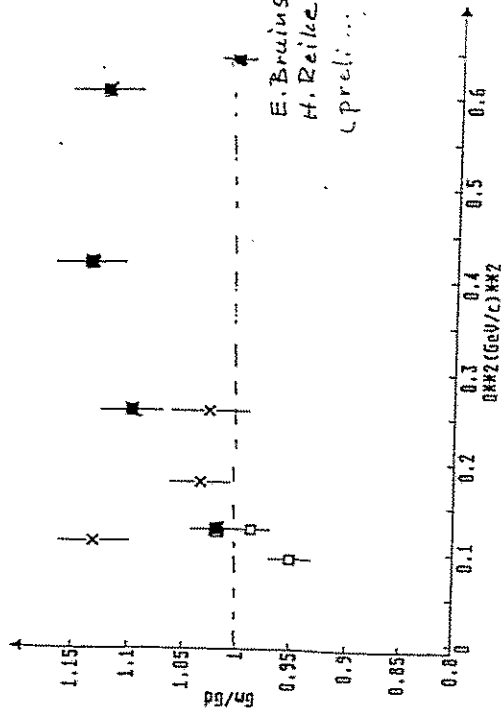


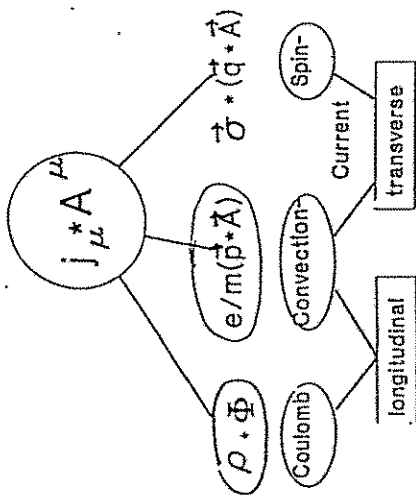
$e^-$   
4.2 GeV  
4.6 GeV

*Nikhef/utrecht/Bonn*



$\nu_{\mu} \nu_e$





Multipoles: Coulomb Electric Magnetic

EXPERIMENT: Linear/circular polarisation of the virtual/real photon

linear pol.  $\gamma^*$   
(x-dir.)

$$\Rightarrow (E_z \hat{p}_z + E_x \hat{p}_x)$$

$$P_0 \cdot \cos \theta \quad P_0 \cdot \sin \theta \cdot \cos \varphi$$

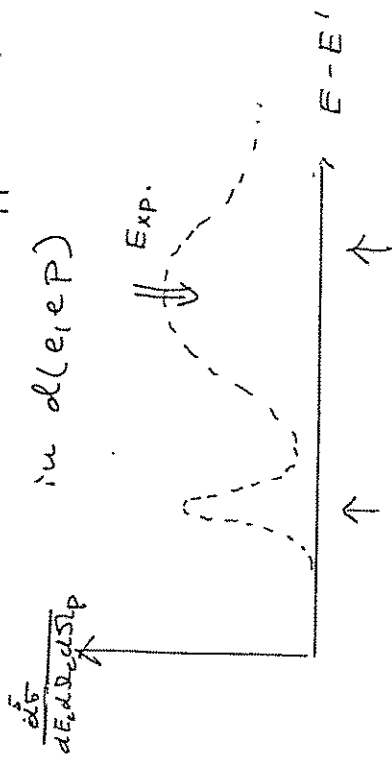
$$\Rightarrow P_0^2 (1 - \frac{1}{2} \sin^2 \theta) + \frac{1}{2} \sin^2 \theta \cdot \cos 2\varphi + \sin^2 \theta \cos \varphi$$

$$\delta \sigma \sim \sigma_L \quad \sigma_T$$

separation:  
Rosebluth-Plot

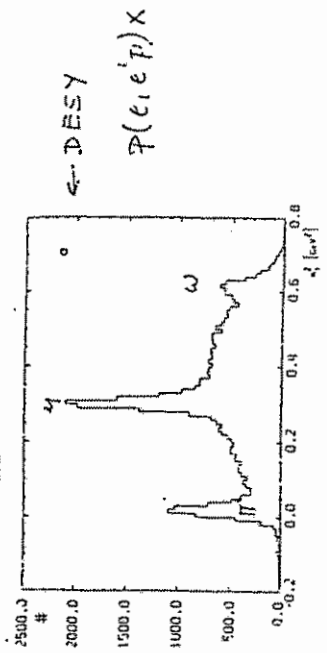
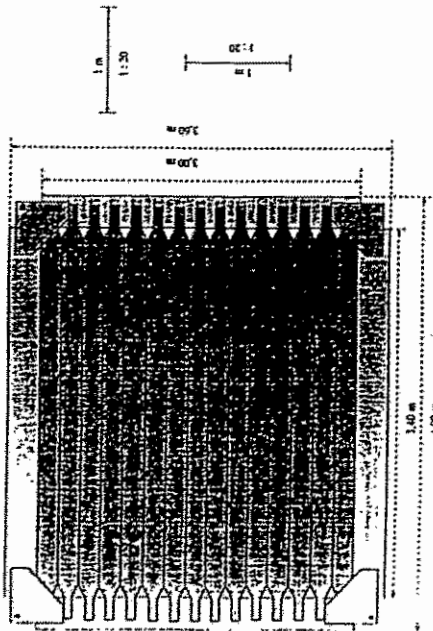
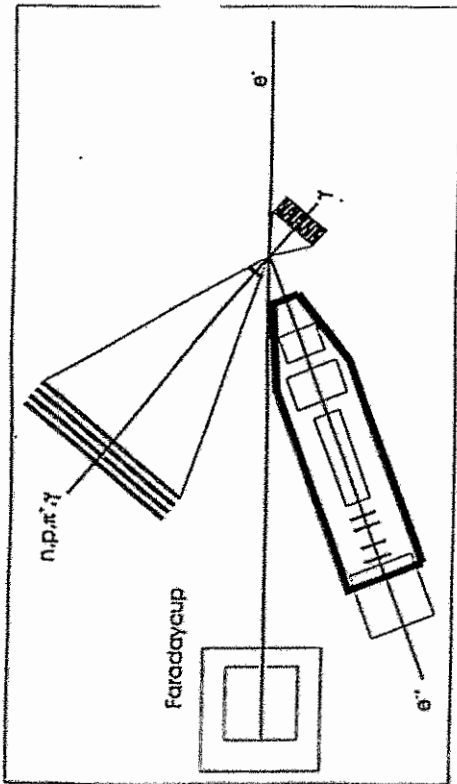
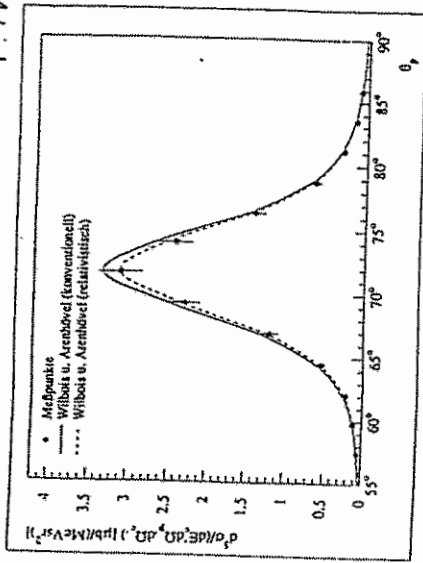
out of plane  
detection of hadrons

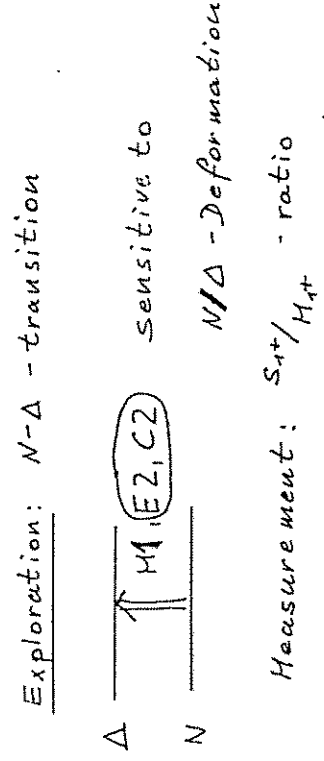
Relativistische Effekte.



el. Streuung Quasifreie Streuung

F. Frouin burger





Measurement:  $S_{1+}/M_{1+}$  - ratio

NIKHEF  
v. d. Schaar  
et al.

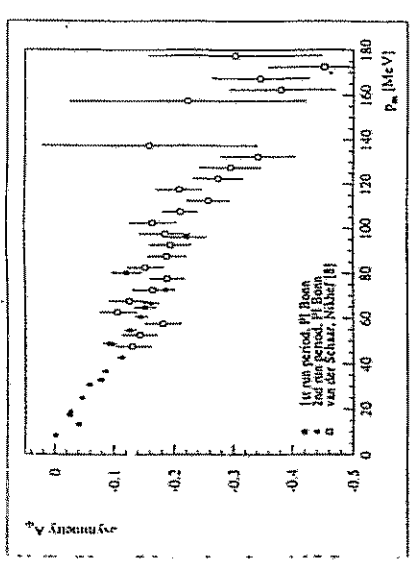
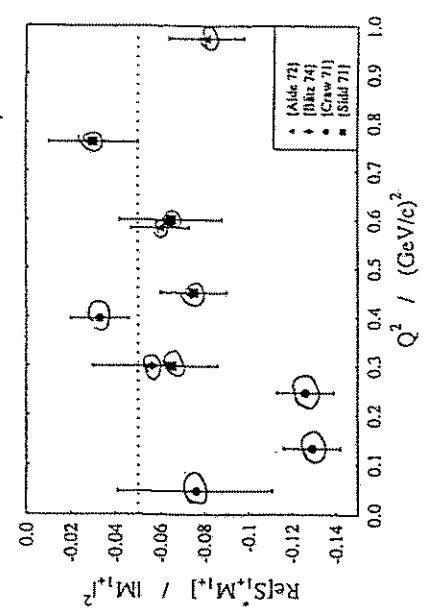
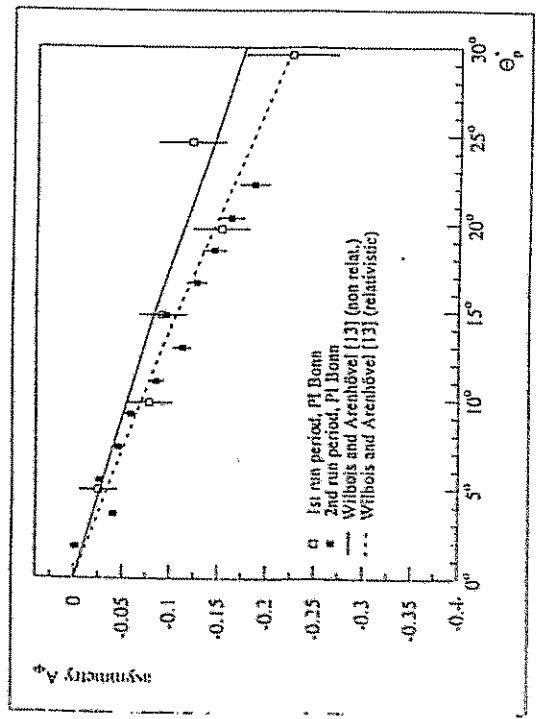


Figure 3. Measured asymmetry



○ CEA 122  
○ DESY  
○ NINA

L	elektromagnetische Multipole	$\pi N$ -System J	Pionproduktions-Multipole
0	C0	1/2	$L_1^-$
1	E1/G1	1/2 0	$E_{0+}/L_{0+}$ $E_{2-}/L_{2-}$
	(M1)	1/2 1	$M_1^-$
2	E2/G2	3/2 1	$(M_1^+)$ $(E_2^+ / L_{2+})$
	M2	3/2 2	$E_{2-}/L_{2-}$
		5/2 2	$M_2^+$

$M_{1+}$ -Dominanz

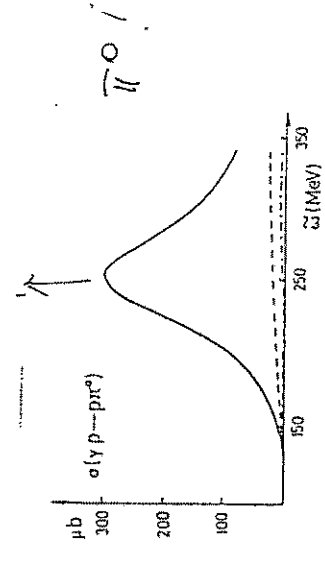
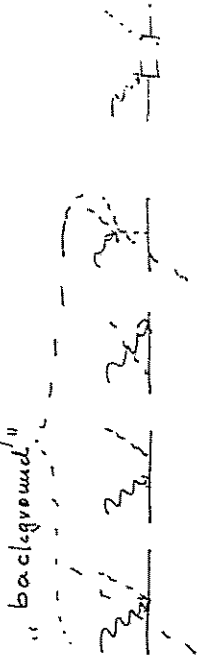
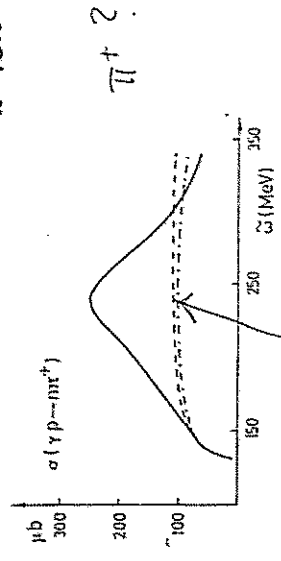
$$\sigma_T \sim (2.5 - 1.5 \cdot \cos^2 \delta_\pi^*) \cdot |M_{1+}|^2 + \cos \delta_\pi^* \cdot 2 \operatorname{Re} [E_{0+}^* M_{1+}]$$

$$\sigma_{TT} \sim -1.5 \cdot \sin^2 \delta_\pi^* |M_{1+}|^2$$

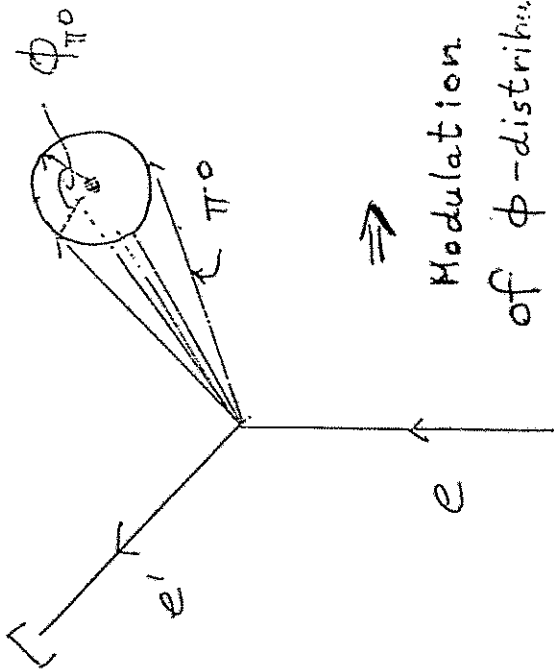
$$\sigma_{TL} \sim 6 \cdot \cos \delta_\pi^* \cdot \sin \delta_\pi^* \cdot \operatorname{Re} [E_{1+}^* M_{1+}]$$

$\Rightarrow$  Ratio:  $\frac{\sigma_{TL}}{\sigma_{TT}}$  ,  $\frac{\sigma_{TL}}{\sigma_T}$

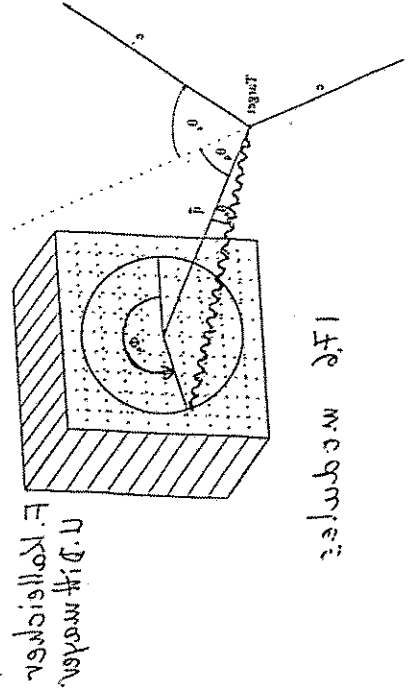
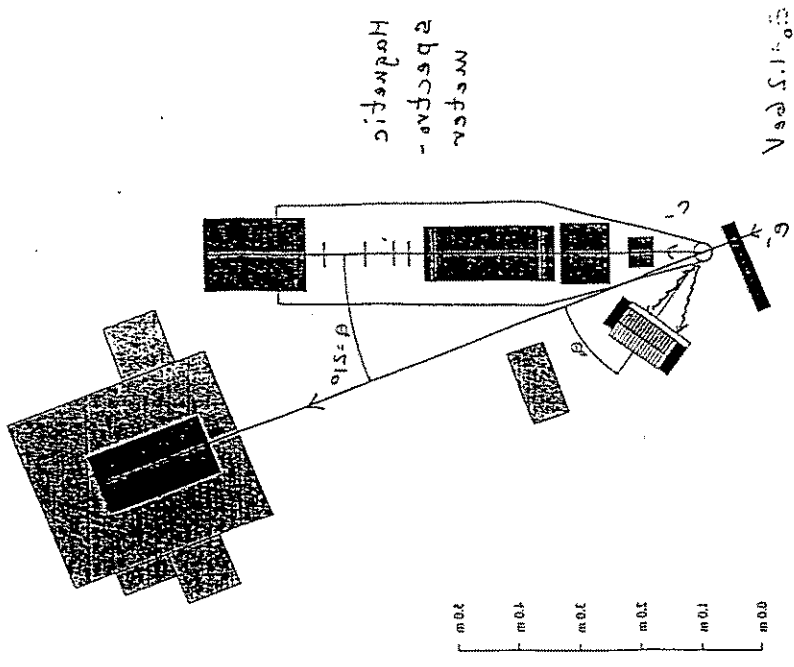
which channel?

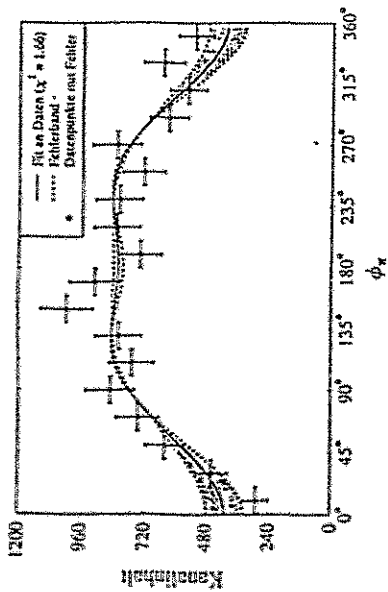


Method:

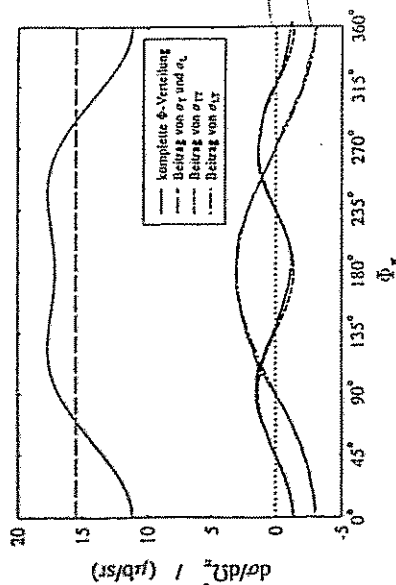


Reaction:  $P(e, e', \pi/2)$   
 but Experiment:  $P(e, e', \mu)$





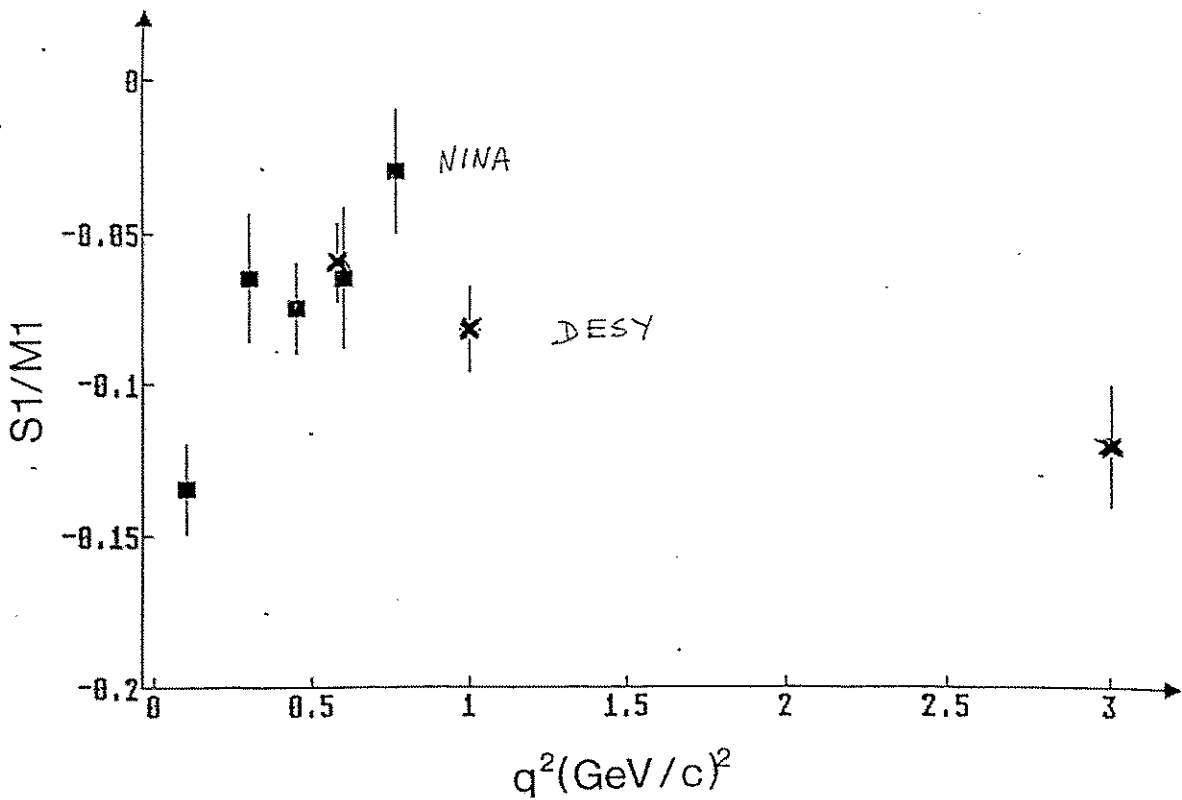
386 ± 10 ± 434  
KIV



Our parametrisation:

$$\frac{d\sigma}{d\Omega_\pi} = A(1 + B \cdot \cos 2\phi_\pi + C \cdot \cos\phi_\pi)$$

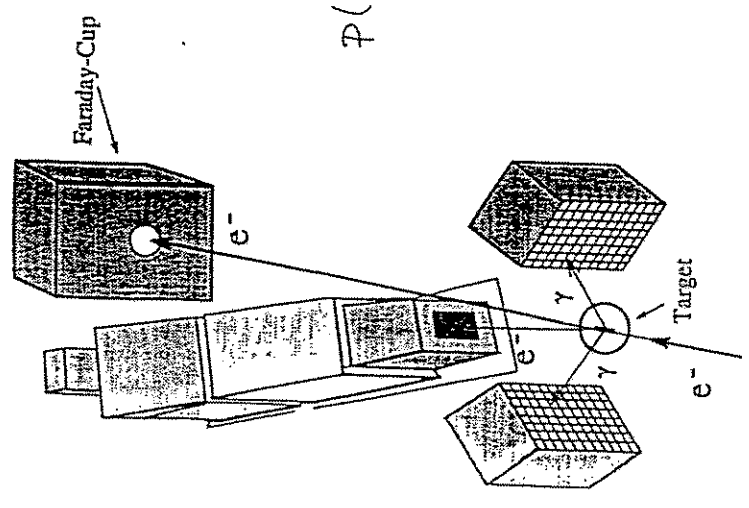
$$\hookrightarrow \frac{C}{B} \quad , \quad \frac{C}{A}$$



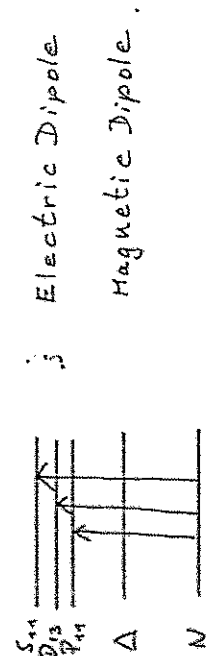


H. Wilhelm  
H. Putzsch

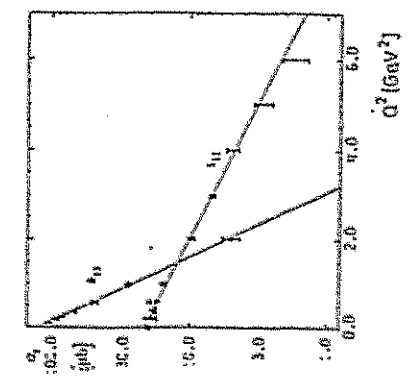
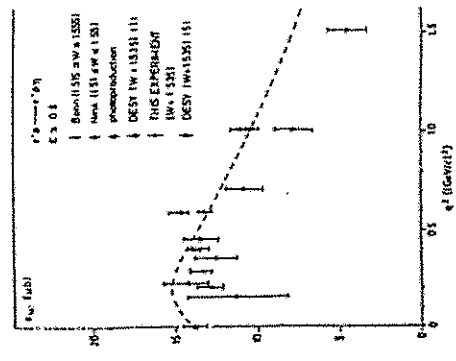
$P(e^+e^- \rightarrow \gamma)$   
 $\hookrightarrow 2\gamma$



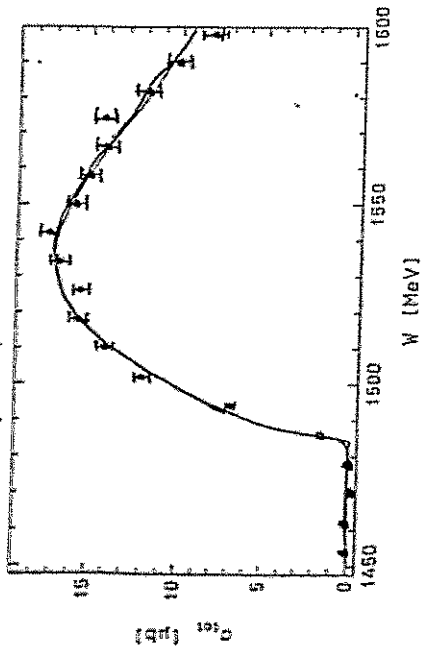
$\eta$  - Production



Questions:  $R_{\text{oper}} \leftrightarrow \gamma$  - coupling constant  
 $\gamma$  -  $N$  - coupling constant



$M$ -production  $\mathcal{P}(e^+e^-)$



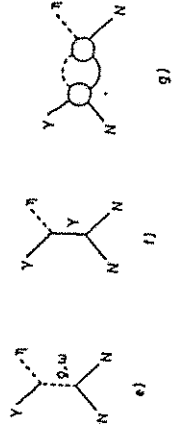
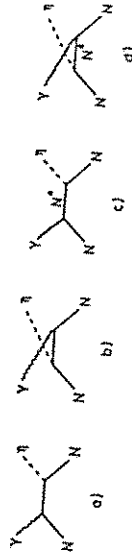
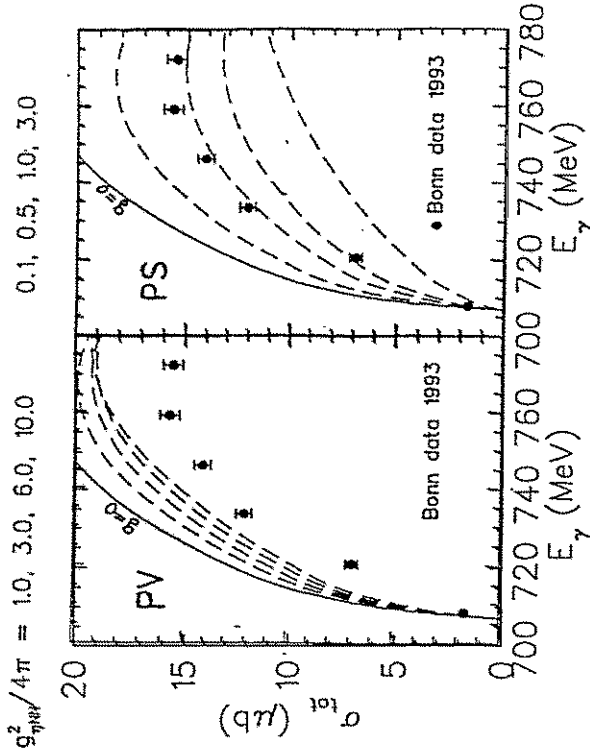
Bonn 93

$S_{11} = \text{Breit-Wigner-Fit}$

$$W_R = 1540.1 \pm 1.1 \text{ MeV}$$

$$\Gamma_R = 134.6 \pm 5.6 \text{ MeV}$$

$\chi + p \rightarrow \eta + p$  L. Tiator



Connection  $S_{r+} \rightarrow E_{r+}$

$$\boxed{\omega * S_{r+} = |\vec{p}| / L_{r+}}$$

Factor: 2

$L_{r+} \rightarrow E_{r+}$

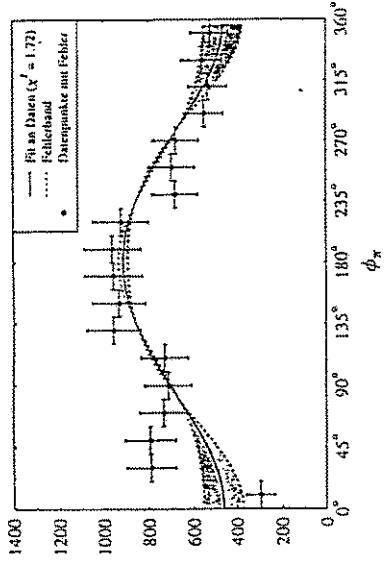


Pseudo threshold



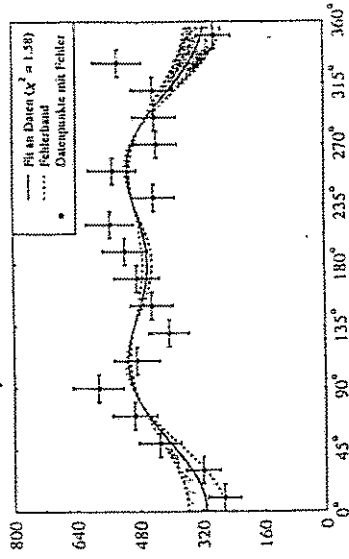
$Q^2 \text{ (GeV/c)}^2$

$338 \text{ MeV} \leq \omega \leq 386$



$$\frac{\text{Re}[S_{r+} M_{r+}]}{|M_{r+}|^2} = (-13.0 \pm 1.9) \%$$

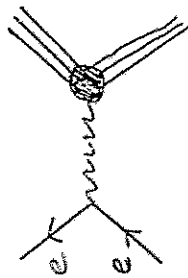
$434 \leq \omega \leq 482 \text{ MeV}$



$$\phi_\pi = (-7.7 \pm 1.8) \%$$

Formfaktoren: ① Elastische

$e^-$ -Streuung



$$\langle N | V_f^\mu | N \rangle =$$

$$\bar{u}_N (F_1 \gamma^\mu + \frac{i}{2m} F_2 \sigma^{\mu\nu} \not{q}_\nu) u$$

$$V_f^\mu = \frac{2}{3} \bar{u}_f \gamma^\mu u - \frac{1}{3} \bar{d}_f \gamma^\mu d - \frac{1}{3} \bar{s}_f \gamma^\mu s$$

Wichtig! Isospinzerlegung

$$V_f^\mu (T=1) = \frac{1}{2} (\bar{u}_f \gamma^\mu u - \bar{d}_f \gamma^\mu d)$$

$$V_f^\mu (T=0) = \frac{1}{6} (\bar{u}_f \gamma^\mu u + \bar{d}_f \gamma^\mu d) - \frac{1}{3} \gamma^\mu s$$

$\Rightarrow F_1, F_2$  bzw. G.E.G.M von Protonen  
und Neutronen

Photon-Nukleon-Experimente im GeV-Bereich  
(Experimente mit dem SAPHIR-Detektor)

W. Schwille  
Bonn

4. Oktober 1994

Motivation - a short survey

## Photon - Nucleon Experiments

in the GeV Region

### Experiments with the SAPHIR Detector

M. Bockhorst, R. Burgwinkler, J. Hannappel, K. Heinoth, H.-P. Jakob, N. Jöben, H. Jünger, U. Kirch, F.-J. Klein, L. Lindemann, J. Link, D. Menze, H. Merkel, W. Neuberger, E. Paul, H. van Pee, R. Plätze, S. Schmidt, J. Scholmann, W. J. Schwille, M. Q. Tran, R. J. Wedemeyer, F. Wehnes, J. Wübkerchen, A. Wolf  
*Physikalisches Institut der Universität Bonn*

J. Ernst, H. Kalinowsky, E. Klempf, R. Maschuw, C. Strassburger  
*ISKP Bonn*

Ch. Pösch, F. Sünd, M. Schumacher  
*II. Physikalisches Institut Universität Göttingen*

#### "Non strange" reactions:

$\gamma d \rightarrow p p \pi^-$  resonance contributions at higher energies, FSI separation eventually  $B_2$  (2014) verification

$\gamma d \rightarrow p n \pi^+ \pi^-$  dominant production mechanism,  $\Delta\Delta$  part of the deuteron  
 $p p \pi^+ \pi^0$  wave function, existence of a  $\Delta\Delta$  (2380) bound state  
 $d \pi^+ \pi^-$

$\gamma p \rightarrow p \pi^+ \pi^-$  resonance contributions beyond the  $\Delta^{++}$  region,  $\Delta^{++}$  polarization

$\gamma p \rightarrow \omega p$  new resonances with weak  $\pi N$  coupling, determination of the  
 $p p$  non diffractive part

#### Reactions involving strange quarks:

$\gamma p \rightarrow K^+ \Lambda, K^+ \Sigma^0$  dominant production mechanism for  $s \bar{s}$  - generation in these  
 $K^+ \Sigma^+$  processes, spin transfer photon  $\rightarrow s$  - quark

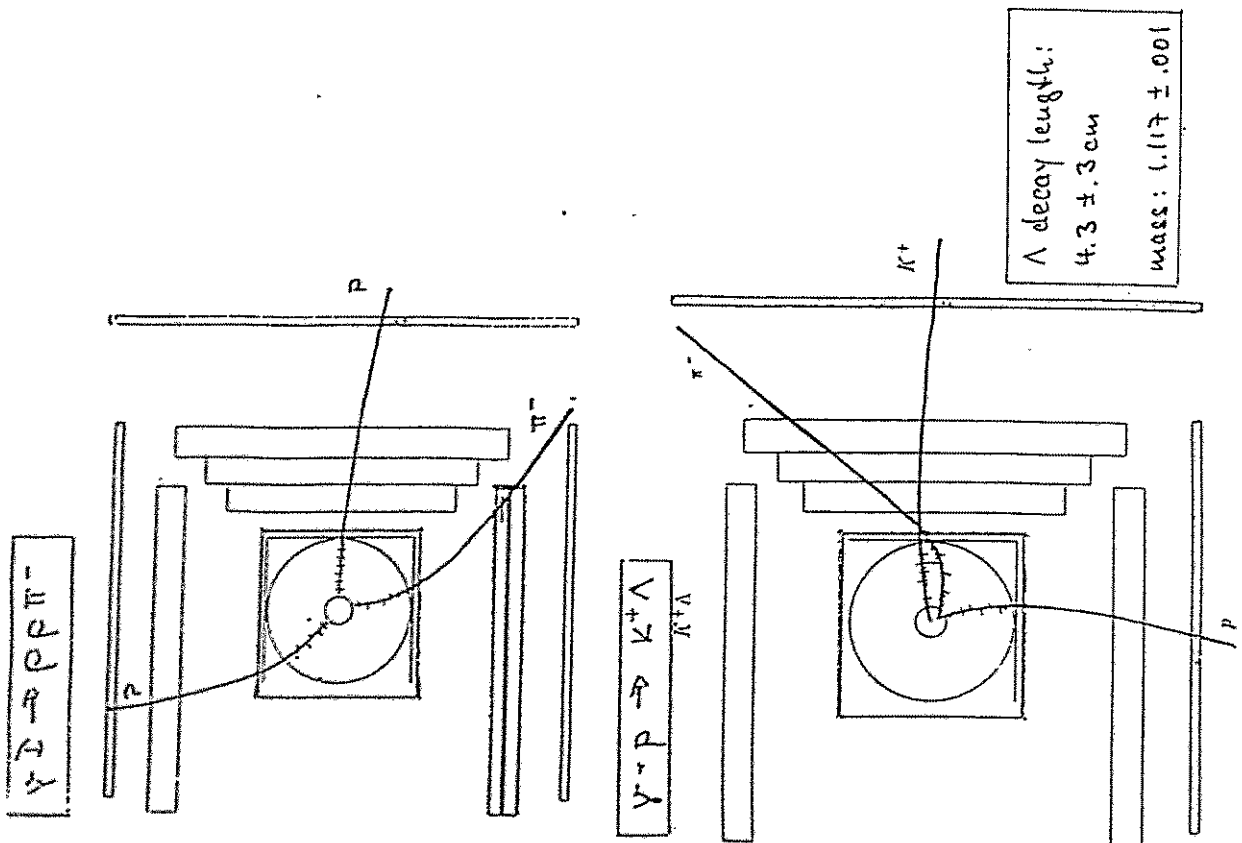
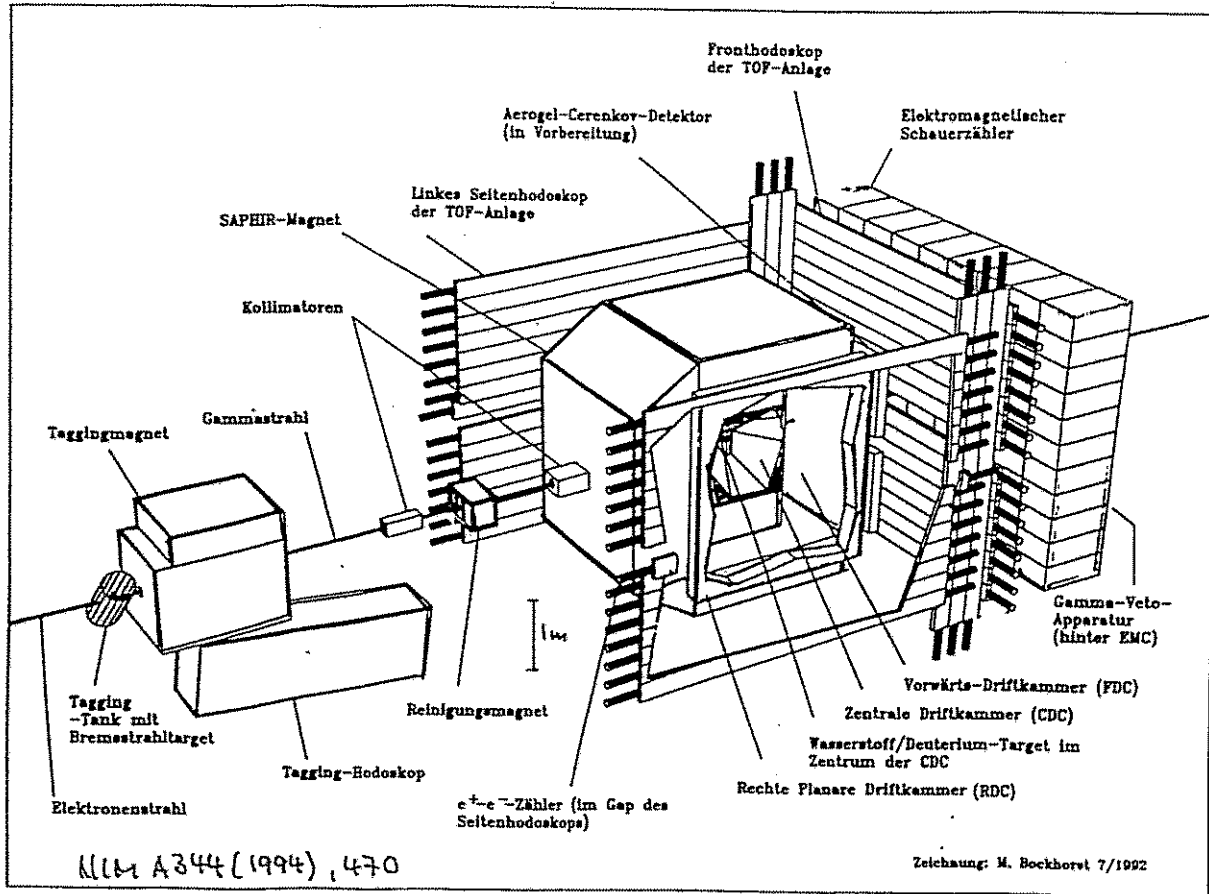
$\gamma p \rightarrow \Phi p$  deviations from the diffractive behaviour at large - t values: interference between s- and p- wave contributions, besides the dominant diffractive p - waves could a s - wave contribution result from a  $s\bar{s}$  - preformation in the nucleon.

#### Photon - Proton Reactions:

$\gamma + p \rightarrow$   $K^+ \Lambda, K^+ \Sigma^0$   $^{++}$   
 $K^+ \Sigma^+$   $^+$   
 $\omega p$   
 $p p$   
 $\Phi p$   
 $p \pi^+ \pi^-$

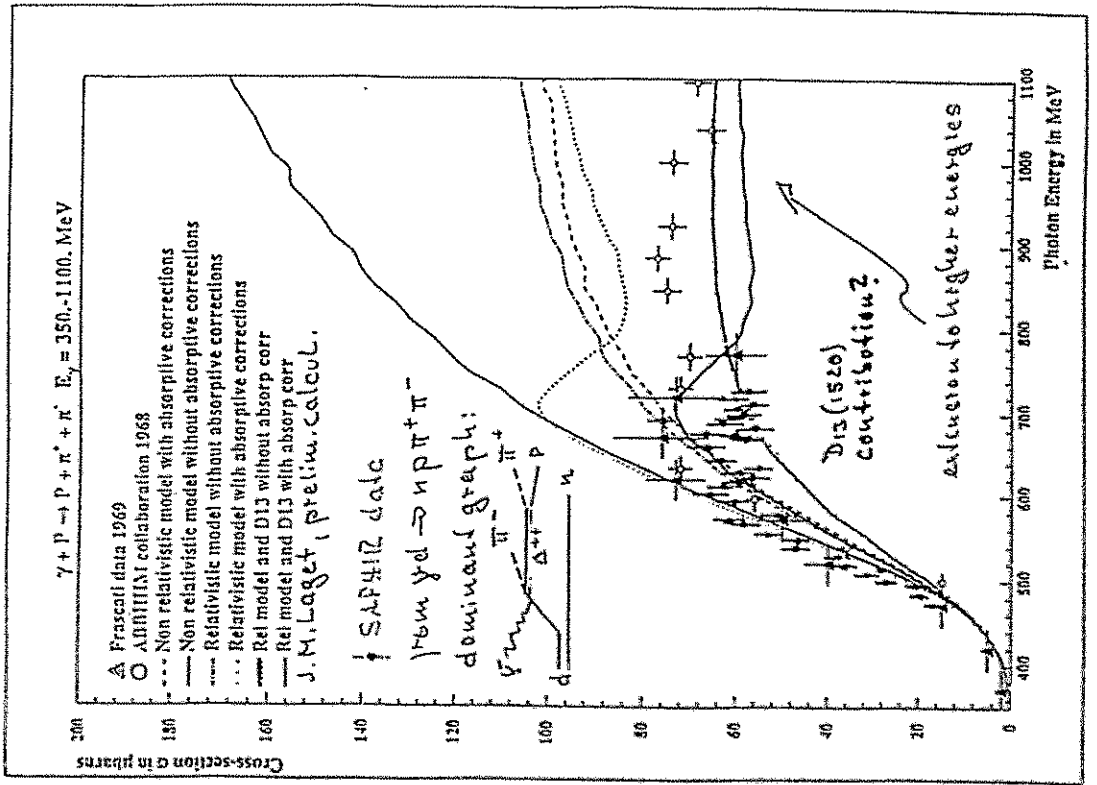
#### Photon - Deuteron Reactions:

$\gamma + D \rightarrow$   $p p \pi^+ \pi^- (p \pi^+ \pi^-)^+$   
 $p p \pi^+ \pi^0$   
 $d \pi^+ \pi^-$   
 $p p \pi^-$

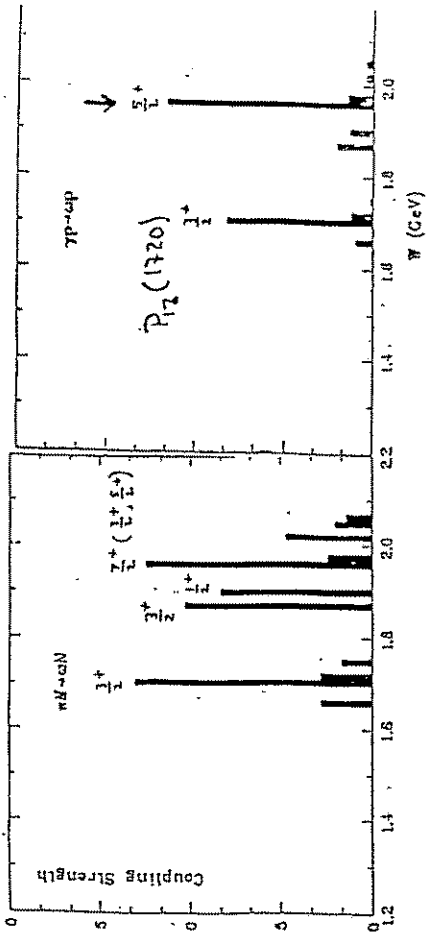


$\gamma p \rightarrow p \pi^+ \pi^-$

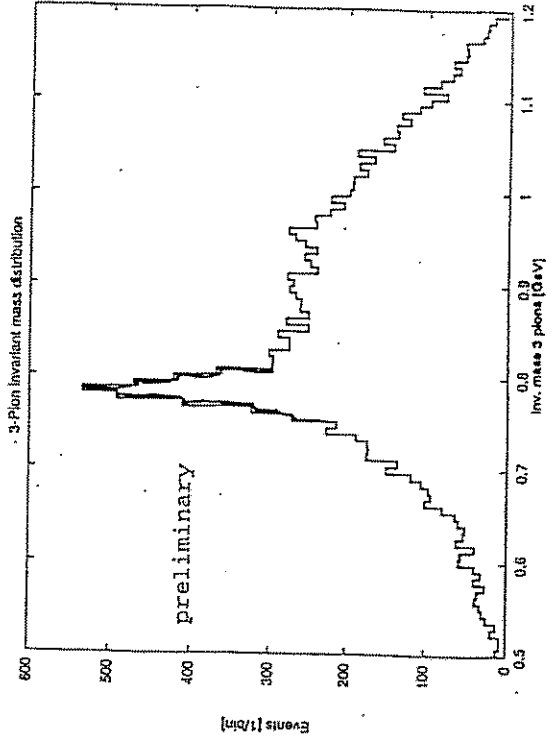
comparison: data off free proton - off deuteron  
resonance contributions at higher  $E_\gamma$   
 $\Delta^{++}$  - polarization



$\gamma p \rightarrow \omega p$

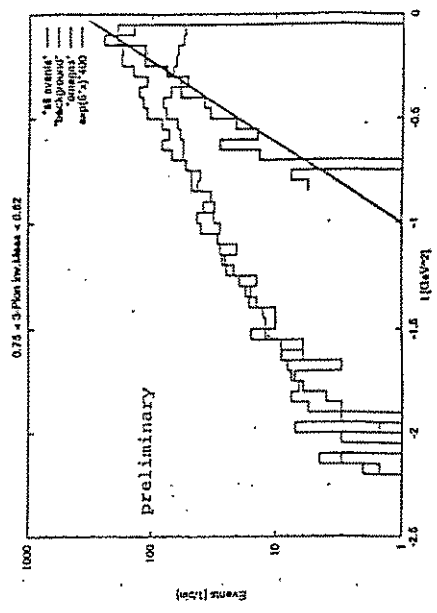
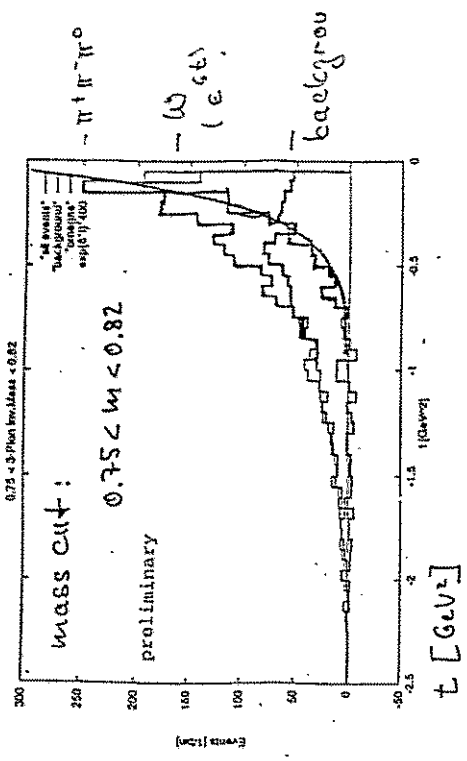


search for  $N^*$  with weak  $\pi N$  - coupling but  
stronger  $\gamma N, \omega N$  couplings  
N. Isgur et al.  $\rightarrow F_S(2000) \rightarrow \omega p$  dominant





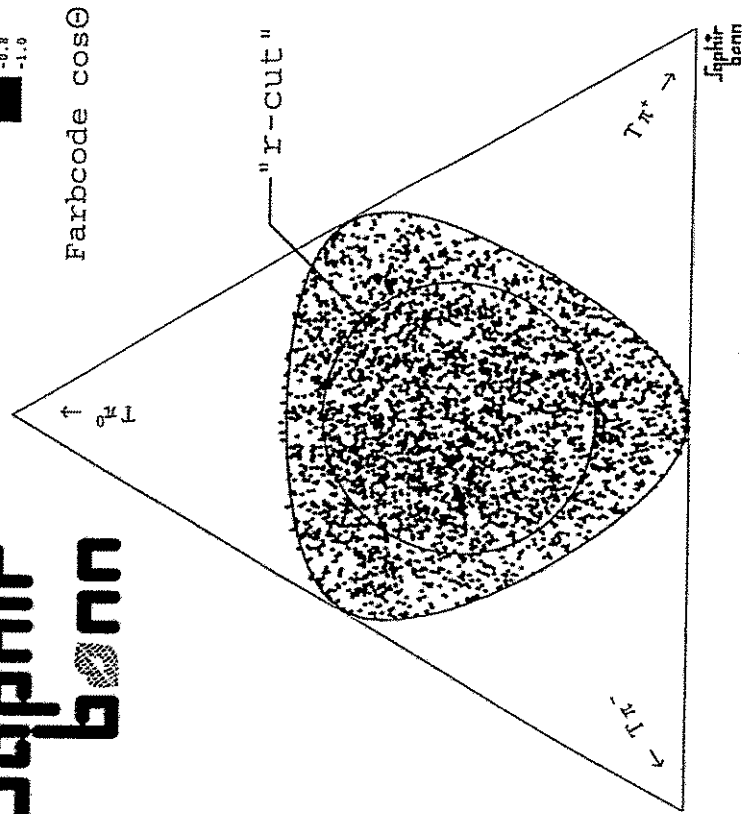
t-dependence for  $\gamma P \rightarrow \omega P$



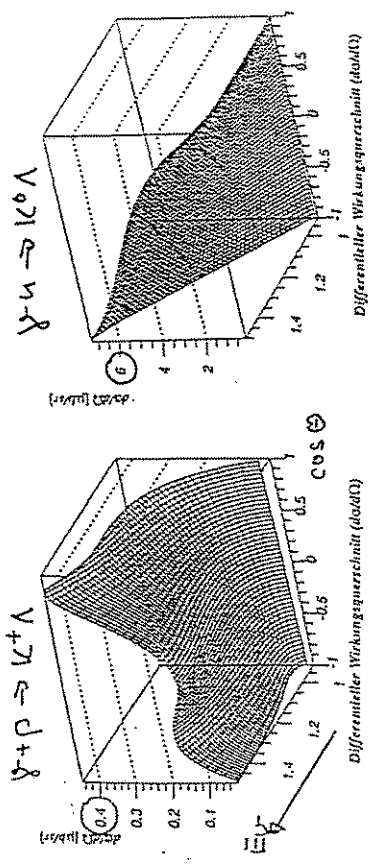
experimental difficulty: search for a resonance  
 at large -t, outside the diffractive region  
 evaluated data: 8.5k  $\pi^+ \pi^- \pi^0 \rightarrow 500 \omega$   
 on tape: 67k  $\rightarrow 4000 \omega$   
 $\rightarrow$  long term look

Dalitzplot  $\omega \rightarrow \pi^+ \pi^- \pi^0$

Massencut  $772.7 \text{ MeV} < m < 792.5 \text{ MeV}$   
 r-cut bei 0.6



**"Isobaric Problems"**



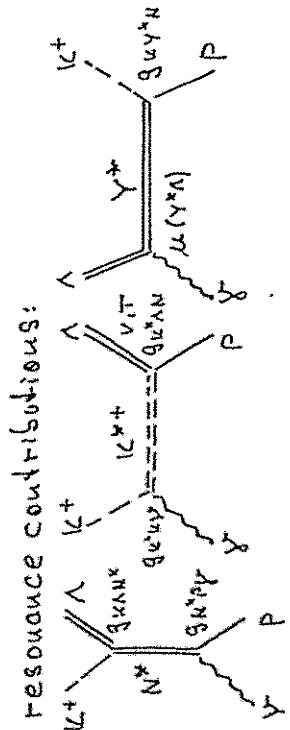
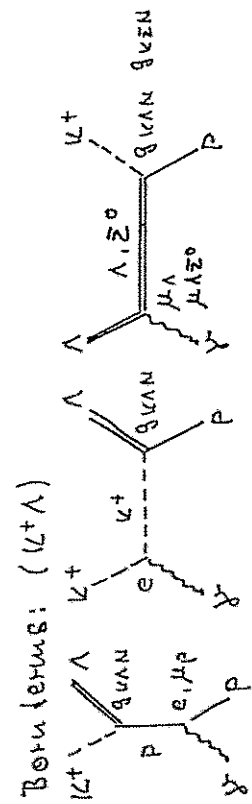
calculations with graphs and couplings from Adelseck-Saghai but similar with other isobaric models

isospin invariance: strong couplings ( $K^+ \Lambda$ )  $\rightarrow$  ( $K^0 \Lambda$ )  
 steep increase of the Born terms with  $E_{\gamma}$  from magnetic parts of Born amplitudes  $\rightarrow$  cancelling leads to unrealistic resonance amplitudes

$\gamma + p \rightarrow K^+ \Lambda, \dots, K^+ \Sigma^0$

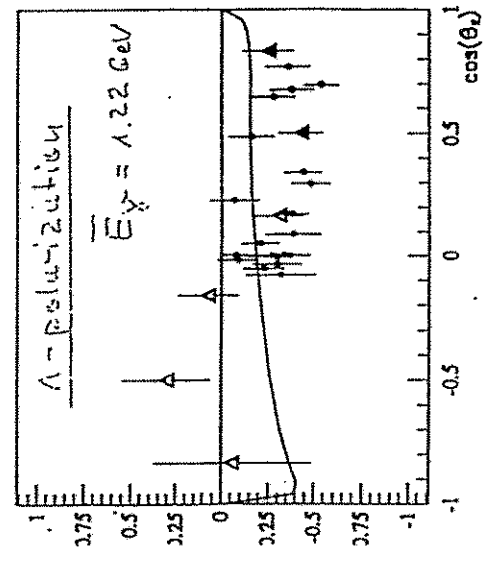
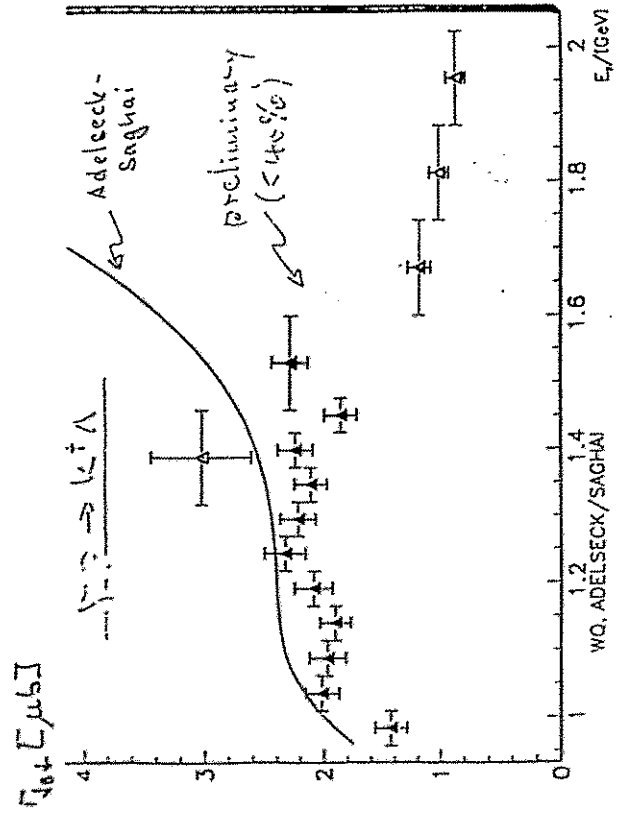
lowest lying heavy quark what is known about production mechanism?

**Isobaric models**



used diagrams: Born terms +  $K^{*+}$   
 + examples  
 Adelseck-Saghai  $\Lambda S-1$   $P_{11}(1440)$ ,  $\Lambda^*(1670)$ ,  $K_2(1280)$   
 $\Lambda S-2$   $P_{11}(1440)$ ,  $\Lambda^*(1405)$ ,  $K_2(1280)$   
 Mayer zu Höreke  $S_{11}(1656)$  or  $P_{11}(1650)$   
 s-resonance contributions small & ambiguous!  
 Probleme!

Comparison with our data



$\gamma + p \rightarrow K^+ \bar{Z}^0$

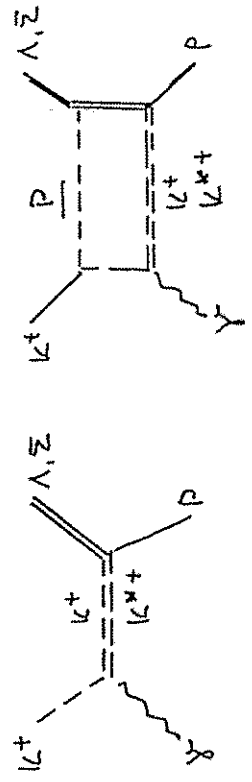
isobaric models: diagram contributions  
Born terms +  $K^{*+}$

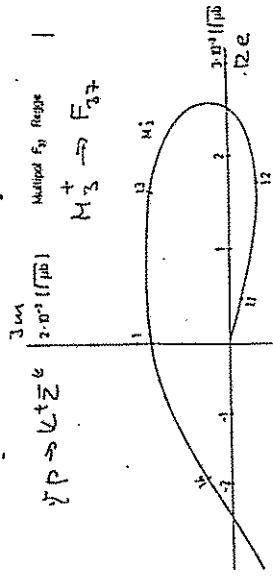
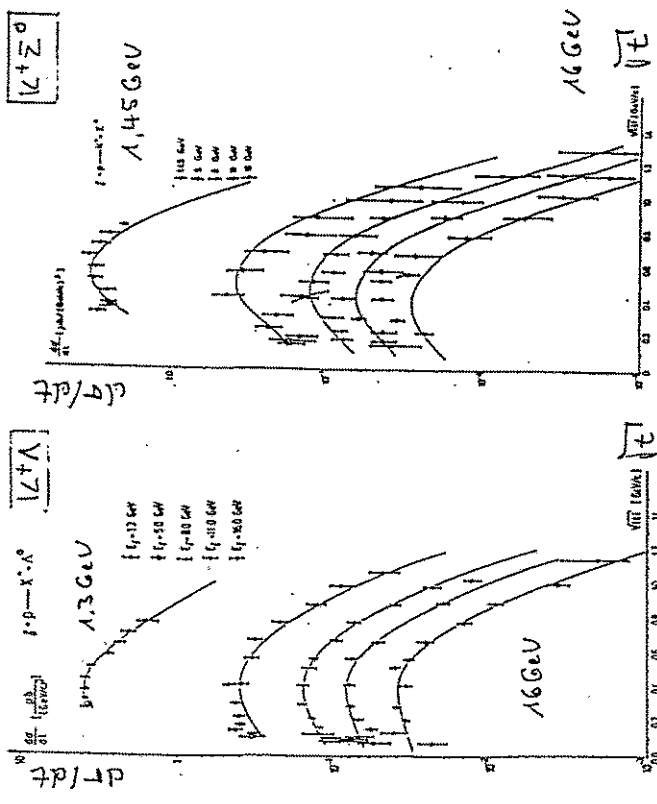
- C. Bennhold  $D_{33}$  (1700)
- T. Mart et al.  $S_{11}$  (1650),  $P_{11}$  (1710),  $S_{31}$  (1900),  $P_{31}$  (1910)
- B. A. W. Williams et al.  $S_{11}$  (1650),  $P_{11}$  (1710),  $S_{31}$  (1620),  $P_{31}$  (1910),  $\Lambda^*$  (1405),  $K_1$  (1280)
- V. Meyer zu Hildebrand  $F_{37}$  (1950)

→ model inherent problems (Born terms)  
for the reviewed fit: no polarization observations.  
since: first  $\bar{Z}^0$  polariz. data from SAPHIR

Regge fit model (U. Meyer zu Hildebrand)

fit for data  $\Lambda, \bar{Z}^0$  (1.45) - 16.6 eV for  $\gamma p \rightarrow K^+ \bar{Z}^0$   
Regge Pole contributions: Regge cut contributions?



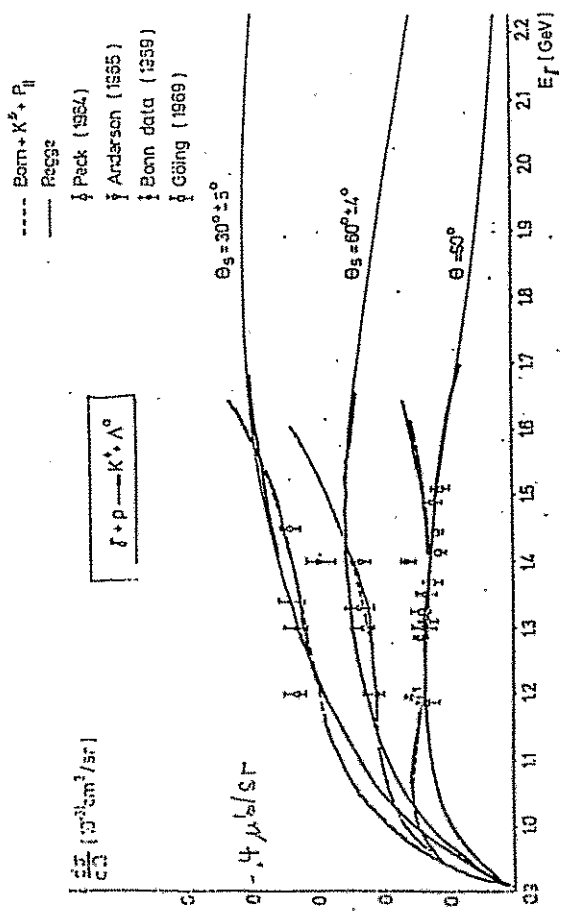


main results:

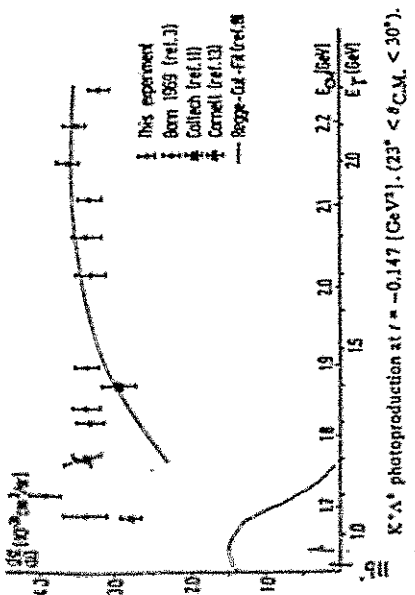
$K^+\Lambda$ :  $K^*\bar{P}$  cut dominant  $\rightarrow$  den. (Korn, Schmid)  $\rightarrow$  none or small resonance contributions

$K^+\Sigma^0$ :  $K^*\bar{P}$  - Pole +  $K^*\bar{P}$  cut have same order of magnitude  $\rightarrow$  s-channel resonance contributions

$M_2$  seen in the  $\Lambda$ -band diagram

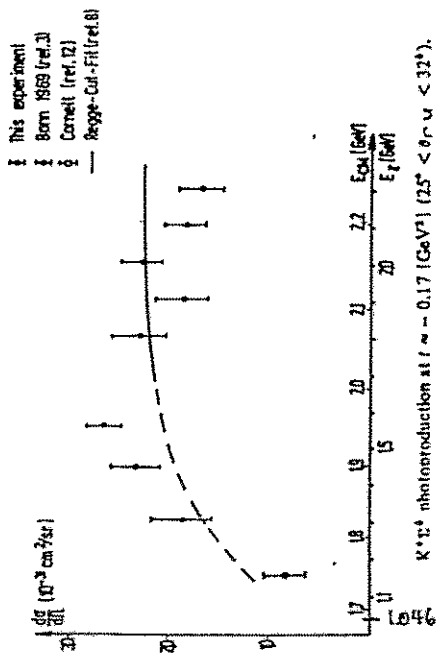


$\gamma p \rightarrow \nu^+ \Lambda$  at  $t = -0.147$

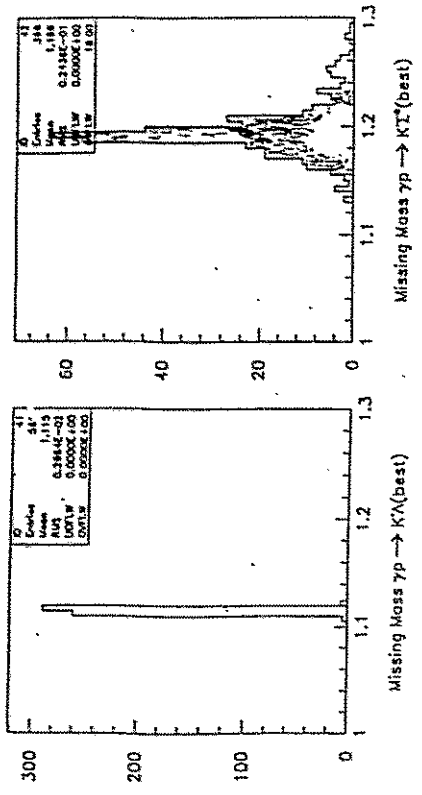


$K^* \Lambda^+$  photoproduction at  $t = -0.147$  (GeV<sup>2</sup>), ( $23^\circ < \theta_{CM} < 30^\circ$ ).

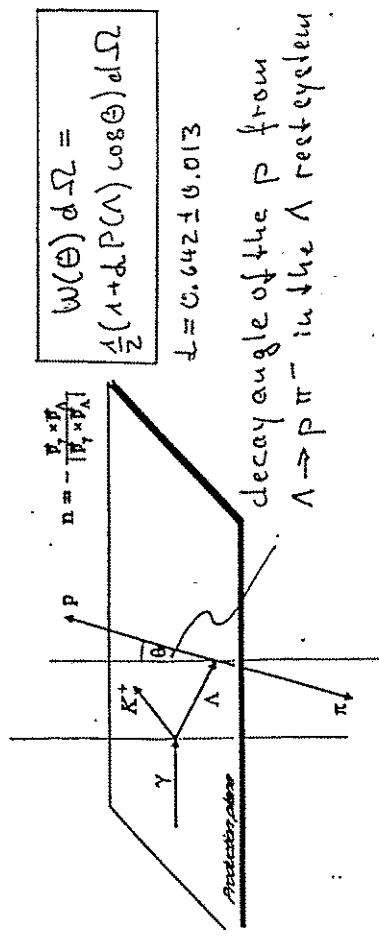
$\gamma p \rightarrow \nu^+ \Sigma^0$  at  $t = -0.17$



$K^* \Sigma^0$  photoproduction at  $t = -0.17$  (GeV<sup>2</sup>) ( $25^\circ < \theta_{CM} < 33^\circ$ ).



$\Lambda - \Sigma^0$  separation below 1.6 GeV



$$W(\theta) d\Omega = \frac{1}{2} (1 + d \cdot P(\Lambda) \cos \theta) d\Omega$$

$$d = 0.642 \pm 0.013$$

decay angle of the p from  $\Lambda \rightarrow p \pi^-$  in the  $\Lambda$  rest system

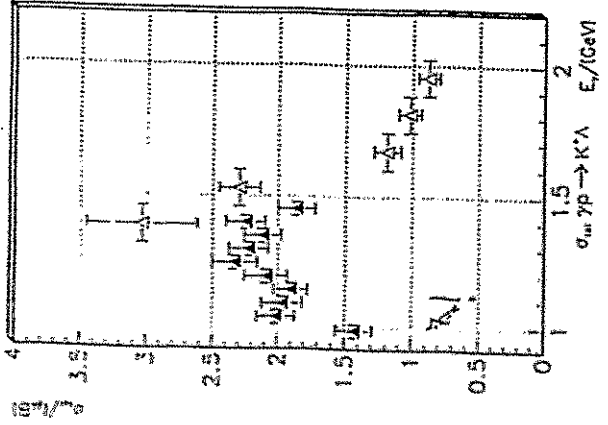
$\Sigma^0$  polarization:  $\Sigma^0 \rightarrow \Lambda \gamma$  (100%)

$$\vec{P}_\Lambda = -(\vec{P}_{\Sigma^0} \cdot \vec{u}_\Lambda) \vec{u}_\Lambda$$

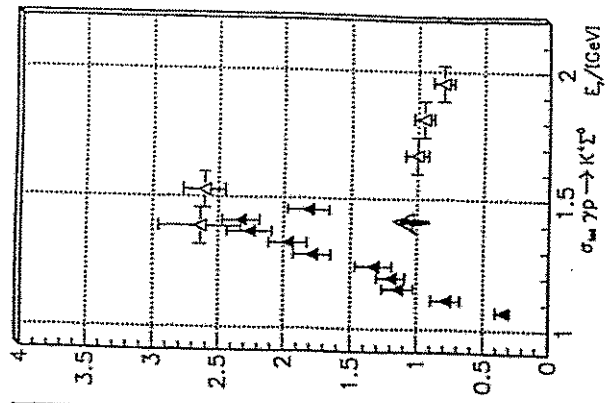
averaging over all  $\Lambda$  directions  $\rightarrow$

$$P_\Sigma = -3 P_\Lambda$$

NEW SAMPLES OBTAINED

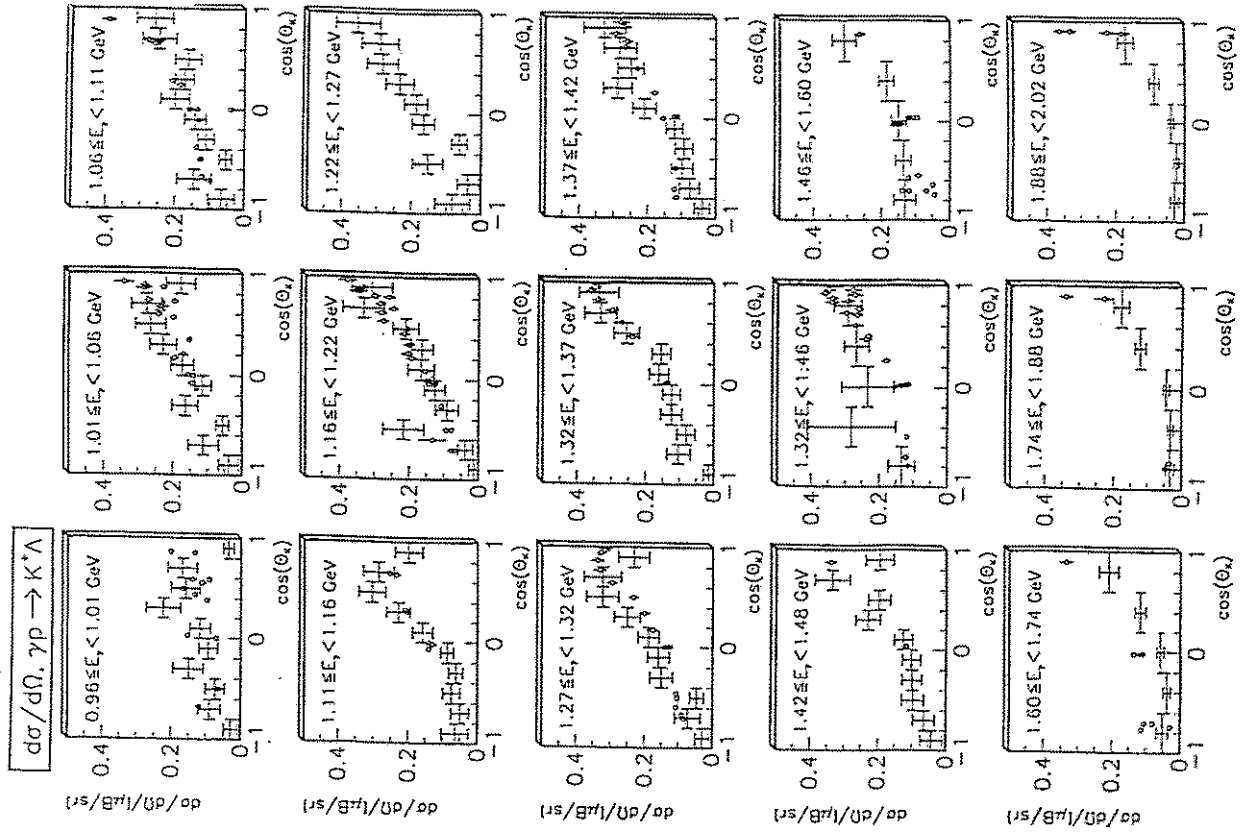


$\sigma_{tot} \text{ u.s. } E_\gamma$

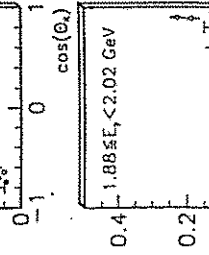
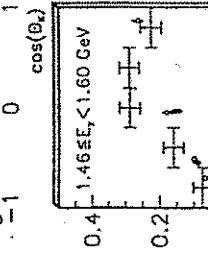
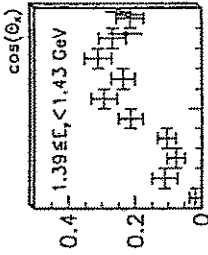
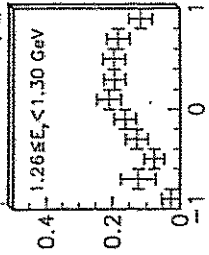
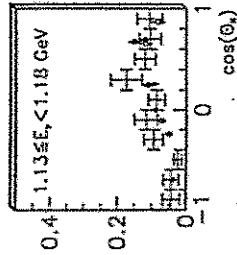
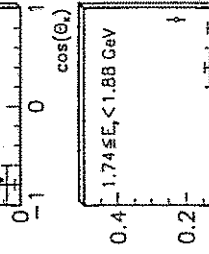
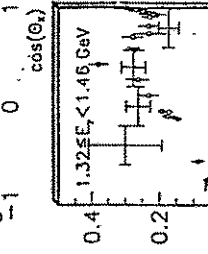
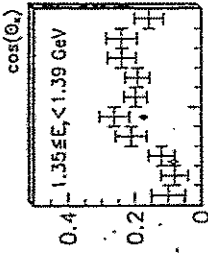
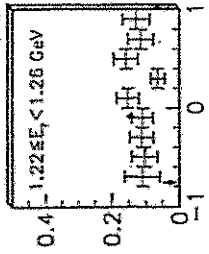
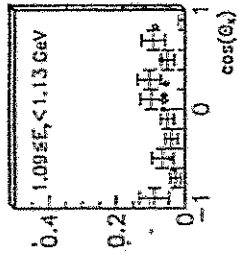
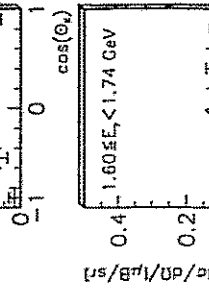
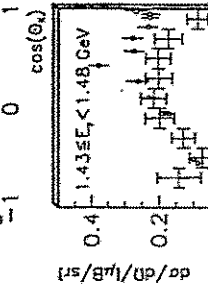
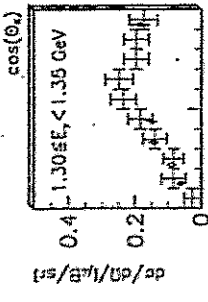
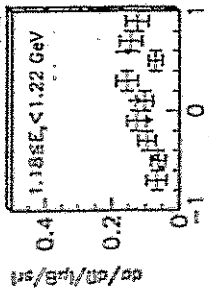
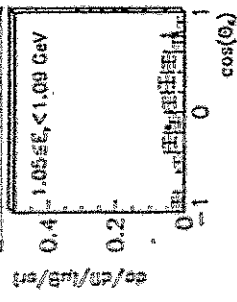


$\gamma p \rightarrow K^+ \lambda$

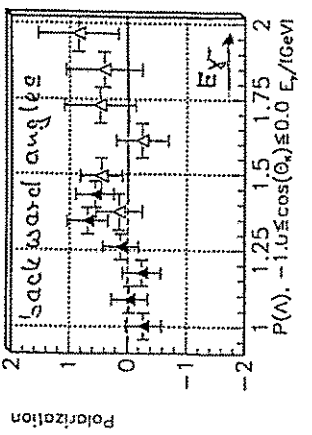
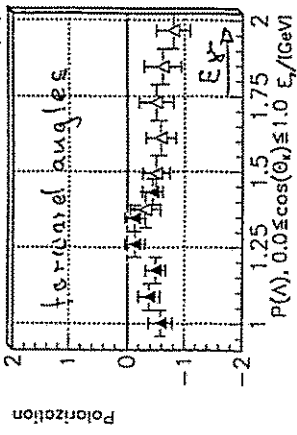
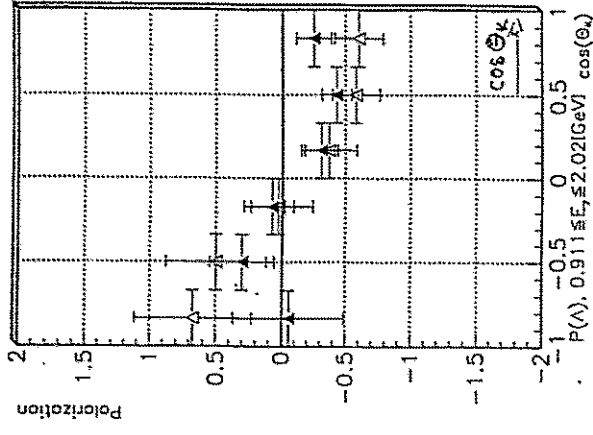
$\gamma p \rightarrow K^+ \Sigma$



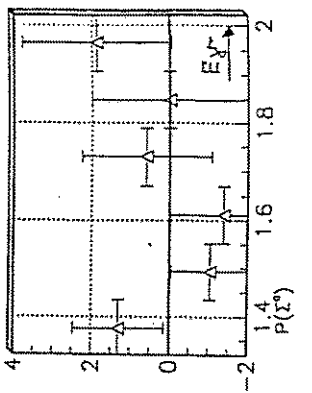
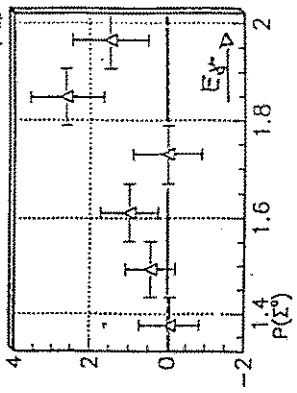
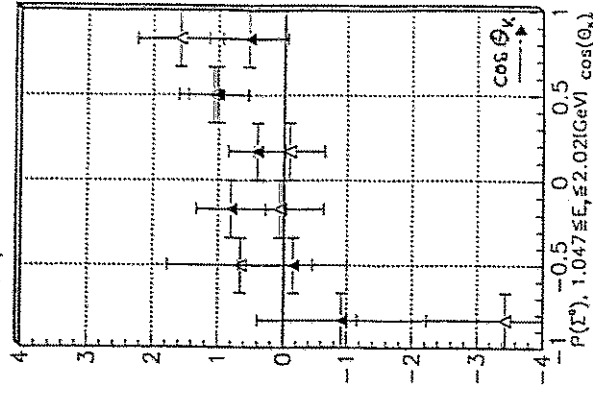
$d\sigma/d\Omega, \gamma p \rightarrow K^+ \Sigma^0$



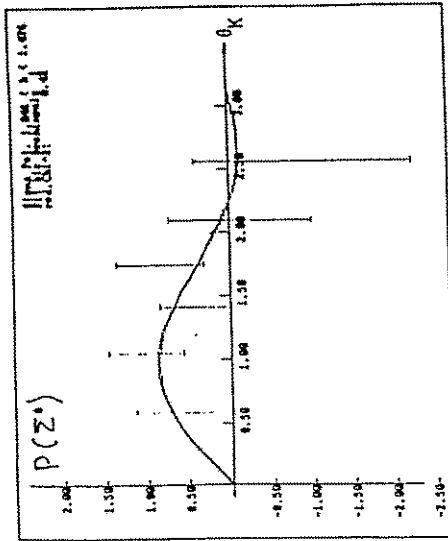
$\gamma p \rightarrow K^+ \Lambda^+$



$\gamma p \rightarrow K^+ \Sigma^0$



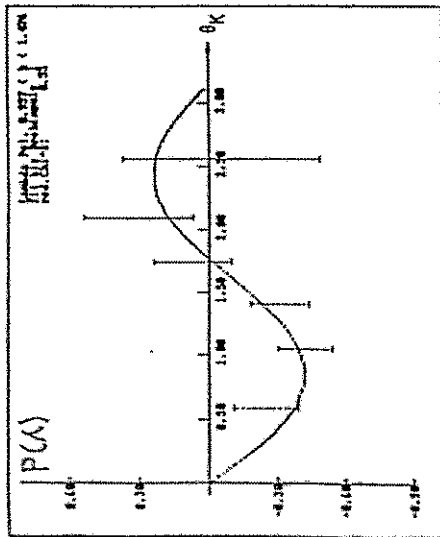
$\Sigma^0$  polarization u.s.  $\Theta_{\text{K}^+}$



$\bar{E}_\gamma = 1.26 \text{ GeV}$

$\Rightarrow$  opposite sign compared with  $P(\pi)$

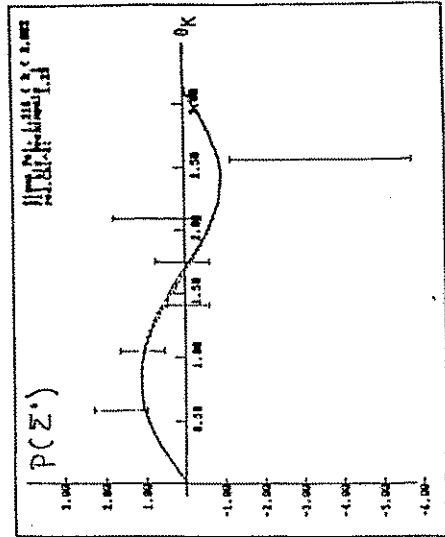
$\Lambda$  polarization u.s.  $\Theta_{\text{K}^+}$



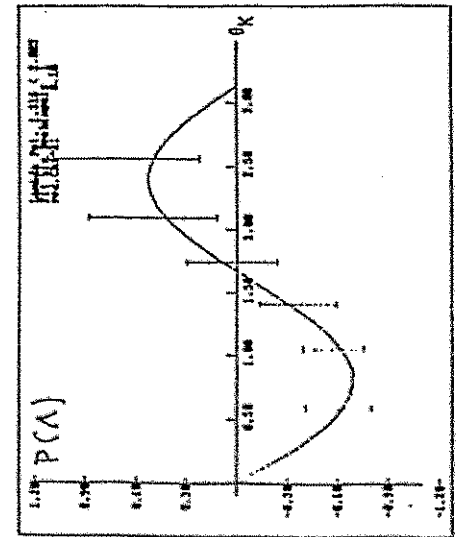
$\bar{E}_\gamma = 1.2 \text{ GeV}$

$\Rightarrow$  sign change close to  $\Theta_{\text{K}^+} = 90^\circ$

$\Rightarrow$  no strong energy dependence



$\bar{E}_\gamma = 1.67 \text{ GeV}$



$\bar{E}_\gamma = 1.67 \text{ GeV}$



Discussion and outlook

\* quark model  $\Rightarrow \Lambda \uparrow \uparrow = \sum_{\substack{u \\ d \\ s}} \uparrow \uparrow = \sum_{\substack{u \\ d \\ s}} \uparrow \uparrow = \uparrow \uparrow \uparrow \uparrow$

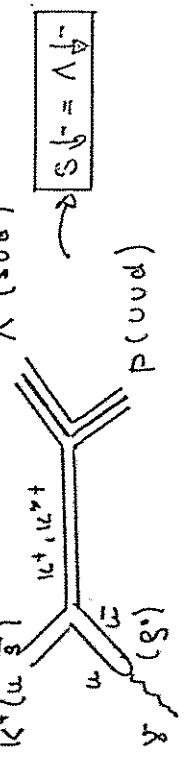
$\mu_{\Lambda} = \mu_s \quad \mu_{\Sigma^0} = \frac{2}{3}(\mu_u + \mu_d) - \frac{1}{3}\mu_s$

our  $\Lambda, \Sigma^0$  polarisation data  $\rightarrow$   
 $P(\Lambda), P(\Sigma^0)$  opposite sign  
 $\rightarrow$  essentially the same

production mechanism

\* possible (?) extent to quark-production, recombination  
 e.g. DeGrand, Hietinen [inclusive hadronic recomb.]  
 • accel. sea quark  $\rightarrow s \uparrow$   
 • accel. beam quark  $\rightarrow s \uparrow$

t-channel = forward  $\Lambda^+$  angles:  
 $K^+(u \bar{s}) \quad \Lambda(sud)$



same sign as in our measurements

necessary conclusions from \*, \*\*, :

- extension to measurement of heavier kaons and hyperons  $K^*(892), \Sigma(1385), \dots$
  - extension to  $\gamma p \rightarrow K^0 \Lambda^0$  e.g. with small t-channel contribution e.t.c.
- $\rightarrow$  find selection rules for consistent picture

Isobaric & Regge models

our  $\Lambda, \Sigma^0$  polarization measurements over the full angular range already introduce new and essential limits.

Isobaric models should try fit with the lowest possible number of s-channel resonances. Measurements of the other isospin channels and other polarization observables (under preparation) will improve the situation. Model independent phase analysis?

The Regge fit activities seem promising and should be continued.

\* very interesting:  $K^+ \Lambda$  threshold

Pion- und Eta-Produktion an polarisierten  
Protonen  
(ELSA)

W. Meyer  
Bonn

4. Oktober 1994

# ELSA - PHOENICS EXP.

•  $\chi P \rightarrow \pi^+ n$

Bonn-PT: K. H. Althoff, H. Dutz, R. Gehring,  
S. Geitz, D. Krämer, W. Meyer, R. Paulsen  
G. Reiderz, A. Thomas

Bonn-Phoenix: E. Anton, J. Attends, W. Beurlatz  
A. Bock, M. Bauer, K. Bichler,  
T. Dyroff, H. Gerander, K. Helbing,  
J. Hey, G. Nöldeke, S. Wartenberg,  
B. Zucht

•  $\chi P \rightarrow \eta p$

Bonn-Phoenix: G. Anton, M. Bauer, A. Bock,  
W. Beurlatz, K. Helbing, J. Hey,  
M. Pullmann, M. Rigney

Orsay : J. P. Didelez, P. Hoffmann-Rothe,  
E. Horvath, L. Rosier

Göttingen : M. Bruns, M. Schuhmacher,  
F. Smend, G. von Edel

- Einleitende Bemerkungen
- Pion photo production mit PHOENICS
- Pol. messung: Targetasymmetrie
- Eta photoproduktion mit PHOENICS
- Weitere Pol. messungen und Ausblick

## Phys. Fragestellungen bei mittleren Energien

1. Interne Freiheitsgrade von Hadronen?
  - Quark-Gluon-Dynamik im Confinement-Bereich
  - Anregungsspektren von Baryonen und Mesonen; Hadronzerfälle
2. Nukleon-Nukleon-Wechselwirkung
  - Einfluß des Freiheitsgrades des Nucleons

### ELEKTROMAGNETISCHE WECHSELWIRKUNGEN:

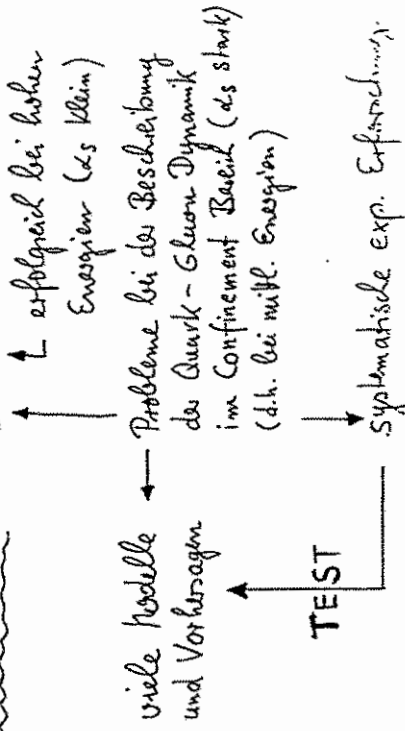
"One powerful way of experimentally investigating the strongly interacting particles (HADRONS) is to look on them to probe them with a known particle; in particular the photon (no other is known as well)" Feynman

### Neuerliches Interesse

Experimenteller Fortschritt: Neue Generation von Elektron-Gleichstrombeschleunigern bei mittleren Energien

FNLS (0.9 GeV)  
CEBAF (4.0 GeV)  
ELSA (3.5 GeV)  
MAMI (0.85 GeV)

## Theoretischer Fortschritt: QCD



1. Schritt: Wirkungsquerschnittsmessungen.

Aber: Mittelung über einzelne  
**SPINZUSTÄNDE**

# SPIN als 'INTRINSISCHE EIGENSCHAFT'

- Historisch:** SPIN war eine wesentliche Komplikation bei der Beschreibung von Naturgesetzen
- 1609: Kepler-Gesetze ..... Dreimpulserhaltung
- 1920's: Fehlschlag der Klass. Gesetze atomare Systeme zu beschreiben
- 1925: Pauli Prinzip ..... Spin/Statistik Gesetze
- 1925: Hypothese vom 'intrinsischen' SPIN ... Uhlenbeck + Goudsmit
- 1926: Thomas Präzession ..... Korrekte relativ. Berechnung
- 1928: Dirac Gleichung ..... elegante Formulierung  
( $i\hbar \gamma - mc$ )  $\psi = 0$  freies Spin  $\frac{1}{2}$  Teilchen

Linienanname des elektromagn. Feldes  $\Rightarrow$

Basis für QED

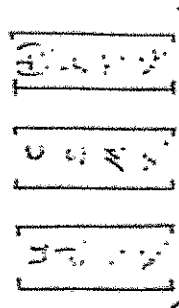
renormierbar  
oder klein } berechenbare THEORIE

Unübertroffene Erfolge von THEORIE + EXPERIMENT  
( $g^{-2}$ )<sub>e,m</sub> "

Heute ... STANDARD MODELL

1970's: 3 Familien von Quarks u. Leptonen.

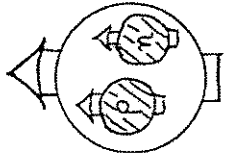
1980's: + 5 Vektorbosonen



( $\chi; g; W^\pm; Z^0$ )  
SPIN 1

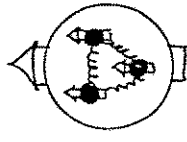
SPIN  $\frac{1}{2}$  - Fermionen

# ZUSAMMENGESETZTER SPIN



Kerne

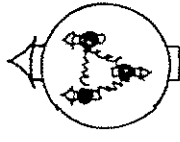
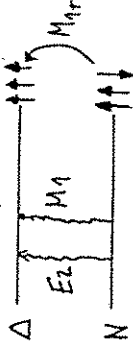
- Wechselwirkungsstärke ist spinabhängig!  
z.B. Neutron-Proton Kopplung  
zu  $S=1$  (Deuteron)  
kein Di-Proton; Di-Neutron



Nukleon

(Mittelenergie)

z.B. Baryon resonanz  $\Delta$



Nukleon

(Hochenergie)

$$S_z^{(N)} = \frac{1}{2} = \frac{1}{2} \sum_i (q_i \uparrow - q_i \downarrow) + (g \uparrow - g \downarrow) + L_z$$

(Dehimpulserhaltung)  
 $q_i$  - Impuls wert.

$\rightarrow$  Schlüsselexp. am CERN und SLAC:

Tiefinelastische polarisierte LEPTON-NUKLEON Streuung

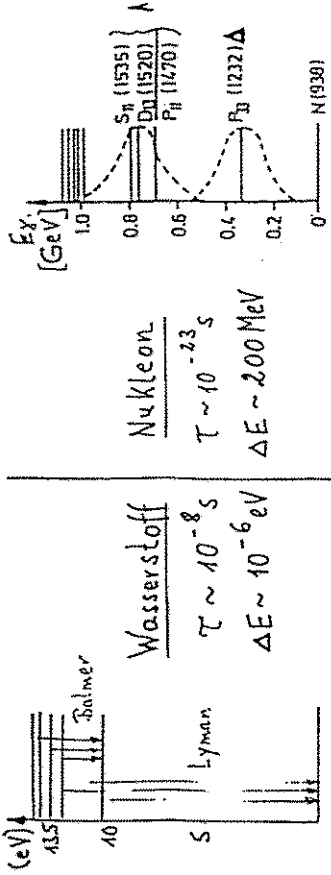
Untersuchung von Spineffekte  $\Rightarrow$

... d.h. mit verbesserten Polarisations-techniken

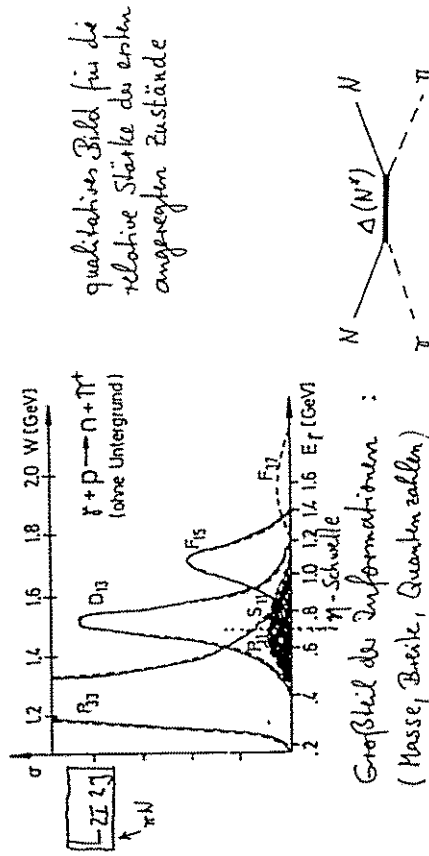
verbesserte und neue Experimente an den neuen und alten Beschleunigern

Interne Freiheitsgrade der HADRONEN

Möglicher Lösungsweg: Untersuchung von angeregten resonanten Zustände



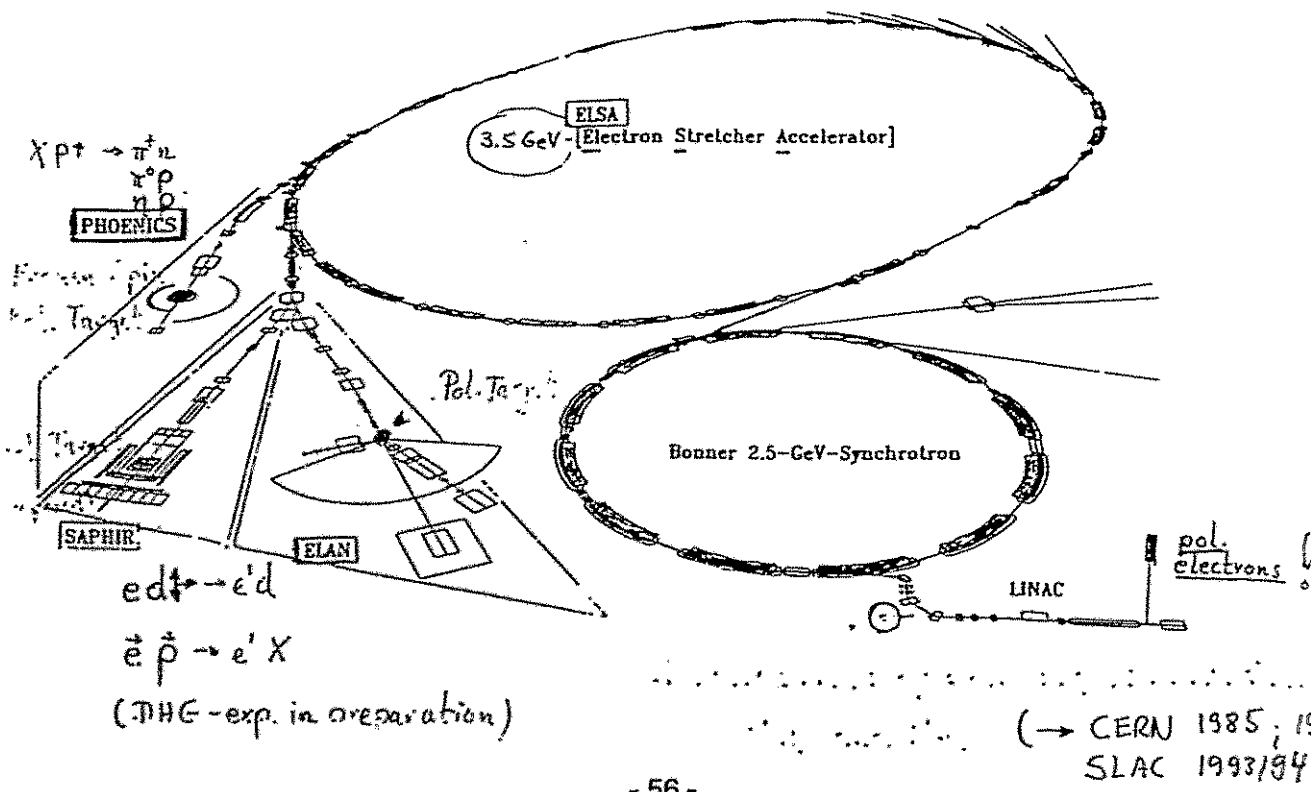
Problem: viele überlappende Resonanzen bzw. viele verschiedene Multipolbeiträge



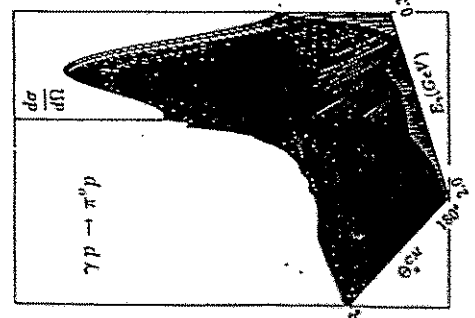
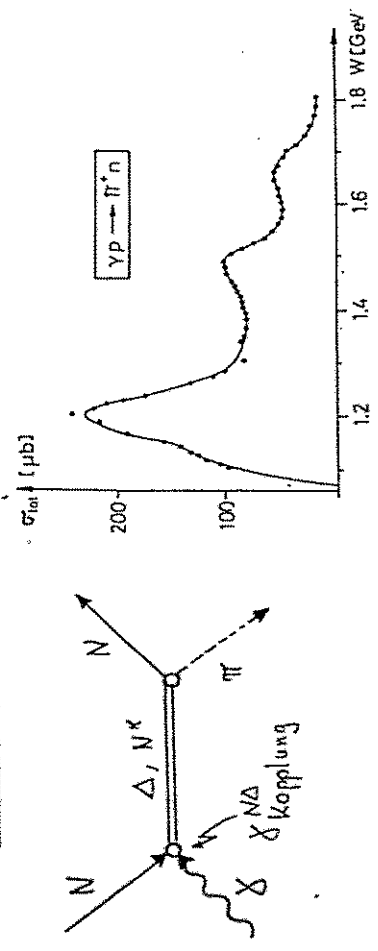
Elektromagnetische Eigenschaften der NUKLEON Resonanz (Radiation Decay)

ELSA (Bonn Univ.)

One topic - Polarizationexp



RESONANZ ANREGUNG des NUKLEONS



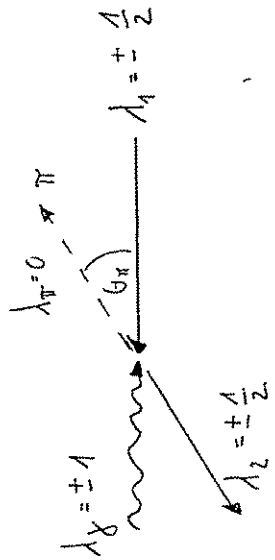
- $\gamma p \rightarrow \pi^+ p$
- $\gamma p \rightarrow \pi^+ n$
- $\gamma n \rightarrow \pi^+ p$
- $\gamma n \rightarrow \pi^+ n$

Res. deutlich sichtbar  
 Aber: unmöglich, schwach angeregte Resonanzen!  
 kleine Multiplamplituden aus  $\frac{d\sigma}{d\Omega}$  zu isolieren.

Strategie: Polarisationssensibile  
 verschiedene Reaktionskanäle

SPINABHÄNGIGKEIT des WC:

Theoretische Beschreibung im Helizitätsformalismus [ $\lambda = \frac{\vec{\sigma} \cdot \vec{p}}{|\vec{p}|}$ ]

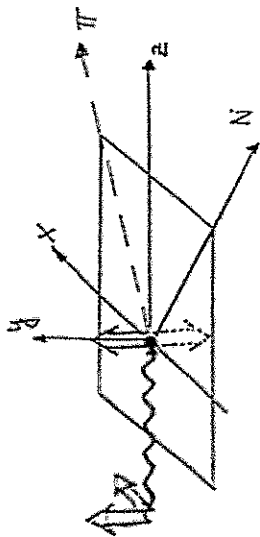


Helizitäts - Amplituden:  $A(\lambda_\gamma, \lambda_1, \lambda_2; k, \theta_\pi)$   
 $= H_i(k, \theta)$

PHOTOPRODUKTION: 4 unabh., kompl.  $H_1, \dots, H_4$   
 $\rightarrow$  7 unabh. Messungen  
 $\rightarrow \frac{d\sigma}{d\Omega} + 6$  Pol. Observablen

Daten  $\rightarrow$  Partialwellenanalyse  $\rightarrow \chi$ -Koppl.konstanten

# MESSGRÖSSEN



$$\frac{d\sigma}{d\Omega} \sim |H_1|^2 + |H_2|^2 + |H_3|^2 + |H_4|^2$$

$$\Sigma \sim \text{Re}(H_1 H_4^* - H_2 H_3^*)$$

$$T \sim \text{Im}(H_1 H_2^* + H_3 H_4^*)$$

Doppelpolarisation, z.B.  $\left. \begin{matrix} \text{Stahl } 45^\circ \\ \text{Target } P_z \end{matrix} \right\}$

$$\odot \sim -\text{Im}(H_1 H_4^* + H_2 H_3^*)$$

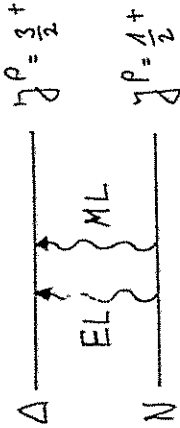
Multipolentw.:  $(L \leq 1)$

$$\text{z.B.: } H_1 = -\frac{1}{\sqrt{2}} \cos\theta [2E_0 - 2M_1 - 3E_{1+} - M_{1+} + 3\cos\theta (3E_{1+} + M_{1+})]$$

Polarisationsgrößen: Kohäre Sensitivität auf kleine

Multipolamplituden durch Interferenzterme

# ÜBUNGUNG N → Δ

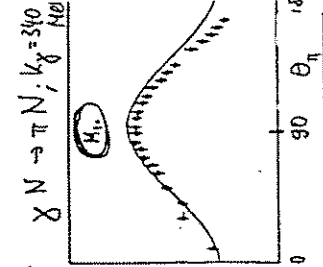


Paritäts- und Drehimpulsch.

$E_2, M_1$

$M_{1+}, E_{1+}$  mögliche Multipolamplituden

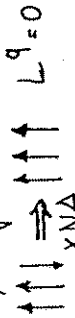
$$M_{1+} \text{ dominiert: } \frac{d\sigma}{d\Omega} \sim |M_{1+}|^2 (5 - 3\cos^2\theta)$$



$$EHR = \frac{E_{1+}}{M_{1+}} = ?$$

Theorie hidden interesse:

- SU(6)-sym. Quarkmodell:



$N(938) \Delta(1232)$   
 $S_N = \frac{1}{2} \quad S_\Delta = \frac{3}{2}$

QUARK SPIN FLIP  $\hat{=}$

magnetisches Dipolübergang  $M_{1+}$

$EMR = 0$ ; sphäris. Kod. verteilung

QCD-inspirierte Modelle: (z.B. Isom., Kart.+Korrig.)

- Deformation von  $N, \Delta$  durch  $q\bar{q}$ -Tensorkräfte

- d-Wellen-Bimischung ( $L^2=2$ ) in der Quarkwellenfunktion

$\Rightarrow EMR \neq 0; E_{1+} \neq 0$

Kleine Effekte < 1.5%  $\Rightarrow$  Polarisationsabmessungen

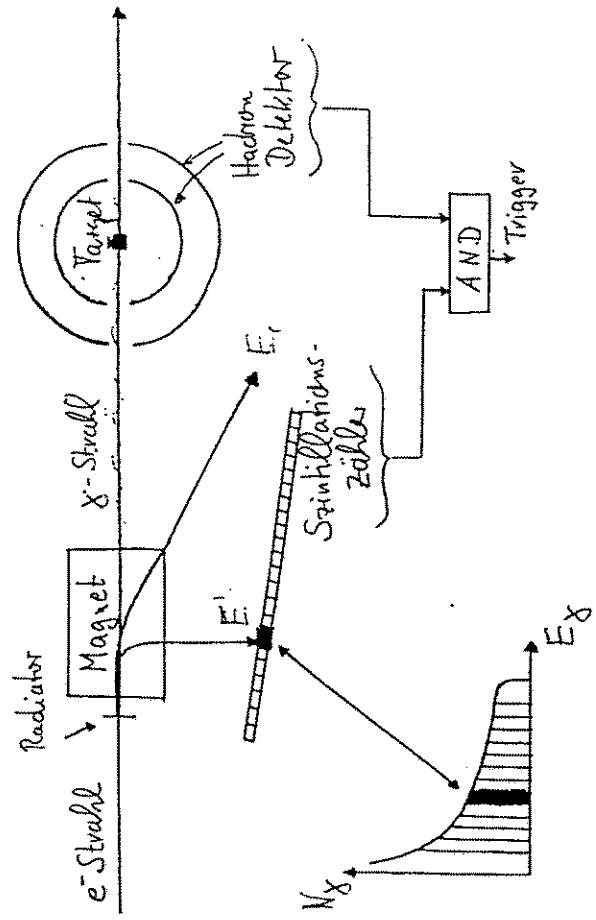
$\frac{d\sigma}{d\Omega}$  nicht sensitiv genug

Experiment muss verwendet werden:

PHENIX, ...



PHOTOREAKTIONSEXPERIMENTE MIT ENERGIE MARKIERTEM LEUCHTEN  
 Bremsstrahlung:  $e^- \rightarrow e^- \gamma$



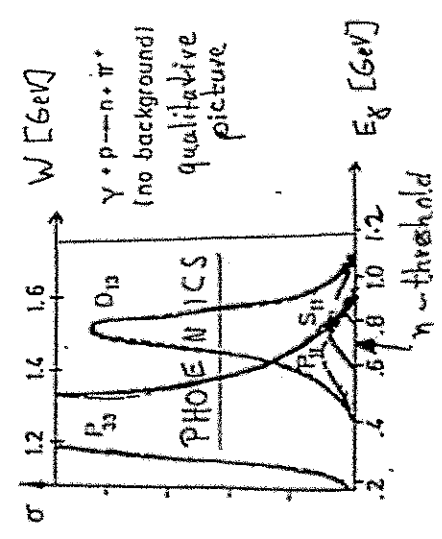
- Vorteile:
- genaue Photonenergiebestimmung  
 $E_\gamma = E_0 - E_1$ ;  $\Delta E_\gamma = 2 - 10 \text{ MeV}$   
 $E_\gamma \sim (0.2 - 1.15) E_0$
  - definierter Photonenfluss  
 $N_\gamma \sim 10^7 \cdot \text{d. sec}^{-1}$   
 Duty-Faktor des  $e^-$ -Strahls
  - ideale Kombination mit einem FREQUENZSTABILISIERTEM ZIEL

# PHOENICS

( Photon Experiments on Nuclei In Counter Set-up )

≡ tagged Photon facility with  $0.2 \text{ GeV} \leq E_\gamma \leq 1.15 \text{ GeV}$

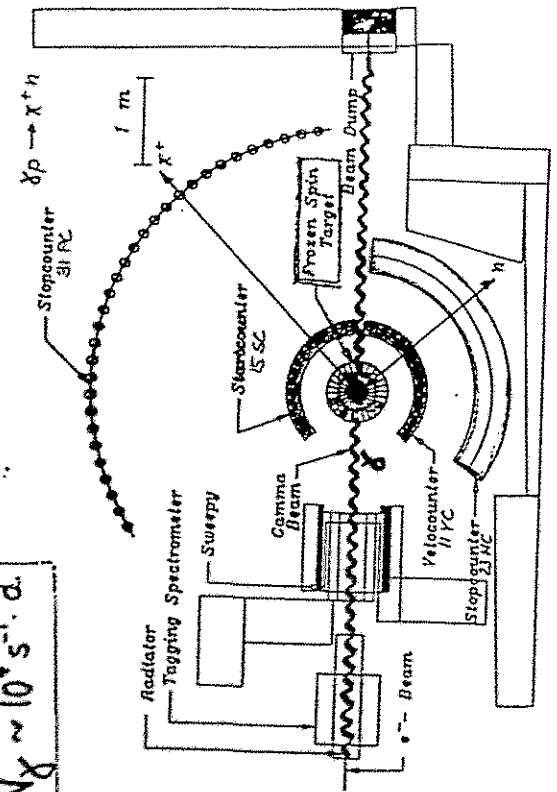
- |                                  |                   |                                      |
|----------------------------------|-------------------|--------------------------------------|
| • $\gamma p \rightarrow \pi^+ n$ | $d\sigma/d\Omega$ | new data.                            |
| • $\gamma p \rightarrow \pi^0 n$ | Targetasy.        | } data in evaluation<br>(some part.) |
| • $\gamma p \rightarrow \eta p$  | $d\sigma/d\Omega$ |                                      |
| • $\gamma n \rightarrow \eta n$  | $d\sigma/d\Omega$ | } in preparation                     |
| • $\gamma p \rightarrow \eta p$  | Targetasy.        |                                      |



ERGEBNISSE:  $\gamma p \rightarrow \pi^+ n$   
 $\frac{d\sigma}{d\Omega}$

PHOENIXS - Aufbau für PION - PHOTO PRODUKTION

$\dot{N}_\gamma \sim 10^7 \text{ s}^{-1} \text{ d.}$



- überdeckt einen großen kin. Bereich gleichzeitig ( $E_\gamma, \theta_\pi$ )
- 2 Teilchen Nachweis im Endzustand  
→ kinematische Überbestimmung

notwendig:  $E_\gamma, \theta_\pi$   
gemessen wird zusätzlich:  $\phi_\pi, \phi_n$   
 $\beta_\pi$   
 $\beta_n$   
 $\theta_n$

Kinematischer Bereich:  $E_\gamma = 200 - 950 \text{ MeV}$

$\theta_\pi^{\text{lab}} = 35^\circ - 135^\circ$

Bins:  $\Delta E_\gamma = 30 \text{ MeV}$  } 290 Datenpunkte  
 $\Delta \theta_\pi^{\text{lab}} = 10^\circ$

Leistungbeitrag:  $\leq 1\%$

Untergrundbeitrag: 1-4%

Fehler von  $E_n$ : 2.5-6.5%

Totaler systematischer Fehler: 4-8%

Typischer statistischer Fehler: 3-5%

Max. stat. Fehler: 35%

1. Schritt

# POLARIZED TARGET BONN

$P_{\frac{1}{2}} = \tanh \frac{\mu B}{kT}$

← high magn. field  
 ← low temperature

SINCE 1969  
 (K.H. Althoff  
 H. Benz)

today: 3 operating systems

magn. fields: 2.5, 3.5, 5.0 Tesla  
 temperatures: 1.0; 0.5; 0.2; 0.05 Kelvin

↑ He-refr. <sup>3</sup>He-refr. <sup>3</sup>He dil. ref.  
 target materials: alcohols; NH<sub>3</sub>; ND<sub>3</sub>; LiH; LiH-LiD; HD  
 BONN CERU (SLAC) PSI (SLAC) BONN  
 Studies started and planned

$P_p = 80-100\%$   
 $P_D = 30-50\%$

Experiments:

Bonn (2.3 GeV synchrotron)  
 Phoenix - ELSA  
 Phoenix - ELSA  
 DHG - Mainz/Bonn  
 Saphir - ELSA

→  $\gamma p \rightarrow \pi^+ n$   
 →  $\gamma n \rightarrow \pi^+ p$   
 →  $\gamma d \rightarrow p n$   
 →  $e d \rightarrow e' d$

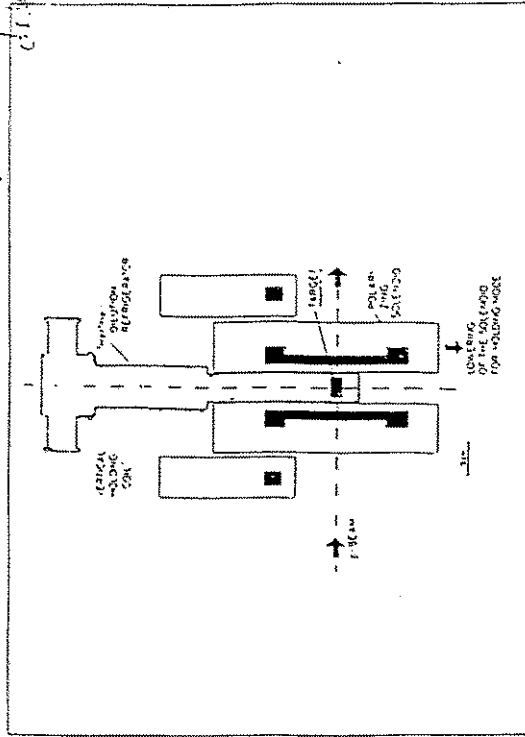
→  $\gamma p \rightarrow \pi^+ n$   
 →  $\gamma p \rightarrow \pi^0 p$

→  $\gamma p \rightarrow \eta p$   
 →  $\gamma p \rightarrow X$

→  $\gamma p \rightarrow K^+ \Lambda$   
 →  $\gamma p \rightarrow K^+ \Sigma$

in progress  
 planned

BONN-FROZEN-SPIN-TARGET at PHOENIX  
 ← decisive for large angle



Polarizing field	5 tesla
Holding field	0.35 tesla
Target temperature	≤ 60 mK
Target material	butanol (C <sub>4</sub> H <sub>9</sub> OH)
maximum polarization $P_{max}$	~ 92%
relaxation time $\tau_n$ ( $T_1 \approx 60mK$ )	120 h
averaged polarization (24 hour cycle)	84%

Table 2: Characteristics of the Bonn Frozen Spin Target

POLARIZATION OBSERV.

TARGET ASYMMETRY :  $T = \frac{N\uparrow - N\downarrow}{N\uparrow + N\downarrow}$

EXPERIMENT : counting rate asymmetry  $\epsilon$

$$\epsilon = \frac{N\uparrow - N\downarrow}{N\uparrow + N\downarrow} = \frac{N_{pol\uparrow} - N_{pol\downarrow}}{(N_{pol\uparrow} + N_{pol\downarrow}) + 2N_B}$$

$$\Rightarrow T = \frac{1}{\rho} \cdot \frac{1}{K} \cdot \epsilon$$

$$\frac{1}{K} = \frac{N_{nuclei}}{N_{pol\uparrow} + N_{pol\downarrow}} + \frac{H_0}{C_4 H_{10} O}$$

$\rho$  = Nucleon Pol.

in the past:  $N_{pol\uparrow} + N_{pol\downarrow} = 2 N_{unpol.} = N(C_4H_{10}) - N(C)$

$$\frac{1}{K} (E_1, \theta) \approx 3 \dots 5$$

PHOENIX now: kinematical over determination  $\frac{1}{K} (E_1, \theta) \approx 1$

OUR EXPERIMENT  $\frac{1}{K} (E_1, \theta) \approx 1.1 \dots 1.2$

$$\Delta T \approx \frac{1}{\rho^2} \cdot \frac{1}{K^2} \cdot \frac{1}{\sqrt{N_{pol\uparrow} + N_{pol\downarrow}}} \Rightarrow \text{with 2500 Events } \Delta T \approx 3\% \text{ (statistical error)}$$

$$T = \frac{N\uparrow - N\downarrow}{N\uparrow + N\downarrow} = \frac{1}{\rho} \cdot \frac{1}{K} \cdot \frac{N\uparrow - N\downarrow}{N\uparrow + N\downarrow}$$

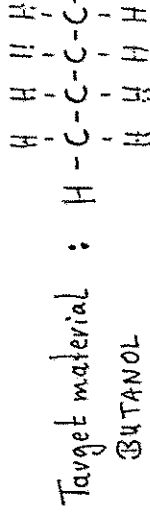
for fixed  $\Delta T \rightarrow$

$\rho$  = proton pol. = 0.85

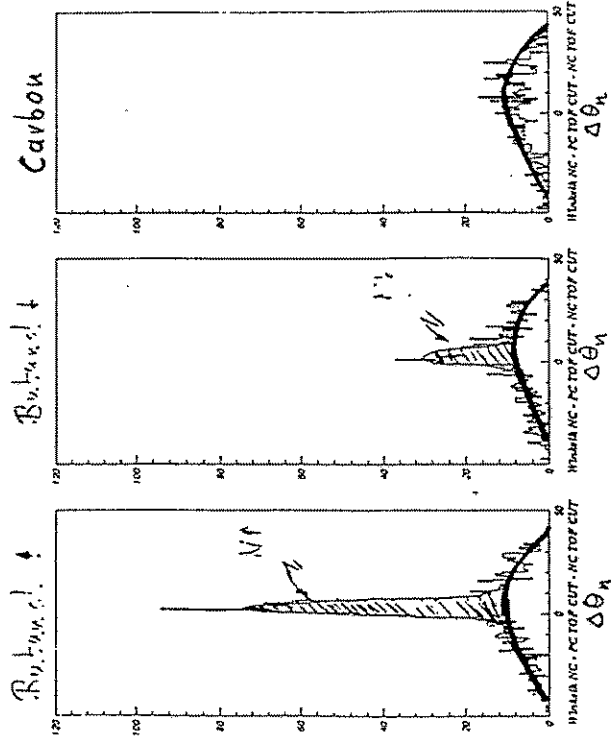
$K$  = dilution factor = 0.9

$N_{pol}$  = counting rate

measuring time  $\propto \frac{1}{\rho^2 \cdot K^2}$



On line example :  $E_\gamma = 300 \text{ MeV}$ ,  $t = 20 \text{ min}$  each



Doktorarbeiten:  
H. Dutz  
D. Kraus  
J. Zucht

ERGEBNISSE:  $\chi p \rightarrow \pi^+ n$

Targetasymmetrie  $T = \frac{\sigma^+ - \sigma^-}{\sigma^+ + \sigma^-}$

Kinematischer Bereich:  $E_x = 215 - 850 \text{ MeV}$   
 $\theta_{cm} = 35^\circ - 135^\circ$

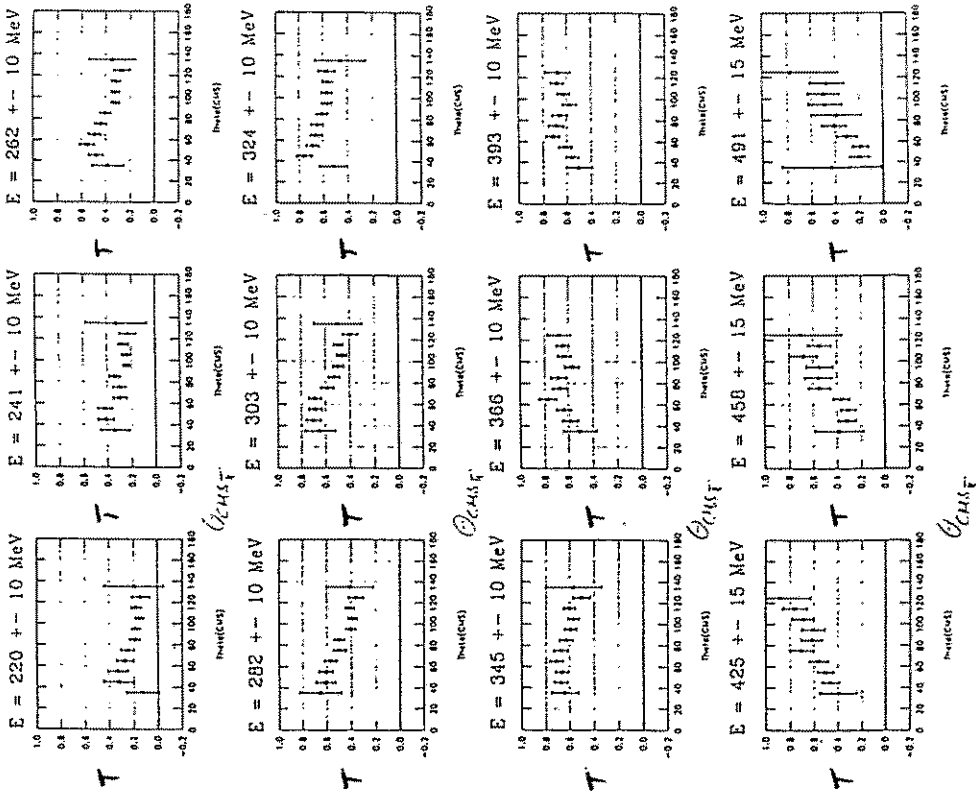
Bins:  $\Delta E_x = \pm 20 \text{ MeV}$  } 216 Datenpunkte  
 $\Delta \theta_{cm} = \pm 5^\circ$

Syst. Fehler: 3%

Syst. + stat. Fehler (Datenpunkte): 4% - 15%

2. Schritt

Results: angular distribution  $\pi^+$ -production  
 $220 \leq E_T \leq 491 \text{ MeV}$

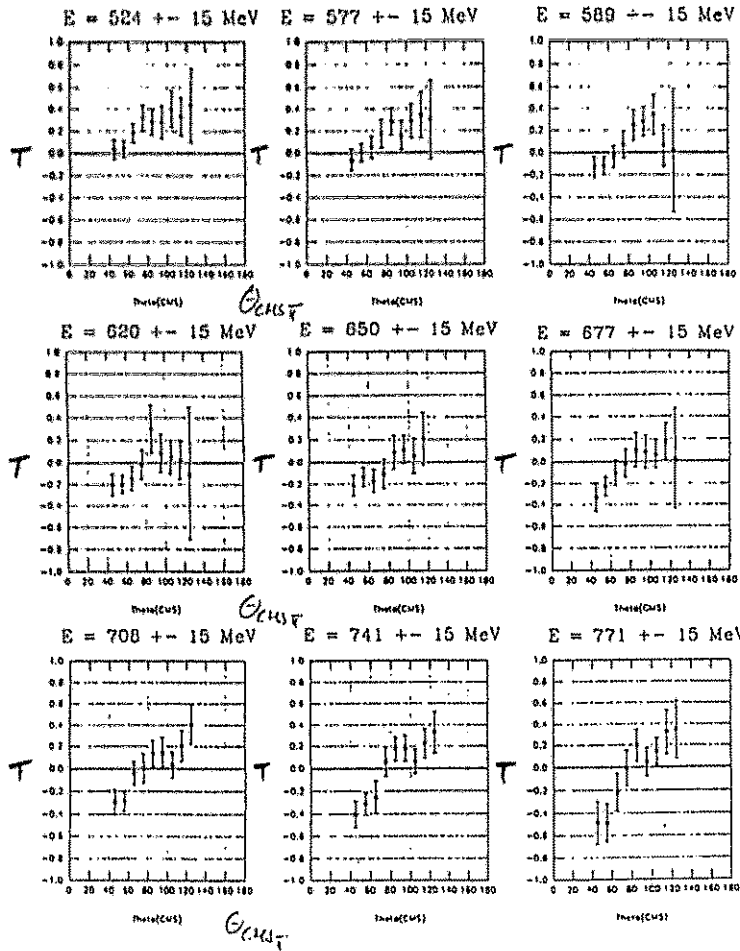


at data:  $\Sigma = 3150$  data points

error bars included statistic and systematic error  
systematic error  $\Rightarrow$  only AP = 3%

Results: angular distribution  $\pi^+$ -production

$524 \leq E_x \leq 800 \text{ MeV}$



$\pi^+ \pi^+ + \pi^+ \pi^-$  U1

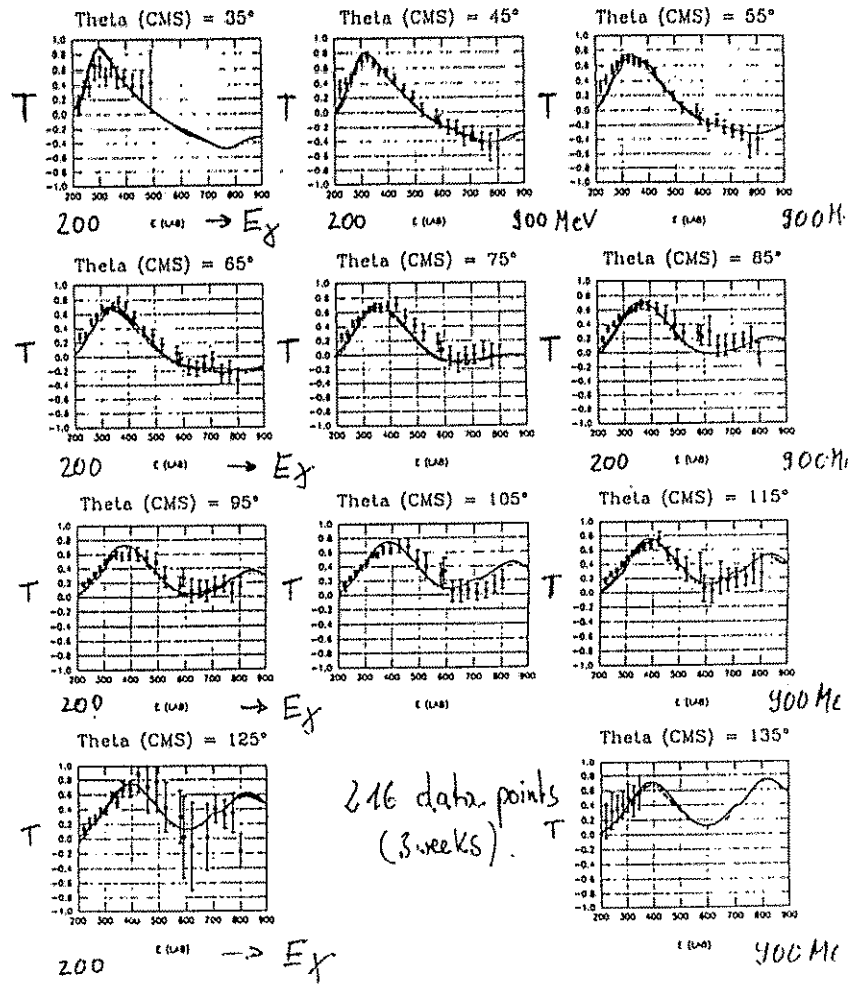
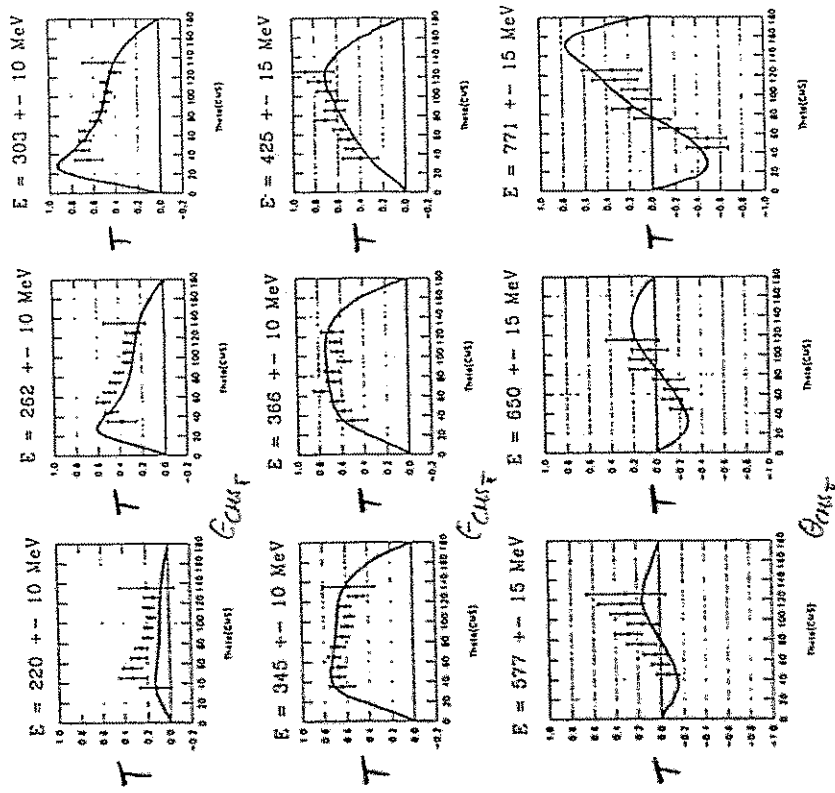


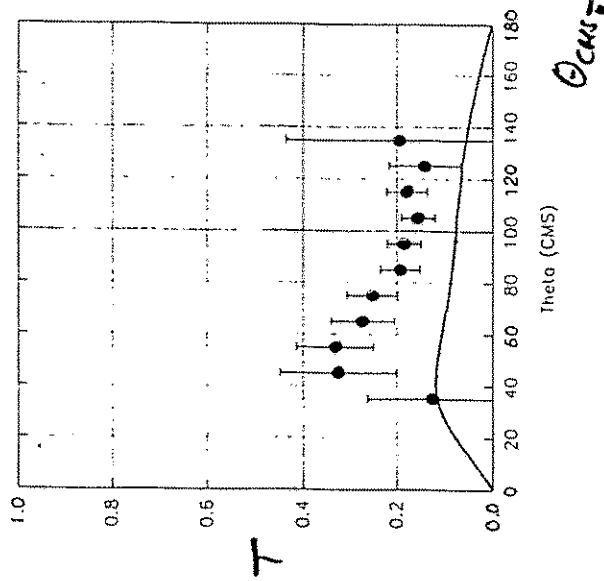
Abbildung 6.11: Vergleich der Targetasymmetriedaten mit theoretischen Analysen. T in Abhängigkeit von  $E_x$  im CM-System. o: unsere Messung. Durchgezogene Linie: [8]

Arndt et al. PWA 89 (1996)

Angular distribution  $\pi^+$ -production



220 +- 10 MeV



$$T(\theta) = \frac{|q|}{|k|} \frac{1}{d\sigma/d\Omega} \sin \theta (a + b \cos \theta)$$

$$a = \text{Im} (E_0^3 (M_{\pi^+}^* - E_{\pi^+}^*))$$

$$b = 3 \text{Im} (-(M_{\pi^+}^* - E_{\pi^+}^*) M_{\pi^+} + 4 M_{\pi^+}^* E_{\pi^+})$$

— : Arndt et al., Phys. Rev. C42 (1990) 1853  
I. Strakovsky, (1994)

Ausblick: weitere Messungen

Beam asymmetrie  $\Sigma$  (Main)  $L(\frac{\pi}{2}, 0)$  Strahl Target

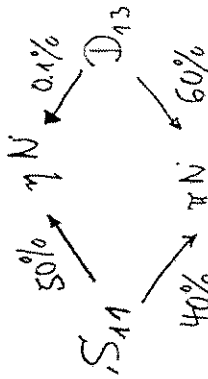
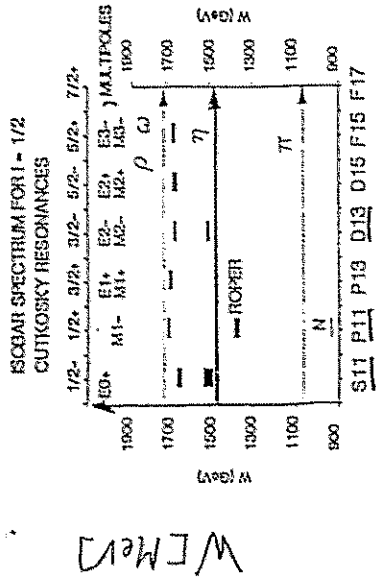
Doppelpolarisation  
 $L \rightarrow \Sigma; T; P \quad L(\frac{\pi}{2}, 0) \quad Y$   
 $G; H; \quad L(\pm \frac{\pi}{4}) \quad Z; X$   
 $E; F \quad C \quad Z; X$   
 RWV-MAN  $\rightarrow$  E; F C Z; X  
 GDI-coll.

Strategie 2:  
 verschiedene Reaktionskanäle  
 $\rightarrow S_{11}(1535)$   
 $\gamma p \rightarrow \eta p$   
 $\gamma d \rightarrow \eta(p)$   
 $\gamma n \rightarrow \eta(p)$   
 $\gamma d \rightarrow \eta d$

Targetasymmetrie  $\gamma p \rightarrow \eta p$   
 Kern 1994.

$\eta$  - Produktion: Why:

selective.  $\eta: I=0 \Rightarrow$  only  $I=\frac{1}{2}$  - resonances

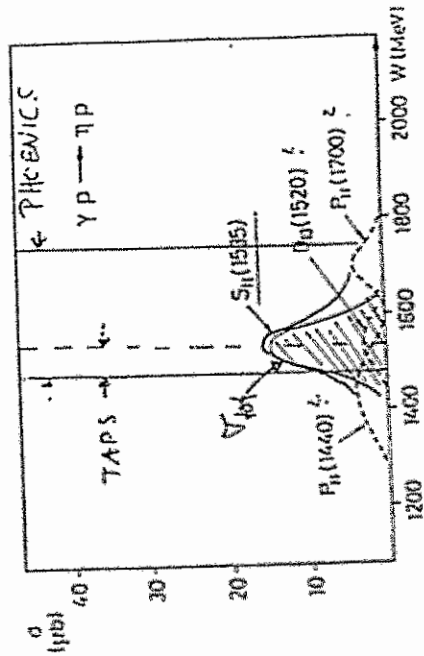
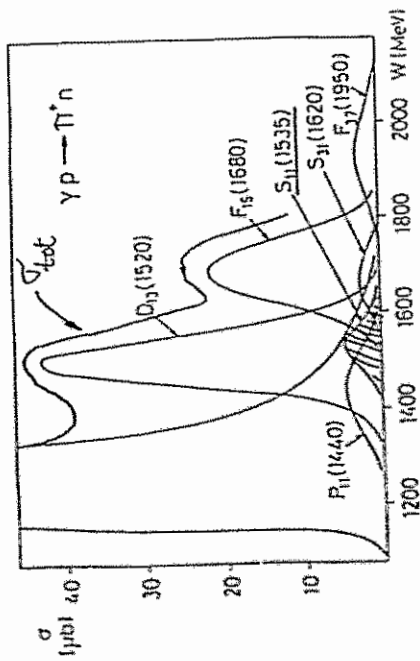


Study of 'small' resonances  
 $\rightarrow$   $S_{11}$  dominant at the threshold

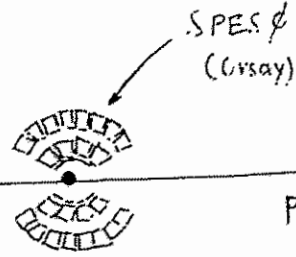
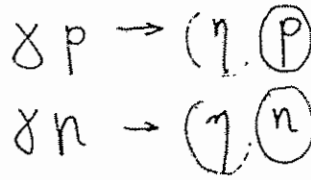
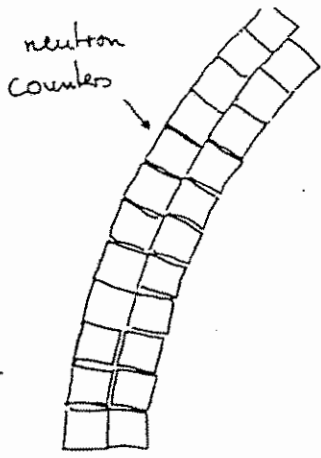
tests of quark model



Resonance excitation at  $\left\{ \begin{array}{l} \delta N \rightarrow \pi N \\ \delta N \rightarrow \eta N \end{array} \right.$



$\delta N \rightarrow \eta N$  : strong resonance for  $S_{11}(1535)$



tagged photon beam

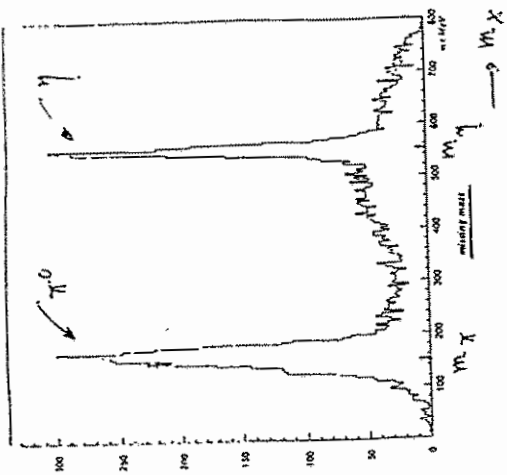


proton counters

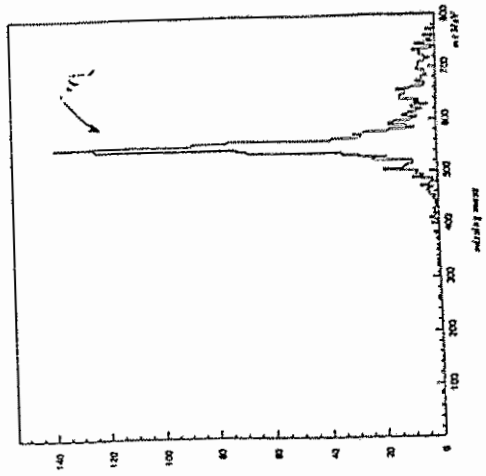
PHONICS

MISSING

$\delta p \rightarrow \rho \lambda$   
reconstructed.

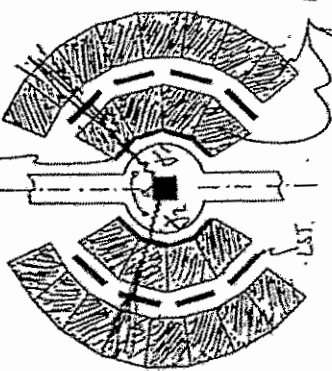


after cut  
on  $\eta \rightarrow \delta \lambda$   
in SPES  $\rho$

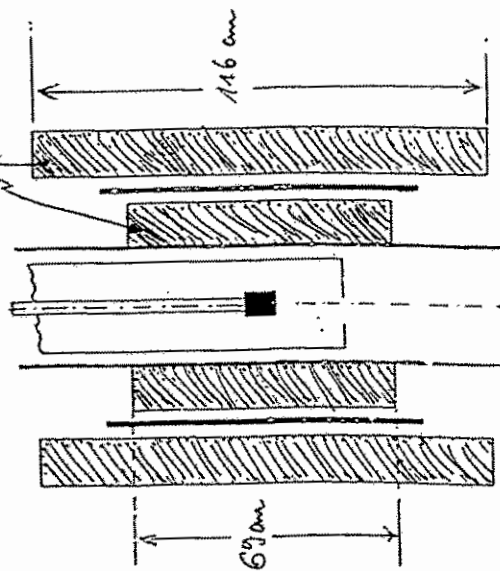


$\rightarrow Mx$

veba counter



Lead glass bars

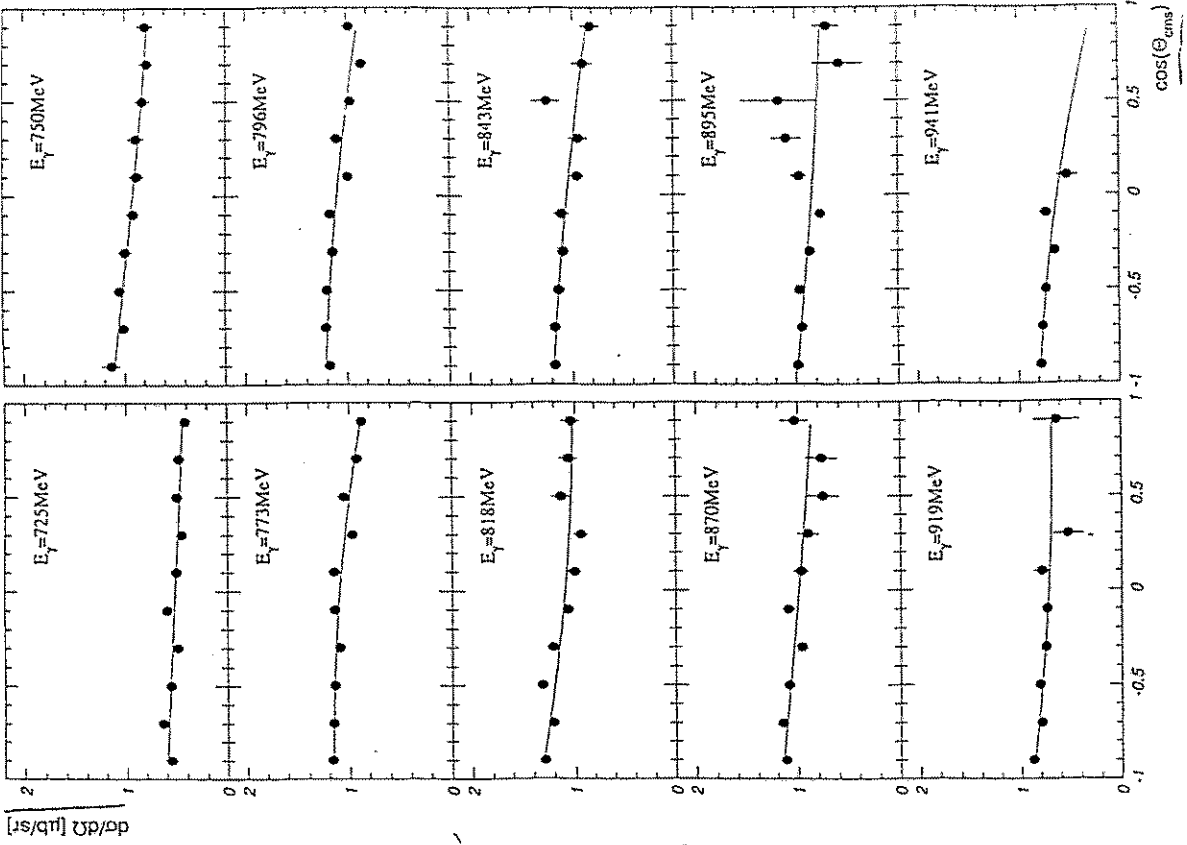


veba counter

SPES  $\rho$  - detector

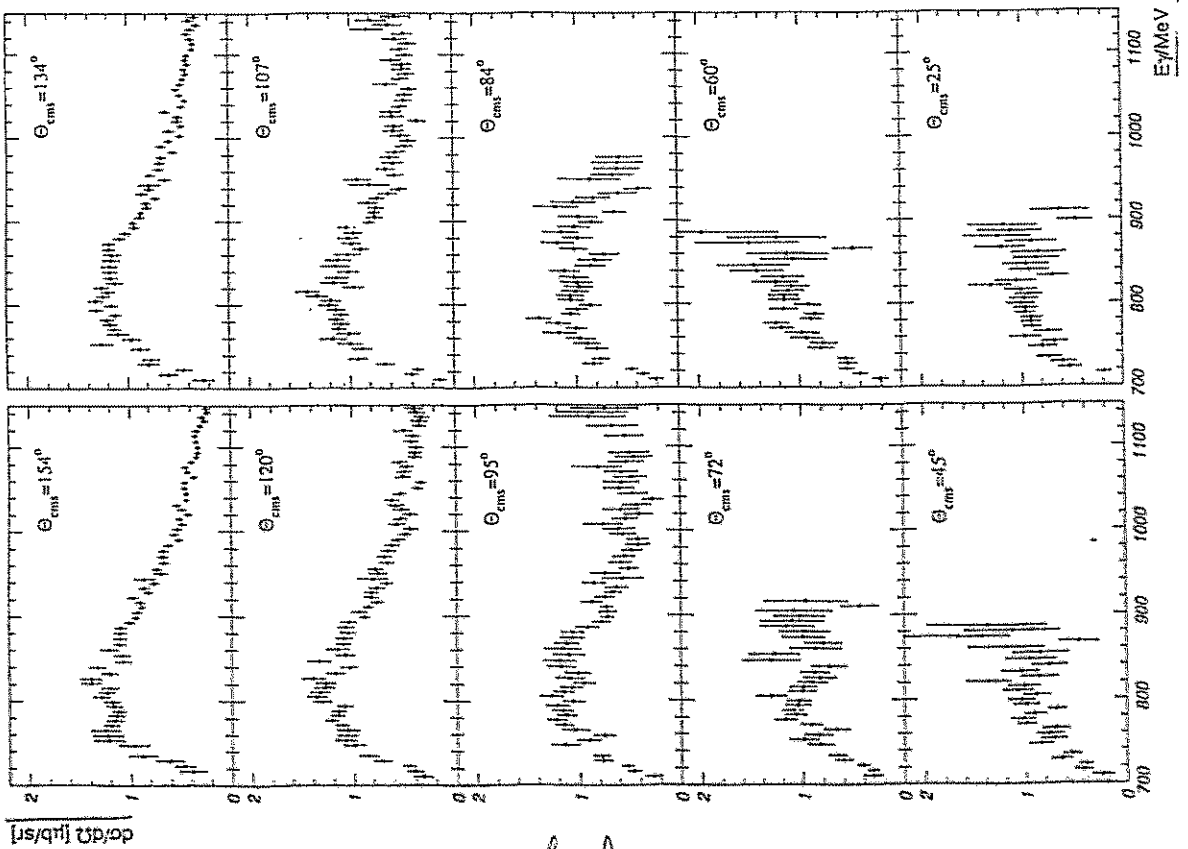
acceptance  
 $\Delta \Omega = 2\pi$  sr

$\Delta p \rightarrow \eta p$  (preliminary)  
 30% aller Daten



Winkelverteilung

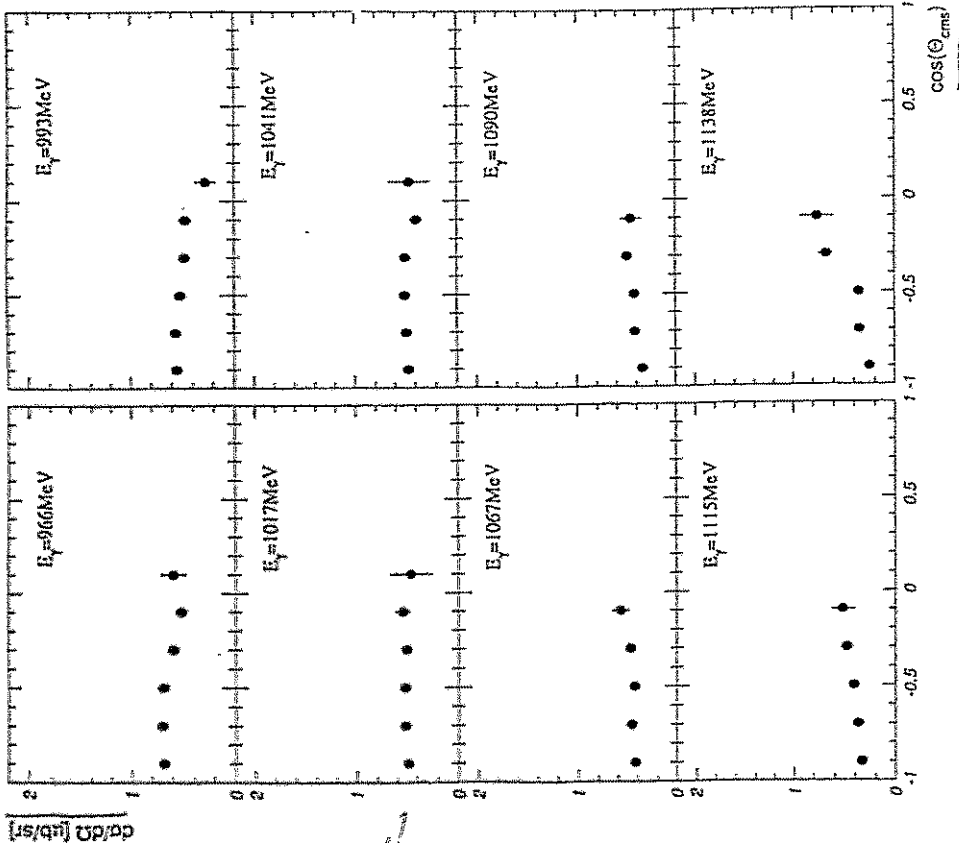
$\Delta p \rightarrow \eta p$  (preliminary)  
 30% aller Daten



Energieverteilung

$\gamma p \rightarrow \gamma p$  (Vormang) (30% alle Daten) [Ovsay]

What ISOSPIN  $I = \frac{1}{2}$  Resonances are involved?



$S_{11}$  decays mainly in  $\eta N$  with angular momentum  $l=0$

↑ excited by an electrical dipole  $E_{0+}$

$P_{11}$  ← excited by an magnetic dipole  $M_{1-}$  ( $l=1$ )

$$\frac{d\sigma}{d\Omega} = \frac{q}{k} (a + b \cos\theta + c \cos^2\theta \dots)$$

$$a = \frac{1}{2} |2M_{1+} + M_{1-}|^2 + \frac{1}{2} |3E_{1+} - M_{1+} + M_{1-}|^2 + |E_{0+}|^2$$

$$b = 2 \operatorname{Re}(E_{0+} (3E_{1+} + M_{1+} - M_{1-})^*)$$

$$c = |3E_{1+} + M_{1+} - M_{1-}|^2 - \frac{1}{2} |2M_{1+} + M_{1-}|^2 - \frac{1}{2} |3E_{1+} - M_{1+} + M_{1-}|^2$$

If only  $S_{11} \rightarrow$  isotropic angular distribution

" "  $P_{11} \rightarrow$  " " " "

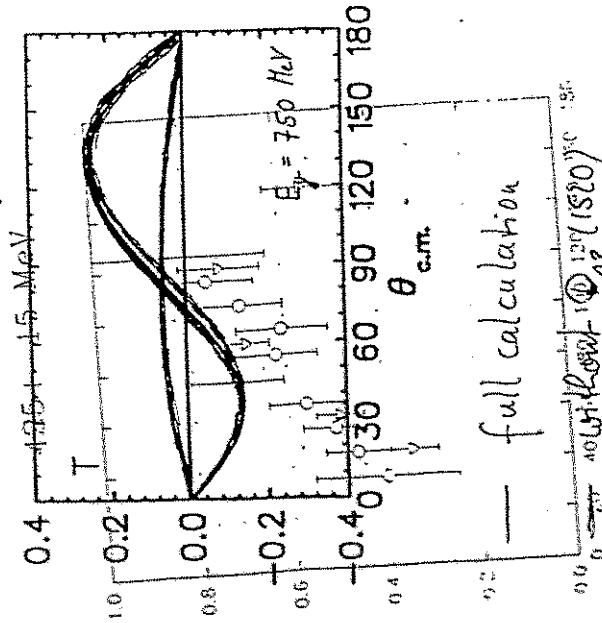
$S_{11}$  and  $P_{11} \rightarrow$  interference term with  $\cos\theta$  depends.

$D_{13}$  contribution? →  $P_{11}$  interference  
 P.1. T.F. 5.15 10. 11. 12.

Model calculation  $\gamma p \rightarrow \eta p$

L. Tiator et al.

coupled channel  $\gamma N - \pi N - \eta N$ :  $S_{11}$  (1535)  
 $D_{15}$  (1520)  
 $P_{11}$  (1440)  
 + born terms + vector meson exchange

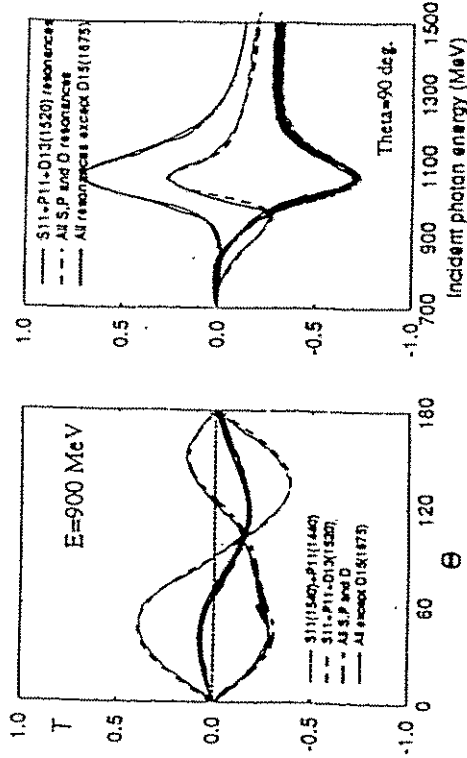


$$\frac{\gamma_D + \gamma_L}{\gamma_D - \gamma_L} = T$$

Model calculation  $\gamma p \rightarrow \eta p$

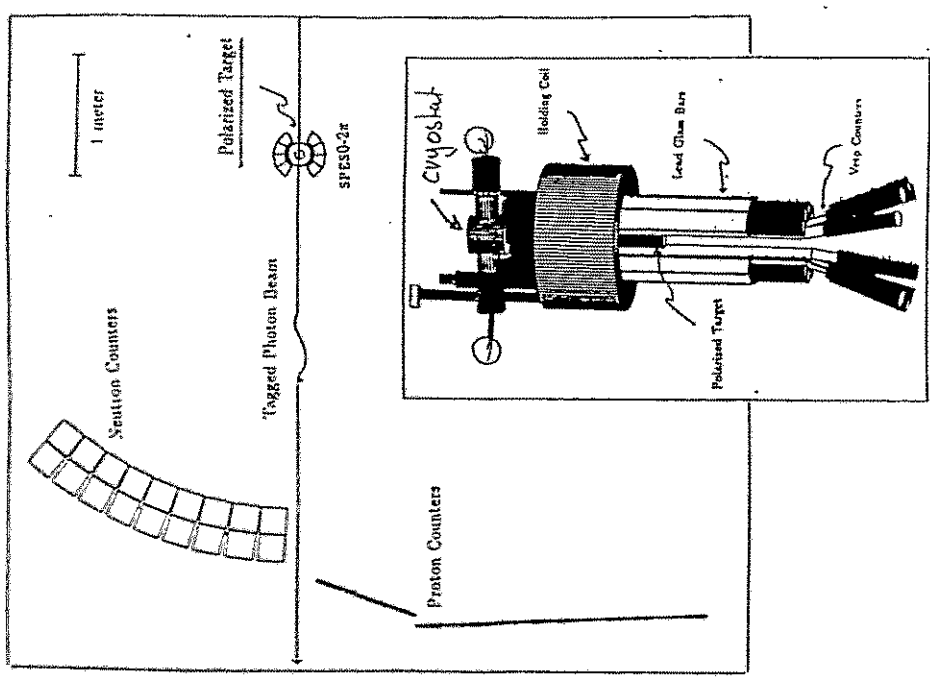
B. Saghai et al.

amplitude = background +  $\sum_{res} \text{'Breit Wigner'}$



- full calculation
- without  $D_{15}$  (1675)
- $S_{11}$  (1535) +  $P_{11}$  (1440) +  $D_{13}$  (1520)

Exp. Set-up for  $\gamma p \rightarrow \eta p$



III FROZEN SPIN TARGET

Physics Principle: based on Long Nuclear Relaxation Time  $T_{1\rho}$  at low temperature and moderate field

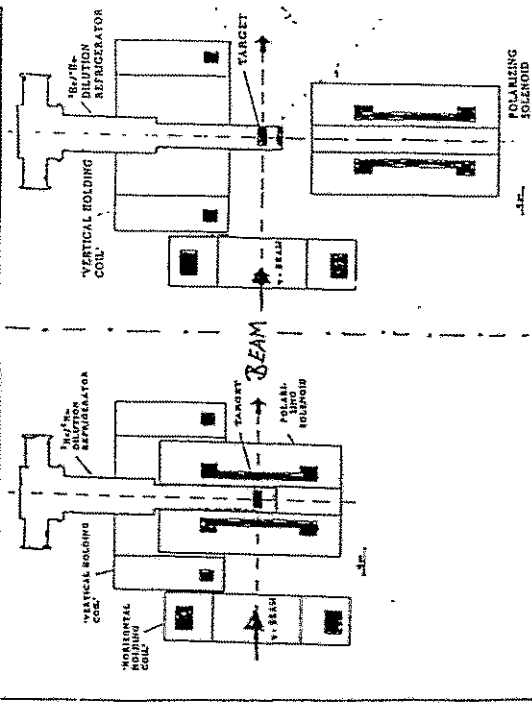
Procedure

- (i) Polarize by DNP at high field 2.5... 5 Tesla
- (ii) Switch off  $\mu$ -waves  $\rightarrow$  add. lowering of the temperature  $T = 50 \text{ mK}$
- (iii) Change to Holding field  $\rightarrow$  mechanical + elect. manipulations 0.3 - 0.5 Tesla
- (iv) DATA TAKING
- (v) Reverse Polarization  $\rightarrow$  starting at (i)

- (+) : Open Geometry  $\rightarrow$  Simultaneous Measurement of the Physical Observables over a large Kinematical region
- (-) : On-line Measurement of the Pol. not possible  
Fast and frequent Pol. Reversal not "

INCLUDE WITH TARGET FOR EXPERIMENTS ON ANTINEUTRINO  
 Energies with PROTONS  $\chi$ ; NEUTRONS ( $I_{\text{BEAM}} = 10^8 \text{ part/sec.}$ )

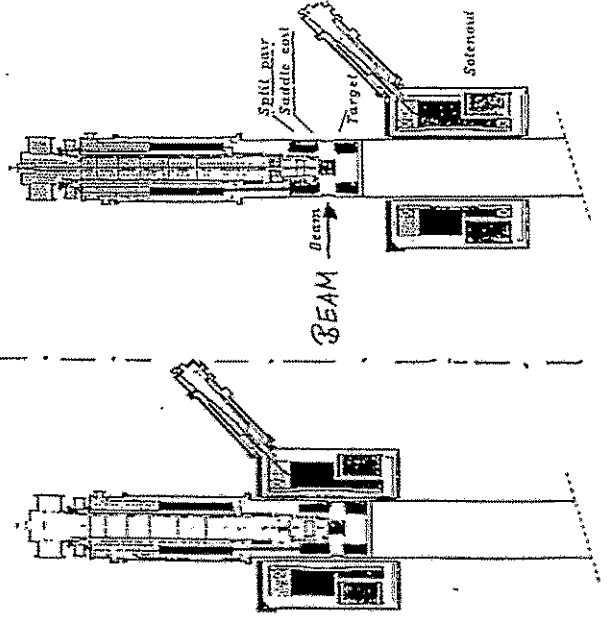
SACLAY  
 $pp \rightarrow pp$   
 $np \rightarrow np$   
BONN  
 $\chi p \rightarrow \pi^+ n$   
 $\pi^0 p$   
 $\chi p \rightarrow \gamma p$



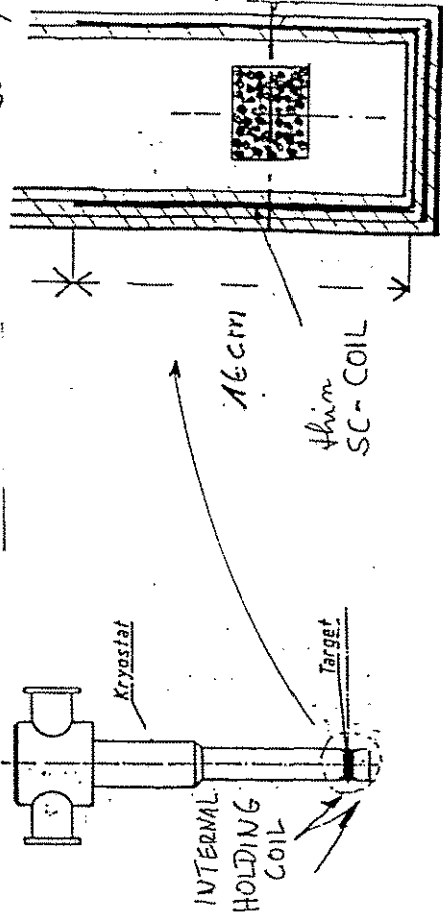
POLARIZING MODE

'HOLDING' MODE

TRIUMF  
 CHAOS-Exp.  
PSI  
 $np \rightarrow np$

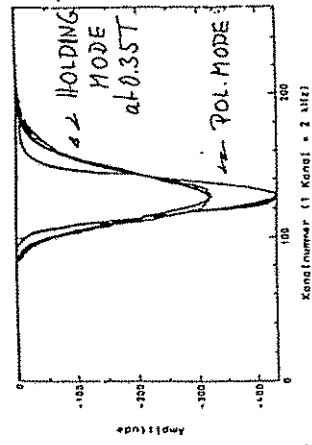


HOLDING COIL



2 layers of 100  $\mu$  thick SC-wire  
 on 300  $\mu$  copper (radiation shield) in ISOLATION VACUUM

ON-LINE Pol. Measurement  
 in  $\chi p$  (HOLDING MODE)



Coil data

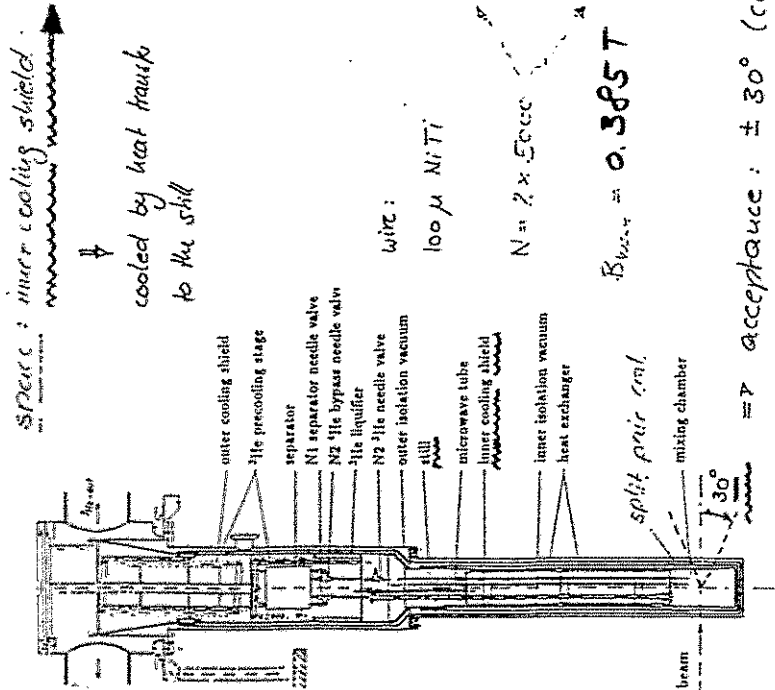
Length	10 cm
Inside diameter	6.6 cm
Total thickness	500 $\mu$ m
Diameter of wire	100 $\mu$ m
Windings	2500 in 2 layers
Inductance	0.168 H
max. center field	0.35 T = 3500 Gauss
Current	19.7 A
Current density	1550 $\frac{A}{mm^2}$
stored Energy	21 J

NEW EXPERIMENTS

$\chi p \rightarrow \gamma p$  (BONN)  
 $\chi p \rightarrow \chi GDH: \int dv \frac{\sigma_T - \sigma_R}{Y} = \frac{2\pi^2}{m^2} k^2$  (MAINZ-BONN)

Internal superconducting holding magnets

principle: at a given field  
decrease dimensions  $\Rightarrow$  decrease current  
 $\Rightarrow$  Internal magnet as a part  
of the refrigerator



space: inner cooling shield  
 $\downarrow$   
 cooled by heat transfer  
 to the still

wire: 100  $\mu$  NiTi  
 $N = 2 \times 5000$   
 $B_{max} = 0.385 T$

$\Rightarrow$  acceptance:  $\pm 30^\circ$  (cone)

$\Rightarrow$  coil successfully tested

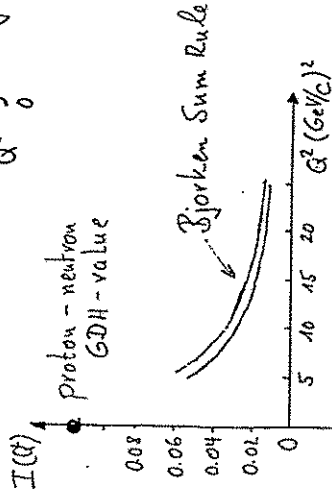
$\Rightarrow$  new class of pol. experiment can be performed

Gerasimov - Drell - Hearn Sum Rule

$$\int_0^\infty d\nu \frac{\sigma_{\frac{1}{2}} - \sigma_{\frac{3}{2}}}{\nu} = \frac{2\pi\alpha}{m^2} K^2$$

$$\sigma_{\frac{1}{2}} - \sigma_{\frac{3}{2}} = \frac{8\pi^2 K^2}{\nu - Q^2} (m \nu G_1(\nu, Q^2) - Q^2 G_2(\nu, Q^2))$$

$$I(Q^2) = \frac{2m^2}{Q^2} \int_0^1 dx g_1(x, Q^2)$$



Experimental verification needed!

Real Photons:  $Q^2=0$

$$I(0) = \frac{m^2}{8\pi^2} \int_0^\infty \frac{\sigma_{\frac{1}{2}} - \sigma_{\frac{3}{2}}}{\nu} d\nu$$

required:

- circularly pol. real tagged photons
- long. pol. nucleon target
- $4\pi$  - detector
- 3 GeV or more

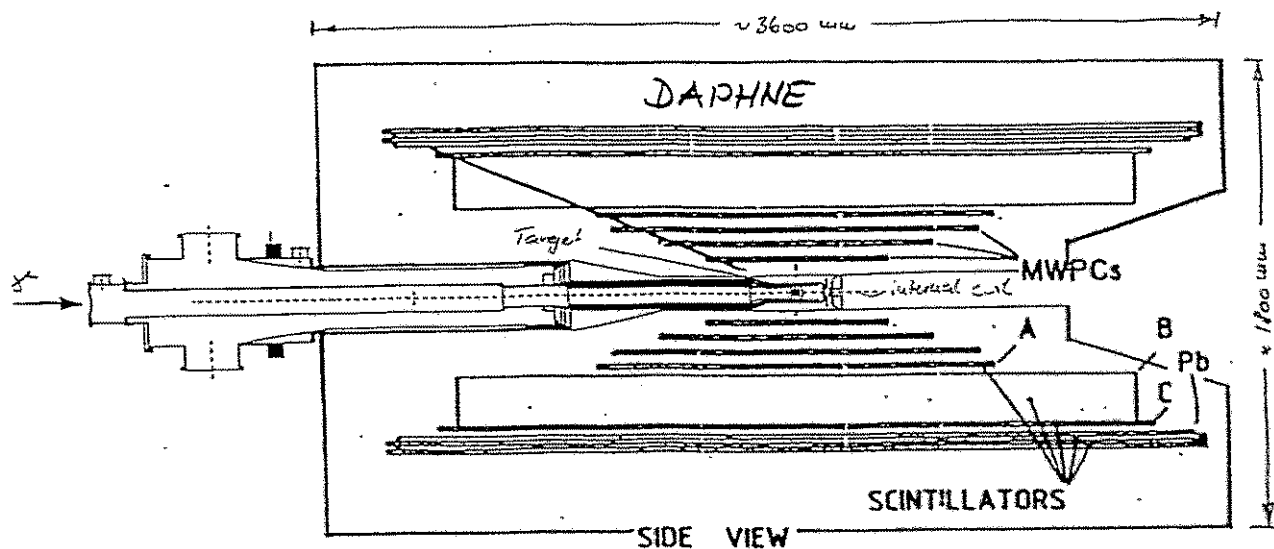
Collaboration at MAMI (MAINZ) and ELSA (BONN)



# Zusammenfassung

- Spim ist ein sensitives Instrument zur Untersuchung des Nu Kleons
- Erste Pol. messungen mit Pol. Target (PT) + Phoenix Detektor am ELSA
- Weiterer technischer Fortschritt am PT  
 → verbesserte + neue Pol. experimente  
 ( $\eta$ -Produktion; GDH; ...)

experimental mode / frozen spin mode



concept: • refrigerator and target fixed  
 • polarization magnet and detector are moved over the refrigerator  
 ⇒ system is under construction, experiment: end of '95 (HAINZ)

# Experimente mit Pionen am PSI

H. Clement  
Tübingen

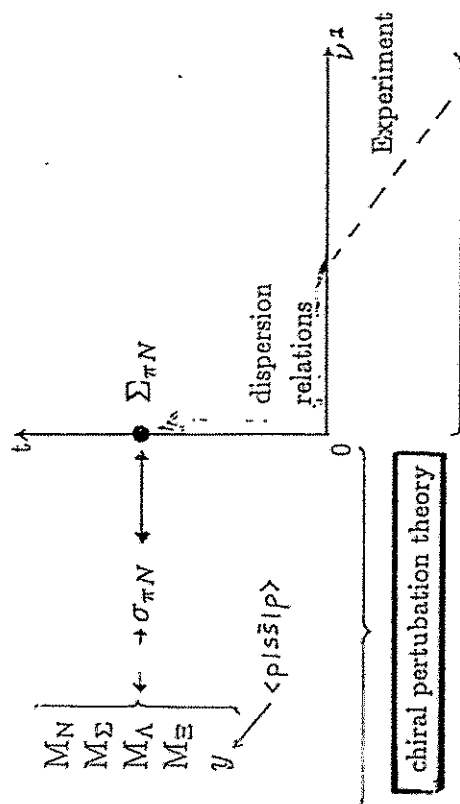
4. Oktober 1994

# Experimente mit Pionen am PSI

- $\pi N$ -System LEPS
- Spin-Effekte in  $\pi A$ -Streuung Boschi's et al.
- $\pi$ -Absorption in Kernen LADS
- Doppelter Ladungsaustausch LEPS  
und  $\pi NN$ -Resonanz ( $d'$ )

## $\pi N$ -Scattering at Low Energies

- reliable  $\pi N$ -phase shifts
- $\sigma_{\pi N} \sim \langle p | \bar{u}u + \bar{d}d | p \rangle$  quark mass term  
measure of explicit chiral symmetry breaking of QCD



Gasser & Leutwyler

$$\sigma_{\pi N} = \frac{(35 \pm 5) \text{ MeV}}{1 - \nu}$$

$$\Sigma_{\pi N} = \sigma_{\pi N} + 5 \text{ MeV}$$

(15)

Karlsruhe-Helsinki analysis (KH80)

$$\Sigma_{\pi N} = \begin{cases} (64 \pm 8) \text{ MeV} & \text{Koch, H\"ohler} \\ (56 \pm 2) \text{ MeV} & \text{Gasser et al.} \\ 60 \pm 2 & (1991) \end{cases}$$

$\nu = 0.2 \pm 0.2$

### 3. Experimental data (after 1990)

Low energy data are crucial for the extrapolation to the C.D. point

large efforts in recent years at LAMPF, PSI/SIN, TRIUMF to improve quality and quantity of the data  
meanwhile converging results

- $\pi^-p$  S-wave scattering length (PSI/SIN)
- integral cross-sections (LAMPF, TRIUMF)
- angular distributions (PSI/SIN, TRIUMF)
- polarisation measurements (PSI/SIN, TRIUMF)

### 3.1. $\pi^-p$ S-wave scattering length

is determined from the energy shift  $\epsilon$  of the 3P-1S X-ray transition (due to the strong interaction) in pionic hydrogen

$$\epsilon = -4 \frac{E_{1S}}{I_B} \operatorname{Re} a_{\pi^-p} = -4 \frac{E_{1S}}{I_B} \left[ \frac{1}{3}(2a_1 + a_3) \right] \approx -5 \text{ eV}$$

with  $E_{1S} = 3246 \text{ eV}$ ,  $I_B = 222.56 \text{ fm}$

ETH Zürich, PSI, Neuchâtel 1990-1994

high resolution double focusing Si-crystal spectrometer attached to a cyclotron trap, detection with CCD

1990:  $a_{\pi^-p}^{\text{exp}} = (0.087 \pm 0.004) \mu^{-1}$

1994:  $a_{\pi^-p}^{\text{exp}} = (0.0873 \pm 0.0007) \mu^{-1}$

$$a_{\pi^-p}^{\text{KH80}} = (0.082 \pm 0.004) \mu^{-1}$$

$$a_{0^+}^+ = a_{\pi^-p}^{\text{exp}} - \underbrace{a_{0^+}^-}_{0.091 \mu^{-1}} (\text{KH80}) = (-0.004 \pm 0.004) \mu^{-1}$$

### 3.2. 'Integral' cross-sections

Jerusalem-TRIUMF-Tübingen-UBC 1989-1993

Elastic scattering  $\pi^+ p \rightarrow \pi^+ p$ : 60-200 MeV ( $\theta_{lab} > 20^\circ, 30^\circ$ )

Elastic + SCX:  $\pi^+ p \rightarrow \pi^+ p$ : 125-200 MeV ( $\theta_{lab} > 20^\circ$ )

$\pi^- p \rightarrow \pi^0 n$ : 125-200 MeV (total)

Measurements of the attenuation of  $\pi^{\pm}$  in matched pairs of CH<sub>2</sub> and C, integrated over the solid angle  $\Omega$  complementary to the solid angle of the detector resulting in the integral cross sections for elastic scattering  $\pi^+ p \rightarrow \pi^+ p$  and in the sum of elastic scattering  $\pi^- p \rightarrow \pi^- p$  and charge exchange  $\pi^- p \rightarrow \pi^0 n$ . The total cross section for charge exchange is obtained by means of a  $4\pi$  detector in anticoincidence (no particles coming out) with the incoming pion flux. The integral cross section  $\pi^- p \rightarrow \pi^0 n$  is obtained from the difference of both.

$$\sigma_{\text{integrated}} = \int_{\Omega} \frac{4\pi}{\Omega} \frac{d\sigma_{\pi^+ p}}{d\Omega} d\Omega$$

Good agreement of  $\pi^+ p \rightarrow \pi^+ p$  with KH80 or KA85, charge exchange  $\pi^- p \rightarrow \pi^0 n$  below KH80.

Colorado-LAMPF-UBC 1991-1994

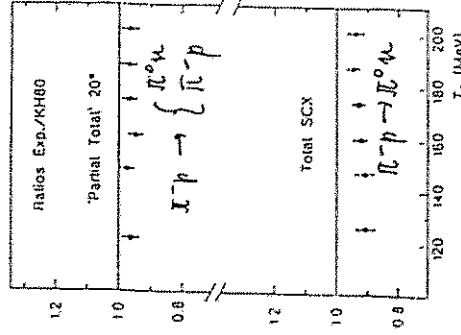
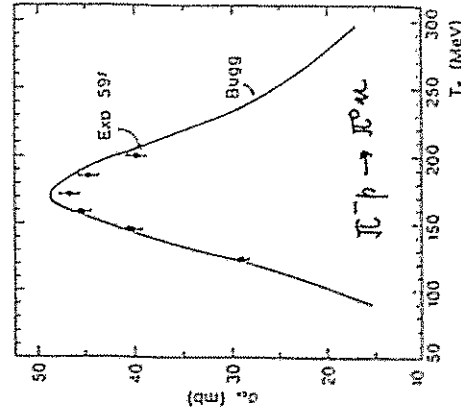
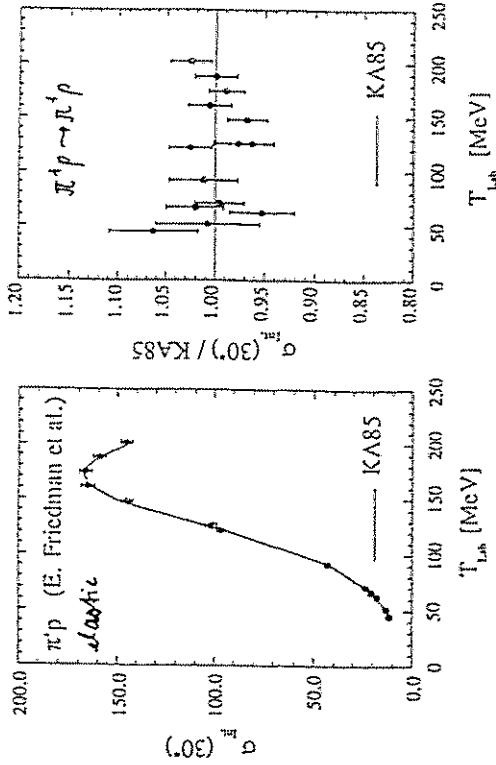
Elastic scattering  $\pi^+ p \rightarrow \pi^+ p$ : 40-500 MeV ( $\theta_{lab} > 30^\circ$ )

Elastic + SCX:  $\pi^- p \rightarrow \pi^- p$ : 40-300 MeV ( $\theta_{lab} > 30^\circ$ )

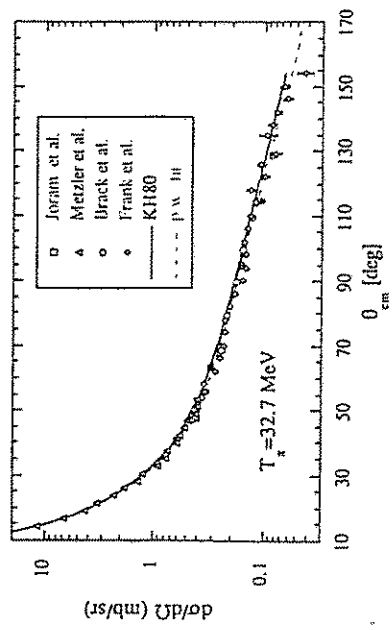
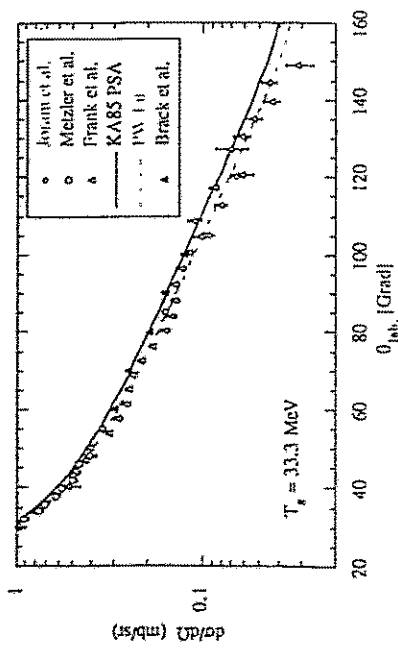
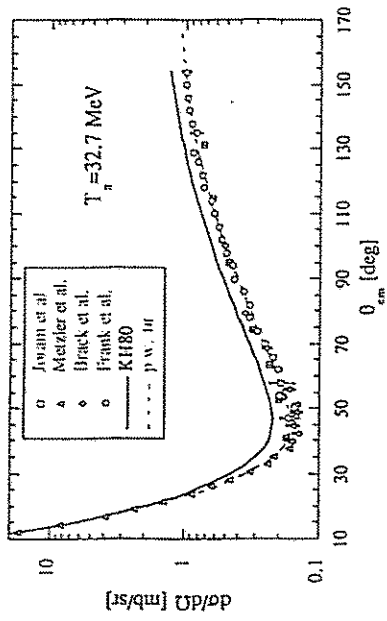
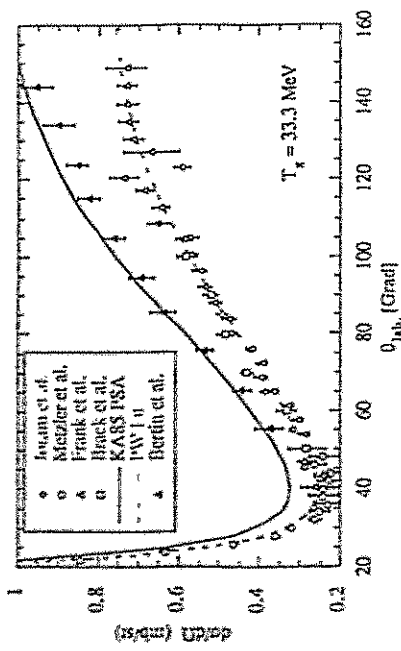
$\pi^- p \rightarrow \pi^0 n$ : 40-300 MeV ( $\theta_{lab} > 30^\circ$ )

LAMPF,  $\pi^{\pm} p$  channel at LAMPF

No general agreement with KH80, in particular data below KH80 at energies below 100 MeV for  $\pi^+ p \rightarrow \pi^+ p$  and slightly below KH80 at almost all energies for the sum of  $\pi^- p \rightarrow \pi^- p$  and  $\pi^- p \rightarrow \pi^0 n$ .



Friedman et al. 1993  
(TR 141P)



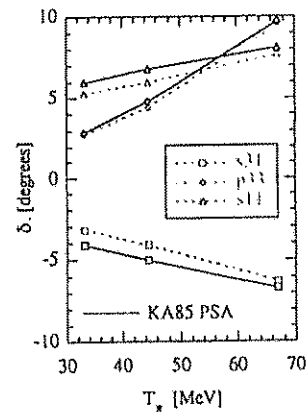
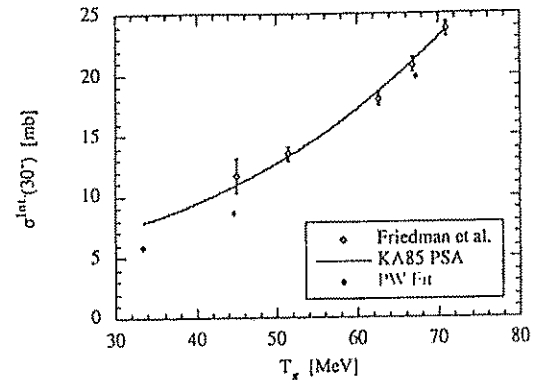
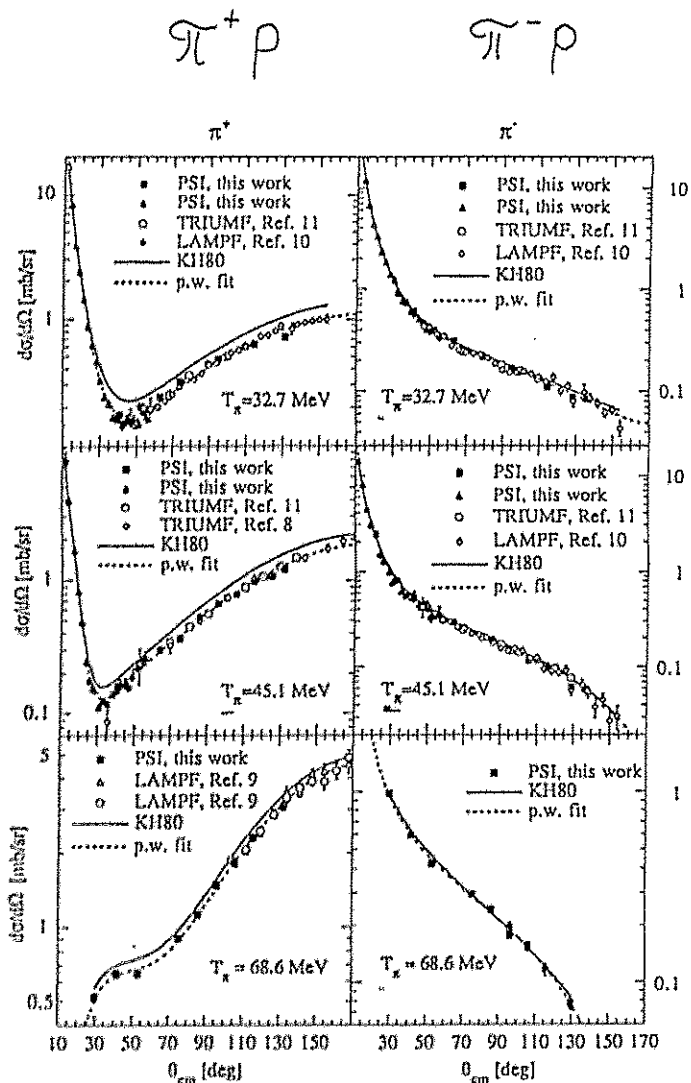


Fig. 6: Comparison with the results of other experiments available at energies around 30, 45 and 70 MeV. The various data sets have been renormalised (compare Table 3) within bounds given by their respective systematic uncertainties.

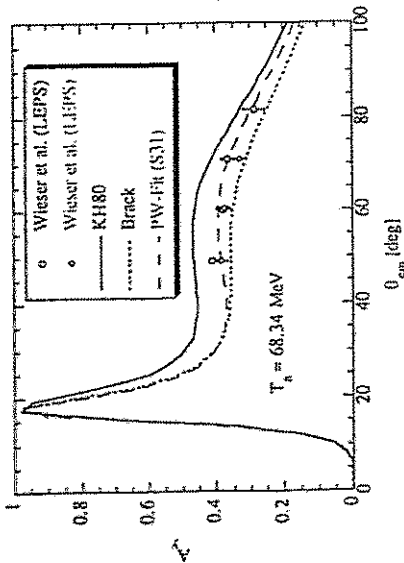
### 3.4. Polarisation

UBC-TRIUMF-Colorado-Saskatchewan-Sacramento-Regina-VPI 1989

$\pi^+ \bar{p} \rightarrow \pi^+ \bar{p}$  at energies in the  $\Delta$ -resonance region (98, 139, 166, 215, 263 MeV), agree with KH80

Karlsruhe-PSI-Tübingen -St. Petersburg 1992-1994

$\pi^+ \bar{p} \rightarrow \pi^+ \bar{p}$  analysing power at 68.3 MeV



Least square fit of the  $S_{31}$ -wave:

	$S_{31}$	$P_{31}$	$P_{33}$
KH80	-6.96	-1.23	10.13
Fit to the $A_y$ -data	-6.07	dito	dito
Fit with Joram	-6.25	-1.26	9.72

## Zusammenfassung ( $\pi N$ -System)

### Experimente:

- schwierig, insbesondere bei tiefen Energien (hoher Untergrund vom  $T$ -Zerfall, etc.)
- Magnet spektrometer-Daten (LEPS) sehr zuverlässig (andere Methoden überlegen)
- allg. Problem: angegeben Fehler oft kleiner als die Unterschiede zwischen verschiedenen Gruppen  $\rightarrow$  d.h. systematische Fehler unterschätzt!
- Klärung durch Polarisationsexperimente
- insgesamt: Ergebnisse der letzten Jahre konvergieren!

### Analyse:

- $S_{11}$  und  $S_{31}$ -Streuphasen kleiner als in KH80
- Dispersionsanalyse mit neuen Daten erforderlich
- Konsequenz für  $G$ -Term?



# Spin-Effekte in $\pi A$ -Streuung

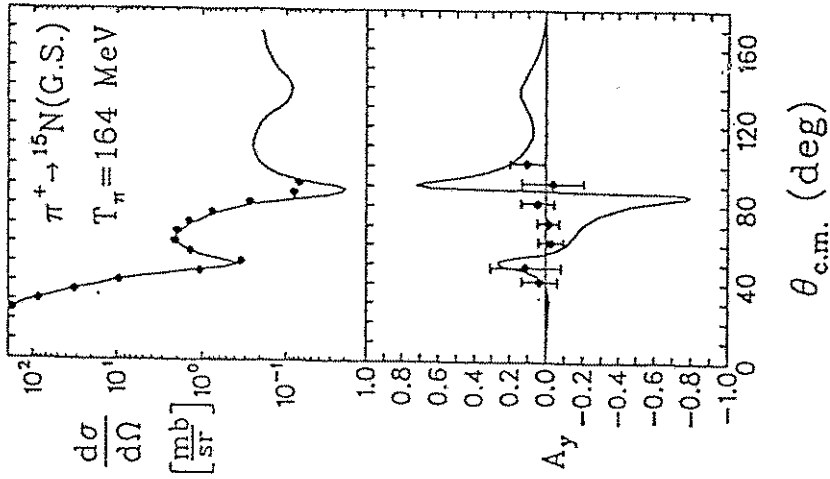
(Boschitz, Brinkmüller et al.)

Kernstruktur

$\vec{L}_\pi \cdot \vec{S}_N$  - Wechselwirkung

$\vec{S}_\pi \cdot \vec{S}_N$  - " -

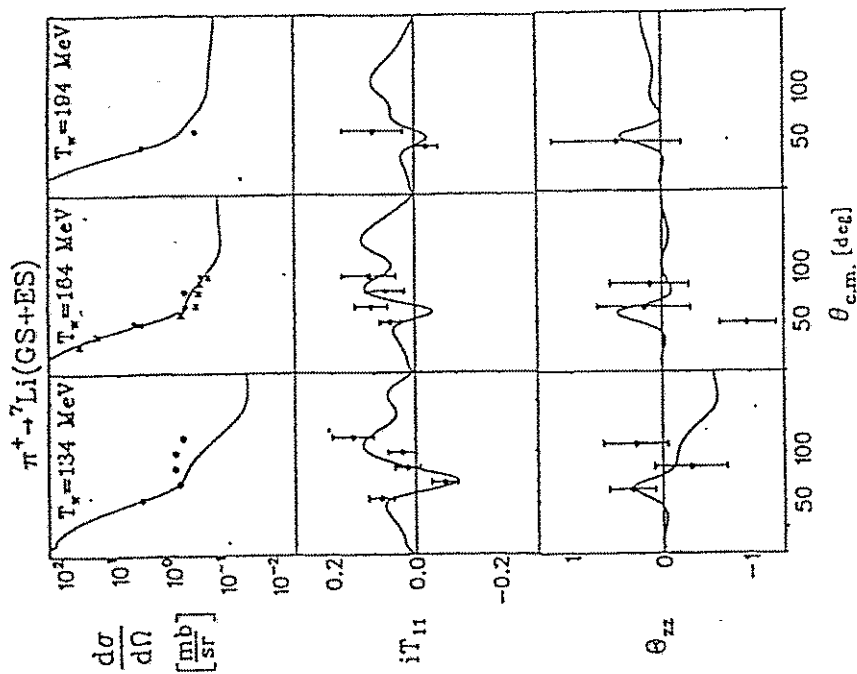
PSI



$\pi A$	Vektor-Pol.	Tensor-Pol.	Spin-Transfer	$T_\pi$ (MeV)	Source
$\pi^+ d$	•	•	(•)	50-325	PSI TRIUMF LAMPE
$\pi^+ {}^3\text{He}$	•	—	—	100, 180	TRIUMF LAMPE
$\pi^+ {}^4\text{He}$	•	•	—	100-219	PSI
$\pi^+ {}^7\text{Li}$	•	•	—	134-194	
$\pi^+ {}^{12}\text{C}$	•	—	—	132, 230	LAMPE
$\pi^+ {}^{12}\text{C}(\pi, \pi')$	•	—	—	163	
$\pi^+ {}^{15}\text{N}$	•	—	—	164	PSI

R. Meier et al., PRC 42 (1990) 222

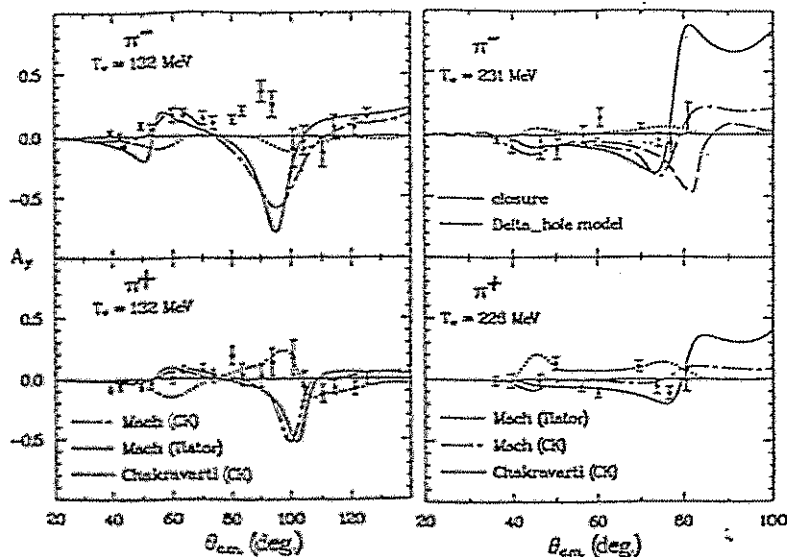
PSI



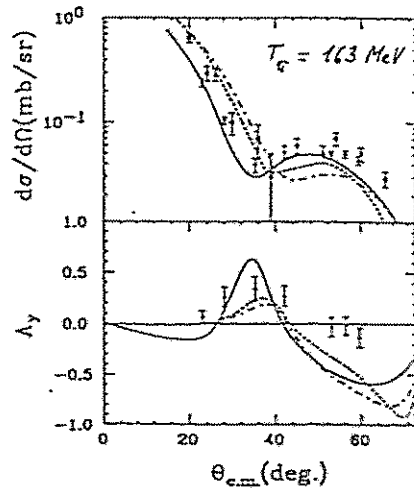
$\pi$   $^{13}\text{C}$

LAMPF

elastic scattering



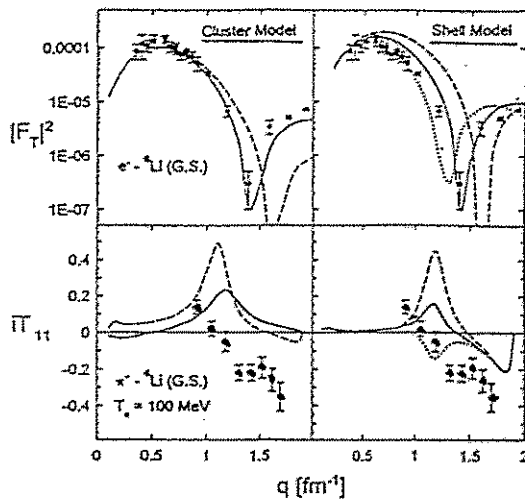
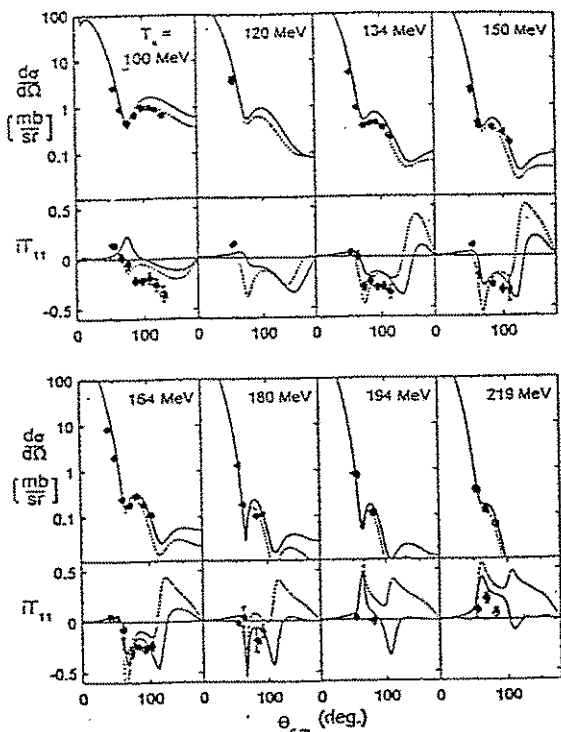
SCX ( $\pi^+$ ,  $\pi^0$ )



$\pi$   ${}^6\text{Li}$

PST

$\pi^- {}^6\text{Li}(\text{G.S.})$

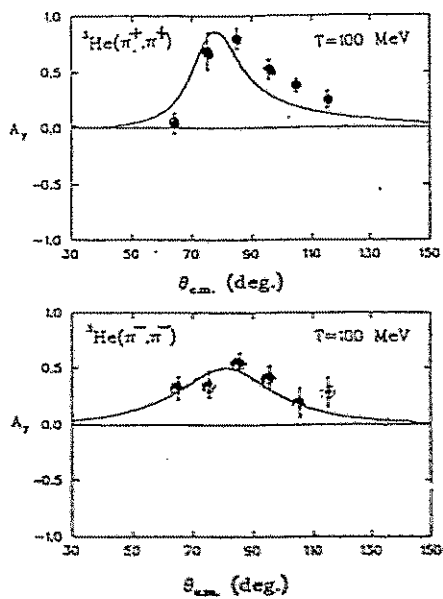


S. Rik et al., PRC 49 (1994) 3117

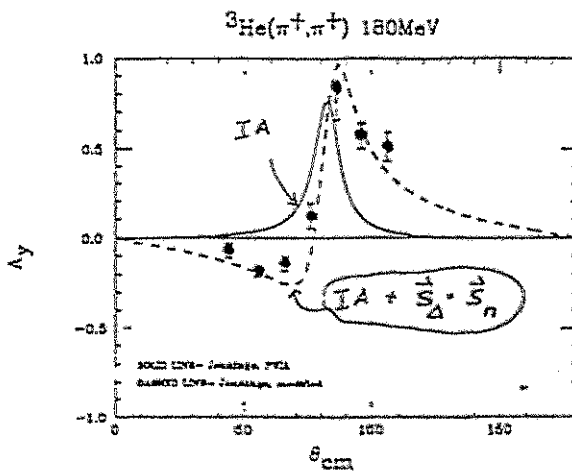
$\pi$   ${}^3\text{He}$

TRIUMF

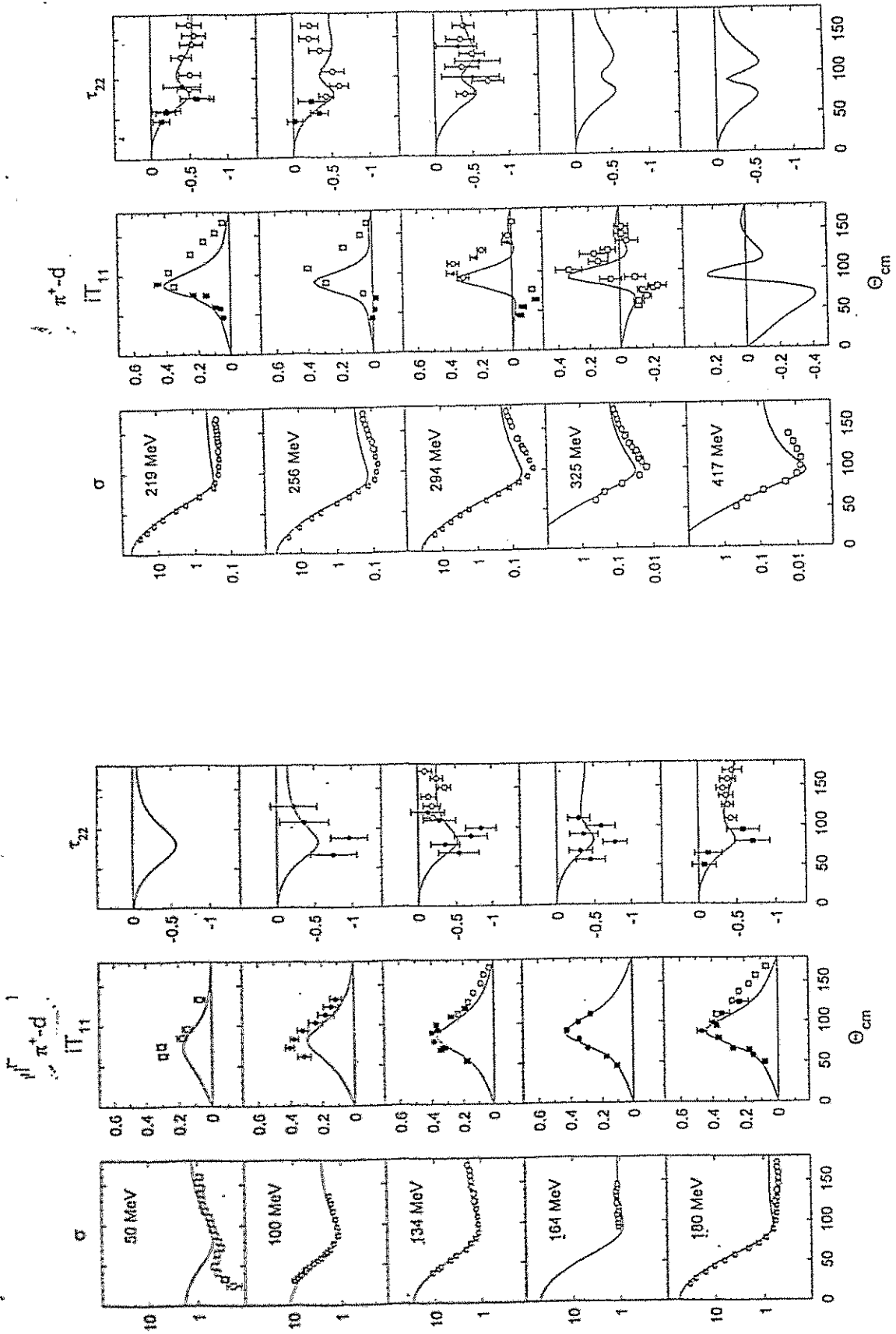
AMPF



B. Larson et al., PRL 67 (1991) 3354



H. Espy et al., SPIN 94 Conf.



M. Wessler et al., subm. PRG

M. Wessler et al., subm. PRG

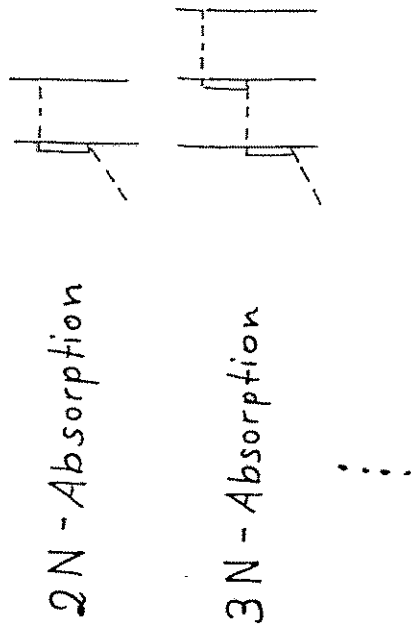
# Zusammenfassung (Spin-Effekte)

- Größe der Spin-Effekte in elastischer  $\pi A$ -Streuung nimmt mit zunehmendem  $A$  ab
- Kernstruktureffekte spielen große Rolle, in erster Linie jedoch der Spinformfaktor  $F_S(q) (\approx F_S^2(q))$
- $\pi d$  }  $T_F \leq 160$  MeV:  $A_y$  gut verstanden  
 $\pi {}^3\text{He}$  } höhere Energien: theor. Beschreibung systematisch falsch für  $A_y$
- $\Delta N$  Spin-Spin-Wechselwirkung?
- N.B.: Theor. Behandlung des  $\pi NN$ -Systems bisher nur approximativ möglich!
- $\neq \pi$ -Absorption,  $\Delta, \dots$

- kompletter Satz von Spinobservablen in  $\pi d$ -Streuung ein wichtiger Testfall

# Pion-Absorption

(LADS - Kollaboration)



Erste Ergebnisse von LADS

${}^3\text{He}, {}^4\text{He}$

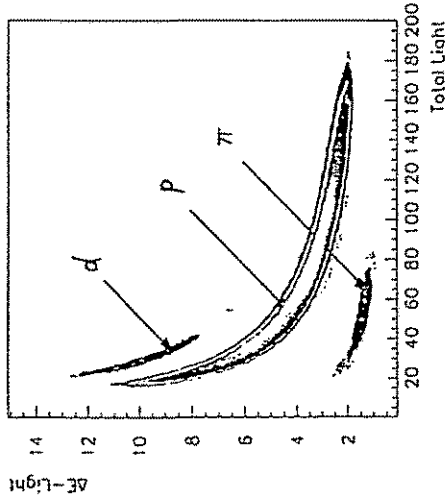
erstmalig über vollen Raumwinkel vermessen

# Particle Identification

Target:  ${}^4\text{He}$   $T_p = 118 \text{ MeV}$

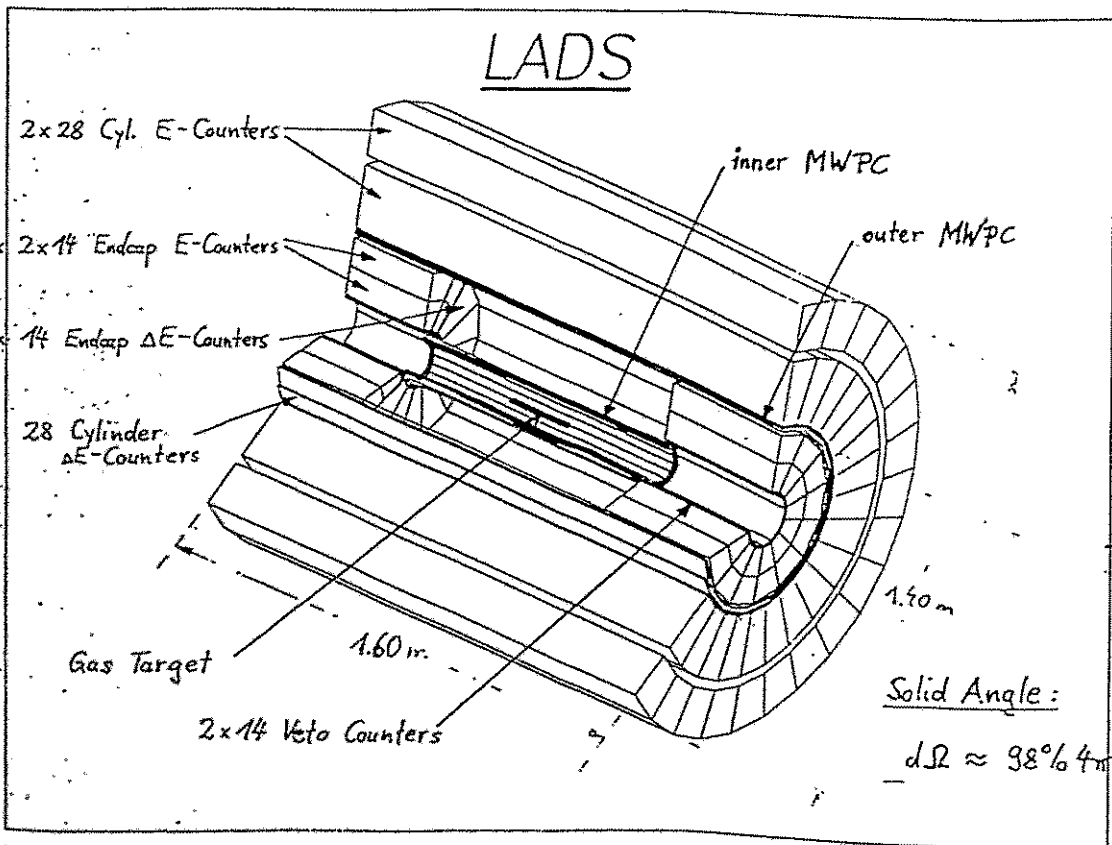
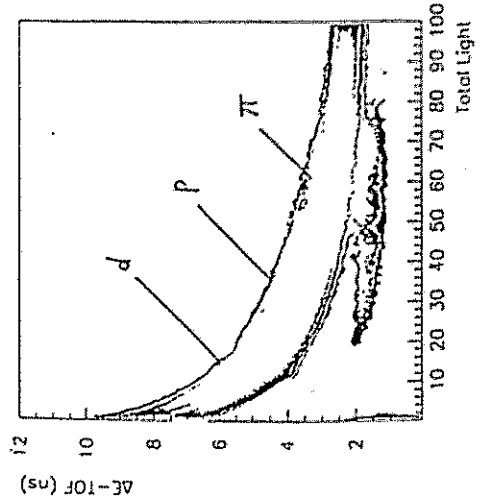
$$E \leftrightarrow \frac{dE}{dx}$$

$$E_p \approx 40 \text{ MeV}$$



$$E \leftrightarrow \text{TOF}$$

$15 \text{ MeV} \leq E_p \leq 40 \text{ MeV}$   
 (stopped in  $\Delta E$ -Counter)  
 $\Delta t \approx 450 \text{ ps}$

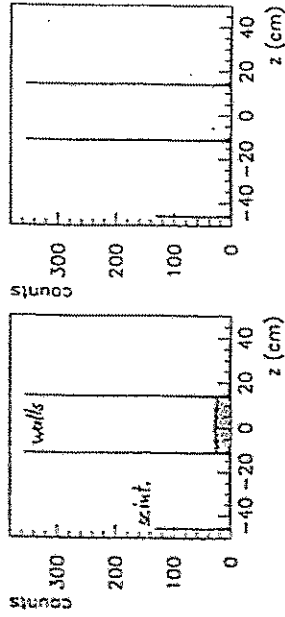


# Vertex Reconstruction

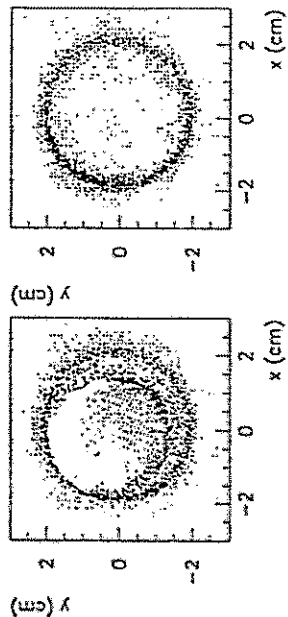
# Total Cross Section of $\pi^+d \rightarrow pp$

Target:  $26 \times 4 \text{ cm } \phi$  (C-Fibre)

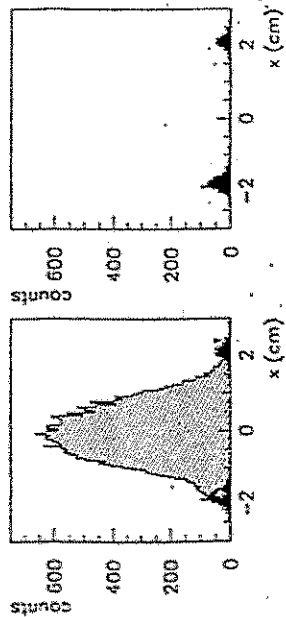
Full Target ( $^4\text{He}$ , 35 bar)      Empty Target



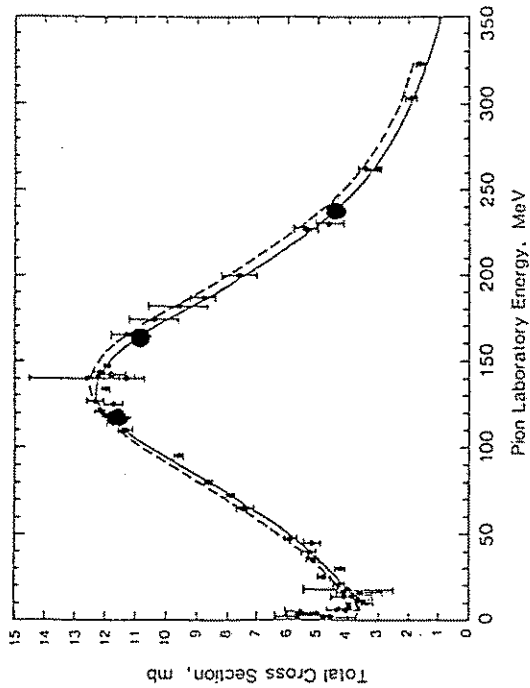
Nuclear Size  
 $0 < r < 1.7 \text{ cm}$



Z-Cut:  
 $-9 < z < 11 \text{ cm}$



Z- and y-Cut:  
 $-9 < z < 11 \text{ cm}$   
 $-0.2 < y < 0.2 \text{ cm}$



• World Data until 1983 (from H.J. Meyer, Phys. Rep. 1980)

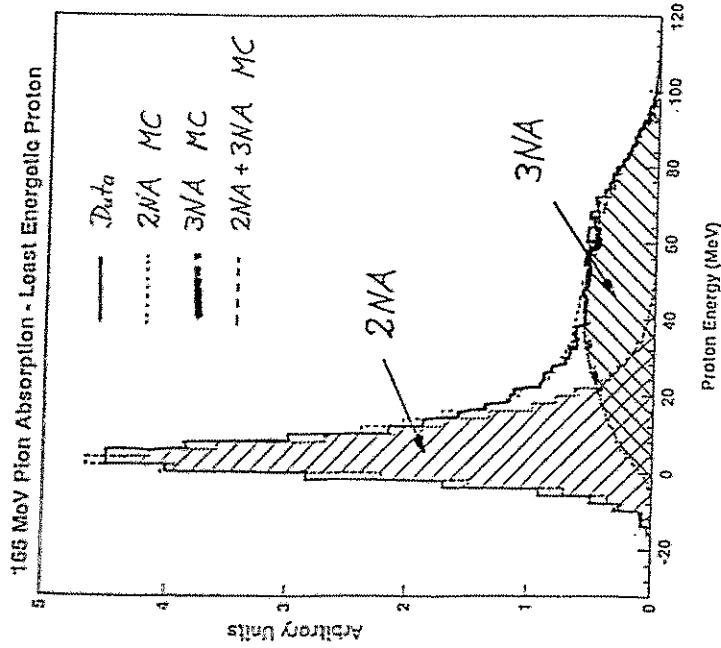
Lines, Phenomenological Fits:

— Ritchie, Phys. Rev. C28 (1983)

- - - Spuller and Measday, Phys. Rev. D12 (1975)

• LADS results:  $\pi^+d \rightarrow pp$

Determination of Integral Cross Sections



$\sigma_{Abs}^{2N}$  No pion in final state (98%  $4\pi$ )

$\sigma_{Abs}^{3N}$  Monte Carlo weighted with  $p_{spec}$  Fermi momentum and OFA angular distribution (Ritchie)

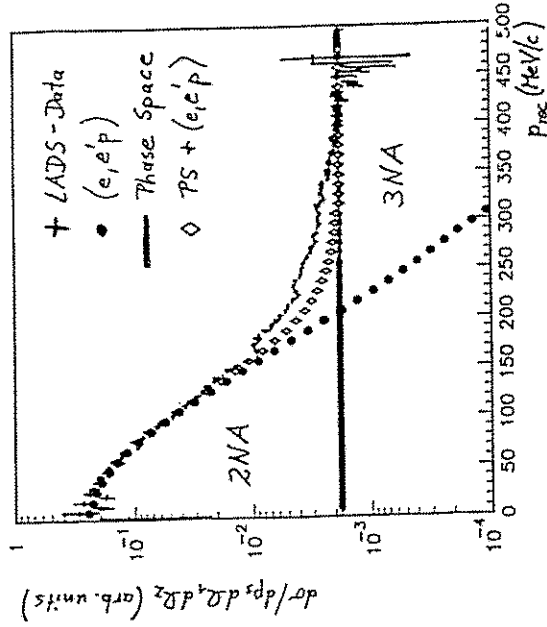
$\sigma_{Abs}^{2N+3N}$  Monte Carlo pure phase space

Recoil Momentum Distribution



$T_{\pi} = 118 \text{ MeV}$

> 90% solid angle



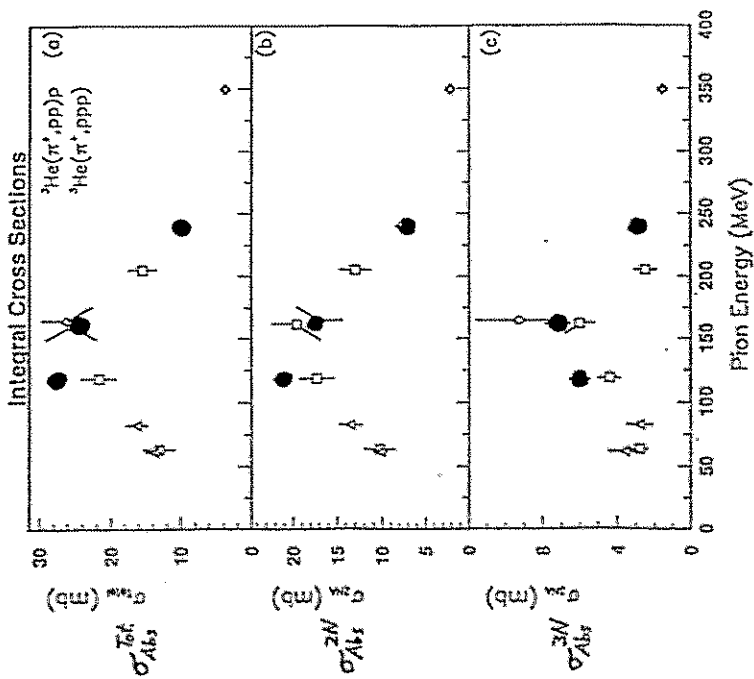
2NA: spectator nucleon shows Fermi momentum distribution

3NA: flat distribution  $\Rightarrow$  phase space

But small deviations!



# $\pi^+ - {}^3\text{He}$ Absorption



LADS: First direct measurement  $\sigma_{Abs}^{Tot}$ ,  $\sigma_{Abs}^{2N}$ ,  $\sigma_{Abs}^{3N}$

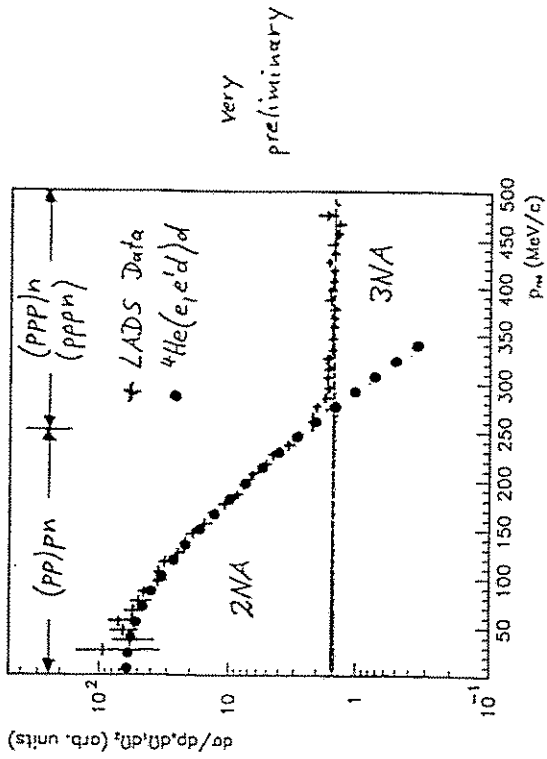
$\approx N_0$  extrapolation

# 4He Momentum Distribution



$T_\pi = 240 \text{ MeV}$

$\approx 80\%$  solid angle



very preliminary

2NA: spectator nucleus (pn, d) shows Fermi momentum distribution

3NA: flat distribution  $\rightarrow$  phase space

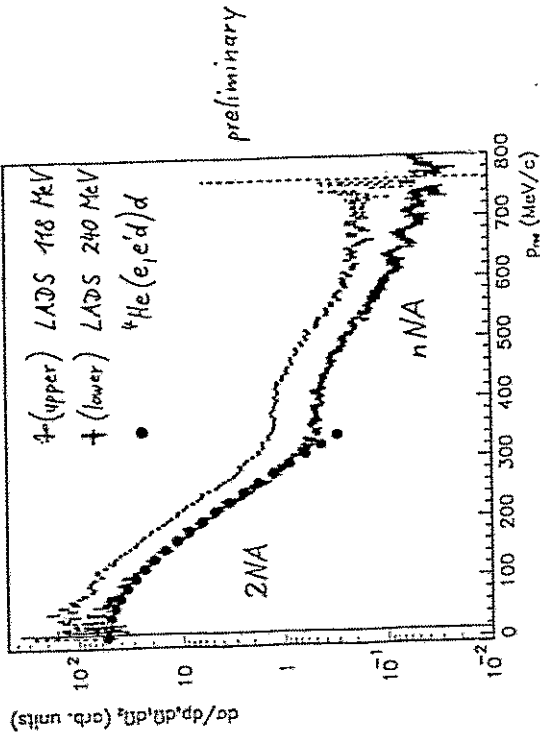
$\rightarrow$  ppp similar in  ${}^3\text{He}$  and  ${}^4\text{He}$ !

## Recoil Momentum Distribution



$$T_\pi = 118 \text{ MeV} + 240 \text{ MeV}$$

> 90% solid angle



ZNA: rest nucleus shows Fermi momentum distribution

nNA: not pure phase space!

Tick-up pppn → ppd?

## Zusammenfassung ( $\pi$ -Absorption)

LADS hervorragend geeignet zum Studium

der Multinukleon-Absorption:

Raumwinkel  $\approx 98\%$  von  $4\pi$   
gute Energie- und Impulsauflösung

Absorptions-Querschnitte erstmals ohne

Extrapolation bestimmt

$3N$ -Absorption in  ${}^3\text{He}$  zeigt Phasenraum-Verteilung

$\sigma_{3N} \approx 20 - 30\%$  von  $\sigma_{\text{abs}}$

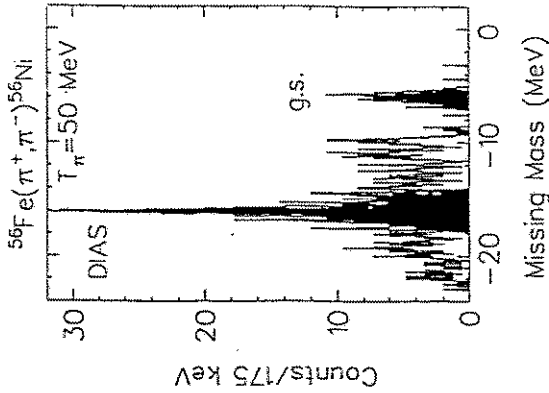
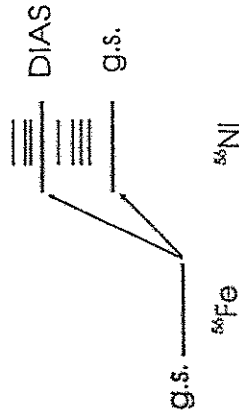
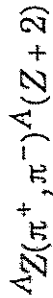
ISI- und FSI-Effekte können kinematisch isoliert werden

$\pi$ -Absorption in schweren Kernen:

${}^{44}\text{N}$ ,  ${}^{40}\text{Ar}$ ,  ${}^{16}\text{O}$

gemessen, aber noch nicht ausgewertet

### Double Charge Exchange (DCX)



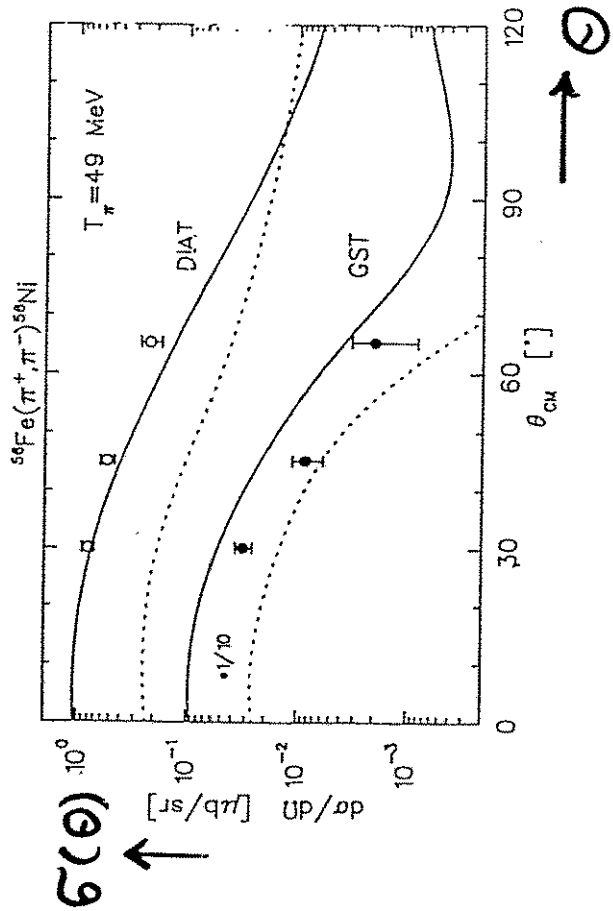
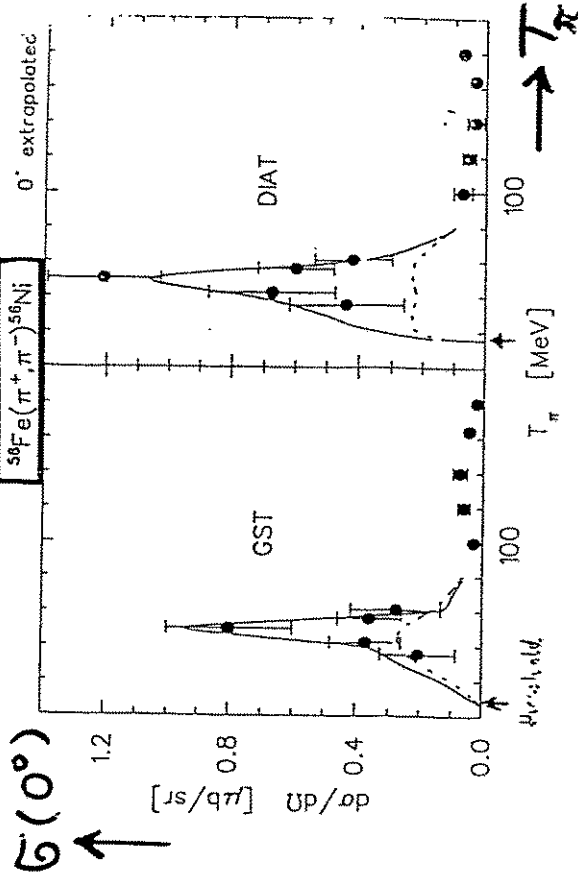
- Wirkungsquerschnitte: nb -  $\mu\text{b}/\text{sr}$
- Untergrund-Unterdrückung
  - Meßempfindlichkeit
  - Energieauflösung

bei niedrigen Energien (deutlich unterhalb  $\Delta$ -Resonanz)

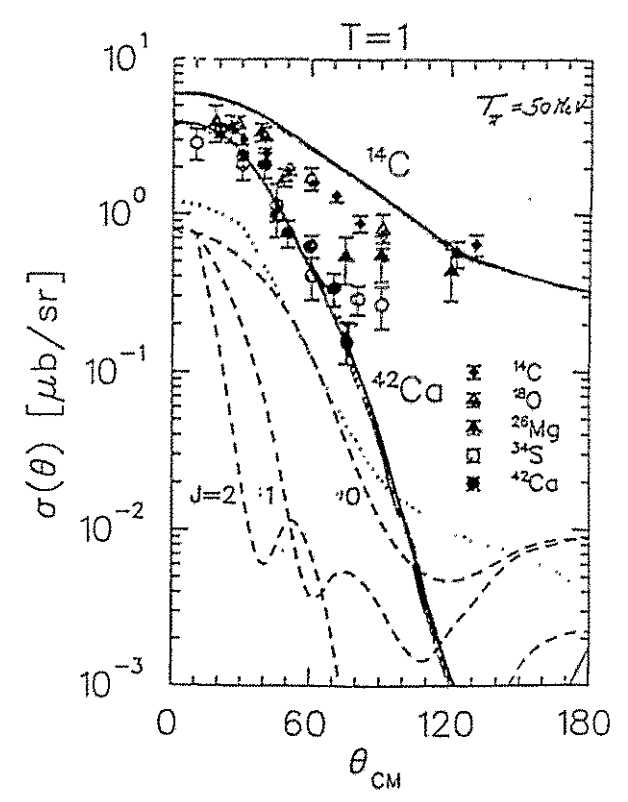
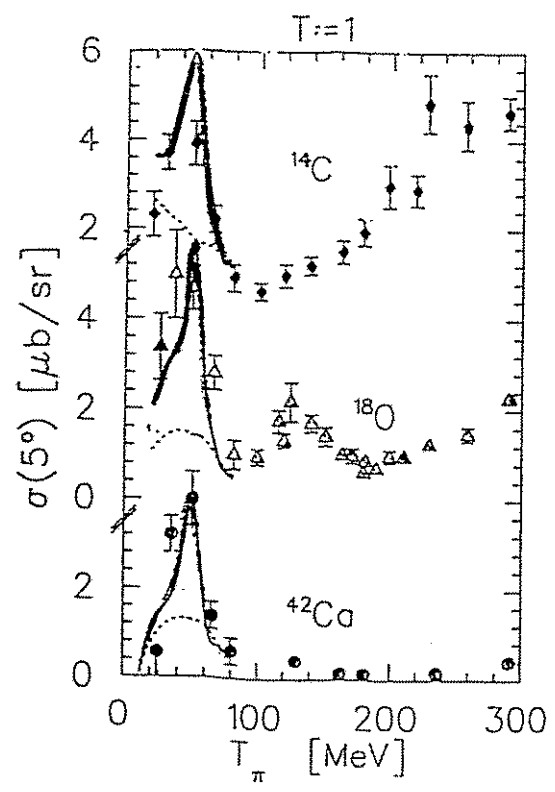
- stark reduzierte Absorption
- hohe Empfindlichkeit auf kurzreichweitige NN-Korrelationen ( $< 1 - 2$  fm)



N.B.:



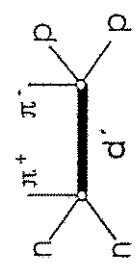
$d'$ :  $J^{\pi} = 0^{-}$



**Gemeinsamkeiten der DCX-Daten**

- (i) *Energieabhängigkeit:*  
universelle, resonanzartige Struktur  
bei  $T_{\pi} = 50$  MeV
- (ii) *Winkelabhängigkeit:*  
kein außergewöhnliches  
Verhalten bei niedrigen Energien

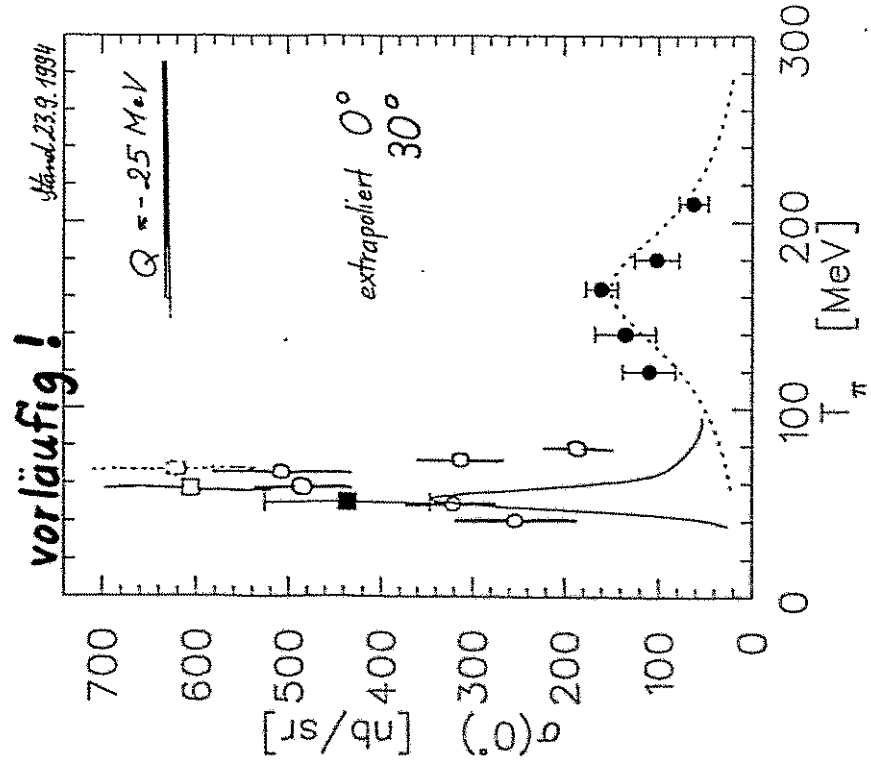
- (i)  $\Rightarrow$  Resonanz mit  $J^P$
- (a) falls im  $\pi$ -Kern-System, dann:  
 $\sigma(\theta) = P_f^2(\cos\theta)$   
in Widerspruch zu (ii)!
- (b) falls im  $\pi NN$  Subsystem, dann:



$$T_{DCX} \propto \int \frac{\sqrt{\Gamma_+ \Gamma_-}}{T_{\pi} - E_R + \frac{Q \cdot k}{2mN} + i\Gamma/2} B_f(\cos\gamma) \cdot \psi_i(Q) \cdot \psi_f^*(Q') d^3Q$$

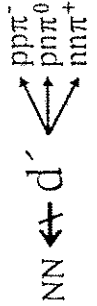
Phys. Rev. Lett. 71, 42 (1993)

$^{40}\text{Ca}(\pi^+, \pi^-)$ ,  $\frac{40}{T_\pi}$  y.s.



**Resumee der bisherigen DCX-Messungen:**

$l(J^P) = \text{gerade}(0^-)$   
 $M = 2.06 \text{ GeV}, \Gamma_{NN\pi} = 0.5 \text{ MeV}$



bisher beobachtet in allen DCX-Daten ( $12 \leq A \leq 56$ )

Kernmediumseffekte ??

Reaktionen, bei denen Kernmediumseffekte keine (oder geringe) Rolle spielen:

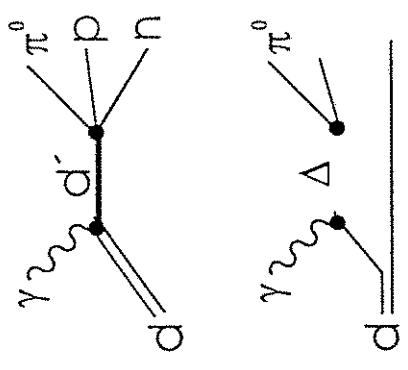
(i) DCX an He:  ${}^3\text{He}(\pi^-, \pi^+)nnn$  TRIUMF  
 ${}^4\text{He}(\pi^\pm, \pi^\mp)NNNN$

(ii)  $\gamma + d \rightarrow d' \rightarrow \pi + N + N$  MAMI-B  
 oder mit virtuellen  $\gamma$ 's ( $e, e'$ ) CEBAF, (DESY)

(iii)  $p + p \rightarrow d' + \pi^\pm \rightarrow \pi^- + p + p + \pi^+$  COSY  
 $p + p \rightarrow d' + \pi^+ \rightarrow p + p + \pi^+$  CELSIUS  
 ITEP  
 Mpprc-

**Elektrromagnetische Produktion von  $d'$**

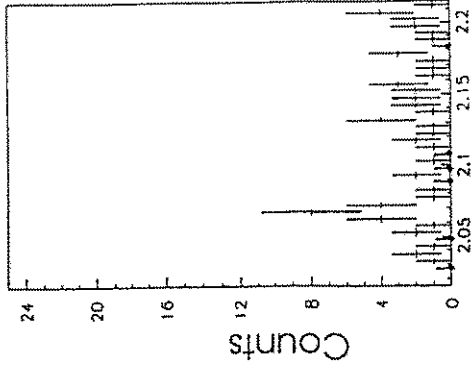
(i) am Deuteron:  $d(\gamma, \pi^0)pn$



$\sigma \approx 1 - 10 \mu\text{b}$

$\sigma \approx 30 \mu\text{b}$

$E_\gamma \approx 200 \text{ MeV}$

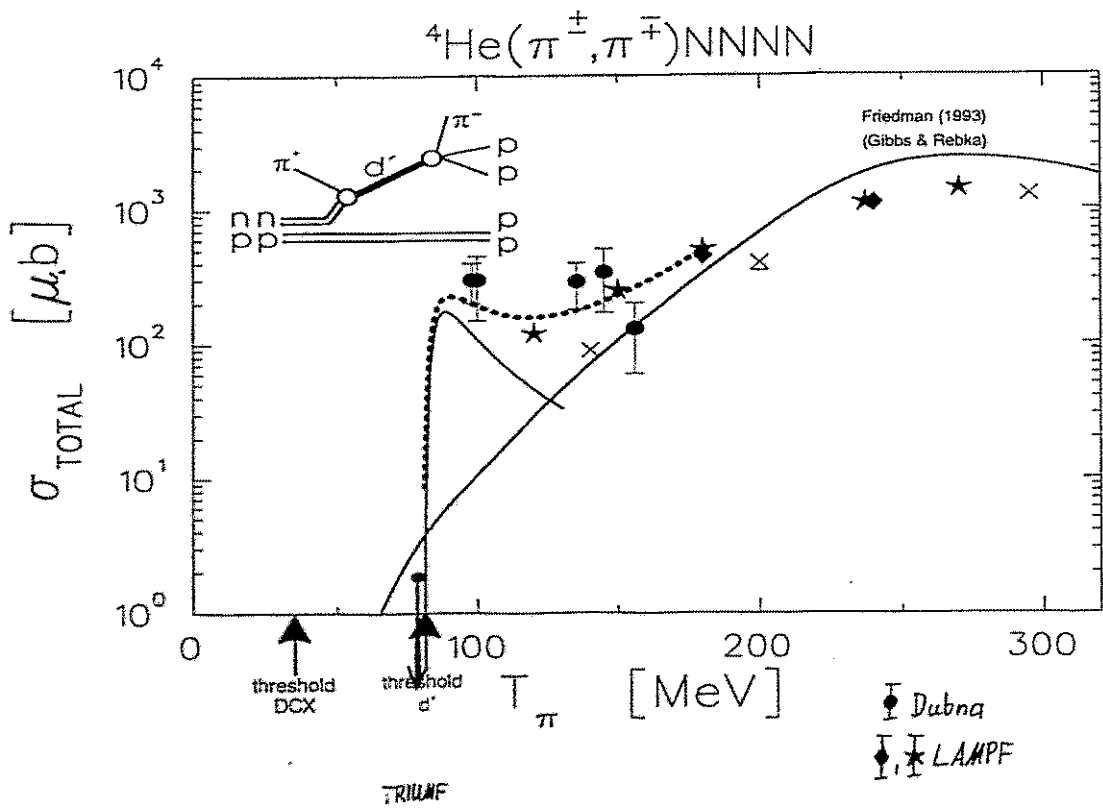
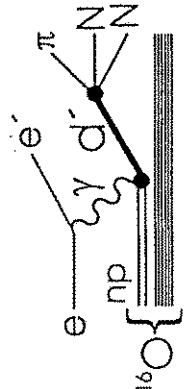


$M_{pp\pi^0} \text{ (GeV)}$

(ii) an  $^{16}\text{O}$

(ARGUS "beam gas data"):  
*Dorskriterisch et al., JHEP, priv. comm.*

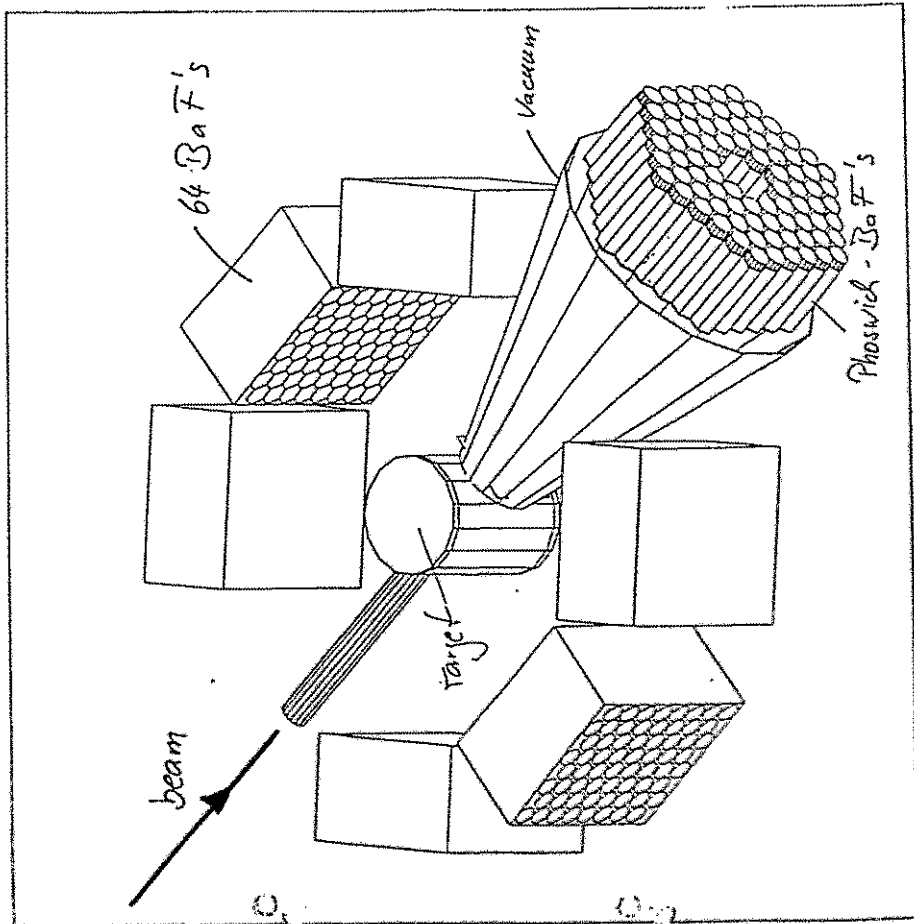
$e + ^{16}\text{O} \rightarrow p + p + \pi^\pm + X$



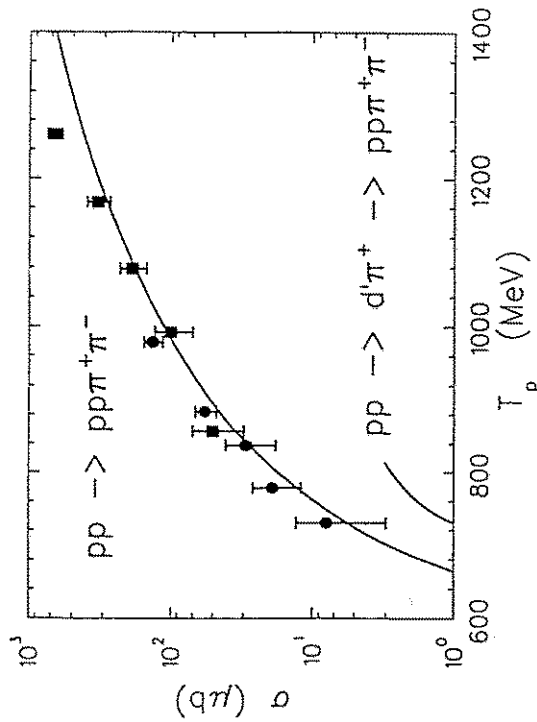
Planned TAPS-Setup for 1995

6 TAPS-blocks

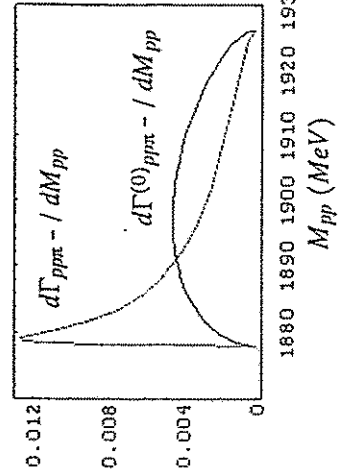
forward-detector covers:  $\Theta_{\text{Lab}} = \pm 20^\circ$



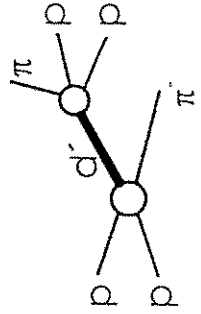
**d'-Produktion im pp-Stoß**



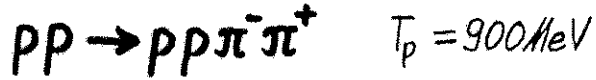
Z. Phys. A345, 407 (1993)



d'-Zerfalls-  
charakteristik

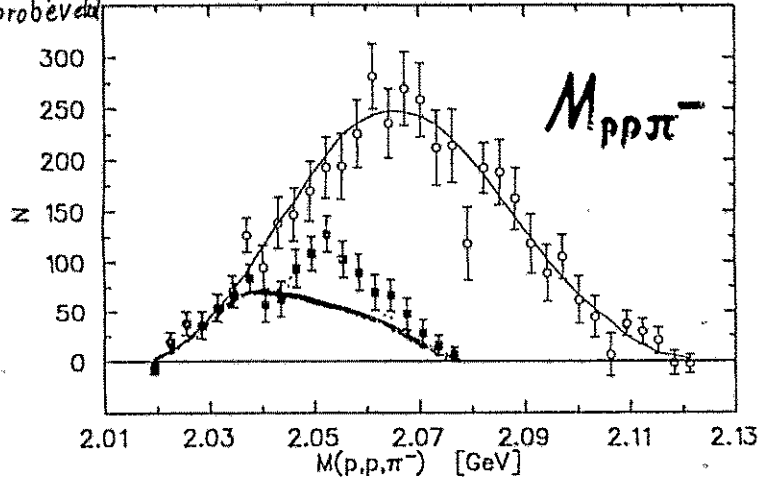


ITEP



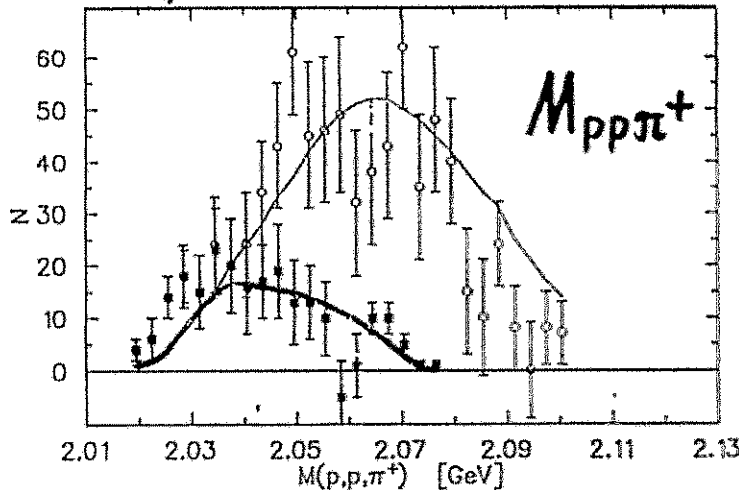
JETP Lett.  
53 (1984) 75  
L.S. Vorob'ev et al.

Pivnyuk: PRELIMINARY data

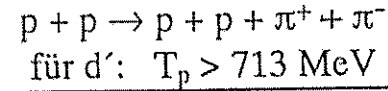


$M_{pp} - 2M_p < 18 \text{ MeV}$

Pivnyuk: VERY VERY PRELIMINARY data



Vorgeschlagene Präzisionsexperimente



CELSIUS: Protonenstrahl  
(Uppsala) (gekühlt nur bis 500 MeV)

WASA: internes Target,  
4 $\pi$ -Detektor,  
Vorwärtsdetektor bereits im Einsatz,

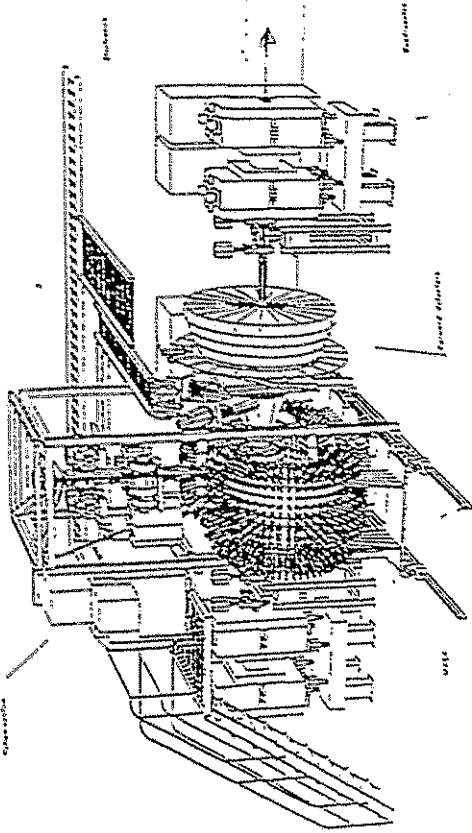
COSY: gekühlter Protonen-Strahl

COSY-11: internes Target,  
Suche nach  $d'$  direkt an der Schwelle

COSY-TOF: externes Target,  
4 $\pi$ -Detektor,  
Suche nach  $d'$  oberhalb der Schwelle

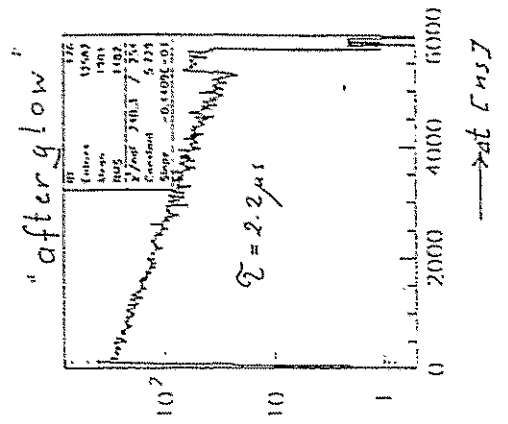


WASA/PROMICE @ CELSIUS



$\pi^+$  identification: delayed pulse technique

in medium:

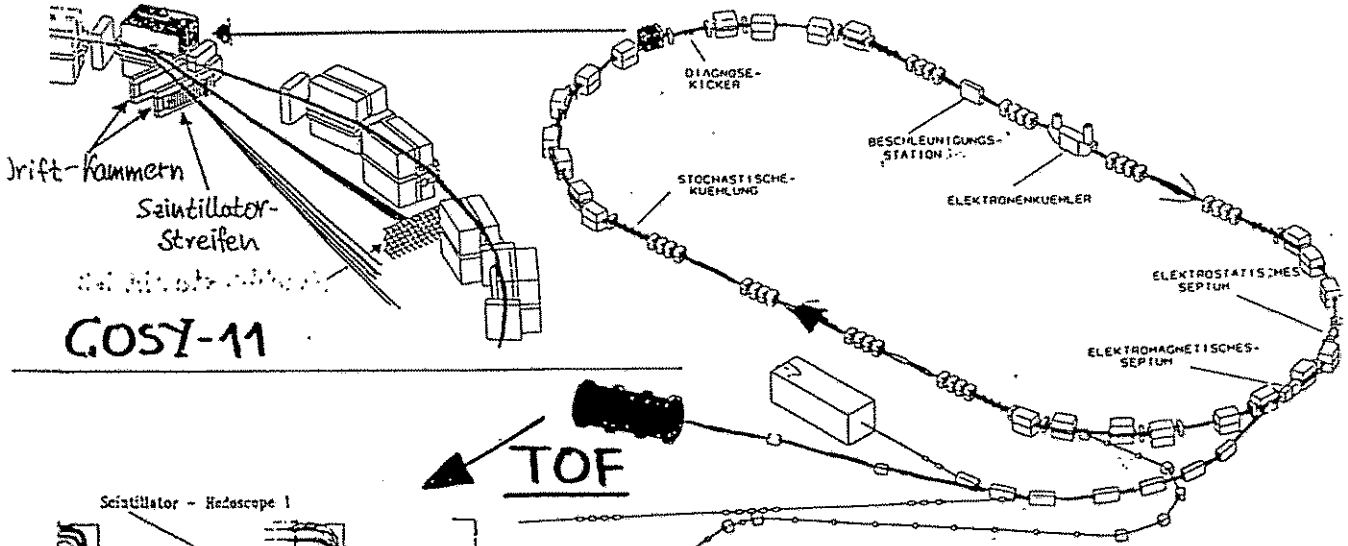


26nc

2.2  $\mu s$

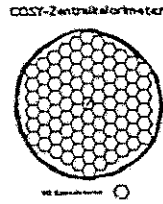
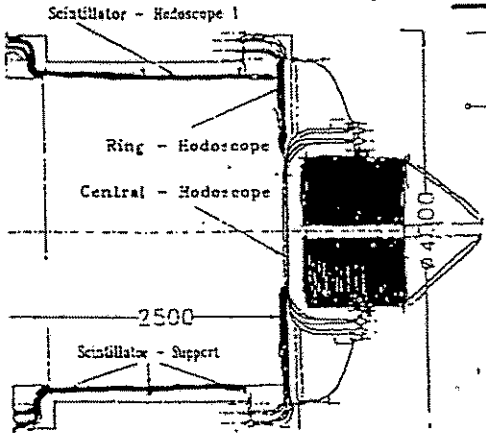
$\tau = 2.2 \mu s$

at Cms7



COSY-11

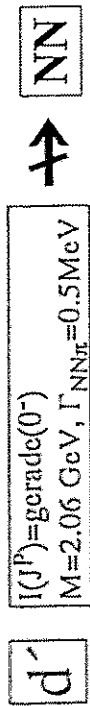
TOF



COSY

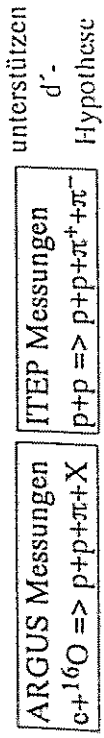
**Zusammenfassung**

Universelle Struktur der niederenergetischen DCX-Energieanregungsfunktion findet natürliche Erklärung durch eine schmale Resonanz im  $\pi NN$ -Subsystem



freier Zerfall:  $d \Rightarrow \pi^0 p, \pi^+ n, \pi^+ n n$   
 $\swarrow \searrow$   
 $\gamma p p$

Kernmediumseffekte ???



Problem: geringe Statistik!

geplante Experimente an einfachen Systemen:

DCX an He,

$2\pi$ -Produktion im pp-Stoß an COSY und CELSIUS,

$d'$ -Photo-Produktion Elektro

Theorie-Workshop  
(*Koordinator: H. J. Pirner*)

1. **D. Pirjol** (Mainz)  
Heavy Baryons
2. **R. Fleischer** (München)  
CP-Verletzung im B-System
3. **R. Jakob** (Wuppertal)  
E.m. Formfactors in the modified Hard Scattering Approach
4. **W. Melnitchouk** (Regensburg)  
Deep inelastic Scattering from Relativistic Constituent Quarks
5. **M. Beinker** (Dresden)  
 $q^2\bar{q}^2$  im Konstituenten-Quarkmodell
6. **E. Kolomeitsev** (Rossendorf)  
Kaon-Polarisation in Kernmaterie

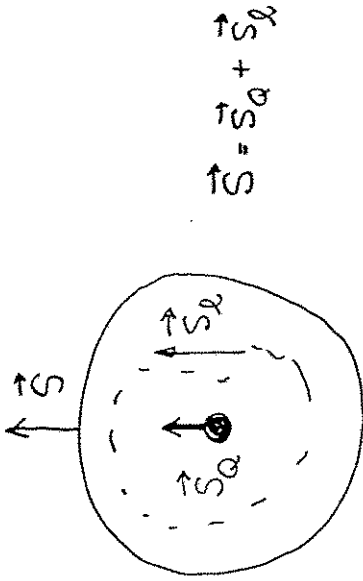
# HEAVY BARYONS

(SELECTED TOPICS)

D. PIJOL , MAINE  
J. LANDGRAF  
J. KÖRNER  
K. SCHILCHER

1. HEAVY QUARK SYMMETRY
2. HEAVY BARYONS
3. STRONG & ELECTROMAGNETIC DECAYS
4. SEMILEPTONIC DECAYS  $b \rightarrow c$

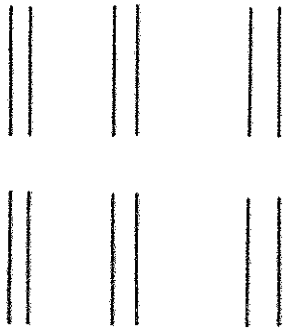
# HEAVY - QUARK SYMMETRY



- SPIN SYMMETRY :  $\vec{S}_Q, \vec{S}_q$  ARE SEPARATELY CONSERVED
- FLAVOR SYMMETRY : THE TYPE OF HEAVY QUARK IS IRRELEVANT

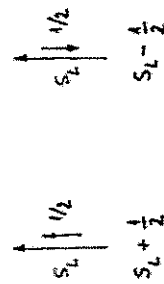
Voloshin, Shifman 1989  
Isgur, Wise 1990

Implications for the hadron spectrum (mesons + baryons)



$Q\bar{Q}$        $Q\bar{Q}$

Good quantum numbers for labeling the levels are the angular momentum and parity of the light d.o.f.  $S_L^{\pi_L}$ .

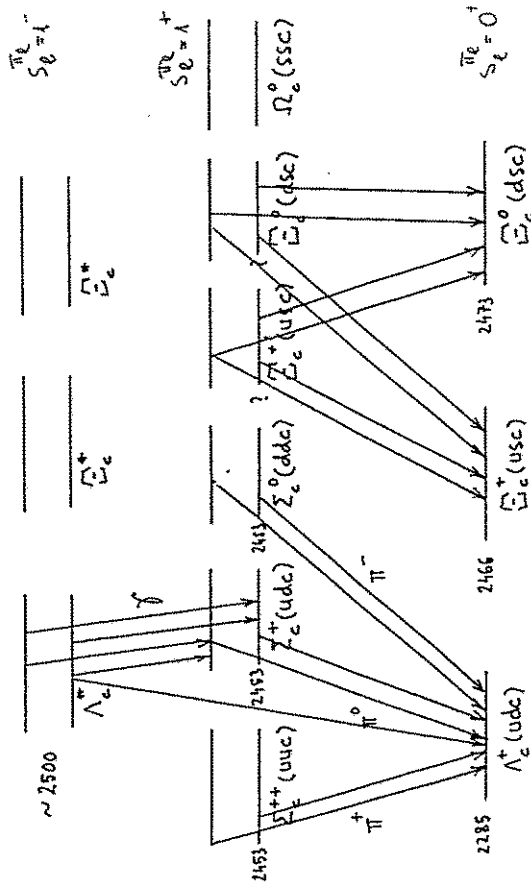


(possibly singlets if  $S_L = 0 \rightarrow \Lambda$ -baryons)

E.g.  $(D, D^*)$ ,  $(D'_1, D'_2)$ ,  $(\Sigma, \Sigma^*)$ ,  $(\Omega, \Omega^*)$

## HEAVY BARYONS' MASS SPECTRUM

$$3 \otimes 3 = \bar{3} \oplus 6$$



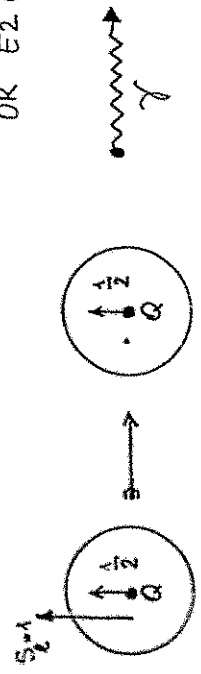
TYPICAL HEAVY QUARK SYMMETRY PREDICTIONS FOR STRONG AND ELECTROMAGNETIC DECAYS

OF HEAVY HADRONS

- SELECTION RULES

e.g.  $\Sigma_c^+ \rightarrow \Lambda_c + \gamma \quad \left( \frac{3}{2}^+ \rightarrow \frac{1}{2}^+ \gamma \right)$

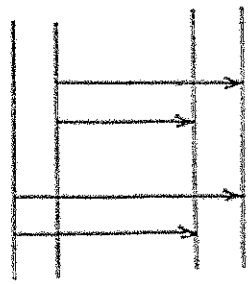
IN PRINCIPLE, THE PHOTON COULD BE  $M_1(1^+)$  OR  $E_2(2^+)$



LIGHT DEGREES OF FREEDOM:  $1^+ \rightarrow 0^+ + 1^+ \quad M_1(1^+) \quad E_2(2^+)$

- AMPLITUDE RATIOS

THE AMPLITUDES OF THE 4 TRANSITIONS ARE RELATED.



FORMAL DESCRIPTION OF THE HEAVY-QUARK SYMMETRY

THE HEAVY-QUARK PROPAGATOR

$$S_F(p) = i \frac{\not{p} + m}{p^2 - m^2}$$

BECOMES NEAR ON-SHELL, WITH  $p = mv + k$

$$S_F(k) = \frac{1 + \not{v}}{2} \cdot \frac{i}{v \cdot k} + \mathcal{O}(1/m)$$

ANY MASS-DEPENDENCE HAS DISAPPEARED!

THE ANALOG OF THIS IN POSITION SPACE IS THE FIELD TRANSFORMATION

$$Q(x) = \frac{1 + \not{v}}{2} e^{-imv \cdot x} h(x)$$

IN THE QCD LAGRANGIAN

$$\mathcal{L} = \bar{Q} (i \not{D} \not{v} - m) Q$$

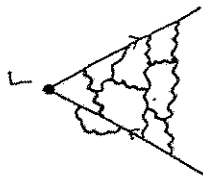
IT BECOMES

$$\mathcal{L}_{HQET} = \bar{h} i v \cdot D h + \mathcal{O}(1/m)$$

## SEMILEPTONIC DECAYS

- HEAVY-TO-HEAVY  $\Lambda_b \rightarrow \Lambda_c e \bar{\nu}$   $b \rightarrow c$   
 $\Omega_b \rightarrow \Omega_c e \bar{\nu}$
- HEAVY-TO-LIGHT  $\Lambda_c \rightarrow \Lambda e \bar{\nu}$   $c \rightarrow s$

THE MOST PREDICTIVE POWER IS OBTAINED FOR HEAVY-TO-HEAVY TRANSITIONS.



$$\sim \bar{u}(v') \Gamma u(v) \xi(v, v')$$

↓  
ISGUR-WISE FUNCTION

FOR  $\Gamma = \gamma \mu$   $\rightarrow \xi(1) = 1$ . NORMALIZATION CONDITION

- FOR  $\Lambda_b \rightarrow \Lambda_c$ , 3 FORM-FACTORS NEEDED IN GENERAL  
 $\xrightarrow{m_b, m_c \rightarrow \infty}$  1 FORM-FACTOR (IW-FUNCTION)

- A SIMILAR (BUT LESS EFFECTIVE) SIMPLIFICATION OCCURS ALSO FOR HEAVY-TO-LIGHT TRANSITIONS

## MASS CORRECTIONS AND THE LUKE THEOREM

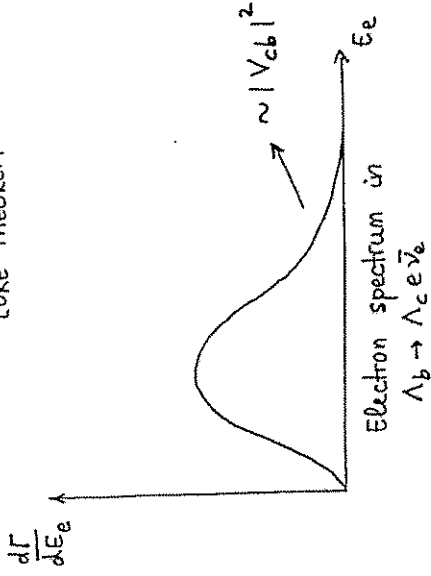
$$\begin{aligned} \langle \Lambda_c(v') | \bar{e} \gamma_\mu \gamma_5 b | \Lambda_b(v) \rangle &= \bar{u}(v') [f_1^A(v, v') \delta_\mu + f_2^A v_\mu + f_3^A v_\mu'] \gamma_5 u(v) \\ &= \bar{u}(v') \gamma_\mu \gamma_5 u(v) \xi(v, v') + \mathcal{O}\left(\frac{1}{m_{b,c}}\right) \end{aligned}$$

$$f_1^A(v, v'=1) = 1 + \frac{C_1}{m_{b,c}} + \frac{C_2}{m_{b,c}} + \dots$$

↑  
HQET prediction

↓  
LUKE THEOREM

? →



THE KNOWLEDGE OF THE  $1/m^2$ -CORRECTIONS IS ESSENTIAL FOR A PRECISE  $V_{cb}$  DETERMINATION.

MODEL - INDEPENDENT DETERMINATION OF THE  $1/m^2$  CORRECTIONS

- CONSIDER THE HADRONIC TENSOR

$$W_{\mu\nu}^i = (2\pi)^3 \sum_X \delta(p_b - p_X) \langle H_b | J_\mu^\dagger | X \rangle \langle X | J_\nu | H_b \rangle$$

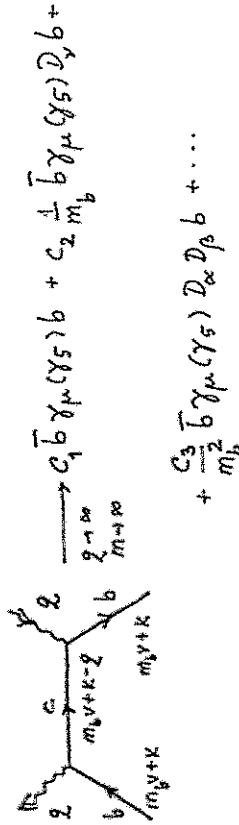
AS FUNCTION OF  $\gamma, k$  AT FIXED  $\nu, \nu'$

- IT CAN BE RELATED TO

$$T_{\mu\nu} = -i \int d^4x e^{-iq \cdot x} \langle H_b | T J_\mu^\dagger(x) J_\nu(0) | H_b \rangle$$

AS  $W_{\mu\nu} = -\frac{1}{\pi} \text{Im } T_{\mu\nu}$

- IN THE  $m \rightarrow \infty$  LIMIT, THE T-PRODUCT CAN BE EXPANDED INTO AN OPERATOR PRODUCT EXPANSION.



- THE MATRIX ELEMENTS OF THE OPERATORS ON THE RIGHT-HAND SIDE CAN BE PARAMETRIZED IN TERMS OF 2 NUMBERS (TO ORDER  $1/m^2$ ).

- DIMENSION - 3 OPERATORS  $\bar{b} \gamma_\mu \gamma_5 b$

→ FREE-QUARK DECAY

- DIMENSION - 4 OPERATORS  $\bar{b} \gamma_\mu \gamma_5 i D_\nu b$

→ CAN BE RELATED BY THE EQ. OF MOTION TO DIM.-5 OPERATORS

- DIMENSION - 5 OPERATORS  $\bar{b} \gamma_\mu \gamma_5 i D_\alpha i D_\beta b$

THEIR MATRIX ELEMENTS CAN BE REDUCED TO

TWO NUMBERS :

$$\langle \Lambda_b | \bar{b} (iD)^2 b | \Lambda_b \rangle \approx -0.5 \text{ GeV}^2 \quad (\text{from QCD sum rules})$$

= the average kinetic energy of the b-quark within the hadron  $\Lambda_b$ .

$$\langle \Lambda_b | \bar{b} \gamma_\mu \gamma_5 b | \Lambda_b \rangle = \left( 1 + \frac{M_\Lambda^2}{m_b^2} + \dots \right) S_\mu$$

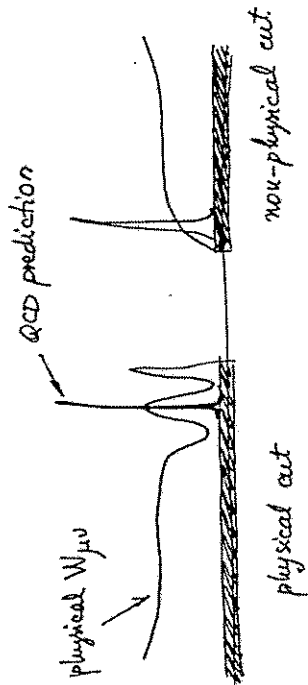
$$M_\Lambda^2 \approx -0.33 \text{ GeV}^2 \quad (\text{from quark models})$$



Urahtsev, Shifurau, Vainshtei  
 Körner, Pijel  
 Bigi, Uraltsev, Shifurau,  
 Vainshtein

OPE SUM RULES

BASIC IDEA : EQUATE THE THEORETICAL EXPRESSION FOR  $W_{\mu\nu}$  WITH ITS REPRESENTATION AS A SUM OVER INTERMEDIATE STATES. (SIMILAR TO QCD SUM RULES)



ASSUME DUALITY :

$$\int_{\text{physical cut}}^{\text{QCD}} W_{\mu\nu}(q_0) dq_0 = \int_{\text{physical cut}}^{\text{hadronic}} W_{\mu\nu}(q_0) dq_0$$

$$\rightarrow f_A^+(1) \leq 1 - \frac{\mu_A^2}{8} \left( \frac{1}{m_c^2} + \frac{1}{m_b^2} + \frac{2}{3m_c m_b} \right) + \mathcal{O}\left(\frac{1}{m^3}\right) \sim 2.5\%$$

# CP-Verletzung im B-System

Vortrag für das Arbeitsstreffen  
kern- und Teilchenphysik des BHF

Pinna, 4.-7. Oktober 1984

R. F.  
Physik Department  
Institut für Theoretische Physik  
TU München

1. Einführung zur CP-Verletzung
2. CP-Verletzung im Standardmodell
3. CP-Asymmetrien in  $B^0$ - und  $B^+$ -Zerfällen
4. Neue Entwicklungen
5. Zusammenfassung

# CP-Verletzung im B-System

$\mathcal{CP}$  ist eines der zentralen  
Phänomene der Elementarteilchenphysik

\* direkter experimenteller Nachweis

der  $\mathcal{CP}$  bisher nur im System  
der neutralen K-Mesonen:  
(Christenson et al. ('64))

$$K_L \rightarrow \pi\pi$$

$$BR(K_L \rightarrow \pi\pi) \approx 2 \cdot 10^{-3}$$

$\Rightarrow \mathcal{CP}$  ist kleiner Effekt!

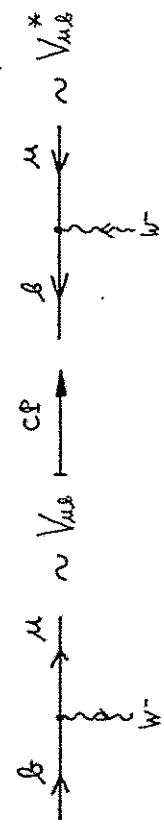
\* System der B-Mesonen für zukünftiges  
experimentelles Studium der  $\mathcal{CP}$  sehr  
vielversprechend!

Beschreibung der CP im Rahmen des Standardmodells der elektroschwachen WW

\* Cabibbo-Kobayashi-Maskawa-Matrix (CKM-Matrix):

$$V = \begin{pmatrix} V_{ud} & V_{us} & V_{ub} \\ V_{cd} & V_{cs} & V_{cb} \\ V_{td} & V_{ts} & V_{tb} \end{pmatrix}$$

CKM-Elemente mit "CC-Kopplungen":



Kobayashi und Maskawa (173):

CP, falls es mindestens 3 Generationen gibt!

→ komplexe Phase in der CKM-Matrix

Wolfenstein (83):  $\lambda, A, \theta, \gamma$

$$V = \begin{pmatrix} 1 - \frac{1}{2}\lambda^2 & \lambda & A\lambda^3 \sqrt{s^2 + \eta^2} e^{-i\gamma} \\ -\lambda & 1 - \frac{1}{2}\lambda^2 & A\lambda^2 \\ A\lambda^3 \sqrt{1 - s^2 + \eta^2} e^{-i\beta} & -A\lambda^2 & 1 \end{pmatrix} + O(\lambda^4)$$

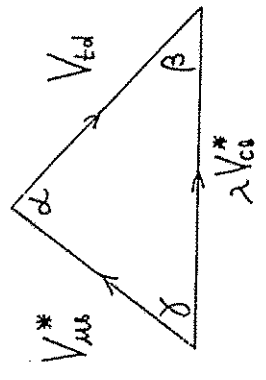
$\lambda = 0.22$ ;  $A = 0.83 \pm 0.10$ ;  $\frac{1}{\lambda} \frac{|V_{ub}|}{|V_{cb}|} = \sqrt{s^2 + \eta^2} = 0.36 \pm 0.09$

$\beta = \beta(s, \eta)$ ,  $\gamma = \gamma(s, \eta)$

Winkel des Unitaritätsdreiecks:

$V \cdot V^\dagger = 1 \Rightarrow V_{ub}^* V_{ud} + V_{cb}^* V_{cd} + V_{tb}^* V_{td} = 0 \Rightarrow$

$|V_{ud}| e^{i\gamma} - \lambda |V_{cb}| + |V_{td}| e^{-i\beta} = 0$



Buras  
Lautenbach  
Ostermair  
(174)

CP-verletzende Asymmetrien im B-Zerfällen

Winkel des Unitaritätsdreiecks

großes Interesse an "B-Physik":

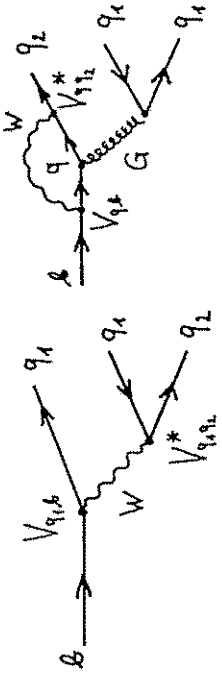
\* geplante Projekte:

- DESY (HERA - B)
- SLAC
- Fermi Lab
- CERN
- KEK

Elektroschwache B-Meson-Zerfälle

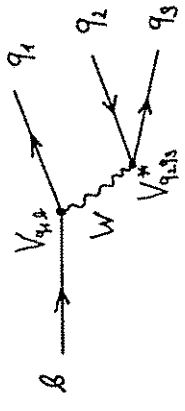
→ drei Zerfallsklassen:

• Zerfälle mit Tree- und Penguin-Beiträgen:



$q_1 \in \{u, c\}, q_2 \in \{d, s\}, q \in \{u, c, t\}$

• reine Tree-Zerfälle:



$q_1 \neq q_2 \in \{u, c\}, q_3 \in \{d, s\}$

• reine Penguin-Zerfälle:



$q_1, q_2 \in \{d, s\}, q \in \{u, c, t\}$

# CP-Asymmetrien in $B^0$ -Zerfällen

\* charakteristische Eigenschaft der

$B_q^0$ -Mesonen ( $q \in \{d, s\}$ ):

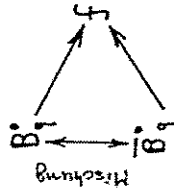
$B_q^0 - \bar{B}_q^0$ -Mischung

↳ interessante Effekte, u.a.

mischunginduzierte CP

\* besonders vielversprechend (th. & exp.):

Zerfälle  $B_q \rightarrow f$  mit  $CP|f\rangle = \pm|f\rangle$ :



Falls Dominanz einer CKM-Amplitude (i.a. Tree-Beiträge) im  $B_q^0 \rightarrow f$   $\Rightarrow$   $\#$  hadronische Unsicherheiten im dem CP-Asymmetrien!

↳ zeitabhängige CP-Asymmetrie

$$A_{CP}(t) = \frac{\Gamma(B_q^0(t) \rightarrow f) - \Gamma(\bar{B}_q^0(t) \rightarrow f)}{\Gamma(B_q^0(t) \rightarrow f) + \Gamma(\bar{B}_q^0(t) \rightarrow f)} = A_{CP}(B_q \rightarrow f) \sin(\Delta M_q t)$$

$$A_{CP}(B_q \rightarrow f) = \pm \sin[2\{\theta_M^{(q)} - \theta_D^{(q)}\}]$$

$\theta_M^{(q)} = \begin{cases} \beta & \text{für } q=d \\ 0 & \text{für } q=s \end{cases}$  Charakteristische schwache Phase der  $B_q^0 - \bar{B}_q^0$ -Mischung

$\theta_D^{(s)} = \begin{cases} -\gamma: \text{dominante } b \rightarrow u \text{ Tree-Beiträge im } B_q \rightarrow f \\ 0: \text{dominante } b \rightarrow c \text{ Tree-Beiträge im } B_q \rightarrow f \end{cases}$

$\Delta M_q$ : Massendifferenz der physikalischen Mischungseigenzustände

"Mischungsparameter":

$$X_q \equiv \tau_{B_q} \Delta M_q = \begin{cases} 0.76 \pm 0.06 & q=d \\ 0(10) & \text{für } q=s \end{cases}$$

$\tau_{B_q} \approx 1.5$  ps: Lebensdauer

- wichtige Beispiele und Anwendungen:

$$B_d \rightarrow \psi K_S$$

$$CP(\psi K_S) = -|\psi K_S\rangle$$

$$\Theta_H^{(\psi)} = \beta$$

$\beta \rightarrow c$  Tree-Amplitude dominant  $\Rightarrow$

$\Theta_D = 0$  (in sehr guter Näherung!)

$$A_{CP}(B_d \rightarrow \psi K_S) = -\sin[2\{\beta + \alpha\}]$$

$$B_d \rightarrow \pi^+ \pi^-$$

$$CP(\pi^+ \pi^-) = +|\pi^+ \pi^-\rangle$$

$$\Theta_H^{(\pi)} = \beta; \quad \Theta_D = -\gamma \quad (\beta \rightarrow u \text{ Tree dominant})$$

$$A_{CP}(B_d \rightarrow \pi^+ \pi^-) = \sin[2\{\beta + \gamma\}] = -\sin 2\alpha$$

- hadronische Unsicherheiten (Pinguine) können durch Isospin-Relationen zwischen  $B_S^0 \rightarrow \pi^+ \pi^-, B_d^0 \rightarrow \pi^+ \pi^0$  und  $B^+ \rightarrow \pi^+ \pi^0$  eliminiert werden (Gronau & London ('90))

$$B_S \rightarrow S^0 K_S$$

$$CP(S^0 K_S) = -|S^0 K_S\rangle$$

$$\Theta_H^{(S)} = 0 \quad \Theta_D = -\gamma \quad (\beta \rightarrow u \text{ Tree dominant})$$

$$A_{CP}(B_S \rightarrow S^0 K_S) = -\sin[2\{0 + \gamma\}] = -\sin 2\gamma$$

- hadronische Unsicherheiten (Pinguine)

## CP-Asymmetrie in $B^{\pm}$ -Zerfällen

\* charakteristische Eigenschaft der  $B^{\pm}$ -Mesonen:

$$\# \text{ Mischung} \Rightarrow A_{CP} \equiv \frac{\Gamma(B^+ \rightarrow f) - \Gamma(B^+ \rightarrow \bar{f})}{\Gamma(B^+ \rightarrow f) + \Gamma(B^+ \rightarrow \bar{f})} \rightarrow \left\{ \begin{array}{l} \text{direkte} \\ \text{CP} \end{array} \right.$$

- theoretische Analysen vom  $A_{CP}$  problematisch und i.a. mit großen Unsicherheiten behaftet!

\* interessante Prozesse:

- pinguininduzierte  $B \rightarrow d$  Zerfälle  $\rightarrow$  große direkte CP (Gérard & Hou ('89), Summa & Wyler ('91), R.F. ('93-'94))



$\Rightarrow A_{CP} \neq 0$  durch Interferenz der Pinguine mit internen  $u, c$  und  $t$ -Quarks

- Zerfälle des Typs  $B^{\pm} \rightarrow D k^{\pm}$  (Gronau & Wyler ('91))

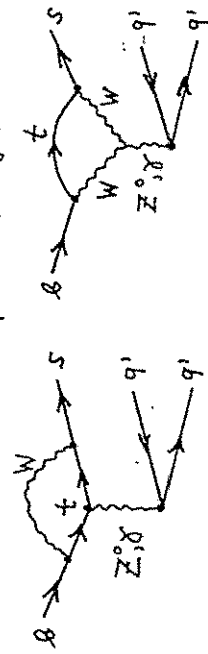
$$B^{\pm} \rightarrow D^0 k^{\pm}, B^{\pm} \rightarrow \bar{D}^0 k^{\pm}, B^{\pm} \rightarrow D_{CP} k^{\pm}$$

Teile "Tree-Zerfälle", keine CP erlauben "saubere" Bestimmung vom  $\gamma$  mit Hilfe von Dreiecksrelationen

R.F. ('94)

**Neue Entwicklungen**

\* Beiträge elektroschwacher Pinguine:  
(R.F. ('93-'94), Deshpande & He ('94))



- werden für große Top-Quark-Massen ( $M_t = O(170 \text{ GeV})$ ) wichtig (Analogie zu E'/E im K-System)

• Signifikante Effekte in  $B^- \rightarrow K^0 \pi^+$   
(R.F. ('93), Deshpande & He ('94))

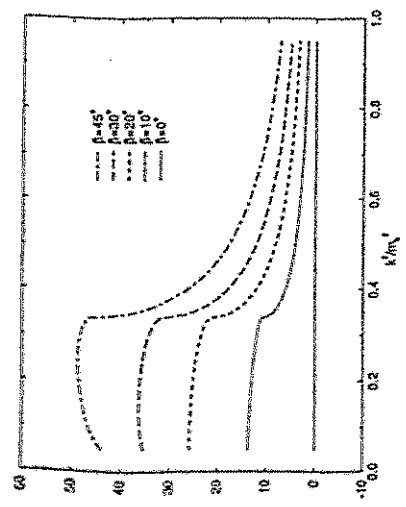
$BR(B^- \rightarrow K^0 \pi^+) = O(10^{-5})$  wird durch  
EMF - Beiträge um  $\sim 30\%$  reduziert!

• elektroschwache Pinguine dominant in  
 $B \rightarrow M \pi$  (M =  $\pi, K, \dots$ ) (R.F. ('94))

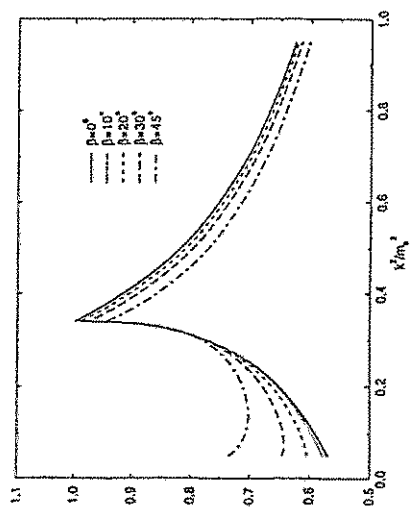
$\rightsquigarrow$  starke  $m_t$ -Abhängigkeit vom

$BR(B^- \rightarrow \pi^0 \pi^+) = O(10^{-5})$  und  $O_{CP}(B^- \rightarrow \pi^0 \pi^+) = O(10^{-2})$

• elektroschwache Pinguine dominant in  
 $B_s \rightarrow \pi^0 \pi^+$  (R.F. ('94))



$CP(B^- \rightarrow K^0 \pi^+) [\%]$



$BR(B^+ \rightarrow K^+ K^0)/10^{-6}$

\* SU(3) - Relationen zwischen B-Meson  
Zerfallsamplituden

(Gronau, Hernández, London, Rosner '94)

SU(3) - Flavour - Symmetrie der starken WW  
⊕ plausible dynamische Annahmen

→ Dreiecksrelationen zwischen  $B \rightarrow \{\pi\pi, \pi K, K\bar{K}\}$

Bestimmung sowohl der schwachen Phasen der CKM-Matrix als auch starker Endzustandswechselwirkungsphasen durch Messung der entsprechenden Verzweungsverhältnisse! (keine Zeitlosh Eff.)

- Probleme der Methode durch:

- nichtfaktorisierbare SU(3) - Brechung
- elektroschwache Penguin-Beiträge (Buras & R.F., Deshpande & He '94)
- QCD-Penguin mit internen up- und Charm-Quarks (Buras & R.F. '94):  
- können durch Messung der  $B_s^0 - \bar{B}_s^0 / B_s - \bar{B}_s$ -Mischung eliminiert werden

- weitere Anwendung der Methode zur

Vorhersage der CP-Asymmetrie  $A_{CP}^{mix-ind}(B_d \rightarrow K^0\bar{K}^0)$

(R.F. '94)

$$A_{CP}^{mix-ind}(B_d \rightarrow K^0\bar{K}^0) = \mathcal{O}(30\%)$$

QCD-Penguin mit internen u- und c-Quarks

→ im SH!

## Zusammenfassung

- CP zentrales Phänomen der ETP
- B-System sehr vielversprechend für experimentelles Studium der CP:
- CP-Asymmetrien in neutralem B-Zerfällen
 

$B_d \rightarrow \psi K_S$ :	$\sin 2\beta$
$B_d \rightarrow \pi^+ \pi^-$ :	$\sin 2\alpha$
$B_s \rightarrow S^0 K_S$ :	$\sin 2\gamma$
- CP-Asymmetrien im geladenen B-Zerfällen:
  - Rechnungen i.a. problematisch und unsicher!
  - Penguininduzierte  $B \rightarrow d$  Zerfälle → große direkte CP
  - $B^\pm \rightarrow D K^\pm$  → "saubere" Bestimmung von  $\gamma$
- Neue Entwicklungen:
  - Elektroschwache Penguin können für  $m_t = \mathcal{O}(170 \text{ GeV})$  wichtig werden ( $B \rightarrow K\phi$ ,  $B \rightarrow M\phi$  (Me( $\pi, \rho, \omega$ )),  $B_s \rightarrow \pi^0\phi$ )
  - Anwendungen der SU(3) - Flavour - Symmetrie der starken Wechselwirkung



## ELECTROMAGNETIC FORM FACTORS

in the modified Hard Scattering Approach

$$F_{\pi}(q^2), G_H^p(q^2), G_H^n(q^2)$$

outline

- HSA, mHSA
- pion form factor
- magn. form factor of nucleons

information about deviations from point-like structure of charge and magnetic moment distributions

non-relativistic charge form factor =

F.T of spatial charge distribution

relativistic case: possible to go to frame where  $q^0$  has no time-like component

(e.g. brick wall)

⇒ charge (magnetic) distributions =

F.T. of  $F_{\pi}, G_E(G_H)$

distributions are not Lorentz invariant

R.J., P. Kroll, PLB 315 ('93) 463.

B 319 ('93) 545 (E)

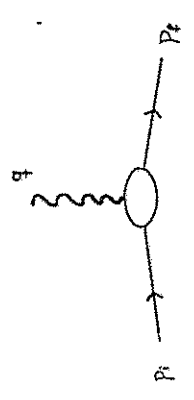
J. Boly, R.J., P. Kroll, M. Bergmann, M.G. Selam

WU-B-94-06, WU-B-94-17

modulus squared of form factors

describe probability of a hadron to stay intact when it is hit by a photon  
 probability decreases with increasing momentum transfer

'dimensional counting rules':  $F(Q^2) \sim Q^{-n+2}$   
 $n = \text{min. \# of ext. partons}$



define: pion form factor

$\gamma^* \pi \rightarrow \pi$  vertex in the amplitude for  $e\pi \rightarrow e\pi$

$$T_\mu = -ie F_\pi(Q^2) (p_i + p_f)_\mu$$

## Hard Scattering Approach

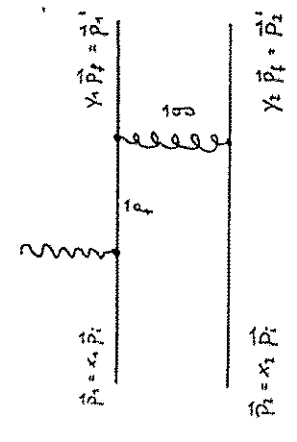
Drell-Yan-West

$$F_\pi(Q^2) = \int \frac{dx d^2k_\perp}{16\pi^3} \psi^*(x, (1-x)\vec{q} + \vec{k}_\perp) \gamma(x, \vec{k}_\perp)$$

large  $|\vec{q}|$ : perturbative tail  $\rightarrow$  OGE Kernel

$$F_\pi(Q^2) = \int \frac{dx d^2k_\perp}{16\pi^3} \int \frac{dy d^2k'_\perp}{16\pi^3} \psi_0^*(y, \vec{k}_\perp) T_H(x, y, k_\perp, k'_\perp, Q, \mu) \psi_0(x, \vec{k}_\perp)$$

$\psi_0(x, k_\perp)$  soft part of (valence Fock state) wave function



collinear approx.

$$q^2 = -x_2 x_1 Q^2$$

$$p^2 = -x_2 Q^2$$

Light cone variables.

$$p_i^+ = x_1 Q/\sqrt{2} \quad p_i^- = x_2 Q/\sqrt{2}$$

$$F_{\pi}(Q^2) = \frac{f_{\pi}}{24} \int_0^1 dx dy \phi(x, y, \mu^2) T_H(x, y, Q, \mu) \phi(x, y, \mu^2)$$

with

$$T_H \approx \frac{16\pi L_1(\mu) C_F}{x_1 y_2 Q^2}$$

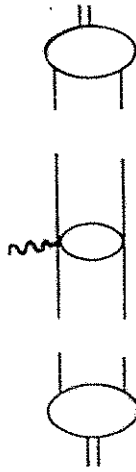
and

$$\frac{f_{\pi}}{2\sqrt{Q^2}} \phi(x, y, \mu^2) = \int \frac{d^4 k_L}{16\pi^3} \psi(x, k_L) \quad \text{DA}$$

$|\vec{k}_L| \leq \mu_F$

factorization:

$$\phi^* \otimes T_H \otimes \phi$$



Long-distance non-perturbative ⊗ short distance perturbative ⊗ Long-distance non-perturbative

Problems in HSR

1.) scale  $\mu$  in  $T_H(x, y, Q, \mu)$ :

$\mu^2 = Q^2$  leads to large higher order corrections

$$\ln(\mu^2 / x_1 y_2 Q^2)$$

$\mu^2 = x_1 y_2 Q^2$  leads to singularities of  $\alpha_s(x_1 y_2 Q^2)$   
for  $x_1 y_2 \rightarrow 0$

2.) large end-point contributions

e.g.  $Q^2 = 5 \text{ GeV}^2$  IR-cutoff in  $\alpha_s$



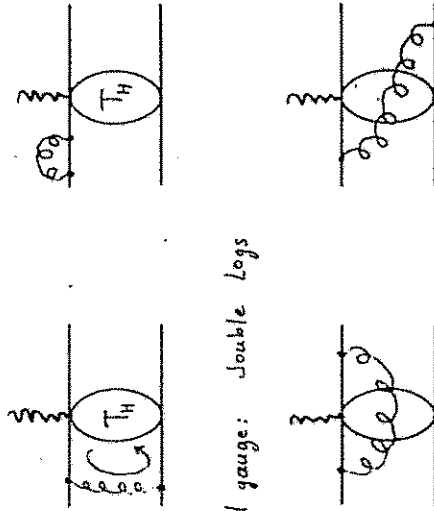
define 'end-point regions' by  $x_i < \sqrt{\Lambda_{\text{QCD}} / Q}$   
i.e., large components  $p_i^+, p_i^-$  smaller than  $\Lambda_{\text{QCD}}$ !

DA	'end-point contributions'
C.Z.	83 %
asy.	46 %

- J. Dotts, W. Stermann, Nucl. Phys. B 325 (1989) 62
- H.-N. Li, G. Stermann, Nucl. Phys. B 389 (1992) 729
- H.-N. Li, Phys. Rev. D 48 (1993) 4243

### modified Hard Scattering Approach

coincides with HSA for  $Q \rightarrow \infty$ ;  $x$  fixed  
 retains more information for  $x \rightarrow 0$ ;  
 $Q$  fixed



in axial gauge: double logs

in axial gauge: single logs

transverse momentum flow through hard amplitude  $T_H$

in transverse configuration space:

$$F_{\pi}(Q^2) = \int \frac{dx dy}{(4\pi)^2} d^4b_1 d^4b_2 \hat{\Psi}_0(y, b_2) \hat{T}_H(x, y, b_1, b_2, 0, \mu) \hat{\Psi}_0^*(x, b_1)$$

$$\times \exp \left\{ -S(x, y, b_1, b_2, 0, \mu) \right\}$$

$\hat{T}_H$  = Fourier transform of

$$\frac{x_2 Q^2}{x_2^2 Q^2 + k_L^2} \frac{16\pi\alpha_s(\mu) C_F}{x_2 y_2 Q^2 + (k_L + \ell_2)^2}$$

note:

$$\frac{k_L^2}{Q^2} \ll 1 \quad \text{but} \quad \frac{k_L^2}{x_2 y_2 Q^2} \not\ll 1$$

for  $x_2 y_2 \rightarrow 0$

m transverse configuration space m HSA

$$F_{\pi}(Q^2) = \int \frac{dx dy}{(4\pi)^2} \int d^2b_1 d^2b_2 \Psi_0(y, b_2) \hat{T}_H(x, y, b_1, b_2, Q, \mu) \Psi(x, b_1) \\ \times \exp\left\{-S(x, y, b_1, b_2, Q, \mu)\right\}$$

with

$$S(x, y, b_1, b_2, Q, \mu) = \sum_{i=1}^2 \left[ s(x_i, b_i, Q) + s(y_i, b_i, Q) \right]$$

$$\text{(LL \& NLL)} \quad - \frac{1}{\beta_1} \ln \left( \frac{\ln t/\Lambda}{\ln t/b_1 \Lambda} \right) - \frac{1}{\beta_2} \ln \left( \frac{\ln t/\Lambda}{\ln t/b_2 \Lambda} \right)$$

and

$$\hat{T}_H(x, y, b_1, b_2, Q, \mu) = \frac{4 \alpha_s(t) C_F}{\pi} K_0(\sqrt{x_1 y_2} Q b_1) K_0(\sqrt{x_2 y_1} Q (b_1 + b_2))$$

with the choice

$$\mu = t := \max(\sqrt{x_1 y_2} Q, 1/b_1, 1/b_2)$$

i.e., the largest mass scale in  $\hat{T}_H$

## Sudakov corrections

in axial gauge: Leading double-log corrections may be factored into the wave functions



exponentiation of leading logs:

$$\exp[-S(x, b, Q)] = \exp[-s(x, b, Q) - s(-x, b, Q)]$$

$$s(x, b, Q) = \frac{C_F}{2\beta_1} \left\{ \ln(x\sqrt{Q}/\Lambda_{\text{QCD}}) \ln \left[ \frac{\ln(x\sqrt{Q}/\Lambda_{\text{QCD}})}{-\ln(b\Lambda_{\text{QCD}})} \right] \right.$$

$$\left. - \ln(x\sqrt{Q}/\Lambda_{\text{QCD}}) - \ln(b\Lambda_{\text{QCD}}) \right\}$$

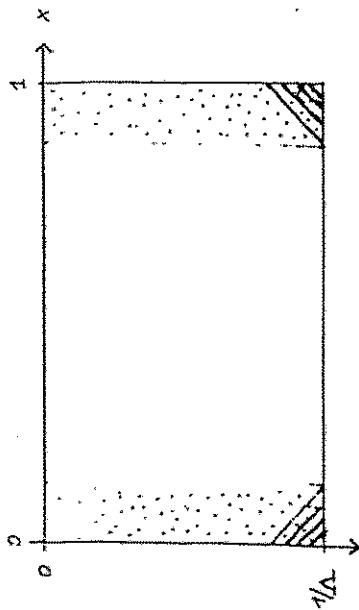
$$C_F = 4/3 \quad \beta_1 = (11 - 2/3 n_f) / 4 \quad n_f = \# \text{ flavors}$$

$b$  = transverse distance of the constituents  
(conj. var. of transverse momentum)

acts as infrared - regulator  
(in analogy to QED: charge dipol)

way out

$$x_2 y_2 Q^2 + (k_{\perp} + \ell_{\perp})^2$$



$b =$  'impact parameter' (can. conj. of  $k_{\perp}$ )



'soft' in HSP



'soft' in modified HSP

gluon is 'soft' if both

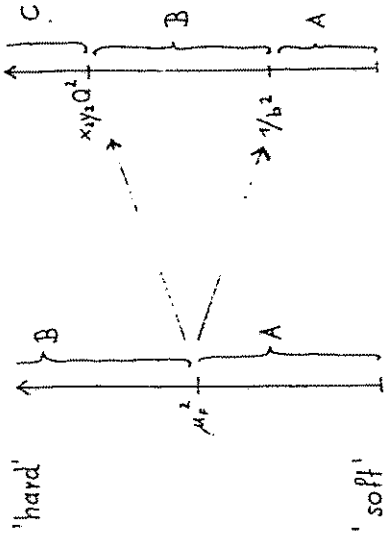
$x_2 y_2 Q^2$  and  $(k_{\perp} + \ell_{\perp})^2$  are small  
(i.e.  $b$  is large)

suppose a mechanism which suppresses

the dangerous soft regions

$\Rightarrow$  no 'cuts' are necessary

Scales



HSP

A: soft  $\rightarrow$  evolution of DAs

B: hard  $\rightarrow$  higher order corrections of  $T_H$  (K-factor)

modified HSP

A: very soft  $\rightarrow$  evolution

B: intermediate soft  $\rightarrow$  explicitly in Sudakov factor

C: hard  $\rightarrow$  h.o. in  $T_H$

$\therefore$  scales  $x_2 y_2 Q^2$  and  $1/b^2$  are allowed to interchange!

What happens with the Sudakov factor?

intrinsic transverse momentum

respective b - dependence in  $\hat{\Psi}_0(x,b)$

ansatz: 
$$\hat{\Psi}_0(x,b) = \frac{f_\pi}{2\sqrt{6}} \varnothing(x) 4\pi \exp\left(-\frac{x(1-x)b^2}{4a^2}\right)$$

with 
$$\int_0^1 dx \varnothing(x) = 1$$

two parameters:  $f_\pi, a$

two constraints:  $\pi \rightarrow \mu\nu \Rightarrow f_\pi = 130.7 \text{ MeV}$

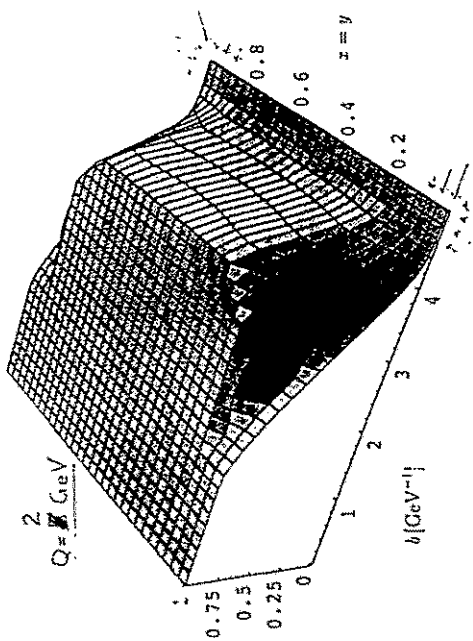
$\pi^0 \rightarrow \gamma\gamma \Rightarrow a$

DA s

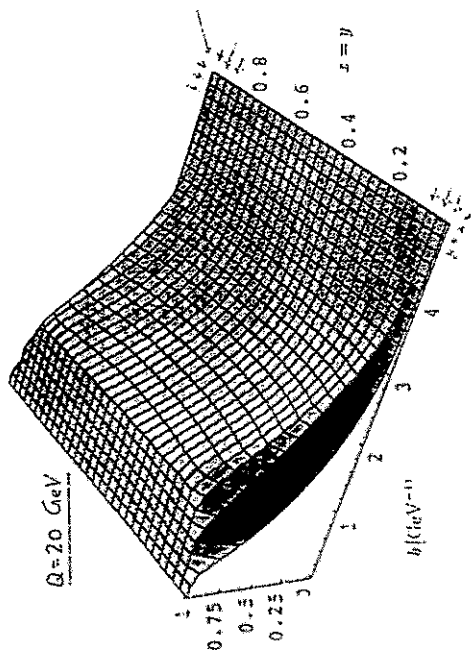
$\varnothing(x) = 6x(1-x)$  asymptotic DA

$\varnothing(x) = 30x(1-x)(2x-1)^2$  C.Z. DA

iL.Chernyak, A.R. Zhitnitsky,  
Nucl. Phys. B 201 (1982) 492



Sudakov factor in  $F_\pi$   
at  $x=y$



interpretation

$\exp[-s(x,b,Q) - s(1-x,b,Q)]$

non-perturbative

Sudakov corrections

taken literally even in  
JR-region (i.e. b large)

relative importance of both factors (Q dependent) ?

$\exp[-x(1-x)b^2/4a^2]$

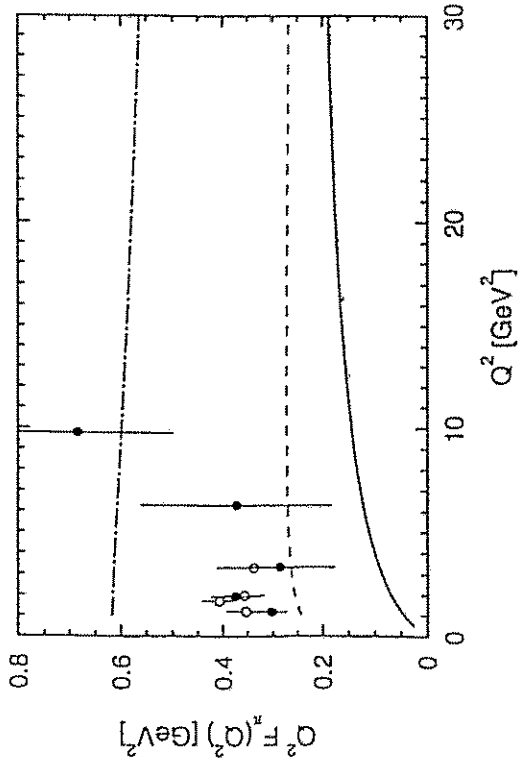
non-perturbative

phenomenological input  
model assumptions

'weight fct.' for probability  
to find configurations with  
quark-antiquark distance b

PION FORM FACTOR  $F_\pi(Q^2)$

$\Psi_0(x,b) = \frac{\sqrt{x}}{2\sqrt{6}} 30 x(1-x) (2x-1)^2 4\pi \exp[-x(1-x)b^2/4a^2]$



- HSA
- - - modified HSP, without intrinsic  $k_T$
- · - modified HSA, with intrinsic  $k_T$



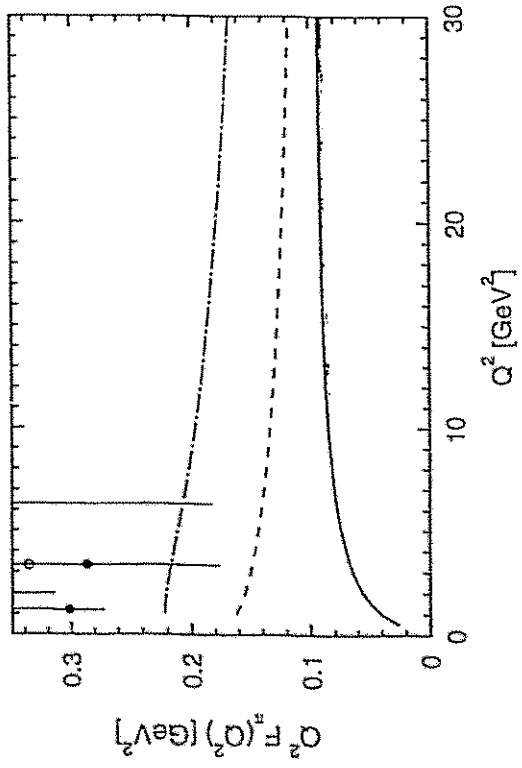
# PION FORM FACTOR $F_\pi(Q^2)$

self-consistency

self-consistency of the perturbative results

$$\tilde{\Psi}_0(x, b) = \frac{1}{\sqrt{6}} 6x(1-x) 4\pi \exp\left[-x(1-x)b^2/4a^2\right]$$

→ contributions obtained with  $d_1 \leq 0.7$



- HSA
- - - modified HSA, without intrinsic  $k_T$
- · - · - modified HSA, with intrinsic  $k_T$

DA	Q <sup>2</sup> = 1 GeV <sup>2</sup>	Q <sup>2</sup> = 2 GeV <sup>2</sup>	Q <sup>2</sup> = 5 GeV <sup>2</sup>
asymptotic	61 %	73 %	86 %
C. Z.	53 %	60 %	71 %

## Nucleon form factors

$\gamma^* N \rightarrow N$  vertex in the amplitude for  $eN \rightarrow eN$

$$\Gamma_{\mu}^N = \gamma_{\mu} F_1^N(a^2) + \frac{\kappa}{2M_N} F_2^N(a^2) \hat{\sigma}_{\mu\nu} q^{\nu}$$

Dirac - p.f.

Pauli - p.f.

$$F_1(0) = F_2(0) = 1 \quad \text{proton} \quad \kappa = 1.79$$

$$F_1(0) = 0 \quad F_2(0) = 1 \quad \text{neutron} \quad \kappa = -1.91$$

charge and magnetic distributions ?

static charge:  $e F_1(0)$  static magn. moment:  $F_1(0) + \kappa F_2(0)$

$$\Rightarrow G_E = F_1 - \frac{\kappa Q^2}{4M_N^2} F_2 \quad G_M = F_1 + \kappa F_2$$

$$\sigma(\theta) = \sigma_{\text{Hof}}(\theta) \frac{E}{E'} \left[ \frac{G_E^2 + \tau G_M^2}{1 + \tau} + 2\tau G_M^2 \tan^2\left(\frac{\theta}{2}\right) \right]$$

$$\tau = Q^2/4M_N^2$$

## magnetic form factor of the proton in modified HSA

$$G_H^p(a^2) = \frac{16}{3} \int_0^1 \frac{dx_1 dx_2}{(4\pi)^2} \left[ \frac{d^3 b_1}{(4\pi)^2} \sum_{j=1}^2 \int_{(x_1, x_2, \bar{b}, Q, \mu)} \hat{\chi}_{j(x_1, x_2, \bar{b}, \mu)}^{-S_j} e^{-S_j} \right]$$

$$\hat{\chi}_1 = \frac{1}{(1-x_2)(1-x_1)} \left\{ 4 \hat{\psi}_{4,2,3}^{p,1} \hat{\psi}_{1,2,3} + 4 \hat{\psi}_{0,2,3}^{p,1} \hat{\psi}_{1,2,2} + \hat{\psi}_{2,3,1}^{p,1} \hat{\psi}_{1,2,2} + \hat{\psi}_{2,3,1}^{p,1} \hat{\psi}_{3,2,1} + \hat{\psi}_{3,2,1}^{p,1} \hat{\psi}_{3,2,1} \right.$$

$$\left. + 2 \hat{\psi}_{2,3,1}^{p,1} \hat{\psi}_{3,2,2} + 2 \hat{\psi}_{3,2,1}^{p,1} \hat{\psi}_{2,3,1} + 2 \hat{\psi}_{3,2,1}^{p,1} \hat{\psi}_{4,2,3} + 2 \hat{\psi}_{4,2,3}^{p,1} \hat{\psi}_{3,2,1} \right\}$$

$$\hat{\chi}_2 = \frac{1}{2(1-x_2)(1-x_1)} \left\{ 3 \hat{\psi}_{1,2,2}^{p,1} \hat{\psi}_{1,2,2} + \dots \right\}$$

with

$$\hat{T}_1 = \frac{8}{3} C_F \alpha_S(t_{21}) \alpha_S(t_{22}) K_0(\sqrt{x_2 x_1} (1-x_1) Q b_{13}) K_0(\sqrt{x_2 x_1} Q b_{23})$$

$$\hat{T}_2 = \frac{8}{3} C_F \alpha_S(t_{21}) \alpha_S(t_{22}) K_0(\sqrt{x_2 x_1} Q b_{13}) K_0(\sqrt{x_2 x_1} Q b_{23})$$

and

$$t_{21} = \max(\sqrt{(1-x_1)(1-x_2)} Q, 1/b_{13}) \quad t_{22} = \max(\sqrt{x_2 x_1} Q, b_{13})$$

$$t_{12} = t_{22} = \max(\sqrt{x_2 x_1} Q, 1/b_{23})$$

magnetic form factor of the proton

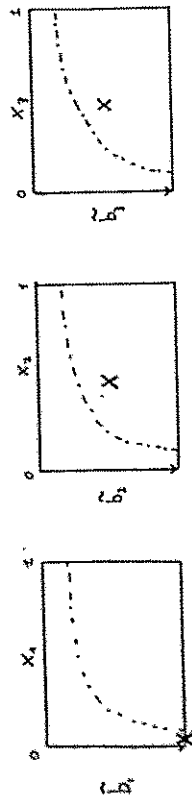
in the modified HSF. H.-n. Li, PRD 48(93)4243

Li's (numerical) analysis seriously flawed!

uncancelled singularities

of the form  $\sim \ln^{-k} (1/\bar{b}_p \Lambda_{QCD})$

$k = 7/9$  w.p. evolution,  $k \geq 123/81$  with evolution



$e^{-S} = 1$        $e^{-S}$  nonzero       $e^{-S}$  nonzero

way out: common  $\bar{b}$  scale in all Sudakov fcts.

$$\bar{b}_1 = \bar{b}_2 = \bar{b}_3 = \max \{ b_{13}, b_{23}, b_{12} \}$$

quarks in proton are not pairwise color neutral!

ansatz for wave functions

$$\Psi_{123}(x, \bar{b}, \mu_F) = \frac{1}{8\sqrt{N_c!}} f_N(\mu_F) \Phi_{123}(x, \mu_F) \tilde{\Omega}_{123}(x, b)$$

Gaussian

$$\tilde{\Omega}_{123}(x, b) = (4\pi)^3 \exp \left[ -\frac{1}{4a^2} (x_1 x_3 b_{13}^2 + x_1 x_2 b_{12}^2 + x_2 x_3 b_{23}^2) \right]$$

two parameters:  $f_N, a$

$$f_N = 5.0 \cdot 10^{-3} \text{ GeV}^2 \quad \text{QCD sum rules}$$

$a = ?$  different values have been tested corresponding to  $\langle X_3^2 \rangle^{1/2} = 270 - 600 \text{ Me}$

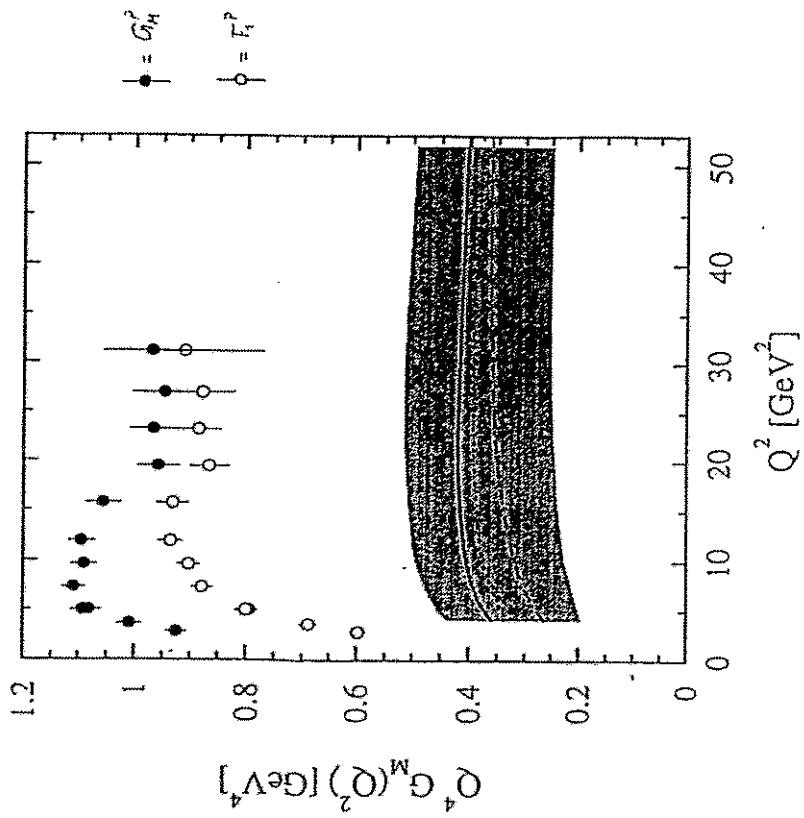
!  $a$  constrained by  $P_{3g} \approx 1$

$\Rightarrow$  upper limit for perturbative

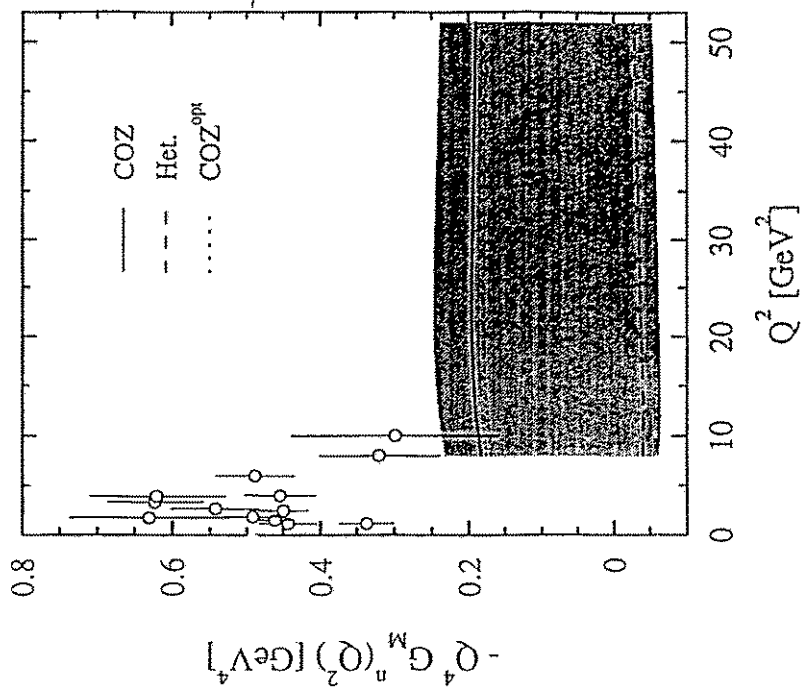
contributions to  $G_M^p$  obtained

with a set of 45 DAs (QCD sum rules)

note:  $G_M^p$  with asymptotic DA = 0!



data: ...  
 ...



data: ...  
 ...

## Summary:

electromagnetic (elastic) form factors  $F_T, G_M^p, G_M^n$

in the modified HSA:

- Sudakov corrections
- transverse momentum flow through  $T_H$
- intrinsic transverse momentum / size

⇒ perturbative results (alone) fall short to describe the experimental data

⇒ calculations are 'self-consistent'

$$F_T : Q^2 \gtrsim 1-2 \text{ GeV}^2.$$

$$G_M^p, G_M^n : Q^2 \gtrsim 6-10 \text{ GeV}^2 \dots$$

⇒ as singularities are avoided without introducing external parameters

# D.I.S. FROM RELATIVISTIC CONSTITUENT QUARKS

W.M., W. WEISE, S. KULAGIN  
(REGENSBURG)

---

---

- I. LARGE X (DIQUARK SPECTATOR)  
    ➔ QDN VERTEX
- .. HIGHER ORDER CORRECTIONS
- .. SMALL X (MASSIVE SPECTATORS)  
    ➔ REGGE MODEL

## PREVIOUS CALCULATIONS:

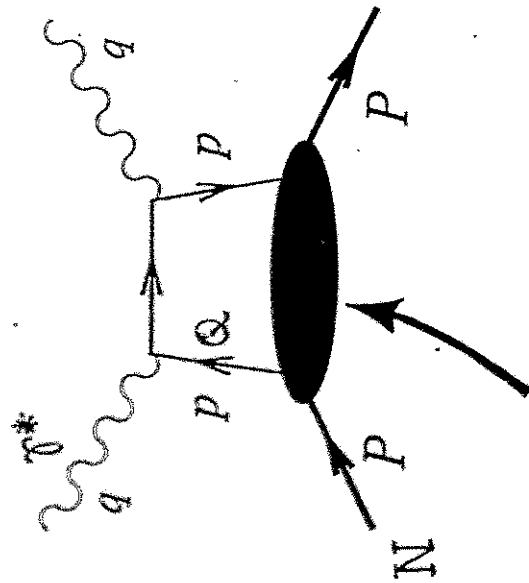
- BAG MODELS (MIT, CHIRAL, ...)
- NON-RELATIVISTIC QUARK MODEL
- QCD SUM RULES

## MORE RECENTLY:

- RELATIVISTIC QUARK-NUCLEON  
  VERTEX FUNCTIONS

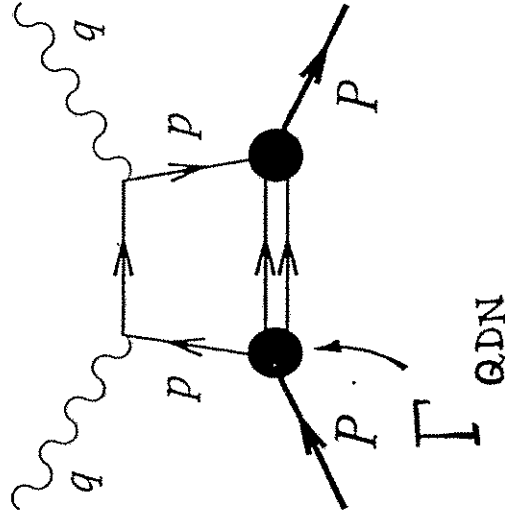
"FIELD-THEORETIC" APPROACH  
BASED ON FEYNMAN DIAGS.

LEADING TWIST PART OF  
N STRUCTURE FUNCTION



SOFT (CONSTITUENT ?)  
QUARK PHYSICS

STRUCTURE FUNCTION  
FROM RELATIVISTIC Q-D-N  
VERTEX FUNCTION



MODEL OF HANDBAG DIAGRAM

GENERAL STRUCTURE OF  $\Gamma_{QDN}$

$\Gamma_{QDN} \rightarrow I \Phi_1^S + \not{x} \Phi_2^S + \dots$

SCALAR VERTEX

$\not{x}_5 \not{x}_\alpha \Phi_1^A + \not{x}_5 \not{p}_\alpha \Phi_2^A + \dots$

AXIAL-VECTOR VERTEX

MOMENTUM DEPENDENCE OF  $\Phi_i^{S,A}$  CALCULATED BY SOLVING COVARIANT BETHE-SALPETER EQN.

EG. NJL MODEL



[ISHII, BENTZ, YAZAKI ; HUANG, TJON ; MEIER.]

FOR BOUND STATE, VERTEX FUNCTION SHOULD HAVE FORM:

$\Phi^{S,A}(p^2) = N \frac{(p^2 - m_\alpha^2)}{(p^2 - \Lambda_{S,A}^2)} n_{S,A}$

$n_{S,A}$  → LARGE - x BEHAVIOR OF  $u(x)$ ,  $d(x)$

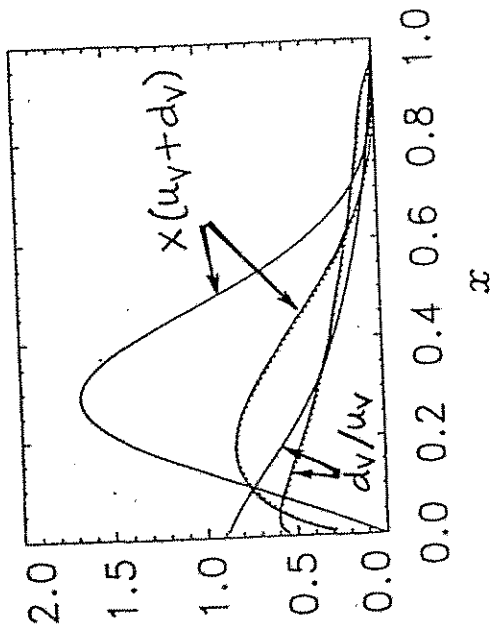
$\Lambda_{S,A}$  → "RADIUS" OF QUARK SPECTATORS

**N** → NORMALIZATION

$m_A - m_S \sim 200 \text{ MeV}$



# VALENCE QUARK DIST. FROM HANDBAG DIAGRAM

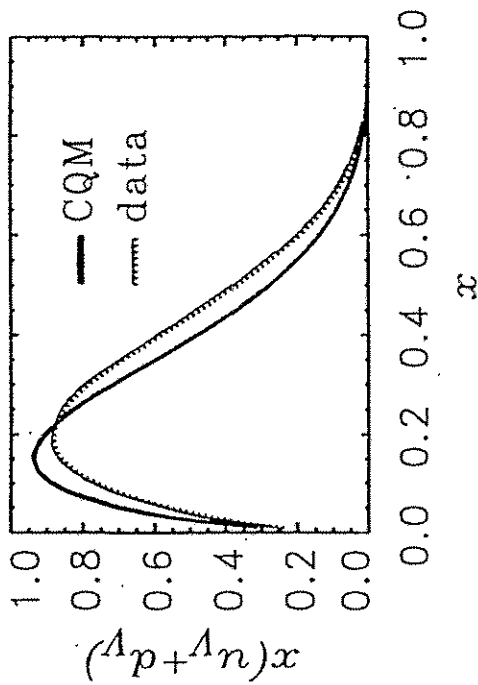


— CALCULATED  
- - DATA

SCALAR VERTEX  $I \Phi^s$   
PSEUDOVECTOR VERTEX  $\sigma_\alpha \sigma_5 \Phi^A$

- $m_Q = 400 \text{ MeV}$
- $\eta_S = 1, \eta_A = 2.5$
- $\Delta_S = 0.9 \text{ GeV}, \Delta_A = 1.1 \text{ GeV}$

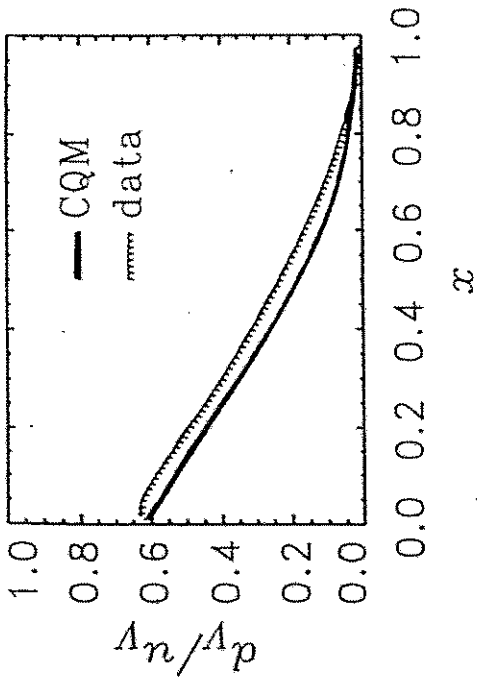
# VALENCE QUARK DISTRIB.



EVOLVED FROM  $Q_0^2 \sim 0.2 \text{ GeV}^2$   
TO  $Q^2 = 5 \text{ GeV}^2$

BUT  $\alpha_S = \theta(1)$

# VALENCE $d/u$ RATIO



## BASIC PROBLEM :

MODELS WITH FINITE SPECTATOR MASS CANNOT GIVE CORRECT (SINGULAR)  $x \rightarrow 0$  BEHAVIOR

$x \rightarrow 0$  BEHAVIOR

$$q_V(x) \rightarrow x^{\alpha-1}, \alpha \sim 1/2$$

REGGE

$$q_V(x) \rightarrow \text{CONSTANT}$$

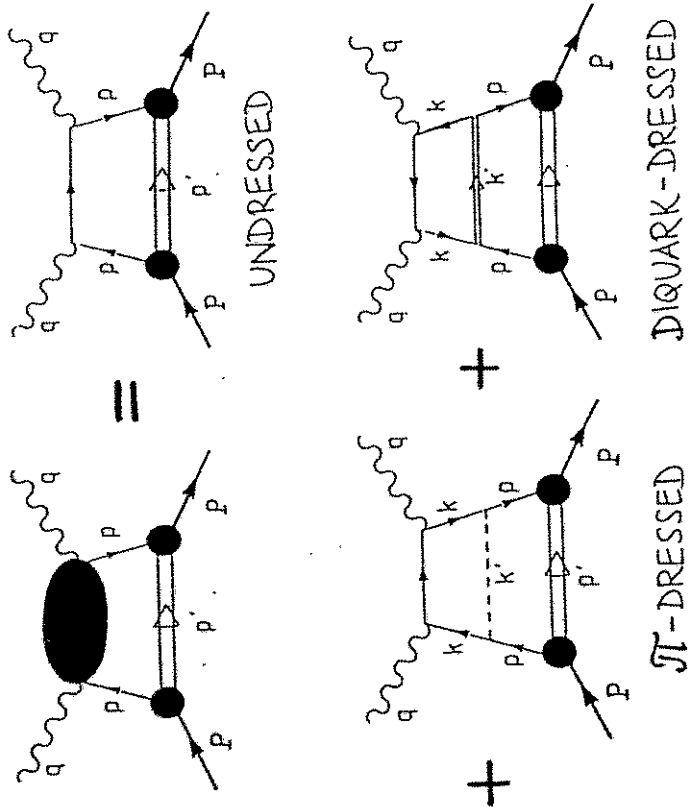
MODELS WITH FINITE  $m_D$



NEED TO CONSIDER HIGHER MASS SPECTRUM



W.M., W. WEISE <sup>-14-</sup> PHYS. LETT. B334 (94) 275  
 DRESSING OF CONSTITUENT  
 QUARK BY MESON &  
 DIQUARK "CLOUDS"



+ ...

- FORMULATE AS <sup>-12-</sup> CONVOLUTIONS IN IMF.
- TIME-ORDERED PERT. TH.
- ON-MASS-SHELL PARTICLES

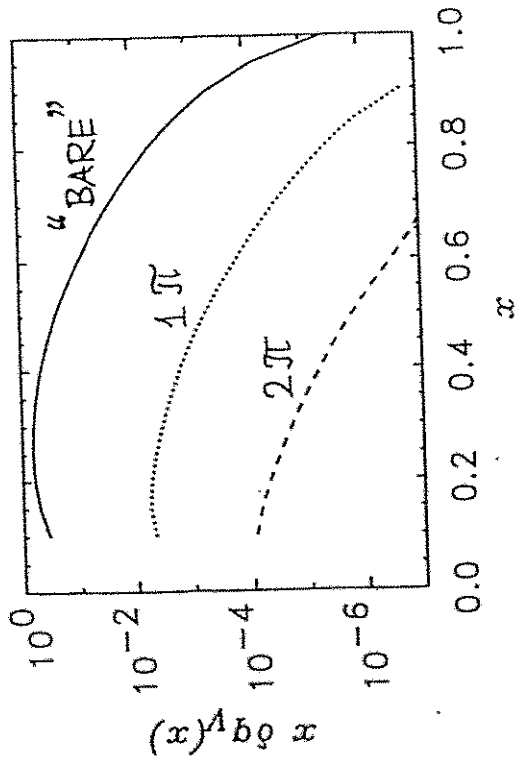
$$q_N(x) = \int_x^1 dy f_{Q/N}(y) q_Q\left(\frac{x}{y}\right)$$

↑  
CONSTITUENT QUARK DISTRIBUTION IN NUCLEON

↑  
STRUCTURE FUNCTION OF CONSTITUENT QUAR

- COVARIANT CONVOLUTION FAILS FOR PARTICLES WITH SUBSTRUCTURE

# π-DRESSING CORRECTIONS

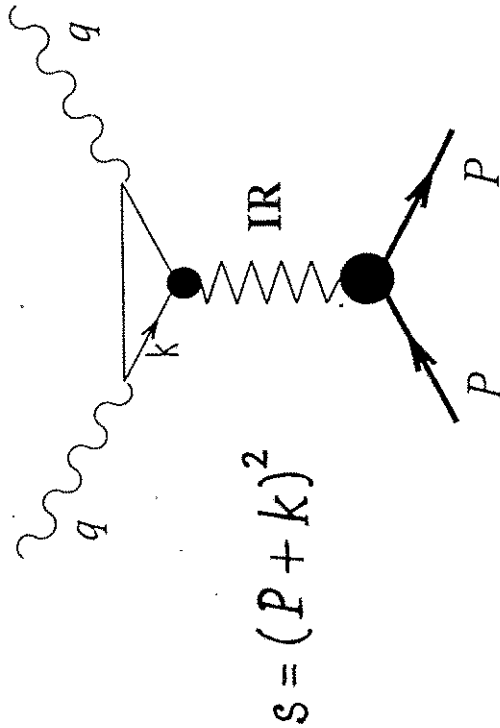


DRESSING OF CONSTITUENT QUARKS DOES NOT SOLVE SMALL - X PROBLEM ★

# SUMMATION OF LADDERS

➔ REGGE ASYMPTOTICS

MODEL HIGH-MASS SPECTRUM VIA REGGEON EXCHANGE



$$q^R(x) \sim \int ds dk^2 \text{Tr}[(\not{P}+M) \hat{T}_{qN}^{(k+m_q)} \not{q}^{(k+m_q)}]$$

$\hat{T}_{qN} \sim \Gamma_{qR}^{(q)} \cdot \Gamma_{NR}^{(N)} \rightarrow \gamma_{\mu}^{(q)} \gamma_{\mu}^{(N)}$

$$g_{\text{M}} T_{qN} = g_{\text{R}}(k^2) \cdot g_{\text{M}} T_{\text{NN}}(s)$$

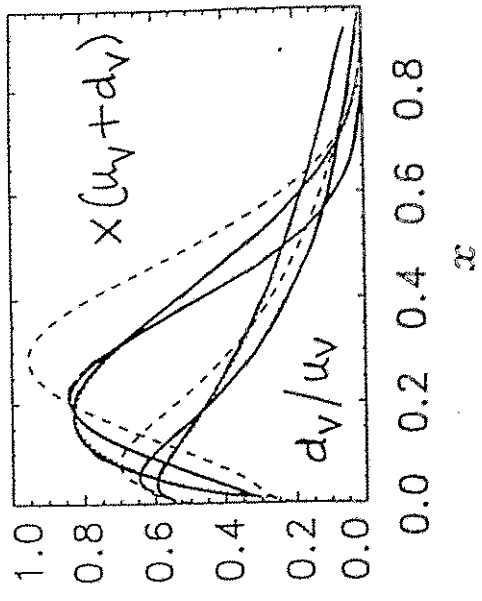
$$\propto (1 - k^2/\Lambda_{\text{R}}^2)^{-1} \cdot S^{\alpha_{\text{R}}}$$

$$\alpha_{\text{R}} \sim 1/2 \quad \rightarrow \quad q^{\text{R}}(x) \sim x^{-1/2}$$

$$\Lambda_{\text{R}}^2 \approx 1.7 \text{ GeV}^2$$

$$\rightarrow \int_0^1 dx q^{\text{R}}(x) \approx 43\%$$

# HANDBAG + REGGE CONTRIBUTION



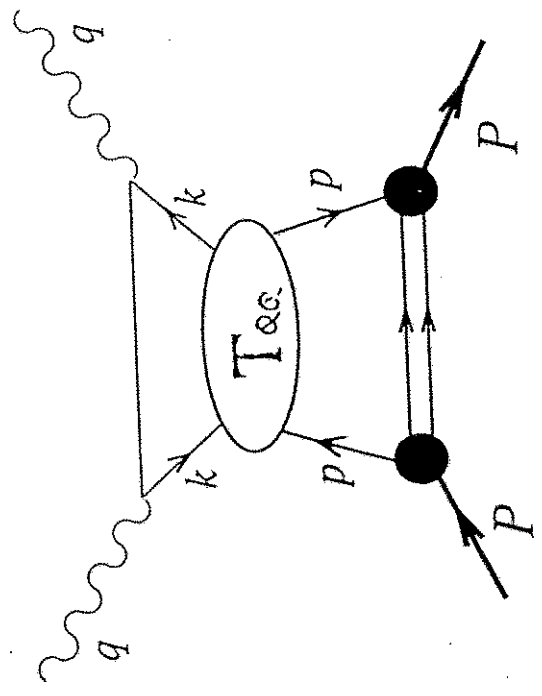
- CALCULATED
- EVOLVED  $Q_0^2 \approx 0.7 \text{ GeV}^2$  TO  $10 \text{ GeV}^2$  (NLO)
- - - DATA

$$\langle X \rangle_{uv+dv} \sim 40\% \quad @ \quad Q^2 = 0.7 \text{ GeV}^2$$

MORE MICROSCOPIC PICTURE

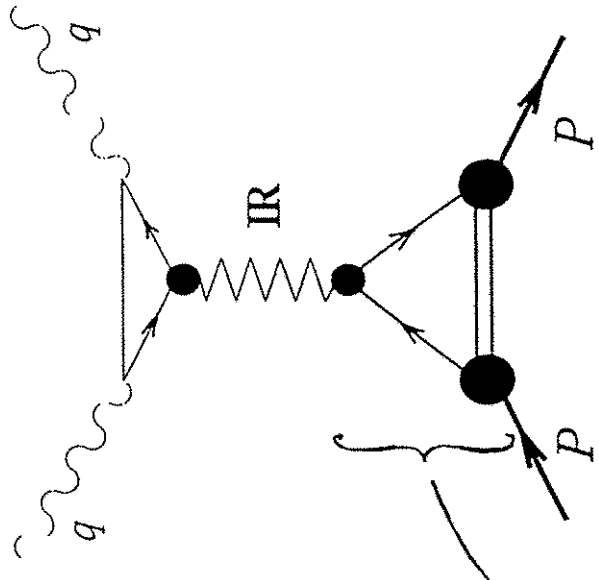
HIGH ENERGY

Q-Q SCATTERING



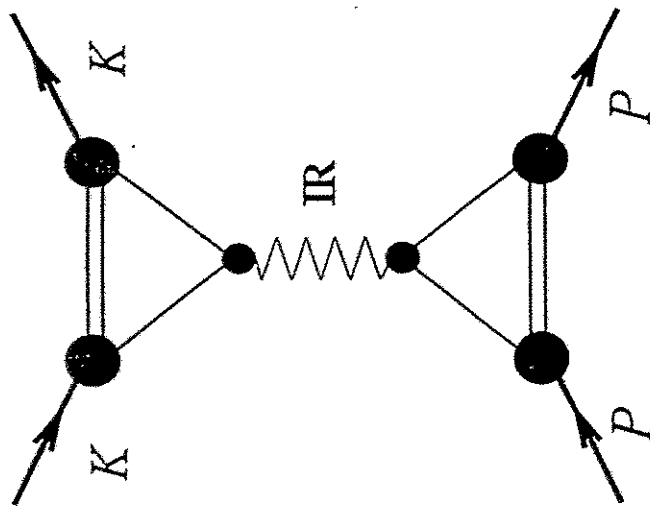
LARGE  $S = (p+k)^2 \Rightarrow$

REGGE EXCHANGE BETWEEN QUARKS



$$\Gamma_{NR} = \int d^4p \bar{\Gamma}_{qDN}(p+m_q) \Gamma_{qR}(p+m_q) \Gamma_{qDN} \propto \sigma_\mu$$

CONSTRAIN Q-IR "VERTEX"  
BY NN SCATTERING DATA



$$= T_{NN}$$

### SUMMARY

- ⊙ VALENCE STRUCTURE FUNCTION  
→ CONSTITUENT QUARKS

- ⊙ LOW MASS SPECTRUM.  
→ RELATIVISTIC QDN VERTEX

- ⊙ JT, D, ... DRESSING SMALL  
→ I.M.F. - NO COVARIANT CONVOLUTION

- ⊙ HIGH MASS SPECTRUM  
→ SMALL X  
→ REGGE EXCHANGE

- ⊙ MICROSCOPIC MODEL LINKING  
QDN VERTEX & REGGE  
MODEL

# $q\bar{q}$ im Konstituenten-

## Quarkmodell

### 1 Einleitung

Exotische Mesonen:

- $g^m (m > 1)$  : glueballs
- $q\bar{q}g, q\bar{q}g\bar{q}, \dots$  : Hybridzustände
- $q^2\bar{q}^2, q^6, \dots$  : Multi-Quarkzustände

Hier:  $q^2\bar{q}^2$  im nichtrelativistischen  
Konstituenten-Quarkmodell

### Methode

Lösen von

$$H\psi_n = E_n\psi_n$$

Berechnung von  $H$  in  
endlicher Basis

↓  
Diagonalisierung

↓  
Ritzches Variations-  
verfahren

↓  
Konvergenz

M. W. Beinhaker\*, B. C. Metsch, H. R. Petry  
Institut für Theoretische Kernphysik, Bonn

\* Institut für Theoretische Physik, Dresden

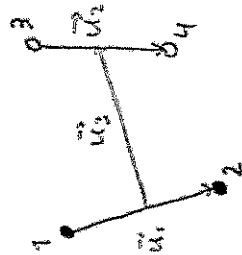


## 2. Der Hamiltonoperator

$$H = M + K + V_{\text{conf}} + H_{\text{eff}}$$

$M = \sum_{i=1}^3 m_i$  : Summe der Quarkmassen

$$K = \frac{\vec{p}_{u_1}^2}{2\mu_{u_1}} + \frac{\vec{p}_{u_2}^2}{2\mu_{u_2}} + \frac{\vec{p}_{u_3}^2}{2\mu_{u_3}} + \frac{\vec{p}_{u_4}^2}{2\mu_{u_4}} : \text{kinet. Energie}$$



$\mu_{u_i}$  : reduzierte Massen

$\vec{p}_{u_i}$  : Relativimpulse

• : Quark, Index 1, 2

○ : Antiquark, Index 3, 4

$$V_{\text{conf}} = \sum_{i < j} F_{ij}^c (a_{ij} + g_{ij} r_{ij})$$

$r_{ij}$  : Abstand von Quark  $i$  und  $j$

$a_{ij}, g_{ij}$  : Konstanten, wobei  $a_{q\bar{q}}$  und  $b_{q\bar{q}}$  frei gewählt werden

$F_{ij}^c$  : 2 verschiedene Ansätze:

$P_{ij}^{c_1}$  : Projektor auf Colour singlett

$F_i \cdot F_j$  mit  $F_i = \begin{cases} \frac{\lambda_i}{2} & \text{für Quarks} \\ -\frac{\lambda_i}{2} & \text{für Antiquarks} \end{cases}$

$$H_{\text{eff}} = H_{q_1 q_2} + H_{\bar{q}_3 \bar{q}_4} + H_{q_1 \bar{q}_3} + H_{q_1 \bar{q}_4} + H_{q_2 \bar{q}_3} + H_{q_2 \bar{q}_4}$$

$$H_{qq} = -\frac{g}{2} (P^{S=1} P_6^c + 2 P^{S=0} P_3^c) \mathcal{S}^2(\vec{v})$$

$P^S$  : Spinprojektor

$P^c$  : Colourprojektor

	ud	du	us	ds	sd	su	uu	dd	ss
ud	g	-g							
du	-g	g							
us			g'	0	0	-g'			
ds			0	g'	-g'	0			
sd			0	-g'	g'	0			
su			-g'	0	0	g'			
uu									
dd									
ss									

$\frac{g}{2}$

$$H_{q\bar{q}} = \frac{g}{2} (P^{S=1} P_2^c + P^{S=0} (\frac{1}{2} P_2^c + 8 P_1^c)) \mathcal{S}^2(\vec{v})$$

	u $\bar{d}$	d $\bar{u}$	u $\bar{s}$	d $\bar{s}$	s $\bar{d}$	s $\bar{u}$	u $\bar{u}$	d $\bar{d}$	s $\bar{s}$
u $\bar{d}$	-g	0							
d $\bar{u}$	0	-g							
u $\bar{s}$			-g'						
d $\bar{s}$				-g'					
s $\bar{d}$					-g'				
s $\bar{u}$						-g'			
u $\bar{u}$							0	g	g'
d $\bar{d}$							g	0	g'
s $\bar{s}$							g'	g'	0

$\frac{g}{2}$

# Freie Parameter

Parameter	Wert
$m_u$	300 MeV
$m_s$	540 MeV
$a_{q\bar{q}}$	-852 MeV
$b_{q\bar{q}}$	850 MeV fm <sup>-1</sup>
$g$	122 MeV fm <sup>3</sup>
$g'$	82 MeV fm <sup>3</sup>
$\Lambda$	0,37 fm

Die Parameter stammen aus einer Arbeit von W. Blich, U. Bohn, M. G. Kuhn, B. G. Meusch, H. R. Petry, "Hadron spectroscopy with instantons induced quark forces" und sind an Meson- und Baryon-Spektren angepasst.

$\beta$  = Oszillatorlänge  $\rightarrow$  Variationsparameter

$N_{max}$  = maximale Zahl der Oszillatoranregungen des Zustandes eines Basiszustandes

$\rightarrow$  Maps für die Genauigkeit der Nüherung

# 3 Die Basis

Der Ortsanteil ist eine Lösung des 4K-Dimensionalen

2-dimensionalen Oszillators:

$$\psi_{NLM}^{OZ}(\vec{u}_1, \vec{u}_2, \vec{u}_3) = \left[ \left[ \phi_{u_1 l_1}^{\beta_1}(\vec{u}_1) \otimes \phi_{u_2 l_2}^{\beta_2}(\vec{u}_2) \right] \otimes \phi_{u_3 l_3}^{\beta_3}(\vec{u}_3) \right]_{LM}^L$$

$$N = 2n_1 + l_1 + 2n_2 + l_2 + 2n_3 + l_3$$

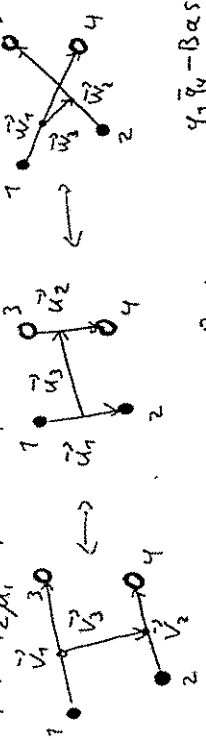
$$\beta_i^2 = \frac{\hbar}{\mu_i \omega}$$

$\omega$  = Oszillatorfrequenz  $\mu_i$  = Hauptquantenzahl

$\mu_i$  = reduzierte Massen  $l_i$  = Bahndrehimpuls quanten Zahl.

$$\beta_i = \sqrt{\frac{\hbar \hbar}{2 \mu_i}}$$

$\beta$  = Variationsparameter



$4\bar{4}_3$ -Basis

$4_1 4_2$ -Basis

$4_1 \bar{4}_4$ -Basis

Spin-Wellenfunktion:

$$\chi^S = \left[ \left[ \frac{1}{2} \otimes \frac{1}{2} \right]^{S_{12}} \otimes \left[ \frac{1}{2} \otimes \frac{1}{2} \right]^{S_{34}} \right]^S$$

Flavour-Wellenfunktion

$$\chi_F^T = \left[ \left[ \epsilon_1 \otimes \epsilon_2 \right]^{\epsilon_{12}} \otimes \left[ \epsilon_3 \otimes \epsilon_4 \right]^{\epsilon_{34}} \right]^T = \left[ \chi^{\epsilon_{12}} \otimes \chi^{\epsilon_{34}} \right]_{S_{12}, S_{34}}^T$$

Colour - Wellenfunktion:

Im  $q^2 \bar{q}^2$  Systemen gilt das 2 Körnerschema:

$$\begin{aligned}
 3 \otimes 3 \otimes \bar{3} \otimes \bar{3} &= (6 \otimes \bar{3}) \otimes (\bar{6} \otimes 3) \\
 &= 1_{6\bar{6}} \oplus 7_{\bar{3} \otimes 3} \oplus 8 \oplus 8 \oplus 8 \oplus 8 \oplus 7_0 \oplus \bar{7}_0 \oplus 27 \\
 &\quad \text{qq-Basis} \\
 3 \otimes \bar{3} \otimes 3 \otimes \bar{3} &= (1 \oplus 8) \otimes (1 \oplus 8) \\
 &= 1_{1 \otimes 1} \oplus 1_{8 \otimes 8} \oplus 8 \oplus 8 \oplus 8 \oplus 8 \oplus 7_0 \oplus \bar{7}_0 \oplus 27 \\
 &\quad \text{q}\bar{q}\text{-Basis}
 \end{aligned}$$

$$\chi^C = c_1 |1_{6\bar{6}}\rangle + c_2 |7_{\bar{3} \otimes 3}\rangle = c_1 |1_{\bar{q}\bar{q}}\rangle + c_2 |7_{q\bar{q}}\rangle$$

$|1_{6\bar{6}}\rangle$  symmetrisch bzgl. Vertauschens von  $q_1 \leftrightarrow q_2, \bar{q}_3 \leftrightarrow \bar{q}_4$

$|7_{\bar{3} \otimes 3}\rangle$  antisymmetrisch

$|1_{\bar{q}\bar{q}}\rangle$   $q\bar{q}$  im Colour singlett

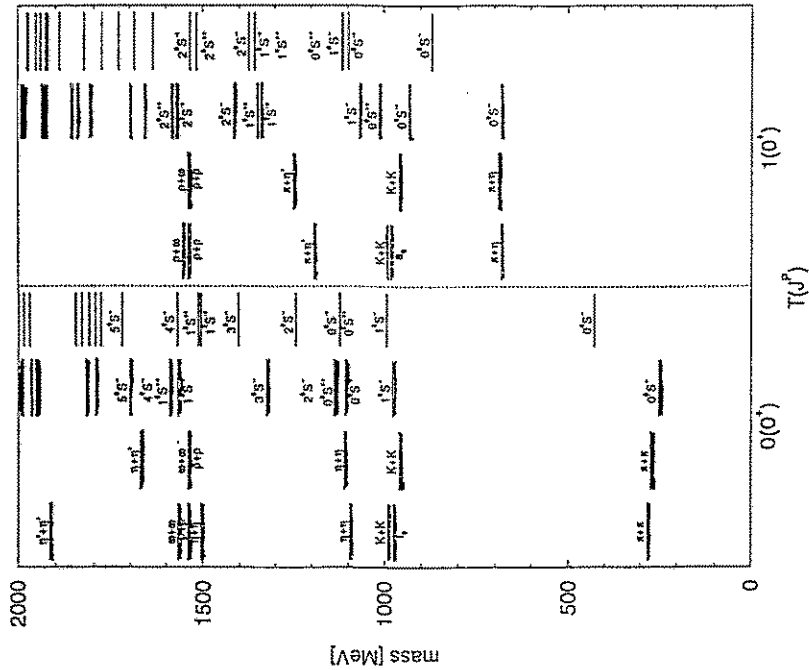
$$\begin{aligned}
 \psi_{q_1 \bar{q}_2} &= \left[ \left[ \left[ \phi_{u_1 \bar{u}_1}^{c_1} (\bar{u}_1) \otimes \phi_{u_2 \bar{u}_2}^{c_2} (\bar{u}_2) \right]^1 \otimes \phi_{u_3 \bar{u}_3}^{c_3} (\bar{u}_3) \right]^L \otimes \right. \\
 &\quad \left. \left[ \left[ \left[ \frac{1}{\sqrt{2}} \otimes \frac{1}{\sqrt{2}} \right]^{S_{12}} \otimes \left[ \frac{1}{\sqrt{2}} \otimes \frac{1}{\sqrt{2}} \right]^{S_{34}} \right]^S \right]_{-M} \right. \\
 &\quad \left. \cdot \left[ \chi_{\bar{q}}^{c_1} \otimes \chi_{\bar{q}}^{c_2} \right]_{s_1 s_2}^T \otimes \chi_{q_1}^{c_3} \otimes \chi_{q_2}^{c_4} \right]
 \end{aligned}$$

Pauliprinzip:

$$(-1)^{l_1 + s_{12} + c_{12} + c_{11} = 1_{303} = -1} \quad \text{falls } s_{12}^f = 0, 2$$

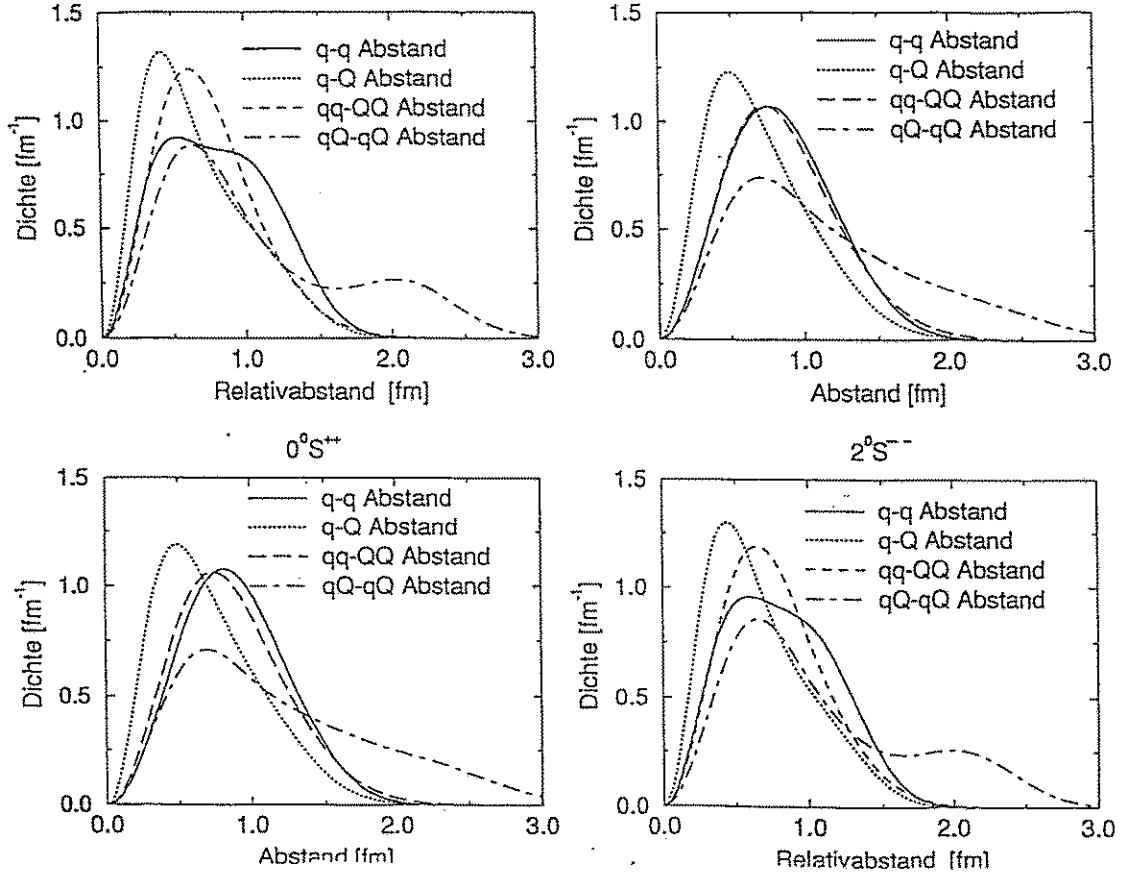
$$(-1)^{l_2 + s_{34} + c_{34} + c_{12} = 1_{303} = -1} \quad \text{falls } s_{34}^f = 0, 2$$

Spektren

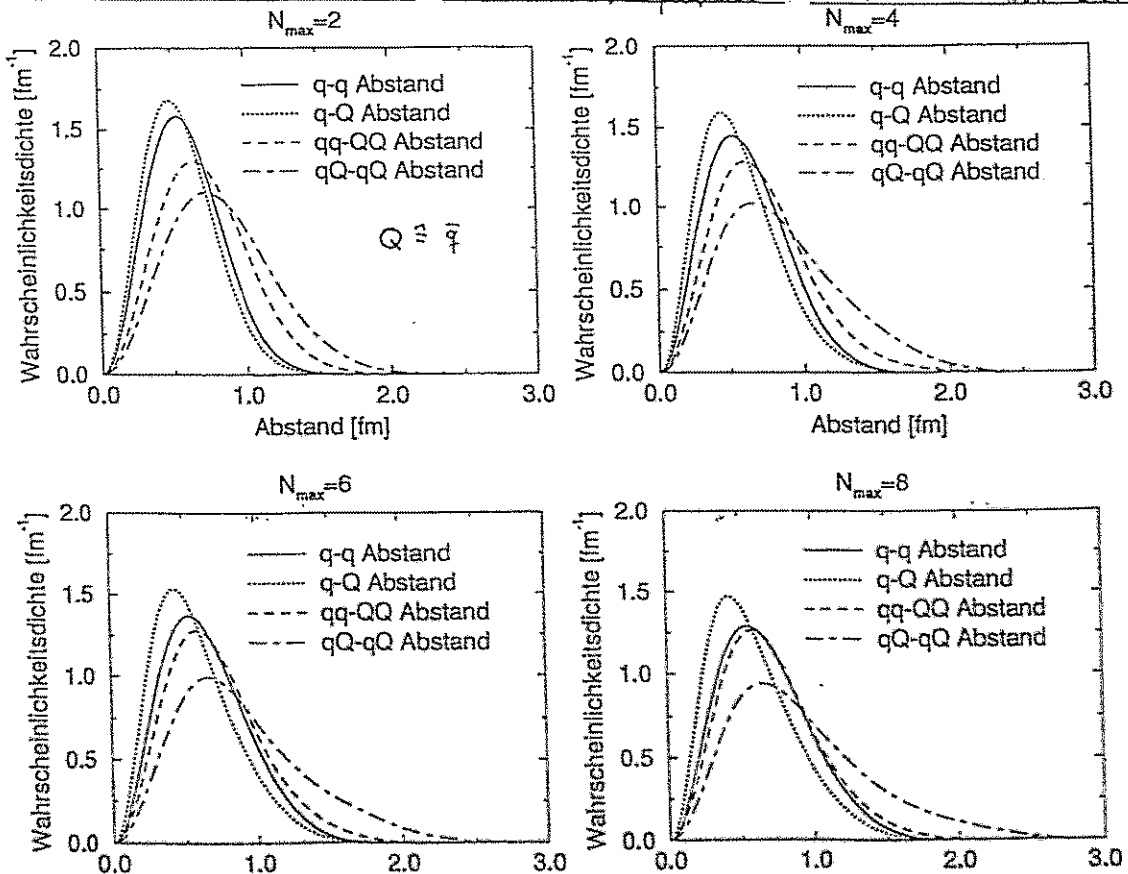


- Summe von 2 Mesonmassen, exp.
- Summe von 2 Mesonmassen, theo.
- $q^2 \bar{q}^2$ -Spektren,  $P_{ij}$ -Confinement
- $q^2 \bar{q}^2$ -Spektren,  $T_i T_j$ -Confinement

Radialdichten für angeregte Zustände im  $0(0^+)$ -Kanal



Kernabstände bei verschiedenen  $N_{max}$  für den Grundzustand im  $0(0^+)$ -Kanal



# Dichten

Radiale Dichten:

z.B. für den  $q-\bar{q}$ -Abstand:

$$S_{q-\bar{q}}(r) = \int d^3x_1 d^3x_2 d^3x_3 \psi^\dagger(\vec{V}_1, \vec{V}_2, \vec{V}_3) \psi(\vec{V}_1, \vec{V}_2, \vec{V}_3) \delta(r_{12}-r)$$

$S_{q-\bar{q}}(r)$  ist die radiale Dichte für den  $q-\bar{q}$ -Abstand.

$\vec{V}_i$  Koordinaten in der  $q\bar{q}s$ -Basis

$\psi(\vec{V}_1, \vec{V}_2, \vec{V}_3)$  Eigenzustand von Hauptachsentransformation in der

$q_1 \bar{q}_3$ -Basis

Quarkaufenthaltswahrscheinlichkeit:

$$S(z) = \int d^3x_1 d^3x_2 d^3x_3 d^3x_4 \psi^\dagger(x_1^T, x_2^T, x_3^T, x_4^T) \cdot \psi(x_1^T, x_2^T, x_3^T, x_4^T) \cdot \int \prod_{i=1}^4 \psi_i(x_i^T) \delta(x_1^T - x_2^T)$$

$$\vec{x}_i = \begin{pmatrix} 0 \\ 0 \\ z \end{pmatrix}$$

$\vec{x}_i$ : Absolutkoordinaten der Quarks

Es gilt:  $S(z) = \sum_i a_i(z) e^{-\frac{z^2}{\alpha_i}}$  Es typen  $\epsilon$  nach Eigenwert zu unterschiedliche Basen auf.

richtige Beziehung:

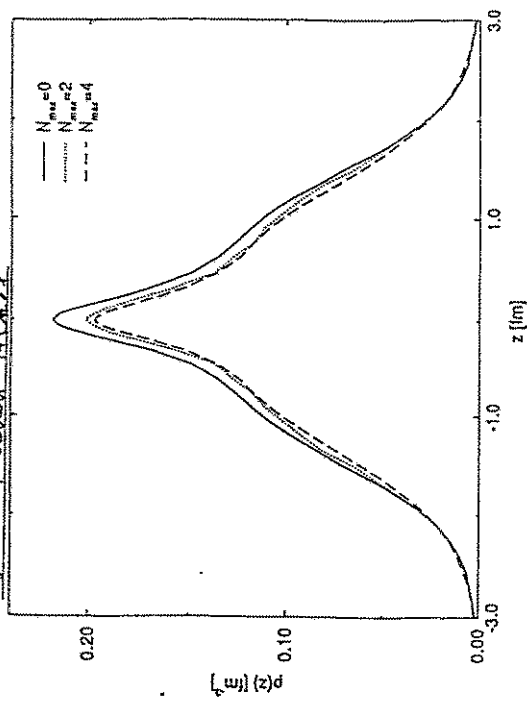
$$e^{-(x+a)^2} + e^{-(x-a)^2} = 2 e^{-x^2} \cosh(2ax)$$

für  $z \rightarrow 0$  folgt:

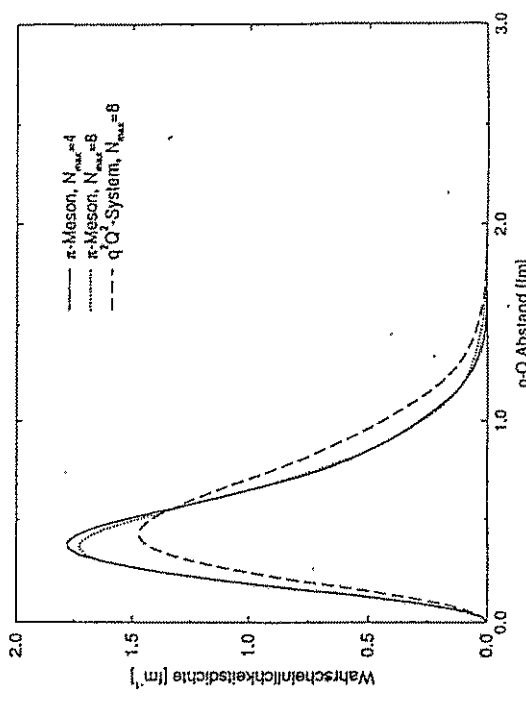
$$\ln(P(z) \cosh(2az)) \rightarrow \pm 2az + O(z^2)$$

Preis: Polynom in  $z$

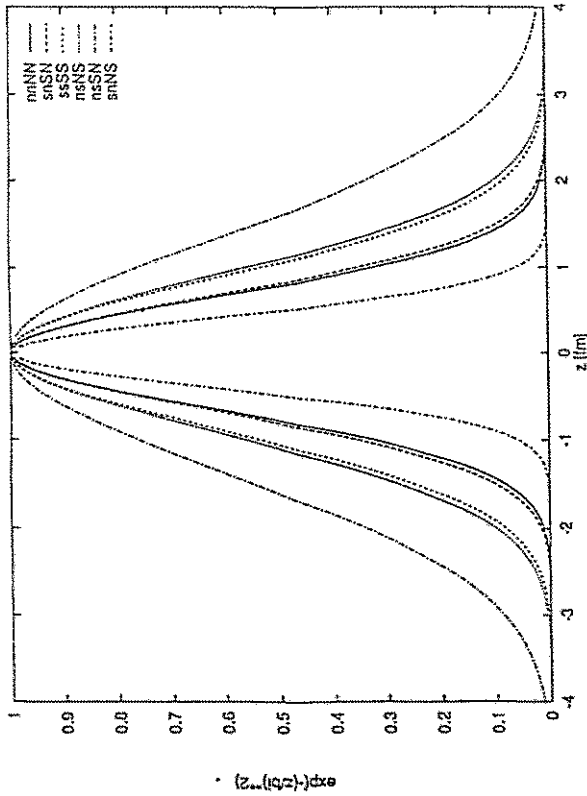
Quarkverteilung entlang einer willkürlichen Achse



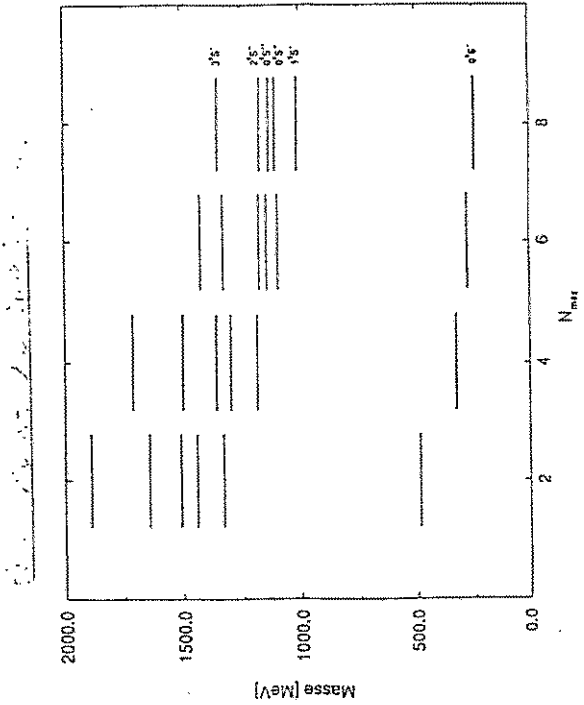
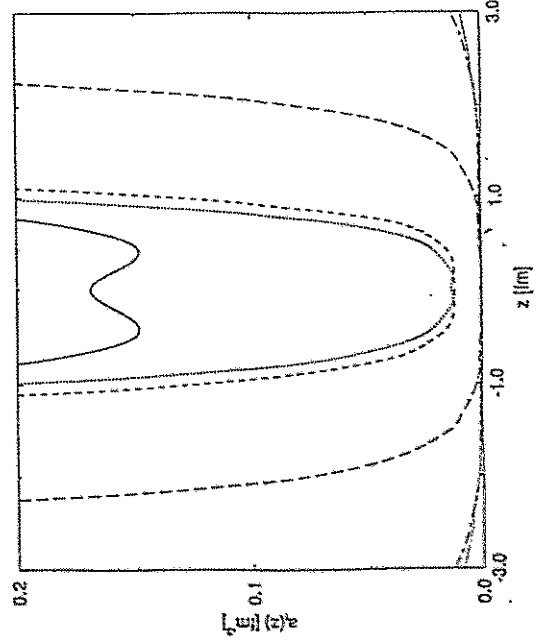
Vergleich der  $q-\bar{q}$ -Radialdichte zwischen  $\pi$ -Meson und  $q^2\bar{q}^2$  ( $T(s^P) = O(0^1)$ )



die Grenzanteile



die Koeffizienten  $a_i(e)$



## 8 Zusammenfassung

- keine prinzipiellen Schwierigkeiten bei der Behandlung von  $q^2 \neq 0$  im Konstituenten - Quarkmodell.
- der große Rechenaufwand läßt nur ungenaue Näherungen zu.
- Problem der Unterscheidung spezifischer und genereller Mesonen konnte durch Betrachtung der Quarkdichte gelöst werden.
- Die  $\rho$  - Meson Anziehung und die Existenz von  $q\bar{q}$  - Zustände  
↳ Vermutung: Gluon-Anteil wichtig
- Für ein eindeutiges Votum ist genauere Analyse der Zustände nötig.

PREVIOUS RESULTS:

\* 1986 Kaplan, Nelson (PL B175, p. 57)  
 $\chi\mathcal{L} \implies$  kaon condensation  $K^\pm$  at  $\rho \sim (3-4)\rho_0$   
 {Brown, Kubodera, Rho '87} {Politzer, Wise '91}  
 The origin of the condensation is the contact KN interaction

$$\mathcal{L} = \frac{\Sigma_{KN}}{f^2} (\bar{K}K)(\bar{N}N) \implies m_K^2(\rho) = m_K^2 \left(1 - \frac{\rho}{\rho_c}\right)$$

$$\rho_c = \frac{m_K^2 f^2}{\Sigma_{KN}}$$

$\Sigma_{KN}$  is the parameter of  $\chi$ -symm. breaking.

\*\* {Brown, Kubodera, Rho, Thorsson '92}  
 A novel mechanism of  $K^-$ -condensation caused by instability with respect to reaction

$$n \longrightarrow p + K^-$$

$$\left\{ \begin{array}{l} \text{Brown, Lee, Rho, Thorsson '94} \\ \text{Lee, Brown, Rho '94} \\ \text{Lee, Brown, Min, Rho '94} \end{array} \right.$$

The s-wave  $K^-$ -polarization operator was calculated via  $\chi$ -expansion based on Weinberg's counting rule (NLO, N<sup>2</sup>LO).

(parameters  $\iff$  exp. data on KN-scattering)  
 \*\*\* {Yabu, Nakamura, Myhrer, Kubodera '93} } off-shell puzzle  
 {Yabu, Myhrer, Kubodera '94}  
 Taking into account the Adler consistency condition, which implies some restriction on KN-scattering amplitude off-shell, shifts the  $K^-$ -condensation up to  $\rho_c \sim 10\rho_0$

KAON POLARIZATION IN NUCLEAR MATTER

E.E. KOLOMEITSEV<sup>a,c</sup>, D.N. VOSKRESENSKY<sup>b</sup>, B. KÄMPFER<sup>a,c</sup>

<sup>a</sup>Institut für Kern- und Hadronenphysik, Forschungszentrum Rossendorf e.V.,

PF 40119, D-01314 Dresden, Germany

<sup>b</sup>Gesellschaft für Schwerionenforschung, PF 110552, D-64220 Darmstadt, Germany

<sup>c</sup>Institute for Theoretical Physics (KAI e.V.), TU, Mommsenstr 13, D-01062 Dresden, Germany

<sup>†</sup>Permanent address: Moscow Engineering Physical Institute, Kashirskoe shosse 31, 115400 Moscow, Russia



### OUR APPROACH:

Instead of chiral expansion (How many graphs should be taken into account?)

we follow the phenomenological approach

{as done for  $\pi N$ -interaction Migdal et. al. (1990) Phys. Rep 192}.

We will calculate explicitly graphs, which vary rather sharply with  $\omega$  and  $k$  at  $\omega, k \lesssim m_K$  taking into account:

- the lightest strange particles  $\Lambda(1116)$  and  $\Sigma(1200)$
- the part of regular interaction calculated by Brown et. al. (extended to the case  $k \neq 0$ )
- contribution of pionic intermediate states (pion mode softening in nuclear matter)
- kaon fluctuation
- residual interaction (restored by Adler's relation).

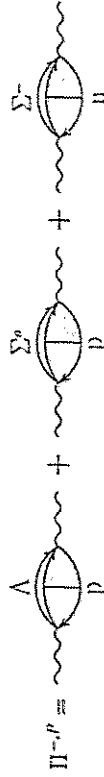
### K<sup>-</sup>N-P-WAVE INTERACTION IN COLD

#### NUCLEAR MATTER

$$\mathcal{L}_{KNA} = \int K_{NA} \bar{\Lambda} \gamma^\mu \gamma_5 (\partial_\mu K^+) N \quad \mathcal{L}_{KN\Sigma} = \int K_{N\Sigma} \bar{\Sigma}^n \gamma^\mu \gamma_5 (\partial_\mu K^+) \tau_n N$$

$$\int K_{NA} \simeq -1.17/m_\pi \quad \text{Jillich} \quad \simeq -0.88/m_\pi \quad \left[ SU(3) \times SU(3) \right]$$

$$\int K_{N\Sigma} \simeq 0.22/m_\pi \quad \text{model} \quad \simeq 0.26/m_\pi$$



$$\Pi_{\Lambda\Sigma}^{-p} \propto \Phi_{\Lambda\Sigma}(\omega, k) - \text{Lindhard's function.}$$

in simplified form

$$\Pi_{\Lambda}^{-p} \simeq \frac{\rho}{\rho_0} \left\{ \frac{1.1m_\pi(k^2 - \omega^2) + 1.1\omega\dot{\omega}_\Lambda(t)}{\omega - \dot{\omega}_\Lambda(t)} + 0.7m_\pi\omega \right\}$$

$$\Pi_{\Sigma}^{-p} \simeq \frac{2\rho_n + \rho_p}{\rho_0} \left\{ \frac{0.1m_\pi(k^2 - \omega^2) + 0.4\omega\dot{\omega}_\Sigma(t)}{\omega - \dot{\omega}_\Sigma(t)} + 0.3m_\pi\omega \right\}$$

$$\dot{\omega}_{\Lambda\Sigma} = \omega_{\Lambda\Sigma} + \frac{k^2 - \omega^2}{2m_N}, \quad \omega_{\Lambda\Sigma} = m_{\Lambda\Sigma} - m_N$$

$\rho_{p(n)}$  is the proton (neutron) density.

$$\Pi_{\Lambda}^{-p} \gg \Pi_{\Sigma}^{-p}$$

## THE REGULAR PART OF THE POLARIZATION OPERATOR

[Brown et. al. NPL A576 (1994) 937]

Expansion of  $\chi\mathcal{L}$  + Weinberg's counting rules

Next-to-leading order terms are considered

$$\begin{aligned} \mathcal{L}_{\mu=1} &= -\frac{i}{8f^2} \left[ 3(\bar{N}\gamma^\mu N)(\vec{K}\vec{\partial}_\mu K) + (\bar{N}\vec{\tau}\gamma^\mu N)(\vec{K}\vec{\tau}\vec{\partial}_\mu K) \right], \\ \mathcal{L}_{\mu=2} &= \frac{\Sigma_{KN}}{f^2}(\bar{N}N)(\vec{K}K) + \frac{C}{f^2}(\bar{N}\vec{\tau}N)(\vec{K}\vec{\tau}K) \\ &+ \frac{\vec{D}}{f^2}(\bar{N}N)(\partial_\mu \vec{K}\partial^\mu K) + \frac{\vec{D}'}{f^2}(\bar{N}\vec{\tau}N)(\partial_\mu \vec{K}\vec{\tau}\partial^\mu K), \end{aligned}$$

$$\vec{K}\vec{\partial}_\mu K \equiv \vec{K}\vec{\partial}_\mu K + \vec{K}\vec{\partial}_\mu K.$$

Corresponding terms of the polarization operator are equal to

$$\Pi^{\mu\nu}(\ell=0) = - \left[ \frac{\vec{D} - \vec{D}'}{f^2} + 2\nu \frac{\vec{D}'}{f^2} \right] \rho(\omega^2 - \vec{k}\vec{k}) - \frac{1 + \nu}{2f^2} \rho\omega - \frac{\Sigma_{KN}}{f^2} \rho.$$

parameters  $\vec{D}, \vec{D}'$  ← experiment on KN-scattering

$$\begin{aligned} \Pi^{\mu\nu}(\text{no loops}) &\simeq - 2.3m_\pi^2 \frac{\rho}{\rho_0} - 0.57m_\pi(1 + \nu)\omega \frac{\rho}{\rho_0} \\ &- (0.15\nu - 0.15)(\omega^2 - \vec{k}\vec{k}) \frac{\rho}{\rho_0} \end{aligned}$$

## EXTRA CONTRIBUTION TO THE REGULAR

### PART OF $\Pi^-$

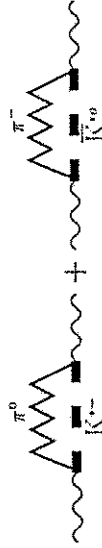
- contribution of  $\Lambda\bar{p}, \Sigma^+\bar{p}, \Sigma^-\bar{n}$ -loops (which survives at  $k \neq 0$ )

To satisfy the data with  $\Pi^{\mu\nu}(Brown)$  in adding  $\Pi^{\mu\nu}(\omega, k)$ ,

we should subtract it on-shell ( $\omega = m_K, k = 0$ )  $\implies$

$$\begin{aligned} \implies \delta\Pi^{\mu\nu} &= -\Pi^{\mu\nu}(\omega = m_K, k = 0) \simeq (1.4\rho_p + \\ &0.2\rho)m_\pi^2/\rho_0 \end{aligned}$$

- contribution of pionic intermediate states



where " $\sim$ " is the exact pion Green function in nuclear matter [Migdal et. al. PRep 192]

At  $\rho > \rho_c \sim (0.6 - 0.7)\rho_0$  the pion mode is softened, the effective pionic gap  $\tilde{\omega}_\pi < m_\pi$ . In approximation of rather strong pion softening  $\tilde{\omega}_\pi^2 \ll m_\pi^2$  [Dygeev; Voskresensky, Mishustin]

$$\Pi_{\pi K} \propto \varphi_\pi^2(0)\varphi_\pi(0) > T \propto \begin{cases} \tilde{\omega}_\pi & T = 0 \\ \frac{T}{\tilde{\omega}_\pi} & T \neq 0, T/\tilde{\omega}_\pi \gg 1(1) \end{cases}$$

Pion softening promotes the kaon condensation at  $T \neq 0$

• kaon fluctuation



this contribution is important at  $T \neq 0$  and in the vicinity of the critical point of the phase transition.

• off-shell interaction

To restore the possible residual interaction we use the consistency condition of Adler for the KN-scattering amplitude.

Current algebra + PCAC  $\implies$

$$\implies A_{reg}^{KN}(\omega = \omega', \vec{k}^2 = 0, \vec{k}'^2 = -m_K^2) = 0$$

In order to satisfy Adler's relation:

[ Troitsky, Chekumov '81; Migdal et. al. PRep 192]

$$A = A_{reg}^{hcor} - \lambda \underbrace{\left( \omega^2 - m_K^2 - \frac{\vec{k}^2 + \vec{k}'^2}{2} \right)}_{\text{on-shell} = 0}$$

$\lambda$  corresponds to some residual interaction off-shell.

TOTAL POLARIZATION OPERATOR OF  $K^-$

$$\begin{aligned} \Pi^-(\omega, k, \rho) = & -d\rho - \alpha(1 + \nu)\rho\omega - (\beta + \beta'\nu)\rho(\omega^2 - k^2) + \delta\Pi^-(\rho, \nu) \\ & + \left\{ \frac{A_0(k^2 - \omega^2) + A_1\omega\tilde{\omega}_\Lambda(t)}{\omega - \tilde{\omega}_\Lambda(t)} + A_2\omega \right\} \nu \frac{\rho}{\rho_0} \\ & + \left\{ \frac{B_0(k^2 - \omega^2) + B_1\omega\tilde{\omega}_\Sigma(t)}{\omega - \tilde{\omega}_\Sigma(t)} + B_2\omega \right\} (2 - \nu) \frac{\rho}{\rho_0} \\ & + g(\omega^2 - k^2 - k_0^2) + \lambda_+\rho(\omega^2 - m_K^2 - k^2), \end{aligned}$$

with

$$d = \frac{\Sigma_{KN}}{f^2}, \quad \alpha = \frac{1}{2f^2}, \quad \beta = \frac{\tilde{D} - \tilde{D}'}{f^2}, \quad \beta' = 2\frac{\tilde{D}'}{f^2}, \quad g = 3\frac{g_K^2 K^2}{m_K^2} A_\pi$$

### SPECTRUM OF $K^\pm$ IN NUCLEAR MATTER

There are two branches in the spectrum of  $K^-$ . The new low-lying branch consists mainly of the mixed states of  $\Lambda$  particles and  $p$ -holes with the quantum numbers of the  $K^-$  meson.

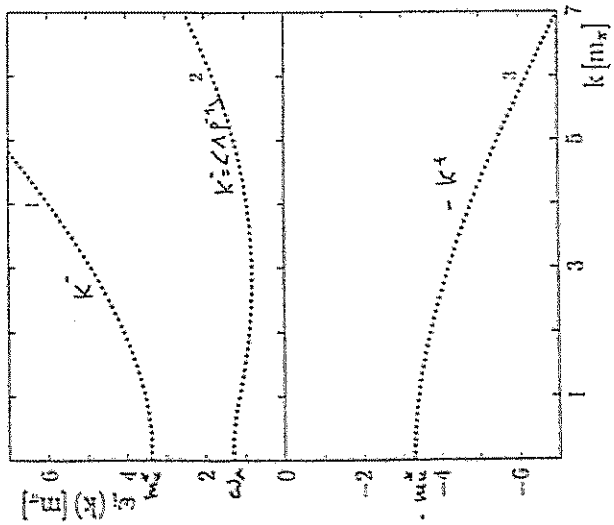
$$\text{effective mass} \quad m_K^*(\rho) = m_K^2 \frac{1 - \lambda\rho/2}{1 - \lambda\rho}$$

at low density

$$m_K^*(\rho) \simeq m_K^2(1 - \rho/\tilde{\rho}_c), \quad \tilde{\rho}_c \simeq -2/\lambda \quad [\text{mass slightly decreases}]$$

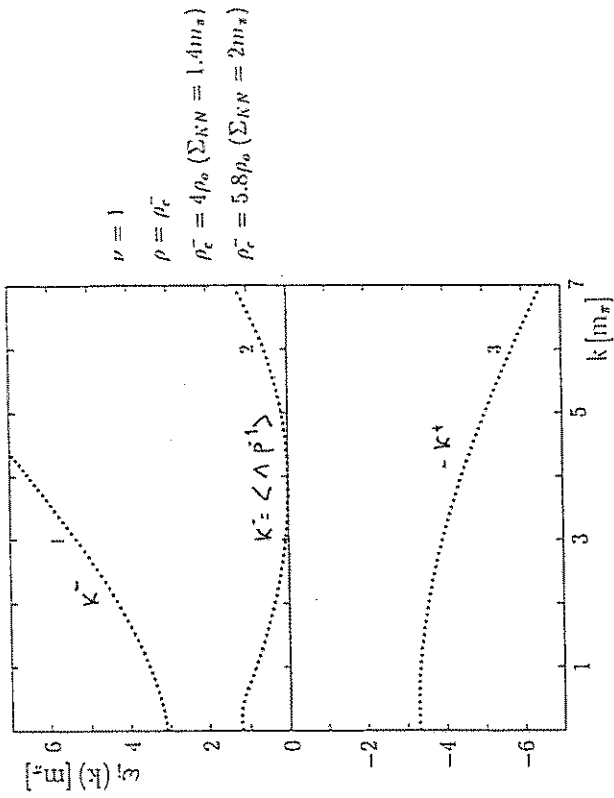
at high density

$$m_K^*(\rho) \simeq m_K^2/2 \quad [\text{constant}]$$



$\nu = 1$   
proton matter  
 $\rho = 3\rho_0$

### SPECTRUM OF KAONS...



$\nu = 1$   
 $\rho = \rho_c$   
 $\rho_c^- = 4\rho_0$  ( $\Sigma_{KN} = 1.4m_\pi$ )  
 $\rho_c^- = 5.8\rho_0$  ( $\Sigma_{KN} = 2m_\pi$ )

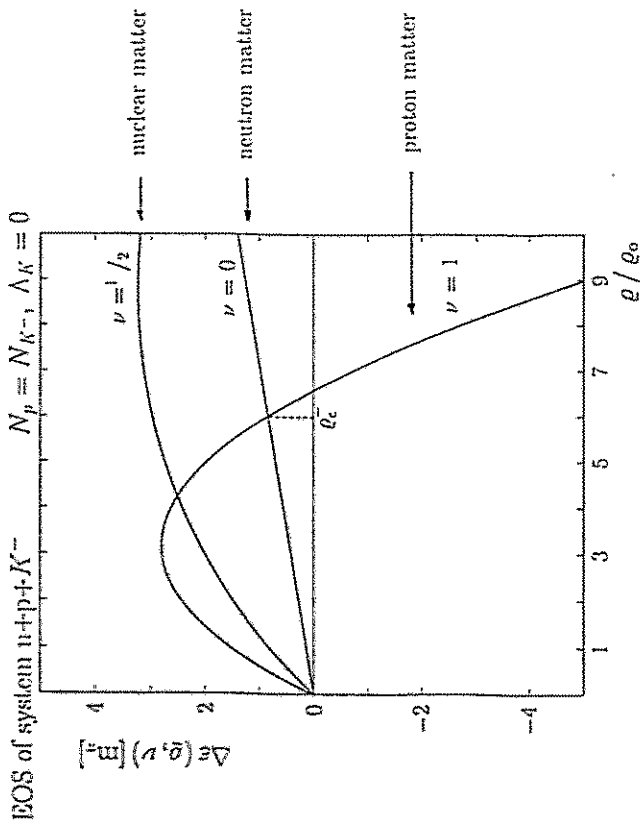
in the vicinity of the minimum  $\rho \sim \rho_c^-$

$$\omega_2(k) \simeq \omega_c + \gamma \left( 1 - \frac{k^2}{k_0^2} \right)$$

$$\omega_c = \tilde{\omega}_\Lambda - \left\{ \sqrt{\frac{1 - \lambda\rho/\rho_0}{1 - \lambda\rho}} - \sqrt{\frac{m_K^2(\rho)}{2m_N}} \right\} \leftarrow \text{effective kaon gap}$$

$\omega_c \leq 0 \implies K^-$ -condensation sets in!

# NUCLEAR MATTER WITH KAONS AT HIGH DENSITY



$\Delta \epsilon(\rho, \nu) = \epsilon_{tot} - \epsilon_B^0(\rho) = \epsilon_{sym}(\rho, \nu) + \omega_c(\rho, \nu) \rho_p$   
 $\epsilon_B^0(\rho)$  is the isotopic independent part of the baryon energy.  
 At  $\rho \geq \rho_c$  ( $\omega_c(\rho_c^-, \nu = 1) = 0$ ) the isotopic phase transition

$$\nu = 0 \implies \nu = 1$$

becomes energetically favorable

1st order

NEUTRON STAR  $\implies$  PROTON STAR

p.t

## $\tilde{K}^0$ - CONDENSATION

$\tilde{K}^0$  in neutron matter =  $K^-$  in proton matter

$\tilde{K}^0$  has the second branch in the spectrum with roton like minimum.

The vanishing of the effective gap  $\omega_c^{\tilde{K}^0}(\rho_c^-, \nu = 0) = 0$  leads to instability with respect to reaction

$$n \longrightarrow n + \tilde{K}^0.$$

Second order phase transition

$\tilde{K}^0$ - condensate becomes stable only due to  $\Lambda \neq 0$  repulsion, whereas

$K^-$ - condensate is stabilized by electric interaction.

$\implies$  for static system  $\tilde{K}^0$ -condensate is preferable!

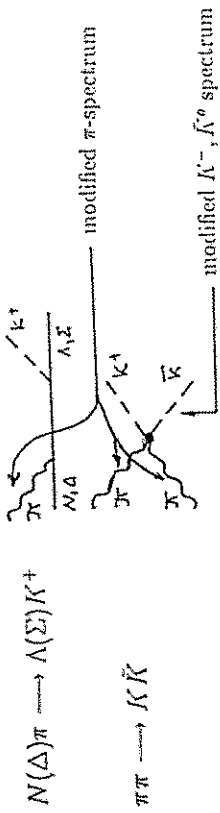
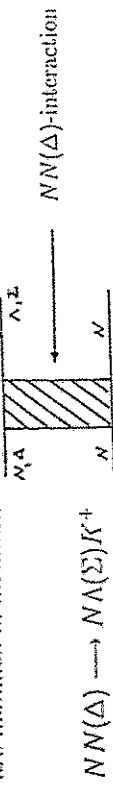
NEUTRON STAR  $\left[ \begin{array}{l} \longrightarrow \text{PROTON STAR} + K_c^- \\ \longrightarrow \text{NEUTRON STAR} + \tilde{K}_c^0 \end{array} \right.$

### $K^+$ yields in heavy ion reactions

\*  $K^+$  yield

$\lambda_{K^+} > D_{fireball} \implies K^+$  spectrum is approximately free

$K^+$  production is determined by the rate of direct reactions, which are modified in medium.



$\pi\pi \longrightarrow K\bar{K}$

\*\*  $K^-$  yield

$\lambda_{K^-} < D_{fireball} \implies K^-$  confined inside the fireball till breakup

$\implies$  manifestation of two branches

In sudden breakup model

$$\frac{dN_{K^-}}{V_b t_b^3 / (2\pi)^3} = \sum_{i=1}^2 \frac{2\sqrt{m_K^2 + k^2}}{2\omega_i(k) - \frac{\partial \Pi}{\partial \omega}|_{\omega_i(k)} \exp\left(\frac{\omega_i(k) - \mu}{T_b}\right) - 1}$$

$T_b, V_b$  are temperature and volume of fireball at breakup.

$\mu = 0$ , if  $K^-$  are in equilibrium at  $t < t_b$ .

## Physik an Mesonenfabriken (Koordinator: G. Wagner)

1. **J. Arnold** (Freiburg)  
Experimente mit polarisierten Neutronen am PSI
2. **K. P. Jungmann** (Heidelberg)  
Präzisionsmessung am Myoniumatom ( $\mu^+e^-$ )
3. **C. Dohmen** (Aachen)  
Suche nach der  $\mu$ -e Konversion an Kernen im SINDRUM II-Spektrometer
4. **J. Hartmann** (München)  
Neues von  $\mu$ CF und langsamen Myonen

# Experimente mit polarisierten Neutronen am PSI

Jürgen Arnold, Universität Freiburg  
Pirna 4.10.1994

## Beteiligte Institute:

Universität Freiburg  
Universität Genf  
Paul Scherrer Institut  
DAPNIA CEN-Saclay  
Universität Prag

## Übersicht:

1. Motivation
2. Theoretische Grundlagen
3. Polarisierte Neutronenstrahls
4. Experiment 1
  - Aufbau
  - erste Ergebnisse
5. Experiment 2
  - Aufbau
  - erste Ergebnisse
  - Analysierstärke der Deuteronproduktion

## 1. Motivation

Darstellung bezüglich Isospin als Ket:

Nukleon =  $|T, T_3\rangle$

Neutron =  $|1/2, -1/2\rangle$

Proton =  $|1/2, 1/2\rangle$

Proton + Proton =  $|1/2, 1/2\rangle + |1/2, 1/2\rangle = |\underline{1}, 1\rangle$

Neutron + Proton =  $|1/2, -1/2\rangle + |1/2, 1/2\rangle = 1/2 (|\underline{1}, 0\rangle + |\underline{0}, 0\rangle)$

-> Isospin-0-Kanal nur in Neutron-Proton Streuung

## Aber:

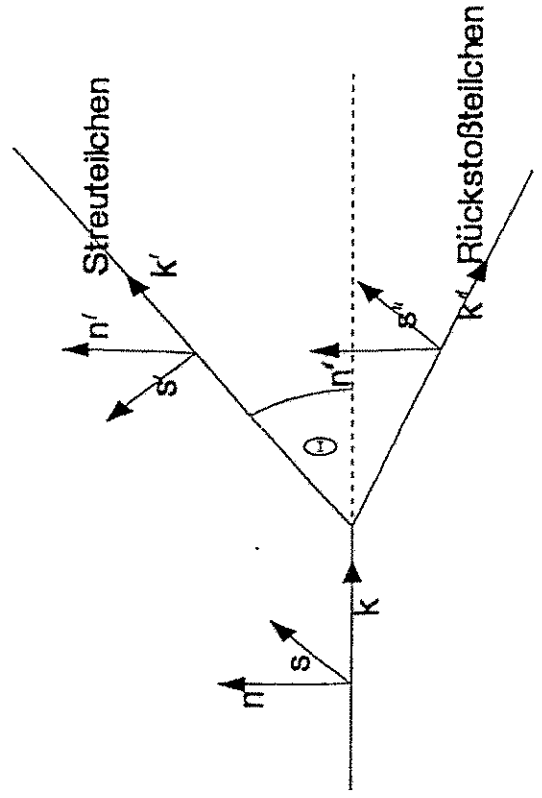
- wenig Daten (vor allem mehr-spin-Parameter)
- > Unsicherheit in der Streuphasenanalyse
  - > Neue Messungen nötig



## 2. Theoretische Grundlagen:

### Koordinatensysteme:

- $\hat{n}, \hat{k}, \hat{s}$  mit der Streuung verbunden
  - $\hat{k}$  - Strahlachse
  - $\hat{n}$  - Streunormale  $k_{in} \times k_{in} / |k_{in}|$
  - $\hat{s}$  ergänzt zu rechtshändigem System
- entsprechende Systeme für gestreutes- und Rückstoßteilchen.
- $\hat{k}$  - jeweils Impulsrichtung.
  - $\hat{n}$  - Streunormale
  - $\hat{s}$  ergänzt



### Streuematrix M:

$$\Psi_{fin} = M \Psi_{in} M^\dagger \quad M = M(E, \theta)$$

Erhaltungssätze  $\rightarrow$  Darstellung durch 5 unabhängige Größen

Koeffizienten sind komplexwertige Funktionen: Streuamplituden:  
 $\rightarrow M = M(E, \theta, a, b, c, d, e)$

### Observable:

\*Saclay-Konvention:

$$X_{srb1}$$

s = streu-, r = rückstoß-, b = beam-, t = target-Teilchen      jeweils k, s, n, 0

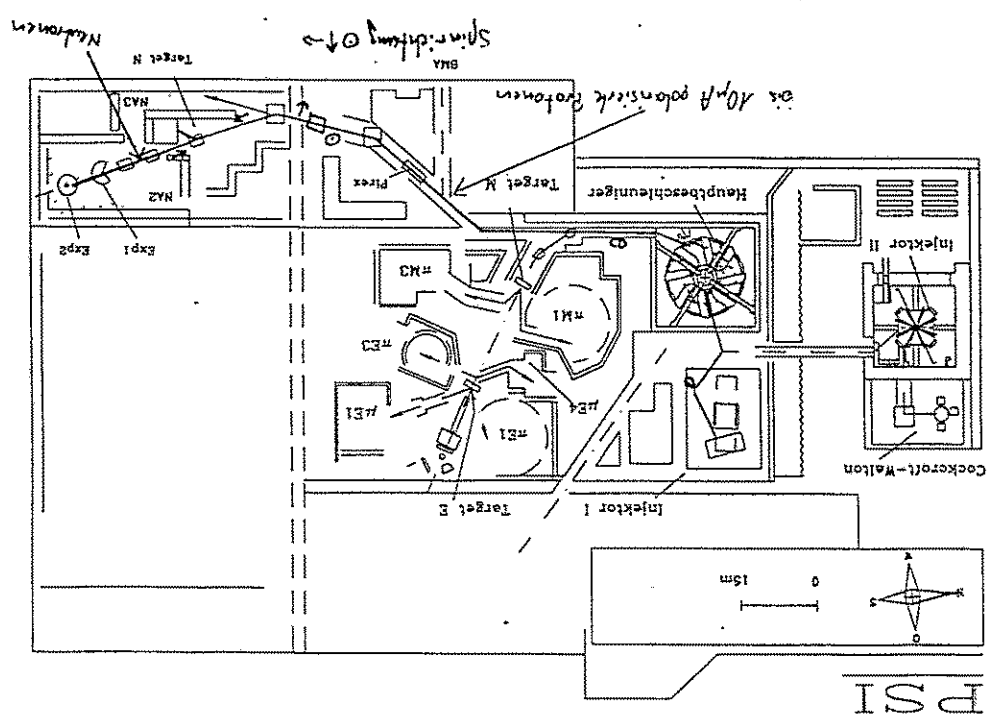
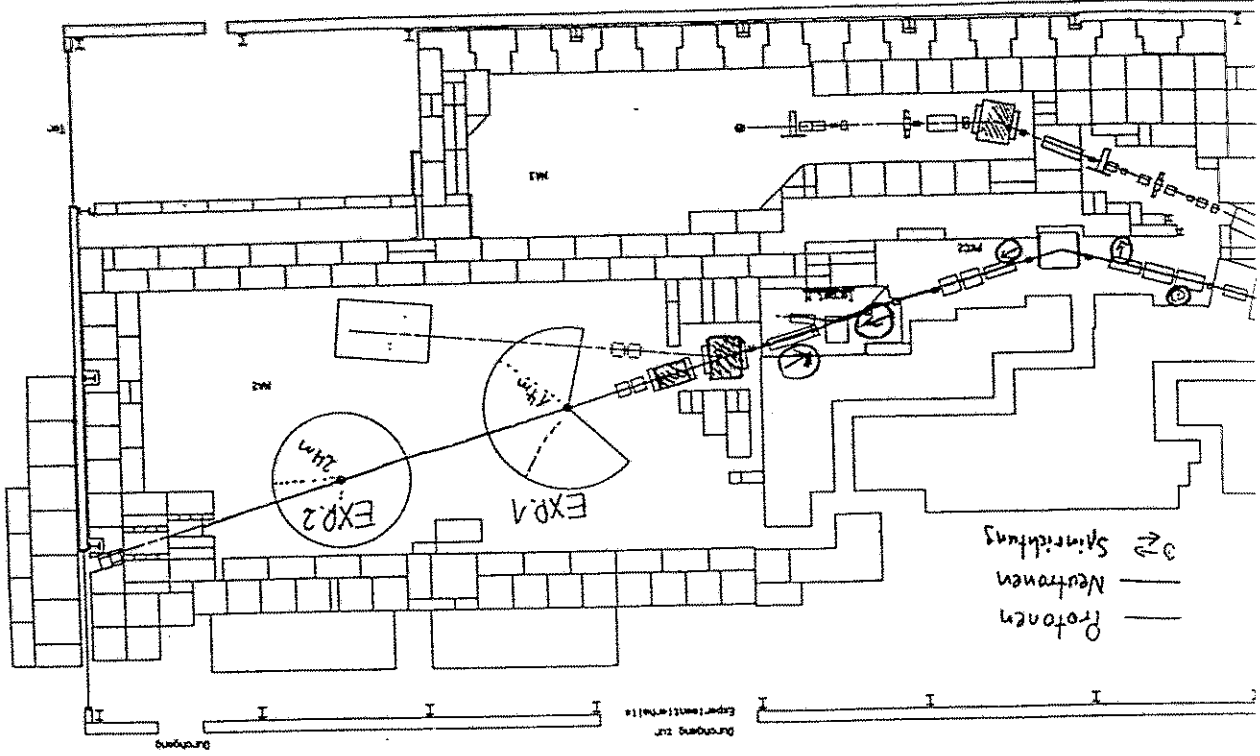
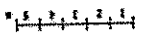
Erhaltungssätze: 25 unabhängige  $\circ 0$

z.B.  $A_{0000} = A_{0000} \cdot P_{0100} \cdot P_{1000} = P_{1000}$       Analysierstärke  
 $A_{00nn}$       Spinkorrelation

Messung genügend vieler Observabler ( $> 9$ )

- $\rightarrow$  Rekonstruktion aller 5 Streuamplituden:
- $\bullet$  "vollständiges Experiment"

Komp.-Bez. Spinnwebung: Zonen I-III 298  
1:100

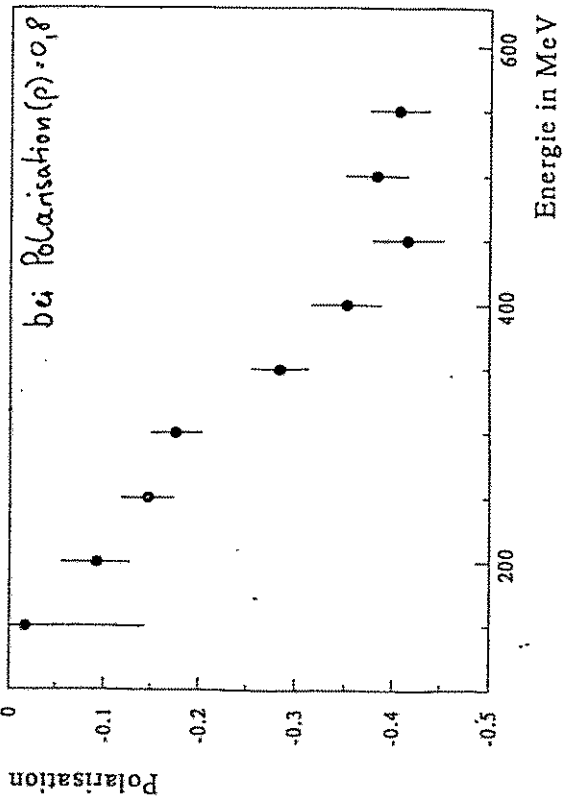
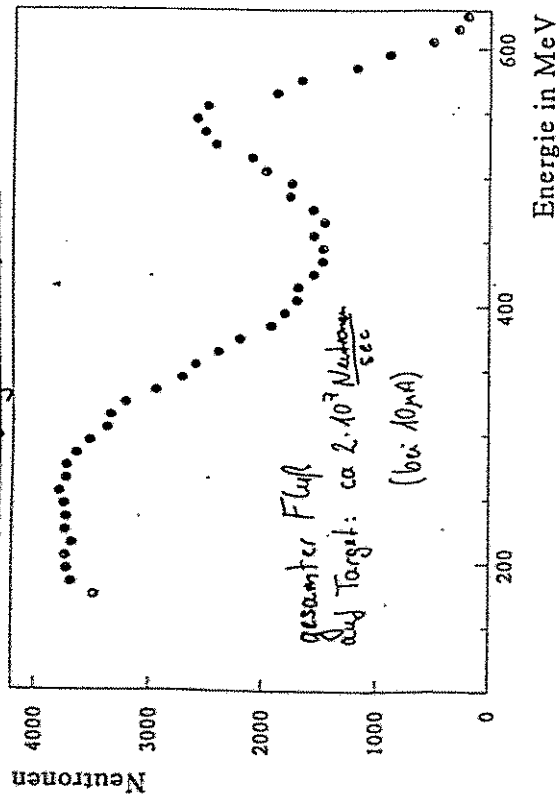


### 3. Polarisierte Neutronenstrahl

PSI

# EXP. 1

## Strahleigenschaften

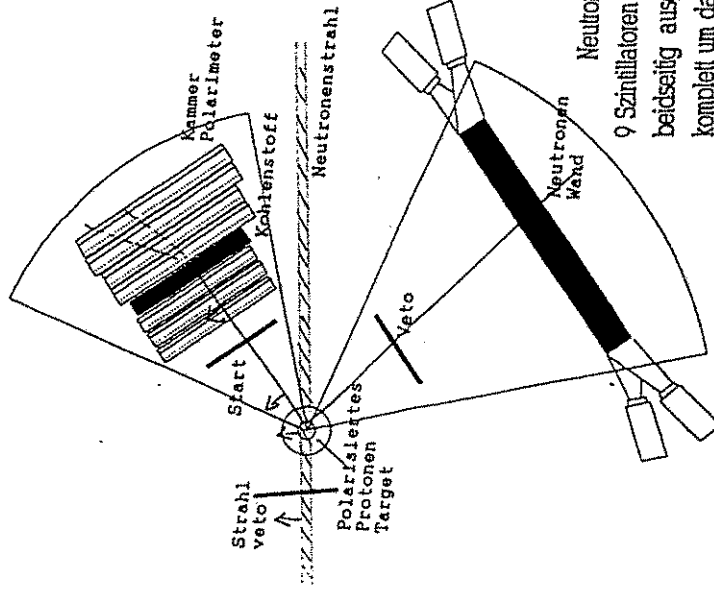


Lafette I:

Target:  $4 \times 4 \times 4 \text{ cm}^3$  frozen spin Target  
 Polarisation bei T kleiner 100 mK größer 0,8

Protonpolarimeter:

7 Proportionalkammern  
 Kohlenstoffstreuer  
 komplett um das  
 Targetzentrum drehbar,



Neutronenseite:

9 Szintillatoren  $\approx 160 \times 20 \times 8 \text{ cm}^3$ ,  
 beidseitig ausgelesen,  
 komplett um das  
 Targetzentrum drehbar,

Geplante Messungen: alle Dreispinkorrelationsparameter

Neutron 60-160 Grad cms

# EXP. 2

Laufzeit 2:

Target: Flüssigwasserstoff-Target

Protonpolarimeter:

Drittkammern

Kohlenstoffstreuer  
am Spektrometernagnet montiert

Spektrometernagnet:

(Impulsbestimmung, Spindrehung)  
um das Targetzentrum drehbar

Neutronendetektoren: (bei Messungen  $> 0$  Grad)  
gegebenenfalls  $100 \times 10 \times 10 \text{ cm}^3$  Szintillatoren

geplante Messungen: Spintransfer n-p, am Anfang unter  $0$  Grad  
Kornö, Koko, Koko, Koko, Koko (ohne Magnet)

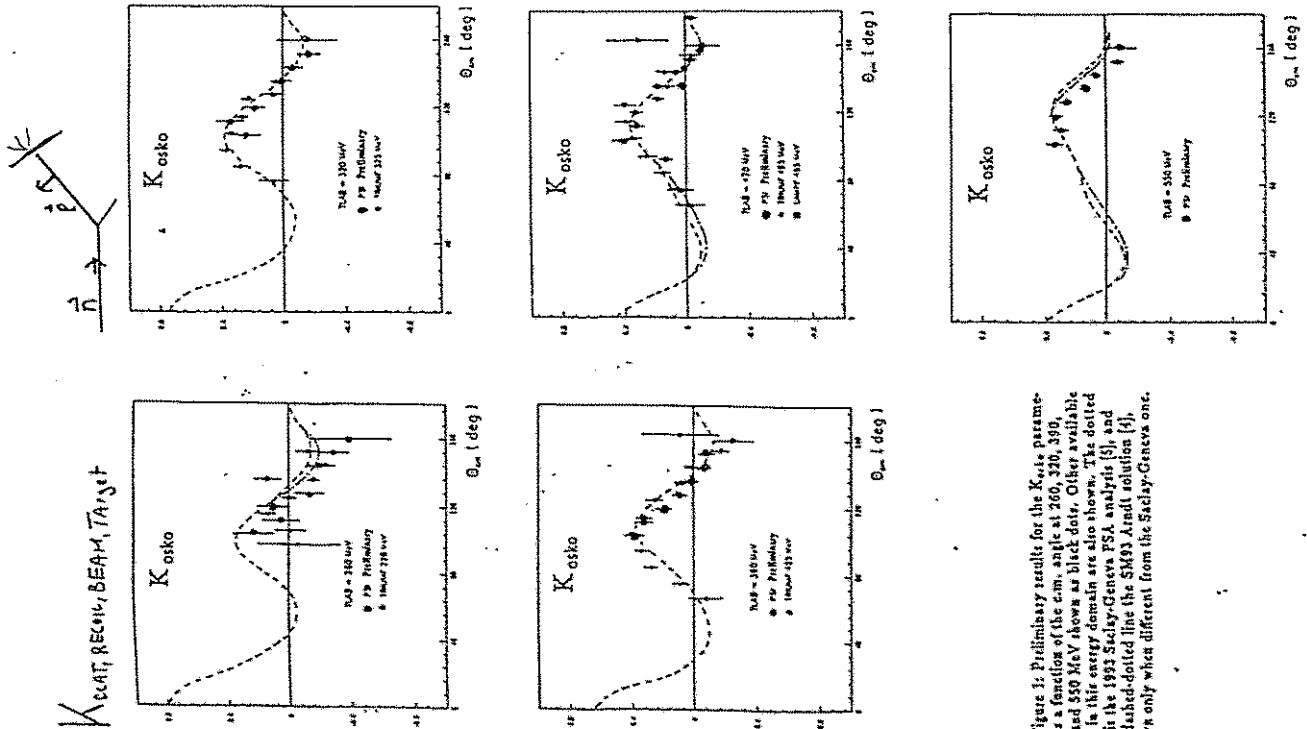
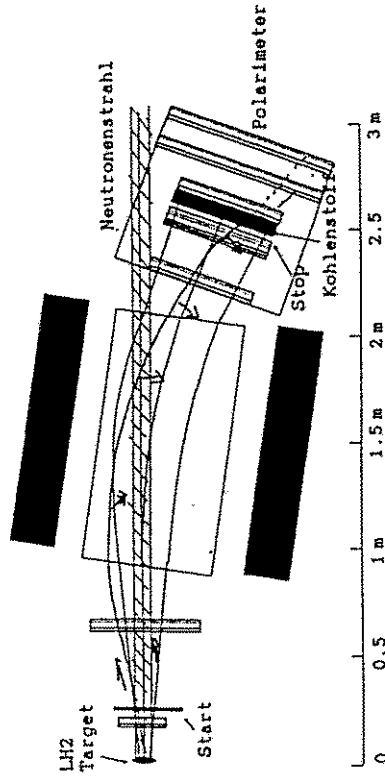
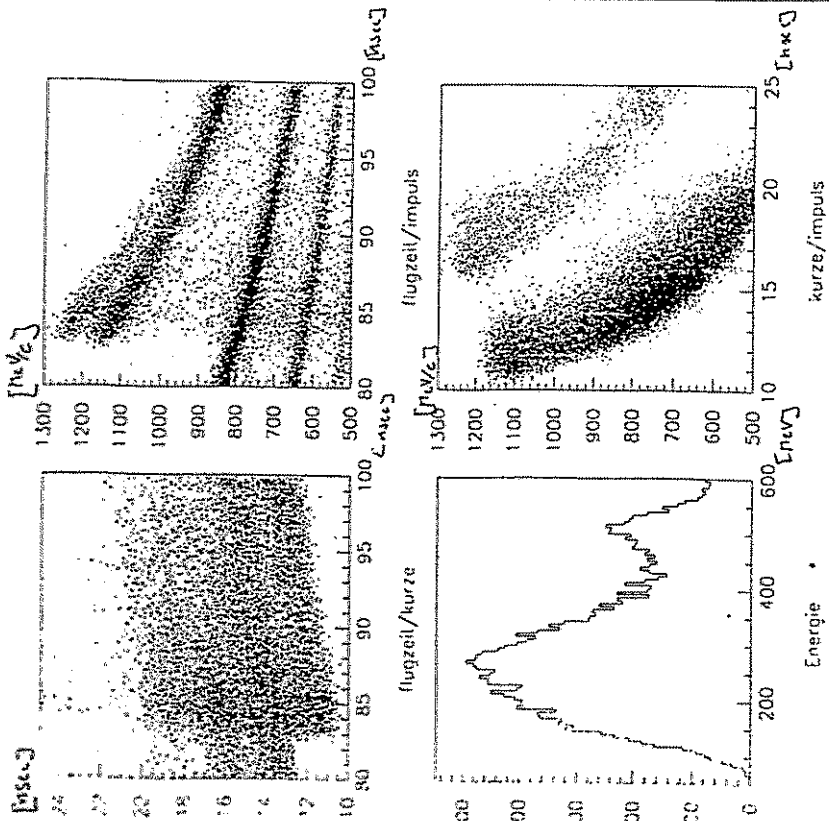
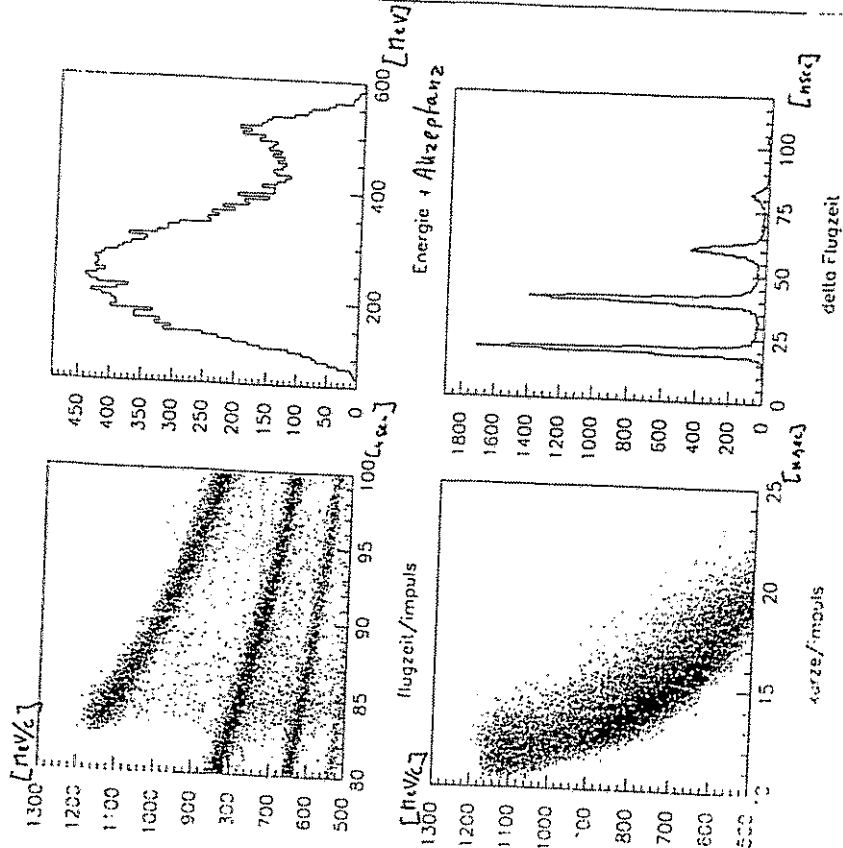


Figure 1: Preliminary results for the  $K_{01}$  parameter as a function of the c.m. angle at 260, 320, 390, 470 and 550 MeV shown as black dots. Other available data in this energy domain are also shown. The dotted line is the 1993 Sackley-Geneva PSA analysis [5], and the dashed-dotted line the SM93 Arndt solution [4], shown only when different from the Sackley-Geneva one.

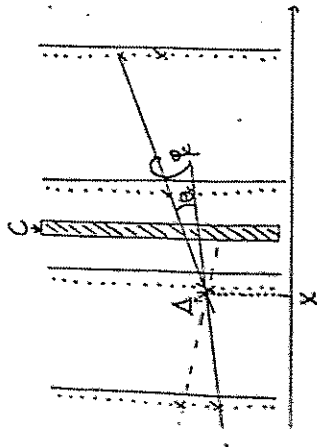
Rohdatenverteilung



Mit Deuteron-cut



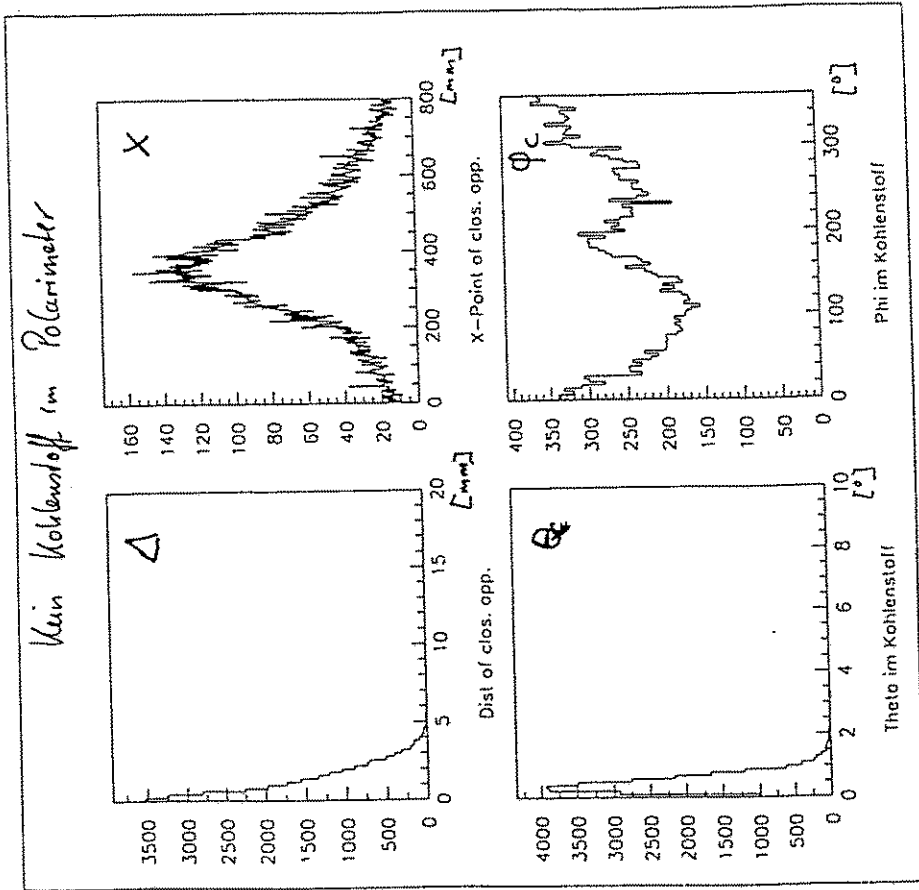
# Analysestreueung im Kohlenstoff

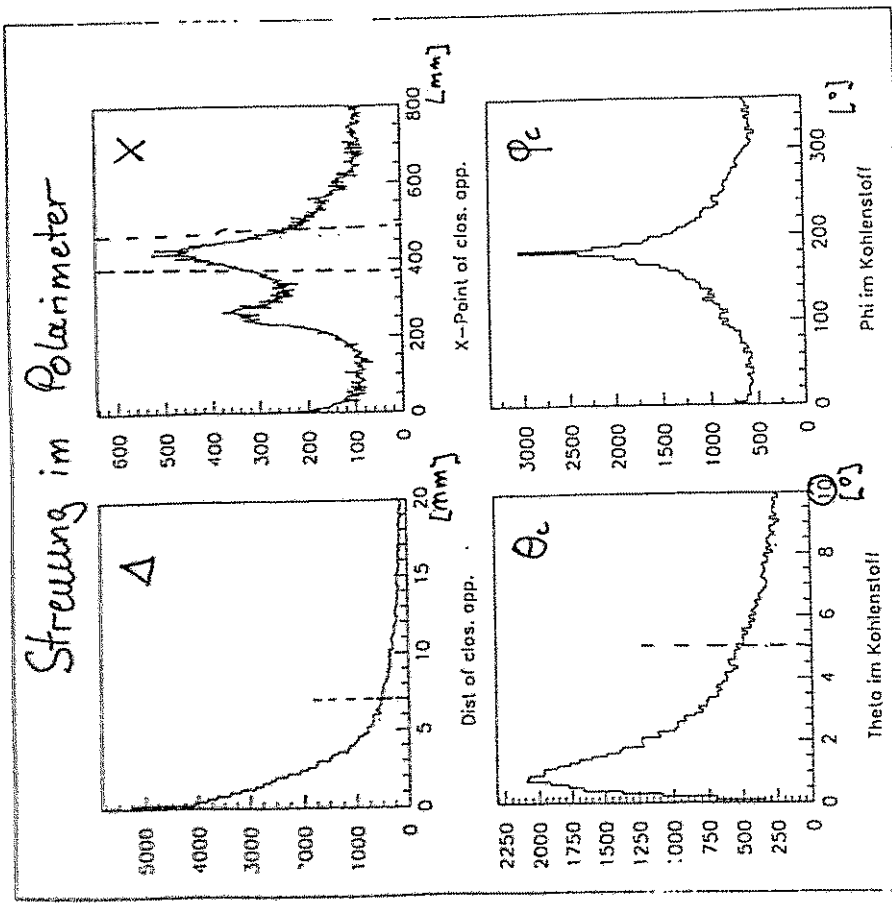


gefaltete Spur  
mit Drittkammer

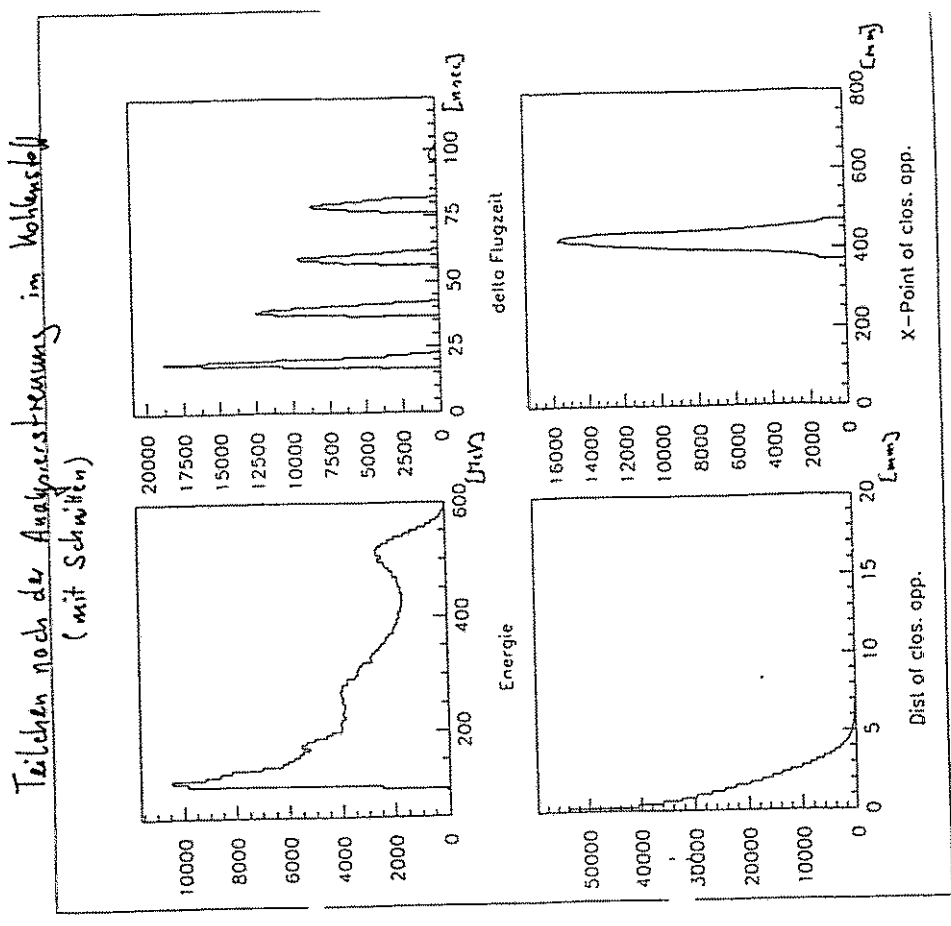
## Kenngroßen der Streuung

- $\Delta$  = "Distance of closest approach"
- $X$  = X-Koordinate des "point of closest approach"
- $\Theta_c$  = Streuwinkel im Kohlenstoff
- $\Phi_c$  = Azimutwinkel im Kohlenstoff



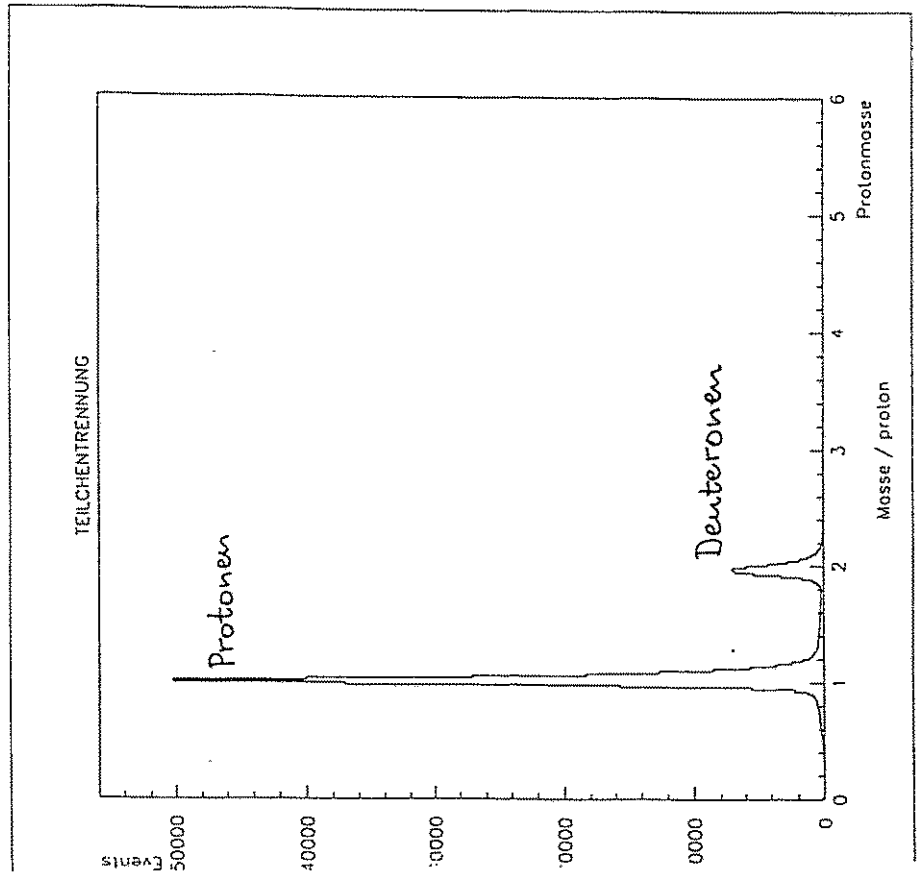
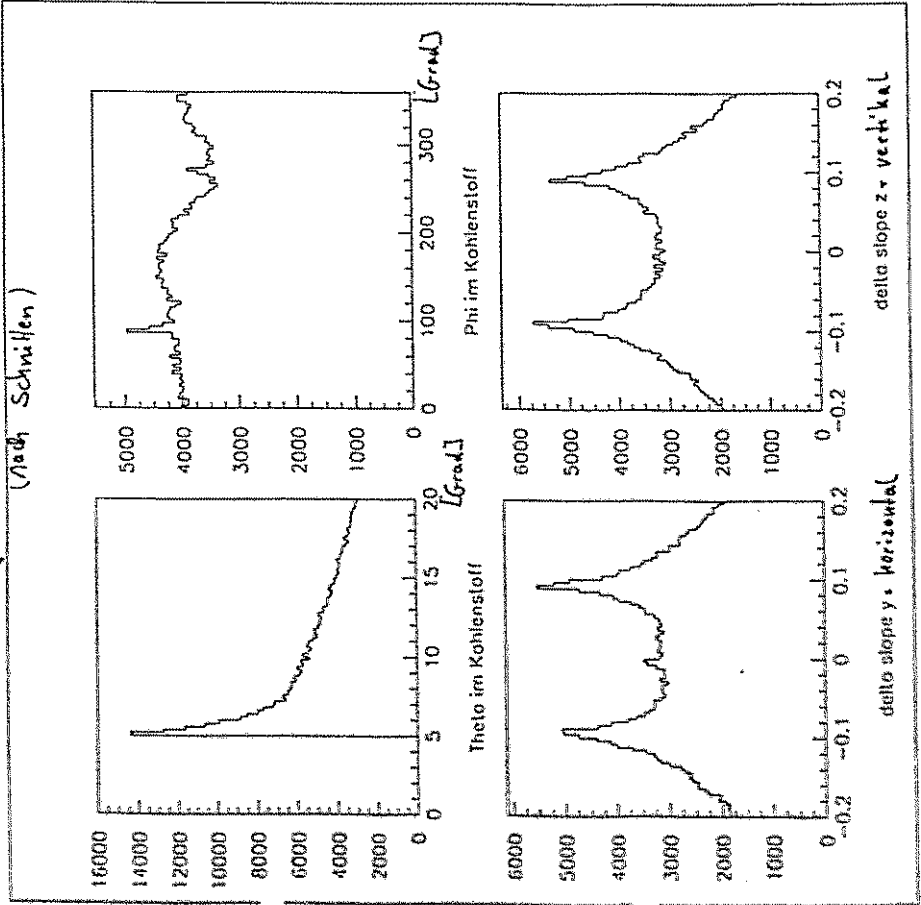


alle Kombinationen einsortiert



$$\frac{m}{z} = \frac{p}{z \cdot \beta \cdot r}$$

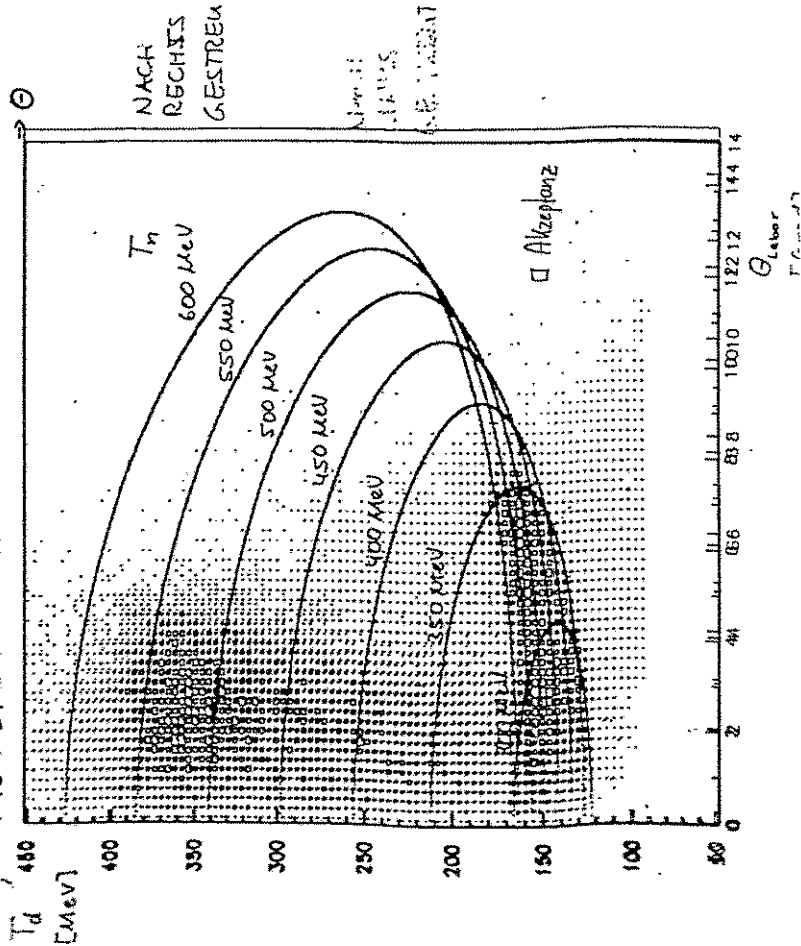
Rohdaten





# KINEMATIK + AKZEPTANZ

- Schwelle  $n_p \rightarrow d^{10}$ : 275 MeV
- Doppeldentigkeit:  
 In fester Neutronenenergie  $T_n$  gibt es zu einem Streuwinkel Oberor zwei mögliche Deuteronenergien  $T_d$
- Dieses Problem taucht bei der Bestimmung von  $T_n$  in anderer Form wieder auf  $\rightarrow$  Ambiguitäten und bei der Festlegung der Kinematik
- DAS EXPERIMENT DECKT NICHT DEN MÖGLICHEN KINEMATISCHEN BEREICH AB.



# BERÜCKSICHTIGUNG DES TARGETUNTERGRUNDS

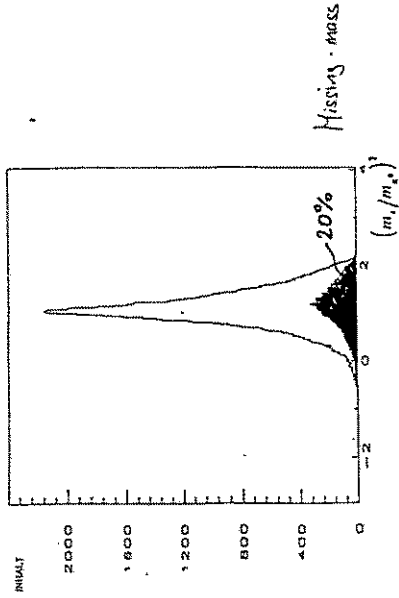


Abb. 50: Anteil des Targetuntergrunds an der Hauptmessung nach den Schritten auf die Impulsdifferenzverteilungen.

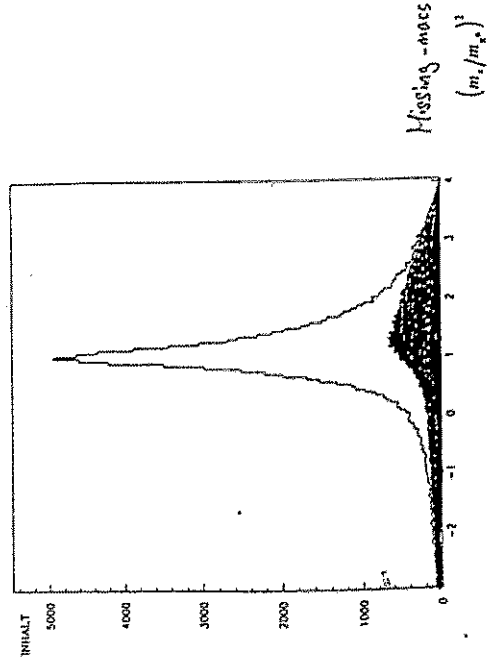
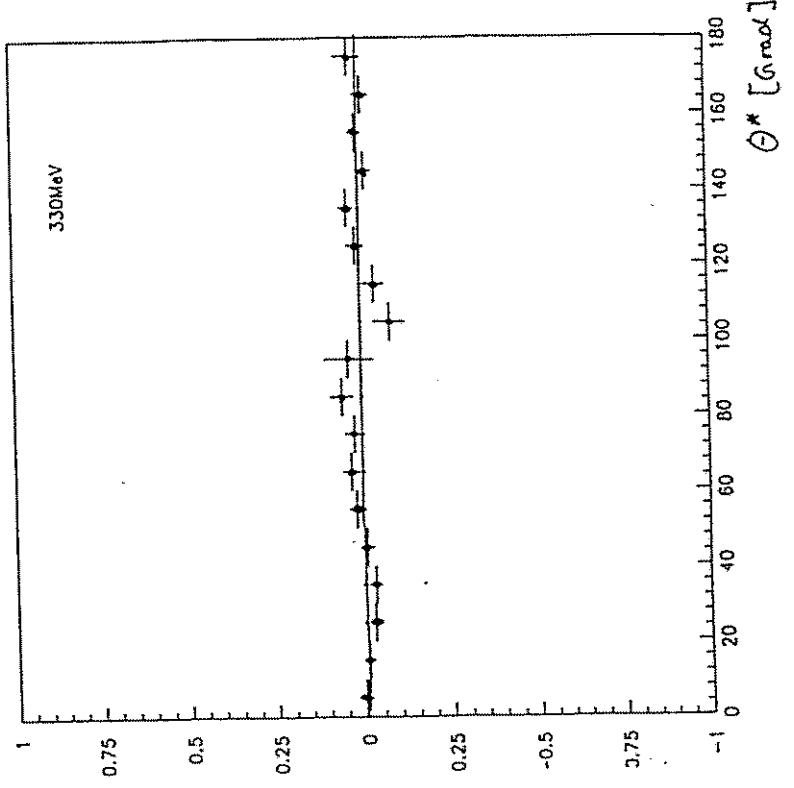
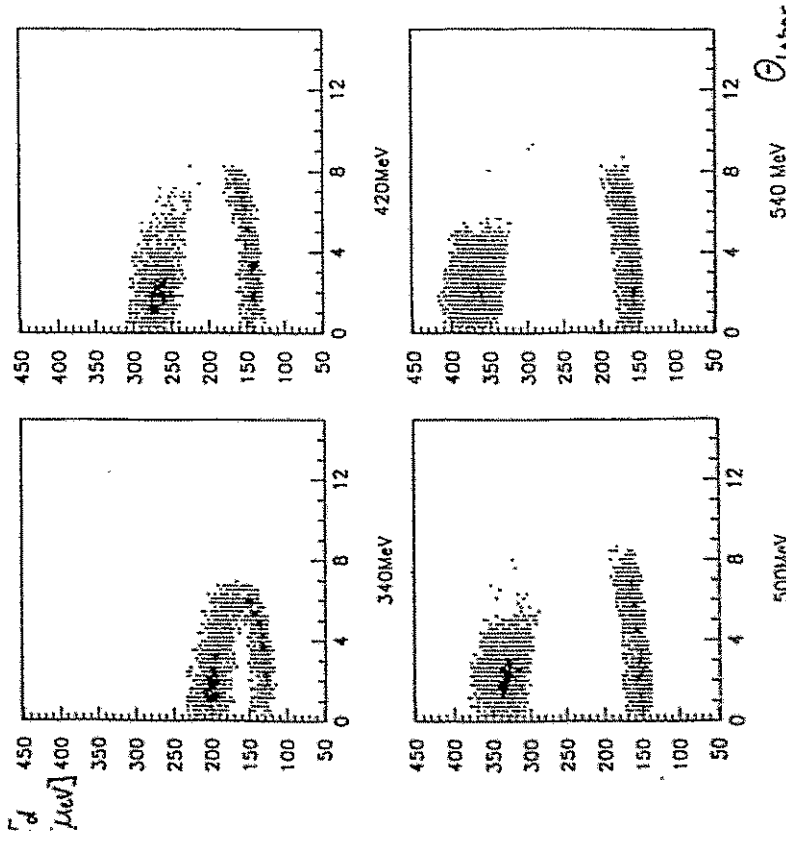


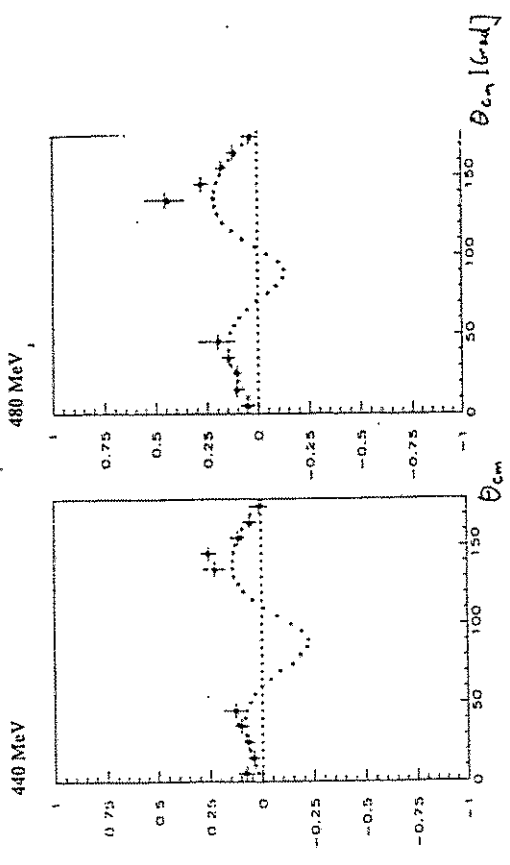
Abb. 51: Anteil der Target-Leermessung an der Hauptmessung vor den kinematischen Schritten.

# ASYMMETRIE BEI K-POLARISATION

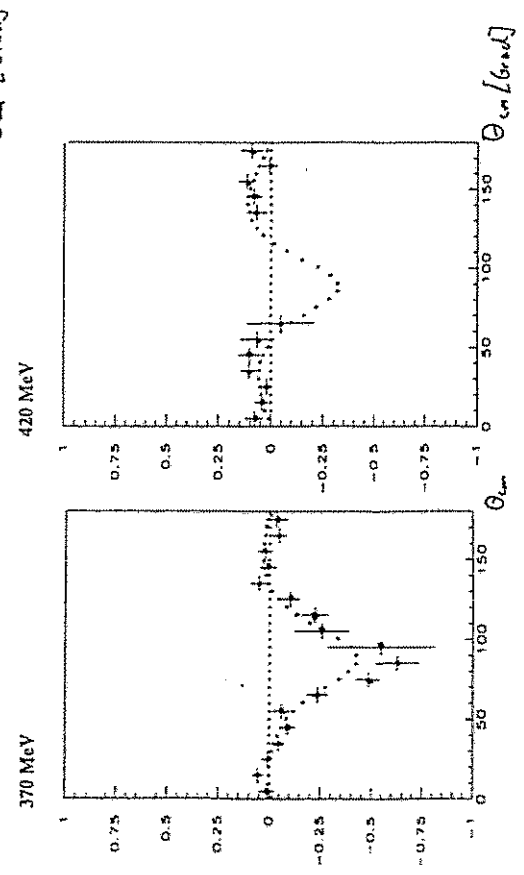
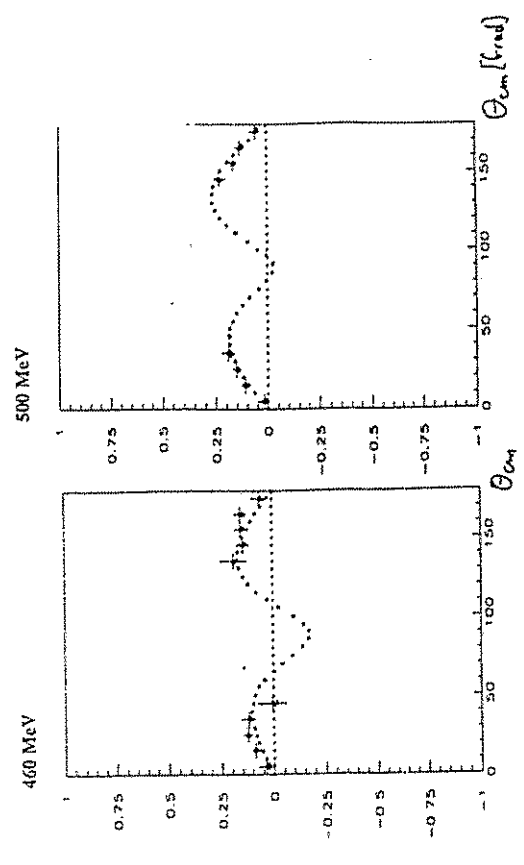
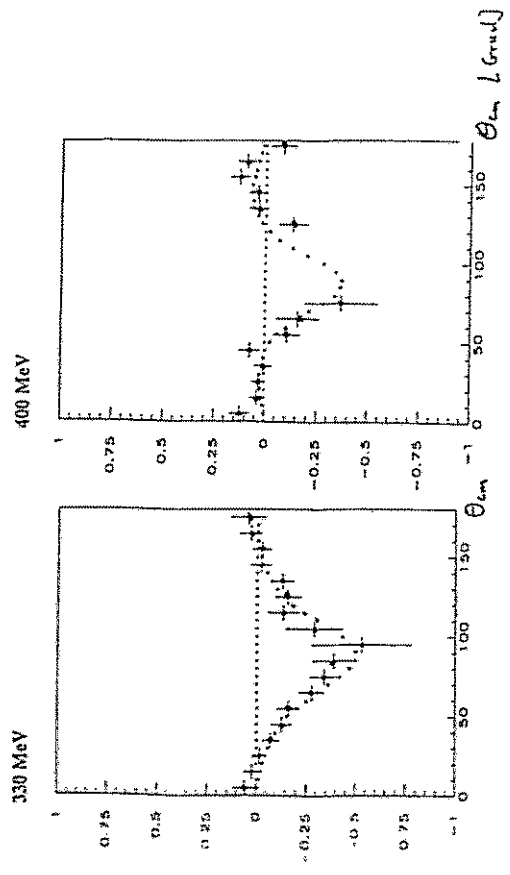
Kinematische Kurven nach dem Schneiden  
 Binbreite  $T_n$ : 20 MeV



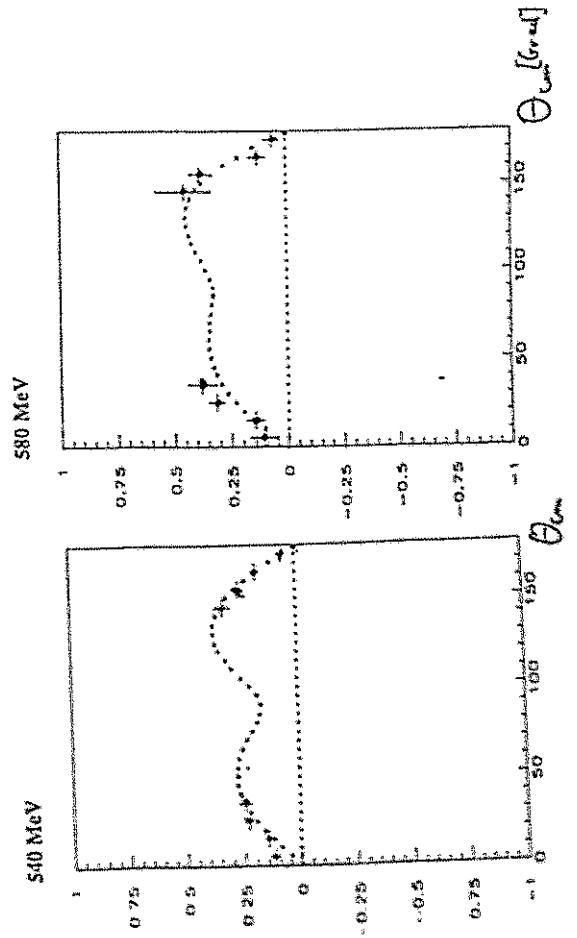
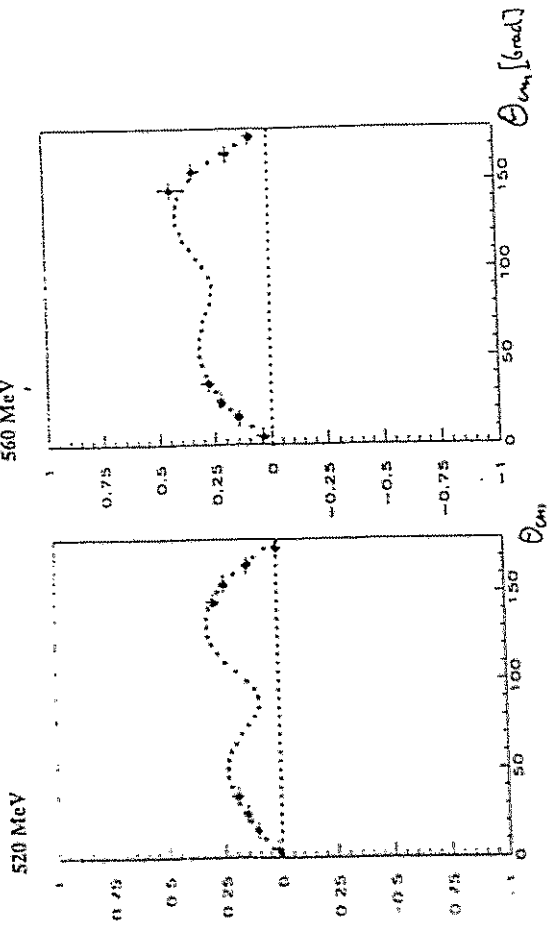
Analyzierstärke  $n_p \rightarrow d\pi^0$



Analyzierstärke  $n_p \rightarrow d\pi^0$



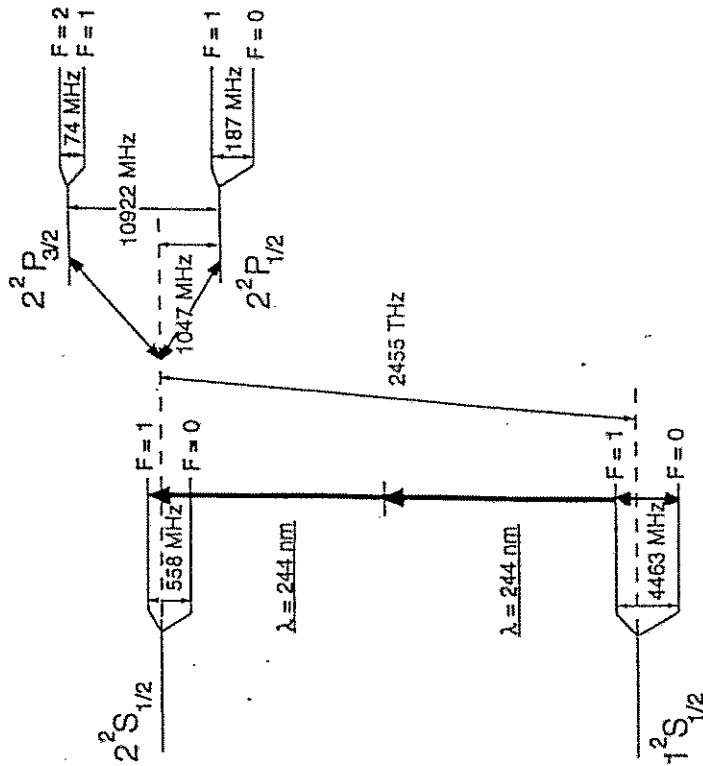
Analysierstärke  $\pi p \rightarrow \pi^0$



# Präzisionsmessungen am Myoniumatom

$(\mu^+ e^-)$

Muonium Energy Levels  
 $n=1$  and  $n=2$



Muonium: ( $\mu^+ e^-$ )

not to scale

K. Jungmann  
Universität Heidelberg  
Physikalisches Institut  
69120 Heidelberg

Arbeitsstreffen  
"Kern- und Teilchenphysik 1994"  
PIRNAS, 4.-10.07.1994

# Muonium Hyperfine Structure - Theory

$$\Delta\nu_{HFS} = E_F (1 + \epsilon_{QED}) + \Delta\nu_{weak} + \Delta\nu_{exotic}$$

- $E_F = \frac{16}{3} (Z\alpha)^2 R_{\infty} \frac{m_e}{m_{\mu}} [1 + \frac{m_e}{m_{\mu}}]^{-3} = 4\,459\,033.4 (0.6) \text{ kHz}$
- $\epsilon_{QED} = \epsilon_{rad} + \epsilon_{rec} + \epsilon_{rad-rec}$

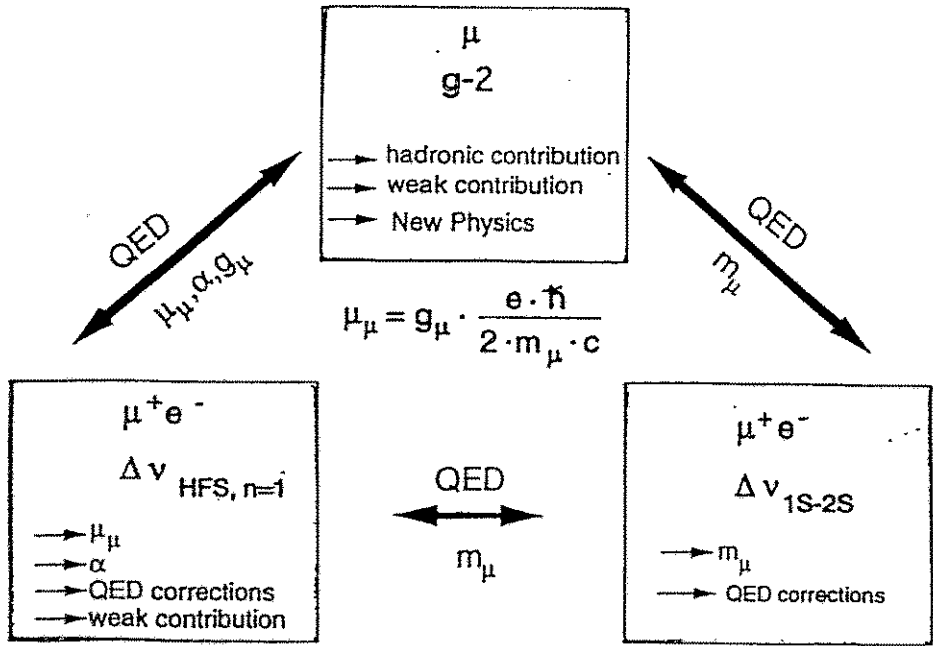
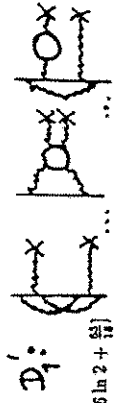
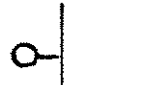
$$\epsilon_{rad} = (1 + a_p)(1 + \frac{2}{3}(Z\alpha)^2 + a_e + \alpha(Z\alpha)(\ln 2 - \frac{1}{2})) - \frac{8\alpha(Z\alpha)^2}{3\pi} \ln(Z\alpha) (\ln(Z\alpha/4) + \frac{241}{48}) + \frac{\alpha(Z\alpha)^2}{\pi} (15.38 \pm 0.29) + \frac{\alpha^2(Z\alpha)^2}{\pi} [-\frac{1}{3} \ln^2 14\sqrt{2} - 20\sqrt{2} \ln \frac{14\sqrt{2}}{3} + \frac{409}{43} \ln 2 + \frac{\pi^2}{6} - \frac{24}{15} + \frac{31629}{37800} - 0.310742\dots + D']$$

$$\epsilon_{rec} = -\frac{32\alpha}{\pi} \frac{m_e m_{\mu}}{m_p m_{\mu}} \ln \frac{m_e}{m_p} + \frac{(\ln Z\alpha)^2}{m_e m_{\mu}} [2 \ln \frac{1}{2Z\alpha} - 6 \ln 2 + \frac{64}{15}]$$

$$\epsilon_{rad-rec} = \frac{\alpha(Z\alpha)m_e}{\pi m_{\mu}} (-2 \ln^2 \frac{m_e}{m_{\mu}} + \frac{13}{12} \ln \frac{m_e}{m_{\mu}} \frac{21}{2} + \zeta(3) + \zeta(2) + \frac{25}{9} + (2.15 \pm 0.14) + \frac{\alpha}{\pi} [-\frac{1}{3} \ln^2 \frac{m_e}{m_{\mu}} + \frac{1}{3} \ln^2 \frac{m_e}{m_p} + O(\ln \frac{m_e}{m_p})]$$

- $\Delta\nu_{weak} = 130 \cdot C_{M_A}^{\mu} \text{ Hz} = 65 \text{ Hz}$  (axial - axial vector via Z)
- $\Delta\nu_{MH} = 519 \cdot (G_{MH}/G_F) \text{ Hz} \leq 83 \text{ Hz}$  ( $M - \bar{M}$  oscillation)

- $\Delta\nu_{HFS}(exp) = 4\,463\,302.88 (16) \text{ kHz}$  (36 ppb)
- $\Delta\nu_{HFS}(theory) = 4\,463\,302.63 (1.34)(0.21)(0.17) \text{ kHz}$  (300 ppb)



June-1994, T. Kinoshita and H. Nio, Phys. Rev. Lett. 72, 3703; arXiv:hep-th/9406014

EXPERIMENT 1054

Ultra-High Precision Measurement on Muonium Ground State: Hyperfine Structure and Muon Magnetic Moment

Yale - Heidelberg - Syracuse - Los Alamos - Brookhaven

Spokespersons: V.W. Hughes (Yale),  
G. zu Putlitz (Heidelberg),  
P.A. Souder (Syracuse)

M. Boshier, S. Dhawan, X. Fei, V.W. Hughes, M. Janousch, W. Liu,  
W. Schwarz, Q. Xu  
Physics Department, Yale University, New Haven, CT 06511

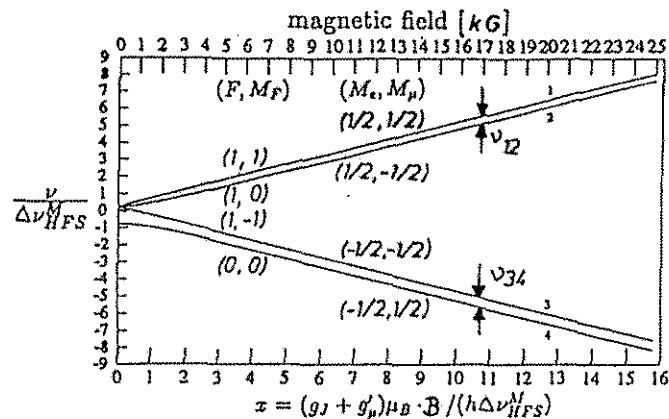
K. Jungmann, R. Prigl, G. zu Putlitz  
Physikalisches Institut, University of Heidelberg, D-69120 Heidelberg

P.A. Souder, X. Wang  
Department of Physics, University of Syracuse, Syracuse, NY 13244

C. Pfilai, O. Van Dyck  
Los Alamos National Laboratory, LAMPF, Los Alamos, NM 87545

K.A. Woodle  
Brookhaven National Laboratory, Upton, NY 11973

Muonium  $1^2S_{1/2}$  State in an External Magnetic Field



$$\boxed{\nu_{12} + \nu_{34}} = \boxed{\Delta\nu_{HFS}}$$

$$\boxed{\nu_{12} - \nu_{34}} = \frac{2\mu_B g'_\mu B}{h} + \boxed{\Delta\nu_{HFS}}[(1+x^2)^{1/2} - x]$$

$$\nu_{12} = \frac{\mu_B g'_\mu B}{h} + \frac{1}{2} \Delta\nu_{HFS}[(1+x) - (1+x^2)^{1/2}]$$

$$\nu_{34} = -\frac{\mu_B g'_\mu B}{h} + \frac{1}{2} \Delta\nu_{HFS}[(1-x) + (1+x^2)^{1/2}]$$

$$\text{with } g'_\mu = g_\mu \left[1 - \frac{g_\mu^2}{g_\mu^2 + \frac{m_e^2}{m_\mu^2}}\right]$$

Old Muonium Signal

statistical figure of merit:

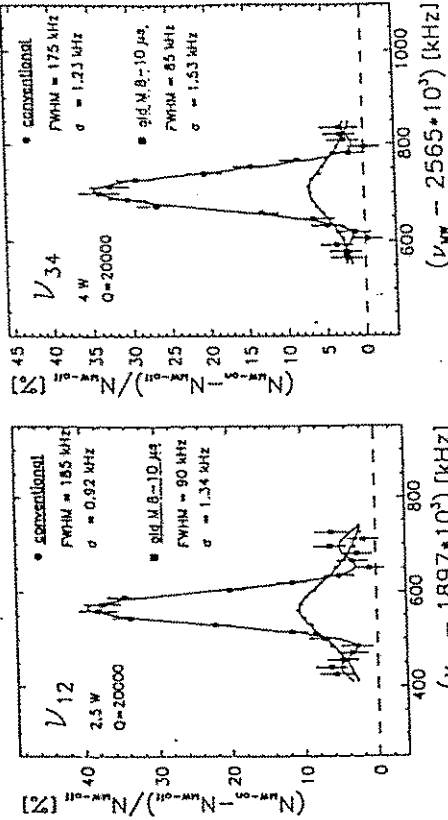
$$F = \sqrt{N_e + \left(\frac{S}{B}\right)^2} \frac{1}{L}$$

$N_e$ : number of decay  $e^+$   
 $S/B$ : Signal to Background rat  
 $L$ : Linewidth

Linewidth:

$$S \propto \frac{2|b|^2}{\Gamma^2} \left[ 1 + \frac{Y(\Gamma \sin(\Gamma T) - Y \cos(\Gamma T))}{\Gamma^2 + Y^2} \right]$$

$|b|^2 \propto$  microwave power;  $T$ : waiting time;  $Y = \Gamma \tau$   
 $\Gamma = [(0 - \omega_0)^2 + 4|b|^2]^{1/2}$



preliminary:  $\Delta \nu_{HFS}^M = 4463.302.72(12)(30) \text{ kHz}$

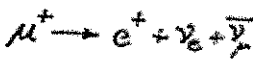
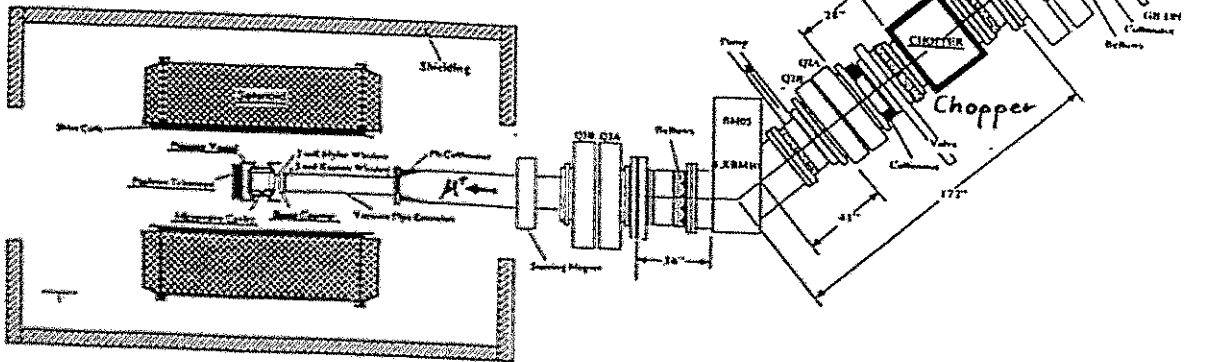
muonium "age" [ $\mu\text{s}$ ]	0 - $\infty$	4-6	6-8	8-10
uncertainty of $\delta \nu_{HFS}^M$ [kHz]	0.9	0.8	0.8	1.3
Line center $\delta \nu_{34}^M$ [kHz]	1.2	1.0	1.1	1.5

LAMPF Experiment 1054 Yale - Heidelberg - Syracuse - LAMP

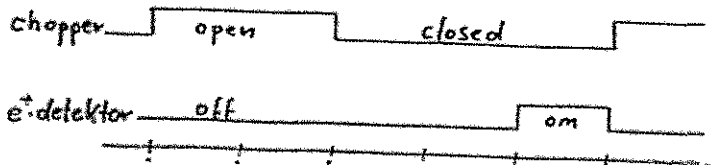
E1054 Setup

B-field:

- homogeneity: < 1ppm (20 cm dsu)
- accuracy: 50ppb
- stability: 10ppb/h



Old Muonium:



Yale - Heidelberg - Syracuse  
 W. Hughes, G. zu Putlitz, P. Souder et al.



# Methods of Muonium Production

- Gas Stop

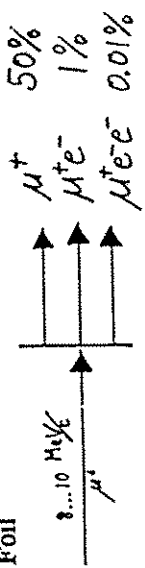


foreign gas effects

Yields up to 100%

Polarization up to 50% ( $B=0$ )  
100% ( $B \gg \mu H$ )

- Beam Foil

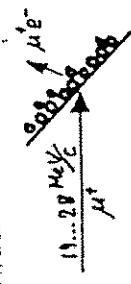


Muonium in Vacuum

n=2 state populated (~10%)  
keV kinetic energy

fast muonium

- SiO<sub>2</sub> Powder



Thermal Muonium in Vacuum

Polarization 39(9)%

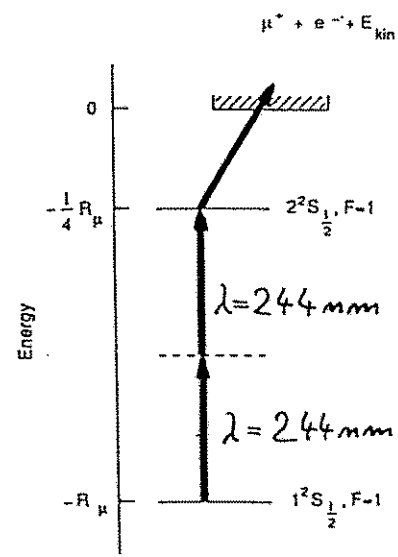
yields up to 12(2) %

Silica Aerogels yield 1.9(4) %

$$\frac{M(m=2)}{M(m=1)} \leq 10^{-4}$$

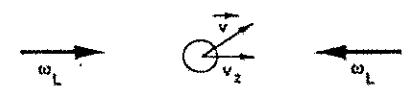
for  $\mu^+$  at 20 MeV/c

for  $\mu^+$  at 26 MeV/c



(a)

## Muonium in the Laser Field



laboratory frame:

$$\omega_{\pm} = \frac{1}{\sqrt{1 - \frac{v_z^2}{c^2}}} + (1 \pm \frac{v_z}{c}) \cdot \omega_L \approx (1 \pm \frac{v_z}{c}) \cdot \omega_L$$



muonium rest frame:

(b)

Experiment 707 at Rutherford Appleton Laboratory

High Resolution Two Photon Spectroscopy of the Manganese  
15 - 25 Transitions

R. Baum, K. Jungblut, F. Marx, R.E. Mathias, G. zu Putlitz, J. Reinhard, W. Schwarz,  
L. Williamson, L. Zhang

Physikalisches Institut der Universität Heidelberg,  
Philosophenweg 12, D-6900 Heidelberg 1

D. Beckland, M.G. Boshier, V.W. Hughes  
Physics Department, Yale University, New Haven Ct. 06520

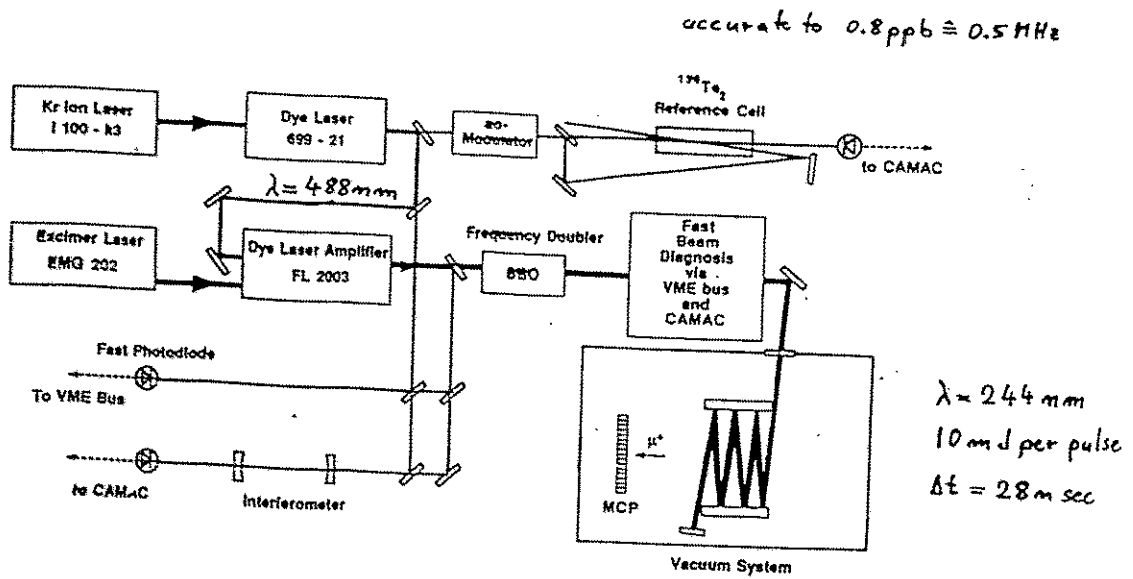
P.E.G. Baird, P.G.H. Sandars, G. Woodman  
Clarendon Laboratory, Oxford OX1 3PU

G. Eaton, W.T. Tower, M. Towrie  
Rutherford Appleton Laboratory, Chilton, Didcot, Oxon OX11 0QX

J.R.M. Barr

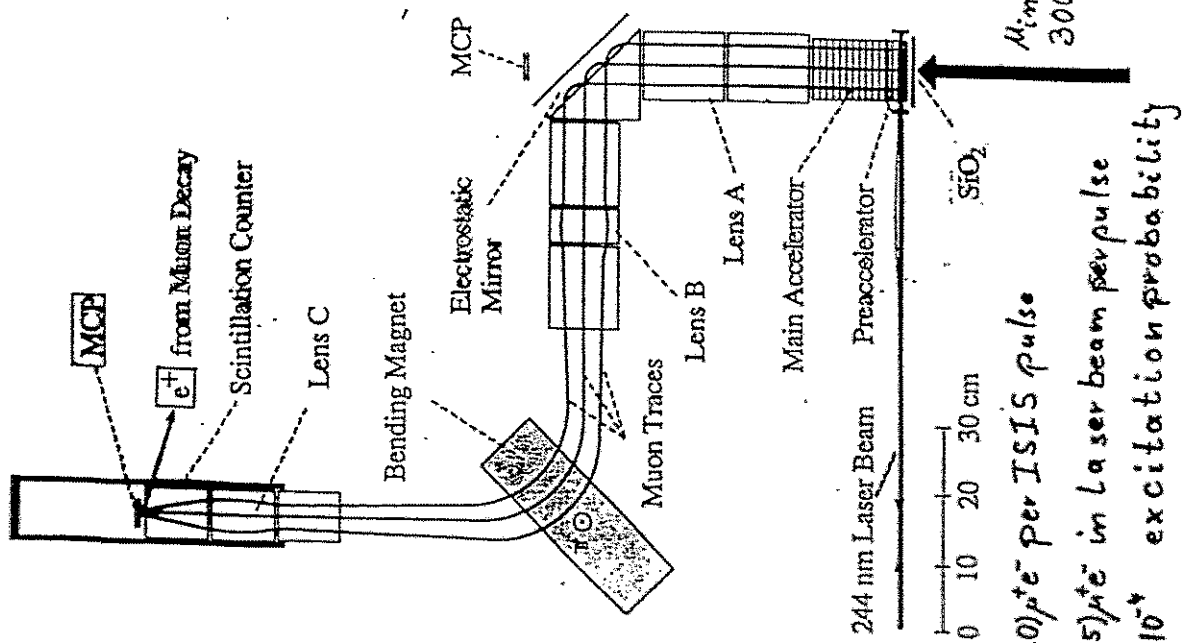
Department of Physics, University of Southampton, Southampton SO9 5NH

P. Curly, A.I. Ferguson, M. Persaud  
Department of Physics and Applied Physics, University of Strathclyde, Glasgow G4 0NG

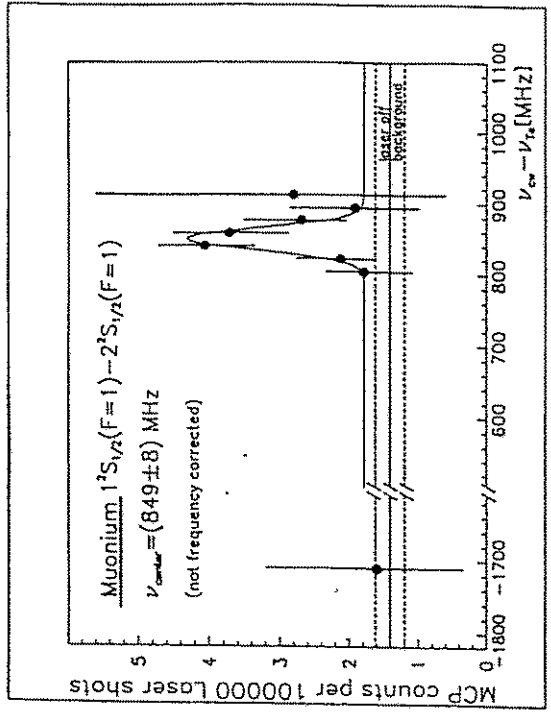


RAL Experiment 707

Heidelberg - Oxford - RAL - Southampton - Strathclyde - Yale  
Klingmann et al.



- 80(20)  $\mu\text{e}^-$  per ISIS pulse
- 1.5(5)  $\mu\text{e}^-$  in Laser beam per pulse
- $2 \cdot 10^{-4}$  excitation probability
- 10(5)%  $\mu^+$  detection efficiency



	Frequency [MHz]	stat. uncert.	system. uncert.
values at $\lambda = 466 \text{ nm}$			
$\nu_{cm} - \nu_{1/2}$	849	8	0
$\nu_{cm}(d)$	613 881 149	0	0.5
$= 2 \cdot \Delta\nu_{cm}(1S, F=1-2S, F=1)$	613 881 998	8	0.5
values at $\lambda = 122 \text{ nm}$			
$\Delta\nu_{cm}(1S, F=1-2S, F=1)$	2 455 527 993	33	9.0
$+\Delta\nu_{cm} \text{ Doppler}$	0	0	8.4
$+\Delta\nu_{cm} \text{ field Doppler}$	1	0	0
$+\Delta\nu_{cm} \text{ g-factor}$	-52	0	20
$+\Delta\nu_{cm} \text{ Zeeman}$	84	0	40
$= \Delta\nu_{cm}(1S-2S)$	976	0	0
$\Delta\nu_{cm}(1S-2S)$	2 455 529 002	33	46
$\Delta\nu_{cm}(1S-2S)$	2 455 528 934		3.6

F.E. Mass et al., Phys. Lett. A 107, 242 (1984)

agreement with KEK Experiment - Chu et al. 1981

**Results from Muonium 1S-2S Laser Excitation**

- **1S-2S transition frequency:**  
 $\Delta\nu_{1S-2S}$  (exp) = 2 455 529 002(33) (46) MHz  
 $\Delta\nu_{1S-2S}$  (theory) = 2 455 528 934.3 (3.6) MHz
- **Lamb shift contribution to 1S-2S:**

$\Delta\nu_{LS}$ (exp)	=	6 988 (33)	(46)	MHz
$\Delta\nu_{LS}$ (theory)	=	7 056.1 (1.0)		MHz

• **Isotope shifts:**

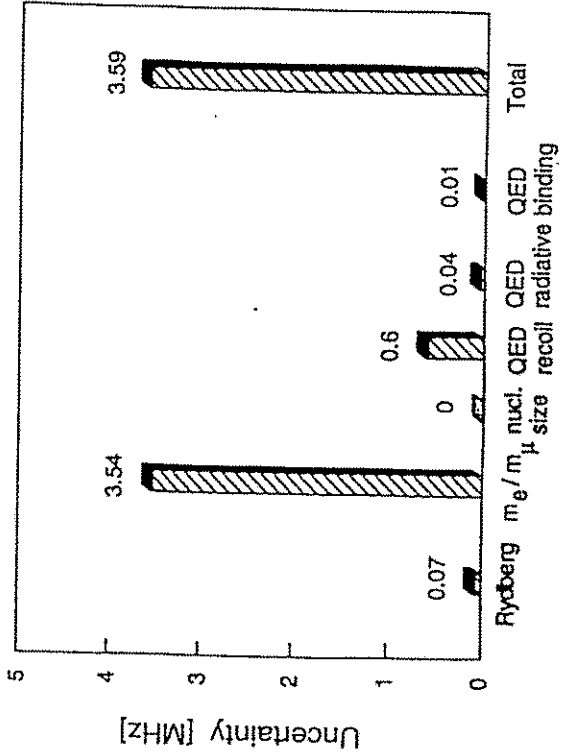
<b>Hydrogen:</b>				
$\Delta\nu_{M-H}$ (exp)	=	10 532 414 (33)	(46)	MHz
$\Delta\nu_{M-H}$ (theory)	=	10 532 478.8 (3.6)		MHz
<b>Deuterium:</b>				
$\Delta\nu_{M-D}$ (exp)	=	11 203 447 (37)	(46)	MHz
$\Delta\nu_{M-D}$ (theory)	=	11 203 473.1 (3.6)		MHz

• **Muon Mass:**

$m_{\mu^+}$ ( $\Delta\nu_{M-H}$ , $\Delta\nu_{M-D}$ )	=	105.658 80 (29)	(43)	MeV/c <sup>2</sup>
$m_{\mu^+}$ ( $\mu_{\mu}$ )	=	105.658 386 (44)		MeV/c <sup>2</sup>
$m_{\mu^-}$ ( $\mu^-$ atoms)	=	105.658 41 (33)		MeV/c <sup>2</sup>

Contribution [MHz]	M(1S-2S)
Dirac energy	2 467 411 581.53
Dirac reduced mass	-11 875 786.78
Relativistic two-body	195.73
QED corrections	
one-loop	-7 037.21
two-loop	-0.88
relativistic recoil	-18.14
radiative recoil	0.03
total QED corrections	-7 056.18
Finite nuclear size	0.00
Lamb shift	-7 056.18
Total:	2 455 528 934.30

**Uncertainties in the 1S-2S energy difference in Muonium**

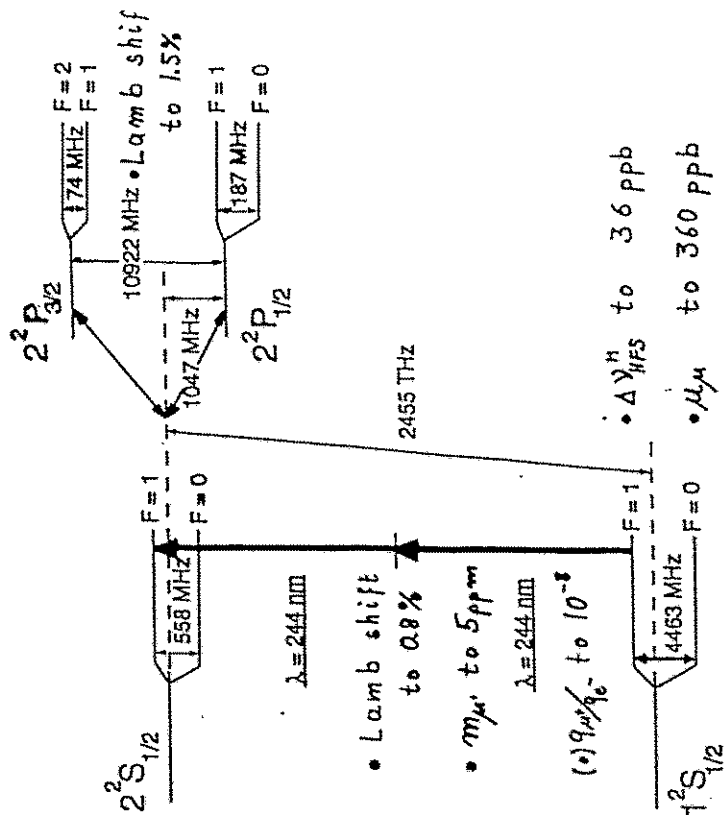


# Muon g - 2

$$\mu_{\mu} = g_{\mu} \cdot \frac{e\hbar}{2 \cdot m_{\mu} \cdot c} = 2 \cdot (1 + a_{\mu}) \cdot \frac{e\hbar}{2 \cdot m_{\mu} \cdot c}$$

## Muonium Energy Levels

$n=1$  and  $n=2$



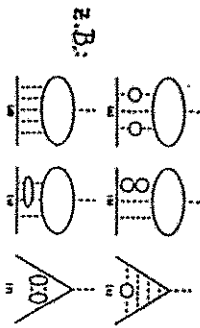
Muonium: ( $\mu^+e^-$ )

# Contributions to the Muon Magnetic Anomaly $a_\mu$

$$a_\mu = \frac{1}{2}(g-2) = a_\mu^{QED} + a_\mu^{Had.} + a_\mu^{Weak} + a_\mu^{exotic} = \frac{g}{2} + \dots$$

\*  $a_\mu^{QED} = 1\,165\,846\,955\,(46)(28) \cdot 10^{-12}$

$a_\mu^{QED} = 99.99\%$



\*  $a_\mu^{Had.} = 7027(175) \cdot 10^{-11}$

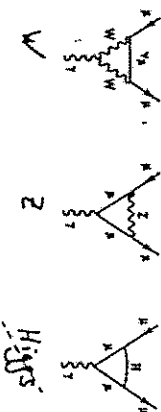
$a_\mu^{Had.} = 60.3\text{ ppm}$



From:  $\sigma(e^+e^- \rightarrow \text{hadrons})$  (measurable to  $\sim 5\%$ )  
 $\sigma(e^+e^- \rightarrow \mu^+\mu^-)$

$a_\mu^{Weak} = 195(10) \cdot 10^{-11}$

$a_\mu^{Weak} = 1.7\text{ ppm}$



→ Test renormalizability in weak interaction

→ Compare to  $M_W^2 = \frac{\pi \alpha}{\sqrt{2} G_F (1 - M_W^2/M_Z^2) (1 - \Delta r)}$ ;  $\Delta r \approx 7\%$   $m_W^2$ ?

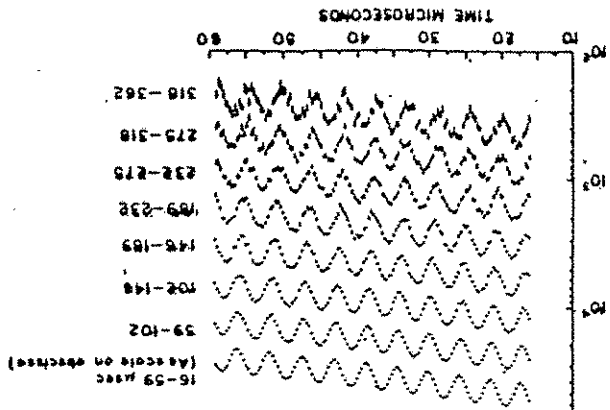
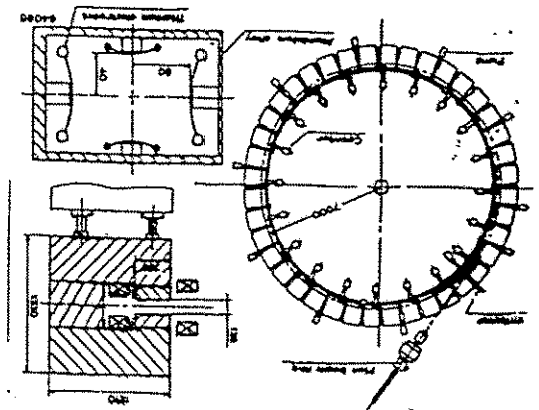
+ also valid in external electric fields, if  $\frac{\gamma^2 - 1}{\gamma^2} - a_\mu = 0$

Cyclotron Frequency:  $\omega_c = \frac{m_\mu \gamma c}{m_\mu \gamma c} \cdot B$

Spin Precession Frequency:  $\omega_s = \frac{m_\mu \gamma c}{m_\mu \gamma c} \cdot B + \frac{m_\mu c}{m_\mu c} a_\mu \cdot B$ ;  $\gamma = (1 - \frac{v^2}{c^2})^{-1/2}$

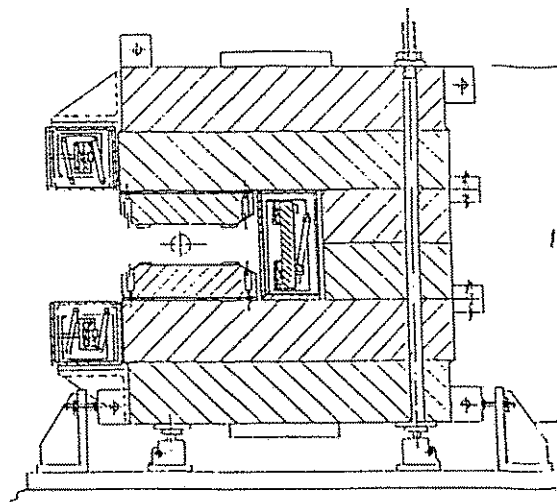
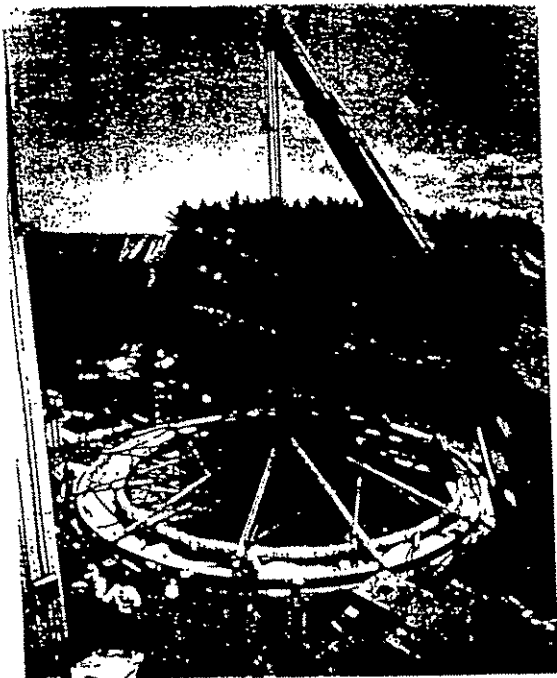
Anomaly Frequency:  $\omega_a = \omega_s - \omega_c = \frac{m_\mu c}{m_\mu c} a_\mu B$

$a_\mu^{CERN} = 1165\,9229(85) \cdot 10^{-9}$  ( $\pm 7.2\text{ ppm}$ )



# Got the Coil on a String!

(See "World's Largest Superconducting Coil Completed" on page 2.)



MUCON G-2 MAGNET CROSS SECTION

Radius of ring:  $\approx 7$  m

AGS EXPERIMENT 821

TITLE: A NEW PRECISION MEASUREMENT OF THE MUON G-2 VALUE AT THE LEVEL OF 0.35 PPM.

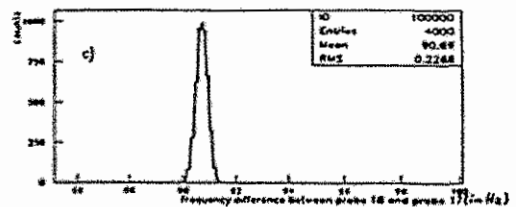
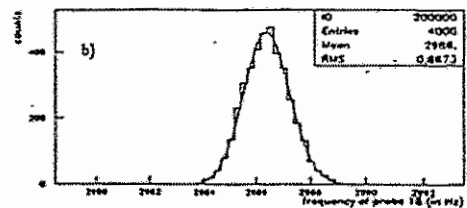
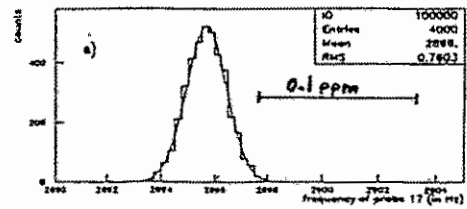
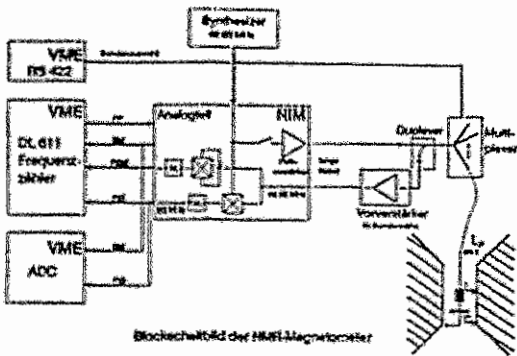
- |               |                      |                  |                |
|---------------|----------------------|------------------|----------------|
| <u>Boston</u> | R. Carey             | Heidelberg       | K. Jungmann    |
|               | E. Hazen             |                  | G. zu Putlitz  |
|               | F. Kricken           | M.P.L. Heideberg | U. Haeberlen   |
|               | J.P. Miller          |                  |                |
|               | <u>B.L. Roberts*</u> | KCK              | K. Endo        |
|               | L.R. Sulak           |                  | H. Hirabayashi |
|               | W. Worstell          |                  | S. Ichii       |
|               |                      |                  | S. Kurokawa    |
|               | H.N. Brown           |                  | Y. Mizumachi   |
|               | G. Bunce             |                  | T. Sato        |
|               | G.T. Danby           |                  | A. Yamamoto    |
|               | J.W. Jackson         |                  | L. Ishida      |
|               | Y.Y. Lee             | Riken            | M. Iwasaki     |
|               | S. Mane              | Tokyo            | K. Nagamine    |
|               | <u>W.M. Morse*</u>   |                  |                |
|               | A. Prodel            | Novosibirsk      | L.M. Barkov    |
|               | R. Shutt             |                  | B.I. Kazin     |
|               | K. Woodie            |                  | D.N. Grigorev  |
|               |                      |                  | E.A. Kuznet    |
|               | T. Kinoshita         |                  | S.I. Redin     |
|               | Y. Orlov             |                  | Ya.M. Shatunov |
|               |                      |                  | E. Solodov     |
|               | D. Winn              |                  |                |
|               | W.P. Lysenko         |                  |                |
|               | P. Cushman           |                  |                |
|               | S.K. Dhawan          |                  |                |
|               | F.J.M. Farley        |                  |                |
|               | X. Fei               |                  |                |
|               | S. Hou               |                  |                |
|               | N. Jansouch          |                  |                |
|               | <u>V.W. Hughes*</u>  |                  |                |

Goal: better than 0.35 ppm

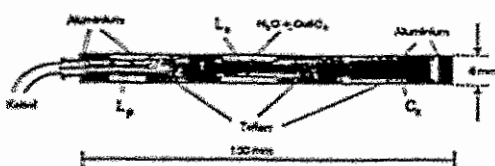


## g-2 Magnetometer

- gepulste Kernspintresonanz ( $H_2O$ )
- Zählen von Null durchgängen des FID-Signals



• feste Probe

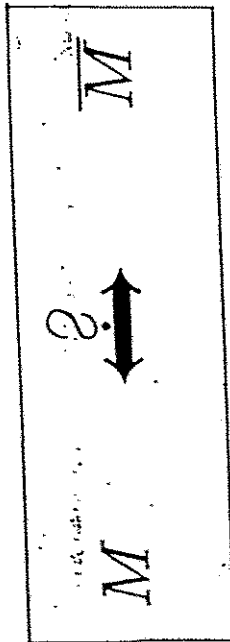
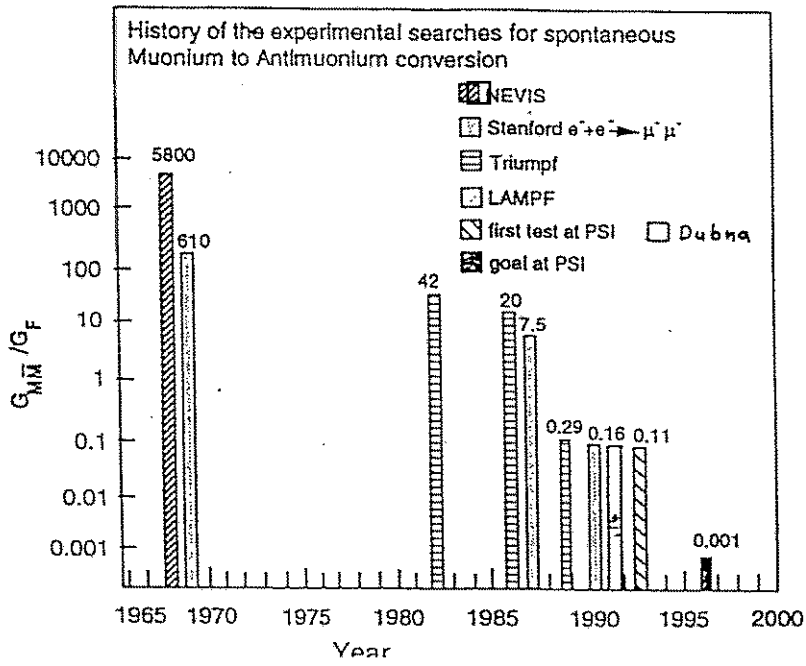


• bewegliche Probe



4000 Einzelmessungen in MRI Magnet





$\mu^- e^+$

+1

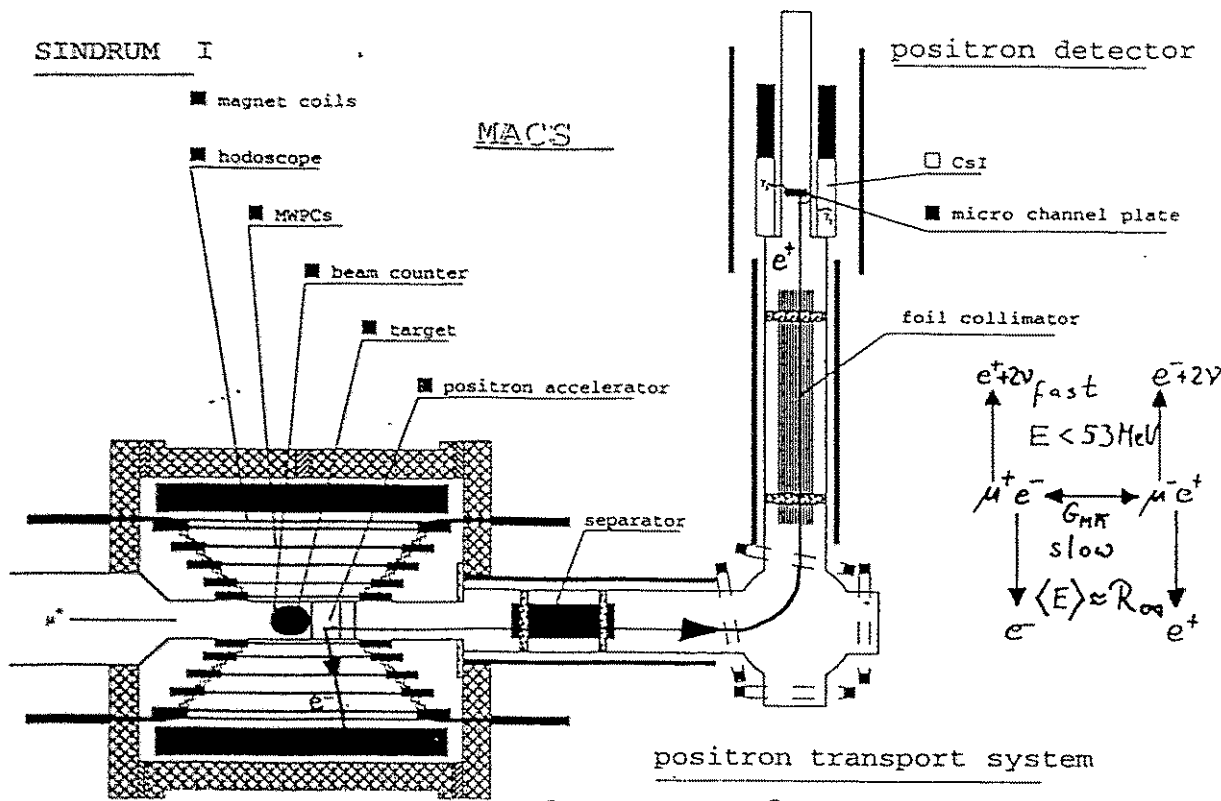
-1

$$\frac{G_{\text{MH}}}{\Delta L_e^2} = \pm 2$$

$\mu^+ e^-$

$L_\mu: -1$

$L_e: +1$



PSI Experiment R-89-06

Aachen-Dubna-Heidelberg-PSI-Tbilisi-Yale-Zürich

Experiment R-89-06 at PSI

Search for Spontaneous Conversion of Muonium to Antimuonium?

B. Fischer von Weikerathal, K. Jungmann, F. Meas, B.E. Matthias,  
T. Prokscha, G. zu Putlitz, I. Reinhard, P. Schmidt, L. Willmann, L.  
Zhang,  
Physikalisches Institut der Universität Heidelberg  
D-69120 Heidelberg 1, Germany

R. Engler, A. Leuschner, R. Menz, H.S. Prys, W. Reichart  
Physik-Institut der Universität Zürich  
CH-8091 Zürich, Switzerland

R. Abela, W. Bertl, D. Renker, H.K. Walter  
Paul Scherrer Institute  
CH-5231 Villigen, Switzerland

D. Kampmann, A. Knaas, G. Otter, R. Seeliger  
III. Phys. Institut B der RWTH Aachen  
D-53056 Aachen, Germany

V. Baranov, V. Karpuchin, I. Kisel, S. Korotischenko, N. Kuchinsky, K.  
Nekrasov  
Joint Institute for Nuclear Research  
141 980 Dubna, USSR

J. Dagaturia, D. Mzavia, T. Sakelashvili  
Tbilisi State University  
USSR-380086 Tbilisi, Georgia, USSR

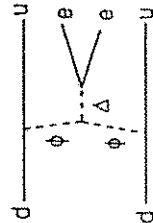
V.W. Hughes, W. Schwarz  
Yale University, New Haven Ct., USA

Majorana Neutrino Exchange Mechanism



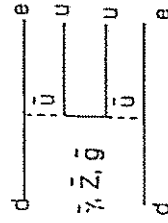
$$G_{MM} = \lambda (G_F m_\nu^2 / 2\pi^2) \ln(\lambda^{-1}) \leq 10^{-5} G_F$$

Higgs Mechanism

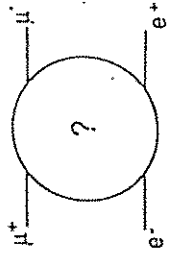


$$G_{MM} \sim h^2 / m_\Sigma^2 G_F \leq 10 G_F \geq 7 \cdot 10^{-5} G_F$$

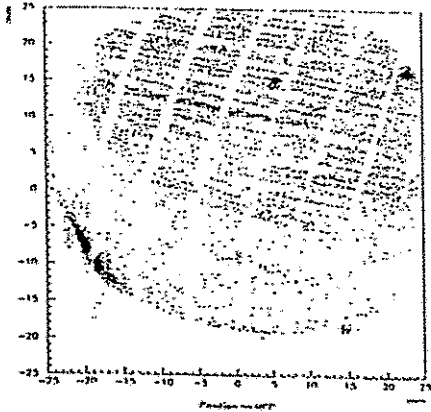
R-Parity violating SUSY



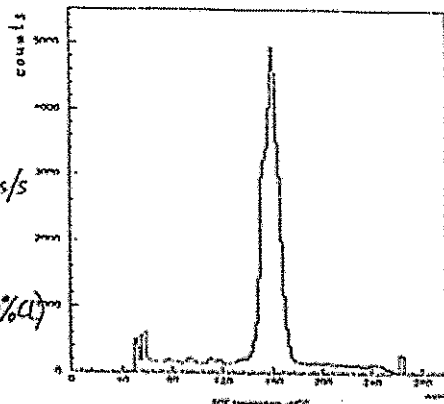
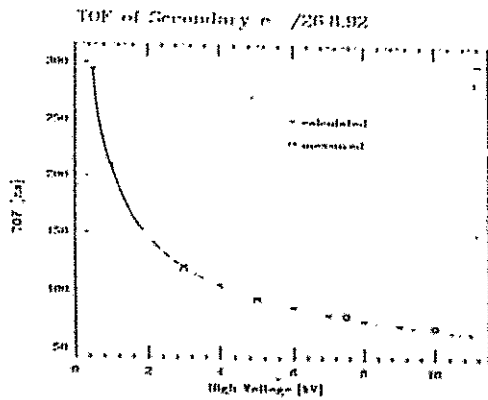
$$G_{MM} \sim \left( \frac{\lambda_{312} \lambda_{321}}{m_{\tilde{\nu}_t}^2} \right) \leq 2 \cdot 10^{-2} G_F$$



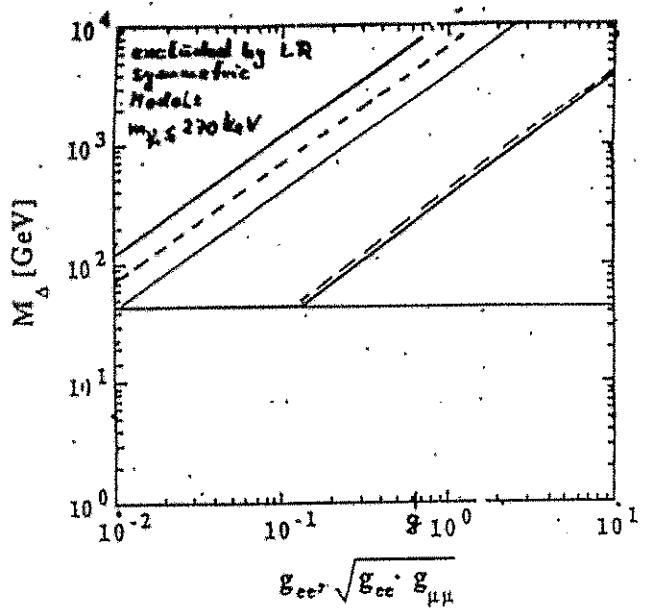
more general



- accidental background  $\leq 10^{-2}$  events/s  
 $\text{at } \mu_{in}^+ = 5 \cdot 10^5 \mu^+$
- Warmup run 1992:  
 1 day of data taking  $\Rightarrow G_{\mu\mu} \leq 0.11 G_F$  (90% CL)
- 1<sup>st</sup> step: data run 1993:  
 400h data taking  $\Rightarrow$  sensitive to  
 $G_{\mu\mu} \sim 2 \cdot 10^{-7} G_F$



U



$$G_{MM} = \frac{g_{ee} \cdot g_{\mu\mu}}{g^2} \left[ \frac{M_W}{M_A} \right]^2 G_F$$

M.L. Swartz  
Phys. Rev. D45, 1521 (1989)

- $M_{\bar{M}}$  LAMPF
- $e^+e^- \rightarrow 4$  Leptons
- $e^+e^- \rightarrow e^+e^-$  PEP & PETRA
- $M_{\bar{M}}$  proposed PSI

- minimal LR Theory
- with reasonable assumptions

P. Herczeg and R. Mohapatra,  
Phys. Rev. Lett. 17, 2475 (1992)

U

Arbeitsstreffen Kern- und Teilchenphysik 1994  
PIRNA

SUCHE NACH DER  
 $\mu$ - $e$ -KONVERSION AN KERNEN  
IM SINDRUM II - SPEKTROMETER

Claus Dohmen  
III. Physikalisches Institut B / RWTH Aachen

SINDRUM II - Kollaboration  
Aachen / PSI / Zürich (ETH + U)

SIN Detector for Rare and Unexpected Modes

(SIN - Schweizer Institut für Nuklearforschung, heute im  
PSI - Paul Scherrer Institut)

- gefördert vom BMFT -

Leptonflavour = Generationsnummer

	$e^- \nu_e$	$e^+ \bar{\nu}_e$	$\mu^- \nu_\mu$	$\mu^+ \bar{\nu}_\mu$	$\tau^- \nu_\tau$	$\tau^+ \bar{\nu}_\tau$
$L_e$	1	-1				
$L_\mu$			1	-1		
$L_\tau$					1	-1

Hadronen wird die Leptonflavour 0 zugeordnet.

Alle bisher beobachteten Prozesse:

$$\Delta L_e = \Delta L_\mu = \Delta L_\tau = 0$$

„Leptonflavourerhaltung“

Beispiel: Myon-Zerfall

	$\mu^-$	$\rightarrow$	$e^-$	$\nu_\mu$	$\bar{\nu}_e$	
$L_e$	0		1	0	-1	$\Sigma L_e = 0$
$L_\mu$	1		0	1	0	$\Sigma L_\mu = 0$

Standard - Modell: (SM)

Die Leptonflavour ist keine fundamentale Erhaltungsgröße, d.h. ist nicht mit einer Symmetrie verknüpft (wie z.B. die Ladung).

⇒ Prinzipiell ist *Leptonflavourverletzung* (LFV) möglich.

Mechanismus: Mischung der Generationen bei (unterschiedlichen) Neutrinomassen

Experimentelle Massengrenzen für die Neutrinos und Neutrino - Oszillations - Experimente

⇒

Grenzen für die Verzweigungsverhältnisse von LFV-Reaktionen

$$\begin{array}{ll} \text{z.B. } BR(\mu \rightarrow e\gamma) & < 10^{-20} & (\text{exp. } \mathcal{O}(10^{-11})) \\ BR(\mu^- A \rightarrow e^- A) & < 10^{-16} & (\text{exp. } \mathcal{O}(10^{-12})) \end{array}$$

Innerhalb des Standardmodells sind die Limits für LFV-Reaktionen aus der Neutrinomassenbestimmung auf absehbare Zeit besser als die Ergebnisse direkter  $\mu$ -Zerfallsexperimente.

Weitergehende Theorien, die LFV zulassen:

- Rechts-Links-Symmetrie
- Rechtshändige Majorana-Neutrinos
- Nicht-minimaler Higgs-Sektor
- Neue Eich-WW
- Leptoquarks
- SUSY
- Stringtheorien

⇒ *Motivation für LFV-Experimente*

LFV wäre der erste direkte experimentelle Hinweis auf Physik hinter dem Standardmodell.

Prozess	Verzweigungsverhältnis (90% C.L.)	
	aktuelle Grenze	angestrebte Sensitivität
$\mu^- Ti \rightarrow e^- Ti$	$\leq 4.6 \times 10^{-12}$ TRIUMF TPC	$4.3 \times 10^{-12}$ ⊗ SINDRUM I ('83) $3 \times 10^{-14}$ SINDRUM II
$\mu^- Pb \rightarrow e^- Pb$	$\leq 4.9 \times 10^{-10}$ TRIUMF TPC	$4.4 \times 10^{-9}$ SINDRUM II ('92) $10^{-11}$ SINDRUM II
$\mu^- Ti \rightarrow e^+ Ca$	$\leq 1.7 \times 10^{-10}$ TRIUMF TPC	$4.3 \times 10^{-12}$ ⊗ SINDRUM II ('83) $10^{-12}$ SINDRUM II
$\mu^+ \rightarrow e^+ \gamma$	$\leq 4.9 \times 10^{-11}$ Crystal Box	$6 \times 10^{-13}$ MEGA
$\mu^+ \rightarrow e^+ e^+ e^-$	$\leq 1.0 \times 10^{-12}$ SINDRUM I	
$\mu^+ e^- \rightarrow \mu^- e^+$	$P_{MM} \leq 3.4 \times 10^{-2}$ $G_{MM} \leq 0.12 G_F$ MM	$10^{-11}$ MM
.....		
$K^+ \rightarrow \pi^+ \mu e$	$\leq 2.1 \times 10^{-10}$ Lee et al.	$5 \times 10^{-12}$ BNL
$K_L^0 \rightarrow \mu e$	$\leq 3.3 \times 10^{-11}$ Kettell	
.....		
$Z^0 \rightarrow \mu \tau$	$\leq 2.9 \times 10^{-6}$ (95% C.L.) L3	$\approx 10^{-6}$ alle LEP Experimente
$Z^0 \rightarrow e \tau$	$\leq 3.0 \times 10^{-6}$ (95% C.L.) L3	
$Z^0 \rightarrow e \mu$	$\leq 1.5 \times 10^{-6}$ (95% C.L.) L3	$\approx 10^{-6}$ alle LEP Experimente

SINDRUM II : Myon – Elektron – Konversion

$$\mu^- + (A, Z) \rightarrow e^- + (A, Z)$$

Signatur: Monoenergetisches Elektron

$$E_{e^-} = m_\mu c^2 - B_\mu - R_{Kern}$$

$B_\mu$  —  $\mu^-$ -Bindungsenergie im 1s-Zustand

$R_{Kern}$  — Rückstoßenergie des Kerns

Titan :  $E_{e^-} = 104$  MeV

Blei :  $E_{e^-} = 95$  MeV

Ergebnis: Verzweigungsverhältnis

$$B_{\mu e} = \frac{\Gamma(\mu^- + (A, Z) \rightarrow e^- + (A, Z))}{\Gamma(\mu^- + (A, Z) \rightarrow \nu_\mu + (A, Z - 1)^*)}$$

$$= \frac{\Gamma((\mu, e)\text{-Konversion})}{\Gamma(\mu\text{-Einfang})}$$

- 189 -

Parametrisierung des Verzweigungsverhältnis  
(modellunabhängig)

Hamiltonfunktion für vektorielle Kopplung:  
(skalar analog)

$$H = \frac{G_F}{\sqrt{2}} \sum_{i=0,1} g^i \underbrace{(\bar{e}\gamma^\lambda(1 - \alpha^i\gamma^5)\mu)}_{\text{Leptonstrom}} \underbrace{Q_\lambda^i}_{\text{Quarkstrom}}$$

$$i = \begin{cases} 0 & \text{isokalarer Quarkstrom} \\ 1 & \text{isovektorieller Quarkstrom} \end{cases}$$

$g^i$  phänomenologische Kopplungskonstante  
 $\alpha^i = \pm 1$  für rein rechts- bzw. linkshändige  $e^-$

⇒ Verzweigungsverhältnis:

$$B_{\mu e} = \left[ g^0 + g^1 \frac{Z - N}{3A} \right]^2 \frac{\Gamma(Z, A)}{\Gamma(\mu\text{-Einfang})}$$

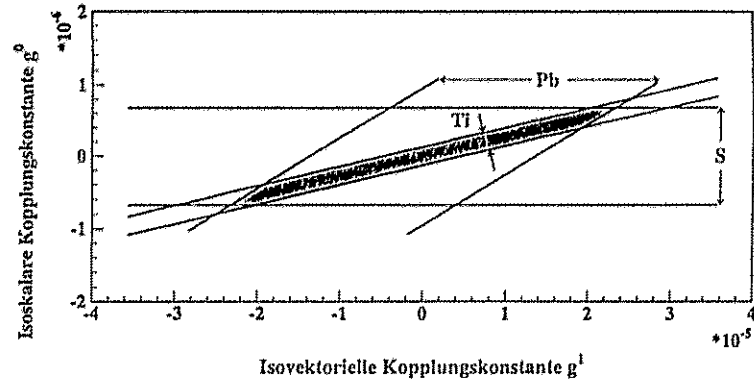
- $Z, N, A$  — Proton-, Neutron-, Massenzahl
- $\Gamma(Z, A)$  — Kernphysik
  - ▷  $\mu/e$  - Wellenfunktionen
  - ▷ Nukleonformfaktoren

Grenzen für die vektoriellen Kopplungskonstanten

Ti:  $B_{\mu e} < 4.3 \cdot 10^{-12}$  SINDRUM II ('89)

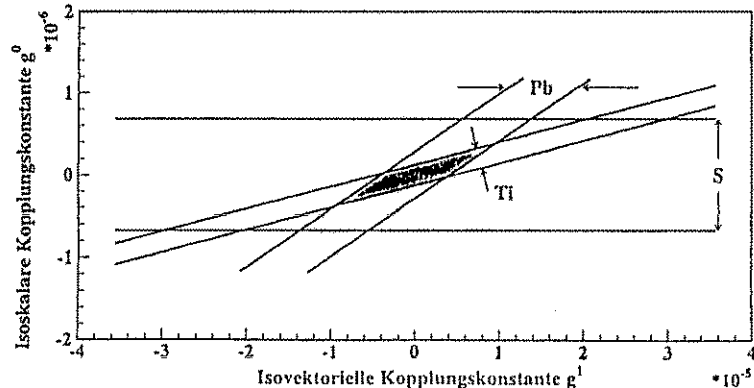
Pb:  $B_{\mu e} < 4.9 \cdot 10^{-10}$  TRIUMF TPC

S:  $B_{\mu e} < 7.0 \cdot 10^{-11}$  (Badertscher *et. al.* 82)



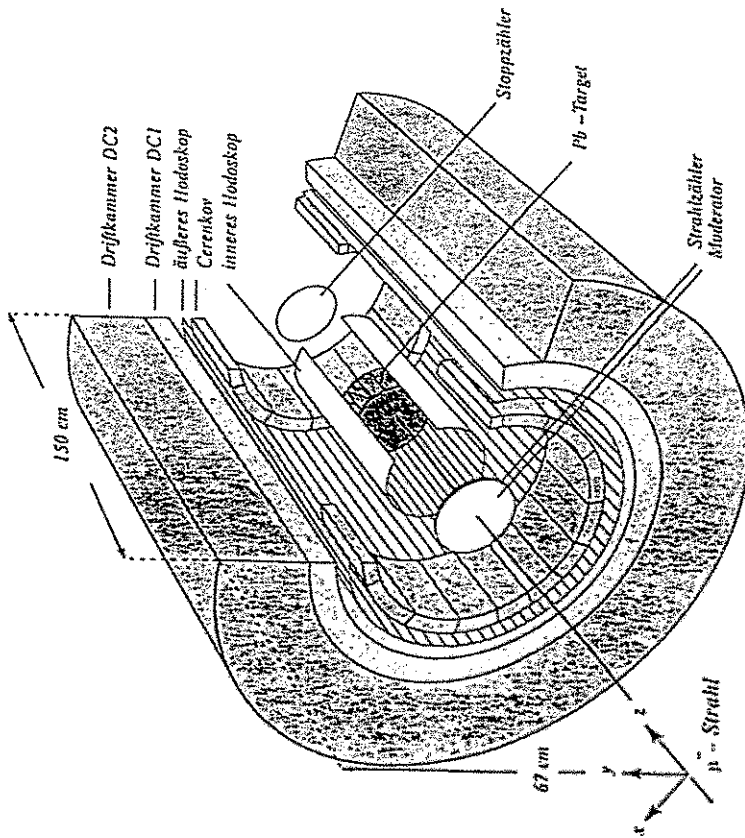
Ti:  $B_{\mu e} < 4.3 \cdot 10^{-12}$  SINDRUM II ('89)

Pb:  $B_{\mu e} < 4.4 \cdot 10^{-11}$  SINDRUM II ('92)



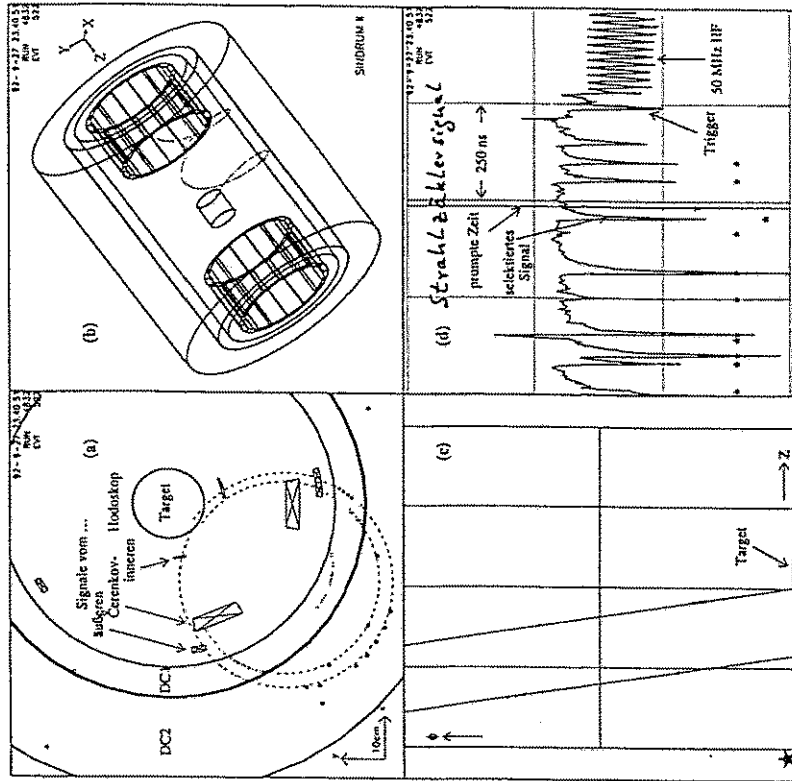


SINDRUM II - Detektor



$B_z \approx 1.2 \text{ T}$

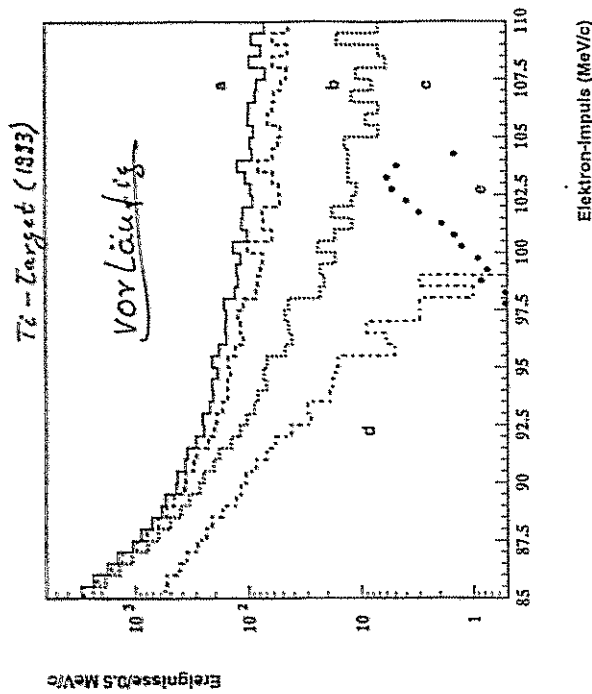
Rekonstruiertes Event in verschiedenen Ansichten



### Detektorkomponenten in der Analyse

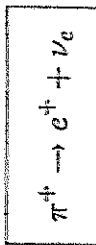
- Strahlzähler
  - Phasenlage zur Zyklotronfrequenz
  - Eintrittszeitpunkt des Strahlteilchens relativ zum Hodoskop-Signal
- Szintillaterrhodoskope
  - Ereigniszeit ( $\equiv$  Zerfallszeit)
  - Drehsinn  $\equiv$  Ladung über relative Zeiten mehrerer Durchgänge
  - Hinweis auf Zusatzspuren (kosm. Strahlung)
- Driftkammer DC1
  - 3D-Spurpunkte (Anodendrähte und Kathodenstreifen)  $\sigma_{r,\phi} = 200\mu\text{m}$ ,  $\sigma_z = 1.4\text{mm}$
  - Basis der Spurrekonstruktion und des Impulsfits
- Driftkammer DC2
  - 2D-Spurpunkte in  $r\phi$  (Anodendrähte)
  - Erkennung der Ereignistopologie
  - Hinweis auf Zusatzspuren von außen (kosm. Strahlung)
- Čerenkovhodoskope
  - $e^-$  – Identifikation
  - weitere Zeitinformation
  - grobe z-Information

### Selektionsschnitte und Impulsspektrum



- (a) alle Ereignisse vom Target
- (b) mit Schnitten auf Elektronen
- (c) mit Schnitten zur Cosmic-Unterdrückung
- (d) mit Schnitten zur Unterdrückung prompter Ereignisse (mittels Strahlzähler)
- (e) erwartetes Signal bei  $B_{\mu e} = 1 \cdot 10^{-11}$

$\pi^+$ -Messung



$$E_{e^+} = 69.7 \text{ MeV}$$

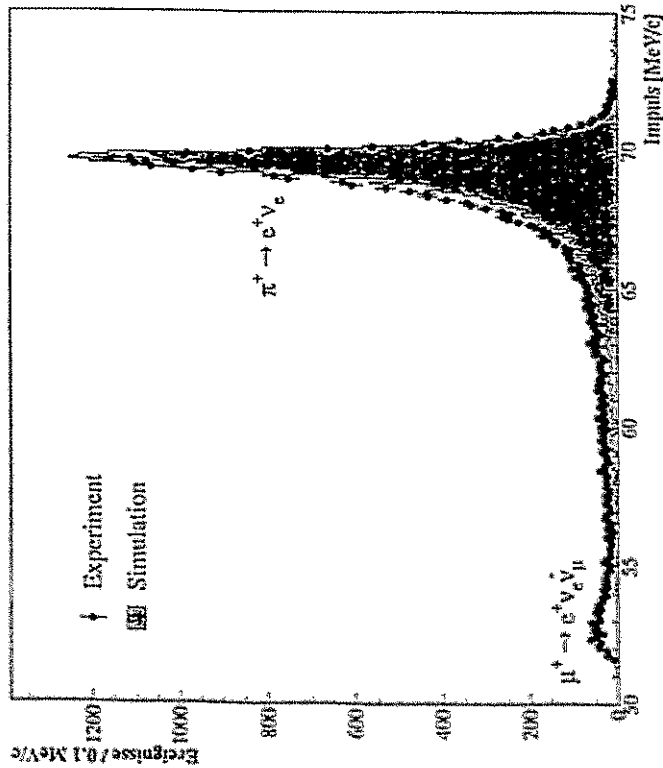
Magnetfeld: umgepolt und reskaliert



$e^+$  – Eventtopologie entspricht Konversionselektronen

- ▷ Absoluteichung des Detektors
- ▷ Test der Monte-Carlo-Simulation

$e^+$ -Impulsverteilung



Messungen und Status

1989

- Titan:  $4 \times 10^{12} \mu^-$ -Stopps
- $B_{\mu e}^{\text{Ti}} < 4.3 \times 10^{-12}$  (90% C.L.)

1990/91:

Strahl-Shutdown

1992

- Blei:  $1.7 \times 10^{12} \mu^-$ -Stopps
- $B_{\mu e}^{\text{Pb}} < 4.4 \times 10^{-11}$  (90% C.L.)

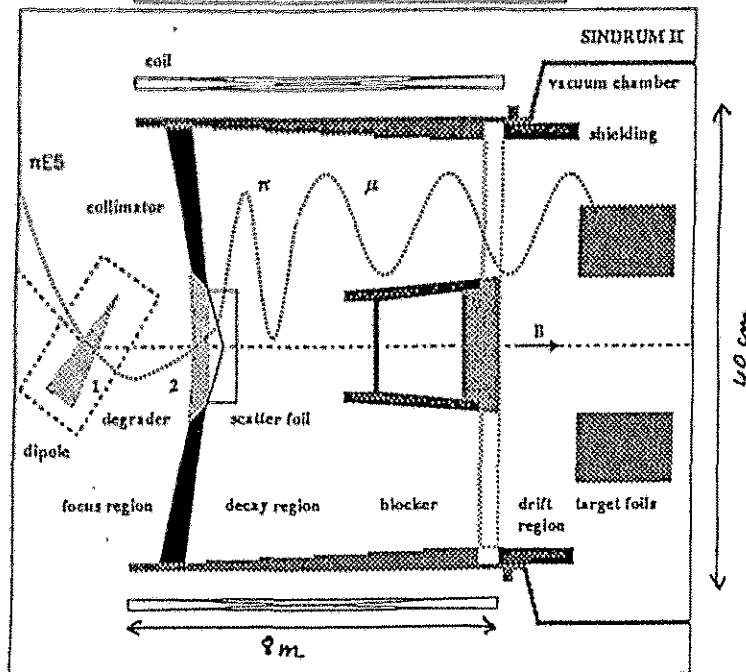
1993

- Titan:  $\sim 3 \times 10^{13} \mu^-$ -Stopps  
(in der Auswertung  $\rightarrow B_{\mu e}^{\text{Ti}} \lesssim 8 \times 10^{-13}$ )  
(von  $\nu_{\mu} \rightarrow \nu_{\tau}$ )

> 1994:

Pion-Myon-Converter (PMC)  
angestrebte Sensitivität:  $\mathcal{O}(10^{-14})$

## PMC - Pion Muon Converter



	1993	PMC	
Protonstrom	400 – 850 $\mu A$	1 mA	
Stopprate	$10^7 \mu/s$ (65 %)	$10^8 \mu/s$ (85 %)	
$\pi$ -Kontamination	$\sim 10^{-7}$	$< 10^{-9}$	(RPC)
BR	$O(10^{-13})$	$O(10^{-14})$	

PMC ist bestellt / in Fertigung

→ Lieferung und Inbetriebnahme bis Frühjahr 1995

→ erneute Messungen 1995 + 96

## Zusammenfassung

- Leptonflavourverletzung auf dem derzeitigen experimentellen Niveau wäre ein direkter Hinweis auf Physik hinter dem Standardmodell.
- SINDRUM II sucht nach der  $\mu e$ -Konversion. Zur Eingrenzung der isoskalaren und isovektoriellen Kopplungskonstante werden verschiedene Targetmaterialien verwendet.
- Messung mit einem Bleitarget im Herbst 1992. Ergebnis (Verbesserung um Faktor 11):

$$B_{\mu e}^{Pb} < 4.4 \cdot 10^{-11} \text{ (90\% C.L.)}$$

(Likelihoodanalyse)

- Messung mit einem Titantarget 1993. vorläufiges Ergebnis:

$$B_{\mu e}^{Ti} < 8 \cdot 10^{-13} \text{ (90\% C.L.)}$$

(Cutanalyse, Likelihood folgt)

# Neues von $\mu$ CF und langsamen Myonen

F.J. Hartmann  
 Physik-Department, E18, TU München,  
 D-85747 Garching, Germany

$\mu$ CF: Berkeley - Fribourg - Gatchina - München - Neuchâtel - PSI - Wien

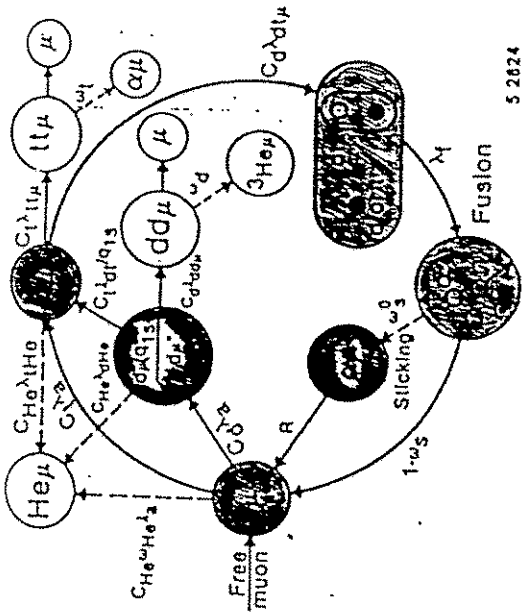
Langsame Myonen: München - PSI - Zürich

## Myonenkatalysierte Kernfusion

- Der Zyklus der myonenkatalysierten Fusion
- Das  $q_{1s}$ -Problem
- Molekülbildung und Fusion
- Sticking

## Langsame Myonen

- Bremsvermögen für langsame Myonen (Barkas-Effekt)
- Reibungskühlung langsamer Myonen
- Eine Myonenfalle - einmal anders



$$T = \lambda_c^{-1} = \phi^{-1} \{ q_{1s} \cdot c_d \cdot (c_i \lambda_{dt})^{-1} + (c_d \lambda_{dt})^{-1} + 3/4 \cdot (c_i \lambda_{dt}^{10})^{-1} \}$$

$$dN/dt = \lambda_c \cdot \exp(-\lambda_n t), \text{ with } \lambda_n = \lambda_0 + \omega_s \lambda_c$$

$$Y_n^{-1} = \lambda_0 / \lambda_c + \omega_s$$

$$\lambda_c / \lambda_0 \leq 350$$

$$Y_n \approx 120$$

- $q_{1s}$  klein,
- $\lambda_{dt}$  groß,
- $\omega_s$  klein.

$$\omega_s \approx 0.5\%$$

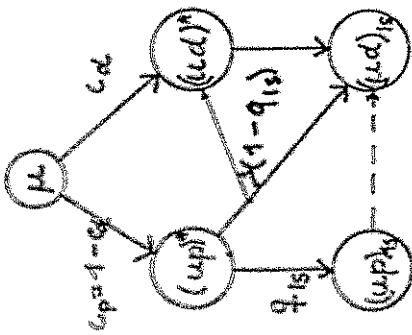
$$\lambda_{dt} = 280 / \mu s$$

$$\lambda_{dt}^{10} = 300 / \mu s$$

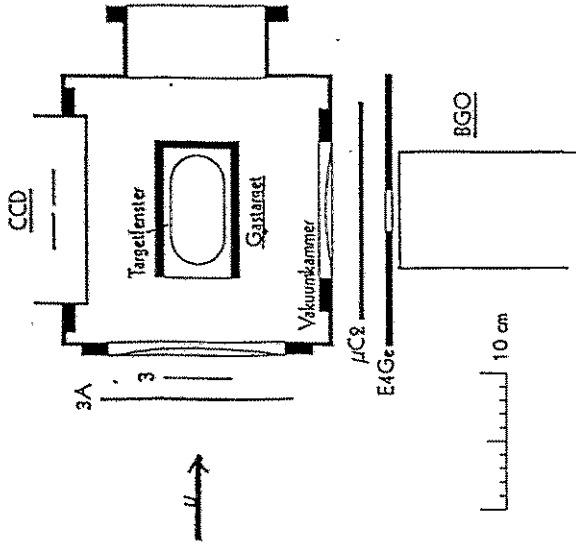
$$\lambda_0 = 0.455 / \mu s$$

$$\text{Raten für } \phi_0 = 4.25 \cdot 10^{22} \text{ Atome/cm}^3$$

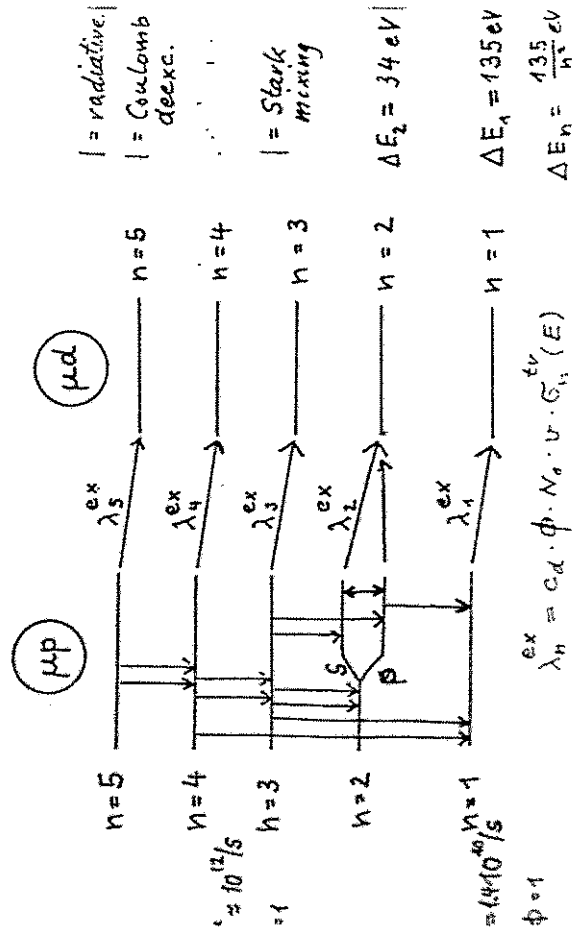
Muon transfer during the muonic cascade (the  $q_1$  problem)



$$q_{15} = q_{1s}(\phi, c_d, \epsilon_{pp})$$



$q_{15}$  small  $\leftrightarrow$  transfer fast (dt.)



Der CCD-Detektor

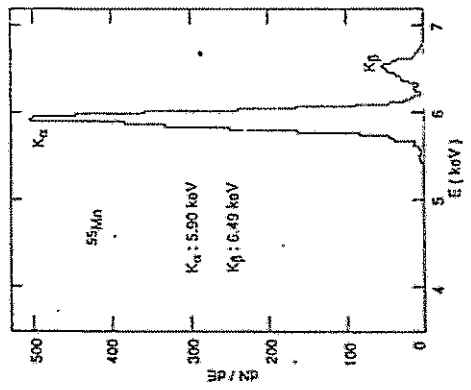
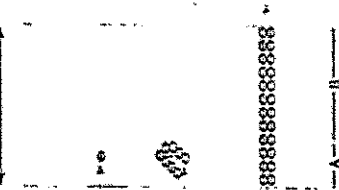
- 2 mal [770 x 1152 Pixel (je 22  $\mu$  x 22  $\mu$ )]
- $\Delta E(\text{FWHM}) = 150 \text{ eV}$  bei 2 keV
- Ausleszeit ca. 50  $\mu\text{s}$  pro Pixel

CCD detector

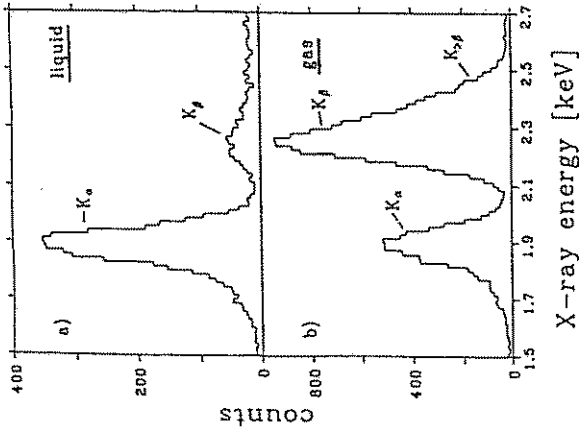
Photon  
( $\gamma$ -strahlung)

X-ray  
( $\beta$ -strahl)

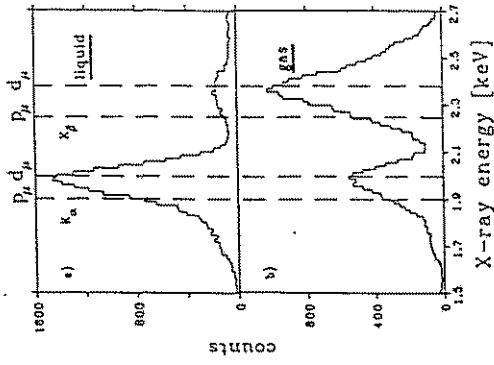
Charged particle



H<sub>2</sub> pur

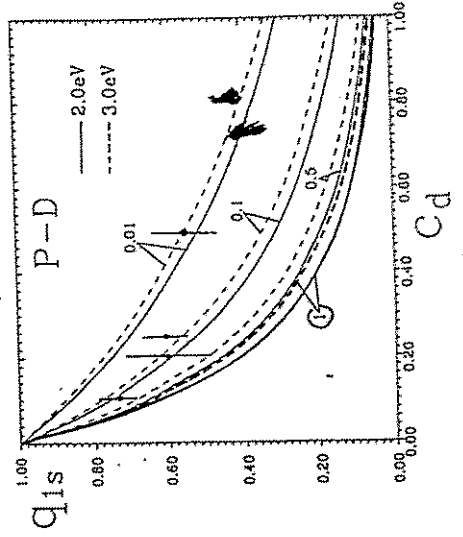


Protium 50%  
Deuterium 50%



$\Delta E(\text{fwhm}) = 140 \text{ eV}$  bei 1.9 keV.

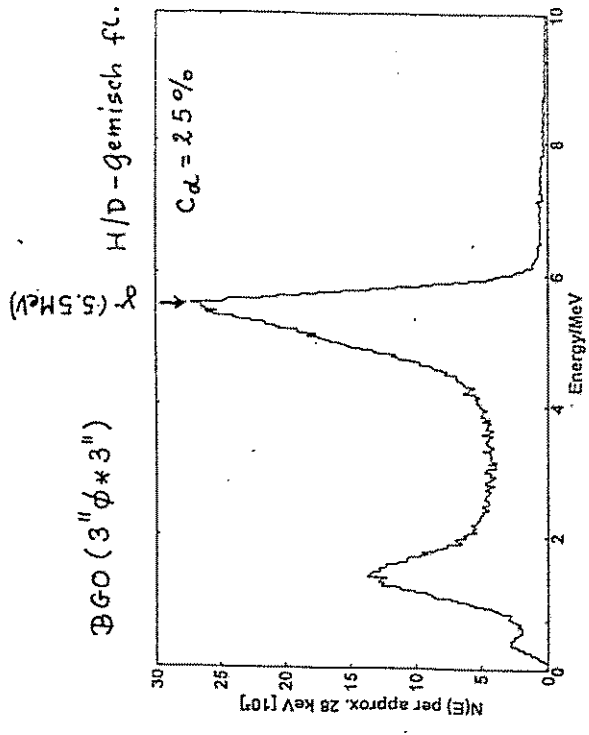
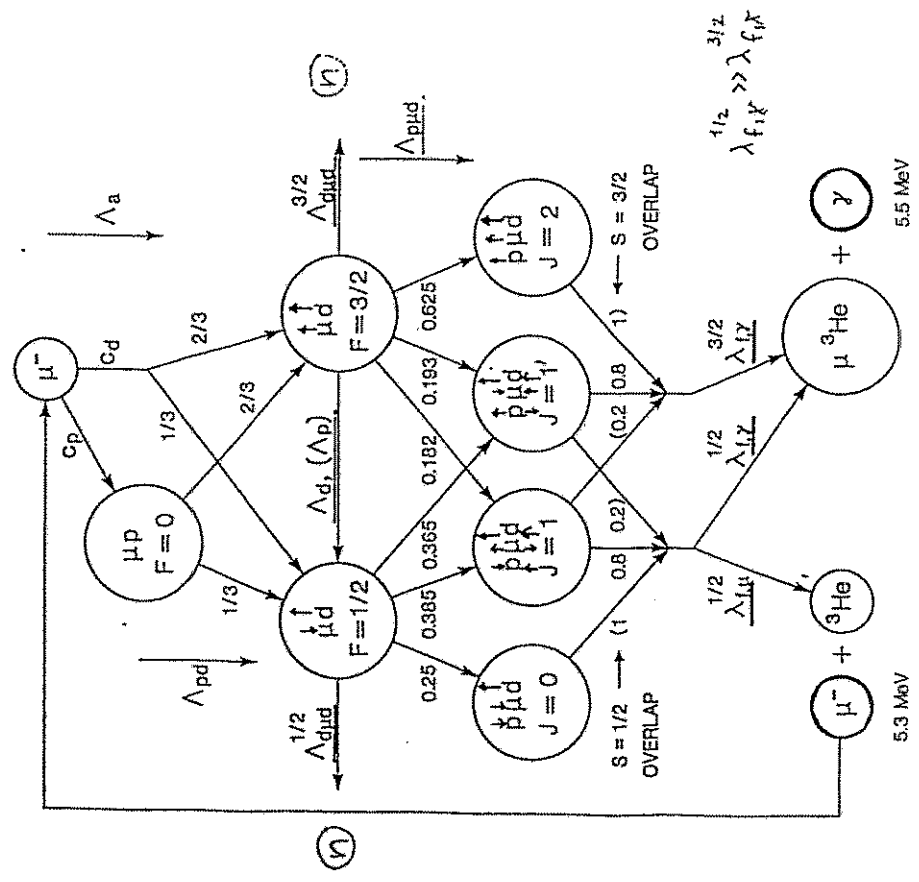
liquide



Theorie:  
(zupflüsski et  
PR A 50, 52 S  
(1994)

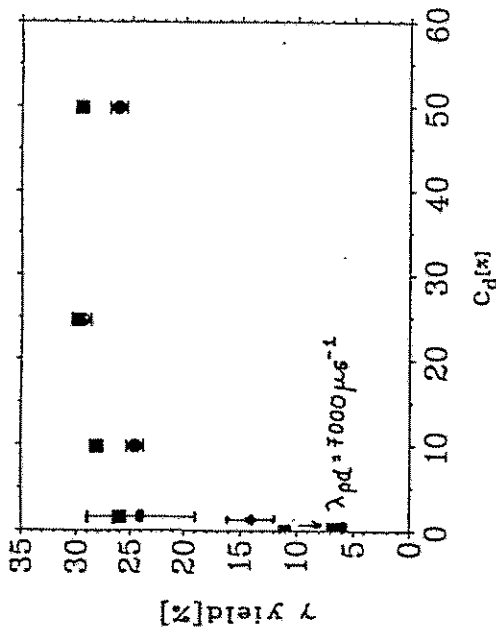
Wolfsenstein -  
Gerstein -  
Effekt.

$\mu$ CF kinetics in H/D mixtures





Liquid H/D mixtures



● Kosak et al., diese Messung

○ Bleser et al. (1963)

□ Petitjean et al. (1990)

■ Rechnungen,  $\lambda_{pd} = 14300 \mu s^{-1}$

$$\lambda_{\text{exp}} (3/2 \rightarrow 1/2) = 37 \mu s^{-1}$$

$$\lambda_{f1\gamma}^{1/2} = 0.35 \mu s^{-1}$$

$$\lambda_{f1\gamma}^{3/2} = 0.11 \mu s^{-1}$$

$$\lambda_{f1\mu}^{1/2} = 0.06 \mu s^{-1}$$

Sticking bei dt-Fusion

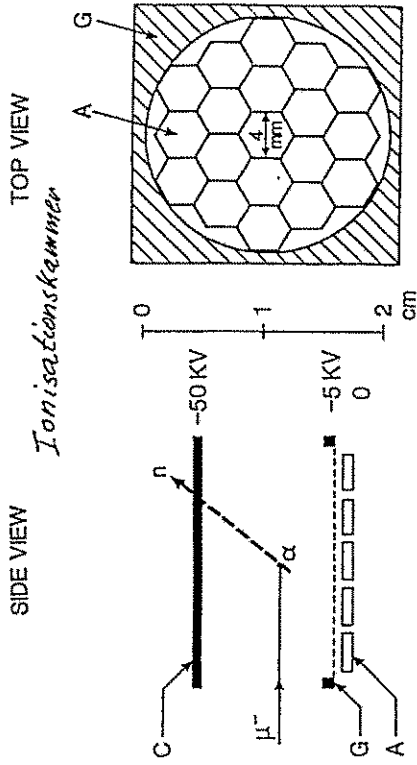


Figure 1(a)

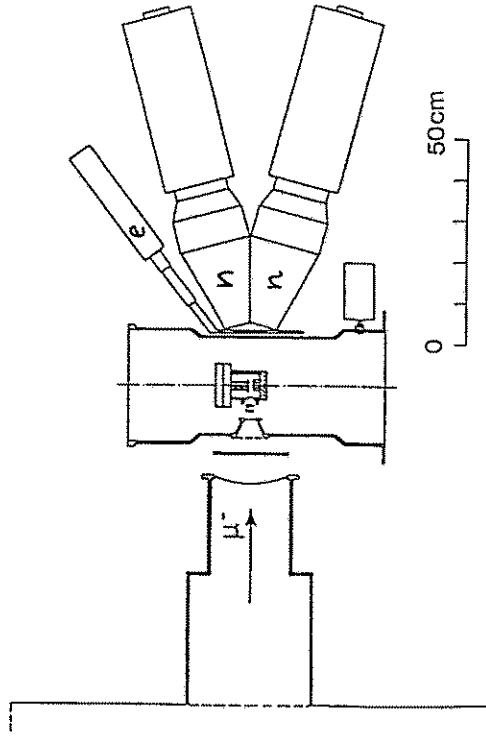


Figure 1(b)

# Stopping power

$$S = -dE/dx = \frac{4\pi e^4}{m_0 v^2} Z z_1^2 \cdot (L_0 + L_1 z_1 + L_2 z_1^2)$$

Bethe term  $L_0$ :

$$L_0 = \ln(2m_0 v^2 / I) - \beta^2 - C(v, Z) / Z$$

with

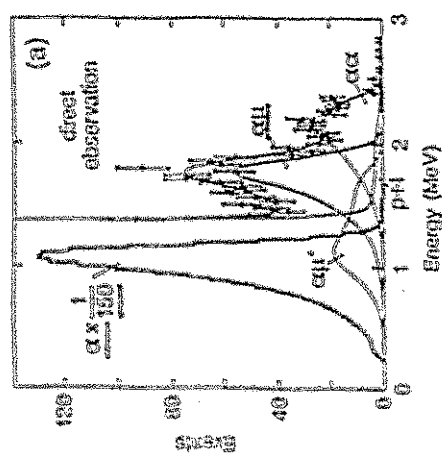
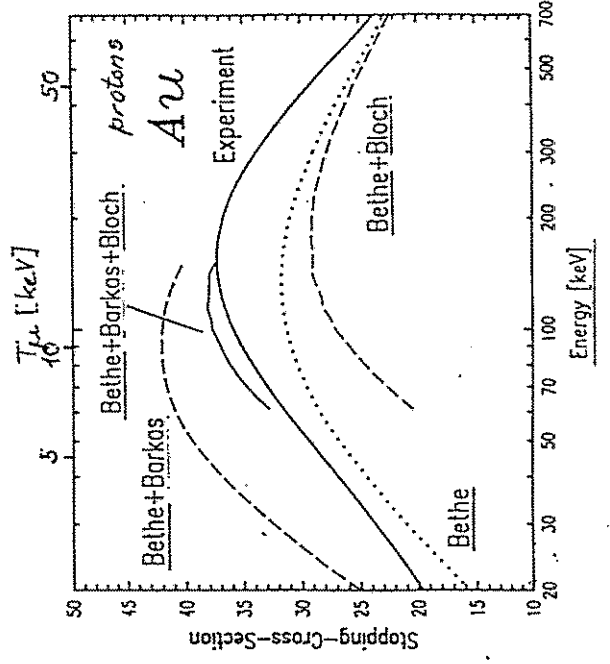
$$Z \cdot \ln I = \sum_k f_k \ln I_k$$

Barkas term,  $L_1$ : Polarization of the electrons by the projectile.

Bloch term  $L_2$ : Higher order terms in the polarization:

$$L_2 = \psi(1) - \Re\{\psi(1 + i \cdot z_1 v / v_0)\} = -1.2...1.6 \cdot (v_0/v)^2$$

with  $\Re$  = real part,  $\psi = d \ln(\Gamma) / dz$  = Digamma function

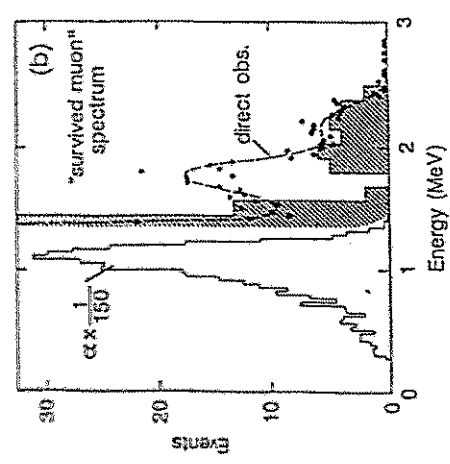


stat. syst.

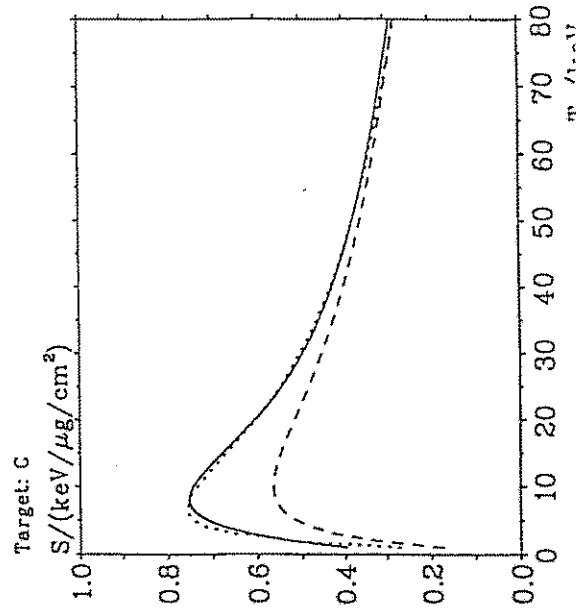
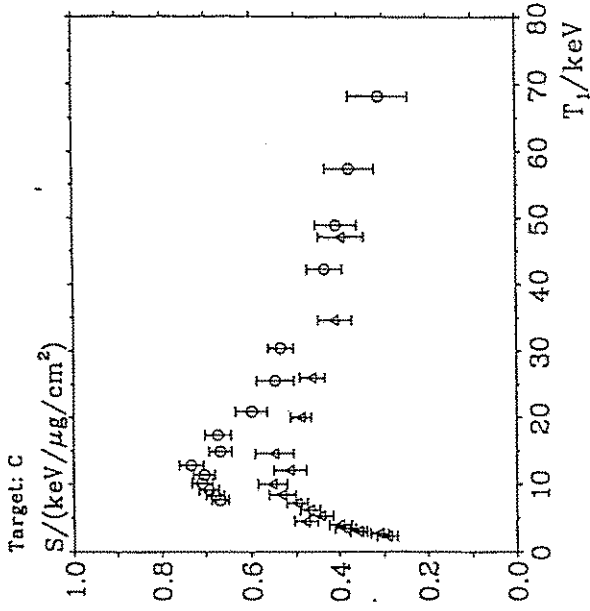
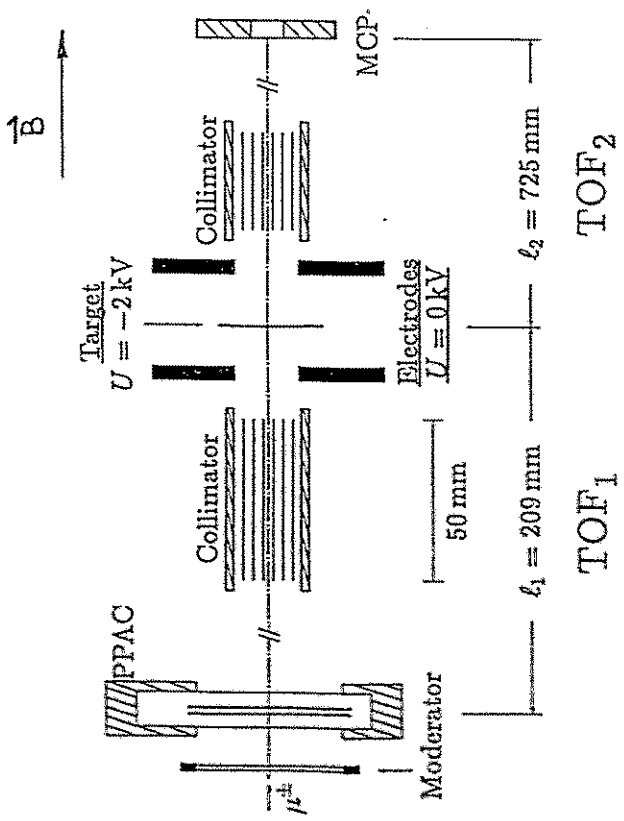
$$\omega_S = (0.57 \pm 0.03 \pm 0.03) \%$$

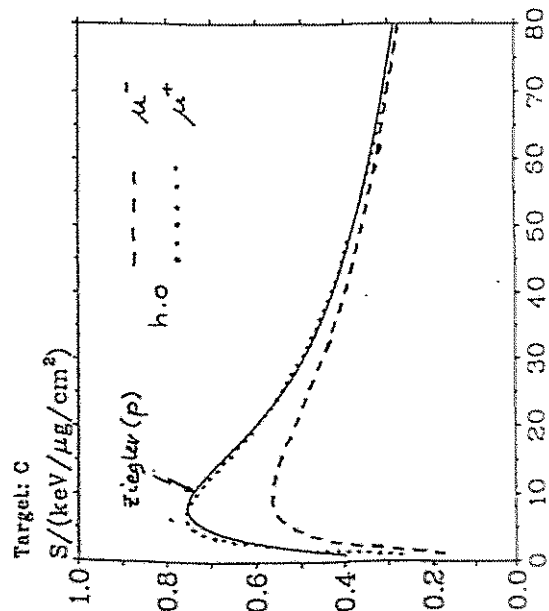
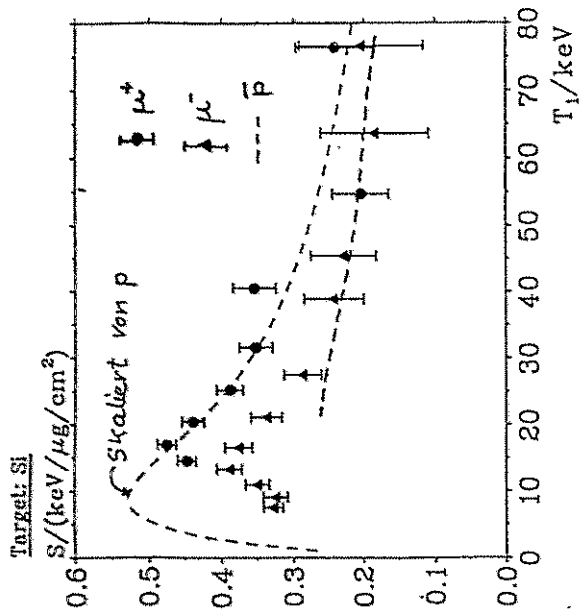
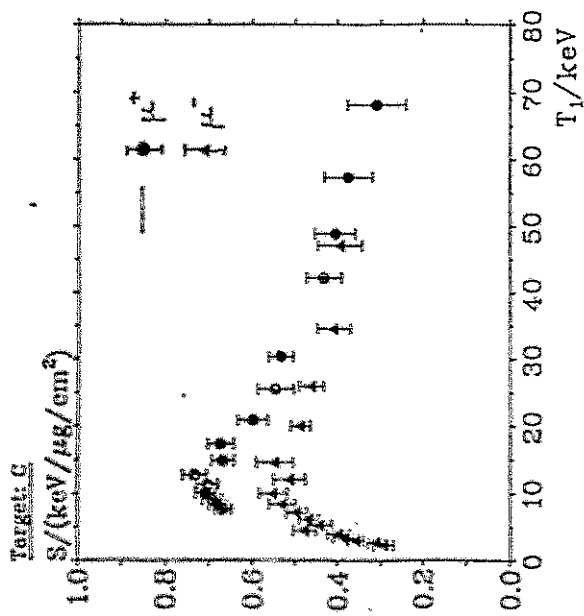
$$R = 0.31 \text{ (fixed)}$$

$$\omega_S^0 = (0.83 \pm 0.06) \%$$



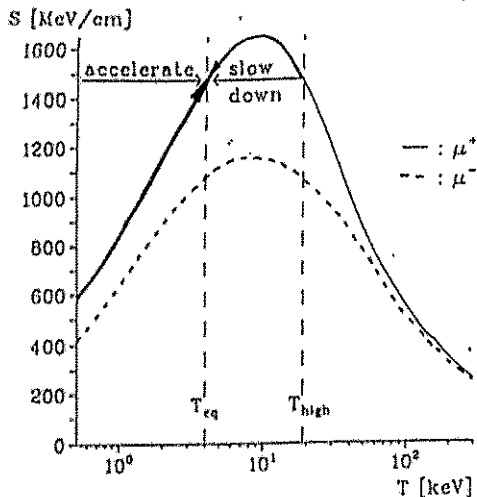
$$\omega_S = (0.57 \pm 0.07 \pm 0.02) \%$$





$\bar{p}$ : Medenwaldt et al., LEAR

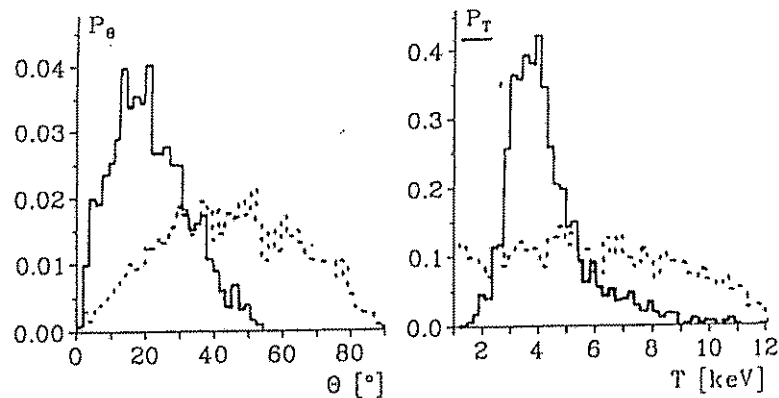
Principle of frictional cooling



$$S = - \frac{dT}{ds}$$

$$S(T_{eq}) = q \cdot E$$

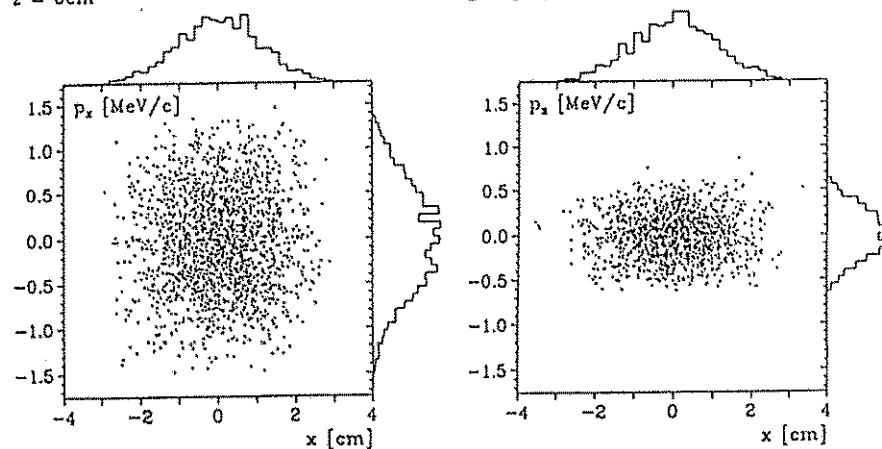
Average stopping power  $S(T)$  of carbon for  $\mu^+$  and  $\mu^-$ .



Angular and energy distribution  $P_\theta$  and  $P_T$ , respectively, of incoming (---) and outgoing (—) muons; carbon moderator;  $T_{eq} = 4$  keV; angular distribution of the incident muons according to Lambert's law.

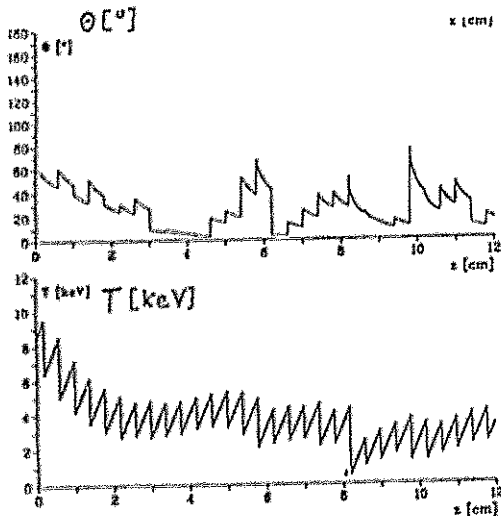
$z = 0$  cm

$z = 12$  cm



Phase space diagram (plane  $(x, P_x)$ ) of incoming (left) and outgoing (right) muons; carbon moderator;  $T_{eq} = 4$  keV; angular distribution of the incident muons according to Lambert's law.

Increase phase-space density by a factor of 6/2.5

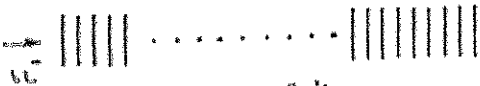


• Transverse energy dissipated

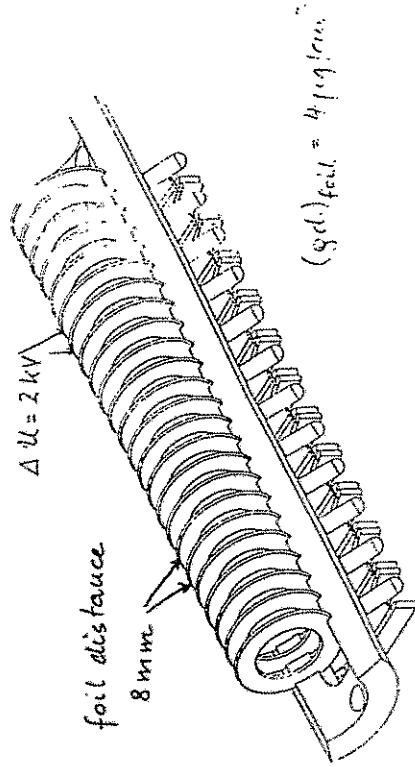
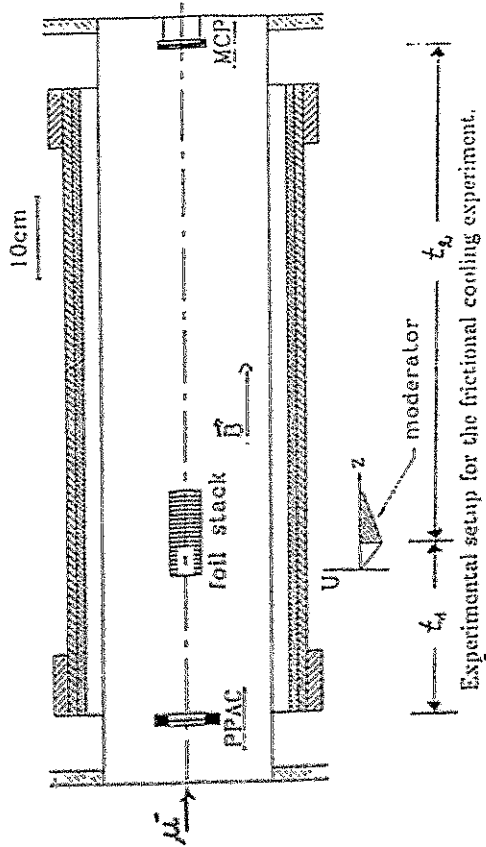
$$S(T \geq T_{eq}) \geq |qE|$$

$$g_{dfoic} = 5 \mu g/cm^2$$

$$u/e = 2.2 \text{ kV}/0.4 \text{ cm}$$

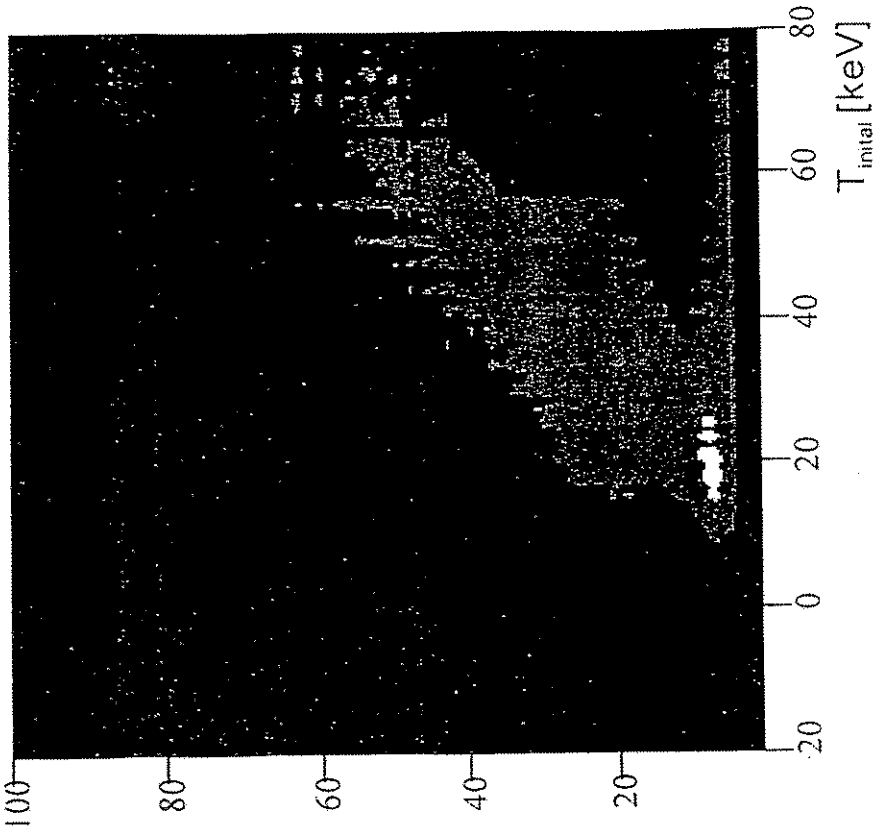


Experimental setup



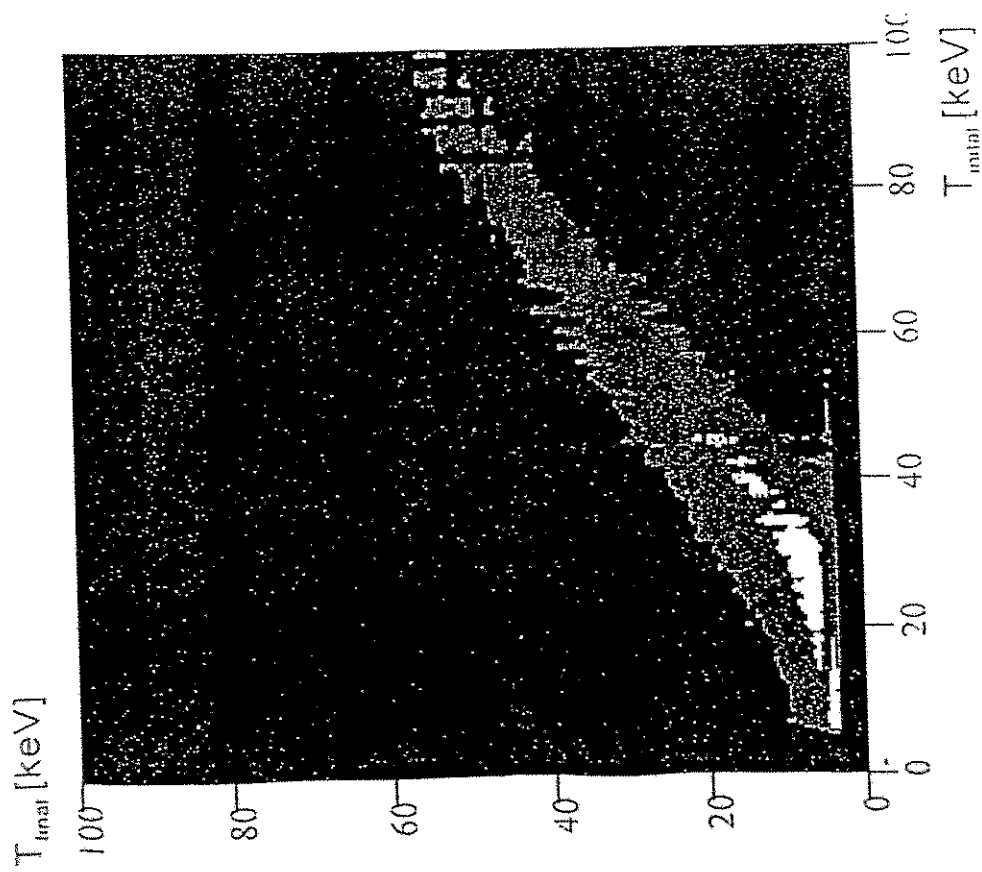
Isometric view of the foil arrangement to be used.

$T_{\text{final}}$  [keV]



With Cooling (10 Foils,  $\Delta U=2\text{kV}$ )

Experiment summer 94



Without Cooling

---

**Archiv-Ex.:**

**FZR-63**

**November 1994**

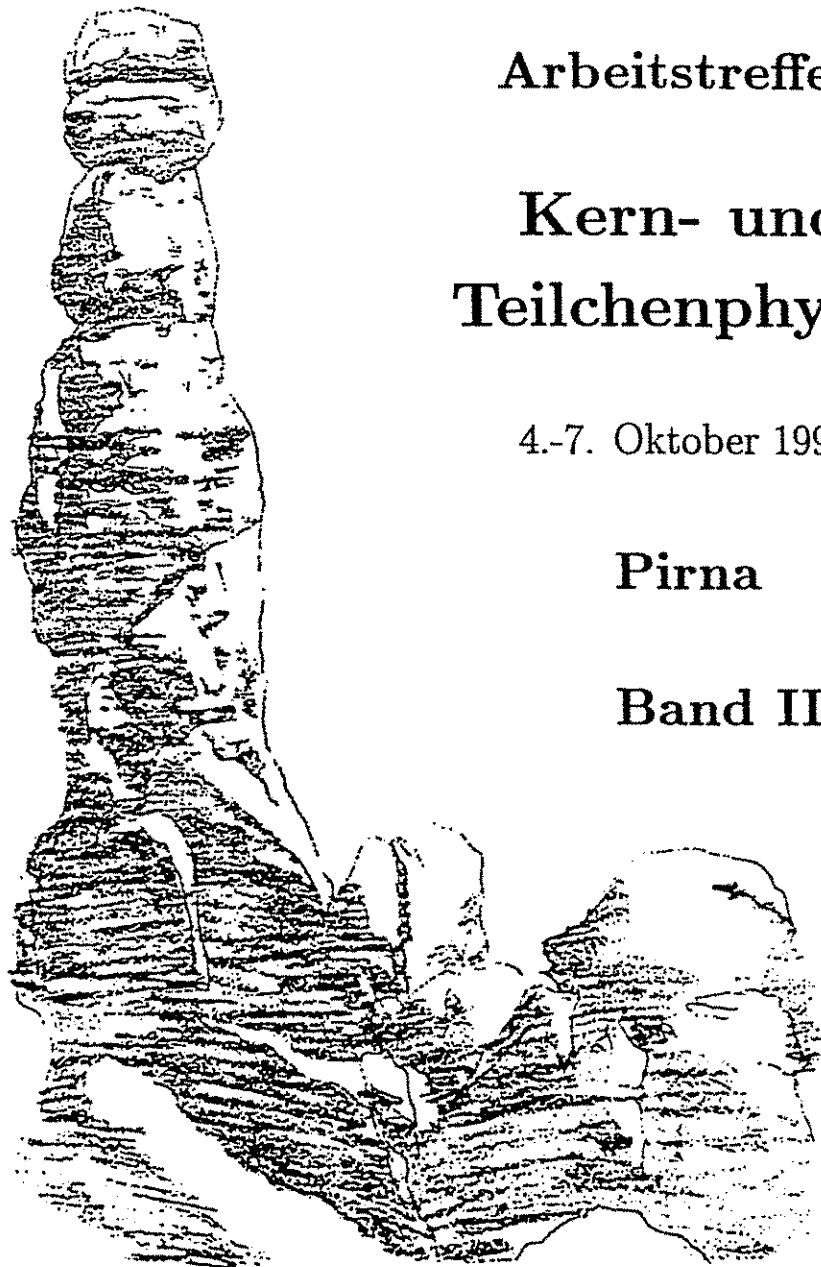
**Arbeitstreffen**

**Kern- und  
Teilchenphysik**

4.-7. Oktober 1994

**Pirna**

**Band II**



"Barbarine" - Elbsandsteingebirge



**Forschungszentrum Rossendorf e.V.**

**Postfach 51 01 19 · D-01314 Dresden**

**Bundesrepublik Deutschland**

**Dr. K. Möller      Tel. (0351) 591 3276**

**Dr. L. Naumann    Tel. (0351) 591 3259**

**Telefax                      (0351) 591 3700**

**E-Mail                      [pirna@fz-rossendorf.de](mailto:pirna@fz-rossendorf.de)**

# Programm des Arbeitstreffens "Kern- und Teilchenphysik 1994" in Pirna

Band I      Dienstag, 4. Oktober 1994

W. Weise, Regensburg:	Entwicklungen in der Theorie der Hadronen	1
B. Schoch, Bonn:	Experimente zur Struktur des Nukleons (ELSA)	21
W. Schwille, Bonn:	Photon-Nukleon-Experimente im GEV-Bereich (Resultate mit dem SAPHIR-Detektor) (ELSA)	37
W. Meyer, Bonn:	Pion- und Eta-Produktion an polarisierten Protonen (ELSA)	51
H. Clement, Tübingen:	Experimente mit Pionen am PSI	77
<b>Theorie-Workshop</b>		<b>103</b>
D. Pirjol, Mainz:	Heavy Baryons	105
R. Fleischer, München:	CP-Verletzung im B-System	111
R. Jakob, Wuppertal:	E.m. Formfactors in the modified Hard Scattering Approach	119
W. Melnitchouk, Regensburg:	Deep Inelastic Scattering from Relativistic Constituent Quarks	129
M. Beinker, Dresden:	$q^2q^{-2}$ im Konstituenten-Quarkmodell	139
E. Kolomeitsev, Rossendorf:	Kaon-Polarisation in Kernmaterie	147
<b>Physik an Mesonenfabriken</b>		<b>155</b>
J. Arnold, Freiburg:	Experimente mit polarisierten Neutronen am PSI	157
K.P. Jungmann, Heidelberg:	Präzisionsmessungen am Myoniumatom	171
C. Dohmen, Aachen:	Suche nach der $\mu$ -e Konversion an Kernen im SINDRUM II-Spektrometer	187
J. Hartmann, München:	Neues von $\mu$ CF und langsamen Myonen	195

**Band II****Mittwoch, 5. Oktober 1994**

E. Offermann, Mainz:	Recent Results of the Collaboration A1 (MAMI)	207
R. Beck, Mainz:	Experimente mit reellen Photonen (MAMI)	221
H. Schmieden, Mainz:	Messung des elektrischen Formfaktors des Neutrons (MAMI)	243
H. Schmitt, Freiburg:	Strangeness-Produktion am LEAR	257
S. Paul, CERN:	Physik mit Hyperonen Neues von WA 89 (CERN)	277

G. Mallot, CERN:	Spinstruktur des Nukleons Ergebnisse der Spin Myon Collaboration (CERN)	293
A. Brüll, Heidelberg:	Neue NMC-Resultate aus der tiefinelastischen Myon-Streuung	313
P. Blüm, Karlsruhe:	Das CRYSTAL BARREL Experiment am LEAR	333
C. Straßburger, Bonn:	Wurde im CRYSTAL BARREL Experiment der skalare Glueball entdeckt? (Mesonen I)	345
M. Faessler, München:	Suche nach Mesonen II (CRYSTAL BARREL)	359
U. Wiedner, Hamburg:	Seltene Zerfälle und die Verletzung der OZI-Regel (CRYSTAL BARREL)	373
K. Beuchert, Bochum:	Experimente mit Antiprotonen im Fluge (CRYSTAL BARREL)	395
<b>Detektoren und Datenerfassung</b>		409
M. Heidrich, Heidelberg:	Gasmikrostreifendetektoren	411
K. Zeitelhack, München:	Entwicklung eines schnellen RICH-Detektors für HADES	429
H. Kraus, München:	Status und Perspektiven von Tieftemperatur-Kalorimetern	437
P. Michel, Rossendorf:	Entwicklung eines schnellen TDC mit Konvertierungszeiten im Bereich weniger ns	443
S. Lange, Bochum:	Extraktion der pp-Bremsstrahlung mit künstlichen neuronalen Netzen	451
<b>Neue Projekte</b>		457
V. Burkert, CEBAF:	Geplante Experimente bei CEBAF	459
H. Marsiske, SLAC:	PEP-II: The SLAC-Based Asymmetric B-Factory	473
T. Lohse, Berlin:	B-Physics at HERA-B and LHC	497
U. von Hagel, Karlsruhe:	Das DAΦNE-Projekt	511

E. Grosse, Darmstadt:	Mesonenproduktion in Schwerionenkollisionen bei mittleren Energien	523
K. Kilian, Jülich:	Physikalisches Programm an COSY 3	539
J. Kleinfeller, Karlsruhe:	KARMEN: Neutrino-Spektroskopie an der Spallationsquelle ISIS	573
H.D. Gräf, Darmstadt:	Fünf Jahre Betrieb des S-DALINAC - Ein Statusreport-	597
P. v. Neumann-Cosel, Darmstadt:	Stand der Experimente zum Studium elementarer Kernanregungen am S-DALINAC	613
<b>Experimente an e-Beschleunigern</b>		<b>637</b>
H. Ströher, Gießen:	Untersuchung von $N^*$ -Resonanzen mit $\eta$ -Photoproduktion	639
P. Grabmayr, Tübingen:	$(\gamma, NN)$ -Experimente an leichten Kernen	649
H. Genz, Darmstadt:	Nutzung des S-DALINAC für neuere Entwicklungen in der Strahlungsphysik	663
H. Jüngst, Bonn:	Messung der Reaktionen $\gamma p \rightarrow K^+ A$ und $\gamma p \rightarrow K^+ \Sigma^0$ von der Schwelle bis 2.0 GeV mit SAPHIR an ELSA	677
A. Richter, Mainz:	Elektropionproduktion $H(e, e' \pi^+)$ an der Dreispektrometeranlage an MAMI	685
<b>CERN/LEAR-Aktivitäten</b>		<b>691</b>
J. Pretz, Mainz:	Messung der Valenz- und Seequarkpolarisation im Nukleon	693
J. Hartmann, München:	Laserspektroskopie langlebiger Zustände in antiprotonischem Helium	699
T. v. Egidy, München:	Antiprotoninduzierte Spaltung und Kernaufheizung	707
J. Brose, Mainz:	Untersuchung der Annihilation von Antiprotonen in Deuterium	723
T. Degener, Bochum:	Anwendung neuronaler Netze in der Datenanalyse	729

# Recent Results of the Collaboration A1

E. Offermann  
Mainz

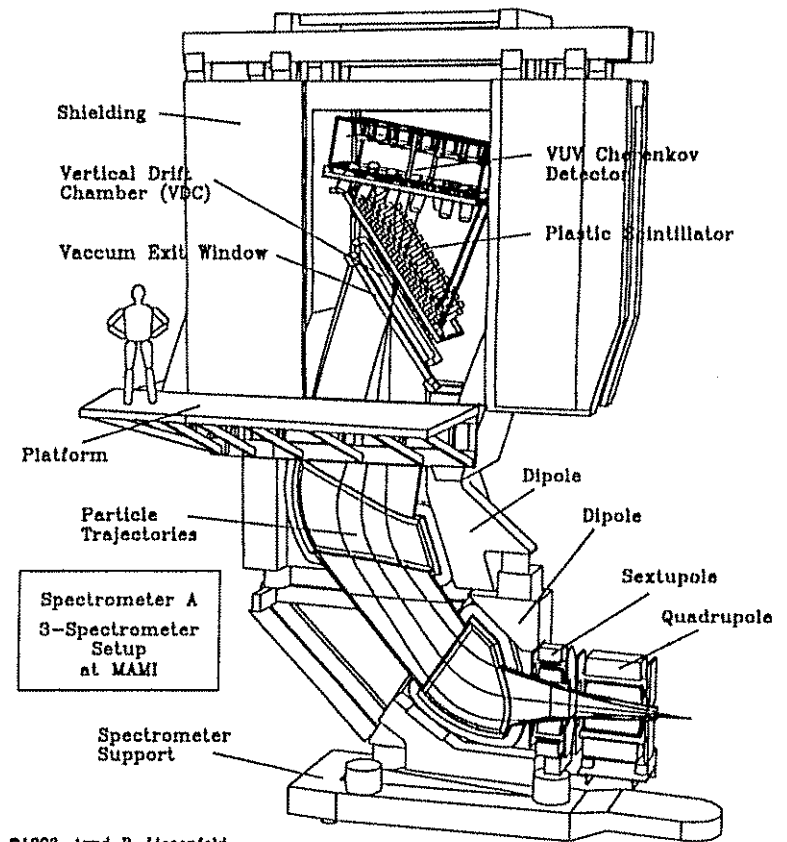
5.Oktober 1994

# Recent Results of the Collaboration A1

Eddy Offermann  
Institut für Kernphysik, Mainz

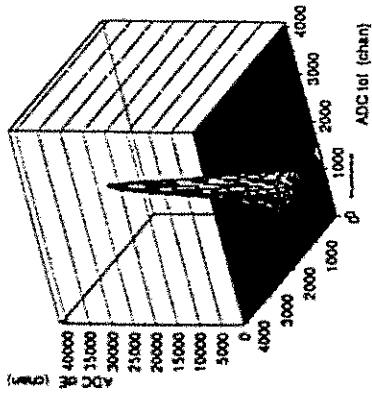
- Experimental Set up
- Overview of Physics Topics
- $^{16}\text{O}(e,e'p) \rightarrow \text{NN correlations}$
- Summary and Outlook

## Instrumentation

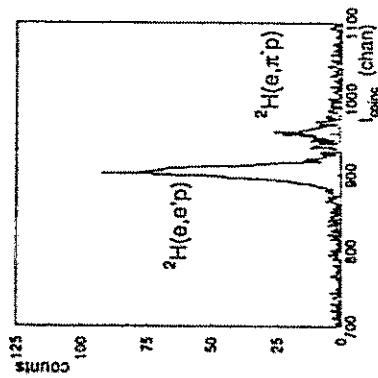


©1993, Arnd P. Liesenfeld

### Particle Discrimination

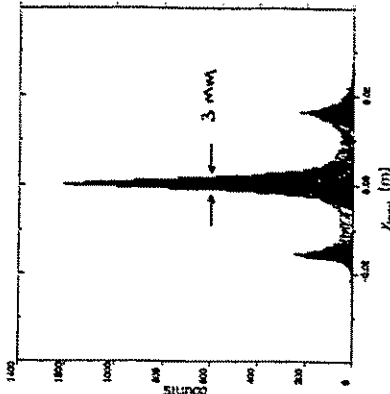
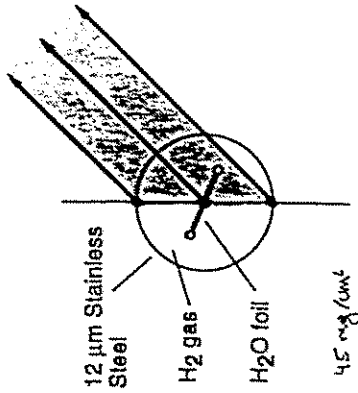


Plastic Scintillator

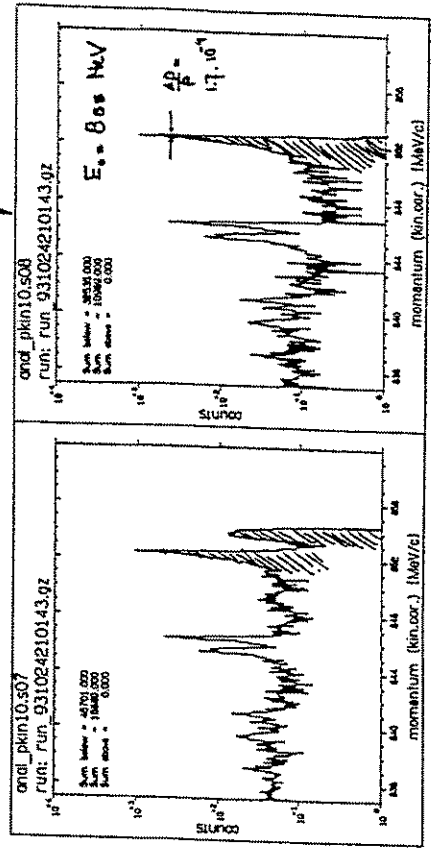


Čerenkov

### Vertex / Time Resolution



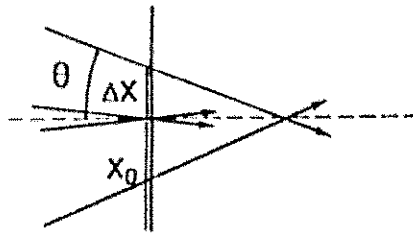
$-0.075 < y < 0.075 \text{ m}$





# Spectrometer aberration corrections

## Spherical aberrations

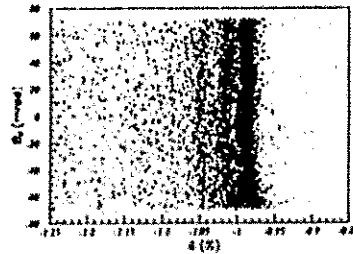
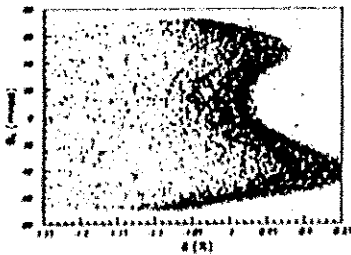


$$p = f(x_0)$$

$$x = x_0 + \Delta x$$

$$\Delta x = \langle x | \theta \rangle \tan(\theta)$$

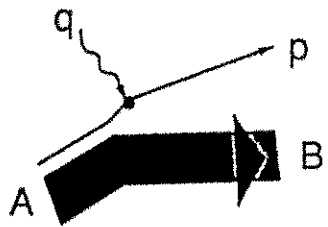
focal plane



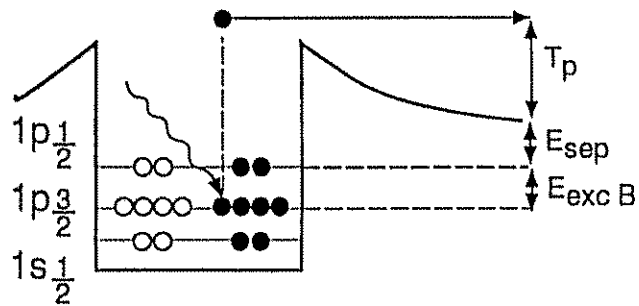
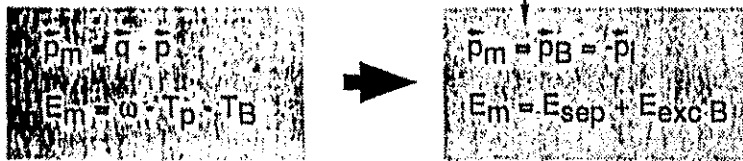
## Experimental Program Collaboration A1

Topics	Reaction	Physics
Few-Body Systems	${}^2\text{H}(e,e'p)$	high-momentum components long./transv. separation $\Rightarrow$ non-nucleonic degrees of freedom
	${}^3\text{He}, {}^4\text{He}(e,e'p)$	high-momentum components
Nucleon Form Factors	${}^2\text{H}(e,e'p)$	measurement of $G_{M,n}$
	${}^1\text{H}(e,e'\pi^+)$	structure functions $R_L, R_T, R_{LT}$ $\Rightarrow$ different form factors tune-up for pion detection
	${}^1\text{H}(e,e'\pi^0)$	test of Chiral Perturbation Theory
	${}^1\text{H}(\vec{e}, e'\vec{p})\pi^0$	$C2/M1, E2/M1$ in $p \rightarrow \Delta$ excitation $\Rightarrow$ deformation of the nucleon
$\Delta$ -physics	${}^{12}\text{C}(e,e'x_1x_2)$	multi-hadron final states $\Delta$ -propagation
	${}^3\text{He}(e,e'\pi^+)$	$\frac{\sigma_{\text{ex}}(\pi^+)}{\sigma_{\text{ex}}(\pi^-)}$ in long. channel $\Rightarrow \Delta$ content in nucleus
NN correlations	$A(e,e'p)$ , $A=12\text{C}, 16\text{O}$	high-momentum components separation of structure functions
	$A(e,e'\vec{p})$ $A=16\text{O}, 40\text{Ca}$	optical-model test

$A(e, e' p) B$



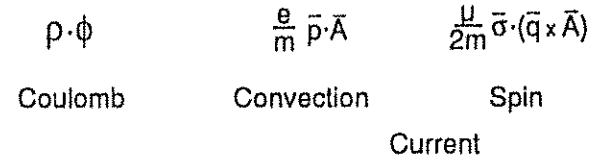
PWIA



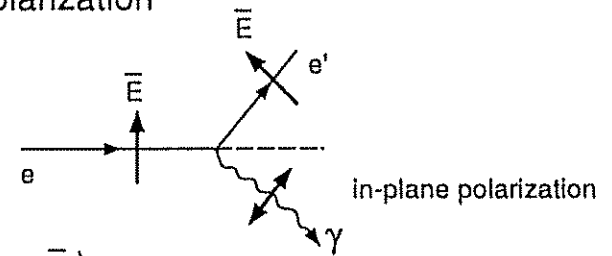
Spectral function:

$$\frac{d^3\sigma}{d\Omega_e d(\omega d\Omega_p dT_p)} = K \frac{d\sigma}{d\Omega}_{ep} S(E_m, p_m)$$

Amplitude  $\sim j_\mu A^\mu$

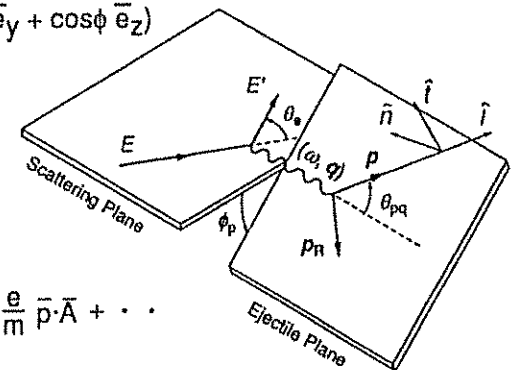


Linear polarization



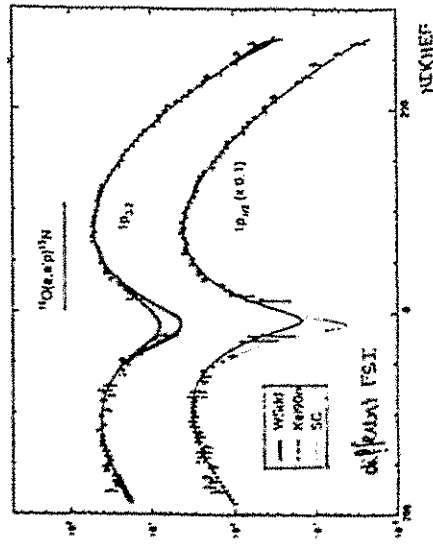
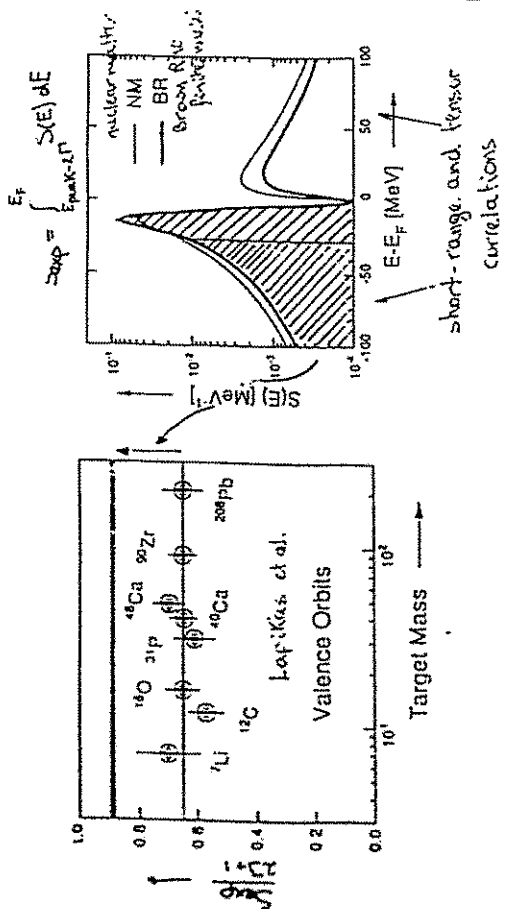
$$\bar{A} \sim (a_x \bar{e}_x + a_z \bar{e}_z)$$

$$\bar{p} = p_0 (\sin\theta \cos\phi \bar{e}_x + \sin\theta \sin\phi \bar{e}_y + \cos\theta \bar{e}_z)$$



$$\text{Amplitude} \sim \dots + \frac{e}{m} \bar{p} \cdot \bar{A} + \dots$$

(e,e'p) results

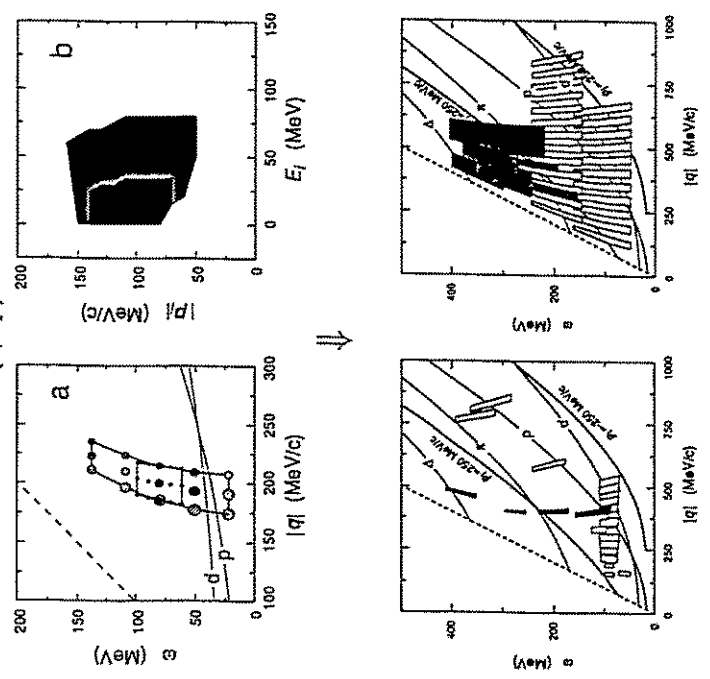


NIKHEF  
 $\Delta S_{\text{sc}} \approx 2\%$   
 $\Delta S_{\text{sc}} \approx 2\%$   
 $\Delta S_{\text{sc}} \approx 2\%$

Experimental Improvements

- 1 Duty Factor 1%  $\implies$  100%
- 2 Phase Space Coverage

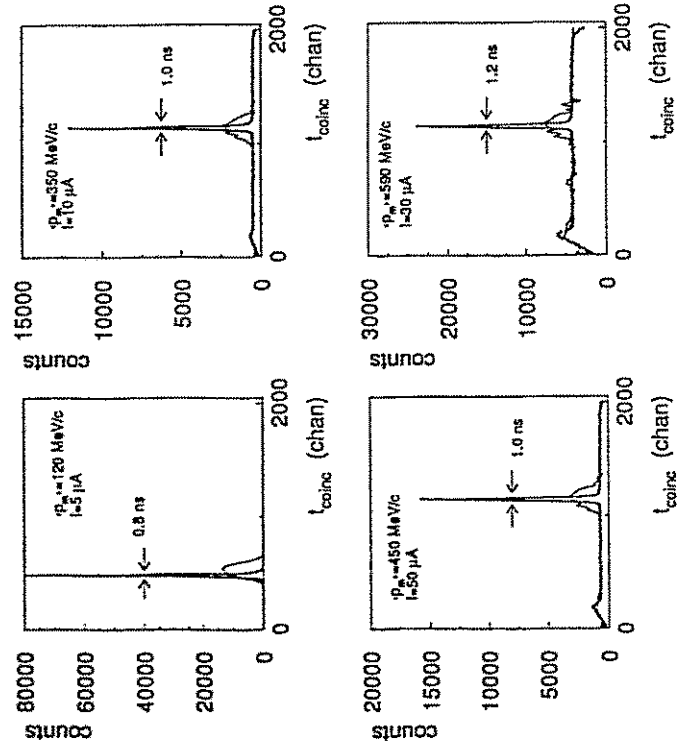
NIKHEF - MAMI  $^{12}\text{C}(e,e'p)$



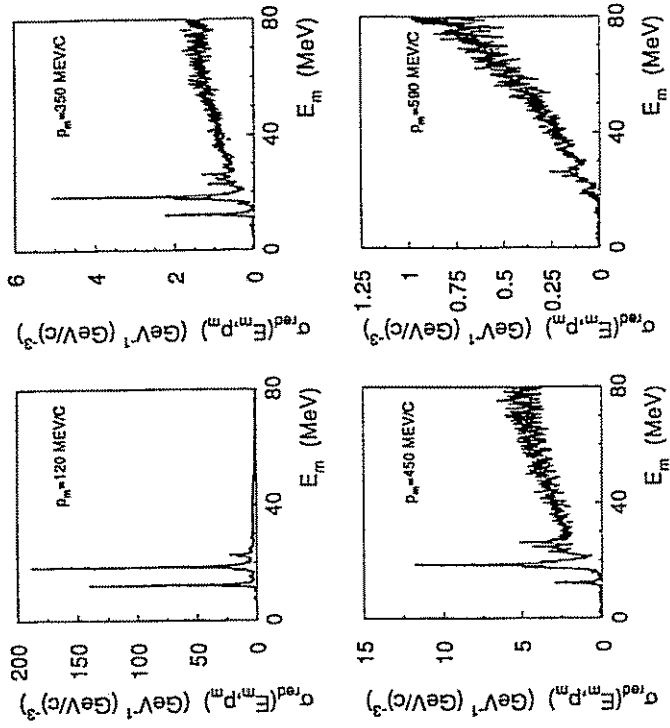
# coincidence time

$d_{H_2O} = 40 \text{ mg/cm}^2$

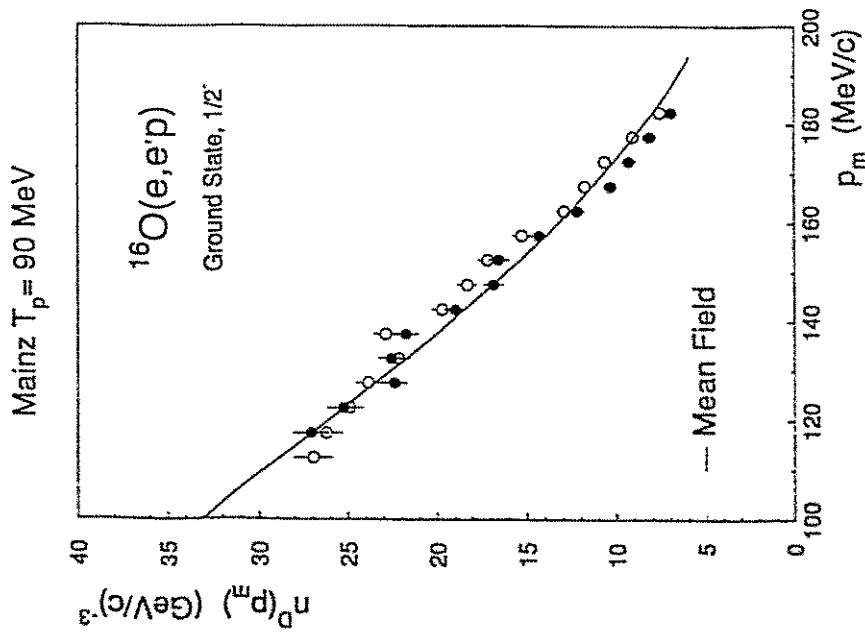
# $^{16}\text{O}(e,e'p)$



NO radiative corrections applied



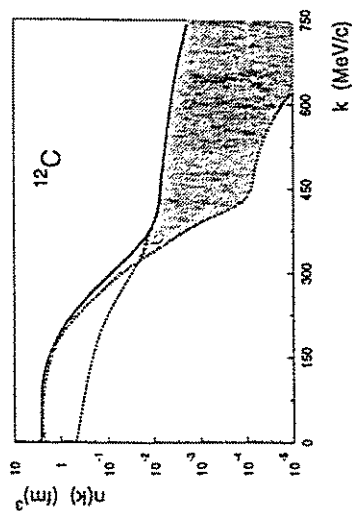
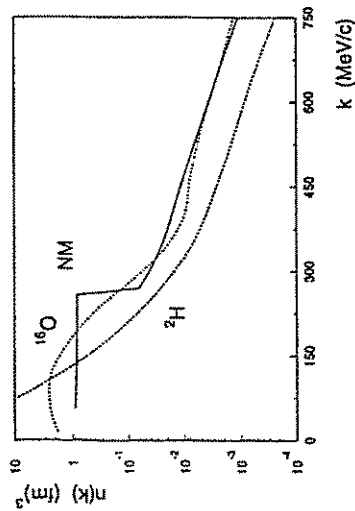
### Normalization



Spectr. Factor	NIKHEF	Mainz
$K.S. \int$	1.124(61)	1.165(10)   1.107(10)

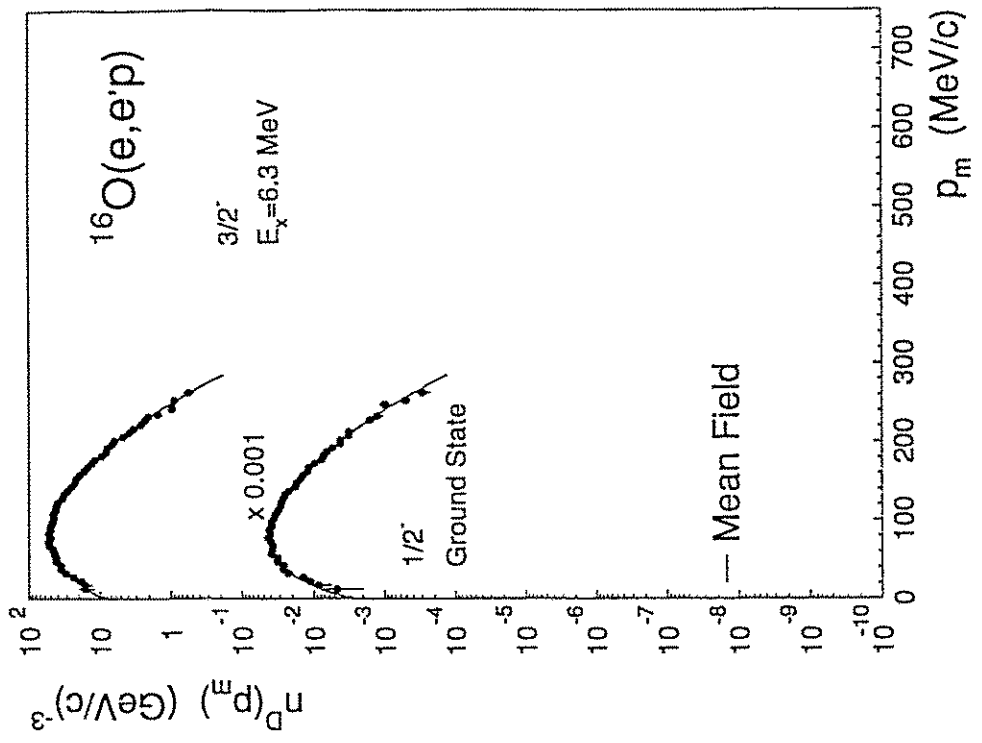
### Predictions of Momentum Distributions

$$\begin{aligned}
 n(\vec{k}) &= \int_0^\infty d\epsilon S(\vec{k}, \epsilon) \\
 &= \int_0^\infty d\epsilon \left[ \sum_\alpha n_\alpha(\vec{k}) \delta(\epsilon - \epsilon_\alpha) + n_c(\vec{k}) f(\epsilon) \right]
 \end{aligned}$$

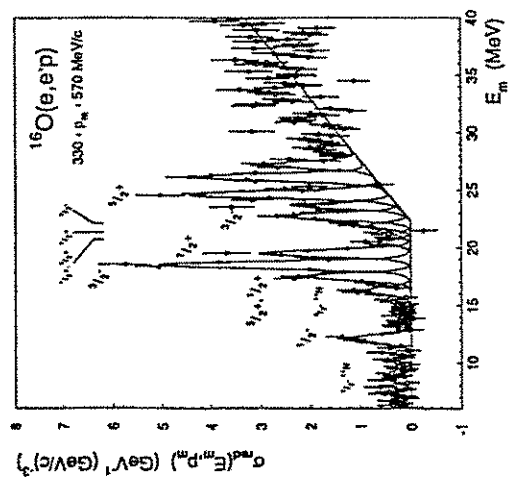
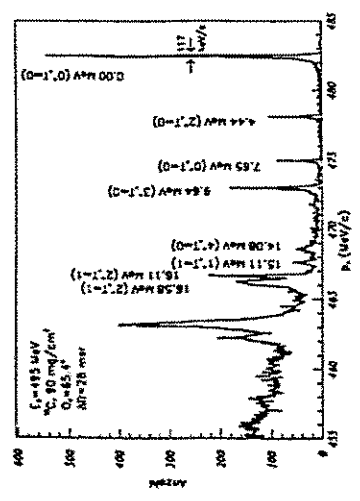
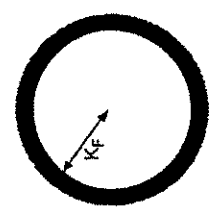
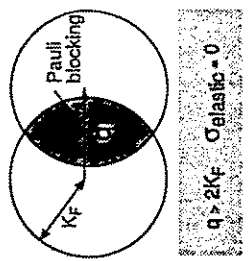


Benhar et al.

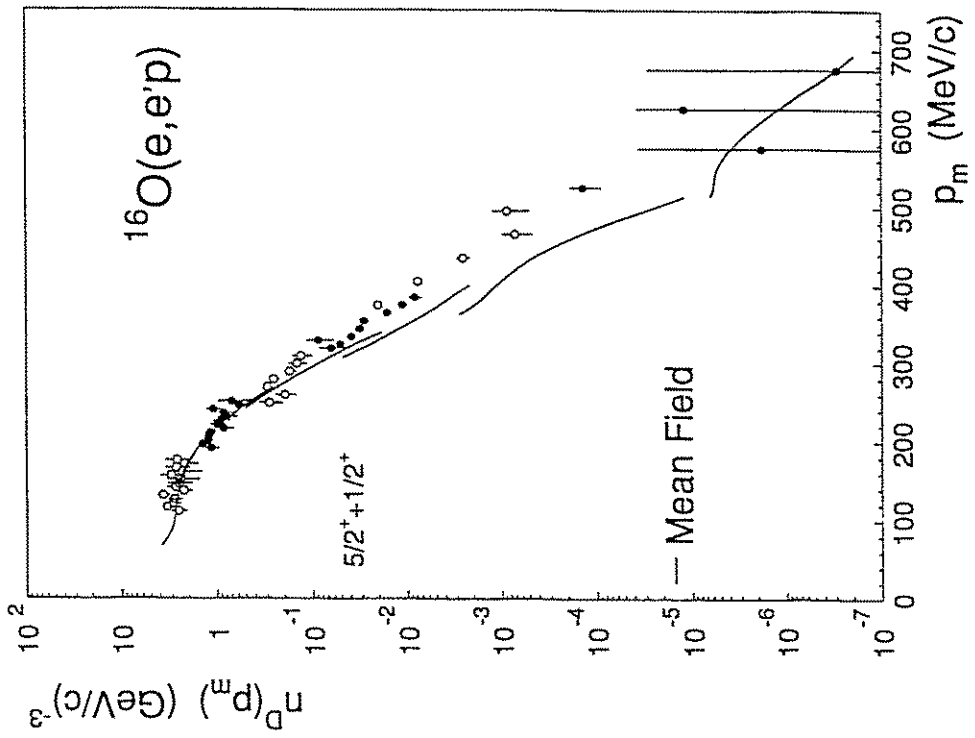
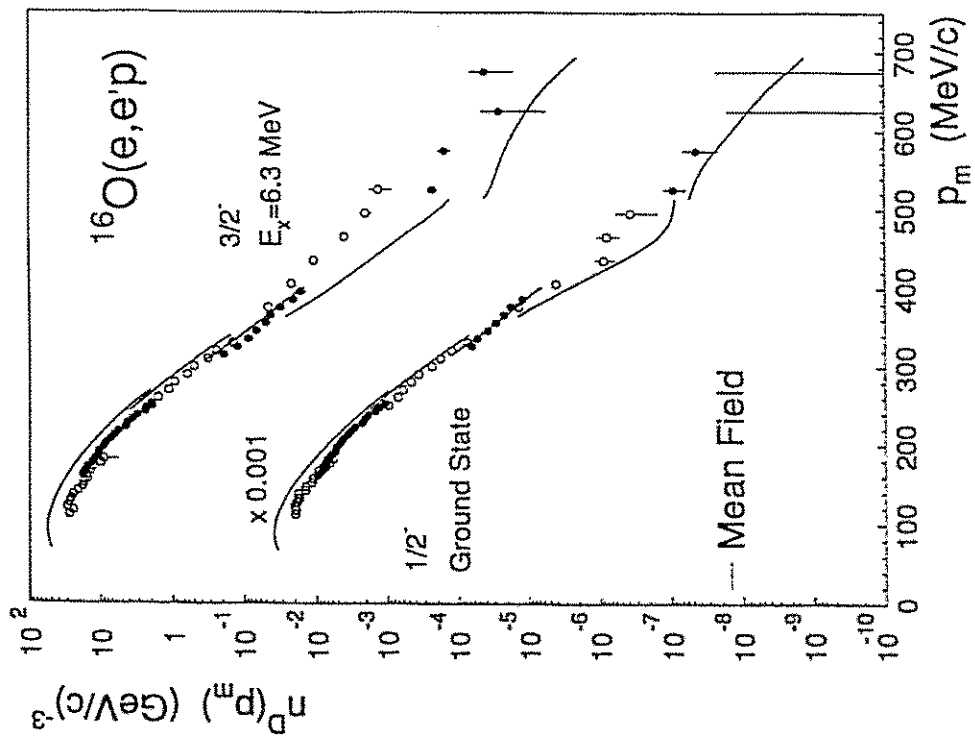
NIKHEF  $T_p = 90$  MeV



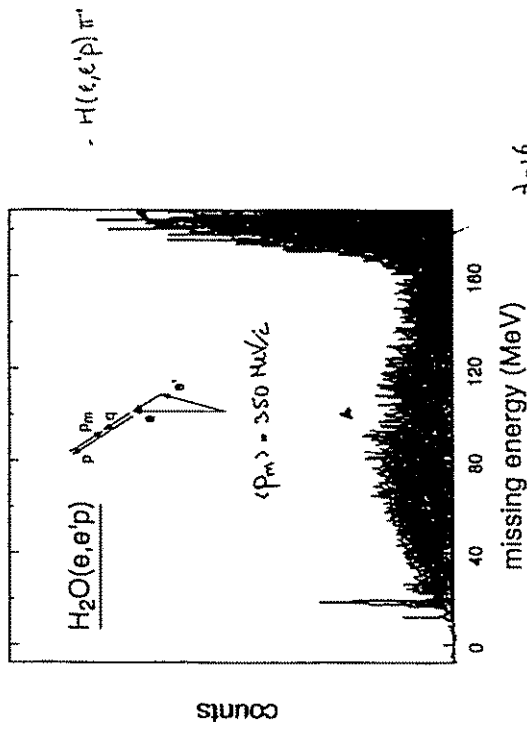
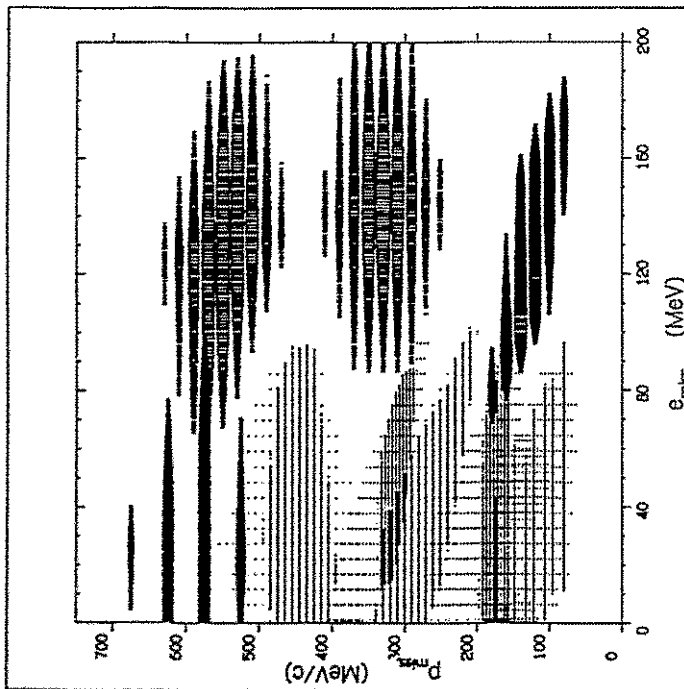
Fermi Model



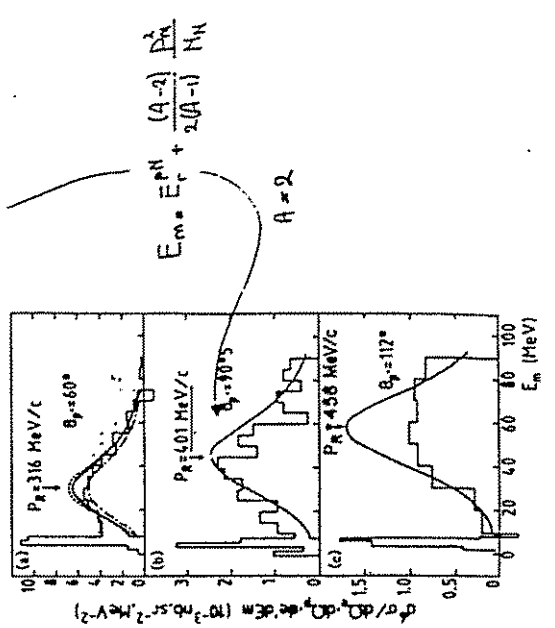
Mainz  $T_p = 215$  MeV



Phase Space  $^{16}\text{O}(e,e'p)$  covered in Mainz



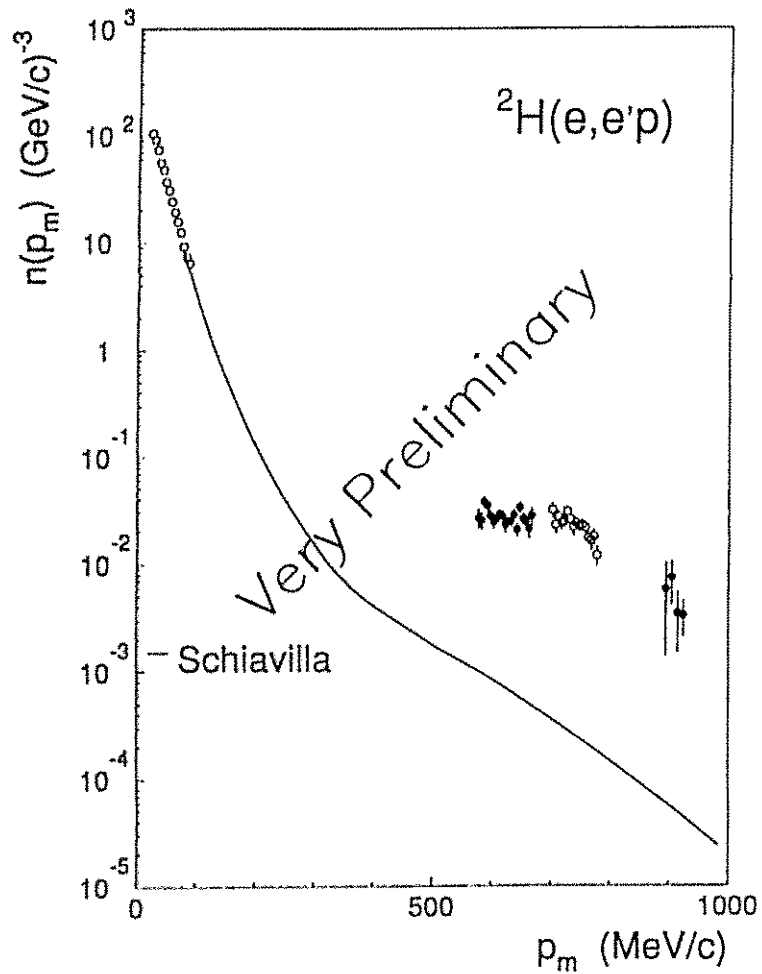
$A=16$



$^3\text{He}(e,e'p)$   
(Marchand et al.)







## Summary & Outlook

- Two-Spectrometer Set up fully operational

spec	$\Delta p/p$ (%)	$\delta p/p$ (%)	$\Delta\theta_g$ (mrad)	$\delta\theta_g$ (mrad)	$\delta y_{1g}$ (mm)	$\Delta\phi_g$ (mrad)	$\delta\phi_g$ (mrad)
A	-5/+15	0.02	$\pm 70$	2.0	6.0	$\pm 100$	2.0
B	$\pm 7.5$	0.01	$\pm 70$	2.3	2.0	$\pm 20$	2.6

- Momentum distributions measured over 7 (!) orders of magn.,  
 $^{16}\text{O}$ :  $|p_m| < 700 \text{ MeV/c}$ ,  $^{2}\text{H}$ :  $|p_m| < 1 \text{ GeV/c}$
- Feasibility demonstrated for  $\pi$ -detection

---

- End of this year first TRIPLE-coincidence measurements  
 $(e,e'pp)$ ,  $(e,e'p\pi^-)$
- Spring 1996 spin degrees of freedom:  $(\vec{e}, e'\vec{p})$

Experimente mit reellen Photonen  
Erste Ergebnisse von den Experimenten  
am Mainzer Mikrotron  
(A2-Kollaboration)

R. Beck  
Mainz

5.Oktober 1994

# Experimente mit reellen Photonen

Erste Ergebnisse von den Experimenten am Mainzer Mikrotron

R. Beck für die

## A2 - Kollaboration

Institut für Kernphysik, Mainz  
INFN, Sezione di Pavia, Pavia  
Department of Physics and Astronomy, University of Glasgow  
Physikalisches Institut, Bonn  
CEN Saclay, DAPNIA/SPN, Paris  
Department of Physics, Edinburgh  
INFN, Laboratori di Frascati, Frascati  
Institute for Nuclear Research, Moskau  
INFN, Sezione di Genova, Genova  
Institut für Kernphysik, Gießen  
II. Physikalisches Institut, Tübingen  
II. Physikalisches Institut, Göttingen  
Institut für Strahlungsphysik, Stuttgart

### Übersicht:

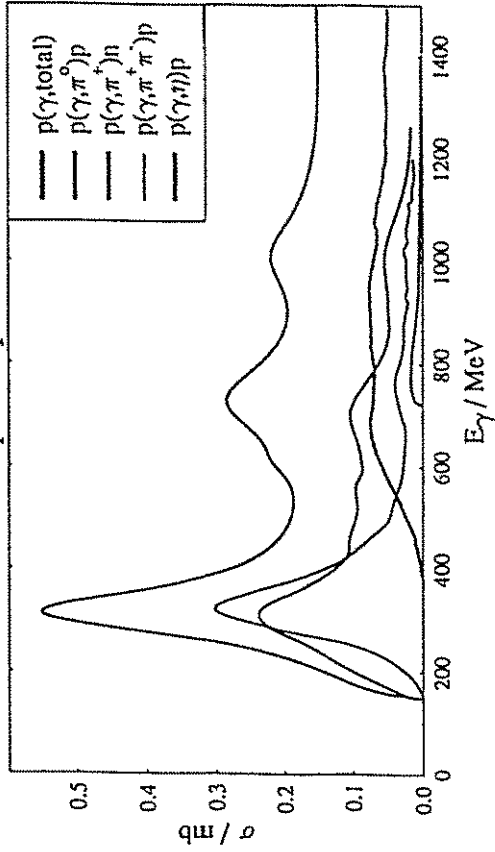
1. Einführung und Motivation
2. Photonmarkierungsanlage
3. Compton Streuung
4. Totalabsorptionsquerschnitte
5.  $2\pi$  - Produktion
6.  $E2/M1$  - Verhältnis im  $N \rightarrow \Delta$  Übergang
7. Zusammenfassung und Ausblick

## experimentelles Programm in R2

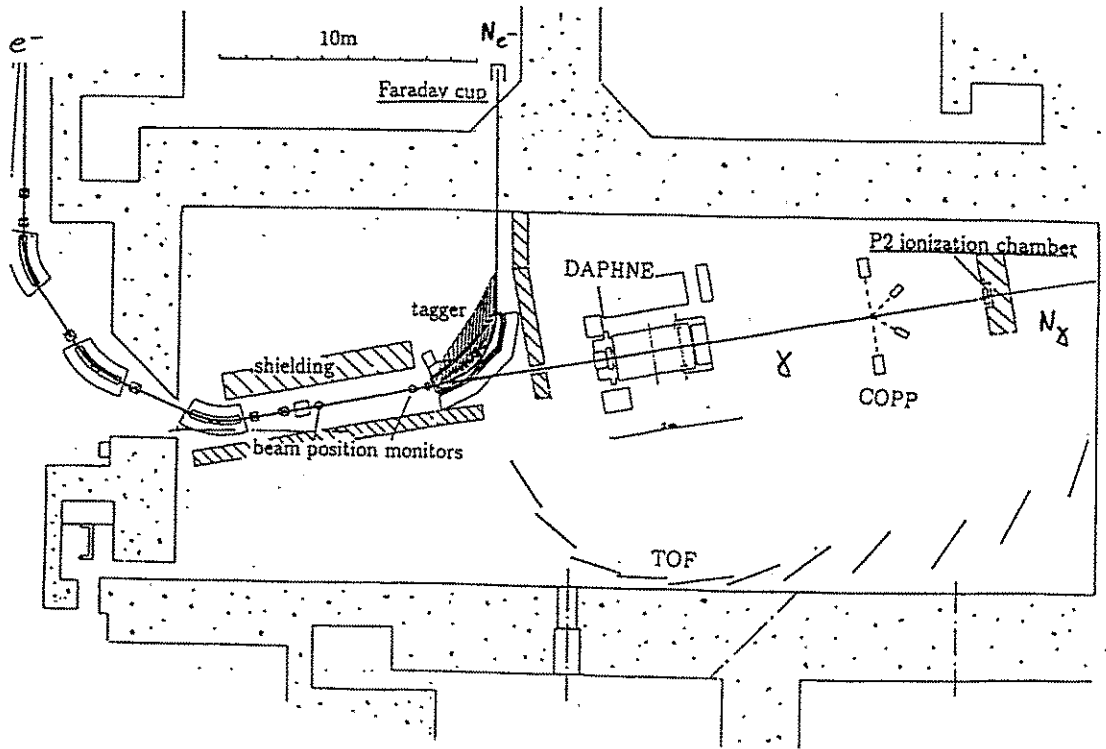
Untersuchung des freien und gebundenen Nucleons  
mit reellen Photonen

- Photoabsorptions Mechanismus
- Photoproduktion von  $\pi^-$ - und  $\eta$ - Mesonen
- Compton Streuung

## Totaler Photoabsorptionsquerschnitt am Proton



Man:  $E_0 = 855 \text{ MeV}$

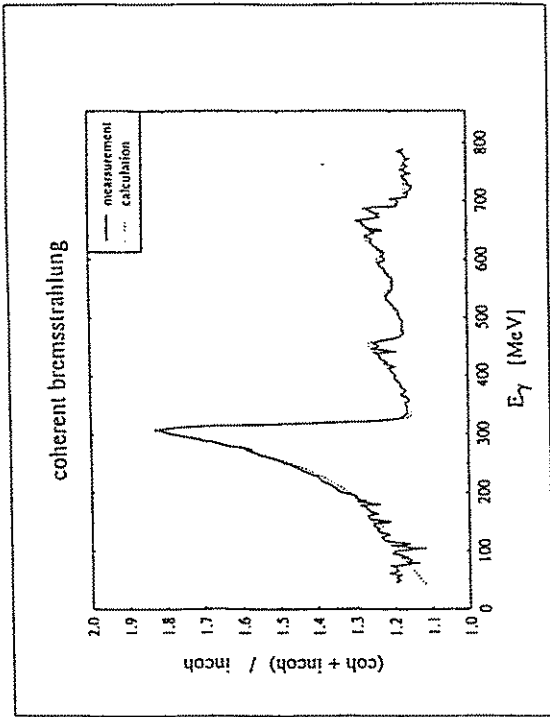


20

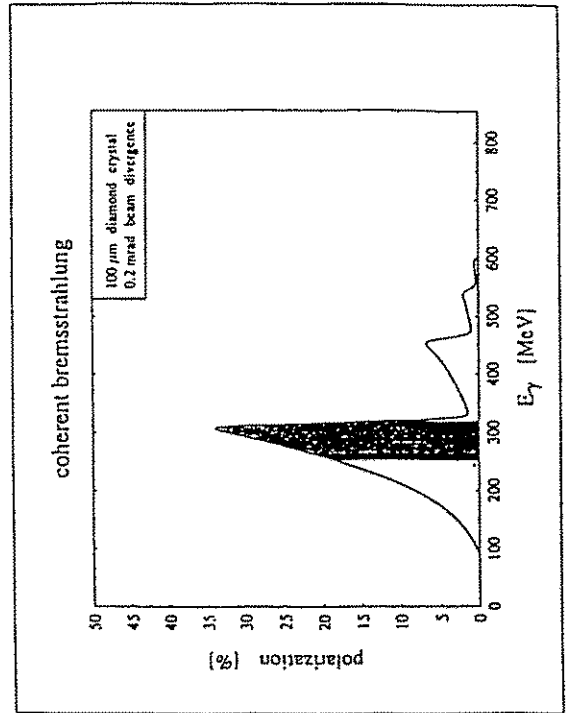
Gruppen in A2

- Comptonstreuung
  - $\gamma + p \rightarrow \gamma + p$
  - $\gamma + k \rightarrow \gamma + k$
- Detektor: CRTS; COPP (Genève, Göttingen, Mainz, Moskau)
- Absorptionsquerschnitte,  $2\pi$ -Produktion
  - $H, D, {}^3\text{He}, {}^4\text{He}$
  - $\gamma + p \rightarrow p + \pi^+ + \pi^-$
  - $\gamma + p \rightarrow n + \pi^+ + \pi^0$
  - $\gamma + p \rightarrow p + \pi^+ + \pi^0$
- Detektor: DAPHNE (Saclay, Pavia, Mainz)
- $\pi$ - und  $\eta$ -Produktion
  - $\gamma + p \rightarrow p + \pi^0$
  - $\gamma + k \rightarrow k + \pi^0$
  - $\gamma + p \rightarrow p + \eta$
  - $\gamma + k \rightarrow k + \eta$
- Detektor: TRPS (Gießen, GSI, ...)
  - H. Stöcker Fr. 14:30
- $\delta, p^-$  und  $\delta, n^+$  - Reaktionen
  - Detektor: PIP-TOF (Edinburgh, Glasgow, Tübingen)
  - P. Griebmeyer Fr 14:30

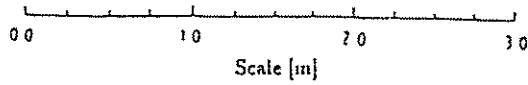
Linear polarisierte Photonen



Polarisation:  $\epsilon_x = 30-60\%$   $E_x^+ = 450 - 100 \text{ MeV}$



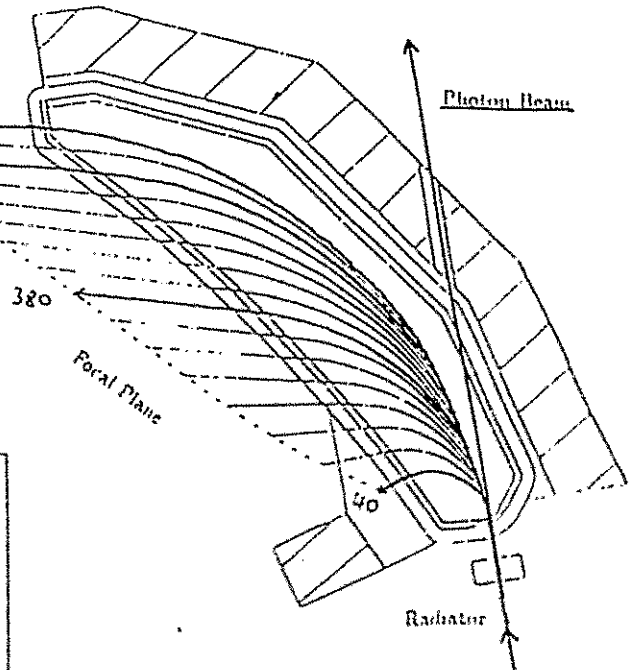
Glasgow - Mainz Tagger (Glasgow)



Scale [m]

855 MeV

800



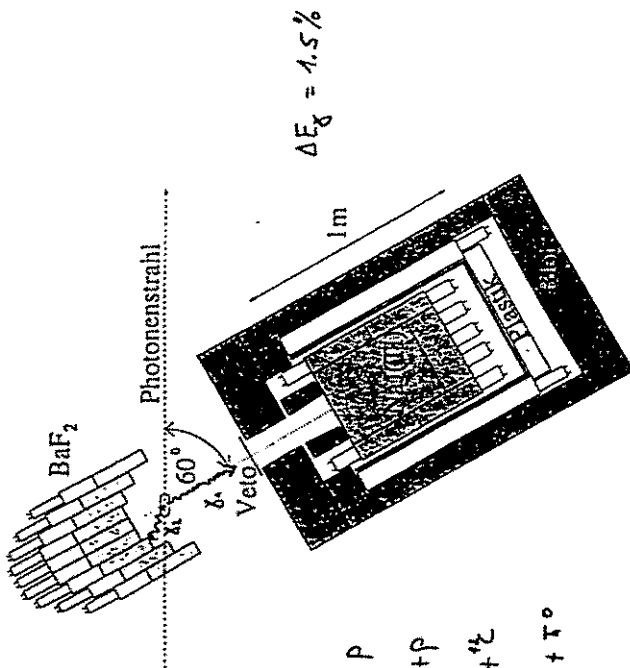
The Glasgow-Mainz Tagging System

Main Beam Energy:	$E_0 = 855 \text{ MeV}$
Dipolefield:	1 T
Beam Deflexion:	$80^\circ$
Total Weight:	$\sim 70 \text{ t}$
Tagged Photons:	$40 \text{ MeV} \leq E_\gamma \leq 800 \text{ MeV}$
Detectors in Focal Plane:	352
Channel Energy Width:	$\sim 2 \text{ MeV}$

Electron Beam

$E_0 = 855 \text{ MeV}$

# CATS (Mainz, Göttingen, Geneva)

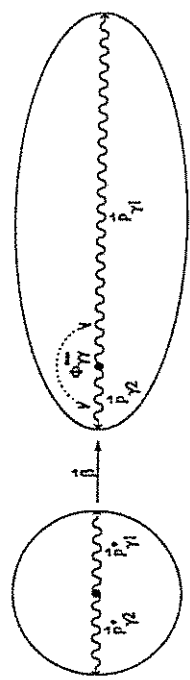


- $\gamma + p \rightarrow \gamma + p$
- $\gamma + p \rightarrow \pi^0 + p$
- $\gamma + \bar{e} \rightarrow \gamma + \bar{e}$
- $\gamma + \bar{e} \rightarrow \bar{e} + \pi^0$

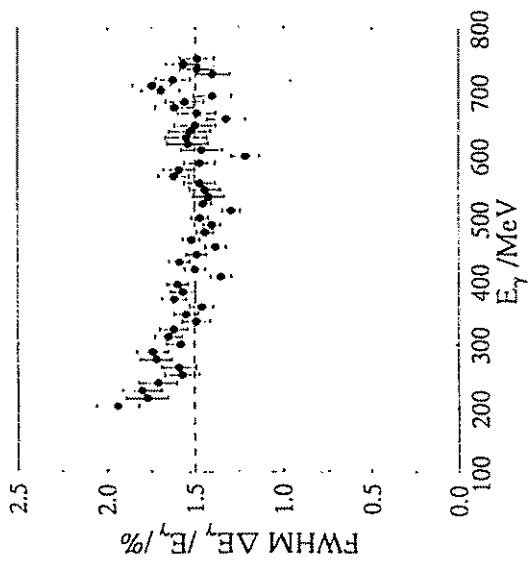
$\pi^0$ -Zerfall

LS

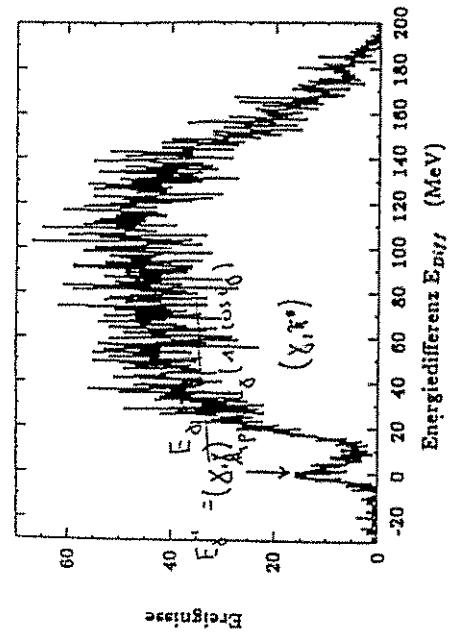
CMS



## Energieauflösung



## Energiedifferenz

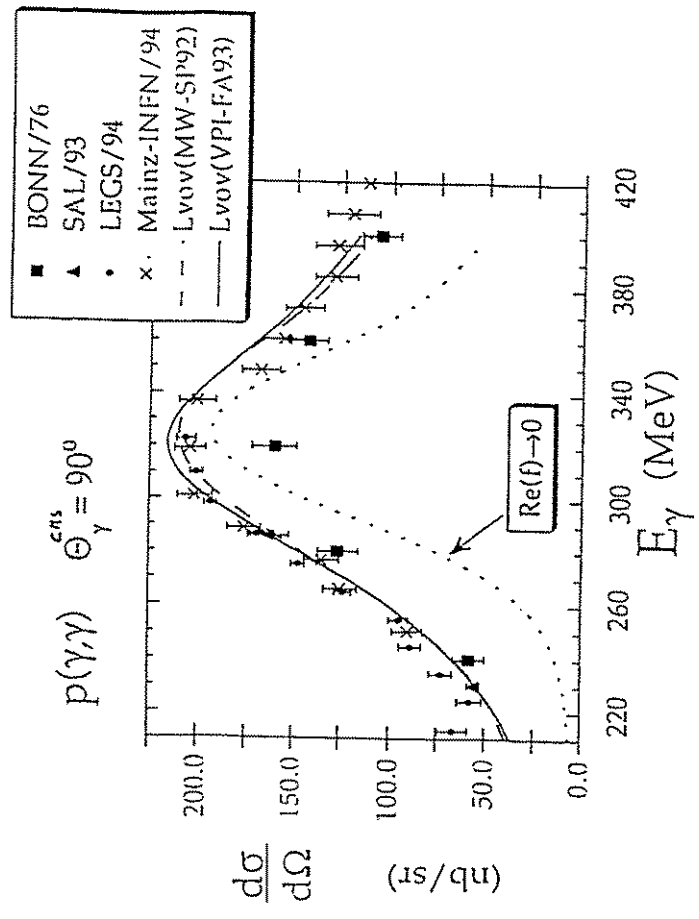


$$E_X^H - E_X^S \quad E_X^S = \frac{E_X^{mp}}{m_f + E_X(1 - \cos \theta)}$$

GOPP (Genoa, Göttingen, Mainz)

$\gamma + p \rightarrow p + \gamma$

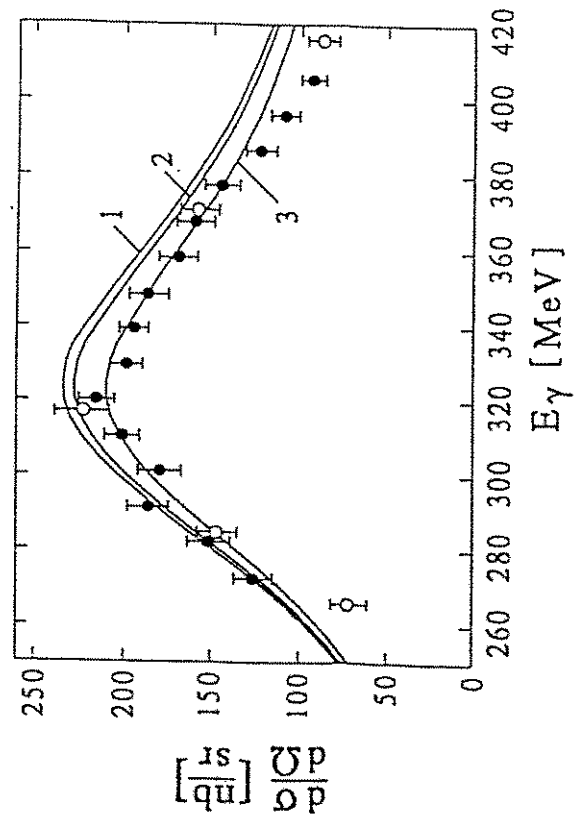
R. Kordsmeier 1994



Unitarität:  $\text{Im} f(E_{\gamma}) = \frac{E_{\gamma}}{4\pi} \sigma_{tot}$  opt. Theorem

R. Hünjer 1994  
J. Peisze

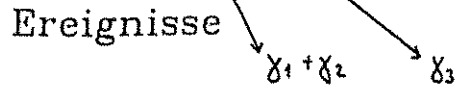
$\gamma + p \rightarrow p + \gamma$   
 $\theta^{LS} = 60^{\circ}$



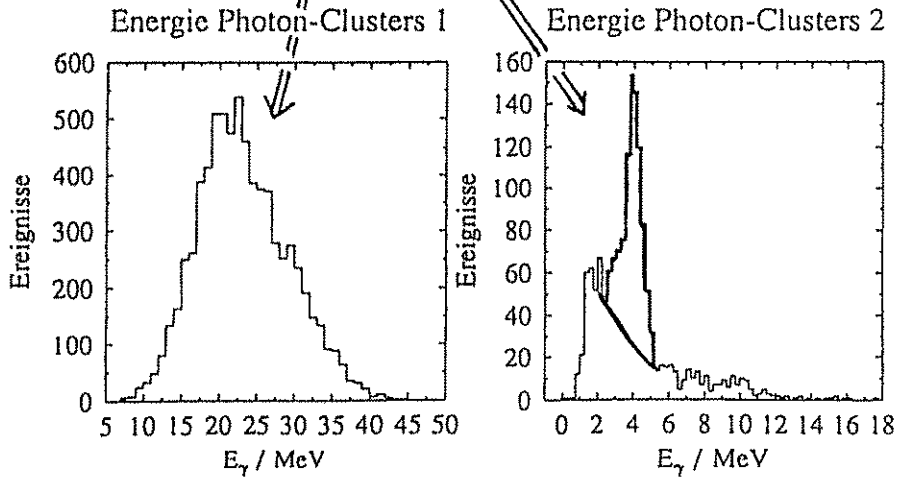
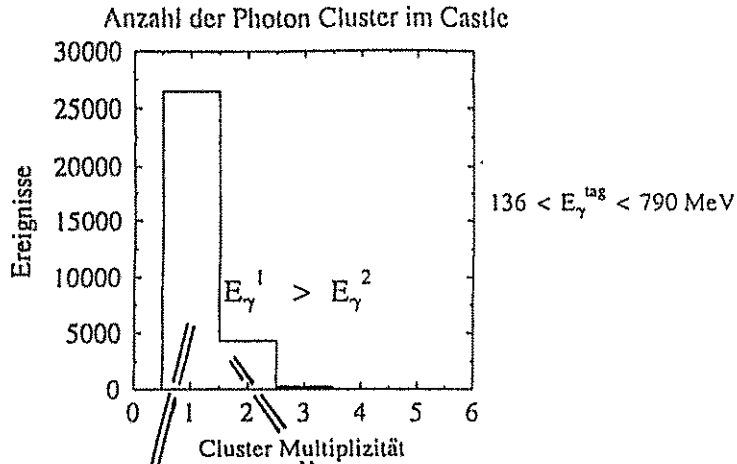
Multipol Analyse Arndt et al.

- 1:  $E_2/M_1 = -4.4\%$
- 2:  $E_2/M_1 = -5\%$
- 3:  $M_1 = 0.33 \cdot M_1$

Identifikation der  $^{12}\text{C}(\gamma, \pi^0)^{12}\text{C}^*$  (4.4 MeV)

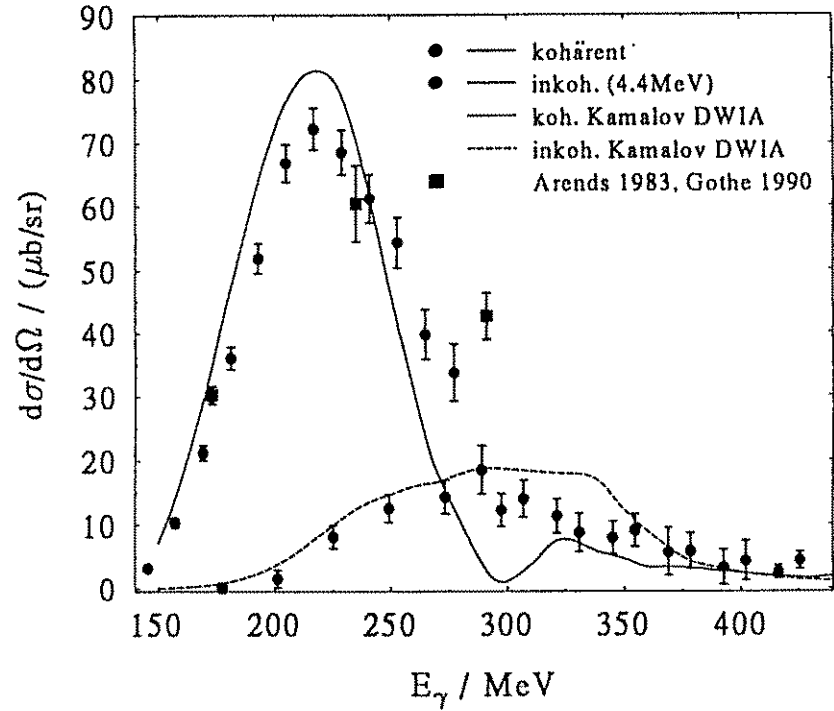


M. Schnitz 1994



$250 < E_{\gamma}^{\text{tag}} < 450 \text{ MeV}$

$^{12}\text{C}(\gamma, \pi^0)^{12}\text{C} \quad \vartheta_{\text{ls}} = 60 \pm 10^\circ$



- 228 -



# DAPHNE (Soctay, Pavia, Mainz)

Nukleon:

- totaler Absorptionswirkungsquerschnitt
- $2\pi$ -Photoproduktion
  - $\gamma + p \rightarrow p + \pi^+ + \pi^-$  empfindlich
  - $\gamma + p \rightarrow n + \pi^+ + \pi^0$  auf  $D_{13}$  ( $p_{11}$ ?)
  - $\gamma + p \rightarrow p + \pi^0 + \pi^0$

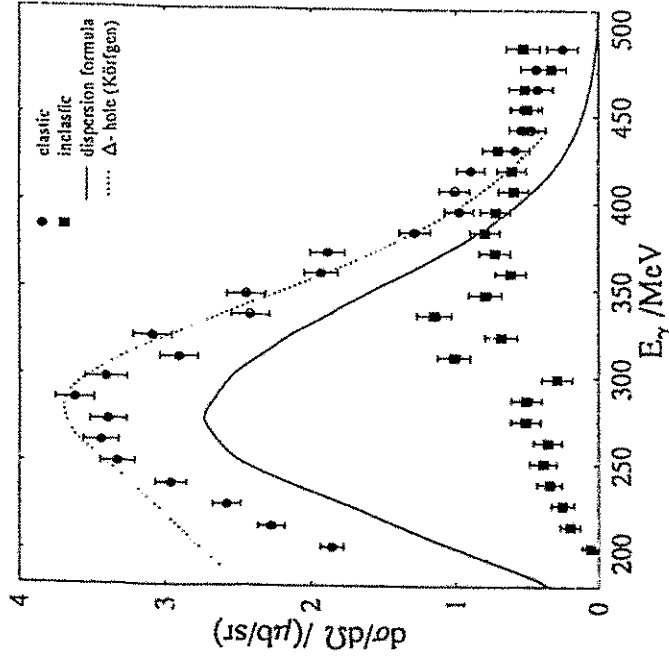
• Photonen asymmetrie

$$\begin{aligned} \bar{\gamma} + p &\rightarrow p + \pi^0 \\ \bar{\gamma} + p &\rightarrow n + \pi^+ \end{aligned} \quad E2/M1$$

Kern:

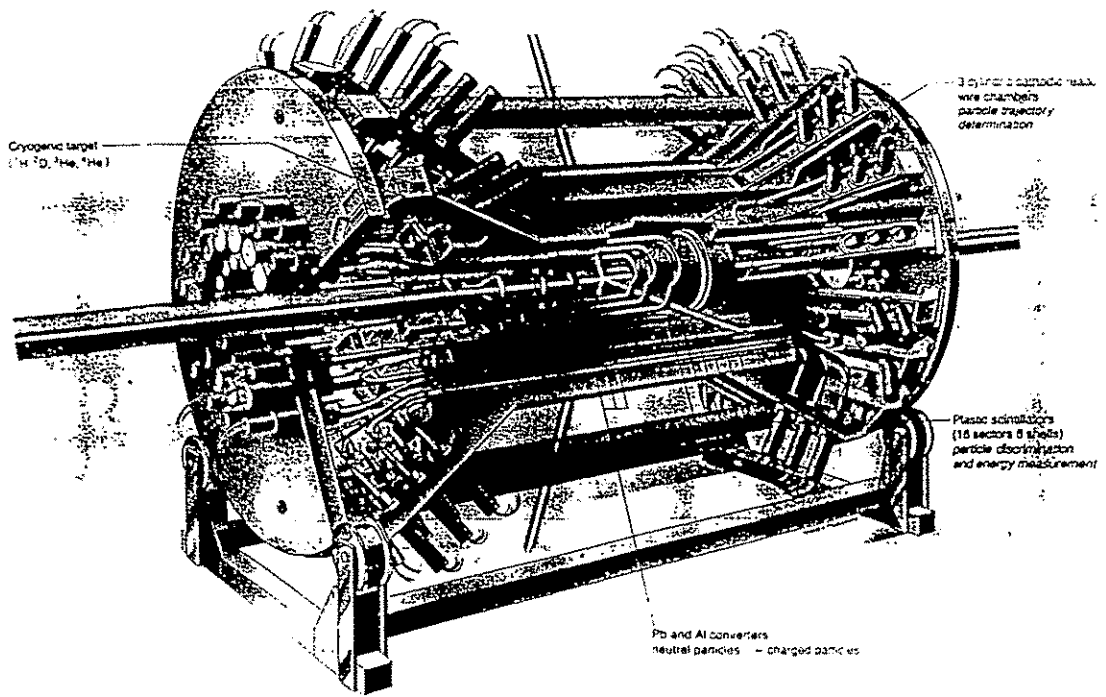
- totaler Absorptionswirkungsquerschnitt  $D, {}^3\text{He}$  und  ${}^4\text{He}$
- Photospaltung
  - $\gamma + d \rightarrow p + n$
  - $\gamma + d \rightarrow p + p + \pi^-$  NN, N $\Delta$  Kanäle
  - $\bar{\gamma} + d \rightarrow p + n$

$\theta_{\gamma}^{LS} = 40^\circ$   
 $\gamma + {}^{12}\text{C} \rightarrow {}^{12}\text{C} + \gamma$   
 F. Wisnann 1993

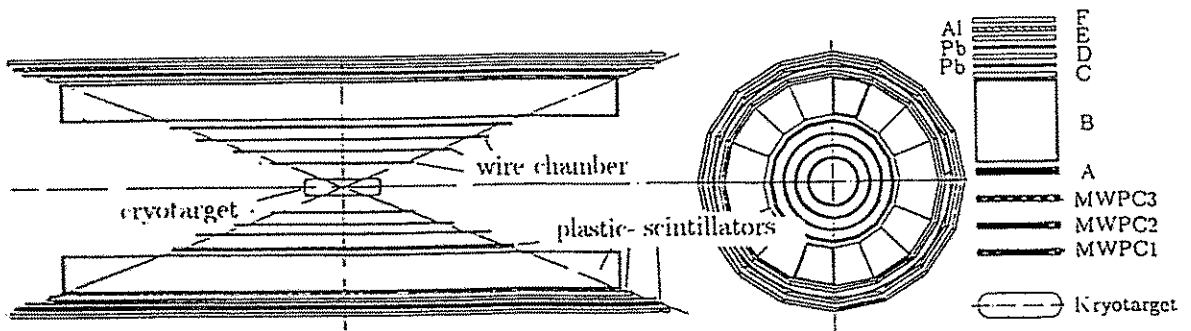


# DAPHNE

Détecteur à grande Acceptance pour la Physique photo Nucléaire Expérimentale



## DAPHNE (Saclay, Pavia)



$$20^\circ < \theta < 160^\circ$$

$$\Delta\theta = 1^\circ$$

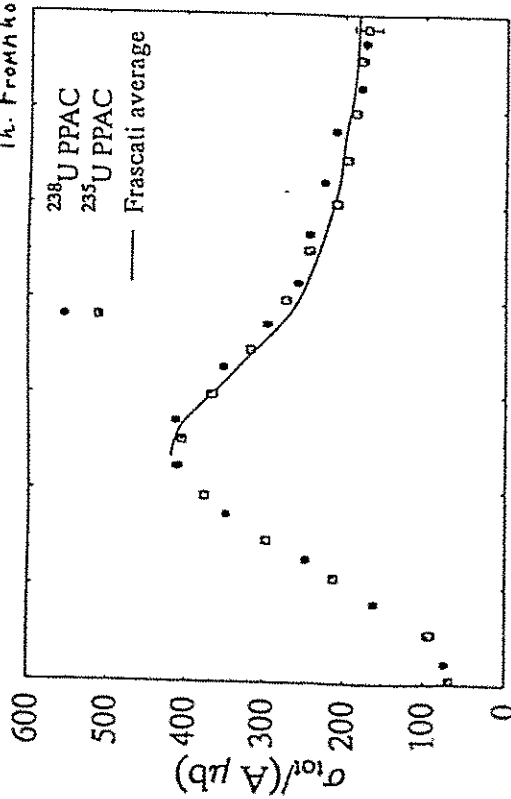
$$0^\circ < \varphi < 2\pi$$

$$\Delta\varphi = 2^\circ$$

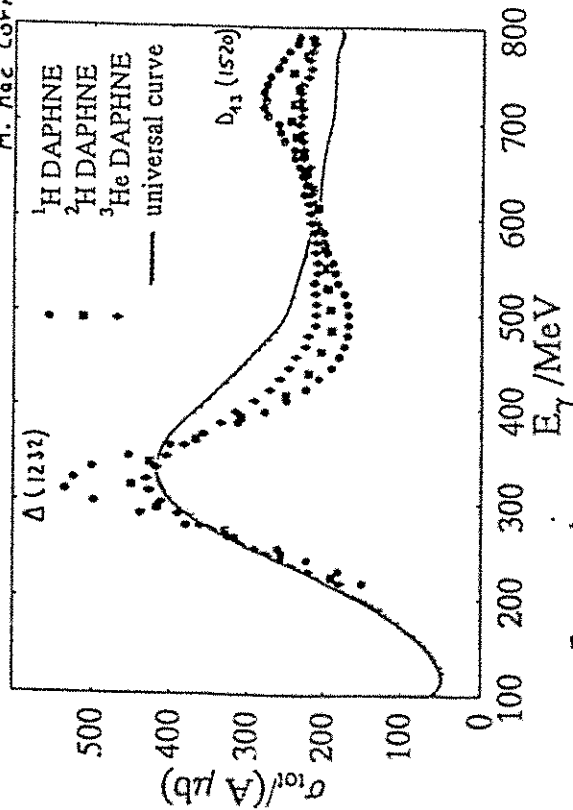
$$\Delta\Omega = 0.14 + 4\pi$$

Totale Absorptionsquerschnitte

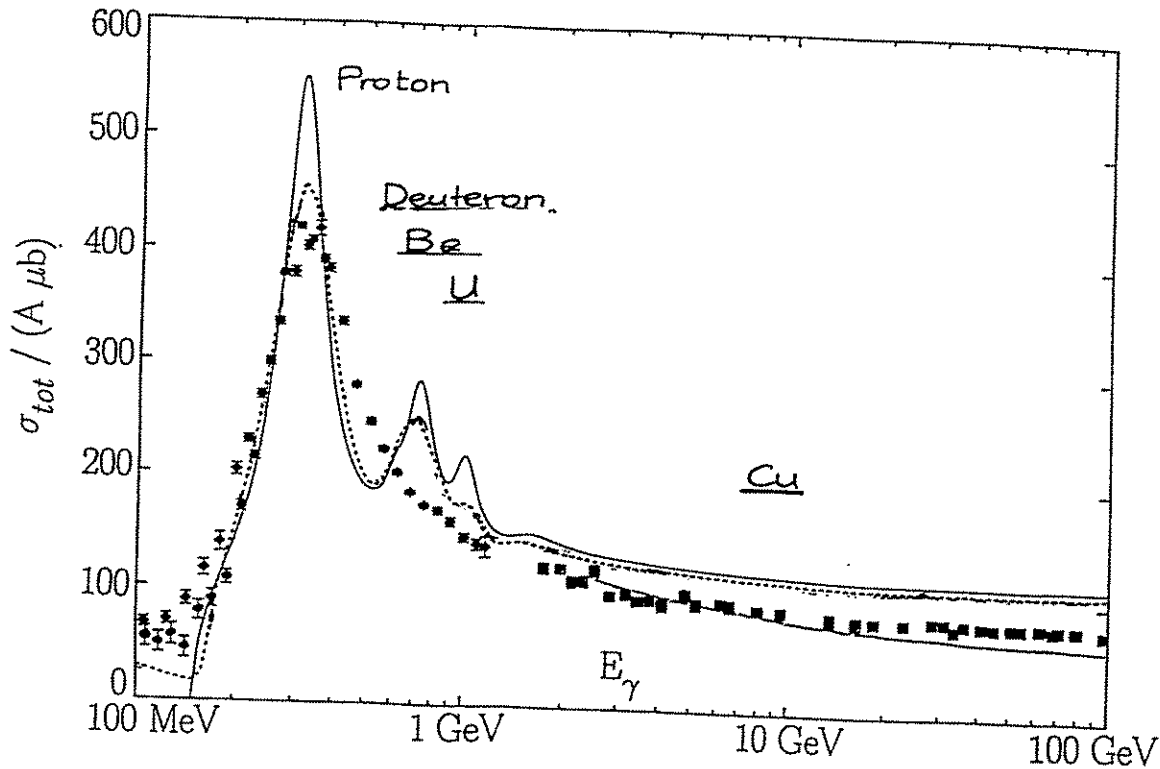
Th. Frommhold  
1954



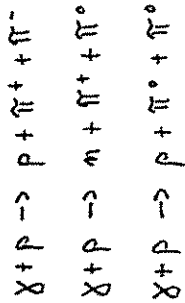
M. Mac Cormick  
1954



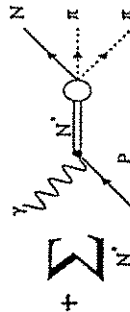
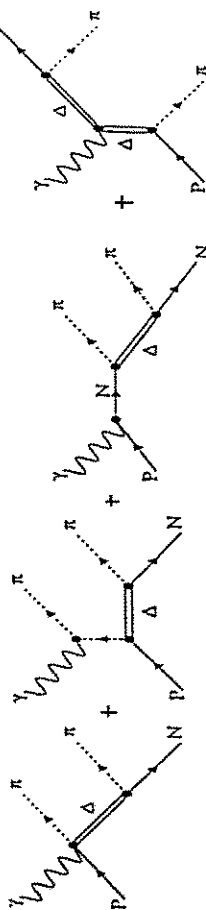
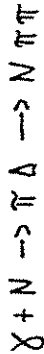
- Fermi motion
- Pauli blocking
- $\Delta N \rightarrow NN$
- stat. Fehler < 1%
- syst. Fehler < 4%



# 2π - Photoproduktion

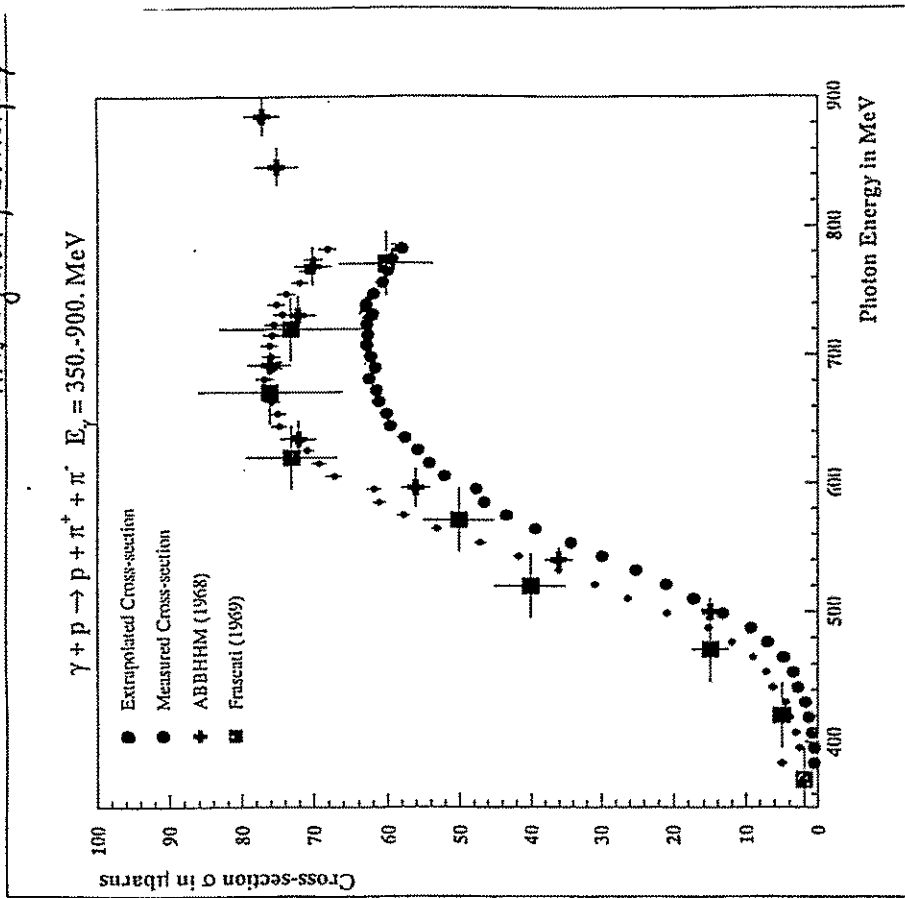


Isobaren Modell      Lücke und Söding 71  
                                   Laget und Murphy 34

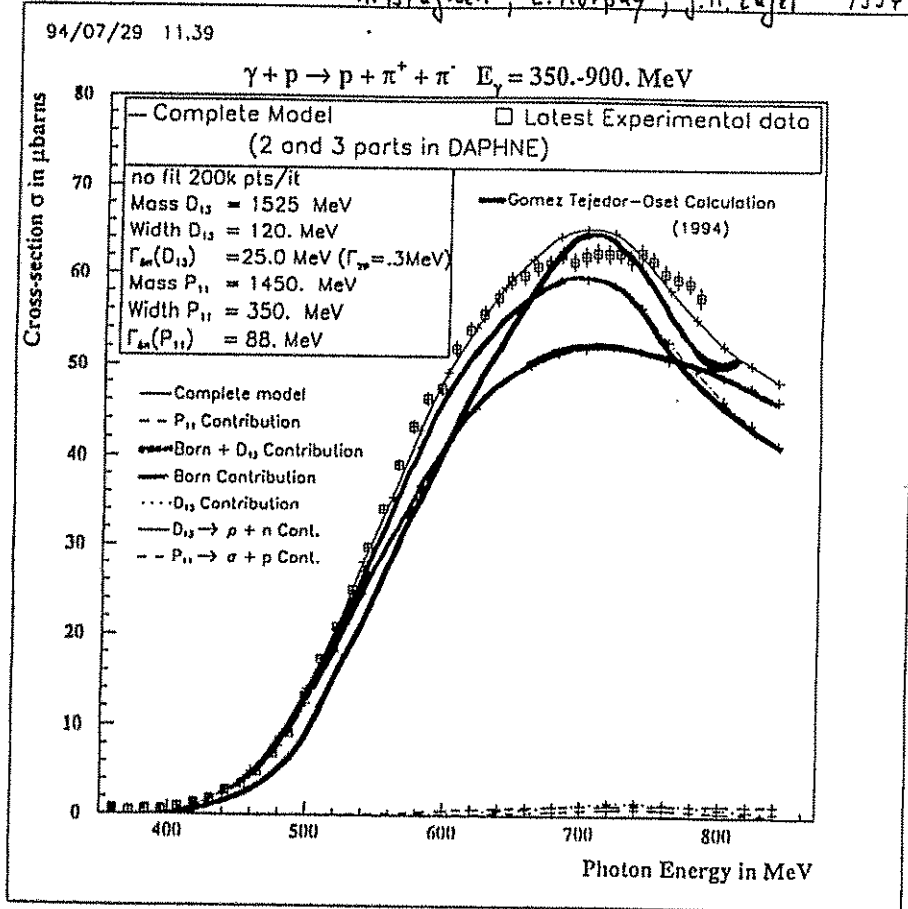


$P_{34} (1440)$	$\rightarrow N \pi \pi$	30 - 40%
	$\Delta \pi \pi$	20 - 30%
$D_{13} (1520)$	$\rightarrow N \pi \pi$	40 - 50%
	$\Delta \pi \pi$	15 - 30%
$S_{34} (1535)$	$\rightarrow N \pi \pi$	5 - 20%
	$\Delta \pi \pi$	< 10%

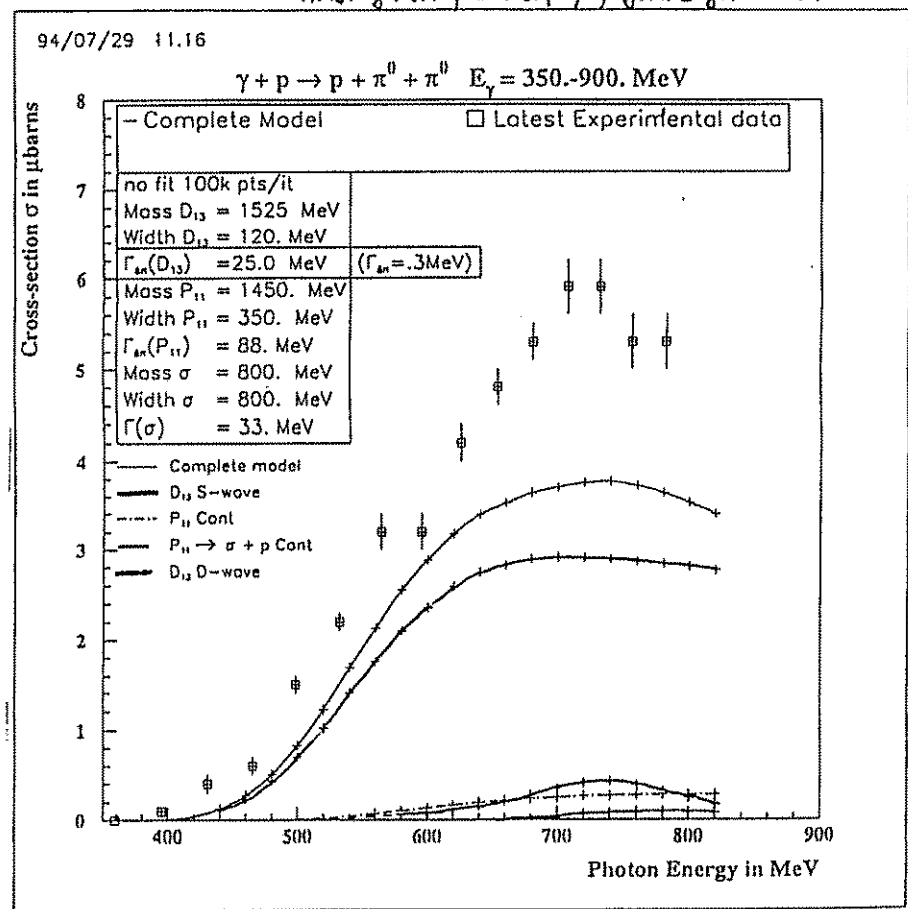
H. Bregkieri; L. Murphy



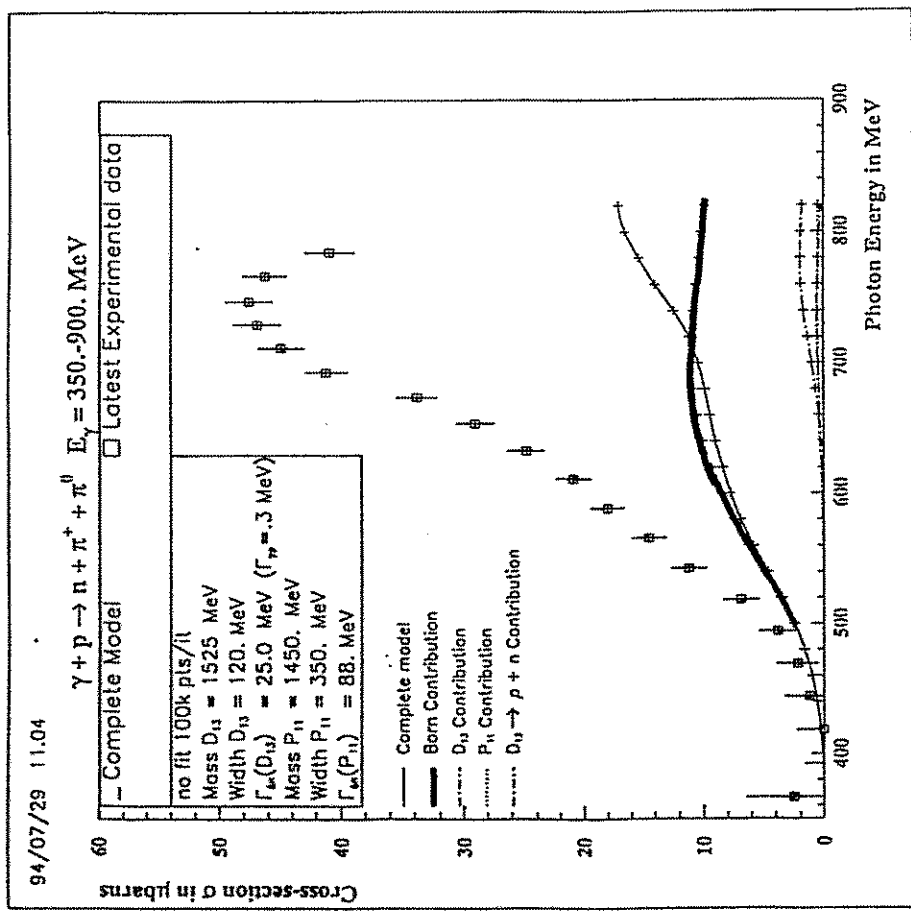
A. Braghieri ; L. Murphy ; J.M. Laget 1994



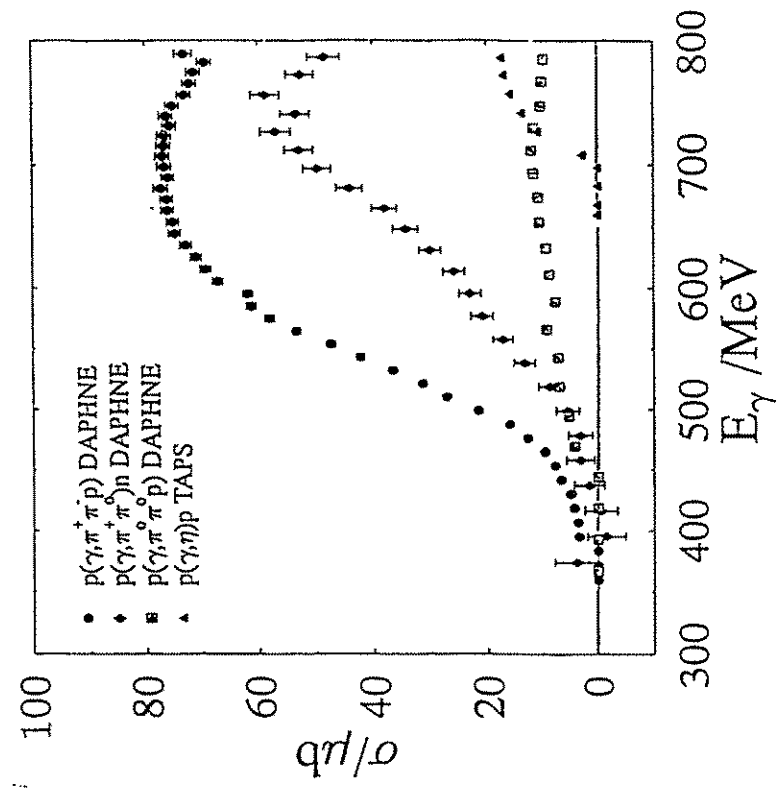
A. Braghieri ; L. Murphy ; J.M. Laget 1994



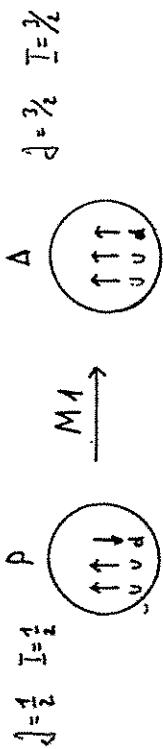
A. Braghieri ; L. Murphy ; J. M. Lojef 1994



DAPHNE A. Braghieri ; L. Murphy  
 TRPS B. Kruusche



E2/M1 - Verhältnis in  $N \rightarrow \Delta$ -Übergang



analog:  $1\pi$ -Austausch  $\rightarrow$  Tensor Anteil  $\rightarrow$  D-Beimischung  
Deuteron wellenfkt  
Quadrupolmoment

$1$  Gluon-Austausch  $\rightarrow$  Tensor Anteil  $\rightarrow$  D-Beimischung  
Nukleon wellenfkt  
Delta wellenfkt

E2 - Übergang

Daten und Analysen:  $E2/M1 = \frac{E_{\Delta^+}^{3/2}}{M_{\Delta^+}^{3/2}} = -2\%$  bis  $+2\%$

Neue Messungen: Photon asymmetrie

$\vec{\gamma} + p \rightarrow \Delta^+ \rightarrow n + \pi^+$   
 $\vec{\gamma} + p \rightarrow \Delta^+ \rightarrow p + \pi^0$  }  $E_{\pi^+}(p\pi^0); E_{\pi^+}(n\pi^+)$

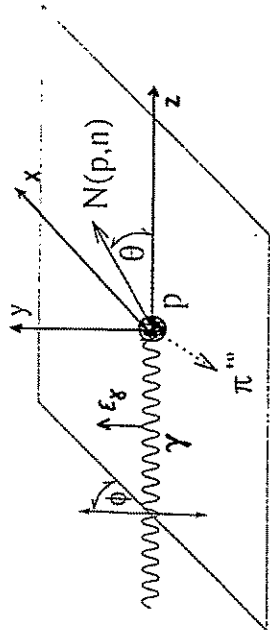
$$E_{\pi^+}^{3/2} = E_{\pi^+}(p\pi^0) - \frac{1}{\sqrt{2}} E_{\pi^+}(n\pi^+)$$

Photon asymmetrie

Linear polarisierte Photonen

$$\vec{\gamma} + p \rightarrow p + \pi^0$$

$$\vec{\gamma} + p \rightarrow n + \pi^+$$



$$WQ: \frac{d\sigma}{d\Omega}(\theta, \phi) = \frac{d\sigma}{d\Omega}(\theta) \{ 1 - \epsilon_\gamma \Sigma \cos 2\phi \}$$

Asymmetrie:

$$\Sigma = \frac{1}{\epsilon_\gamma} \frac{d\sigma^\perp - d\sigma^\parallel}{d\sigma^\perp + d\sigma^\parallel}$$

$$\frac{d\sigma^\parallel}{d\Omega} = (1 - \Sigma) \frac{d\sigma}{d\Omega} \quad \frac{d\sigma^\perp}{d\Omega} = (1 + \Sigma) \frac{d\sigma}{d\Omega}$$

Linear polarisierte Photonen

$$\frac{d\sigma}{d\Omega} = \frac{q}{k} \{ A + B \cos \theta + C \cos^2 \theta \}$$

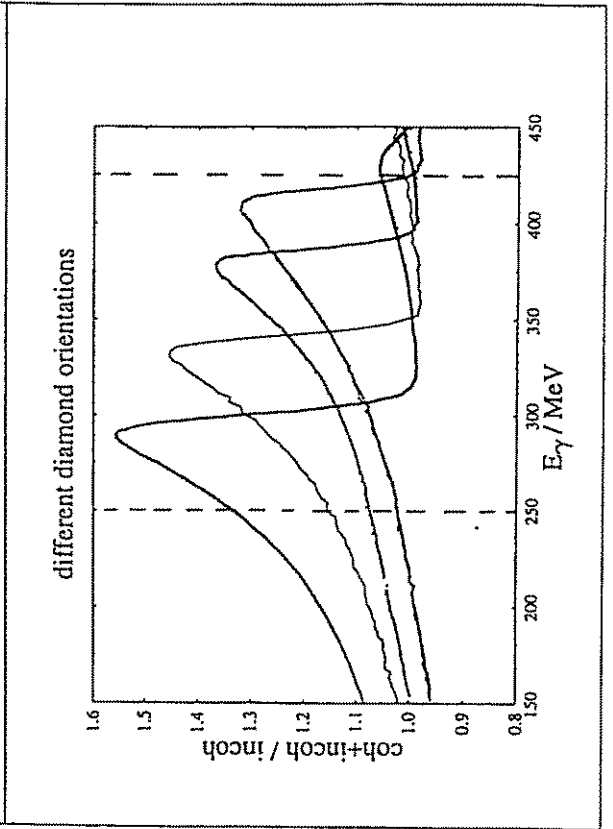
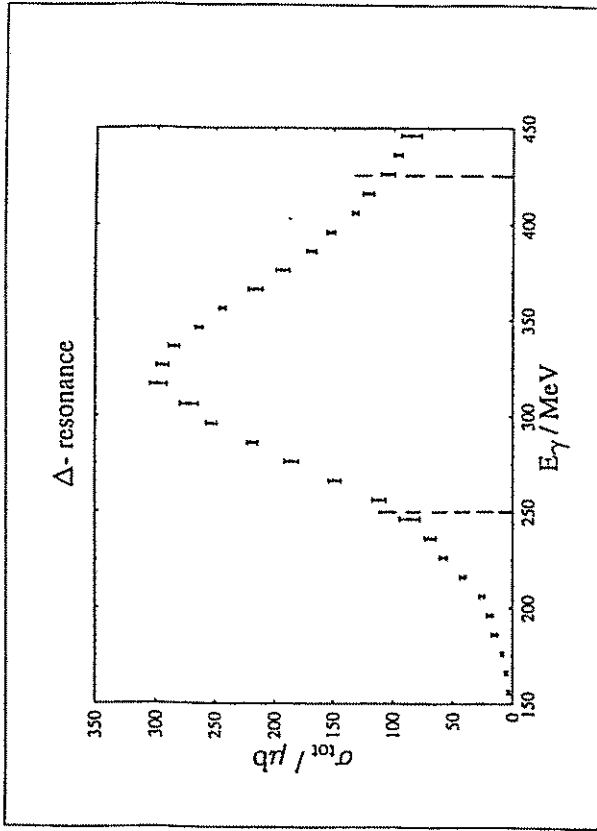
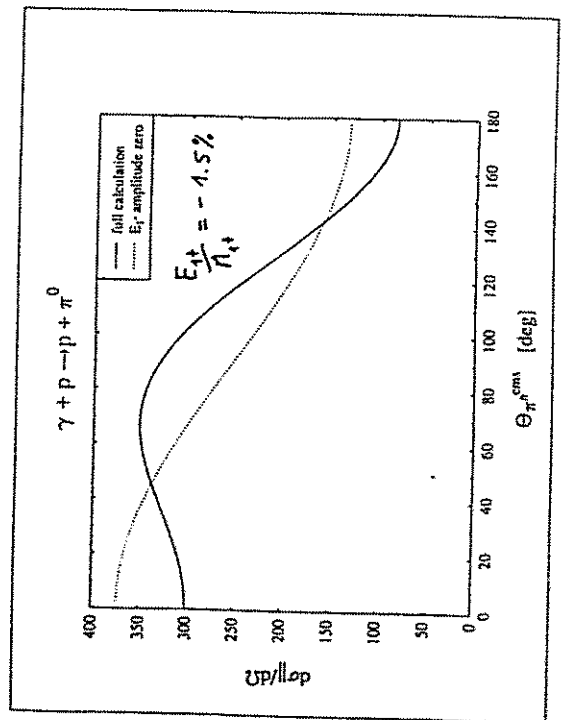
$$\frac{d\sigma^\perp}{d\Omega} = \frac{q}{k} \{ A_\perp + B_\perp \cos \theta + C_\perp \cos^2 \theta \}$$

$$\frac{d\sigma^\parallel}{d\Omega} = \frac{q}{k} \{ A_\parallel + B_\parallel \cos \theta + C_\parallel \cos^2 \theta \}$$

$$C_\parallel = 12 \operatorname{Re} \{ E_{1+} (N_{1+} - N_{1-})^* \}$$

$$\frac{C_\parallel}{A_\parallel} = \frac{12 \operatorname{Re} \{ E_{1+} (N_{1+} - N_{1-})^* \}}{|N_{1+} - N_{1-}|^2}$$

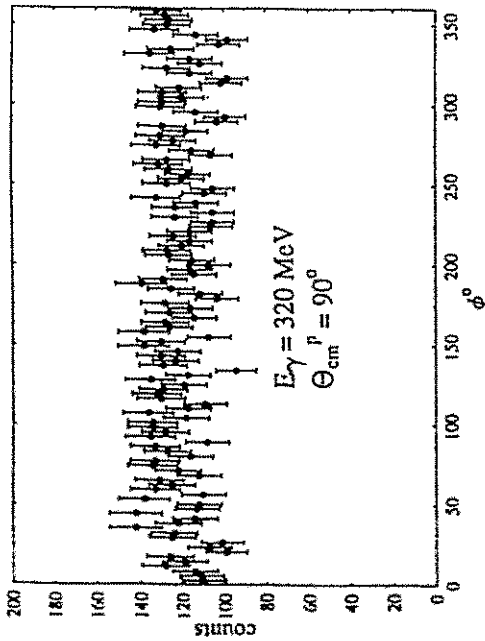
Empfindlichkeit



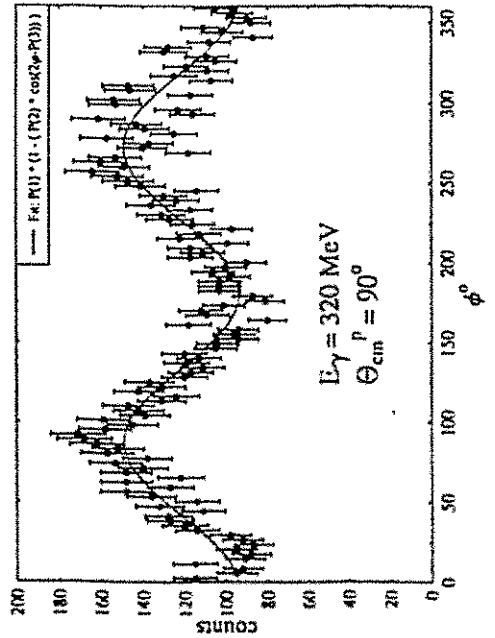


# Asymmetrie

Asymmetric unpolarisiert



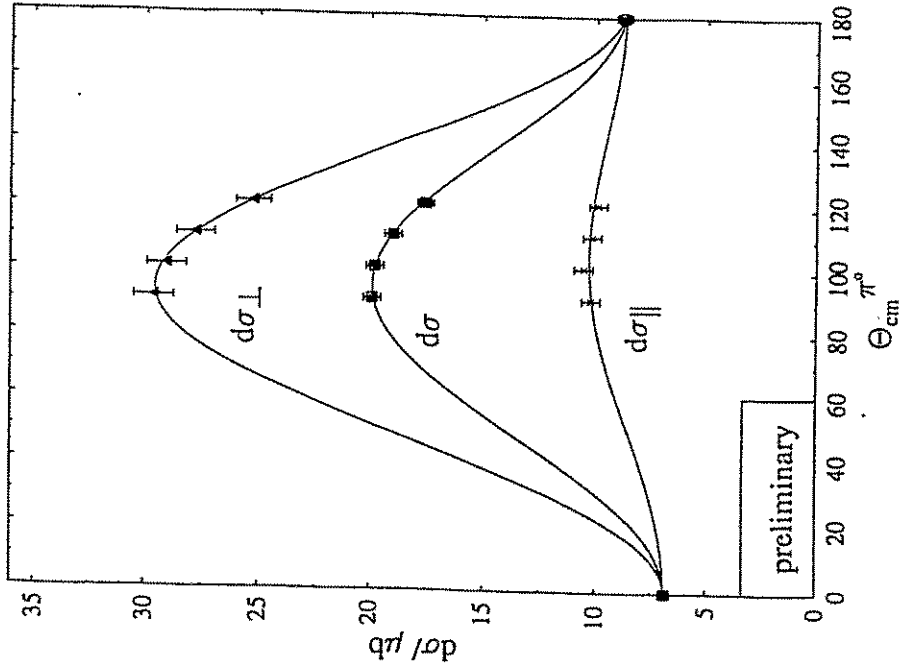
Asymmetric polarisiert



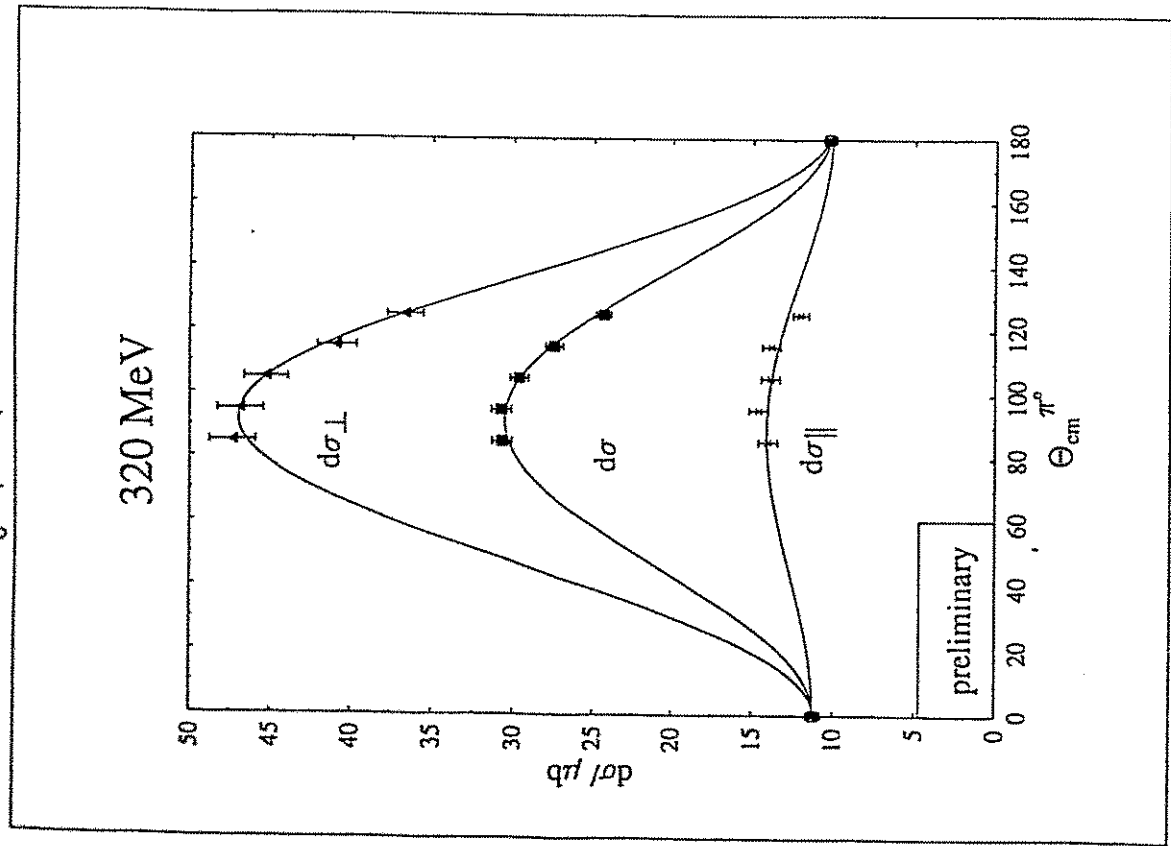
Wirkungsquerschnitt  
 $\vec{\gamma} + p \rightarrow p + \pi^0$

Kurve:  $\frac{d\sigma}{d\Omega} = \frac{1}{k} \{ A + B \cos\theta + C \cos^2\theta \}$

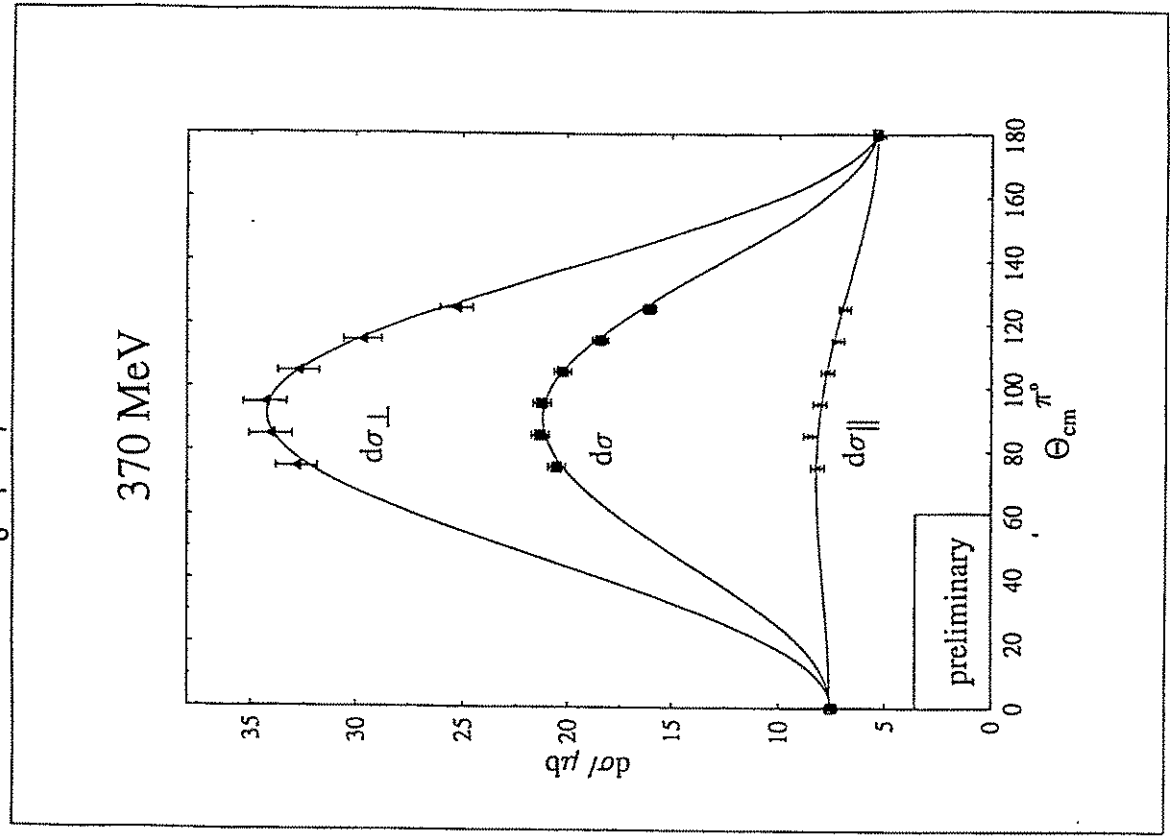
280 MeV



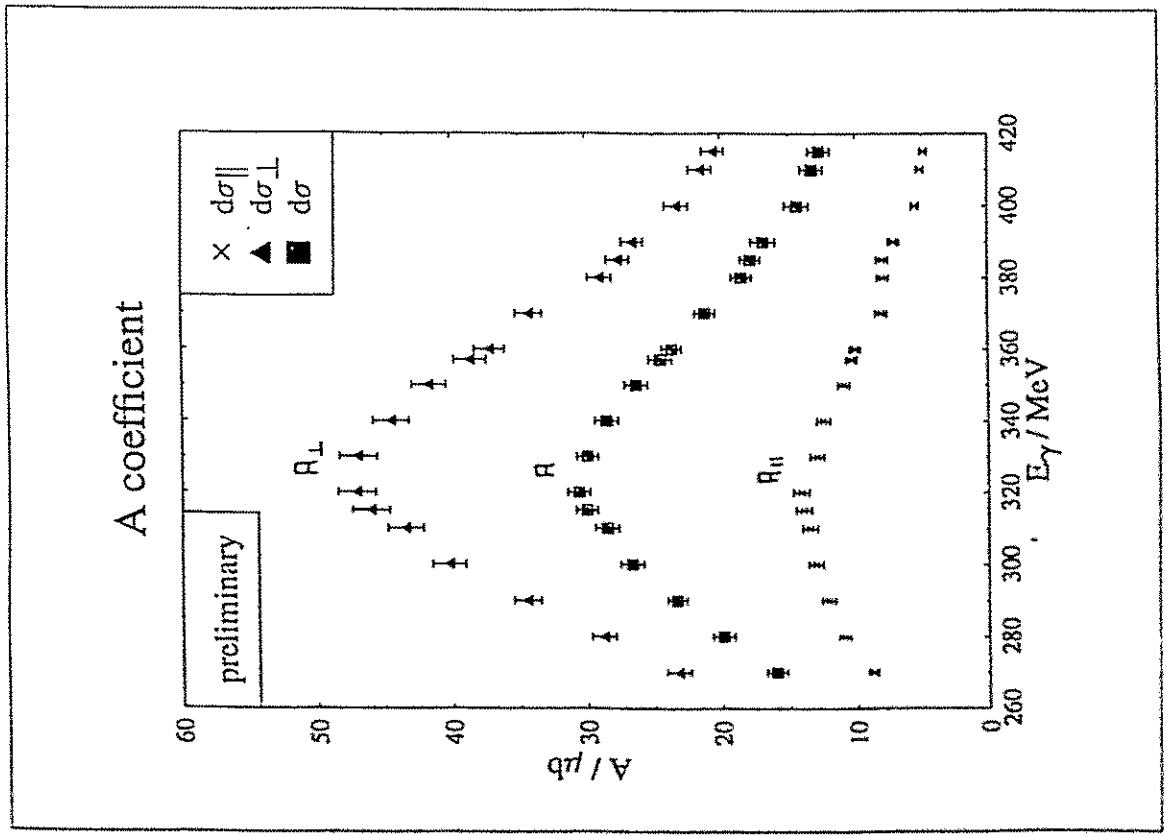
Wirkungsquerschnitt  
 $\bar{\gamma} + p \rightarrow p + \pi^0$



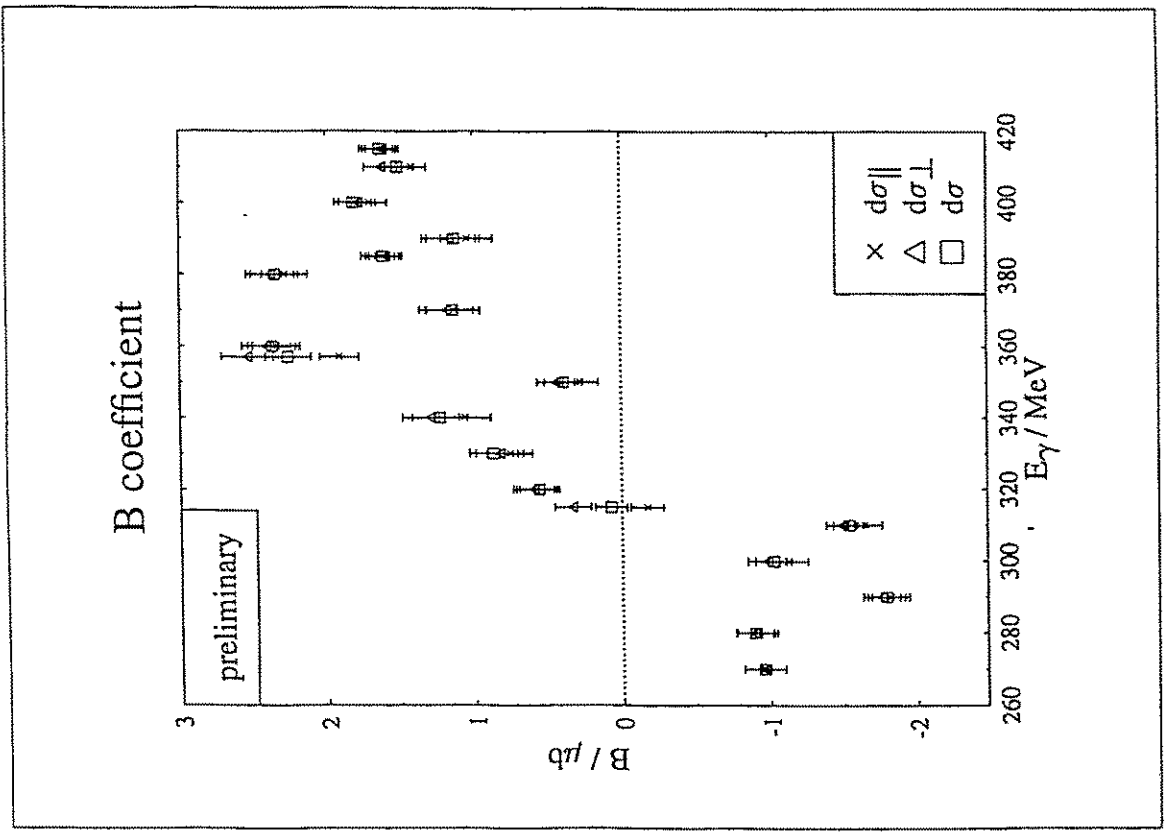
Wirkungsquerschnitt  
 $\bar{\gamma} + p \rightarrow p + \pi^0$



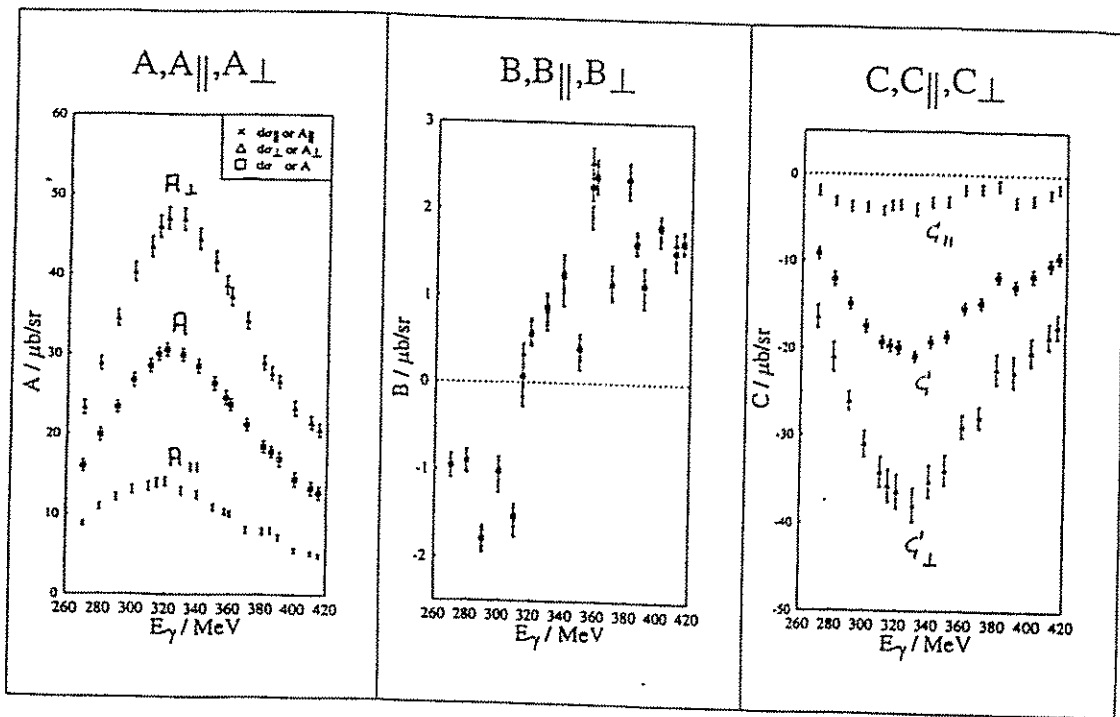
$$\frac{d\sigma}{d\Omega} = \frac{1}{k} \{ A + B \cos \theta + C \cos^2 \theta \}$$



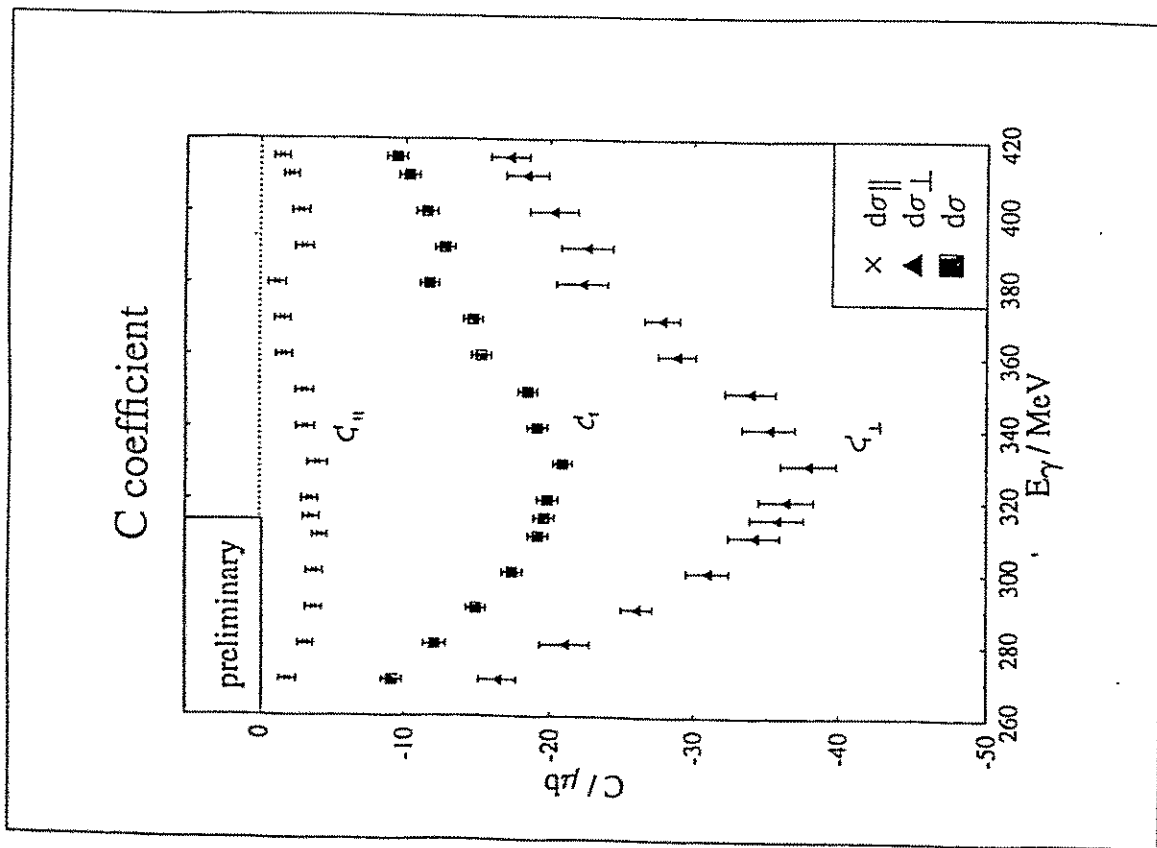
$$\frac{d\sigma}{d\Omega} = \frac{1}{k} \{ A + B \cos \theta + C \cos^2 \theta \}$$



$$\frac{d\sigma}{d\Omega} = \frac{\gamma}{k} \{ A + B \cos \theta + C \cos^2 \theta \}$$

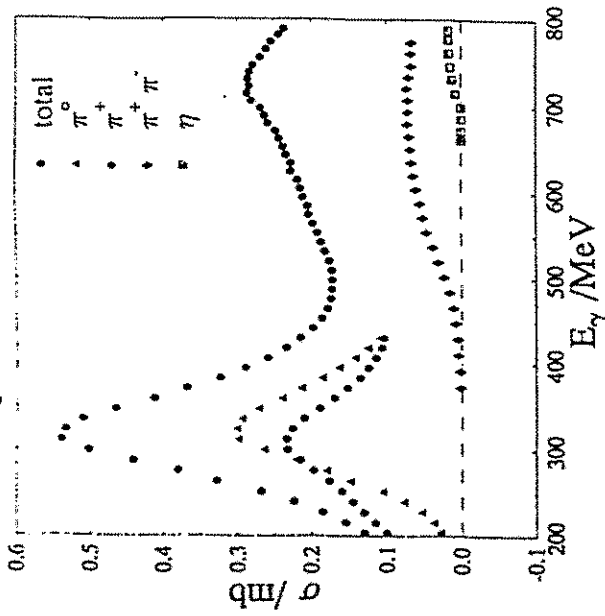


$$\frac{d\sigma}{d\Omega} = \frac{\gamma}{k} \{ A + B \cos \theta + C \cos^2 \theta \}$$



## Zusammenfassung und Ausblick

in RZ gemessene totale MG's an Proton



- Compton Spektrometer mit großem Akzeptanz  
 $20^\circ < \theta < 160^\circ$
- zirkular und linear polarisierte Photonen
- polarisierte Targets (Dauw)
- Doppel polarisationsexperimente  
z.B. : DHG - Summenregel

Messung des elektrischen Formfaktors des  
Neutrons  
(MAMI)

Erste Ergebnisse von den Experimenten  
am Mainzer Mikrotron  
(A3-Kollaboration)

H. Schmieden  
Mainz

5. Oktober 1994

# Messung des elektrischen Formfaktors des Neutrons

Erste Ergebnisse von den Experimenten am Mainzer Mikrotron

MAMI

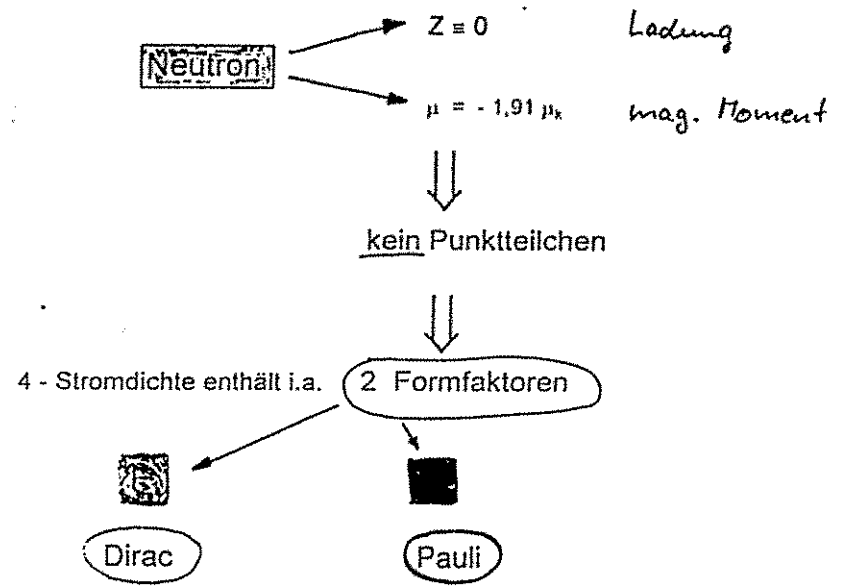
H. Schmieden für die

A3 - Kollaboration

Institut für Kernphysik, Universität Mainz  
 Institut für Physik, Universität Mainz  
 Physikalisches Institut, Universität Tübingen  
 Department of Physics and Astronomy, University of Glasgow  
 Ecole Normale Supérieure, Paris

Übersicht:

1. Einführung und Motivation
2. Experimentelle Methoden
  - 2.1 quasifrei an Deuterium
  - 2.2 elastisch an Deuterium
  - 2.3 Polarisierungsexperimente
3. A3 - Experimente, erste Ergebnisse
  - 3.1  $^2D(\vec{e}, e' \vec{n})$
  - 3.2  $^3He(\vec{e}, e' n)$
4. Zusammenfassung und Ausblick



$$\left. \begin{aligned} G_M(Q^2) &= F_1(Q^2) + \kappa F_2(Q^2) \\ G_E(Q^2) &= F_1(Q^2) - \tau \kappa F_2(Q^2); \tau = Q^2/4M^2 \end{aligned} \right\} \text{ Sachs-FF}$$

$$\left. \begin{aligned} \mu_N \leftarrow G_M \\ Q^2 \rightarrow 0 \end{aligned} \right\} \xleftrightarrow{\text{F.T.}} \left\{ \begin{aligned} \rho_M(r) \\ \rho_E(r) \end{aligned} \right. \text{ Breit-System}$$

$Q^2 \rightarrow |\vec{q}|^2$

$$G_{E,D} = \left(1 + \frac{Q^2}{0.71 \text{ GeV}^2}\right)^{-1} = G_D \quad \text{Dipolverlauf}$$

$$G_{M,D} = \mu_p G_D \quad G_{M,n} = \mu_n G_D \quad G_{E,n} = -\tau G_{M,n}$$

$$\frac{-a \tau G_{M,n}}{1 + b \tau}$$

Ausdehnung  $\xrightarrow{Q^2 \rightarrow 0}$  endlicher Ladungsradius

$$\frac{dG_E}{dQ^2} \Big|_{Q^2=0} = 0 - \frac{1}{6} \langle r^2 \rangle + \dots = \frac{dF_2}{dQ^2} \Big|_{Q^2=0} - \frac{e}{4\pi^2} F_2(0)$$

$$\langle r^2 \rangle = -6 \frac{dG_E}{dQ^2} \Big|_{Q^2=0} = -6 \left\{ \frac{dF_2}{dQ^2} \Big|_{Q^2=0} - \frac{e}{4\pi^2} \right\}$$

$$= \frac{3\hbar c}{\alpha M_n c^2} \cdot b_{ne} = \frac{3\hbar c}{\alpha M_n c^2} \left\{ a_D + a_F \right\} \quad -1468 \text{ mfm}$$

Kohärente n-Atom Streuung  
 • kein magnetisches Moment  
 •  $E_n < 150 \text{ eV}$

$$\sigma_{\text{abs}}(E) = (f_{\text{kern}} + f_{\text{res}} + f_{\text{ne}} + f_{\text{pot}})^2 + \text{Korrekturen}$$

Interferenzterm

$$\propto Z b_{ne} [1 - F_A(E)]$$

atomarer Formfaktor

$$\rightarrow 1 - 0.01 \quad (E = 0 - 150 \text{ eV})$$

$\Rightarrow$  Separation des Terms  $\propto b_{ne}$  über Energieabhängigkeit

H. Leeb & C. Teichtmeister PR C48(1993)1719

TABLE I. List of the best experimental values of the neutron-electron scattering length  $b_{ne}$ .

Authors	Reference	Year	$b_{ne}$ (fm)	$a_D$ [mfm]
Hughes et al.	[1]	1953	$(-1.39 \pm 0.13) \times 10^{-3}$	+ 0,17
Melkonian et al.	[2]	1959	$(-1.36 \pm 0.03) \times 10^{-3}$	+ 0,15
Krohn and Ringo	[3]	1973	$(-1.30 \pm 0.03) \times 10^{-3}$	- 0,13
Noester et al.	[4-6]	1973-1988	$(-1.32 \pm 0.04) \times 10^{-3}$	+ 0,08
Alexandrov et al.	[7,8]	1975-1985	$(-1.60 \pm 0.05) \times 10^{-3}$	
Alexandrov et al.	[9-11]	1983-1989	$(-1.35 \pm 0.11) \times 10^{-3}$	
Šopecky et al.	[25]	1992	$(-1.39 \pm 0.04) \times 10^{-3}$	

1)  $a_F$  bestimmt praktisch  $b_{ne}$

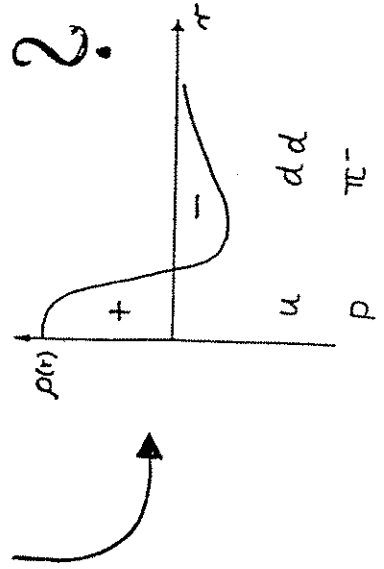
$$a_D \approx 0 \Rightarrow F_1 \approx 0$$

$Q^2$  klein

2) Vorzeichen des intrinsischen  $\langle r_n^2 \rangle$

(?)

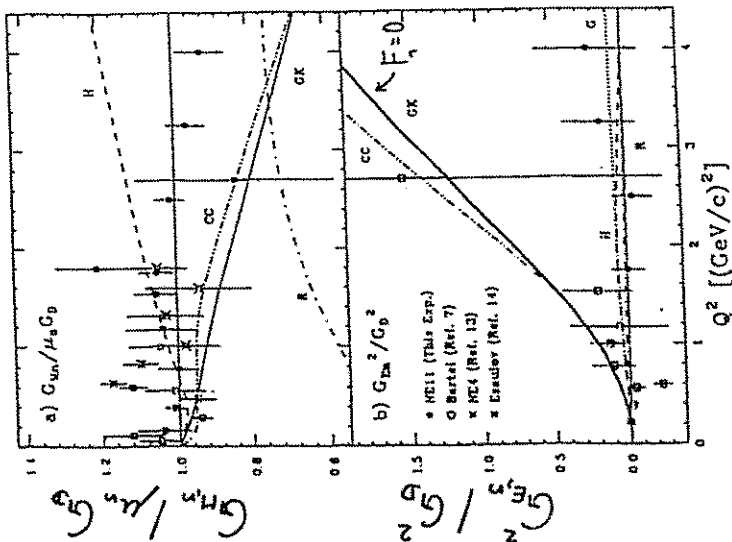
statisches Neutronmodell:





hoher Impulsübertrag  $Q^2 \leq 4 \text{ GeV}^2$ : SLAC - Daten  ${}^2\mathcal{D}(e, e')$   
 L/T Sep.

A. Lung et al., Phys.Rev.Lett. 70 (1993) 718



$\tau \ll F_2 \approx F_1 \neq 0$

- $G_{E,n} = F_1 - \tau \ll F_2 \approx 0 \implies F_1 \approx F_2$
- FF - Modelle ausgeschlossen
- Mittlere Impulsüberträge ?
- $F_1 \approx 0$  bei  $Q^2 = 0 \implies F_1 \approx F_2$

**2.2 Experimentelle Methoden zur Bestimmung von  $G_M^2$**

(mittlere  $Q^2$ )

- kein freies n - Target  $\implies$  Deuterium

**2.3 Quasifreie Streuung an Deuterium**

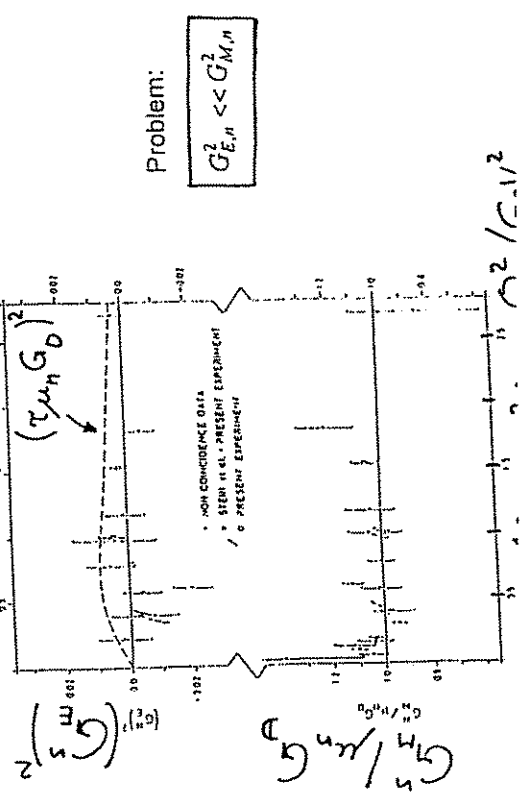
Wirkungsschnitt für elastische Elektronstreuung am ausgedehnten Spin 1/2 - Objekt :

$$\frac{d\sigma}{d\Omega} = \left(\frac{d\sigma}{d\Omega}\right)_{\text{Mott}} \cdot \left[ \frac{G_E^2 + \tau G_M^2 + 2\tau G_M^2 \tan^2\left(\frac{\theta}{2}\right)}{1 + \tau} \right]$$

Rosenbluth

$\implies$  Separation von  $G_E^2$  und  $G_M^2$  über Winkelabhängigkeit

Bartel et al., Nucl. Phys. B58 (1973) 429 D (e, e' n)



**2.2.3 Elastische Streuung an Deuterium**

Wirkungsquerschnitt für elastische Elektronstreuung an einem Spin 1 - Objekt :

$$\frac{d\sigma}{d\Omega} = \left(\frac{d\sigma}{d\Omega}\right)_{Mott} \cdot \left[ A + B \cdot \tan^2\left(\frac{\theta}{2}\right) \right]$$

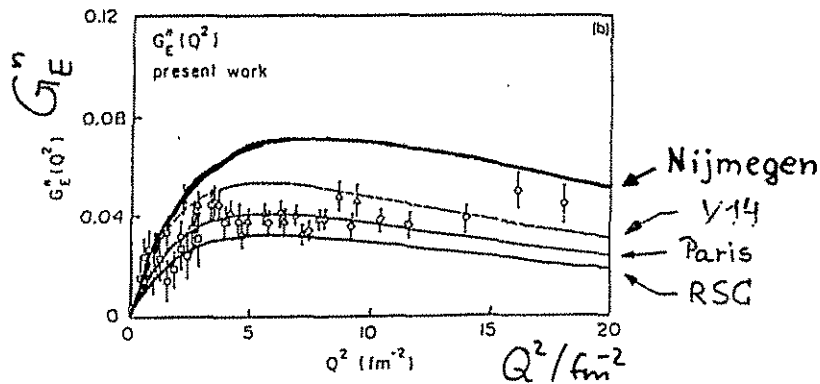
A(Q<sup>2</sup>) und B(Q<sup>2</sup>) enthalten Deuteron-Formfaktoren

$$A(Q^2) = G_{0,Deut}^2 + \frac{8}{9} \tau^2 G_{2,Deut}^2 + \frac{2}{3} \tau G_{1,Deut}^2$$

$$G_{0,Deut} \propto (G_{E,p} + G_{E,n}) \cdot C_E$$

$$G_{2,Deut} \propto (G_{E,p} + G_{E,n}) \cdot C_Q$$

Modell ! Entfaltung der Wellenfunktion  
 $G_{E,p} \cdot G_{E,n}$  **Interferenztterm**



S. Platchkov et al.  
 Nucl. Phys. A510 (1990) 740

**2.3.3 Polarisationsexperimente**

Streuung polarisierter Elektronen am freien Neutron :  $n(\vec{e}, e) \vec{n}$

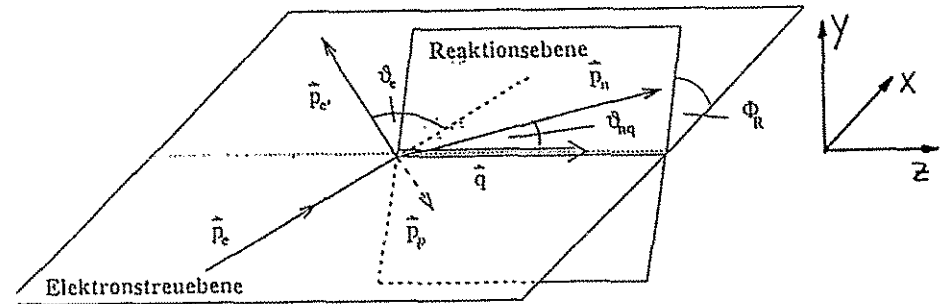
$$p_x = -p_e \frac{2\sqrt{\tau(1+\tau)} \cdot \tan \frac{\theta}{2} \cdot G_{M,n} \cdot G_{E,n}}{G_{E,n}^2 + \tau G_{M,n}^2 [1 + 2(1+\tau) \tan^2 \frac{\theta}{2}]} = \frac{a \cdot G_{M,n} \cdot G_{E,n}}{G_{E,n}^2 + c G_{M,n}^2} \sim \frac{G_{E,n}}{G_{M,n}}$$

$$p_y = 0$$

$$p_z = p_e \frac{2\tau \sqrt{1+\tau + (1+\tau)^2 \tan^2 \frac{\theta}{2}} \tan \frac{\theta}{2} \cdot G_{M,n}^2}{G_{E,n}^2 + \tau G_{M,n}^2 [1 + 2(1+\tau) \tan^2 \frac{\theta}{2}]} = \frac{b \cdot G_{M,n}^2}{G_{E,n}^2 + c G_{M,n}^2} \sim \text{konst.}$$

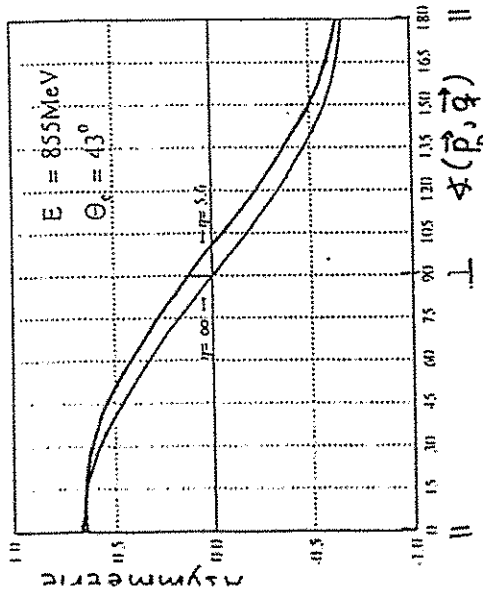
Komponenten der n-Polarisation

Arnold, Carlson und Gross; Phys. Rev. C23 (1981) 363



äquivalent:  $\bar{n}(\bar{e}, e')$   $\Rightarrow$  WQ - Asymmetrie

allgemein: 
$$\varepsilon = -P_e \frac{a \cdot G_{E,n} \cdot G_{M,n} \cdot p_x + b \cdot G_{M,n}^2 \cdot P_z}{G_{E,n}^2 + c \cdot G_{M,n}^2}$$



$\Rightarrow$  Empfindlichkeit auf  $G_{E,n}$

$$G_{E,n} = -\frac{\mu_n \cdot \tau}{1 + 5,6 \cdot \tau} G_D$$

$$G_{E,n} \approx 0$$

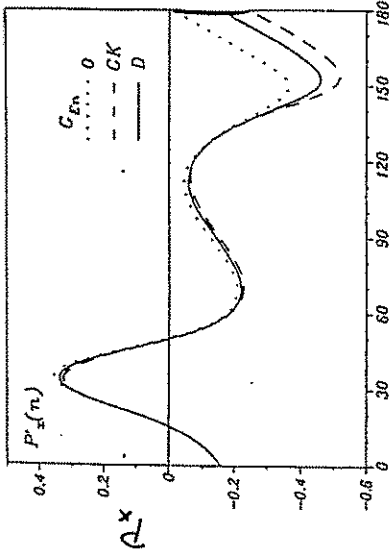
quasifreie Streuung

freies durch gebundenes n ersetzen  $\Rightarrow$

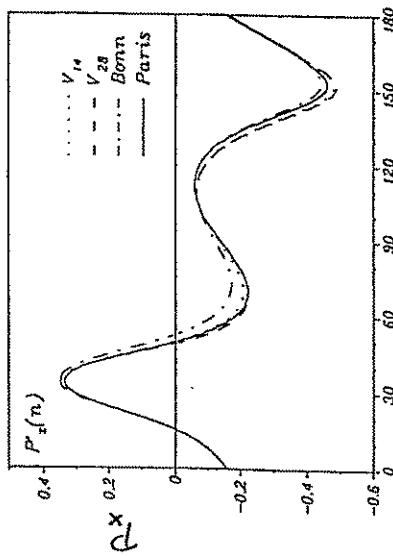
- ${}^2D(\bar{e}, e' \bar{n})$  und  ${}^3\bar{He}(\bar{e}, e' n)$
- Vorsicht bei  ${}^3\bar{He}(\bar{e}, e')$  quasifrei inklusiv:
- möglicher Einfluss von Kernbindungseffekten

Schulze und Sauer, Phys. Rev. C48 (1993) 38

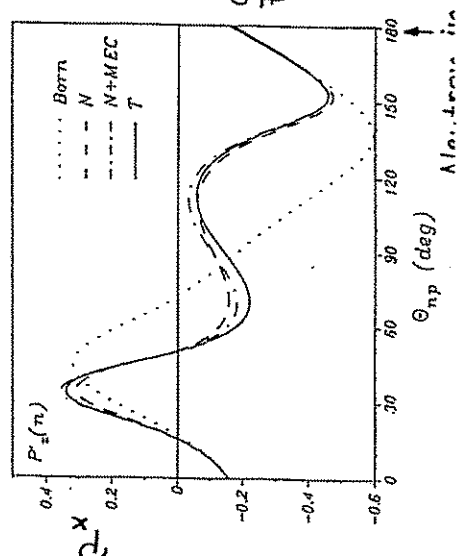
$Q^2 = 12 \text{ fm}^{-2}$



Empfindlich auf  $G_E^n$

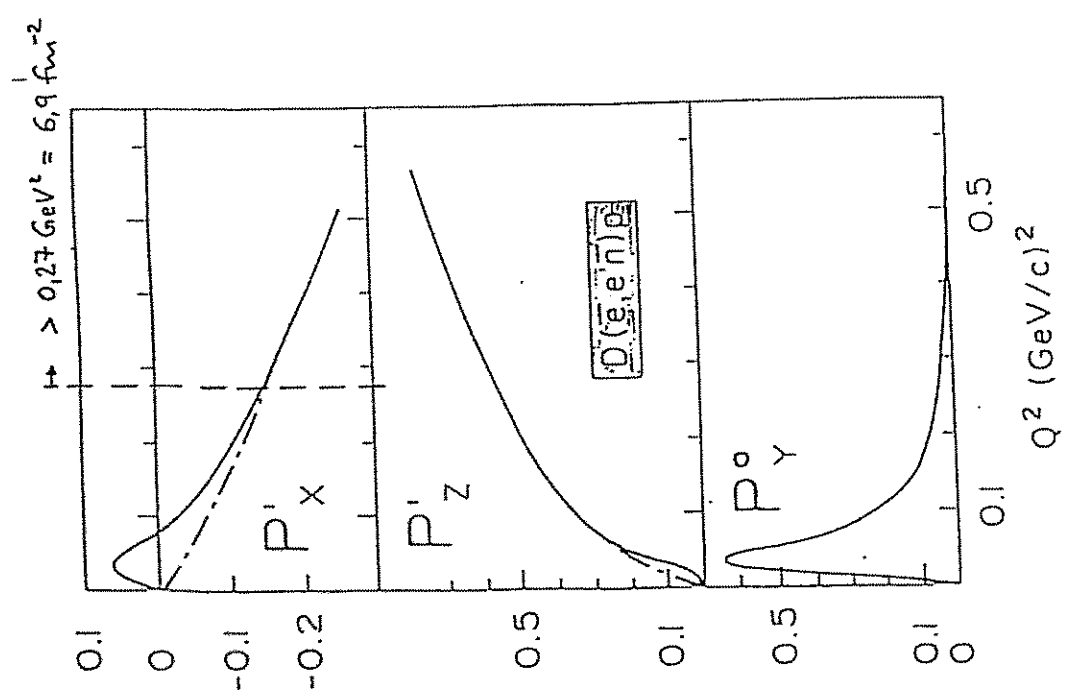
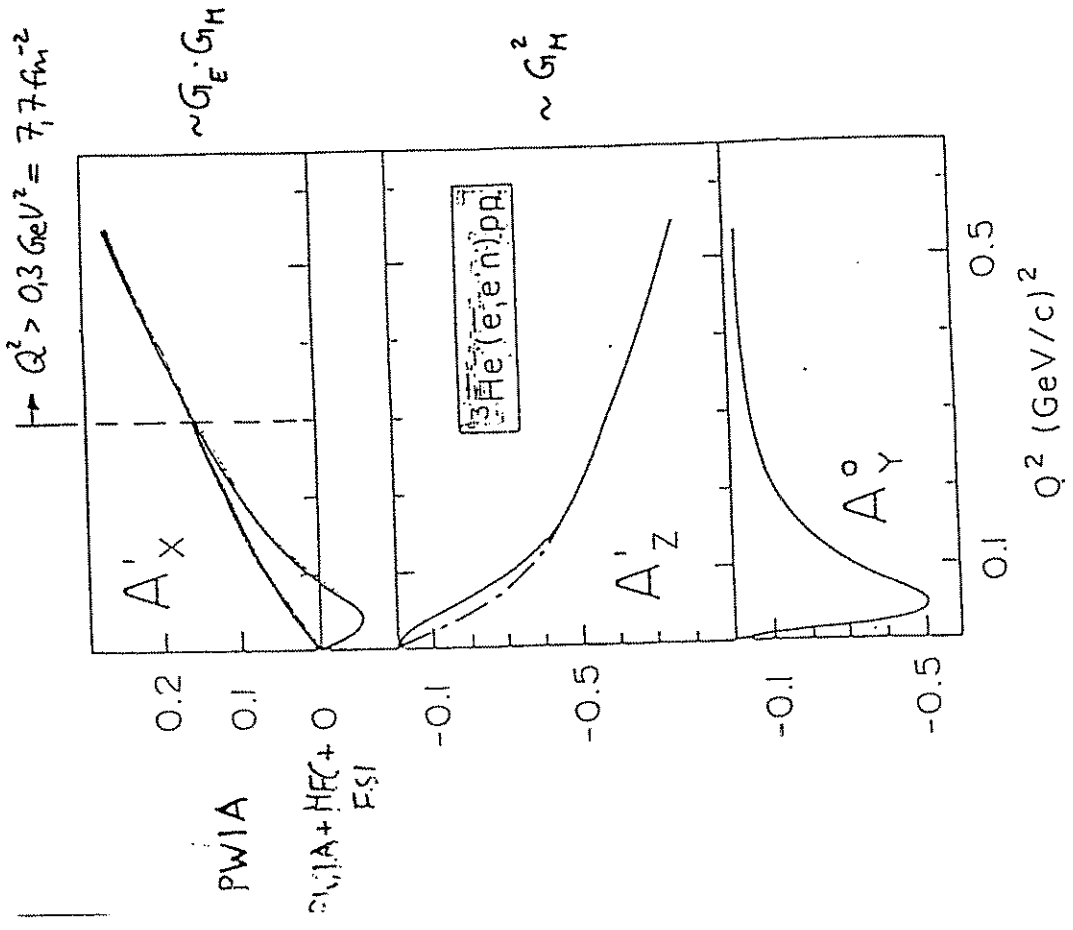


Unempf. auf Potential



Unempf. auf subtile Freiheitsgrad

H. Arzhavov, Leidemann, Tomasiak, Z. Phys. A 337 (1988) 123  
 H. Arzhavov, Phys. Lett. B 199 (1987) 13



J. M. Laget, Phys. Lett. B273 (1991) 367

J. M. Laget, Phys. Lett. B273 (1991) 367



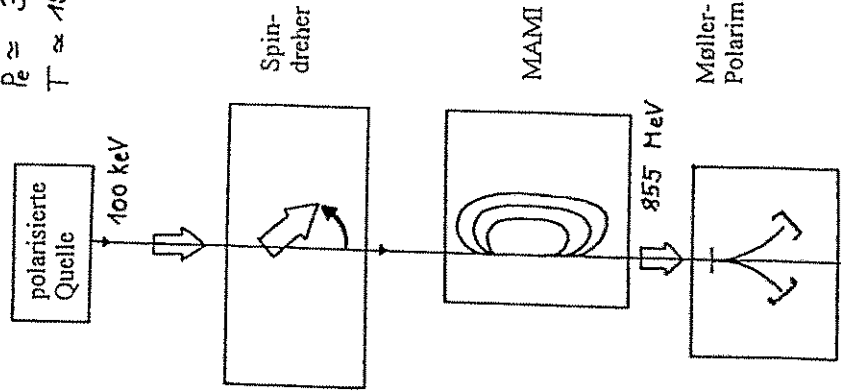
Komponenten für polarisierten Strahl

Dr.-Arbeit  
K. Aulenbacher

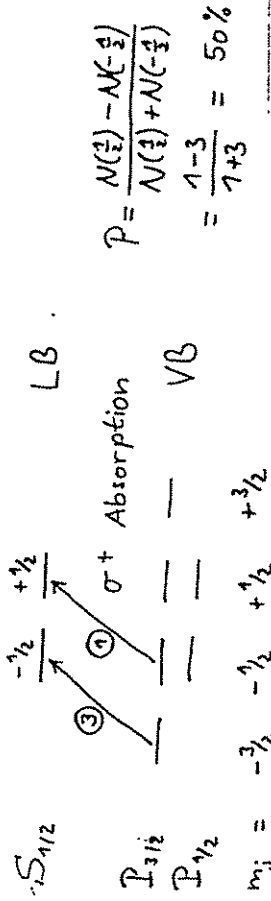
Dr.-Arbeit  
K.-H. Steffens  
NIM A325 (1993) 378

Dr.-Arbeit  
J. Blume-Werry

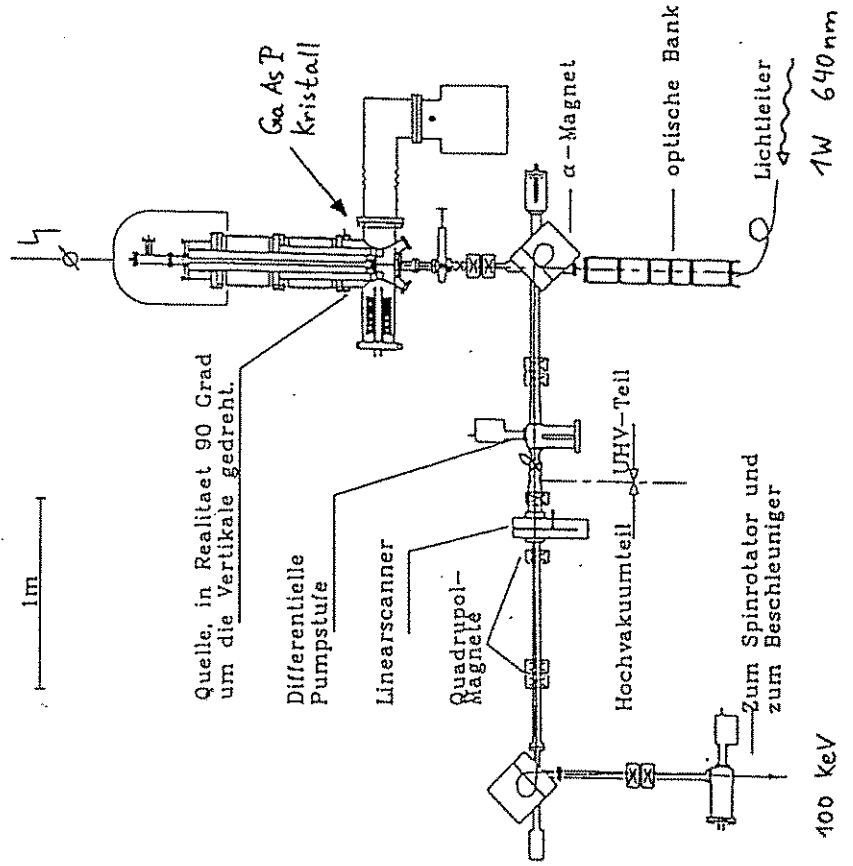
$P_e \approx 34\%$   
 $T \approx 150\text{ h @ } 50\mu\text{A}$



$i = 5 \dots 10 \mu\text{A}$  855 MeV longitudinal pol.



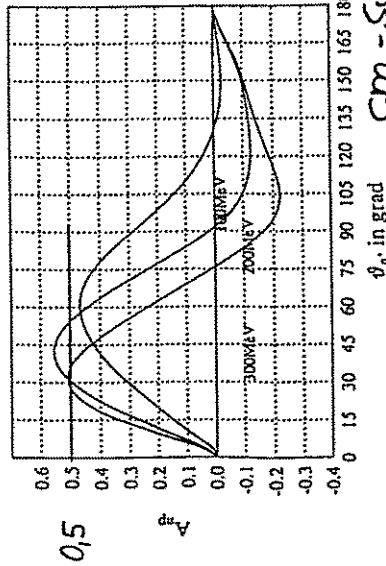
$$P = \frac{N(\frac{1}{2}) - N(-\frac{1}{2})}{N(\frac{1}{2}) + N(-\frac{1}{2})} = \frac{1-3}{1+3} = 50\%$$





$p(\vec{n}, n)$  - Streuung

⇒ Nachweis der n-Polarisation  $p_x$   
 ⊥ zum Impulsübertrag



Analysier-  
 stärke am  
 Proton

cm - System

Asymmetrie :  $\epsilon = \frac{n_0 - n_u}{n_0 + n_u} = p_x \cdot A(\vartheta_n, E_n) \cdot \sin \varphi_n$

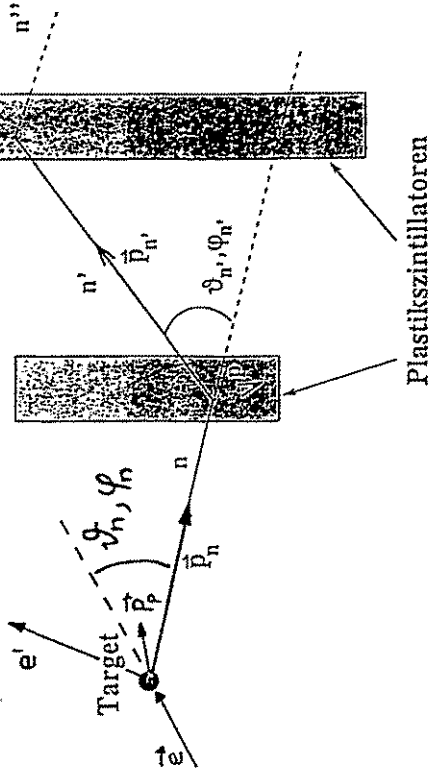


- nutze Protonen  $C_n H_n$  (T. N. Taddeucci et al., NIM A241 (1985) 448)

Vorteil : einfache Vertexbestimmung

Nachteil : "Verdünnung" der Analysierstärke  $A \rightarrow A_{eff}$

⇒ Eichung des Polarimeters erforderlich



- brauche :
- Vertex 1. Wand  $(\vartheta_n, \varphi_n); (\vartheta_n, \varphi_n)$
  - Vertex 2. Wand  $(\vartheta_n, \varphi_n); (\vartheta_n, \varphi_n)$
  - Flugzeit zur 1. Wand  $\rightarrow E_n$
  - $E_{recoil} \rightarrow$  Anreicherung der n-p-Streuung

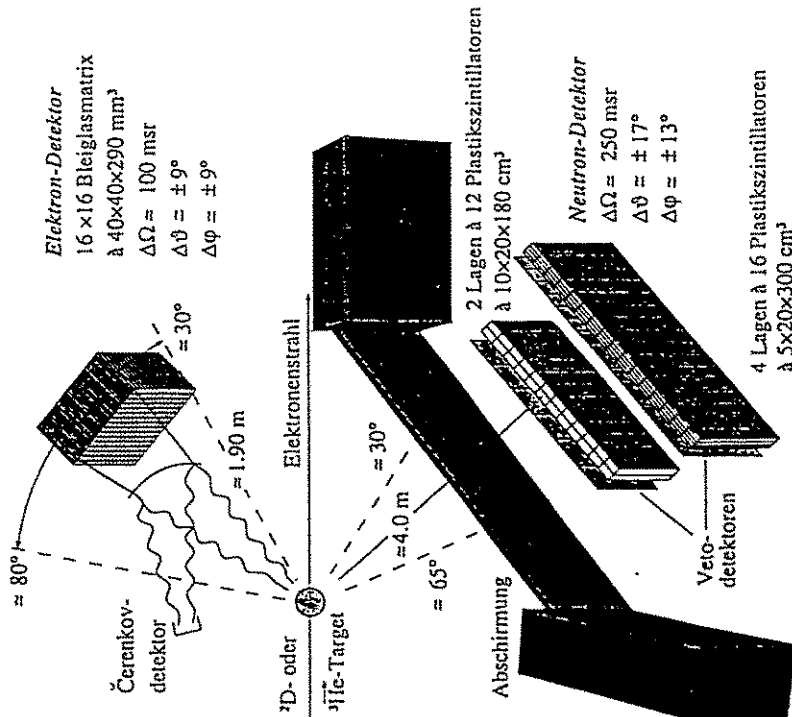
9 Impulskomponenten  
 - 4  $(E, \vec{p})$ -Erhaltung  
 - 5 ⇒ kinematisch vollständig

wähle :

$\vartheta_n, \varphi_n, E_n, \vartheta_n', \varphi_n', E_n'$

↪  $\epsilon$  Kalibrierwert

A3 - Detektoraufbau

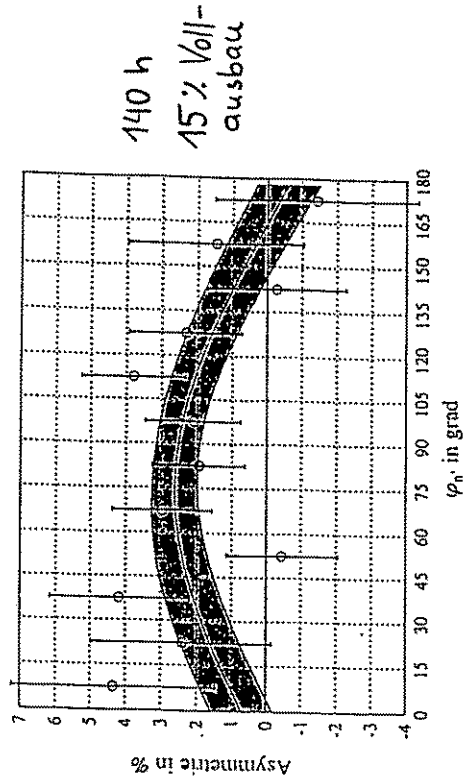


Asymmetrie  $\epsilon = \frac{N_o - N_u}{N_o + N_u} = \frac{N_o^+ - N_o^-}{N_o^+ + N_o^-} = \frac{N_u^- - N_u^+}{N_u^- + N_u^+}$

Redundanz in oben/unten ( $\varphi, \varphi + \pi$ ) und Helizität (+,-)

$\Rightarrow \mathfrak{R} = \sqrt{\frac{N^+(\varphi) \cdot N^-(\varphi + \pi)}{N^-(\varphi) \cdot N^+(\varphi + \pi)}} \Rightarrow \epsilon(\varphi') = \frac{\mathfrak{R} - 1}{\mathfrak{R} + 1}$

Asymmetrie in  $^2D(\vec{\epsilon}, \vec{e}, \vec{\pi})$



Fit:  $\epsilon(\varphi') = \epsilon_x \sin(\varphi') + \epsilon_y \cos(\varphi')$  nach Anreicherung n-p Streuung  
 $\epsilon_x = (0,70 \pm 0,89)\%$   
 $\epsilon_y = (2,53 \pm 0,61)\%$   
 $\Rightarrow P_x = \frac{1}{A_{\text{eff}}} \epsilon_x$

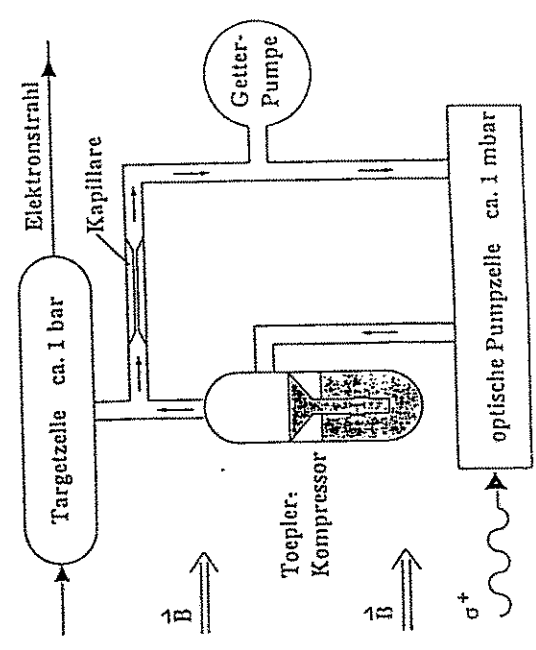
$\text{Ge:n}$  nach ~~Reinigungsanalyse~~

$3.2 \cdot 10^{-3} \text{He}(\bar{\nu}_e, e' n)$

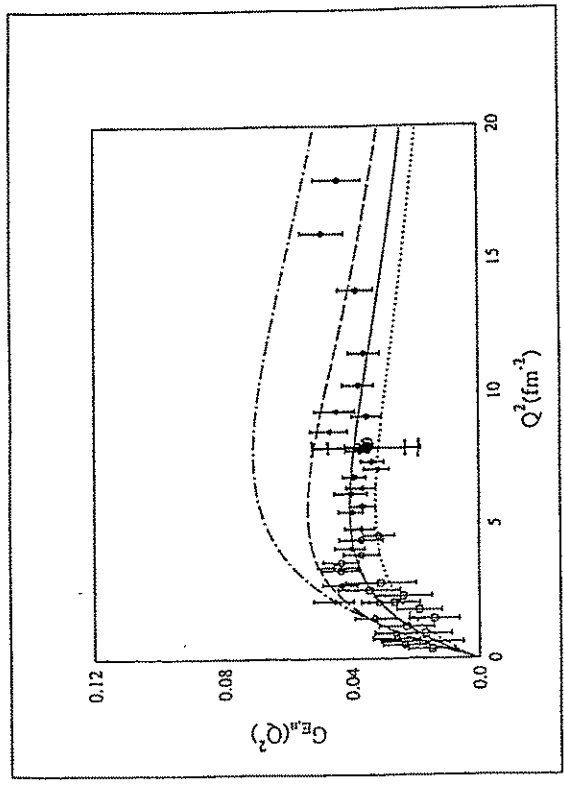
- Polarimeter im reinen Flugzeitmodus
- fokussierender Luft Cerenkov-Detektor  
 $\Rightarrow L_{\text{Target}} = 10 \text{ cm eff.} \rightarrow 2.4 \cdot 10^{20} \text{ cm}^{-2}$
- Verhältnismessung  $\frac{\epsilon_{\nu, n}}{\epsilon_{\nu}} \propto \frac{G_{E, n}}{G_{M, n}} \Rightarrow$  Wegfall syst. Fehler!

Polarisiertes  $^3\text{He}$ -Target

$\bar{p} = 38\% \text{ @ } I = 10 \mu\text{A}$   
 G. Eckert et al.  
 NIM A 320 (1992) 53



Erste-Ergebnisse  
 140 h  
 ~ 15% Vollausbau Detektor



H. Meyerhoff et al. Phys. Lett. B 327 (1994) 20

- $G_{E, n}(Q^2 = 0,31 \text{ GeV}^2) = 0,035 \pm 0,012 \text{ stat} \pm 0,005 \text{ syst}$
- 140 h Strahlzeit @ 10  $\mu\text{A}$  (He) / 4  $\mu\text{A}$  (D)
- $\bar{p}_e = 34\%$
- $^2D(\bar{\nu}_e, e' n)$  mit Annahme  $\frac{G_{E, n}}{G_{M, n}}(Q^2 = 0,3 \text{ GeV}^2) = 0,066 \pm 0,013$   
 $\Rightarrow$

Dr.-Arbeit A. Frey

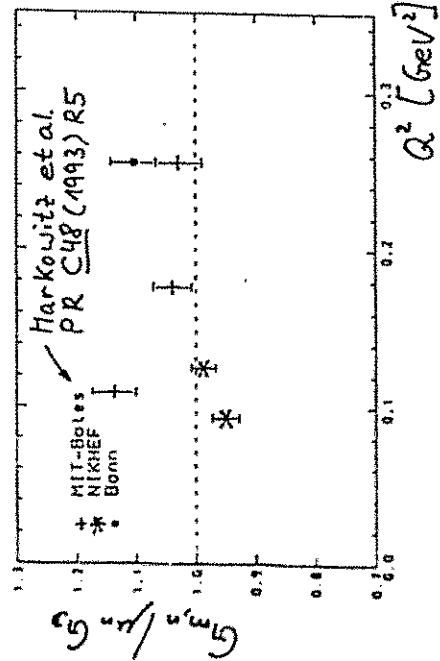


**Zusammenfassung & Ausblick**

- $G_{E,n}$  bis dato unzulänglich bekannt
- mittlere  $Q^2$ :  $G_{E,n}$  aus elastischer  $D(e,e')$  Streuung  $\Rightarrow$  stat. Fehler besser als syst.
- Erste A3 - Ergebnisse von MAMI  $\Rightarrow$  kleine systematische Unsicherheit  $\Rightarrow$  noch schwache Statistik
- Vollausbau Detektor abgeschlossen
- Verbesserung der Statistik in  $D(e,e')$  ab Oktober '94  $\Rightarrow \delta G_{E,n}/G_E < 10\%$
- Installation eines Magneten zur Drehung der  $p_z$ -Komponente  $\Rightarrow p_x/p_z$  - Verhältnismessung in  $D(e,e'p)$
- Beginn Datennahme Anfang 1995

**Statistische Eigenschaften: Formfaktors  $G_{M,n}$**

- Präzise  $G_{M,n}$  - Daten  $\Rightarrow$
- Verhältnismessung  $\frac{G_{E,n}}{G_{M,n}}$
- Bestimmung von  $F_1^n = \frac{G_{E,n} + \tau G_{M,n}}{1 + \tau}$



Aus  
H. Reike,  
Dr.-Arbeit  
BN, 1993

neue Daten: J. Jourdan et al., Phys. Lett. (accepted)  
J. Jourdan et al. Proposal Kollaboration A1 MAMI (1991)

- $D(e,e'n)$  mit -- genauer Kontrolle der n-Ansprechwahrscheinlichkeit
  - -- Verhältnismessung  $R = \frac{D(e,e'n)}{D(e,e'p)}$
- $\Rightarrow G_{M,n}$  mit  $\approx 2\%$  Fehler im Bereich  $Q^2 = 5 \dots 20 \text{ fm}^{-2}$

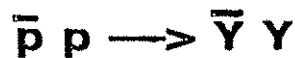
# Strangeness-Produktion am LEAR

H. Schmitt  
Freiburg

5. Oktober 1994

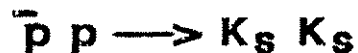
## Strangeness-Produktion am LEAR

### Experiment PS185



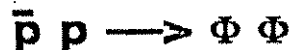
$$Y =: \Lambda, \Sigma^0, \Sigma^\pm$$

von der Schwelle bis 2 GeV/c ...



von 1,3 bis 1,8 GeV/c

### Experiment PS202 (JETSET)



zwischen 1 und 2 GeV/c

## Motivation der Experimente

**QCD:**

Quarks  $\bar{q}, q$

mit Farbladungen

Gluonen  $g$

Hadronen: farbneutrale Zustände

$qqq \quad \bar{q}q$

Aber auch andere ("exotische") Zustände:

$gg \quad ggg \quad \bar{q}qg \quad \bar{q}q\bar{q}q \quad \bar{q}qqqq \quad \text{etc.}$

QCD bei kleinem 4-Impulsübertrag  
nichtperturbativ

→ schwierige mathematische Behandlung  
(Gitterrechnungen)

### Konstituenten Quarkmodell (statisch)

einfach, recht erfolgreich bei Hadronenspektrum

(Massenverhältnisse, magnetische Momente, ...)

### Boson-Austauschmodelle

 (Bonn, Paris, ...)

Gute Beschreibung der N-N-Wechselwirkung  
( $< 300 \text{ MeV}$ )

**Untersuchung geeigneter Prozesse  
bei mittleren Energien**

# PS 185

Beispiel:  $\bar{p} p \rightarrow \bar{\Lambda} \Lambda$

- "flavour" - Erzeugung  $\bar{s} s$  - Paar
- kleiner Wirkungsquerschnitt  
 $\sigma_{\bar{p} p \rightarrow \bar{\Lambda} \Lambda} \leq 10^{-3} \times \sigma_{\bar{p} p \text{-elast; ann}}$
- in Schwellennähe wenige Partialwellen
- hoher Impulstransfer, selbst an der Schwelle  $\approx 600 \text{ MeV}/c$  ( $\approx 3 \text{ fm}^{-1}$ )

—> sind perturbative Näherungen möglich?

—> wie gut beschreiben die Modelle diesen Prozess?

Zwei komplementäre Beschreibungen

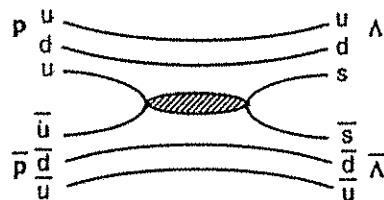
## Quark-Bild

- + fundamental
- sehr schwierig

## Meson-Austausch Bild

- wenig fundamental
- + bewährt bei N-N-Pot. (Bonn, Paris, Nijmegen...)

## Quark-Bild

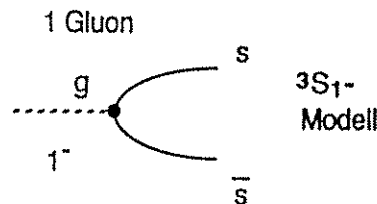


Strangeness - Produktion

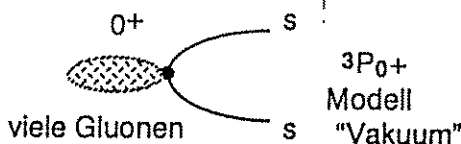
(s - Kanal)

Wie sieht das Übergangspotential  $V_{\text{trans}}$  für den Prozess  $u u \rightarrow s s$  aus?

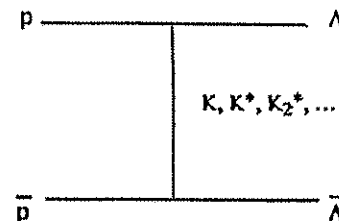
"Hochenergie"-Näherung



"Niederenergie" - Näherung?



## Meson-Austausch Bild



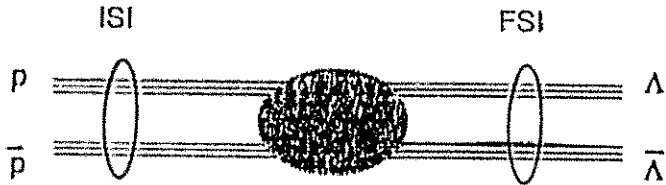
Meson - Austausch

(t - Kanal)

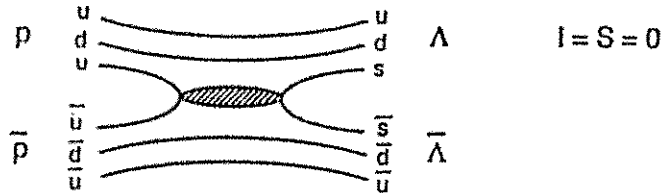
Welche Mesonen sind wichtig?  
Wie sehen die Kopplungen aus?

Bei allen Modellen

Anfangs- und Endzustands-Wechselwirkung



Spectator - Diquark



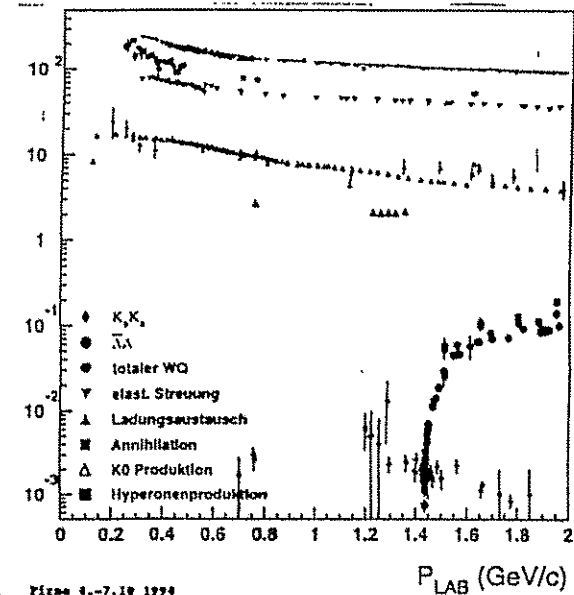
Spinstruktur der Hyperonen →

| Spinstruktur der Quarkpaare

Von PS185 untersuchte Reaktionen

Reaktion	Masse (GeV)	Schwelle (GeV/c)	σt (cm)	Zerfall %
$\bar{p} p \rightarrow \bar{\Lambda} \Lambda$	1,115	1,435	7,89	$p \pi^-$ 64,1 $n \pi^0$ 35,7
$\bar{p} p \rightarrow \bar{\Lambda} \Sigma^0 + cc$	1,189	1,653	2,40	$p \pi^0$ 51,6 $n \pi^+$ 48,3
$\bar{p} p \rightarrow \bar{\Sigma}^+ \Sigma^+$	1,192	1,853	$2 \cdot 10^{-9}$	$\Lambda \gamma$ 100
$\bar{p} p \rightarrow \bar{\Sigma}^- \Sigma^-$	1,197	1,898	4,43	$n \pi^-$ 99,8

Wirkungsquerschnitte  $\approx 10^{-3} - 10^{-5}$   
des totalen  $\bar{p} p$  WQ.

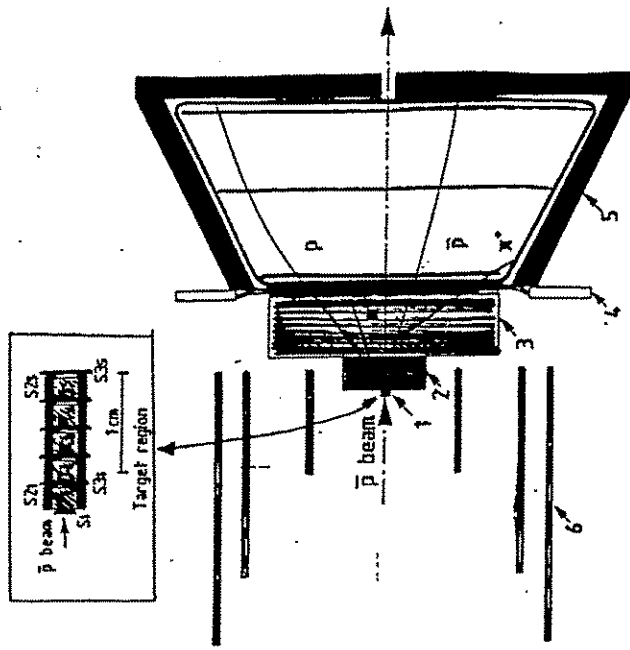


A. Schmitt Pisma 4.-7.10 1974

$P_{LAB}$  (GeV/c)

7

Zerfalls-Baryonen  $pp \rightarrow \bar{\Lambda} \Lambda$  } 42 %  
 -> Vorwärtskonus  $p \pi^+$   
 $n \pi^+$



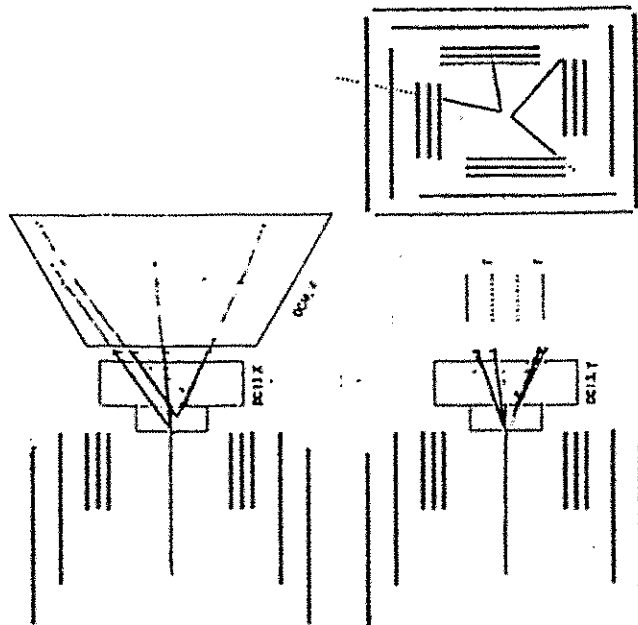
Experimental set-up with : 1 = target, 2 = multiwire proportional chambers, 3 = drift chambers, 4 = scintillator hodoscope, 5 = magnetic solenoid with drift chambers, and 6 = limited streamer tubes.  
 A "perfect event"  $pp \rightarrow \bar{\Lambda} \Lambda \rightarrow p \pi^+ n \pi^+$  is indicated.  
 The target region is given in a magnified view with : T = target cells, and S1, S2, S3 = scintillation counters.

Trigger "Strahl" . "neutral" . "geladen" ( $\Lambda \Lambda, K_S K_S$ )  
 "Strahl" . "geladen" . "dE/dx" ( $\Sigma \Sigma$ )

- P.D. Barreca<sup>1\*</sup>, P. Birien<sup>2</sup>, W.H. Breunlich<sup>3</sup>, W. Dutty<sup>2</sup>, R.A. Eisenstein<sup>4</sup>, G. Ericsson<sup>5</sup>, W. Eyrich<sup>6</sup>, H. Fischer<sup>7</sup>, R. v. Frankenberg<sup>8</sup>, G. Franklin<sup>1</sup>, J. Franz<sup>2</sup>, H. Geyer<sup>3,4\*</sup>, N. Hamann<sup>1,4\*</sup>, D. Hertzog<sup>4</sup>, A. Hofmann<sup>6,4\*</sup>, T. Johansson<sup>5</sup>, K. Kilian<sup>5</sup>, M. Kirsch<sup>4</sup>, R.-A. Kraft<sup>6</sup>, W. Oelert<sup>6</sup>, S. Ohlsson<sup>6\*</sup>, H. Quinn<sup>1</sup>, K. Röhrich<sup>4</sup>, E. Rösle<sup>2</sup>, H. Schliedermann<sup>2</sup>, H. Schmitt<sup>2</sup>, T. Seifick<sup>8</sup>, G. Sehr<sup>8</sup>, J. Seydoux<sup>1</sup>, F. Stinzing<sup>6</sup>, R. Taylor<sup>4</sup>, R. Todenhagen<sup>2</sup> and M. Ziolkowski<sup>5,4</sup>

<sup>1</sup> Carnegie Mellon University, Pittsburgh, PA 15213, USA  
<sup>2</sup> Universität Freiburg, Fakultät für Physik, 79104 Freiburg, Germany  
<sup>3</sup> Institut für Mittelenergiephysik der ÖAW, A-1090 Vienna, Austria  
<sup>4</sup> University of Illinois at Urbana-Champaign, Urbana, IL 61801, USA  
<sup>5</sup> Uppsala University, S-75121 Uppsala, Sweden  
<sup>6</sup> Universität Erlangen-Nürnberg, Physikalisches Institut, 91058 Erlangen, Germany  
<sup>7</sup> CERN, PPE Division, CH-1211 Geneva, Switzerland  
<sup>8</sup> Institut für Kernphysik der KFA, 52428 Jülich, Germany

# Ein typisches $\bar{\Lambda} \Lambda$ - Ereignis



# Meßgrößen

$\bar{\Lambda} \Lambda$  :

differentielle W.Q.  $d\alpha/d\Omega$   
 Integrierte W.Q.  $\sigma = \int d\alpha/d\Omega$

Polarisation P  
 Spinkorrelationen  $C_{ij}$

Hyperonen sind selbstanalysierend durch Paritätsverletzung beim schwachen Zerfall:

$$I(\beta) = I_0 (1 - \alpha P_\Lambda \cos(\beta))$$

$$\alpha = 0,64$$

$$(\bar{\Lambda} \Sigma^0 + \bar{\Sigma}^0 \Lambda) \Sigma^0 \rightarrow \Lambda \gamma :$$

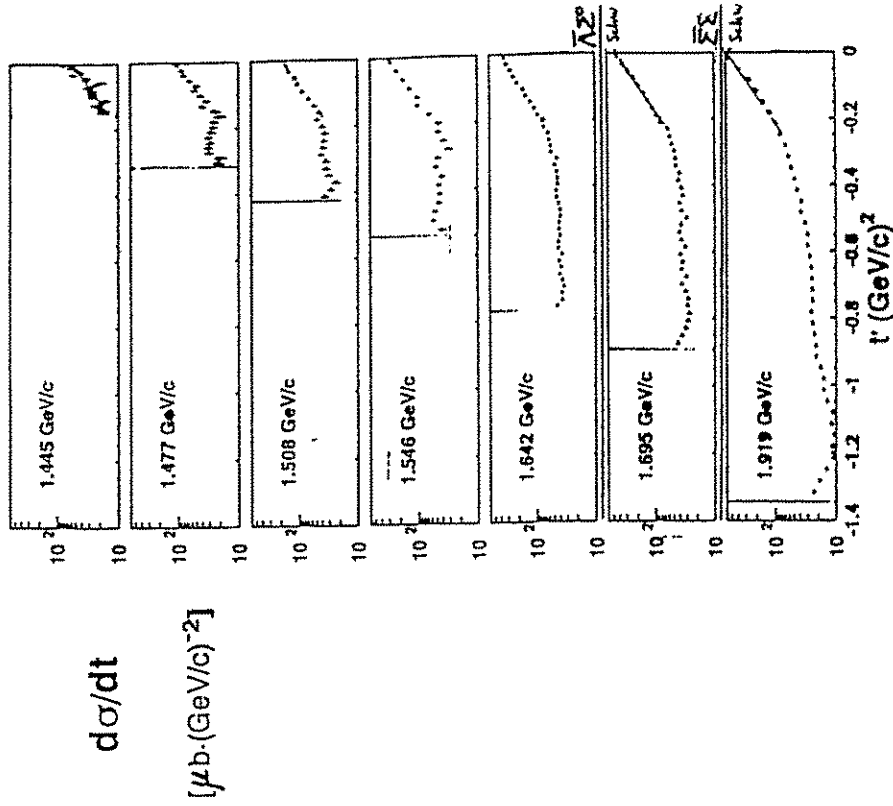
gemessen:  $d\alpha/d\Omega$ ,  $\sigma = \int d\alpha/d\Omega$ , P

$$P_\Sigma = 3 P_\Lambda$$

$$\bar{\Sigma}^+ \Sigma^+ \quad \bar{\Sigma}^- \Sigma^-$$

$$d\alpha/d\Omega, \quad \sigma = \int d\alpha/d\Omega, \quad \sigma_{\Sigma^+} / \sigma_{\Sigma^-}$$

# Diff. Wirkungsquerschnitte $\bar{\Lambda}\Lambda$



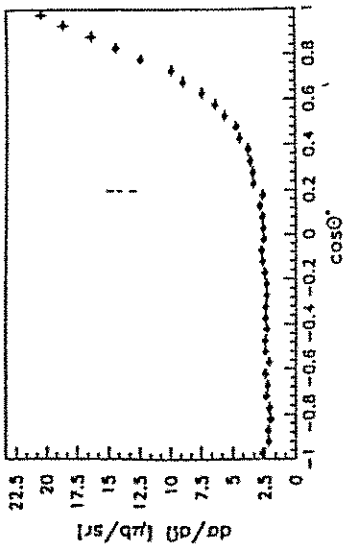
$d\sigma/dt$   
[ $\mu\text{b}\cdot(\text{GeV}/c)^{-2}$ ]

$$t' = t - t_{\text{min}} \propto \cos\theta$$

Für  $|t'| < 0,15 (\text{GeV}/c)^{-2}$ :  $d\sigma/d\Omega \propto e^{-bt'}$ ,

mit  $b = 8,85 (\text{GeV}/c)^{-2}$

## $d\sigma/d\Omega (\bar{\Lambda}\Lambda)$



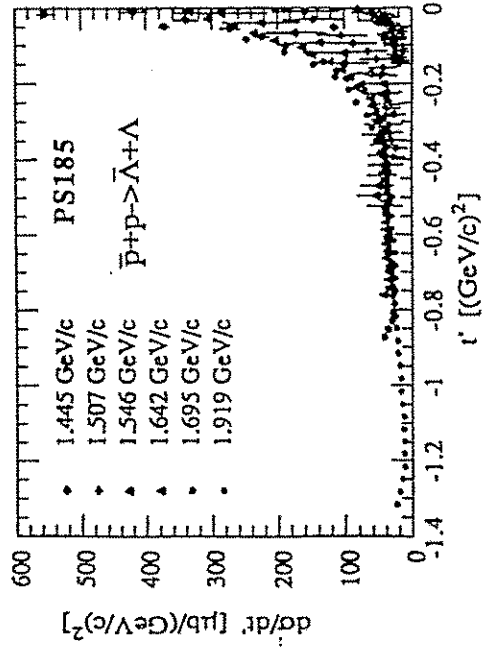
$p_{\text{lab}} = 1,642 \text{ GeV}/c$

$\epsilon = 72,9 \text{ MeV}$

$\epsilon = \sqrt{s} - 2 \cdot m_{\Lambda}$  Relativenergie im  $\bar{\Lambda}\Lambda$  cm-System

$$t' = t - t_0 = 1/2 \cdot \sqrt{(s - 4 \cdot m_p^2)(s - 4 \cdot m_{\Lambda}^2)} (1 - \cos\theta)$$

## 4 - Impulsübertrag



PS185

$\bar{p} + p \rightarrow \bar{\Lambda} + \Lambda$

1.445 GeV/c

1.507 GeV/c

1.546 GeV/c

1.642 GeV/c

1.695 GeV/c

1.919 GeV/c

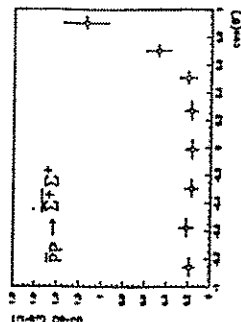
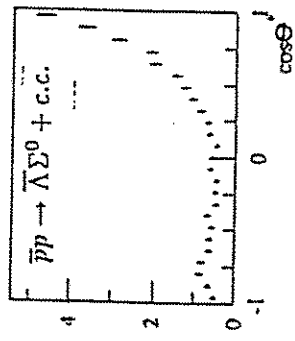
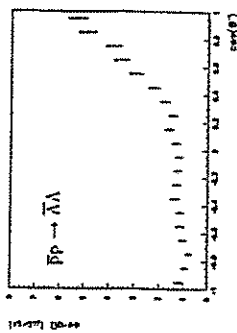
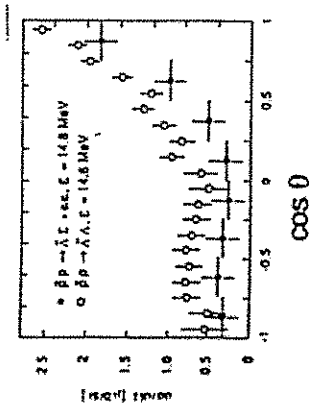
$d\sigma/dt$  [ $\mu\text{b}/(\text{GeV}/c)^2$ ]

$t' [(\text{GeV}/c)^2]$



# Vergleich der Wirkungsquerschnitte

$\bar{\Lambda} \Sigma^0 + \dots$        $\Sigma^+ \Sigma^+$



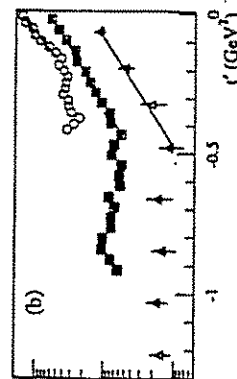
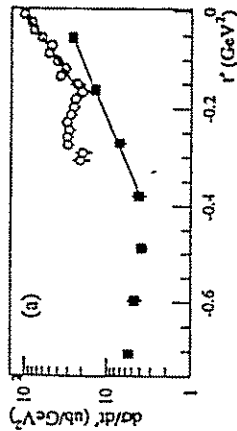
$\epsilon = 14,8 \text{ MeV}$

$\epsilon = 25 \text{ MeV}$

$$\sigma(\bar{\Sigma}^+ \Sigma^+) / \sigma(\bar{\Sigma}^- \Sigma^-) = 2,5 \pm 1,3$$

# Vergleich Vorwärtsanstieg

$\Delta$   $\bar{\Sigma}^+ \Sigma^+$   
 $\blacksquare$   $\bar{\Lambda} \Sigma^0 + \text{c.c.}$   
 $\circ$   $\bar{\Lambda} \Lambda$



$\epsilon = 14,5 \text{ MeV}$

$\epsilon = 24,5 \text{ MeV}$

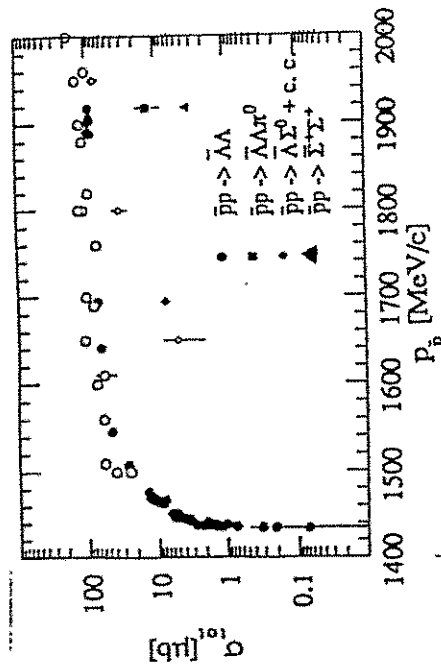
“Streuung an schwarzer Scheibe”

$$d\sigma/d\Omega \propto e^{-b \cdot t} \Rightarrow R = \sqrt{4b}$$

$$b(\bar{\Lambda} \Lambda) \approx 9 \text{ GeV}/c^2 \quad R_{\bar{\Lambda} \Lambda} \approx 1,2 \text{ fm}$$

$$b(\bar{\Lambda} \Sigma, \bar{\Sigma} \Sigma) \approx 6 \text{ GeV}/c^2 \quad R_{\bar{\Lambda} \Sigma, \bar{\Sigma} \Sigma} \approx 1,0 \text{ fm}$$

# Integrierte Wirkungsquerschnitte



Vorhersagen verschiedener Modellrechnungen über Verhältnisse integrierter W.Q.

	Theorie	Experiment
$\alpha(\bar{\Lambda}\Sigma^0)/\alpha(\bar{\Lambda}\Lambda)$		
Rubinstein	0,238	$0,29 \pm 0,02$ ( $\epsilon = 14,8$ MeV)
Genz/Tatur	} 0,259	$0,27 \pm 0,01$ ( $\epsilon = 25,0$ MeV)
Kohn/Waise		
Holinde		

$\alpha(\bar{\Sigma}^+ \Sigma^+)/\alpha(\bar{\Lambda}\Lambda)$	
Rubinstein	$0,12 \pm 0,02 +0,06$
Genz/Tatur	$-0,02$
Kroll	} ( $\epsilon = 25,0$ MeV)
Holinde	

# Integrierte $\bar{\Lambda}\Lambda$ Wirkungsquerschnitte an der Schwelle

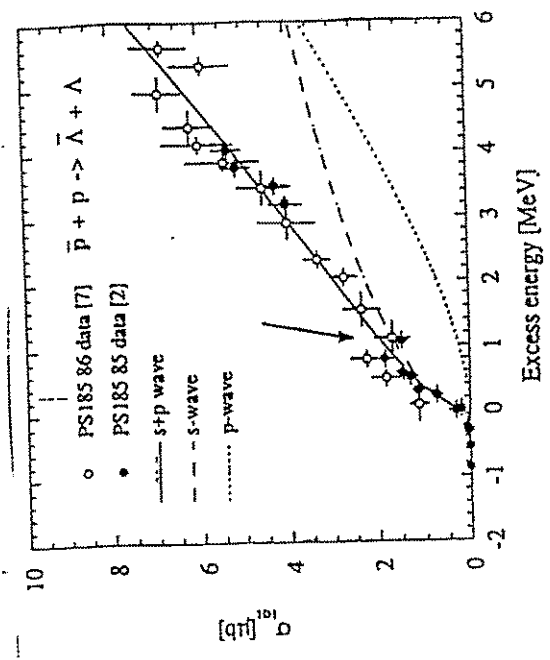
$$\sigma = a_s \cdot \epsilon^{1/2} + a_p \cdot \epsilon^{3/2}$$

$$a_s = 1,18 \pm 0,15 \text{ mb}/(\text{MeV})^{1/2}$$

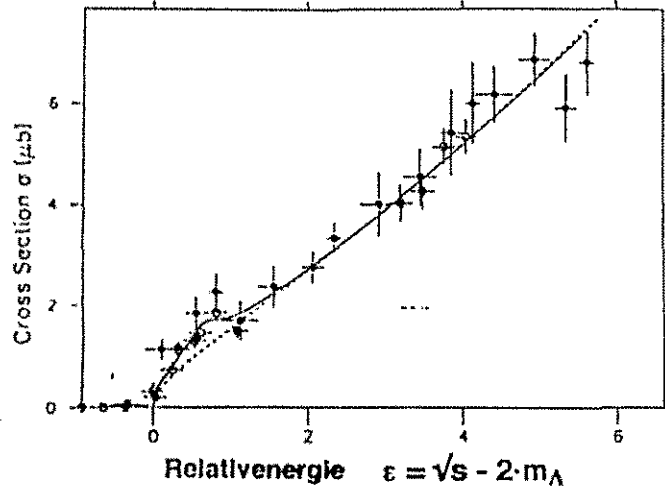
$$a_p = 0,35 \pm 0,04 \text{ mb}/(\text{MeV})^{3/2}$$

p-Welle bereits nahe der Schwelle wichtig

siehe auch Winkelverteilungen



Verhalten von  $\sigma(\bar{p} p \rightarrow \bar{\Lambda} \Lambda)$  in Schwellennähe



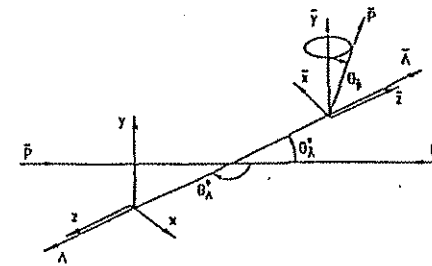
- Struktur zwischen  $\epsilon = 0,5 \dots 1,0 \text{ MeV}$
  - $\epsilon_{\text{Res}} = 0,64 \pm 0,12 \text{ MeV}$
  - $\Gamma_{\text{Res}} = 0,59 \pm 0,25 \text{ MeV}$
  - Invariante Masse:  $2232 \text{ MeV}$
  - Stärke :  $0,5 \mu\text{b}$
- P.L. 334 (1994) 205*

exotischer Zustand? (Glueball, Hybrid, ...)

Shapiro et al.: p-Wellen-enhancement

?  $\rightarrow$  starke, attraktive FSI

Carbonell + Protasov: schmaler quasi-nuklearer  $\bar{\Lambda} \Lambda$  - subthreshold Zustand



$$I(\beta) = I_0 (1 - \alpha P_\Lambda \cos(\beta_p))$$

Asymmetrieparameter ( $\Lambda$ ) :  $\alpha = 0,642 \pm 0,013$

Zerfallswinkelverteilung der Baryonen  $\rightarrow$  Polarisation

Methode der gewichteten Summen:

$$P = \frac{1}{\alpha} \frac{\sum \cos \Theta_{y(k)}}{\sum \cos^2 \Theta_{y(k)}}$$

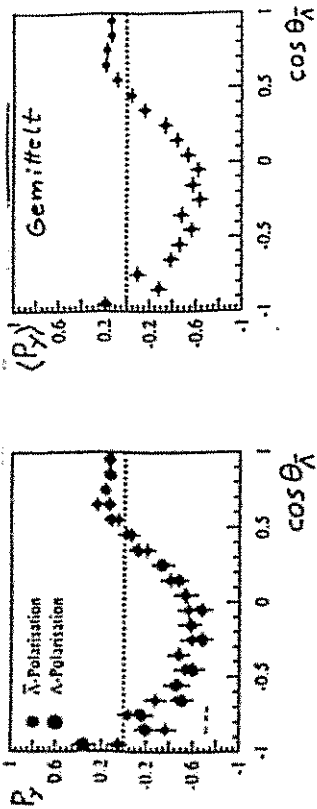
Ebenso Spinkorrelation:

$$C_{ij} = \frac{1}{\alpha} \cdot \frac{1}{\alpha} \frac{\sum \cos \Theta_{i(k)} \cdot \cos \Theta_{j(k)}}{N}$$

Summe über alle Ereignisse:  $K = 1 \dots N$

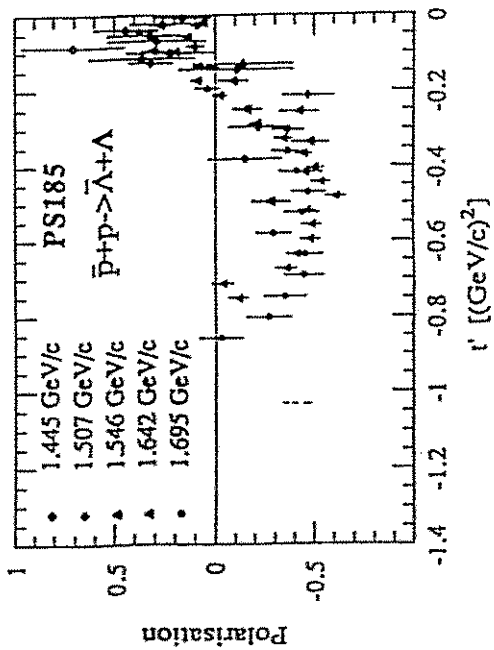
# Polarisation $\bar{\Lambda}$ $\Lambda$

Plab = 1,653 MeV/c

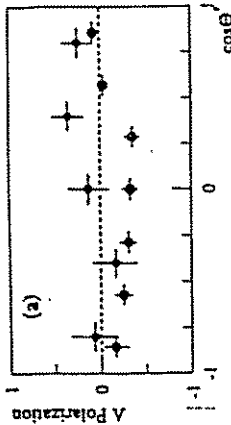
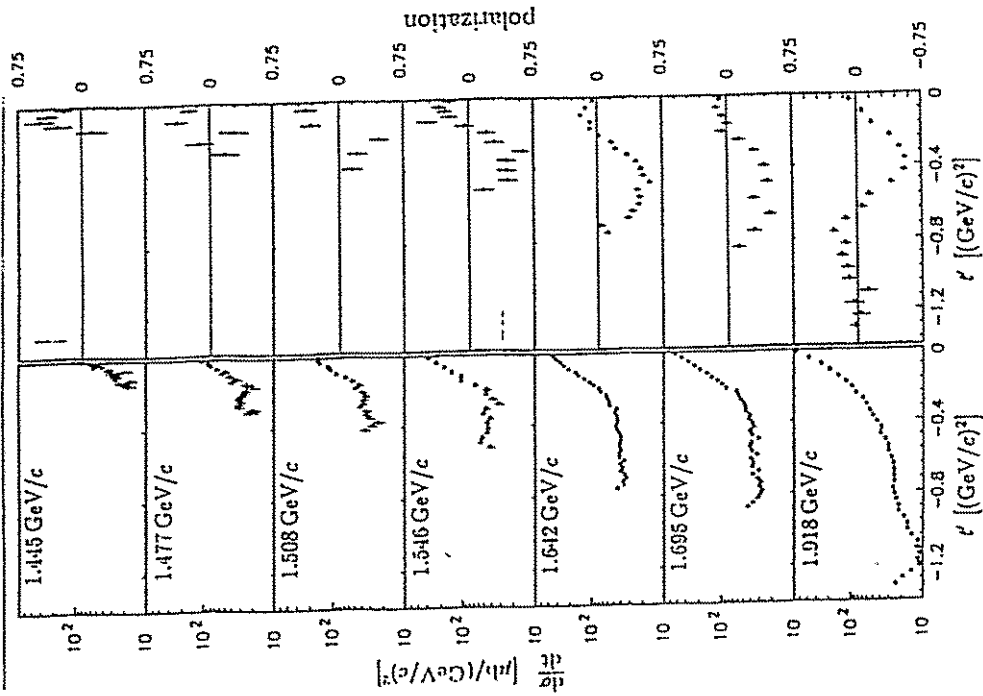


C - Invarianz bei  $\bar{\Lambda}$   $\Lambda$  - Produktion  $\rightarrow P_Y(\bar{\Lambda}) = P_Y(\Lambda)$   
 CP - Invarianz bei  $\Lambda$  ( $\Lambda$ ) Zerfall  $\rightarrow \bar{\alpha} = -\alpha$

$\rightarrow$  Mittelung von  $P_Y(\bar{\Lambda})$  und  $P_Y(\Lambda)$



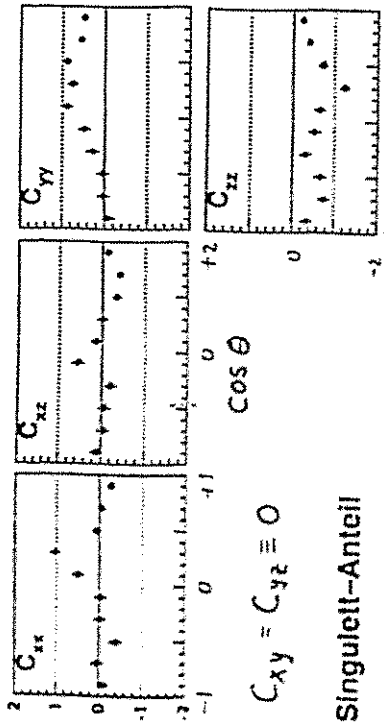
# Polarisation $\bar{\Lambda}$ $\Lambda$



•  $\bar{\Lambda}$   $\Sigma^0$  + c.c. 1,726 GeV/c

•  $\bar{\Lambda}$   $\Lambda$  1,726 GeV/c

### Spinkorrelationen 1,642 MeV/c



$$C_{xy} = C_{yz} = 0$$

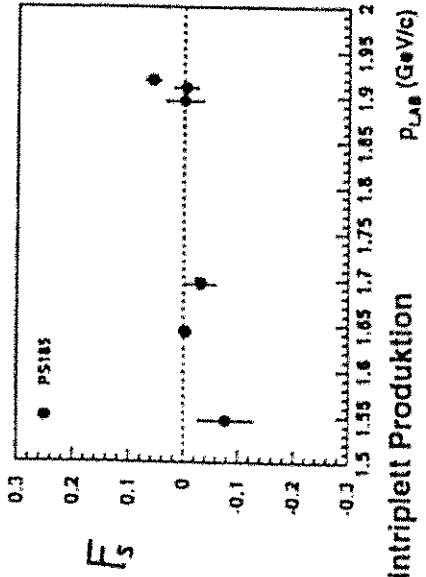
Singulett-Anteil

$$F_s = 1/4 \cdot (1 - \langle \sigma_{\bar{\Lambda}} \sigma_{\Lambda} \rangle) = 1/4 \cdot (1 + C_{xx} - C_{yy} + C_{zz})$$

$F_s = 1$  für Singulett Zustand

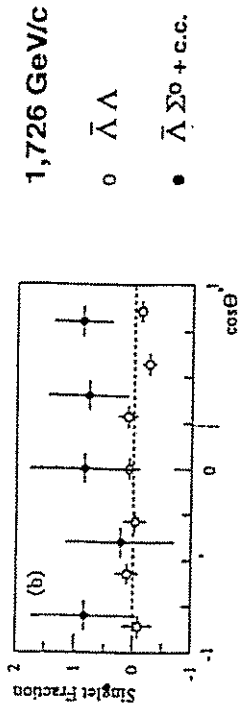
$F_s = 0$  für Triplett Zustand

Keine Korrelation:  $\rightarrow F_s = 1/4$



Daten zeigen: Spintriplett Produktion

### Spinkorrelationen $\bar{\Lambda} \Sigma^0$



1,726 GeV/c

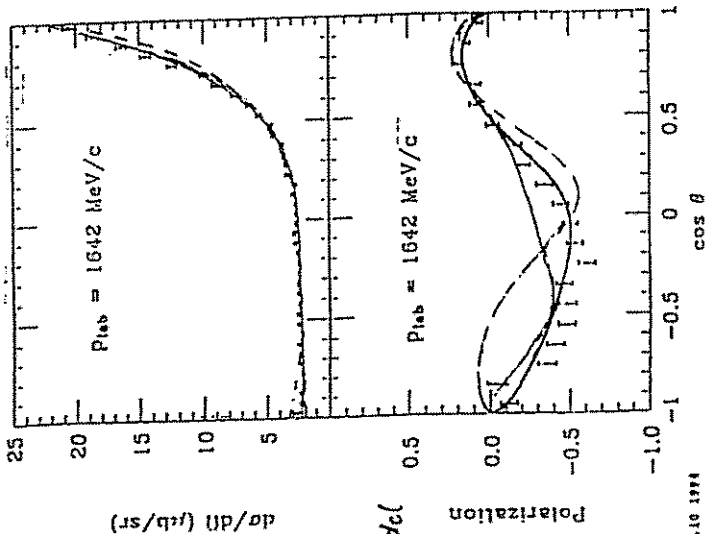
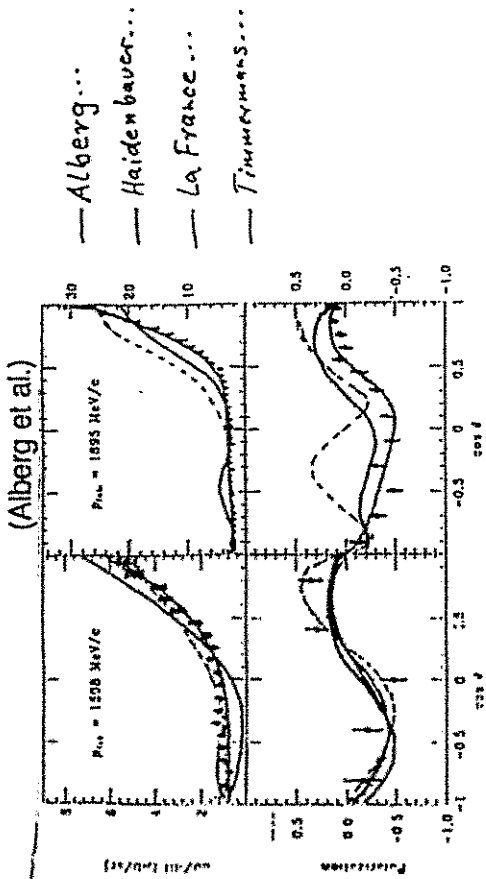
○  $\bar{\Lambda} \Lambda$

●  $\bar{\Lambda} \Sigma^0 + c.c.$

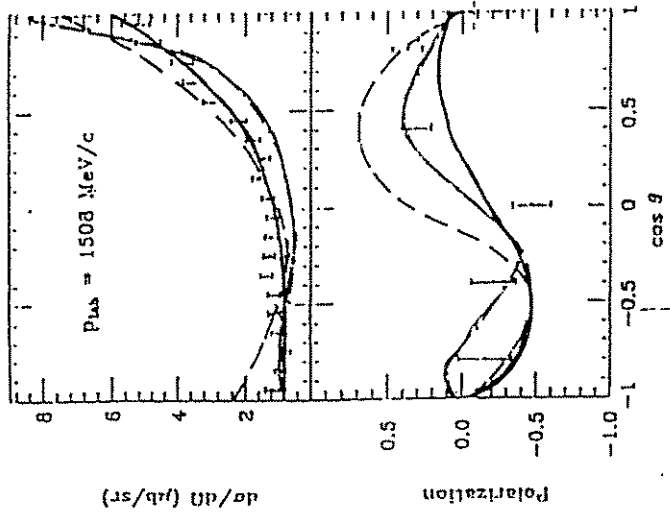
Für  $\bar{\Lambda} \Sigma^0 + c.c.$   $\rightarrow F_s \neq 0$  ( $\approx 1$ )

$\rightarrow$  Singulett - Produktion

# Vergleiche mit Rechnungen



# Vergleiche mit Rechnungen



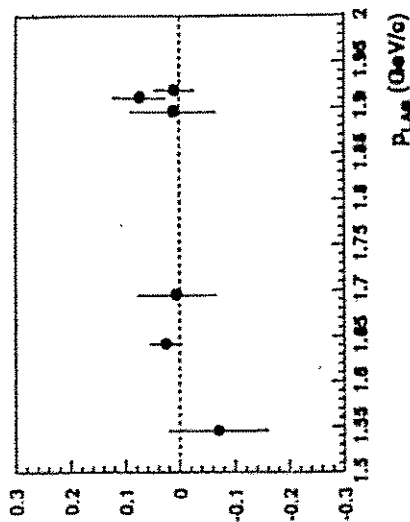
- Alberg et al.
- $^3S_1$  - Modell Kohno + Weise
- $^3P_0$  - Modell Furui + Faessler

# Weitere Resultate (Nebenprodukte)

## CP-Symmetrie

$$\alpha\Lambda \rightarrow \alpha\bar{\Lambda}$$

$$A = \frac{\alpha P_\Lambda + \bar{\alpha} P_{\bar{\Lambda}}}{\alpha P_\Lambda - \bar{\alpha} P_{\bar{\Lambda}}}$$



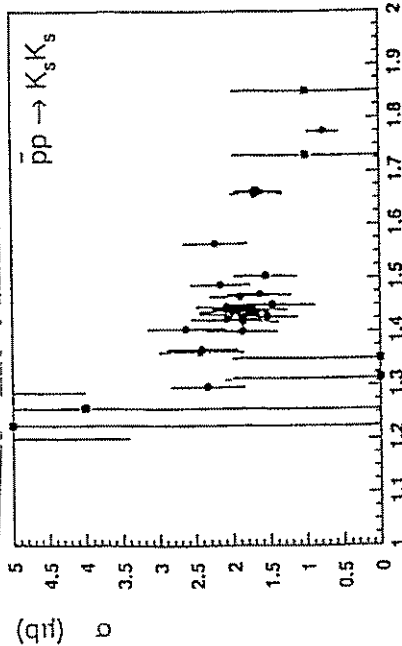
$$A = 0,022 \pm 0,019$$

Lebensdauern von  $\bar{\Lambda}$  und  $\Lambda$  aus Verteilung der Zerfallsängen

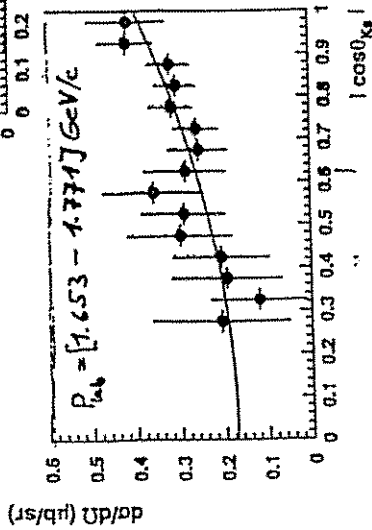
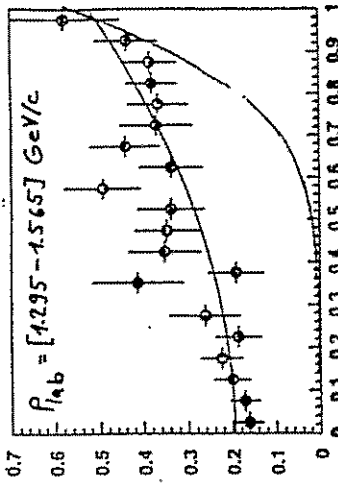
$$R = 2 \cdot (\tau - \bar{\tau}) / (\tau + \bar{\tau}) = (-1,8 \pm 6,6 \pm 5,6) \cdot 10^{-3}$$

→ CPT - Test

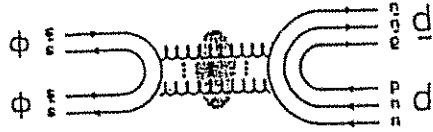
# $\bar{p}p \rightarrow K_S K_S$



Kein Hinweis auf Resonanz  
 $\bar{p}p \rightarrow \{ (2230) / f_4 \rightarrow K_S K_S$   
 B.R. ( $\bar{p}p \rightarrow \xi$ ) < 0.1%



# PS202 (JETSSET)



Reaktion ist OZI unterdrückt

- hoher Gluonen-Anteil im Zwischenzustand (allerdings: auch andere Mechanismen möglich)
- $\bar{p} p \rightarrow \Phi \rightarrow K^+ K^- K^+ K^-$

geeigneter Prozess zur Suche nach exotischen Zuständen

Bisherige Messungen von  $\bar{p} p \rightarrow \Phi$

1974 Blasenkammer, 6 Ereignisse  $\bar{p} p \rightarrow 4 K$   
davon eines  $\Phi$  (1,6 - 2,2 GeV/c 600 nb)

1989 ISR bei 3,7 GeV/c  $\alpha \bar{p} p \rightarrow \Phi$  - 25 nb

1986 ff Glueball - Kandidaten und Resonanzen  
im Bereich  $2,04 < m_x < 2,43$  GeV von

verschiedenen Experimenten:

teilweise widersprüchlich, oder schlechte Statistik

JPC = 2<sup>++</sup> (BNL, WA67)  
JP = 0<sup>-</sup> (MarkIII, DM2)

# PS 202 Kollaboration

I. Bertolotto<sup>5</sup>, A. Buzzo<sup>5</sup>, P. Debevec<sup>5</sup>, D. Drijard<sup>2</sup>, S. Easo<sup>5</sup>, R.A. Eisenstein<sup>6</sup>,  
W. Hoyerich<sup>3</sup>, T. Pearnley<sup>2</sup>, M. Ferro-Luzzi<sup>2</sup>, H. Fischer<sup>4</sup>, J. Franz<sup>4</sup>, R. Geyer<sup>3</sup>,  
N.H. Hamann<sup>21</sup>, P.G. Harzog<sup>5</sup>, D.W. Harzog<sup>5</sup>, S.A. Hughes<sup>6</sup>, A. Johansson<sup>6</sup>,  
T. Johansson<sup>6</sup>, R.T. Jones<sup>2</sup>, K. Kihari<sup>7</sup>, K. Kirschohn<sup>5</sup>, A. Kise<sup>1</sup>, H. Korano<sup>8</sup>,  
M. Lo Vetere<sup>5</sup>, M. Macri<sup>5</sup>, M. Martinielli<sup>5</sup>, M. Mogsburger<sup>2</sup>, B. Monette<sup>2</sup>, W. Oelert<sup>7</sup>,  
S. Ohlsson<sup>2</sup>, A. Palano<sup>1</sup>, S. Passaggio<sup>5</sup>, J.-M. Perrin<sup>2</sup>, M.G. Pia<sup>5</sup>, S. Pomp<sup>4</sup>,  
M. Price<sup>2</sup>, P.E. Reimer<sup>6</sup>, J. Ritter<sup>6</sup>, R. Rohati<sup>5</sup>, K. Rohati<sup>5</sup>, M. Rook<sup>1</sup>, R. Rössle<sup>4</sup>,  
A. Santroni<sup>5</sup>, H. Schmitt<sup>1</sup>, T. Seitz<sup>1</sup>, O. Steinkamp<sup>1</sup>, P. Stenzing<sup>3</sup>, B. Stugu<sup>7</sup>,  
R. Taylor<sup>6</sup>, M. Tschudin<sup>4</sup>, H.J. Urban<sup>4</sup>, H. Wirth<sup>4</sup> and H. Zipse<sup>4</sup>

- 1) University of Bari and INFN, Bari, Italy
- 2) CERN, European Organization for Nuclear Research, Geneva, Switzerland
- 3) University of Erlangen-Nürnberg, Erlangen, Germany
- 4) University of Freiburg, Freiburg, Germany
- 5) University of Genova and INFN, Genova, Italy
- 6) University of Illinois at Urbana-Champaign, Urbana, Illinois, U.S.A.
- 7) Institut für Kernphysik, Forschungszentrum Jülich, Jülich, Germany
- 8) University of Oslo, Oslo, Norway
- 9) Uppsala University, Uppsala, Sweden
- 1) deceased

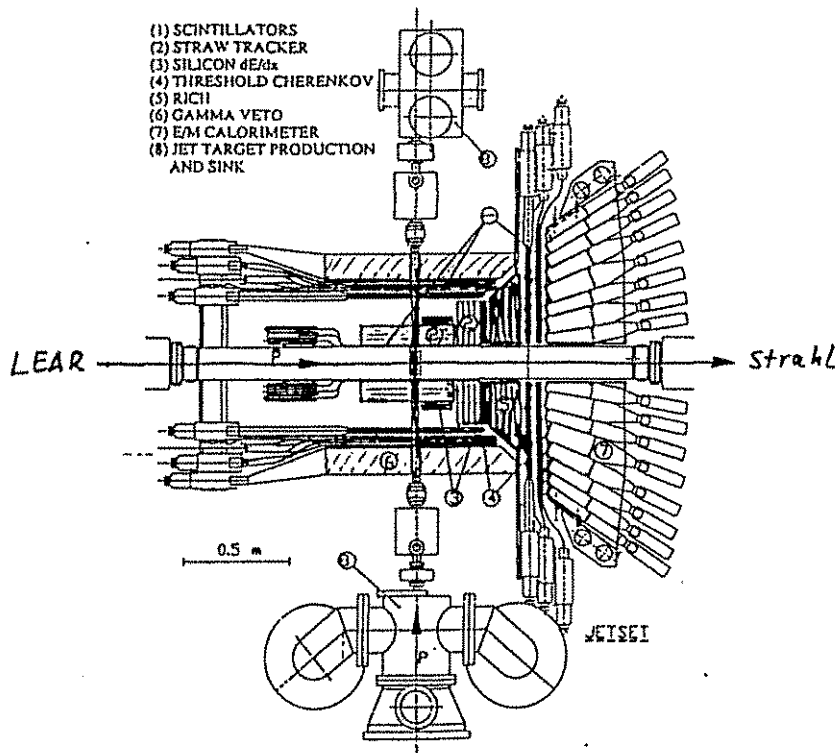
verschiedenen Experimenten:

teilweise widersprüchlich, oder schlechte Statistik

JPC = 2<sup>++</sup> (BNL, WA67)  
JP = 0<sup>-</sup> (MarkIII, DM2)



## Das Experiment



## Messungen

Impulsbereich: Schwelle (867 MeV/c) — 2 GeV/c

Nachweis der  $\Phi$  - Mesonen durch Zerfall  $\Phi \rightarrow K^+ K^-$

Kinematik: alle 4 K - Mesonen in Vorwärtsrichtung, mindestens drei davon mit  $0 < \kappa < 45^\circ$

Trigger: Plastik-Szint. um Strahlrohr,  
Schwellen - Cherenkovzähler  
Vorwärts-Plastik-Szint. Hodoskope  
E.M. Kalorimeter für  $\gamma$  - Veto

Spurbestimmung durch "straw chambers", zylindrisch um Strahlrohr und in Vorwärtsrichtung

Teilchen - ID mit dE/dx von Silizium-Pads und Cherenkov Zählern

Massenauflösung  $\approx 1$  MeV in Anregungskurve geg. durch Auflösung des gekühlten LEAR - Strahls

Luminosität **Messung** der elastischen p - Streuung

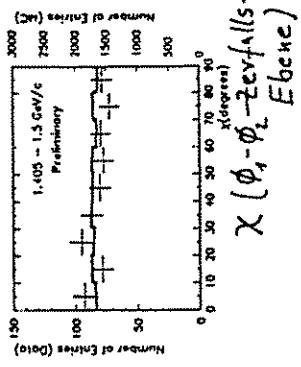
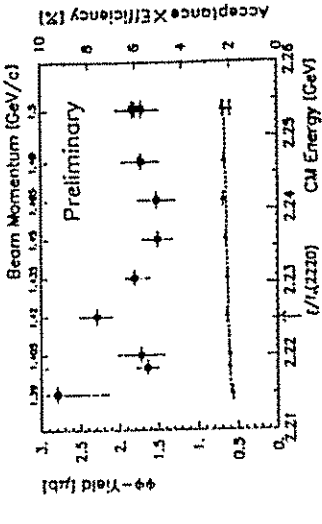
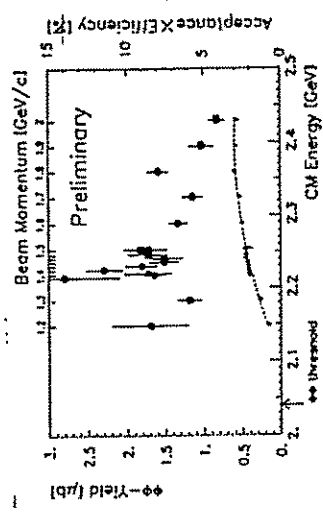
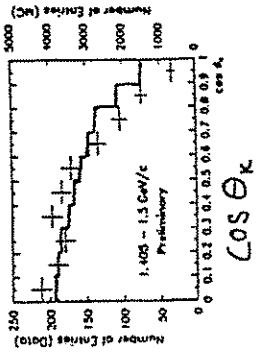
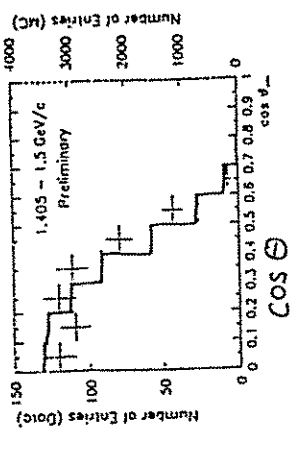
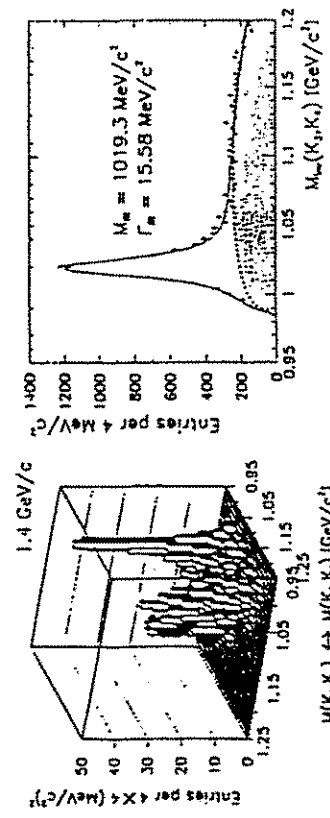
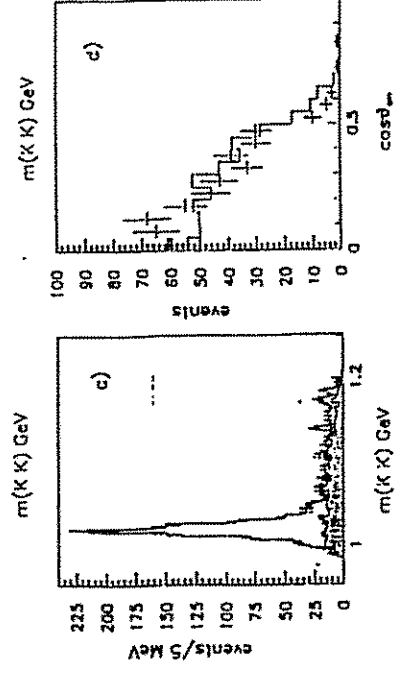
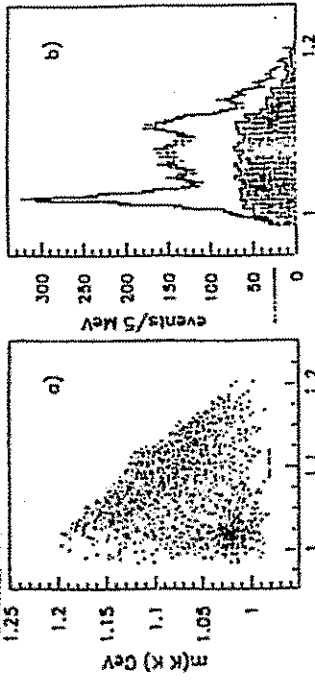
Resultat bei 1.4 GeV/c

$$\alpha(\bar{p} p \rightarrow \Phi \Phi) = 3,65 \pm 0,27 \pm 0,18 \mu\text{b}$$

$$\alpha(\bar{p} p \rightarrow 4 K^\pm) / \alpha(\bar{p} p \rightarrow \Phi \Phi) = 3,65 \pm 0,27 \pm 0,18 \mu\text{b}$$

# Erste Resultate

(vorläufig!)



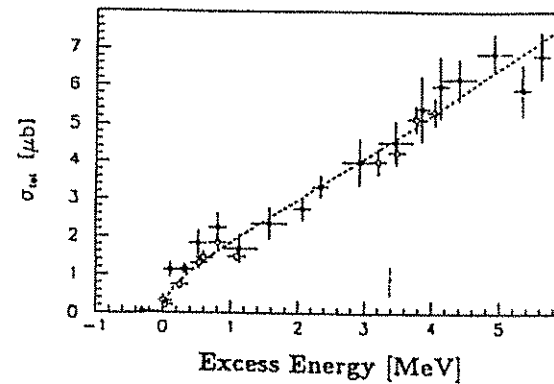
$\chi(\phi_1 - \phi_2 - 2\text{ev}/\text{s})$   
Ebene

# phi phi - Identifizierung

## Zusammenfassung

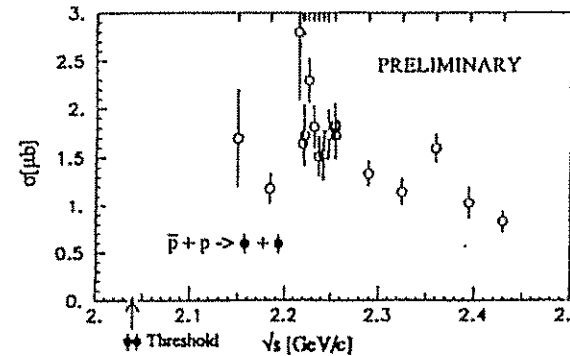
- **Strangeness - Produktionsprozesse helfen zum Verständnis der hadronischen Wechselwirkung**
  - Einsichten in Reaktionsmechanismen (Quark, Gluon, Meson, ...)
  - Fakten für theoretische Entwicklungen
- **Konsistentes Bild der  $\bar{\Upsilon} \Upsilon$  - Produktion**
  - p - Welle schon an der Schwelle bei  $\bar{\Lambda} \Lambda$
  - $d\sigma/dt$  zeigt starken Vorwärts-Anstieg ( $|t'| < 0,15$ )
  - Polarisation positiv für kleine t, dann negativ
  - $\sigma(\bar{\Upsilon} \Upsilon)/\sigma(\bar{\Lambda} \Lambda)$ -Verhältnis stimmt gut mit Theorie überein
  - Triplett - Produktion bei  $\bar{\Lambda} \Lambda$ , Singulett bei  $\bar{\Lambda} \Sigma^0$
  - Zahlreiche theoretische Arbeiten
- **Strangeness - Produktionsprozesse geeignet zur Suche nach exotischen Zuständen**
  - "Bump" in  $\sigma_{\bar{\Lambda} \Lambda}$  ?
  - Kein Signal in  $\bar{p} p \rightarrow K_S K_S$
  - Insbesondere OZI - verbotene Prozesse wie  $\bar{p} p \rightarrow \phi \phi$  (gluonreicher Zwischenzustand) bieten gute Chancen zur Suche nach Exoten
  - PS 202 hat Fülle von Daten; Auswertung ist weit fortgeschritten

## Ausblick



Neue Messung mit hoher Statistik in Schwellen-Region  
→ Juli 1994

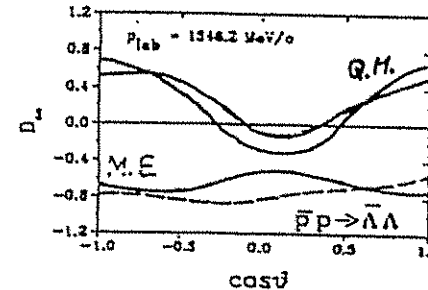
Daten-Analyse in Arbeit



$\bar{p} p \rightarrow \phi \phi$

In kleinen Energie-Schritten gemessen

Analyse weit fortgeschritten



Messung von Spintransfer-Parametern mit pol. Target am PS185 - Apparat

möglich!

→ 1995 ... 1996

Q.M. Quark - Modell

M.E. Meson - Austausch - Modell

Physik mit Hyperonen  
Neues von WA 89

S. Paul  
CERN / MPI-Heidelberg

5.Oktober 1994

# Physik mit Hyperonen

## Neues von WA89\*

Stephan PAUL  
(MPI - Heidelberg)

\* eine Kollaboration

Bristol, CERN, Genua, Grenoble

HD-MPI, HD-univ, Mainz Univ,

Moskau, Lebedev Inst, Rutgers<sup>911</sup>

Touvo<sup>911</sup>

Physikalische Spielweise des:  
Hyperonstrahl experimentes WA89:

- • charmant Seltsame Baryonen
- Spektroskopie
- Produktion
- Lebensdauern
- Verzweigungsverhältnisse
- Semileptonische Zerfälle

• Seltsame Exoten

U:  $\Lambda \bar{p} (+n\pi)$   $M \sim 3.1 \text{ GeV}/c^2$   $59 \text{ } \bar{q} \bar{q}$

H:  $\Xi \bar{p}$  } Ergebnisse auf  $ssuudd$   
 $\Lambda \Lambda$  } Konferenzen vorgestellt

$\Sigma^+ \Sigma^-$

$\Sigma^- \bar{p}$

$\Lambda \bar{p} \bar{\pi}^-$

$\Lambda n$

Pentaquark

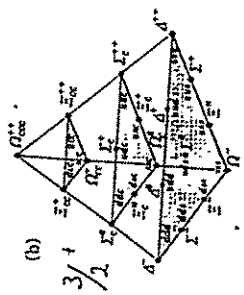
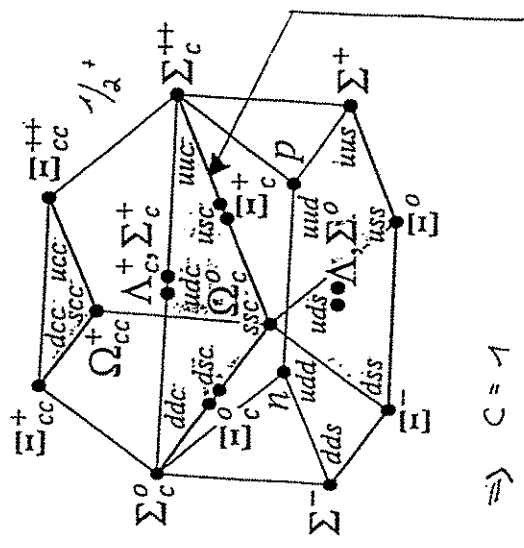
c. 9 999

• Hyperon Polarisation (Zeitschr. f. Physik A)

• Hyperon Resonanzen

- Einleitung
- Experimenteller Aufbau  
Datenanalyse
- Produktionsphänomene für  
charmanten Baryonen
- Zerfallseigenschaften  
charmanten seltener Baryonen
- Spektroskopie
- Ausblick

Nomenklatur  $Su(4)$



$\Rightarrow C = 1$

Notation

$q-q-c$   
 symmetrisch  $\Sigma_c$  Triplett  
 $q-s-c$   
 symmetrisch  $\Xi_c$  Dublett  
 $q-q-c$   
 a-symmetrisch  $\Lambda_c^+$   
 $q-s-c$   
 a-symmetrisch  $\Xi_c^0, \Xi_c^-$   
 $s-s-c$   
 symmetrisch  $\Omega_c$

# Physik mit Charm

-20 Jahre nach Entdeckung weiter attraktiv

$$m_c \sim 1.5 \text{ GeV}/c^2$$

- ↳ naiv: Einfluss leichter Freiheitsgrade in hadronischer Umgebung klein

## Produktion

Verteilung der kinematischen Variablen unabhängig von Projekttil und Endzustand

ABER

aus Mesonstrahlen: Projektileffekt existiert bei großen Sekundärimpulsen

- Vielfältigste Studienobjekte: charmante Baryonen

## Produktion

Charmante Baryonen werden studiert:

$\pi, \gamma$  Strahlen  $\rightarrow$   $c\bar{c}$  Speicherungen

Produktion  $\rightarrow$  Zerfallseigenschaften

- $c$ -Produktion scheinbar verstanden

(frühe Resultate m. Baryonstrahlen störend)

$\gamma$ -Prod.: NLO QCD beschreibt Daten "gut"

$\pi$ -Prod.: Modell notwendig (LUND) für

'langreichweitige' Effekte wie 'leading particle' Effekt.

- 'langreichweitige' Effekte in

Baryonstrahlen stärker:

$$\Leftrightarrow \Sigma^-(dds)$$

## Zerfall

Zerfall des hadron charakterisiert durch

"freien" Zerfall v.  $c$ -Quark

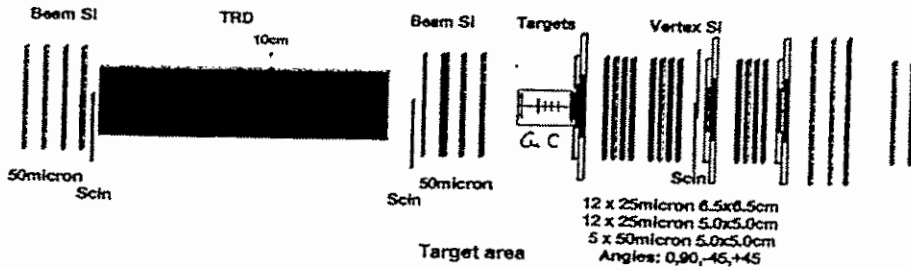
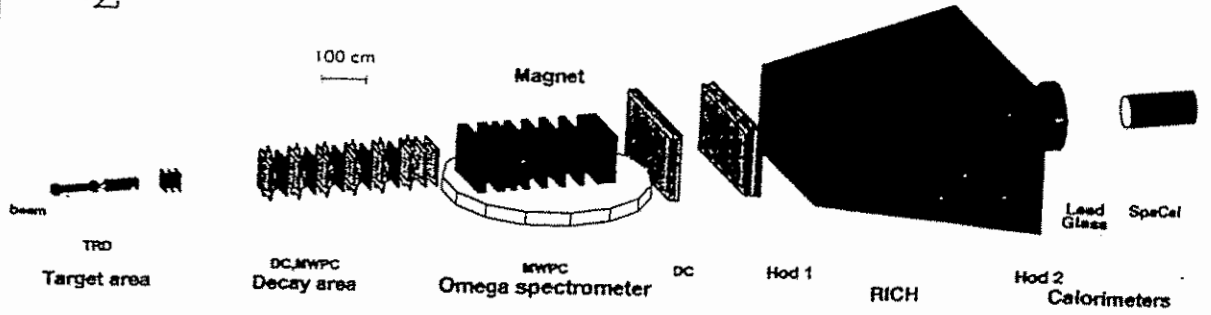
$$\tau_{\text{hadron}} \sim \tau_c$$

$$\tau_D^+/\tau_D^0 \sim 2$$

$$\tau_B^0/\tau_{\Lambda_c} \sim 6$$

$\Sigma^-$  330 GeV/c  $2 \cdot 10^5$ /burst

$\pi/\Sigma$  2:1



Zerfälle

↳ Verständnis der starken w.w. in schwachen Zerfällen

- Bestimmung der Lebensdauern

s c b

$$\frac{\Delta T}{T} : 100 \quad 10 \quad 1$$

Variation in Familie

↑ Effekt der starken w.w.

$T_i$  Vorhersage:  $\Omega_c^0 \leq \Xi_c^0 \leq \Lambda_c^+ \leq \Xi_c^+ < D, D_s$

Messungen existieren

- Verzweigungsverhältnisse vieler Endzustände

Verschiedene Quark Diagramme für verschiedene charmante Baryonen in unterschiedlichen Endzuständen

Problem: keine absoluten Zerfallsraten

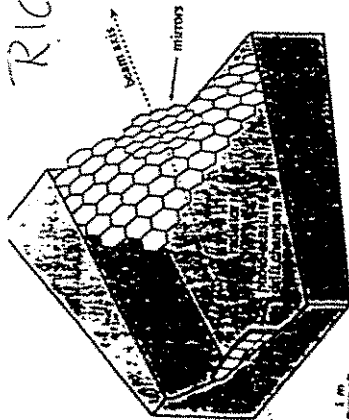
- Semileptonische Zerfälle stellen

Bindeglied dar

theoretisch recht verlässlich bestimmbar



RICH



Threshold  $\gamma = 40$

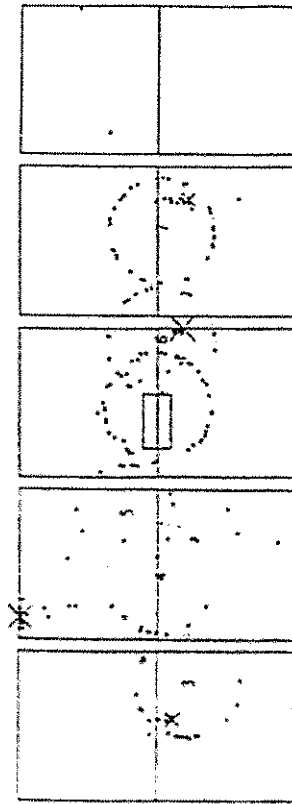
$P_{\pi} \sim 6 \text{ GeV/c}$

$K \sim 20 \text{ GeV/c}$

$P \sim 40 \text{ GeV/c}$

15  $\gamma$  Ring

Run 4372, Event 4019, Burst 46, Ev. in burst 62  
Thu Jun 13 20:19:00 1991 Trigger 1 3 4 15

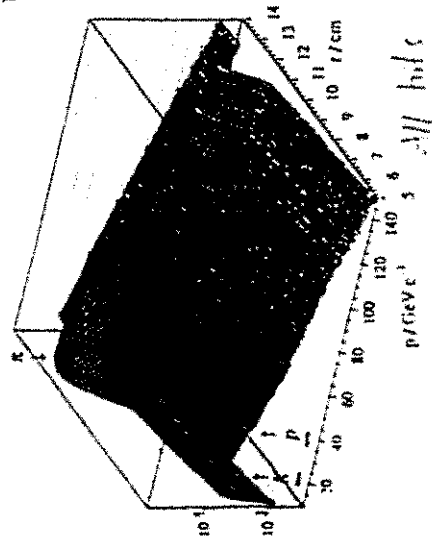


Ringzentren über  
Spurparameter  
Vorhergesagt

Trennung:

$K/\pi \leq 100 \text{ GeV/c}$

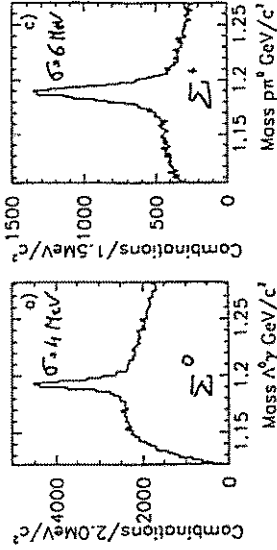
$P/\pi \leq 150 \text{ GeV/c}$



All hits

E. M. Bleiglas

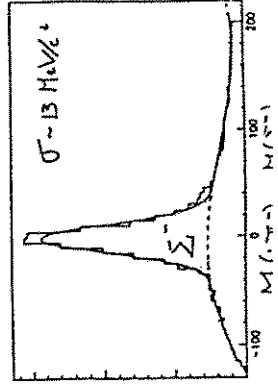
- $\gamma$  • acceptance  $\leq 30 \text{ mrad}$
- Energieauflösung  $\frac{\sigma_E}{E} \sim \frac{5\%}{\sqrt{E}} + 2\%$
- Winkelauflösung  $0.3 \text{ mrad}$



$\Lambda \gamma$   $P \pi^0$

Hadron Kalorimeter (Spaghetti TYP)

- $\pi$  • acceptance  $\leq 15 \text{ mrad}$
- Energieauflösung (hadr.)  $\frac{\sigma_E}{E} \sim \frac{31\%}{\sqrt{E}} + 1\%$
- Winkelauflösung  $\approx 1 \text{ mrad}$



# Analyse

- 3 Strahlzeiten 1991  $\sim 10^8$  Ereignisse ikenstr.
- verbesserten Aufbau 1993  $\sim 2 \cdot 10^8$

$\uparrow$   
 vorläufige Resultate  
 von 15% - 80% der  
 Daten

1994  $\sim 3 \cdot 10^8$  Ereignisse auf Band

- charm:
- Teilchenidentifikation  
 $\Lambda, \Xi, \Sigma$  via Zerfall
- $P, K^\pm$  via RICH (wenn in Akzeptanz)
- topologische Schritte



- prim sekundär vtx  $\cdot \Delta x > \lambda_c$   
 $\sigma [300 - 700 \mu m]$   
 $n$  abhängig von Zerfall
- Impact  $\cdot < 100 - 200 \mu m$
- Isoliertes vtx (vor allem für '91 Daten)

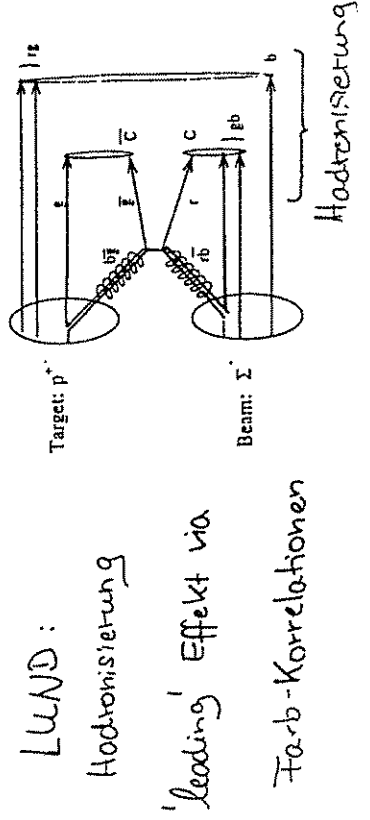
# Produktion

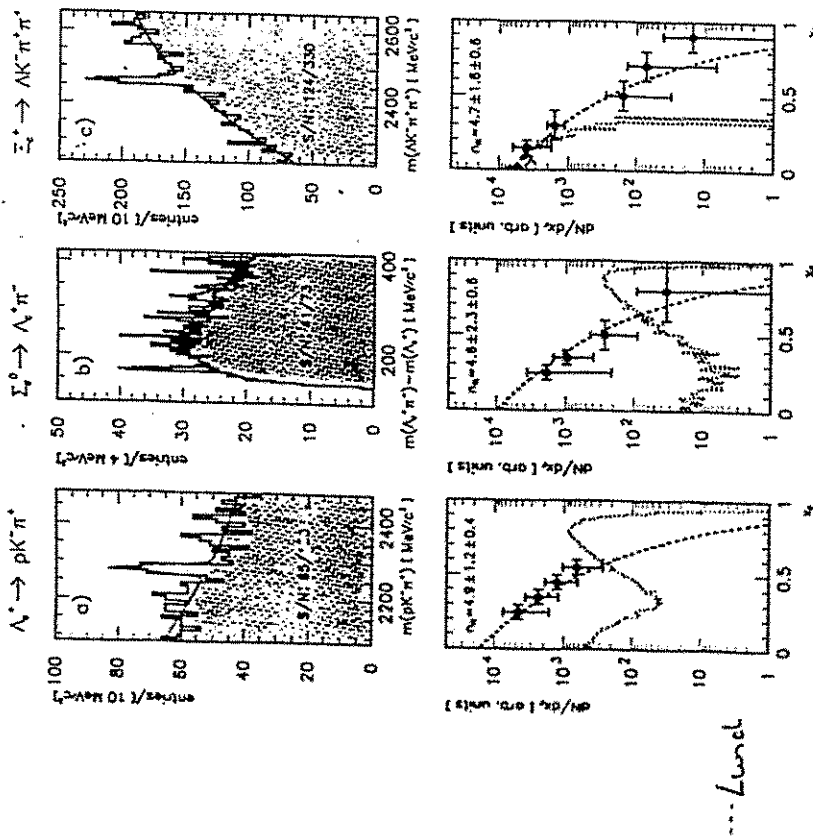
- Nicht perturbativ
- Quarks, Gluonen in Hadronen
- perturbativ
- gg-Fusion
- qq-Annihilation
- Nicht perturbativ
- Hadronisierung

Strukturfunktionen  $T_{X,S}$   $\rightarrow$   $\rightarrow$   $\rightarrow$   
 langreichweitige Korrelationen

$$\begin{array}{c}
 \sum_c^+ \\
 \Lambda_c^+ \\
 u \\
 d \\
 c
 \end{array}
 \begin{array}{c}
 \sum_c^0 \\
 d \\
 d \\
 c
 \end{array}
 \begin{array}{c}
 \sum_c^- \\
 d \\
 d \\
 c
 \end{array}
 \begin{array}{c}
 \sum_c^+ \\
 d \\
 s \\
 s
 \end{array}
 \begin{array}{c}
 \sum_c^0 \\
 d \\
 s \\
 s
 \end{array}
 \begin{array}{c}
 \sum_c^- \\
 d \\
 s \\
 s
 \end{array}
 \begin{array}{c}
 \Omega_c^0 \\
 c \\
 u \\
 s
 \end{array}$$

QCD: Vorhersage von  $\sigma$  für Elementarprozess





--- Lund

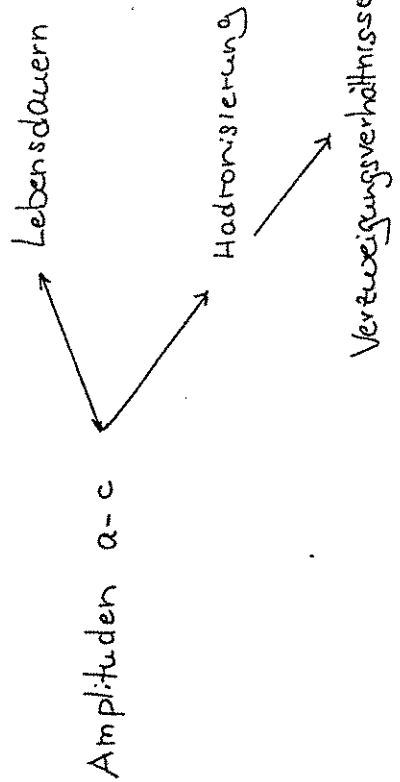
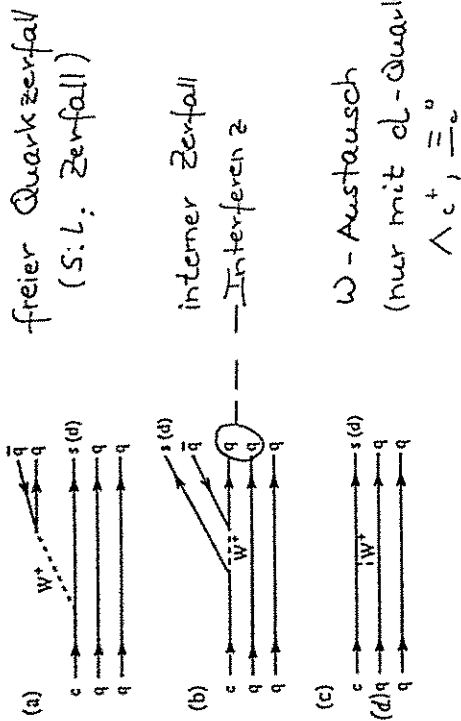
$$\frac{d\sigma}{dx_f} = A \cdot (1-x_f)^n \quad x_f = \frac{2P_{cm}}{\sqrt{s}}$$

- n: erwartet
- groß für "non leading"
- klein für "leading"
- gemessen:
- Keine Abhängigkeit

- differentielle Verteilungen noch nicht schlüssig
  - integrierte Produktionsraten  $x_f \geq 0.2$
- |   | WAG9            | Lund Modell |
|---|-----------------|-------------|
| • $\Sigma_c^0 / \Sigma^{++} > 1.9$ (90% C.L.) | 33              |             |
| • $\Sigma_c^0 / \Lambda_c^+$ (primär)         | $1.64 \pm 60\%$ | .95         |
| • $D^- / D^+$                                 | $2.1 \pm .9$    | 1.2         |
| • $\pi^-$ Strahl                              | 1.1             |             |
| • $\Lambda_c^+ / D^-$                         | $11.3 \pm 7$    | 0.58        |
| • $\pi^-$ Strahl                              | umgedreht       |             |

Zerfälle

Verzweigungsverhältnisse & Lebensdauern



Daten 1991:

Beispiel für zwei Analoge zerfälle

Von  $\Xi_c^+ \rightarrow \Xi_c^0$

Lebensdauer messung



Perste Beobachtung

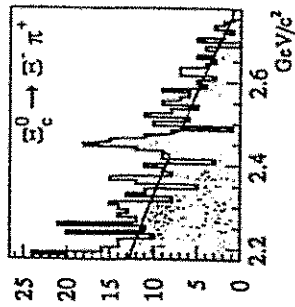
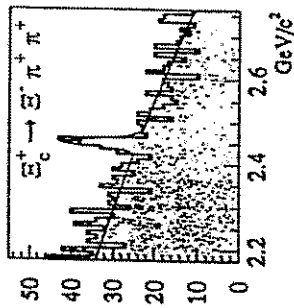
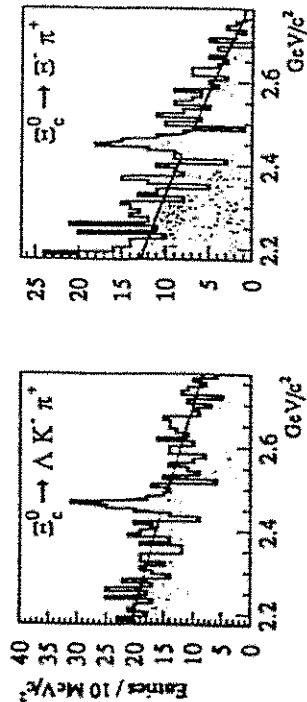
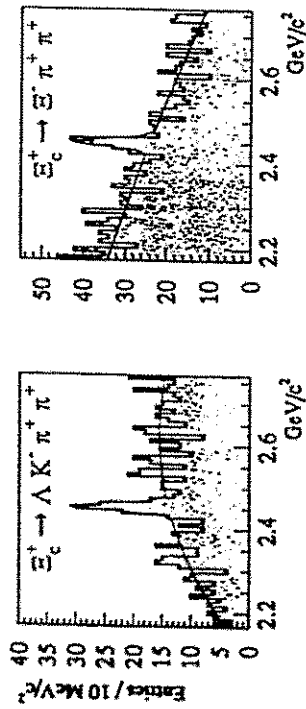
▽ verschiedene Schritte für alle Signale

aus 1993:

$\Sigma_c^+$   
 $\Sigma_c^0$

ca 15% der  
Daten

ca 60% der  
Daten



Bestimmung einiger Verzweigungsverhältnisse:

nur  $\Xi_c^+$  (1993)

- $\omega$ -Austausch abwesend

↳  $\gamma^*$  im Endzustand unterdrückt  
da kein Spinflip via  $\omega$

- Messung:  $\Xi_c^+ \rightarrow \Lambda \pi^+ K^+ \pi^+$

$$\Sigma^{*+} \begin{matrix} K^{0*} \\ 892 \\ a) \\ b) \end{matrix}$$

$$a) \frac{\Lambda K^+ \pi^+}{\Lambda K^- \pi^+ \pi^+} \leq 0.33 \quad (90\% \text{ C.L.}) \quad 0_{-0}^{+1.7}$$

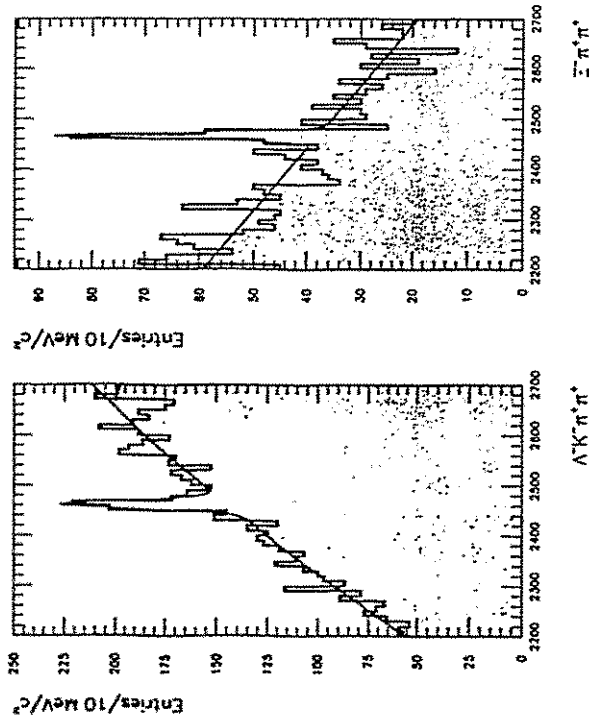
$$b) \frac{\Lambda K^{0*} \pi^+}{\Lambda K^- \pi^+ \pi^+} \leq 0.9 \quad (90\% \text{ C.L.}) \quad .38 \pm .38 \pm .15$$

- Messung:  $\Xi_c^+ \rightarrow \Xi^- \frac{\Lambda K^+ \pi^+ \pi^+}{\Xi^- \pi^+ \pi^+} \sim 4 \pm ?$

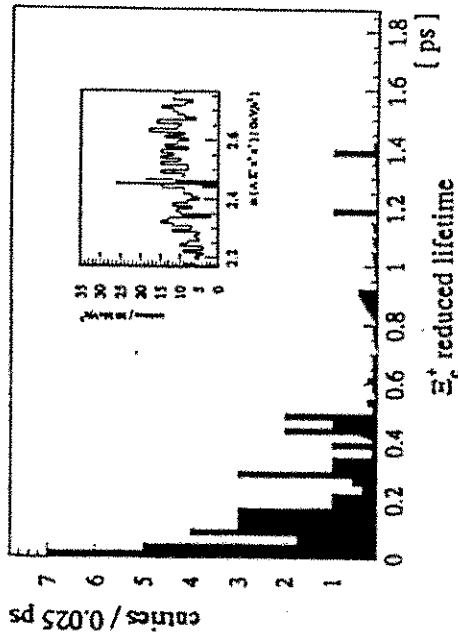
$C \rightarrow S$  großer Rückstoß auf  $S$

↳ Kleine Bindungsenergien  
in Baryon

↳  $S$ -Quark zieht  $K$  vor

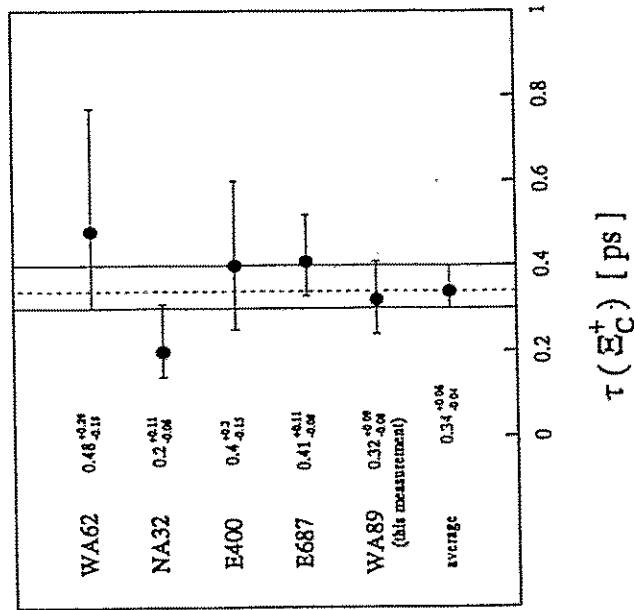


- Methode: "binned likelihood fit"
- Schritte: nur absolute Separation  
 $X = X_{\text{Zerfall}} - X_{\text{Target}}$  > gut simulierbar
- Fitparameter:  $n_{\text{signal}}$ ,  $\tau_{\text{signal}}$ ,  $n_{\text{Untergrund}}$   
 Lebensdauerwert: des Untergrundes  
 aus Seitenbändern



- $\tau_{\text{red}}^+ = 0.32^{+0.01}_{-0.08} \pm 0.05 \text{ ps}$  (noch vorlaufg)
- Effekt der M.C. Korrektur  $\sim 10\%$

- für  $\tau_{\text{NC}} = 0.18$   
 Effekt der M.C. Korrektur  $\sim 15-20\%$



$\Omega_c^0$  (SSC)

• 1985 WA62  $\Sigma^-$ -Strahl

$\Xi^- K^+ \pi^+ \pi^+ \sim 3$  Ereignisse

$2740 \pm 20$   $M_{\Omega_c^0}$

• 1992 Argus  $e^+e^-$

$\Xi^- K^+ \pi^+ \pi^+$

$2719 \pm 7.0 \pm 2.5$   $M_{\Omega_c^0}$

CLEO

• 1993 E697  $\gamma$ -Strahl

$\Omega^- \pi^+$

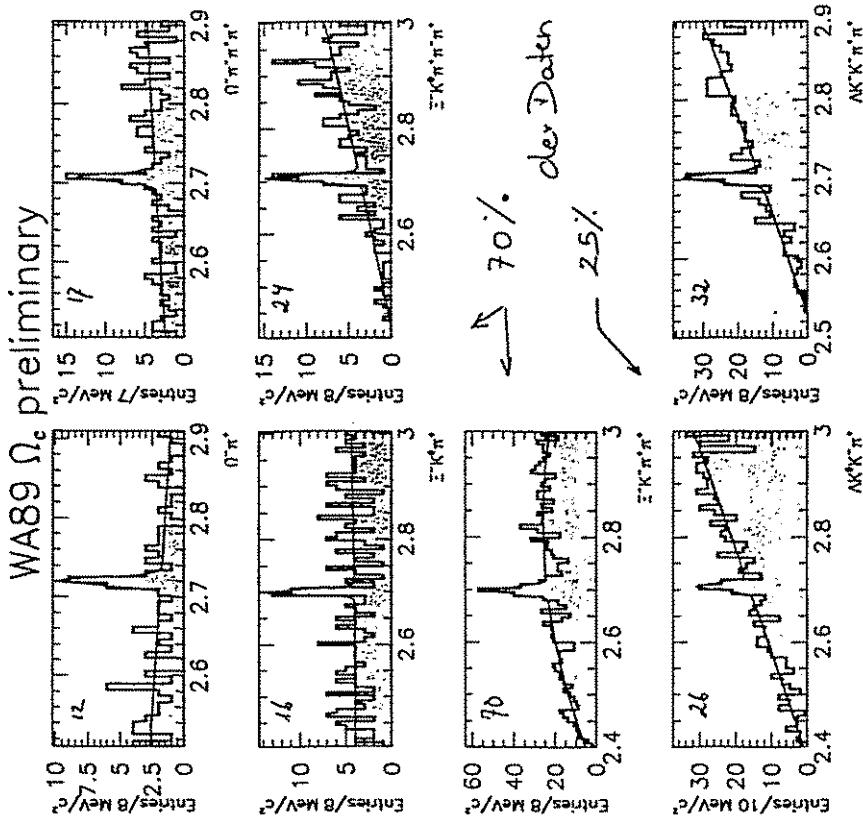
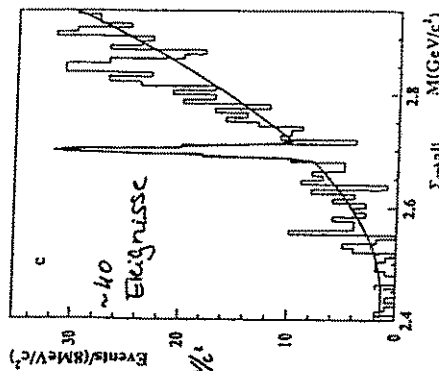
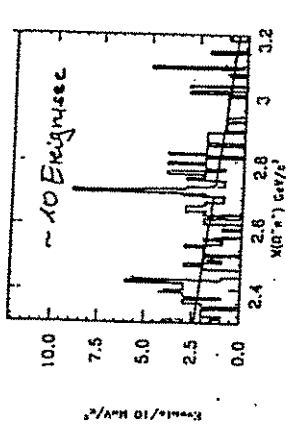
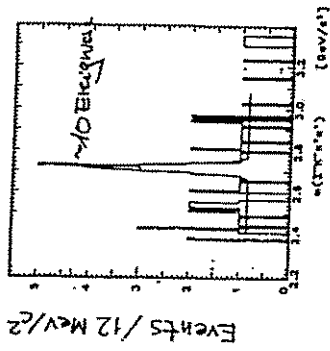
$2705.9 \pm 3.3 \pm 2$

• 1994 E687

$\gamma$ -Strahl

$\Sigma^+ K^- K^+ \pi^+$

$2699.9 \pm 1.5 \pm 2.5$   $M_{\Omega_c^0}$



70%  
25%  
der Daten

Total ~ 190 Kandidaten  
 $M \sim 2704$   $M_{\Omega_c^0}$

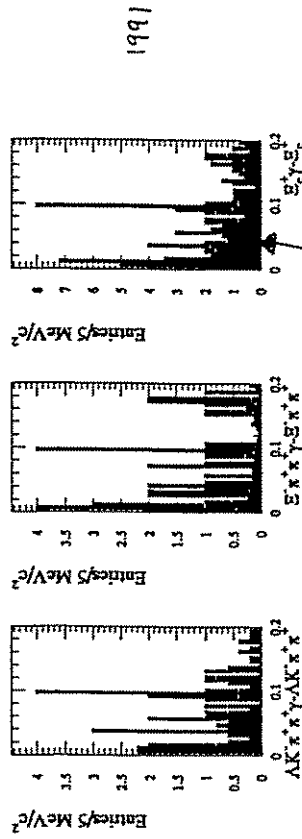
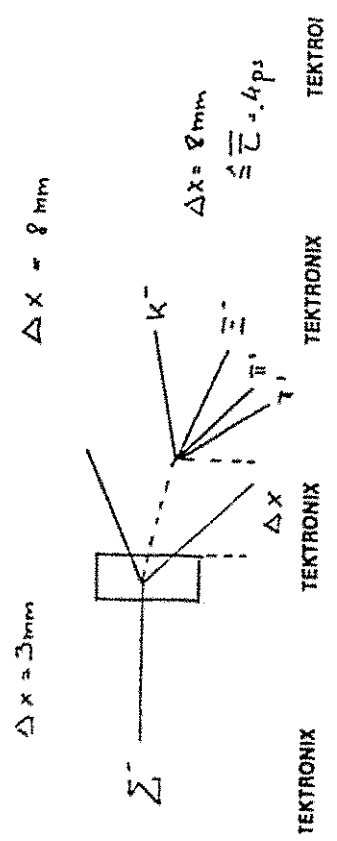
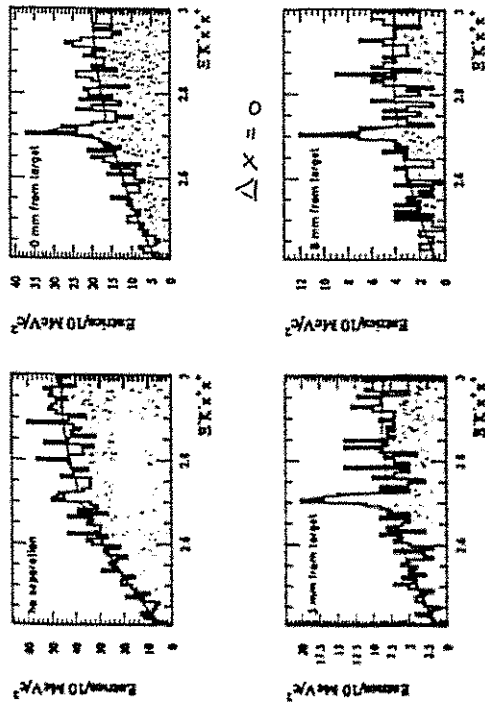


Spektroskopie:

- $\Xi_c$  Wellenfunktion  $q \uparrow s \downarrow c$   
 multiplett Partner  $q \uparrow s \uparrow c$  + Mischung

$\Delta m(\Xi_c^+ - \Xi_c^0) = \Delta m(\uparrow\uparrow - \uparrow\downarrow) \sim 80-140 \text{ MeV}/c^2$

WA89  $\Omega_c$  lifetime studies from Cu-target



- Wie:  $\Xi_c^+$  →  $\Lambda K \bar{\pi} \pi^+$  +  $\gamma$   
 $\Xi_c^0$  →  $\Sigma \pi \pi^+$

Diskriminierung des niederenenergiespektrums

$\gamma$ -Untergrund durch Schritte auf Zerfallswinkel

Erster Hinweis auf  $\Xi_c^+$   
 noch nichts für  $\Xi_c^0$

## Ausblick

93.94 Daten:

Produktion: Vergleiche  $D, D_s$   
 $\Lambda_c^+, \Sigma_c^{0,+,++}$   
 $\Xi_c^{+,0}, \Xi_c^0$   
 $\Omega_c$

Zerfall: viele 100 Ereignisse in  
dominanten Zerfallskanälen

Lebensdauer:  $\Lambda_c^+, \Xi_c^{+,0}, \Xi_c^0, \Omega_c$   
Ähnlichkeit durch Systematik

Spektroskopie: Anzeichen für  $\Sigma_c^*$  bereits  
gesehen.  
Keine Grenzen...

Exotika: Antwort auf die Jackpot-Frage  
u oder  $\chi$

Zukunft: Neues Experiment am CERN  
1997 - 2000  
> 50 x Intensität  
?

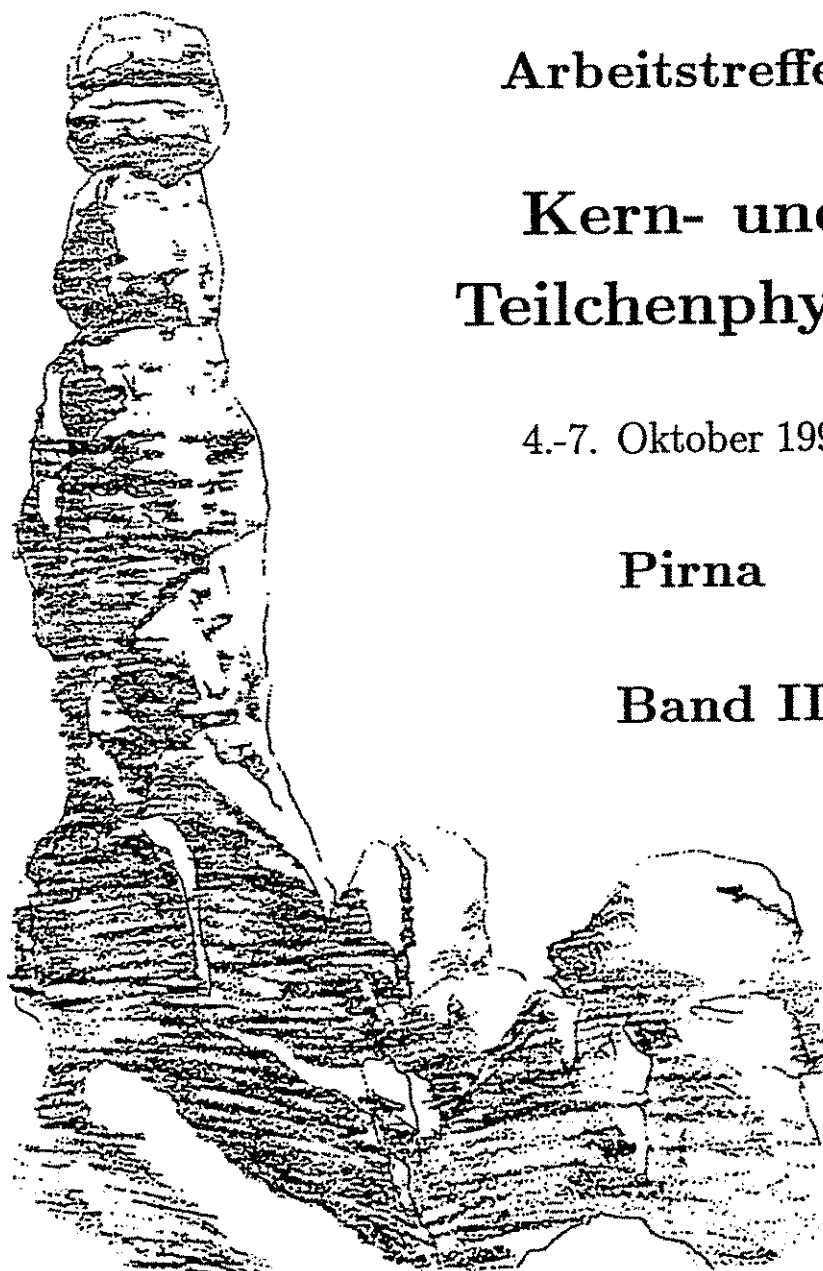
FORSCHUNGSZENTRUM  
ROSSENDORF e.V.

FZR

Archiv-Ex.

FZR-63

November 1994



Arbeitstreffen

Kern- und  
Teilchenphysik

4.-7. Oktober 1994

Pirna

Band III

"Barbarine" - Elbsandsteingebirge

**Forschungszentrum Rossendorf e.V.**

**Postfach 51 01 19 · D-01314 Dresden**

**Bundesrepublik Deutschland**

**Dr. K. Möller      Tel. (0351) 591 3276**

**Dr. L. Naumann    Tel. (0351) 591 3259**

**Telefax                      (0351) 591 3700**

**E-Mail                      [pirna@fz-rossendorf.de](mailto:pirna@fz-rossendorf.de)**

# Programm des Arbeitstreffens "Kern- und Teilchenphysik 1994" in Pirna

Band I      Dienstag, 4. Oktober 1994

W. Weise, Regensburg:	Entwicklungen in der Theorie der Hadronen	1
B. Schoch, Bonn:	Experimente zur Struktur des Nukleons (ELSA)	21
W. Schwille, Bonn:	Photon-Nukleon-Experimente im GEV-Bereich (Resultate mit dem SAPHIR-Detektor) (ELSA)	37
W. Meyer, Bonn:	Pion- und Eta-Produktion an polarisierten Protonen (ELSA)	51
H. Clement, Tübingen:	Experimente mit Pionen am PSI	77
<b>Theorie-Workshop</b>		<b>103</b>
D. Pirjol, Mainz:	Heavy Baryons	105
R. Fleischer, München:	CP-Verletzung im B-System	111
R. Jakob, Wuppertal:	E.m. Formfactors in the modified Hard Scattering Approach	119
W. Melnitchouk, Regensburg:	Deep Inelastic Scattering from Relativistic Constituent Quarks	129
M. Beinker, Dresden:	$q^2q^{-2}$ im Konstituenten-Quarkmodell	139
E. Kolomeitsev, Rossendorf:	Kaon-Polarisation in Kernmaterie	147
<b>Physik an Mesonenfabriken</b>		<b>155</b>
J. Arnold, Freiburg:	Experimente mit polarisierten Neutronen am PSI	157
K.P. Jungmann, Heidelberg:	Präzisionsmessungen am Myoniumatom	171
C. Dohmen, Aachen:	Suche nach der $\mu$ -e Konversion an Kernen im SINDRUM II-Spektrometer	187
J. Hartmann, München:	Neues von $\mu$ CF und langsamen Myonen	195

## Band II

Mittwoch, 5. Oktober 1994

E. Offermann, Mainz:	Recent Results of the Collaboration A1 (MAMI)	207
R. Beck, Mainz:	Experimente mit reellen Photonen (MAMI)	221
H. Schmieden, Mainz:	Messung des elektrischen Formfaktors des Neutrons (MAMI)	243
H. Schmitt, Freiburg:	Strangeness-Produktion am LEAR	257
S. Paul, CERN:	Physik mit Hyperonen Neues von WA 89 (CERN)	277

G. Mallot, CERN:	Spinstruktur des Nukleons Ergebnisse der Spin Myon Collaboration (CERN)	293
A. Brüll, Heidelberg:	Neue NMC-Resultate aus der tiefinelastischen Myon-Streuung	313
P. Blüm, Karlsruhe:	Das CRYSTAL BARREL Experiment am LEAR	333
C. Straßburger, Bonn:	Wurde im CRYSTAL BARREL Experiment der skalare Glueball entdeckt? (Mesonen I)	345
M. Faessler, München:	Suche nach Mesonen II (CRYSTAL BARREL)	359
U. Wiedner, Hamburg:	Seltene Zerfälle und die Verletzung der OZI-Regel (CRYSTAL BARREL)	373
K. Beuchert, Bochum:	Experimente mit Antiprotonen im Fluge (CRYSTAL BARREL)	395
<b>Detektoren und Datenerfassung</b>		409
M. Heidrich, Heidelberg:	Gasmikrostreifendetektoren	411
K. Zeitelhack, München:	Entwicklung eines schnellen RICH-Detektors für HADES	429
H. Kraus, München:	Status und Perspektiven von Tieftemperatur-Kalorimetern	437
P. Michel, Rossendorf:	Entwicklung eines schnellen TDC mit Konvertierungszeiten im Bereich weniger ns	443
S. Lange, Bochum:	Extraktion der pp-Bremsstrahlung mit künstlichen neuronalen Netzen	451
<b>Neue Projekte</b>		457
V. Burkert, CEBAF:	Geplante Experimente bei CEBAF	459
H. Marsiske, SLAC:	PEP-II: The SLAC-Based Asymmetric B-Factory	473
T. Lohse, Berlin:	B-Physics at HERA-B and LHC	497
U. von Hagel, Karlsruhe:	Das DAΦNE-Projekt	511

E. Grosse, Darmstadt:	Mesonenproduktion in Schwerionenkollisionen bei mittleren Energien	523
K. Kilian, Jülich:	Physikalisches Programm an COSY 3	539
J. Kleinfeller, Karlsruhe:	KARMEN: Neutrino-Spektroskopie an der Spallationsquelle ISIS	573
H.D. Gräf, Darmstadt:	Fünf Jahre Betrieb des S-DALINAC - Ein Statusreport-	597
P. v. Neumann-Cosel, Darmstadt:	Stand der Experimente zum Studium elementarer Kernanregungen am S-DALINAC	613
<b>Experimente an e-Beschleunigern</b>		<b>637</b>
H. Ströher, Gießen:	Untersuchung von $N^*$ -Resonanzen mit $\eta$ -Photoproduktion	639
P. Grabmayr, Tübingen:	$(\gamma, NN)$ -Experimente an leichten Kernen	649
H. Genz, Darmstadt:	Nutzung des S-DALINAC für neuere Entwicklungen in der Strahlungsphysik	663
H. Jüngst, Bonn:	Messung der Reaktionen $\gamma p \rightarrow K^+ \Lambda$ und $\gamma p \rightarrow K^+ \Sigma^0$ von der Schwelle bis 2.0 GeV mit SAPHIR an ELSA	677
A. Richter, Mainz:	Elektropionproduktion $H(e, e' \pi^+)$ an der Dreispektrometeranlage an MAMI	685
<b>CERN/LEAR-Aktivitäten</b>		<b>691</b>
J. Pretz, Mainz:	Messung der Valenz- und Seequarkpolarisation im Nukleon	693
J. Hartmann, München:	Laserspektroskopie langlebiger Zustände in antiprotonischem Helium	699
T. v. Egidy, München:	Antiprotoninduzierte Spaltung und Kernaufheizung	707
J. Brose, Mainz:	Untersuchung der Annihilation von Antiprotonen in Deuterium	723
T. Degener, Bochum:	Anwendung neuronaler Netze in der Datenanalyse	729



Spinstruktur des Nukleons  
Ergebnisse der Spin Myon Collaboration  
am CERN

G. Mallot  
CERN / Uni Mainz

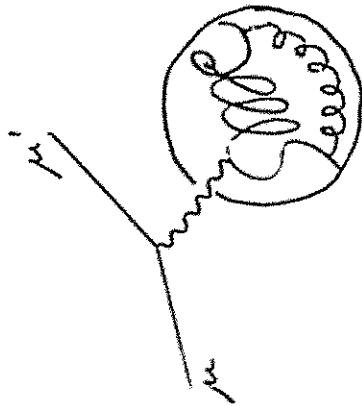
6. Oktober 1994

# SPINSTRUKTUR DES NUKLEONS

ERGEBNISSE DER

SPIN MUON COLLABORATION

AM CERN



G.K. MALLOT  
UNIV. MAINZ

PIRNA, 6.10. '94

# THE NUCLEON SPIN PUZZLE

- THE NUCLEON SPIN IS BUILT-UP BY
  - $\Delta\Sigma$  THE SPINS OF QUARKS & ANTIQUARKS
  - $\Delta g$  THE GLUON SPINS AND
  - $L_z$  ANGULAR MOMENTUM
$$\frac{1}{2} = \frac{1}{2}\Delta\Sigma + \Delta g + L_z$$
- NAÏVE QUARK PARTON MODEL
  - LARGE CONTRIBUTION FROM QUARK SPINS
  - $\Delta\Sigma \sim 0.6$  (SEA QUARKS UNPOLARISED)

- EMC MEASUREMENT 1985 pub. 1988/89

PLB 32P  
(1989) 1

Proton:  $\Delta\Sigma = 0.12 \pm 0.17$

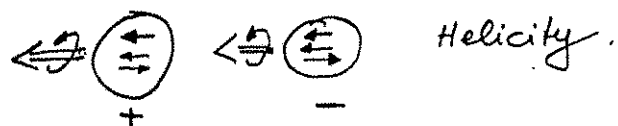
QUARK SPINS CONTRIBUTE LITTLE TO  
NUCLEON SPIN.

STRANGE QUARKS ARE POLARIZED  
OPPOSITELY TO PROTON

$\Delta S = -0.19 \pm 0.06$

# QUARK POLARIZATION $\Delta\Sigma$

- $\Delta\Sigma = \Delta u + \Delta d + \Delta s$   
with  
 $\Delta q = q^+ + \bar{q}^+ - q^- - \bar{q}^-$



- $m s^\mu \Delta q = \langle \psi | \bar{\psi}_R \gamma^\mu \psi_R | \psi \rangle - \langle \psi | \bar{\psi}_L \gamma^\mu \psi_L | \psi \rangle$   
with  $\gamma_5 = (1 + \frac{\gamma_5}{2}) - (1 - \frac{\gamma_5}{2})$   
 $= \langle \psi | \bar{\psi} \gamma^\mu \gamma_5 \psi | \psi \rangle$

MATRIX ELEMENT OF AXIAL VECTOR CURRENT

$\Delta\Sigma$  AXIAL CHARGE (FLAVOUR SINGLET)

- AXIAL ANOMALY CAN MODIFY  $\Delta\Sigma$

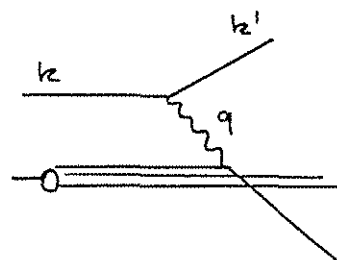
$$\Delta q' = \Delta q - \frac{\alpha_s}{2\pi} \Delta g$$

GLUON POLARIZATION

NEED LARGE  $\Delta g \sim 4$  TO RECONCILE  
EMC &  $\Delta\Sigma \sim 0.6$ .

DIRECT MEASUREMENT VERY DIFFICULT

# DEEP INELASTIC CHARGED LEPTON SCATTERING



$$x_{Bj} = \frac{\text{lab } Q^2}{2m\nu}; \quad Q^2 = -q^2$$

$$\nu = E - E'$$

$x_{Bj}$ : momentum fraction carried by struck q

- CAN MEASURE  $g_1$  STRUCTURE FUNCTION

QPM:

$$g_1(x) = \frac{1}{2} \sum_{i=1}^{N_f} e_i^2 (q_i^+(x) - q_i^-(x))$$

POLARIZED TARGET & BEAM NEEDED  
C.F. UNPOLARIZED

$$F_1(x) = \frac{1}{2} \sum_i e_i^2 (q_i^+(x) + q_i^-(x))$$

- FIRST MOMENT OF  $g_1$

$$\Gamma_1 := \int_0^1 g_1(x) dx$$

- TO GET  $\Delta\Sigma$  NEED TO INTEGRATE  
(EXTRAPOLATE TO  $x=0, x=1$ )  
AND MORE INPUT TO DEAL WITH FACTOR  $e_i^2$

# SUM RULES FOR $T_1 = \int g_1(x) dx$

Bjorken Sum Rule 1966  
 proton - neutron  $\Delta u^n = \Delta d^p$ , etc.  
 FUNDAMENTAL SR; CONSEQUENCE OF QCD & KOSPIN SYM.

$$T_1^p - T_1^n = \frac{1}{18} \left\{ \begin{array}{l} 4\Delta u + \Delta d + \Delta s \\ - \Delta u - 4\Delta d - \Delta s \end{array} \right\}$$

$$= \frac{1}{6} (\Delta u - \Delta d)$$

$$|g_A^{n \rightarrow p}| = 1.257 \pm 0.003$$

QCD CORRECTIONS  $\mathcal{O}(\alpha_s^3)$ , estimates  $\mathcal{O}(\alpha_s^4)$   
 LARIN, VERHASEREN PLB 259 (1991) 345; KATYEV COBN-TH 7190/94

Ellis-Jaffe Sum Rule 1974

$$T_1^{p,n} = \pm \frac{1}{12} (\Delta u - \Delta d) + \frac{1}{36} (\Delta u + \Delta d - 2\Delta s) + \frac{1}{9} (\Delta u + \Delta d + \Delta s)$$

$$= \pm \frac{1}{12} |g_A| + \frac{1}{36} a_8 + \frac{1}{9} \Delta \Sigma$$

SU(3) sym in weak decays in Baryon. Octet  
 $\rightarrow a_8 = 3F - D \sim 0.579 \pm 0.025$   $\begin{matrix} n \rightarrow p, \Sigma \rightarrow n \\ \Lambda \rightarrow p, \Xi \rightarrow \Delta \end{matrix}$

QCD CORRECTIONS  $\mathcal{O}(\alpha_s^3)$ , estimates  $\mathcal{O}(\alpha_s^4)$   
 LARIN, PLB 334 (1994) 192, KATYEV COBN-TH 7333/94

ORIGINAL FORMULATION: ASSUME  $\Delta s \equiv 0$

$$a_0 = a_8 \approx 0.6$$

# EXPERIMENTAL METHOD

- MEASURE CROSS SECTION ASYMMETRIES  
 PARALLEL TRANSVERSE

$$A_{||}(x, Q^2) = \frac{d\sigma^{\uparrow\uparrow} - d\sigma^{\downarrow\downarrow}}{d\sigma^{\uparrow\downarrow} + d\sigma^{\downarrow\uparrow}} \quad A_{\perp}(x, Q^2) = \frac{d\sigma^{\uparrow\leftarrow} - d\sigma^{\downarrow\rightarrow}}{d\sigma^{\uparrow\rightarrow} + d\sigma^{\downarrow\leftarrow}}$$

Polarization beam target

- VIRTUAL PHOTONS ARE LESS POLARIZED THAN LEPTON.

VIRTUAL PHOTON ASYMMETRIES  $A_1, A_2$

$$A_1(x, Q^2) = \frac{\sigma_{1/2} - \sigma_{3/2}}{\sigma_{1/2} + \sigma_{3/2}} \quad A_2(x, Q^2) = \frac{2\sigma_L}{\sigma_{1/2} + \sigma_{3/2}}$$

$$A_{||} = D(A_1 + \eta A_2) \quad A_{\perp} = D'(A_2 - \eta' A_1)$$

- LIMITS  $|A_1| < 1$   $|A_2| < \sqrt{R}$

$$R = \frac{\sigma_L}{\sigma_T} \text{ small}$$

$$A_1 = \frac{1}{F_1} (g_1 - \gamma^2 g_2) \quad A_2 = \frac{\gamma}{F_1} (g_1 + g_2)$$

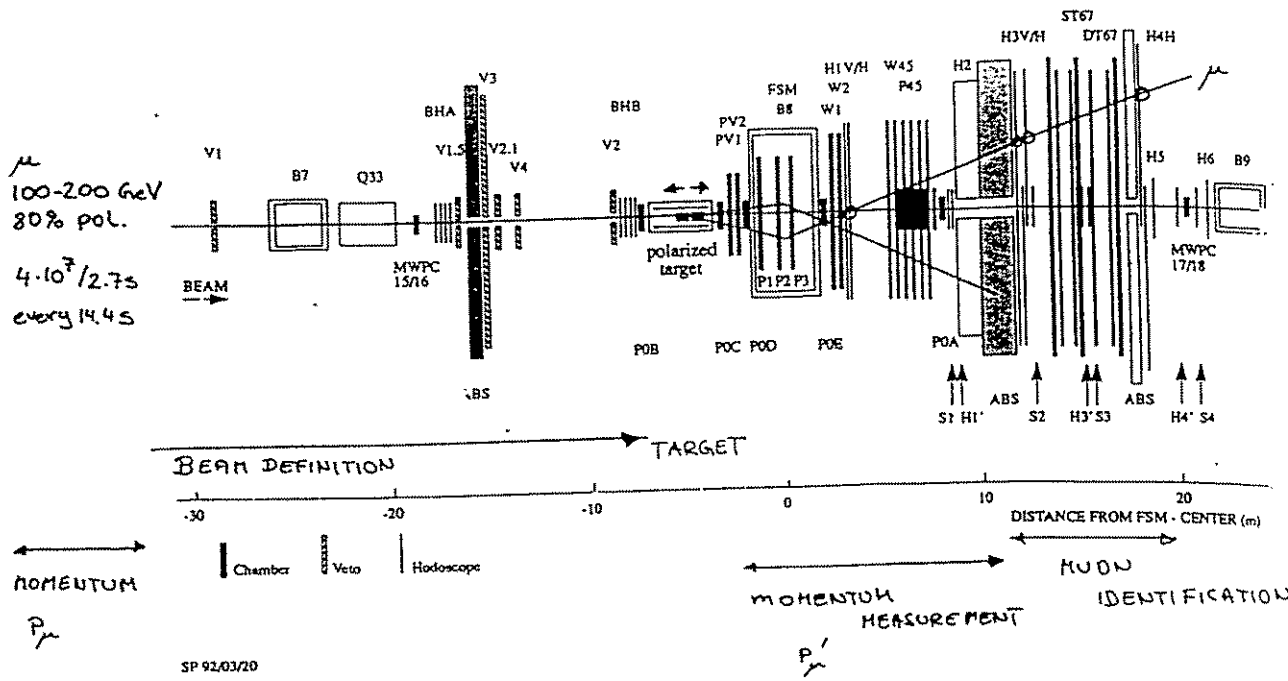
$$\gamma = \frac{2Mx}{\sqrt{Q^2}} \text{ small}$$

- BOTTOM LINE

$$g_1 \approx A_1 F_1 \approx \frac{1}{D} A_{||} \frac{F_2}{2x(1+R)}$$

FROM UNPOLARIZED DIS

SMC EXPERIMENT - SPECTROMETER (SCHEMATIC)



SPIN MUON COLLABORATION

AT CERN NA47  
 27 INSTITUTES  
 ~160 PHYSICISTS  
 (26 PhD students)

- University of Bielefeld, Germany
- Bogazici University, Cernike Research Center, Istanbul University and Istanbul Technical University, Istanbul, Turkey
- University of California, Los Angeles, CA, USA
- University of California, Santa Cruz, CA, USA
- CERN, Geneva, Switzerland
- University of Freiburg, Germany
- GKSS, Garching, Germany
- Helsinki University of Technology, Finland
- University of Houston, TX, USA
- JINR, Dubna, Russia
- University of Mainz, Germany
- University of Mons, Belgium
- University of Munich, Germany
- Nagoya University, Japan
- NIKHEF, FOM and Free University, Amsterdam, The Netherlands
- Northeastern University, Boston, MA, USA
- Northwestern University, Evanston, IL, USA
- Rice University, Houston, TX, USA
- DAPNIA, CE Saclay, Gif-sur-Yvette, France
- University of Santiago, Santiago de Compostela, Spain
- Tel Aviv University, Israel
- INFN Trieste and University of Trieste, Italy
- Uppsala University, Sweden
- University of Virginia, Charlottesville, VA, USA
- Soltan Institute for Nuclear Studies and Warsaw University, Warsaw, Poland
- Yale University, New Haven, CT, USA

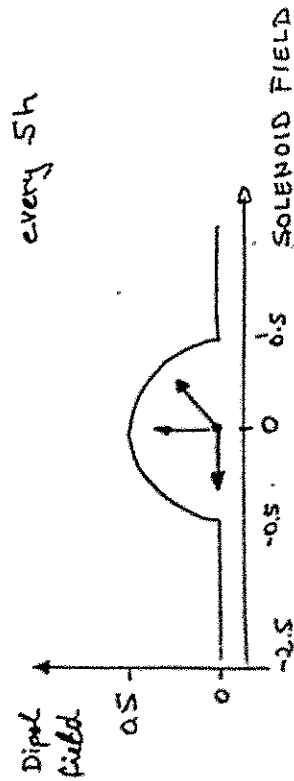
Spokesman: V. W. Hughes  
 Contactman: G. K. Mallot

# SMC POLARISED

## TARGET

- MATERIAL: BUTANOL & DEUTERATED BUT.
- SOLENOID FIELD: 2.5 T
- DIPOLE FIELD: 0.5 T
- TEMPERATURE 40 mK frozen mode
- AVERAGE POL.: 86% (p) > 45% (d 1994)
- TWO TARGET HALVES; 60 cm long,  $\phi 5$  cm  
POLARISED IN OPPOSITE SENSE  
by DNP.
- POLARISATION MEASURED BY 10 EMBEDDED COILS  
MIR
- INVERSION OF SPIN DIRECTIONS BY

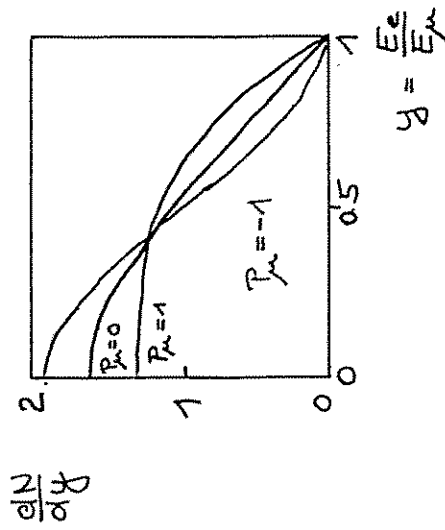
ROTATION OF MAGNETIC FIELD



# BEAM POLARIMETER

$\mu^+ \rightarrow e^+ \nu \bar{\nu}_\mu$  MUON DECAY IN FLIGHT

PARITY VIOLATION CAUSES DEPENDENCE  
OF SHAPE OF  $e^+$  ENERGY SPECTRUM  
ON  $\mu$  POLARISATION.



RESULT (190 GeV  $\mu^+$ )

$$P_\mu = -0.80 \pm 0.03 (\text{stat}) \pm 0.02 (\text{sys})$$

- agrees with MC OF BEAM TRANSPORT
- 1994  $\mu^- e$  SCATTERING FROM MAGN.  
IRON FOIL

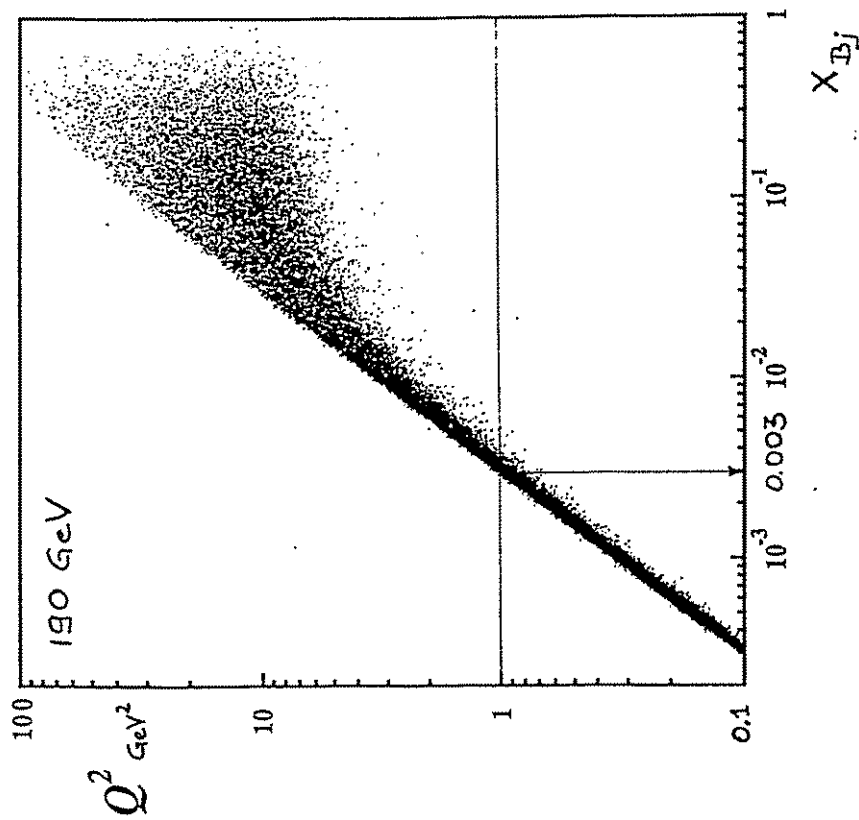
# SMC DATA SAMPLES

# KINEMATICS $x$ vs $Q^2$

	PROTON	DEUTERON
year	1993	1992
$E_{\mu}$	190 GeV	100 GeV
$x$	0.003 - 0.7	0.006 - 0.6
$Q^2$	1 - 60 GeV <sup>2</sup>	1 - 30 GeV <sup>2</sup>
$\langle P_L \rangle$	0.86	0.35 ; max 0.43
$P_{\mu}$	-0.80	-0.82
# ev aftercuts	$4.4 \cdot 10^6$	$3.2 \cdot 10^6$

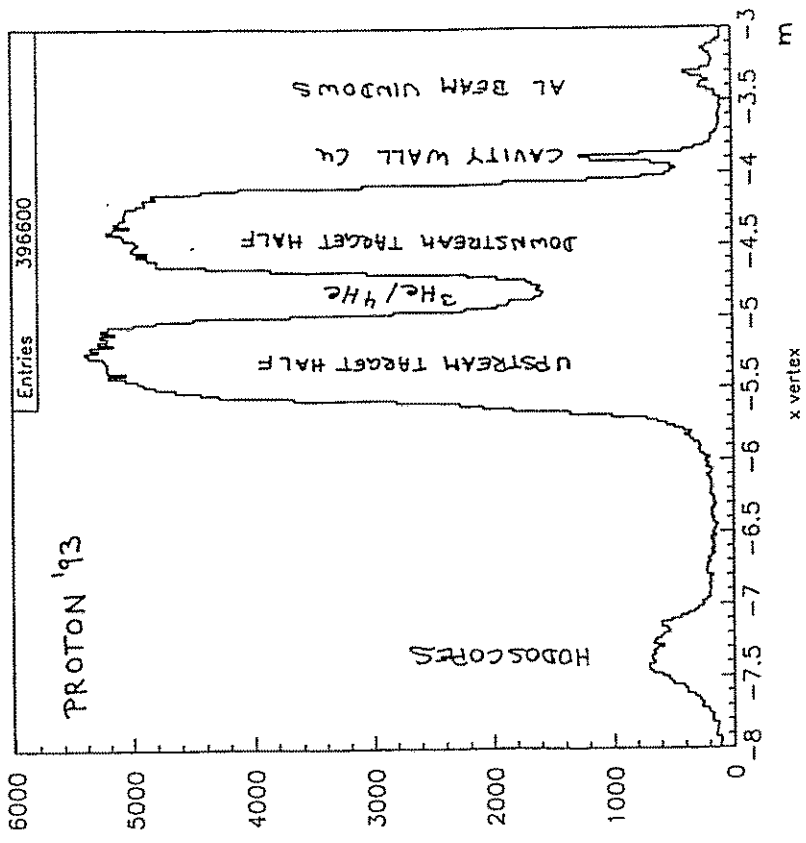
PLB 329 (1994) 399      PLB 302 (1993) 533

- TRANSVERSE POLARISATION OF TARGET  
0.8 · 10<sup>6</sup> evnts 100 GeV 1993; PLB 336 (1994) 125
- SEMI-INCLUSIVE DATA
- DATA AT SMALL  $x$  WITH  $Q^2 < 1 \text{ GeV}^2$



# INTERACTION VERTICES

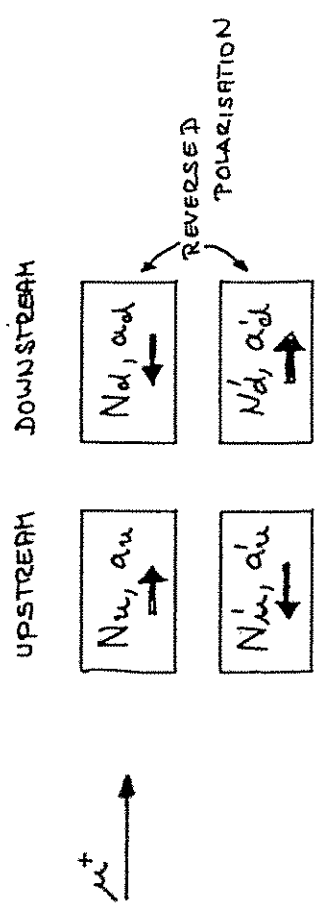
93/12/22 17.42



# EXTRACTION OF THE ASYMMETRY $A_1$

$$N = n \alpha \phi \bar{\sigma} [1 - f P_u P_e D (A_1 + \overbrace{\eta A_2}^{\text{small}})]$$

$$A = \frac{\sigma_{\uparrow\uparrow} - \sigma_{\uparrow\downarrow}}{\sigma_{\uparrow\uparrow} + \sigma_{\uparrow\downarrow}}$$



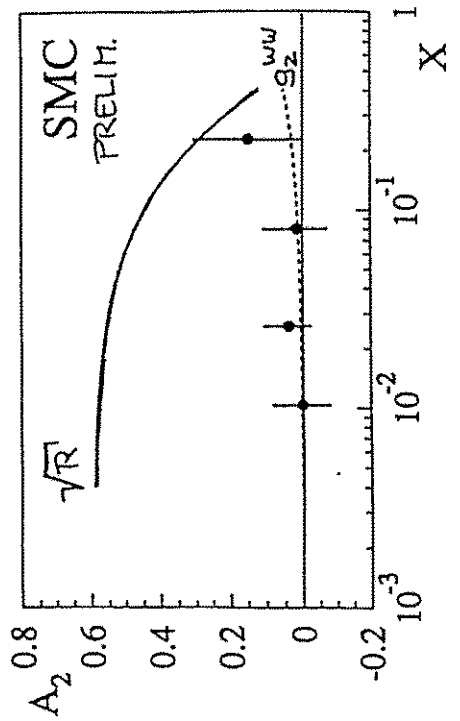
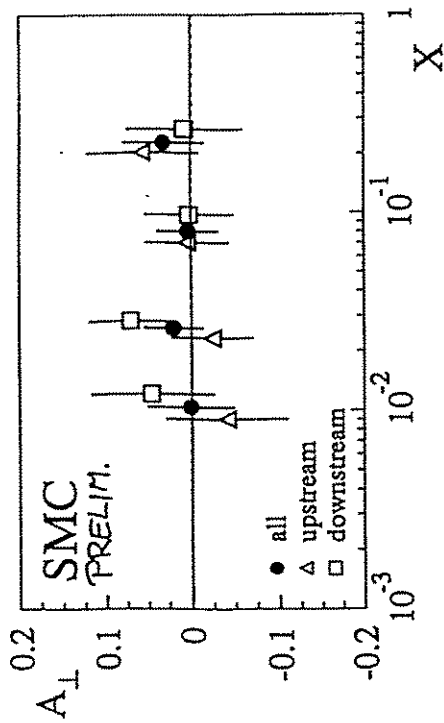
$$\frac{N'_u N_d}{N_u N'_d} = \frac{a'_u / a'_d}{a_u / a_d} (1 + 4 f P_u P_e D A_1 + \dots)$$

"RAW ASYMMETRY"  
~ 0.01

$n, \phi, \sigma_0$  CANCEL  
ONLY ACCEPTANCE RATIO MUST  
BE CONTROLLED

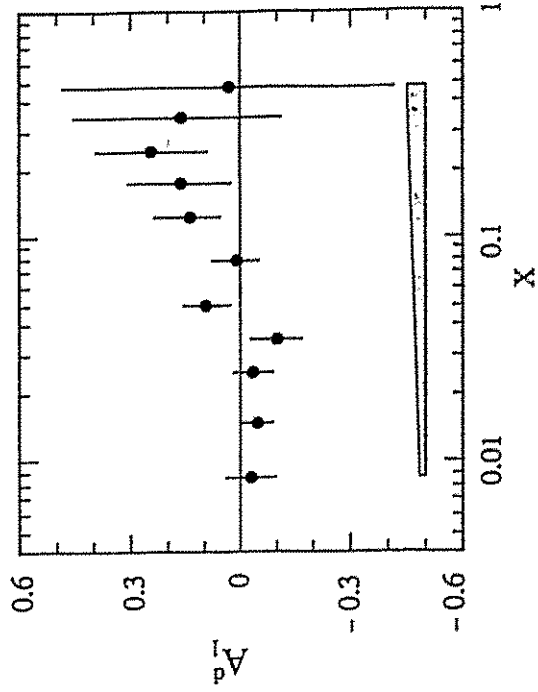


# A<sub>1</sub> AND A<sub>2</sub> PROTON



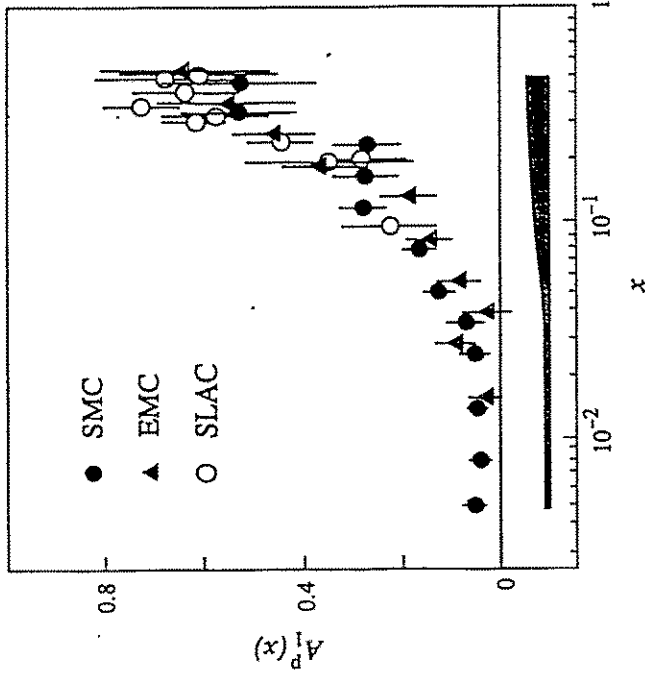
# ASYMMETRY A<sub>1</sub><sup>d</sup>

$$A_1 = \frac{1}{2} A_{11} - \underbrace{2A_2}_{\text{small}} = \frac{g_1}{F} - \underbrace{\frac{g^2 g_2}{F}}_{\text{small}}$$

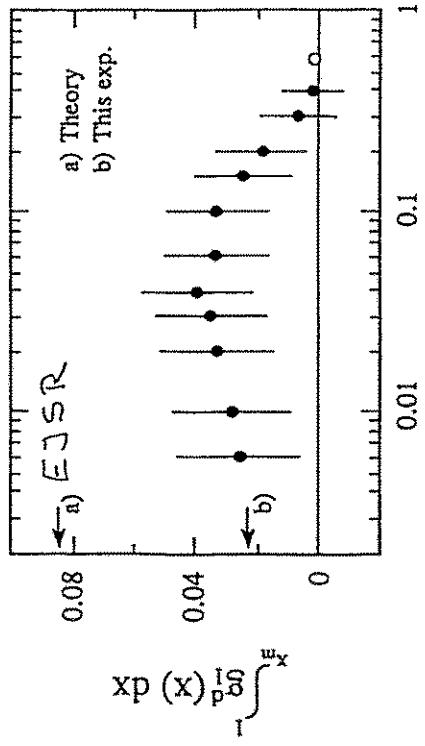
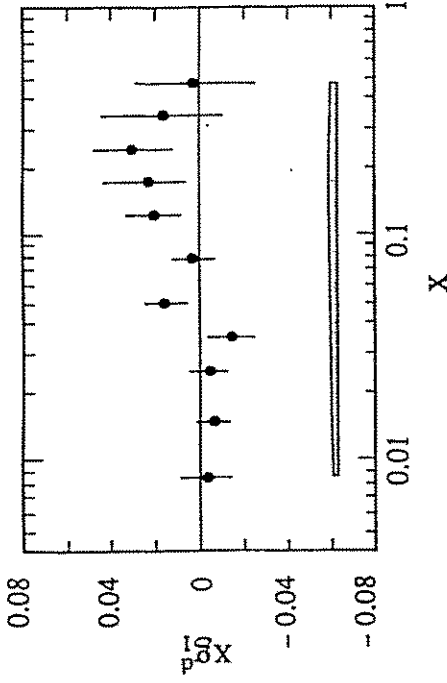


# ASYMMETRY $A_1^p$

SMC, PLB 329 (1994) 399

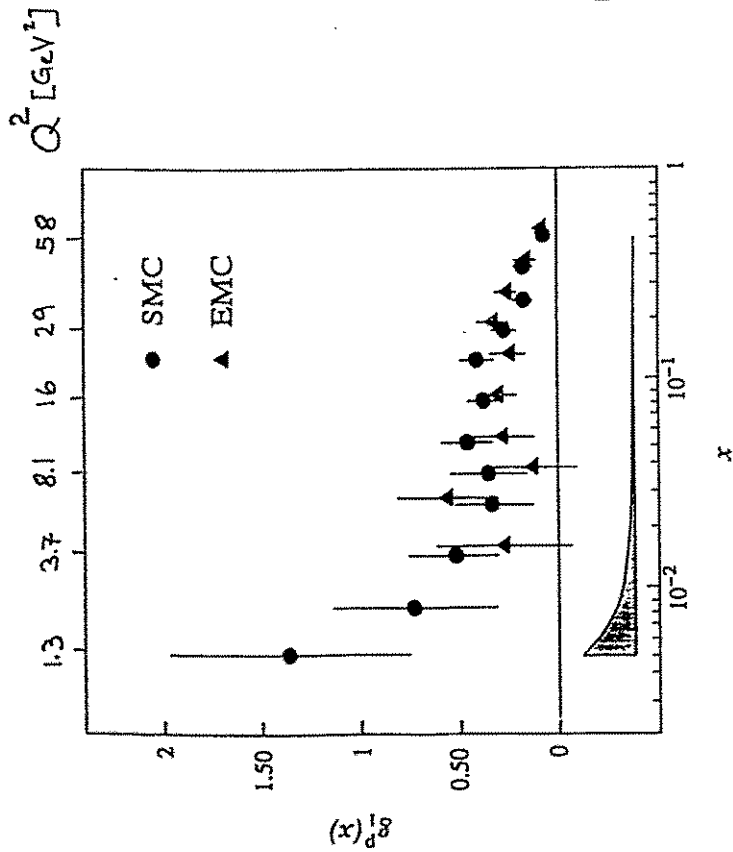


# DEUTERON $g_1^d$ $T_1^d$



EJSR: ELLIS-JAFFE SUM RULE FOR  $T_1^n + T_1^p$   
 multiplied by  $(1 - \frac{2}{3}\omega_D)$   
 $\omega_D = 5.8\%$  DEUTERON D-state

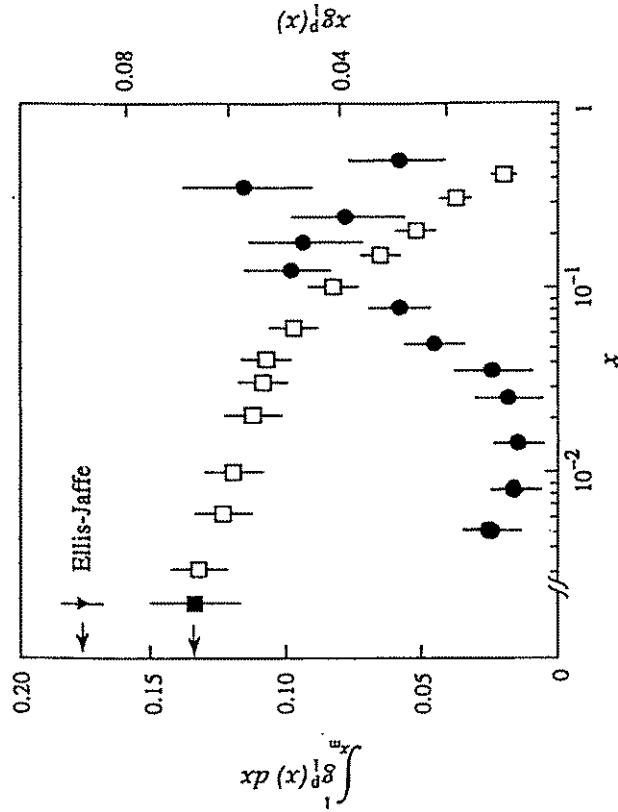
$$g_1^P(x, Q^2)$$



$$\Gamma_1^P(10 \text{ GeV}^2) \text{ SMC}$$

$$\Gamma_1^P = 0.136 \pm 0.011 \pm 0.011$$

$$\Gamma_{1, E}^P = 0.176 \pm 0.006 \quad (n_f=4, \alpha_s=0.23)$$



For  $0.01 < x < 0.7$

$$\text{EMC} \quad \Gamma_1^P = 0.124 \pm 0.013 \pm 0.019$$

$$\text{SMC} \quad 0.118 \pm 0.010 \pm 0.009$$

**Excellent agreement**

# SMC RESULTS

10 GeV<sup>2</sup>      4.6 GeV<sup>2</sup>  
**PROTON**      **DEUTERON**

$\Gamma_1^{\text{SMC}}$	$0.136 \pm 0.11 \pm 0.11$	$0.049 \pm 0.044 \pm 0.052$ ( $\Gamma_1^{\text{P,T}}$ )
$\Gamma_1^{\text{EJSSR}}$	$0.176 \pm 0.006$	$0.187 \pm 0.010$
$\Delta \Sigma$	$0.22 \pm 0.10 \pm 0.10$	$0.06 \pm 0.20 \pm 0.15$
$\Delta S$	$-0.12 \pm 0.04 \pm 0.04$	$-0.21 \pm 0.07 \pm 0.05$

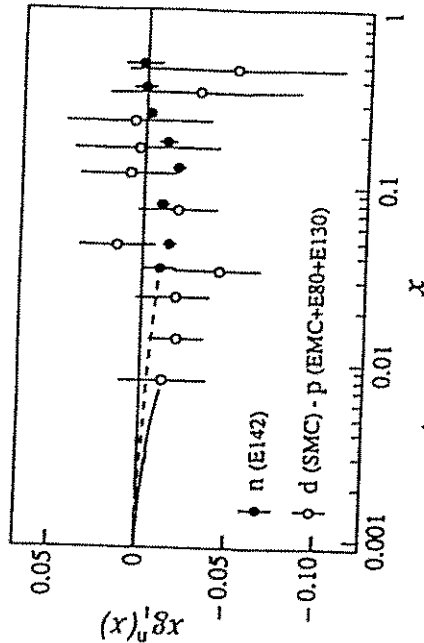
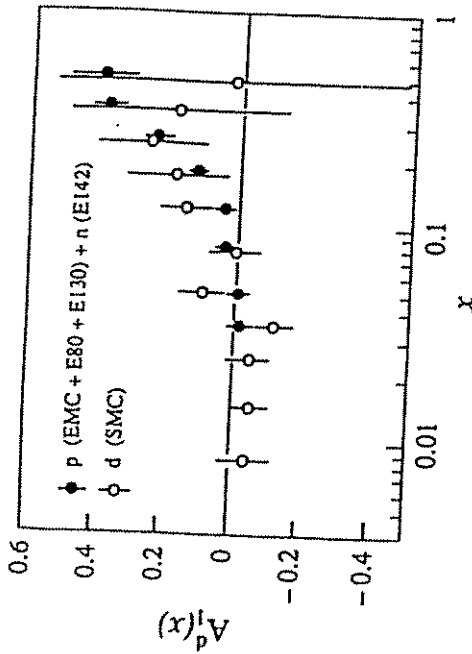
- QUARKS CARRY LITTLE OF NUCLEON SPIN  $\Delta \Sigma < 0.6$
- STRANGE SEA NEGATIVELY POLARIZED  $\Delta S < 0$

PROTON: SMC & EMC & SLAC E80 E130

$\Gamma_1^{\text{P}}$	$= 0.142 \pm 0.008 \pm 0.011$
$\Delta \Sigma$	$= 0.27 \pm 0.08 \pm 0.010$
$\Delta S$	$= -0.10 \pm 0.03 \pm 0.04$

$\Gamma_1^{\text{EMC}} = 0.126 \pm 0.010 \pm 0.015$

COMPARISON w E-142 <sup>3</sup>He  
 PRL 71 (1993) 959  
 PLB 320(1994) 400



# PRELIMINARY RESULTS FROM SLAC E-143

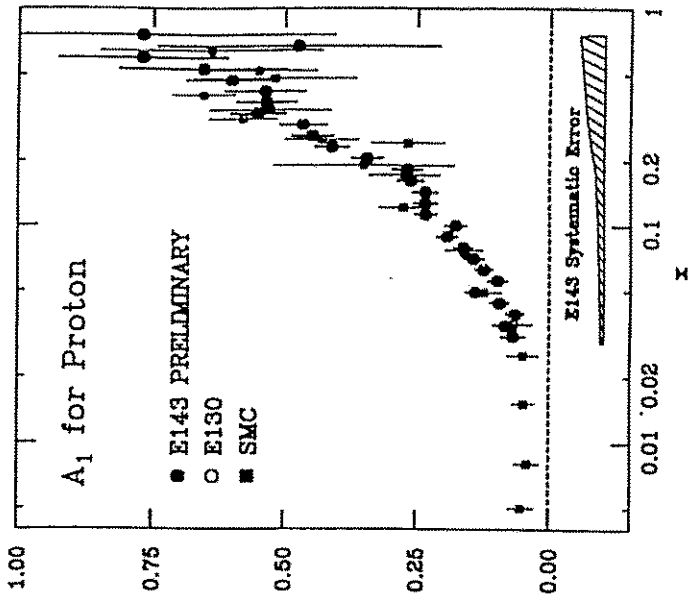
SLAC-PUB 6508 1994

$$T_1^P = 0.129 \pm 0.004 \pm 0.009 \text{ at } Q^2 = 3 \text{ GeV}^2$$

$$T_{1E3}^P = 0.160 \pm 0.006 \quad Q^2 = 3 \text{ GeV}^2$$

$$\Delta\Sigma = 0.29 \pm 0.10$$

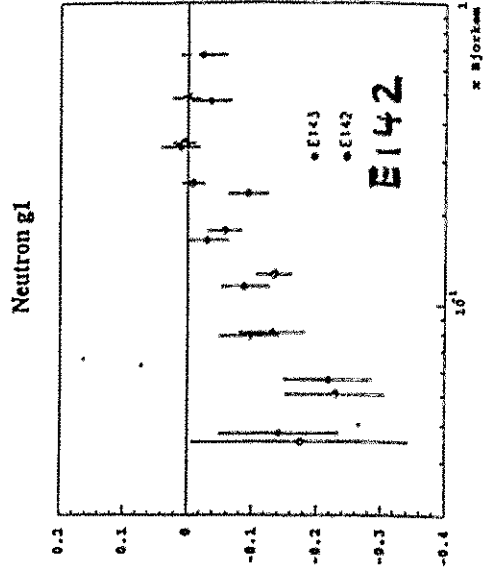
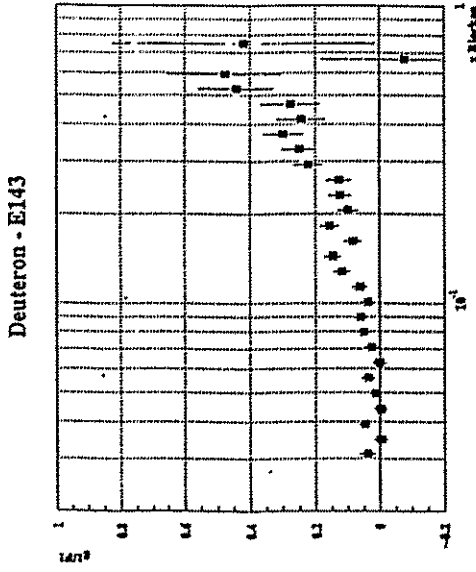
$$\Delta S = -0.10 \pm 0.04$$



# SLAC E-143 DEUTERON

PRELIMINARY

$$\frac{g_1^D}{F_1^D} \approx F_1^D$$



# DATA SUMMARY

$\Delta\Sigma, \Delta s$  are recalculated using the same values for  $\alpha_s(m_Z), n_f, g_a, F/D$  for all experimental results

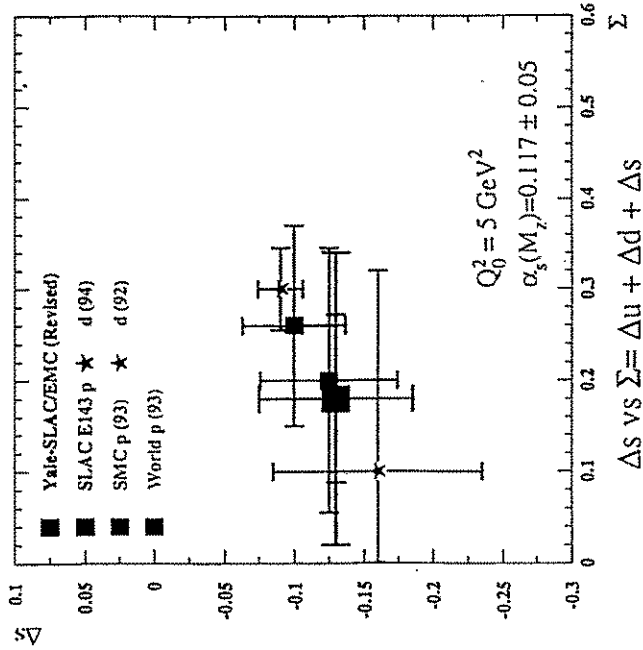
Summary of all data on the first moments of  $g_1$  of the nucleon  
 $g_a = 1.257, F/D = 0.575, \alpha_s(m_Z) = 0.116$   
 The calculation was performed for 4 flavours and  $\mathcal{O}(\alpha_s^2)$

Experiment	$\Gamma_1$	year	$\Gamma_1$	$(Q^2)$	$\alpha_s$	$\Delta\Sigma$	$\Delta s$
SMC	p+n (d)	1993	$0.049 \pm 0.054$	4.6	0.27	$0.09 \pm 0.25$	$-0.16 \pm 0.14$
SMC	p	1994	$0.136 \pm 0.016$	10	0.24	$0.24 \pm 0.14$	$-0.11 \pm 0.06$
SMC/casflier	p		$0.142 \pm 0.014$	10	0.24	$0.29 \pm 0.13$	$-0.10 \pm 0.05$
E-142	n ( $^3\text{He}$ )	1993	$-0.022 \pm 0.011$	2	0.34	$0.48 \pm 0.11$	$-0.03 \pm 0.06$
E-143	p	1994	$0.129 \pm 0.010$	3	0.31	$0.21 \pm 0.10$	$-0.12 \pm 0.04$
E-143	p+n (d)	1994?	$0.094 \pm 0.006$	3	0.31	$0.30 \pm 0.07$	$-0.09 \pm 0.03$

$$\Delta\Sigma \sim 0.30$$

$$\Delta s \sim -0.10$$

Total and Strange Spin Contents in the Nucleon



# BORKEN SUN RULE

CONSEQUENCE OF QCD :

$$\int g_s^2 \alpha_s dx = \Gamma_1^p - \Gamma_1^n$$

$$\text{SMC } p + E142 \text{ n} + \text{SMC } d$$

$$\Gamma_1^p - \Gamma_1^n = 0.163 \pm 0.017 \quad (5 \text{ GeV}^2)$$

DISCARDING E-142 n EXTRAPOLATION TO  $x \rightarrow 0$

$$\Gamma_1^p - \Gamma_1^n = 0.204 \pm 0.029$$

$$\text{THEORY} \quad 0.185 \pm 0.004 \quad @ \quad 5 \text{ GeV}^2$$

$$E143 \text{ p} \ \& \ E142 \text{ n}$$

$$0.151 \pm 0.014 \quad 3 \text{ GeV}^2$$

$$\text{THEORY} \quad 0.171 \pm 0.008 \quad 3 \text{ GeV}^2$$

$$E143 \text{ p} + d$$

$$0.164 \pm ? \quad \therefore \quad 3 \text{ GeV}^2$$

**BORKEN SR VALID**

**AND TESTED TO ~ 10%**

USED TO EXTRACT  $\alpha_s (2.5 \text{ GeV}^2) = 0.375^{+0.062}_{-0.081}$

$\alpha_s (m_Z) = 0.122^{+0.005}_{+0.009}$       ELLIS, KARLINER  
CERN TH 7324/194

# QCD CORRECTIONS

$$N_f = 3$$

$$\Gamma_1^p(n) = \left[ 1 - \frac{\alpha_s}{\pi} - 3.58 \frac{\alpha_s^2}{\pi^2} - 20.2 \left( \frac{\alpha_s}{\pi} \right)^3 \right]$$

$$\left( + \frac{18a_1}{12} + \frac{a_2}{36} \right) \quad \swarrow \text{ estimates}$$

$$+ \left[ 1 - 0.33 \frac{\alpha_s}{\pi} - 0.55 \frac{\alpha_s^2}{\pi^2} - 2 \left( \frac{\alpha_s}{\pi} \right)^3 \right] \times$$

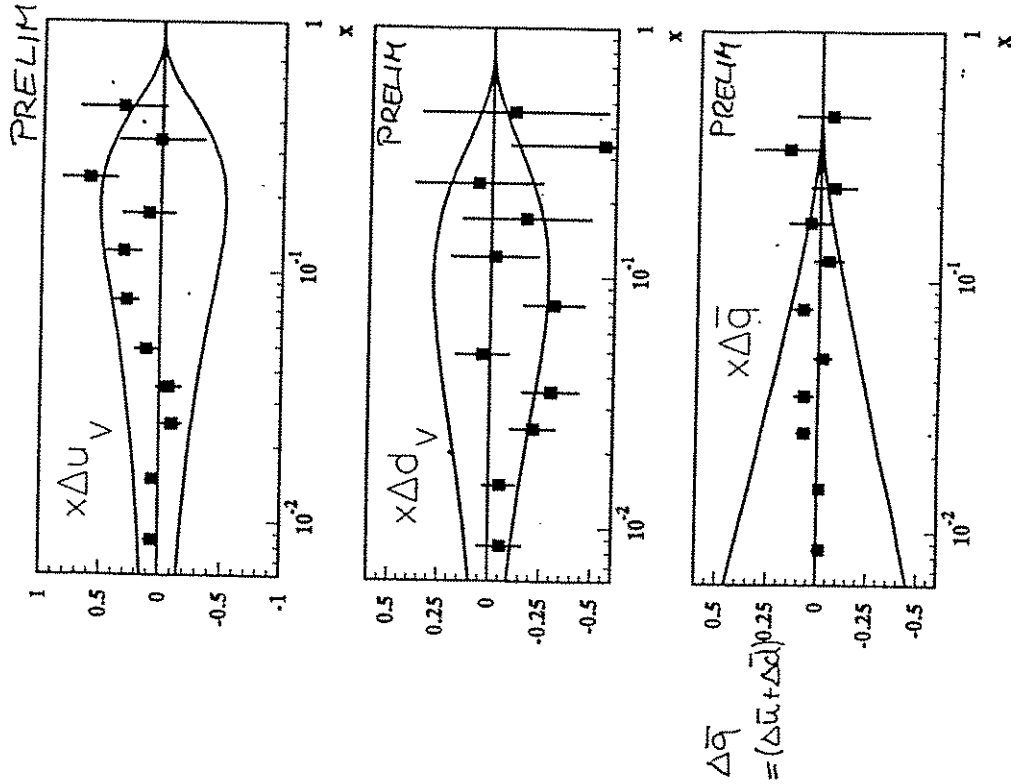
$$\frac{1}{9} \Delta \Sigma$$

LARIN, VERHAGEN

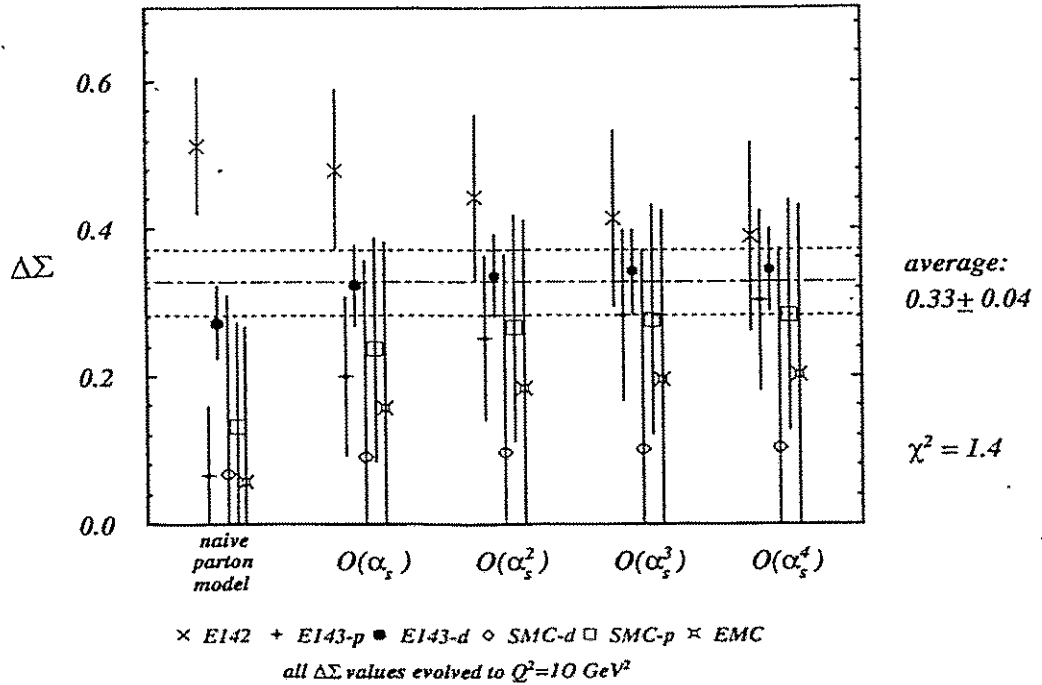
LARIN  
KATREV

# SEMI INCLUSIVE RESULTS

J. PRETZ  
FRETTAG NAGHM.



Proton spin fraction carried by quarks vs. order of QCD pert. theory



ELLIS &  
KARLINER



# DIFFICULTIES

- Assumed in analyses of  $T_1(Q_0^2)$

$$A_1(x, Q^2) = A_1(x)$$

- EXPERIMENTALLY NO HINT, BUT ERROR TOO LARGE
- CALCULATIONS SHOW VERY SMALL  $Q^2$  DEPENDENCE OF  $A_1$
- DEPENDS ON ASSUMED POLARISED GLUON DISTRIBUTION

$$g_1(x, Q_0^2) = \frac{A_1(x) F_2(x, Q_0^2)}{2x(1+R(x, Q_0^2))}$$

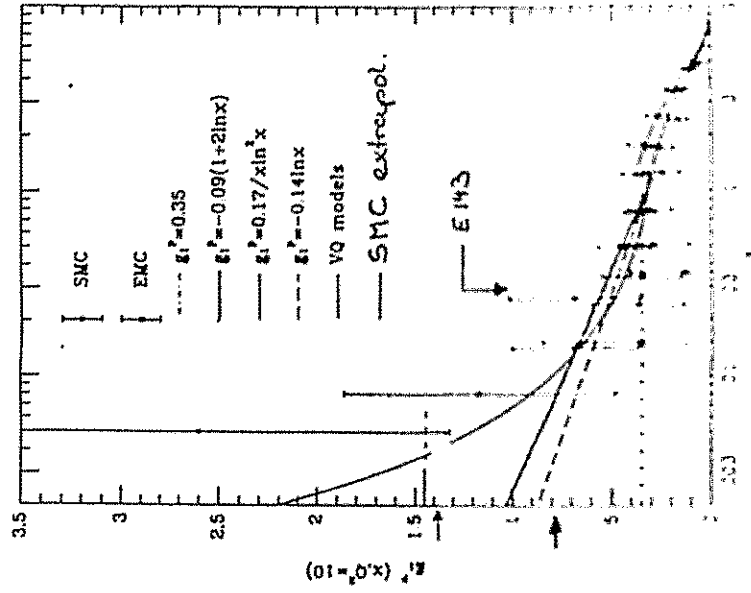
- GEHRMAN & STIRLING

- Extrapolation to  $x=0$ :

- REGGE THEORY  $g_1(x) \sim x^{-\alpha}$ ,  $-0.5 < \alpha < 0$
- NORMALLY ASSUMED  $\alpha=0$
- SMC PROTON DATA INDICATE RISE AT SMALL X
- Bass & Landshoff Zgluon exchange may go like

$$g_1 \sim 2 \ln \frac{1}{x} - 1$$

- would change E-143 result by 0.012 SMC unchanged



© 1996 J.G.O. Physics BRL 94/071  
 — S. Bass & P. Landshoff NIP 94/4  
 Cambridge

## OUT LOOK

1994 SMC  $\alpha$  ca 5fache Stat.  
1995 SMC  $\alpha$  orp  
E-154  $^3\text{He}$  506eV  
HERMES  $^3\text{He}$ ?  
? ?  
1996 "  $\text{p}, \alpha$  50 GeV

1997 CERN  
NEUES MUON EXPERIMENT DISKUTIERT  
... SEMI INKLUSIVE STUDIEN  
POL / UNPOLARISIERT

Vorteil: HOHE ENERGIE, KLARE  
TRENnung VON QUARK  
UND TARGET FRAGMENTATION.

Ziel: Flavor Struktur des Nucleon  
STRANGENESS CONTENT

## ZUSAMMENFASSUNG

- NEUE DATEN SMC  $\text{p}, \alpha$   
E-142  $n$   
E-143  $\text{p}, \alpha$
- ALLE DATEN KONSISTENT
- $\Delta \Sigma \sim 0.3$   $\Delta S \sim -0.1$   
klein negativ
- SPIN PUZZLE BESTEHT WEITER
- Björken SUMMENREGEL O.K.

Neue NMC-Resultate  
aus der tiefinelastischen Myon-Streuung

A. Brüll  
Heidelberg

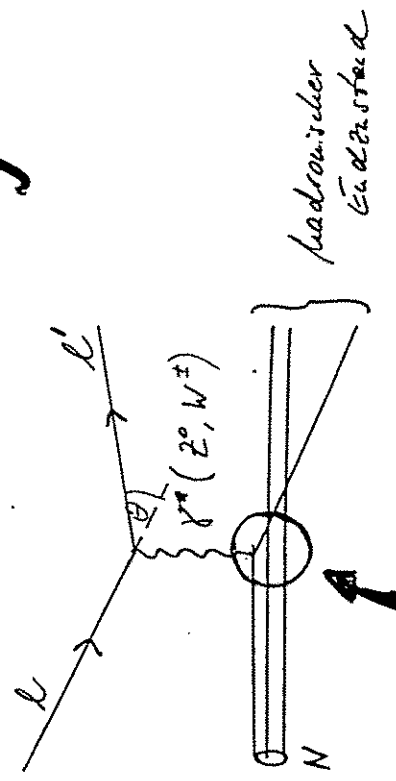
6.Oktober 1994

Neue NMC - Resultate  
 aus der tiefinelastischen  
 Myon-Streuung

Tirna, 6.10.94  
 A. Brill, Heidelberg

- Die Strukturfunktionen des Nucleons
- Die Gottfried-Summenregel
- Kerneffekte
- $F_2^A/F_2^D$  für  $x \rightarrow 0$
- $Q^2$ -Abhängigkeit von  $F_2^N/E^2$
- Ausblick

# Tiefinelastische $e-N$ Streuung



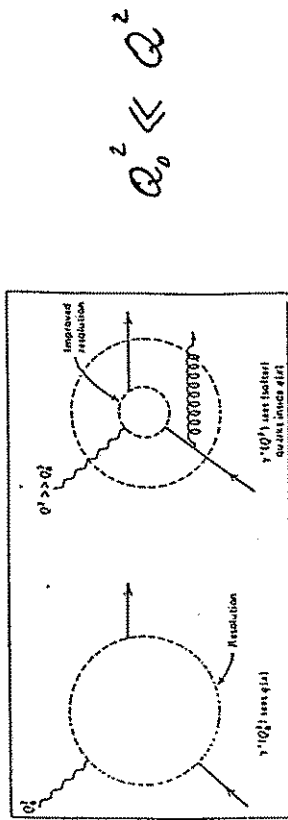
$$F_2, R, (F_3)$$

$$\begin{aligned}
 Q^2 &\sim 4EE' \sin^2 \frac{\theta}{2} \\
 \nu &= E - E' \\
 x &= Q^2 / 2M\nu \\
 y &= \nu / E
 \end{aligned}$$

## Strukturfunktionen

$$\frac{d^2 \sigma^{eN}}{dx dy} = \frac{4\pi \alpha^2}{Q^4} F_2(x, Q^2) \left( 1 - y - \frac{xy}{2E} + \frac{y^2}{2} \frac{1 + \frac{4M^2 x^2}{Q^2}}{1 + R(x, Q^2)} \right)$$

# l-N Streuung



$$Q_0^2 \ll Q^2$$

QPM:  $F_2 = F_2(x)$   
 =  $x \sum_i e_i^2 (q_i(x) + \bar{q}_i(x))$

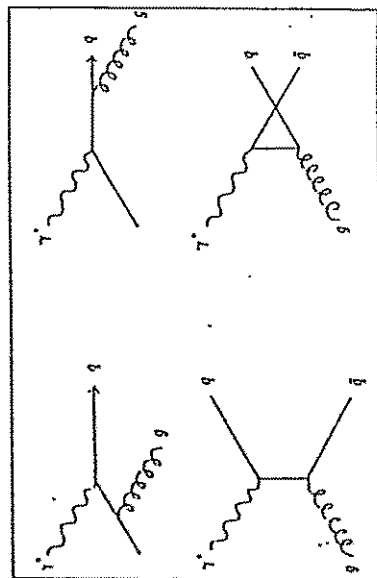
- Bjorken scaling

$$R \equiv 0 \quad \text{falls } S_q = \frac{1}{2}$$

$$(\infty \quad \text{falls } S_q = 1)$$

QCD:  $F_2(x) \rightarrow F_2(x, Q^2)$   
 $R(x, Q^2) \neq 0$

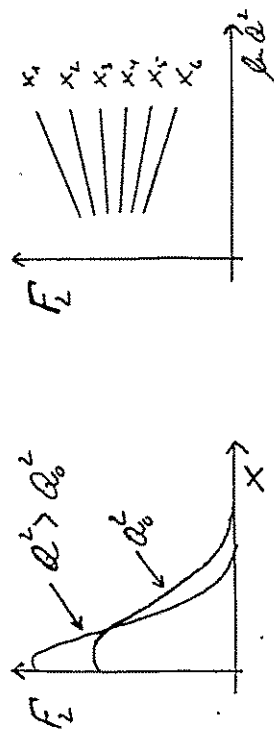
- Scaling violation



$\alpha_s$

Gribov-Lipatov-Altarelli-Parisi  
 $\rightarrow Q^2$ -Entwicklung der Strukturfunktionen

Logarithmische  $Q^2$  Abhängigkeit



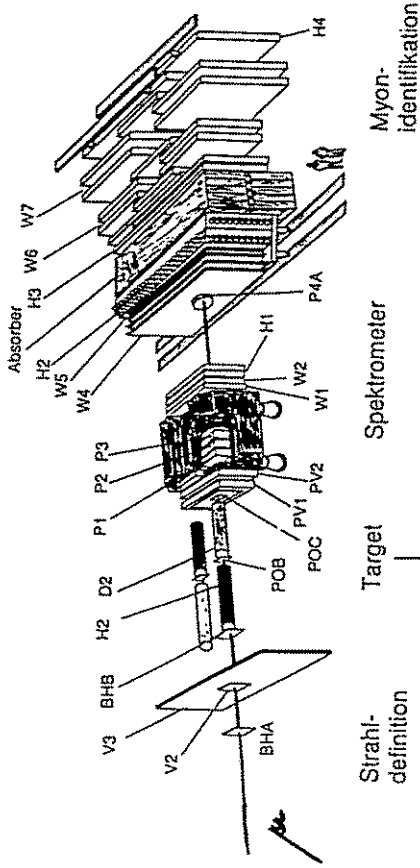
# Das NHC-Experiment

- CERN Myon-Strahl 90 - 280 GeV
- Datenerhebung 1986 - 89
- Experiment der 2. Generation ↔ Präzisionsexp.
- Wesentliche Ziele

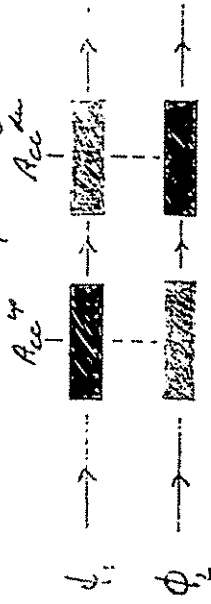
- Bestimmung der Strukturfunktionen des Nucleons  $F_1$  und  $F_2$  sowie  $R = \sigma_p/\sigma_n$
- Auflösung des EMC/SCDKS-Problems
- Erweiterung des kinematischen Bereichs
- Vergleich mit QCD  $\rightarrow$  Gluonverteilung
- Präzisionsmessung von  $F_2/F_1$
- Senare Untersuchung des EMC-Effektes
- $Q^2$ -Abhängigkeit
- $A$ -Abhängigkeit

- Neuproduktion von  $Z/\gamma, \phi, \rho$  Mesonen

# The NHC Spectrometer



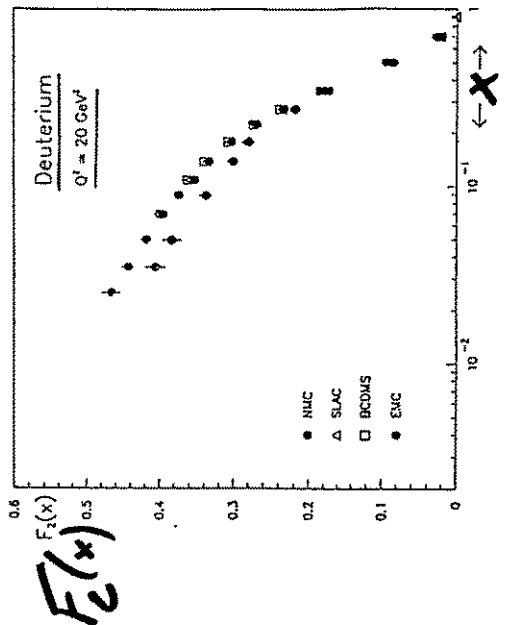
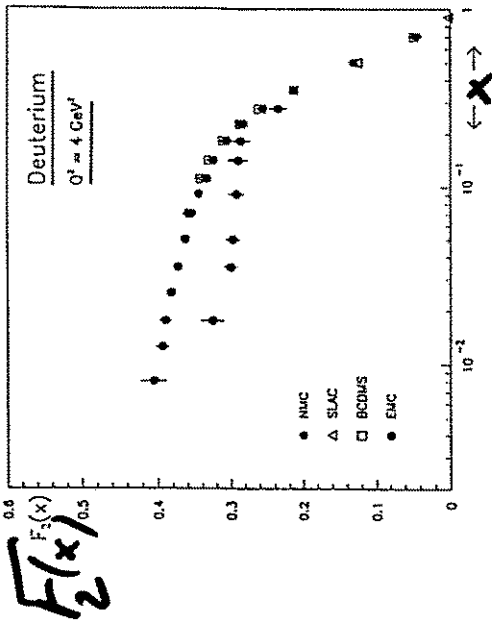
## The complementary Target setup



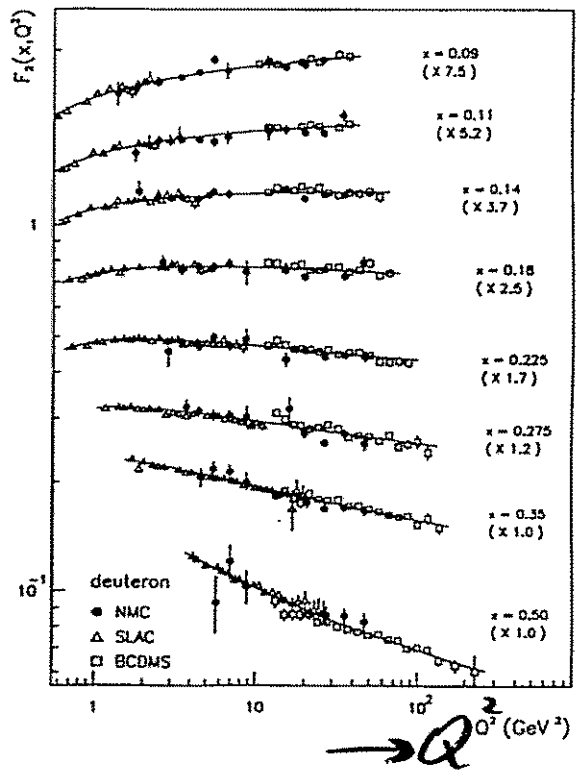
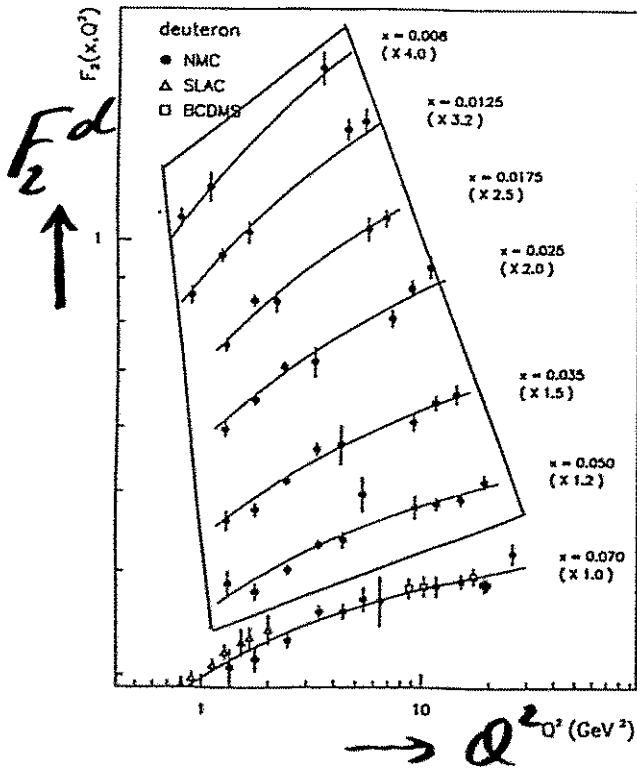
$$\frac{\sigma^A}{\sigma^B} \propto \sqrt{\frac{N_B^A \cdot N_B^A}{N_B \cdot N_B^A}}$$

material A

# NMC - SLAC - BCDMS - EMC



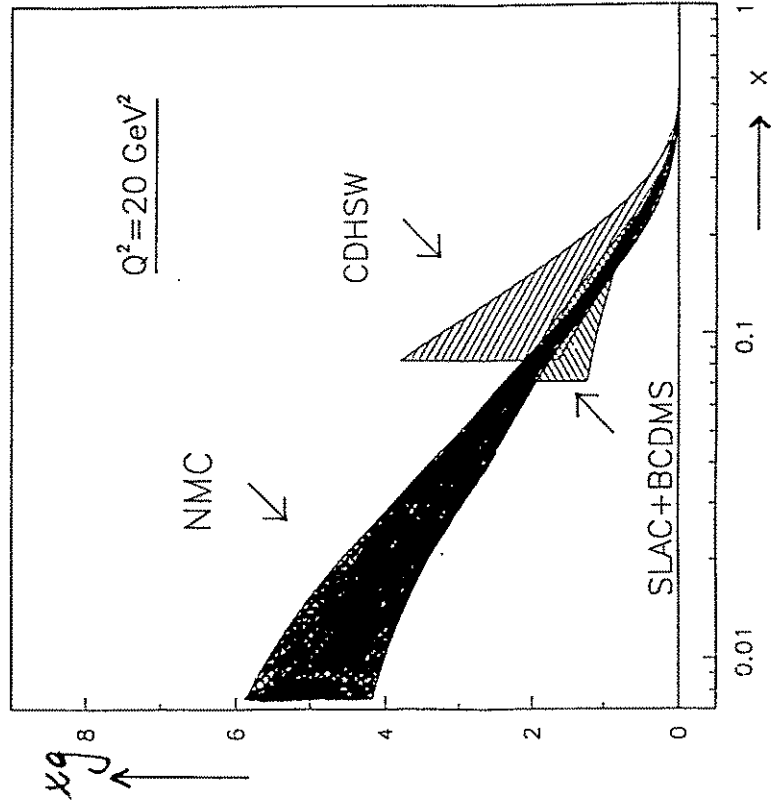
published (PLB295, 159 (1992))



# Comparison of $xg(x)$

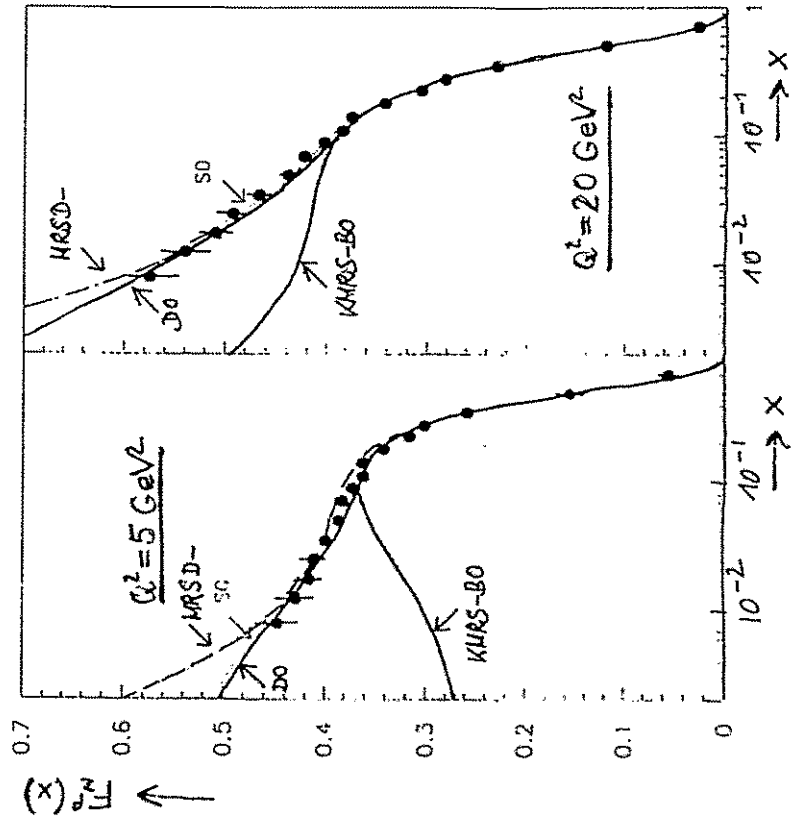
- deep inelastic scattering

↳ agreement  
extension to low  $x$   
accuracy



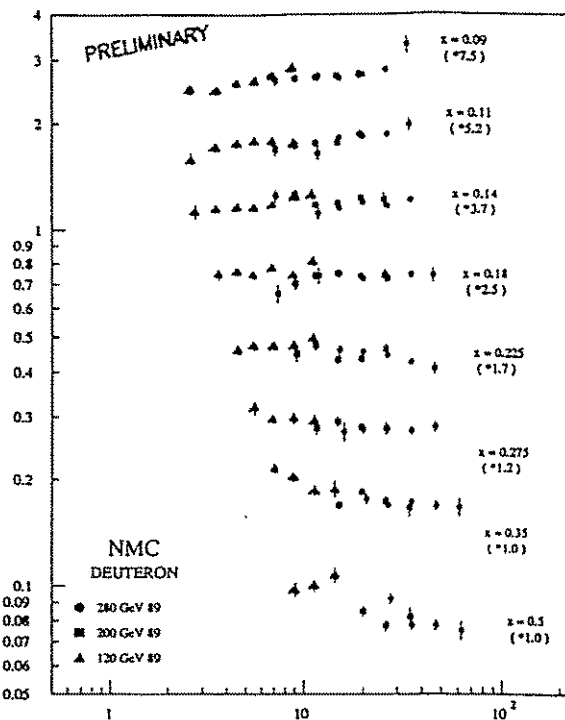
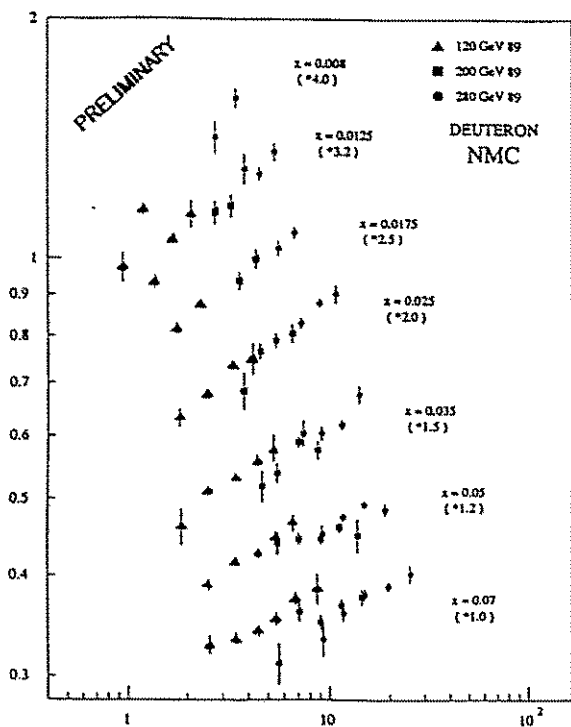
# Consequences for parametrisations of parton distributions

- old parametrisations (e.g. MRSD, MT-SB) don't describe the NMC data for  $x < 0.02$
- new parametrisations available

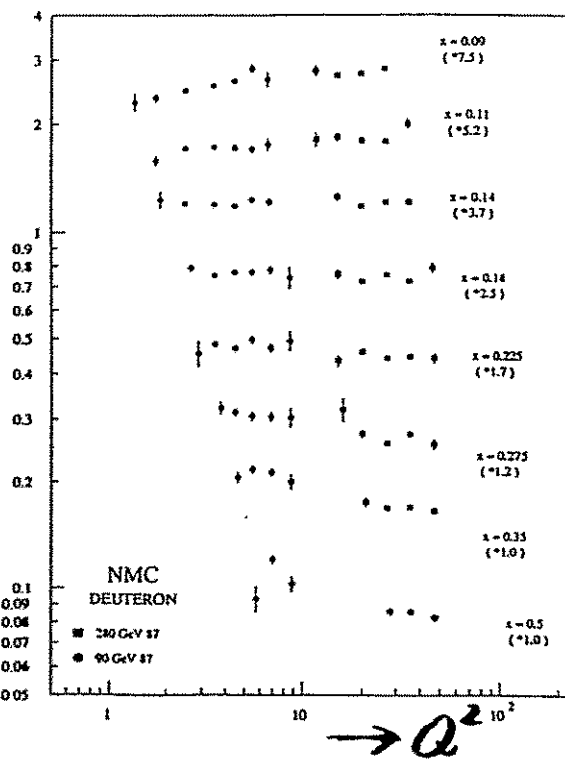
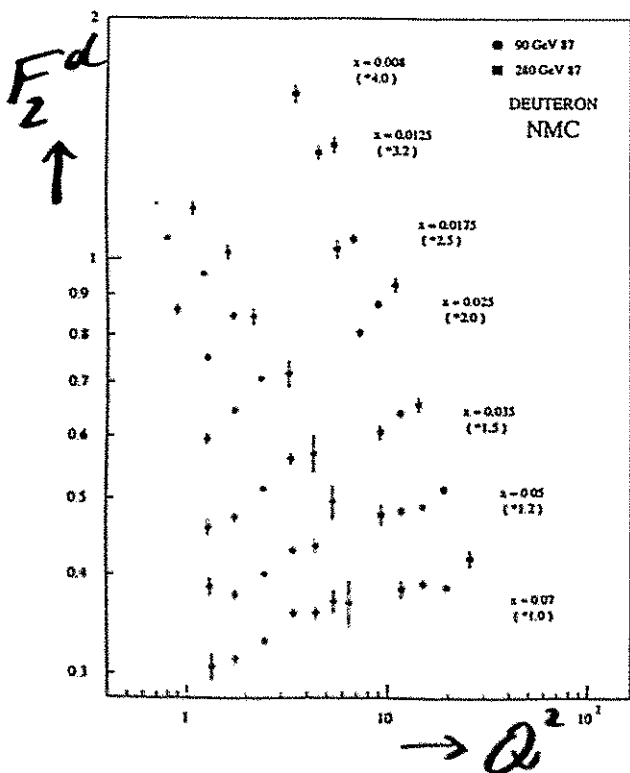




*new NMC data*



*published data*



# Die Goldfried-Summenregel

$$S_G = \int \frac{dx}{x} (\sqrt{2}^x - \sqrt{2}^{-x})$$

$$= \frac{1}{3} + \frac{2}{3} \int dx (\bar{u} - \bar{d})$$

NMC (1991, PRL 66, 2712):  $S_G = 0.240 \pm 0.016$

mit  $\sqrt{2}^x - \sqrt{2}^{-x} = 2\sqrt{2}^x \frac{1 - \sqrt{2}^{-2x}}{1 + \sqrt{2}^{-2x}}$

↑  
Parametrisierung der SMC, SMC' und EMC-NMC Daten

1992: NMC Resultate für  $F_2$

→ neue Parametrisierung (NMC' + SMC' + 3QMS)

mit Unterschieden bis zu 15%

→ neue Extrapolation der 90 GeV Daten

→ neuer Punkt für  $S_G$

# NMC-Daten zu $F_2^p$ & $F_2^n$

1992: Veröffentlich. der 90 + 280 GeV Daten

- kein Überlapp in  $x, Q^2$
- rel. große Unsicherheit in der Abregulierung

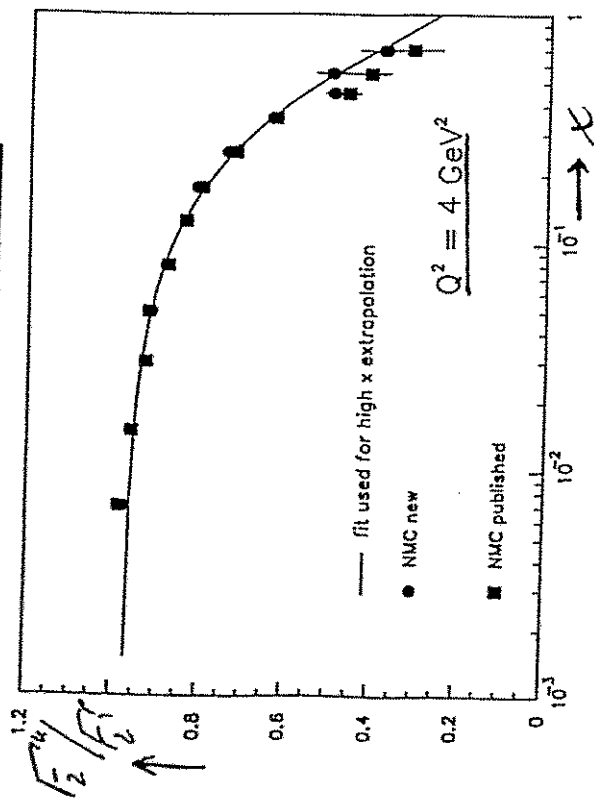
↓  
1993: Cartourenverteilungen sind als <sup>doppelte</sup> <sup>Unsicherheit</sup>

1994: vorl. Resultate für die 120, 200 + weite 280 GeV Daten



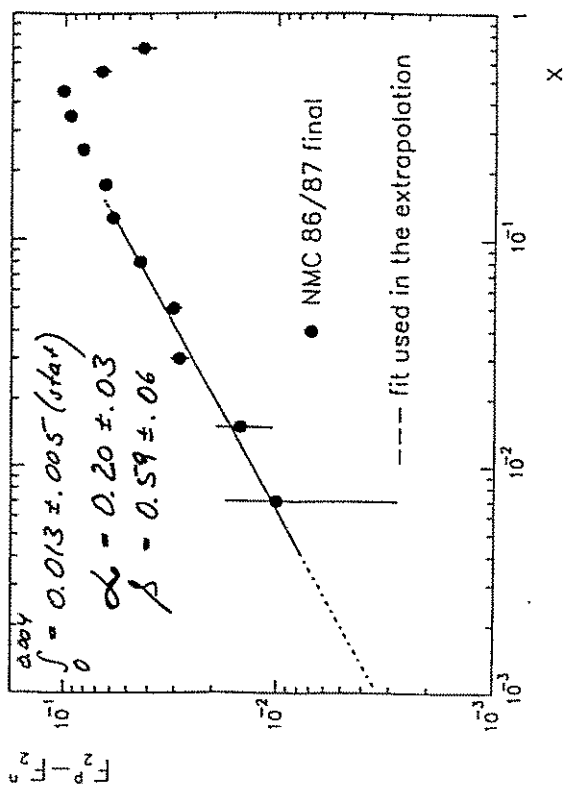
- deutliche höhere stat. und syst. Genauigkeit
- mögl. Bestimmung von  $R = \frac{\sigma_p}{\sigma_n}$

# Changes in $F_2^{nu}/F_2^p$



- at high  $x$  (compared to the published values)  
energy calibration 90 GeV
- at low  $x$  (radiative corrections)

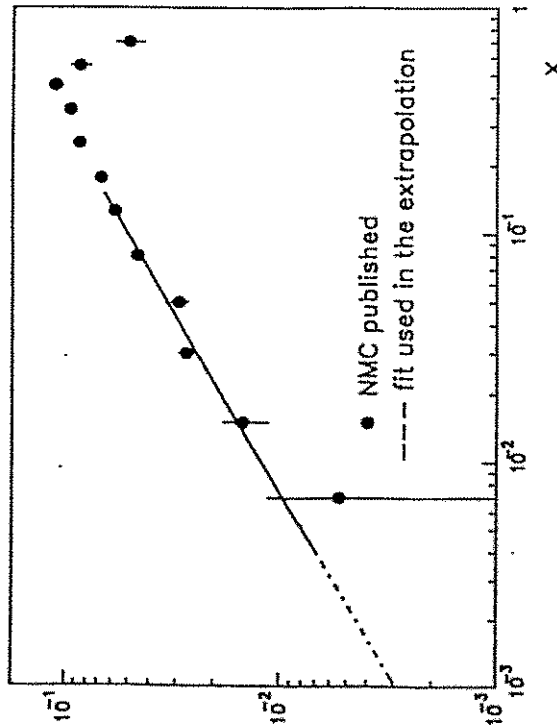
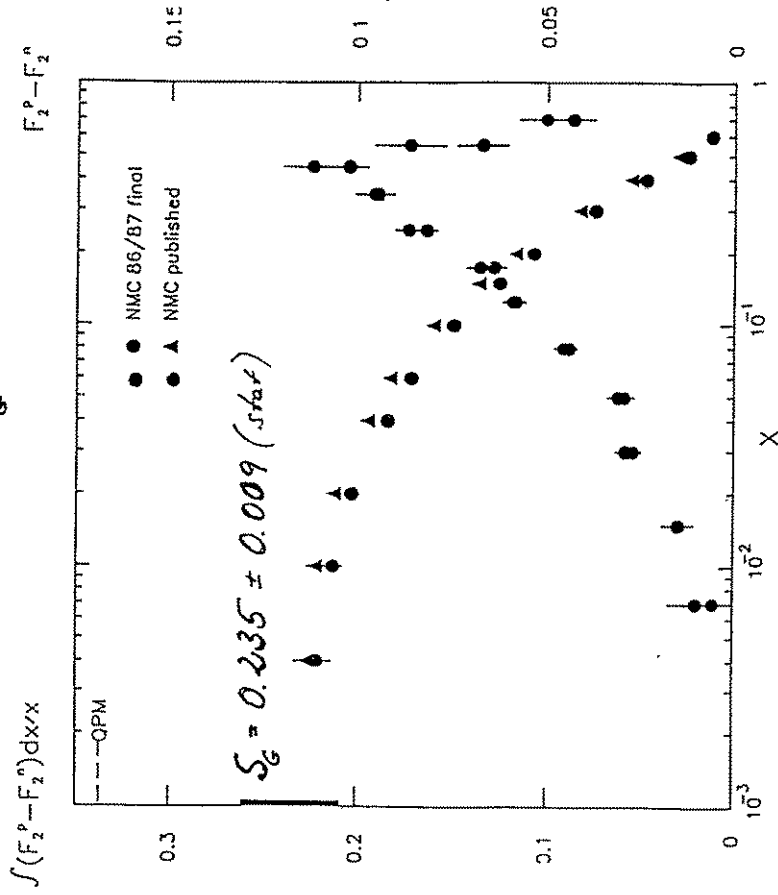
# Changes in $F_2^p - F_2^n$ and the extrapolation to $x=0$



published:  $G(0-0.004) = 0.111 \pm 0.003$  (stat)

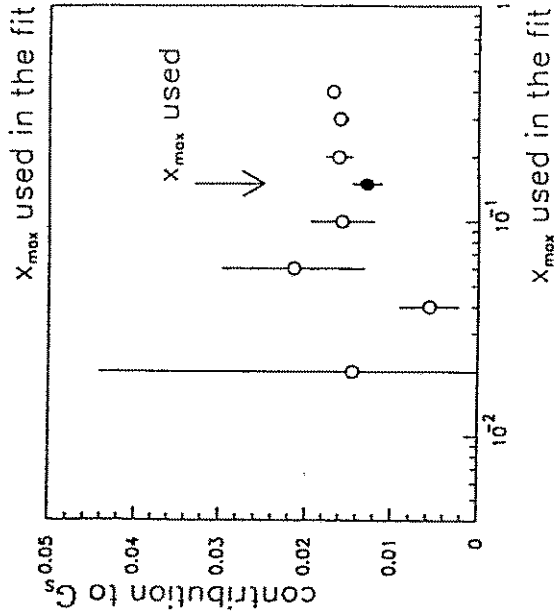
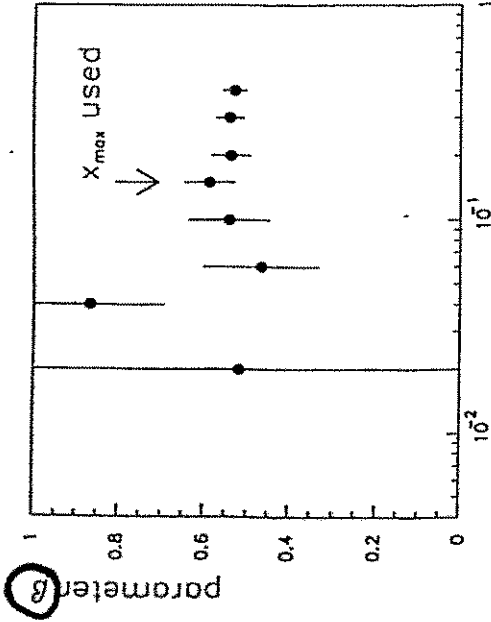
# Changes in $S_G$

measured range ( $0.004 < x < 0.07$ )  
 $S_G = 0.235 \pm 0.008$



published:  $S_G = 0.240 \pm 0.008$  (stat)

NMC final 86/87 data  $x_{min}=0.004$



$$F_2^p - F_2^n = \alpha \cdot x^\beta$$

# Systematic error

## On $F_2^p/F_2^n$ and $S_G$

extra-polation to  $x=0$  only weakly depending on the  $x$  range fitted!

- vertex smearing *unchanged.*
- momentum uncertainties *recalculated (reduced)*
- radiative corrections
- sets of maximal/minimal radiative corrections
- chosen such that  $\Delta F_2^p/F_2^n$  is minimal
- different  $F_2$  parametrisations at low  $x$ , low  $Q^2$  compared
- $F_2^p$  fixed instead of  $F_2^n$

## • uncertainty in $F_2^n$ ( $F_2^p$ )

- ! → 5%  $\forall x, Q^2$
- ! → changed in the same way in the calculation of  $S_G$  and rad. corrections

# Nuclear effects

- systematic uncertainty of the extrapolation to  $x=0$  treated together with the measured range



no shadowing corr.  
no higher twist corr.

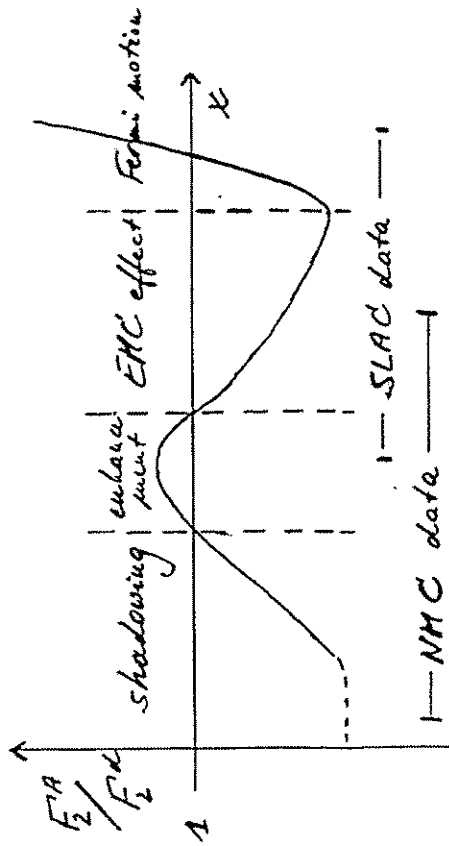
$$\int \frac{dx}{x} (F_2^p - F_2^n) = 0.235 \pm 0.026$$



conclusions unchanged

$$F_2^A + F_2^d$$

observation:



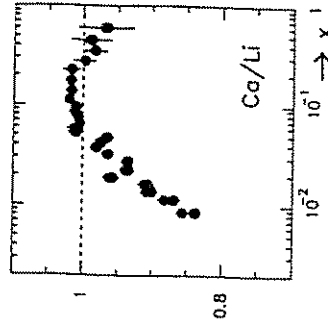
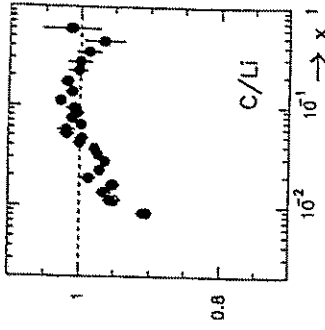
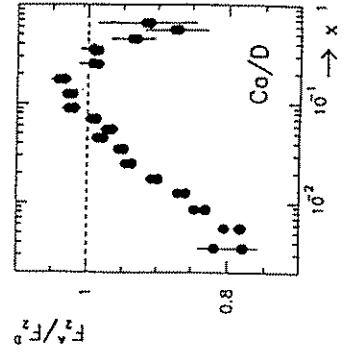
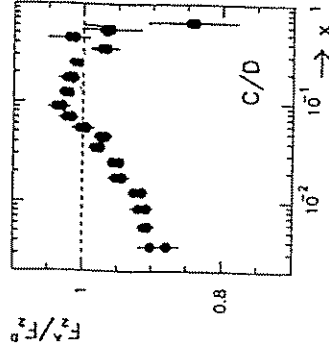
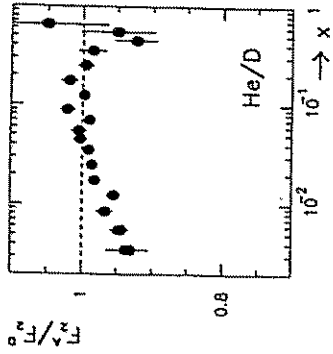
- saturation of shadowing for  $x \rightarrow 0$ ?
- A dependence of shadowing, enhancement & EMC effects?
- $Q^2$  dependence?

# Neuberechnung der nuklearen Strukturfunktionshöhen

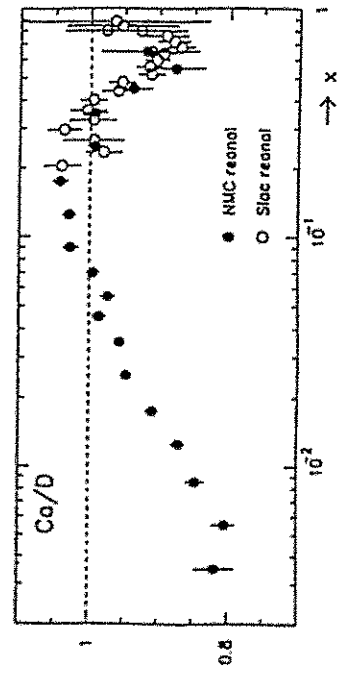
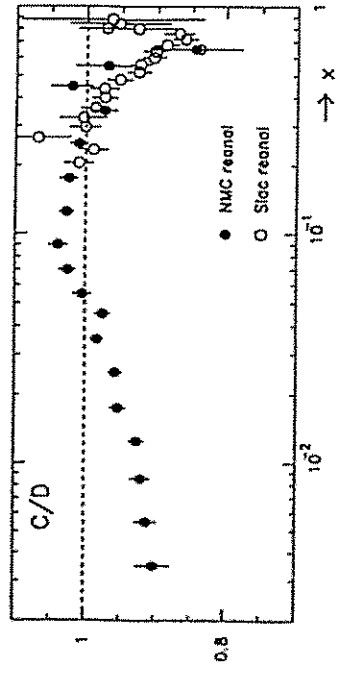
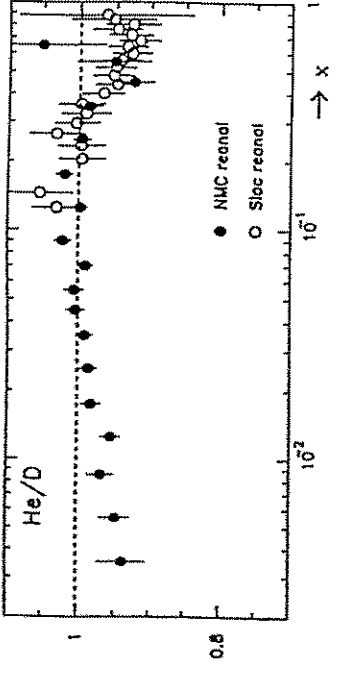
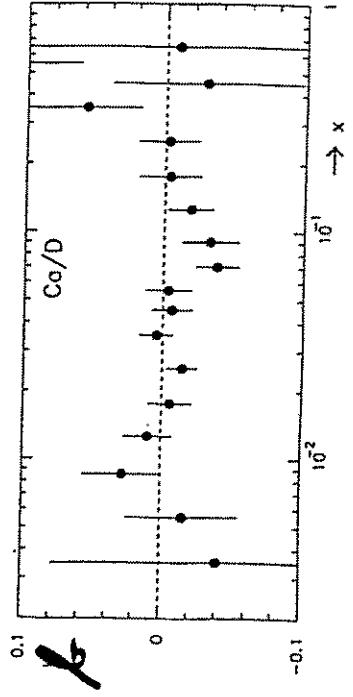
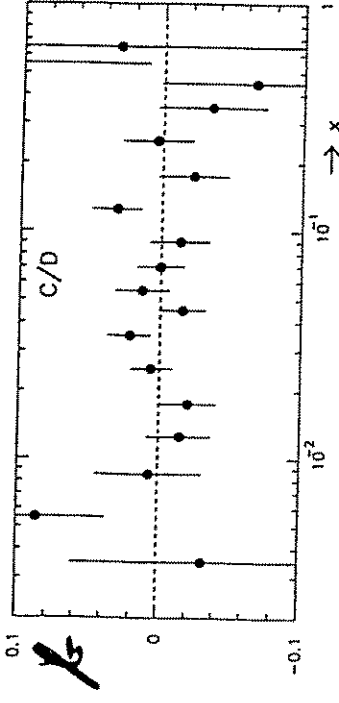
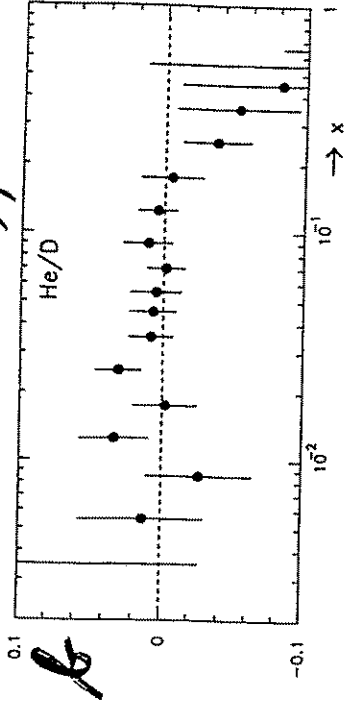
- Fründe:
- 1) Änderung von  $F_2$   
→ neue Strahlungsstärken
  - 2) Fehler in der Neuberechnung  
des Deuteriumtargets in  
den C/D- und Ca/D-Daten
  - 3) Verbesserte Methode zur  
Berechnung der Strahlungsstärken

→ neue Werte für  
He/D, C/D, Ca/D  
C/Li, Ca/Li

- Neuberechnung
- Prüfwerte & Werte

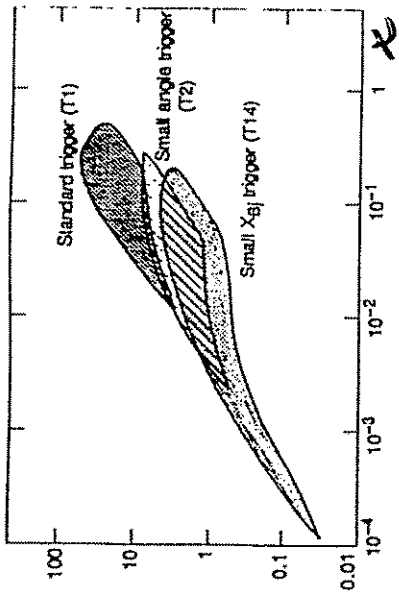


$\alpha^2$  - Abhängigkeit  
 $\beta := \alpha \left( \frac{D_A}{F_A} \right) / d \alpha \alpha^2$



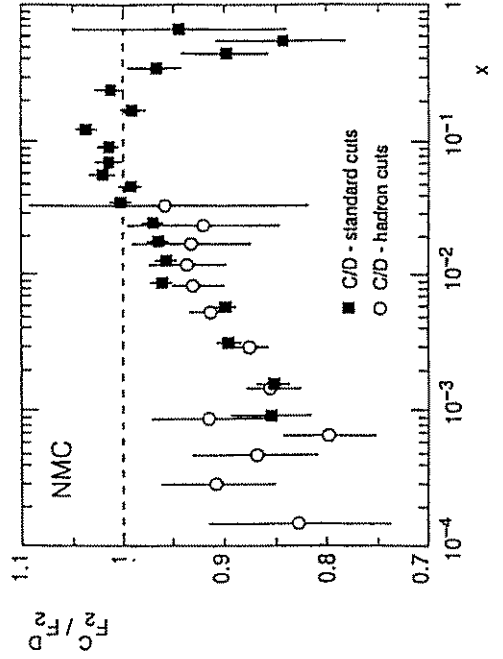
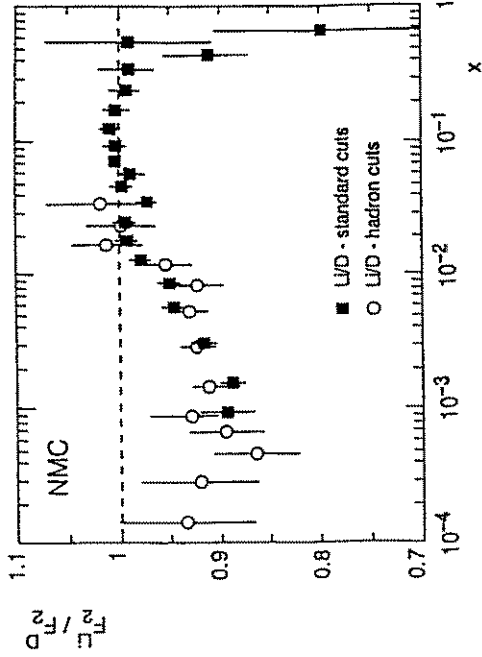
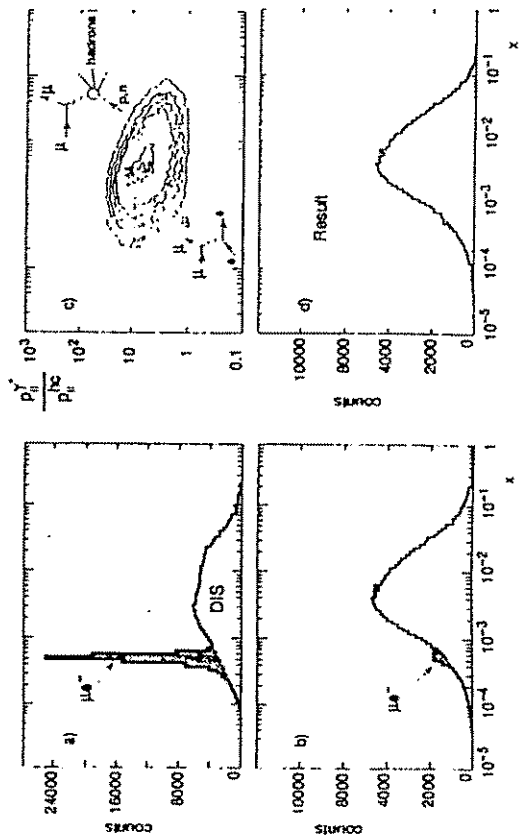


$F_2^A / F_2^D$  bei kleinen  $x$

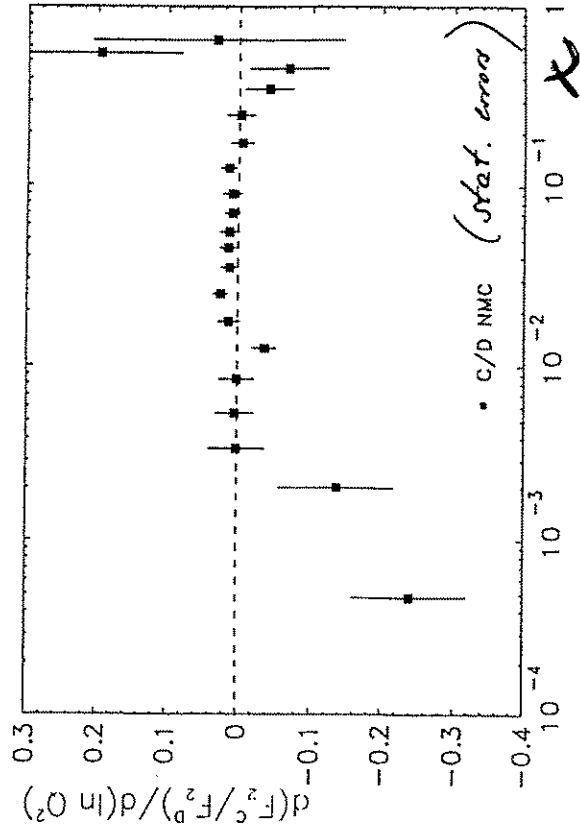


1989  
zusätzliche  
Trigger  $\varnothing$   
 $\rightarrow x > 10^{-4}$

Problem: Separation der tiefenlastigen Ereignisse (elastische  $\mu$ -e-Streue bei  $x \sim \frac{1}{W}$  !)

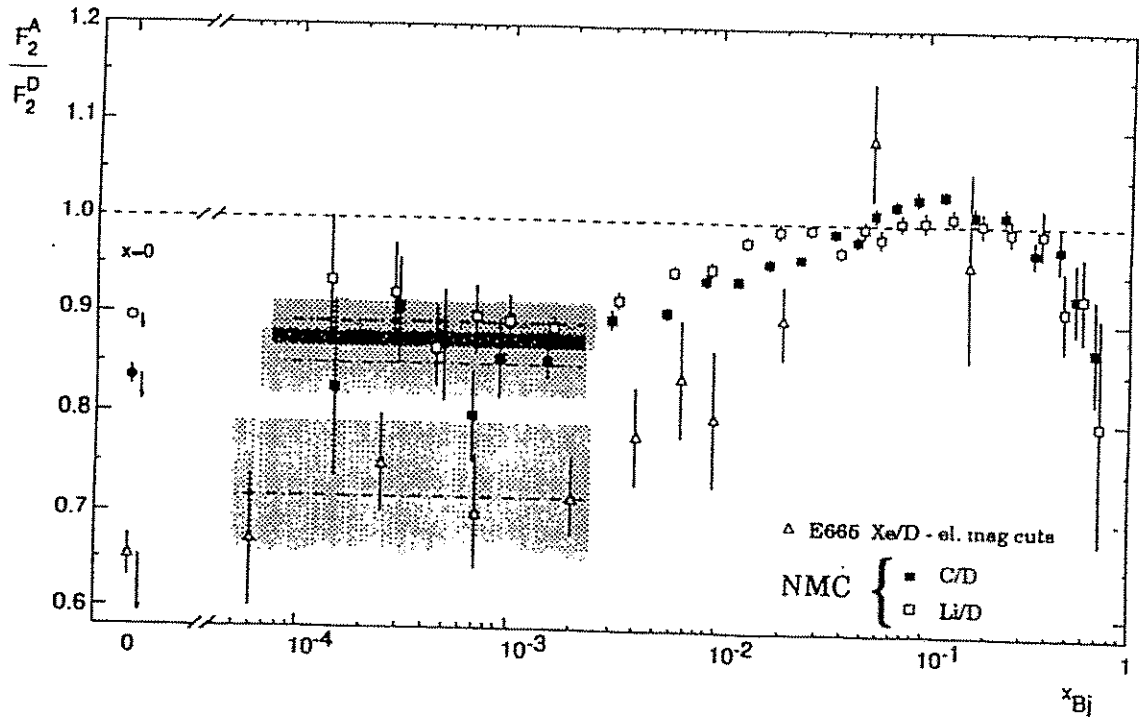


# $Q^2$ -Abhängigkeit

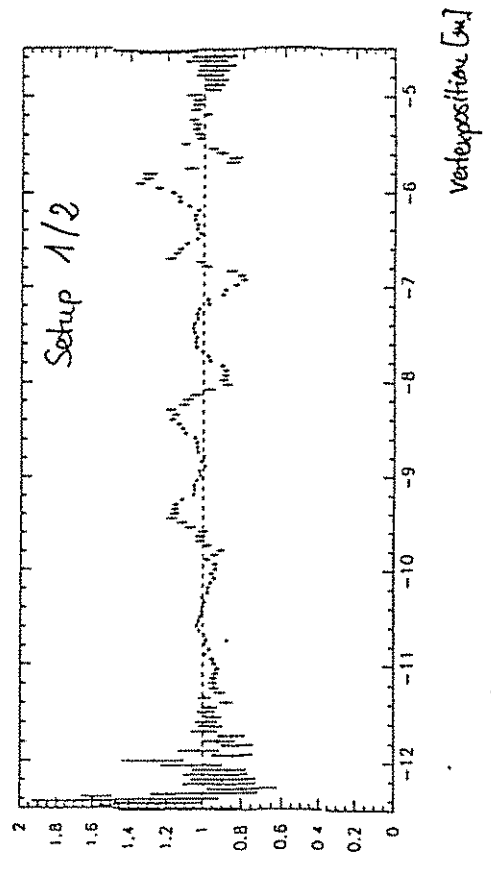
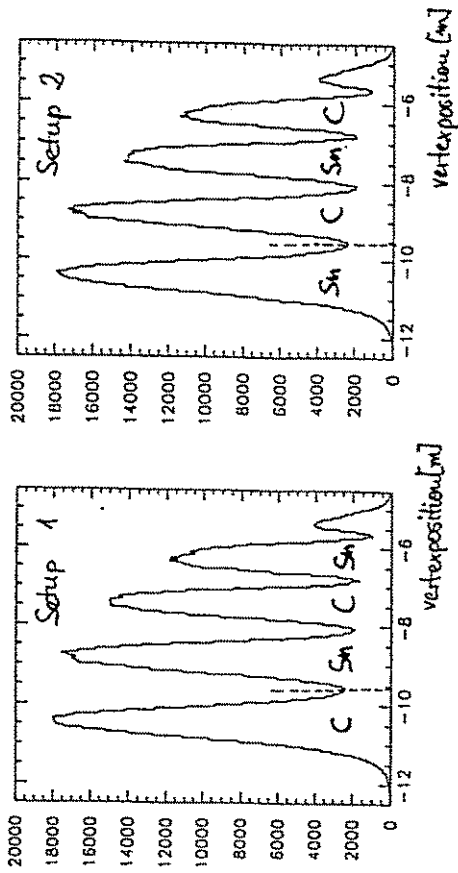


• Erweiterung des  $Q^2$ -Bereichs durch zusätzliche Trigger

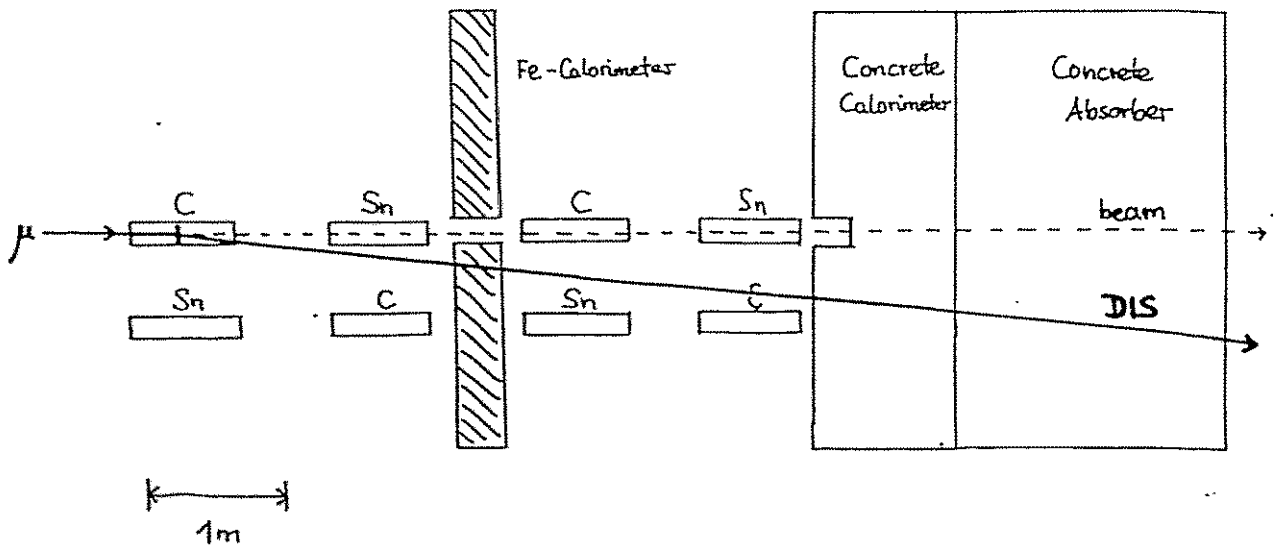
• Anzeichen für sehr schwache  $Q^2$ -Abh. in Bereich  $0.01 < x < 0.1$



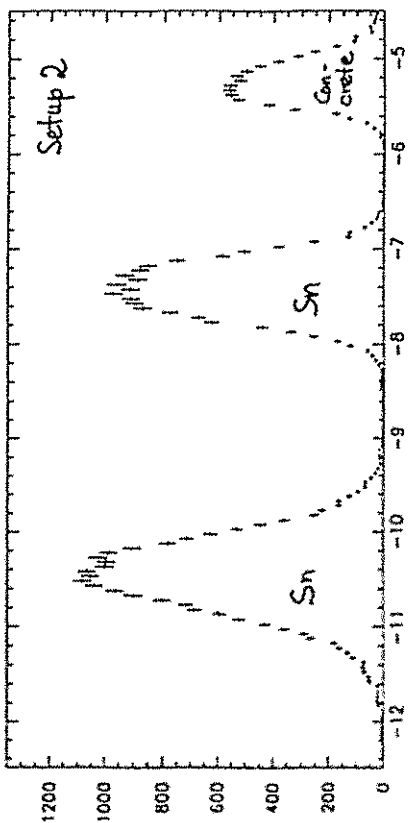
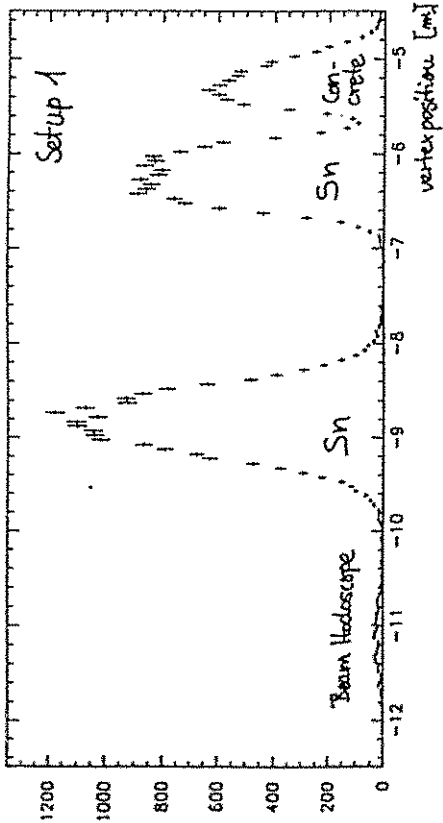
Vertex distributions (Data)  
120 GeV



Sn / C Target Setup  
+ Target Calorimeter



Vertexdistributions of Half-Empty-Target Setup  
(Data) 120 GeV



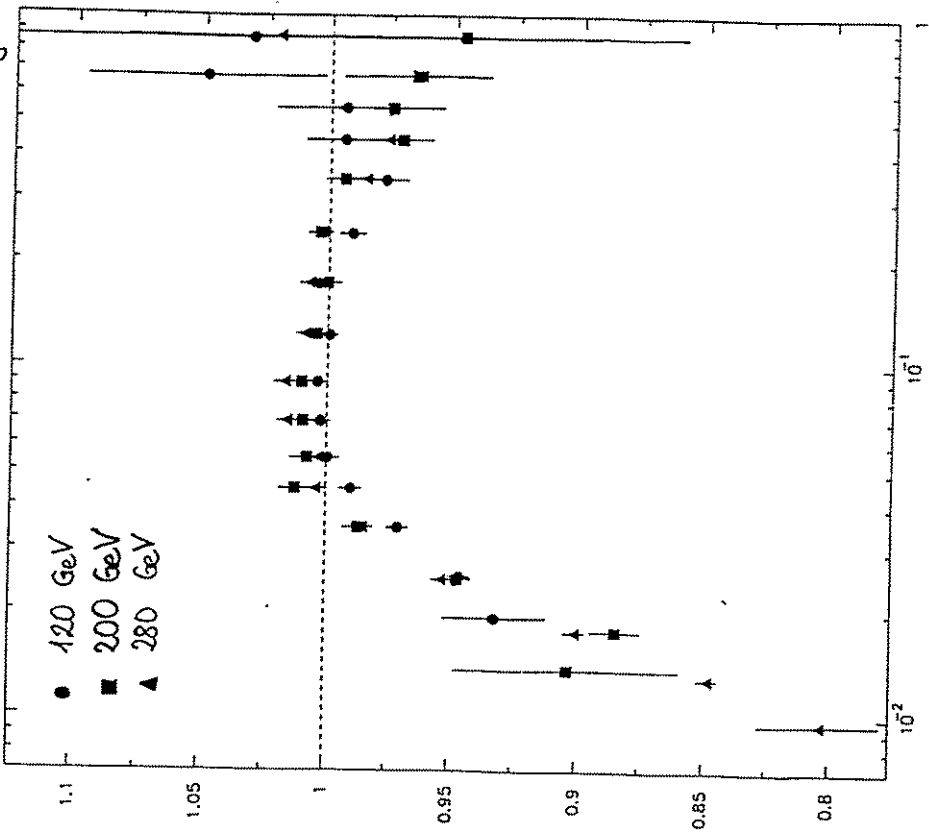
vertex smearing correction from Half-Empty-Tails:  
only Sn, 1/2 material, time of data-taking, statistics,  
no kinematic smearing

S. Jäckel

corrected with Half-Empty-Data

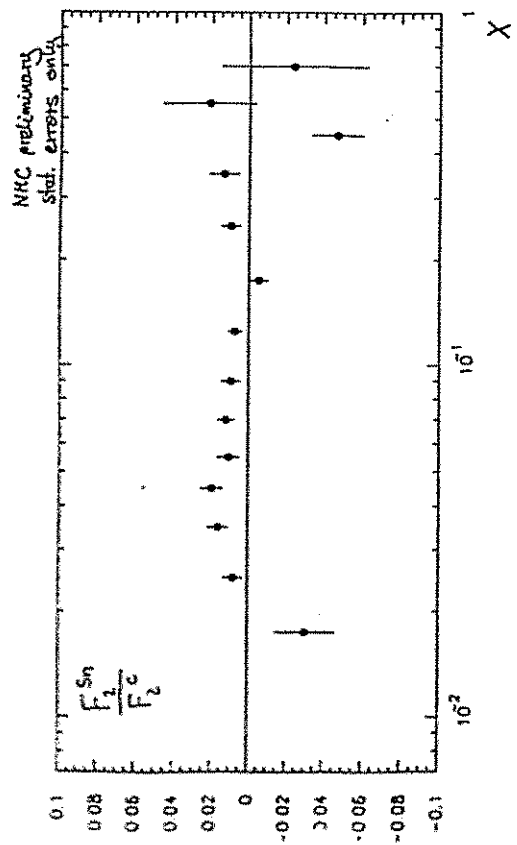
$$\frac{F_2^{Sn}(x)}{F_2^C(x)}$$

NMC preliminary  
stat. errors only



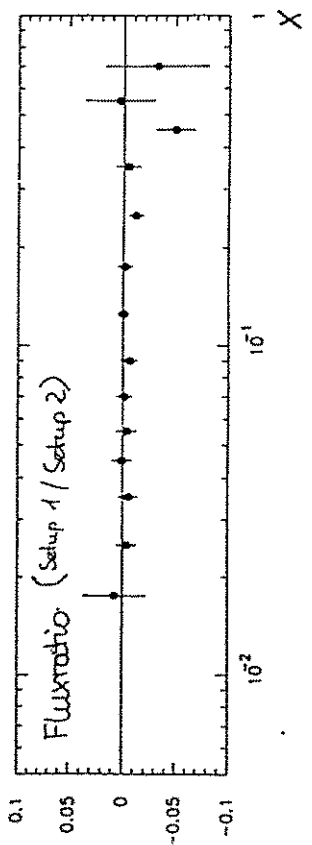
X

Slopes of Fits in  $\log q^2$  (corrected with Half-Empty-Data)



Fluxratio: cross check, no  $X$ - or  $q^2$ -dependence  $\phi_1$   $\phi_2$  should be there!

$$\frac{\phi_1}{\phi_2} = \sqrt{\frac{N_1 N_2}{N_1' N_2'} \cdot \frac{H_1 H_2}{H_1' H_2'}}$$



# Ausblick

- Abschluß der Analyse Ende 94
- Verbesserte Werte für  $F_1^c$  &  $F_2^c$   
→ Bestimmung von  $R \cdot \sigma_e / \sigma_F$
- Extrapolation Bestimmung von  $\sigma_{1/2}$   
→  $R^p - R^d$ ,  $C^p - C^d$
- $Q^2$ - und  $A$ -Abhängigkeit der Kerneffekte  
→ Test verschiedener Modelle
- QCD-Analyse aber fixed target Experimente →  $d_S$

# Das CRYSTAL BARREL Experiment am LEAR

P. Blüm  
Uni Karlsruhe

6.Oktober 1994

Pirma, den 6. Oktober 1994

## Das Crystal Barrel Experiment am LEAR

Peter Blüm  
Institut für Experimentelle Kernphysik,  
Universität Karlsruhe

- Was sind die physikalischen Ziele von CBAR?
- Wie sind diese Ziele zu erreichen?
- Was sind die Eigenschaften des Detektors?
- Was sind die zukünftigen Pläne von CBAR?

### THE CRYSTAL BARREL COLLABORATION (ACTIVE MEMBERS)

University of California, LBL, Berkeley, CA 94720, USA

D. S. Armstrong, P. Birien, T. Case, K.M. Crowe, F.H. Heinsius, P. Kammel, M. Lakata\*

Universität Bochum, D-44780 Bochum, Germany

R. Berlich\*, K. Deuchert\*, T. Degener\*, C. Kerschmer\*, H. Koch, M. Kunze, K. Kurilla\*, J. Lüdemann\*,  
L. Lifschitz\*, H. Matthäy, M. Moshous\*, K. Peters, A. Schütrumpf\*, H. Stöck\*, D. Walther

Universität Bonn, D-55127 Bonn, Germany

B. Barnett, E. Klempf, B. Kaltefleiter\*, S. Resag\*, C. Straßburger, U. Thoma\*

Academy of Science, H-1525 Budapest, Hungary

P. Hidas, G. Pinter

Rutherford Appleton Laboratory, Chilton, Didcot OX11, 0QX UK

C.A. Baker, C.J. Batty, C. Pinder

CERN, CH-1211 Genève, Switzerland

L. Montanet, M. Doser, J. Kisiel, R. Landua, N. Djaosmivi, J. Zoll

Universität Hamburg, D-22701 Hamburg, Germany

B. Adomeit\*, B. Kämmler\*, P. Schmidt\*, R. Seibert\*, U. Strohsbusch, U. Wiedner

Universität Karlsruhe, D-76021 Karlsruhe, Germany

A. Abele\*, S. Bischoff\*, P. Blüm, D. Engelhardt, C. Holtzhauser\*, H. Thümel\*, M. Tischhäuser\*

Queen Mary and Westfield College, London E1 4NS, UK

D.V. Bugg, A. Cooper, B. Zou

University of California, Los Angeles, CA 90024, USA

R.P. Haddock

Universität Mainz, D-55099 Mainz, Germany

R. Hackmann, M. Herz\*, H. Kalinowsky, S. Spanier\*, F. Walter\*

Universität München, D-85748 München, Germany

K. Braune, W. Dünneberger, M.A. Faessler, C. Ilgner\*, D. Jannik, C. Kolo\*, C. Regenfus\*,  
W. Roether\*, C. Völcker\*, C. Zupantich

Carnegie Mellon University, Pittsburgh, PA 15213, USA

R. McCrady\*, C.A. Meyer

Centre de Recherches Nucléaires, F-67037 Strasbourg, France

M. Sulfert

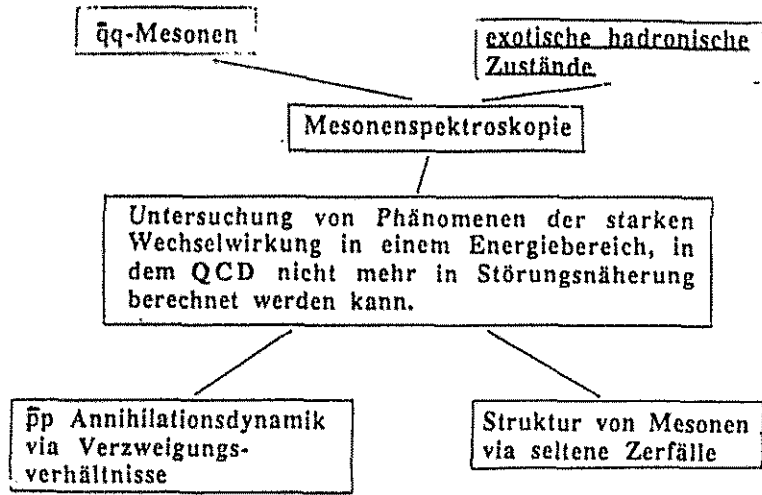
Universität Zürich, CH-8001 Zürich, Switzerland

C. Anslar, S. von Dombrowski\*, F. Ould-Saada, D. Urner\*

\* ) Diploma student ( 13 )

o ) PhD student ( 22 )

# Was sind die physikalischen Ziele von CBAR?

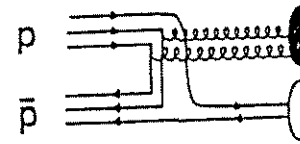


# Wie sind diese Ziele zu erreichen?

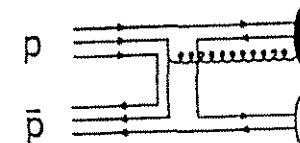
Beispiel: Suche nach exotischen, d.h. nicht  $\bar{q}q$  Zuständen,

Präzise Messung von  $\bar{p}p$  - Annihilationsreaktionen in kinematisch vollständig bestimmten Endzuständen

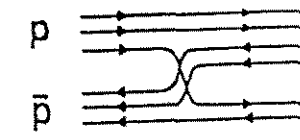
Eindeutige Zuordnung der beobachteten Teilchen in die SU(3)-Nonets; zusätzliche Zustände sind Kandidaten für exotische Teilchen; Untersuchung der Produktions- und Zerfallseigenschaften.



**Glueball**  
 expected below 2GeV  
 $0^{++}, 2^{++}, 0^{-+}$   
 $m(0^{++}) \sim 1.5 m_0$   $\frac{m(0^{++})}{m(1^{++})} = \frac{1}{1.5}$



**Hybrid**  
 expected above 1GeV  
 exotic  $J^{PC}$  possible  
 $0^{+-}, 0^{-+}, 1^{+-}, 2^{+-}$



**4-Quark State**  
 exotic quantum numbers  
 $|Q| > 1, |S| > 1$  or  $I > 1$

Proposal: 1986 → DATEANALYSE: DEZEMBER 89

• Search for glueballs and hybrids (meson spectroscopy)

$\bar{p}p \rightarrow \pi^0 X$  with  $X \rightarrow \pi^0 \pi^0, \eta\eta, \text{ or } K\bar{K}$   
 $\bar{p}p \rightarrow \pi^0 \pi^0 X$  → CH. STRASSBURGER  
 M. FRESSLER

• Study of radiative and rare decays → U. NIEDNER

• Study of the  $\bar{p}p$  - annihilation dynamics → K. GEUKERT  
 J. BROSE

• Search for  $\bar{p}p$  - bound states at rest

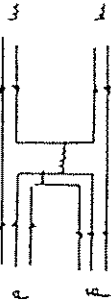
• There are strong motivations of scanning the  $\bar{p}$  momentum in reasonable steps



Experimentelle Ausrüstung:

- Hochintensiver  $\bar{p}$  Strahl mit hohen strahltechnischen Qualitäten

⇒ LEAR



- Variabler Produktionsprozess

▲ Änderung der Quantenzahlen des Anfangszustands

- flüssiger Wasserstoff = 88% annihilieren aus  $L = 0$   
= 12% annihilieren aus  $L = 1$
- gasförmiger Wasserstoff = 48% annihilieren aus  $L = 0$   
= 52% annihilieren aus  $L = 1$
- Experimente bei höheren  $\bar{p}$  Impulsen  $L \geq 0$
- Experimente mit Deuterium  $I = 1$

▲ Änderung des Quarkinhalts des Anfangszustands

- $\bar{p}p : (\bar{u}d)(uud)$  Wasserstofftarget
- $\bar{p}n : (\bar{u}d)(udd)$  Deuteriumtarget

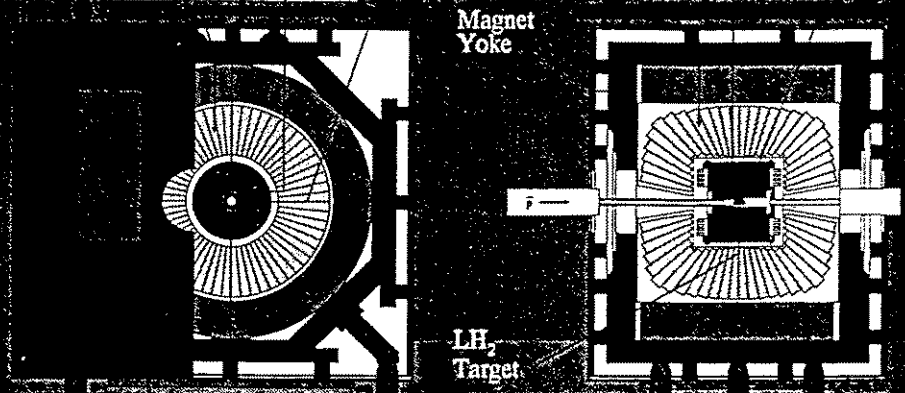
- Detektor der eine vollständige kinematische Rekonstruktion der Reaktion erlaubt.

- (i) großer Raumwinkel ( $\approx 4\pi$ )
- (ii) gute Energie- und Ortsauflösung für Photonen
- (iii) gute Orts- und Impulsauflösung für geladene Teilchen
- (iv) effektive Pion/Kaon Trennung
- (v) hohe Datenerfassungsrate
- (vi) selektives elektronisches Filter (multi-level trigger)

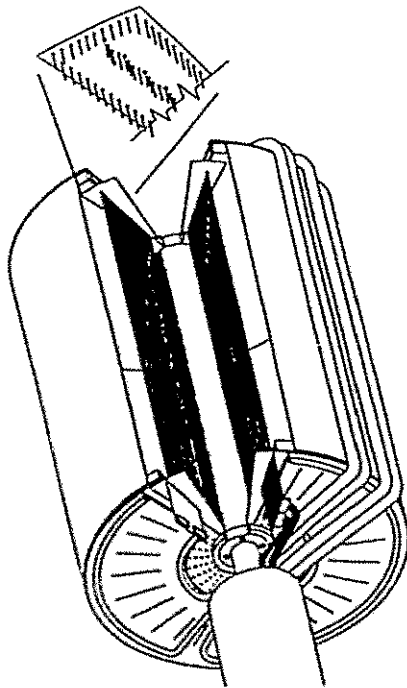
⇒ Crystal Barrel

# Front and Sideview of the Crystal Barrel Detector

Magnet Yoke    CsI(Tl) Calorimeter    JDC    2 MWPC    CsI(Tl) Calorimeter    Jet-Driftchamber    2 Multiwire Proportional Chambers

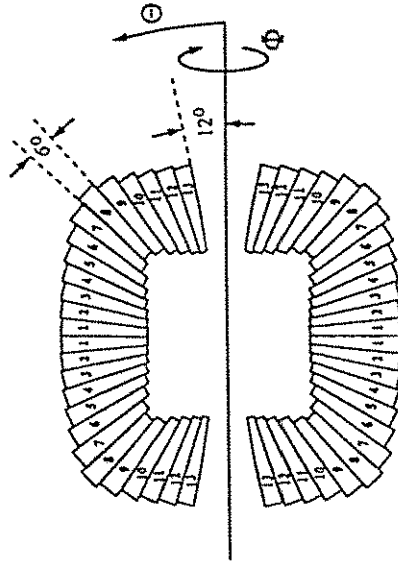


### Specifications of the Crystal Barrel tracking system



Proportional wire chamber	
solid angle	97% of $4\pi$
number of layers	2 at $r = 25.5$ mm and $r = 43$ mm
wires/layer	90 in inner and 150 in outer
wire spacing	1.8 mm
wire length	350 mm
Jet drift chamber	
solid angle	83% of $4\pi$ (at layer 10)
overall dimensions	
length	400 mm
inner radius	50 mm
outer radius	257 mm
segmentation	30 sectors à 23 layers
layer gap	8 mm
sense wires	690 (stainless steel 29,7 $\Omega$ /cm)
diameter	20 $\mu$ m
field wires	2430 (gold-plated aluminium)
diameter	152 $\mu$ m
gas	CO <sub>2</sub> :isobutane (90:10)
drift field	1.1 kV/cm
drift velocity	8.4 mm/ $\mu$ sec
Lorentz angle	7.2°

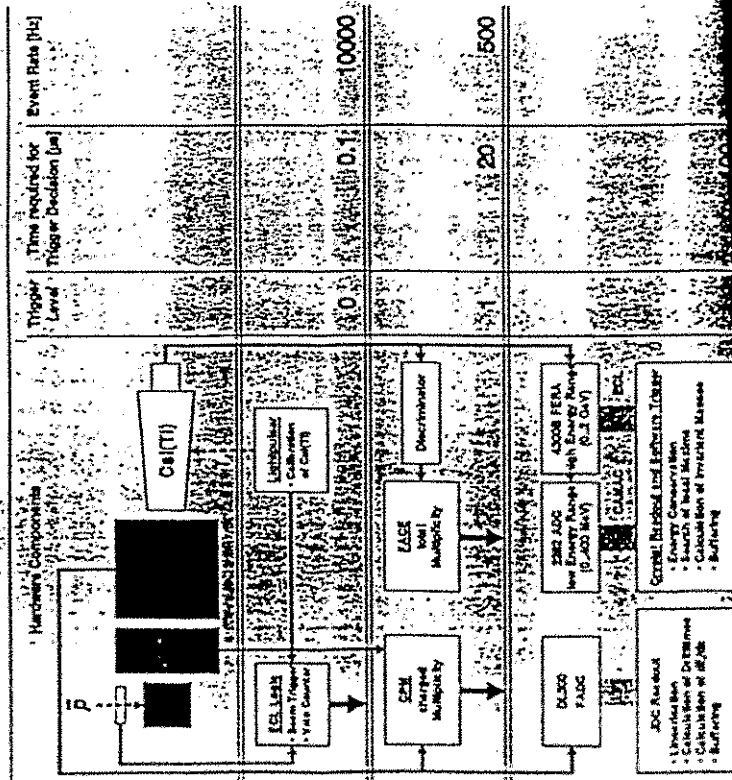
### Specifications of the Crystal Barrel calorimeter



general layout	barrel configuration
polar angle range	12° - 168°
solid angle	95% of $4\pi$
scintillator	CsI(Tl) (1380 modules)
radiation length	1.86 cm
Molière radius	3.8 cm
light output	0.85 relative to NaI
maximum emission	at 550 nm
photon yield/MeV	$4.5 \times 10^4$
decay times	0.9 $\mu$ sec and 7 $\mu$ sec
active length	300 mm (16.1 $X_0$ )
granularity	6° (12° near beam axis)
readout	WLS and photodiode

# PS197 Crystal Barrel

## Trigger System Hierarchy



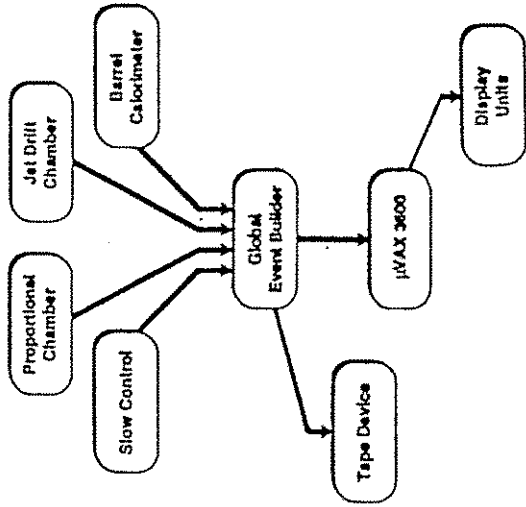
Was sind die Eigenschaften des Detektors?

Data flow:

average amount of data per event: 15 kByte (zero suppressed)  
 typical trigger rate: 60 Hz

⇒ 900 kByte/sec to tape

parallel readout of digitized data; VME-based lokal system;  
 OS9-system software; fast intercrate connection via VICbus



5.108 Empfindung und Dosis!

### Calorimeter performance:

noise performance: 250 keV (incoherent)  
60 keV (coherent)

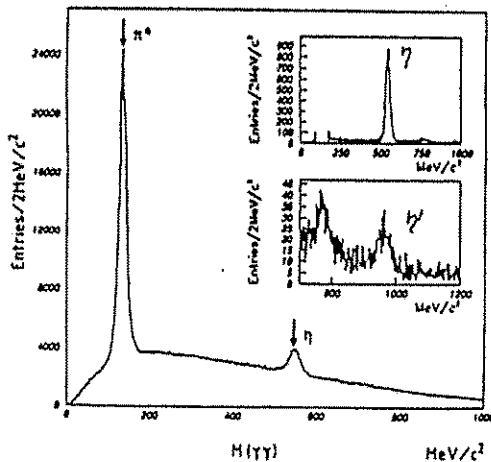
failure occurrence: 660 y MTBF for photodiode  
140 y MTBF for preamplifier

energy resolution:  $\sigma_E/E = 2.5\% / \sqrt{E}$  E in [GeV]

angular resolution:  $< 25$  mrad for one-PED-cluster  
with energy E > 50 MeV

$K_L$  - UNWAHRSCHINLICHKEIT:  $\sim 58\%$  für  $P_{K_L} \sim 200$  MeV/c  
 $\sim 42\%$  für  $200$  MeV/c  $< P_{K_L} < 700$  MeV/c

MASS RESOLUTION:



e.g.

$\bar{p}p \rightarrow 6\gamma$

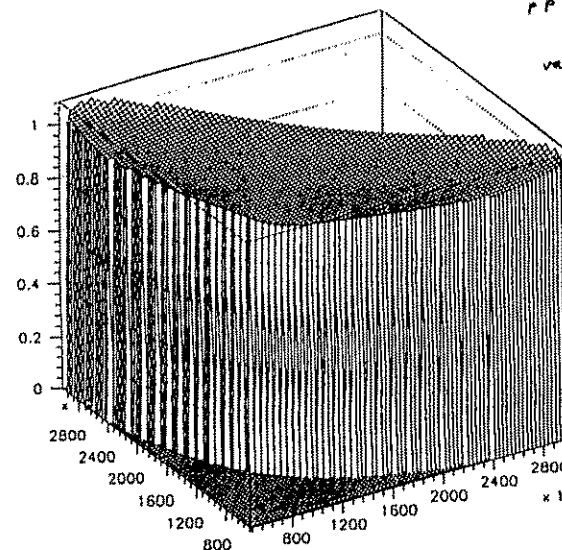
$$E_\gamma = 2.5\% / \sqrt{E} \text{ [GeV]}$$

$$\sigma(\pi^0 \rightarrow \gamma\gamma) = 7.5 \text{ MeV}$$

$$\sigma(\eta \rightarrow \gamma\gamma) = 14.5 \text{ MeV}$$

$$\sigma(\eta' \rightarrow \gamma\gamma) = 16.9 \text{ MeV}$$

Acceptance scaling plot



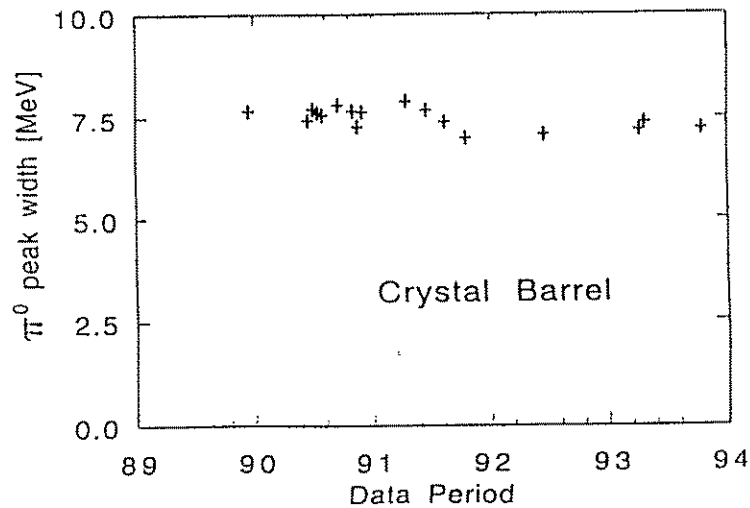
$\bar{p}p \rightarrow \pi^0 \pi^0 \eta \rightarrow 6\gamma$

variation: 2.5%

$L_{K_L} \sim 30\%$

FLUCTUATION

variation:  $\sim 15-20\%$

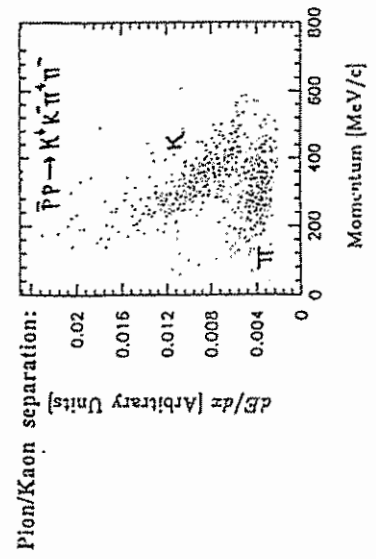
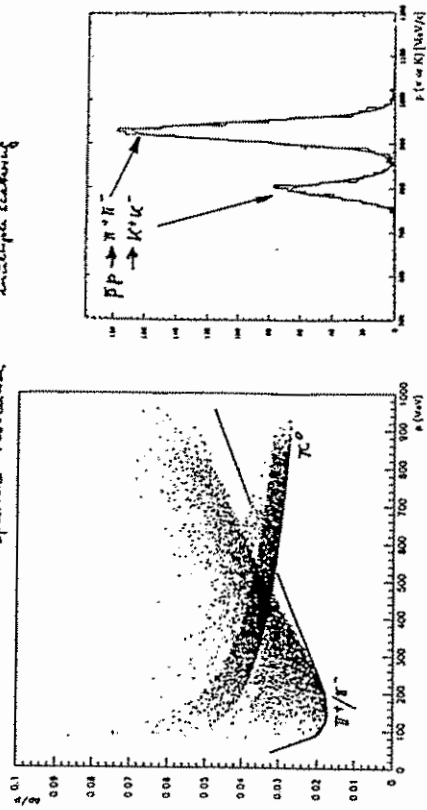
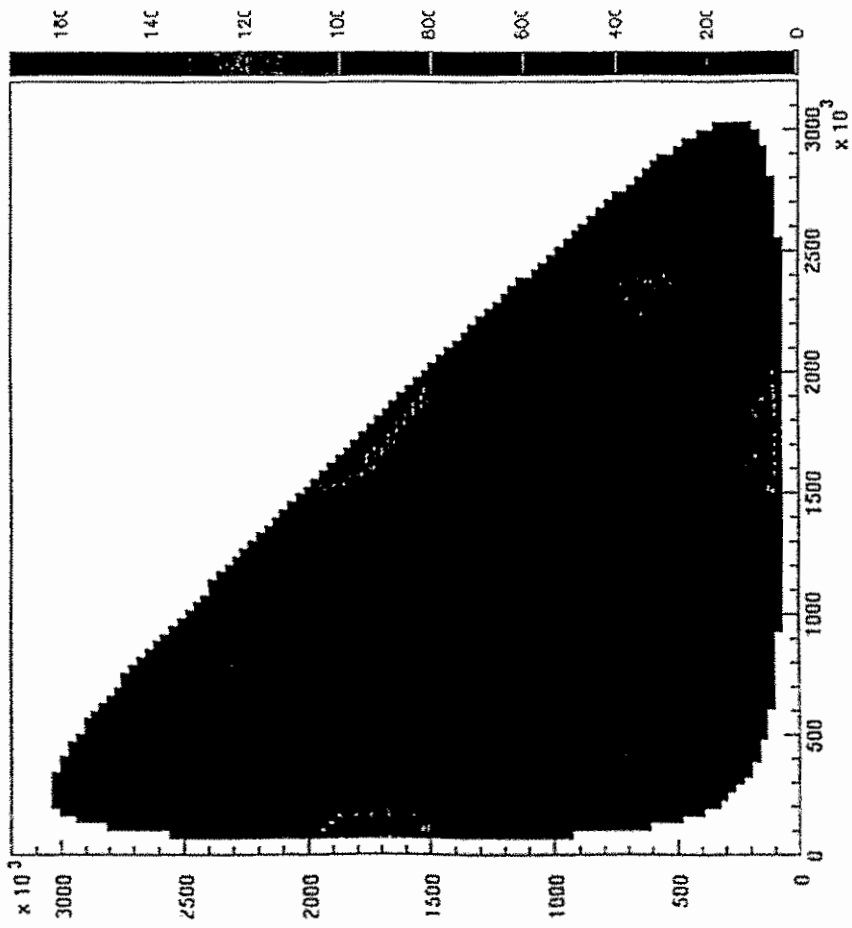


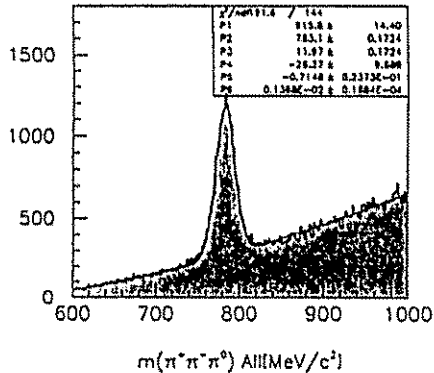
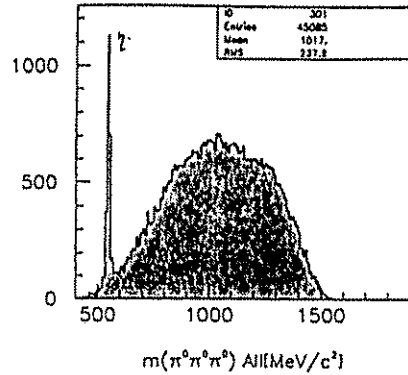
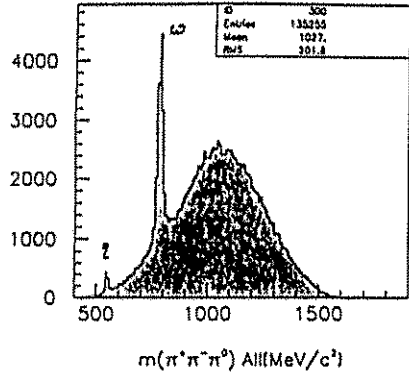
Jet drift chamber performance:

spatial resolution:  $r, \phi$  resolution  $130 \mu\text{m}$   
 $z$ -resolution  $7\text{mm}$

momentum resolution: (R.L. GLUCKSTEIN) WITH 2V (1963) 3P1

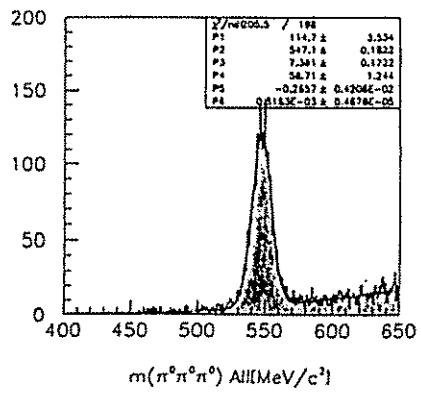
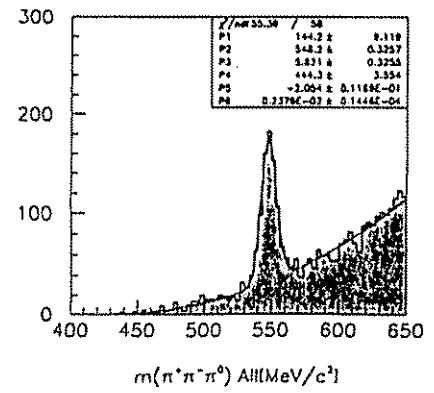
$$\frac{\sigma_{PL}}{PL} = \underbrace{\frac{\sigma_{r\phi} PL}{0.3 BL^2} \sqrt{N+5}}_{\text{spatial resolution}} + \underbrace{\frac{0.05}{LB\beta} \sqrt{\frac{1.43L}{X_0}}}_{\text{multiple scattering}}$$





$$\bar{p}p \rightarrow \pi^+ \pi^- 3\pi^0$$

- $\sigma(\omega) = 12 \text{ MeV}/c^2$
- $\sigma(\eta)_{ex} = 5.8 \text{ MeV}/c^2$
- $\sigma(\eta)_{in} = 7.4 \text{ MeV}/c^2$



### Was sind die zukünftigen Pläne für CBAR?

1995 - 1996 Messungen mit speziellen Triggern insbesondere kaonischer Endzustände im flüssigen und gasförmigen Wasserstoff (spezieller Silicon Vertex Detektor im Aufbau)

Fortsetzung der Messungen zur Suche nach Hybridzuständen.  
(20 Millionen 2-prong Trigger bei 1940 MeV/c)

Vervollständigung unseres Datensatzes mit Anihilationen am Deuterium.

Beginn eines Impulsans:  $\Delta p = 150 \text{ MeV}/c$   
"GLOBE BALL IN FORMATION" ( $= 50 \text{ MeV}/c^2$ )

1997 Fortsetzung  
 $\bar{p}p \rightarrow G \rightarrow \bar{m}m$   
 $\omega X$  zusätzliche Information aus der Zerfallsverteilung des  $\omega$   
 $\pi^0 \pi^0$  gut für  $0^{++} / 2^{++}$  Studien

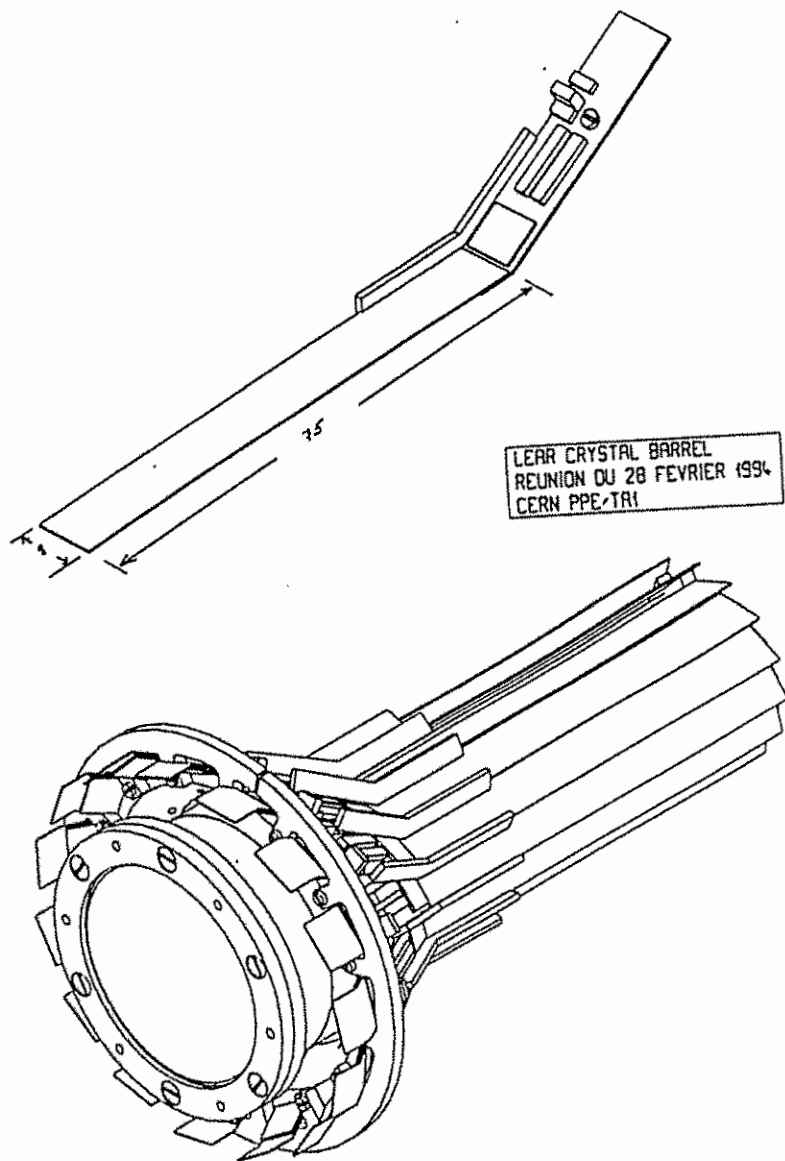
>1998 Vorschlag zur Einführung des mini-collider Modus am LEAR

Fortsetzung der Mesonspektroskopie und der Suche nach Glueballs im Massenbereich 2 bis 3.5 GeV

$(0^{++} (1500) \Rightarrow 2^{++} (=2300) \Rightarrow 4^{++} (?))$   
((ggg)-Glueballs sind ebenfalls in diesem Bereich zu erwarten. Suche nach  $(gg) \rightarrow (gg) + m$   
z.B.  $\{^{++}\} \rightarrow f_0(1500) + \eta$

andere Optionen sind auch in Diskussion

## Der Mini-Collider am LEAR:



Anzahl Protonen	$2 \cdot 10^{11}$
Anzahl Antiprotonen	$10^{11}$
Zahl der Bunche	58
Strahldimensionen am	
Detektor	horz. 0.9 mm
	vert. 1.3 mm
Strahlfläche	$0.15 \text{ cm}^2$
Bunchlänge	10 cm
Impulsverschmierung	$2.1 \cdot 10^{-3}$
Luminosität	$0.9 \cdot 10^{28} \text{ cm}^{-2} \text{ sec}^{-1}$
Wechselwirkungsrate im Detektor (100 mbar)	1000

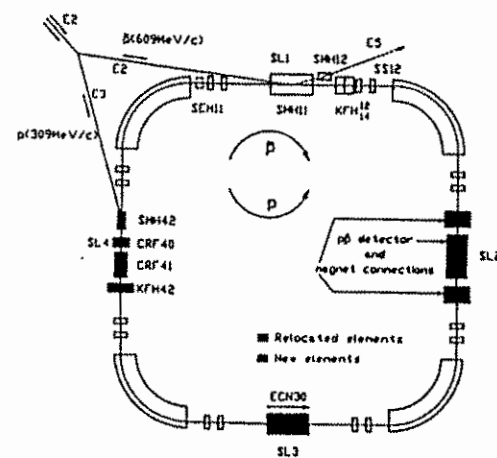


Fig. 2: LEAR layout for  $p\bar{p}$  collisions

Wurde im CRYSTAL BARREL Experiment der  
skalare Glueball entdeckt?

C. Straßburger  
Uni Bonn

6.Oktober 1994



## Wurde im Crystal Barrel Experiment der skalare Glueball entdeckt?

Christoph Straßburger  
 Institut für Strahlen- und Kernphysik  
 Universität Bonn  
 für die Crystal Barrel Kollaboration

Pirna, Oktober 1994

Crystal Barrel

## Übersicht :

Datensätze  $\pi^0\pi^0\pi^0$ ,  $\pi^0\pi^0\eta$ ,  $\pi^0\eta\eta$ ,  $\pi^0\eta\eta'$

Partialwellenanalyse

Interpretation der Partialwellenanalyseergebnisse

Zusammenfassung

Crystal Barrel

### Die Datenselektion

Datensatz : 17.0 Millionen Ereignisse mit  
0-Prong-Trigger  $\equiv 400 \cdot 10^6 \bar{p}p$ -Annihilationen

Gemeinsame Selektionskriterien für alle Datensätze :

keine Spur in der Driftkammer

$$18^\circ \leq \Theta_{\text{Photon}} \leq 162^\circ$$

Unterdrückung von e.-magn. Schauerfluktuationen

6 Photonen mit  $E_{\text{Photon}} \geq 20 \text{ MeV}$

Kinematische Anpassung an einzelne Hypothesen

$$712.000 \quad \pi^0 \pi^0 \pi^0\text{-Ereignisse} \quad \text{BR}=(6.3 \pm 1.0) \cdot 10^{-3}$$

$$280.000 \quad \pi^0 \pi^0 \eta\text{-Ereignisse} \quad \text{BR}=(6.7 \pm 1.2) \cdot 10^{-3}$$

$$31.000 \quad \pi^0 \eta \eta\text{-Ereignisse} \quad \text{BR}=(2.1 \pm 0.4) \cdot 10^{-3}$$

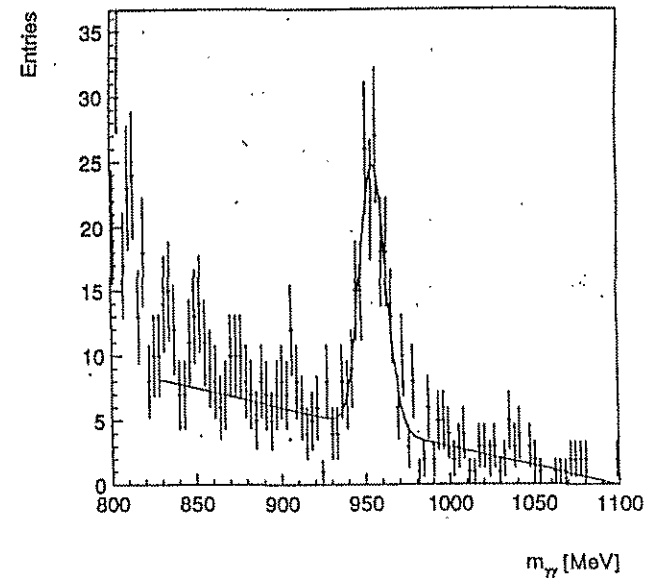
$$130 \quad \pi^0 \eta \eta'\text{-Ereignisse} \quad \text{BR}=(2.5 \pm 0.5) \cdot 10^{-4}$$

Trigger Anreicherung der Endzustände  $\pi^0 \eta \eta$  auf  
180.000 Ereignisse und  $\pi^0 \eta \eta'$  auf 819 Ereignisse

Akzeptanz Nahezu flache Akzeptanz für alle  
Endzustände, auch für die getriggerten Daten

Crystal Barrel

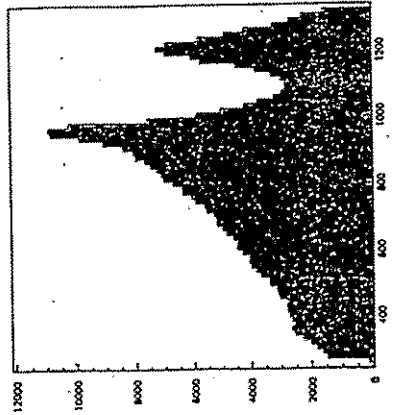
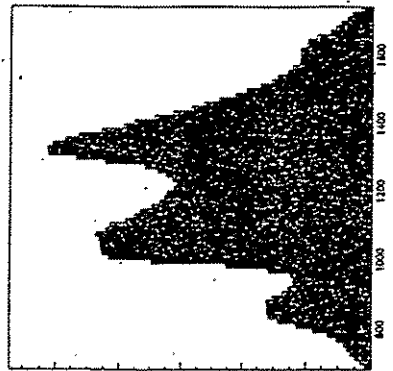
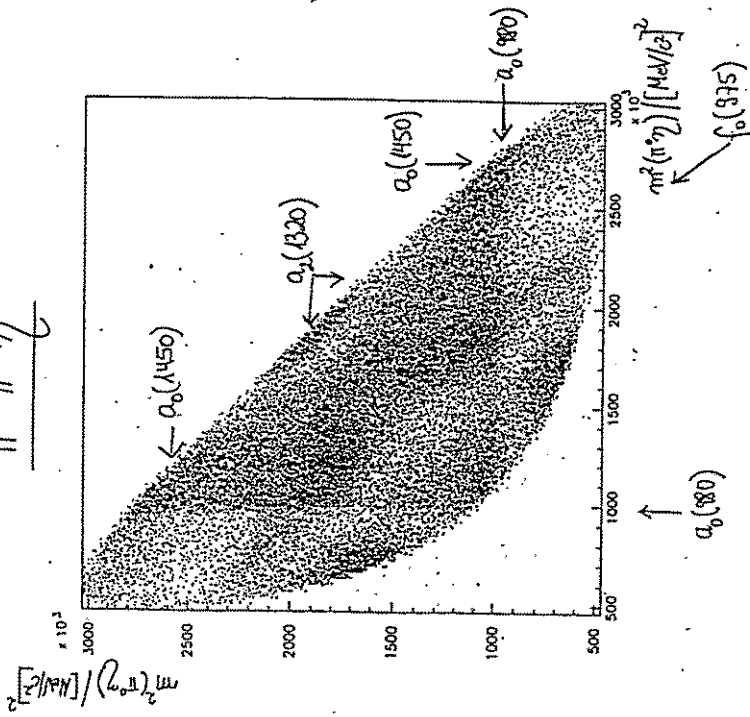
### $\gamma\gamma$ -inv. Masse für $\pi^0 \eta \gamma \gamma$



Crystal Barrel

b)

$\pi^0 \pi^0 \eta$

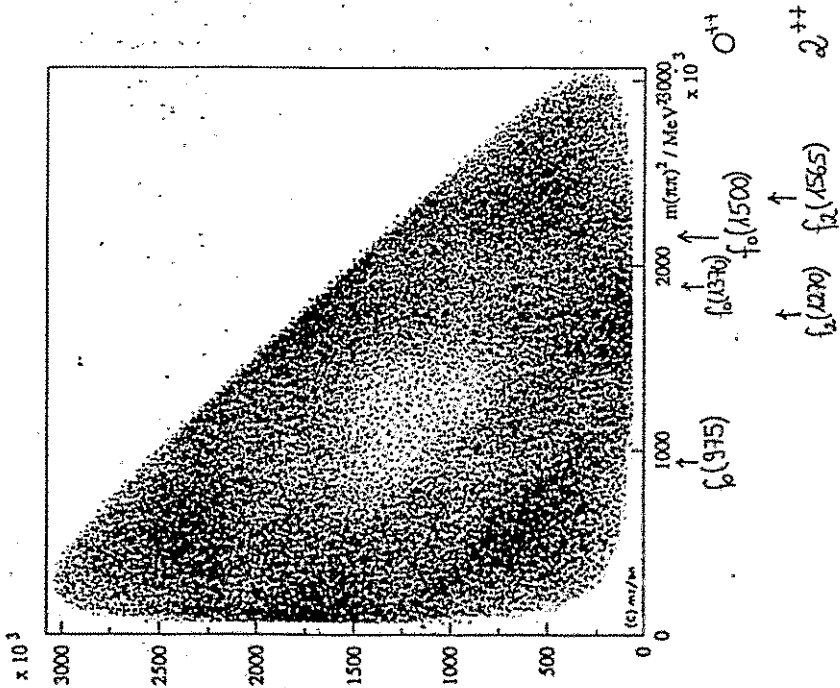


$m^2(\pi^0 \pi^0)$

$m^2(\pi^0 \eta)$

5

# $\pi^0 \pi^0 \pi^0$ Dalitzplot

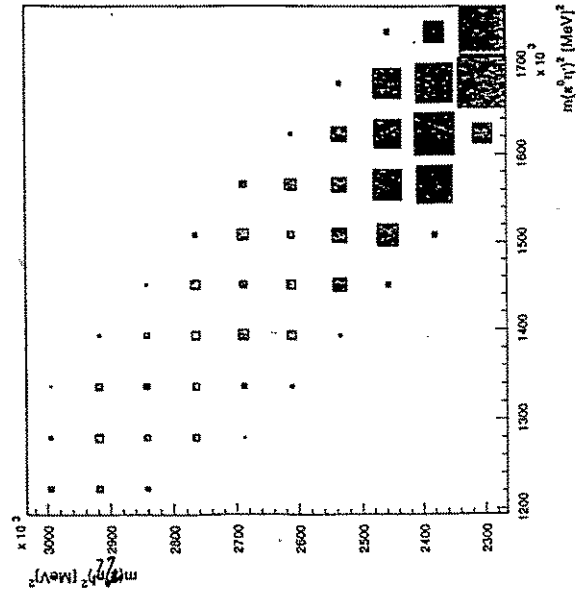


Crystal Barrel

6. Oktober 1994

11

# $\pi^0 \eta \eta'$ Dalitzplot (Trigger)

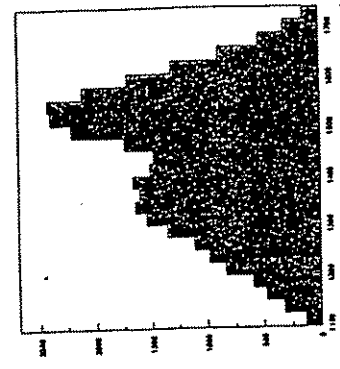
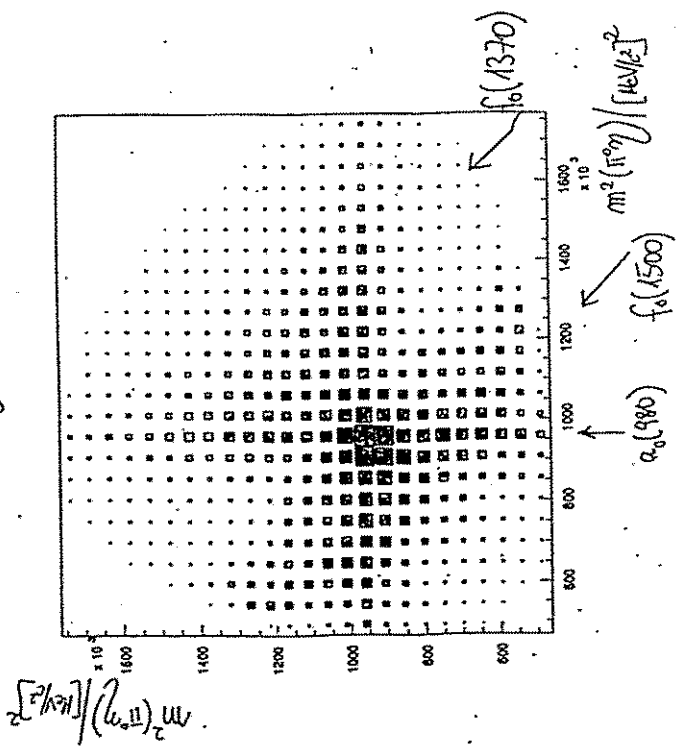


Crystal Barrel

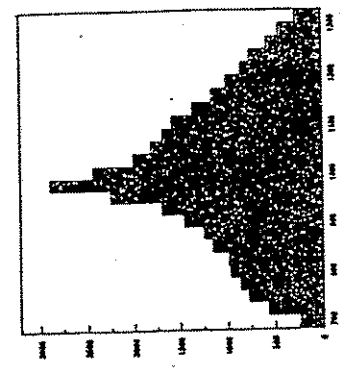
6. Oktober 1994

5 c)

$\pi^0 \eta \eta'$



$m(\pi^0 \eta) [MeV]^2$



$m(\pi^0 \eta') [MeV]^2$

# Der Dalitz Plot

Ein Zerfall

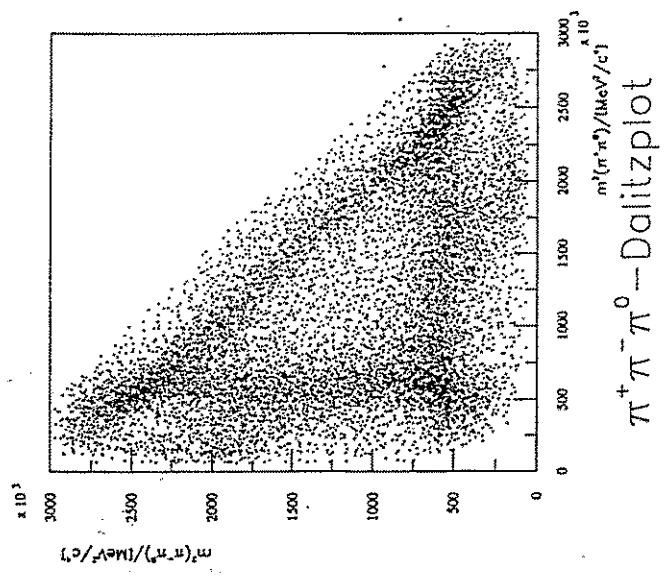
$$\bar{p}p \rightarrow M_1 M_2 M_3$$

wird durch 12 Variablen beschrieben (3 Vierervektoren). Folgende Nebenbedingungen reduzieren die freien Variablen

- Die 3 Mesonmassen → 9 Variablen
- Impulserhaltung → 6 Variablen
- Energieerhaltung → 5 Variablen
- 3 Eulerwinkel → 2 Variablen

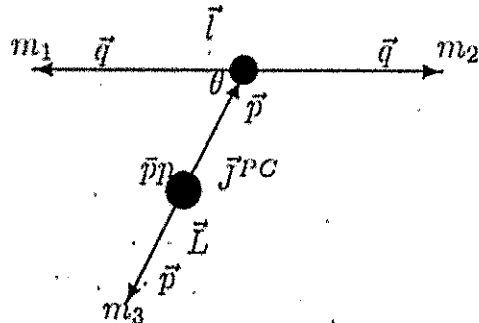
2 Variablen beschreiben die vollständige Dynamik.

Crystal Barrel



Crystal Barrel

### Partialwellenanalyse im K-Matrixformalismus



Die Produktionsamplitude ist dann wie folgt definiert :

$$A_{J^PC, L, l}(\vec{p}, \vec{q}) = \sum_{\text{permutations}} Z_{J^PC, L, l}(\vec{p}, \vec{q}) \cdot F^l(\vec{p}, \vec{q})$$

- $Z_{J^PC, L, l}$  beschreibt die Winkelverteilung
- $F^l$  beschreibt die 2-Meson Endzustandswechselwirkung

$$\begin{aligned} S &= I + 2i\rho T \\ T &= (I - iK\rho)^{-1} K \\ T_{11} &= \frac{K_{11} - i\rho_2(K_{11}K_{22} - K_{12}K_{21})}{D} \\ D &= 1 - i\rho_1 K_{11} - i\rho_2 K_{22} - \\ &\quad \rho_1 \rho_2 (K_{11}K_{22} - K_{12}K_{21}) \end{aligned}$$

Crystal Barrel

Im P-Vektoransatz nach Aitchinson ergibt sich für die dynamische Amplitude:

$$F = (I - iK\rho)^{-1} P, \quad T = (I - iK\rho)^{-1}$$

Im Fall einer einzigen Polstelle, besitzt  $F$  die bekannte Breit-Wigner-Form :

$$\begin{aligned} K &= \frac{g^2}{m_0^2 - m^2} & P &= \frac{\beta g}{m_0^2 - m^2} \\ F &= \frac{\beta g}{m_0^2 - m^2 - i\rho g^2} \end{aligned}$$

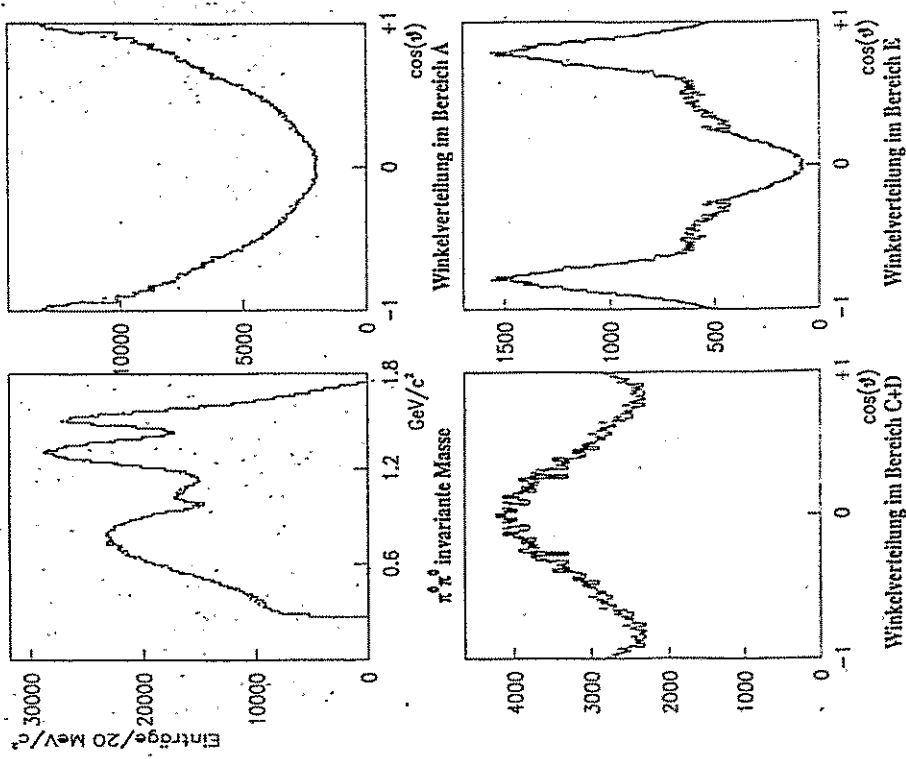
Die Analyse umfaßte die Crystal Barrel Daten und für die  $\pi\pi$  S-Welle zusätzlich die Streudaten der CERN-München-Kollaboration\*:

$$T = (I - iK\rho)^{-1} K$$

\* G. Grayer et al., Nucl. Phys. B 75(1974)183

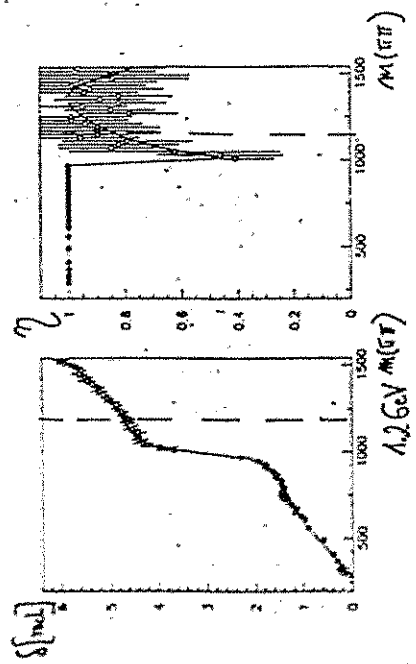
Crystal Barrel

# Anpassung an $3\pi^0$



Crystal Barrel

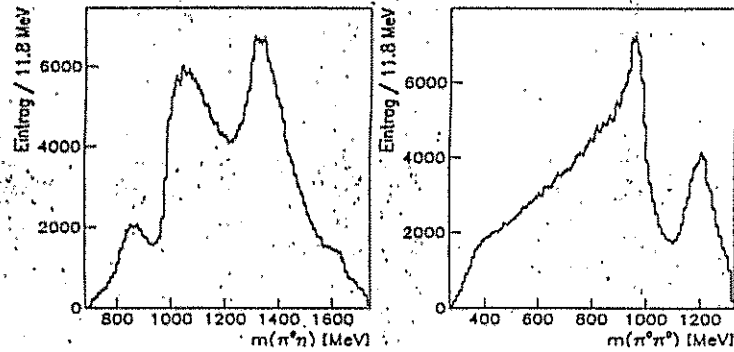
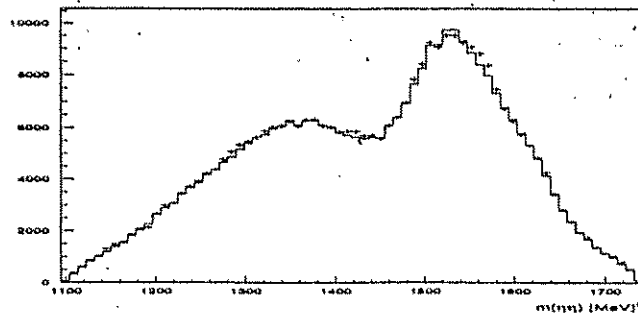
6. Oktober 1994



⇒ gemeinsame Anpassung der Dalitzplots  
und der  $\pi\pi$ -Streudaten

Crystal Barrel

6. Oktober 1994

Ergebnis für  $\pi^0\pi^0\eta$ Fit an  $\pi^0\eta\eta$ 

Crystal Barrel

6. Oktober 1994

/1

## Ergebnisse der Partialwellenanalyse

a) Die isoskalaren S-Wellen-Resonanzen

$f_0(975)$ :	$M = (980 \pm 20) \text{ MeV}$ $\Gamma = (100 \pm 20) \text{ MeV}$	$\pi\pi$
$f_0(1370)$ :	$M = (1365 \pm 50) \text{ MeV}$ $\Gamma = (270 \pm 80) \text{ MeV}$	$\pi\pi \quad \eta\eta \quad 4\pi$
$f_0(1500)$ :	$M = (1500 \pm 15) \text{ MeV}$ $\Gamma = (150 \pm 20) \text{ MeV}$	$\pi\pi \quad \eta\eta \quad \eta\eta'$

b) Die isovektoriellen S-Wellen-Resonanzen

$a_0(980)$ :	$M = (985 \pm 5) \text{ MeV}$ $\Gamma = (54 \pm 5) \text{ MeV}$	$\pi\eta \quad K\bar{K}$
$a_0(1450)$ :	$M = (1450 \pm 40) \text{ MeV}$ $\Gamma = (270 \pm 40) \text{ MeV}$	$\pi\eta \quad K\bar{K}(?)$

Crystal Barrel

6. Oktober 1994

/1



c) Die isoskalaren D-Wellenresonanzen

$f_2(1270)$ :	$M = (1265 \pm 10) \text{ MeV}$	$\pi\pi$
	$\Gamma = (195 \pm 20) \text{ MeV}$	
$f_2(1565)$ :	$M = (1540 \pm 20) \text{ MeV}$	$\pi\pi$
	$\Gamma = (160 \pm 30) \text{ MeV}$	

d) Die isovektoriellen D-Wellenresonanzen

$a_2(1320)$ :	$M = (1316 \pm 5) \text{ MeV}$	$\pi\eta$	$K\bar{K}$
	$\Gamma = (113 \pm 4) \text{ MeV}$		
$a_2(1650)$	$M = (1650 \pm 50) \text{ MeV}$	$\pi\eta$	
	$\Gamma = (220 \pm 50) \text{ MeV}$		

e) keine Evidenz für  $\hat{S}(1405) \rightarrow \pi\eta$

Crystal Barrel

6. Oktober 1994

/1

Einordnung des  $a_0(1450)$  und das Nonett der  
Skalaren Mesonen

$f_0(975)$  und  $a_0(980) \leftarrow K\bar{K}$ -Moleküle ?

$f_0(1525)$  ~~schwaches Signal~~ unter dominanter  
D-Wellen

$K_0^*(\bar{K}_0^*)(1430)$  etablierter  $I=\frac{1}{2}$  Grundzustand

$f_0(1370)$  in mehreren unabhängigen Analysen  
bestätigt

$a_0(1450) \Rightarrow$  Isevektor zu  $f_0(1370)$

$f_0(1600)$  ?

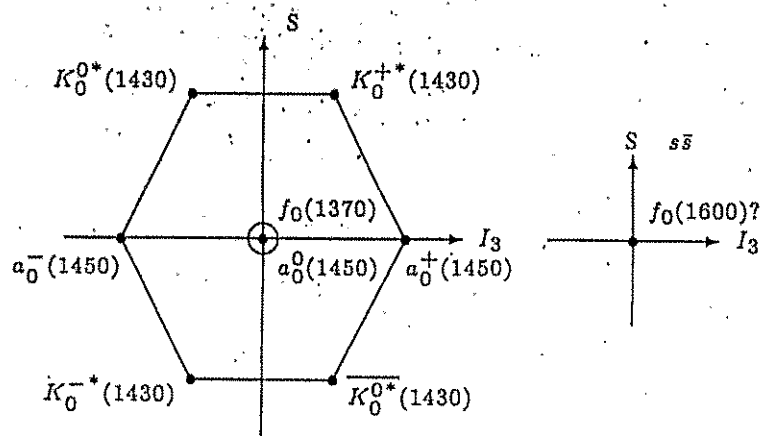
$K\bar{K}$ -Daten dringend erforderlich !

Crystal Barrel

6. Oktober 1994

/1

### Das mögliche Nonett der Skalaren Mesonen



Crystal Barrel

### Was ist das $f_0(1500)$

- ⇒ Skalares Nonett komplett
- ⇒  $s\bar{s}$ -Zustand im Skalaren Nonett unwahrscheinlich
- ⇒  $\bar{N}N$ -Bindungszustand unwahrscheinlich
- ⇒ Masse für Hybrid zu niedrig
- ⇒ Massenvorhersagen für den skalaren Glueball liegen in diesem Bereich

Kopplung an die Zerfallskanäle nach  
Phasenraumkorrektur:

$2\pi$	$\eta\eta$	$\eta\eta'$	$K\bar{K}$
3:	$(0.72 \pm 0.37)$ :	$(1.05 \pm 0.44)$ :	$\leq 0.4$

- ⇒ Diese Kopplungen sind nicht kompatibel mit der Einordnung in ein Nonett, unabhängig vom Mischungswinkel!

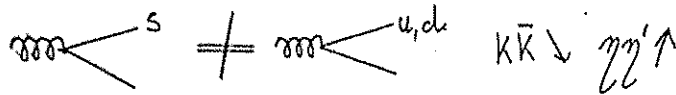
Crystal Barrel

Frage : Zerfällt ein Glueball "flavourblind" ?

a) Flavoursymmetrie

$$\begin{array}{cccc} 2\pi & \eta\eta & \eta\eta' & K\bar{K} \\ 3 & : 1 & : 0 & : 4 \end{array}$$

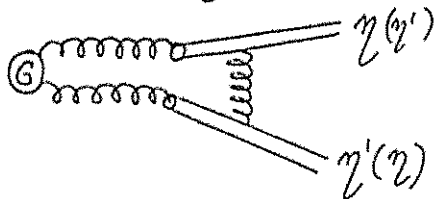
b) Flavoursymmetrie gebrochen (nach F. Close)



→ untersuche  $K\bar{K}$ -Daten !!

c) "Decolorization" (nach S. Gershtein)

- Flavoursymmetrie nur bei Zerfall in 2 Colorsingletts
- Zerfall in 2 Flavoursingletts mit anschließendem Glueaustausch möglich



Crystal Barrel

## Zusammenfassung

**Crystal Barrel** Experiment liefert neutrale Endzustände mit 3 pseudoskalaren Mesonen mit bisher unerreichter Statistik und Präzision

**Akzeptanz** für diese Endzustände fläch im Rahmen weniger Prozent Abweichungen, selbst bei getriggerten Datensätzen

**Partialwellenanalysen** zeigen eindeutige Evidenz für zwei neue skalare Resonanzen

$$\Rightarrow a_0(1450) \text{ und } f_0(1500)$$

$a_0(1450)$  I=1-Zustand im Nonett der Skalaren Mesonen

$f_0(1500)$  Eigenschaften sprechen für die Interpretation als Skalarer Glueball

Crystal Barrel

Suche nach Mesonen II  
(CRYSTAL BARREL)

M. Faessler  
München

6.Oktober 1994

# SUCHE NACH MESONEN II

$\bar{p}p \rightarrow K\bar{K}X$  ( $\bar{p}$  IN RUHE,  $LH_2$ -TARGET)

CRYSTAL - DARREL - EXPERIMENT

M. FAESSLER, UNIV. MÜNCHEN  
PIRMA, 6.10.94

## WICHTIGSTE GEGENWÄRTIGE NAHZIELE:

- DIE KONSTITUENTEN DER VON CRYSTAL - DARREL GEFUNDENEN

$f_0$  - MESONEN

$f_0(1525)$  UND  $f_0(1365)$

ZU IDENTIFIZIEREN

- DIE EXISTENZ DES (EDENFALLS VON CB GEFUNDENEN)

$a_0$  - MESONS

$a_0(1450)$

DURCH NACHWEIS IN ANDEREN ZERFALLS MODEN

ZU VERI- ODER FALSIFIZIEREN

## UNTERSUCHTE ENDEZUSTÄNDE:

VIENNER  $\leftarrow (X=Y : K_L K_S \gamma, K^+ K^- \gamma)$

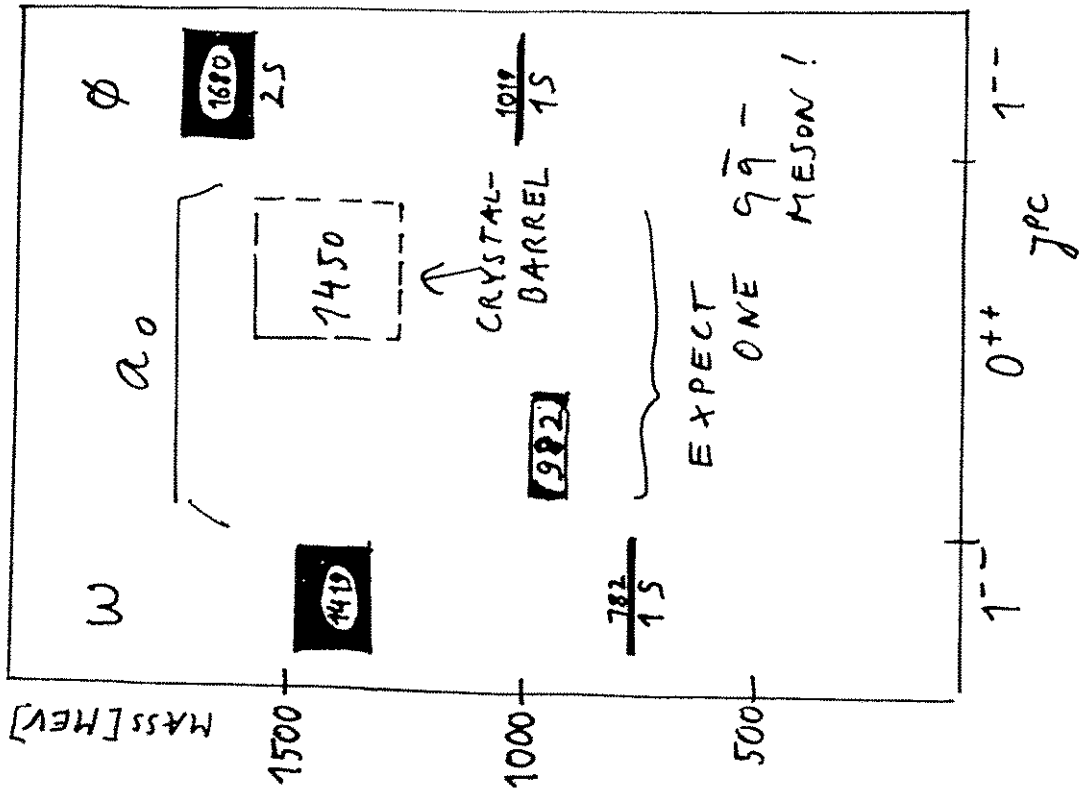
$\Rightarrow X=\pi : K_L K_S \pi^0, K_L K_L \pi^0, K_S K_S \pi^0, K_L K^\pm \pi^\mp, K^+ K^- \pi^0$

$(X=\eta : K_L K_S \eta, K_S K_S \gamma)$

$\Rightarrow X=2\pi : K_L K_S 2\pi^0, K_L K^\pm \pi^\mp \pi^0$

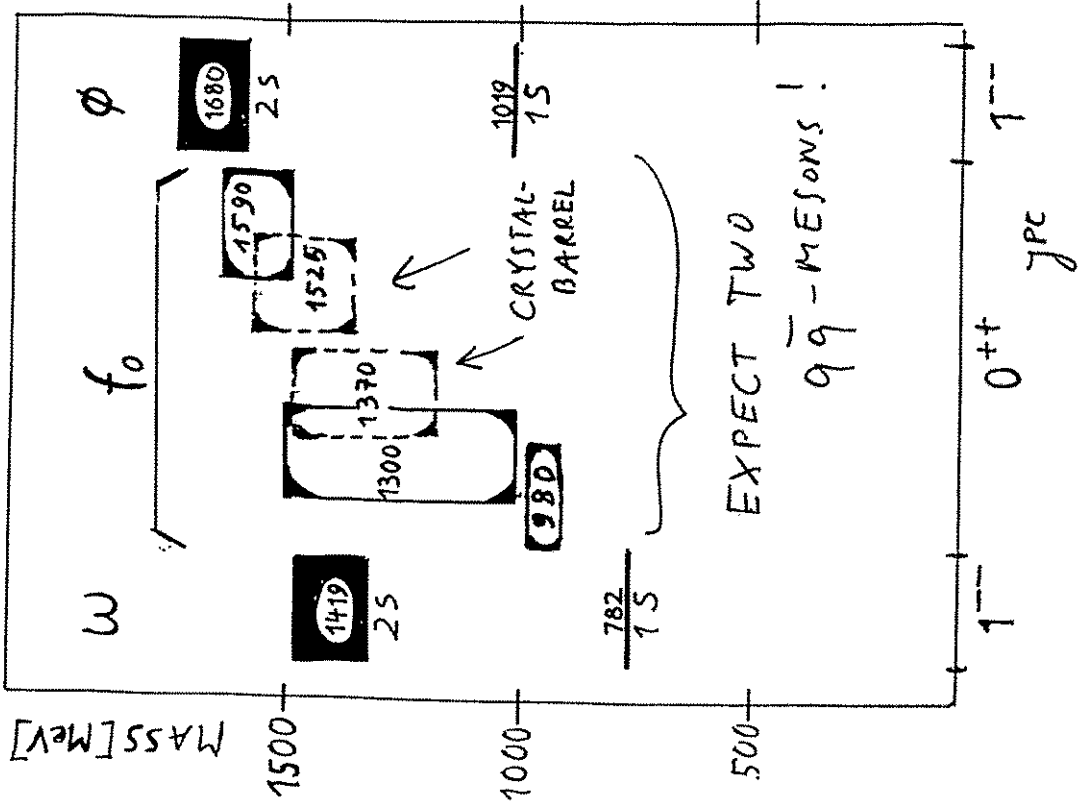
$\dots \Rightarrow X=3\pi : K_L K^\pm \pi^\mp 2\pi^0$

THE ISOVECTOR SCALAR MESONS  
BETWEEN  $\omega(15)$  AND  $\phi(25)$



[PDG 94]

THE ISOSCALAR SCALAR MESONS  
BETWEEN  $\omega(15)$  AND  $\phi(25)$



[PDG 94]

ROLLE VON  $K\bar{K}$ :

1) INDIKATOREN VON K-RESONANZEN

2)  $(K\bar{K})$ -PAAR UNTER DEN ZERFALLSPRODUKTEN VON  ~~$\psi$~~   $(J=0)$  - RESONANZEN  
 $K \rightarrow$  SONDE DER KONSTITUENTEN

VER BEISPIELE:

a)  $f_0 = \frac{u\bar{u} + d\bar{d}}{\sqrt{2}} \xrightarrow{SU(3)} \frac{BR(f_0 \rightarrow K\bar{K})}{BR(f_0 \rightarrow \pi\pi)} = \frac{1}{6}$

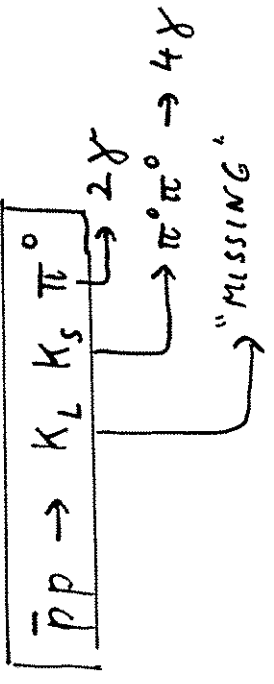
b)  $f_0' = s\bar{s} \xrightarrow{} \frac{BR(f_0' \rightarrow K\bar{K})}{BR(f_0' \rightarrow \pi\pi)} = \frac{1}{0}$

c)  $f_0 = \text{glueball} \xrightarrow{SU(3)} \frac{BR(f_0 \rightarrow K\bar{K})}{BR(f_0 \rightarrow \pi\pi)} = \frac{4}{3}$   
 (FLAVOUR-SINGULETT)  
 $\pi\pi : K\bar{K} : \eta\eta : \eta\eta'$   
 $3 : 4 : 1 : 0$   
 FLAVOUR-DEMOKRATI

d)  $f_0 = M\bar{M}$ -MOLEKÜL  $\rightarrow f_0 \rightarrow M\bar{M}$   
 dominant

NACHWEIS VON  $K^{\pm}, K_L, K_S$  IM CRYSTAL-BARREL-DETEKTOR

ERSTES BEISPIEL ( $K_L, K_S$ ):



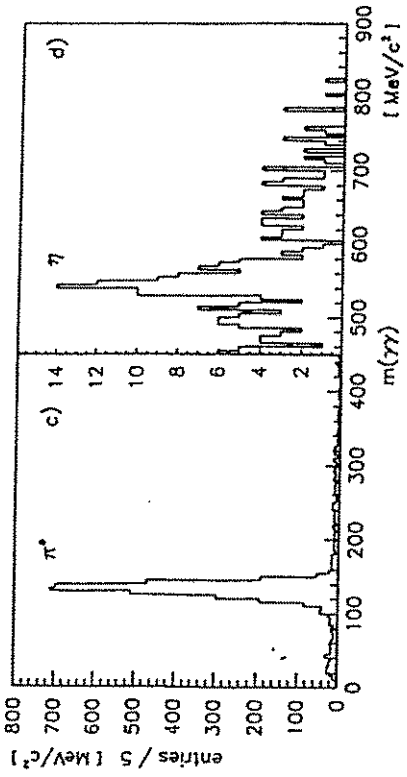
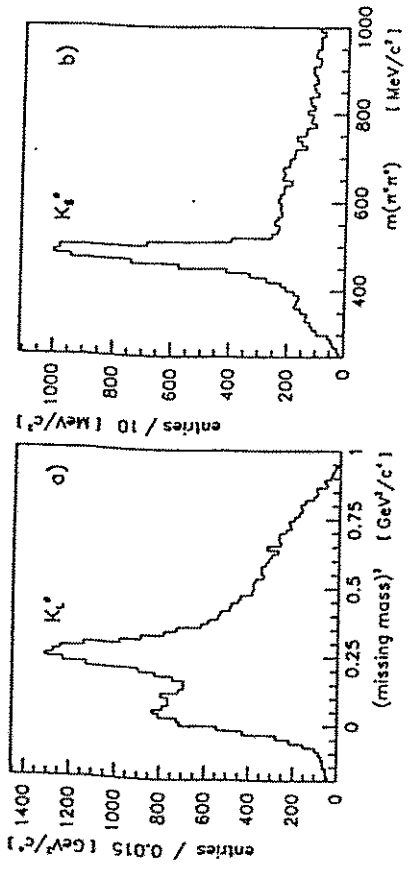
SCHNITTE:

	$4.5 \cdot 10^6$	ZERO-PRONG TRIGGERS		
BILD a)	$8 \cdot 10^5$		6 elektromagn. Schauer	
	$58\ 000$		$900 < E_{tot} < 1400$ MeV	
" b)	$70\ 300$		UND ANDERE SCHNITTE	NACH MIN. FIT $K_L + 6\gamma$
" c, d)	$4400$			NACH KIN. FIT $K_L K_S 2\gamma$

$(\bar{p}p \rightarrow K_L K_S \pi^0)$

ZWEITES BEISPIEL ( $K^+, K^-, K_L$ )

$\bar{p}p \rightarrow K_L K^\pm \pi^\mp + 2-4 \gamma's$



SCHNITTE :

TWO-PRONG - TRIGGERS + MIN. BIAS



ZWEI LANGE SPUREN IN JDC

$E_{tot} < 1600 \text{ MeV}$ , 2-5 "UNMATCHED PEDS"

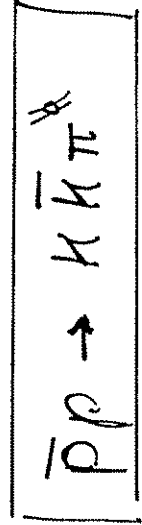
BILD

$dE/dx$  vs  $p$

WICHTIG :  
WINKEL - UND ENERGIE AUFLÖSUNG  
+ HERMETIZITÄT ( $\approx 4\pi \text{ AKZ.}$ )



$\bar{p}p \rightarrow 2 \text{ PRONGS} + 2-5 \gamma$   
 $E_{\text{tot}} < 1600 \text{ MeV}$

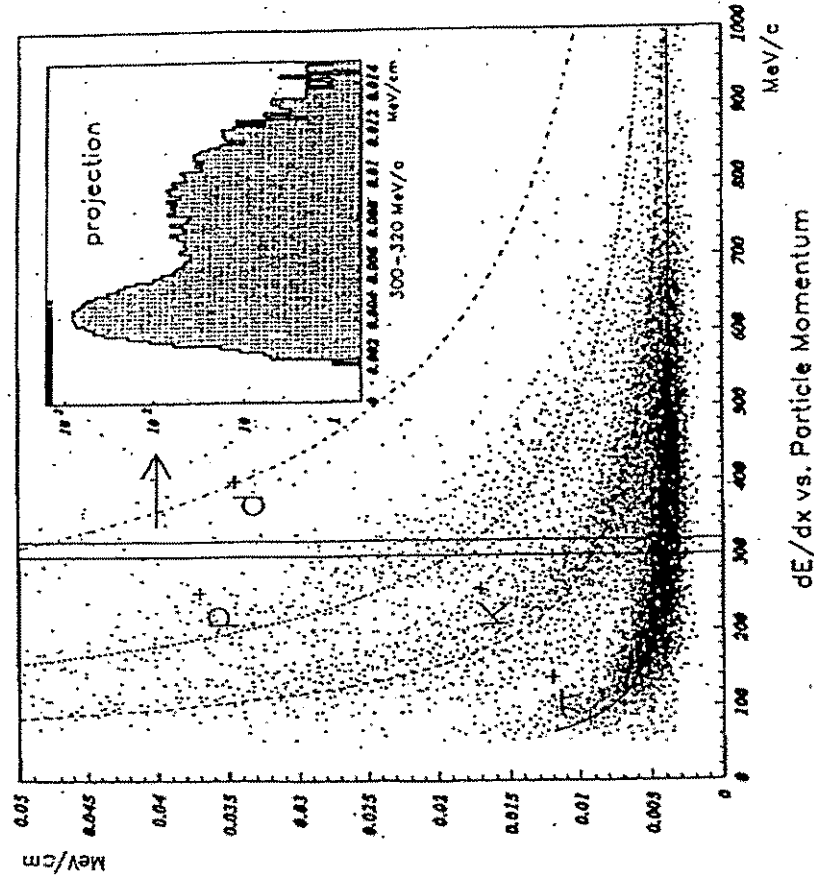


5 verschiedene Kanäle untersucht:

- $K_L K_S \pi^0$
- $K_L K_L \pi^0, K_S K_S \pi^0$
- $K_L K^\pm \pi^\mp$
- $K^+ K^- \pi^0$



$K \pi$  UND  $K \bar{K}$  RESONANZEN



WICHTIG:  
 $4\pi$ , Impulsauflösung,  $dE/dx$

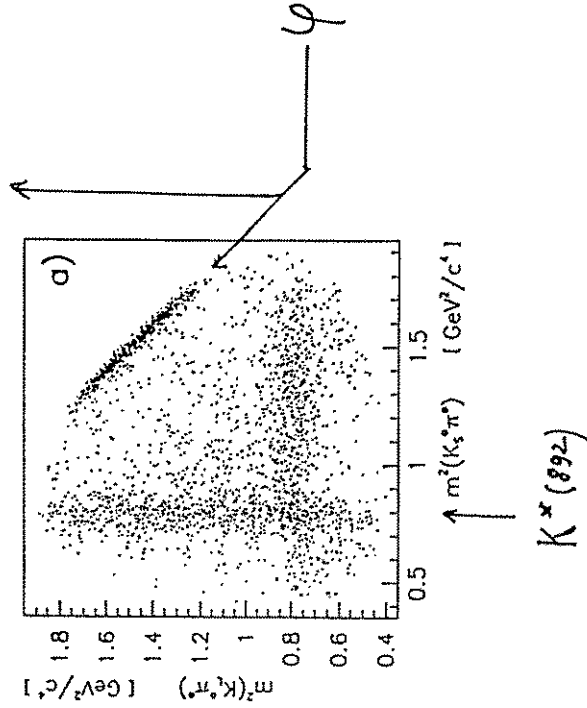
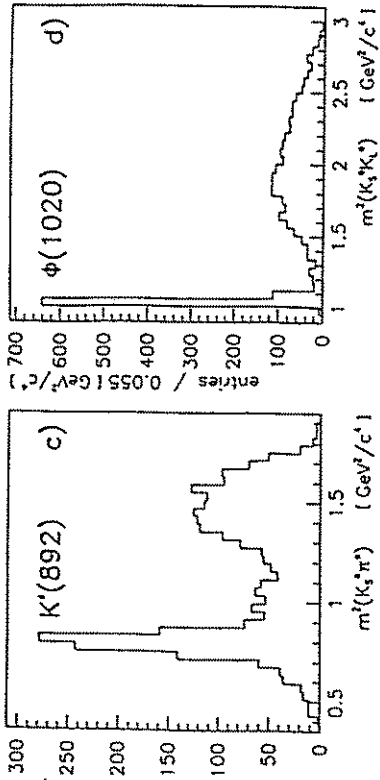
**(K $\bar{K}$ )-QUANTENZAHLEN**

PARITÄT VON  $K\bar{K}^0$ :  $P = (-1)^J$

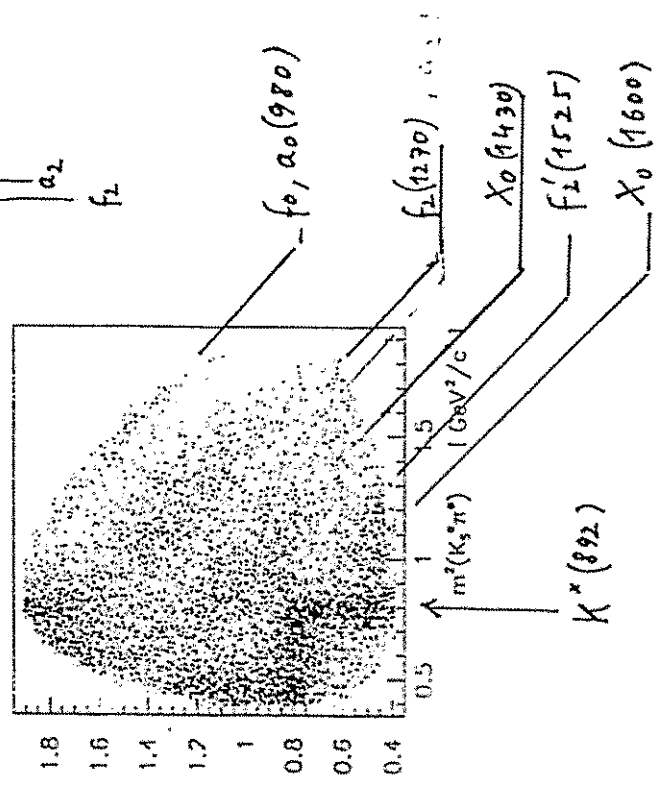
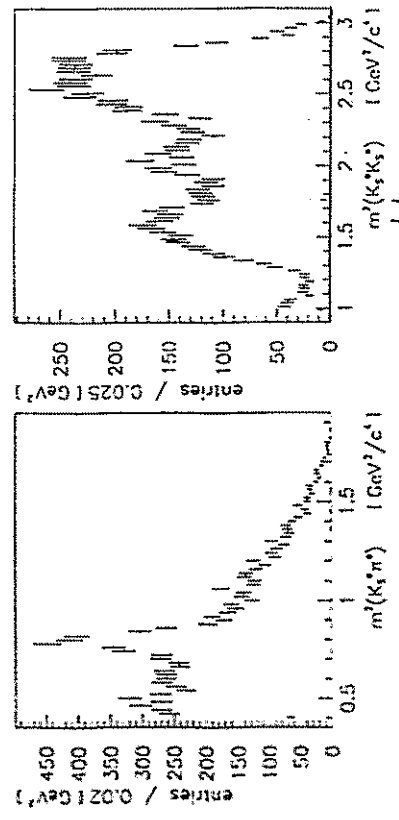
C-PARITÄT:  $K_S$  :  $C = +1$   
 $K_L$  :  $C = -1$

	C	I	J <sup>PC</sup>	MÖGLICHE RESONANZEN
$K_L K_S$	-1	0, 1	$1^{--}, \dots$	$\varphi, \dots, s$
$K_L K_L, K_S K_S$	+1	0, 1	$0^{++}, 2^{++}, \dots$	$a_0, f_0, a_2, f_2, \dots$
$K_L, K_S, K^\pm$	<del>X</del>	1		$a_0, a_2, \dots$
$K^+ K^-$	0, 1	0, 1		$\varphi, a_0, f_0, a_2, f_2, \dots$

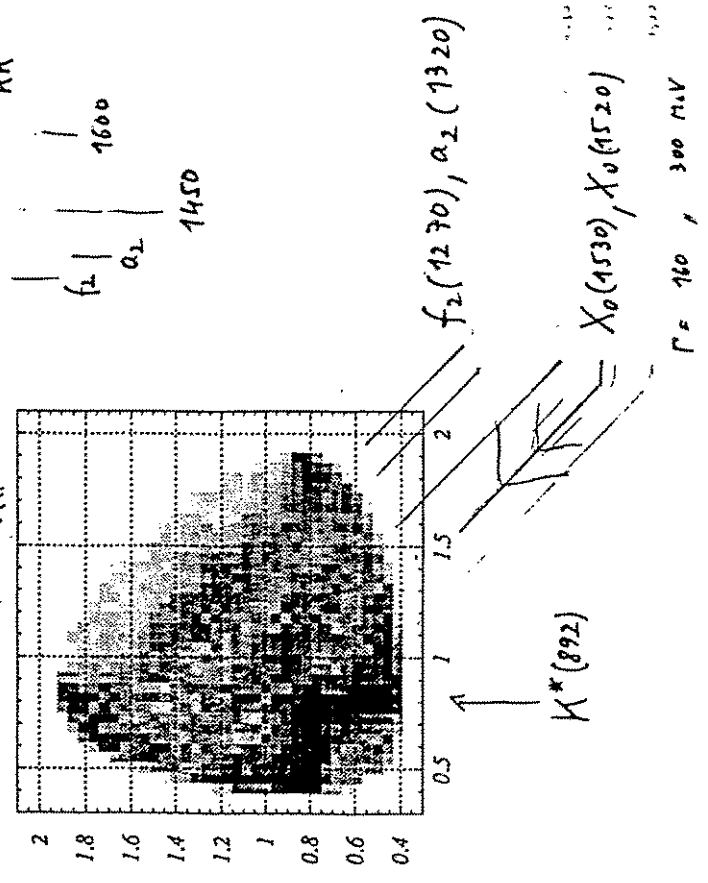
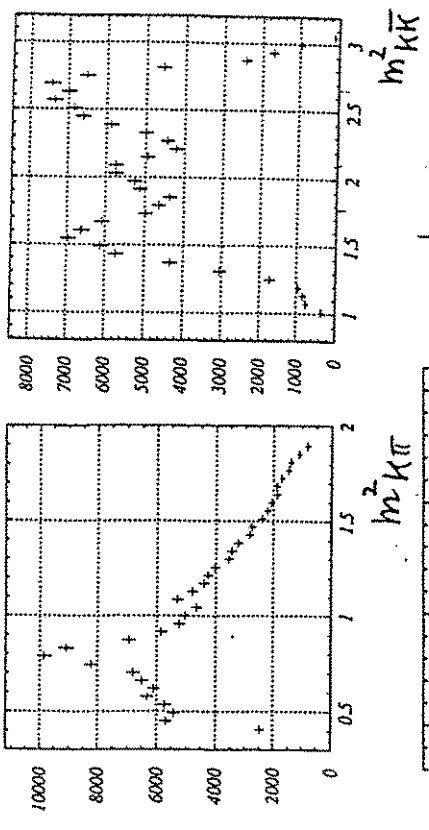
$\bar{p}p \rightarrow K_L K_S \pi^0$  at rest



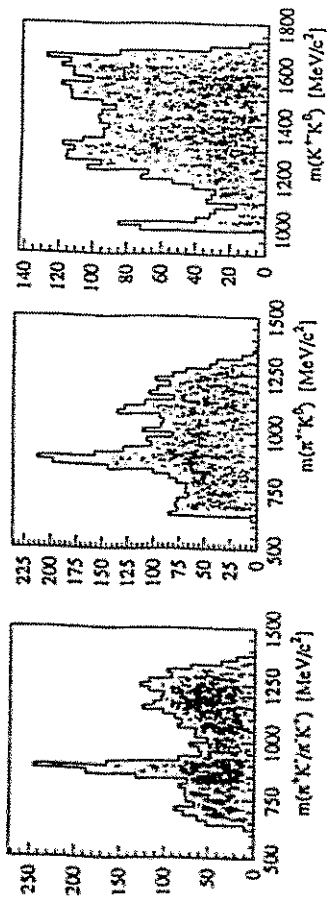
$\bar{p}p \rightarrow K_S K_S \pi^0$  at rest



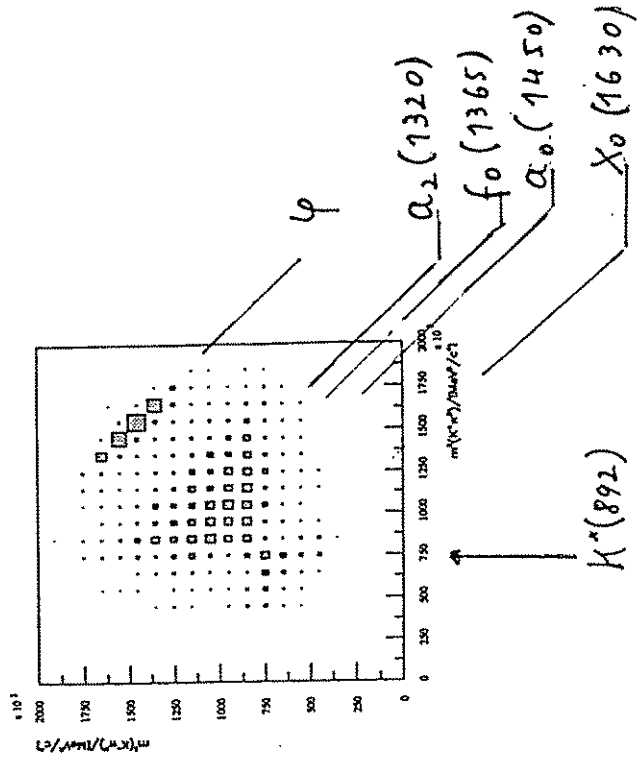
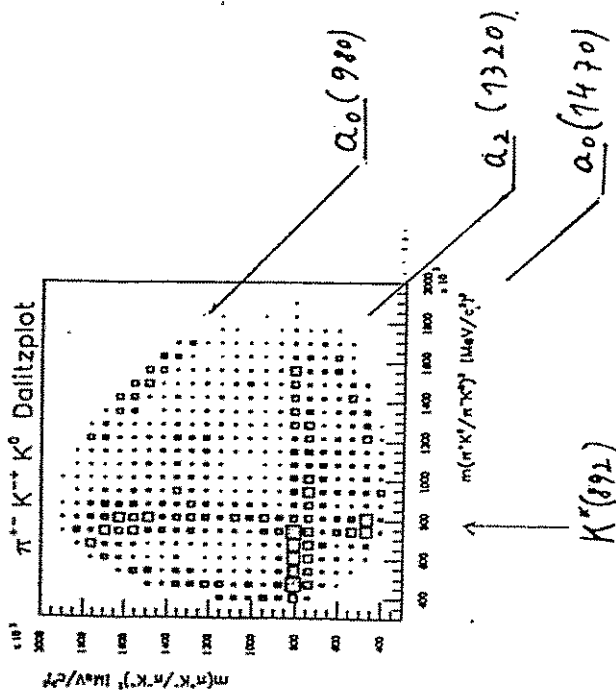
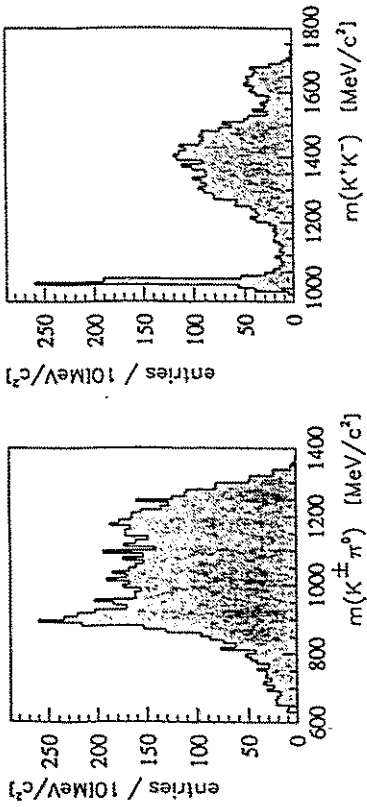
$\bar{p}p \rightarrow K_L K_L \pi^0$  at rest

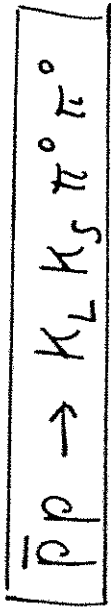


$\bar{p}p \rightarrow K_L K^\pm \pi^\mp$  at rest

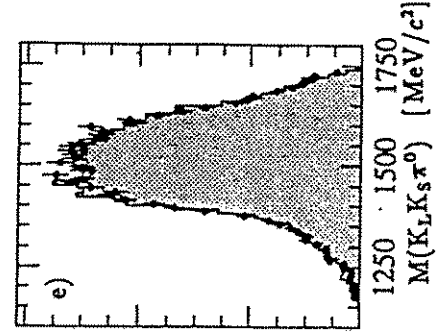
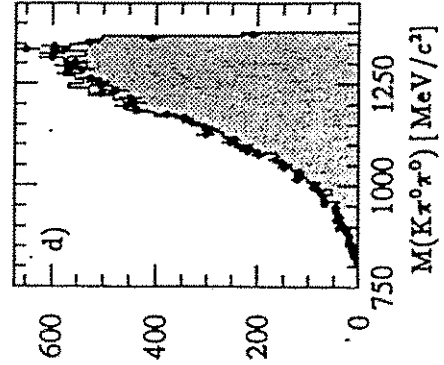
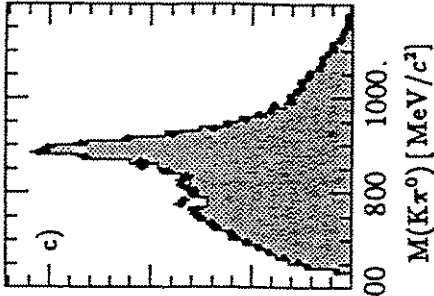
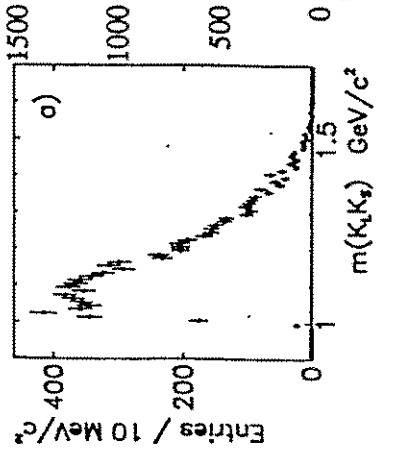
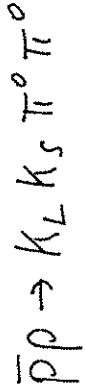


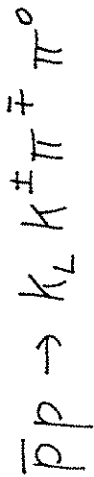
$\bar{p}p \rightarrow K^+ K^- \pi^0$  at rest



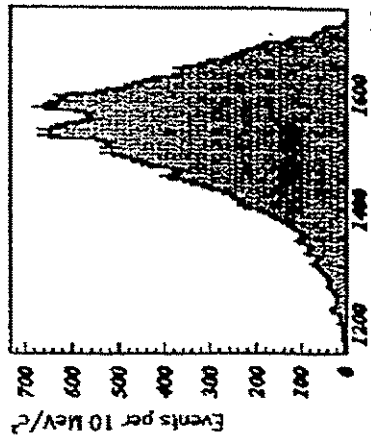


$\Downarrow$   
 $K\pi^-$ ,  $K\bar{K}^-$ ,  $K\pi\pi^-$  UND  $\underline{\underline{K\bar{K}\pi^-}}$  ( $C=-1$ ) -  
 RESONANZEN

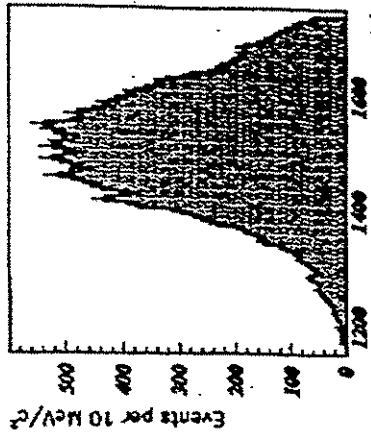




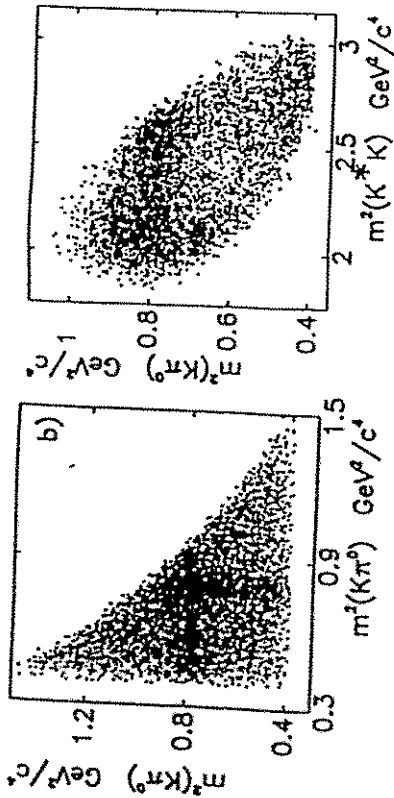
KK $\pi$  Invariant Mass Spectra



$K_L K^+ \pi^- \pi^0$



$K_L K^+ \pi^+ \pi^0$



The  $K^* K \pi^0$  Dalitz plot.

Amplitude	Intensity [%]	Phase [deg]
$K^* K^0$ S-wave	$6.0 \pm 2.0$	0 (fixed)
$K^* K^0$ D-wave	$3.2 \pm 1.5$	$214 \pm 12$
$K_1(1270)K$ S-wave	$5.7 \pm 2.0$	$1 \pm 8$
$K_1(1270) \rightarrow K^* \pi^0$ S-wave		
$K_1(1270)K$ S-wave	$1.3 \pm 1.0$	$25 \pm 13$
$K_1(1270) \rightarrow K(\pi\pi)_s$ P-wave		
$K_1(1400)K$ S-wave	$42. \pm 15.$	$301 \pm 7$
$K_1(1400) \rightarrow K^* \pi^0$ S-wave		
$K_1(1400)K$ S-wave	$8.6 \pm 2.0$	$240 \pm 10$
$K_1(1400) \rightarrow K^* \pi^0$ D-wave		
$K_1(1400)K$ S-wave	$4.0 \pm 2.0$	$286 \pm 11$
$K_1(1400) \rightarrow K_0^*(1430)\pi^0$ P-wave		
$K_1(1400)K$ S-wave	$1.0 \pm 1.0$	$285 \pm 16$
$K_1(1400) \rightarrow K(\pi\pi)_s$ P-wave		
$\phi(\pi\pi)_s$ S-wave	$3.6 \pm 1.5$	$215 \pm 17$
$\phi \rightarrow K_L K_S$ P-wave		
$X(1^{+-})\pi^0$ , S-wave	$3.3 \pm 1.2$	$86 \pm 8$
$X(1^{+-}) \rightarrow K^* K$ S-wave		

$K_0 = 1470$   
 $K_{01}$   
 $K_{02}$

## ZUSAMMENFASSUNG

$[K\bar{K}\pi^0]$  -  $f_0$ -AKTIVITÄT IN  $(K\bar{K})^0$   
ZWISCHEN 1500-1600 MeV

-  $a_0$ -ANZEICHEN UM 1450 MeV

$[K_L^0 K_S^0 \pi^0 \pi^0]$  (IN  $K\bar{K}\pi^0$ ) :

-  $(K^* K) \gamma_{PC} = 1^{+-}$  [ $m = 1385$  MeV  
Preliminary ( $h_{11}$ , ?) [ $\Gamma = 200$  "]]

-  $(\varphi K) \gamma_{PC} = 1^{+-}$  [ $m = 1410$  MeV  
 $I = 1$  [ $\Gamma = 34$  "]]

$[K_L^+ K^+ \pi^+ \pi^0]$

ANZEICHEN VON  
SCHMALEN RESONANZEN  
Preliminary  $\rightarrow K^* K$ , 1535 UND 1585 MeV  
 $I = 1, (\gamma_P = 1, G = +1)$  ?

Seltene Zerfälle und die Verletzung der OZI-Regel  
(CRYSTAL BARREL)

U. Wiedner  
Uni Hamburg

6.Oktober 1994



# Seltene Zerfälle und die Verletzung der OZI-Regel

Ulrich Wiedner  
(Universität Hamburg)

Pirna, den 5.10.1994

~~nische~~

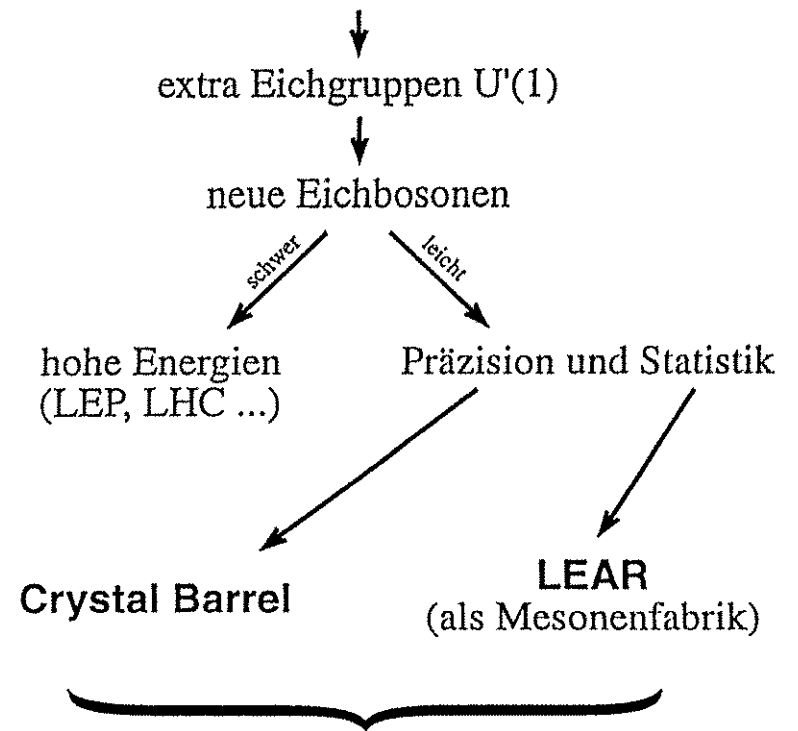
nice

physics

# Inhaltsübersicht

1. Die Suche nach leichten Eichbosonen
2.  $\eta$ -Zerfälle als Test chiraler Störungsrechnung
3. Die Gültigkeit der OZI-Regel und ein möglicher strange-Quarkinhalt des Protons

Einige Modelle jenseits des Standardmodells

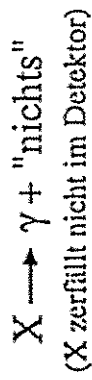


Untersuchte Kanäle:

$\pi^0$	$\longrightarrow$	$\gamma X$
$\eta$	$\longrightarrow$	$\gamma X$
$\eta'$	$\longrightarrow$	$\gamma X$

Massenbereich:  $m_X \leq m_{\text{Meson}}$

**Mögliche Zerfälle von X:**  
abhängig von der Art der Wechselwirkung  
(M. I. Dobroliubov)

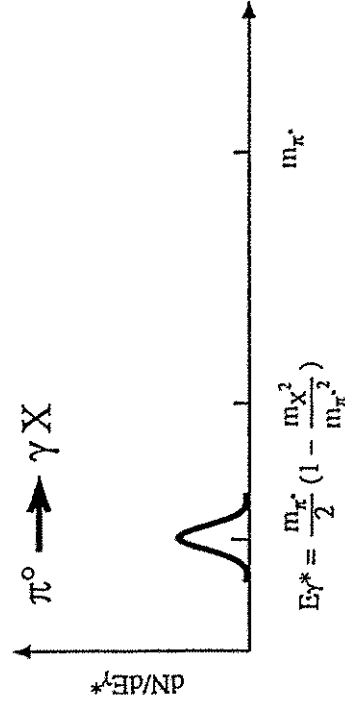
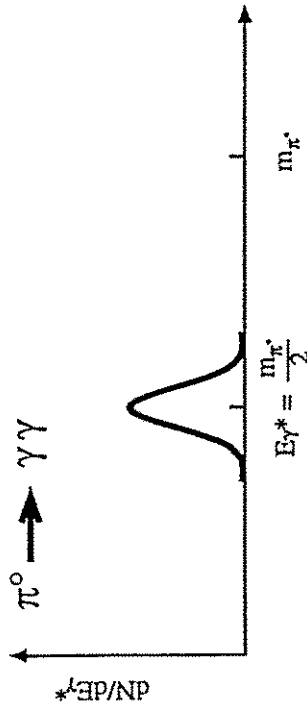


ungeeignet wegen  
 $\pi^0 \rightarrow \gamma e^+e^-$  (1%)

Erwartete Verzweungsverhältnisse

$\leq 6.2 \times 10^{-6}$	$\pi^0 \rightarrow \gamma X$	$\leq 2.7 \times 10^{-3}$
$\leq (1.6 - 3.8) \times 10^{-4}$	$\eta \rightarrow \gamma X$	$\leq (2.0 - 4.7) \times 10^{-4}$
$\leq (0.7 - 5.7) \times 10^{-6}$	$\eta' \rightarrow \gamma X$	$\leq (0.3 - 2.3) \times 10^{-6}$

**Signaturen im Detektor:**



**Benötigt:**

wohldefinierte Kinematik = Annihilation in Ruhe  
 $E_g = 2 m_p \quad \vec{p}_g = 0$

Analyzierter Datensatz:

$15 \times 10^6$  Ereignisse mit einem "all neutral" Trigger  
 $\cong 3.75 \times 10^8$  Annihilationsereignissen

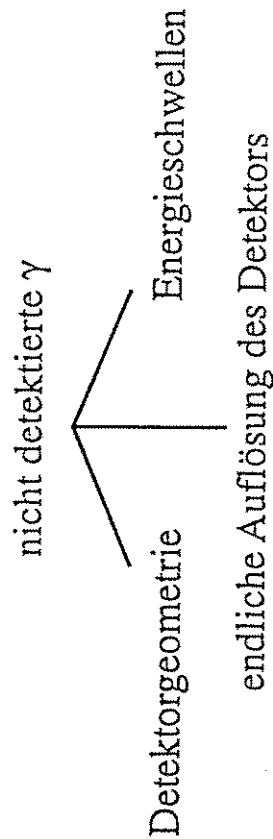
Analysemethode:

Suche nach 5  $\gamma$  Ereignissen in:

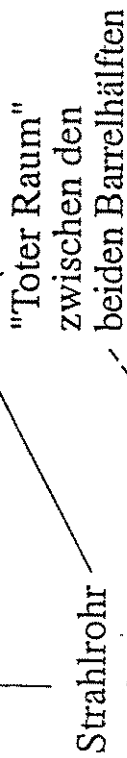
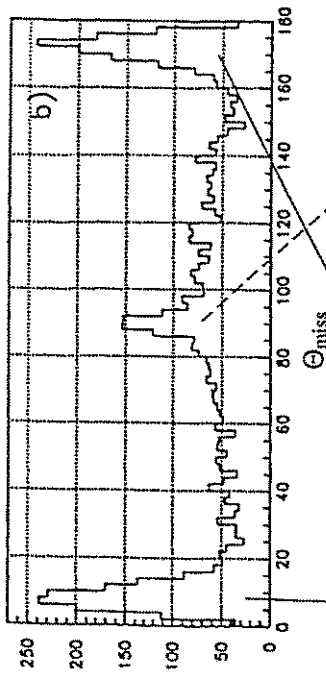
- $\bar{p}p \rightarrow \pi^+ \pi^+ \pi^0 \quad (6.3 \pm 1.0) \times 10^{-3}$
- $\bar{p}p \rightarrow \pi^+ \pi^+ \eta \quad (6.5 \pm 0.7) \times 10^{-3}$
- $\bar{p}p \rightarrow \pi^+ \pi^0 \eta' \quad (4.0 \pm 0.7) \times 10^{-3}$

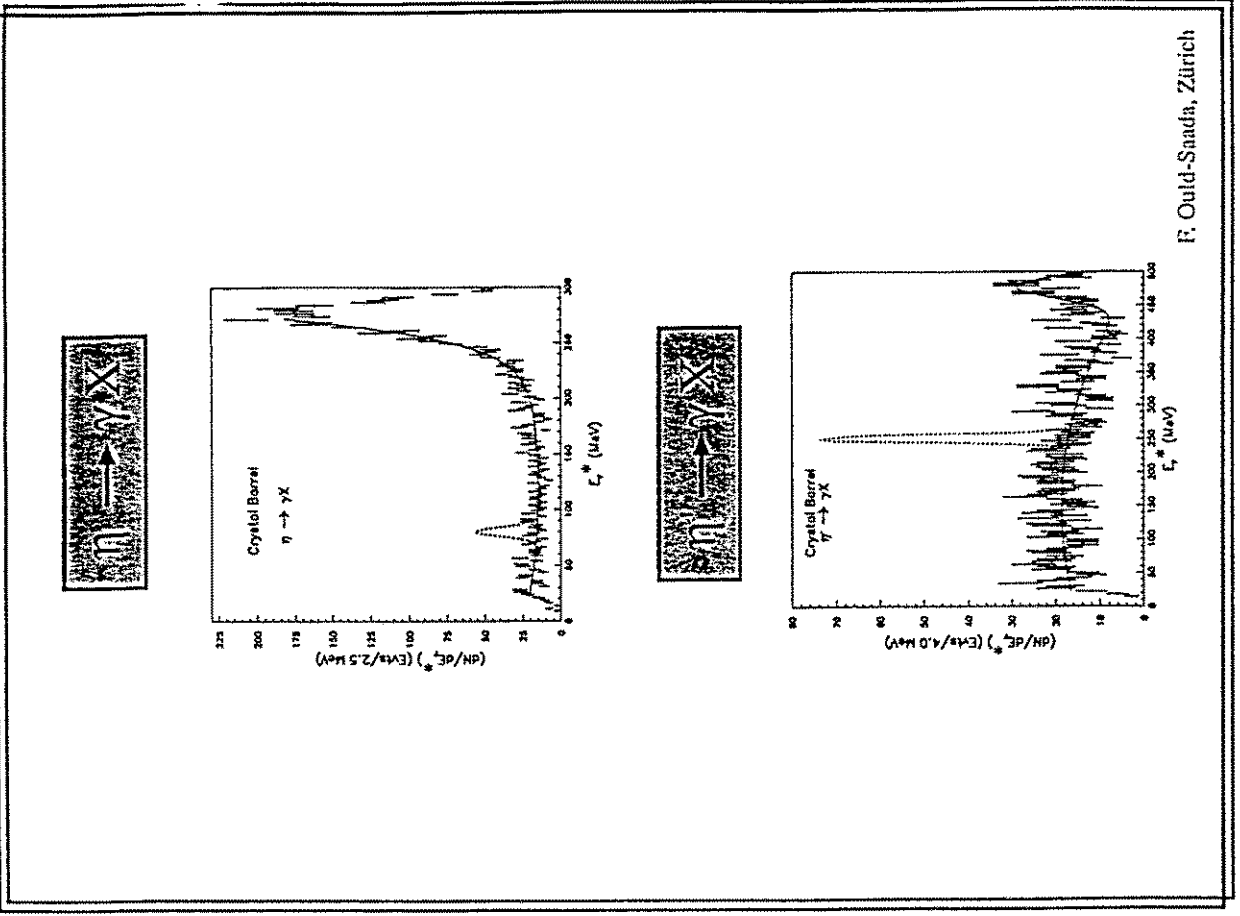
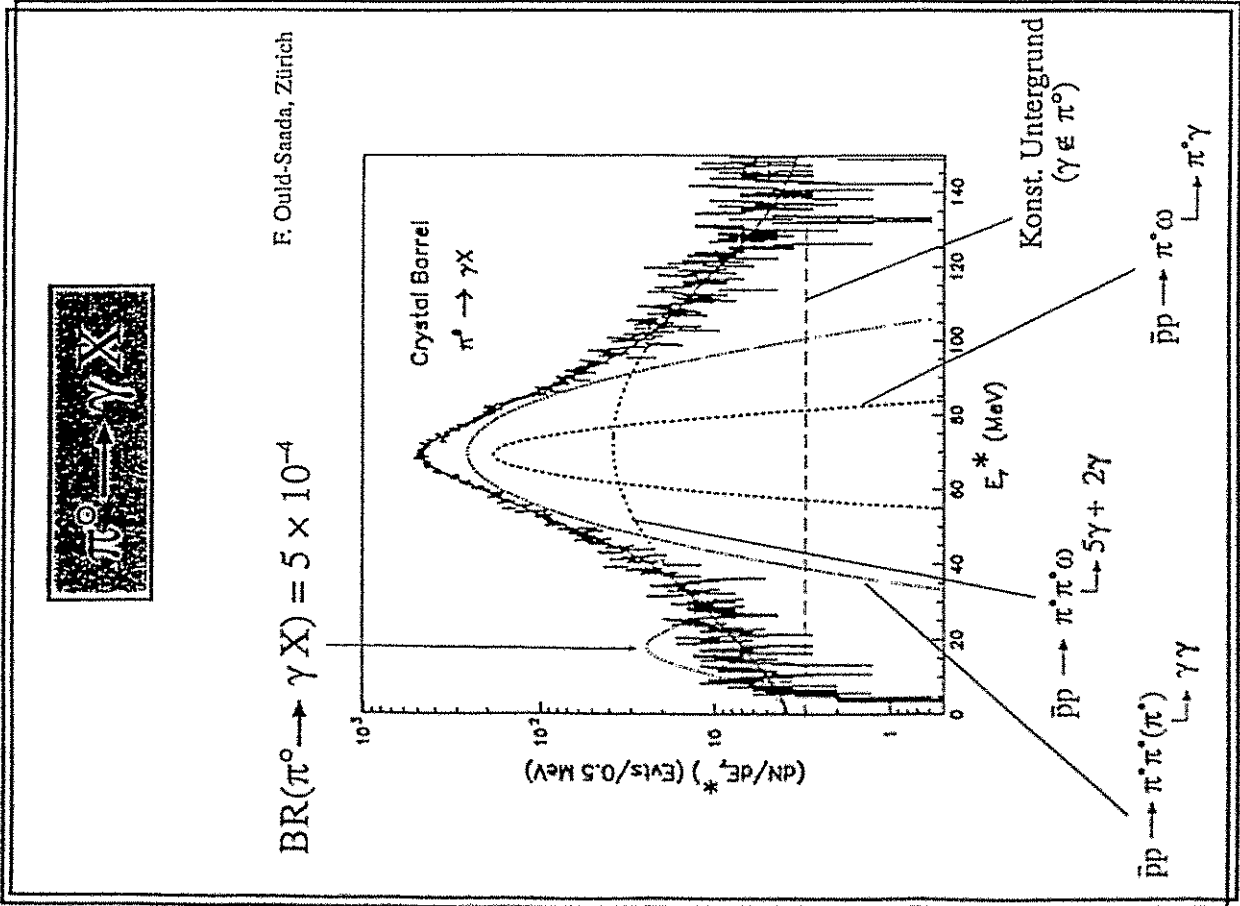
CB preliminary

Hauptsächlicher Untergrund:



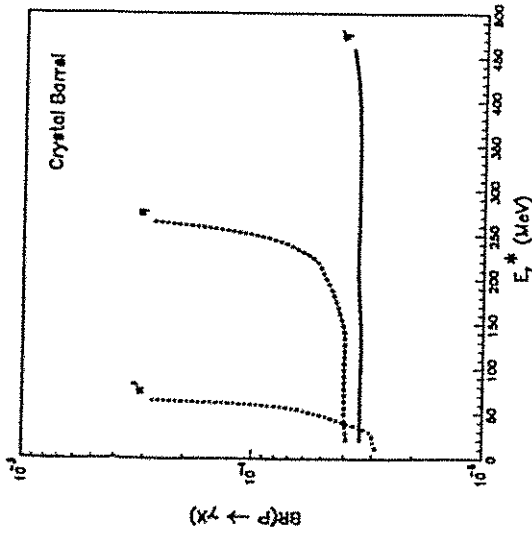
Winkelverteilung der fehlenden  $\gamma$





## Ergebnisse

$BR(P \rightarrow \gamma X) @ 90\% \text{ C.L.}$



$\pi^0$ :  $6 \times 10^{-5}$  für  $65 < M_X < 125 \text{ MeV}/c^2$   
 $2.8 \times 10^{-5}$  für  $M_X \sim 0$

$\eta$ :  $6 \times 10^{-5}$  für  $200 < M_X < 525 \text{ MeV}/c^2$   
 $3 \times 10^{-4}$  für  $50 < M_X < 200 \text{ MeV}/c^2$

$\eta'$ :  $4 \times 10^{-5}$  für  $0 < M_X < 925 \text{ MeV}/c^2$  preliminary

F. Ould-Saada, Zürich

## $\eta \rightarrow 3\pi$ Zerfälle

Annahmen:

- keine elektromagnetische Wechselwirkung
- Quarkmassendifferenz  $(m_u - m_d) = 0$



$\eta \rightarrow 3\pi$  aus Symmetriegründen verboten

Der Zerfall wird aber beobachtet, d.h.

- die elektromagnetische Wechselwirkung trägt bei
- es gibt Beiträge der starken Wechselwirkung

Der Beitrag der starken Wechselwirkung  $\sim (m_u - m_d)$



Das Studium der  $\eta$ -Zerfälle erlaubt eine Überprüfung der Theorie, welche die leichten Quarkmassen bestimmt

## Dashens Theorem:

“Der Beitrag der elektrischen Ladung zur Masse der Teilchen ist gleich groß für Mesonen des selben Oktetts”

$$(m_{K^0}^2 - m_{K^+}^2)_{QED} - (m_{\pi^0}^2 - m_{\pi^+}^2)_{QED} = 0$$

## Chirale Störungsrechnung besagt:

$$(m_d - m_u) \sim (m_{K^0}^2 - m_{K^+}^2) - (m_{\pi^0}^2 - m_{\pi^+}^2)$$



$$\Gamma_{\eta \rightarrow \pi^0 \pi^+ \pi^-} = 160 \pm 50 \text{ eV} \quad (\text{Gasser, Leutwyler})$$

## Annahmen:

- Dashens Theorem gültig
- die Massendifferenz  $(m(\pi^0) - m(\pi^+))$  ist nur durch die elektromagnetische Wechselwirkung bedingt

## Die experimentellen Werte:

$$\Gamma_{\eta \rightarrow \pi^0 \pi^+ \pi^-} = 197 \pm 29 \text{ eV} \quad (\text{Particle Data Group 1982})$$

$$\Gamma_{\eta \rightarrow \pi^0 \pi^+ \pi^-} = 283 \pm 28 \text{ eV} \quad (\text{Particle Data Group 1992})$$

Neuere Berechnungen bezweifeln die Gültigkeit von Dashens Theorem:

$$\Gamma_{\eta \rightarrow \pi^0 \pi^+ \pi^-} = 225 \text{ eV}$$

Donogue, Holstein, Wyler 1992

$$\Gamma_{\eta \rightarrow \pi^0 \pi^+ \pi^-} = 240 \text{ eV}$$

Bijnens 1992

Folgendes Verhältnis ist hiervon unabhängiger:

$$r = \frac{\Gamma_{\eta \rightarrow 3\pi^0}}{\Gamma_{\eta \rightarrow \pi^0 \pi^+ \pi^-}}$$

Der QCD-Wert (Chirale Störungsrechnung):

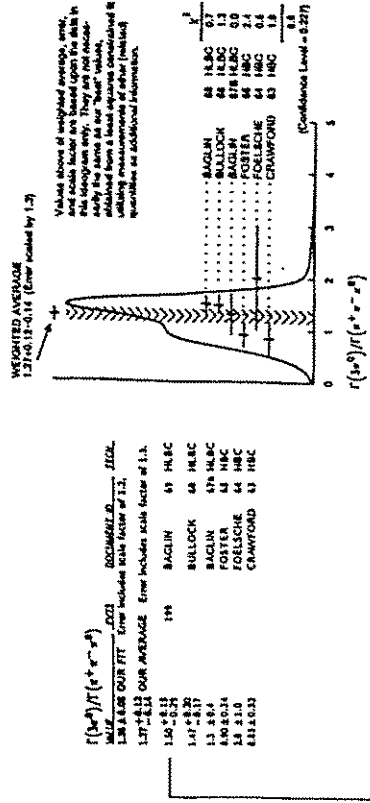
$$r = 1.44 \pm 0.02$$

# Die experimentelle Situation

Ergebnisse bisheriger Experimente:

$$r = 1.27 \pm 0.12 \quad (\text{PDG-Mittelwert})$$

$$r = 1.35 \pm 0.05 \quad (\text{PDG-Fit})$$

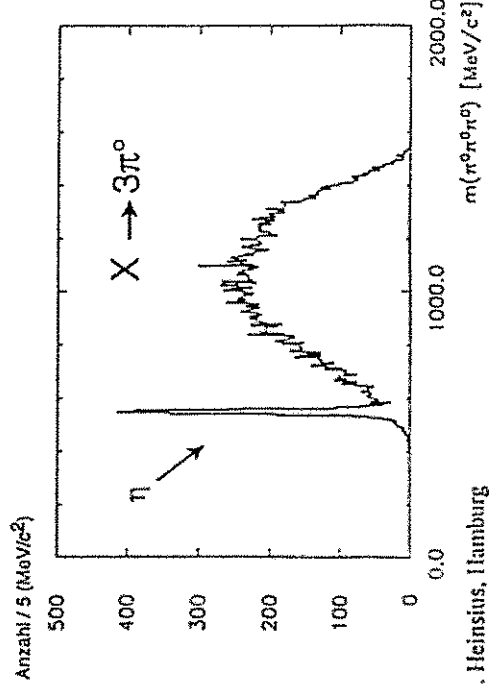
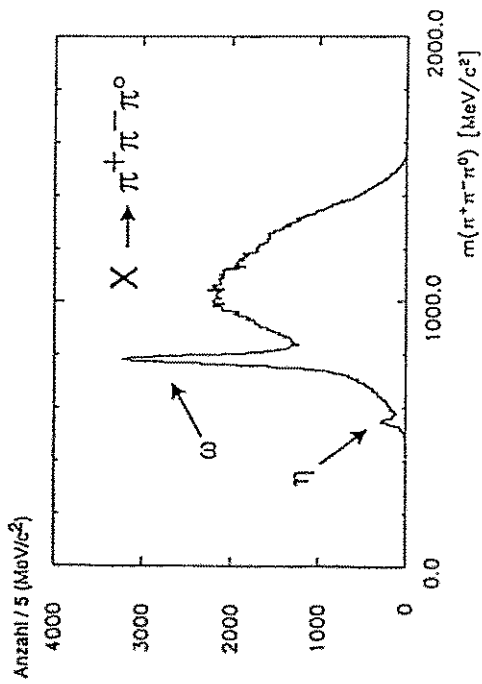


→ Genauestes Ergebnis auf der Basis von 199 Ereignissen

Aber 10<sup>7</sup> pp-Anihilationen enthalten 300,000 η

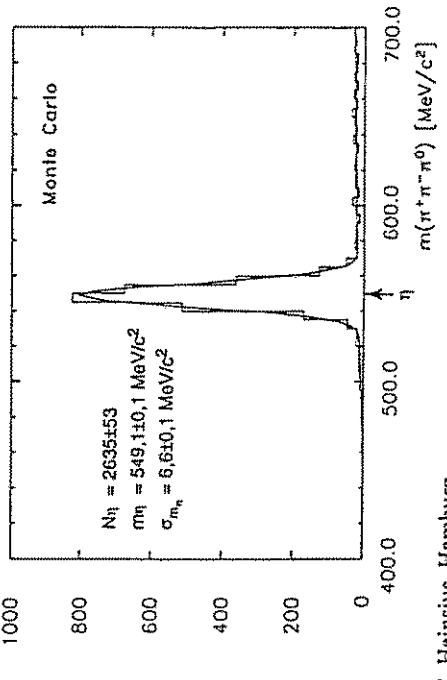
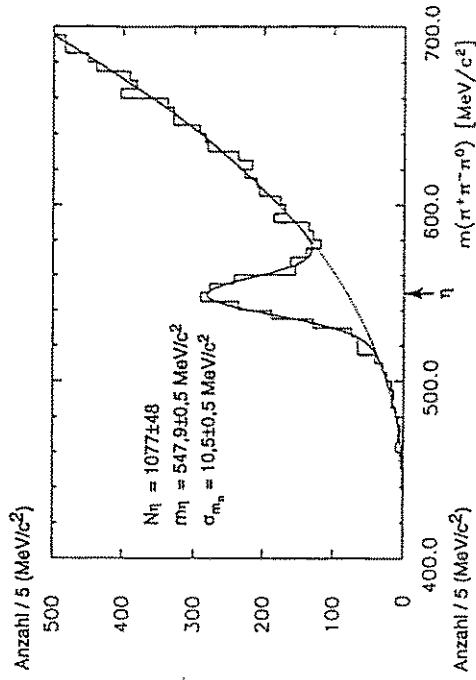


$\eta$ -Zerfälle: Daten



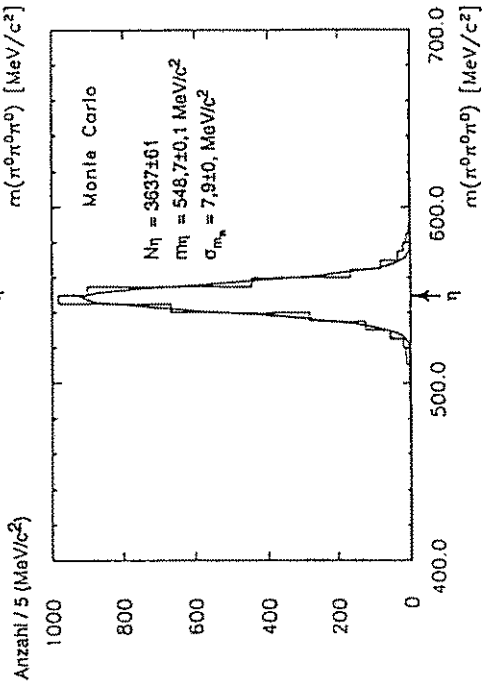
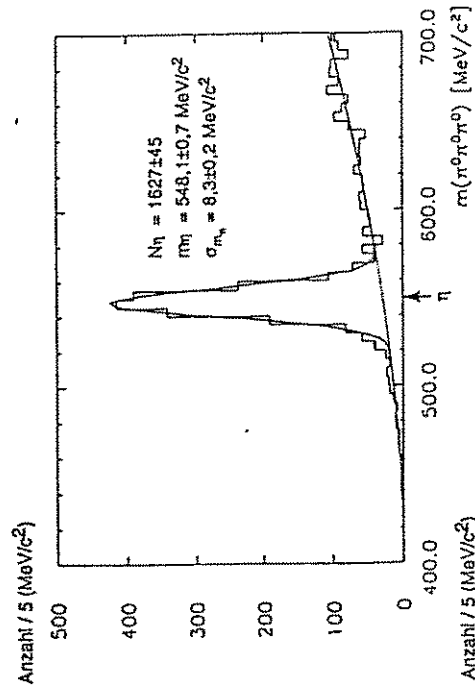
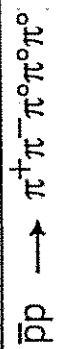
F. H. Heinsius, Hamburg

$\eta$ -Zerfälle: Daten



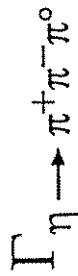
F. H. Heinsius, Hamburg

$\eta$ -Zerfälle: Daten



F. H. Heinsius, Hamburg

# Ergebnisse



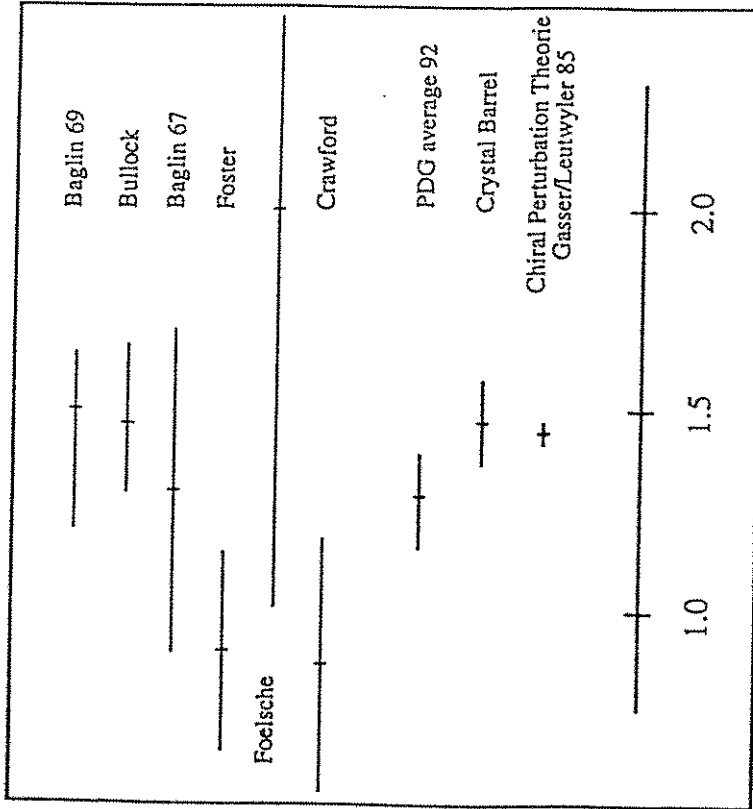
Crystal Barrel:  
 $\Gamma = 240 \pm 30 \text{ eV}$

$BR(\eta \rightarrow 3\pi)$

$r = \frac{BR(\eta \rightarrow \pi^+\pi^-\pi^0)}{BR(\eta \rightarrow 3\pi)}$

Crystal Barrel:  
 $r = 1.47 \pm 0.09 \pm 0.07$

$$\frac{\Gamma_{\eta \rightarrow \pi^+ \pi^- \pi^0}}{\Gamma_{\eta \rightarrow 3\pi^0}}$$



(strange?) Quarkinhalt des Protons

QCD  $\xrightarrow{\text{gütig}}$  chirale Symmetrie

Die Art und Weise der SU(3) Symmetriebrechung scheint nicht in das Bild

$$p = uud$$

zu passen.

Ausweg: Selbst bei Energien vergleichbar mit der Ruheenergie des Nukleons enthält das Proton  $\bar{s}s$ -Quarkpaare

## Experimentelle Hinweise:

### 1) $\pi$ -N- $\sigma$ Term

Analyse der experimentellen Daten mit Standardmethoden ergibt einen zu kleinen Wert der Nukleonenmasse, wenn man die strange-Quarkmasse im Nukleon gleich 0 setzt.

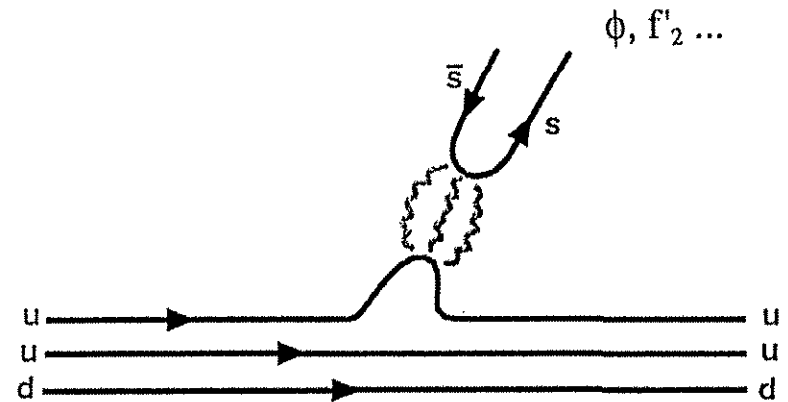
### 2) Tief inelastische polarisierte Lepton-Proton-Streuung

"Spinkrise des Protons"

### 3) Verletzungen der Okubo-Zweig-Iizuka-Regel

*Wir wissen nicht, warum das Konstituenten Quark Modell und die OZI-Regel in einigen Fällen so gut funktionieren und in anderen nicht.*

In  $\bar{p}p$ -Annihilationsprozessen kann man die Gültigkeit der OZI-Regel testen.

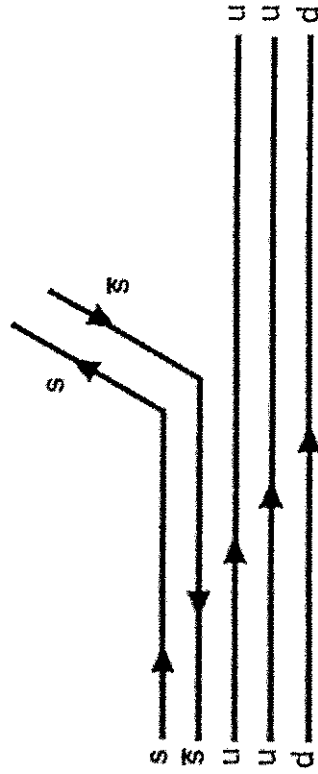


Kopplung eines  $\bar{s}s$ -Mesons an ein Baryon ohne Strangeness nur mit unterbrochenen Quarklinien

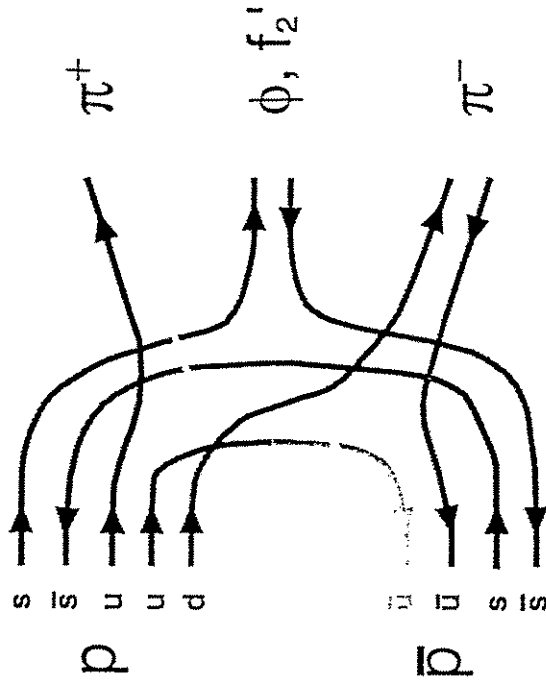
OZI-verboten

# Umgehung der OZI-Regel

durch vorhandene  $\bar{s}s$ -Quarks



**Falls** es  $\bar{s}s$ -Quarks im Proton gibt ...



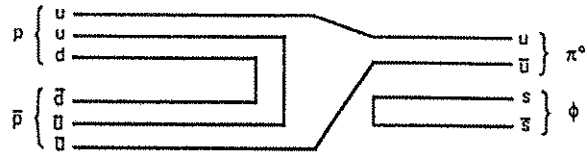
$\bar{p}p \rightarrow (\phi \text{ or } f_2') \pi^+ \pi^-$

# Vektormeson-Produktion

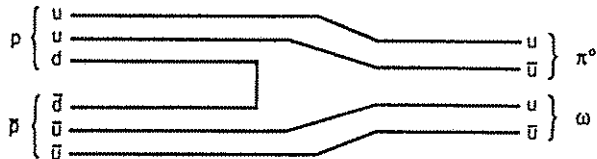
in der  $\bar{p}p$ -Annihilation

Meson	Quarkinhalt	OZI-Regel
-------	-------------	-----------

$\phi$ -Meson	(fast nur) $\bar{s}s$	verboten
---------------	-----------------------	----------



$\omega$ -Meson	(fast nur) $\bar{u}u + \bar{d}d$	erlaubt
-----------------	----------------------------------	---------



"Fast nur" bei der Quarkzusammensetzung bedeutet:

Das  $\phi$ -Meson enthält einen kleinen Anteil von up- und down-Quarks



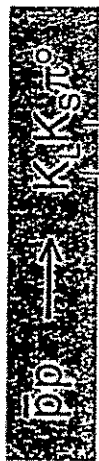
Produktion von  $\phi$ -Mesonen in der  $\bar{p}p$ -Annihilation nicht komplett verboten, sondern nur unterdrückt

Berechnetes Unterdrückungsverhältnis

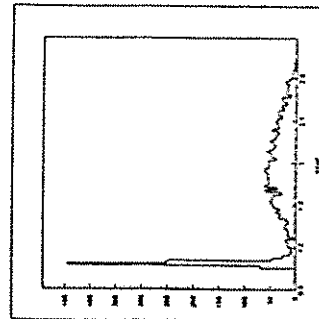
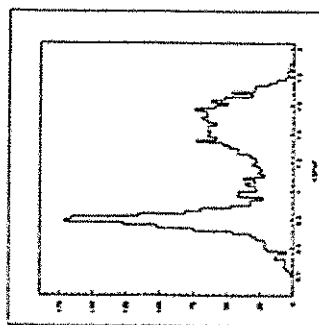
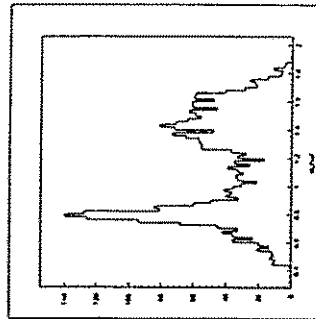
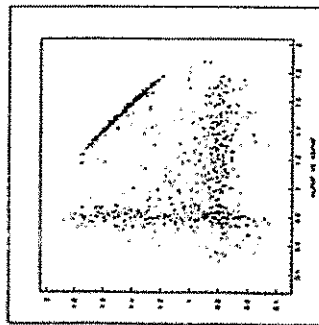
$$\frac{\overline{\bar{p}p \rightarrow \phi X}}{\overline{\bar{p}p \rightarrow \omega X}} = \frac{1}{240}$$

Abweichung von diesem Wert heißt:

- OZI-Regel versagt, oder
- Quarkzusammensetzung des Protons ist anders



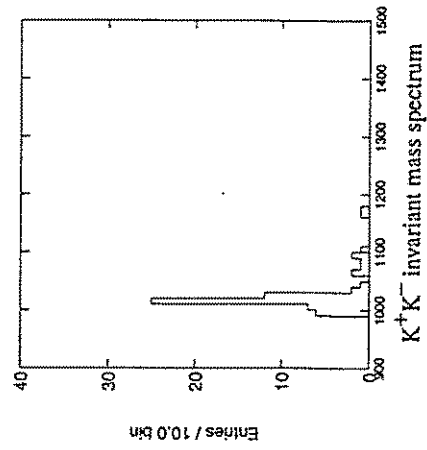
$\pi^+ \pi^0$   
missing mass (tag)



H. P. Dietz, München



Erwartetes Branching Ratio:  $10^{-7}$ !



Branching Ratio

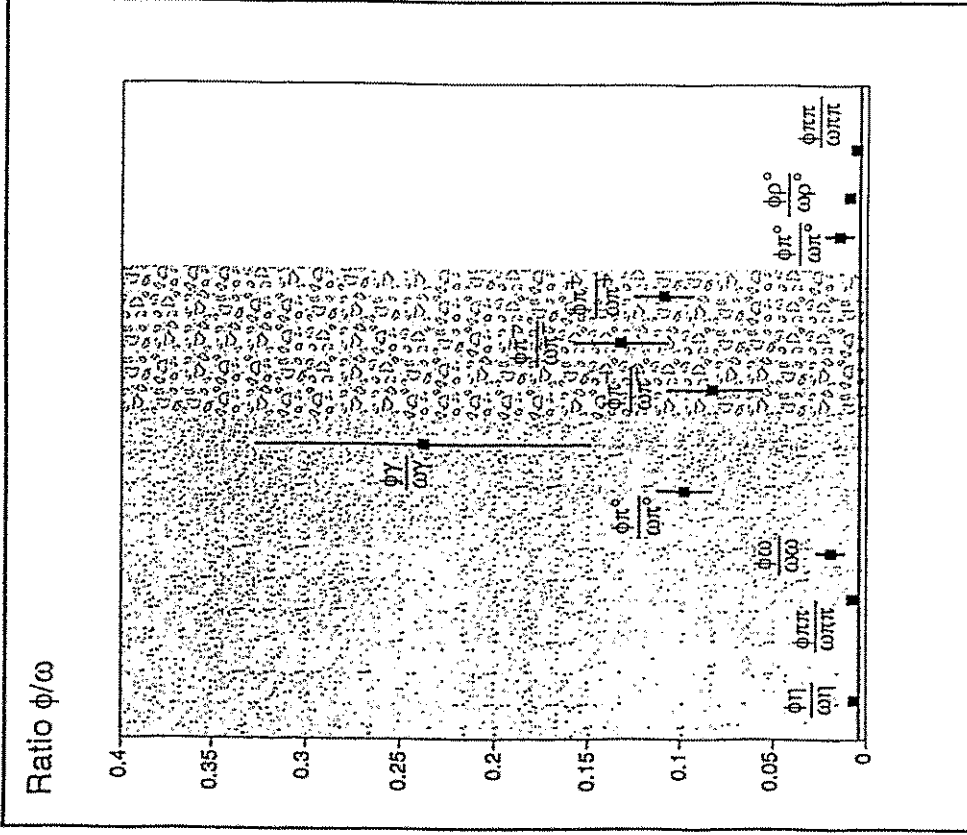
$$\bar{p}p \rightarrow \phi \gamma$$

$$1.7 \pm 0.4 \times 10^{-5}$$

OZI relevantes Verhältnis

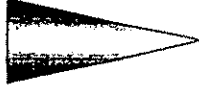
$$\frac{\phi \gamma}{\omega \gamma} = \frac{1.7 \times 10^{-5}}{6.8 \times 10^{-5}} = 0.24 \pm 0.09$$

# $\phi/\omega$ Production Ratios



Wie kann die starke Verletzung der OZI-Regel bei Annihilation aus der S-Welle erklärt werden?

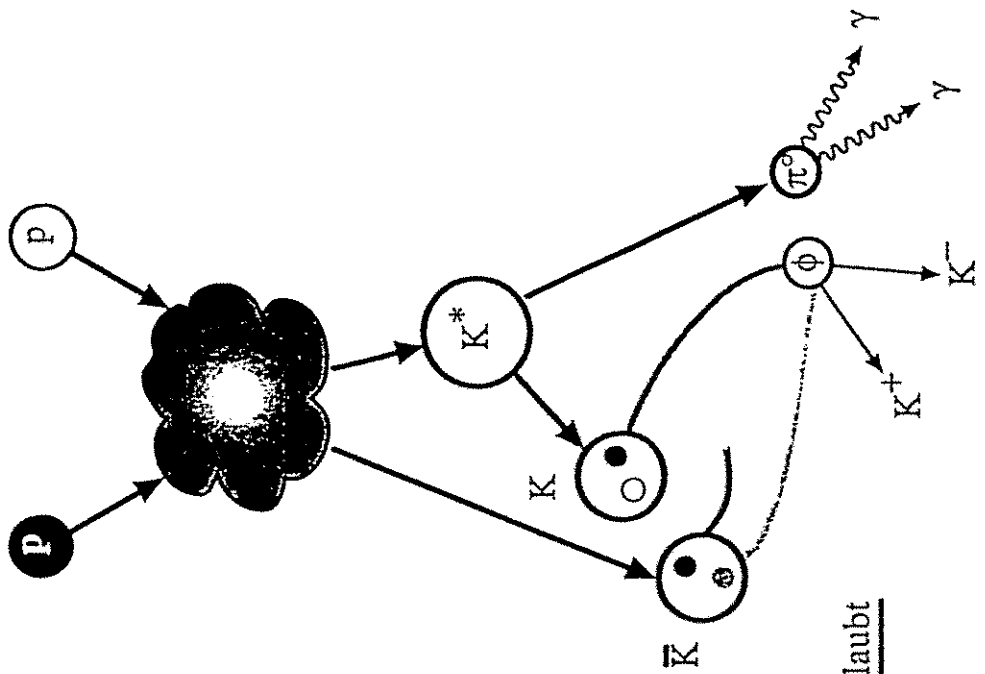
Hängt die Verletzung der OZI-Regel vom Impuls des  $\phi$ -Mesons ab?



"Rückstreuung vs. Direkte Produktion"

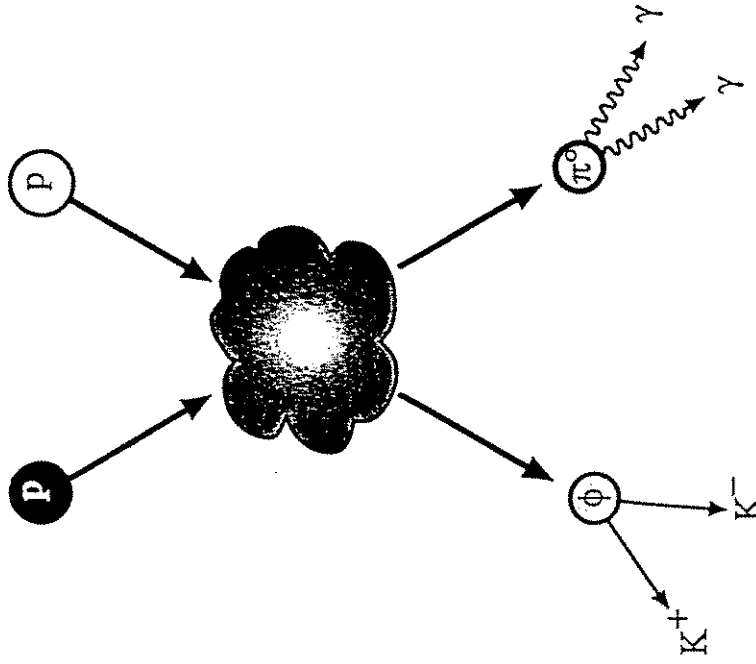


# Final State Interaction



OZI-erlaubt

# Direkte Produktion



OZI-verbotener Prozeß

Strategie zur Unterscheidung  
zwischen den beiden Modellen:

*Reduktion des S-Wellen Anteils ohne den  
Überlapp der beiden Kaonen zu reduzieren*

Lösung:

Bestimmung des  $\phi\pi^0$  Produktionsverhältnisses  
in  $\bar{p}p$ -Annihilationen bei 600 MeV/c  $\bar{p}$ -Impuls

weniger Annihilation  
aus S-Welle

nicht viel mehr  
kinetische Energie  
der Teilchen

$\phi\pi^0$  Produktion

nimmt ab

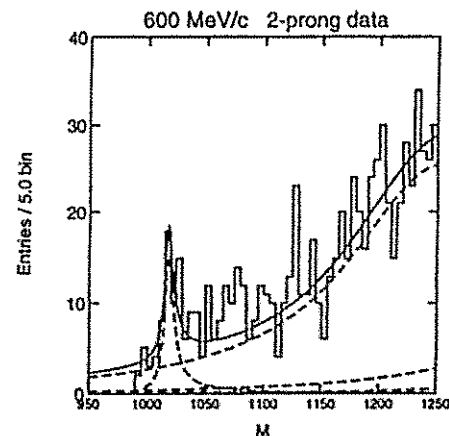
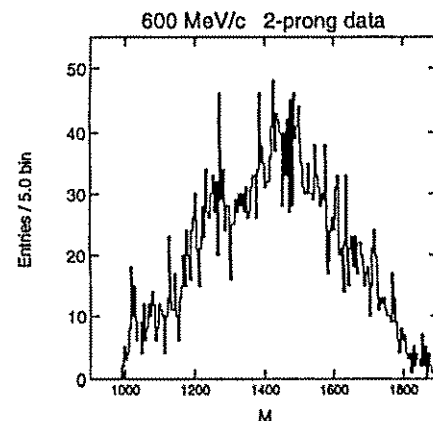
bleibt gleich

Direkte  $\phi$ -Produktion  
aus der S-Welle mit  
 $\bar{s}s$ -Quarks im Proton

$\phi$ -Produktion  
via Rückstreuung

## $K^+K^-$ Invariantes Massenspektrum

600 MeV/c



41 Ereignisse im  $\phi$ -Peak

600 MeV/c  $\bar{p}$ -Impuls

Produktionsverhältnis  $\bar{p}p \rightarrow \phi\pi^0$   
 $1.18 \pm 0.3$  (syst.)  $\pm 0.14$  (stat.)  $\times 10^{-4}$

preliminary

Deutlich niedriger als bei Annihilationen in Ruhe:

$$5.5 \pm 0.7 \times 10^{-4}$$

K\*K Produktionsverhältnisse  $\times 10^4$

<u>In Ruhe</u>	<u>700 MeV/c</u>
(21 $\pm$ 3)	
36 $\pm$ 5	18 $\pm$ 1.56

## Zusammenfassung und Ausblick

Crystal Barrel sieht Verletzungen der OZI-Regel in mehreren Endzuständen.

Das Produktionsverhältnis für die  $\phi$ -Produktion bei 600 MeV/c  $\bar{p}$ -Impuls macht es schwierig, diese OZI-Regel-Verletzungen durch einfache Rückstreumodelle zu erklären.

Zukünftige experimentelle Untersuchungen:

- Untersuchungen zur  $\phi$ -Produktion in Abhängigkeit vom Drehimpuls des Anfangszustandes.
- Studium der OZI-Regel in anderen Endzuständen, z.B.  $f_2'(1525) / f_2(1270)$  Produktion.

Experimente mit Antiprotonen im Fluge  
(CRYSTAL BARREL)

K. Beuchert  
Bochum

6.Oktober 1994

## Experimente

mit

## Antiprotonen im Fluge

(mit Crystal Barrel)

Karsten Beuchert

Institut für Experimentalphysik I

Ruhr-Universität-Bochum

44780 Bochum

e-mail:

karsten@tau.ep1.ruhr-uni-bochum.de

representing

Crystal Barrel (PS 197)



## Warum im Fluge?

→ mögliche Anregung

schwererer Resonanzen

→ in Produktionsprozessen

bessere Kenntnis

von Resonanzen am

Phasenraumende

(z. B. "AX")

→ mögliche Anregung

von Resonanzen mit

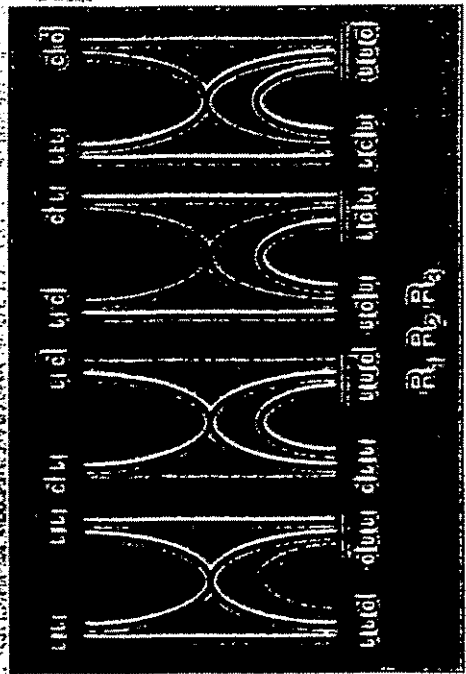
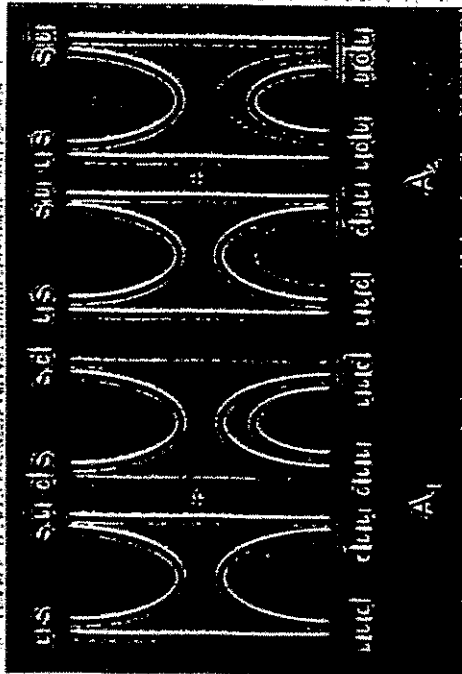
höherem Spin

CB1

Karsten Beuchert  
PS 197

Karsten Beuchert  
PS 197

### Anihilations- und Rearrangement-Diagramme



Klaus Peters (LEAP 94)

Karsten Beucher (Prima 1994)

### Warum im Flug?

- weitere Effekte:
- Veränderung relativer Verzweungsverhältnisse

z. B.  $\pi\omega \leftrightarrow \eta\omega$

$\omega\eta \rightarrow 0$

für  $p > 1200 \text{ MeV}/c$



Resonanzformationen?



Inputs-Scanning mit Crystal Barrel als Formationsexperiment (später Mini-Collider am LEAR?)

ICB

Karsten Beucher (Prima 1994)

## Analysen im Fluge bei CB

Detektorverständnis:

- hochenergetische Pionen
- hadronische Split-Offs

Physikalisches Verständnis  
(Annihilation):

- $p\bar{p}$  Anfangszustände

Physikalisches Verständnis  
(Struktur der Nukleonen):

- Strangeness im Proton  
( → Ulrich Wiedner)

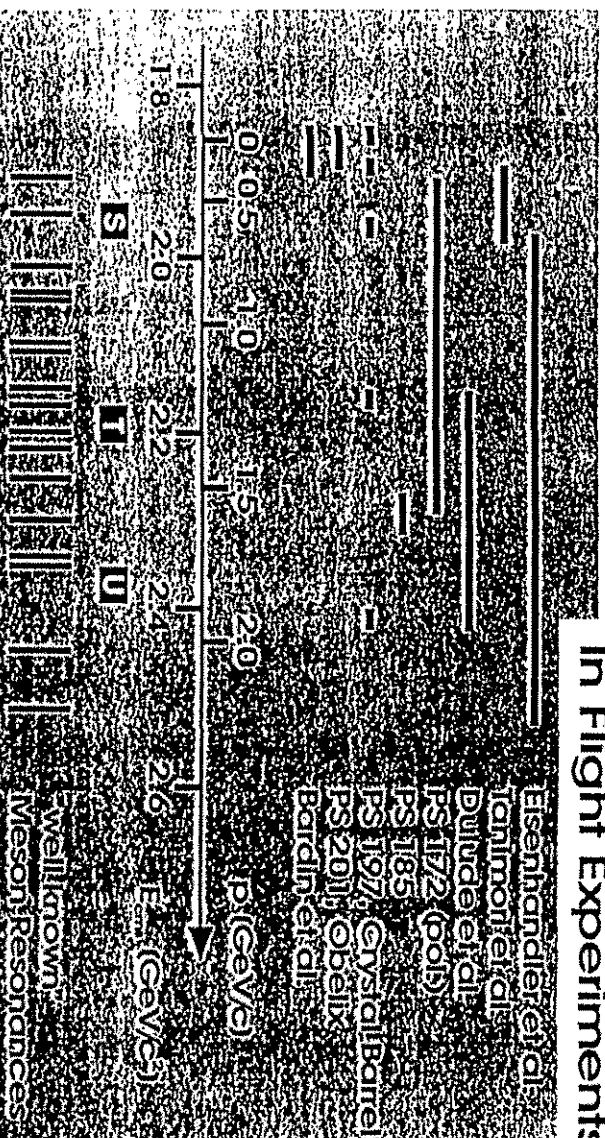
Physikalisches Verständnis  
(starke Wechselwirkung):

- Exotica  
(Glueballs, Hybride, etc.)

CB-

Karsten Beuchert  
Pirmat 1994

## In Flight Experiments



Klaus Peters, RUB (LEAP '94)

Karsten Beuchert (Pirmat 1994)

# Analysen im Fluge bei CB

Strahlimpuls (MeV/c)	600	1200	1940
2. Pseudoskalar			
$\pi^0\pi^0$			
$\pi^0\eta$			
$\pi^0\eta'$	elite		
$\eta\eta$	Statisik		
$\eta\eta'$	Zu- gehung		
$\eta\eta'$	bisher nicht gesehen		
3. Pseudoskalar			
$\pi^0\omega$			
$\eta\omega$			
$\eta'\omega$		sehr schwach	
2. Vektoren			
$\omega\omega$			
3. Pseudoskalar			
$\pi^0\pi^0\pi^0$			
$\pi^0\pi^0\eta$			
$\pi^0\eta\eta$			
$\eta\eta\eta$			

Karsten Beuchert  
Pirna 1994

CB

# Analysen im Fluge bei CB

Strahlimpuls (MeV/c)	600	1200	1940
$\omega$ -Kandide			
$\pi^0\eta\omega$			
$\pi^0\omega\omega$			
Geldene $\pi\pi$			
$\pi^+\pi^-\pi^0$			
$\pi^+\pi^-\pi^0\pi^0$			
Geldene $K\pi$			
$K^+K^-\pi^0$			$K/\pi$ separ. reflekt.
$K^+K^-\eta$			
Exotica			
$\pi^0\pi^0\pi^0\eta$			
$\pi^0\pi^0\pi^0\pi^0\eta$			Zu- gehörig
$\pi^+\pi^-\pi^0\pi^0\eta$			Statisik

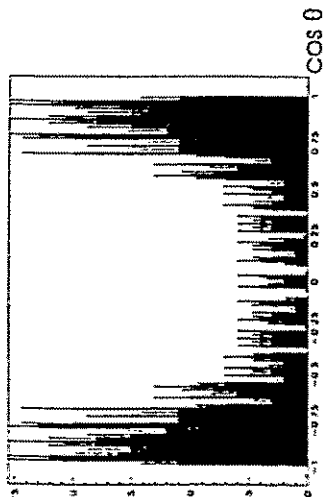
Karsten Beuchert  
Pirna 1994

CB

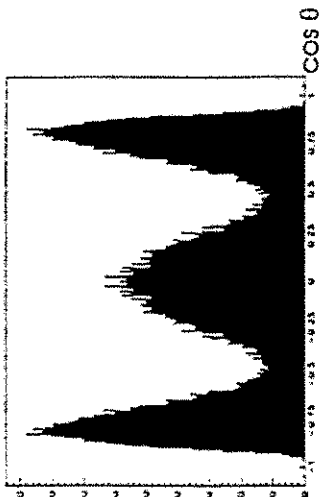




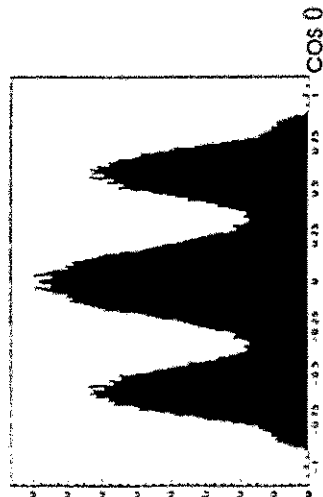
$\pi^0$ -  
Produktions-  
Winkel



600 MeV/c



1200 MeV/c



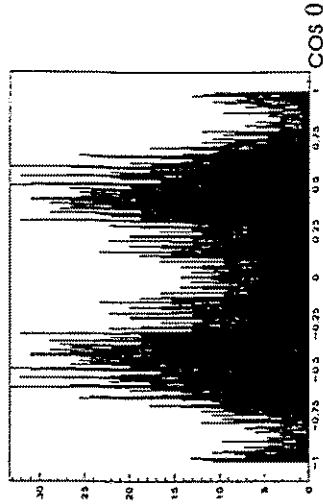
1940 MeV/c

Karsten Beuchert, RUB

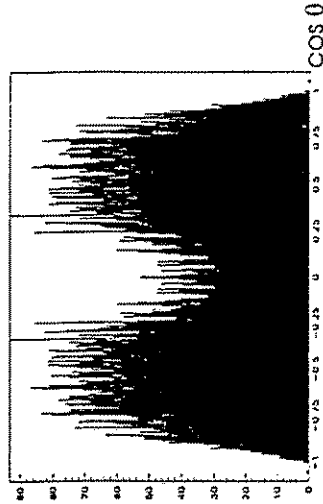
Karsten Beuchert  
Pirna 1994



$\eta^-$ -  
Produktions-  
Winkel



1200 MeV/c



1940 MeV/c

Karsten Beuchert, RUB

Karsten Beuchert  
Pirna 1994

$p\bar{p} \rightarrow$

## 2 Pseudoskalare

Winkelverteilung:

$$I(\Omega) = \sum_{l=0}^{\infty} \sum_{m=-l}^l a_{lm} P_l^m(\cos(\theta))$$

→ Uneindeutigkeiten

Fitfunktion:

$$I(\Omega) = \sum_l a_l P_l(\cos(\theta))$$

Karsten Beuchert, RUB

Karsten Beuchert  
Pirna, 1994

$p\bar{p} \rightarrow$

## 2 Pseudoskalare

$I_{\max}$  wird bestimmt durch:

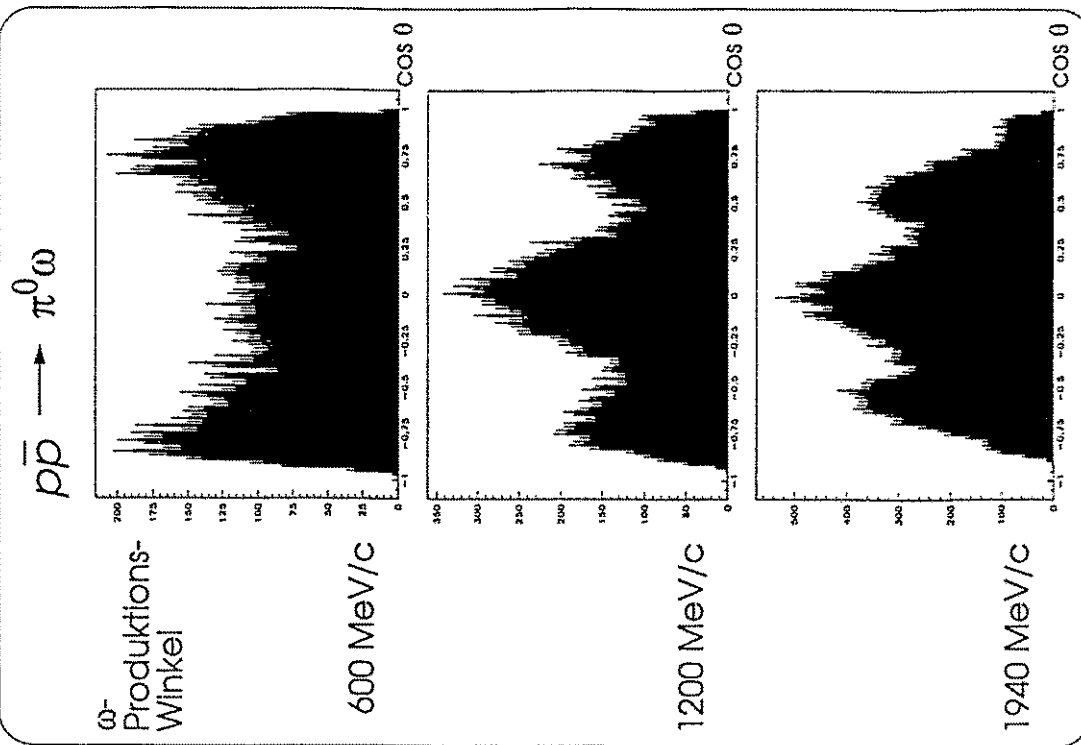
- keine weitere Änderung in  $\chi^2$
- kleine Koeffizienten für höhere Polynome
- Stabilität des Fits

	600	1200	1940
$\pi^0\pi^0$	4	6	8
$\pi^0\eta$	?	6	8
$\eta\eta$	?	6	-8

$I_{\max}$  steigt kanalunabhängig mit Impuls,  
im Gegensatz zu Dulude et al.  
(preliminary)

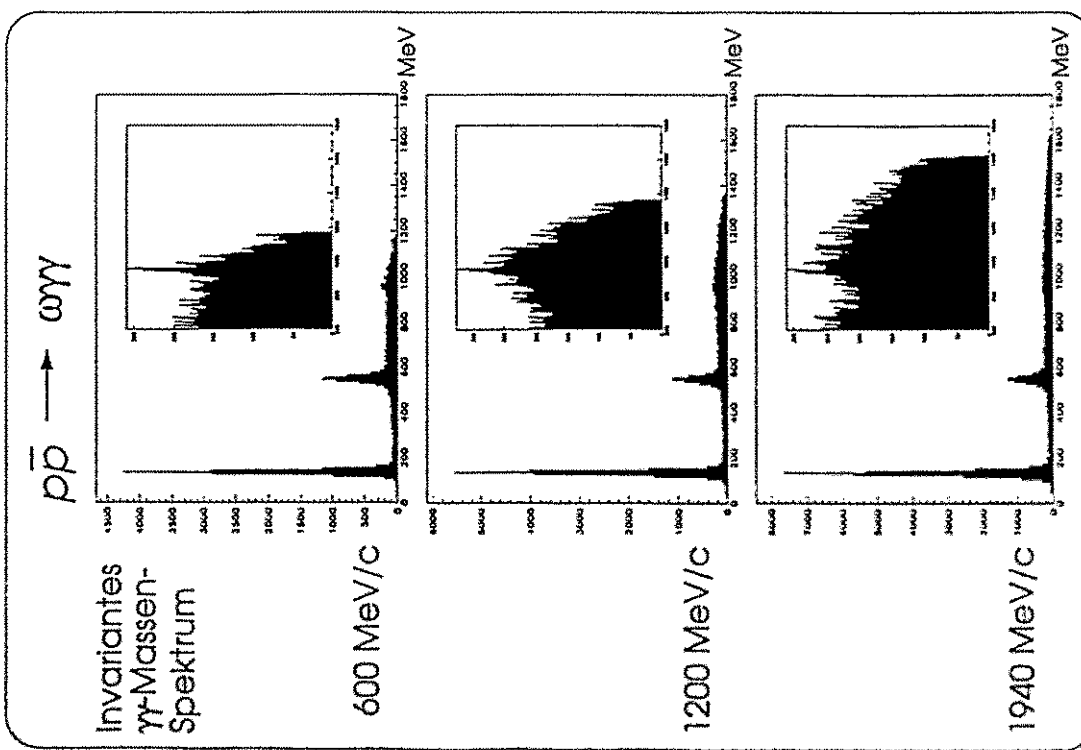
Karsten Beuchert, RUB

Karsten Beuchert  
Pirna, 1994



Karsten Beuchert,  
Pflanz 1994

Karsten Beuchert, RUB



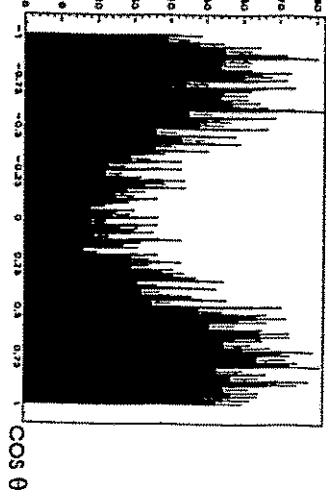
Karsten Beuchert,  
Pflanz 1994

Karsten Beuchert, RUB

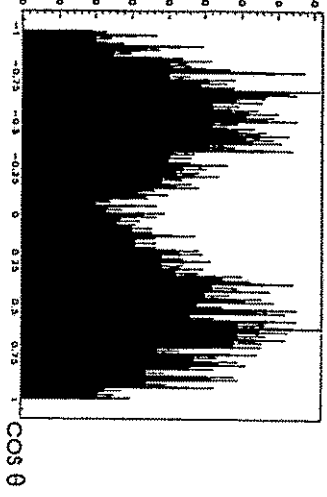
$p\bar{p} \rightarrow \eta\omega$

0-  
Produktions-  
Winkel

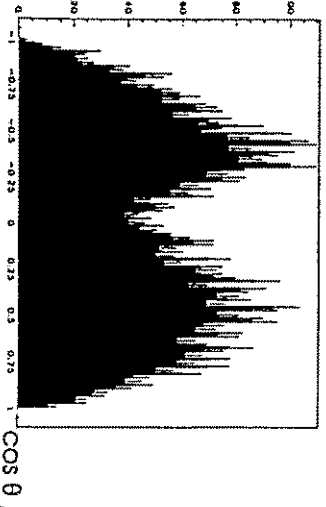
600 MeV/c



1200 MeV/c



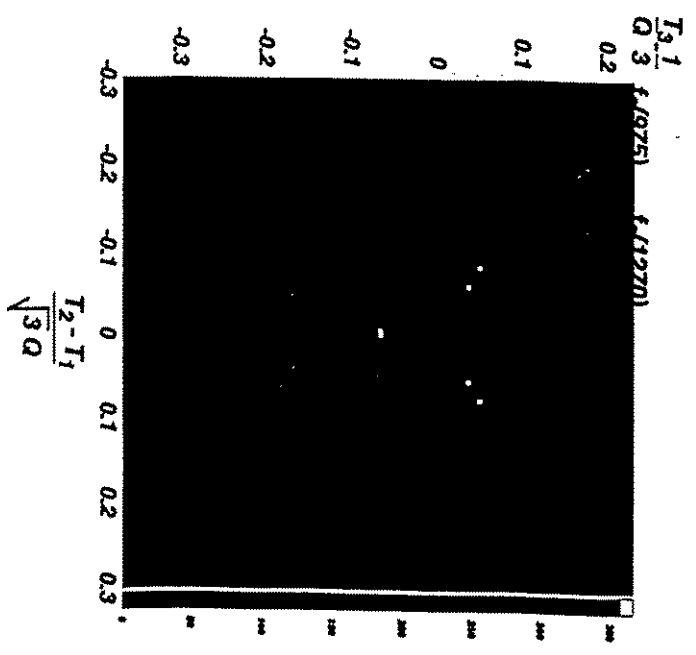
1940 MeV/c



Kaisten Beucherft, RUB

Kaisten Beucherft  
Pim 1994

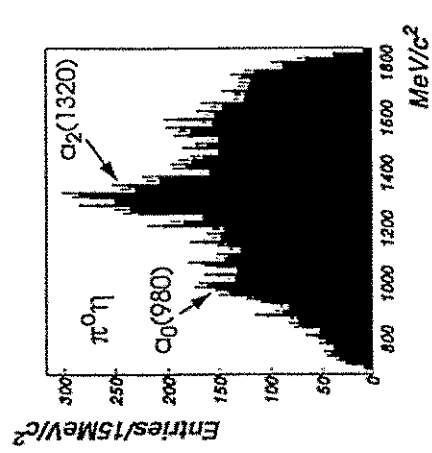
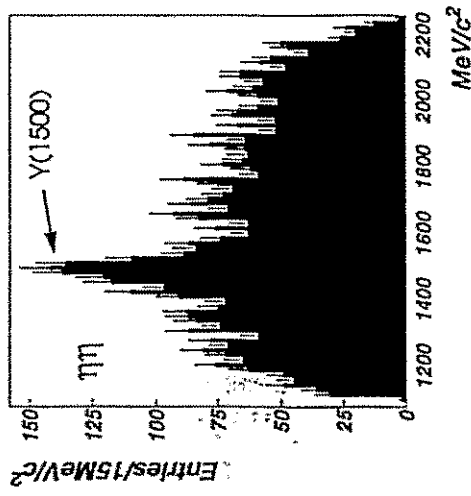
$p\bar{p}(1940 \text{ MeV/c}) \rightarrow 3\pi^0$



162 k events

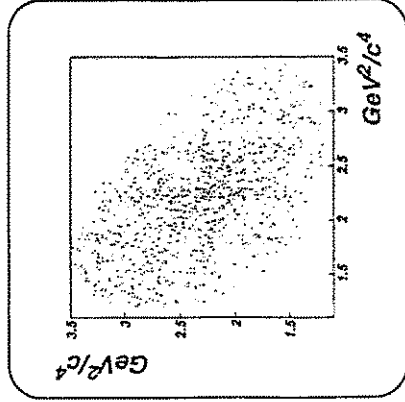
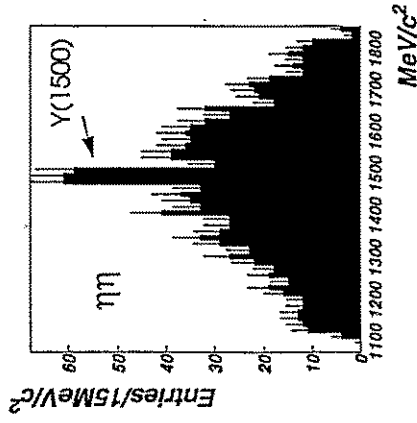
Jörg Lüdemann, RUB

Kaisten Beucherft  
Pim 1994



Jörg Lüdemann, RUB

Karsten Beucher  
Pinda 904

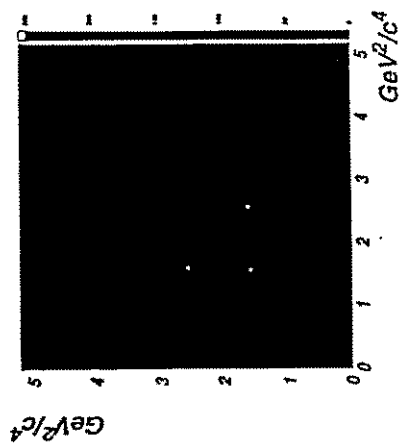
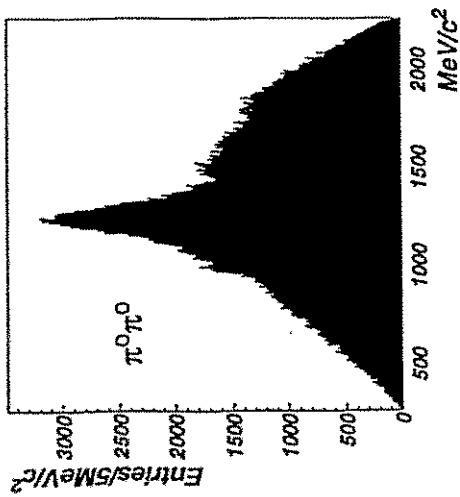


422 events

Jörg Lüdemann, RUB

Karsten Beucher  
Pinda 904

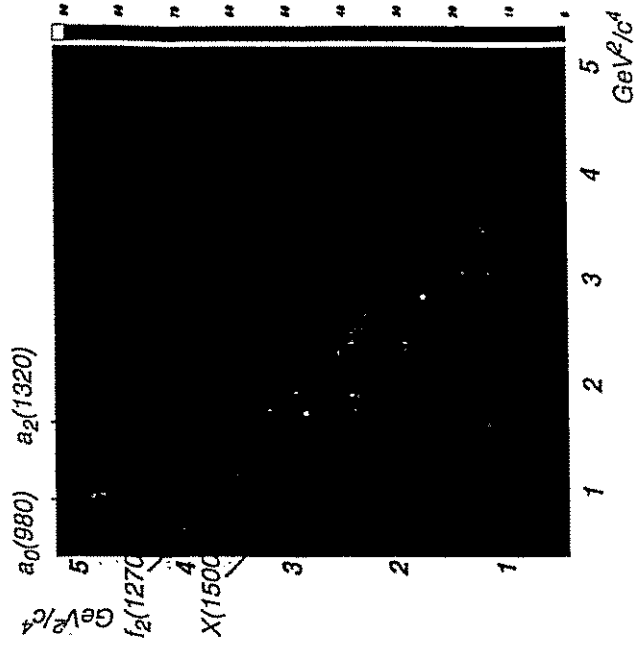
$p\bar{p}(1940 \text{ MeV}/c) \rightarrow 3\pi^0$



Jörg Lüdemann, RUB

Kaisten Beucher  
Pinda, 1994

$p\bar{p}(1940 \text{ MeV}/c) \rightarrow 2\pi^0\eta$



80 k events

Jörg Lüdemann, RUB

Kaisten Beucher  
Pinda, 1994

### Amplitude

Resonance  $i$  with spin  $J$  and helicity  $\lambda$  observed in a decay with angles  $\theta, \phi$  and invariant mass  $s_{12}$

$$A_{\lambda}^i = F_{\lambda}^i \cdot D_{\lambda 0}^{J*}(\phi, \theta, 0) \cdot BW(s_{12})$$

### Intensity

$$I = \left| \sum_{i, \lambda, c} A_{\lambda}^i \right|^2$$

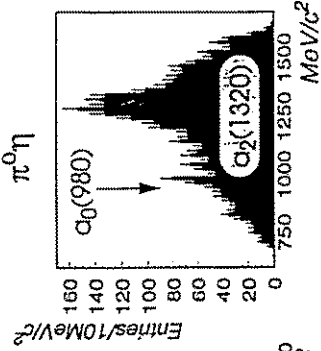
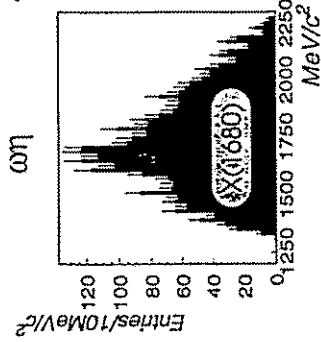
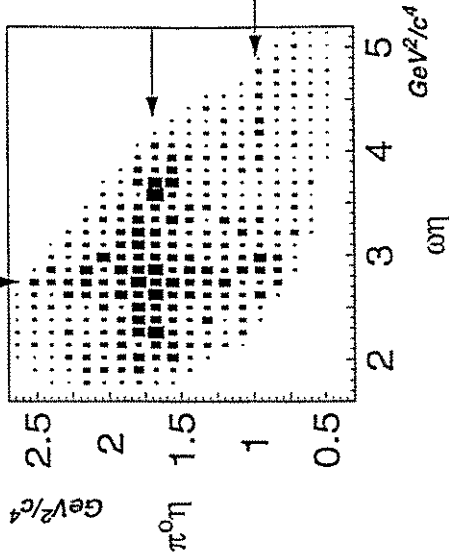
### Likelihood

$$L = \frac{n! \Pi I}{(\sum I_{MC})^n}$$

Jörg Lüdemann, RUB

Karsten Beuchert  
Pima, 1994

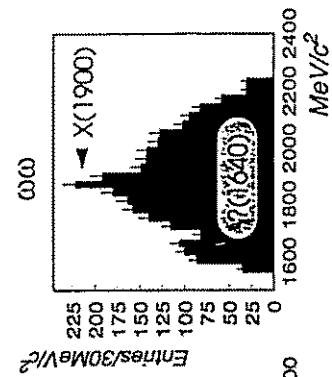
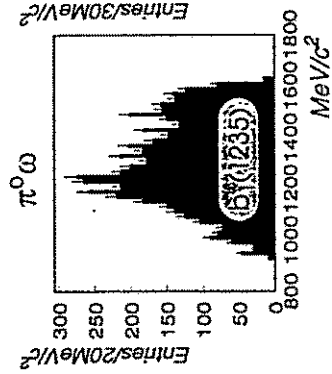
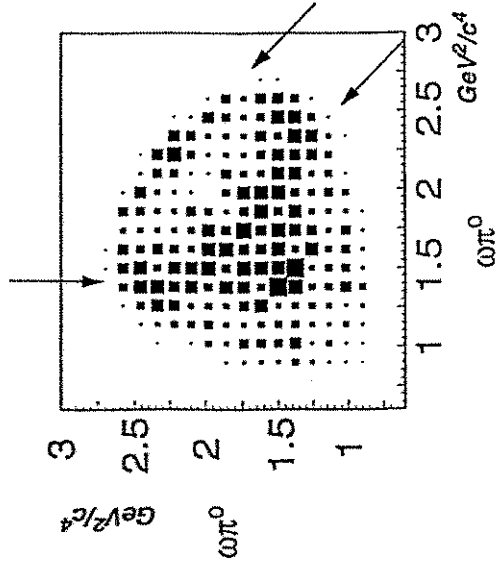
$p\bar{p}(1940 \text{ MeV}/c) \rightarrow \omega\eta\pi^0 \rightarrow 7\gamma$



Sven Ravndal, RUB

Karsten Beuchert  
Pima, 1994

$p\bar{p}(1940 \text{ MeV}/c) \rightarrow \omega\omega\pi^0 \rightarrow 8\gamma$



Jürgen Salik/Basil Moshous, RUB

Karsten Beucherl  
Pima 1994



## Detektoren und Datenerfassung

(Koordinator: S. Paul / M. Godbersen)

1. **M. Heidrich** (Heidelberg)  
Gasmikrostreifendetektoren
2. **K. Zeitelhack** (TU München)  
Entwicklung eines schnellen RICH-Detektors für HADES
3. **H. Kraus** (TU München)  
Status und Perspektiven von Tieftemperatur-Kalorimetern
4. **P. Michel** (Rossendorf)  
Entwicklung eines schnellen TDC mit Konvertierungszeiten im Bereich weniger Nanosekunden
5. **S. Lange** (TU Dresden)  
Extraktion der pp-Bremsstrahlung mit künstlichen neuronalen Netzen

## Gasmikrostreifen- detektoren

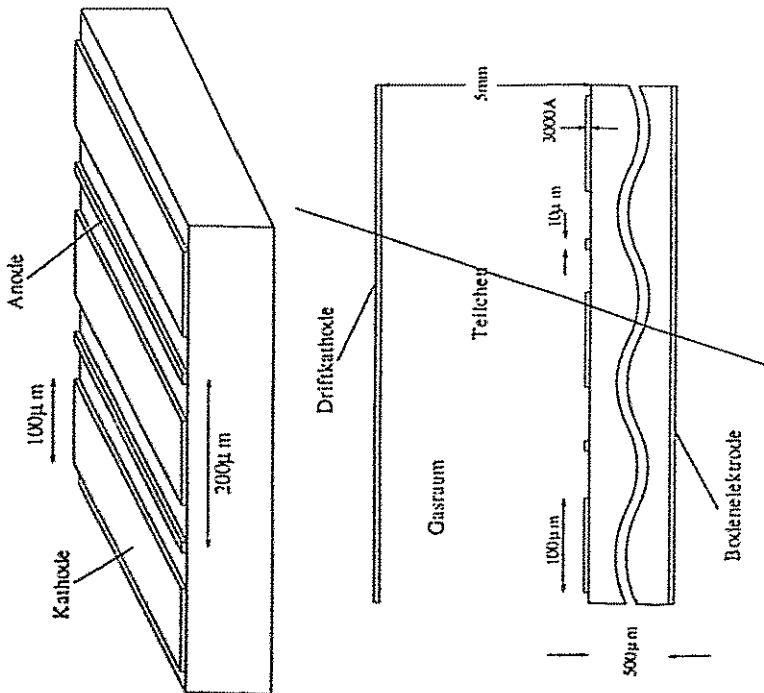
Matthias Heidrich

Max-Planck-Institut für Kernphysik  
Heidelberg

## Überblick

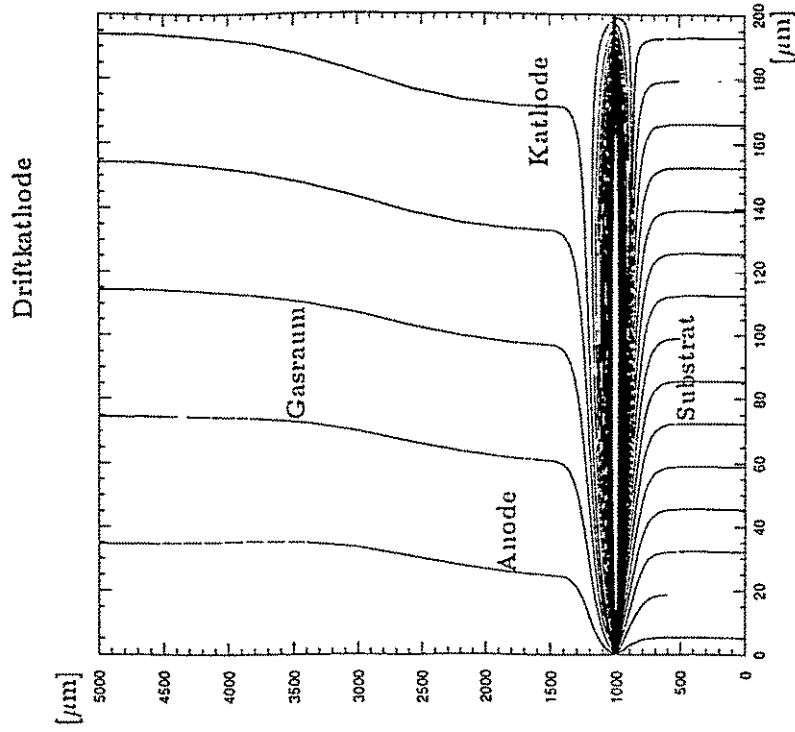
1. Aufbau und Funktionsweise eines GMSD
2. Vergleich mit MWPC
3. Vergleich mit SMD
4. Verstärkungsinstabilitäten aufgrund von
  - Polarisation
  - Aufladung
5. Entwicklung von GMSD auf
  - Glas
  - Plastik
6. Die Micrgap-Chamber
7. Zusammenfassung

## Aufbau eines GMSD

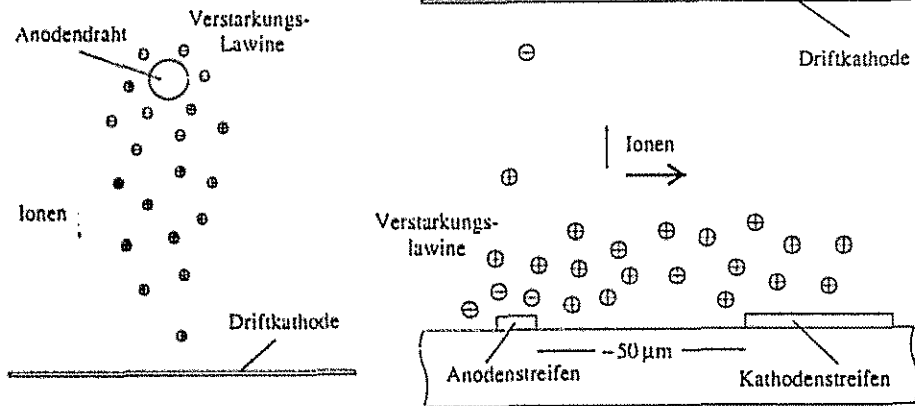


- Erster Prototyp 1988 (Oed, ILL, Grenoble)
- Substrat: Glas, Silizium oder Plastik
- Mikrostreifen: Al, Cr oder Au
- typische Spannungen: Driftspannung  $D=2000V$ , Kathodenspannung  $K=500V$ , Bodenspannung  $B=100V$

## Der Feldlinienverlauf im Gasmikrostreifendetektor



## Ionendrift



### Drahtkammer:

- Driftweg: einige Millimeter
- Driftzeit: einige  $10\mu\text{s}$

### Gasmikrostreifendetektor:

- Driftweg:  $\sim 50\mu\text{m}$
- Driftzeit: einige 100ns

⇒

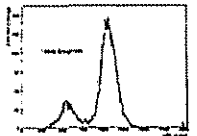
- GMSD ist wesentlich schneller
- hat viel höhere Ratenverträglichkeit

## Vergleich mit der

## Vieldrahtproportionalalkammer:

1. Ratenverträglichkeit:  
Beim GMSD um zwei Größenordnungen besser
2. Ortsauflösung:  
( $100\mu\text{m}$  pitch  $\leftrightarrow$  1mm Drahtabstand)  
⇒ Beim GMSD um eine Größenordnung besser

3. Energieauflösung:  
 $10\text{--}20\%$  (GMSD)  $\rightarrow$   $20\text{--}30\%$  (MWPC)



4. Gasverstärkung:  
 $10^3\text{--}10^4$  (GMSD)  $\leftrightarrow$   $\sim 10^6$  (MWPC)  
⇒ i.a. schlechtes Signal-Rausch-Verhältnis  
⇒ Verwendung von 'low noise'-Chips (wie in Siliziumdetektoren)

5. Größe:

- GMSD gegenwärtig  $\leq 20 \times 20 \text{cm}^2$ , begrenzt durch die Möglichkeiten der Photolithographie
- MWPC können viele Quadratmeter groß sein.

## Vergleich mit dem Siliziummikrostreifendetektor:

### 1. Ratenverträglichkeit:

- Siliziumdetektoren sind nicht strahlungshart
- GMSD funktionieren auch bei hohen Teilchenflüssen

### 2. Ortsauflösung:

(100  $\mu\text{m}$  pitch  $\rightarrow$  25  $\mu\text{m}$  pitch)

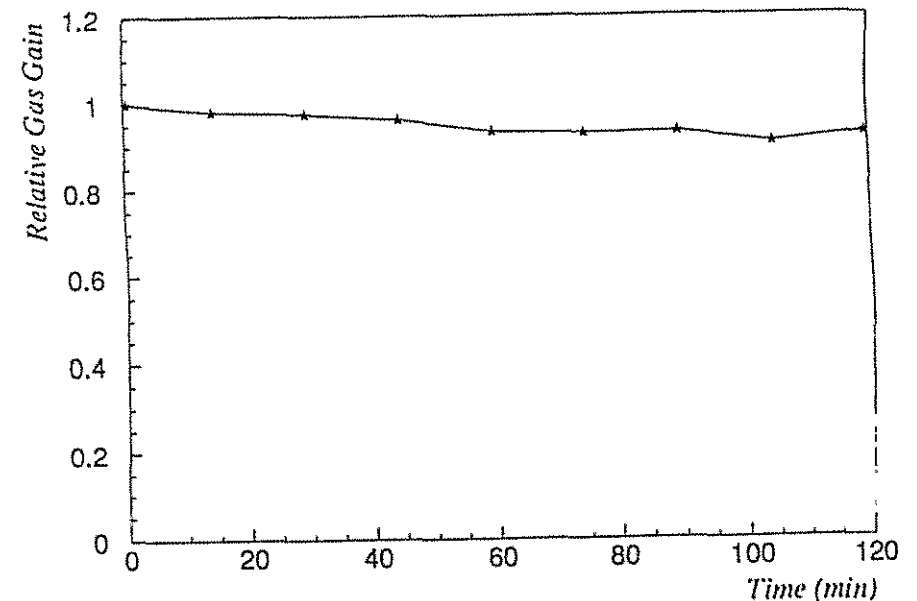
$\Rightarrow$  Die des GMSD ist schlechter

### 3. Größe:

Siliziumdetektoren üblicherweise 6x6cm<sup>2</sup> groß  
(limitiert durch die Methoden der Siliziumtechnologie)

## Grundlegendes Problem:

## Abfall der Gasverstärkung

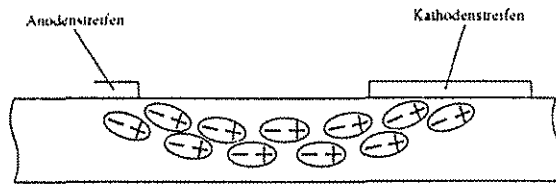


Verstärkungsabfall unmittelbar nach Anlegen der Kathodenspannung

- global (auf dem gesamten Detektor)
- unabhängig von der Einstrahlungsrate

Ursache: Polarisation des Substratmaterials

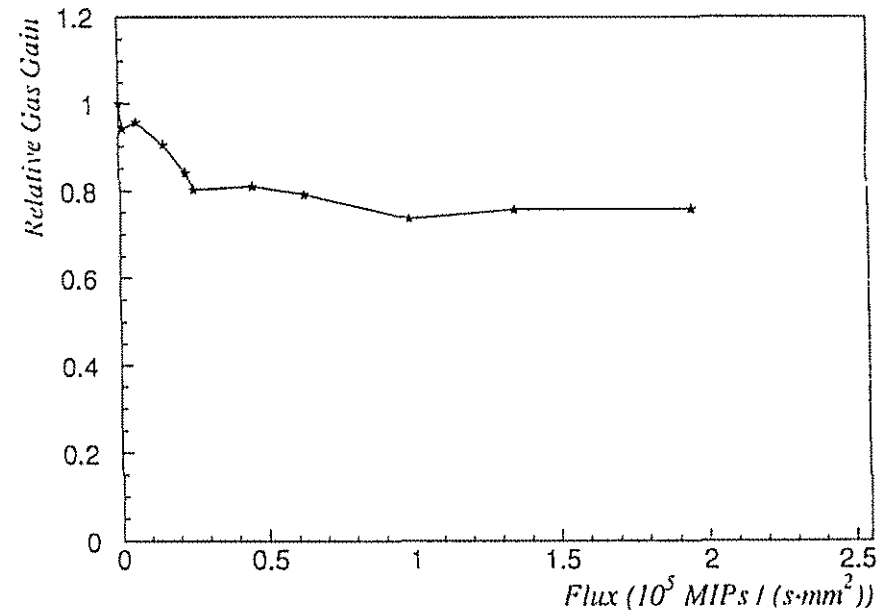
## Polarisation des Substratmaterials



Anlegen der Kathodenspannung  
 ↓  
 Polarisation des Substratmaterials  
 ↓  
 Resultierende Ladungen an der Oberfläche  
 verursachen entgegengesetztes Feld  
 ↓  
 Abnahme der Feldstärke auch im Gasraum  
 ↓  
 Abfall der Gasverstärkung

## Grundlegendes Problem:

### Abfall der Gasverstärkung

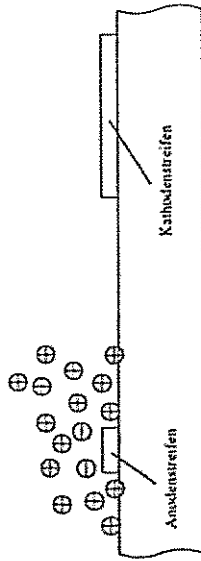


Verstärkungsabfall bei starker Einstrahlung

- lokal (im Bereich der Einstrahlung)
- stark abhängig von der Einstrahlungsrate

Ursache: Aufladung des Substrates durch Ionen aus den Verstärkungslawinen

## Aufladung des Substrates



Aufladung durch Ionen aus der Verstärkungslawine

⇓

Veränderung des elektrischen Feldes im Gasraum

⇓

Abfall der Gasverstärkung

## Einfluß des Substratwiderstandes



Isolierendes Substrat ( $R \sim 10^{15} \Omega \text{cm}$ )

⇓

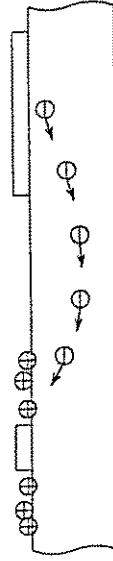
Ionen haften auf der Oberfläche

⇓

Verstärkung sinkt bei sehr hohem Teilchenfluß  
( $\gg 1000 \text{ MIPs/s/mm}^2$ ) merklich ab.

⇓

Problem insbesondere für Einsatz in CMS und Atlas:  
Fluß hier ist  $5 \cdot 10^4 \text{ MIPs/s/mm}^2$



Schwach leitfähiges Substrat ( $R \sim 10^9 \dots 10^{12} \Omega \text{cm}$ ):

⇓

Kathoden liefern Elektronen

⇓

Neutralisation der Ionen

⇓

stabile Verstärkung

## Anforderungen an ein

## geeignetes Substratmaterial:

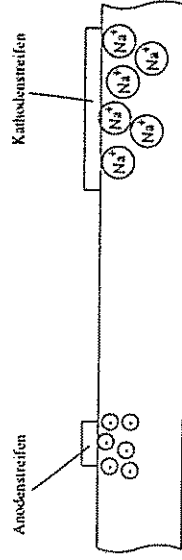
1. Einsatz bei hohem Teilchenfluß :  
 $R \sim 10^9 \cdot 10^{12} \Omega \text{cm}$  (Untergrenze durch Leckstrom)
2. gute Oberflächenqualität:
  - gute Haftung des Metalls für die Mikrostreifen auf der Oberfläche
  - geringe Oberflächenrauheit ( $\Rightarrow$  hohe Qualität der Mikrostruktur)
3. mechanische Stabilität

$\Rightarrow$  diverse Glas- und Plastikmaterialien?

### Jedoch:

- Der Widerstand von Plastikmaterialien ist zu hoch ( $\geq 10^{12} \Omega \text{cm}$ )
- Gläser mit so niedrigen Widerstand sind im allgemeinen ionisch leitfähig.

## Wanderung von Na-Ionen im ionisch leitfähigen Glas



Anlegen der Kathodenspannung



Wanderung der Natriumionen des Substratmaterials zu den Kathodenstreifen hin.



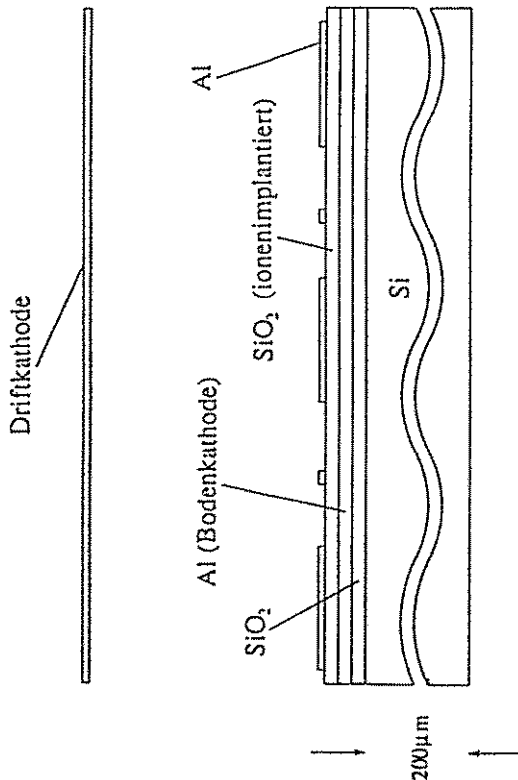
Ladungen an der Oberfläche verursachen Abnahme der Feldstärke im Gasraum



Abfall der Gasverstärkung  
UND: Natriumionen können das Kathodenmaterial angreifen!



## Silizium als Substrat



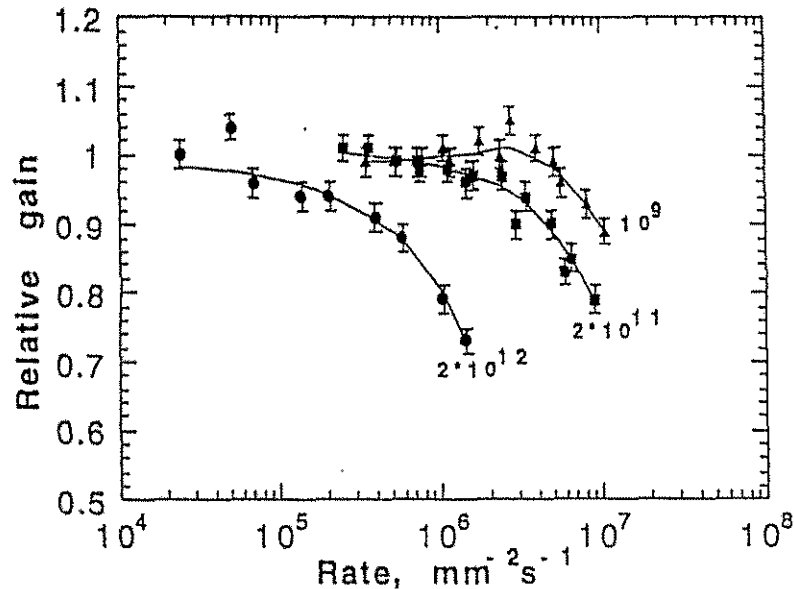
- Bellazini et al., INFN, Pisa
- Bodenkathode ist in Streifen senkrecht zu den Anoden unterteilt ⇒ zweidimensionale Auslese
- stabile Gasverstärkung auch bei hohen Teilchenflüssen
- Siliziumtechnologie erforderlich ⇒
  - stark größenlimitiert
  - teuer in der Herstellung

## Glas als Substratmaterial:

1. Ionenimplantation in Quarz (Bellazini et al., INFN, Pisa) — 8 GMSD-Ebenen in NA12 (erster Einsatz von GMSD in HEP-Experiment)
2. Ionenimplantation in andere Gläser ebenfalls erfolgreich, wenn auch Langzeitstabilität des Widerstandes problematisch
3. Entwicklung von elektronisch leitfähigen Gläsern (Ropelewski et al., CERN):
  - FeOFe<sub>2</sub>O<sub>3</sub>(20–25%)SiO<sub>2</sub>(30–40%)+andere Oxyde
  - 4.3cm Strahlungslänge (SiO<sub>2</sub>: 12.3 cm)
  - bis zu 200µm Dicke herstellbar (Institut of Vacuum Glasses, Moskau)
  - Schott S8900:
    - elektronisch leitfähig
    - 10cmx10cm kosten 1000 DM
    - ≥ 500µm dick

## GMSD auf elektronisch

### leitfähigen Gläsern



- niedriger Widerstand  $\Rightarrow$  Stabilität bei hohen Teilchenraten
- stabile Verstärkung bis zu  $3 \cdot 10^6$  MIPs/s/ $\text{mm}^2$

## Plastik als Substratmaterial:

### •• Vorteil:

- Strahlungslänge größer als die von Gläsern
- sehr dünn erhältlich ( $\geq 7 \mu\text{m}$ )

### • Grundsätzliche Probleme:

- Haftung von Metallen auf Polymeren grundsätzlich schlecht.
- Weiche Oberfläche wird leicht beschädigt ( $\Rightarrow$  Defekte)
- Sehr hoher Widerstand von Polymeren ( $\geq 10^{15} \Omega\text{cm}$ )

## Verbesserung der (Oberflächen-)

### Leitfähigkeit von Plastikmaterialien

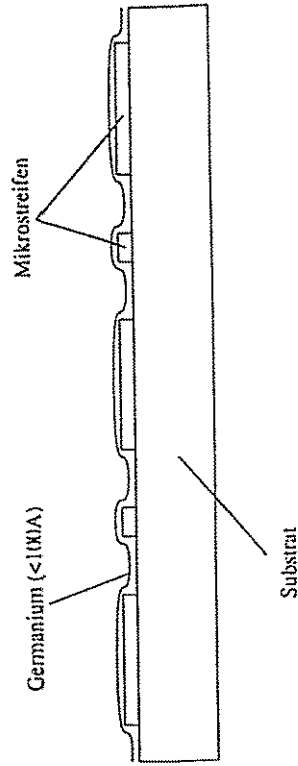
1. Ionenimplantation (He, Ar, Kr) in Plastik (Kapton, Upilex) (Armitage et al., Carleton University, Ottawa) :

- führt zu stabilem, gewünscht niedrigem Widerstand
- jedoch sehr schlechte Haftung eines Metalls auf implantiertem Plastik
- Säuren der Ätzprozesse verändern den Widerstand der implantierten Schicht

2. Industrielle Herstellung von leitfähigem Kunststoff (Kapton) durch Beimischung großer Anteile von Kohlenstoff (DuPont):

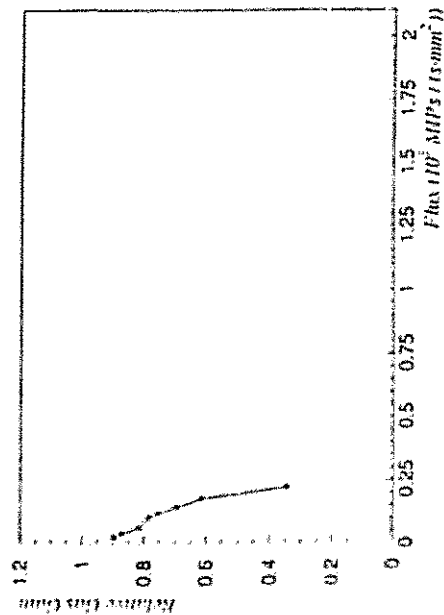
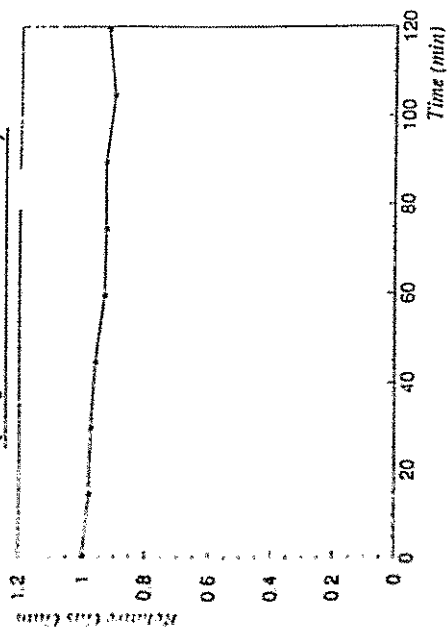
- Widerstand wird zu niedrig
- oder inhomogen

3. Aufbringen einer sehr dünnen schwach leitfähigen Schicht (MPI Heidelberg):



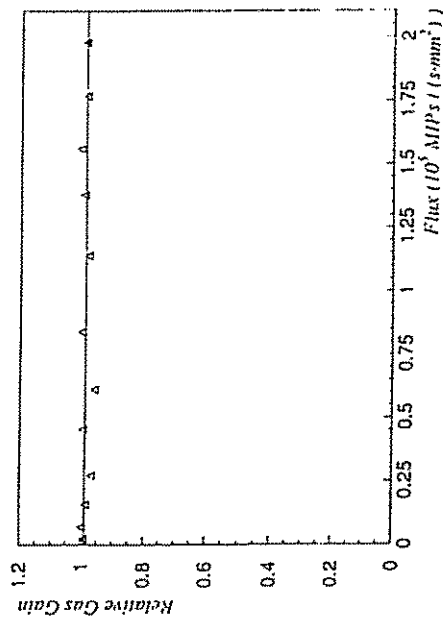
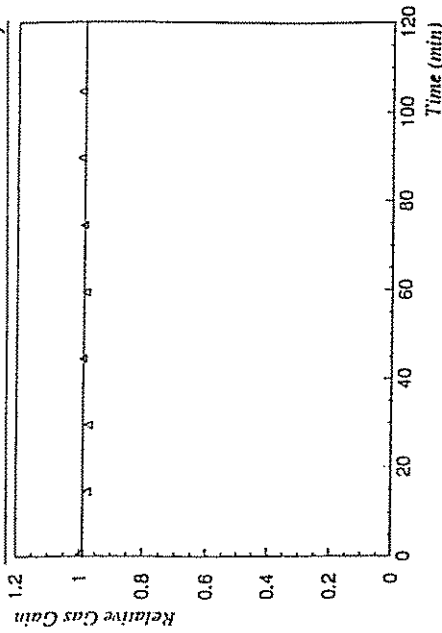
- Anfängliche Versuche mit Kupfer:
  - Leitfähigkeit zu hoch
  - bzw. notwendige Schichtdicke  $\leq 10 \text{ \AA}$
- Erfolg mit Germanium:
  - Verstärkungsabfall aufgrund von Polarisation verschwindet
  - stabile Gasverstärkung bis hin zu sehr hohen Teilchenflüssen
  - funktioniert ebenso mit Glassubstraten

### Verhalten der Gasverstärkung (Upilex-Substrat)



- oben: Verstärkungsabfall unmittelbar nach Anlegen der Kathodenspannung (Polarisation)
- unten: Verstärkungsabfall abhängig von der Einstrahlungsrate (Aufladung)

### Gasverstärkung (Upilex- Substrat mit 28Å-Germanium-Schicht)



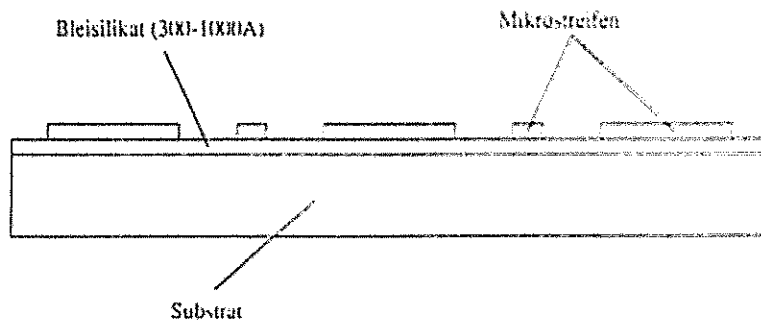
- oben: Stabile Gasverstärkung unmittelbar nach Anlegen der Kathodenspannung
- unten: Stabile Verstärkung bis zu sehr hohen Teilchenflüssen

## Passivation:

Andere Arten der Passivation von GMSD, die inzwischen versucht wurden:

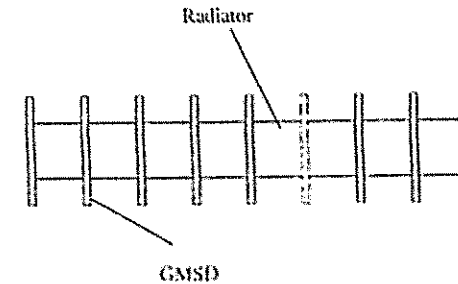
- Armitage et al., Carleton University, Ottawa:  
Ni oder Cr (1  $\mu$ m dick) auf Tedlar-Substrat
- Oed et al., ILL, Grenoble und Sann et al., GSI,  
Darmstadt: AlO auf Glas- und Plastiksubstraten
- Sauli et al. Cern, Genf:  
Bleisilikat (300-1000 Å) auf verschiedenen Gläsern

Ebenso gelungen: Realisation der Mikrostruktur auf einer dünnen Bleisilikatschicht:



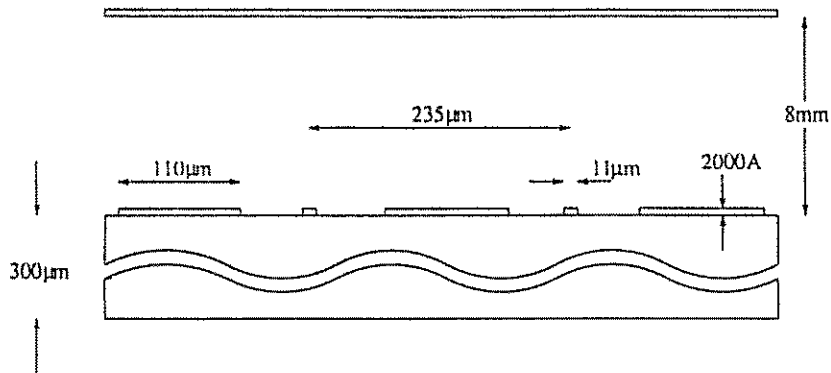
## Ein Übergangsstrahlungsdetektor basierend auf

### GMSD für das WA89-Experiment



- Detektor zur  $e^+e^-$ -Identifikation
- 8 Radiator-GMSD-Pläne

## Aufbau einer der TRD-Kammern:



- Glassubstrat: Desag D263
  - sehr gute Oberflächenqualität
  - sehr geringer Na-Gehalt
  - Widerstand  $\sim 10^{15} \Omega \text{cm}$
  - nur wenige % Verstärkungsverlust beim WA89-Teilchenfluß von 1000 MIPs/s/mm<sup>2</sup>
  - 300 μm dick, 20x20cm<sup>2</sup> groß
- Mikrostreifen aus Chrom
  - läßt sich sehr genau ätzen
  - keine Oxydation der Streifen
- 15cmx16cm große aktive Fläche
- Gasfüllung: Xe-CH<sub>4</sub>

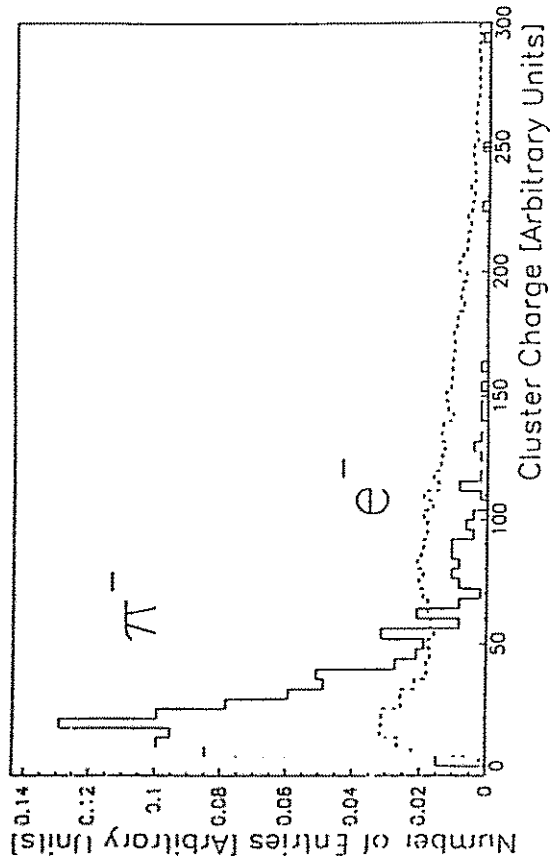
## Der Radiator:

- 150 Polypropylen-Folien (20 μm dick)
- Folienabstand: 470 μm

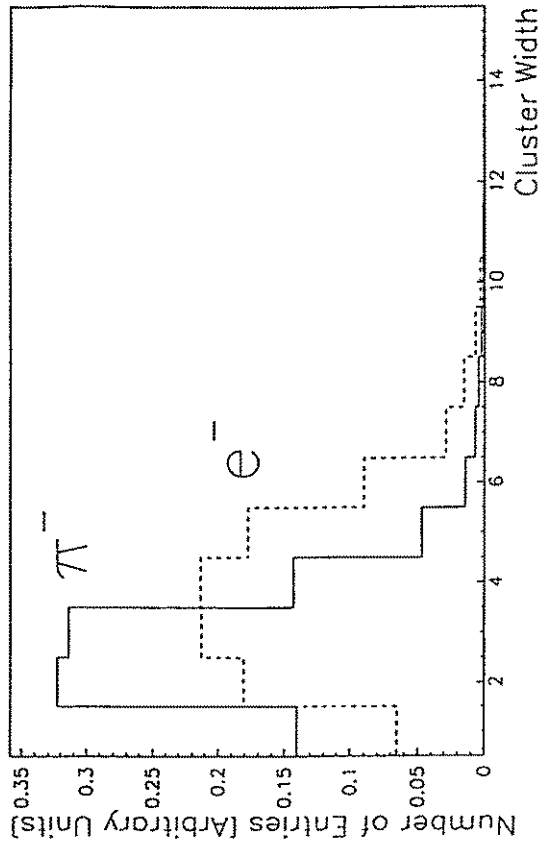
## Die Auslese-Elektronik: Der SVX-Chip

- für Siliziumdetektoren entwickelt
- Nullunterdrückung auf dem Chip
- Analoginformation steht zur Verfügung

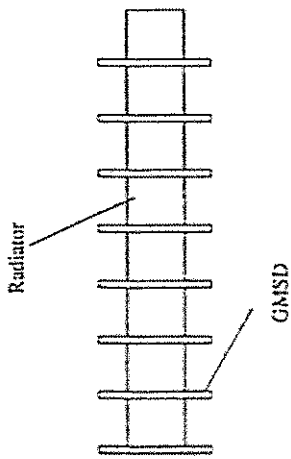
ADC Spectra of Electrons and Pions



Cluster Width Distributions

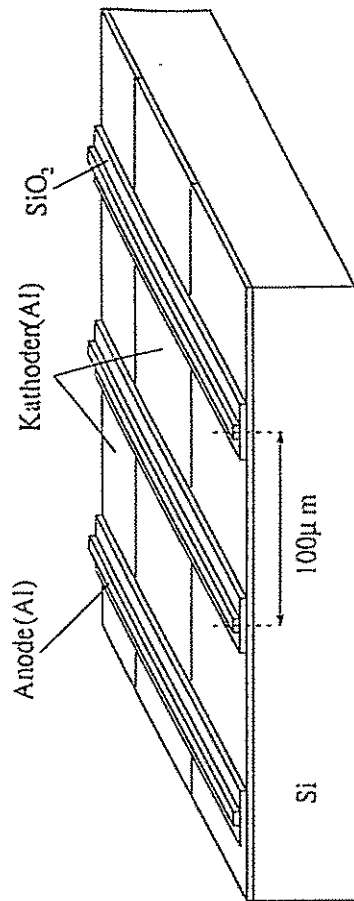


## Stand der Dinge:



- In einem Teststrahl wurden verschiedene Parameter der Kammern optimiert und die Elektronik getestet
- Im WASS-Run 1994 kamen 2 TLD-Kammern zum Einsatz
- Bis zum Run 1996 werden die restlichen 6 Kammern fertiggestellt werden

## Die Microgap-Chamber

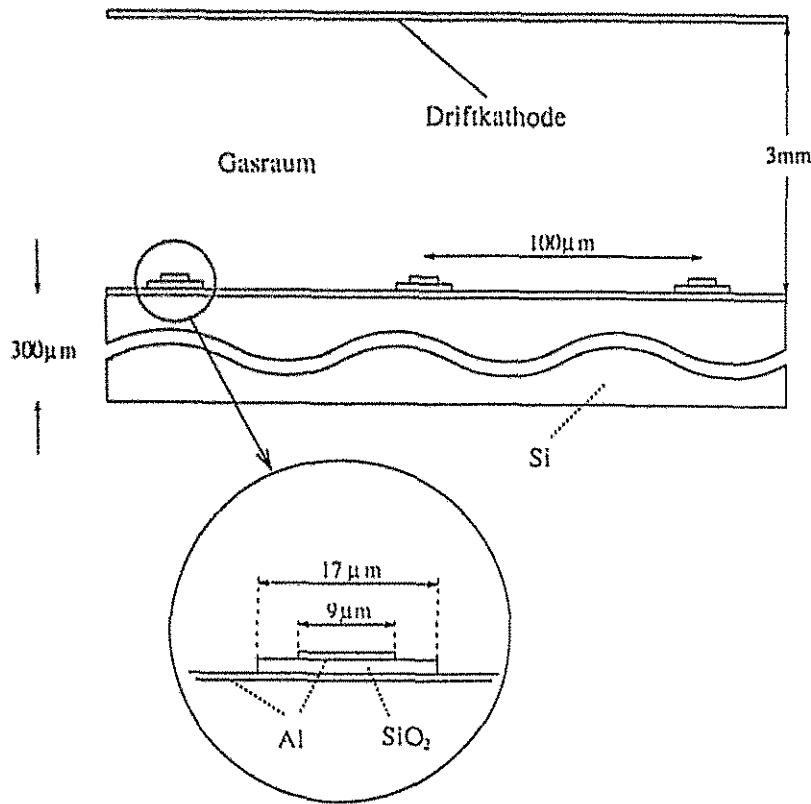


- Bellazini et al., INFN, Pisa
- Substrat: Silizium
- Kathoden: Metallschicht, in Streifen unterteilt
- Anoden: senkrecht zu den Kathoden, durch SiO<sub>2</sub>-Streifen von diesen getrennt

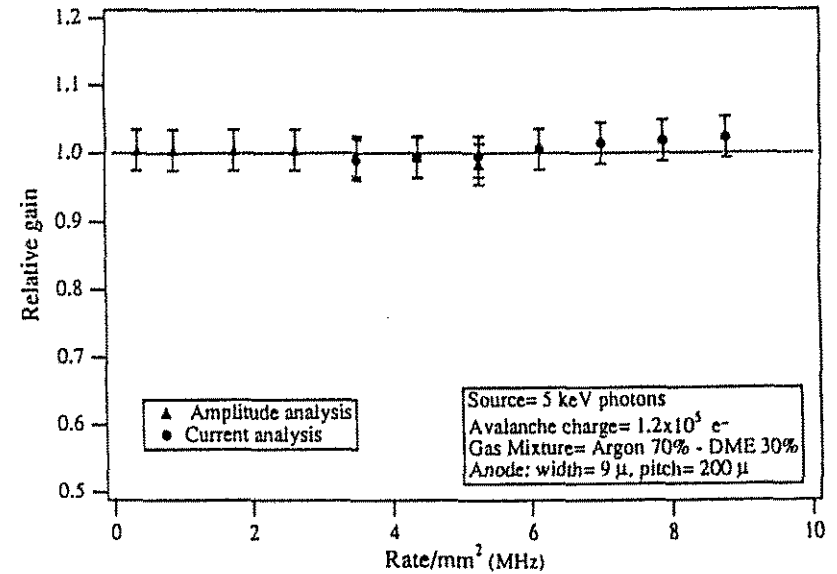


# Die Microgap-Chamber

## im Querschnitt



# Stabilität der Gasverstärkung:



Abstand zwischen Anode und Kathode nur wenige Mikrometer



Enorme Ratenverträglichkeit ( $\gg 10^7$  MIPs/s/mm<sup>2</sup>)

Bisher nur mit Siliziumtechnologie herstellbar  $\Rightarrow$

- Limitiert in der Größe
- Teuer in der Herstellung

Doch einiges ist im Gange...

## Zusammenfassung und Ausblick

- Eigenschaften des GMSD:
  - hohe Ratenverträglichkeit
  - hohe Ortsauflösung
  - hohe Energieauflösung
  - bis 20x20 cm<sup>2</sup> groß
  - geringe Gasverstärkung
- GMSD lassen sich fertigen auf Silizium, Glas- und Plastiksubstraten
- Bisher existieren GMSD in nur wenigen HEP-Experimenten (NA12, SMC, WA89,...?)
- Einsatz bei hohen Teilchenflüssen erfordert niedrigen (Oberflächen-)widerstand des Substrates. Möglichkeiten sind
  - Ionenimplantiertes SiO<sub>2</sub>
  - Ionenimplantierte Gläser
  - eigens hierfür entwickelte elektronisch leitende Gläser
  - passivierte (Ge, Ni, Cr, Bleisilikat, AlO, ...) Plastik- und Glassubstrate

## Zusammenfassung und Ausblick

- Die Microgap-Chamber vereinigt alle Vorzüge des GMSD in sich, ist
  - sogar noch schneller
  - Ratenverträglichkeit ist noch höher
- Sie ist jedoch bislang nur mit den Methoden der Siliziumindustrie herstellbar, daher
  - teuer
  - stark limitiert in der Größe
- Bestrebungen sind im Gange, MGC einfacher zu fertigen...

**Entwicklung eines schnellen RICH-Detektors für HADES**

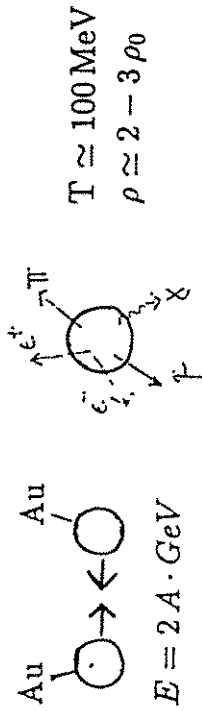
J. Fricse, R. Gernhäuser, J. Homolka, W. Karle, A. Kastenmüller,  
 P. Kienlé, H.-J. Körner, P. Maier-Koimor, M. Münch, R. Schneider,  
 A. Stolz, K. Zeitelhack

Physik-Department E12, TU München

- Physikalische Motivation
- Konzept eines "schnellen" RICH-Detektors
- Der Radiator
- Der Photonendetektor
- Auslese und Ringerkennung
- Fazit und Ausblick

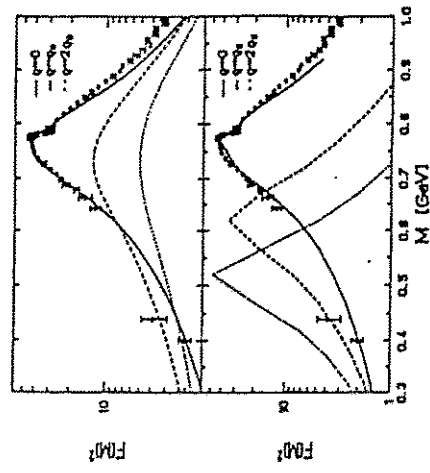
**Studium heißer dichter Kernmaterie**

o "in medium" Effekte



Meson	[MeV/c <sup>2</sup> ]	c · τ [fm]	dom. Zerfall	e <sup>+</sup> e <sup>-</sup> BR
ρ	768	1.3	π π	4.4 · 10 <sup>-5</sup>
ω	782	23.4	π π π	7.2 · 10 <sup>-5</sup>

Formfaktor des ρ-Mesons



## Das HADES - Dileptonspektrometer

1 A·GeV Au :  $10^8 \text{ s}^{-1}$

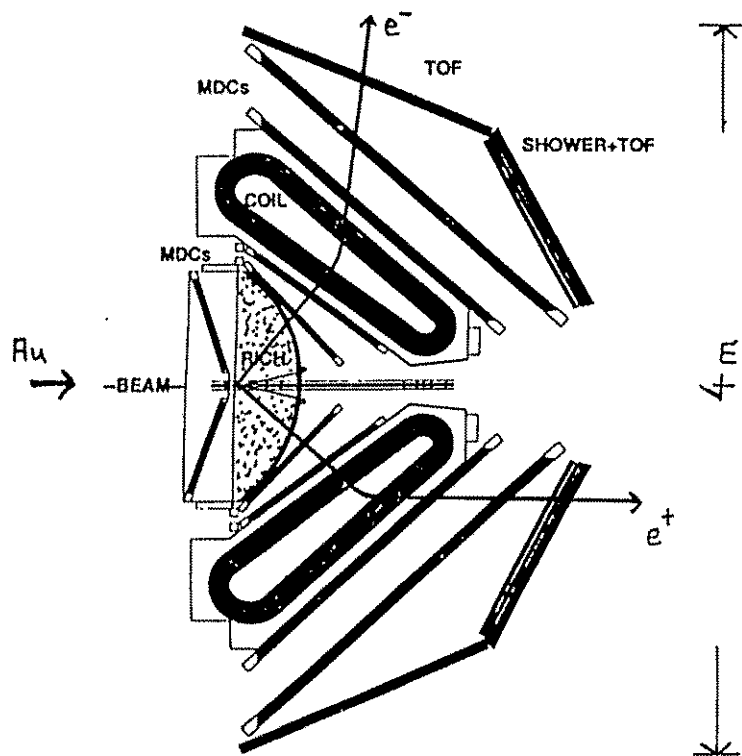
zentr. Stöße :  $10^5 \text{ s}^{-1}$

gelad. Teilch. :  $10^7 \text{ s}^{-1}$  ←

Dileptonen:  $\rho \rightarrow e^+e^-$  :  $10^{-1} \text{ s}^{-1}$  ←

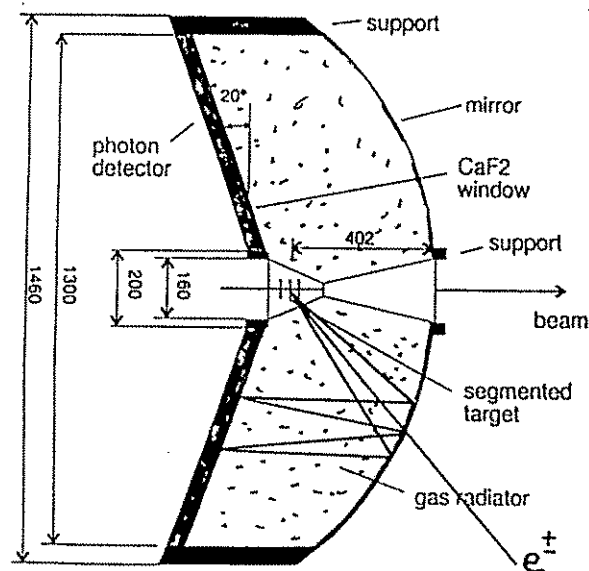
aber Untergrund:  $\pi^0$  :  $10^6 \text{ s}^{-1}$

↳  $\gamma e^+e^-$  :  $10^4 \text{ s}^{-1}$  ←



## Das HADES - RICH Konzept

- "Blind" für Hadronen ⇒ Gasradiator
  - Rückwärtsgeometrie mit dünnem Kugelspiegel (2 mm CFK + Al + MgF<sub>2</sub>)
  - 2-D ortsaufl. Photonenzähler ( $A \simeq 1.5 \text{ m}^2$ ), Einzelphotonnachweis, hohe Zählrate ( $R \simeq 10^5 \text{ s}^{-1}$ ), schnelle Ringerkennung ( $\tau < 10 \mu\text{s}$ )
- ⇒ MWPC mit reflekt. CsI-Photokathode und schneller Kathodenpad-Auslese



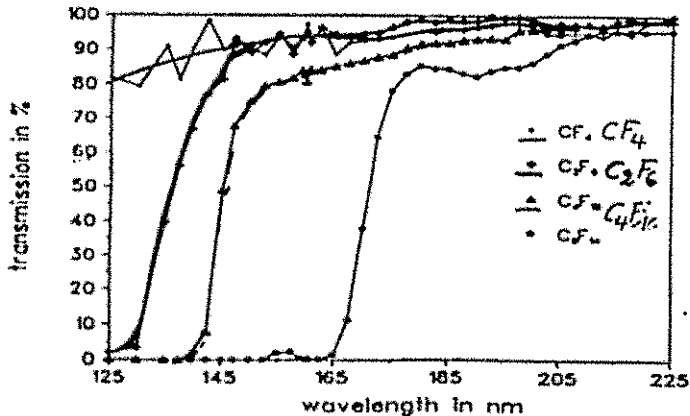
## Der HADES-Gasradiator

- Hohe Lichtausbeute ( $n-1 \approx 10^{-3}$ )
- Hohe VUV-Transparenz
- Geringe Massenbelegung ( $\rightarrow$  externe Konversion)
- Keine Szintillation

### Fluor-Kohlenstoff Verbindungen

Gas	$n - 1$ [ $10^{-3}$ ]	$\Delta n / \Delta E$ [ $10^{-6} / \text{eV}$ ]	$\gamma_{thr}$ at 177 nm	$\lambda_{cut}$ [nm]	$L$ [m]
$\text{CF}_4$	0.19	10	32.0	< 120	
$\text{C}_2\text{F}_6$	0.79	23	25.1	136	5.52
$\text{C}_4\text{F}_{10}$	1.51	53	18.2	145	3.22

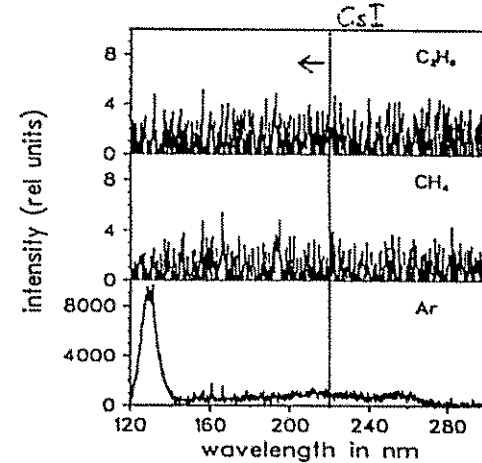
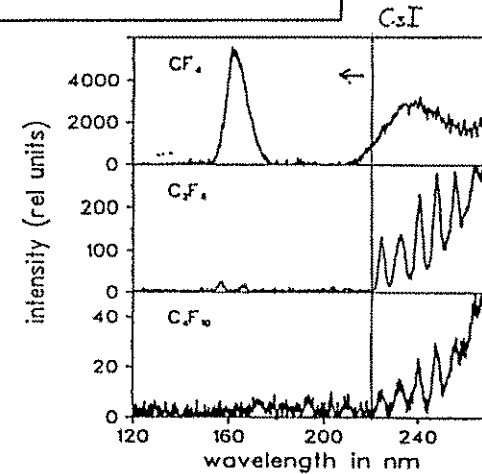
### VUV-Transmission



## VUV - Szintillation

$E = 80 \text{ MeV } ^{16}\text{O}$

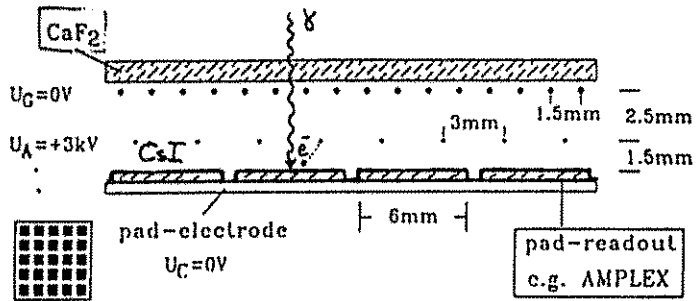
$E = 22 \text{ MeV p}$



Gas	Ar	$\text{CF}_4$	$\text{C}_2\text{F}_6$	$\text{C}_4\text{F}_{10}$	$\text{CH}_4$	$\text{C}_2\text{H}_6$
$N_\gamma / \text{MeV}$	420	56	0.52	0.28	0.06	0.01
	-	+	+			

HADES:  $\Delta E_{c.p.} \approx 350 \text{ MeV}$  pro zentr. Stoß

# Der HADES - Photonendetektor

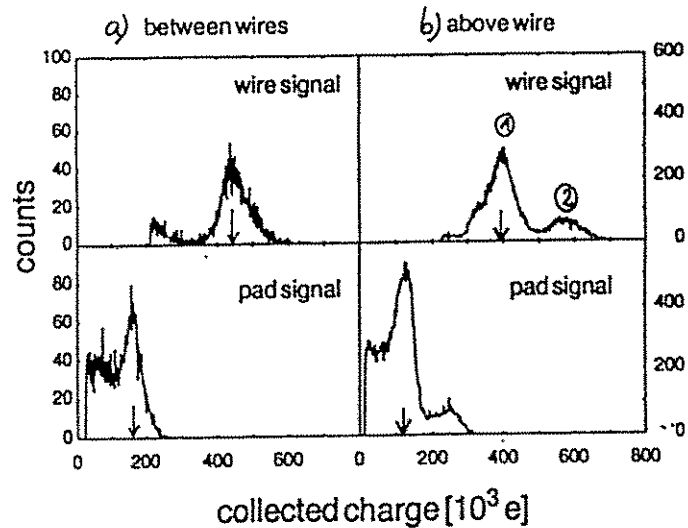
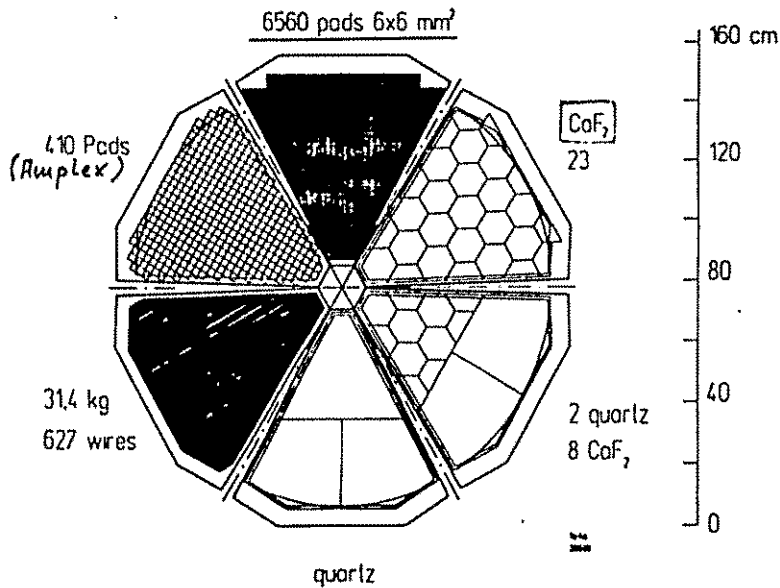
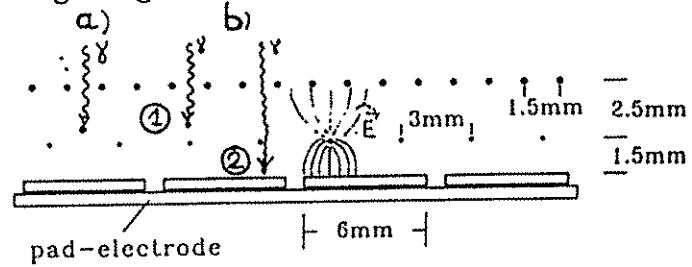


# Messungen mit dem Prototyp

Kollimierte  $^{55}\text{Fe}$ -Quelle ( $E_{\gamma\text{-ray}} = 5.9\text{ keV}$ )

Ar-CH<sub>4</sub> 90/10,  $p = 1\text{ atm}$ ,  $g \approx 10^4$

Ladungsinteg. Auslese von Anodendraht bzw. Pad



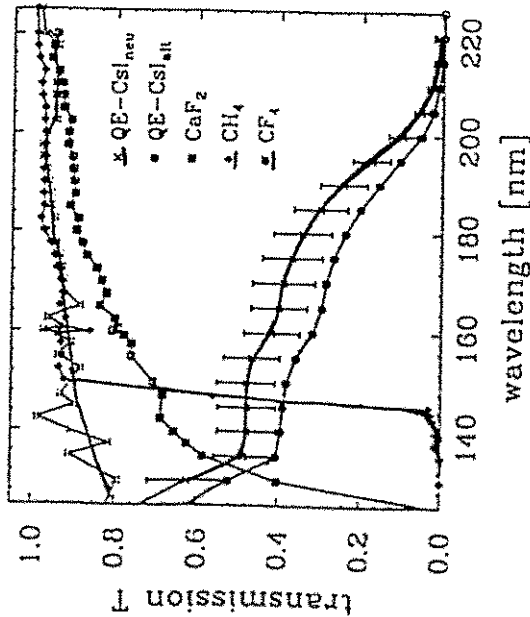
$$Q_{\text{Pad}} / Q_{\text{Anode}} \approx 0.38$$

# Nachweis von VUV - Licht

Photokonverter

Name	Zustand	$E_{thr.}$ [eV]	$l_{abs.}$ [mm]
CsI	fest	5.9	-
TMAE	flüssig	5.3	13.7
TEA	flüssig	7.5	0.6

quantum efficiency QE



Alterung durch H<sub>2</sub>O und UV-Bestrahlung  
 10<sup>13</sup> Photoelektronen / cm<sup>2</sup> ⇒ 10 a HADES

# Photoelektronen pro Ring

$$N = N_0 \cdot l_{Rad} / \gamma_{th}^2 \quad (\beta = 1)$$

$$N_0 = \frac{370}{eV \cdot cm} \cdot \int_{E_1}^{E_2} R \cdot T \cdot QE \cdot \epsilon_{pe} \cdot dE$$

R = 0.85: Reflektivität Spiegel

T: Transmission Rad., Fenster, Det.

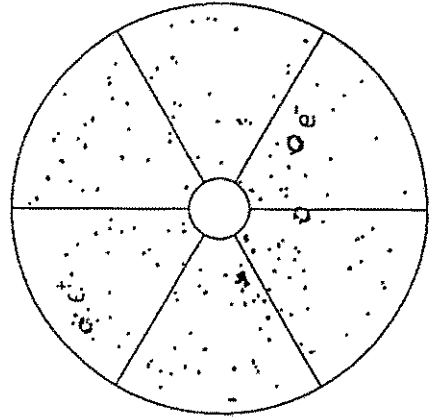
QE: Quanteneffizienz. CsI

$\epsilon_{pe}$  = 0.95: Nachweiseffizienz. e<sup>-</sup>

Rad.	Fenster	Det.-Gas	N <sub>min</sub>	N <sub>max</sub>
C <sub>4</sub> F <sub>10</sub>	CaF <sub>2</sub>	CH <sub>4</sub>	22	38
C <sub>2</sub> F <sub>6</sub>	CaF <sub>2</sub>	CH <sub>4</sub>	13	23
C <sub>2</sub> F <sub>6</sub>	CaF <sub>2</sub>	CF <sub>4</sub>	16	28
CF <sub>4</sub>	-	CF <sub>4</sub>	21	37

↑ ↑

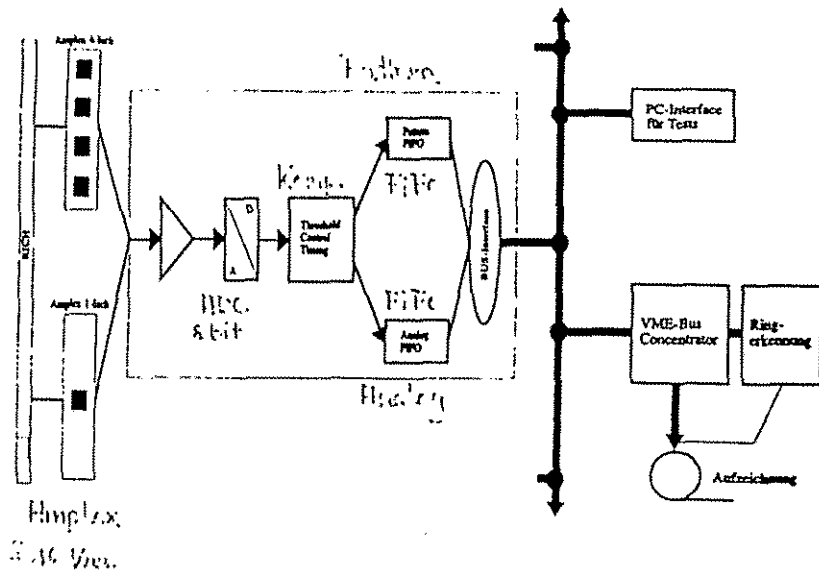
Simulation  
 4 R-GeV Ru + Ru



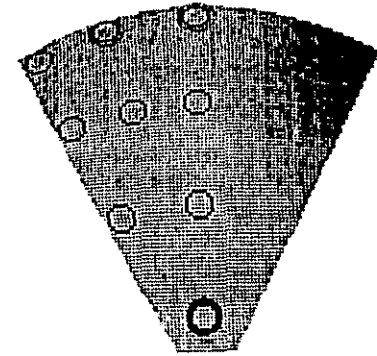
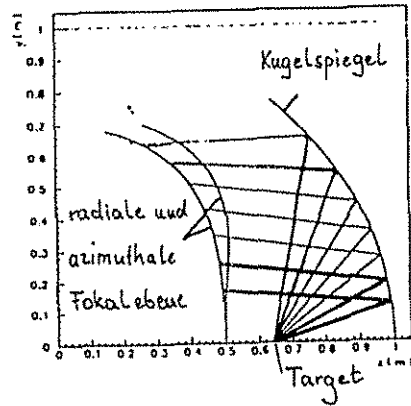
# Das RICH - Auslesekonzept

! Auslese von 40000 Kanälen in  $t < 10 \mu s$

- Frontend-Modul mit AMPLEX / GASPLEX Analogchip, 8 Bit ADC, individueller Schwelle für jeden Kanal, Multi event buffer, Pattern und Analog-Information
- Frontend-Module verbunden mit digitalem Bus
- Parallele Auslese mehrerer Ketten durch "Konzentratormodule"
- Übergabe der Patterninformation an Triggermodul
- Speichern der Analoginformation in VME-memory



# Optik



"Ringe" für verschied. Polar- und Azimutwinkel

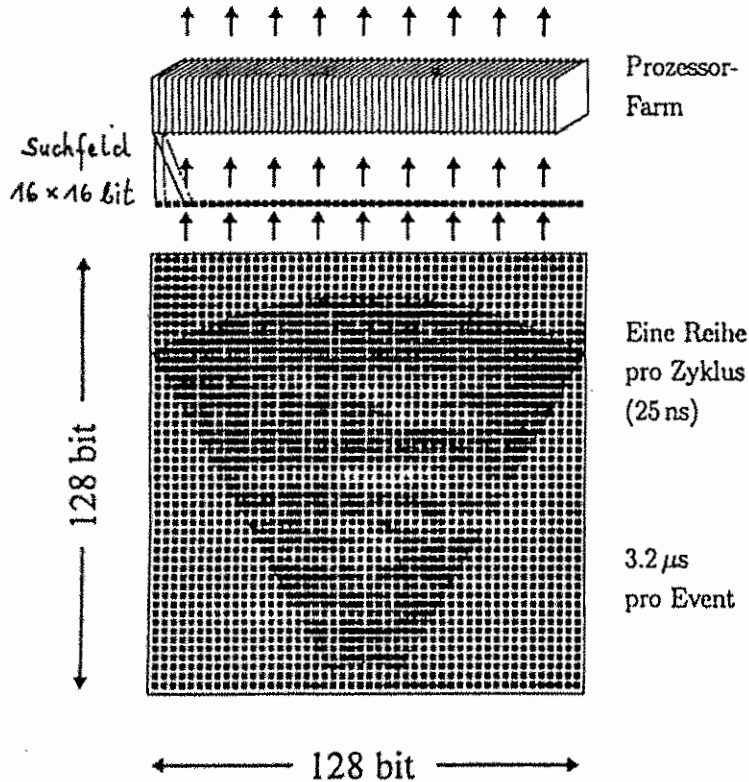
Variation der Pad-Größe mit  $\Theta$  und  $\Phi$



Konstantes Ring-Pattern



## Schnelle Ringerkennung



Konstanter Ringradius



Vergleich mit Ringmaske

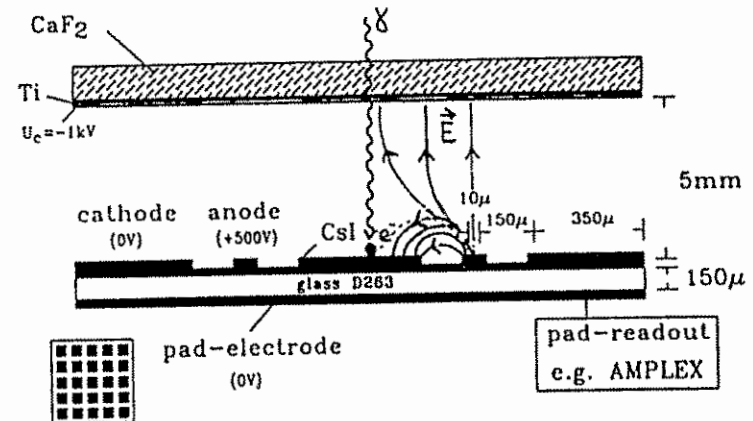
## Fazit

Konzept mit  $C_2F_6/C_4F_{10}$ -Radiator,  $CaF_2$ -Fenster und  $CH_4$  als Detektorgas  $\Rightarrow$  15 - 25  $e^-$  pro Ring

Auslese (Analog + Pattern-Information) und Ringerkennung in  $\tau < 10 \mu$ s

## Ausblick

### 2D-Pixel-Detektor für VUV-Photonen

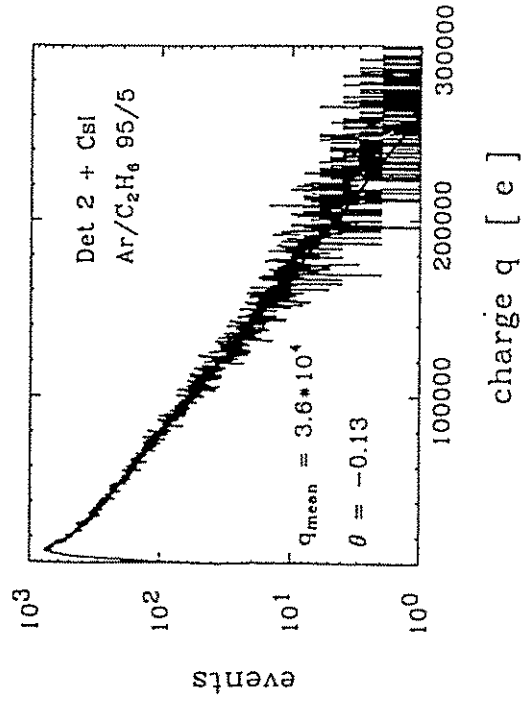


- kurze Ionendriftzeiten
- geringe UV-Rückkopplung
- einfache Mechanik (drahtlos)

# Einzelphotonen - Nachweis

Polya-function:

$$P(q) \propto \left(1 + \Theta\right) \cdot \frac{q}{q_{mean}} \left]^\Theta \cdot e^{-\left(1 + \Theta\right) \cdot \frac{q}{q_{mean}}}$$



- Bestrahlung mit VUV-Photonen ( $\lambda = 170 \pm 0.2$  nm) mit Rate  $r \approx 10$  kHz
- Ladungs-integrierende Anodenauslese
- $\epsilon_{tot}(\lambda=170\text{nm}) = Q E_{CsI} \cdot \epsilon_{PE} \cdot \epsilon_A \cdot T_{tot} \approx 2 - 3\%$

# Status und Perspektiven von Tieftemperatur - Kalorimetern

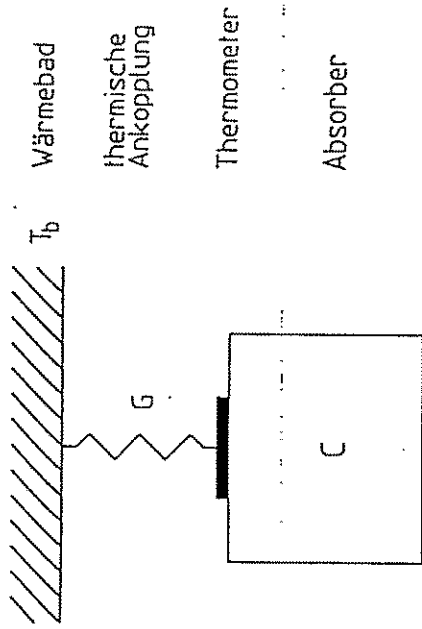
H. Kraus

Technische Universität München  
Physik - Department E15  
Garching

- Tieftemperatur kalorimeter
- Thermometer
- Anwendungen
- Status bei verschiedenen Gruppen

## Das Tieftemperatur kalorimeter

Prinzip:



Energie deponierung  $\rightarrow$  Temperaturerhöhung

$$\Delta T(t) \approx \frac{\Delta E}{C(T)} \cdot \exp\left(-\frac{t}{\tau}\right); \quad \tau = \frac{C}{G}$$

für  $T \rightarrow 0$ ;  $C(T) \rightarrow 0$

$\Rightarrow$  große, massive Absorber  
hohe Sensitivität

Wichtig:  $\Delta T$  möglichst genau messen

Thermometer: hohes  $\frac{\partial V}{\partial T}$  bzw.

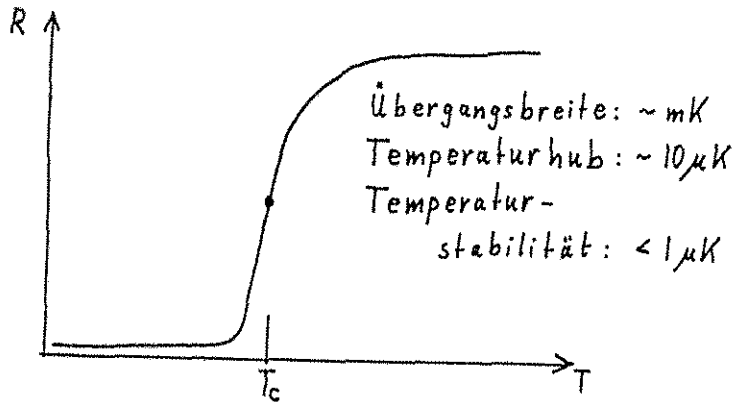
hohes  $\alpha := \frac{1}{R} \frac{\partial R}{\partial T}$

## Thermometer

### Halbleiterthermistoren

Ge, Si, smallgap, NTD-Ge

### Supraleitende Phasenübergangsthermometer



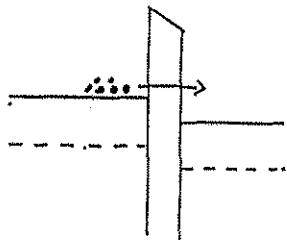
Ir, Ir/Au, W Thermometer

### Induktive / kapazitive Thermometer

kin. Inductance, KTN

### Supraleitende Tunnelknoten

SIS, SIN, SNS



### Limitierung der Energieauflösung

### Thermodynamische Fluktuationen

$$\Delta E \approx \sqrt{kT \cdot CT} \leq eV$$

### Strahlungsaustausch mit der Umgebung

$$\Delta E = \sqrt{85 \epsilon k T^5 \cdot A \cdot \Omega \frac{C}{\sigma}} \leq meV$$

### Johnson Noise von Thermometer / Widerständen

$$\Delta E = \sqrt{4kTR} \cdot \frac{\sqrt{C \cdot G}}{i \cdot \frac{\partial R}{\partial T}} \approx eV$$

### Vorverstärker rauschen

$$\Delta E = \sqrt{\frac{e_n^2 + (i_n R)^2}{|S|^2} \tau} = ?$$

### Zusätzliche Rauschquellen

Einstrahlung

Mikrophonie

Temperaturschwankung ....

### Ortsabhängigkeit der Detektorantwort

Langlebige Zustände im Absorber

## Experimente mit Kryodetektoren

### Suche nach Dark Matter Kandidaten

TUM, MPI München, UC Berkeley

### $\beta\beta$ -Zerfall

INFN Milano

### Nachweis geringer Kontaminationen mit $\alpha, \beta$ Strahlern

INFN Milano, TUM

### $\nu$ -Masse ( $\beta$ -Endpunktspektroskopie)

Princeton, Oxford

### Schwerionenphysik

GSI

### 17keV Neutrino

Princeton, Oxford

### Röntgenspektroskopie an EBIT

LLNL

### Röntgenastronomie, Plasma diagnose

NASA, UW Madison, TUM, Oxford, SRON, ESA, PSI

### In Diskussion:

Lamb-Shift-Messung (GSI)

Röntgenspektroskopie in der Festkörperphysik

## Kryodetektoren für Suche nach Dark Matter

► Gute Energieauflösung ( $\approx 100$  eV)

► Sehr niedrige Energieschwelle ( $\approx 500$  eV)

► Volle Nachweis effizienz für Kernrückstöße

► Hohe Flexibilität bei der Wahl des Absorbers  
z.B.  $Al_2O_3$ , GaAs,  $MgF_2$ , Supraleiter

► Große Absorbermassen möglich ( $\approx 1$  kg/Kanal)

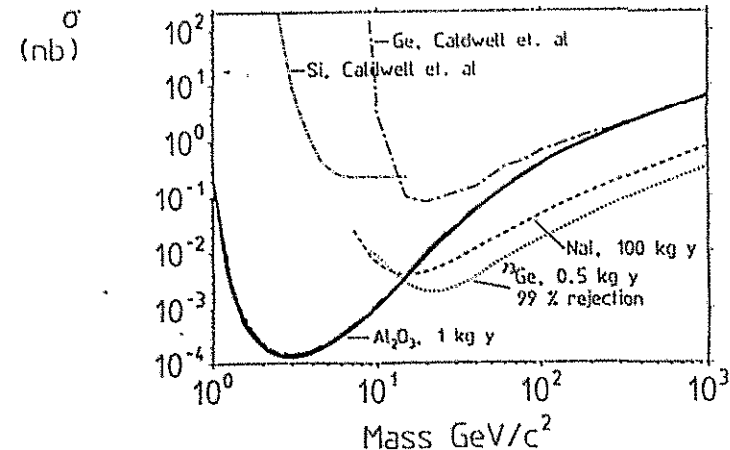
► Wenig Probleme mit radioaktivem Untergrund

### Sensitivität:

Ausschlussplot (3 $\sigma$ )

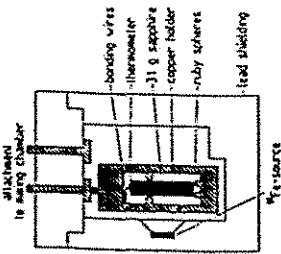
Flacher Untergrund: 1 cnt/(keV·kg·day)

für  $0.5 \text{ keV} < E < 8 \text{ keV}$

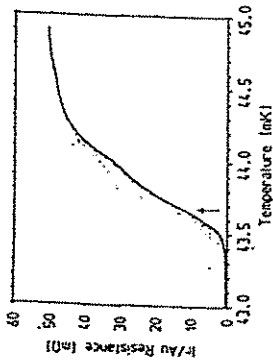


Massive Kryodetektoren mit guter Energieauflösung  
(MPI München)

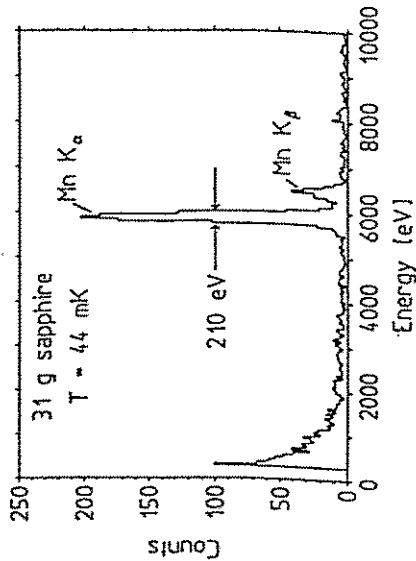
Geometrie:



Ir/Au Thermometer:



Meßzeit: 9 Std.

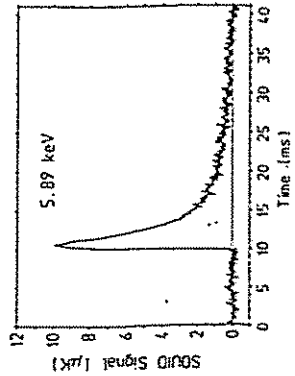


Schnelle Komponente:

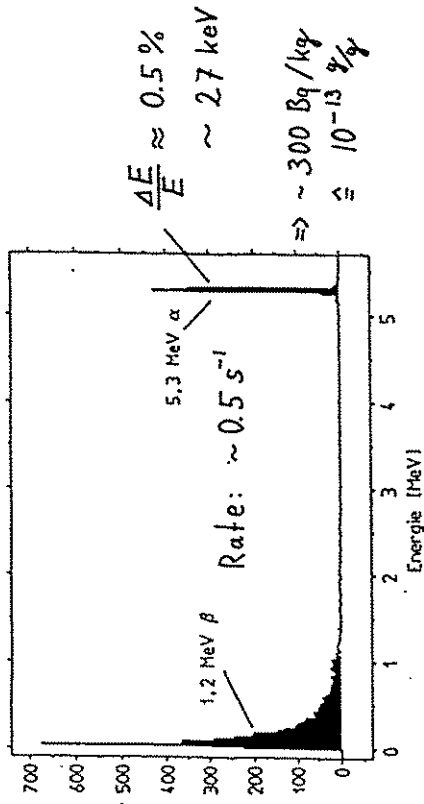
$\tau_D = 2 \text{ ms}$

Langsame Komponente:

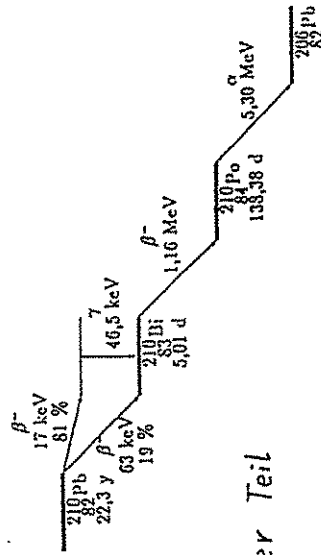
$\tau_D = 10 \text{ ms}$



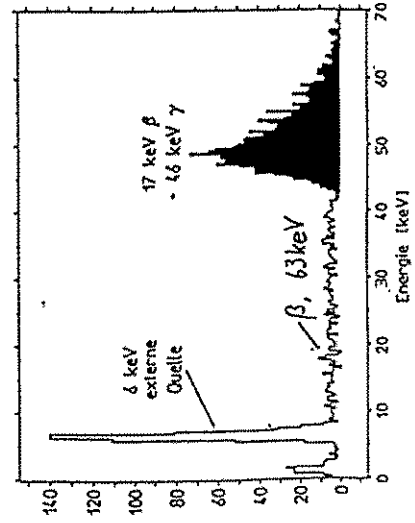
1.6 g Bleiabsorber mit Au/Ir Thermometer



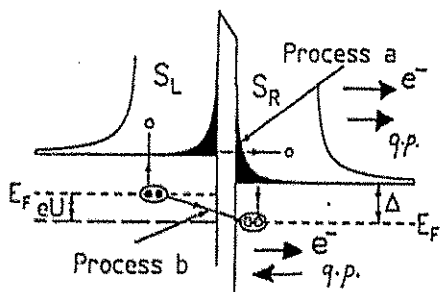
Zerfall-Schema von  $^{210}\text{Pb}$ :



Niederenergetischer Teil des Spektrums:



# Superconducting Tunnel Junctions



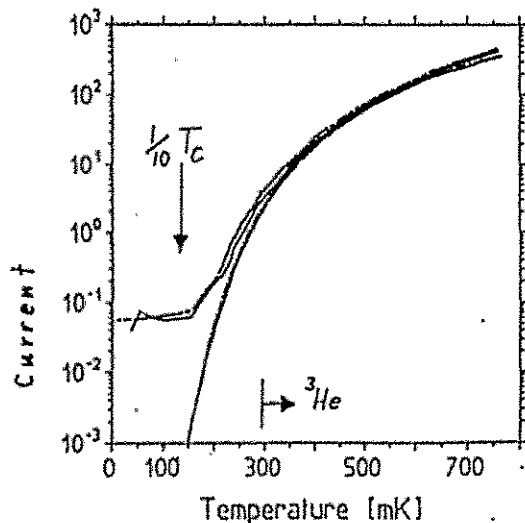
Tunnel Processes  
Retunneling

$\gamma_T, \gamma_V$   
Charge amplification

Thermally excited quasiparticles:  $n_{Th} \propto \sqrt{T} e^{-\frac{\Delta}{kT}}$   
Magnetic field for d.c. Josephson current suppression

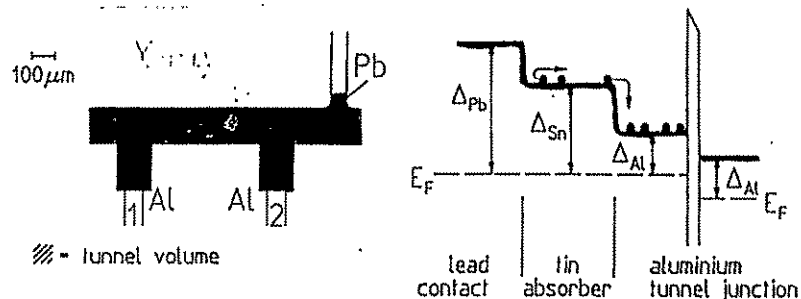
Optimal Signal to Noise ratio: high  $\gamma_T$ ,  $\beta = \frac{R_D}{R_{XX}}$   
low  $\gamma_V$ , Area

## Thermal Current vs. Temperature



Experiment  
BCS Theory

# Thin film absorbers in STJ detectors



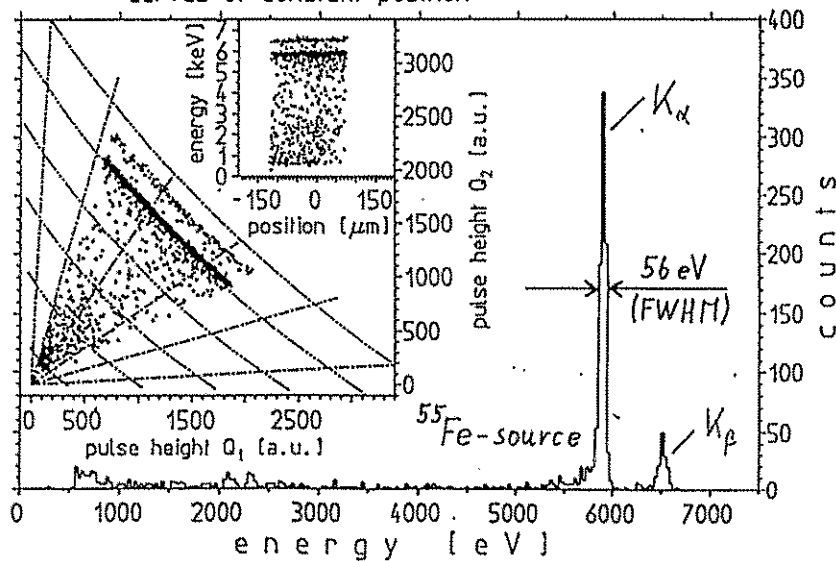
Diffusion of quasiparticles along the absorber  
Loss of single quasiparticles (e.g. in traps)

$$\dot{n}(x,t) = -D \cdot \Delta n(x,t) - \gamma_V \cdot n(x,t)$$

$$Q_{1,2} = E_0 \cdot \frac{k}{\omega} \cdot \frac{\sinh \alpha (\frac{1}{2} \pm \frac{x}{L})}{\sinh \alpha} \Rightarrow \alpha = \frac{L}{\sqrt{D \tau_D}}$$

Inversion:  $\Rightarrow E_0, x_0$

— curves of constant energy  $D = 0.2 \frac{\text{mm}^2}{\mu\text{s}}; \tau_D = 1.25 \mu\text{s}$   
- - - curves of constant position



Status bei verschiedenen Gruppen

INFN Milano	334g $\text{TeO}_2$ Kristall im LINGS internes $^{238}\text{U}$ , $^{232}\text{Th} \sim 10^{-13} \text{ g/g}$ $0\nu\text{-}\beta\beta$ Zerfall $T_{1/2} \sim 10^{22} \text{ y}$ (68% C.L.)
TUM	31g $\text{Al}_2\text{O}_3$ / Ir-Au Thermometer 220eV @ 6keV
MPI	4g $\text{Al}_2\text{O}_3$ / W - Thermometer 78eV @ 1.5keV
	1.1g Sn / Ir-Au Thermometer 370eV @ 6keV
	Ir-Au Thermometer, W, Ir-Th. Supraleitende Tunnelknoten 54eV @ 6keV + Ortsauflösung
NASA UW Madison	Mikro-Kalorimeter spot: 7.3 eV @ 6keV $\frac{1}{4} \text{ mm}^2$ 12eV $\rightarrow$ 36 Elemente $a' 1 \text{ mm}^2$
GSI	$\sim 1 \dots 4 \cdot 10^{-3} \frac{\text{AE}}{\text{E}}$ , Al-Näander
Princeton	Sn-Absorber / NTD-Germanium $^{107}\text{Pd} \rightarrow ^{107}\text{Ag} + e^- + \bar{\nu}_e$ (37.5 $\pm$ 0.1 keV) $\rightarrow$ Null-Resultat für 17keV Neutrino
Berkeley	60g Ge Kristall / NTD Ge Thermistor gleichzeitige Messung von Ionisation und Wärme



# Entwicklung eines schnellen TDC mit Konvertierungszeiten im Bereich weniger Nanosekunden

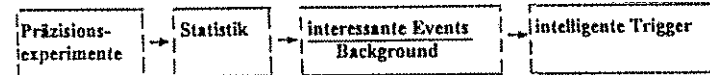
F. Gabriel\* , P. Michel\*\*

Forschungszentrum Rossendorf e.V.

- \* Zentralabteilung Forschungs- und Informationstechnik
- \*\* Institut für Kern- und Hadronenphysik

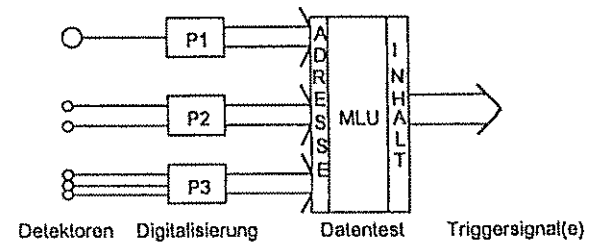
1. Motivation - triggerintegrierbare Zeitmessung
2. Hardware
3. Limits
4. Anwendungen

## 1. Motivation



### kombinierte Triggerparameter

- Digitalisierung einzelner Triggerparameter (Zählermuster, Zeiten, Impulshöhen, Ladungen)
- Kombination zu Worten (8,16...bit)
- Test der kombinierten Informationen auf die Triggerbedingung(en)



### Integrierbarkeit von Zeitinformationen in Hardwaretrigger ?

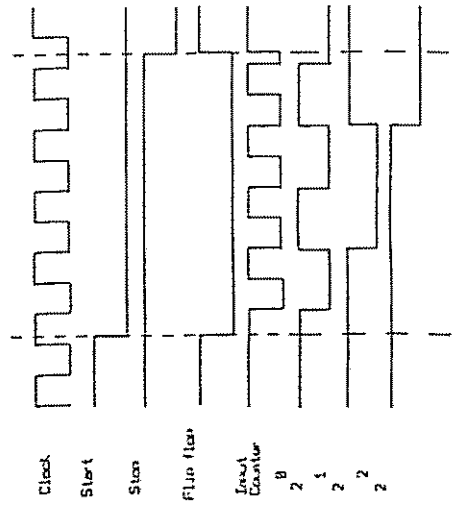
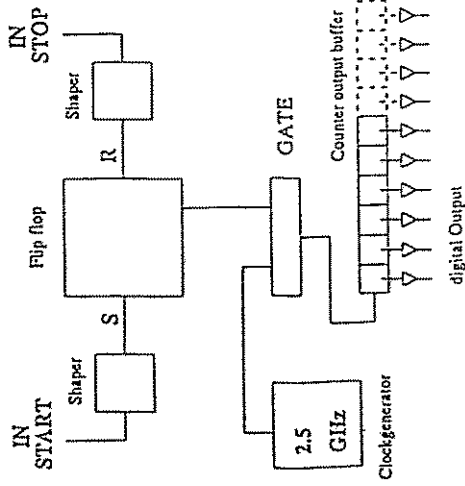
	conv.	stel.
Zeitmessung m. konv. TDC's (Le Croy TFC/FERA, Philips 10C6 ...)	> 5 $\mu$ s	50 ps
triggerintegrierbare Zeitmessung	< 50 ns	100-300 ps

### Zeitskala:

Flugzeiten	> 3ns/m
Impulsanigen (Szintillatoren, HL...)	> 10ns
Lichtlaufzeiten(Szint.)	> 5 ns/m
Elektronendriftzeiten in Gasedektoren	> 20ns/mm

## 2. Hardware

### Aufbau des Real Time to Digital Converter (RTDC)



### Elektronik im GHz-Bereich

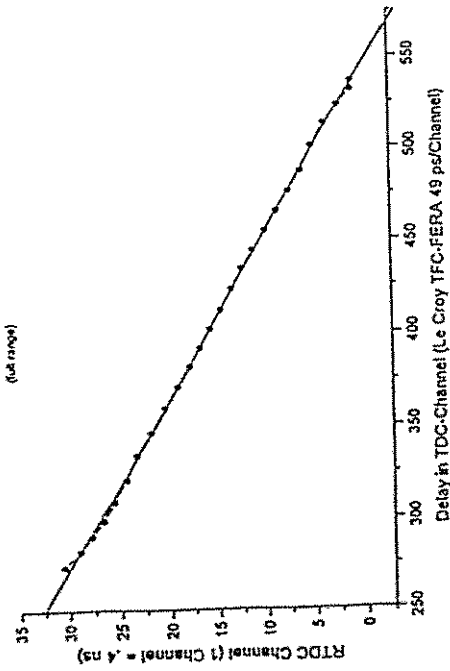
- extrem kurze (angepasste) Leitungsführung
- Trennung von Signalverarbeitung und Versorgungsspannungen auf verschiedenen Leiterplattenseiten
- Abblockkapazitäten
- extrem kleine parasitäre Kapazitäten und Induktivitäten
- Bauelementwahl (Bandbreite, Pinbelegung...)
- (z.B. Motorola MC100EL... ultra high speed ECL)



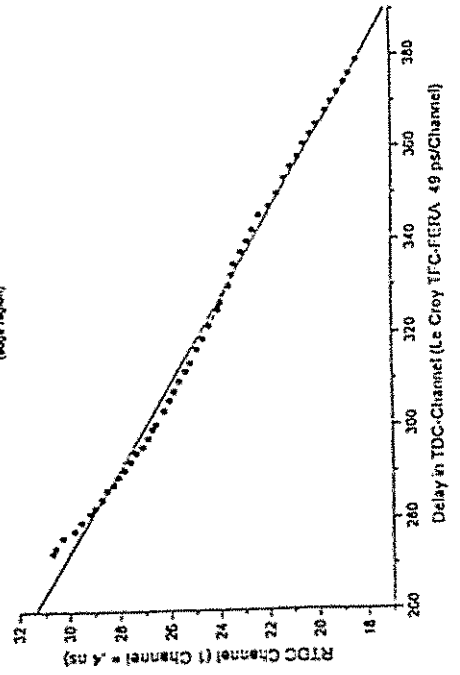
### 3. Limits

#### Linearität

#### RTDC Linearity



#### RTDC Linearity



#### Zeitauflösung

#### unkanntes Meßzeitintervall



$$\sigma(\text{Start}) = \frac{1}{\sqrt{2}} \cdot \text{LSB}$$

$$\sigma(\text{Stop}) = \frac{1}{\sqrt{2}} \cdot \text{LSB}$$

$$\sigma^2 = \sigma(\text{Start})^2 + \sigma(\text{Stop})^2$$

$$\sigma = \frac{1}{\sqrt{2}} \cdot \text{LSB} = 0.41 \cdot \text{LSB} \quad (\text{mittlerer Fehler})$$

#### bekanntes Meßzeitintervall

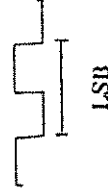


$$\sigma \text{ min: } t = N \cdot \text{LSB} \Rightarrow \sigma t = 0$$

$$\sigma \text{ max: } t = N/2 \cdot \text{LSB} \Rightarrow \sigma t = 0.5 \cdot \text{LSB}$$

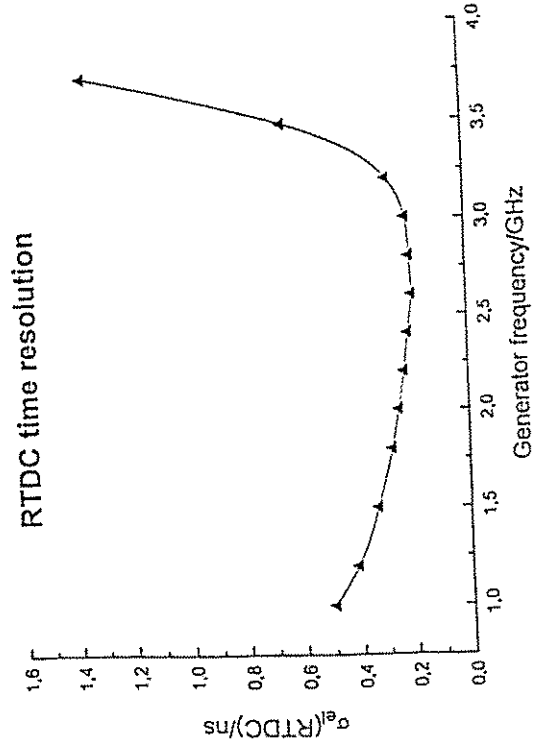
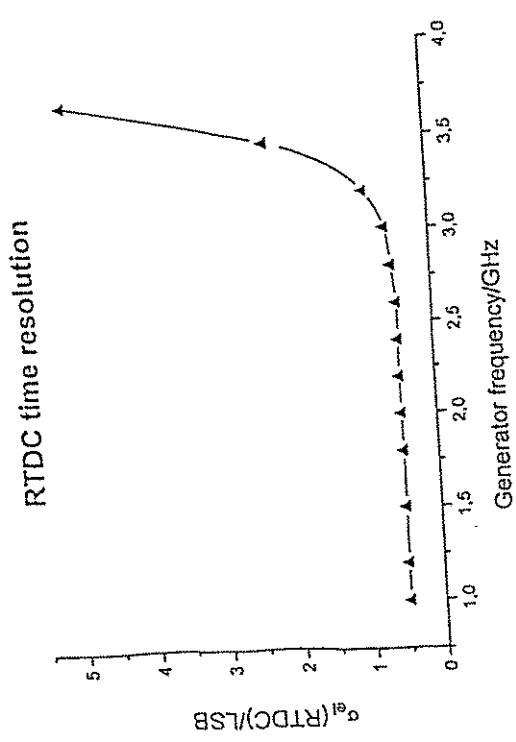
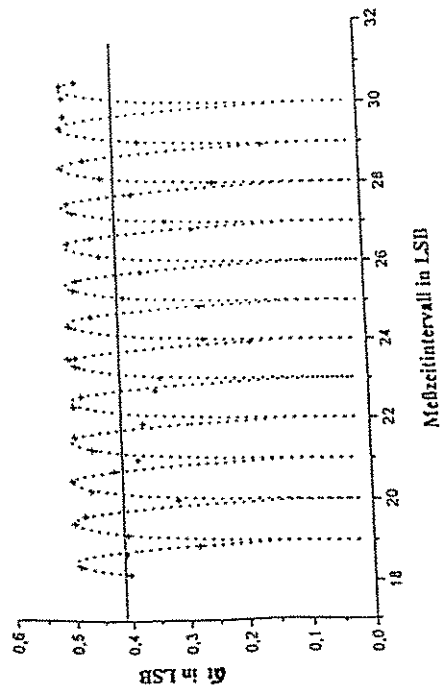
$$\sigma t = \frac{1}{\sqrt{2}} \cdot \text{LSB} \text{ mit } \chi = t / \text{LSB} = \text{INT}(t / \text{LSB})$$

LSB: Low Significant Bit

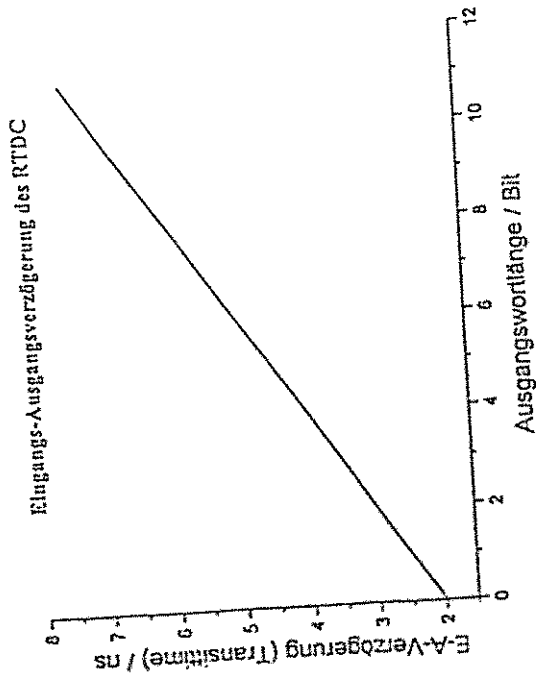


**Zeitauflösung des RTDC ( $f_c = 2.5$  GHz)**

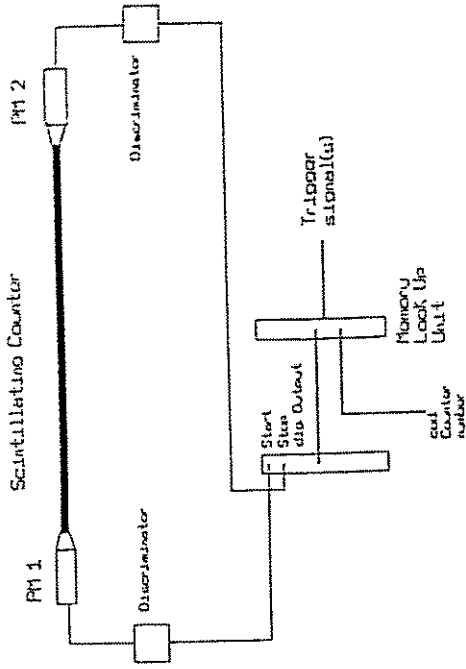
+ experimentell  
 ... theoretisch



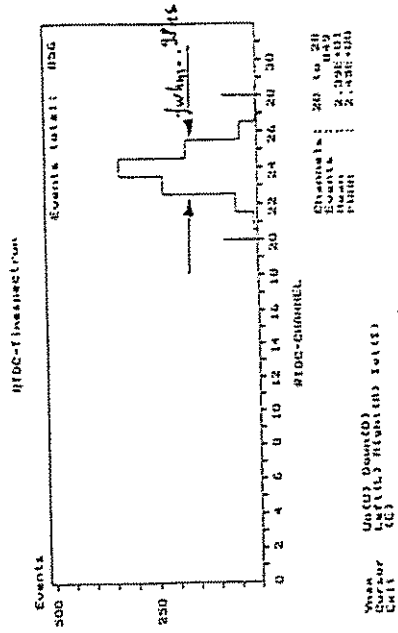
Eingangs-Ausgangsverzögerung



4. Anwendungen  
 triggerintegrierbare Positionsbestimmung in Szintillatoren

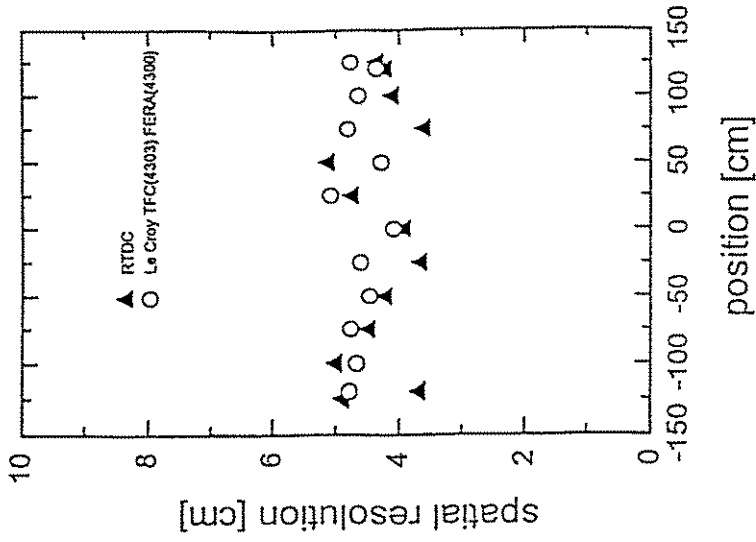
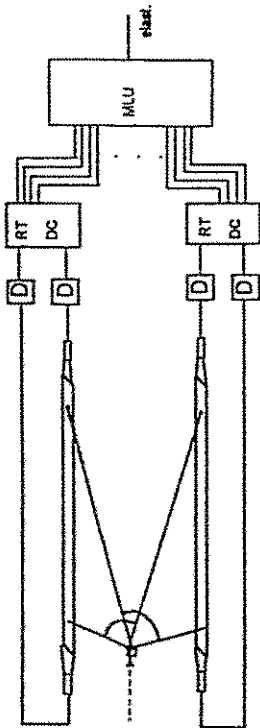


Erzeugung eines ortsabhängigen Triggersignals durch beidseitige Auslese eines Szintillatorstreifens und Digitalisierung mittels RTDC



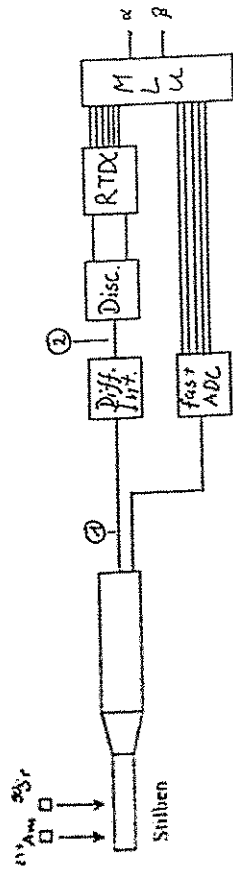
RTDC - Spektrum der Lichtlaufzeitdifferenz eines zweiseitig ausgelesenen Szintillatorstreifens. Mittels Masterszintillator wurde der 1 GeV/c Pionenstrahl auf 3 cm begrenzt.

Vetotrigger für elastische Streuung an COSY-TOF

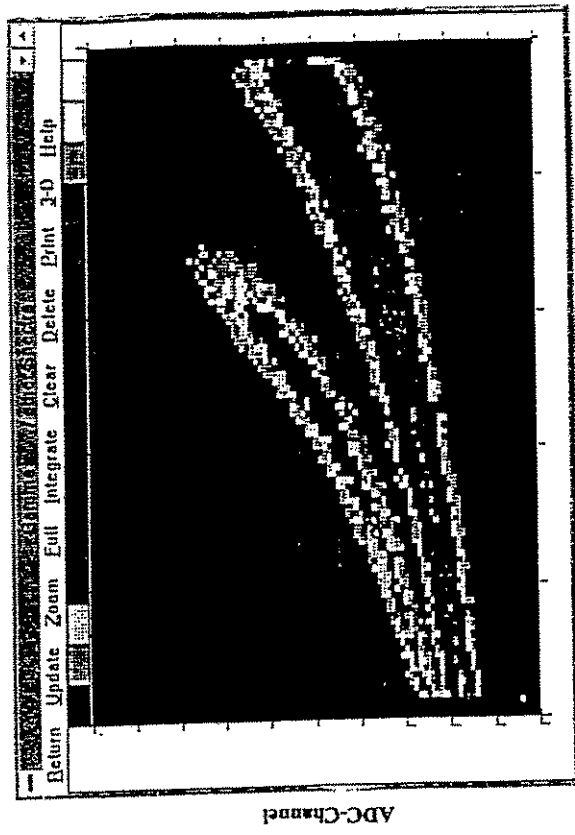


Auflösung der Koordinatenmessung am langen Szintillator mit RTDC und konventioneller TDC

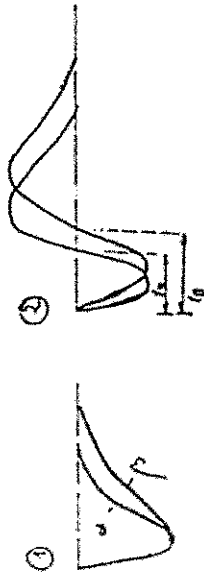
triggerintegrierbare Teilchenunterscheidung



Trigger:  $\alpha + \beta$

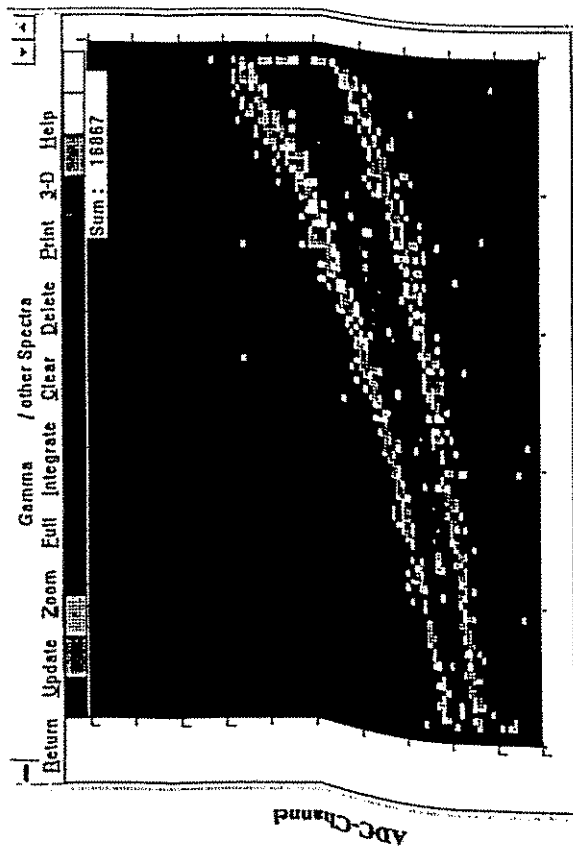


RTDC-Channel



## Zusammenfassung

Trigger:  $\beta$



RTDC-Channel

- RTDC liefert triggerintegrierbare Zeitinformationen - Transitime ca. 5 ns
- Nichtlinearitätsfehler sind vernachlässigbar
- verwendete Hardware liefert optimale Zeitauflösung bei ca. 2.5 - 3 GHz -  $\sigma$  ca. 200 ps
- Anwendungen: - Echtzeit-Ortsbestimmung in Szintillatoren
- Echtzeit-Teilchenunterscheidung
- ....



## Extraktion der pp-Bremsstrahlung mit künstlichen neuronalen Netzen

J. S. Lange  
 Institut für Kern- und Teilchenphysik  
 TU Dresden

soeren@tau.epi.ruhr-uni-bochum.de  
<http://tau.epi.ruhr-uni-bochum.de/~soeren>

- Missing-Mass-Analyse
- Neuronale Netze des Feed-Forward Typs  
 Überwachtes Lernen

## • Selbstorganisierende neuronale Netze

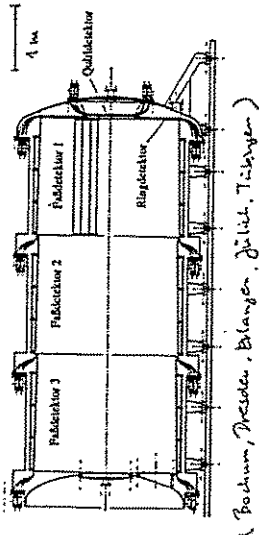
Unüberwachtes Lernen

- Simulierte Daten COSY  $T_{\text{Strahl}} = 400 \text{ MeV}$
- Experimentelle Daten SATURNE  $T_{\text{Strahl}} = 1000 \text{ MeV}$

Arbeitsreffen für Mittelenergiephysik / Pima  
 6.10.1994

## Der Detektor: TOF-Spektrometer an COSY

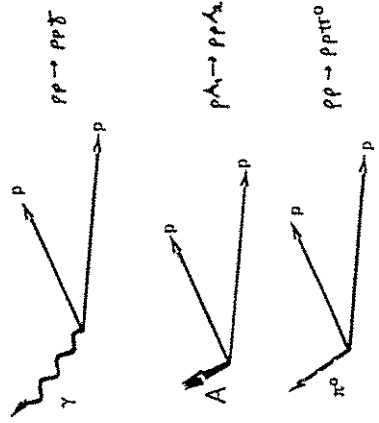
- Nur Nachweis geladener Teilchen
- Rekonstruktion höchstens eines ungeladenen Teilchens über Viererimpulserhaltung



Testexperiment SATURNE  
 (Bochum)

## Das Problem:

- Extraktion der Proton-Proton-Bremsstrahlung
- Untergrundreaktionen
- Nukleare Reaktionen in Targeffolien  $d = 2.2 \mu\text{m}$
- Pionenproduktion



Protonen passieren den Trigger

• Erkennung in Offline-Analyse

- $pp \rightarrow d \pi^+$
- $pp \rightarrow pn \pi^+$
- $pp \rightarrow pp \pi^+$

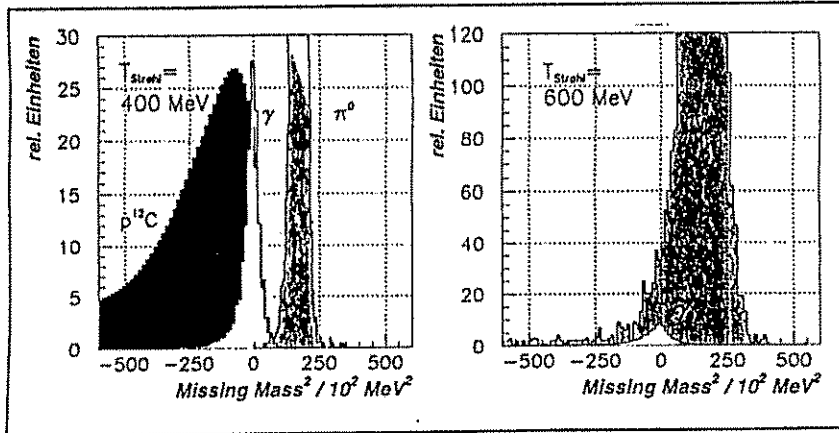
## Missing-Mass-Analyse

Simulierte Daten COSY

$T_{\text{Strahl}} = 400 \text{ MeV}$

$$m_3^2 = E_3^2 - \vec{p}_3^2$$

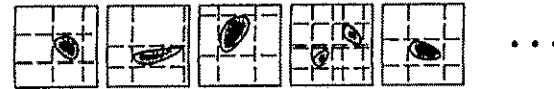
↓  
Verlust an Information



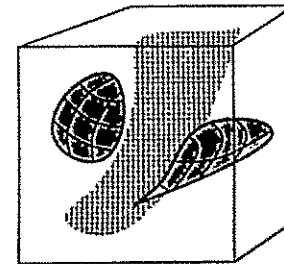
## Erweiterung der Missing-Mass-Analyse

- Zusätzliche kinematische Parameter  $E_3, p_3, \vartheta_3, \vartheta_1 + \vartheta_2, \Delta\varphi_{12}$
- Suche nach Clustern im höherdimensionalen Parameterraum

- herkömmliche Methode: Reihe 2-dim. Schnitte



- Alternativmethode: Schnitte direkt im höherdimensionalen Parameterraum z.B. mit neuronalen Netzen



## Neuronales Netz Feed-Forward Typ

S. Lange et al.  
New Computing Techniques  
in Physics Research III  
S. 369  
World Scientific, 1994

Großer Nachteil:

Training mit simulierten  
Daten notwendig

Problem:  
Simulation hadronischer Wechselwirkung  
im COSY-Energiebereich

## Selbstorganisierende neuronale Netze

- Unüberwachtes Lernen
- „Training“ mit exp. Daten
- Algorithmus: Topologie erhaltende Abbildung (T. Kohonen, 1987)

Cluster im Eingaberaum  $\xrightarrow{\text{keine Projektion}}$  Cluster im Knotenraum

### Besonderheiten:

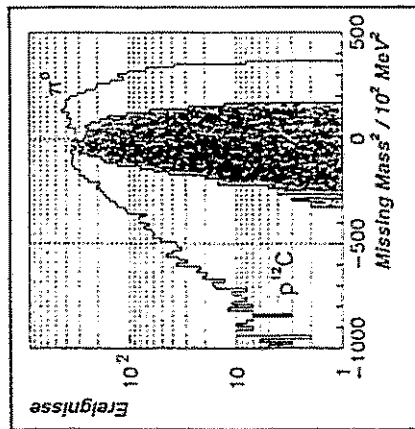
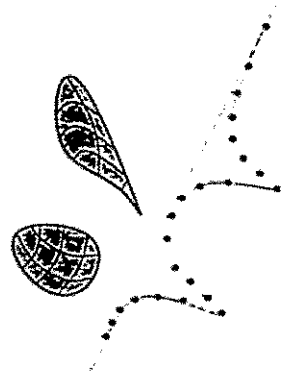
- *Erstmalig*  
1-dimensionale Knotenanordnung
- *Erstmalig*  
Clustergravitation



Gravitative Wechselwirkung  
im Eingaberaum

Allgemeine Relativitätstheorie

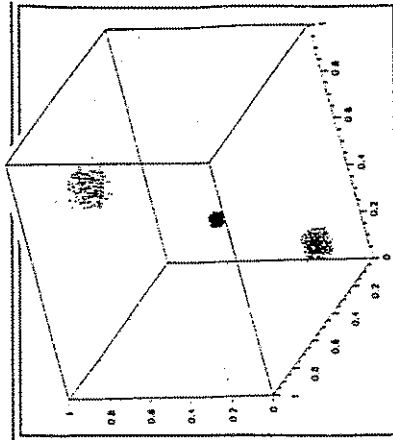
Veränderung der Metrik  
im Knotenraum



Simulierte Daten COSY T<sub>Strahl</sub> = 400 MeV

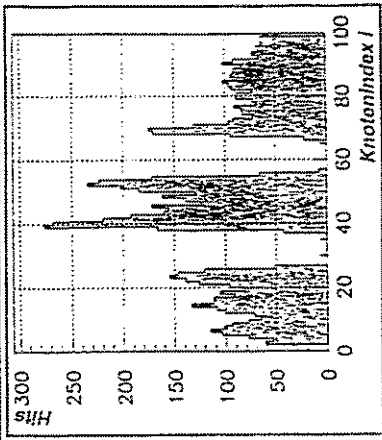
## Modell: 3 Cluster in 3-dim Eingaberaum

- Jeweils 3333 Ereignisse gewürfelt innerhalb Quadvolumina



- Zuordnung eines Clusters

Hitspektrum:  
Bestimmter Knotenbereich „feuert“



# Extraktion der pp-Bremsstrahlung

SATURNE

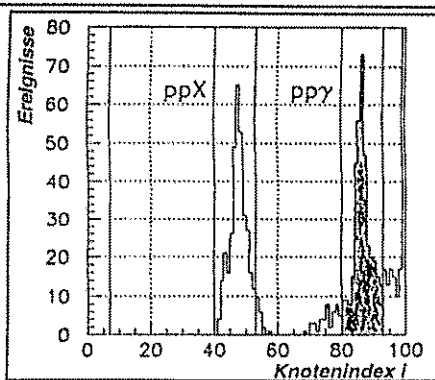
$T_{\text{Strahl}}=1000 \text{ MeV}$

mit dem selbstorganisierenden neuronalen Netz  
inkl. Clustergravitation

## Hitspektrum

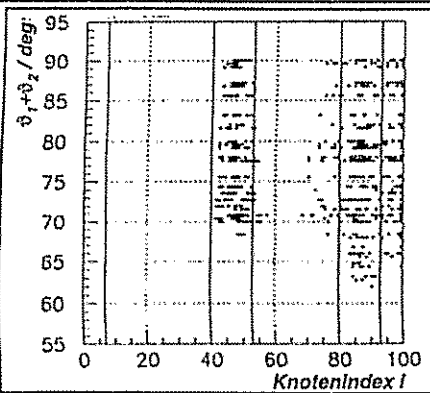
Anreicherung über  
„herkömmlichen“ Cut

$$\vartheta_1 + \vartheta_2 \text{ und } \vartheta_3$$

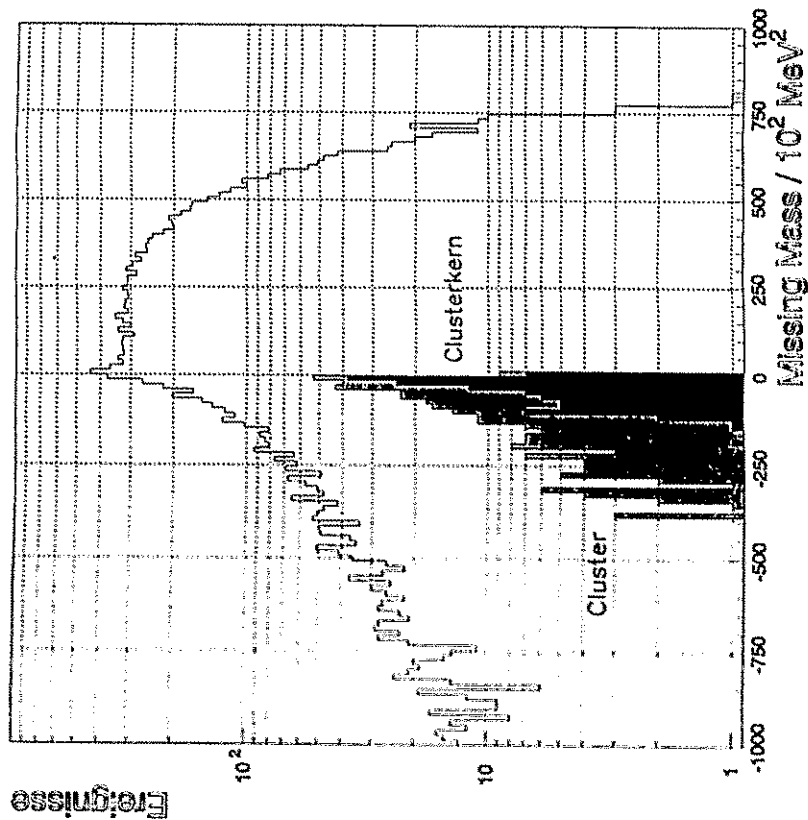


## Möglichkeiten

- $pp \rightarrow pp$  elastisch  
 $\vartheta_1 + \vartheta_2 = 78^\circ$
- $pp \rightarrow pp\gamma$   
 $0^\circ \leq \vartheta_1 + \vartheta_2 \leq 90^\circ$



SATURNE/ppy-Analyse/Cl-Grav/ $\alpha=0.01/\sigma=6.0/6.0/\epsilon=1.0/0.0/25$  Epochen



## Fazit

Was bringt ein selbstorganisierendes neuronales Netz ?

- SATURNE

Ersimls Nachweis von Ereignissen  $pp \rightarrow pp\gamma$   
bei  $T_{Strahl} = 1000 \text{ MeV}$

- COSY

- Faktor 2 mehr korrekt identifizierte Ereignisse  $pp \rightarrow pp\gamma$   
zu erwarten als mit Missing-Mass-Analyse
- Korrekt identifizierte Ereignisse in Randbereichen von  
Missing-Mass-Peaks (3-4%)

## Dank

TOF-Koll. / Uni Bochum

V. Fischer  
M. Stumk

AG Kernreaktionen / Uni Bochum

W. Potthast

Crystal Barrel-Koll. / Uni Bochum

M. Kunze  
J. Laidemann  
Th. Degenet  
R. Berlich

H1-Koll. / Uni Dortmund

H. Kolanoski  
Th. Krämerkämper  
D. Goldner

TOF-Koll. / Uni Tübingen

R. Bilya

Seminar über künstliche Intelligenz  
in der Kern- und Teilchenphysik  
(SS 1994, Uni Bochum, Uni Dortmund)

Publikation zu Anwendung neuronaler Netze des Feed-Forward-Typs:

[WWW::http://www.op1.ruhr-uni-bochum.de/~soeren](http://www.op1.ruhr-uni-bochum.de/~soeren)

## Neue Projekte

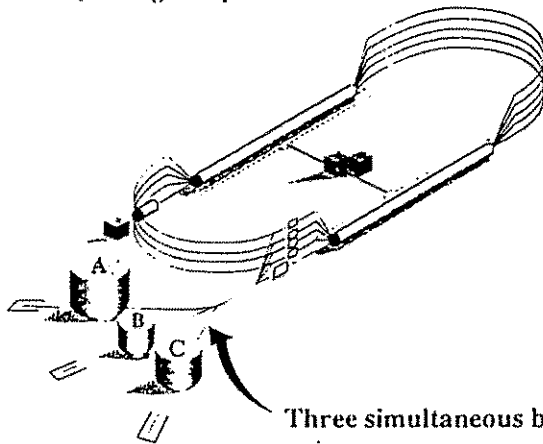
(*Koordinator: H. Koch*)

1. **V. Burkert** (CEBAF)  
Geplante Experimente bei CEBAF
2. **H. Marsiske** (SLAC)  
PEP-II: The SLAC - based asymmetric B-Factory
3. **T. Lohse** (Berlin)  
B-Physics at HERA-B and LHC
4. **U. von Hagel** (Karlsruhe)  
Das DAPHNE-Projekt

### SCIENTIFIC MISSION

Investigate strongly interacting matter at the quark-gluon level.

- Nature of quark and gluon confinement
- Quark-gluon picture of the nucleus



MACHINE CHARACTERISTICS	
Energy	5.4 GeV
Current	200 μA
Duty Factor	100%
Emittance	$6 \cdot 2 \cdot 10^{-6}$ mrad
Energy Spread	$\frac{9.76}{11} \cdot 2.5 \cdot 10^{-5}$

PHYSICS START 3Q FY94

Three simultaneous beams into three experimental areas

- Independent energy and intensity
- Major equipment components procured in all halls

nsf.gov/accelerators/cebafe/fy94

### GEPLANTE EXPERIMENTE BEI CEBAF

Volker D. Burkert

- Der Beschleuniger,
- Die experimentelle Instrumentierung,
- Das physikalische Programm
  - Experimente an Nucleonen
  - Experimente an leichten Kernen
- Zusammenfassung

Arbeitstreffen "Kern- und Teilchenphysik 1994", Pima, Oktober 4 - 7, 1994

Totals for PACs 4-8

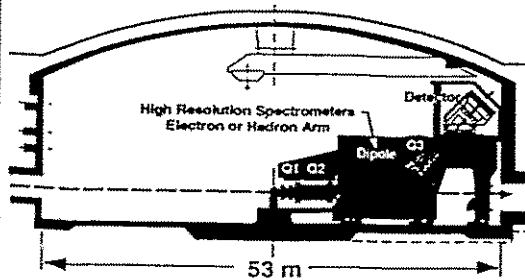
	Experiments Recommended for Approval	Additional Experiments Recommended for Conditional Approval	Total
Experiments	69	10	79
Authors	503	37	540
Institutions	112	5	117
Countries	18		18

Totals of Approved Experiments by Physics Topic for PACs 4-8

Topic	Number	Hall A	Hall B	Hall C
Nucleon and Meson Form Factors and Sum Rules	10	3	3	4
Few Body Nuclear Properties	13	7	3	3
Properties of Nuclei	14	3	8	3
$N^*$ and Meson Properties	21	3	16	2
Strange Quarks	11	2	6	3
Total	69	18	36	15

## SIMULTANEOUS COMPLEMENTARY EXPERIMENTS

**CEBAF**

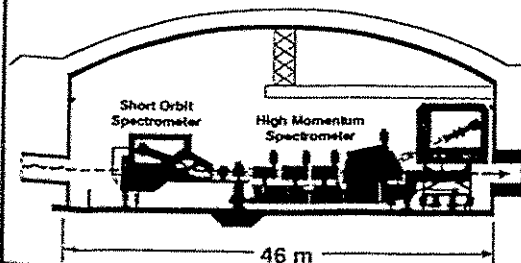
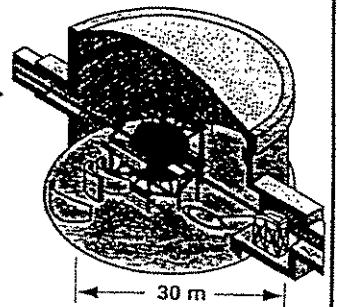


← **HALL A** (Start of physics: 4Q FY95)

**Pair-identical High Resolution Spectrometers (HRS)**

**HALL B** (Start of physics: 4Q FY96) →

**CEBAF's Large Acceptance Spectrometer (GLAS) and Bremsstrahlung Photon Ragger**



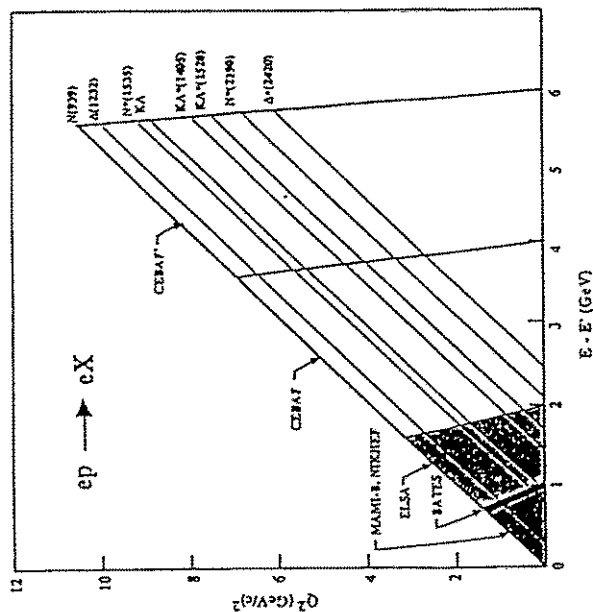
← **HALL C** (Start of physics: 3Q FY94)

**High Momentum Spectrometer (HMS) and Short Orbit Spectrometer (SOS)**



## Die Struktur Leichter Baryonen

$Q^2 - \nu$  Kinematik für  $ep \rightarrow e'X$



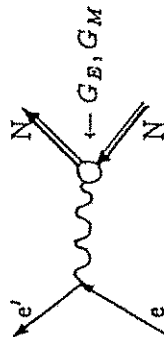
- Elastische Formfaktoren
- Anregung von Baryonen mit leichten Quarks (u, d)
- Erzeugung leichter Hyperonen
- Grosser  $Q^2$  Bereich erlaubt Untersuchungen von Strukturen mit  $r < 0.1$  fm

## Ziel des Experimentellen Programmes bei CERN

- Beiträge für ein quantitativen Verständnis der hadronischen Struktur der Materie im Bereich mittlerer und kurzer Abstände.
- QCD ist die korrekte Theorie der starken Wechselwirkung: Wie sind die leichten Hadronen aus Quarks und Gluonen (Glue) aufgebaut?
- Struktur des Nucleons
- Elektromagnetische und schwache Formfaktoren im Grundzustand des Nucleons
- Anregungsspektrum des Nucleons
- Übergangsfaktoren vom Grundzustand in die angeregten Zustände
- Spinstruktur der Nucleonenübergänge
- Grenzen von Modellen die eine "effektive" Beschreibung liefern wie z.B. das Konstituente Quarkmodell, etc.
- Studium von leichten Kernen bei hohen Impulsüberträgen
- Grenzen der Mesonentheorie?
- Wo spielen Effekte der Quarks und Gluonen eine Rolle?

EM Struktur des Nukleons im Grundzustand

- o Ladungs- und Stromverteilung im Nukleon
- Mikroskopische Modelle, QCD SR, QCD Lattice
- Interpretation von Elektron-Kern Streuexperimenten



$$G_E = F_1 - \tau F_2$$

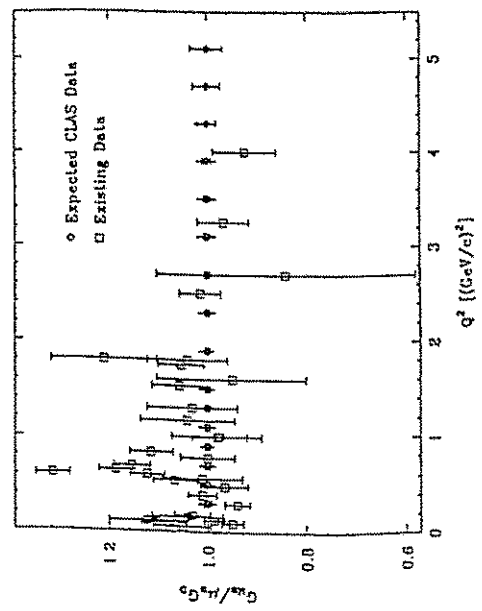
$$G_M = F_1 + F_2$$

$$\tau = Q^2/4M^2$$

$$\frac{d\sigma}{d\Omega} = \left(\frac{d\sigma}{d\Omega}\right)_M \frac{E'}{E} [(G_E^2 + \tau G_M^2) + 2\tau(1 + \tau)G_M^2 \tan^2 \frac{\theta}{2}]$$

Rosenbluth Trennung

- o  $G_{Mn}^2$ : Gemessen mit grossen systematische Fehler
- $ed \rightarrow e'np$  (quasi elastisch) ( $e'$  unter Rückwärtswinkeln)
- $ed \rightarrow enp_s / ep \rightarrow ep$ , und  $ep \rightarrow e\pi^+\eta$



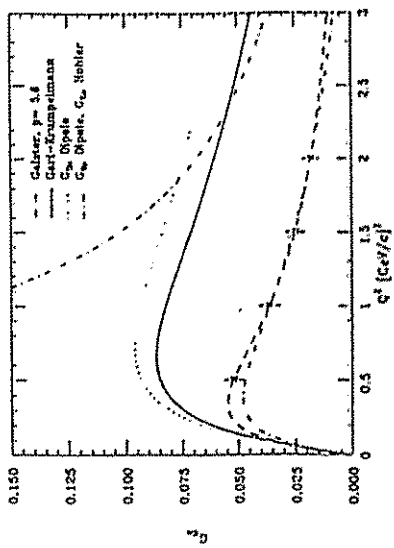
Polarisationsmethode:

- o  $\vec{N}(\vec{e}, e'N)$ ,  $N(\vec{e}, e'\vec{N})$ , (quasi-elastisch)



$$A_{en} = \frac{2\tau \cos \theta v_T + 2\sqrt{2}\tau(1 + \tau) \frac{G_E \sin \theta v_T L}{G_M}}{v_L(1 + \tau) \frac{G_P^2}{G_M^2} + 2\tau v_T}$$

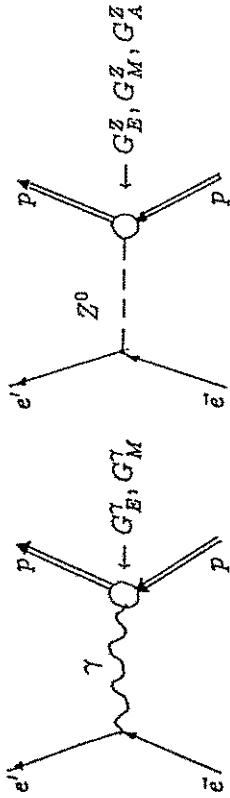
→ In q.e. Kinematik  $A_{eD} \sim G_{En}$



- o  $D(\vec{e}, e'\vec{n})$  HRS/Neutronpolarimeter
- o  $N\vec{D}_3(\vec{e}, e'n)$  HMS/Neutrondetektor
- o  $P(\vec{e}, e'\vec{p}) \rightarrow \delta G_{Ep}/G_{Ep} \approx 0.05$  für  $Q^2 \leq 4.5 GeV^2$ , HRS<sup>2</sup> mit Protonpolarimeter)

### Hidden Strangeness im Proton?

- o Paritätsverletzung in  $\bar{e} + p \rightarrow e + p$  ist empfindlich auf strangeness Vektorströme  $\bar{e}\gamma_\mu s$



$$A_{\bar{e}p} = \frac{G_F Q^2 \epsilon G_E^Z G_M^Z + \tau G_M^Z G_M^Z - \frac{1}{2}(1 - 4 \sin^2 \theta_W) K G_M^Z G_A^Z}{\pi \alpha \sqrt{2} \epsilon (G_E^Z)^2 + \tau (G_M^Z)^2}$$

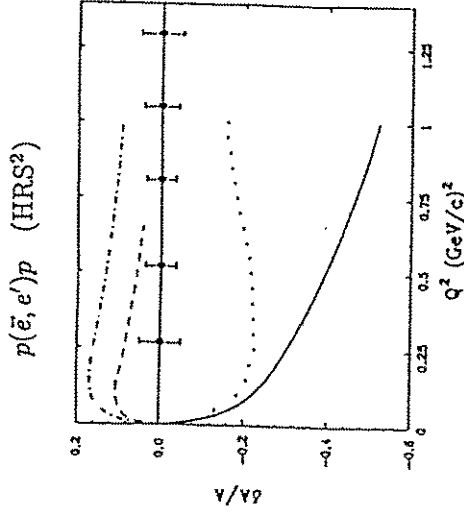
$$G_E^Z = \left(\frac{1}{2} - \sin^2 \theta_W\right) G_{Ep}^Z - \frac{1}{4} (G_{En}^Z + G_E^Z)$$

$$G_M^Z = \left(\frac{1}{2} - \sin^2 \theta_W\right) G_{Mp}^Z - \frac{1}{4} (G_{Mn}^Z + G_M^Z)$$

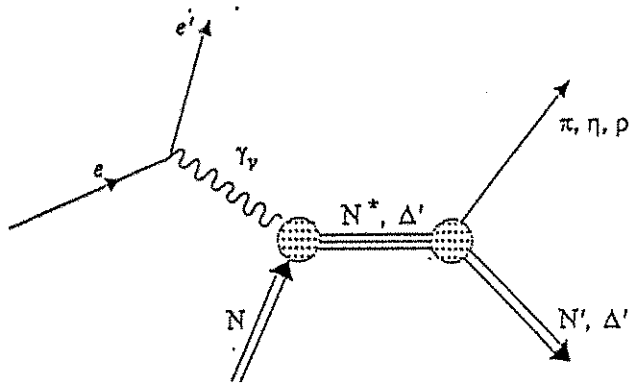
$G_E^Z, G_M^Z$  kann durch Variation der Elektronenkinematik abgetrennt werden.

Bates/MIT:  $p(e, e')p \rightarrow G_M^Z$

CEBAF:  $p(\bar{e}, e')p, p(\bar{e}, p)e', {}^4\text{He}(\bar{e}, e'){}^4\text{He} \rightarrow G_E^Z$

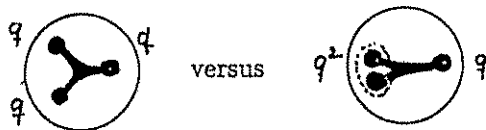


## Elektromagnetische Anregung von Baryonresonanzen



### • QCD Struktur des Nucleons

- Räumliche Struktur des angeregten Zustandes und die Spin-Struktur des Resonanzübergangs
- Symmetrie Eigenschaften der Resonanzanregung: Symmetrisches Quarkmodell versus Quark Cluster Modell



- Rolle von gluonischen Freiheitsgraden in der Nucleonanregung ( $q^3G$ )
- Anteil des Drehimpulses der angeregten Nucleonen der von Gluonen getragen wird?

## N\* EXPERIMENTS AT CEBAF

$ep \rightarrow e\pi\pi^0$ $ep \rightarrow e\eta\pi^+$ $ed \rightarrow e\pi^+\rho^0$	$\Delta(1232)$ , Model independent determinations of $E_{1+}, S_{1+}, M_{1+}$
$\vec{e}p \rightarrow e\pi\pi^0$ $\vec{e}p \rightarrow e\pi\pi^+$ $\vec{e}p \rightarrow e\vec{p}\pi^0$	
$ep \rightarrow e\pi\pi^0$ $ep \rightarrow e\pi\pi^+$ $ed \rightarrow e\pi^+\rho^0$ $\vec{e}p \rightarrow e\pi\pi^0$ $\vec{e}p \rightarrow e\pi\pi^+$	$P_{11}(1440), D_{13}(1520), F_{15}(1680)$ Transition amplitudes in large $Q^2$ range, gluonic excitations
$ep \rightarrow eN\pi\pi$ ( $\Delta\pi, N\rho$ )	$S_{31}(1620), D_{33}(1700), D_{15}(1700)$ Precise tests of the SQT Missing $q^3$ states, $I = 1/2, 3/2$
$ep \rightarrow e\rho\omega$	Missing $q^3$ states, $I = 1/2$
$ep \rightarrow e\pi\eta$	$S_{11}(1535), P_{11}(1710)$ Transition form factors
$\gamma p \rightarrow \eta p$ $\gamma p \rightarrow \eta' p$	$S_{11}(1535), P_{11}(1700)$ Photocoupling amplitudes, gluonic contributions
$\gamma p \rightarrow \rho\pi^+\pi^-$	Missing $q^3$ states, $I = 1/2, 3/2$
$ep \rightarrow e\Delta^{++}\pi^-$ (proposed)	$\Delta(1232), G_A^{N\Delta}(Q^2)$ Axial transition form factor

Elektroproduktion der  $\Delta(1232)$

$\gamma N \rightarrow \Delta(1232) \quad M_{1+}, E_{1+}, S_{1+}$  multipoles contribute.

$\circ \quad SU(6) \otimes O(3): \{56, 0^+\}_{N=0} \rightarrow \{56, 0^+\}_{N=0}$

$$\uparrow\uparrow\uparrow \rightarrow \uparrow\uparrow\uparrow \quad L_{3Q} = 0$$

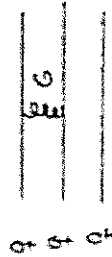
Reiner  $M_{1+}$  Übergang  $\rightarrow E_{1+} = 0, S_{1+} = 0$

$\circ$  Restauration der chiralen Invarianz bei hohen  $Q^2$  fordert:

$$\frac{E_{1+}}{M_{1+}} \rightarrow 1, \frac{A_{3/2}}{A_{1/2}} \rightarrow 0, Q^2 \rightarrow \infty$$

$\circ$  Mehr realistische Modelle:

-  $\Delta(1232)$  ist deformiert aufgrund des 1-gluon Austausch:

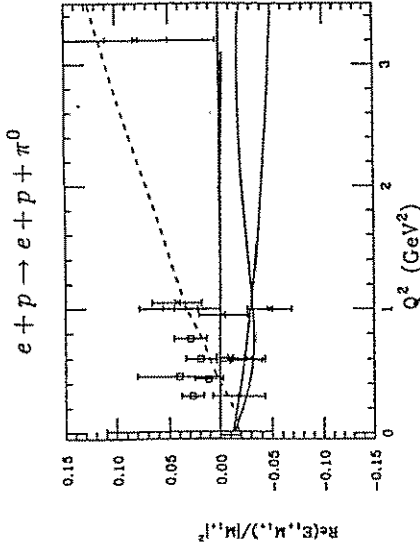


Color magnetische Spin-Spin W.W.

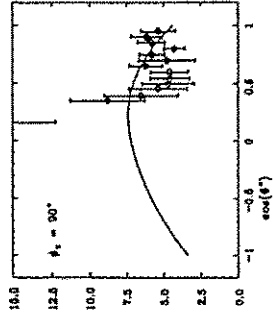
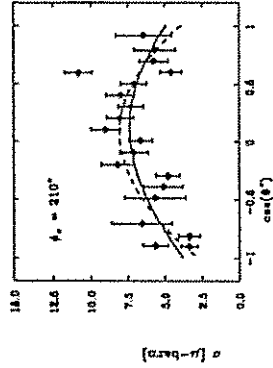
erklärt  $N - \Delta$  Massenaufspaltung

-  $L_{3Q} \approx 2 \rightarrow |E_{1+}/M_{1+}| \leq 0.05$

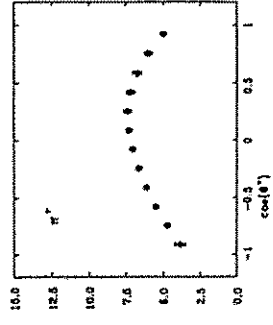
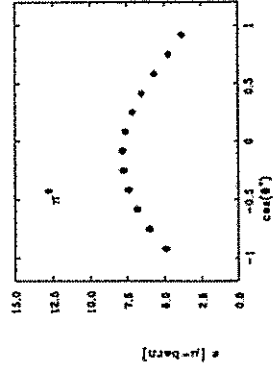
- Lattice QCD:  $E_{1+}/M_{1+} \approx 0.03 \pm 0.08, Q^2 \approx 0$ .



$\pi^0 \quad Q^2 = 1.0 \text{ GeV}^2$



NINA



CLAS  
1000 hrs  
 $10^{34} \text{ cm}^{-2} \text{ s}^{-1}$

2 bins von 1000 im Massenbereich der  $\Delta(1232)$ .

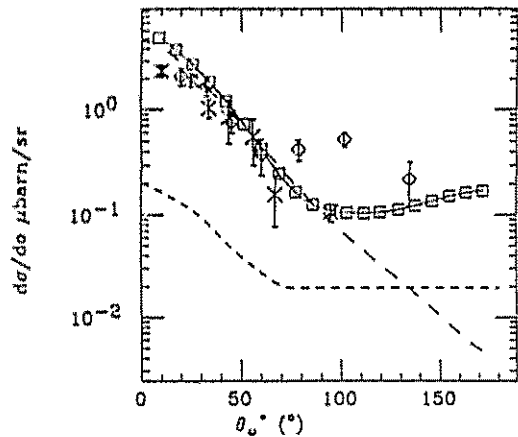
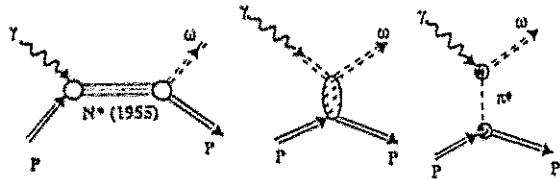
### Suche nach "fehlenden" Quarkmodell Zuständen

- Viele vom QCD motiviertem Quarkmodell vorhergesagten Baryonenzustände wurden in  $\pi N \rightarrow \pi N$  nicht beobachtet. Diese Zustände koppeln möglicherweise nicht an  $\pi N$ , sondern an  $\pi \Delta$ ,  $\rho N$ ,  $\omega N$ .

e.g.

$$\gamma p \rightarrow F_{15}(1955) \rightarrow p \omega \rightarrow p \pi^+ \pi^- \pi^0$$

- Geringe Zerfallsbreite des  $\omega \rightarrow$  Missing Mass Methode.
- Selektiert  $I = 1/2$  Zustände



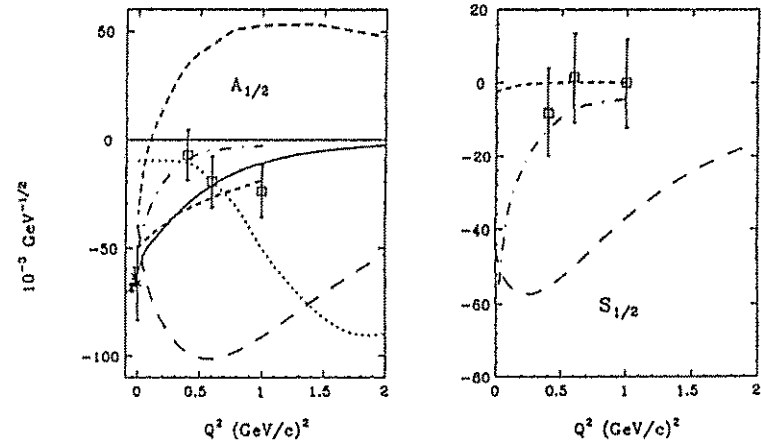
- Messung der  $\omega$  Polarisation erhöht die Sensitivität auf resonante Erzeugung.

### Gluonische Anregung von leichten Baryonen

- QCD erlaubt (wahrscheinlich) die Existenz gluonischer Anregungen der Baryonen.
- Gegenwärtige Vorhersagen bezüglich Anregungsspektrum sind modellabhängig. Bag Modell sowie QCD SR ergeben als leichteste gluonische Baryonen:

$$P_{11}^G, \quad M^G \simeq 1500 \text{ MeV}$$

- Hat die  $P_{11}(1440)$  "Roper" Resonanz eine signifikante gluonische Komponente?
- Die Annahme  $P_{11}(1440) = P_{11}^G$  erlaubt eine verbesserte Beschreibung der Helizitätsamplituden  $A_{1/2}(Q^2)$ ,  $S_{1/2}(Q^2)$  für die Roper:



Sollte  $P_{11}(1440)$  die erste gluonische Anregung des Nukleons sein  $\rightarrow$  weitere Zustände mit  $(I)(J^P) = (\frac{1}{2})(\frac{1}{2})^+, (\frac{3}{2})^+$

Nicht-perturbative Spinstruktur des Nukleons

$$\Gamma_1(Q^2) = \int_0^1 g_1(x, Q^2) dx$$

Für  $Q^2 = 0$  ist die Steigung von  $\Gamma_1$  durch die Gerasimov-Drell-Hearn Summenregel festgelegt:

$$f'(Q^2) = \frac{2M^2}{Q^2} \Gamma_1(Q^2) \longrightarrow -\frac{1}{4} X^2$$

CEBAF Experimente:  $W < 2.2 \text{ GeV}$ ,  $Q^2 = 0.2 - 2 \text{ GeV}^2$ .

$$\bar{e}\bar{\nu} \rightarrow eX, \quad \bar{e}D \rightarrow eX, \quad \bar{e}^3He \rightarrow eX$$

$$\frac{dW}{d\Omega dE'} = \Gamma_T \{ \sigma_T + \sigma_L \pm \sqrt{1 - \epsilon^2} \cos \psi \sigma_T A_1 \pm \sqrt{2\epsilon(1 - \epsilon)} \sin \psi \sigma_T A_2 \}$$

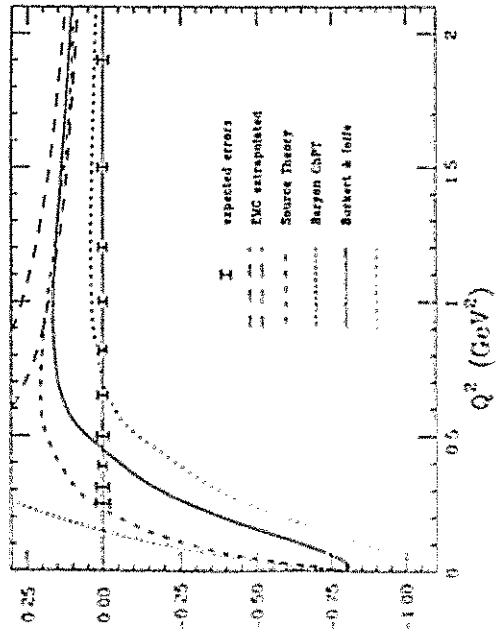
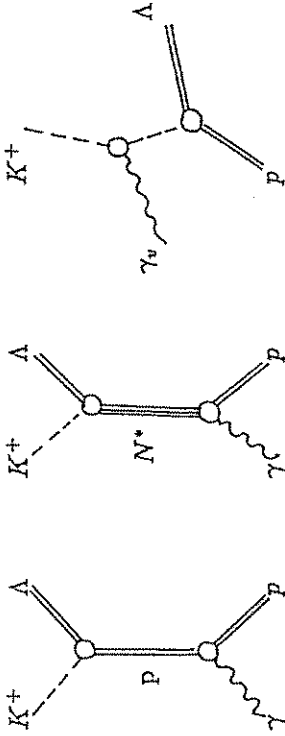


Photo- and Electroproduktion von Hyperonen

$$\gamma_0 p \rightarrow KY, \quad Y = \Lambda, \Sigma, \Lambda^*, \Sigma^*$$



$KYN$  Kopplungsstärken (GLAS)  $K^+$  Formfaktor  $\sigma_L/\sigma_T$  (HMS/SOS)

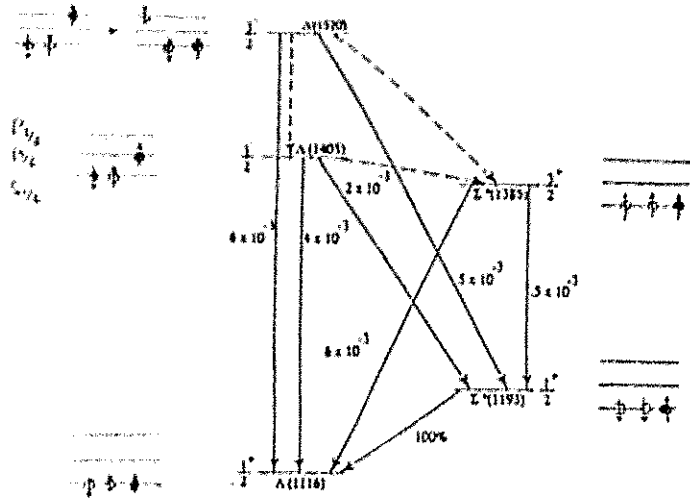
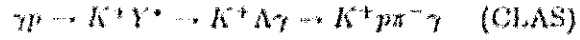
$\Lambda$  Polarisation ist auf den Produktionsmechanismus empfindlich

o Quarkstruktur des  $f^0(975)$ :

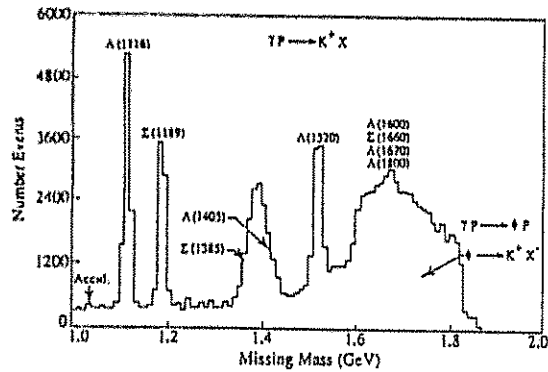
- $q\bar{q}$  - unwahrscheinlich
- $qq\bar{q}\bar{q}$  - exotisch ?
- $(q\bar{q}) - (q\bar{q})$  Molekül ?

CEBAF Experiment:  $ep \rightarrow epK^+K^- \rightarrow 10^4 f^0(975)$  pro Tag.

Strahlungsübergänge von leichten Hyperonen.

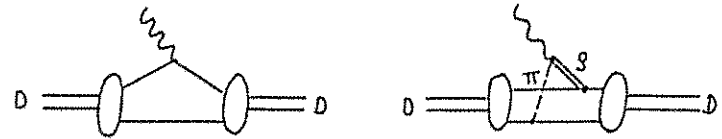
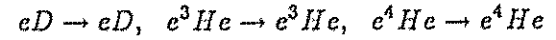


Test der Wellenfunktion leichter Hyperonen



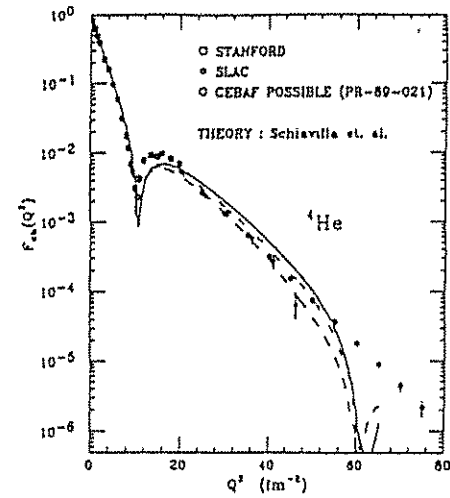
Elektromagnetische Formfaktoren von leichten Kernen

- o Evidenz für nicht-nukleonische Freiheitsgrade in Kernen (Mesonische Austauschströme) von



- o Erweiterung zu kürzeren Abständen (hohes  $Q^2$ ):

- Kurzreichweitige Korrelationen in NN Wechselwirkung
- Beiträge zu 3-Körperkräften
- Bedeutung der Quark-Gluon Wechselwirkung?

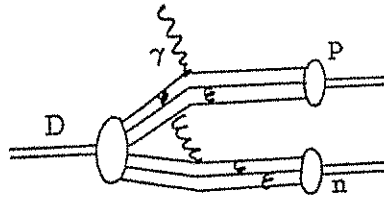




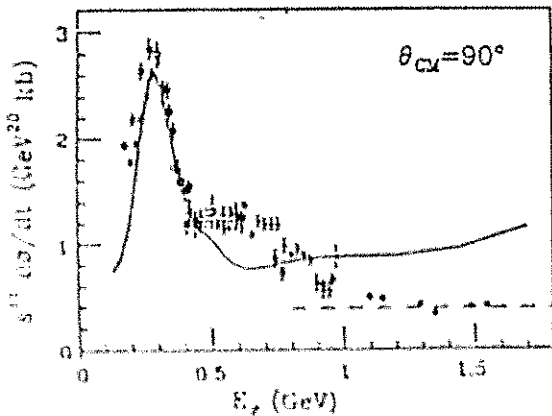
## Photospaltung des Deuterons.

- Die Energieabhängigkeit des  $D(\gamma, p)n$  Wirkungsquerschnitts für  $E_\gamma \geq 1 \text{ GeV}$  folgt der Quark "counting rule" :

$$d\sigma/dt \sim (1/s)^{11}$$

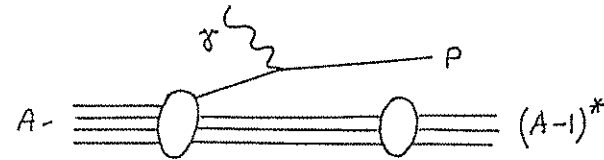


$D(\gamma, p)n$  (SLAC)



- Resultate bei kleineren Winkeln deuten unterschiedliches Verhalten an
- Erweiterung des Energiebereiches bis zu  $4 \text{ GeV}$  (HMS), Winkelverteilung (GLAS)
- Messung der Rückstospolarisation des Protons (HRS)

## Einfach Nukleonen Knockout Prozesse $A(e, e'p)A^*$

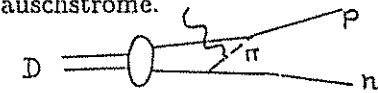


Experimente bei niedrigen Energien  $\rightarrow$  erlauben die Bestimmung von Nukleonen Dichten für Impulse bis zu

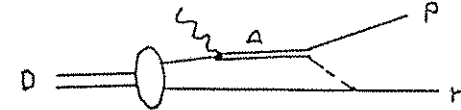
$\sim 600 \text{ MeV}/c$  für  $D, {}^3\text{He}, {}^4\text{He}$

$\sim 300 \text{ MeV}/c$  für schwerere Kerne

- Grenzen der einfachsten Modelle (PWIA)
- $D(e, e'p)n$  nahe der Schwelle  $\rightarrow$  Signaturen für isovektorielle mesonische Austauschströme.

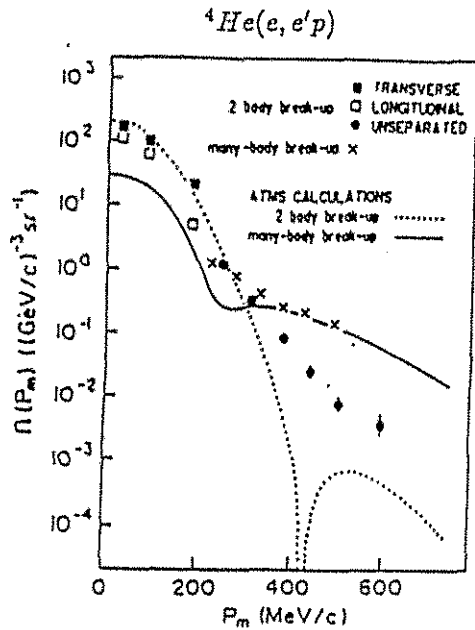


- $D(e, e'p)n$  bei höheren Energien  $\rightarrow$  Bedeutung von  $\Delta(1232)$  Beiträgen



Bei höheren Energien:

- Höhere Impulskomponenten in der Wellenfunktion
- Kurzreichweitige Korrelationen
- Colortransparenz  $\rightarrow$  reduzierte Endzustandswechselwirkung bei hohen Impulsüberträgen



→ Impulse  $\geq 350$  MeV/c treten hauptsächlich in Mehrkörper Aufbruchreaktionen auf.

CEBAF:

HRS<sup>2</sup>: Erweiterung des kinematischen Bereiches für die Trennung von 3 Response Funktionen im Wirkungsquerschnitt für  $Q^2 \leq 1$  GeV<sup>2</sup> bei Rückstossimpulsen bis 1 GeV/c.

CLAS: Erweiterung zu  $(e, e'NN)$ ,  $(e, e'NN^*)$ ,  $(e, e'\Delta\Delta)$  an verschiedenen Kernen

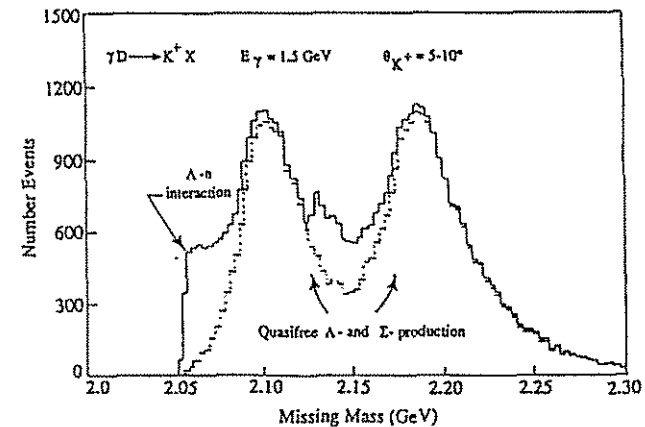
## Photo- and Electroproduktion von Hyperonen an Kernen

### $\Lambda$ , $\Sigma$ Hyperonen

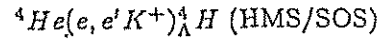
- o wirken im Kern als kontrollierte Verunreinigung deren Verhalten nicht vom Pauli Prinzip eingeschränkt ist
- o leben lange genug um als Sonde für das Kerninnere zu wirken
- o Elektromagnetische Wechselwirkung:
  - erlaubt es Hyperonen im Kerninnern zu erzeugen
  - besetzt Zustände mit unnatürlicher Parität wenn man von einem  $0^+$  Kern ausgeht

Quasi-freie  $K\Lambda$  Erzeugung (verschiedenene Kerne) mit CLAS:

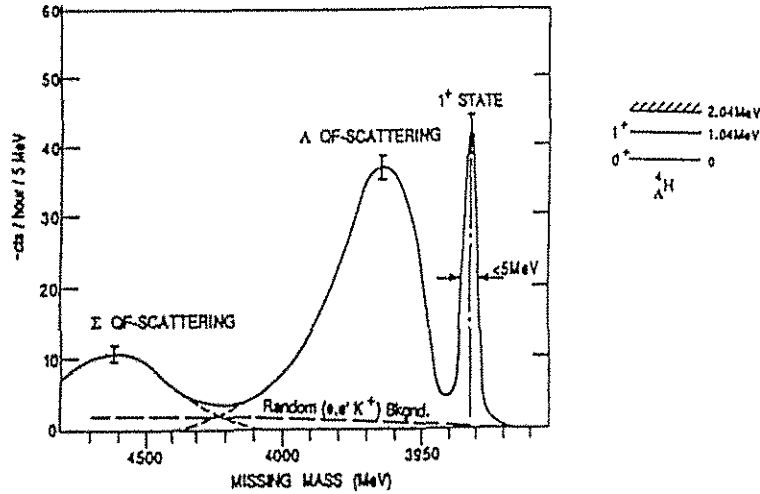
- o  $\gamma d \rightarrow K^+(\Lambda n)$ ,  $K^+(\Sigma n) \rightarrow$  Endzustandswechselwirkung
- o Interferenzstruktur aufgrund  $\Lambda N \rightarrow \Sigma N$  (cusp).
- o  $S = -1$  Dibaryonen  $D_0$  and  $D_1$ , nahe  $\Sigma$  cusp



Der leichteste stabile Hyperkern kann erzeugt werden:



### Ausblick



- o Die elektromagnetische Wechselwirkung ist ein ausgezeichnetes Mittel zum Studium der Struktur von Baryonen und leichten Kernen.
- o Der CEBAF Beschleuniger und das experimentelle Equipment ermöglichen es diese Strukturen mit bislang nicht möglicher Genauigkeit und in einem grossen kinematischen Bereich zu untersuchen.
- o Bereits das anfängliche experimentelle Programm sollte Antworten auf Fragen bezüglich der Manifestierung der starken Wechselwirkung im Bereich des Confinement sowie im Übergangsbereich zur tief inelastischen Streuung geben.
- o Vom Studium leichter Kerne lässt sich das Verhalten der Kernwellenfunktion bei kurzen Abständen untersuchen, in einem Bereich wo Quarks und Gluonen möglicherweise eine wichtige Rolle spielen.

Vorschlag für ein spezialisiertes Spektrometer mit hoher Auflösung für Hyperkernphysik (HNSS).

PHYSICS MOTIVATION

- TWO CRUCIAL BUT LARGELY UNTESTED AREAS IN THE STANDARD MODEL:
  - ORIGIN OF MASS (HIGGS)
  - " " - CP VIOLATION (CKM)
- SM CAN ACCOMMODATE CP VIA COMPLEX PHASE IN CKM, BUT IS THIS REALLY THE ORIGIN OF CP, OR E.G. SUPERWEAK
- CP SO FAR ONLY OBSERVED IN K SYSTEM:
  - CP IN MIXING  $|ε| = (2.258 ± 0.018) 10^{-3}$
  - CP IN DECAY ("DIRECT CP") STILL NOT ESTABLISHED

BOTH RESULTS CONSISTENT WITH SM, BUT NOT A CONCLUSIVE TEST BECAUSE OF LARGE HADRONIC UNCERTAINTIES IN THEORY AND LARGE EXP. UNCERTAINTIES IN ε'/ε

PEP-II: THE SLAC-BASED ASYMMETRIC B FACTORY

HELMUT MARSISKE  
Stanford Linear Accelerator Center

Presented at  
Arbeitstreffen Kern- und Teilchenphysik 1994

- 1) PHYSICS
- 2) PEP-II MACHINE
- 3) BABAR DETECTOR

- IF CKM PHASE RESPONSIBLE FOR CP IN K DECAY  
 → PREDICT LARGE CP EFFECTS -  $O(10^{-1})$  -  
 IN B DECAY (ALMOST NONE IN D DECAY)

- B SYSTEM ALLOWS COMPREHENSIVE STUDY OF CP BECAUSE OF RICH B DECAY SPECTRUM
  - ESTABLISH ORIGIN OF CP WITHIN SM
  - OR
  - ESTABLISH NEED TO GO BEYOND SM AND POINT DIRECTION WHERE TO GO

⇒ 1) FIND CP IN B SYSTEM

2) PROOF/DISPROOF UNDERLYING SM FRAMEWORK (CKM PICTURE) ;

DISTINGUISH BETWEEN COMPETING MODELS THROUGH A BROAD PROGRAM OF MEASUREMENTS

- CABIBBO-KOBAYASHI-MASKAWA (CKM) MATRIX
  - UNITARY 3x3 MATRIX DESCRIBING MIXING BETWEEN MASS AND WEAK EIGENSTATES

$$\begin{pmatrix} V_{ud} & V_{us} & V_{ub} \\ V_{cd} & V_{cs} & V_{cb} \\ V_{td} & V_{ts} & V_{tb} \end{pmatrix}$$

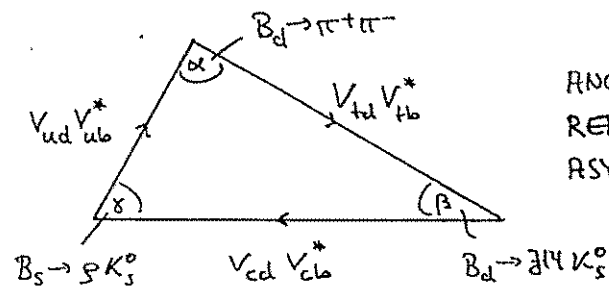
CP IN SM  
 ↓

- PARAMETRIZED BY 3 ANGLES, 1 PHASE

- UNITARITY CONDITION

$$V_{ud} V_{ub}^* + V_{cd} V_{cb}^* + V_{td} V_{tb}^* = 0$$

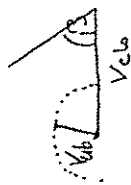
CAN BE REPRESENTED IN THE COMPLEX PLANE BY THE SO-CALLED UNITARITY TRIANGLE (UT)



ANGLES  $\alpha, \beta, \gamma$  RELATED TO CP ASYMMETRIES

● GOAL IS TO MAKE ENOUGH MEASUREMENTS TO OVERCONSTRAIN THE  $\text{UT}$

i.e.,  $\geq 2$  SIDES &  $\geq 2$  ANGLES



- INCONSISTENCIES  $\rightarrow$  SAT

-  $\exists$  ALREADY SOME CONSTRAINTS FROM

$V_{ub}/V_{cb}$ ,  $B^0-\bar{B}^0$  MIXING,  $\epsilon$

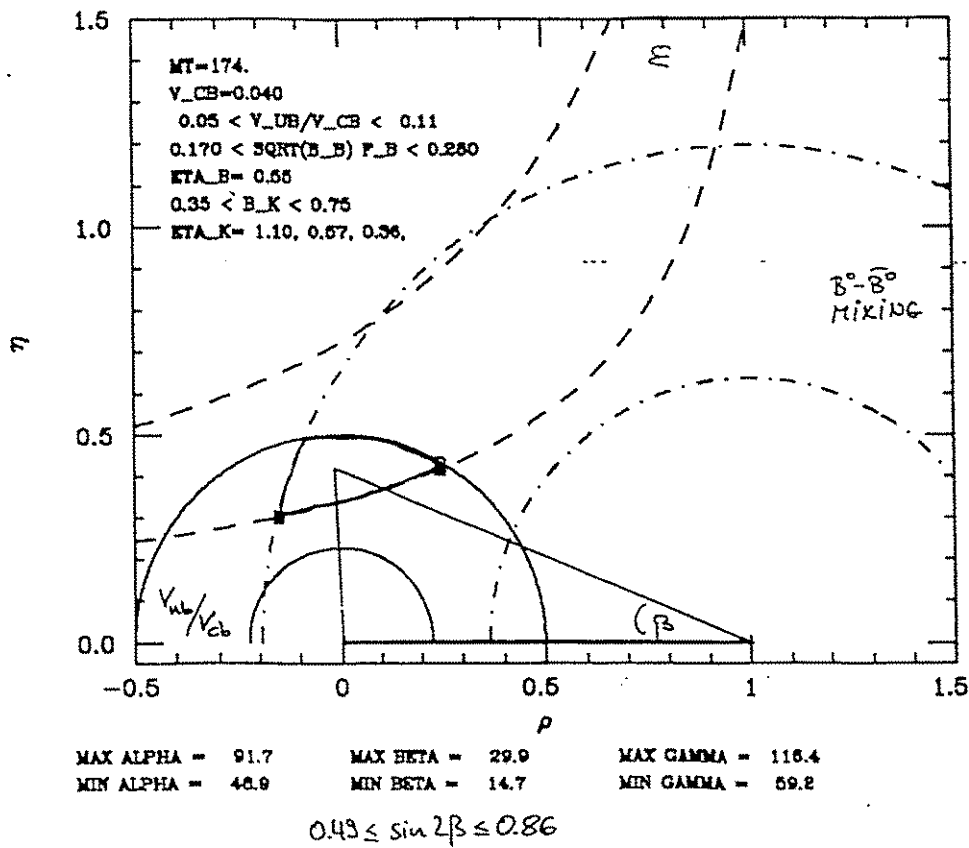
● NON-ZERO ANGLES IN  $\text{UT}$  SIGNAL  $\alpha_{CP}$ ; CAN BE MEASURED THROUGH ASYMMETRIES  $a_{CP}$

- IN CASE OF  $B$  DECAYS TO  $CP$  EIGENSTATES AND ONE AMPLITUDE DOMINATING THE DECAY:

DIRECT RELATION  $\phi_C \rightarrow a_{CP}$  WITH MINIMAL THEORETICAL UNCERTAINTIES

● ASYMMETRIES MEASURED IN DIFFERENT REACTIONS CAN MEASURE THE SAME  $\text{UT}$  ANGLE

$\rightarrow$  CONSISTENCY CHECK + INCREASED SENSITIVITY IF INCONSISTENT,  $\exists$  CLEAR PREDICTIONS WHICH ASPECT OF SM IS FAILING



TYPES OF CP

1.) CP IN MIXING :  $\Gamma(B^0 \rightarrow \bar{B}^0) \neq \Gamma(\bar{B}^0 \rightarrow B^0)$   
 RESULTS FROM MASS EIGENSTATES BEING DIFFERENT FROM WEAK EIGENSTATES

FOR EXAMPLE, IN SEMILEPTONIC B DECAY

$$e^+ e^- \rightarrow B^0 \bar{B}^0, \quad B^0 \rightarrow \ell^+ \nu_\ell \times$$

$$\bar{B}^0 \rightarrow \ell^- \bar{\nu}_\ell \times$$

LOOK FOR ASYMMETRY

$$a_{CP}^{sl} = \frac{N(\ell^+ \ell^+) - N(\ell^- \ell^-)}{N(\ell^+ \ell^+) + N(\ell^- \ell^-)}$$

EXPECTED TO BE  $10^{-3}$  ( $10^{-4}$ ) FOR  $B_d$  ( $B_s$ )  $\rightarrow$  TOO SMALL

2.) CP IN DECAY :  $\Gamma(B \rightarrow f) \neq \Gamma(\bar{B} \rightarrow \bar{f})$

FOR EXAMPLE, IN CHARGED B DECAY

$$a_{CP}^{direct} = \frac{N(B^+ \rightarrow f) - N(B^- \rightarrow \bar{f})}{N(B^+ \rightarrow f) + N(B^- \rightarrow \bar{f})}$$

WHERE  $f$  TAGS FLAVOR OF  $B$ ,

LIKE  $B^- \rightarrow K^0 \pi^0$   
 $\pi^+ K^0$

NEED AT LEAST TWO INTERFERING AMPLITUDES WITH DIFFERENT PHASES, e.g., TREE + PENGUIN

$$A = A_1 e^{i\phi_1} e^{i\delta_1} + A_2 e^{i\phi_2} e^{i\delta_2} \quad A_i: \text{REAL}$$

$$\bar{A} = A_1 e^{-i\phi_1} e^{i\delta_1} + A_2 e^{-i\phi_2} e^{i\delta_2} \quad \phi_i: \text{WEAK PHASE}$$

$$\delta_i: \text{STRONG} \dots$$

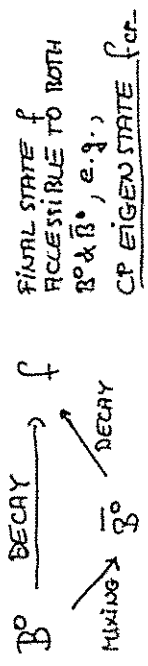
$$\rightarrow a_{CP}^{direct} \sim \sin(\phi_1 - \phi_2) \sin(\delta_1 - \delta_2)$$

FOR  $a_{CP} \neq 0$ , BOTH  $\Delta\phi$  &  $\Delta\delta \neq 0$

$\Rightarrow$  WEAK PHASE CAN'T BE EXTRACTED BECAUSE STRONG PHASE UNKNOWN

$\Rightarrow$  UNAMBIGUOUS OBSERVATION OF DIRECT CP BUT UNKNOWN RELATION TO SM PARAMETERS

3.) CP IN THE INTERFERENCE OF MIXING & DECAY



$\bullet$  TWO INTERFERING AMPLITUDES ARE MIXING & DECAY  $\rightarrow$  BOTH DECAY PATHS HAVE OPPOSITE WEAK PHASE AND SAME STRONG PHASE, BUT WEAK PHASE FROM MIXING AMPLITUDE TAKES THAT ROLE  $\Rightarrow$  NO HADRONIC UNCERTAINTY; THEORETICALLY LEARN CONNECTION TO SM PARAMETERS!

$$a_{CP} = \frac{N(B^0 \rightarrow f_{CP}) - N(\bar{B}^0 \rightarrow f_{CP})}{N(B^0 \rightarrow f_{CP}) + N(\bar{B}^0 \rightarrow f_{CP})}$$

NOTE: NEED TO TAG FLAVOR OF  $B^0$  SINCE  $f_{CP}$  DOESN'T TELL ASYMMETRY VANISHES WITHOUT FLAVOR TAGGING

BEST PLACE FOR A COMPREHENSIVE MEASUREMENT PROGRAM IS AN  $e^+e^-$  COLLIDER RUNNING AT THE  $Y(4S)$  RESONANCE

• LARGE  $B\bar{B}$  CROSS SECTION  
i.e.,  $\sqrt{s} = 10.58 \text{ GeV}$

$\sigma(e^+e^- \rightarrow Y(4S) \rightarrow B\bar{B}) = 4 \text{ nb}$

• EXCELLENT SIGNAL: NOISE

$\sigma(e^+e^- \rightarrow \text{hadrons}) = 2.6 \text{ nb}$  @  $\sqrt{s} = 10.58 \text{ GeV}$

•  $Y(4S)$  DECAYS EXCLUSIVELY INTO  $B\bar{B}$

→ NO EXTRA FRAGMENTATION PARTICLES

→  $B$ 's MONOENERGETIC IN  $Y(4S)$  REST FRAME

⇒ EXCELLENT NON-B BACKGROUND REJECTION  
CLEAN & EFFICIENT B FLAVOR TAGGING

• MANY RECONSTRUCTABLE B DECAY MODES DUE TO THE CLEAN  $e^+e^-$  ENVIRONMENT

⇒ COMPREHENSIVE STUDY OF THE PHENOMENON OF  $CP$ , WITHIN AND POSSIBLY BEYOND THE SM

•  $CP$  ASYMMETRIES EXPECTED TO BE LARGE ( $\sim 10^{-1}$ ), BUT  $CP$  RELEVANT B DECAY BR'S SMALL ( $\leq 10^{-3}$ )

→ NEED IN EXCESS OF  $10^7$  NEUTRAL  $B$ 's

→ NEED HIGH-LUMINOSITY  $e^+e^-$  COLLIDER

INITIAL GOAL IS  $30 \text{ fb}^{-1} / \text{year}$

→ REQUIRE  $3 \cdot 10^{33} \text{ cm}^{-2} \text{ s}^{-1}$  ASSUMING SNOWMASS YEAR OF  $10^7 \text{ s}$

⇒  $3 \cdot 10^7 \text{ } B\bar{B} \text{ EVENTS / year}$

⇒  $B, \tau$ /CHARM FACTORY

QUANTUM MECHANICAL PECULIARITY ON THE  $Y(4S)$ : BECAUSE OF  $C(Y(4S)) = -1 = P(Y(4S))$  AND

BOSE-EINSTEIN STATISTICS,  $B^0$  &  $\bar{B}^0$  ARE PRODUCED

IN A COHERENT (ANTISYMMETRIC) STATE  $\frac{1}{\sqrt{2}}(B^0\bar{B}^0 - \bar{B}^0B^0)$

REMAIN IN THIS STATE UNTIL SUCH TIME AS ONE OF THEM DECAYS

IF AT TIME  $t_{\text{tag}}$  ONE B DECAYS TO A FINAL STATE  $f_{\text{tag}}$

THAT TAGS ITS FLAVOR, THEN THE OTHER B IS

PROJECTED INTO THE ORTHOGONAL STATE AND

ITS FLAVOR AT  $t_{\text{tag}}$  IS UNAMBIGUOUSLY DETERMINED

IT WILL UNDERGO  $B^0 - \bar{B}^0$  OSCILLATIONS UNTIL

IT DECAYS INTO  $f_{CP}$  AT TIME  $t_{CP}$ ; ITS TIME

EVOLUTION DEPENDS ONLY ON  $t_{CP} - t_{\text{tag}} = \Delta t$

$\Gamma(B^0\bar{B}^0 \rightarrow f_{CP} f_{\text{tag}}) \sim e^{-\Gamma|\Delta t|} [1 \pm \sin 2\phi \sin(\Delta m \Delta t)]$

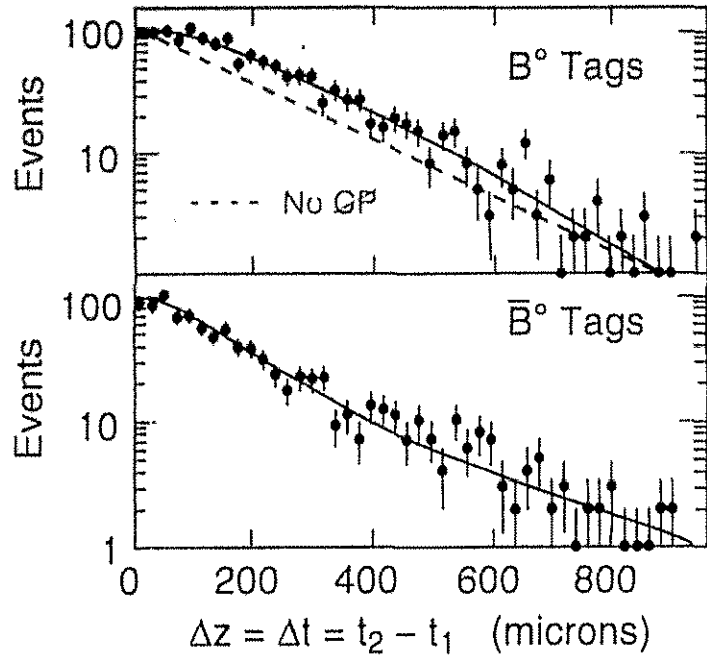
↑  
LT ANGLE

⇒  $CP$  MODULATES THE NORMAL DECAY EXPONENTIALS BY A SINUSOIDAL OSCILLATION WITH

AMPLITUDE  $\sin 2\phi$  AND FREQUENCY  $\sin(\Delta m \Delta t)$



Measurement of  $\sin 2\beta$  Using  $B^0 \rightarrow J/\psi K_S$



Number of Events  $\propto e^{-\Gamma \Delta t} \{1 \pm \sin 2\beta \sin(\Delta m \Delta t)\}$

11-93  
7059A208

HOW TO MEASURE  $\Delta t$  ON THE  $\Upsilon(4S)$

- SOLUTION IS TO BOOST THE  $\Upsilon(4S)$  TO ACHIEVE A SEPARATION OF THE B DECAY VERTICES (ALONG THE BOOST DIRECTION) WHICH CAN BE MEASURED WITH A VERTEX DETECTOR
  - SINCE THE B MOMENTUM IN THE  $\Upsilon(4S)$  REST FRAME IS ONLY  $\sim 300$  MeV, THE SPATIAL SEPARATION  $\Delta z$  TRANSLATES INTO THE REQUIRED DIFFERENCE IN DECAY TIME  $\Delta t$  TO A VERY GOOD APPROXIMATION
- $\Rightarrow$  REQUIRES ENERGY-ASYMMETRIC STORAGE RING

PEP-II : 9 GeV ELECTRONS ON 3.1 GeV POSITRONS

$\rightarrow \beta \gamma (M) = 0.56$

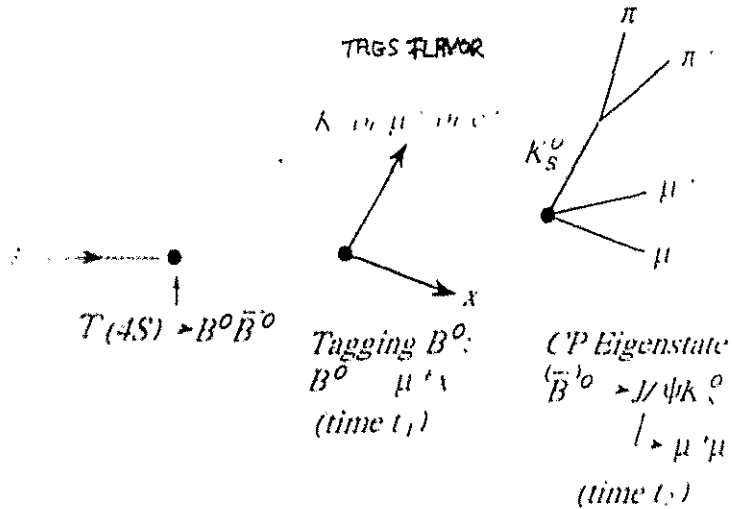
$\Rightarrow \beta \gamma c \tau (B) \approx 250 \mu\text{m}$

COMPARED TO  $30 \mu\text{m}$  FOR B'S AT REST

- EASY TO MEASURE DISTANCE FOR MODERN SILICON VERTEX DETECTORS

- 478 -

Strategy: Use Moving  $T(4S)$ ; Require One B to Decay to CP Eigenstate, the Other is Used as a Tag of  $B^0\bar{B}^0$



One must measure 4 distinct configurations  $n_i(t_1-t_2)$  depending on whether the tag or CP eigenstate decays first:

- $n_2: f_B(t_1) f_{CP}(t_2)$
- $n_1: f_{CP}(t_1) f_B(t_2)$
- $\bar{n}_2: f_{\bar{B}}(t_1) f_{CP}(t_2)$
- $\bar{n}_1: f_{CP}(t_1) f_{\bar{B}}(t_2)$

CP violation produces a  $t_2-t_1$  distribution which is different for  $n_1$  &  $\bar{n}_2$  from that of  $\bar{n}_1$  &  $n_2$ .

$t_2-t_1$  is not Measured – Distance Between the Decay Points of Two  $B^0$ s is Faithful Adjunct

- Requires Sufficient Separation of Decay Vertices
- Achieved by Lorentz Boost from Asymmetric Beams Energies  $\gamma\beta \rightarrow \gamma\beta c\tau = 230 \dots$

THE TIME-EVOLUTION MEASUREMENTS TURN OUT TO BE MUCH RICHER; THE MEASUREMENTS ARE NOT RESTRICTED TO CP SELF-CONJUGATE FINAL STATES. MANY MORE B DECAY MODES ARE USABLE AS LONG AS THE FINAL STATE IS ACCESSIBLE TO BOTH  $B^0$  AND  $\bar{B}^0$

THE MENU LOOKS MORE LIKE:

1) f=SELF-CONJUGATE FINAL STATES

$$B \rightarrow \Psi K_S, B \rightarrow D^+ D^-, B \rightarrow \pi^+ \pi^-, B \rightarrow \rho K_S^0, \dots$$

2) f=STATES WITH CP+ AND CP- ADMIXTURES

$$B \rightarrow \Psi K^*, B \rightarrow D^{*+} D^{*-}, \dots$$

DECAY ANGULAR DISTRIBUTIONS VARY AS FUNCTION OF  $t_1-t_2$ . WITH AN APPROPRIATE CHOICE OF "PROJECTION OPERATORS", ONE CAN EXTRACT THE APPROPRIATE UNITARITY TRIANGLE ANGLES.

3) STATES WITH NO INTRINSIC CP (SELF-CONJUGATE SET OF QUARKS)

$$B \rightarrow \rho\pi, B \rightarrow a_1\pi, \dots$$

THERE ARE ENOUGH CONSTRAINTS TO EXTRACT: ISOSPIRALLY

$\sin 2\alpha$ , STRONG PHASE AND STRONG AMP.

The measurement strategy will evolve as the experiment matures:

- \* Initially  $CP$  asymmetries from a variety of channels will be combined for greatest sensitivity on the angles  $\alpha$  and  $\beta$  of the unitarity triangle
- \* When more data is accumulated, further tests of the underlying assumptions of the Standard Model become possible, as  $CP$  asymmetries in different channels purporting to measure the same unitarity angle are compared

$$\delta(\sin 2\phi) = \frac{1}{(1-2w)d} \left( \sqrt{2\varepsilon_f \varepsilon_{\omega_i} B(B^0 \rightarrow f) f_{B^0} \sigma(b\bar{b}) / Ldt} \right)^{-1}$$

( $w$  = wrong tag fraction;  $d$  = dilution factor)

Mode	Branching Fraction (* = assumed)	Reconstructable Fraction	Reconstruction Efficiency	Tagging Efficiency	$\sigma(\sin 2\phi)$ 30 fb <sup>-1</sup>
$J/\psi K_S^0$ [3]	$5 \times 10^{-4}$	0.12	0.51 [6]	0.45	0.09
$J/\psi K_L^0$ [4]	$5 \times 10^{-4}$	0.12	0.34	0.42	0.12
$J/\psi K^{*0}$ [5]	$12.5 \times 10^{-4}$	0.04	0.30	0.45	0.13
$D^+ D^{*-}$ [3]	$6 \times 10^{-4}$	0.017	0.38	0.45	0.28
$D^{*+} D^{*-}$	$16 \times 10^{-4}$	0.017	0.21	0.45	0.21
combined $\delta(\sin 2\beta)$					0.059
$\pi^+ \pi^-$ [1]	$2 \times 10^{-6}$ *	1.0	0.35	0.45	0.20
$\rho^\pm \pi^\pm$ [7]	$6 \times 10^{-6}$ *	1.0	0.48	0.45	0.12
$a_1^\pm \pi^\pm$ [7]	$6 \times 10^{-6}$ *	0.5	0.42	0.45	0.15
combined $\delta(\sin 2\alpha)$					0.083

SAME YEAR @ 3.1C

ALSO CHECK CHANNELS WITH ZERO ASYMMETRY PREDICTED, e.g.,  $B_u \rightarrow \psi \pi^0, K_S^0 K_S^0$

## Physics Program

The physics program of PEP-II is keyed to, but extends far beyond, the measurements of  $CP$ -violating asymmetries:

- measurement of all three angles of the unitarity triangle, with experimental handles on sources of systematic errors and on theoretical assumptions
- measurements of  $x_d$  and  $x_s$  separately

In addition, the large data set obtained will allow a variety of other kinds of measurements, such as

- precise determination of  $V_{cb}$
- determination of  $V_{ub}$  from exclusive semileptonic decay modes such as  $B_d^0 \rightarrow \pi \nu_l, \rho \nu_l$
- direct measurement of  $f_B$  in  $B \rightarrow \tau \nu_l$  decay,

that require tagged  $B$  samples,

and provide large samples of  $B$  mesons, charmed particles and  $\tau$  leptons for other interesting investigations

- rare  $B$  and  $D$  decay branching ratios
- $D^0 \bar{D}^0$  mixing
- precisely measured lifetimes of  $\Lambda_c, \Xi_c^0, \Xi_c^+, \Omega_c$
- $\tau$  lepton measurements:

- precise lifetime using 3 prong vs 3 prong events
- very precise determination of  $B(\tau \rightarrow e \nu \bar{\nu})$
- rare  $\tau$  decays

Detector design must balance the needs of these different types of physics

## THE PEP-II MACHINE

- PEP-II CONSTITUTES A COST-EFFECTIVE UPGRADE OF THE SLAC SITE TO PRODUCE AN ELECTRON-POSITRON COLLIDER CAPABLE OF PRODUCING VERY LARGE SAMPLES OF B QUARKS.
- MAJOR REWORK -- PEP WILL BE CONVERTED FROM A ONE-RING MACHINE TO A TWO-RING MACHINE
- CONCEPTUAL DESIGN TAKES ADVANTAGE OF 85% OF EXISTING PEP CONVENTIONAL FACILITIES, HARDWARE, INFRA-STRUCTURE ETC

*NO CONVENTIONAL CONSTRUCTION IS NEEDED*

- *NO UPGRADE OF THE UTILITIES IS REQUIRED*

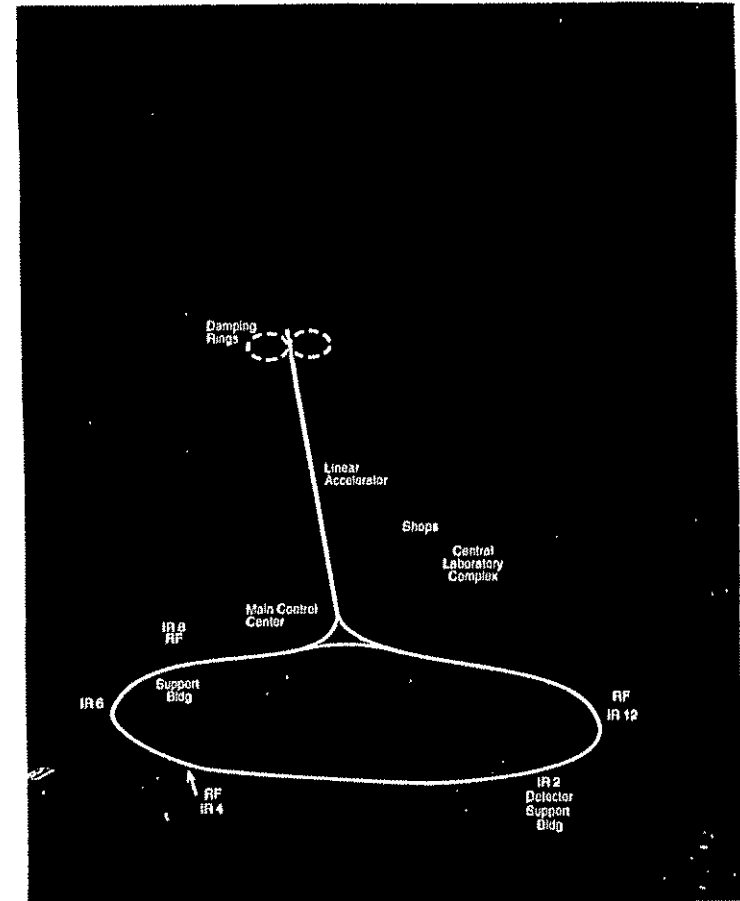
- THE PROJECT WILL BE ACCOMPLISHED AS A COLLABORATION OF SLAC, LBL AND LLNL

- *THE AVAILABILITY OF:*

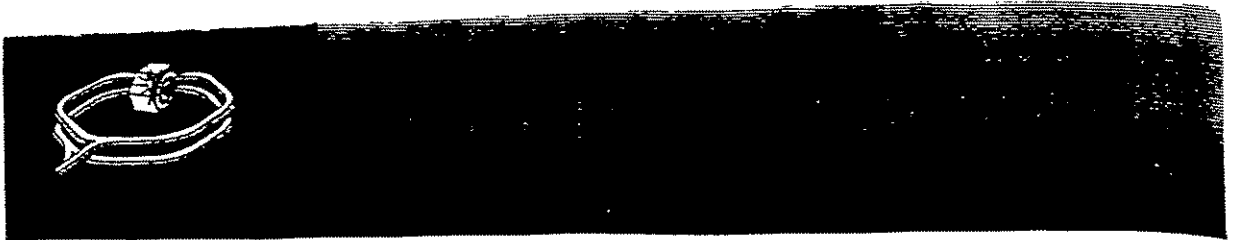
LINAC

PEP STORAGE RING COMPLEX

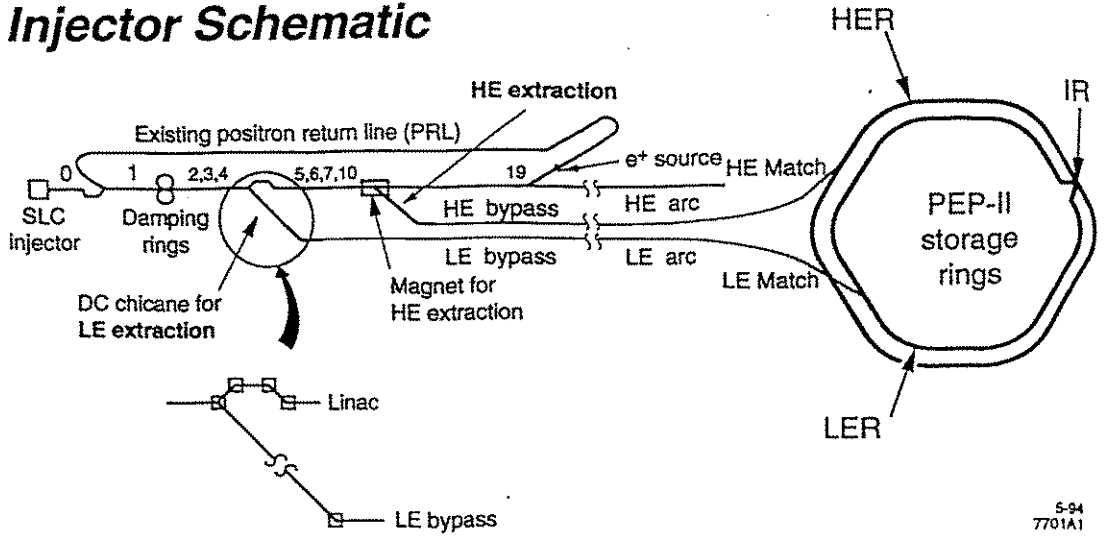
*SAVES CONSIDERABLE MONEY AND SEVERAL YEARS OF CONSTRUCTION TIME*



6476A19

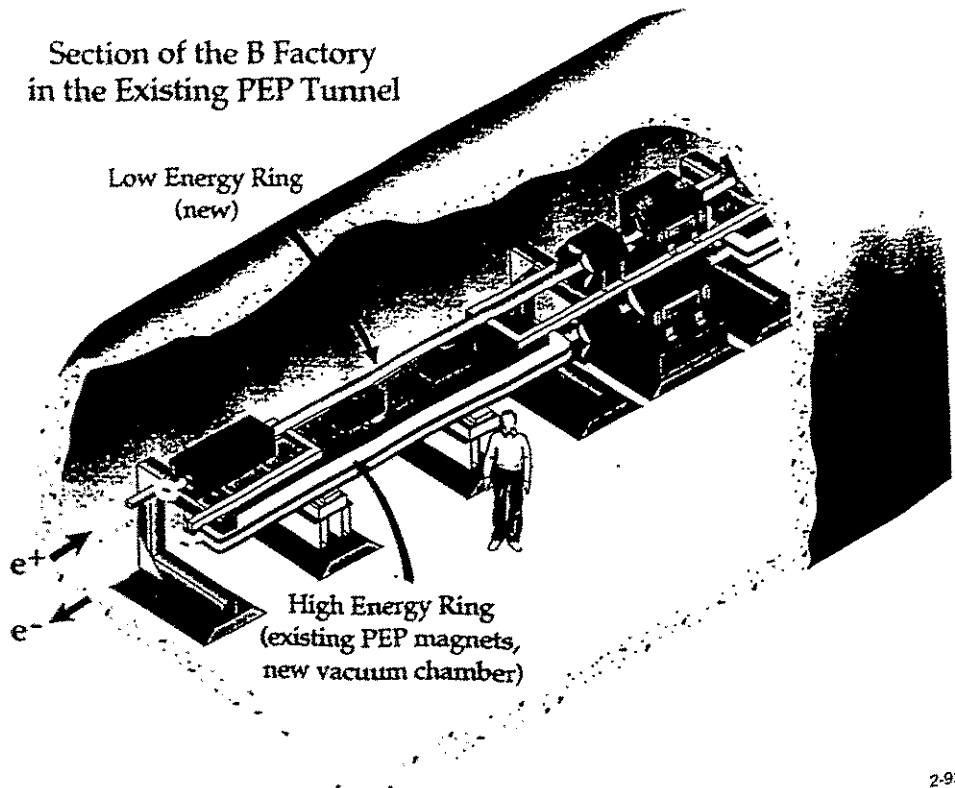


## Injector Schematic

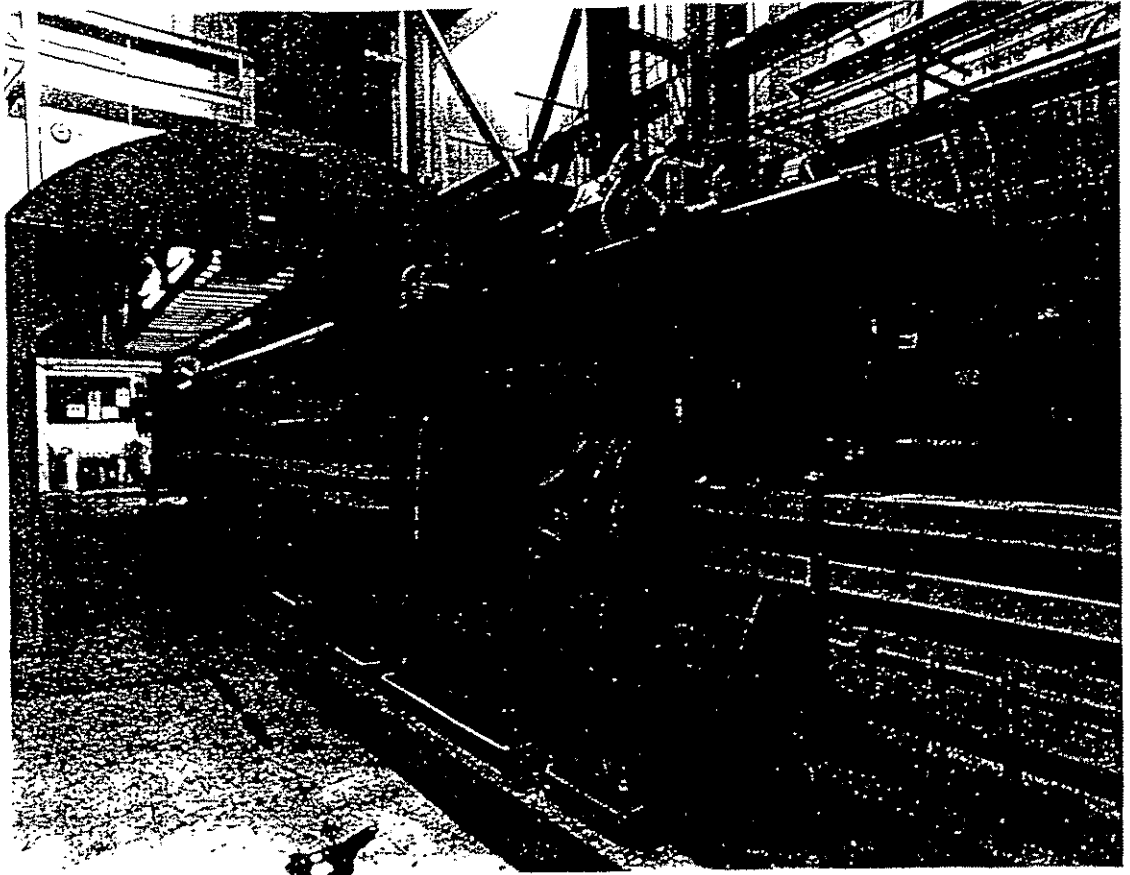


5-94  
7701A1

## Section of the B Factory in the Existing PEP Tunnel



2-92  
6555A43



9-88E02L



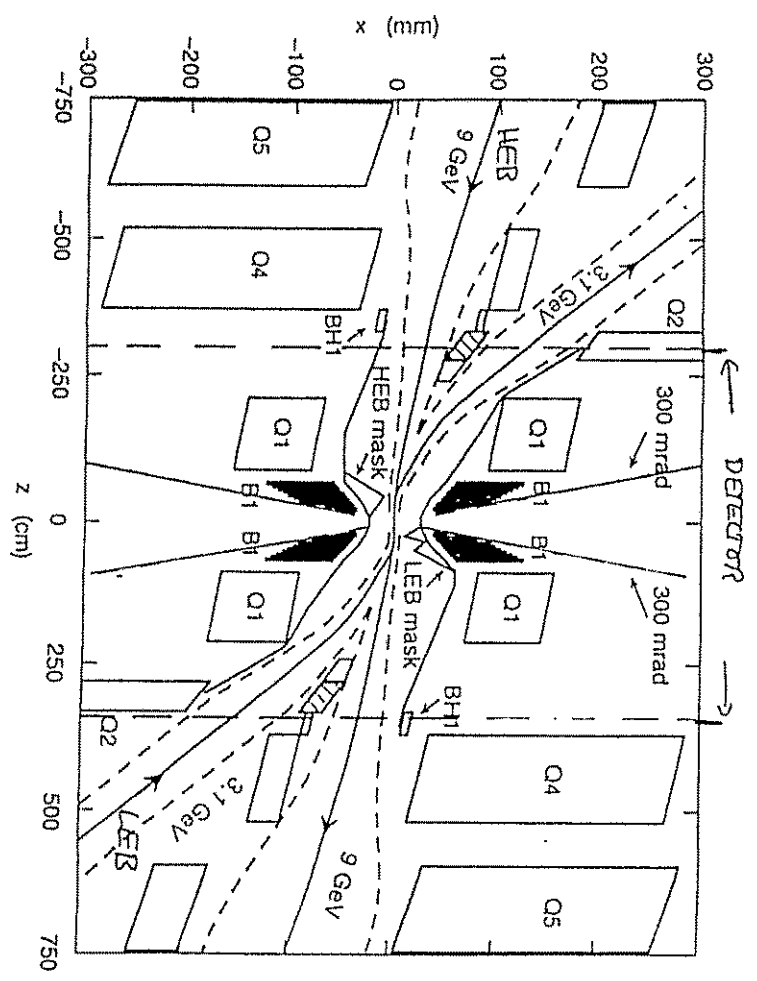
GOAL  $30 \text{ fb}^{-1}/\text{year} \Rightarrow 3 \times 10^{33} \text{ cm}^{-2} \text{s}^{-1} \times 10^7 \text{ s}$

Choices for L Optimization are not Wide Ranging:

$$L = 2.17 \times 10^{34} (1+r) \Delta v \left( \frac{E(\text{GeV}) (I(\text{amps}))^{+,-}}{\beta_y^* (\text{cm})} \right)$$

- $E^{+,-}$  → Given by physics
  - $\beta_y^*$  → Limited to  $\geq 1$  cm by bunch length and practical considerations
  - $\Delta v$  → Beam-beam sets this; Not really a parameter
  - $0 < r < 1$  → r is aspect ratio of beams (flat/round). Practical considerations make round beams unmanageable
- ⇒ Route to HIGH luminosity is HIGH circulating currents
- ↳ Single-beam instabilities force you to large # bunches
  - ↳ Forces you to two separate rings; EVEN WITHOUT ENERGY ASYMMETRY  
Must control Multi-Bunch Instabilities

HERD-ON COLLISION  
MAGNETIC SEPARATION (B1)



Our design is characterized by Single-Bunch parameters ( $I_b, \Delta v, \beta_y^*, \epsilon, \dots$ ) which are very similar to those used in present day machines. The major change is in the total current (# bunches). Machine is more an engineering challenge than accelerator physics ground breaker.

**PEP-II**  
Asymmetric B Factory  
Main Collider Parameters

	<u>LER</u>	<u>HER</u>
Energy, $E$ [GeV]	3.1	9
Circumference, $C$ [m]	2199.32	2199.32
$\epsilon_y/\epsilon_x$ [nm·rad]	2.6/64	1.9/48
$\beta_y/\beta_x$ [cm]	1.5/37.5	2.0/50.0
$\xi_{0x,0y}$	0.03	0.03
$f_{RF}$ [MHz]	476	476
$V_{RF}$ [MV]	5.9	18.5
Bunch length, $\sigma_z$ [cm]	1	1
<u>Number of bunches, <math>k_B</math></u>	<u>1658†</u>	<u>1658†</u>
Bunch separation, $s_B$	1.26	1.26
Damping time, $\tau_E/\tau_x$ [ms]	19.8/40.3	18.4/37.2
<u>Total current, <math>I</math> [A]</u>	<u>2.14</u>	<u>0.99</u>
$U_0$ [MeV/turn]	1.14	3.58
<u>Luminosity, <math>\mathcal{L}</math> [cm<sup>-2</sup>s<sup>-1</sup>]</u>	<u>3 x 10<sup>33</sup></u>	

†allows for gap of ~5% for ion clearing

→ 4 m  
space

**WHAT ARE THE TECHNICAL CHALLENGES OF  
ASYMMETRIC B FACTORY??**

OUR DESIGN PHILOSOPHY HAS BEEN TO ADOPT SINGLE-BUNCH PARAMETERS CONSISTENT WITH COMMON STORAGE-RING PRACTICE. HIGH LUMINOSITY IS OBTAINED BY ADOPTING LARGE BEAM CURRENTS, AND THUS MANY BUNCHES. HENCE:

- NEED A POWERFUL INJECTOR; CURRENTS ARE HIGH AND BEAM LIFETIMES ARE RELATIVELY SHORT
- LARGE SYNCHROTRON RADIATION LOAD  
(→ VACUUM SYSTEM)
- MUST CONTROL MULTIBUNCH INSTABILITIES  
(→ RF SYSTEM, FEEDBACK, VACUUM SYSTEM)
- MUST SEPARATE HETERO-ENERGETIC BEAMS IN THE IR AND CONTROL THE BACKGROUNDS

THE MACHINE IS THUS MUCH MORE OF AN ENGINEERING CHALLENGE THAN AN ACCELERATOR PHYSICS GROUND BREAKER

OUR RESPONSE TO THIS CHALLENGE HAS BEEN THE INVESTMENT IN DETAILED, QUALITY ENGINEERING AND A FOCUSED R&D PROGRAM



- **Vacuum system**

- materials choice made based on LLNL photodesorption tests at NSLS

- OF-Cu (C10100) for beam chamber, Cu-P (C10300) for cooling bar

- design simplified to facilitate Cu extrusion

- RF screen for shielding beam from pumps to be slid into chamber after extrusion

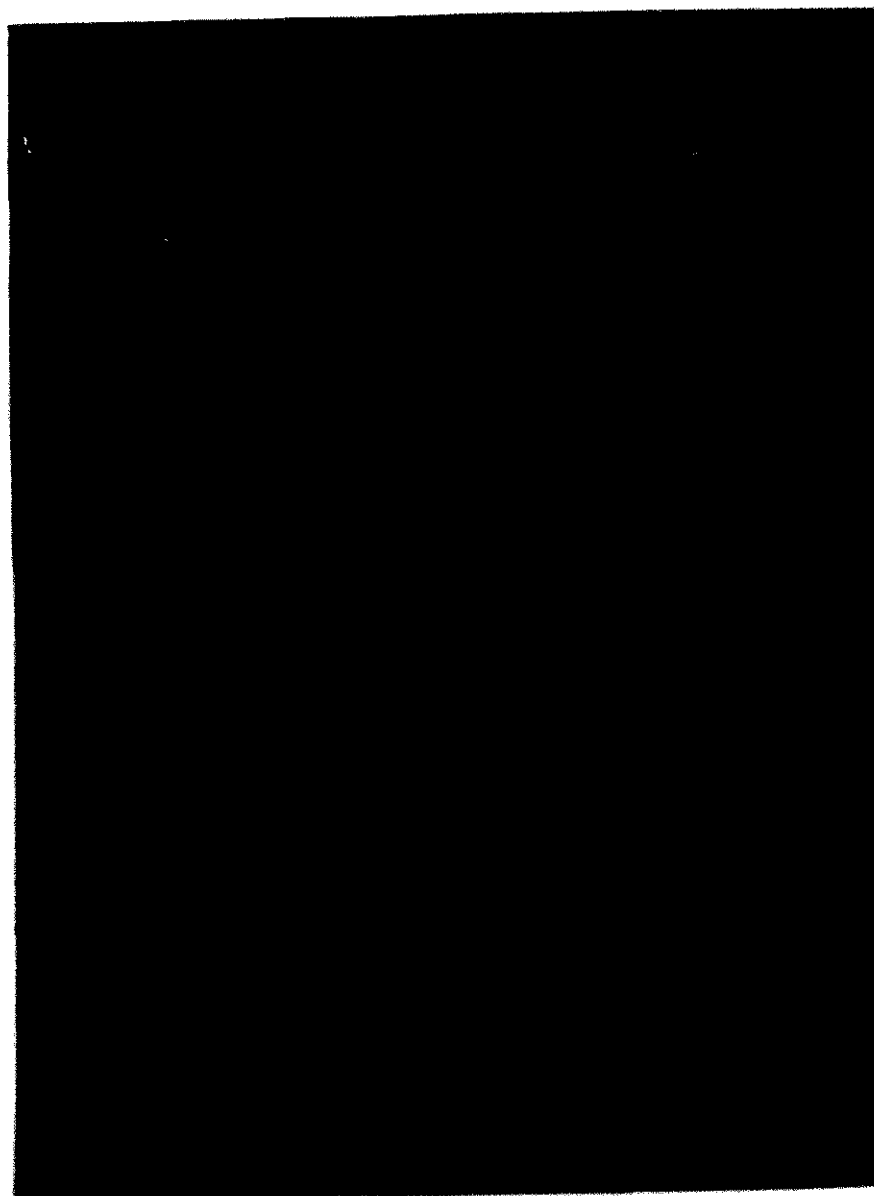
- fabrication optimization

- technique to bend chambers to desired radius without buckling ("stretch forming") demonstrated

- e-beam welding of cooling bar to beam chamber demonstrated

- **First sample extrusions (7-m length) arrived at SLAC in March, 1993**

- photodesorption tests of actual chamber section scheduled at BNL in May, 1993



- **RF system**

- demonstrated adequate HOM damping on low-power prototype cavity
- measured  $Q$  values below design value of 70
  - measurements in agreement with calculated  $Q$  values
- design of high-power test cavity (with CRL) is well along
  - tests planned by end of '93
- RF test stand available now (476 MHz, 500 kW)
- R&D on high-power klystron well along (476 MHz, >1.2 MW)
  - design is power efficient and has head-room for RF feedback purposes
  - reduced group delay for improved feedback performance



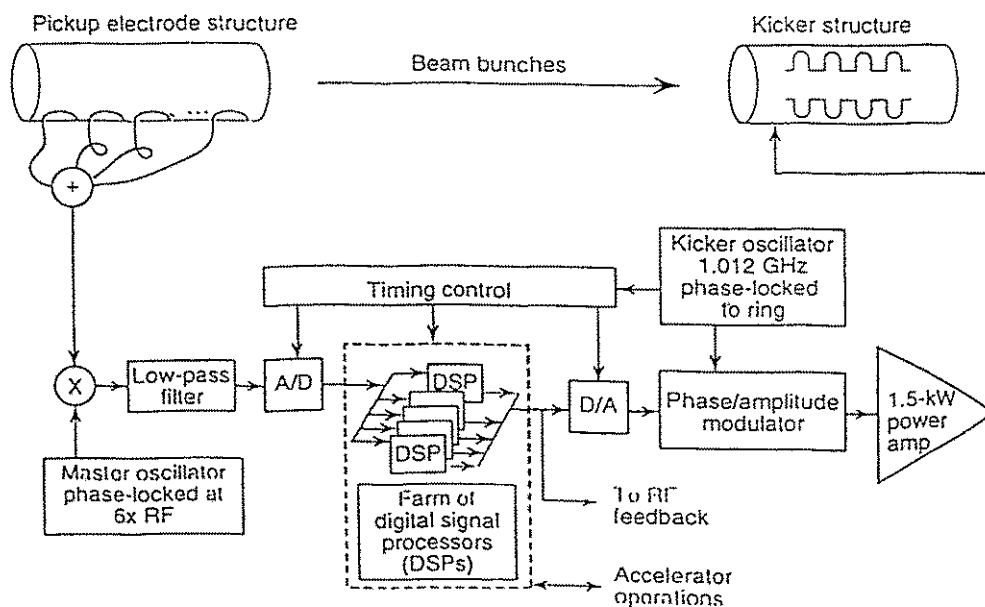
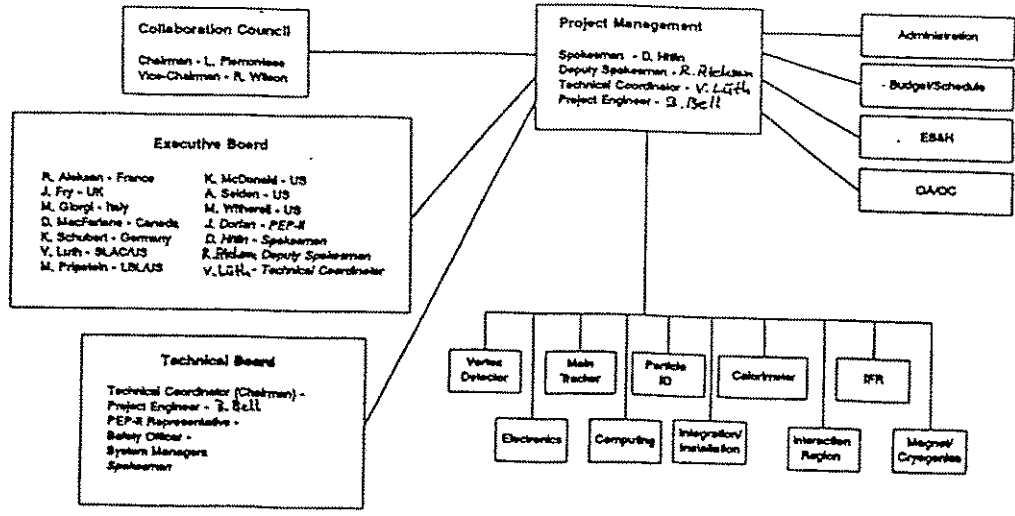


Fig. 5-114. Block diagram of the PEP-II longitudinal feedback system.

- **Feedback system**
  - beam tests performed at SPEAR of simple "1-bunch" version of longitudinal multibunch feedback system
  - system performed perfectly under "combat" conditions
  - equivalent 1-bunch tests have now been repeated at ALS
  - additional tests of enhanced prototype version to be done at ALS this summer
- PEP-II feedback group collaborating with ALS group to deliver actual ALS feedback systems in November '93
- full prototypes of the required PEP-II system
- SUCCESSFUL TEST IN SPRING 1994

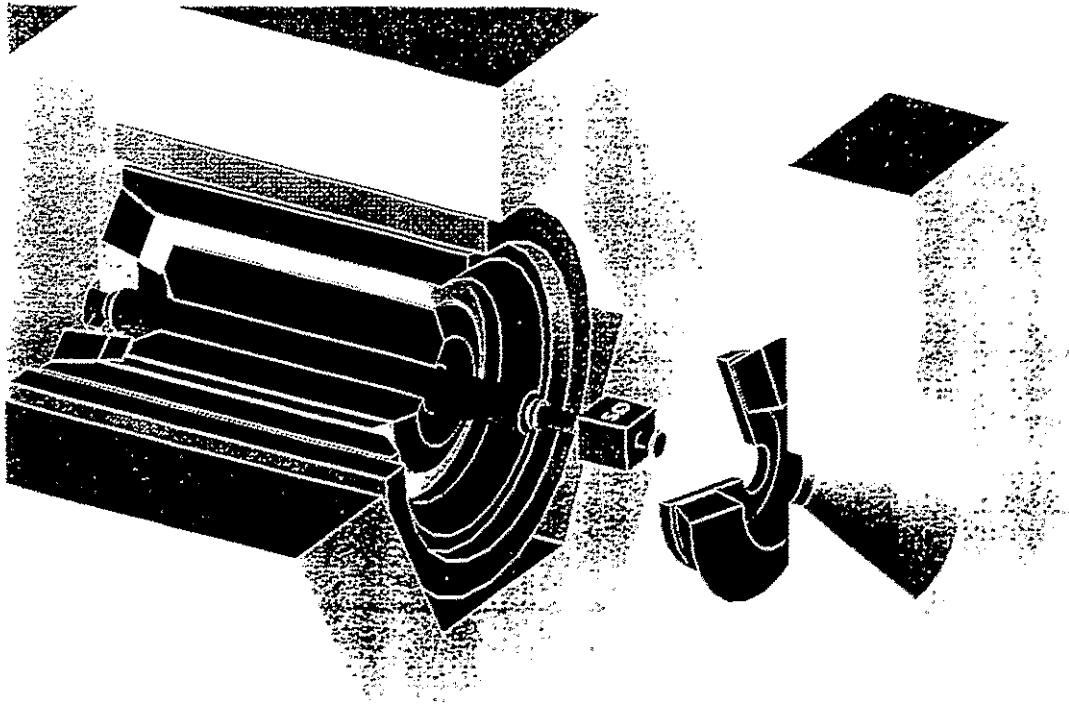
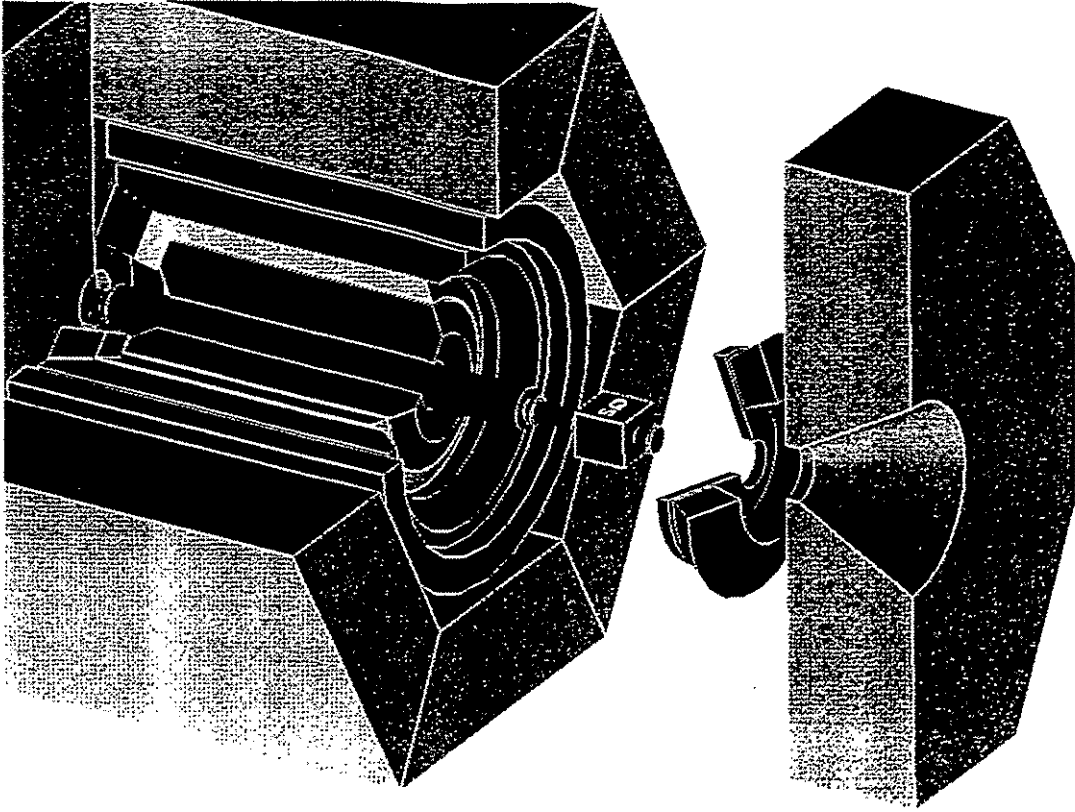


BABAR Collaboration Organization  
(preliminary)



~ 400 COLLABORATORS TOTAL  
 ~ 200 US, ~ 170 EUROPEANS (32 INSTITUTIONS)  
 The BABAR Collaboration LOI, JUNE '84  
 Int. Collab. TDR, Dec. '94

- US [29/206]
  - California Institute of Technology
  - UC, Davis
  - UC, IRPA
  - UC, Irvine
  - UC, Los Angeles
  - UC, Santa Barbara
  - UC, Santa Cruz
  - U of Cincinnati
  - U of Colorado
  - Colorado State U
  - U of Houston
  - U of Iowa
  - Iowa State U
  - LBL
  - LLNL
  - U of Maryland
  - U of Massachusetts
  - MIT
  - U of Mississippi
  - Mount Holyoke College
  - U of Notre Dame
  - ORNL/Y-12
  - U of Pennsylvania
  - Princeton
  - Rutgers
  - SLAC
  - U of Texas at Dallas
  - Vanderbilt
  - U of Wisconsin
- Canada [7/22]
  - U of British Columbia
  - Carleton U and CRPP
  - McGill U
  - U de Montréal
  - TRIUMF
  - U of Victoria
  - York U
- China [4/19]
  - Beijing Glass Research Inst.
  - Inst. of High Energy Physics, Beijing
  - Shanghai Inst. of Ceramics (SICCAS)
  - Tsinghua U, Beijing
- France [6/37]
  - LAPP, Annecy
  - LAL Orsay
  - Ecole Polytechnique
  - U Pierre et Marie Curie, Paris 6
  - Collège de France
  - CEA, DAPNIA, CE-Saclay
- Germany [2/7]
  - Technische U Dresden
  - U Karlsruhe
- Italy [12/49]
  - INFN, Bari and U di Bari
  - INFN, Ferrara
  - Lab. Nazionale di Frascati dell' INFN
  - INFN, Genova and U di Genova
  - INFN, Milano and U di Milano
  - INFN, Napoli and U di Napoli
  - INFN, Padova
  - U di Pavia
  - INFN, Pisa, U di Pisa and Scuola Normale
  - INFN, Superiore di Santa, Roma
  - INFN, Torino and U di Torino
  - INFN, Trieste and U di Trieste
- Russia [2/40]
  - Budker Institute, Novosibirsk
  - JINR, Dubna
- United Kingdom [10/30]
  - U of Bristol
  - Brunel University
  - U of Edinburgh
  - U of Lancaster
  - U of Liverpool
  - Imperial College
  - Queen Mary & Westfield College
  - Royal Holloway & Bedford New College
  - U of Manchester
  - Rutherford Appleton Laboratory
- Taiwan [2/4]
  - Academia Sinica, Taiwan
  - National Taiwan U, Taiwan



LETTER OF INTENT JUNE 54 ✓  
 TECHNICAL DESIGN REPORT DECEMBER 94 ←

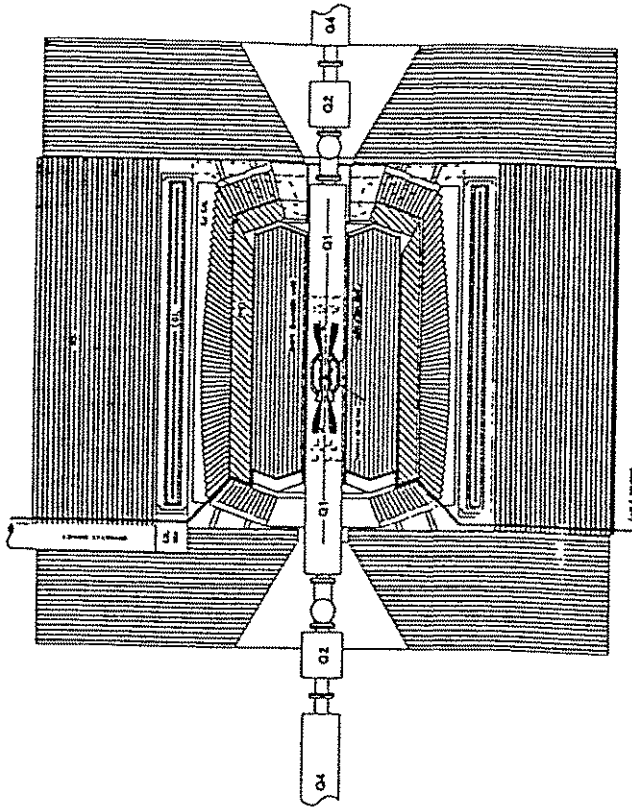
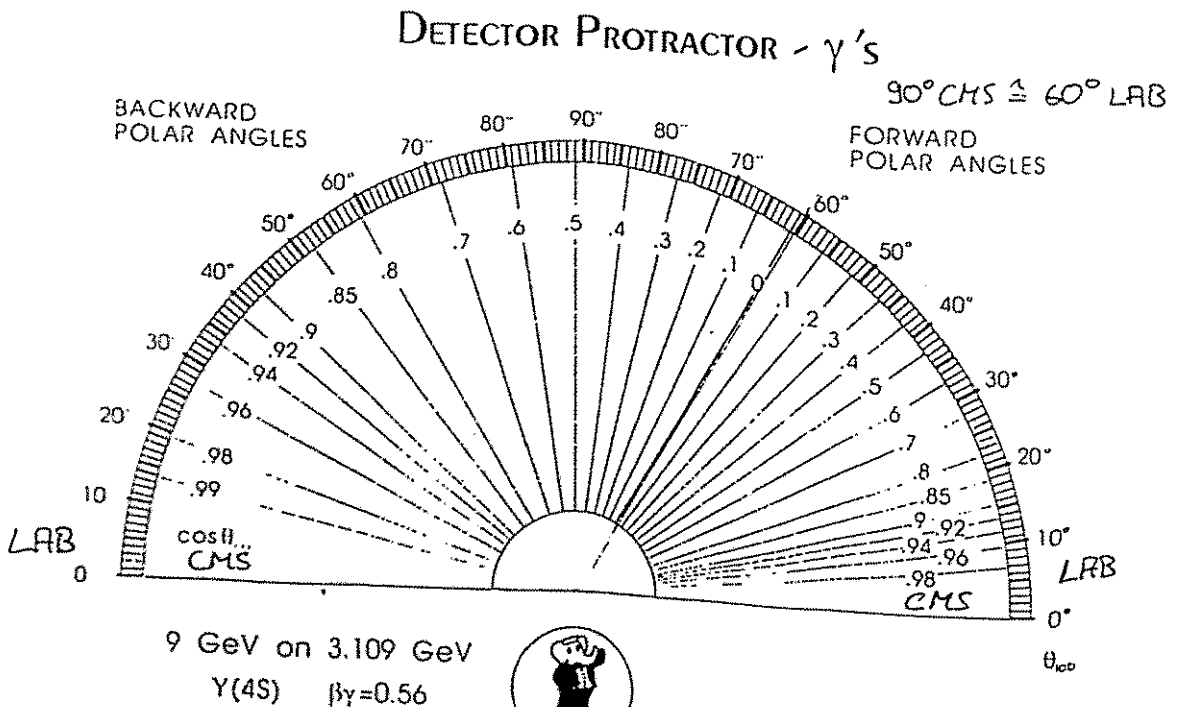


Figure 3-3. Cross-sectional view of the baseline detector showing from the beamline outward a silicon vertex detector, central tracking chamber, particle identification (PID) system, CsI calorimeter, superconducting coil, and instrumented flux return (IFR). The space allowed for the PID system can accommodate any of the three possible detector technologies: aerogel threshold counters, DIRC or Fast RICH. The detector is 6.887 m long and 3.196 m in radius at the back of the IFR, with the drift chamber displaced by 46 cm in the high-energy beam direction towards the right.



---

## Introduction

- An experiment to measure *CP*-violating asymmetries at PEP-II represents some novel experimental challenges
  - The detector should be asymmetric to maximize solid angle coverage *in the CMS*
  - There is a premium on vertex resolution along the beam (*z* direction) as well as in the more conventional transverse plane (*r-φ* direction)
  - Reconstruction efficiency and invariant mass resolution must be optimized: exclusive state reconstruction is the heart of the matter. This requires the best possible charged particle momentum and photon energy and angular resolution over a wide dynamic range
  - Particle identification ( $\pi, K, p, e, \mu$ ) over a wide range of momentum is required, as many interesting modes have small branching ratios and kinematic separation is insufficient
  - Rates are high (for an  $e^+e^-$  experiment) and machine-related backgrounds may be formidable. Radiation damage is an issue
  - Large amounts of experimental and Monte Carlo data must be handled, on-line, and particularly, offline

---

## General Considerations

- The average charged particle multiplicity is  $\sim 10$
- The average photon multiplicity is  $\sim 10$
- The average charged particle momentum is less than  $1 \text{ GeV}/c$ 
  - Multiple coulomb scattering must be held to a minimum
    - ◆ Helium-based drift chamber gases have a radiation length 5 times longer than conventional argon-based gases
    - ◆ Aluminum wires can reduce mass
    - ◆ Low mass drift chamber end plates are important
- The average photon momentum is ~~even~~ <sup>even</sup> lower:  $< 0.5 \text{ GeV}/c$ 
  - High efficiency for photon energies down to a few tens of MeV is important for overall reconstruction and tagging efficiency
    - ◆ Low noise in the electromagnetic calorimeter is important
    - ◆ Material in front of the calorimeter, particularly in the particle ID system, must be held to a minimum
  - Segmentation in the calorimeter is determined by the required angular resolution more than by overlap considerations



---

## General Considerations (continued)

- The average distance between the  $B^0$  decay vertices is  $250 \mu\text{m}$ 
  - Excellent vertex resolution, particularly in the  $z$  direction, is of paramount importance
- Continuum event background typically has a single vertex; tagged  $CP$  eigenstate events have 2 to 4 vertices
- Particle identification capability must extend up to  $\sim 4.5 \text{ GeV}/c$  in the forward direction for  $B$  events, up to  $\sim 6 \text{ GeV}/c$  for  $\tau$  events
  - $dE/dx$  and time-of-flight techniques may suffice in the barrel region; some Cerenkov-based technique is likely to be required in the forward direction
- Extending muon identification to the lowest practical momentum increases tagging efficiency and reconstruction efficiency for  $\tau$ 's and  $B$  semileptonic decays
  - Flux return should be segmented
- Calorimetrizing the flux return also allows detection of  $K_L^0$ . This improves reconstruction efficiency for several interesting  $CP$  modes, e.g.  $B_d^0 \rightarrow J/\psi K_L^0$  as well as  $B_d^0 \rightarrow J/\psi K_S^0$

---

## General Considerations (continued)

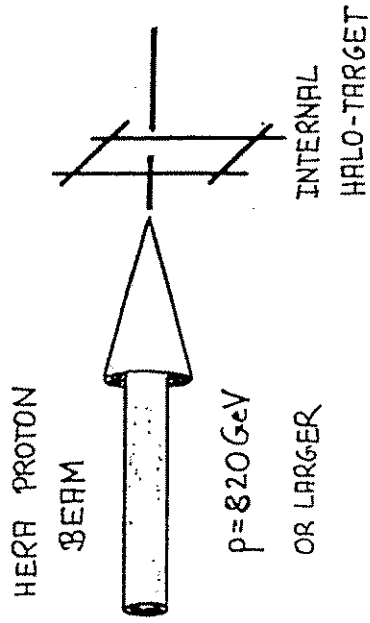
- Radiation hardness of the vertex detector and end cap particle ID and calorimeter systems is an important question
- At a luminosity of  $10^{34}$ , the physics rate is  $\sim 10 \text{ Hz/nanobarn}$
- At the initial design luminosity of  $3 \times 10^{33}$  the physics rate, including Bhabhas, exceeds  $100 \text{ Hz}$ 
  - A pipelined data acquisition system with tiered trigger levels appears to be the approach of choice
- A computing capacity of the order of  $10^4 \text{ MIPS}$  is required
- A storage capacity of the order of  $50 \text{ terabytes/year}$  is required

## CONCLUSIONS

- RICH AND EXCITING PHYSICS PROGRAM;  
AND MUCH MORE
- MATURE AND CONSERVATIVE MACHINE DESIGN;  
COMPLETED VERY EXTENSIVE R&D PROGRAM  
ON ALL CRITICAL COMPONENTS;  
PROCUREMENT AND INSTALLATION PROCEEDING  
ON SCHEDULE
- VITAL AND ACTIVE DETECTOR COLLABORATION;  
DETECTOR DESIGN WELL ADVANCED;  
TECHNICAL DESIGN REPORT DUE IN DECEMBER  
CONSTRUCTION TO START SOON THEREAFTER,  
TO BE COMPLETED FALL 1998

# B-PHYSICS AT HERA-B AND LHC

## FROM HERA-B ...



PRESENTED BY  
THOMAS LOHSE  
HUMBOLDT-UNIVERSITÄT

- ▶ HERA-B : DESIGN  
CP REACH  
OTHER B-PHYSICS
- ▶ CP VIOLATION IN THE LHC ERA

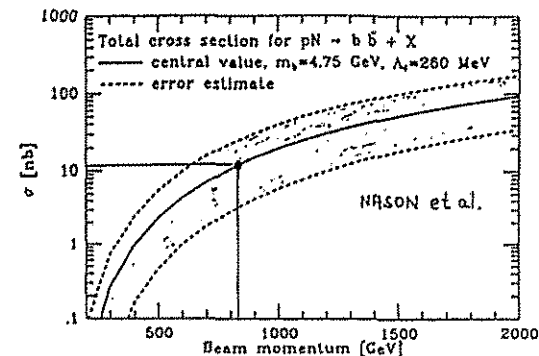
**AN EXPERIMENT TO STUDY  
CP IN THE B-SYSTEM  
USING AN INTERNAL TARGET  
AT THE HERA PROTON RING**

PRESENT COLLABORATION

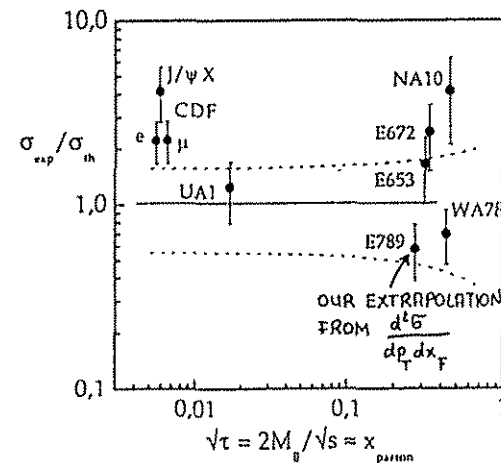
HUMBOLDT-UNIV. BERLIN	UNIV. LJUBLJANA
UNIV. DORTMUND	U.C. LOS ANGELES
DESY	UNIV. MANNHEIM
UNIV. HAMBURG	UNIV. MASSACHUSETTS, AMHERST
MPI HEIDELBERG	ITEP MOSCOW
UNIV. HEIDELBERG	MPEI MOSCOW
INR KIEV	UNIV. TEXAS, AUSTIN

I.f.H. ZEUTHEN

$b\bar{b}$  cross section

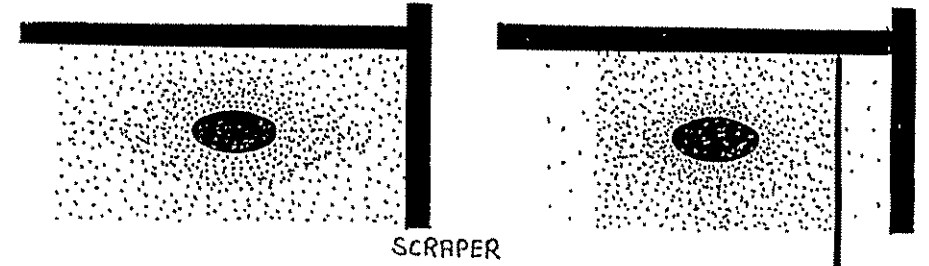


- ⊕  $\pi N$  cross section dominated by quark fusion
- ⊖  $p N$  cross section dominated by gluon fusion



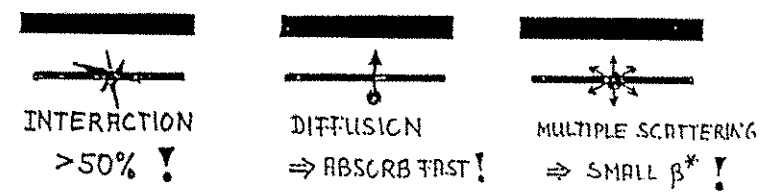
# INTERNAL TARGET

▶ THIN WIRES (RIBBONS) IN BEAM HALO

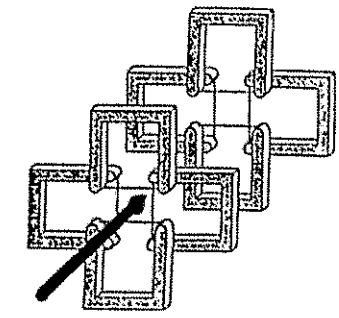


- VERTICES ON LINE SOURCE
- STABLE PROTONS  $\approx$  UNTOUCHED ( $\mathcal{L}_{ep} \checkmark$ )
- EFFICIENT COMPETITION WITH SCRAPERS NEEDED

▶ LOSS MECHANISMS



▶ POSSIBLE DESIGN



## CP Reach

Statistics

$$a_{\text{obs}} = D_{\text{Tag}} D_{\text{CP}} \sin(2\beta) \quad D_{\text{CP}} \approx 0.6$$

$$\Delta a_{\text{obs}} = (1/N)^{1/2} \quad D_{\text{Tag}} \approx 0.4$$

$$\Delta \sin(2\beta) = 1/D_{\text{Tag}} D_{\text{CP}} \sqrt{N}$$

for  $\Delta \sin(2\beta) \approx 0.1$  need  $\approx 1000$  evts.

Event Rates

$$\sigma_{\text{bb}}/\sigma_{\text{inel}} \approx 5 \cdot 10^{-7}$$

$$2P_{b \rightarrow B^0} \approx 0.8$$

$$\text{Br}(B^0 \rightarrow J/\Psi K_S) \approx 5 \cdot 10^{-4}$$

$$\text{Br}(J/\Psi \rightarrow e^+e^-/\mu^+\mu^-) \approx 0.12$$

$$\text{Br}(K_S \rightarrow \pi^+\pi^-) \approx 0.69$$


---


$$\approx 10^{-11}$$

trigger, reconstruction,  
tagging efficiency  $\approx 10^{-1}$

---

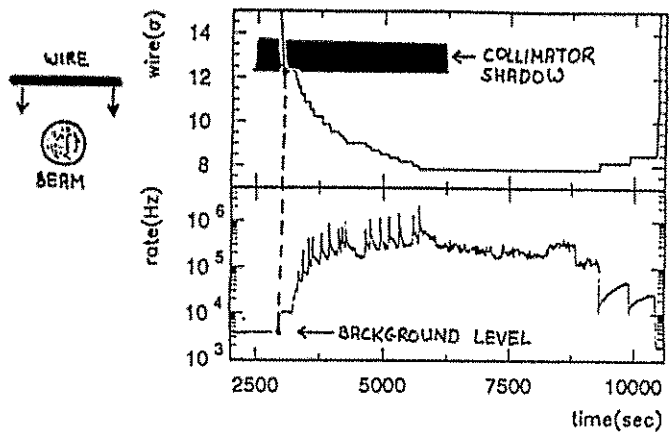

$$\approx 10^{-12}$$

for 1000 tagged events,  
need  $\approx 10^{15}$  interactions,  
or  $3 \cdot 10^7$  sec. @ 30 MHz rate!

Machine

HERA BX  $\approx 10$  MHz  
 $\Rightarrow$  multiple interactions per BX!  
 Natural beam loss  $\approx 100$  MHz  
 $\Rightarrow$  rate ok with efficient target!

# TARGET WIRE SCANS:



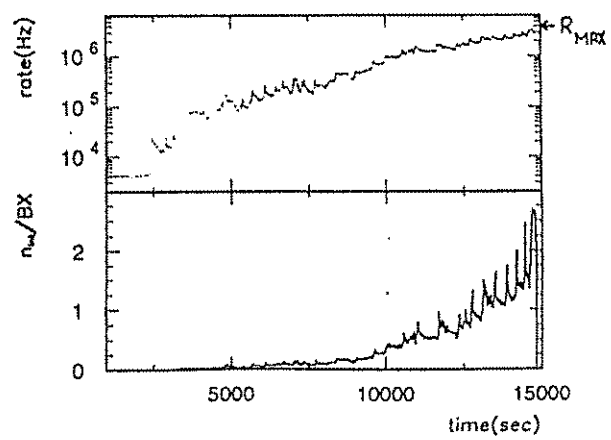
# HIGH RATE SCAN:

$$R_{MAX} = \frac{1 \text{ TRIGGER}}{BX} \approx 4 \text{ MHz}$$

84 BUNCHES

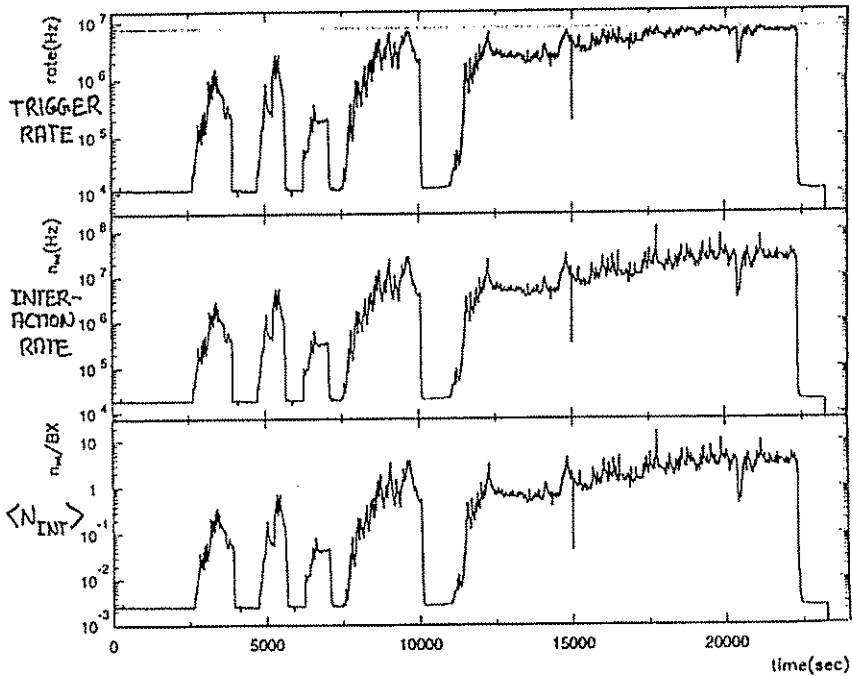
$$R_{TRIG} = R_{MAX} \cdot (1 - e^{-\epsilon \langle n_{INT} \rangle})$$

UP TO 2.5  
INTERACTIONS  
PER BX  
ACHIEVED

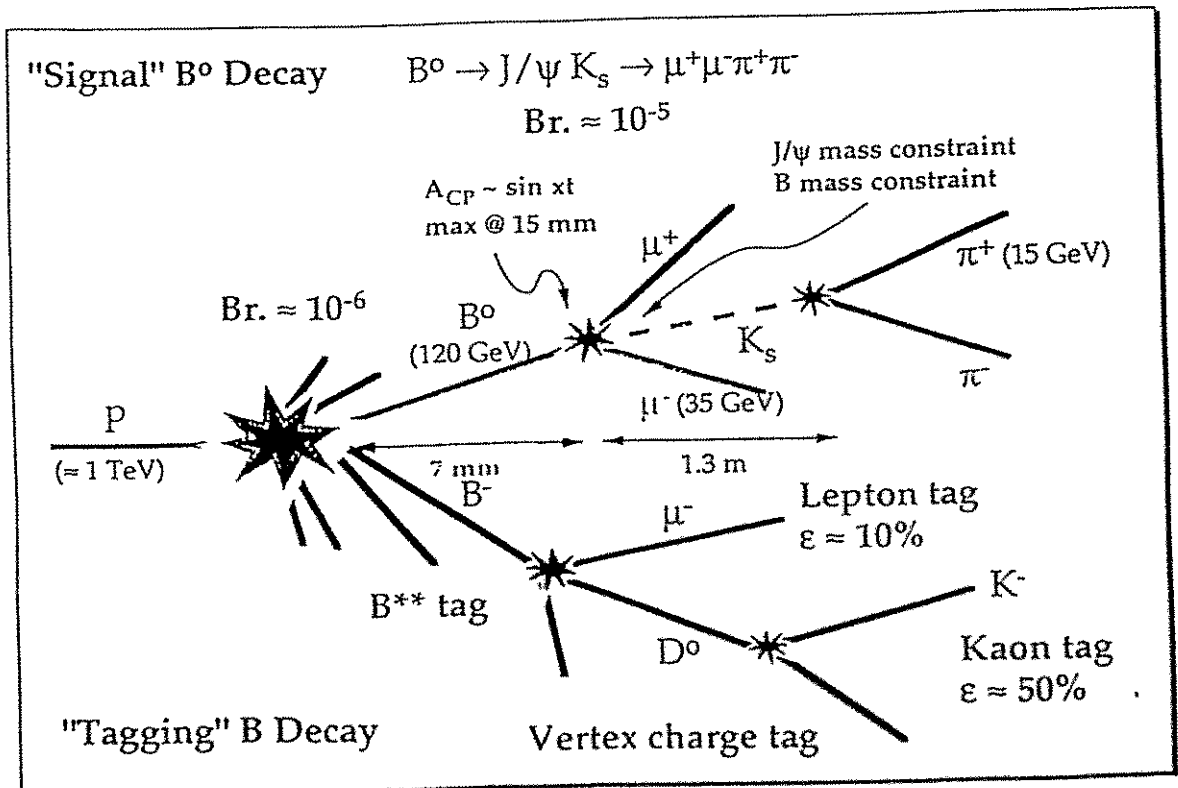
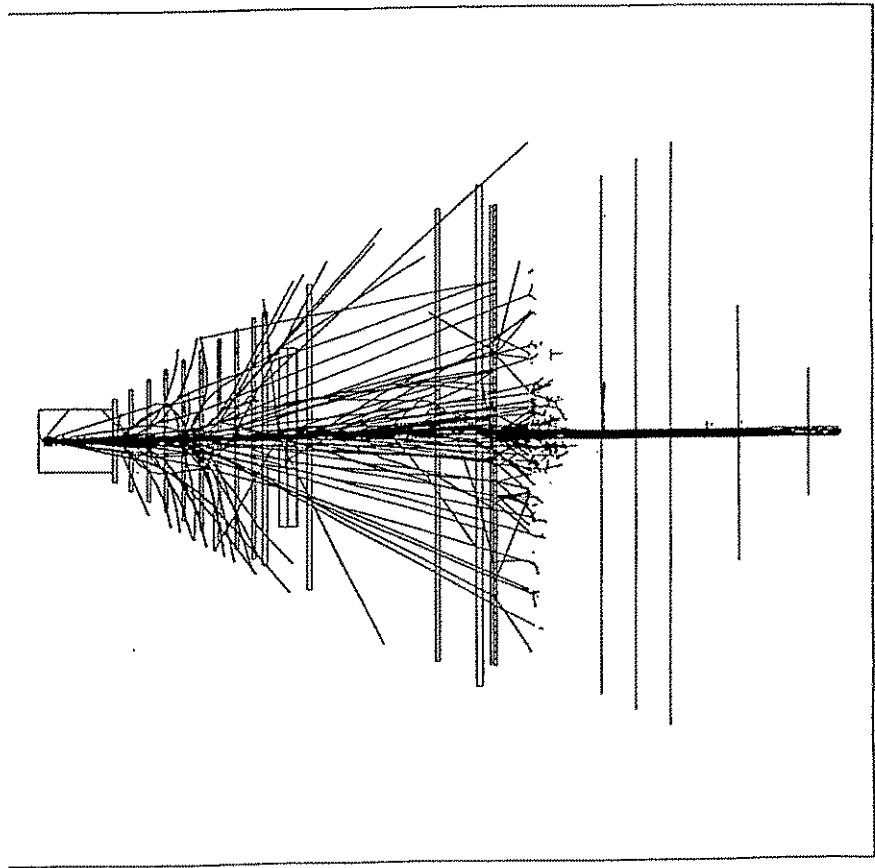


# HIGH RATE SCAN 1994

170 BUNCHES  
1/3 DESIGN-CURRENT

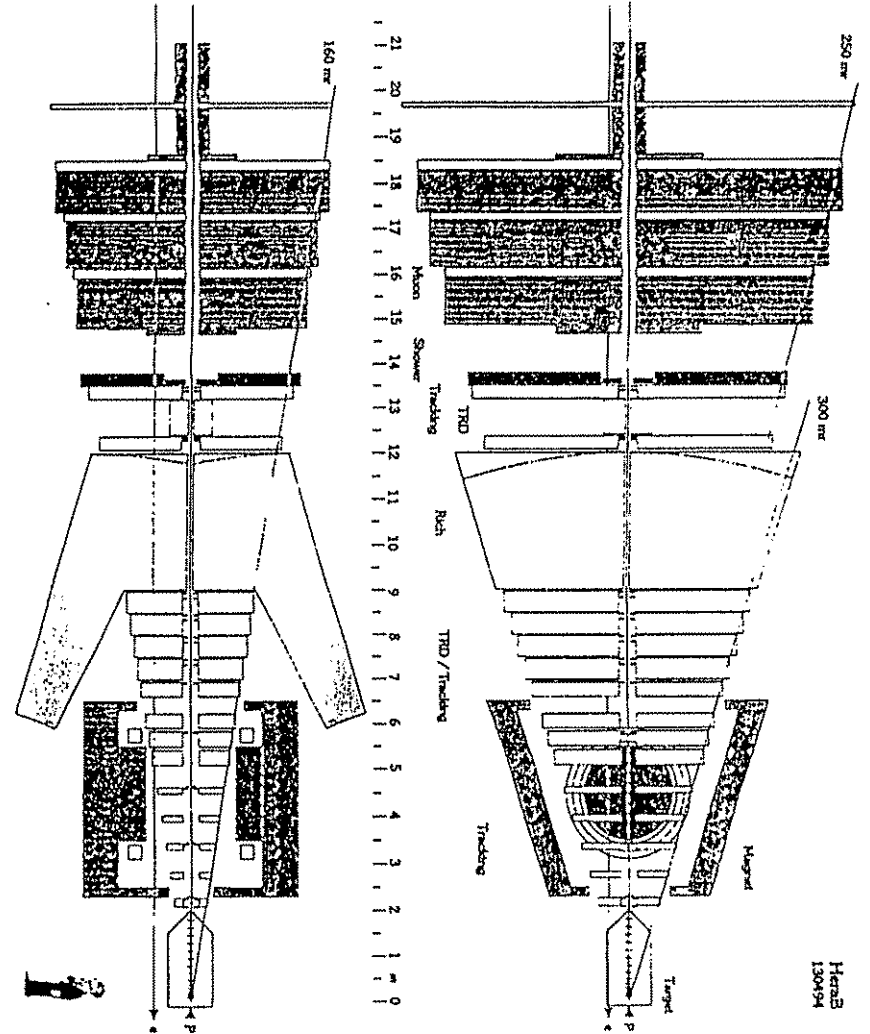


30 MHz INTERACTION RATE  
4 INTERACTIONS PER BX



# REQUIREMENTS FOR THE B-DETECTOR

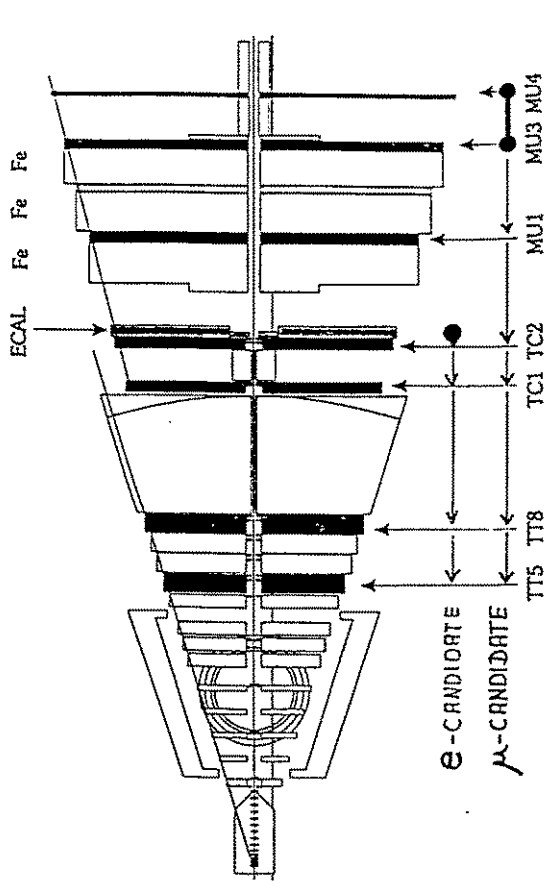
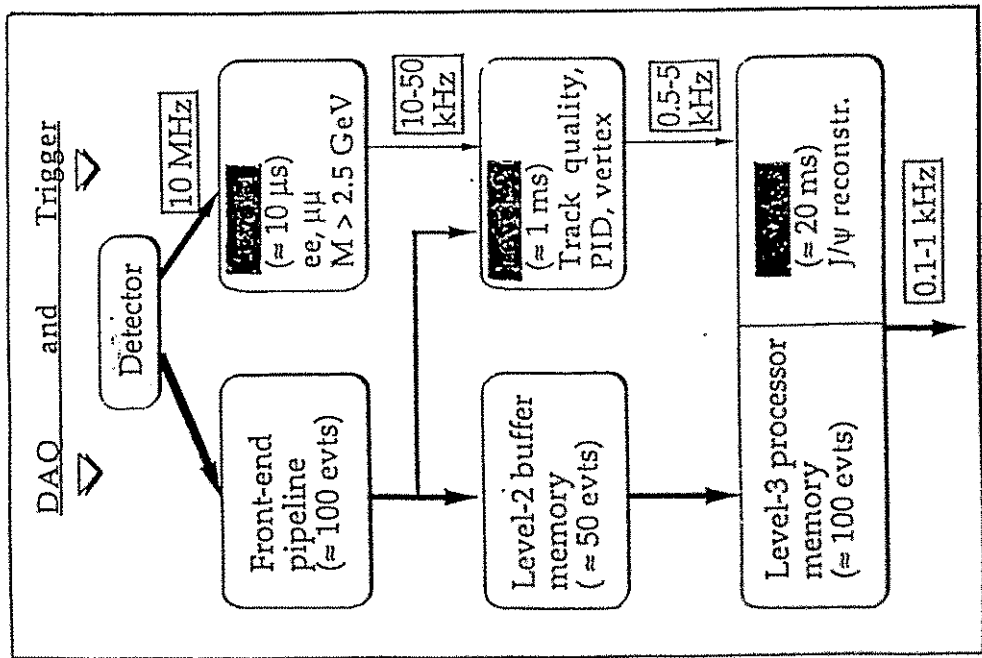
- ▶ FORWARD SPECTROMETER, LARGE ACCEPTANCE
- ▶ HIGH-MULTIPLICITY CAPABILITY ( $\sim 50$  TRACKS/BX)
- ▶ FAST (EVENT RATE =  $\nu_{Bx} = 10\text{MHz}$ )
- ▶ B-VERTEX RECONSTRUCTION
- ▶  $e, \mu$  IDENTIFICATION
- ▶  $K^\pm$  IDENTIFICATION
- ▶ RADIATION HARDNESS



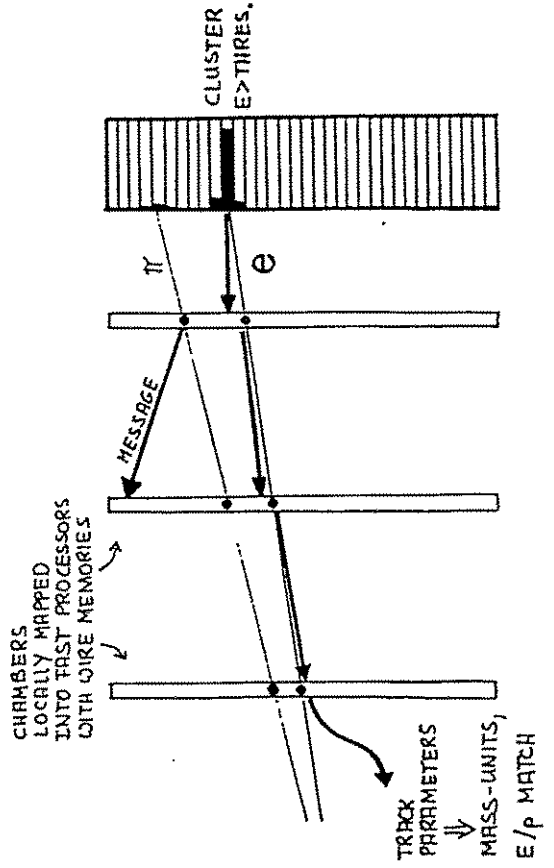


# DESIGN OF THE LEVEL-1 TRIGGER

## Trigger Concept

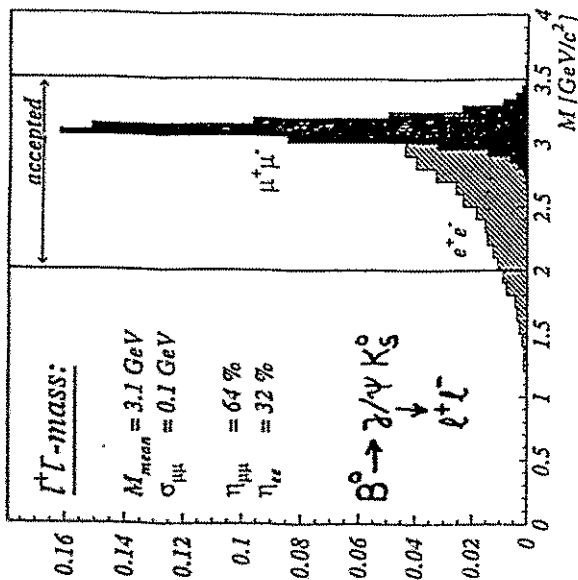


## TRACK-FINDING PHILOSOPHY ("KALMAN FILTERING")

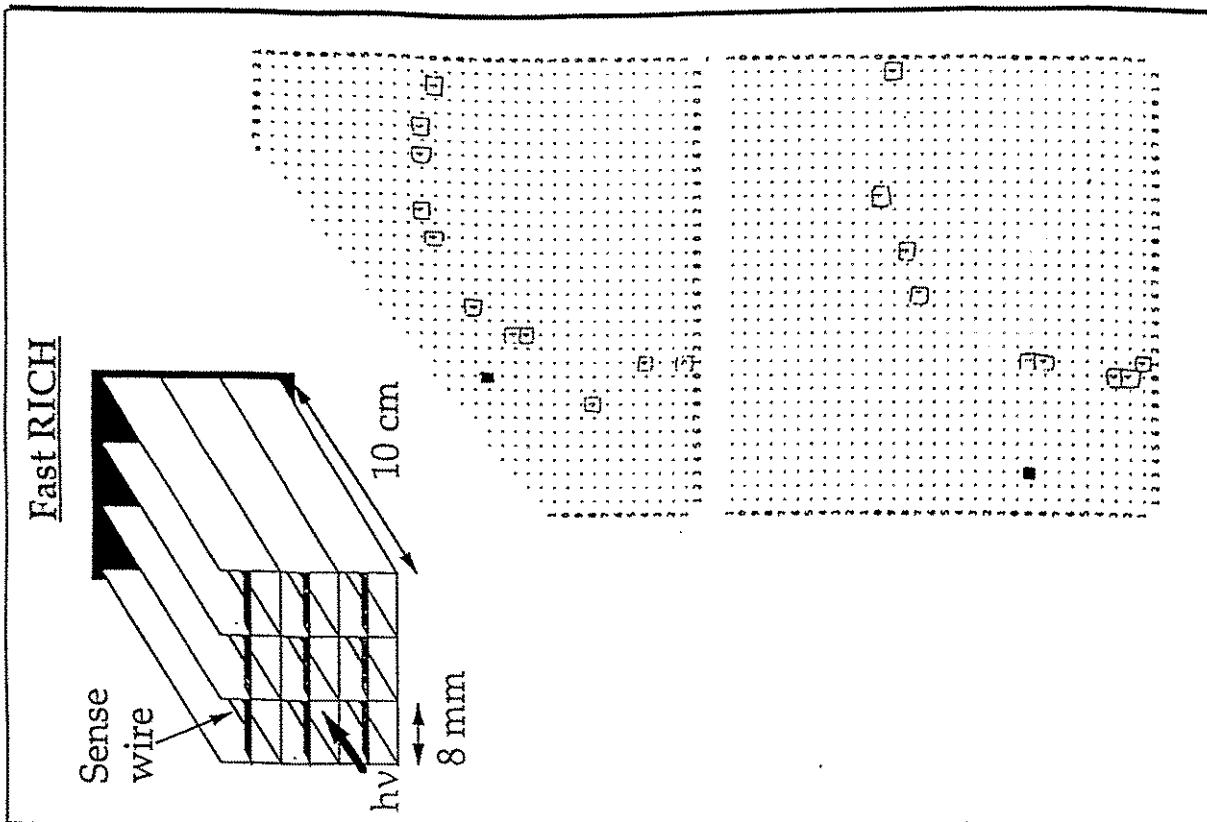


# TRIGGER PERFORMANCE

## A. ACCEPTING SIGNAL - EFFICIENCY



	$\gamma/\psi \rightarrow \mu^+\mu^-$	$\gamma/\psi \rightarrow e^+e^-$
GEOMETRY	71%	70%
P,E-CUTS	90%	50%
M( $e^+e^-$ ) cuts	>99%	91%
EFFICIENCY	63%	32%



# CP REACH

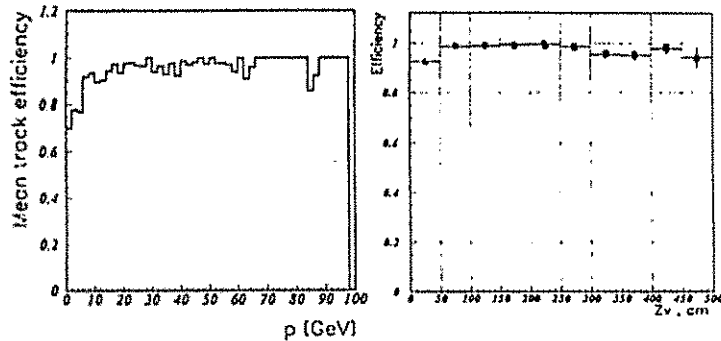
ASSUME  $\sigma_{b\bar{b}} = 12 \text{ nb/NUCLEON}$   
 $\sigma_{p\text{Cu}} = 13 \text{ mb/NUCLEON}$

## I. $B_d^0 \rightarrow J/\psi K_S^0$ STATISTICS

### (Pattern Recognition)

Track efficiency:

$K_S^0$  vertex efficiency:



Combined multi-track efficiencies for  
 $B \rightarrow J/\psi K_S^0$  decay products




TRD/Tracker+MSGC ( $\ell^+ \ell^- \pi^+ \pi^-$ )	$\epsilon = 90\%$
Silicon ( $\ell^+ \ell^-$ )	$\epsilon = 98\%$
$K_S^0$ reconstruction	$\epsilon = 97\%$

SUPPRESSION	$J/\psi \rightarrow \mu^+ \mu^-$	$J/\psi \rightarrow e^+ e^-$
$\sigma_{b\bar{b}} / \sigma_{\text{tot}}$	$9.2 \cdot 10^{-7}$	$9.2 \cdot 10^{-7}$
BR	$1.7 \cdot 10^{-5}$	$1.7 \cdot 10^{-5}$
TRIGGER	0.63	0.32
TRACKING	0.54	0.54
LEPTON ID	0.94	0.85
$J/\psi, B_d^0$ REC.	0.95	0.66
KINEMATICS CUTS	0.80	0.80
VERTEX CUT	0.69	0.69
TOTAL SUPPR.	$2.6 \cdot 10^{-12}$	$0.6 \cdot 10^{-12}$
$10^7 \text{ s}$ ( $\sim 1 \text{ YEAR}$ ) @ 40 MHz	1030 EVENTS	330 EVENTS

$\delta \sin(2\beta)$   
 WITH PERFECT TAG 0.041

# TAGGING DILUTION

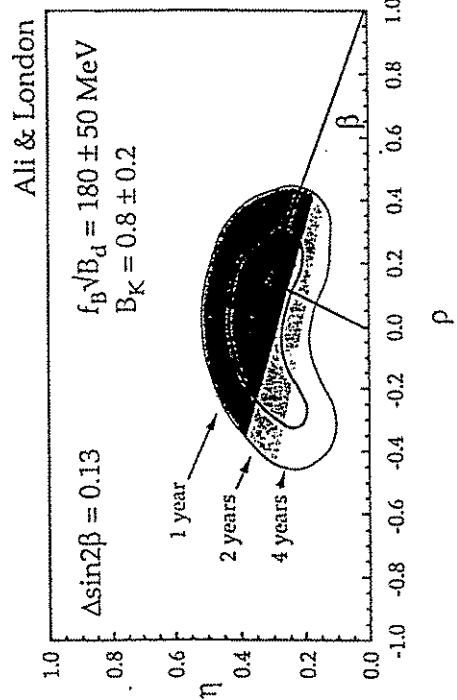
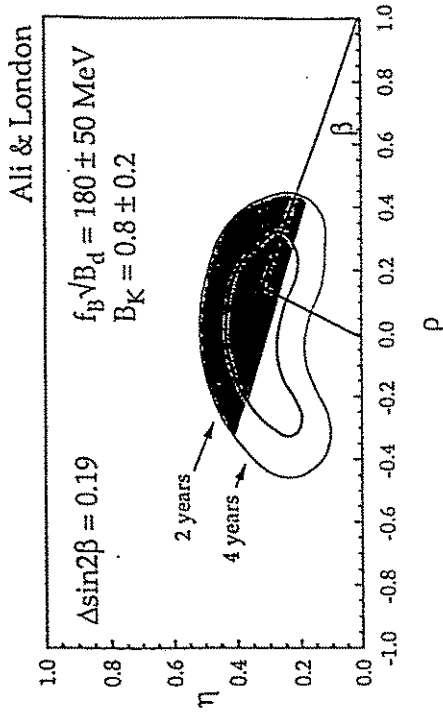
[CUTS ON  $p, p_e, p_k$ ,  
VERTEX DISTANCES]

TAG	LEPTON 	KHON 	CHARGE 
	$\text{sign}(q_e)$	$\text{sign}(q_k)$	$\text{sign}(\sum_c q_c p_c)$
$\epsilon$	16.1%	46.0%	96.4%
CORRECT	11.5%	31.3%	56.0%
WRONG	4.6%	14.7%	40.4%
DILUTION $D = \frac{c-w}{c+w}$	0.43	0.36	0.16
TAGGING POWER $P = D \cdot \epsilon$	0.17	0.24	0.16
	0.31		

$10^7$  @ 40 MHz  $\implies \delta \sin(2\beta) = 0.13$

## CP Discovery Potential of HERA-B

(4- $\sigma$  effect)



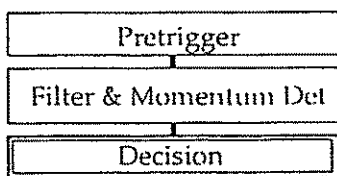
"Borrowed" from LHC R&D:

- Radiation-hard silicon detectors
- MSGC
- Straw chamber tracker/TRD
- Honeycomb wire chambers
- Shashlik calorimeter
- Si front-end electronics and pipelines
- DC front-end electronics
- Optical links
- DAQ architecture
- Fast data links (HIPPI, SCI...)
- Level-2 implementation

HERA-B will be the first field-test for many of these components and concepts!

... close collaboration with LHC R&D groups!

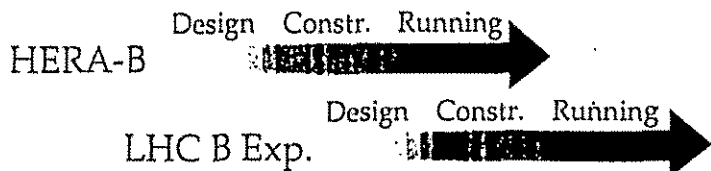
Other Physics Topics - Additional Triggers



Trigger	$B \rightarrow J/\psi X \rightarrow l^+l^- X$ (CP Violation)	$B_1 B_2 \rightarrow l_1 l_2 X$ (B Mixing & CKM...)	$B \rightarrow l_1 C X \rightarrow l_1 l_2 X$ (Charm Mixing & CKM...)	$B \rightarrow l X$ (Inclusive B)	$C_1 C_2 \rightarrow l_1 l_2 X$ (Charm)
"J/ψ" ( $e^+e^-, \mu^+\mu^-, M > 2.5 \text{ GeV}$ )	48%	9%	4%	-	0.05%
"Dilepton" ( $\mu\mu, e\mu, e^+e^-, p_t > 1...1.2 \text{ GeV}$ )	25%	18%	2%	-	0.01%
"Single lepton" ( $e, \mu, p_t > 2.5...3 \text{ GeV}$ )	9%	7%	5%	4%	-
Total FLT Efficiency	50%	29%	9%	4%	0.06%
Events/year	260 k	1400 k	380 k	3200 k	>> M

### Schedule


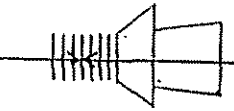
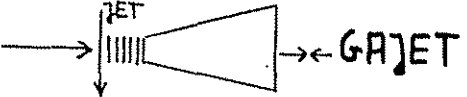

- Aggressive!
- October 94 Open Collab. Meeting  
Freeze detectors and resp.
- 95/96 Modify optics  
Install magnet  
Install prototype detectors
- 96/97 Install parts of inner detectors,  
First level trigger
- 97/98 Install remaining components
- 98 Commissioning
- 0? Continuation of B physics  
program at LHC

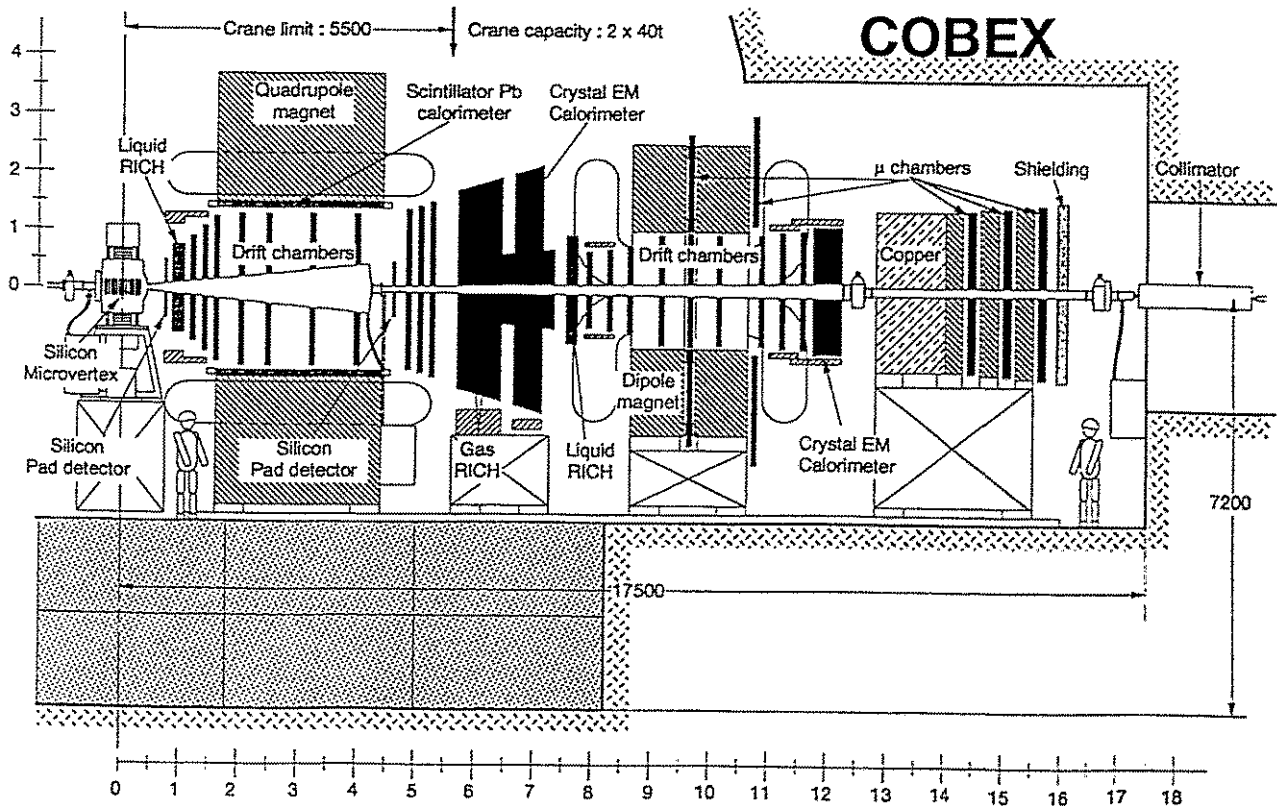


### ... INTO THE LHC ERA

EXPERIMENT	$E_{\text{BEAM}}$	$\sqrt{s}$	$\sigma_{bb}$	$\frac{\sigma_{bb}}{\sigma_{\text{tot}}}$
HERA-B	820 GeV	40 GeV	10 nb	$10^{-6}$
LHC FIXED TARGET	8 TeV	630 GeV	15 $\mu\text{b}$	$2 \cdot 10^{-5}$
LHC COLLIDER	8 TeV	16 TeV	500 $\mu\text{b}$	$7 \cdot 10^{-3}$

### THE ACTORS:

- 1) "CENTRAL" COLLIDER (MULTI-PURPOSE)  ATLAS  
CMS
  - 2) "FORWARD" COLLIDER (B-DEDICATED)  COBEX
  - 3) FIXED TARGET (B-DEDICATED)  GAJET
-  LHB



JPA - AT - 3  
22/3/1994

SHOW-DOWN: LHCC COMMITTEE, 8.6.1994

▲ LHB:	VERTEXING +++	▲	COLLIDING BEAM RECOMMENDED
	ACCEPTANCE +++		
	EXTRACTION -		
▲ GRJET:	TRIGGER +++	▲	
	TECHNOLOGY +		
	VERTEXING -		
▲ COBEX:	CROSS-SECTION +++		
	VERTEXING ++		
	FLEXIBILITY ++		
	DETECTOR DESIGN -		

⇒ GERN WANTS COLLIDER B-DETECTOR  
ON DRY Ø!

NEW DESIGN:

LHC-B = { COBEX  
GRJET  
LHB  
PARTS OF HERA-B  
OTHERS }

# CP REACH AT LHC

RUN TIME :  $10^7$  s (= 1 YEAR)

LUMINOSITY:  $10^{33}$   $\text{cm}^{-2} \text{s}^{-1}$  (POSSIBLY DETUNED FOR LHC-B)

TYPE	$B^0 \rightarrow J/\psi K_S$ $\delta(\sin 2\beta)$	$B^0 \rightarrow \pi^+ \pi^-$ $\delta(\sin 2\alpha)$
CENTRAL COLLIDER	$\sim 0.05$	$\sim 0.12$
FORWARD COLLIDER	$\sim 0.01$	$\sim 0.03$

$\mathcal{L} < 5 \cdot 10^{31} \text{ cm}^{-2} \text{ s}^{-1} \Rightarrow$  "TOPOLOGY" (VERTEX) TRIGGER  
FEASIBLE (COBEX)



GENERAL B-TRIGGER ; RICH CP AND NON-CP  
B-PHYSICS PROGRAM

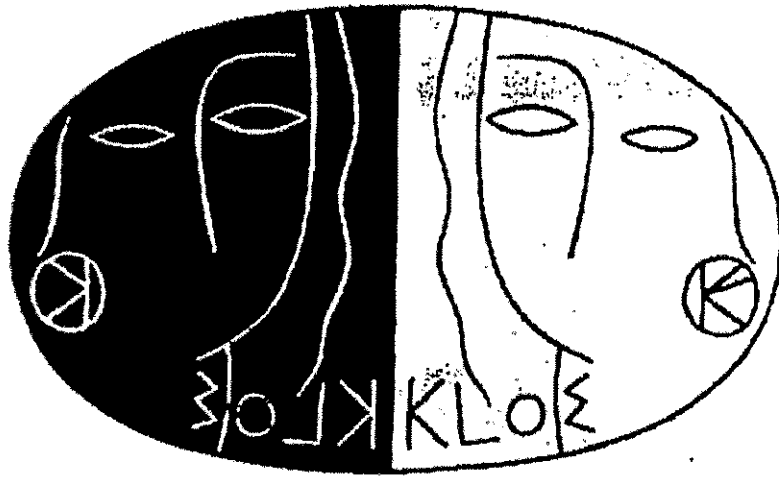
# CONCLUSIONS

- ▶ HERA-B IS A PIONEERING EXPERIMENT
  - FIRST HADRONIC B-FACTORY
  - FIRST GENERATION CP EXPERIMENT
  - RICH NON-CP PHYSICS PROGRAM
  - FIRST APPLICATION OF LHC TECHNOLOGIES
  - NECESSARY PREPARATION FOR LHC-B
- ▶ LHC GENERAL PURPOSE EXPERIMENTS
  - VERY GOOD CP REACH BUT 2<sup>ND</sup> GENERATION
- ▶ LHC-B: DEDICATED FORWARD COLLIDER
  - DETECTOR READY AT START-UP
  - VERY RICH B-PHYSICS PROGRAM
  - BY FAR MOST POWERFUL CP-EXPERIMENT
  - WILL GOVERN CP-MARKET FOR MANY YEARS TO COME

L. FOR (RESEARCH DIRECTOR, CERN):

"HERA-B AND LHC-B REPRESENT THE SAME LINE OF RESEARCH, STARTING AT DESY AND CONTINUING AT CERN" (SUMMER 1994)





## Das DAΦNE-Projekt

M. BILDEI, A. DENSI, U. VON HAGEL, M. IBIÖF,  
W. KLUGL, S. WESLER, R. WILSER, A. ZOTT

I. Der Teilchenbeschleuniger DAΦNE

II. Untersuchung diskreter Symmetrien/  
CP-Verletzung

III. Übriges physikalisches Programm

IV. Detektoren (KLOE u. FINUDA)

V. Karlsruher Beiträge

Uwe v. Hagel  
Institut für Experimentelle Kernphysik  
Universität Karlsruhe  
Postfach 36-40, W 76021 Karlsruhe

\*Double Annular Φ-factory for Nice Experiments

• 2 getrennte Speicherringe für Positronen und Elektronen

⇒ Große Anzahl von Bunches möglich ( $h_{\max}=120$ )

⇒ Dadurch läßt sich eine hohe Gesamtluminosität von  
 $L \approx 1 \cdot 10^{33} \text{ cm}^{-2} \text{ sec}^{-1}$  erreichen, bei sonst durchaus  
konventionellen Designparametern:

• Der Umfang der Hauptspeicherringe beträgt 95 m.

• Maximale Teilchenzahl pro bunch:  $8,9 \cdot 10^{10}$

• Horizontale Kollision unter 10 mrad in der WW-Zone

• Strahldimensionen in den Wechselwirkungszone:

$$\sigma_z : \sigma_y : \sigma_x = 30 : 2,11 : 0,021 \text{ [mm]}$$

(flacher Strahlquerschnitt)

⇒ Die Zeit zwischen den Bunch-Kollisionen ist mit  $\approx 3 \text{ ns}$   
allerdings außerordentlich kurz !

⇒ Vorgeschalteter Akkumulaterring (Umfang 30 m) sammelt  
die vom LINAC kommenden Teilchen.

⇒ Beschleunigung von  $e^-$  auf 250 MeV mittels LINAC  
Elektronen-Positronen-Konverter zur  $e^+$ -Erzeugung  
Zweiter LINAC zur Beschleunigung auf die Endenergie  
von 510 MeV ( $\pm 220 \text{ keV}$  in den Hauptspeicherringen).

# DAΦNE\*

\*Double Annular Φ-factory for Nice Experiments

• 2 getrennte Speicherringe für Positronen und Elektronen

⇒ Große Anzahl von Bunches möglich ( $n_{\max}=120$ )

⇒ Dadurch läßt sich eine hohe Gesamtluminosität von  $L \approx 1 \cdot 10^{33} \text{ cm}^{-2} \text{ sec}^{-1}$  erreichen, bei sonst durchaus konventionellen Designparametern:

• Der Umfang der Hauptspeicherringe beträgt 95 m.

• Maximale Teilchenzahl pro bunch:  $8,9 \cdot 10^{10}$

• Horizontale Kollision unter 10 mrad in der WW-Zone

• Strahldimensionen in den Wechselwirkungs-zonen:

$$\sigma_z : \sigma_y : \sigma_x = 30 : 2,11 : 0,021 \text{ [mm]}$$

(flacher Strahlquerschnitt)

⇒ Die Zeit zwischen den Bunch-Kollisionen ist mit  $\approx 3 \text{ ns}$  allerdings außerordentlich kurz !

⇒ Vorgeschalteter Akkumulatorring (Umfang 30 m) sammelt die vom LINAC kommenden Teilchen.

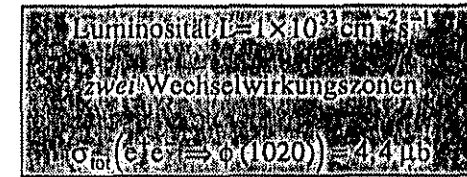
⇒ Beschleunigung von  $e^-$  auf 250 MeV mittels LINAC  
Elektronen-Positronen-Konverter zur  $e^+$ -Erzeugung  
Zweiter LINAC zur Beschleunigung auf die Endenergie von 510 MeV ( $\pm 220 \text{ keV}$  in den Hauptspeicherringen).

1

# DAΦNE\*

\*Double Annular Φ-factory for Nice Experiments

• DAΦNE-Strahlenergie:  $E(e^\pm) = 510 \pm 0,2 \text{ MeV}$



⇒  $\approx 5000 \phi$ -Mesonen/sec

⇒ Das  $\Phi$  ist ein Vektormeson ( $J^{PC}=1^{--}$ ) und daher ein CP-Eigenzustand (EW +1) mit folgenden Zerfällen:

Zerfall ( $\Phi \rightarrow \dots$ )	Impuls MeV/c	Verzw.-verhältnis	Events/Jahr $\cdot 10^{10}$	
$K^+K^-$	127,9	49,5%	2.50	$L_{\text{rel.}}=1$
$K_S K_L$	110	34,4%	1.70	$L_{\text{rel.}}=1$
$\rho\pi$	183	12,9%	0.70	
$\pi^+\pi^-\pi^0$	462	1,9%	0.10	OZI-unterdrückt
$\eta\gamma$	362	1,3%	0.07	

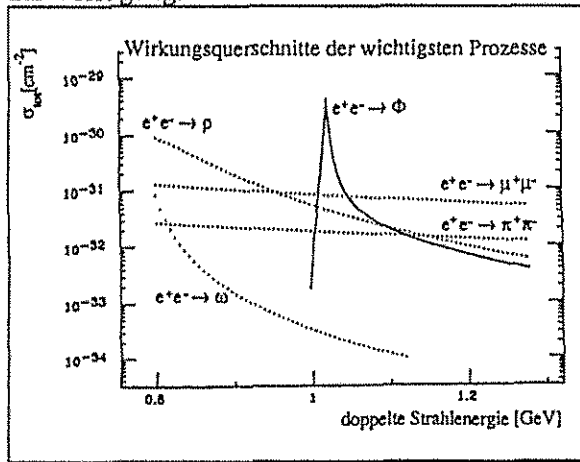
⇒ Wesentliche Eigenschaften der erzeugten Kaonen-Paare:

• Niederenergetisch und monochromatisch: ( $K^+K^-$  /  $K^0\bar{K}^0$ :  $127,9 \pm 1,5$  bzw.  $110 \text{ MeV/c}$ ).

<sup>\*)</sup> bei einer Luminosität von  $1 \cdot 10^{33} \text{ cm}^{-2} \text{ sec}^{-1}$

2

- Kohärente Erzeugung in einem 2-Teilchen-Zustand, aus dessen zeitlicher Entwicklung z.B.  $\Re(e'/\epsilon)$  mit einer zusätzlichen Methode bestimmt werden kann.
- Durch die paarweise Erzeugung und die Ereignisstruktur stehen sowohl  $K_L$ 's als auch erstmalig  $K_S$ 's "getagged" zur Verfügung.

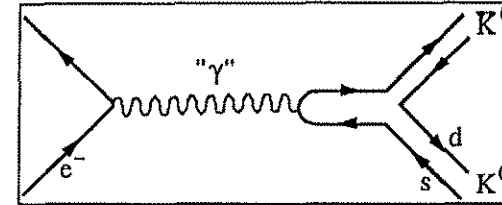


Wirkungsquerschnitte der Reaktionen  $e^+e^- \rightarrow X$  bei Energien um 1020 MeV. Die Breite der  $\Phi$ -Resonanz beträgt 4,43 MeV.

⇒ "saubere physikalische Umgebung" bei der  $\Phi$ -Resonanz:

- Der Wirkungsquerschnitt für die Reaktion  $e^+e^- \rightarrow \mu^+\mu^-$  liegt bereits 2 Größenordnungen unter der  $\Phi$ -Produktion.
- Untergrund durch Bhabha-Streuung ( $\approx 50$  kHz) und kosmische Strahlung ( $\approx 5$  kHz) kann und muß vom Trigger verworfen werden.

Das  $\Phi$ -Meson wird durch elektroschwache Wechselwirkung in  $e^+/e^-$ -Kollisionen erzeugt:



Der "starke" Zerfall in  $K\bar{K}$ -Paare ist wegen der OZI-Regel dominierend.

Das  $K\bar{K}$ -System<sup>\*)</sup> wird durch den Hamilton-Operator

$$H = \begin{pmatrix} h & l \\ m & n \end{pmatrix} = M + i\Gamma = \begin{pmatrix} M_{11} & M_{12} \\ M_{12}^* & M_{22} \end{pmatrix} + i \begin{pmatrix} \Gamma_{11} & \Gamma_{12} \\ \Gamma_{12}^* & \Gamma_{22} \end{pmatrix}$$

in der Basis der Strangeness-Eigenzustände

$K^0 = \begin{pmatrix} 1 \\ 0 \end{pmatrix}$  und  $\bar{K}^0 = \begin{pmatrix} 0 \\ 1 \end{pmatrix}$  beschrieben.

- Transformation der Matrizen  $M$  und  $\Gamma$  in dieser Basis:

$$CP: M \rightarrow \tau_1 M \tau_1 \text{ und } \Gamma \rightarrow \tau_1 \Gamma \tau_1 \quad (\tau_i = \text{Pauli-Matrizen}),$$

da  $CP|K^0\rangle = |\bar{K}^0\rangle$  und  $CP|\bar{K}^0\rangle = |K^0\rangle$ .

$$T: M \rightarrow M^* \text{ und } \Gamma \rightarrow \Gamma^*$$

- Entwicklung von  $M$  und  $\Gamma$  nach Pauli-Matrizen:  $X \rightarrow c_0 1 + c_i \tau_i$

<sup>\*)</sup> Die Notation folgt der ausführlichen Darstellung von L. Maiani im "DaΦne Physics Handbook".

- 513 -

## Diskrete Symmetrien im $K^0\bar{K}^0$ -System

5

Transformationsverhalten der Entwicklungskoeffizienten:

	$\epsilon_0$	$\epsilon_1$	$\epsilon_2$	$\epsilon_3$
CP:	+	+	-	-
T:	+	+	-	+
CPT:	+	+	+	-

Daraus ergibt sich für die Matrixelemente:

- Aus CPT-Erhaltung folgt:  $\epsilon_3=0 \Rightarrow \epsilon_0=M_{11} = M_{22}$  (für M).  
(gleiche Diagonalelemente bei CPT-Erhaltung)
- Bei CPT-Erhaltung wird CP-Verletzung nur durch den Imaginärteil der Nicht-Diagonalelemente beschrieben!  
Durch die Phasentransformationen  $|K^0\rangle \rightarrow e^{-i\alpha}|K^0\rangle$  bzw.  $|\bar{K}^0\rangle \rightarrow e^{i\alpha}|\bar{K}^0\rangle$  ließen sich  $\Gamma_{12}$  und  $M_{12}$  reell machen, falls (Bedingung für CP-Invarianz:):  $\arg\left(\frac{\Gamma_{12}}{M_{12}}\right) = 0$ .

Die 8 reellen Parameter von H können äquivalent durch die zwei komplexen Eigenwerte zu den Eigenzuständen von H

$$\begin{aligned} |K_S\rangle &\approx \frac{1}{\sqrt{2}} \left[ (1 + (\epsilon + \delta)) |K^0\rangle + (1 - (\epsilon + \delta)) |\bar{K}^0\rangle \right] \\ &\approx |K_1\rangle + (\epsilon + \delta) |K_2\rangle \\ |K_L\rangle &\approx \frac{1}{\sqrt{2}} \left[ (1 + (\epsilon - \delta)) |K^0\rangle - (1 - (\epsilon - \delta)) |\bar{K}^0\rangle \right] \\ &\approx |K_2\rangle + (\epsilon - \delta) |K_1\rangle \end{aligned}$$

$$(CP(K_2) = -1 \quad CP(K_1) = +1)$$

## Diskrete Symmetrien im $K^0\bar{K}^0$ -System

6

Eigenwerte: 
$$H|K_{L/S}\rangle = \left( M_{L/S} - \frac{i}{2} \Gamma_{L/S} \right) |K_{L/S}\rangle$$

und die komplexen Parameter  $\epsilon$  und  $\delta$  ersetzt werden.

$$\epsilon = \frac{-i \operatorname{Im} M_{12} + \operatorname{Im} \Gamma_{12} / 2}{(M_S - i \Gamma_S / 2) - (M_L - i \Gamma_L / 2)} \quad \text{bzw.}$$

$$\delta = \frac{(M_{11} - M_{22}) / 2 - i(\Gamma_{11} - \Gamma_{22}) / 4}{(M_S - i \Gamma_S / 2) - (M_L - i \Gamma_L / 2)}$$

- $\delta \neq 0$  erfordert Verletzung der CPT-Invarianz in H.
- Im  $M_{12} \neq 0$  beschreibt CP-Verletzung (bei gleichzeitiger T-Verletzung!) in den  $\Delta S = 2$ -Übergängen  $K^0 \Leftrightarrow \bar{K}^0$ .  
(indirekte CP-Verletzung).
- Im  $\Gamma_{12} \neq 0$  beschreibt CP-Verletzung in den ( $\Delta S = 1$ -) Zerfallsamplituden reeller Zerfälle von  $K^0$  und  $\bar{K}^0$ , z.B. für  $2\pi$ -Zerfälle (direkte CP-Verletzung):

$$\begin{aligned} A(K^0 \rightarrow 2\pi, I) &= \langle 2\pi, I | H_W | K^0 \rangle \equiv A_1 e^{i\delta_1} \\ A(\bar{K}^0 \rightarrow 2\pi, I) &= \langle 2\pi, I | H_W | \bar{K}^0 \rangle \equiv A_1^* e^{i\delta_1} \end{aligned}$$

(bei CPT-Invarianz;  $\delta_1 =$  Phasen der  $\pi$ - $\pi$ -Streuung)

wobei sich CP-Verletzung ( $A_1 \neq A_1^*$ ) als Imaginärteil der Matrixelemente von  $\Gamma$  ausdrückt, da:

$$\Gamma_{ab} = \sum_n 2\pi \delta(M_K - E_n) \langle a | H_W | n \rangle \langle n | H_W | b \rangle$$

## Diskrete Symmetrien im $K^0\bar{K}^0$ -System

- Da die Zustände  $|K^0\rangle$  und  $|\bar{K}^0\rangle$  bis auf eine Phase bestimmt sind, kann durch Neudefinition dieser Phase eine Amplitude reell gemacht werden:

$$A_0 \equiv \text{reell} \geq 0 \quad (\text{Wu-Yang Konvention})$$

Direkte CP-Verletzung ist dann gleichbedeutend mit einer von Null verschiedenen relativen Phase von  $A_0$  und  $A_2$ :

$$\xi' \equiv \frac{e^{i(\delta_1 - \delta_0)} \text{Im } A_2}{\sqrt{2} A_0}$$

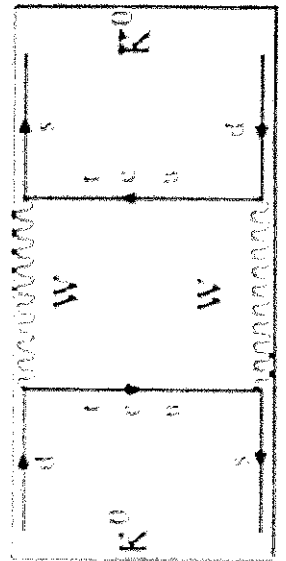
### Beschreibung der CP-Verletzung im Standardmodell:

Die schwache Wechselwirkung zweier Quarks ( $ab \rightarrow cd$ ) wird im Standardmodell durch die Amplitude:

$$\mathcal{M} \propto \int_{\text{Box}} U_{ca}^* U_{db} (\bar{u}_c \gamma^\mu (1 - \gamma^5) u_a) (\bar{u}_d \gamma_\mu (1 - \gamma^5) u_b)$$

beschrieben, die Elemente der CKM-Matrix  $U$  enthält.

Der Übergang  $K^0 \leftrightarrow \bar{K}^0$  wird im Standardmodell durch sogenannte Box-Diagramme beschrieben, v.B.:



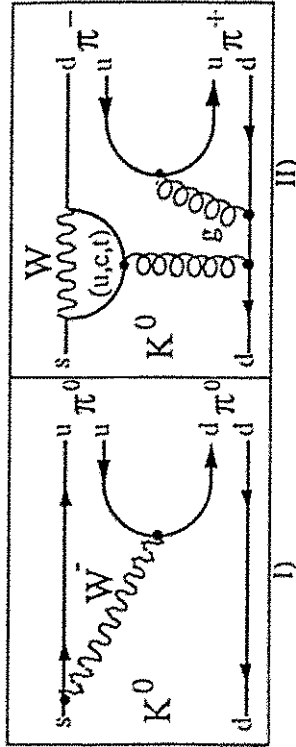
## CP-Verletzung im Standardmodell

⇒ Enthält die Amplitude für dieses Diagramm komplexe Elemente der CKM-Matrix, dann gilt:

$$\mathcal{M}(K^0 \rightarrow K^0) \neq \mathcal{M}^*(K^0 \rightarrow K^0)$$

d.h. die CP-Symmetrie (und T-Symmetrie) ist verletzt.

Wird die CP-Verletzung durch komplexe Elemente der CKM-Matrix erzeugt, dann gibt es zwangsläufig auch Diagramme, die Beiträge zur direkten CP-Verletzung in den Zerfällen  $K^0/\bar{K}^0 \rightarrow 2\pi$  liefern (Penguin-Diagramme):



• Das Standardmodell ist "milliweak" ⇒ es läßt indirekte CP-Verletzung erwarten ( $\epsilon' \neq 0$ ).

• Diagramm I) liefert Beiträge zu den Amplituden  $A_0$  und  $A_2$ , verletzt aber nicht die CP-Symmetrie.

Diagramm II) jedoch verletzt die CP-Symmetrie ( $U_{td}$  der CKM-Matrix ist komplex) trägt aber nur zu  $A_0$  bei!

⇒ CP-Verletzung im Standardmodell nur in  $A_0$ .

## CP-Verletzung im Standardmodell

9

- Die indirekte CP-Verletzung wird im Standardmodell durch die schwache Wechselwirkung in 2. Ordnung erzeugt.

$$\begin{cases} \varepsilon = 2,263 \pm 0,023 \cdot 10^{-3} \\ \text{Arg}(\varepsilon) = (46,0 \pm 1,4)^\circ \end{cases}$$

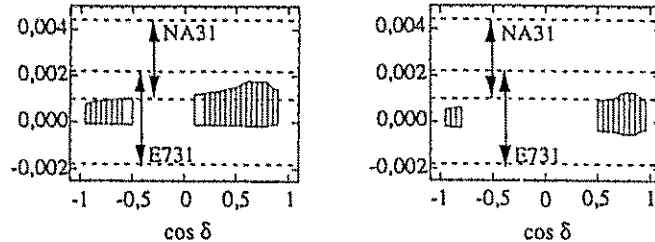
- Das Standardmodell ist milliweak, d.h. es gibt CP-Verletzung auch in 1. Ordnung der schwachen Ww.

⇒ Falls es keine direkte CP-Verletzung gibt:

- Erklärung der indirekten CP-Verletzung durch neuartige, superschwache Wechselwirkung mit  $\Delta S=2$ , oder:

$\varepsilon' = 0$  in Übereinstimmung mit dem Standardmodell bei einer Topmasse von  $\approx 200$  GeV:

$\Re(\varepsilon'/\varepsilon)$  für  $m_{\text{top}} = 160$  GeV und  $m_{\text{top}} = 200$  GeV:



M. Lusignoli, L. Maiani, G. Martinelli, L. Reina, Nucl. Phys. B369

Für die das  $K^0\bar{K}^0$ -System beschreibenden Parameter existieren aus bisherigen Experimenten folgende Werte:

$$\Re \frac{\varepsilon'}{\varepsilon} = \begin{cases} (23 \pm 7) \cdot 10^{-4} & \text{NA31} \\ (6 \pm 7) \cdot 10^{-4} & \text{E731} \end{cases}$$

\*\*R.Carosi et. al., Phys. Lett., B237 bzw. M.Karlsson et. al., Phys. Rev. Lett., 64 (1990)

## Messungen der CP-Verletzung

10

Die Erhaltung diskreter Symmetrien im  $K^0\bar{K}^0$ -System wird bei DaΦne mit unterschiedlichen Methoden untersucht werden, von denen einige schon bei bisherigen Experimenten verwendet wurden, andere jedoch erst durch die speziellen physikalischen Gegebenheiten an einer Φ-Fabrik ermöglicht werden.

Bisherige Experimente:

- Messung der indirekten CP-Verletzung in  $K_L$ -Zerfällen:

$$K_L \approx K_2 + \varepsilon K_1 \quad \text{mit} \quad \text{CP}(K_2) = -1 \quad \text{CP}(K_1) = +1$$

$2\pi$ - und  $3\pi$ -Endzustände ohne rel. Drehimpuls sind CP-Eigenzustände mit den Eigenwerten +1 bzw. -1.

⇒ Der Zerfall  $K_L \Rightarrow \pi\pi$  verletzt die CP-Symmetrie (Christenson, Fitch et al. 1964)

- Beobachtung anfänglich reiner  $K_L$ -Strahlen nach Durchqueren eines Regenerators. Messung der Ladungsasymmetrie  $\delta$  in semileptonischen Zerfällen:

$$K^0 \Rightarrow \ell^+ \nu_\ell \pi^- \quad \text{bzw.} \quad \bar{K}^0 \Rightarrow \ell^- \bar{\nu}_\ell \pi^+$$

Wegen der  $\Delta S = \Delta Q$ -Regel (keine flavour-ändernden neutralen Ströme) zerfallen die Strangeness-Eigenzustände in Leptonen unterschiedlicher Ladung (Gjesdal et al. (1974)). Ladungsasymmetrie  $\delta$ :

$$\delta(t) = \frac{N^+ - N^-}{N^+ + N^-} = 2 \left[ e^{-t(\Gamma_S - \Gamma_L)/2} \cdot \cos(\Delta m t) + \text{Re } \varepsilon \right]$$

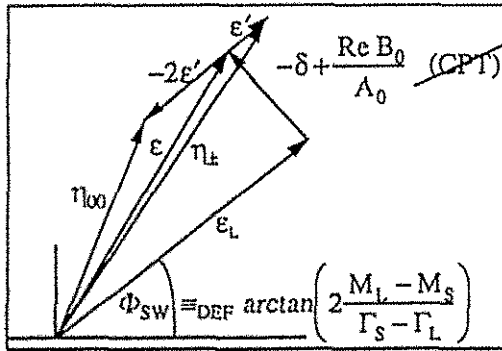
## Messungen der CP-Verletzung bei DAΦNE

11

- Messung des Doppelverhältnisses  $\mathcal{R}^\pm/\mathcal{R}^0$ :

Relativer Anteil der CP-verletzenden Amplituden  $K_L \Rightarrow 2\pi$ :

$$\frac{A(K_L \Rightarrow \pi^+\pi^-)}{A(K_S \Rightarrow \pi^+\pi^-)} \equiv \eta_\pm = \varepsilon + \varepsilon'; \quad \frac{A(K_L \Rightarrow \pi^0\pi^0)}{A(K_S \Rightarrow \pi^0\pi^0)} \equiv \eta_{00} = \varepsilon - 2\varepsilon'$$



⇒ Mit der Messung von  $\mathcal{R}^\pm/\mathcal{R}^0$  läßt sich  $\Re(\varepsilon'/\varepsilon)$  bestimmen:

$$\mathcal{R}^\pm/\mathcal{R}^0 \equiv \frac{N(K_L \Rightarrow \pi^+\pi^-)}{N(K_S \Rightarrow \pi^+\pi^-)} \div \frac{N(K_L \Rightarrow \pi^0\pi^0)}{N(K_S \Rightarrow \pi^0\pi^0)} = 1 + 6 \cdot \Re\left(\frac{\varepsilon'}{\varepsilon}\right)$$

Statistischer Fehler der Messung von  $\mathcal{R}^\pm/\mathcal{R}^0$ :

$$\Delta(\mathcal{R}^\pm/\mathcal{R}^0) \equiv \sqrt{\frac{3}{2} \cdot \frac{1}{N_{K_L \rightarrow \pi^0\pi^0}}} = 6 \cdot \Delta\left(\Re\left(\frac{\varepsilon'}{\varepsilon}\right)\right)$$

⇒  $\Delta(\Re(\varepsilon'/\varepsilon)) \approx 5 \cdot 10^{-5}$  (per anno; bei  $L \approx 10^{33} \text{ cm}^{-2} \text{ sec}^{-1}$ ;  
Detektor- und "tagging"-Effizienz unberücksichtigt)

## Messungen der CP-Verletzung bei DAΦNE

12

- Erkennung von  $K_L/K_S$  an Art und Ort des Zerfalls:

Identifizierung von  $K_S$  durch Zerfälle in  $\pi^+\pi^-$  in der Nähe des Strahlrohres. ⇒ "Tagging" von  $K_L$ .

Identifizierung von  $K_L$  durch die Zerfälle in  $\pi^+\pi^-\pi^0, \pi^\pm\mu^\mp\nu$  und  $\pi^\pm e^\mp\nu$  in >30 cm Abstand von der Ww-Zone.

⇒ Erster "getaggtter"  $K_S$ -Strahl.

Beobachtung der CP-Verletzung in den Zerfällen  $K_S \Rightarrow 3\pi$

- Messungen mit "Interferenz-Methoden"

Durch den Zerfall des  $\Phi$ -Mesons wird der Zustand

$$\begin{aligned} |i\rangle &\propto |K^0, \bar{p}\rangle |\bar{K}^0, -\bar{p}\rangle - |\bar{K}^0, \bar{p}\rangle |K^0, -\bar{p}\rangle \\ &\propto |K_S, \bar{p}\rangle |K_L, -\bar{p}\rangle - |K_L, \bar{p}\rangle |K_S, -\bar{p}\rangle \end{aligned} \quad \text{erzeugt.}$$

Die Anzahl der Zerfälle dieses Zustandes in den Endzustand (des einen Kaons)  $f_1$  zum Zeitpunkt  $t_1$  bzw.  $f_2$  (des anderen Kaons) zum Zeitpunkt  $t_2$  ist damit gegeben durch:

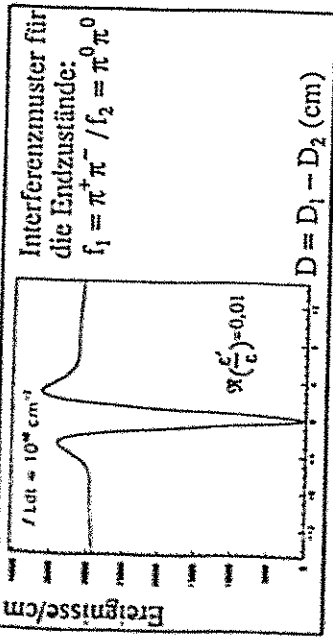
$$\begin{aligned} I(f_1; f_2, \Delta t) &= \frac{1}{2(\Gamma_S + \Gamma_L)} \left| \langle f_1 | K_S \rangle \langle f_2 | K_S \rangle \right|^2 (|\eta_1|^2 e^{-\Gamma_L \Delta t} + |\eta_2|^2 e^{-\Gamma_S \Delta t} \\ &\quad - 2|\eta_1||\eta_2| e^{-(\Gamma_S + \Gamma_L)\Delta t/2} \cos(\Delta M \Delta t + \Phi_1 - \Phi_2)) \end{aligned}$$

wobei  $\eta_i = \frac{\langle f_i | K_L \rangle}{\langle f_i | K_S \rangle} = |\eta_i| e^{i\Phi_i}$

- Gleiche Endzustände z.B.  $f_1=f_2=\pi^+\pi^- \Rightarrow \Gamma_S, \Gamma_L, \Delta M$

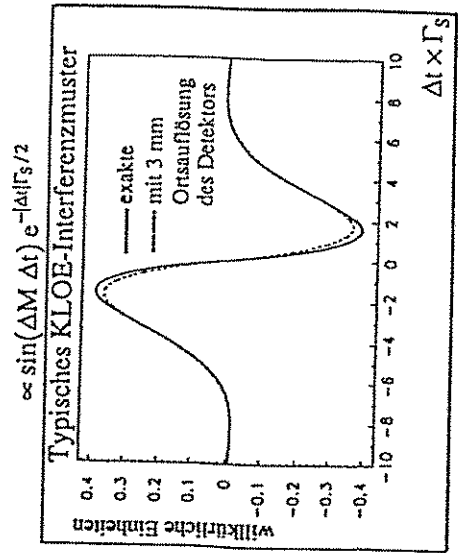
## Messungen der CP-Verletzung bei DAΦNE

- $f_1 \neq f_2$



$$a) f_1 = \pi^+ \pi^- ; f_2 = \pi^0 \pi^0 \Rightarrow \left[ |\eta_1|, |\eta_2|, \Phi_1 - \Phi_2 \right] \mathfrak{R}(\epsilon'), \mathfrak{I}(\epsilon')$$

• Die Interferenzmessungen erfordern eine gute Ortsauflösung des Detektors. Die Abbildung zeigt den Einfluß, den eine Genauigkeit der Rekonstruktion des Zerfallsvertex von 3 mm auf ein typisches Interferenzmuster hat:



## Messungen der CP-Verletzung bei DAΦNE

b) Zerfall in Leptonen:  $f_1 = \pi^- \ell^+ \nu_\ell ; f_2 = \pi^+ \ell^- \nu_\ell \Rightarrow$   
Kabir-Test:  $\Gamma$ -Invarianz erfordert:

$$M(K^0(t=0) \Rightarrow K^0(t)) = M(\bar{K}^0(t=0) \Rightarrow K^0(t))$$

$\Rightarrow$  Identifikation des zuerst zerfallenden Kaons durch semileptonischen Zerfall

$\Rightarrow$  definierter Zustand des zweiten Kaons

$\Rightarrow$  Rückschluß auf  $K^0 \Leftrightarrow \bar{K}^0$ -Umwandlung aus dem semileptonischen Zerfall dieses Kaons.

$\Rightarrow$  Messung der T- bzw. CPT-verletzenden Antisymmetrien: ( $L^{++} / L^{+-}$  = Anzahl der entsprechenden Dileptonzerfälle)

$$A_T(\Delta t) = \frac{N(\bar{K}^0 \Rightarrow K^0; \Delta t) - N(K^0 \Rightarrow \bar{K}^0; \Delta t)}{N(\bar{K}^0 \Rightarrow K^0; \Delta t) + N(K^0 \Rightarrow \bar{K}^0; \Delta t)}$$

$$= \frac{L^{+-} - L^{++}}{L^{++} + L^{+-}} = 4 \mathfrak{R}(\epsilon)$$

$$A_{\text{CPT}}(\Delta t) = \frac{N(K^0 \Rightarrow K^0; \Delta t) - N(\bar{K}^0 \Rightarrow \bar{K}^0; \Delta t)}{N(K^0 \Rightarrow K^0; \Delta t) + N(\bar{K}^0 \Rightarrow \bar{K}^0; \Delta t)}$$

$$= \frac{L^{+-} - L^{++}}{L^{++} + L^{+-}} \approx 4 \mathfrak{R}(\delta)$$

c) Beobachtung der Zeitentwicklung der Zerfallsraten "getagelter"  $K^0 / \bar{K}^0$ -Zustände (z.B.  $K^0 / \bar{K}^0 \Rightarrow \pi^+ \pi^-$ ):



## Andere Messungen bei DAΦNE

15

DAΦNE ermöglicht über die Erforschung der CP-Verletzung hinaus Experimente auf zahlreichen anderen Gebieten:

- Tests der chiralen Störungstheorie (χPT):
  - Effektive Feldtheorie zur Beschreibung der starken Wechselwirkung im Niederenergiebereich ( $E \leq M_p$ ).
  - Die QCD-Lagrangefunktion ist invariant unter der globalen  $SU(3)_L \times SU(3)_R$ -Transformation bei verschwindenden Quark-Massen (u,d,s).
  - Spontane Symmetriebrechung reduziert die Symmetrie des Grundzustands  $\Rightarrow$  Identifikation des Nonetts der  $^{++}$ skalaren ( $J^{PC} = 0^{++}$ )-Mesonen als Goldstone-Bosonen.
  - Die Theorie enthält freie Parameter: Pion-Zerfallskonstante und eine Kombination der Meson-Massen als freie Parameter in niedrigster Ordnung ( $O(p^2)$ ). 10 Parameter in 2. Ordnung ( $L_1 - L_{10}$ ).

I) Bestimmung dieser Parameter durch wenige experimentelle Quellen. (z.B.  $L_1 - L_3$  aus  $\pi\pi$ -WW in  $K_{e4}$ -Zerfällen)

- Zerfall  $K^+ \Rightarrow \pi^+ \pi^- e^+ \nu_e$ :  
 Bisher (letzte Messung 1977):  $\approx 30.000$  Ereignisse.  
 Bei DaΦne:  $10^6$  / Jahr + ladungskonjugierte Zerfälle.

II) Vorhersage einer Vielzahl von Parametern insbesondere für K-Zerfälle.

## Andere Messungen bei DAΦNE

16

$\Rightarrow$  DaΦne als Kaon-Fabrik ermöglicht Messungen zahlreicher Zerfälle mit einer um Größenordnungen höheren Zahl von Ereignissen z.B.:

$$\boxed{K_{13}^-, K_{12,\gamma}^-, K_{12,e^+e^-}^-, K_{13,\gamma}^- \text{ Zerfälle; } K^\pm \Rightarrow \pi^\pm \gamma\gamma}$$

Außerdem:

- radiative  $\Phi$ -Zerfälle ( $\Phi \Rightarrow \eta' \gamma$ ,  $\Phi \Rightarrow \eta \gamma$ ),  $\eta' \Leftrightarrow \eta$   
 Untersuchung der  $0^{++}$ -Zustände  $a_0 / f_0$  (Glueballs?,  $K\bar{K}$ -Moleküle?).
- Untersuchung der niederenergetischen ( $E_{\text{kin},K^\pm} = 16 \text{ MeV}$ ) KN-Streuung (elastisch, mit Ladungsaustausch)  $\Rightarrow$  Bestimmung des KN- $\sigma$ -Terms.  
 Regeneration ( $K_L^0 p \Rightarrow K_S^0 p$ ), K-Streuung am Deuteron.  
 Erzeugung von Hyperonen durch  $K^-$ :

$$K^- p \Rightarrow \Lambda \pi^0, \quad K^- p \Rightarrow \Sigma^\pm \pi^\mp, \quad K^- p \Rightarrow \Sigma^0 \pi^0$$

- Kernphysikalische Untersuchungen an Hyperkernen, die durch gestoppte  $K^-$  erzeugt werden:

Spektroskopie an  $\Lambda$ -Hyperkernen, Produktion von  $\Lambda$ -Hyperkernen mit Neutronenüberschuß in dem 2-Stufen-Prozeß:  $K^- p \Rightarrow \Lambda \pi^0$  gefolgt von  $\pi^0 p \Rightarrow n \pi^+$ , etc.

$\Rightarrow$  Für diese Experimente wird ein eigener Detektor (FINUDA) um die zweite Wechselwirkungszone aufgebaut.

⇒KLOE<sup>\*)</sup>:

Der KLOE-Detektor dient in erster Linie der Untersuchung der CP-Verletzung mit den oben beschriebenen Methoden. Daraus ergeben sich folgende Anforderungen an den Detektor:

- $K_L$ -Zerfälle (Sekundärvertex) können wegen der großen Zerfallslänge im gesamten Detektor auftreten.

⇒Um bei  $K_L$ -Zerfällen möglichst hohe Raten zu erreichen, muß die Größe des Detektors ungefähr der  $K_L$ -Zerfallslänge von 350 cm entsprechen.

⇒Die Effizienz des Detektors für neutrale Zerfälle ( $K_L \Rightarrow 2\pi^0 / 3\pi^0$ , Photon-Nachweis) muß in einem definierten Volumen homogen hoch sein.  
 ⇒möglichst geschlossenes Kalorimeter  
 ⇒Photon-Nachweis bis hinunter zu  $\approx 20$  MeV

⇒Hohe Effizienz und Impulsauflösung auch für geladene Teilchen  $K_L \Rightarrow \pi^+\pi^- / \pi^+\pi^-\pi^0$ ;  $K_S \Rightarrow \pi^+\pi^-$ .  
 ⇒Driftkammer mit hoher Granularität in allen Bereichen.  
 ⇒möglichst leichte Konstruktion der Driftkammer (wenig Material um Vielfachstreuung zu minimieren).

- Die Anwendung der Interferenz-Methoden erfordert eine präzise (Orts-)Bestimmung der Zerfallsvertices.

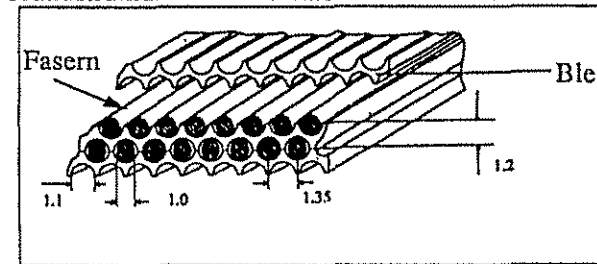
KLOE besteht im wesentlichen aus zwei Komponenten:

<sup>\*)</sup> K zero Long Experiment

I) KALORIMETER

⇒Barrel-Kalorimeter:

- 24 Module ( $M=3,5$  t) von 5,1 m Länge in z-Richtung in zylindrischer Anordnung (Innendurchmesser 4,5 m).
- Grundstruktur aus Szintillatorfasern in einer Bleimatrix:



- Auslese von  $3,5 \text{ cm} \times 3,5 \text{ cm}$  großen Bereichen durch Photomultiplier an beiden Enden.
- Energieauflösung:  $\sigma_E / E \approx 4,5\% / \sqrt{E(\text{GeV})}$
- Bestimmung des  $\gamma$ -Konversionspunktes auf 1 cm genau.
- Zeitauflösung:  $\sigma_t \approx 100$  ps bei 250 MeV  
 ⇒Messung des  $K_L$ -Vertex mit 6 mm Auflösung.
- Umschließt die Wechselwirkungszone zu 99%.

⇒Endkappen-Kalorimeter:

- Gleiche Grundstruktur (Spaghetti) wie Barrel. "C"-förmige Elemente versch. Länge mit Auslese an beiden Enden.
- Das Kalorimeter befindet sich im Magnetfeld (0,6 T).
- Verschiedene Prototypen (darunter ein vollständiges Barrel-Segment) wurden am Paul-Scherrer-Institut getestet.

## Der KLOE-Detektor

### II) DRIFTKAMMER

- Die zylindrische Driftkammer schließt sich nach innen an das Kalorimeter an (Innen-/Außenradius: 25 bzw. 194 cm)
- Um eine möglichst große Strahlungslänge zu erreichen, wird die Kammer ( $\approx 40 \text{ m}^3$ ) mit einer Helium-Gasmischung (90% He/10%  $i\text{C}_4\text{H}_{10}$ ,  $X_0 \approx 1,3 \text{ km}$ ) gefüllt.
- Die Kammer wird  $\approx 53000$  in z-Richtung gespannte Drähte (Al, vergoldet) enthalten, die zu rd. 13000 Driftzellen in 62 koaxialen Schichten angeordnet sind.  
Diffizil: Alle Drähte werden als Stereodrähte gespannt.  
 $\Rightarrow$  Querschnitt der Driftzellen ändert sich stark mit z.  
 $\Rightarrow$  z. T. komplexe Ort-Driftzeit-Relation.  
 $\Rightarrow$  Spurrekonstruktion und Patternrecognition schwierig.  
Abbildung: Zellstruktur der Prototypen 0.1/0.2 im Querschnitt:

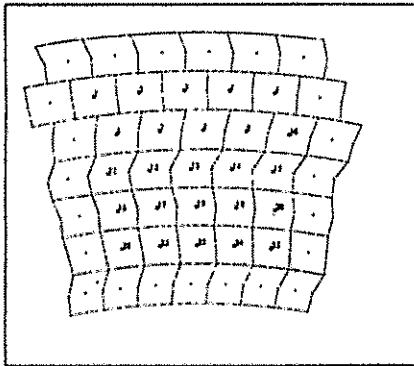


Abbildung: Lage der Stereodrähte beim Prototypen 1.0:

19

## Der KLOE-Detektor

20

- Befestigung der Drähte an konischen Endplatten aus GFK. (Endplatten des Prototypen 1.0 von Fa. Stesalit hergestellt)  
Dicke der Endplatten 5 mm, Zugbelastung  $\approx 4000 \text{ kg}$ .

### Prototyp 1.0:

- Zur Zeit wird in Lecce der Prototyp 1.0 fertiggestellt. Dieser realisiert einen Ausschnitt der KLOE-Driftkammer mit 500 Driftzellen und dient zum Test verschiedener Größen von Driftzellen, der für KLOE bisher entwickelten Elektronik (Vorverstärker, HV-Versorgung), zum Test der verwendeten Materialien und der Organisation von Arbeitsabläufen (Spannen der Drähte).

Am Test dieses Prototypen am CERN wird unsere Gruppe beteiligt sein, wie schon an den Tests der vorherigen Prototypen 0.1/0.2 am PSI. Dafür wurde von uns ein Gassystem entworfen und gebaut, auf dessen Basis wir ein Gassystem für die KLOE-Driftkammer realisieren werden.

### KLOE-Gassystem

- Gasmischung auf Heliumbasis mit einer (evtl. zwei) weiteren Komponenten (z.B. 90% He/10%  $i\text{C}_4\text{H}_{10}$  oder 80% He/20%  $\text{CH}_4$ ).
- Auslegung als geschlossenes Gassystem (Gaszirkulation  $\approx 30 \text{ L/min.}$ ), um eine gleichbleibende und genau bekannte Gaszusammensetzung zu gewährleisten.

## Der KLOE-Detektor

21

- Permanente Überwachung der Gaszusammensetzung, Feststellung von Verunreinigungen und laufende Messung der für den Betrieb der Driftkammer relevanten Parameter:
- ⇒ Messung von Driftgeschwindigkeit und Gasverstärkung mit einer Monitordriftkammer, in der Gasproben mittels eines Lasers ionisiert werden.
- ⇒ Messung der Sauerstoffkonzentration mit Hilfe einer elektrochemischen Meßzelle (Panametrics).
- ⇒ Bestimmung des Wassergehalts mittels Taupunktsensor.
- ⇒ Messung des Methan/Isobutan-Anteils mit einem IR-Photometer (BINOS).
- ⇒ Messung der Temperaturverteilung im Detektor.
- Vollständige Automatisierung des gesamten Systems: Steuerung der Ventile, Gasflußregler, Pumpen und Meßgeräte durch einen Rechner. Automatische Erfassung der Meßdaten und Weitergabe an die KLOE-DAQ.

### Konstruktion:

- ⇒ Verwendung von VCR-Verbindungen für hochreine Systeme, Metall-Faltenbalgventilen und -pumpen im gesamten Gassystem.
- ⇒ Vermeidung von Schmierstoffen oder ausgasenden Materialien.

## Der KLOE-Detektor

22

⇒ Modulare Konstruktion des Systems:

- Getrennte Mischung für große und kleine Gasmengen.
- Modul zum Anschluß des Detektors.
- Analysegeräte und Gasreinigung.

### weitere Aktivitäten:

- Systematische Messungen der Elektron-Driftparameter (Driftgeschwindigkeit, longitudinale und transversale Diffusion, Elektronenanlagerung, etc.) in Helium-Gasmischungen mit Hilfe der Monitorkammer des Gassystems.
- Untersuchung von "cluster counting" als neuartige Methode zur Teilchenidentifikation in Zusammenarbeit mit einer Gruppe der Universität Roma II.
- Mitarbeit bei der Entwicklung elektronischer Komponenten für KLOE, insbesondere Entwicklung und Bau des VME-Boards, das die speziell für KLOE entwickelten TDC-Bauteile aufnehmen wird.

Fertigstellung von DAΦNE: Ende 1995

Erster Einsatz des KLOE-Detektors: Juni 1996

\*\*\*

(Gefördert vom BMFT unter 06 KA 564)

FORSCHUNGSZENTRUM  
ROSSENDORF e.V.

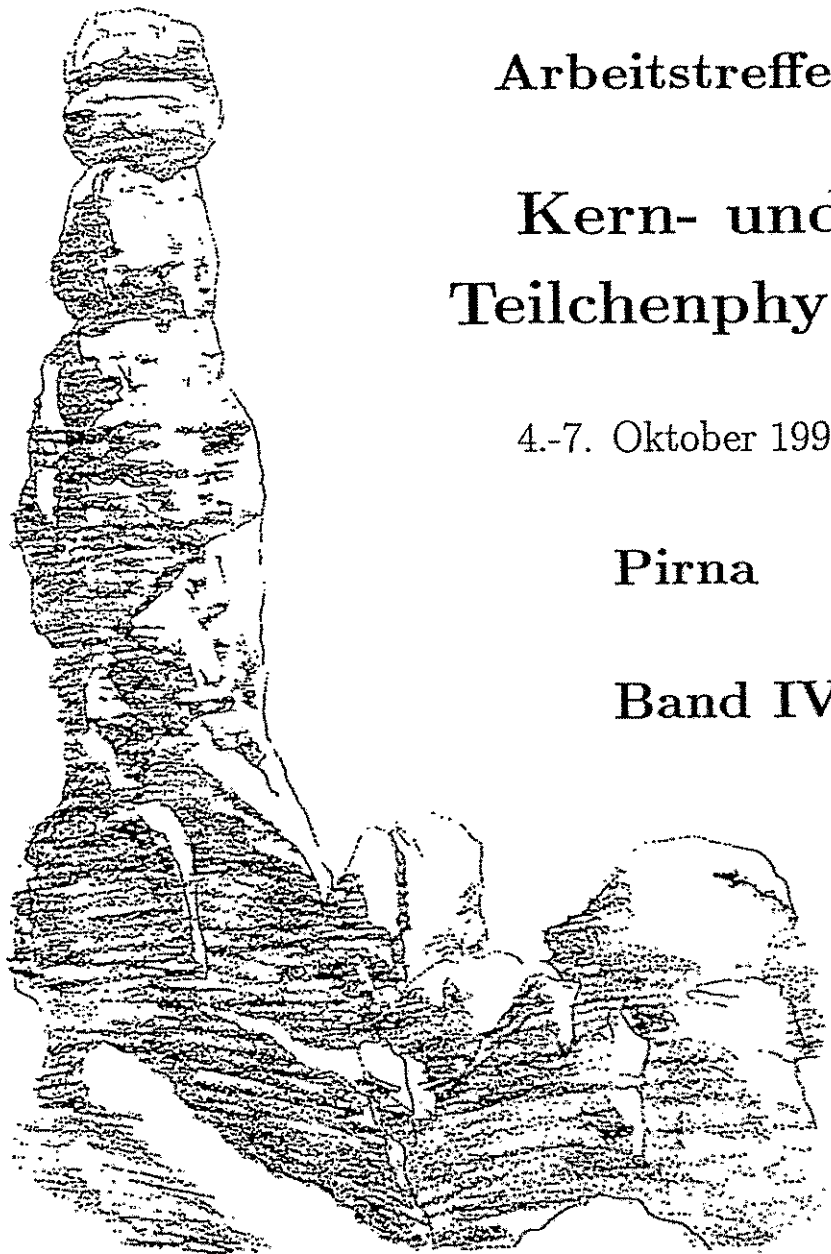
FZR

---

Archiv-Ex.:

FZR-63

November 1994



Arbeitstreffen

Kern- und  
Teilchenphysik

4.-7. Oktober 1994

Pirna

Band IV

"Barbarine" - Elbsandsteingebirge

**Forschungszentrum Rossendorf e.V.**

**Postfach 51 01 19 · D-01314 Dresden**

**Bundesrepublik Deutschland**

**Dr. K. Möller      Tel. (0351) 591 3276**

**Dr. L. Naumann    Tel. (0351) 591 3259**

**Telefax                      (0351) 591 3700**

**E-Mail                      [pirna@fz-rossendorf.de](mailto:pirna@fz-rossendorf.de)**

# Programm des Arbeitstreffens "Kern- und Teilchenphysik 1994" in Pirna

Band I      Dienstag, 4. Oktober 1994

W. Weise, Regensburg:	Entwicklungen in der Theorie der Hadronen	1
B. Schoch, Bonn:	Experimente zur Struktur des Nukleons (ELSA)	21
W. Schwille, Bonn:	Photon-Nukleon-Experimente im GEV-Bereich (Resultate mit dem SAPHIR-Detektor) (ELSA)	37
W. Meyer, Bonn:	Pion- und Eta-Produktion an polarisierten Protonen (ELSA)	51
H. Clement, Tübingen:	Experimente mit Pionen am PSI	77
<b>Theorie-Workshop</b>		<b>103</b>
D. Pirjol, Mainz:	Heavy Baryons	105
R. Fleischer, München:	CP-Verletzung im B-System	111
R. Jakob, Wuppertal:	E.m. Formfactors in the modified Hard Scattering Approach	119
W. Melnitchouk, Regensburg:	Deep Inelastic Scattering from Relativistic Constituent Quarks	129
M. Beinker, Dresden:	$q^2q^{-2}$ im Konstituenten-Quarkmodell	139
E. Kolomeitsev, Rossendorf:	Kaon-Polarisation in Kernmaterie	147
<b>Physik an Mesonenfabriken</b>		<b>155</b>
J. Arnold, Freiburg:	Experimente mit polarisierten Neutronen am PSI	157
K.P. Jungmann, Heidelberg:	Präzisionsmessungen am Myoniumatom	171
C. Dohmen, Aachen:	Suche nach der $\mu$ -e Konversion an Kernen im SINDRUM II-Spektrometer	187
J. Hartmann, München:	Neues von $\mu$ CF und langsamen Myonen	195

**Band II****Mittwoch, 5. Oktober 1994**

E. Offermann, Mainz:	Recent Results of the Collaboration A1 (MAMI)	207
R. Beck, Mainz:	Experimente mit reellen Photonen (MAMI)	221
H. Schmieden, Mainz:	Messung des elektrischen Formfaktors des Neutrons (MAMI)	243
H. Schmitt, Freiburg:	Strangeness-Produktion am LEAR	257
S. Paul, CERN:	Physik mit Hyperonen Neues von WA 89 (CERN)	277



G. Mallot, CERN:	Spinstruktur des Nukleons Ergebnisse der Spin Myon Collaboration (CERN)	293
A. Brüll, Heidelberg:	Neue NMC-Resultate aus der tiefinelastischen Myon-Streuung	313
P. Blüm, Karlsruhe:	Das CRYSTAL BARREL Experiment am LEAR	333
C. Straßburger, Bonn:	Wurde im CRYSTAL BARREL Experiment der skalare Glueball entdeckt? (Mesonen I)	345
M. Faessler, München:	Suche nach Mesonen II (CRYSTAL BARREL)	359
U. Wiedner, Hamburg:	Seltene Zerfälle und die Verletzung der OZI-Regel (CRYSTAL BARREL)	373
K. Beuchert, Bochum:	Experimente mit Antiprotonen im Fluge (CRYSTAL BARREL)	395
<b>Detektoren und Datenerfassung</b>		<b>409</b>
M. Heidrich, Heidelberg:	Gasmikrostreifendetektoren	411
K. Zeitelhack, München:	Entwicklung eines schnellen RICH-Detektors für HADES	429
H. Kraus, München:	Status und Perspektiven von Tieftemperatur-Kalorimetern	437
P. Michel, Rossendorf:	Entwicklung eines schnellen TDC mit Konvertierungszeiten im Bereich weniger ns	443
S. Lange, Bochum:	Extraktion der pp-Bremsstrahlung mit künstlichen neuronalen Netzen	451
<b>Neue Projekte</b>		<b>457</b>
V. Burkert, CEBAF:	Geplante Experimente bei CEBAF	459
H. Marsiske, SLAC:	PEP-II: The SLAC-Based Asymmetric B-Factory	473
T. Lohse, Berlin:	B-Physics at HERA-B and LHC	497
U. von Hagel, Karlsruhe:	Das DAΦNE-Projekt	511

E. Grosse, Darmstadt:	Mesonenproduktion in Schwerionenkollisionen bei mittleren Energien	523
K. Kilian, Jülich:	Physikalisches Programm an COSY 3	539
J. Kleinfeller, Karlsruhe:	KARMEN: Neutrino-Spektroskopie an der Spallationsquelle ISIS	573
H.D. Gräf, Darmstadt:	Fünf Jahre Betrieb des S-DALINAC - Ein Statusreport-	597
P. v. Neumann-Cosel, Darmstadt:	Stand der Experimente zum Studium elementarer Kernanregungen am S-DALINAC	613
<b>Experimente an e-Beschleunigern</b>		<b>637</b>
H. Ströher, Gießen:	Untersuchung von $N^*$ -Resonanzen mit $\eta$ -Photoproduktion	639
P. Grabmayr, Tübingen:	$(\gamma, NN)$ -Experimente an leichten Kernen	649
H. Genz, Darmstadt:	Nutzung des S-DALINAC für neuere Entwicklungen in der Strahlungsphysik	663
H. Jüngst, Bonn:	Messung der Reaktionen $\gamma p \rightarrow K^+ \Lambda$ und $\gamma p \rightarrow K^+ \Sigma^0$ von der Schwelle bis 2.0 GeV mit SAPHIR an ELSA	677
A. Richter, Mainz:	Elektropionproduktion $H(e, e' \pi^+)$ an der Dreispektrometeranlage an MAMI	685
<b>CERN/LEAR-Aktivitäten</b>		<b>691</b>
J. Pretz, Mainz:	Messung der Valenz- und Seequarkpolarisation im Nukleon	693
J. Hartmann, München:	Laserspektroskopie langlebiger Zustände in antiprotonischem Helium	699
T. v. Egidy, München:	Antiprotoninduzierte Spaltung und Kernaufheizung	707
J. Brose, Mainz:	Untersuchung der Annihilation von Antiprotonen in Deuterium	723
T. Degener, Bochum:	Anwendung neuronaler Netze in der Datenanalyse	729

Mesonproduktion in Schwerionenkollisionen  
bei mittleren Energien ( $\sim 1\text{GeV/n}$ )

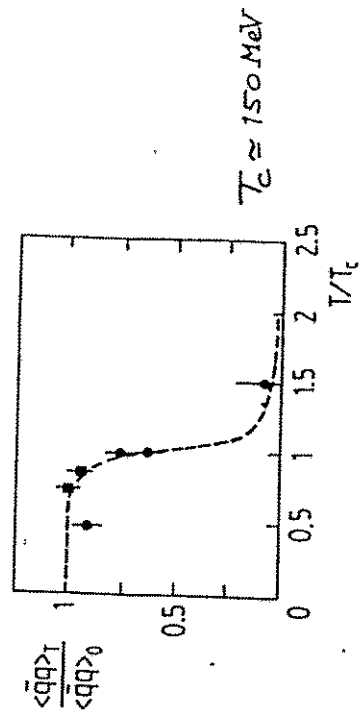
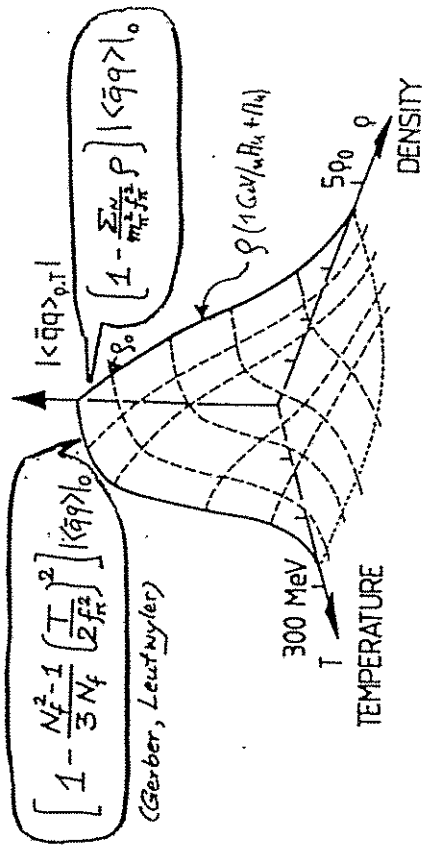
E. Grosse  
Darmstadt

7. Oktober 1994

# CHIRAL THERMODYNAMICS

- Example: NJL model calculation (Lutz <sup>Maue</sup> et al., 1992)

## RESTORATION OF CHIRAL SYMMETRY



- CHIRAL CONDENSATE in LATTICE QCD (G. Boyd et al.)

Mesonproduktion in Schwerionenkollisionen bei  $\sim 1 \text{ GeV/u}$

E. Grosche, GFA

Kern-Kern-Kollisionen bei mittlerer Energie

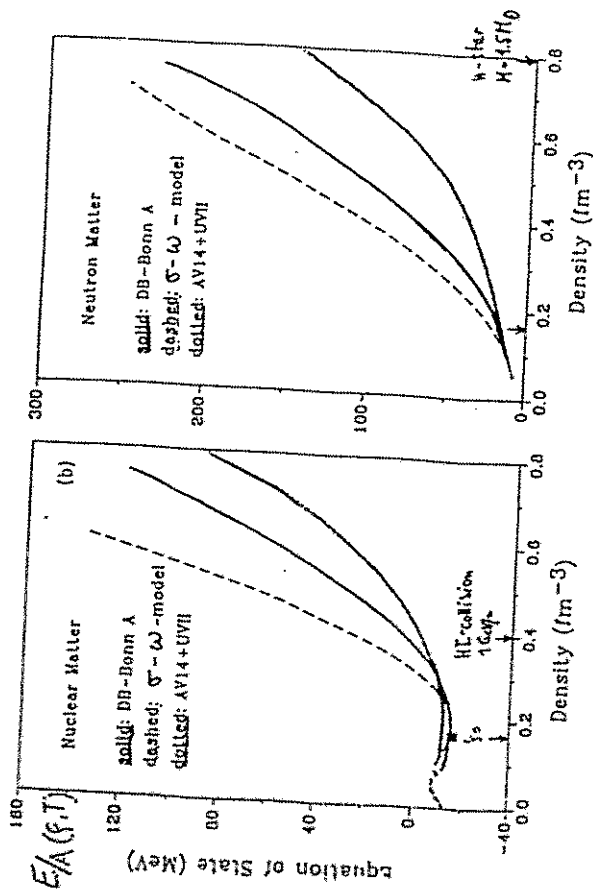
Experimente am SIS in Darmstadt

$K^+$ -Produktion in pp, p-C, p-Pb (SATURNE)

"K<sup>+</sup>-enhancement" in A-A-Kollisionen

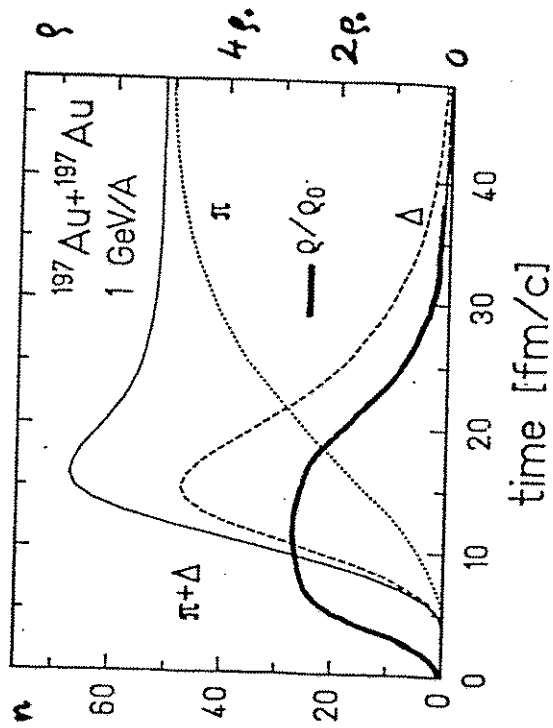
Strukturen in  $\pi^-$ -Winkelverteilungen

Ausblende



pressure :  $P(\rho, T) = \rho^2 \frac{\partial E/A(\rho, T)}{\partial \rho}$  for  $S = \text{const}$

incompressibility :  $K(\rho_0) = \rho_0 \frac{\partial P}{\partial \rho} = \rho_0^2 \frac{\partial^2 E/A}{\partial \rho^2}$

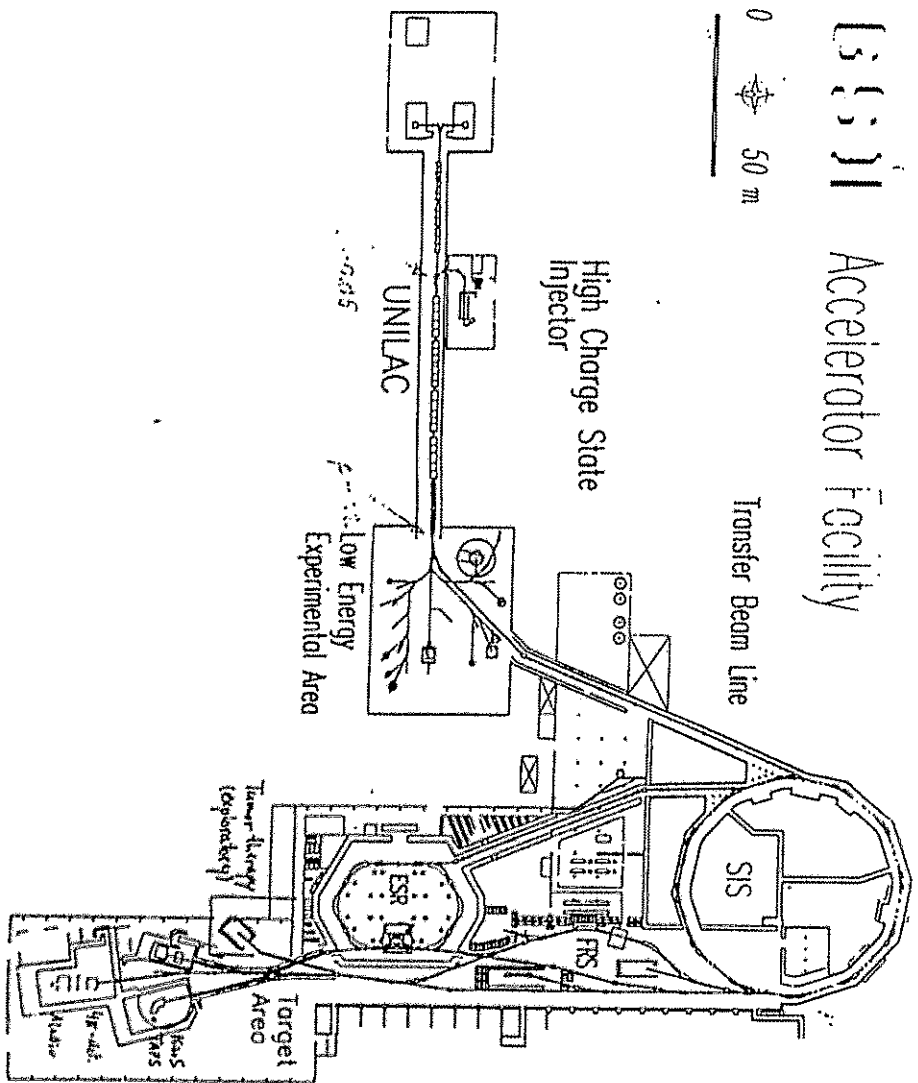


Transport model calculation (Buu) including  $NN \rightarrow NN$ ; Gy. Wolf et al. '93

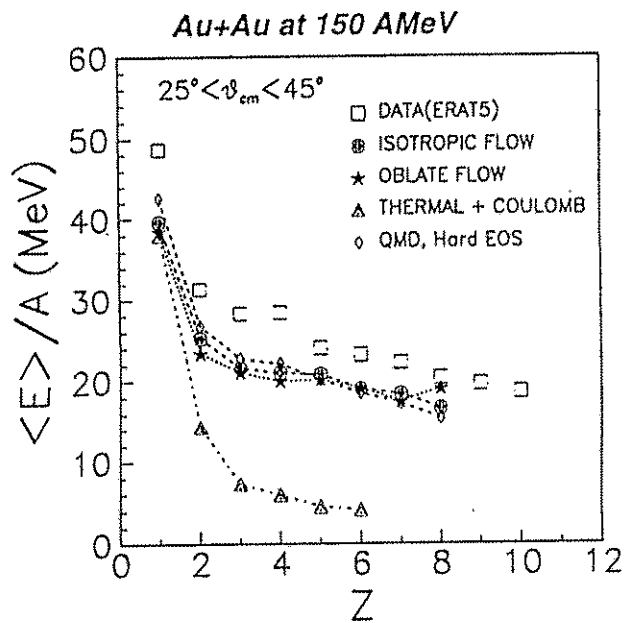
In central collisions the projectile energy is converted into:

- compression  $\rightarrow$  expansion
- heat  $\rightarrow$  thermal motion
- baryon excitation  $\rightarrow$  meson production

Li, Machleidt, Brockmann (1992)



## Mean Kinetic Energies of IMF's

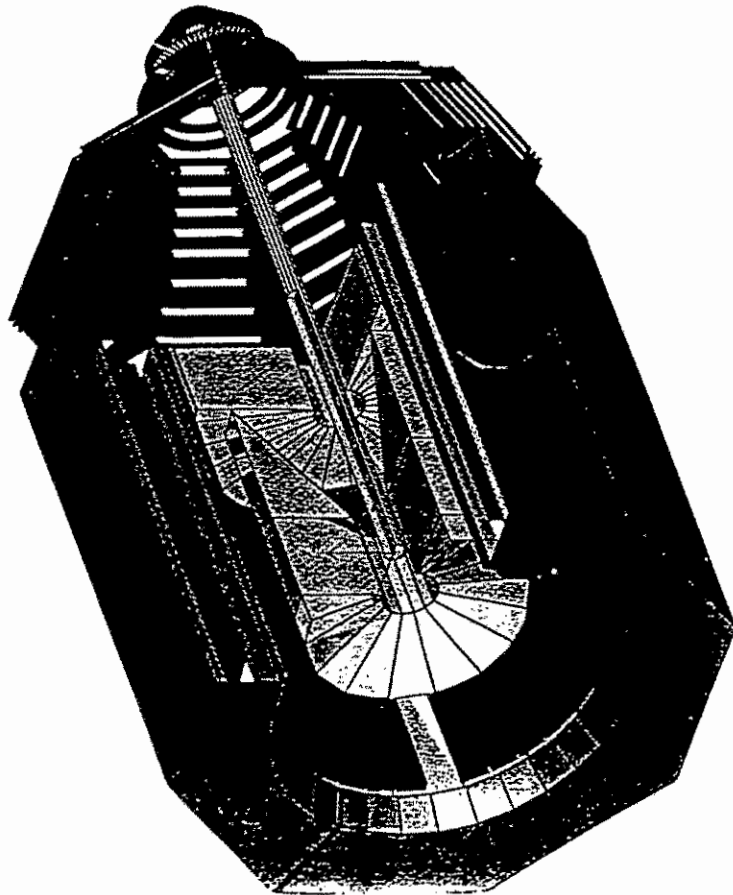


$$\left. \begin{aligned} E_{\text{thermal}}(A) &= T = \text{const} \\ E_{\text{collective}}(A) &= A e_{\text{coll}} \end{aligned} \right\} \langle E \rangle / A = 1/A T + e_{\text{coll}}$$

$$e_{\text{coll}} = 16 \pm 2 \text{ MeV}$$

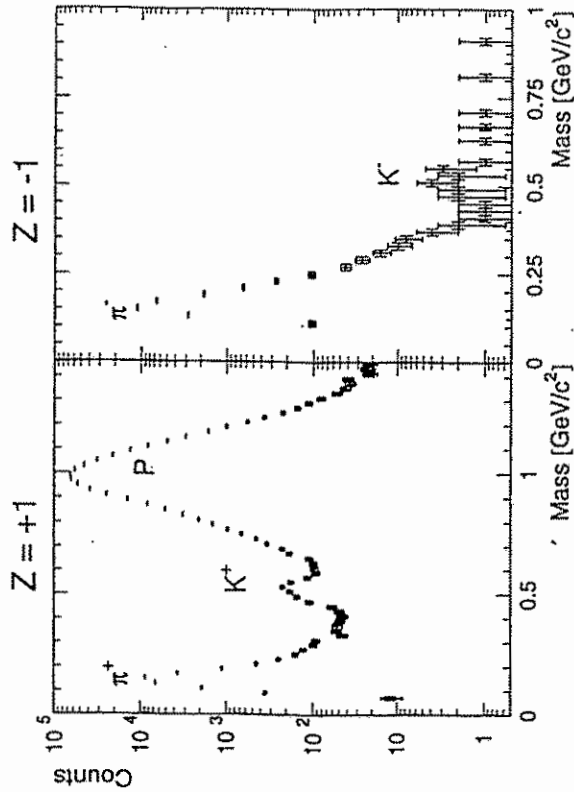
$$e_{\text{av}} = 37 \text{ MeV}$$

FOPI Phase II



FOPI

$$Ni (1.93 \text{ AGeV}) + Ni$$



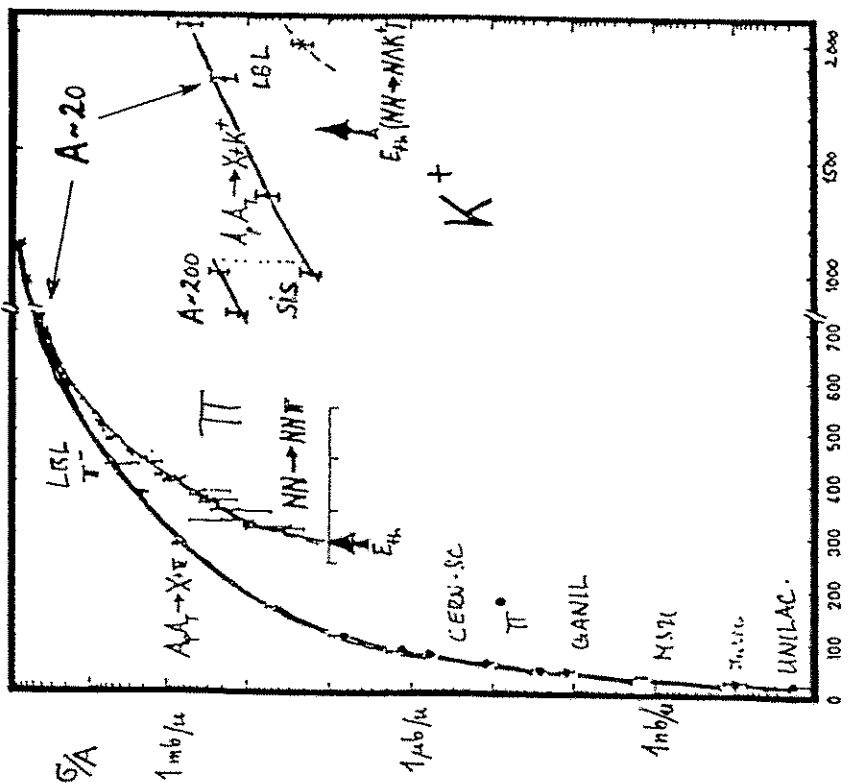
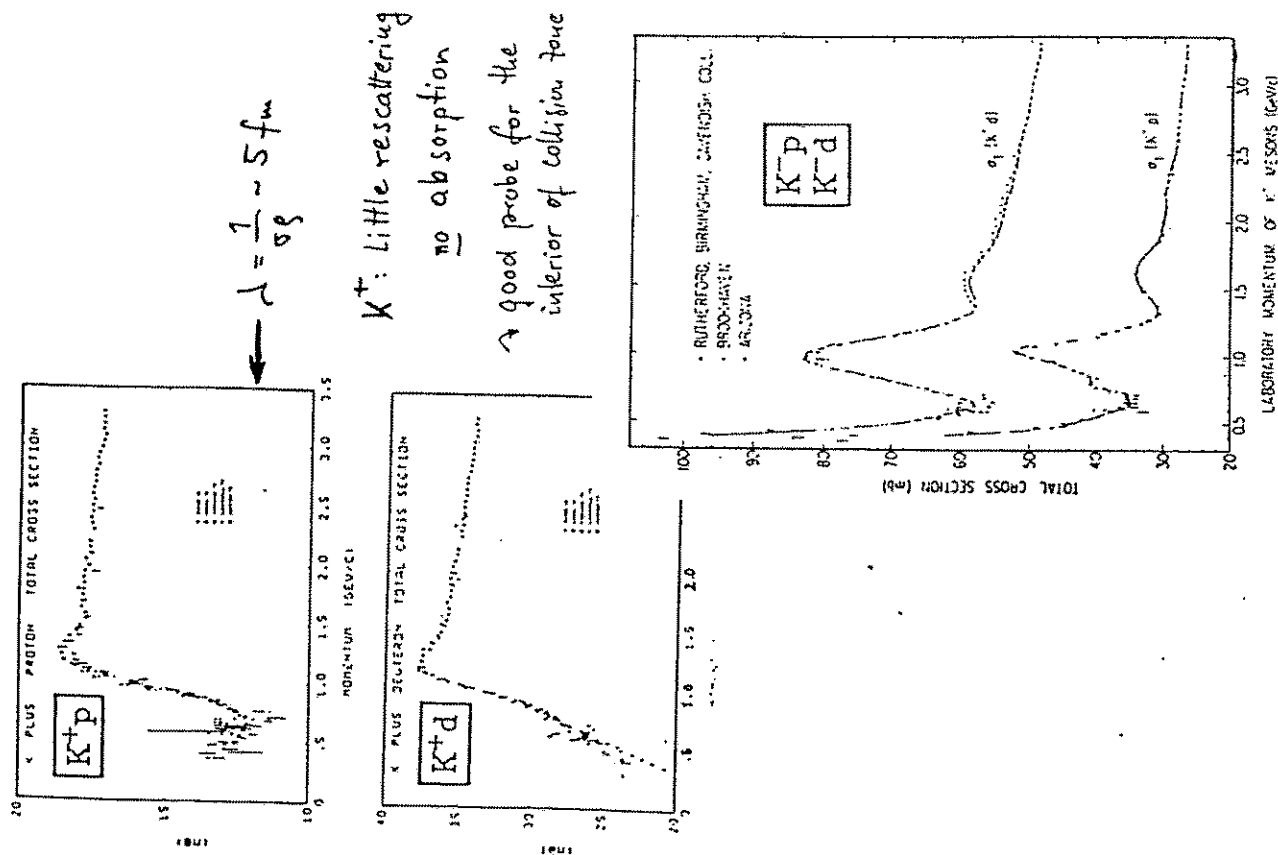
*elementary protons:*

$$NN \rightarrow N\gamma K^+ \quad Y = \Lambda, \Sigma$$

$$NN \rightarrow NN K^+ K^-$$

FOPI - Collaboration:

- IPNE Bucharest + CRIP Budapest + LPC Clermont-Ferrand
- GSI Darmstadt + Univ. Heidelberg + ITEP/KIAE Moscow
- FZ Rossendorf + CRN Strasbourg + Univ. Warsaw + RBI Zagreb



Beam lab energy  $[\text{MeV}/\nu]$

threshold:  $NN: E_p^{\text{lab}}/A > 2m_{\pi}c^2 + \Delta E_{\text{relat}}$   
 $AA_1: \frac{E_p^{\text{lab}}}{A_1} > \frac{A_2 A_1}{A_1 A_1} m_{\pi}c^2 + \Delta E_{\text{relat}}$   
 $\frac{2m_{\pi}c^2}{A} + \dots$  for  $A_1 = A_2$



'elementary' process:  $NN \rightarrow NYK^+$   $Y = \Lambda$

$pp \rightarrow K^+X$   
Hogan et al.

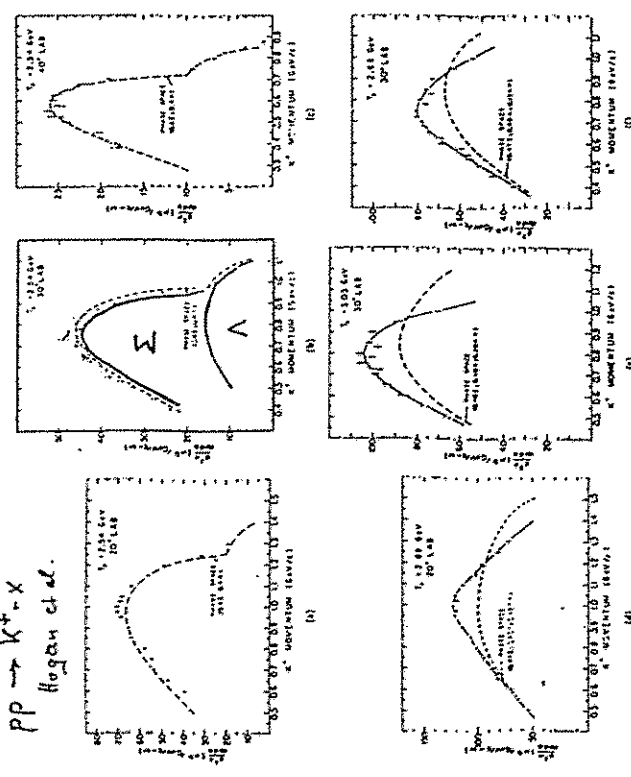
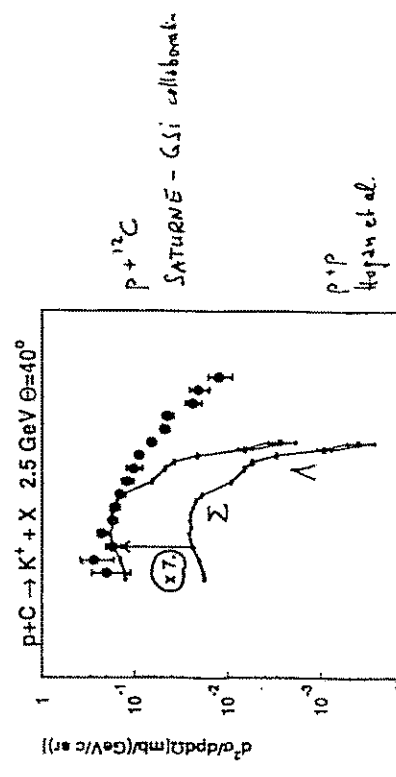


Fig. 4. Laboratory momentum spectra of  $K^+$  mesons produced in hydrogen at the lab angles and incident proton kinetic energies indicated. Errors include statistical errors as well as uncertainties introduced through corrections, but do not include the  $\sim 10\%$  uncertainty in the absolute calibration. Momentum resolution is  $\sim 3\%$ . The dashed lines represent phase space (see text) normalized to the area under the data.

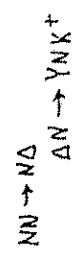
threshold, $NN \rightarrow N\Lambda K^+$	$\sqrt{s}$	$E_{lab}^p$
$N\Lambda K^+$	2.578	1.582
$NN\Lambda K^+$	2.620	1.760
$NN\Lambda K^+$	2.864	2.494



$$\sigma_X(p^2C) = 7 \times \sigma_X(pp) + \text{high momentum tail}$$

due to fermi motion and

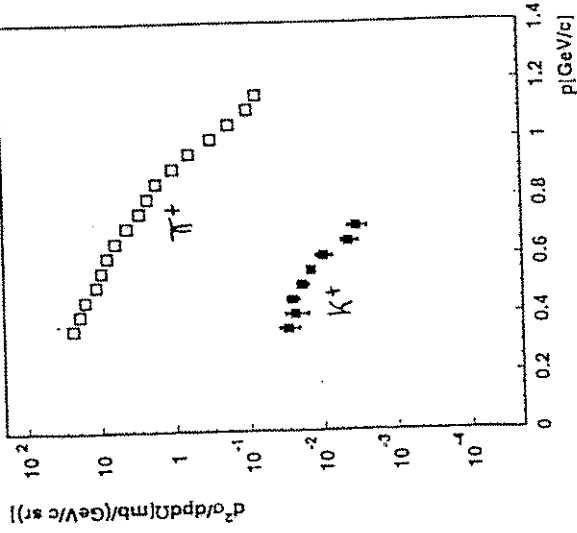
2-step processes:



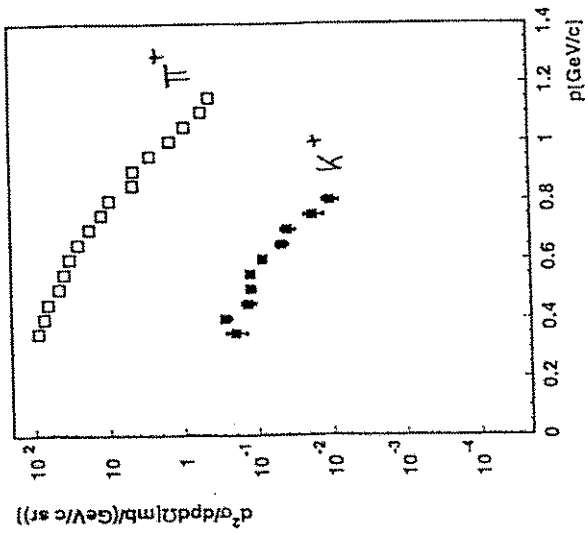
or:  $NN \rightarrow YK^+$

Subthreshold  $K^+$  production at 1.5 GeV (SATURVE)

$p + {}^{12}\text{C} \rightarrow K^+ + X$



$p + \text{Pb} \rightarrow K^+ + X$



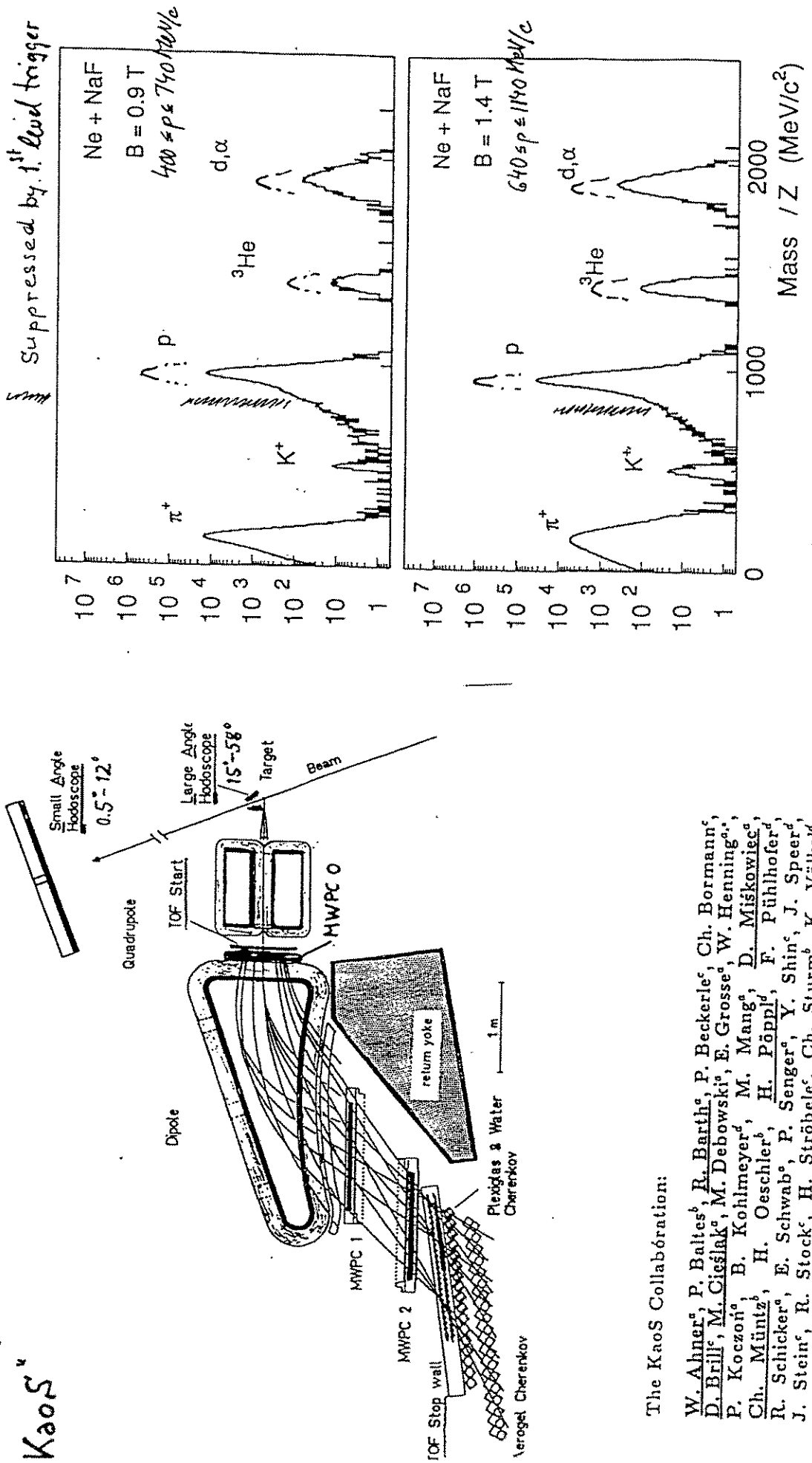
$$\sigma_K(p+\text{Pb}) \approx 7 \times \sigma_K(p+\text{C})$$

$$\sigma_\pi(p+\text{Pb}) \approx 4 \times \sigma_\pi(p+\text{C})$$

similar at 1.2 GeV

# The kaon spectrometer at SIS

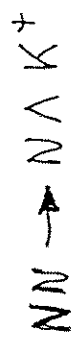
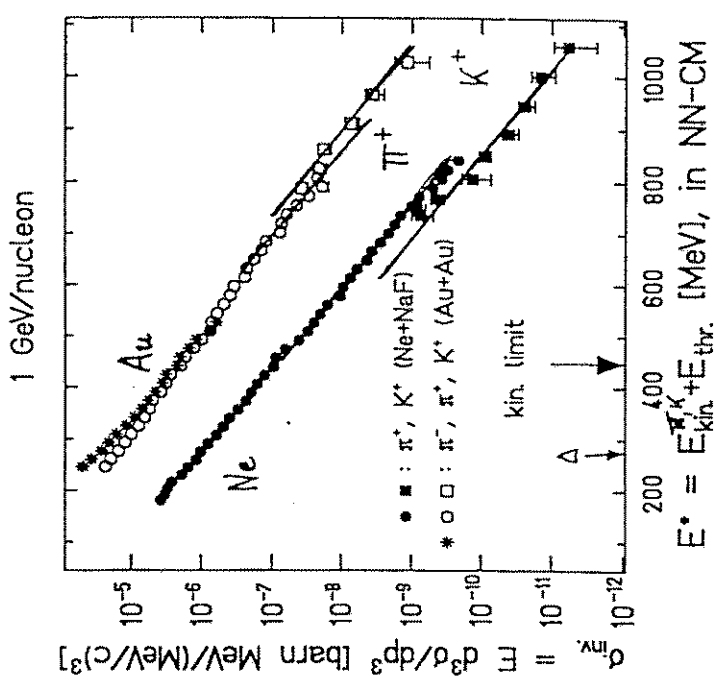
"Kaos"



## The Kaos Collaboration:

W. Ahner<sup>a</sup>, P. Baltes<sup>b</sup>, R. Barth<sup>a</sup>, P. Beckerle<sup>c</sup>, Ch. Bormann<sup>c</sup>,  
 D. Brill<sup>c</sup>, M. Cieślak<sup>a</sup>, M. Debowski<sup>c</sup>, E. Grosse<sup>c</sup>, W. Henning<sup>a,c</sup>,  
 P. Koczoń<sup>a</sup>, B. Koblmeier<sup>d</sup>, M. Mang<sup>a</sup>, D. Miśkowiec<sup>a</sup>,  
 Ch. Müntz<sup>b</sup>, H. Oeschler<sup>b</sup>, H. Pöppel<sup>d</sup>, F. Pühlhofer<sup>d</sup>,  
 R. Schicker<sup>a</sup>, E. Schwab<sup>a</sup>, P. Senger<sup>a</sup>, Y. Shin<sup>c</sup>, J. Speer<sup>d</sup>,  
 J. Stein<sup>c</sup>, R. Stock<sup>c</sup>, H. Ströbele<sup>c</sup>, Ch. Sturm<sup>b</sup>, K. Völkel<sup>d</sup>,  
 A. Wagner<sup>b</sup>, W. Wnialis<sup>c</sup>

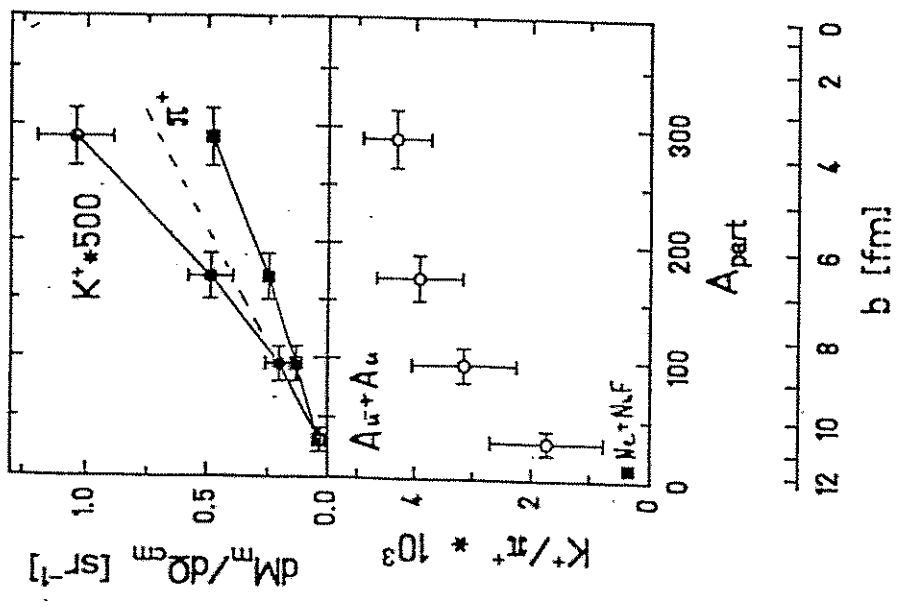
<sup>a</sup> GSI Darmstadt, <sup>b</sup> TIL Darmstadt, <sup>c</sup> Univ. Frankfurt, <sup>d</sup> Univ. Marburg, <sup>e</sup> Univ. Kraków (Poland), <sup>f</sup> now at Argonne Nat. Lab. (USA)



$$E_{thr} = m_K + m_{\Lambda} - m_N$$

$$E_{thr} = m_{\pi}$$

$\Lambda$   $K^+$  enhanced for large  $A$



$\Lambda$   $K^+$  enhanced for large  $A_{part}$   
for large  $b$

# Strangeness suppression at high energies

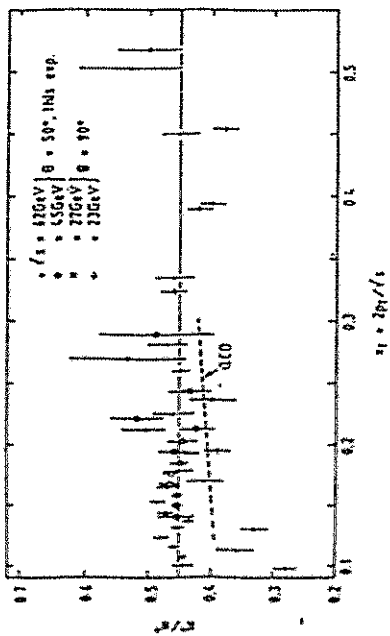


FIGURE 20  
Experimental ratio of  $K^+$  to  $K^0$  production in proton-proton interactions at large  $x_T = 2p_T/v_s$ . The dashed line shows a model prediction using  $\lambda = 0.5$ .

$\lambda$ : strangeness suppression factor W. Hofmann NP (80)

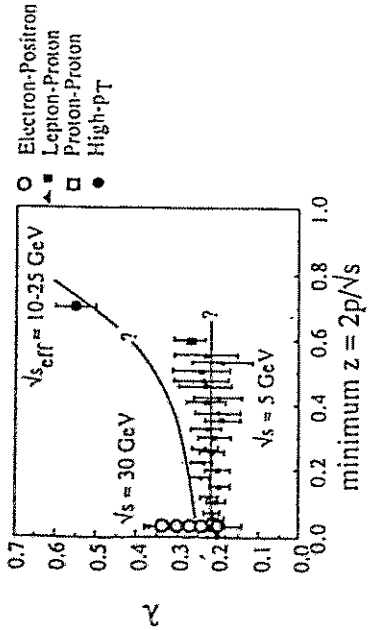
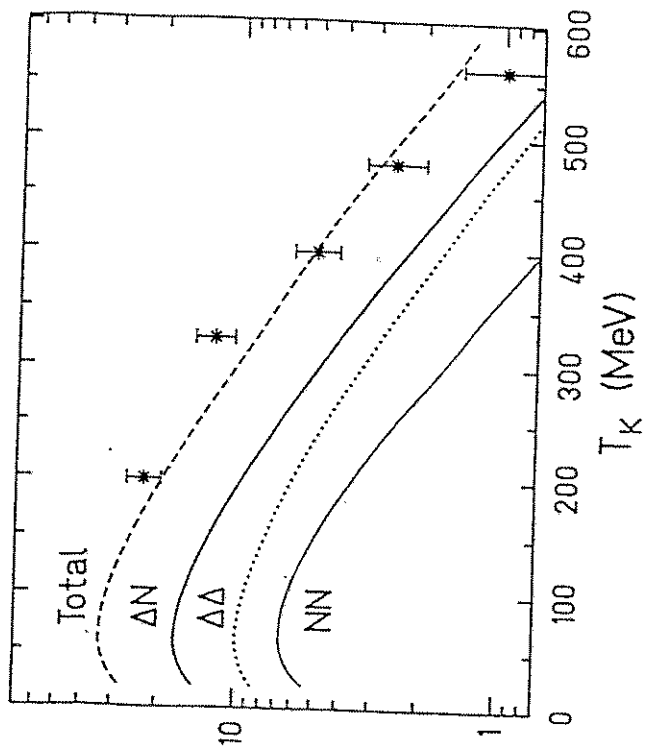


FIGURE 21  
Values of  $\lambda$  as derived from  $K/K$  ratios, as a function of the minimum  $z = p_{\text{hadron}}/p_{\text{quark}}$  above which hadrons are used in the analysis. Data are shown for  $e^+e^-$  annihilation (from several experiments), for neutrino-nucleon scattering, for low- $p_T$  pp reactions and for high- $p_T$  meson production in pp interactions.

Edd/dp<sup>3</sup> (mb/GeV<sup>2</sup>)



Mitsuyama & Carrang 1993

$NN \rightarrow N\Delta$   
 $\Delta \rightarrow N\pi$   
 $\Delta N \rightarrow NN$   
 $\rightarrow NYK^+ \sim 2\%$   
 $\Delta$  acts as energy reservoir

$\Gamma_\Delta = 115 \text{ MeV} \rightarrow c\tau_\Delta \approx 1.5 \text{ fm}$   
 $\approx d_{NN}(p_0)$   
 $\uparrow$   $g$ -dependence

Calculations based on transport equations

\* hard collisions:  $BB \rightarrow BB$

with  $\sigma$  taken from systematics of  $NN \rightarrow NN$  resp.  $\rightarrow NYK^+$

coupled to

baryon dynamics in mean field

either: potential of Skyrme type, density dep.

or: scalar field  $\sigma$ , attractive

+ vector field  $\omega$ , repulsive, momentum dep.

$\rightarrow$  effective mass  $m_H^* = m_H - g_\sigma \langle \sigma \rangle$

momentum  $p_x^* = p_x - g_\omega \langle \omega \rangle$

Multi-step-processes:

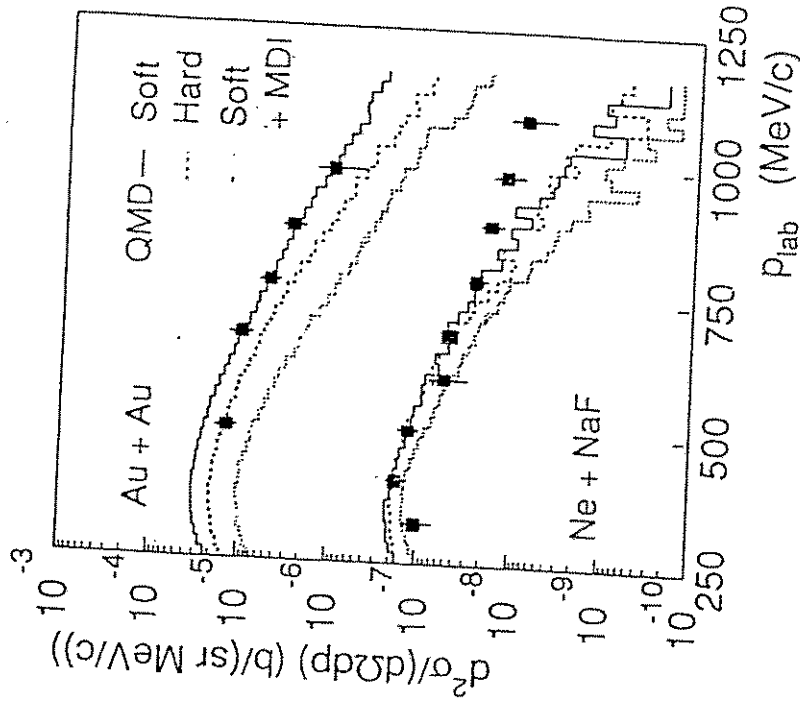
1)  $NN \rightarrow N\Delta$

2a)  $\Delta N \rightarrow NN$

b)  $\Delta \rightarrow N\bar{N}$

c)  $\Delta N \rightarrow YK^+N$

$Y = \Lambda, \Sigma$



KaoS data

Hartnack & Rischelien

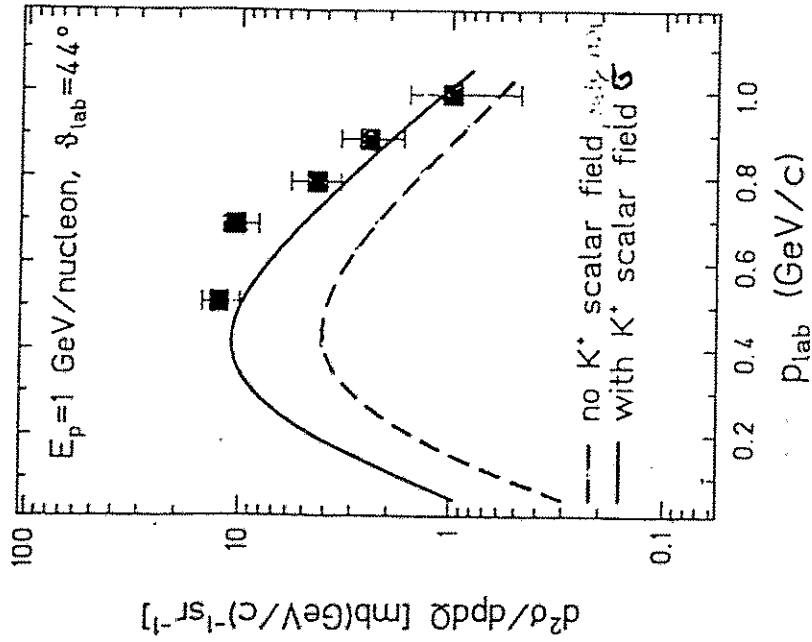
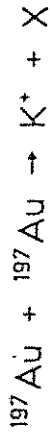
(1997)

relativistic treatment using  $\sigma$ - $\omega$ -models.

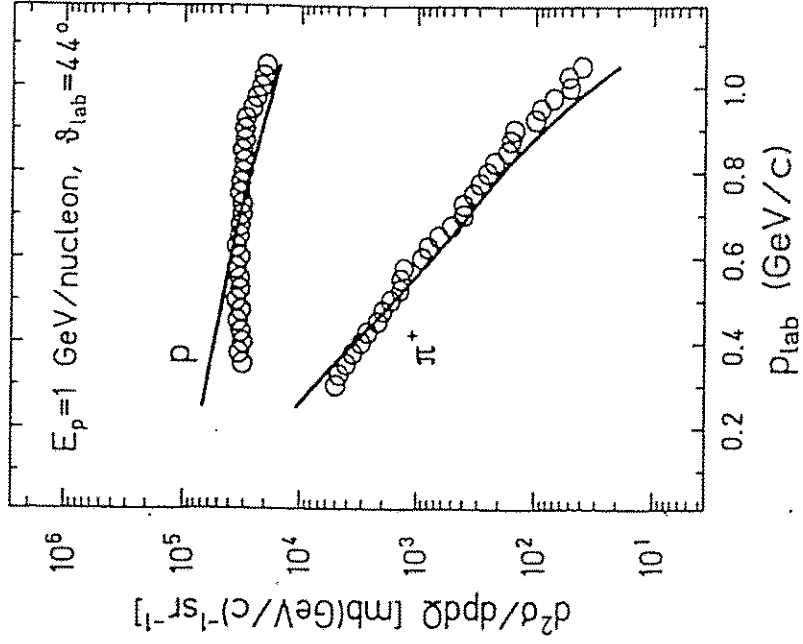
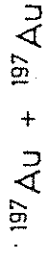
medium effect:  $\omega$  scalar field  $\rightarrow$   $m_K^*$

effective mass  $m_K(\rho) \neq m_K(\text{free})$

scalar field  $\sigma(\rho) < \sigma(\rho_0) < 0$



G.O.Li & C.H. Ko  
 Phys. Rev. (1983)



G.O.Li & C.H. Ko  
 Texas A&M

Central collisions of high energy heavy ions  $\rightarrow$

fireball:  $T \sim 50-100 \text{ MeV}$ ,  $\rho \sim 2-3 \rho_0$

kinetic energy converted into heat and and

compression & collective expansion  $\sim 40\%$

internal baryonic excitation & neutron production  $\sim 20\%$

'weakly' interacting probes:  $K^+$ ,  $\gamma$ , etc.  
 $\uparrow$  enhanced for large  $s$

Theoretical description (equation of state) should include:  
 relativistic medium effects:

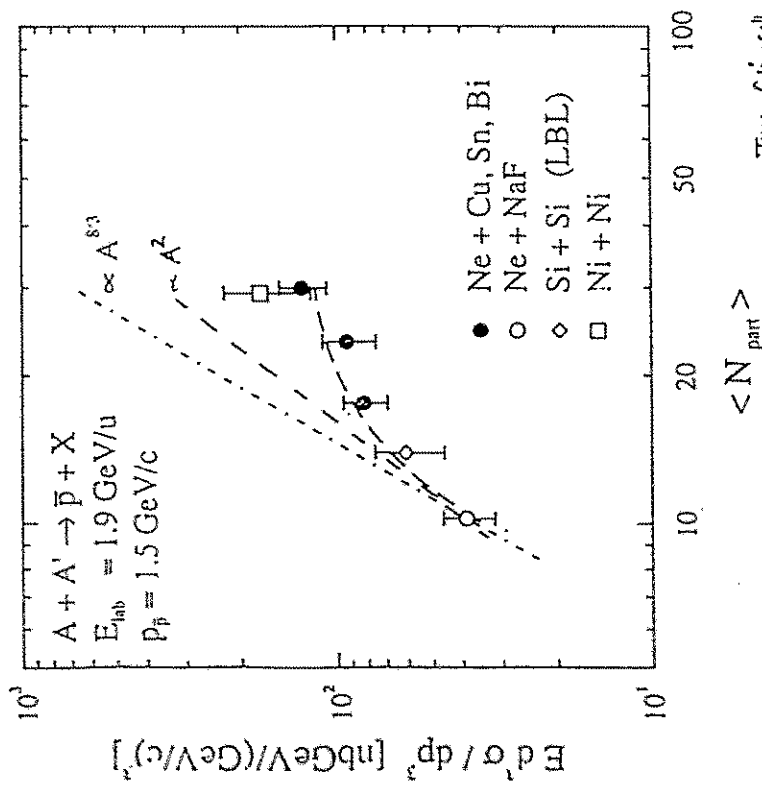
effective masses

momentum dependent potentials,

first attempts using  $\sigma$ - $\omega$ -model for

HI-collisions & nuclear matter

High density matter avoided in heavy baryons ( $\Delta, \dots$ )



Tan-Gib-coll.  
 A.Gilmore et al.

$\bar{p}$  are strongly reabsorbed, but still

$\sigma_{inel}(\bar{p})$  is rather large, suggesting the

importance of medium effects.



# possible secondary $\pi^{\pm}$ -beams from SIS

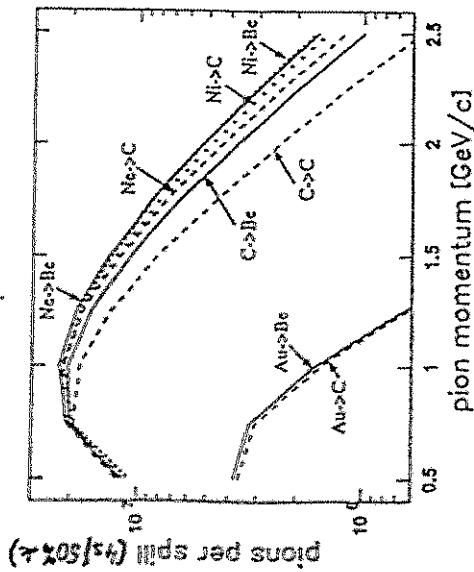


Figure 1: Expected  $\pi^{\pm}$ -intensities for  $\Delta E \Delta p/p = 30$  mas% and different target-projectile combinations, maximum SIS energies

may serve as experiments in target leak:  
 4 $\pi$ -detector & large gap dipole (ALADIN)  
 QD-spectrometer (KOS) & BaF<sub>2</sub>-array (TAPS)  
 dilepton-spectrometer HADES & "test" area (>1995)

Anstöße:

Anregungsfunktion für  $\pi, K^+, K^-, \eta$

1995: Au @ 1.4 GeV/u

Zerfall in Medium ( $\rho, \omega, \phi, \Delta, \dots$ )

1997: HADES

hohe acceptance di-Elektron sp.

Vergleich mit Hadron-induzierter Produktion

1995: COSY ( $p, K^+$ )

möglich:  $\pi$ -Strahl bei SIS

0.8-2 GeV/c,  $\sim 10^7/s$

# Physikalisches Programm an COSY

K. Kilian  
Jülich

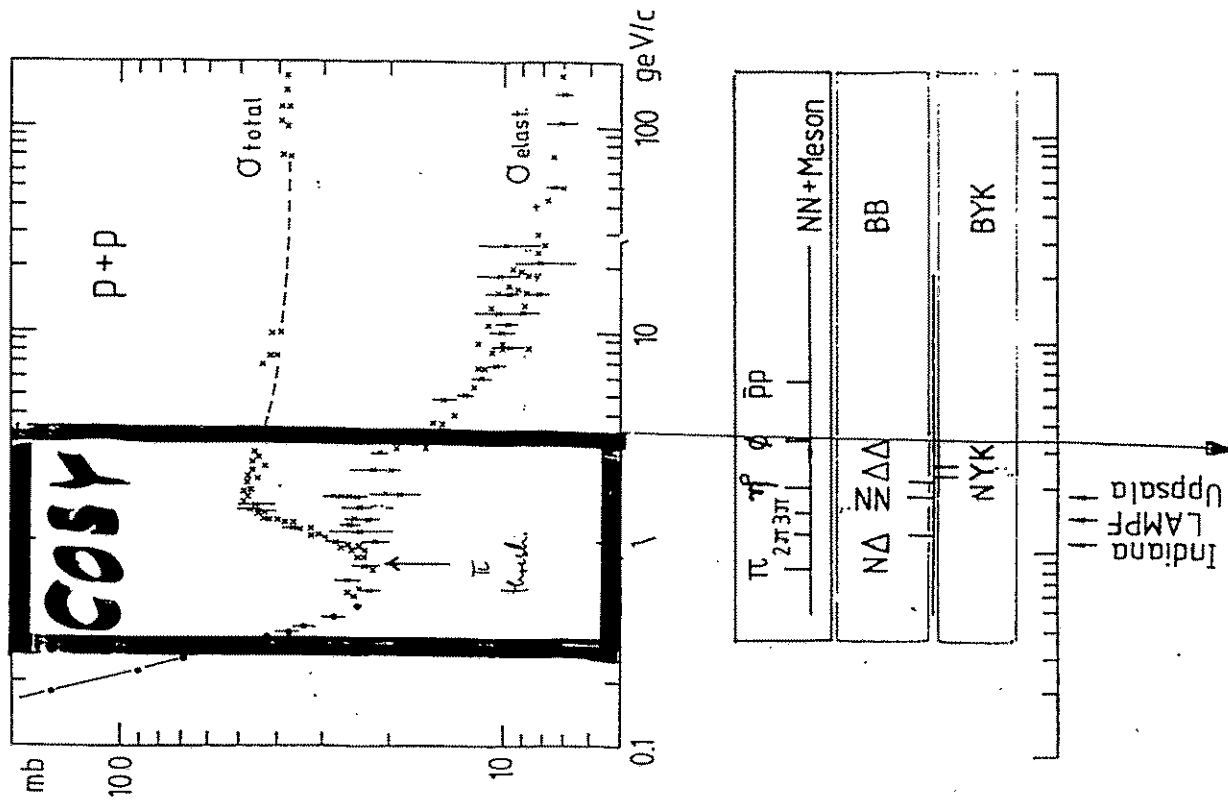
7. Oktober 1994

Physics Program at COSY

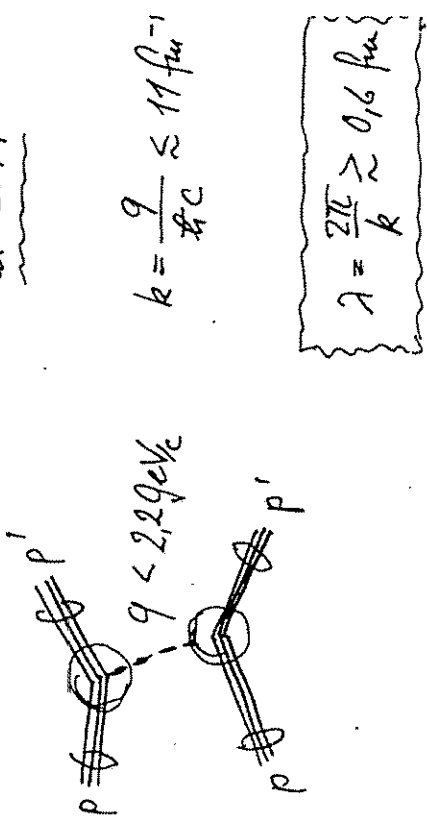
Physics  $\rightarrow$  beam requirements

Accelerator (+ cooling)

Experiments



at COSY



$$k = \frac{q}{\hbar c} \approx 11 \text{ fm}^{-1}$$

No chance to resolve quarks (and gluons) with 2.2 GeV/c momentum transfer in proton-proton scattering.

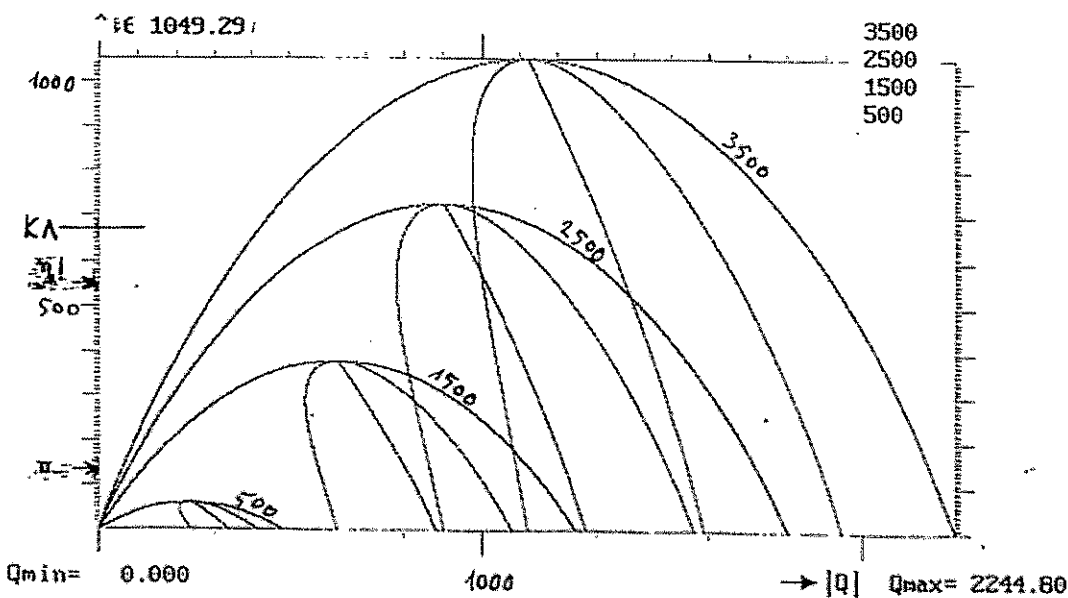
momentum of quark  $\approx \frac{1}{5}$  momentum of baryon  $\Rightarrow$  the quarks get much less  $q$

$\Rightarrow$  hadronic degrees of freedom  $\rightarrow$  baryons  $\rightarrow$  mesons (exotics?)

\* quark aspects in associated strangeness production

$$p + p \rightarrow p + (p + \epsilon)$$

P1 = 3500.00	938.27 + 938.27	$\rightarrow$	938.27 + 938.27 + $\epsilon$	$\epsilon_{\text{max}} = 1049.29$	$\Theta = 0.00$
0.56	90.000 1122.40	$\Gamma = 1.559$	90.000 1122.40	$\beta = 0.767$	
R1 = 0.9659	-0.00 1750.00	3500.00	-0.00 1750.00	3500.00	
Pcm1 = 1122.4	0.000 < t < 0.000				



( $q, E$ ) range for response function

## COSY physics $\Rightarrow$ beam requirements

$\geq 1$  GeV energy can be converted into new hadrons



$\rightarrow$  all sorts of hadrons

- One or more mesons, threshold product
- $K \bar{K}$  pairs and  $\phi$
- $KY$  associated production
- baryonic excitations,  $\Delta$ ,  $N^*$

Studies of

- Production
- Decay
- Interaction

of unstable hadrons  
in  $p+p$ ,  $p+d$  and  $p+A$  interactions

Unstable hadrons  $\Rightarrow$  beam requirements

$\rightarrow$  production in threshold reactions

c.m. distribution into small lab. angle range.

Needs very good  $\Delta\theta$  and  $\Delta p$

$\rightarrow$  multiparticle final states

full acceptance detectors needed

small target vertex needed

$\rightarrow$  strange particle delayed decay

perfect trigger and kinematic reconstruction

if beam size  $\ll L_{\text{decay}}$

COSY:  $\Delta p/p < 10^{-4}$

$E_{H,V} < 1 \text{ } \mu\text{m m r}$

stochastic extraction

$\rightarrow$  at 4/94

33 proposals + LOI from

36 research institutes

> 220 names

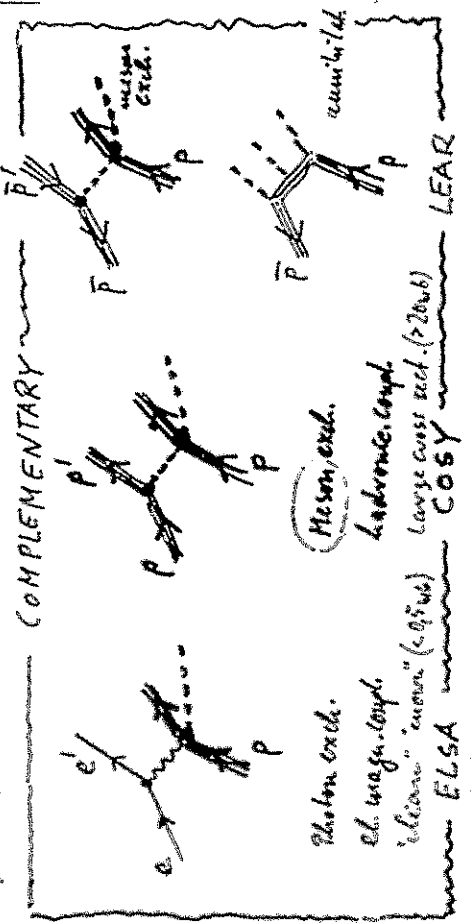
COSY construction 1988-1993

IKP + AP + ZAT + ZEL Project leader, (U. Richter)

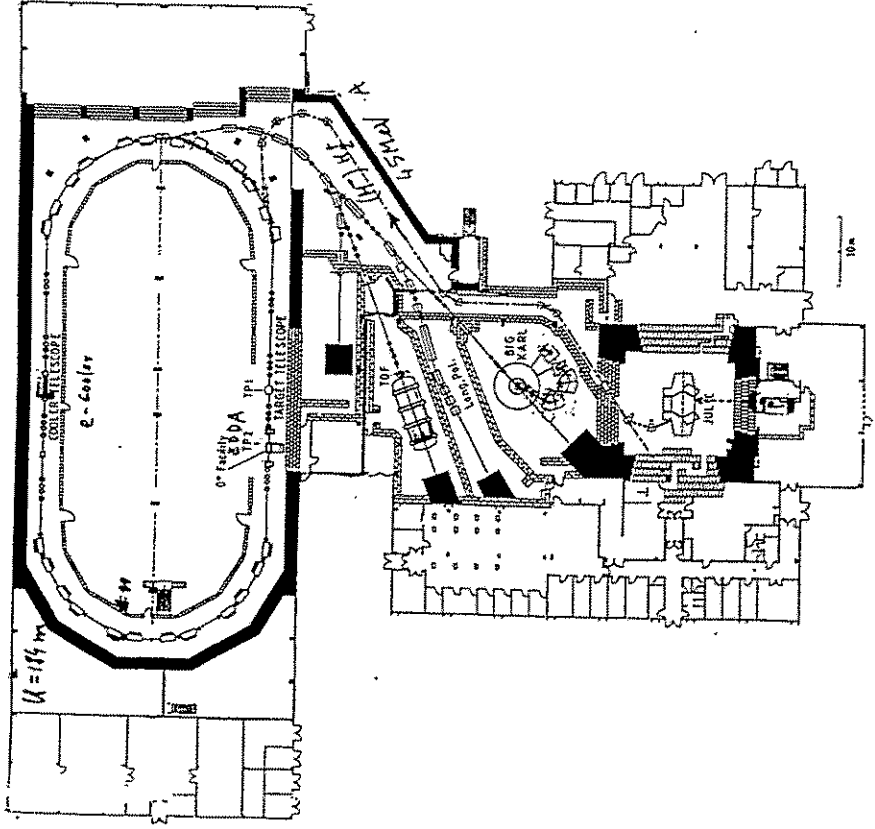
COSY and Some MEP accelerators

	MeV/c	MeV
COSY JELICH S	> 3300	> 2500
CELSIUS Upps. S	2100	1360
MCFoster S	1090	500
SATURNE S	3770	2950
PSI-SIN C	1220	600
LAMPF L	1460	800
TRIUMF C	1090	500
ELSA S	3500	3500
MAMI M	850	850
LEAR S	2000	1270

(produced)  $\gamma$



MAMI } 1.79 }  
 ELSA } 0.64 }  
 COSY } 1.05 }  
 LEAR } 0.55 (inlatch) }  
 LEAR } 2.4 (available) }



pol. source (Bonn Erlangen Köln)

# Beam and Optical Properties of COSY

momentum range 270-3300 MeV/c (50 - 6500 MeV)

max. no. of stored protons  $1.2 \cdot 10^{11}$

horizontal/vertical tune 3.38/3.38

transition momentum 1860 MeV/c

geometrical acceptance  
 horizontal: 130  $\pi$  mm mrad  
 vertical: 35  $\pi$  mm mrad  
 $\Delta p/p: \pm 0.5\%$

nat. chromaticity hor./vert. - 5.2/- 4.5

lattice function at

	$\beta_{hor}$	$\beta_{vert}$	dispersion
TP1:	5.6 m	5.9 m	0 m
TP2:	1.6 m	5.1 m	0 m
TP3:	6.0 m	22.2 m	10.1 m

radii and divergences for an extracted emittance of 2.5  $\pi$  mm mrad and  $\Delta p/p$  of 1-10<sup>-3</sup> at

	x/mm	x'/mrad	z/mm	z'/mrad
medical therapy area	3.25	1.34	1.88	1.24
Time of Flight	0.56	4.90	0.72	3.47
BIG KARL	0.45	7.14	0.43	6.92

9/94  $\epsilon < 1\pi$  mm mrad  $\Delta p/p < 10^{-4}$

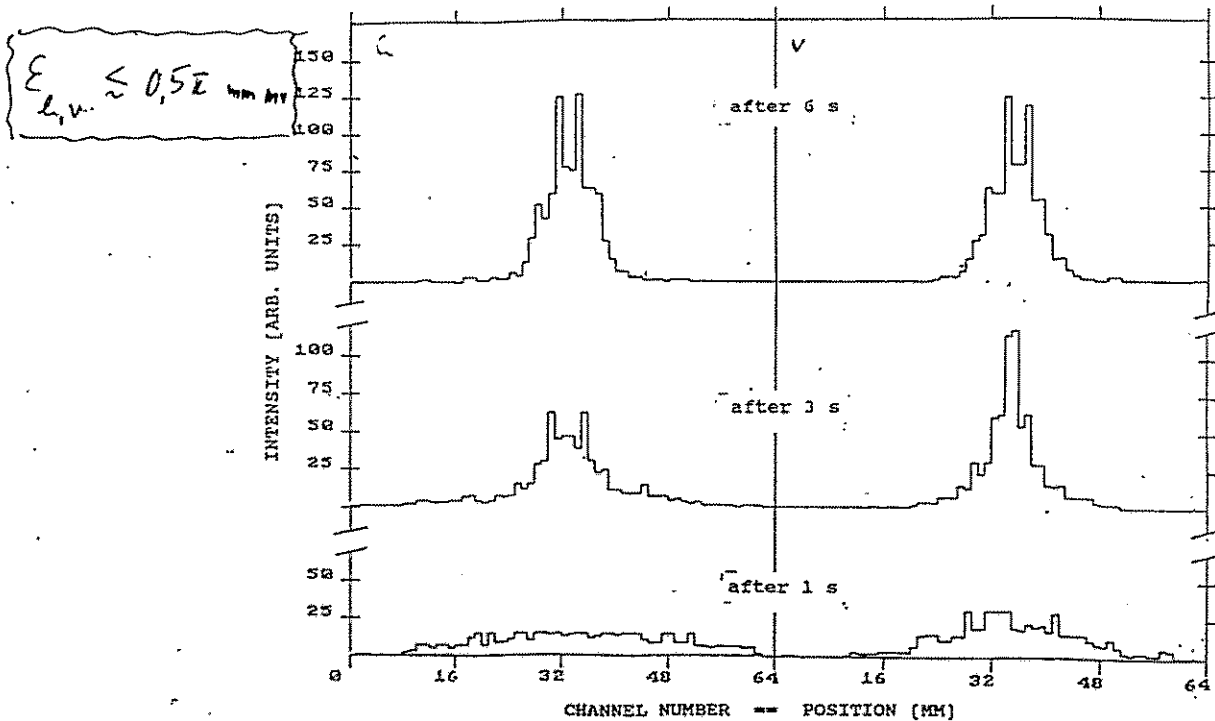
17.5.92 first tune of protons (270 MeV/c)

5/93 acceleration

9/94 > 3.3 94% internal (> 10<sup>7</sup> sp/ll external at 190 MeV/c)

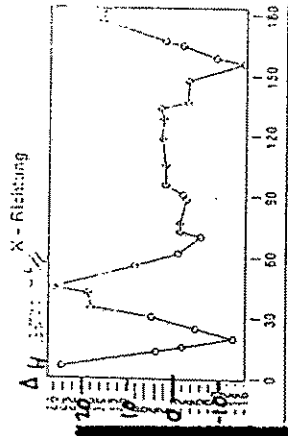
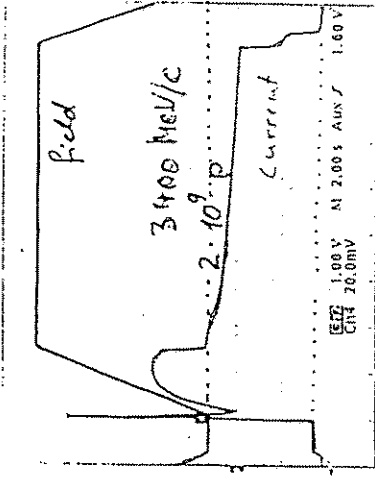
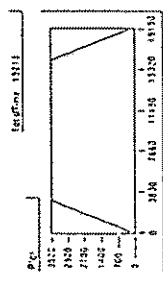
0-111 3503

Size of H<sup>0</sup> beam out of e-cooler straight section



Funktion Editor Multi

NAME	UNIT	SCALE	OFFSET
E001	V	1	0
E002	V	1	0
E003	V	1	0
E004	V	1	0
E005	V	1	0
E006	V	1	0
E007	V	1	0
E008	V	1	0
E009	V	1	0
E010	V	1	0
E011	V	1	0
E012	V	1	0
E013	V	1	0
E014	V	1	0
E015	V	1	0
E016	V	1	0
E017	V	1	0
E018	V	1	0
E019	V	1	0
E020	V	1	0



28. Sep. 1994 COSY erreicht gegen 17:30 einen  
 Impuls um 3300 MeV/c + Moiré. Moiré m.a.  
 Dies stimmt genau Ulicki  
 "fund ist auch" D. Sch. g. Konstante



COSY experiments

The Program Advisory Committee has reviewed so far 33 Proposals and Letters of Intent for research at COSY. In accordance with the PAC recommendations the following experimental installations are brought into operation:

- The magnetic spectrograph „BIG KARL“ (for the MOMO and GEM collaboration)
- An internal experiment (EDDA) in a straight section
- A universal wide angle equipment (TOF)
- An internal cluster target experiment at a dipole (COSY-11)
- A polarized source
- An internal target setup for hypernucleus production

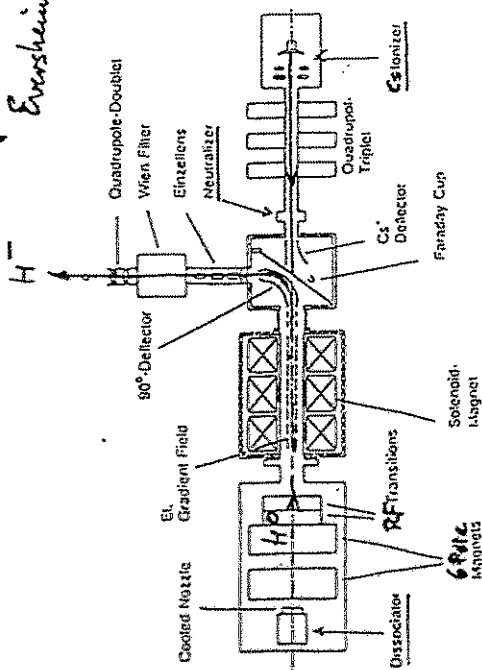
The PAC suggested furthermore that the development of a 0° Facility should be pursued as a natural extension of COSY-11.

The proposals recommended the PAC are listed with their new experiment number:

- E1. A Study of  $p+p$  Excitation Functions and Search for Dibaryonic Resonances (Bisplinghoff, Hinterberger, Sobel; Proposal 5, EDDA)
- E2. A Precision Study of Near Threshold Two Meson Production via the Reaction  $p+d \rightarrow \pi^+ He^+ \pi^- \pi^+$  and  $p+d \rightarrow \pi^+ He^+ K^+ K^-$  (Jahn; Proposal 6, MOMO)
- E3. Investigation of Proton-Proton Bremsstrahlung (Kuhlmann; Proposal 9, TOF)
- E4. Experimental Investigation of Low-Lying States of Pionic Atoms (Machner; Proposal 10, GEM)
- E5. Threshold Meson Production at the Internal COSY-Beam in the Range of Scalar Mesons involving Strangeness (Oelert; Proposal 11)
- E6. Study of  $\eta$  and  $\eta'$  Production and Interaction (Roderburg; Proposal 12, TOF)
- E7. Associated Strangeness Production in  $pp$ -Reactions (Turek; Proposal 15, TOF) ← (Eynck)
- E8.  $K^*$ -Meson Spectroscopy with a 0° Facility at TP2 in COSY (Sistemich; Proposal 18)
- E9. Deuteron Fragmentation Study with a 0° Facility at TP2 in COSY (Komarov; Proposal 20)
- E10. Production of Very Heavy  $\Lambda$ -Hypernuclei (Ohm; Proposal 13)

most of the proposals since 9/89 → build detectors

Polarized source (Born Erlangen Köln Univ)  
*Evoshim et al*



• Beam development just started (4/94).  
 $I \geq 1 \mu A \bar{H}^-$ ;  $P \sim 75\%$  (goal  $30 \mu A$ ).

- To be done :
  - Injection to cyclotron.
  - Optimization of current and polarisation.
  - Acceleration of polarized beam.
  - Measurements of the polarization (polarimeter exists).
- Needs change of COSY injection from  $H_2^+$  to  $H^-$ .  
 New injection chamber ready for installation.

No.	Proposal	Acronym	Installation	Additional components
16	Study of selective excitation of baryon-resonances	11-4-94	TOF	liquid <sup>4</sup> He target; Si- $\mu$ -strip 'decay spectrometer' with 'quirl' structure
24	H.P. Morsch A study of $\bar{p} + ^3H \rightarrow \eta + X$ reactions with 4 $\pi$ detector geometries		GEM BIC KARL TOF	
27	H. Machner Search for narrow exotic six-quark states in the p-p bremsstrahlung at the energy below pionic threshold			
28	A.S. Khrykin The $2\mu$ decay of the $\eta$		TOF	forward calorimeter
29	E. Kuhlmann Proton-deuteron pionic and radiative capture studied with the GEM Detector		GEM BIC KARL	
30	H. Machner, T. Kulsarova Search for $\bar{a}_1 N N$ resonance in the reaction $pp \rightarrow pp\pi^+\pi^-$ at the COSY-11 installation		COSY-11	
31	H. Clement Pre-therapeutic biological experiments with proton beams at energies between 50 and 250 MeV		COSY-MED	tissue equivalent detectors
32	K. Schwenke Measurement of the lifetime of the hypertriton $^3\Lambda H$		TOF	Si- $\mu$ -strip 'decay spectrometer' with 'quirl' structure hemispherical scintillator hodoscope
33	H. Nann Weak production of lambda particles at COSY		TOF	Si- $\mu$ -strip 'decay spectrometer' hemispherical scintillator hodoscope forward calorimeter
	T. Seifick			

first installations and measurements

internal targets: EDDA  $pp \rightarrow pp$  precise excit. fet. scintill. hodoscopes  
 COSY-11 }  $M \leftrightarrow \begin{cases} K^+K^- \\ \pi^+\pi^- \end{cases} \begin{cases} pp \rightarrow p p M / d^+ \pi^+ \\ pd \rightarrow ^3He M \end{cases}$  COSY dipole, cluster ft.  
 MOMO }  
 external targets: GEM  $\pi$ -nucleus at rest (RFK) Sci fi hodoscope  
 Ge  $\mu$ strip + E detectors  
 TOF pp Bremsstrahlung } Universal  
 pp+mesons ( $\pi$   $\eta$   $\rho$   $\omega$   $\phi$   $\dots$ ) } Wide angle  
 2 step reactions on d target } Equipment  
 $\gamma$  and  $\gamma'$  scattering } 3 layer scint. hodoscopes  
 KY production } + start- and decay detect.

internal targets:  $^{23}O$  heavy hypernuclei lifetime recoil distance of fission  
 $^{16}O$  Facilit. (p, K<sup>+</sup>d) on nuclei, react. mech. orbit bump spectrometer  
 p+d breakup  
 Pol. source

Proposals are welcome

COSY users at the experimental installations

status : April 11. 1994

no. of proposals : 33

experiment groups : 36 institutions, 225 scientists and students

Institution	EDDA	MOMO	GEM	TOF	COSY 11X	0° facility	pol. source	COSY MED	total
IKP Uni Bochum				16					16
ISRP Uni Bonn	20	21	2	2		2	6		31
FRKP Uni Bonn	2	2							2
PI Uni Bonn				5					5
IKP TH Darmstadt		2							2
IKP TU Dresden			2	2					4
IG Uni Essen								1	1
PI Uni Erlangen				8			6	3	14
FTF Uni Gießen						1			1
IEP Uni Hamburg	10								10
IKP KFA Jülich	5	3	15	20	7	19		7	42
IME KFA Jülich								11	11
ZEL KFA Jülich			3		5	5			10
IKP Uni Köln	1						6		6
IKP Uni Münster			1		4	3			5
PZ Rossendorf				6		6			12
PI Uni Tübingen				3	5				5
FP Uni Wuppertal								1	1
INRNE Sofia Bulgaria			1						1
DAP Uni Sofia Bulgaria			2						2
EP D. CERN						1			1
IPN Orsay France		2							2
LNS France				2					2
NIKHEF Amsterdam			1						1
PI Cracow Poland		4	6		8	6			11
INF Cracow Poland			4		2				5
INS Warsaw Poland				3					3
JINR Dubna Russia						8			8
LNPI Gatchina Russia						2			2
ITEP Moscow Russia				2	2				2
Uni Stockholm Sweden				1					1
IUCF Indiana USA	1			1	1				3
FSU Florida USA			1						1
SON Mass. USA				1					1
GMU Virginia USA			1						1
total	39	33	39	72	34	53	18	23	225

• start of tests

Experiment Strahlzeiten 1994

KW	EDDA	TOF	BIG KARL	
			MOMO	GEM
1				
2				
3				
4				
5				
6				
7				
8				
9				
10				
11				
12	■			
13				
14				
15	ENC			
16	12.04.94			
17				
18				
19		■		
20				
21				
22				
23	■			
24				
25				
26				
27				
28				
29				
30				
31				
32				
33	ENC			
34	25.08.94			
35				
36				
37				
38				
39				
40				
41				
42				
43				
44				
45				
46				
47				
48				
49				
50				
51				

- 548 -



The  
EDDA



Collaboration

A HIGH RESOLUTION STUDY OF p+p EXCITATION  
FUNCTIONS

Spokesmen: J. BISPLINGHOFF, F. HINTERBERGER, W. SCOBEL

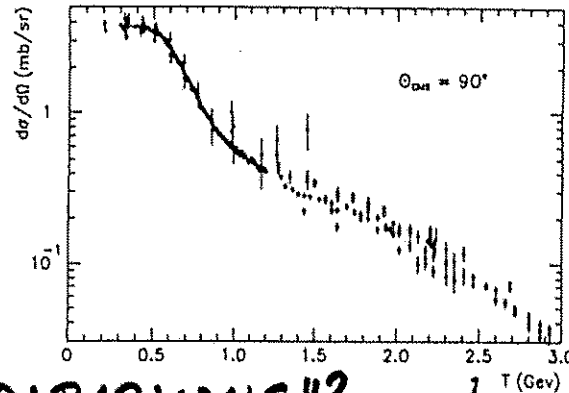
J. BISPLINGHOFF, R. BOLLMANN, P. CLOTH, O. DIEHL, F. DOHRMANN, V. DRÜKE,  
S. EISENHARDT, H.P. ENGELHARDT, J. ERNST, D. EVERSHEIM, D. FILGES,  
S. FRITZ, M. GASTHUBER, J. GREIFF, A. GROSS, R. GROSS-HARDT, A. HEINE,  
F. HINTERBERGER, R. JAHN, M. JESKE, U. LAHR, R. LANGKAU, R. MASCHUW,  
T. MAYER-KUCKUK, G. MERTLER, B. METSCH, F. MOSEL, M. MÜLLER,  
M. MÜNSTERMANN, H. PETRY, D. PRASUHN, B. v. PRZEWOSKI, M. RADTKE,  
H. ROHDJESS, D. ROSENDAAL, U. ROSS, P. von ROSSEN, H. SCHEID,  
H. PAETZ gen. SCHIECK, N. SCHIRM, M. SCHULZ-ROJAHN, F. SCHWANDT,  
W. SCOBEL, G. STERZENBACH, H.J. TRELLE, J. WEBER, A. WELLINGHAUSEN,  
W. WIEDMANN, K. WOLLER, R. ZIEGLER

Institut f. Strahlen- und Kernphysik, Universität Bonn  
I. Institut f. Experimentalphysik, Universität Hamburg  
Institut f. Kernphysik, Forschungszentrum Jülich  
Institut f. Theoretische Kernphysik, Universität Bonn  
Institut f. Kernphysik, Universität Köln  
IUCF, Bloomington, Indiana

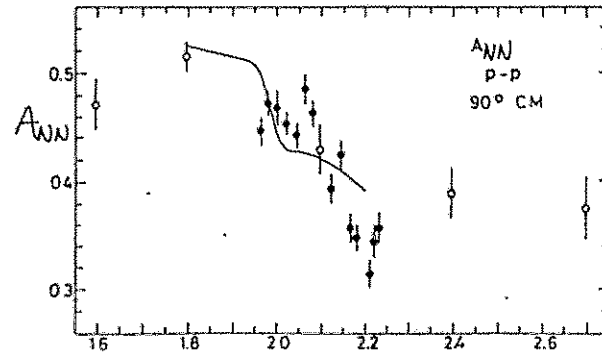
AUG 94

MOTIVATION

- $p p \rightarrow p p \quad \frac{d\sigma}{d\Omega}$
- $\vec{p} \vec{p} \rightarrow p p \quad A, A_{NN}, A_{LS}, A_{SS}$
- $T_p = 0.5 \dots 2.5 \text{ GeV}$
- **PHASE SHIFT ANALYSIS!**



- "DIBARYONS"?  $pp \rightarrow B_2 \rightarrow pp$

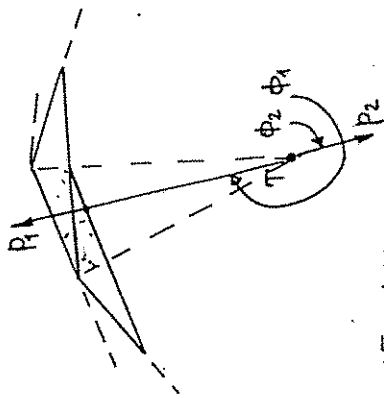
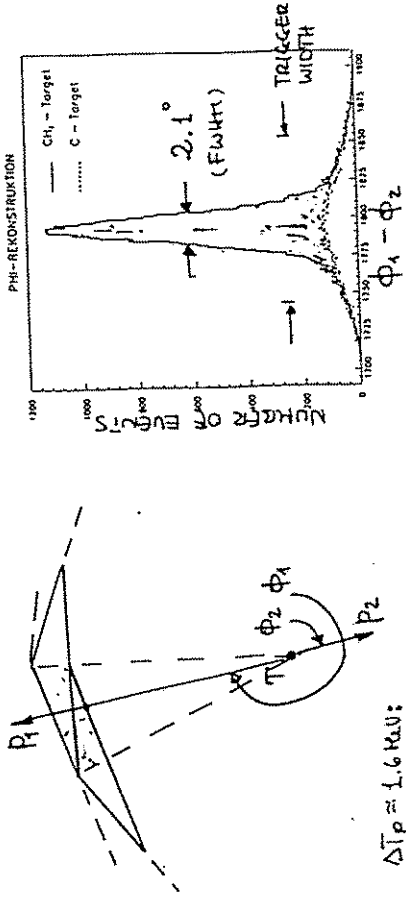


J. Ball et al  
Phys Lett B320, 206 (1994)  
(1994)

6

POSITION RESOLUTION OF OUTER SCINTILLATOR LAYERS:

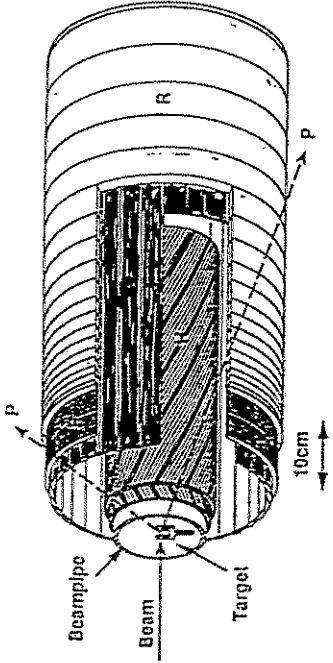
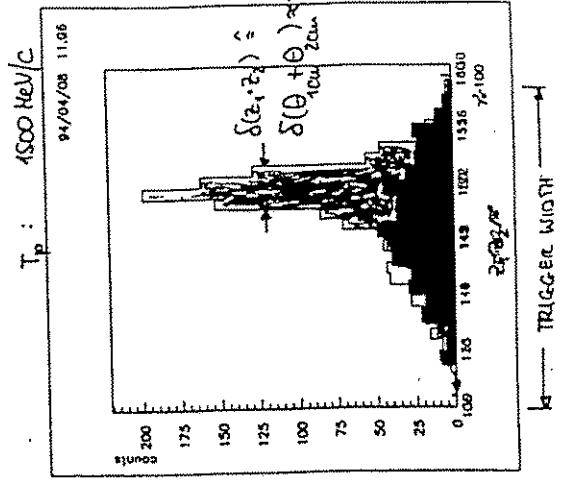
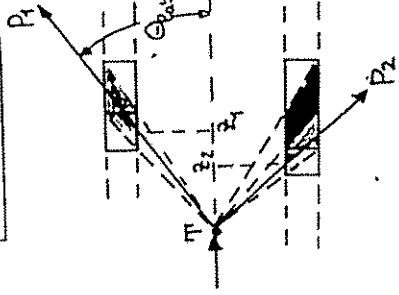
SCINTILLATOR BARS FOR COPLANARITY



$\Delta T_p \approx 1.6 \text{ n.u.}$   
 THE RESOLUTION  $\Rightarrow$  ADDITIONAL CUTS  
 $\delta(\Delta T_p) \approx 280 \text{ ps}$

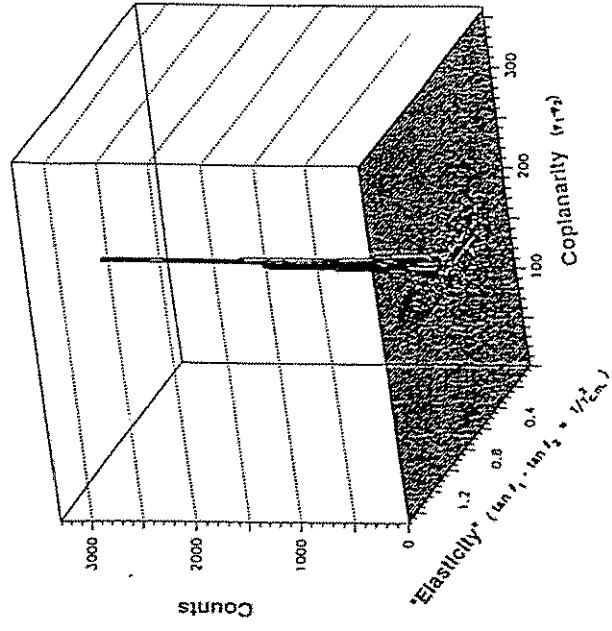
SCINTILLATOR SETTINGS FOR SCATTERING KINEMATICS

$z_1, z_2 \sim \chi^2(T_p)$



The EDDA Detector (not to scale): Target ( $\text{CH}_2$  fiber suspended from fork, later polarized atomic beam), Beam pipe (2 mm Al in sensitive region), H Scintillating Fibers wound in opposing helicities, B Scintillator bars, F + R Scintillator rings

Elastic p-p Scattering,  $T = 0.25 - 2.5 \text{ GeV}$   
 $d\sigma/d\Omega(T)$ ,  $A(T)$ ,  $A_{NN}(T)$ ,  $A_{SS}(T)$ ,  $A_{SL}(T)$   
 $\rightarrow$  Phase Shifts!  $\rightarrow$  Dibaryons?



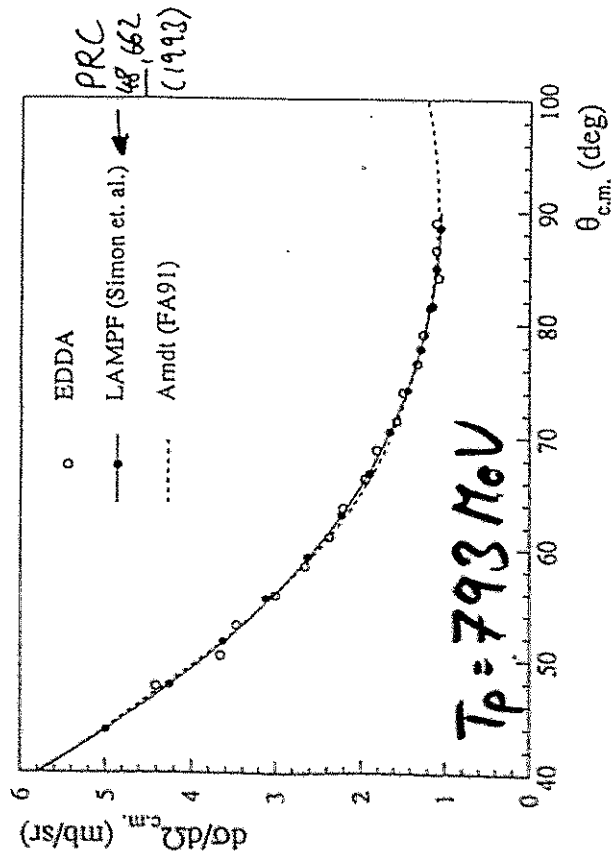
Identification of p-p elastic events

## ANGULAR DISTRIBUTION:

- SUBTRACT QF-BACKGROUND

$$N_H(\theta) = N_{CH_2}(\theta) - N_c(\theta)$$

- NORMALIZE TO WORLD DATA SET



THE EDDA DETECTOR WORKS!

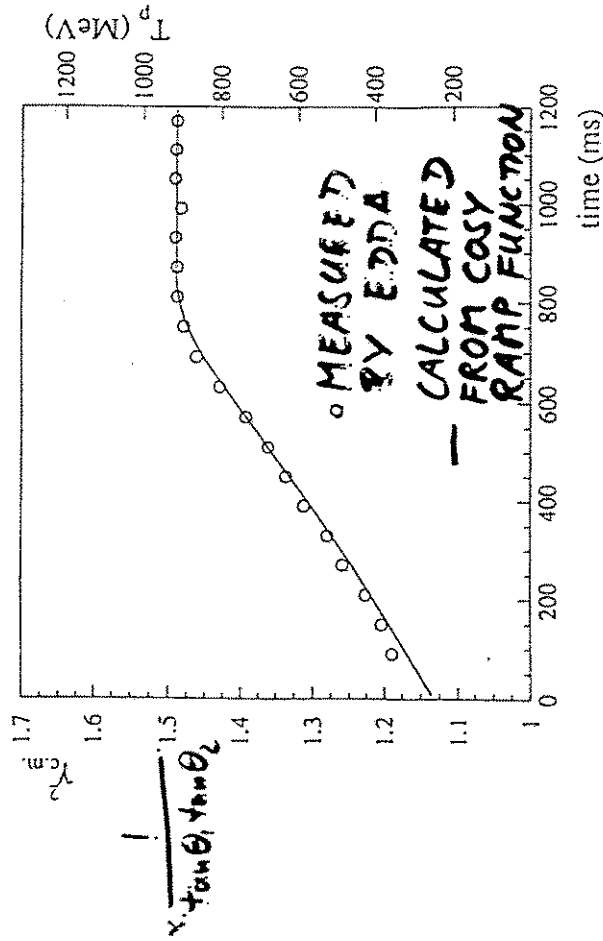
## DATA ACQUISITION

### DURING THE RAMP

$$p = 800 \dots 1600 \frac{\text{MeV}}{c}$$

$$(T_p = 300 \dots 900 \text{ MeV})$$

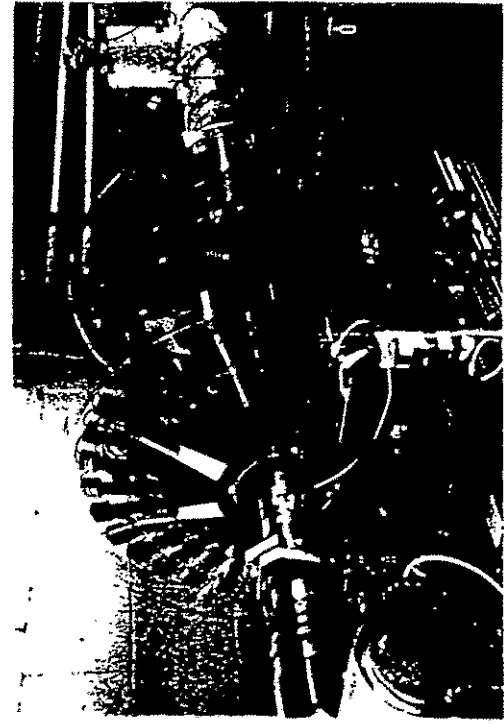
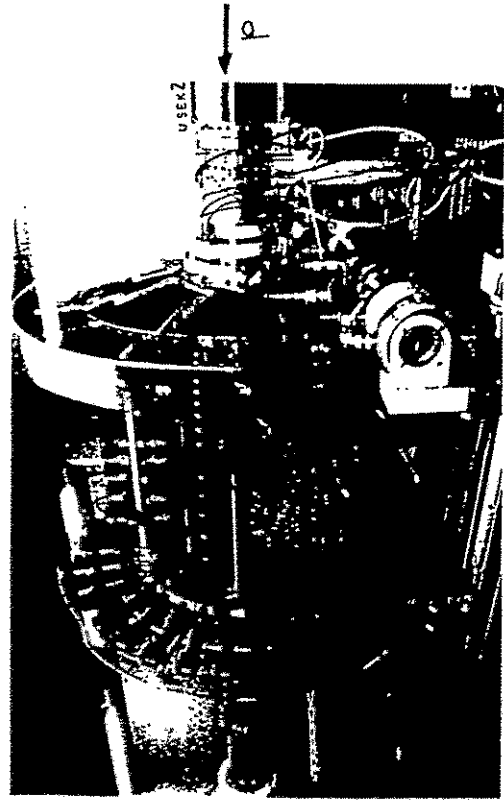
$$\frac{dp}{dt} = 1.15 \frac{\text{GeV}}{c \cdot s}$$



MEASUREMENTS WHILE RAMPING ARE FEASIBLE!

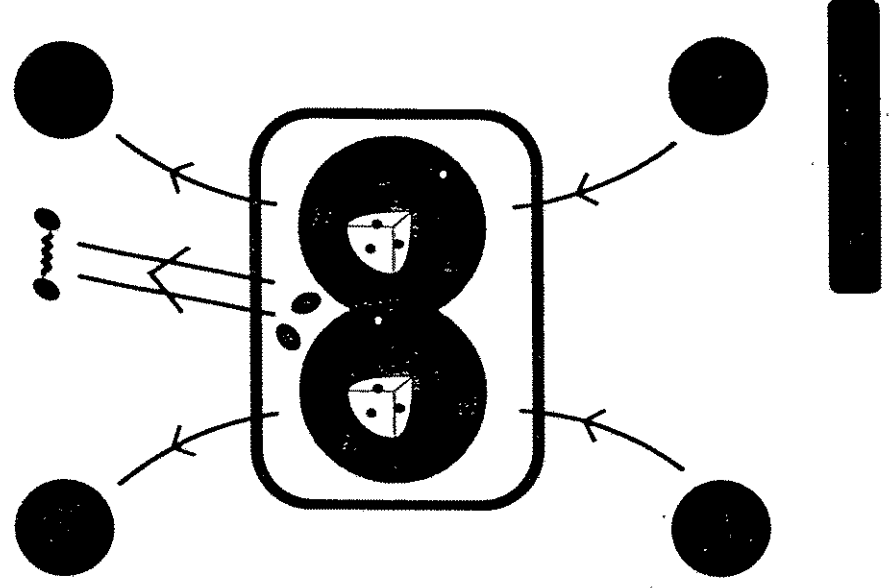
ii. EDDA AT TP2 : PROGRESS SINCE PAC #7

⑤



≥ 3/94  
HYDROU 21-26 : GOING INTO OPERATION, 1500 MeV/c

# Meson - Meson Interaction



D. Lohse et al. P.L. B234(90)235

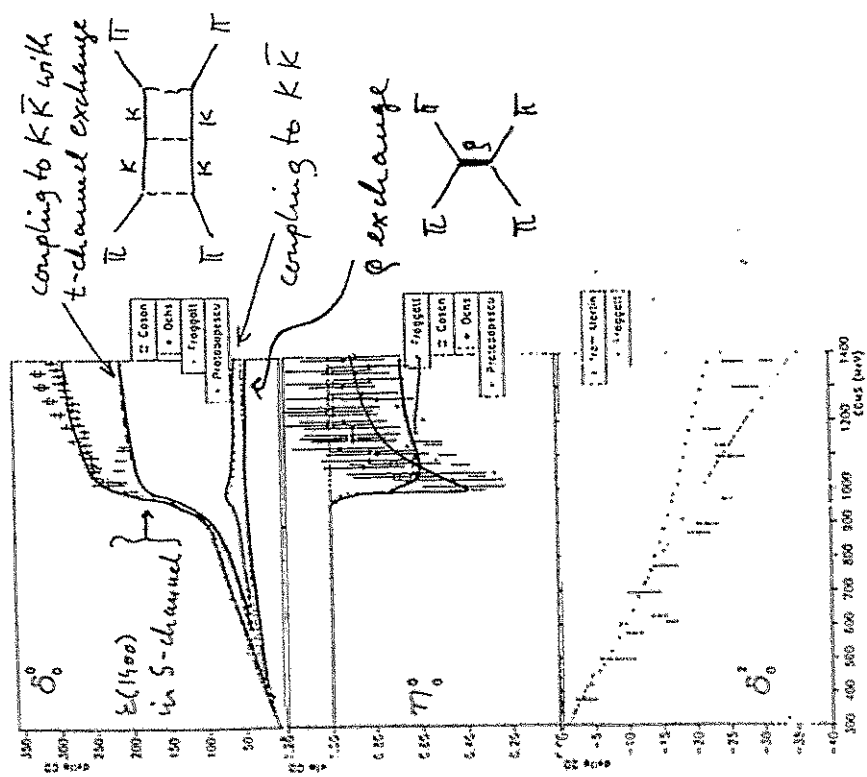


Fig. 1 The values of the different theoretical models for  $J=0$  are plotted with  $J=0$  and elasticity parameters. The long-dashed curve is the result for the present study. The short-dashed curve includes the effect of coupling to the  $K\bar{K}$  channel with no  $\pi\pi$  interaction. The long-dotted curve includes resonance contributions in the  $\pi\pi$  channel. The solid curve adds the  $\rho$  exchange channel. The experimental phase shifts are taken from ref. [20-22]. In the lower part we compare the real  $J=0$  phase shift with the data of ref. [23]. The effect here is only due to the rechanneling process.

S wave  $\pi\pi$  scattering

$I=0$   $J=0$  phase shift and elasticity



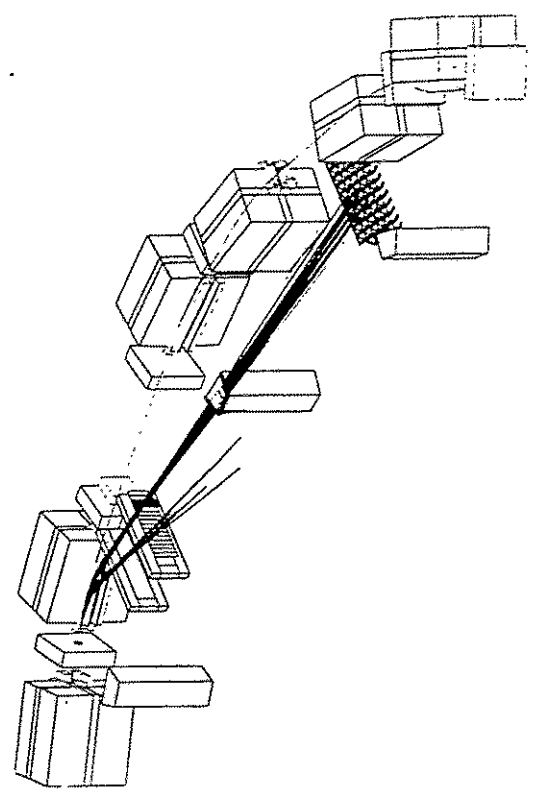
E5

$pp \rightarrow p p K^+ K^-$

4C. count  
recombin.

internal cluster target (Münster)  $\sim 10^{-9} \frac{g}{\text{cm}^2}$   
 COSY dipole as spectrometer  
 Drift chambers (Krauss)  
 Scintillators + Si-pads (Jü) + "Amadeus"

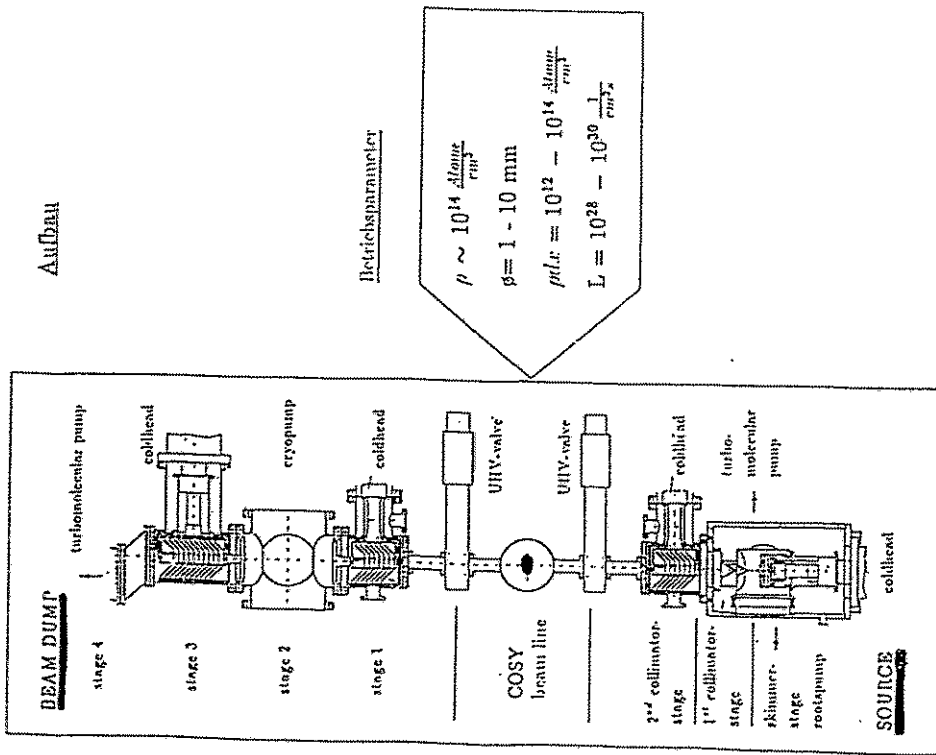
COSY II  
(out)



$\chi^2 =$   
 $\sim 0.975$   
 $\sim 0.980$



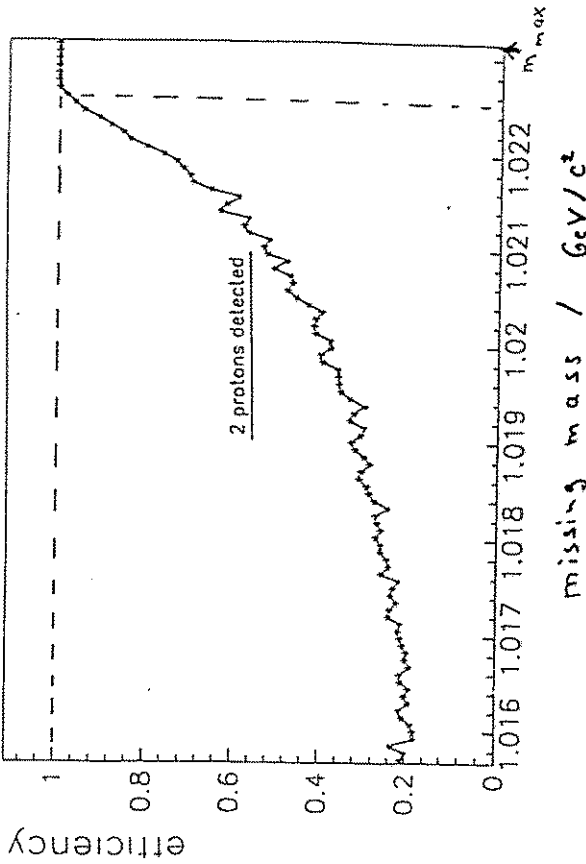
Geonka



ΔU/Δx

Betriebsparameter

$\rho \sim 10^{14} \frac{\text{Atome}}{\text{cm}^3}$   
 $\beta \approx 1 - 10 \text{ mm}$   
 $\rho dx \approx 10^{12} - 10^{14} \frac{\text{Atome}}{\text{cm}^2}$   
 $L = 10^{28} - 10^{30} \frac{1}{\text{cm}^2}$



↕

Monte Carlo events

$PP \rightarrow PPP$

$P_{\text{beam}} = 3.416 \text{ GeV/c}$

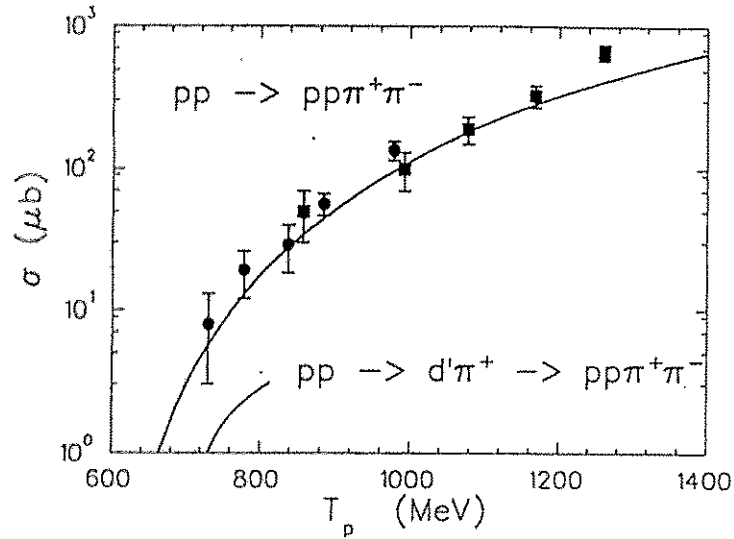
$(K^+K^-)$  or  $(\pi^+\pi^-)$   $E_{\text{as}} \sim 6 \text{ keV}$  or  $17 \text{ keV}$

possibly studies of e.m. atoms?  $\rightarrow \frac{\Delta P}{P} \approx 10^{-6}$

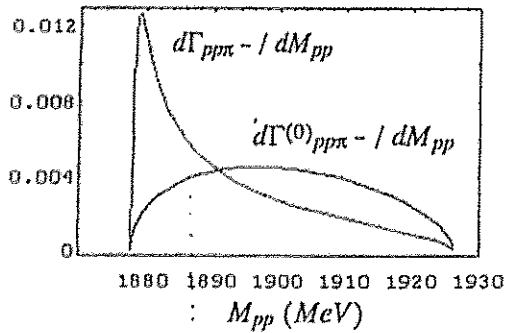
Comp. L. Neuenor

Clusterfalltarget für COSY  
Fedorföhnd R. Santo Münster

# d<sup>-</sup>-Produktion im pp-Stoß

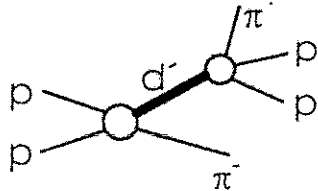


Z. Phys. A345, 407 (1993)



d<sup>-</sup>-Zerfalls-  
charakteristik

$$\left. \begin{aligned} m_{d^-} &\approx 2060 \\ \epsilon_{\pi\pi} &= 44 \text{ MeV} \end{aligned} \right\}$$



kleine Winkel- und  
Impulsdifferenzen zwischen  
den Protonen.  $\Rightarrow$   $\theta \approx 11^\circ$

## BIG KARL Spectrometer

- QQQDDQ on external target.  
1.05 GeV/c per unit charge;  $\Delta p/p=8\%$ ;  $\Delta\Omega=10$  msr.  
Drift chambers and scintillator hodoscopes in focal plane.

Two different acceptance extensions close to target.

### MOMO

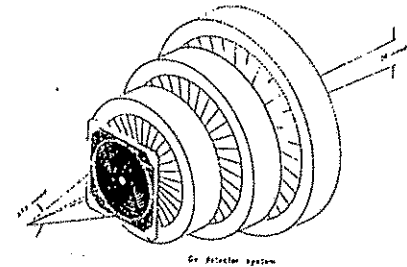
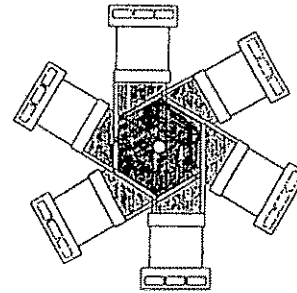
*F. Jahn*

Vertex wall, a 3 layer  
scintillating fiber hodoscope

### GEM

*H. Machner*

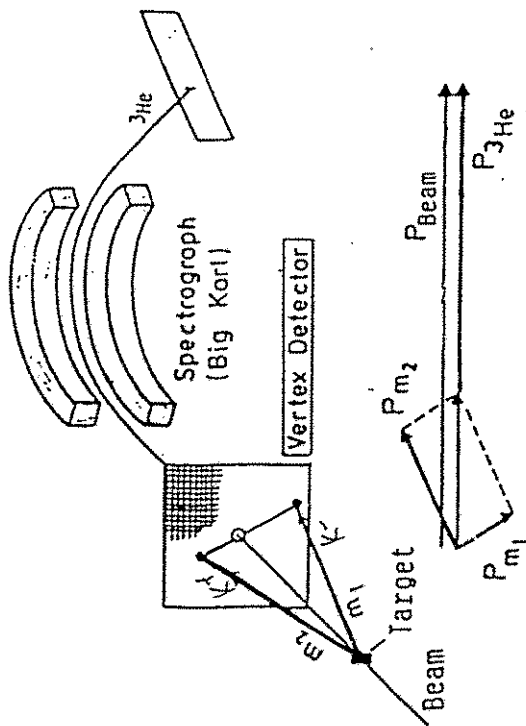
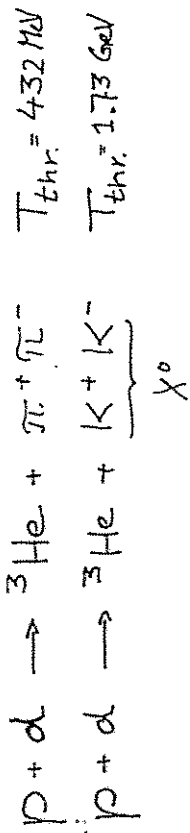
Germanium detector stack  
with Ge  $\mu$ strip in front



Tests with extracted, accelerated beam since 11/93.  
Measurements of  $pp \rightarrow d\pi$  with LH2 target running.  
MOMO vertex wall ready in '94  
GEM Ge detectors ready in '95

COSY E2 (MOMO)

R. Jahn (Bonn)



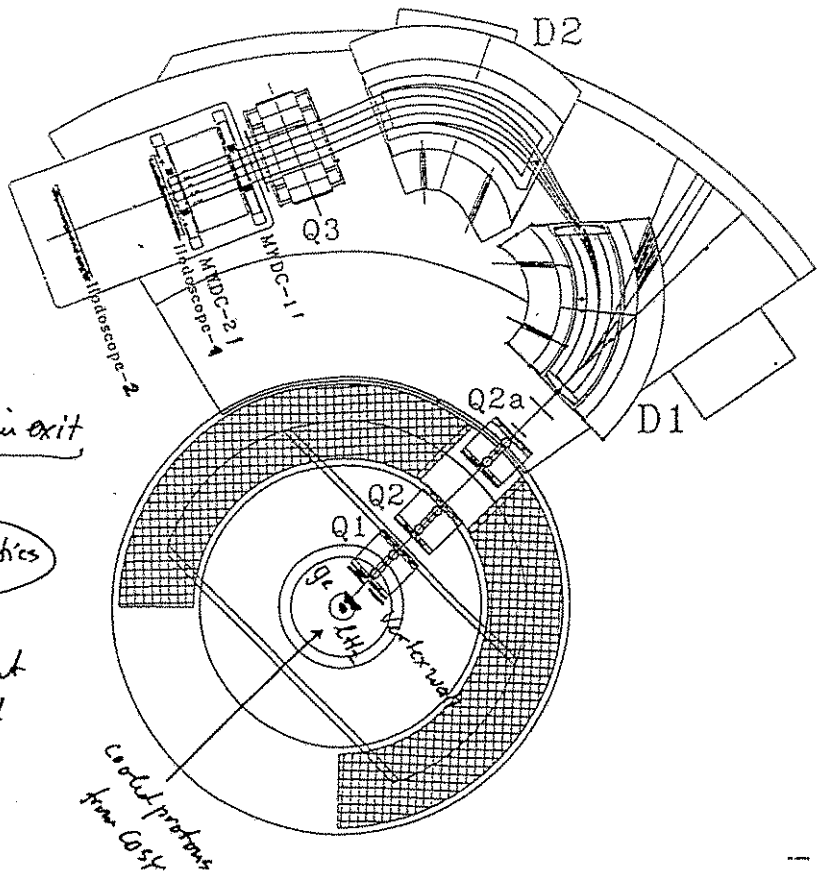
Particle tracks in exit

↓

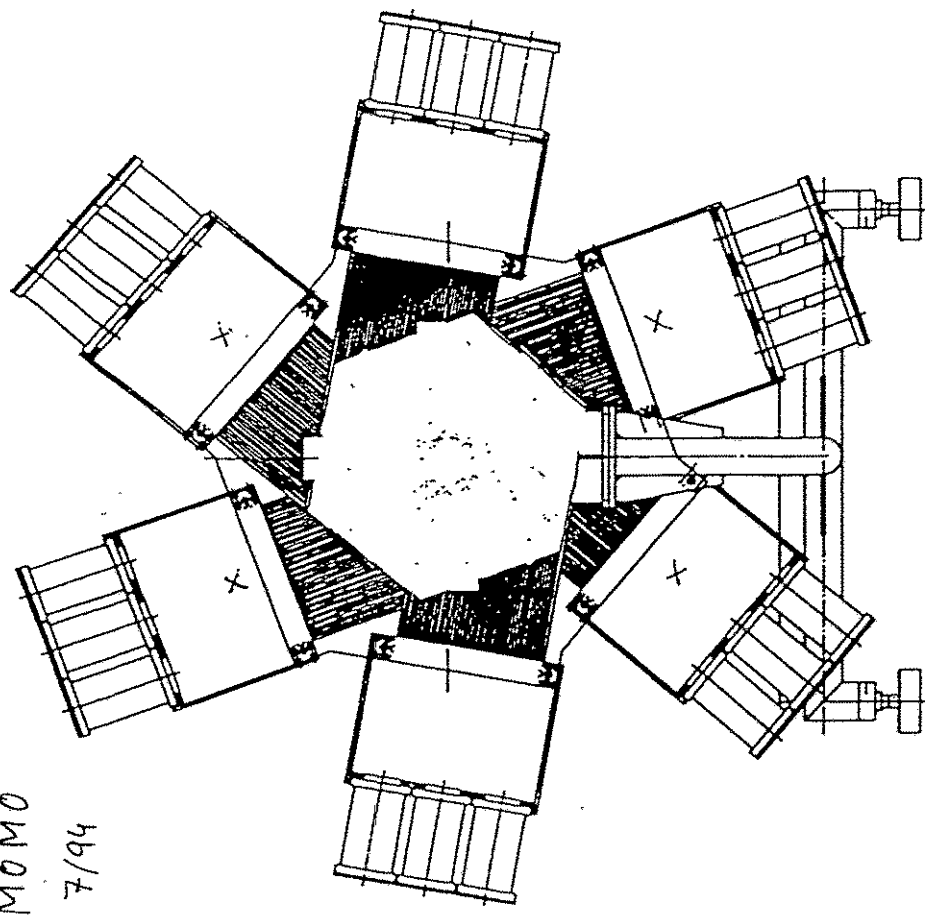
Big Korl Optics

↓

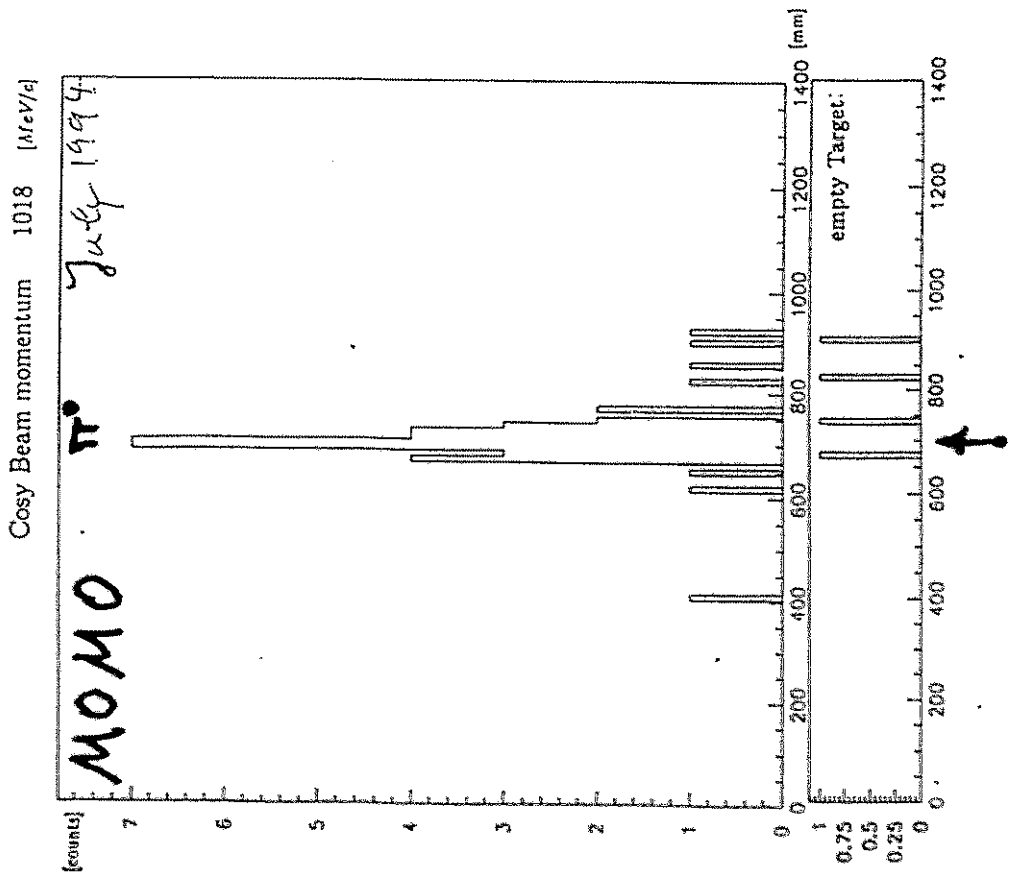
four vectors out of target

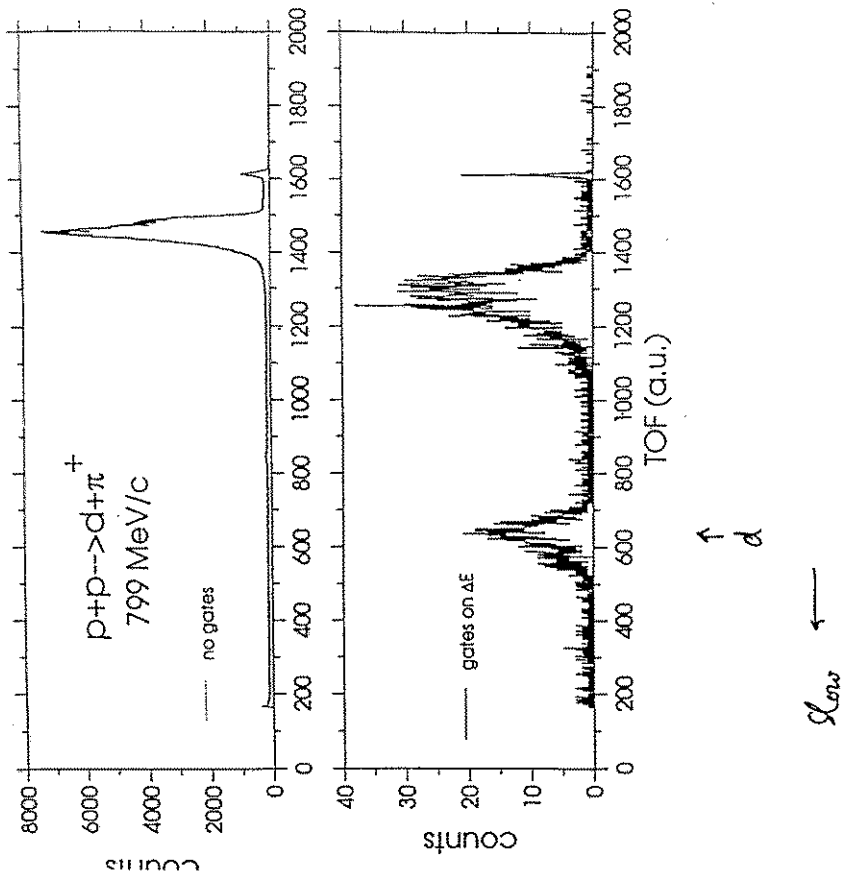


MOMO  
7/94

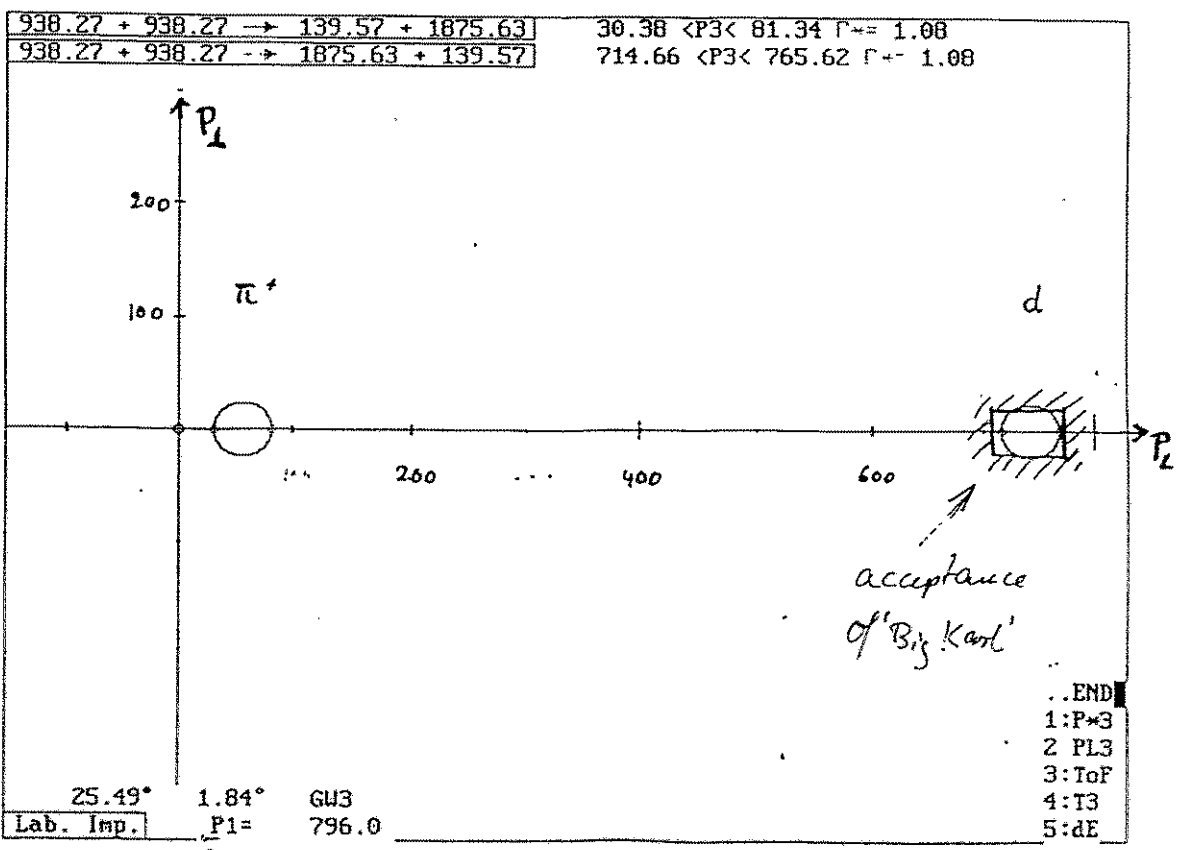


first  $\pi^+ \pi^-$  events in the scintillating fibers  
vertex detector  
(four modules operational, ready 10/94)





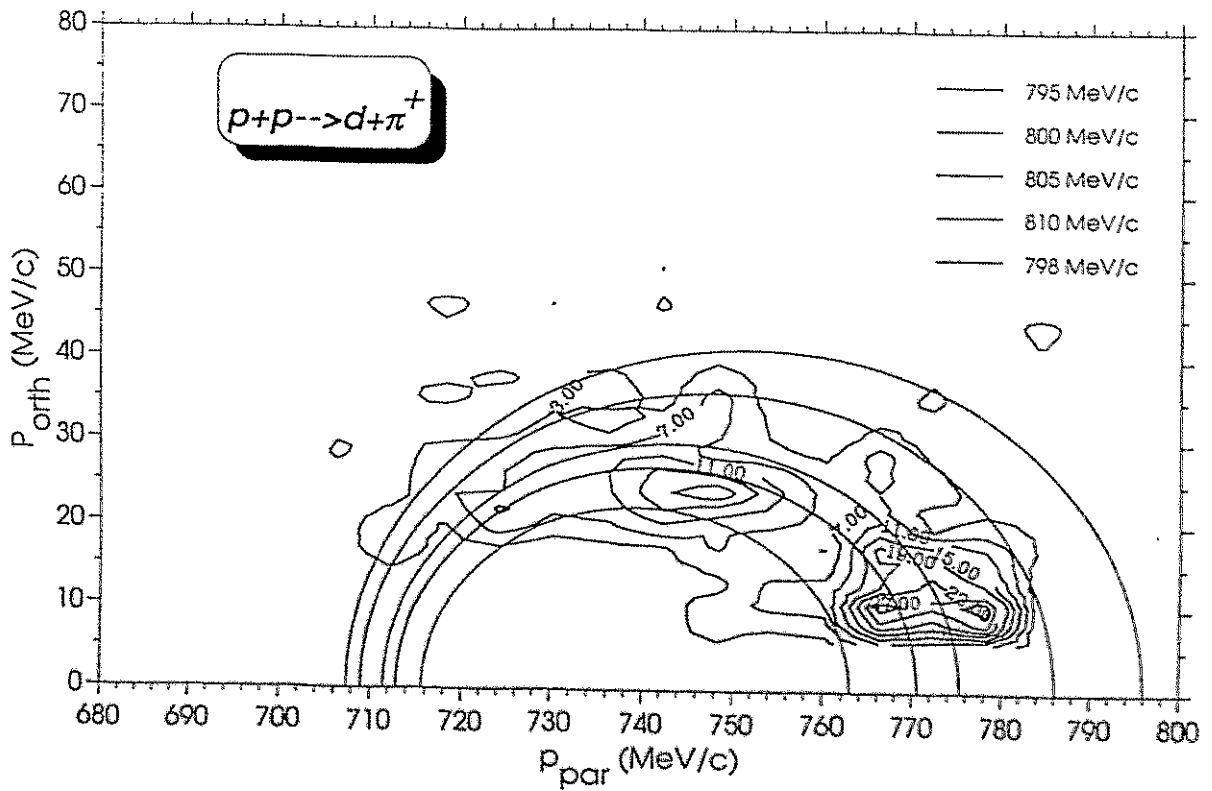
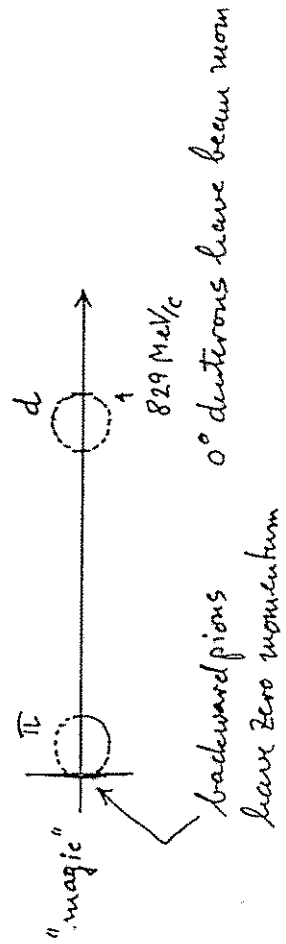
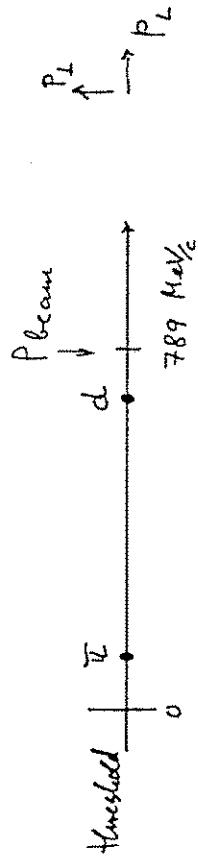
H1 H2 H3 H4  
 high (no protons)  
 nothing (d does not read.)



$P_{\perp} = 789 \text{ MeV/c} ; E = 2.15 \text{ MeV}$   
 Lab. Imp.  $P1 = 796.0$  GW3

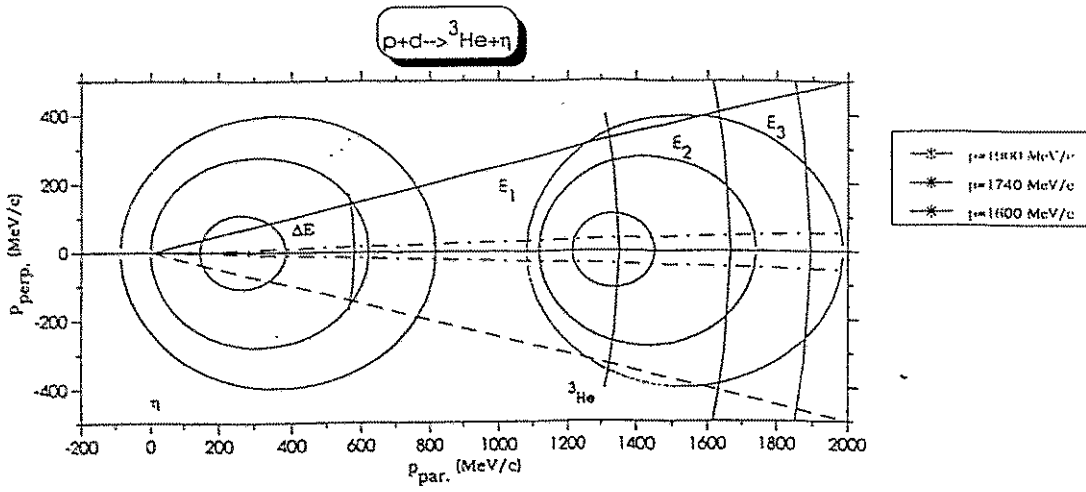
Example of "magic" momentum in  $pp \rightarrow d\pi^+$

( $\rightarrow \pi^+$  at rest in the lab. system)



Energy acceptance of the Ge-telescope in GEM

$\Delta E$ :  $\text{Ge}$  detector  $E_{1..3}$ :  $17 \text{mm}$  detectors



10) E4 Recoilless Production of  $\pi$  Atoms  $^{36}\text{Ar} + \pi^- \rightarrow \pi^- + 2p$  (86)   
 Jülich (Madsen) Kragan Telescopie

$\pi^-$ -nucleus interaction at highest density

$\pi^-$  capture in (atomic) bound state is proportional to:

$$\exp\left(-\frac{E_{\text{recoll}}}{E_{\text{bind}}}\right) = \exp\left(-\frac{q^2/2m_{\pi}}{E_{\text{bind}}}\right)$$

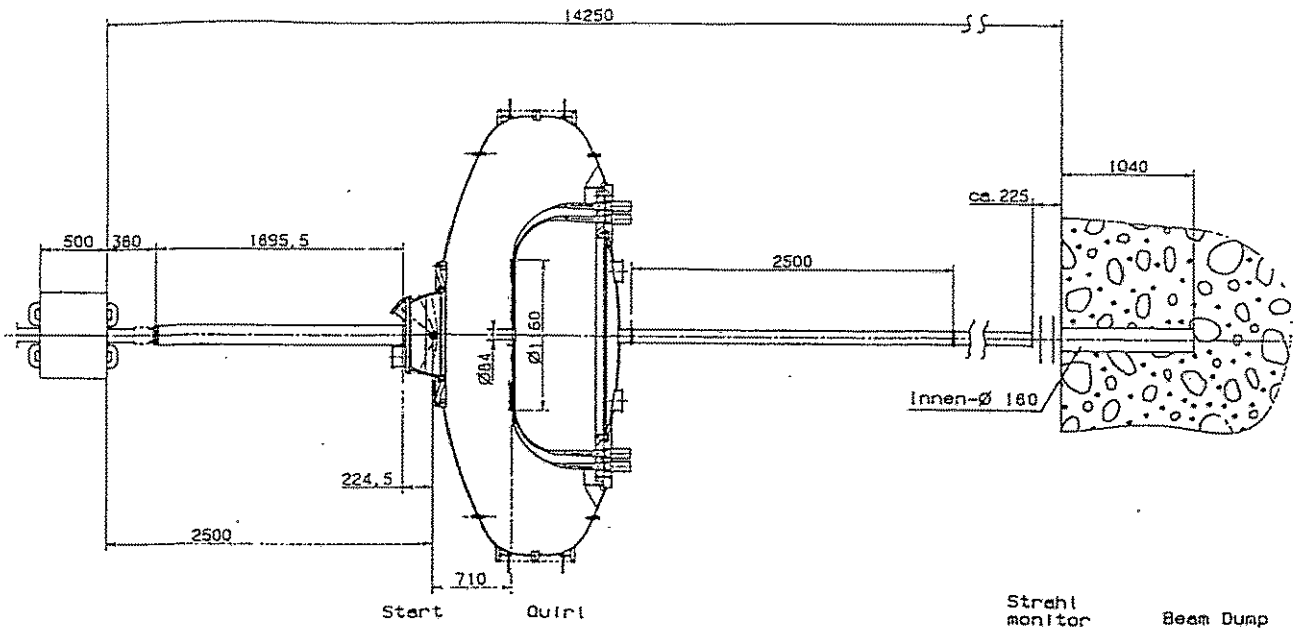
$\pi^-$  at rest possible of "magic momentum"  $\sim 830 \text{ MeV}/c$  in  $q_{\pi} = 0$



2 protons coincident in magnetic spectrometer (+  $\text{Ge}$  det. array)   
  $\Rightarrow$  missing mass reconstruction of  $(^{59}\text{Ca} + \pi^-)^*$  states   
 gives shift  $E$  and width  $\Gamma$  of states with respect to  $\beta E$    
 decay of  $(^{59}\text{Ca} + \pi^-)^*$  detected with  $\text{BGO}$  ball

Compare IUCF:  $p^{13}\text{C} \rightarrow \{^{14}\text{B}, \pi^-\} \rightarrow ^{13}\text{C}$   $q_{\pi} > 200 \text{ MeV}/c$    
 SATURNE:  $d A_2 \rightarrow \{A_{2+1}, \pi^-\} + 2p$   $q_{\pi} > 200 \text{ MeV}/c$    
  $\downarrow$    
  $T_{\pi} > 100 \text{ MeV}$

N.B.:  $p \left(\begin{matrix} R \\ 21 \end{matrix} \text{O}\right) \rightarrow \left(\begin{matrix} R \\ 20 \end{matrix} \text{O}\right) d$  RFK at  $3.04 \text{ GeV}$    
 }  $\pi$ -nuclei } 22

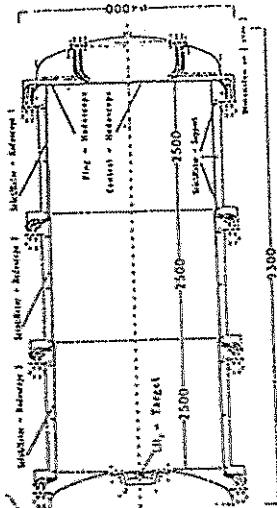
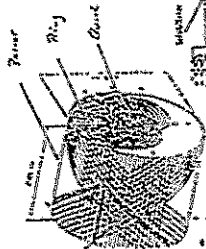


Testrun 5/94 with Quirl hodoscope in vacuum

pp → pp̄  
 pd →  $^3\text{He} \gamma$   
 pp →  $\text{K}^+ \Lambda \text{p}$   
 pp →  $d' \pi^+$   
 pα →  $\text{N}^*(1710) \alpha$   
 pd →  $\text{K}^+ \frac{3}{2} \text{H}$

Kuhlmann  
 Rodlerbrung  
 Eytrich  
 Clement  
 Morsch  
 Namm

TOR



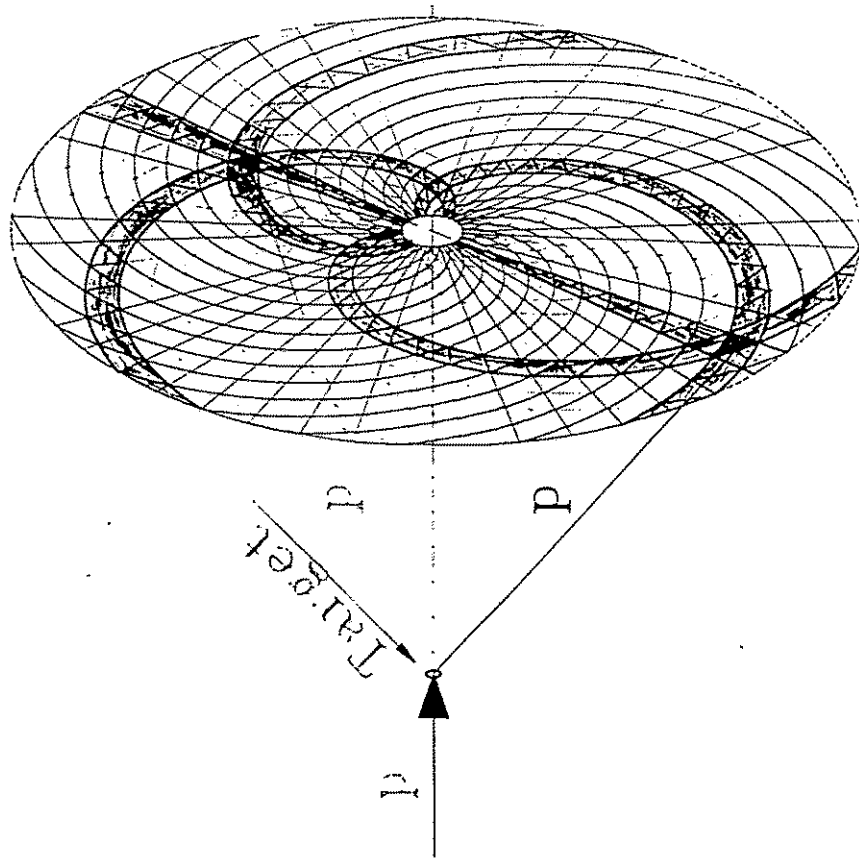
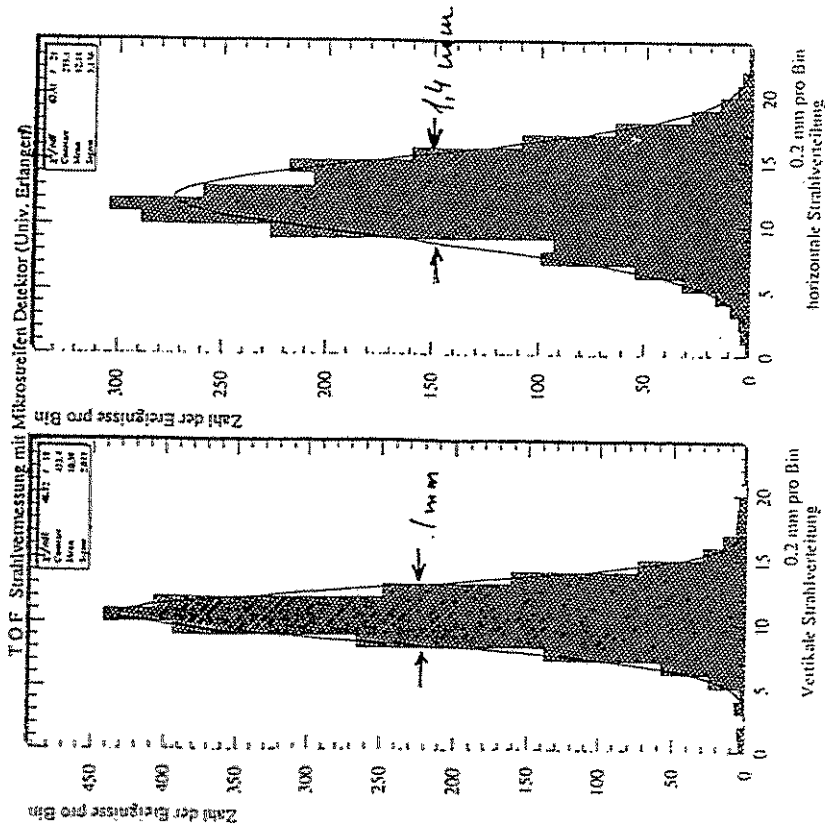
Time-of-Flight - Spectrometer (TOF)

- A "massless, 100 % acceptance" time of flight spectrometer for charged particles.  
3 layer scintillator hodoscopes with axial symmetry.  
Precision comes from kinematical overconstraints.  
Additional precision for strange particle from decay pattern (needs cooled beam).
- $\text{LiH}_2 / \text{LD}_2$  target and startdetectors for Bremsstrahlung and hyperon production ready.  
"Quiri" detector calibrated with cosmic rays.  
Start version ready for data taking in 5/94.



find beam at TOF

9/4/05/13 15.231



pp → pp

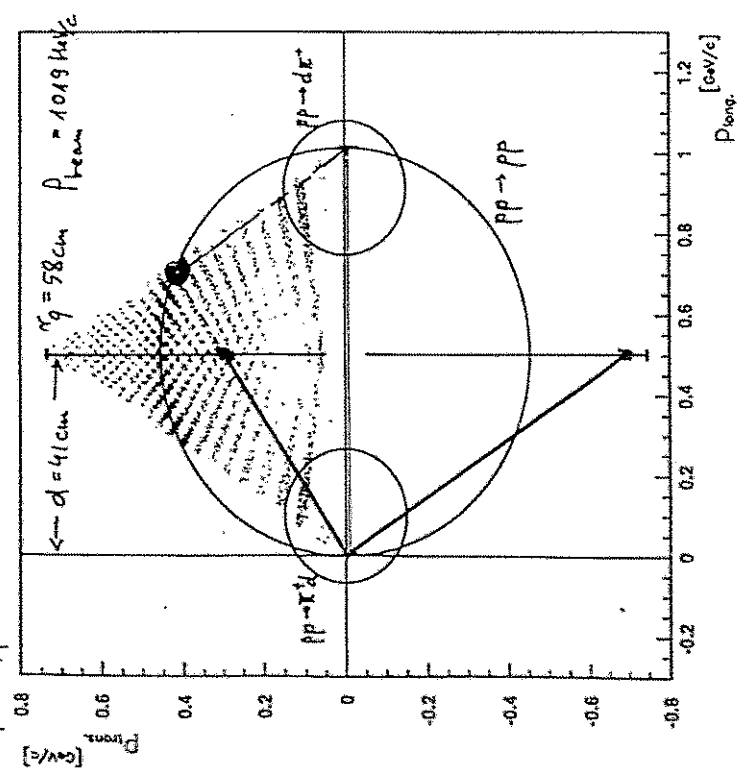
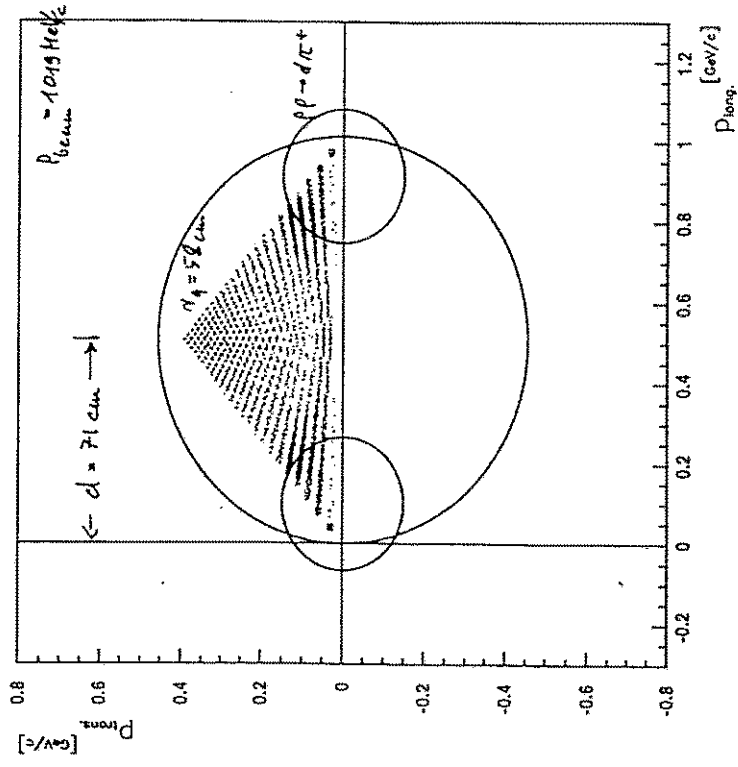
light from a lens in L and R-beams as identical lines

ONLY GEOMETRY

\* 2 hits in 3 planes each (on line)

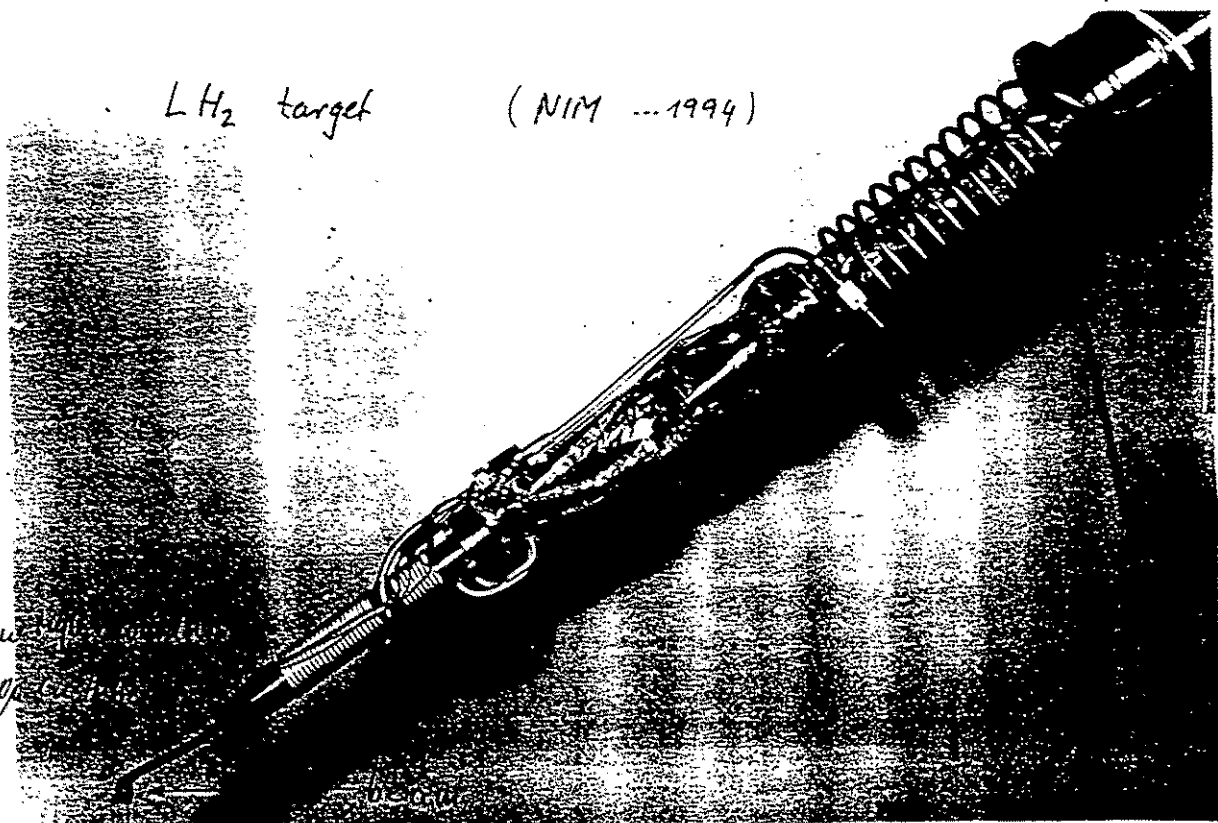
\* Coplanarity (off line)

$|\Delta t| \lesssim 0.5 \text{ ns}$   $|\Delta t| \gtrsim 2 \text{ ns}$   
for  $pp\text{-}dE^+$  for  $dE^+$

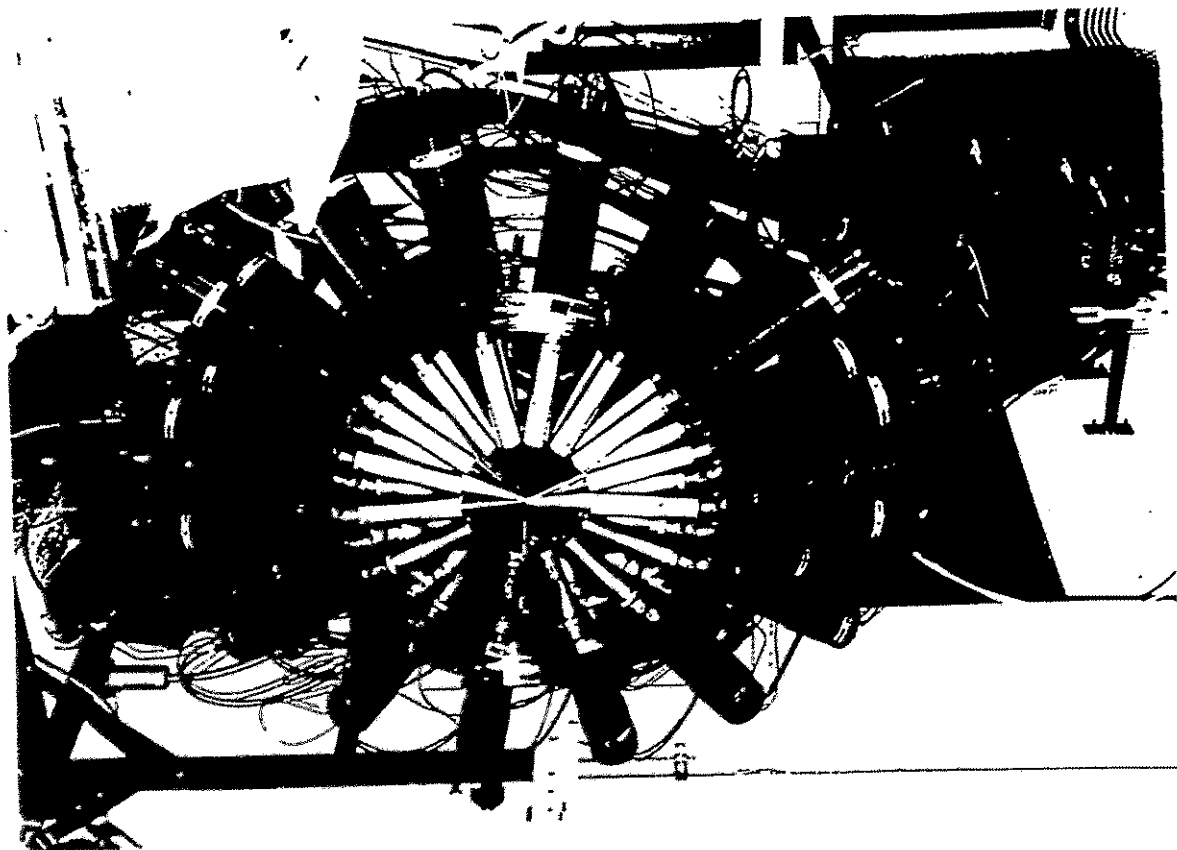


LH<sub>2</sub> target (NIM ---1994)

1/2  
50%

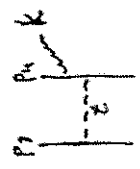


turn



Max. off shell in  $PP$  never really seen.

Bremsstrahlung  $PP \rightarrow PP\gamma$



External B.S.  
 $t$ -matrix from elast. scatt. (off shell...)  
 should change across  $\pi$  thresholds  
 since imaginary part comes into play



Intermediate  $\Delta$  production  
 $\Delta$  decay  $\rightarrow$  99.4%  $N\pi$   $\leftarrow$  large contribution  
 0.6%  $N\gamma$



Internal radiation from  $\omega$  decay  
 at 200 MeV negligible  
 at 400 MeV  $\sim 10\%$  of  $\sigma$

! Interferences between such diagrams might change drastically across pion thresholds

- Quadrupole Comparison Disk
- $PP \rightarrow PP\gamma$
  - $P_1 P_2 \rightarrow PP\pi^0$
  - $PP \rightarrow P\Delta \rightarrow P\gamma$
  - SATURNE HP  $\rightarrow$   $PP\gamma$
  - (LEAR)  $\rightarrow PP \rightarrow PP\gamma$

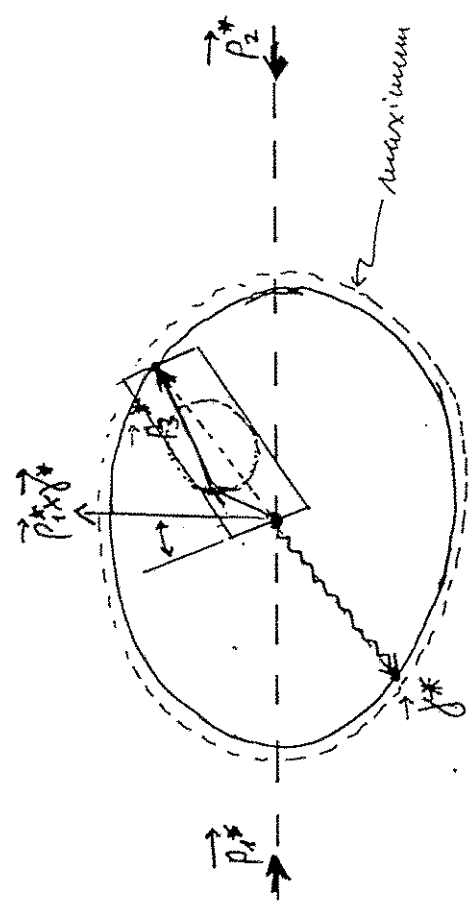
$$P_1 P_2 \rightarrow P_3 P_4 X^0$$

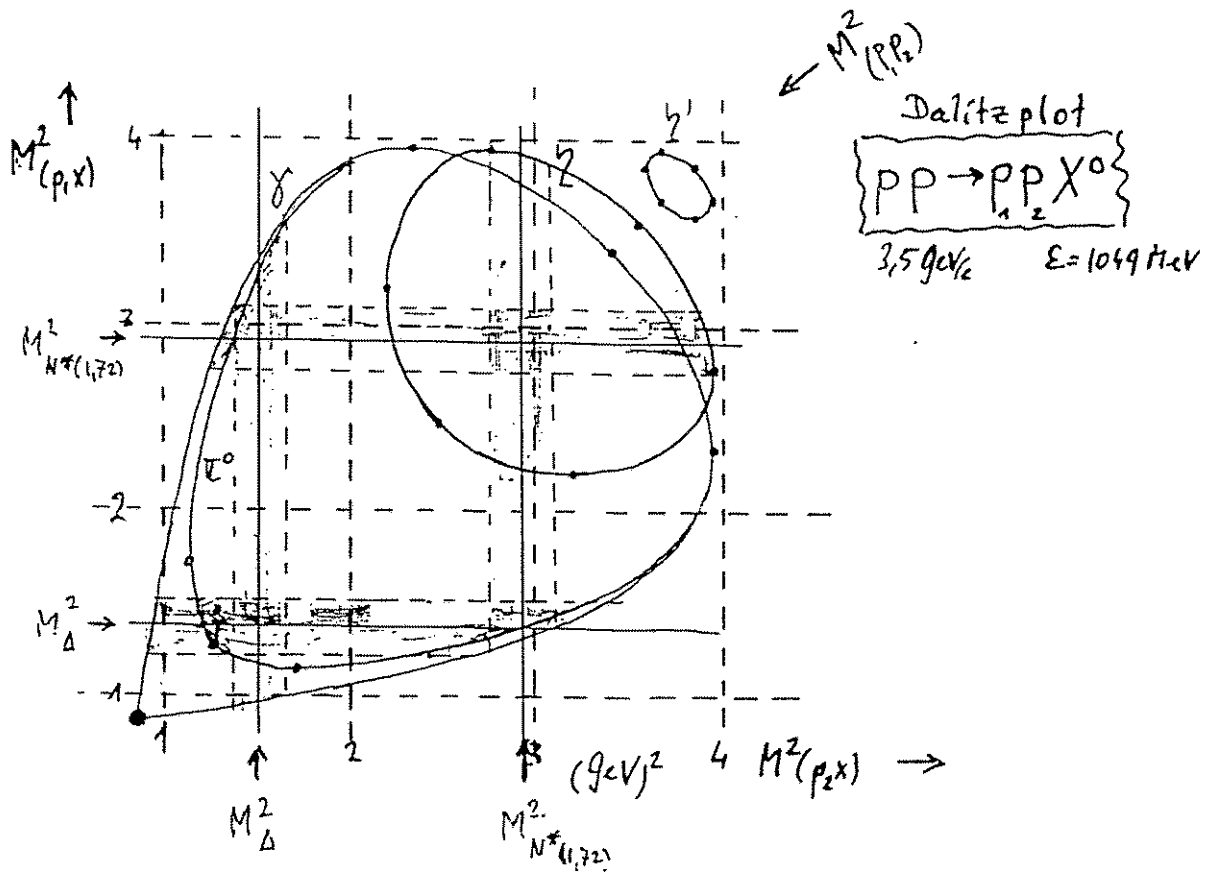
kinematically complete when two protons measured

$$P_X^2 = P_1^2 + P_2^2 - P_3^2 - P_4^2 \Rightarrow \text{including directional correlations}$$

$$P_X^2 = 4M_X^2; \text{ if } u_X^2 = 0 \text{ B.S.}$$

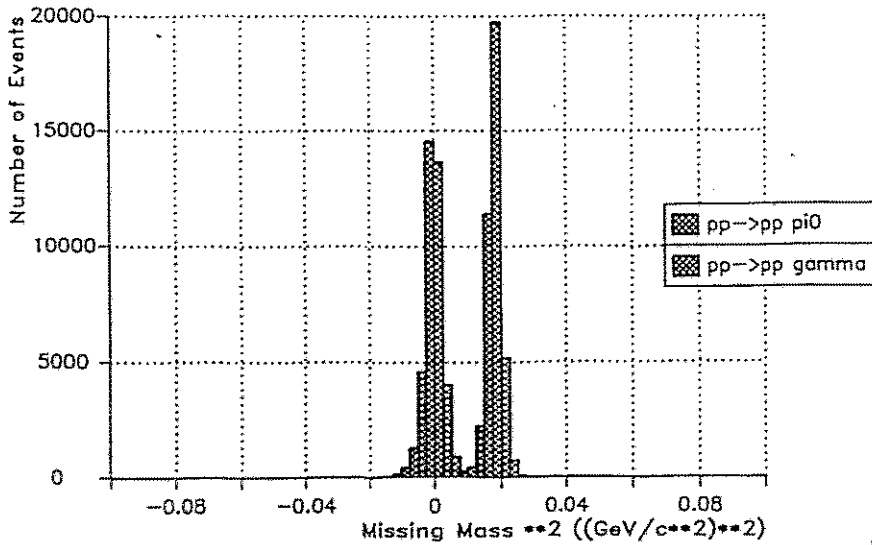
maximum of shell bremsstrahlung and systematic correlations have never been measured in  $PP \rightarrow PP\gamma$



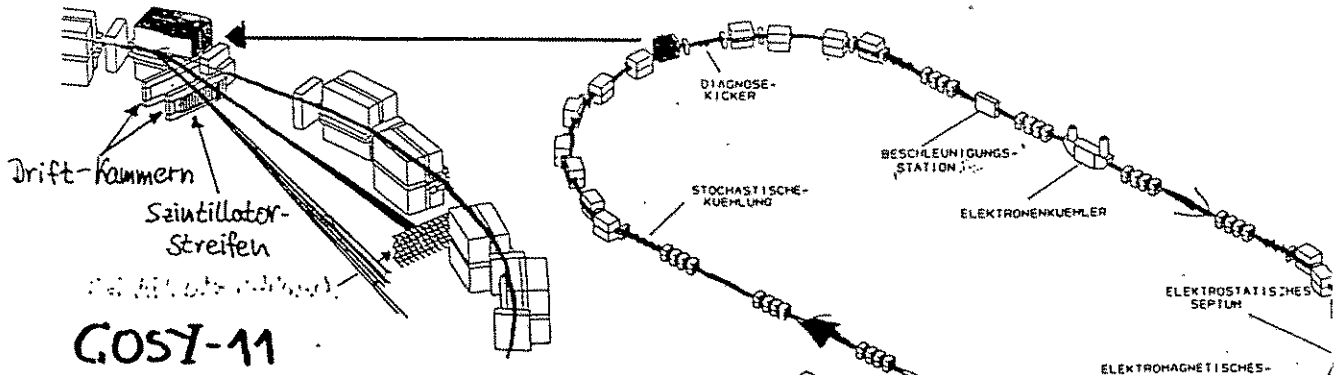


(Monte Carlo)

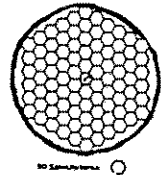
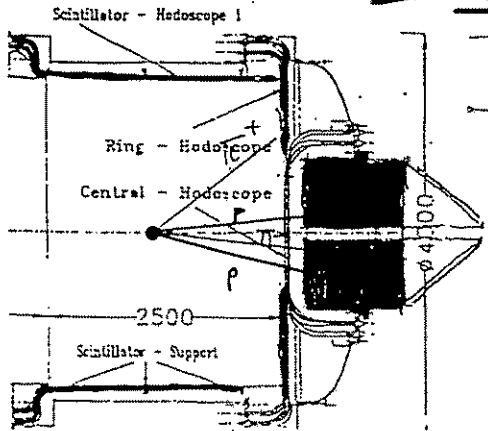
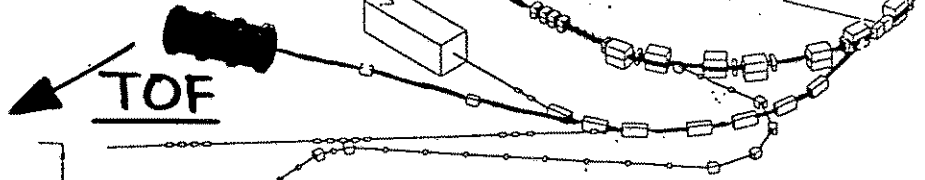
Proton Beam Momentum of 1.2 GeV/c



$\Delta t = 0.7 \div 1.2 \text{ ns}$  further measured



COSY-11



COSY

$$pp \rightarrow d' \pi^+$$

$$\hookrightarrow \{pp\}_{E \approx 40 \text{ MeV}} + \pi^-$$

Genmond + Wilkin  
Nucl. Phys. A 518 (40) 308

$$pp \rightarrow pp\gamma$$

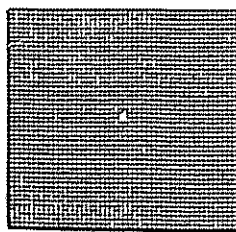
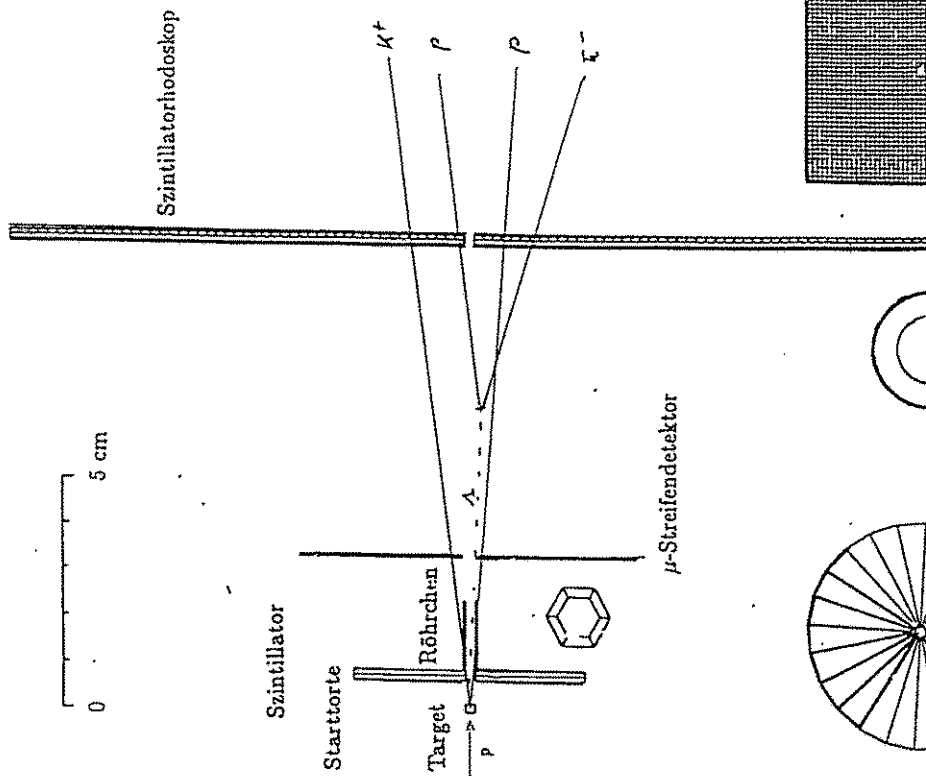


Lipatov & Leontiev  
Ph. Lett B 257 (91) 254

line in Dalitz plot  
 $4\pi (P_x + P_y)^2 \sim M_{S_{11}}^2$

V. Sommer  
Experiment

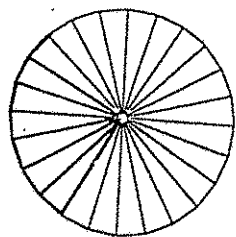
In:endetektor für COSY-Experiment 15  
 „Vorläufige Endversion“



2 x 100 Streifen  
 à 2 mm Breite

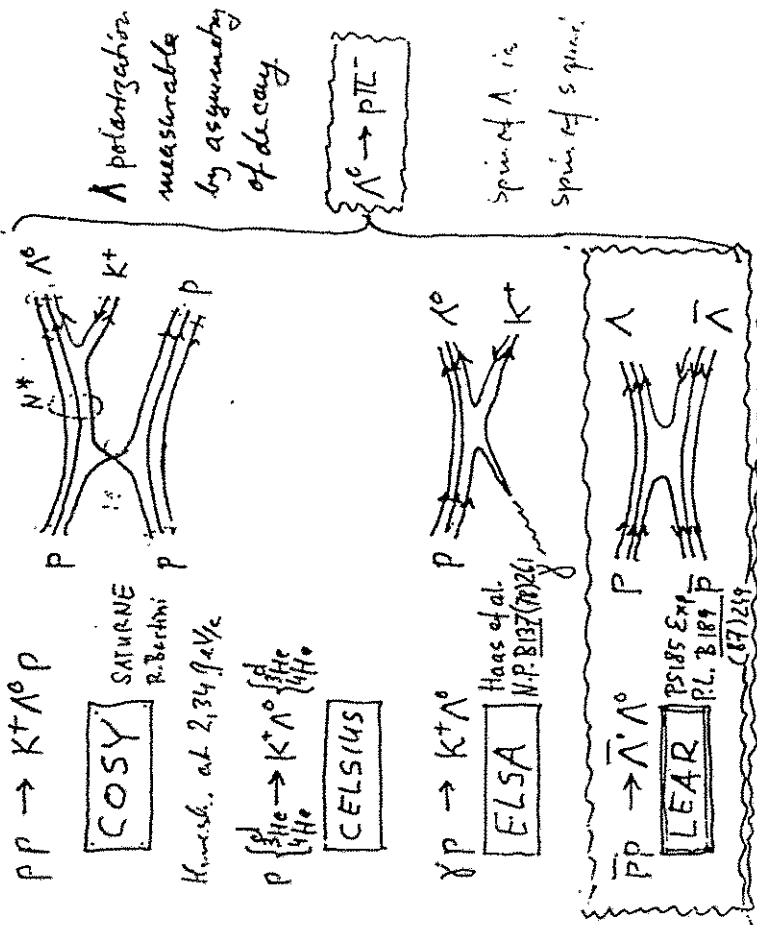


100 Ringe à 300 µm



2 Lagen à 12 Segmente

(Comparison of  $\bar{s}s$  quark pair creation at low energy)

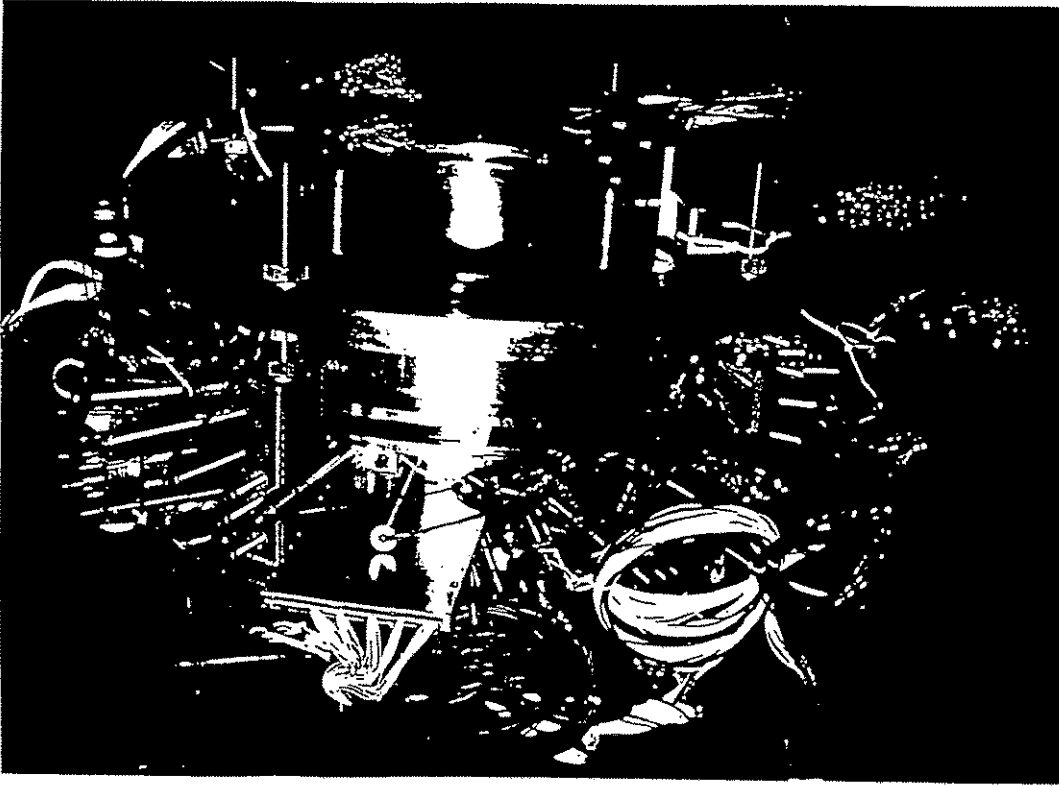
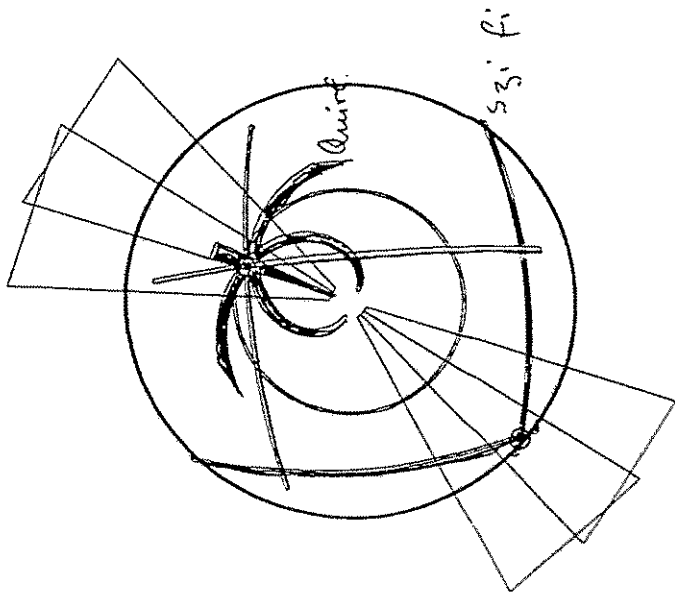


Hyperon  $\Lambda^0 : (ud)_{I=0} \Rightarrow (ud)_{spin=0}$   
 $\Sigma^0 : (ud)_{I=1} \Rightarrow (ud)_{spin=1}$   
 $\lambda_{spin} = \frac{1}{2}$   
 $\lambda_{spin} = 0$

- 1.  $\bar{s}s$  pair creation with different probes
- 2.  $\bar{s}s$  quark interaction with  $I=0$  and  $I=1$  diquarks can be compared
- 3. Polarization vector of quarks

Test run 5/94 Erlangen-decay counter + Quirk

ALMSEPP  
Run 877  
Event 517



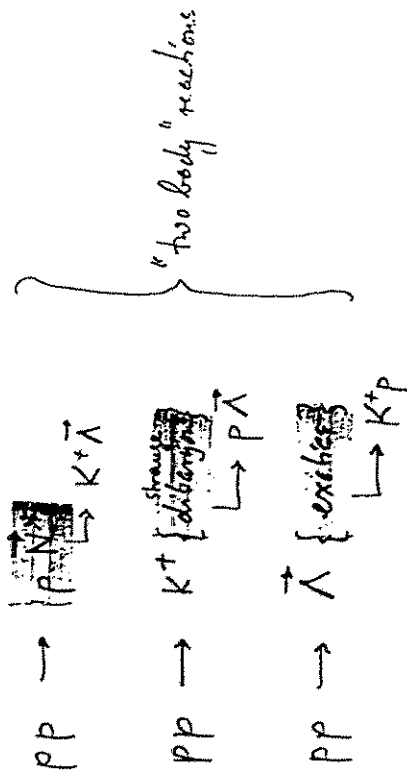




The Top-spectrometer has ~100% acceptance

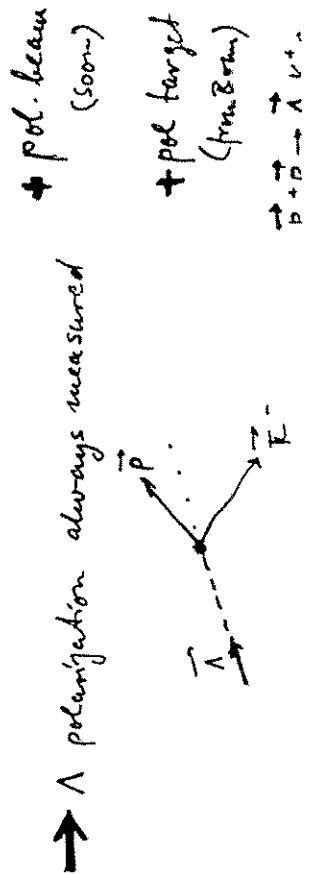
provides full 4-vector information.  
(→ 4 constraints)

All subsystem spectra can be obtained



"two body" reactions

All effects are visible at the same time in the Dalitz-plot

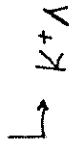


\* Selective  $N^*$  production

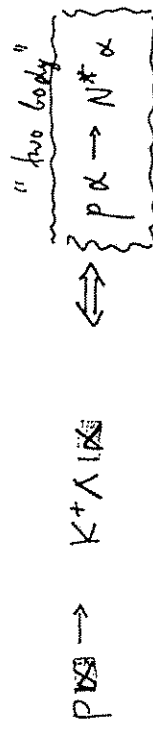


$\alpha$  selects spin = isospin = transition

\* Selective  $N^*(1740)$  decay



BR ~ 15%  $\nabla$



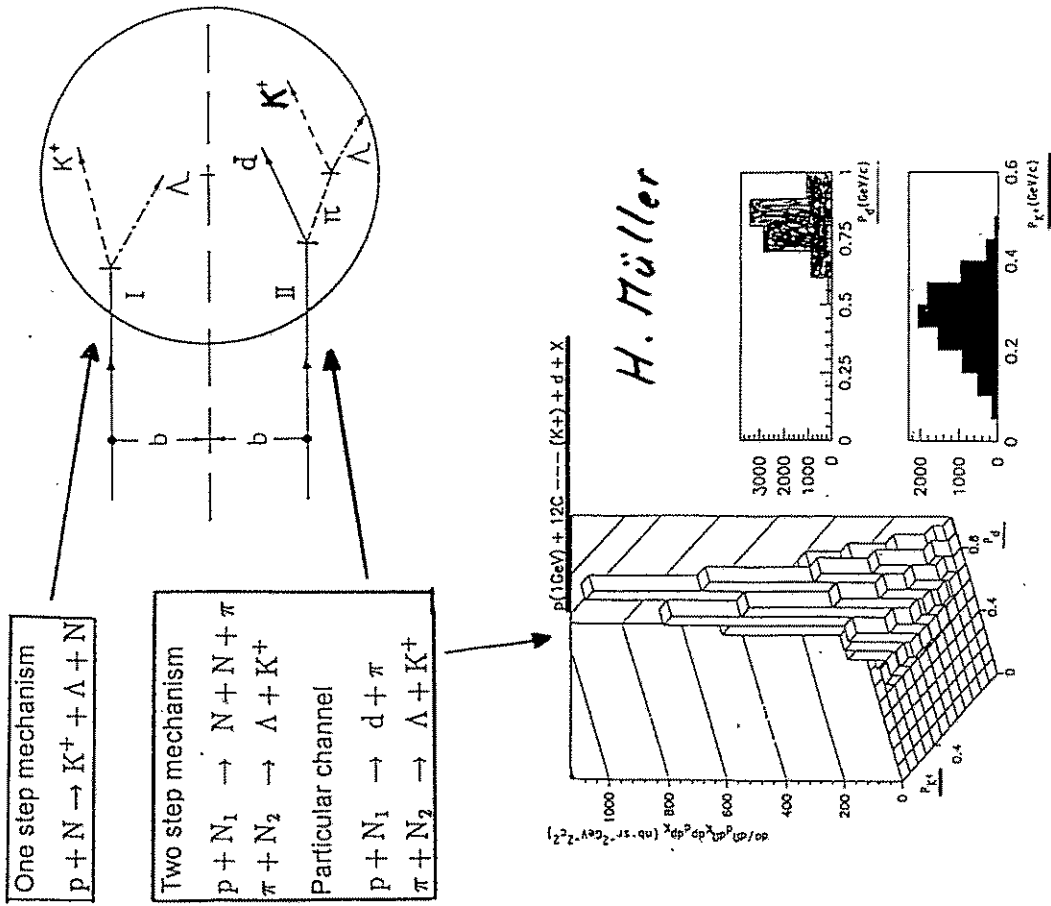
isolates  $N^*(1710)$  resonance

⇒ easier partial wave analysis

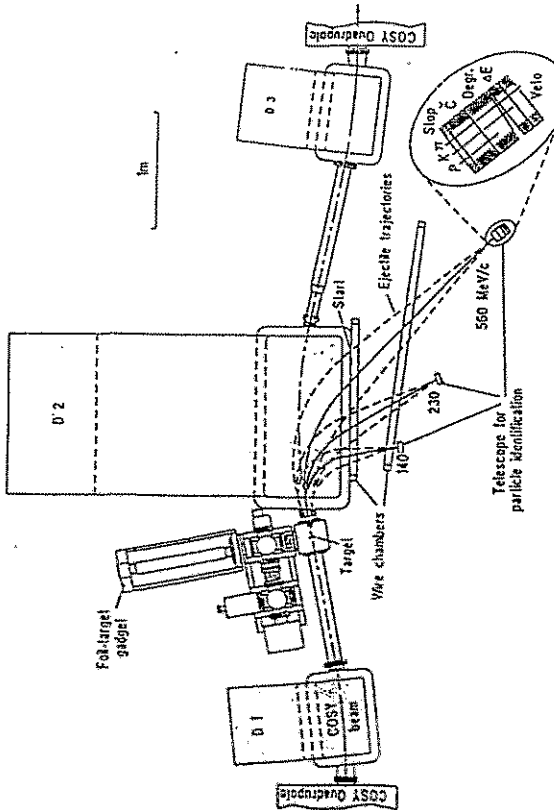
Detector: Cigar the target in TOF + Ge. Unit

⇒ perfect for low energy in a detector

Clearing up the Mechanism of Subthreshold  $K^+$  Production



0° facility



- Internal target in an orbit bump of COSY. Dipole used as high acceptance spectrometer for positive and negative particles.
- 0° reaction products ( even neutrals ) measurable.
- " 100 % acceptance " close to thresholds.
- Ready to order dipoles ( financing ! ).
- Many goals :
  - Medium effects on elementary  $K$  production.
  - " Subthreshold " production.
  - Reaction mechanisms.

## The COSY scientific Program and its Implementation

Running in phase

first interactions with accelerated protons  
(internal: EDDA 9/93 external: BIG KARL 1/94 TOF 5/94 )  
debugging of new installations , no unexpected obstacles,  
on a good track!

### • General Features of COSY and Chances

(  $q, \omega$  ) range : about ( 2.2GeV/c , 1.05 GeV ) in p+p interactions  
production ,decay and interaction of hadrons ,including strangeness  
phase space cooling , high brilliance beams  
internal and external targets  
effort in beam preparation gives advantages in detector performance  
( low background , 100 % acceptance for many body , kinematically complete)

### • The present COSY Program

10 accepted proposals (since 9/89 with some recent addenda )

NN interaction

meson- meson interaction

elementary meson production (especially at thresholds)

strangeness production

reaction mechanisms in p+d and in p+A interactions

( meson production subthreshold , one and two step processes , role of kinematics )

meson-nucleus interaction (rfx)

Detectors : EDDA , BIG KARL , TOF ready to go

Cosy-11 and Cosy-13 wait for installation into the ring

ZDF needs money to order magnets (ready to go on)

Polarized source works , polarimeter installation still 94

### • Future Development

extend medium energy hadron physics

possibility to do weak interaction studies

extend detector equipment :

external frozen spin target , internal pol. atomic beam , longitudinally pol. ext. beam

a full acceptance shower counter (like ETA /Saclay or AMPIR / Moscow ...)

cooperation with other laboratories

KARMEN: Neutrino-Spektroskopie  
an der Spallationsquelle ISIS

J. Kleinfeller  
Karlsruhe

7.Oktober 1994

## KARMEN

Neutrino-Spektroskopie  
an der  
Spallationsquelle ISIS

KARLSRUHE-RUTHERFORD  
MEDIUM ENERGY  
NEUTRINOEXPERIMENT

KFK KARLSRUHE  
KARLSRUHE UNIVERSITY  
ERLANGEN UNIVERSITY  
QUEEN MARY & WESTFIELD  
COLLEGE LONDON  
OXFORD UNIVERSITY  
RUTHERFORD APPLETON  
LABORATORY

J. Kleinfeller, Kernforschungszentrum Karlsruhe, IK1, Postfach 36 40, 76021 Karlsruhe, FRG  
E-mail: j.kleinfeller@rutherford.ac.uk Arbeitstreffen Kern- und Teilchenphysik, Pima 04.-07.1994

## KARMEN - COLLABORATION

KFK & KARLSRUHE UNIVERSITY

B.	Armbruster	T.	Jannakes
T.	Csabo	M.	Kleifges
G.	Drexlin	J.	Kleinfeller
V.	Eberhard	C.	Oehler
C.	Eichner	P.	Plischke
K.	Eitel	J.	Rapp
H.	Gemmeke	J.	Weber
R.	Gumbsheimer	J.	Wochele
H.	Hucker	J.	Wolf
D.	Hunkel	B.	Zeitnitz
R.	Maschuw	(Bonn University)	

ERLANGEN UNIVERSITY

D.	Blaser	J.	Höbl
B.A.	Bodmann	P.	Jünger
M.	Ferstl	W.	Kretschmer
E.	Finckh	H.	Schmidt
T.	Hanika	O.	Stumm
M.	Hehle		

QM&W COLLEGE LONDON

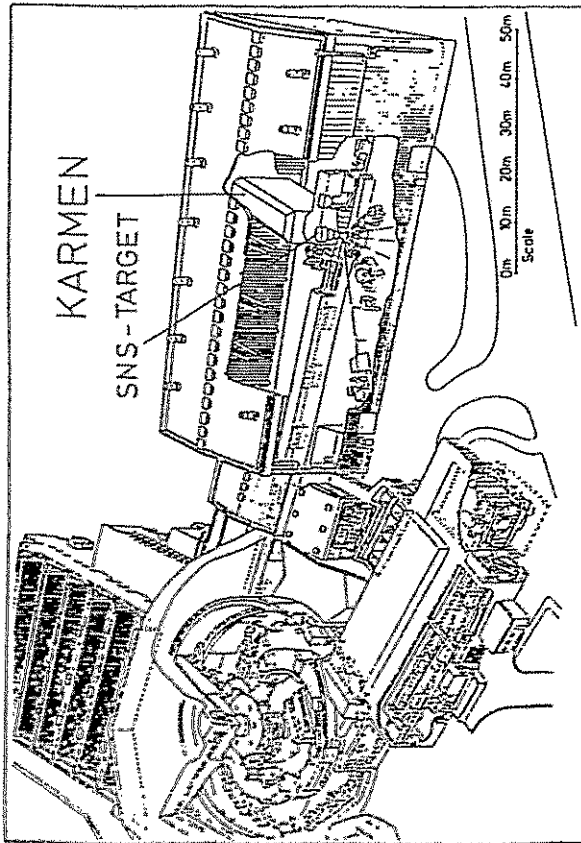
I.	Blair	B.	Seligmann
J.A.	Edgington		

OXFORD UNIVERSITY

N. Booth

RUTHERFORD APPLETON LAB.

# ISIS



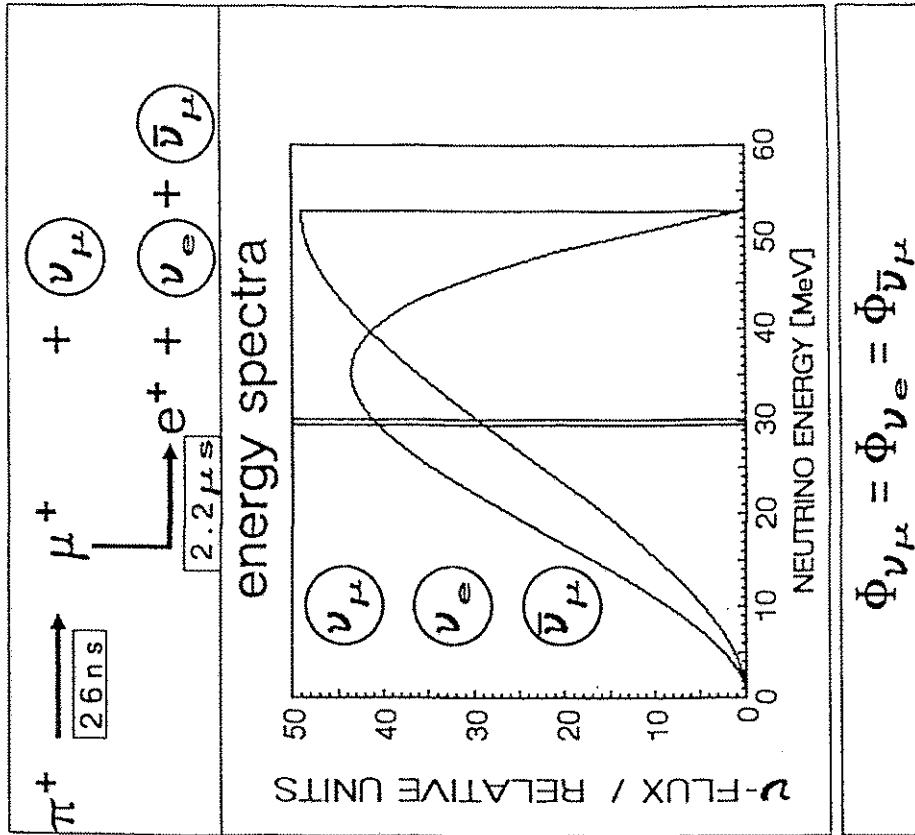
SYNCHROTRON: p | 800 MeV | 200  $\mu$ A

EXTRACTION : 50 Hz

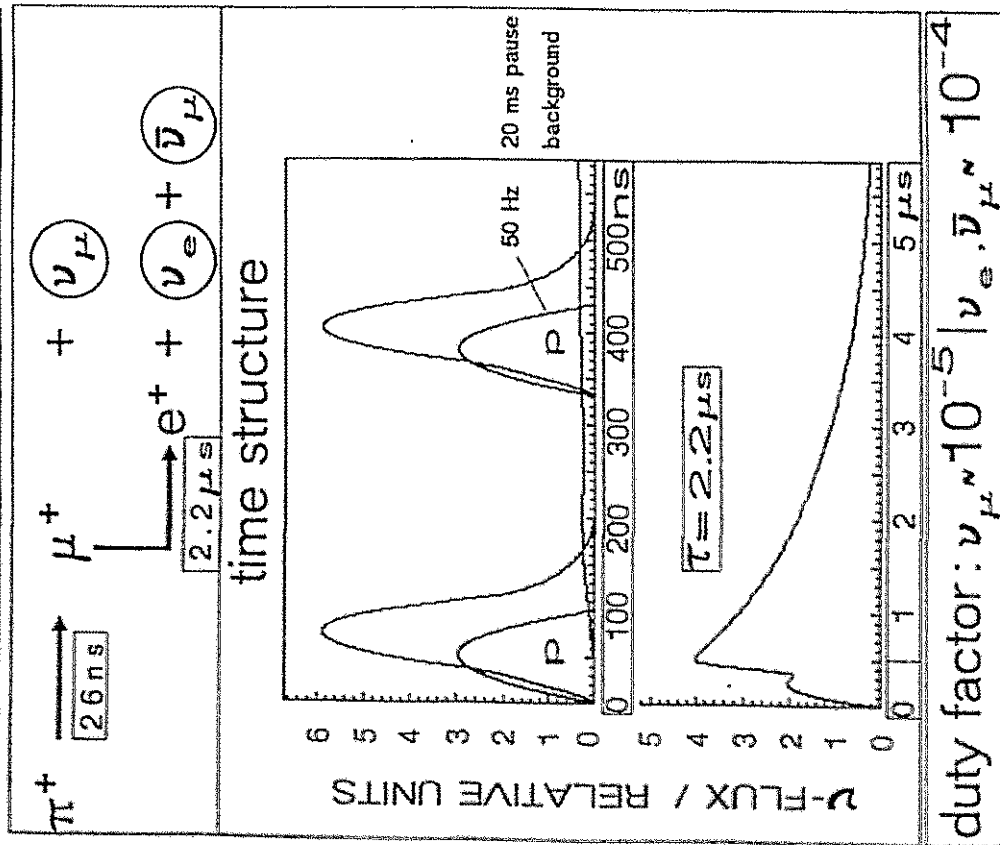
100ns PULSE - 330ns PAUSE - 100ns PULSE

TARGET: URANIUM (U-D<sub>2</sub>O) BEAM DUMP

# ISIS



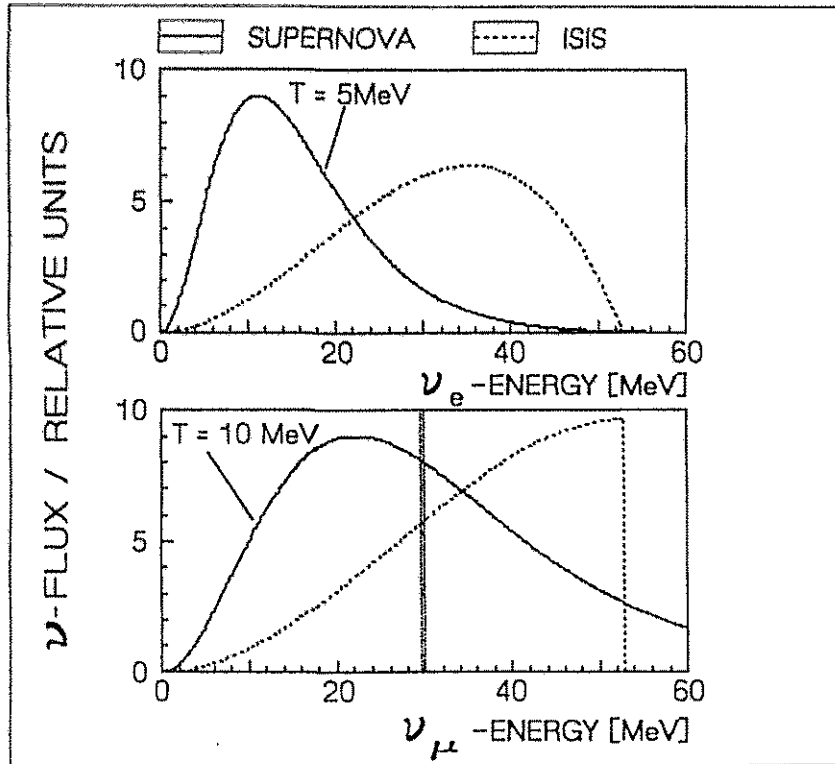
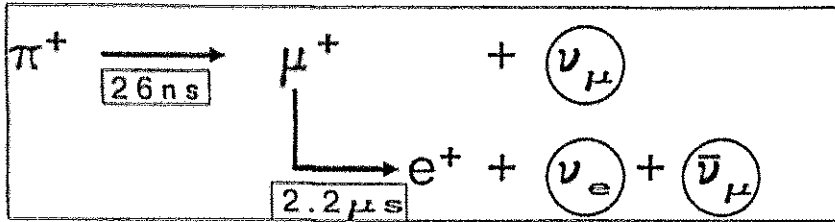
# ISIS



# RESEARCH PROGRAMME

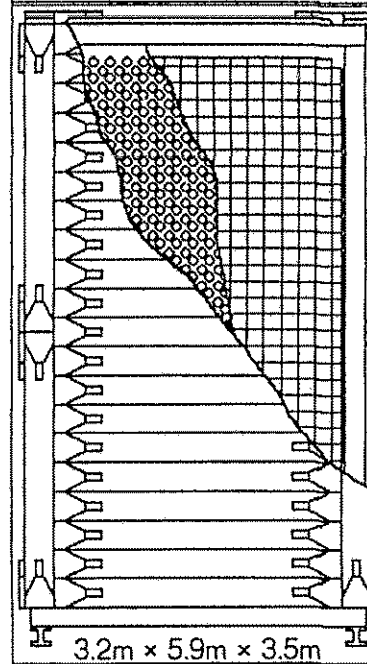
$\nu$ - nuclear excitation
$\nu$ - spectroscopy
$\nu_e$ - charged current reaction
$\langle \sigma \rangle$ ; $\sigma(E\nu_e)$ ; $F_A(q^2)$ ; $\omega_L(\nu_e - \text{shape})$
$\nu_\mu$ ; $\nu_e$ ; $\bar{\nu}_\mu$ - neutral current reaction
$\nu$ - oscillations
$\pi^+ \xrightarrow{26 \text{ ns}} \mu^+ + \nu_\mu \longrightarrow \nu_e$ appearance
$\mu^+ \xrightarrow{2.2 \mu\text{s}} e^+ + \nu_e + \bar{\nu}_\mu \longrightarrow \bar{\nu}_e$ appearance
$\xrightarrow{X}$ disappearance
$\bar{\nu}$ -violating decays
$\pi^+ \xrightarrow{26 \text{ ns}} \mu^+ + \bar{\nu}_e \xrightarrow{26 \text{ ns}} e^+ + \bar{\nu}_e$
$\mu^+ \xrightarrow{2.2 \mu\text{s}} e^+ + \bar{\nu}_e + \nu_\mu$ If -violating

# ISIS - SUPERNOVA NEUTRINOS



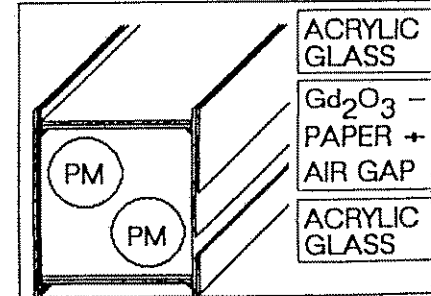
# KARMEN DETECTOR

## 56 t LIQUID SCINTILLATOR CALORIMETER



- NE110 OUTER SHIELD
- 20cm PASSIVE SHIELD
- 96 INNER SHIELD
- 2240 3" PHOTOTUBES
- 16x32 CENTRAL DETECTOR

### SINGLE MODULE



**96% ACTIVE VOLUME**

**MASSIVE SENSITIVE TARGET**

<sup>12</sup>C    <sup>1</sup>H    e<sup>-</sup>

FOR  $\nu$  - INTERACTIONS

18cm x 18cm x 350cm (1.5mm)

- 578 -



# KARMEN DETECTOR

56 t liquid scintillator calorimeter

96% active volume

massive sensitive target

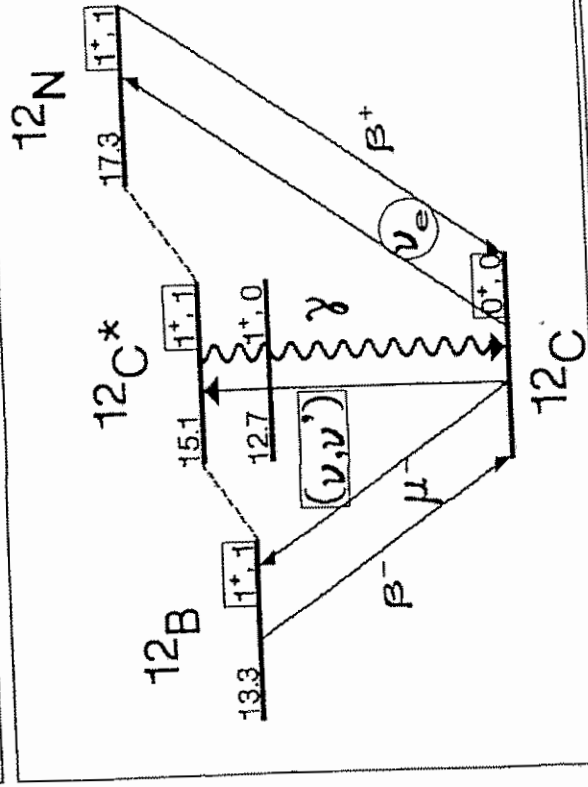
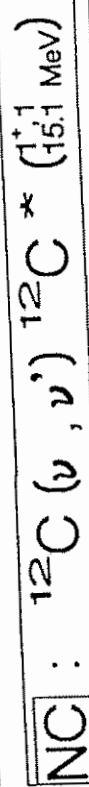
$^{12}\text{C}$   $^1\text{H}$   $e^-$   
for  $\nu$  - interactions

$$\frac{\sigma E}{E} = \frac{11.5\%}{\sqrt{E(\text{MeV})}} = 80 \text{ p.e./MeV}$$

$$\sigma T = 0.4 \text{ ns}$$

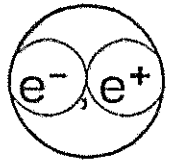
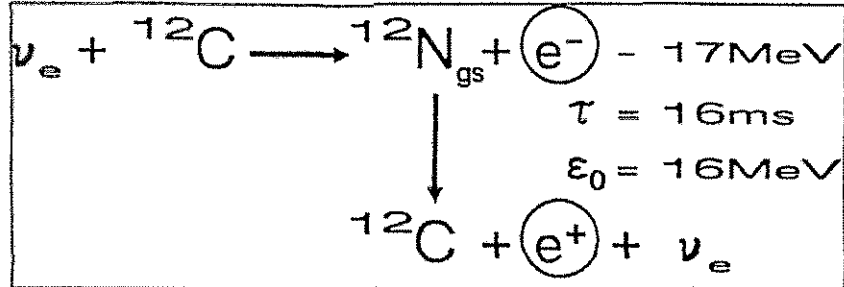
$$\sigma X = 6.0 \text{ cm}$$

# CC + NC NUCLEAR EXCITATION



$(J^\pi, T) : (0^+, 0) \longrightarrow (1^+, 1) \quad \Delta S = 1; \Delta T = 1$   
isovector - axialvector coupling    spin - isospin filter  
flavour universality  $\nu_\mu, \nu_e, \bar{\nu}_\mu, \bar{\nu}_e - Z^0$

### EXCLUSIVE CC REACTION



: spatially correlated  
: delayed coincidence



:  $E = 10 - 36\text{MeV}$   
:  $T = 0.6 - 9.6\mu\text{s}$

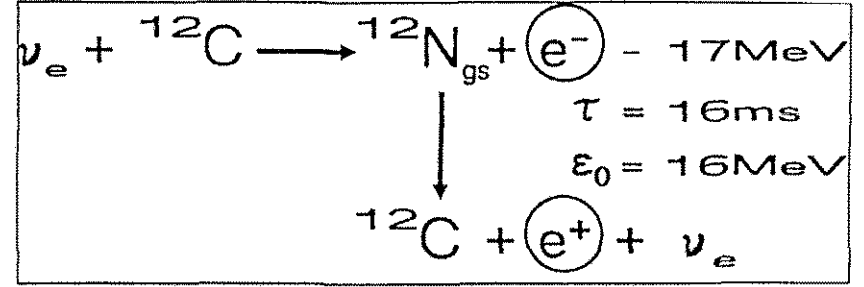
$\{\bar{\nu}_\mu, \nu_e\}$  - time window



:  $E = 3.5 - 16.5\text{MeV}$   
:  $T = 0.5 - 36.5\text{ms}$

up to next beam period

### EXCLUSIVE CC REACTION



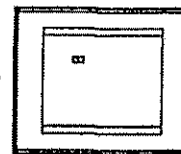
### NEUTRINO EVENT SIGNATURE



PROMPT EVENT

$E = 16.8\text{ MeV}$

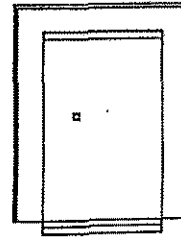
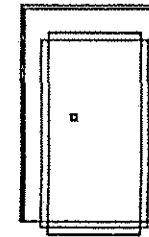
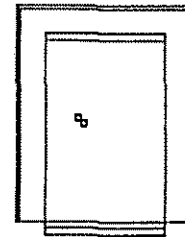
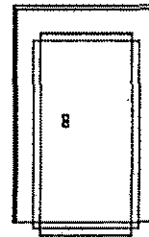
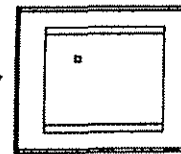
$T = 0.7\ \mu\text{s}$



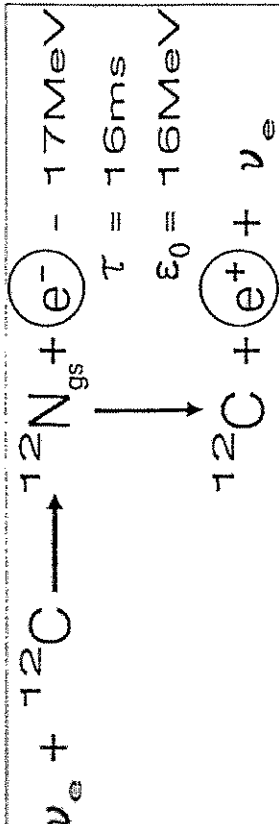
DELAYED EVENT

$E = 5.2\text{ MeV}$

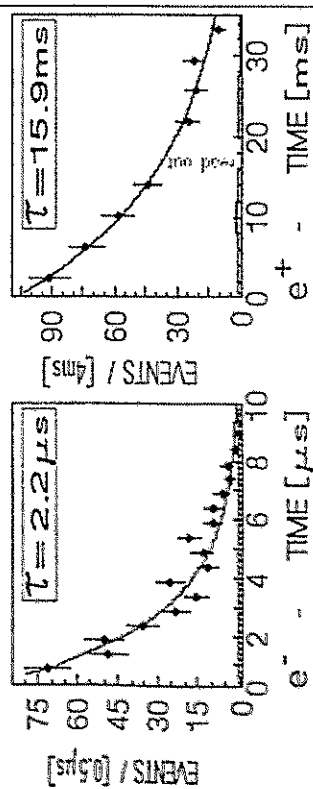
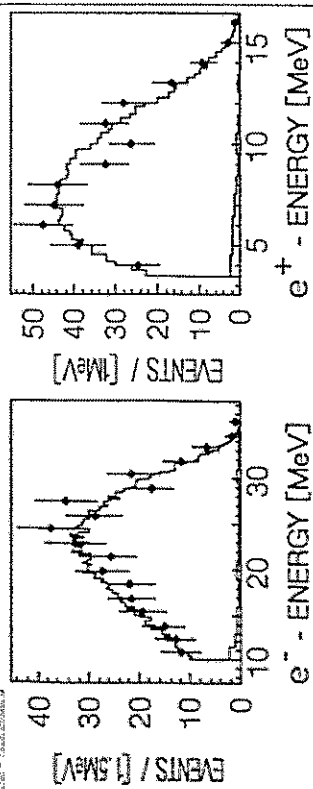
$T = 5.9\text{ ms}$



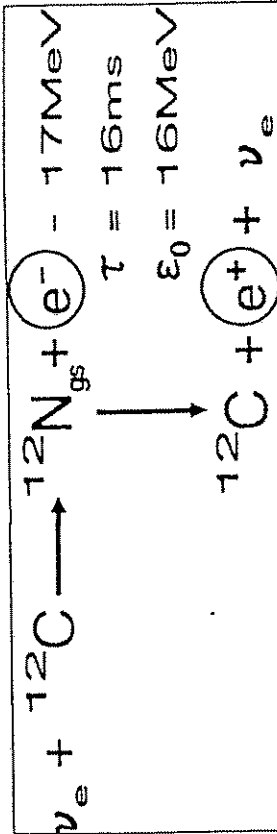
### EXCLUSIVE CC REACTION



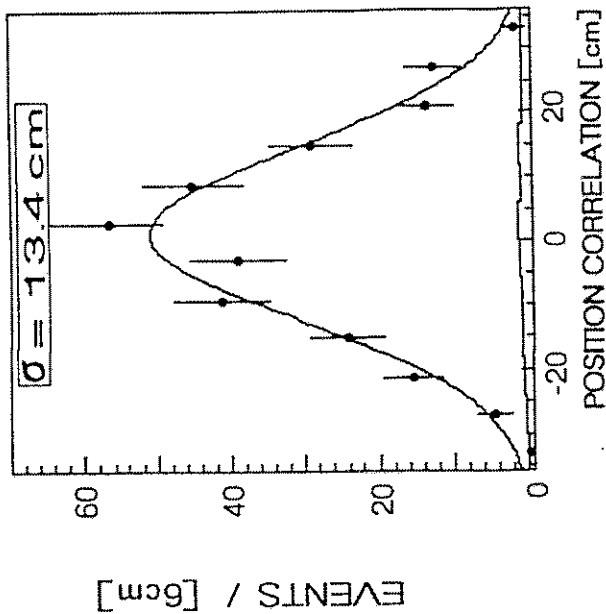
BACKGROUND



### EXCLUSIVE CC REACTION



### SPATIAL CORRELATION



## EXCLUSIVE CC REACTION

JUL. 90 - JUN. 94 | 6261 Coulomb  
 $\epsilon(T,E,X) = 0.34 | \Phi_\nu = 1.7 \times 10^{21} \nu$

sequential events : 359  
 background : 5.2<sub>(random)</sub> + 4.7<sub>(seq.)</sub>

new signal / background = 60/1

$^{12}\text{C}(\nu_e, e^-)^{12}\text{N}_{gs}$  : 349

CC flux averaged cross section

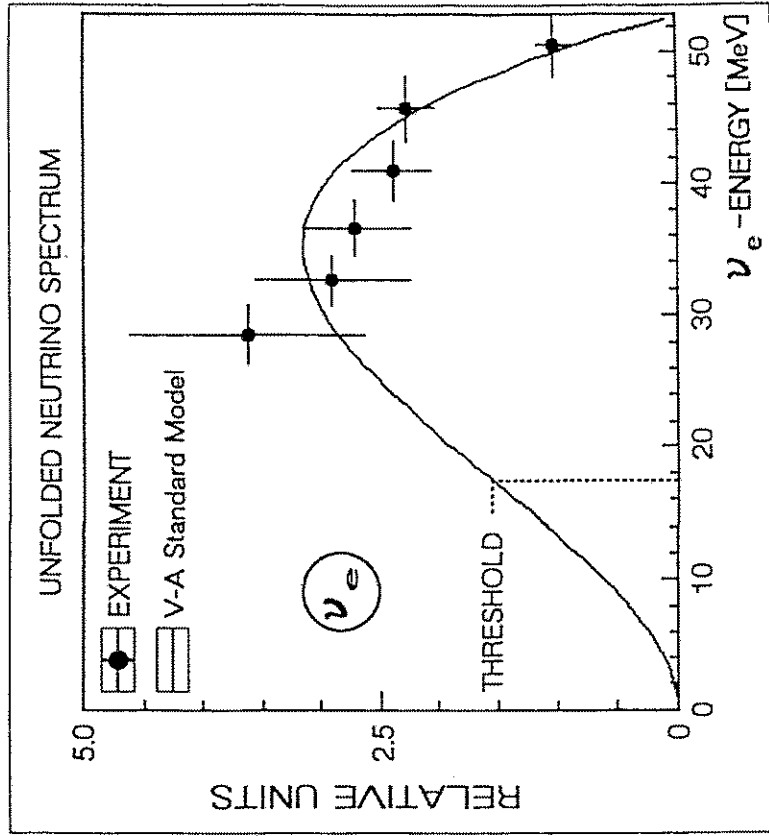
$\langle \sigma(\nu_e) \rangle_{\text{CC}}^{\text{exp.}} = 9.3 \pm 0.5_{(\text{stat})} \pm 0.8_{(\text{syst})}$   
 $\times 10^{-42} \text{ cm}^2$

$\langle \sigma(\nu_e) \rangle_{\text{CC}}^{\text{theo.}} = 8.0 - 9.4 \times 10^{-42} \text{ cm}^2$

Donnelly / Mintz et al. / Fukugita et al. / Kolbe et al.

## EXCLUSIVE CC REACTION

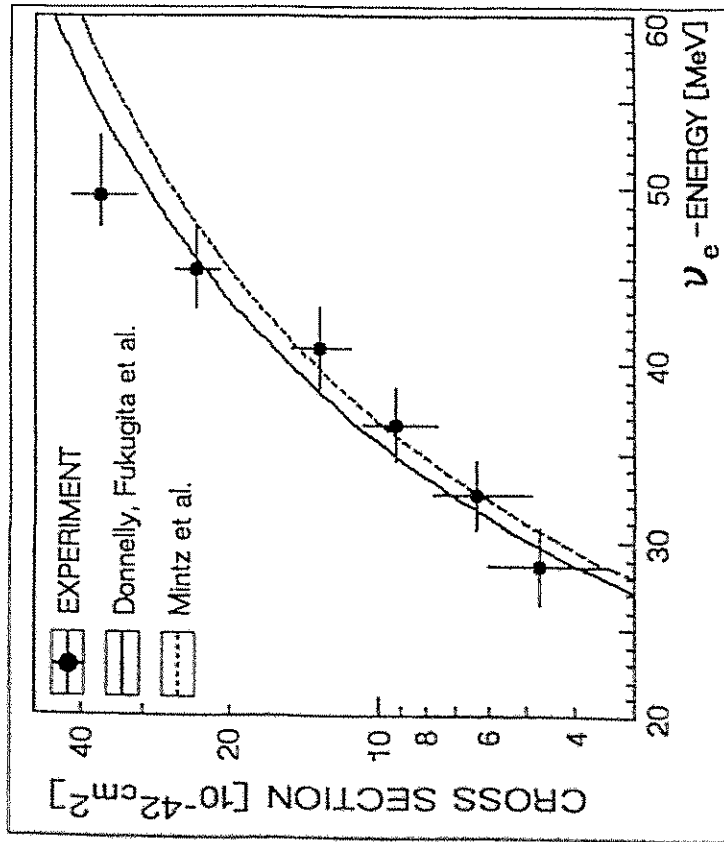
$$E_{\nu_e} = E_{e^-} + 17.3 \text{ MeV}$$



EXCLUSIVE CC REACTION

$$E_{\nu_e} = E_{e^-} + 17.3 \text{ MeV}$$

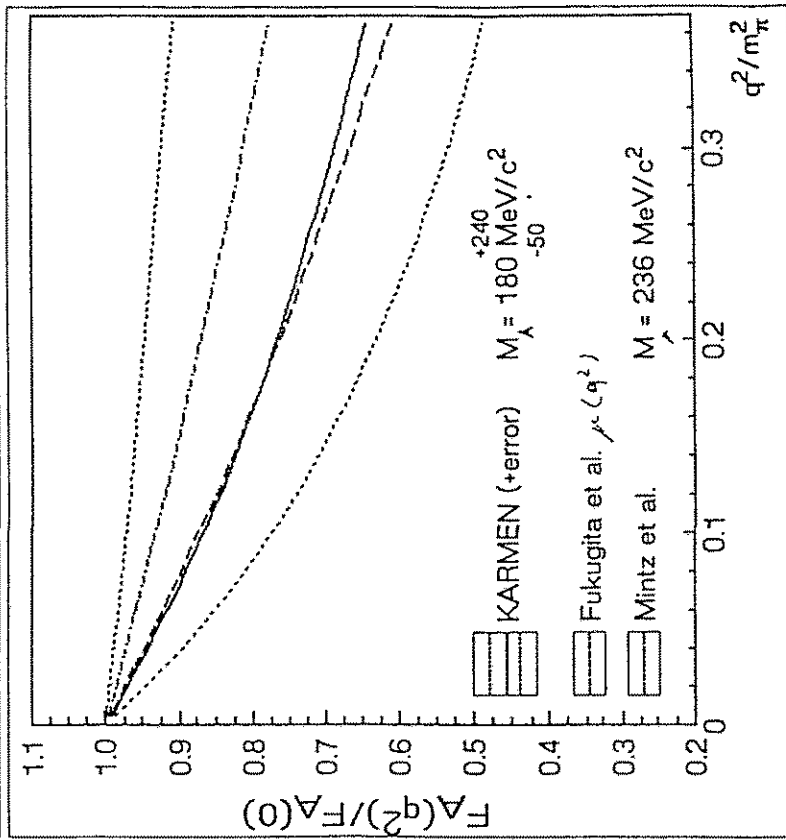
$$\sigma \sim (E_{\nu_e} - 17.3)^2$$



24.06.1994

EXCLUSIVE CC REACTION

$$F_A(q^2) = g(q^2) \times [1 + q^2/M^2]^{-2}$$



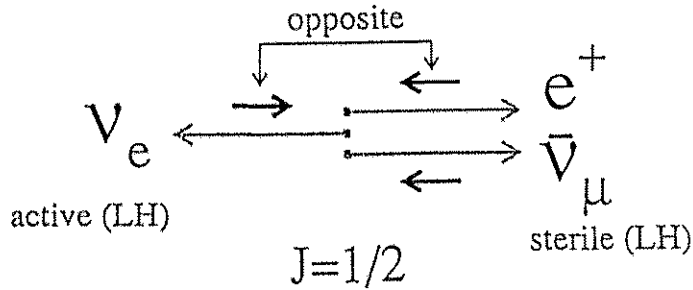
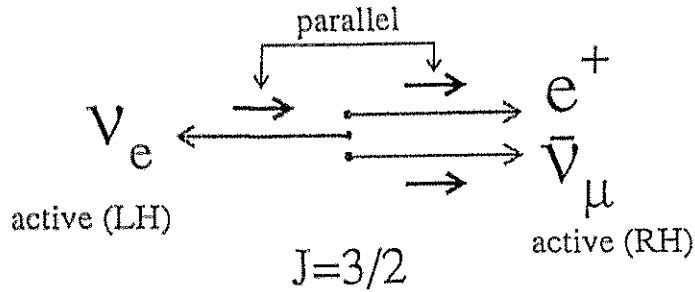
$\tau_{MS} \rightarrow$  weak axial charge  $R_A = 3.8^{+1.6}_{-1.8} \text{ fm}$

$\rightarrow$  wk. - charge  $R_M = 2.478 \text{ fm}$

20.01.1994

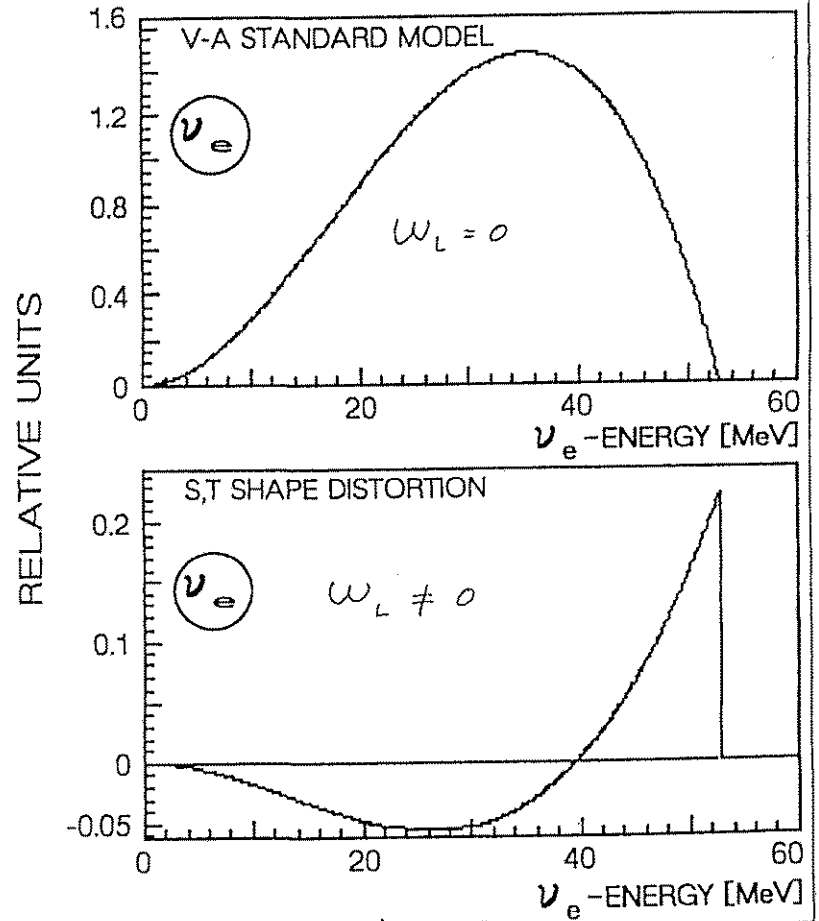
# EXCLUSIVE CC REACTION

## HELICITY DEPENDENCE OF $\nu_e$ -SHAPE



# EXCLUSIVE CC REACTION

## HELICITY DEPENDENCE OF $\nu_e$ -SHAPE

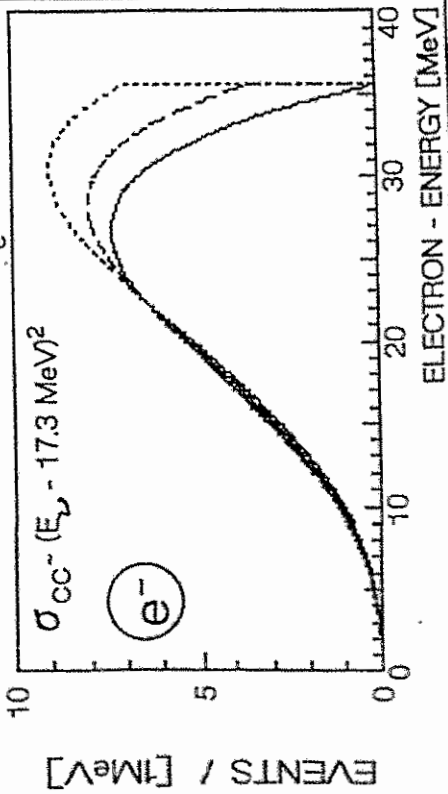
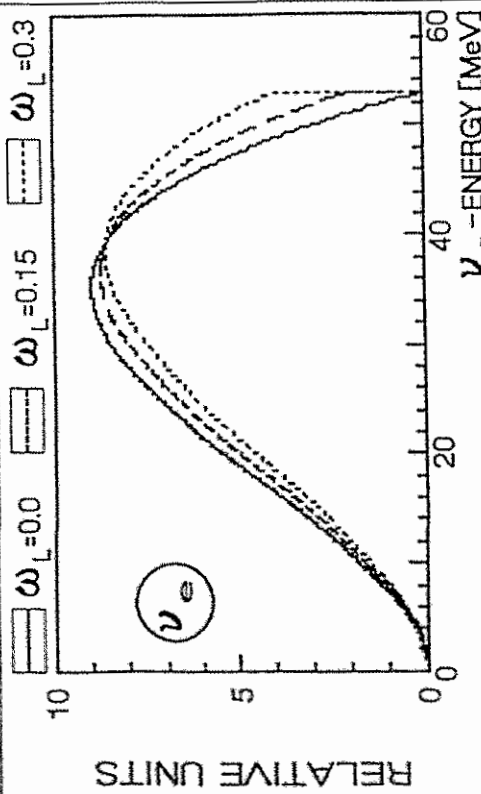


$$\omega_L = \frac{3}{4} \frac{\{ |g_{RL}^S|^2 + |g_{RL}^V|^2 + |g_{RL}^T|^2 + 2g_{RL}^T \}}{\{ |g_{RL}^S|^2 + |g_{RL}^V|^2 + 4|g_{LL}^V|^2 + 4|g_{LR}^V|^2 + 12|g_{RL}^T|^2 \}}$$

-584-

### EXCLUSIVE CC REACTION

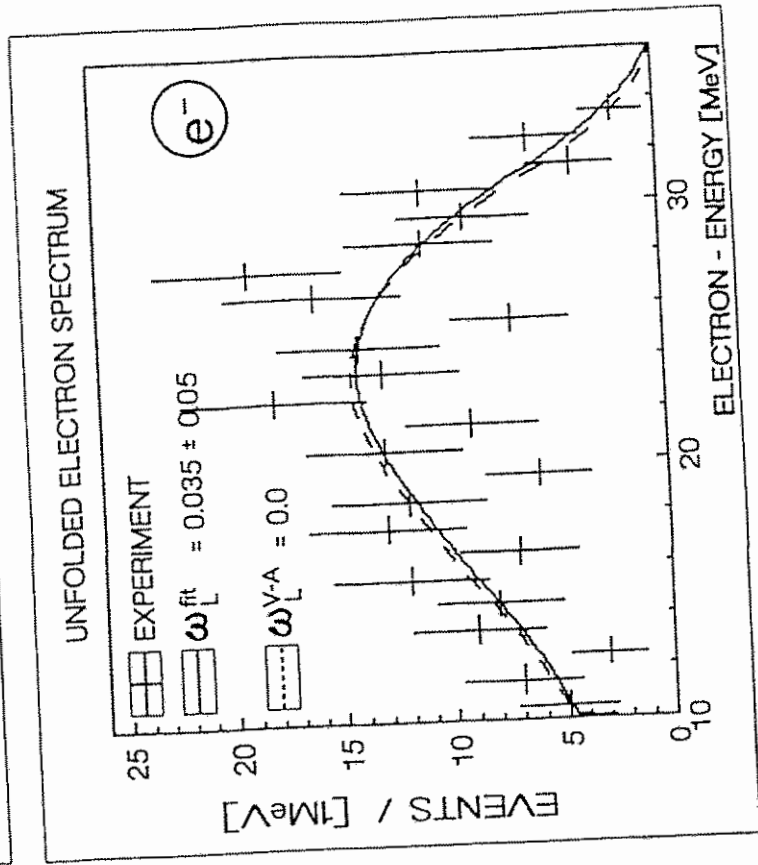
HELICITY DEPENDENCE OF  $\nu_e$  - SHAPE



26.07.1994

### EXCLUSIVE CC REACTION

$$E_{\nu_e} = E_{e^-} + 17.3 \text{ MeV}$$



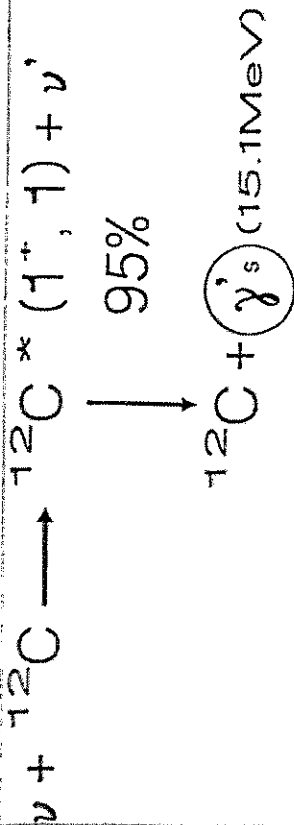
$$\Delta\omega < 0.122 \text{ (90 \% cl)} / \Delta\omega < 0.076 \text{ (68 \% cl)}$$

$$|g_{RL}^5 + 2g_{RL}^T| \leq \sqrt{\frac{16}{3} \Delta\omega_L}$$

$$\Delta\omega_L = 0.65 / \sqrt{N}$$

24.05.1994

### NC NUCLEAR EXCITATION



scintillation event of 15 MeV

$\gamma_s$

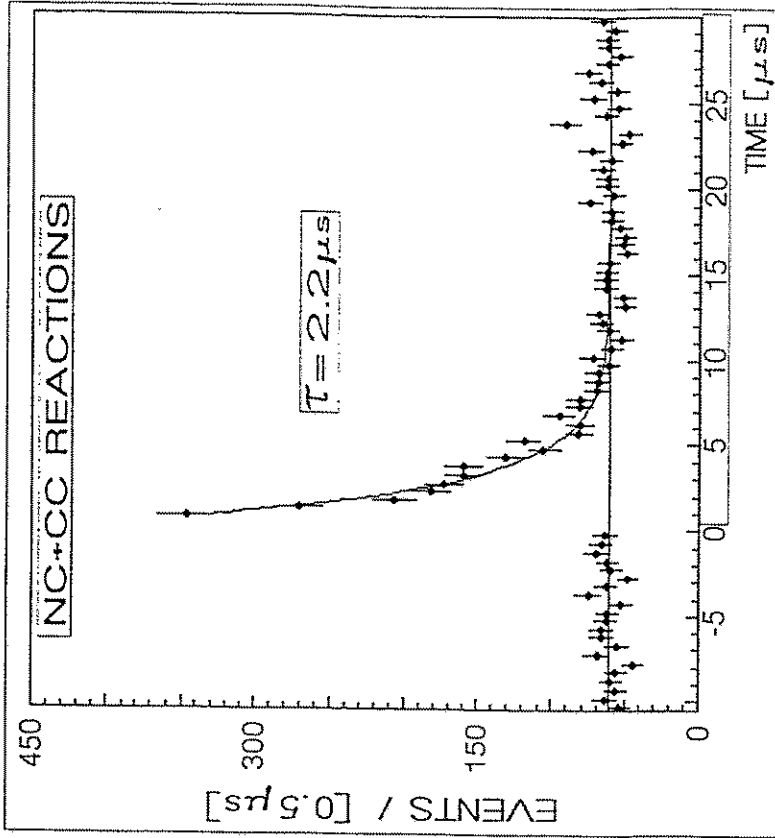
: T = 0.7 - 30  $\mu\text{s}$

{  $\bar{\nu}_\mu, \nu_e$  } - time window

: E = 8 - 60 MeV

### NC+CC NUCLEAR EXCITATION

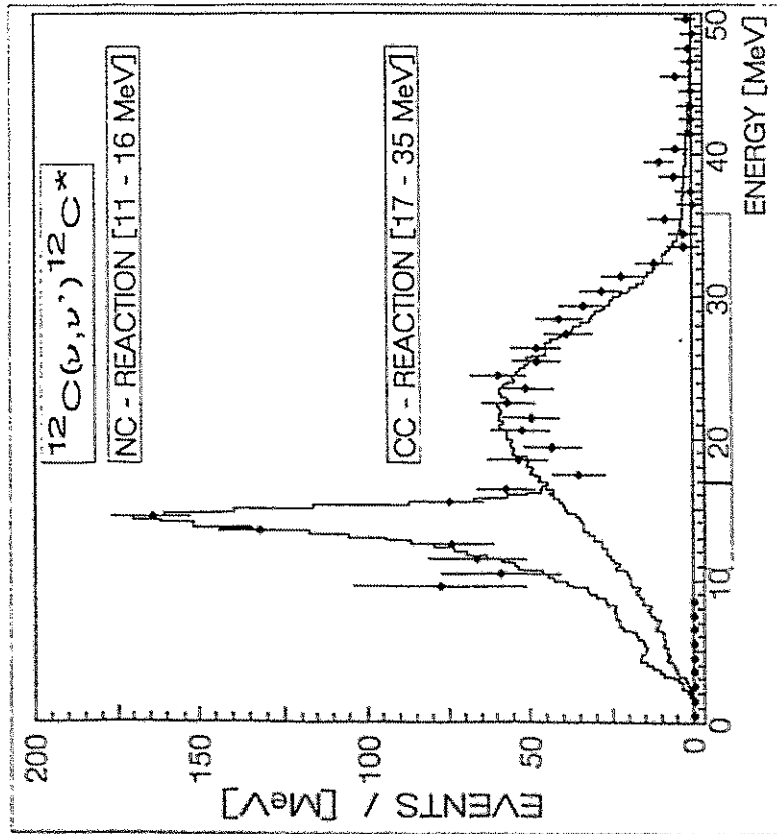
time distribution [8 - 60 MeV]





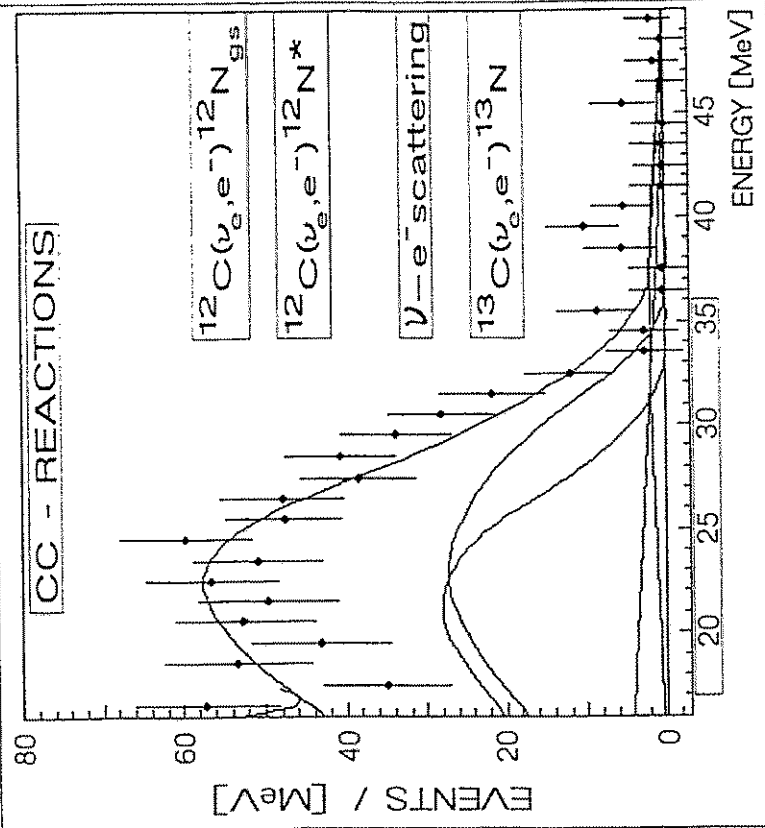
# NC NUCLEAR EXCITATION

JULY 90 - JUNE 94 | 6231 C



# INCLUSIVE CC REACTION

$^{12}\text{C}(\nu_e, e^-)^{12}\text{N}^*$



GEANT3-SIMULATION SPECTRA

## NC NUCLEAR EXCITATION

$\nu$ - events [11-16 MeV]	519
CC events [inclusive]	132

background: 616

$^{12}\text{C}(\nu, \nu')^{12}\text{C}^*$ :	387
---	-----

## NC flux averaged cross section

$\langle \sigma(\nu_e + \bar{\nu}_\mu) \rangle_{\text{NC}}^{\text{exp.}}$	$10.7 \pm 1.1_{\text{(stat)}} \pm 0.9_{\text{(syst)}}$
	$\times 10^{-42} \text{ cm}^2$

$\langle \sigma(\nu_e + \bar{\nu}_\mu) \rangle_{\text{NC}}^{\text{theo.}}$	$9.9 - 11.5 \times 10^{-42} \text{ cm}^2$
--	---

Mintz et al. / Fukugita et al. / Bernabéu et al. / Kolbe et al.

## INCLUSIVE CC REACTION

$\nu$ - events [17-35 MeV]	721
----------------------------	-----

$^{12}\text{C}(\nu, \nu)^{12}\text{C}^*$ :	1
$^{12}\text{C}(\nu_e, e^-)^{12}\text{N}_{\text{gs}}$ :	321
$^{13}\text{C}(\nu_e, e^-)^{13}\text{N}$ :	20
$\nu - e^-$ -scattering :	47

background: 674

$^{12}\text{C}(\nu_e, e^-)^{12}\text{N}^*$ :	332
--	-----

## CC\* flux averaged cross section

$\langle \sigma(\nu_e) \rangle_{\text{CC}^*}^{\text{exp.}}$	$6.0 \pm 1.1_{\text{(stat)}} \pm 0.5_{\text{(syst)}}$
	$\times 10^{-42} \text{ cm}^2$

Kolbe (CRPA):	$6.4 \times 10^{-42} \text{ cm}^2$
Donnelly:	$3.7 \times 10^{-42} \text{ cm}^2$
Los Alamos (exp.):	$3.6 \times 10^{-42} \text{ cm}^2$

FLAVOUR UNIVERSALITY  $\nu_e, \bar{\nu}_\mu - Z^0$

$$\langle \sigma(\nu_e + \bar{\nu}_\mu) \rangle_{NC}^{exp.} = 10.7 \times 10^{-42} \text{ cm}^2$$

$$\langle \sigma(\nu_e) \rangle_{CC}^{exp.} = 9.3 \times 10^{-42} \text{ cm}^2$$

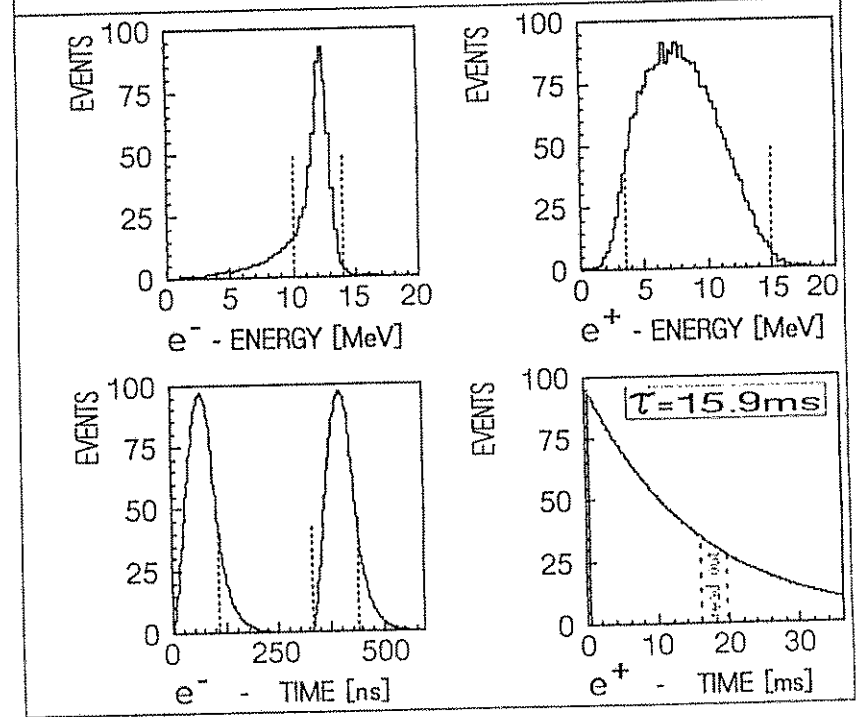
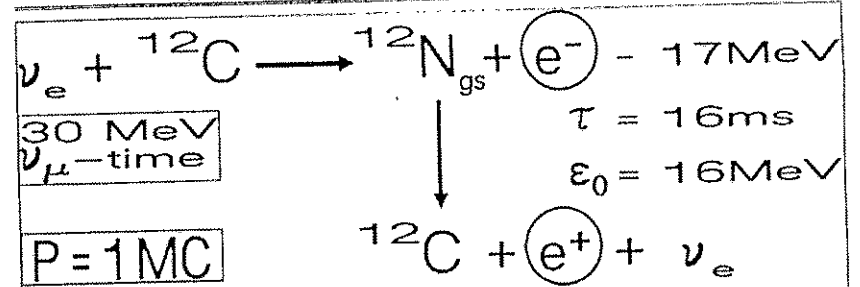
$$\sigma_{NC}(\nu_e) \approx \frac{1}{2} \sigma_{CC}(\nu_e)$$

$$R = \frac{\sigma_{NC}(\nu_e + \bar{\nu}_\mu)}{\sigma_{CC}(\nu_e)} \approx 1$$

THEORY	Fukugita: $1.08 \pm 0.02$
	Kolbe: $1.13 \& 1.20$
	Mintz: $1.22 \pm 0.09$
KARMEN	$R = 1.15 \pm 0.12 \pm 0.06$

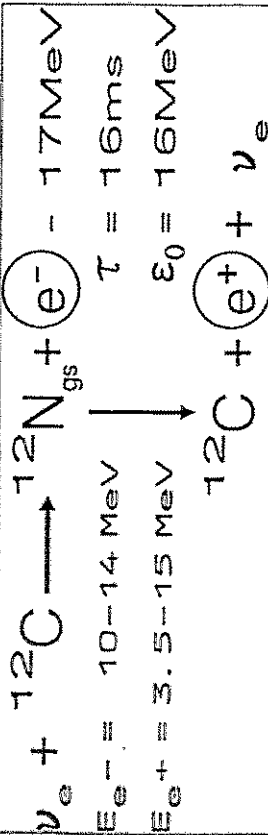
neutrino flux - independent

$\nu_\mu \longrightarrow \nu_e$  appearance



-589-

$\nu_{\mu} \longrightarrow \nu_e$  appearance

 $\nu_{\mu}$  - time window  $E_{\nu_{\mu}} = E_{\nu_e} \sim 30 \text{ MeV}$ 


found:

1.0

expected for  $P=1$ :

134

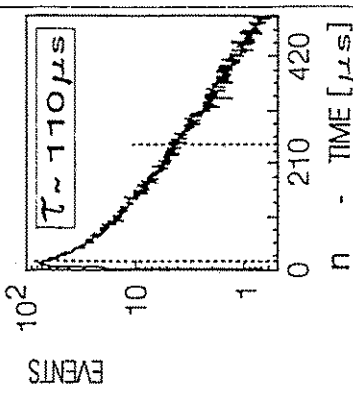
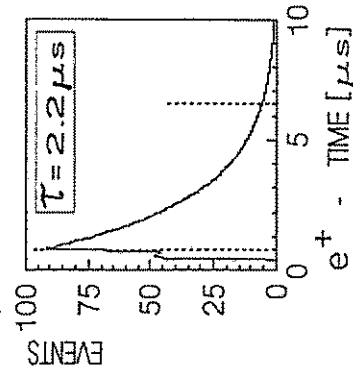
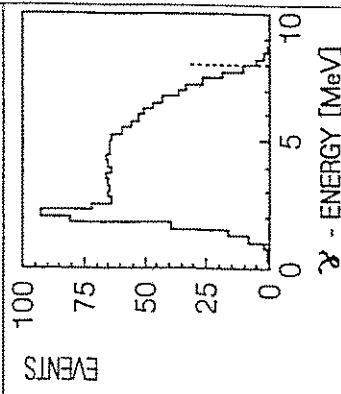
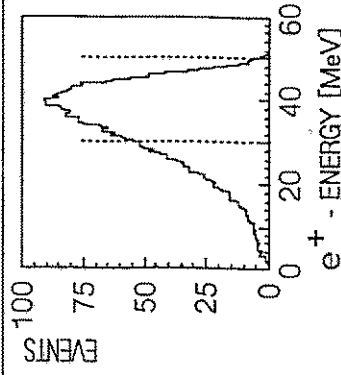
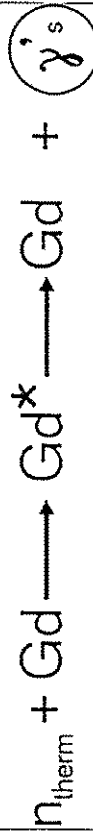
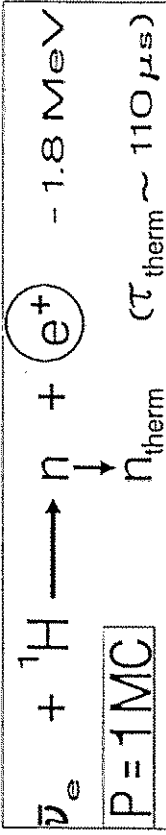
background:

1.4

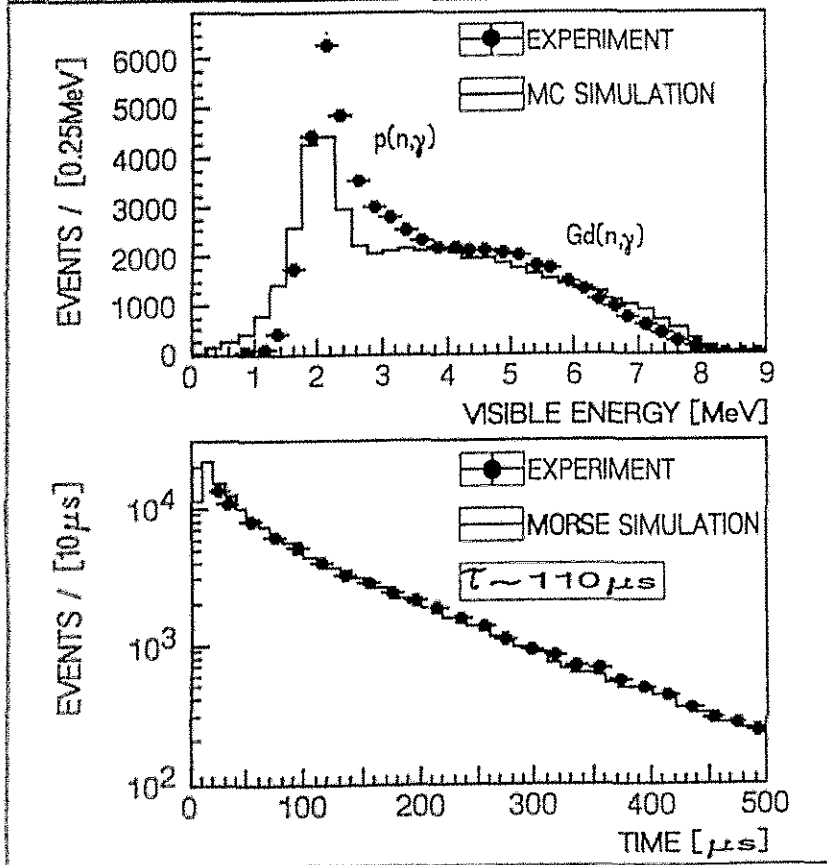
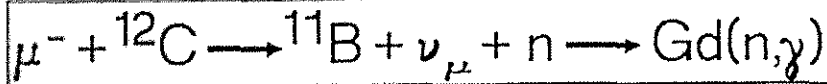
(sequential  $0.07 / \nu_e$  -contamination 1.37)

excluded:

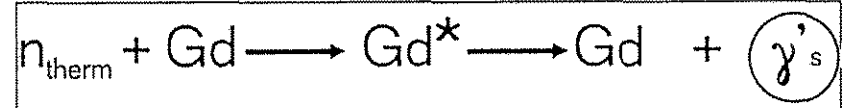
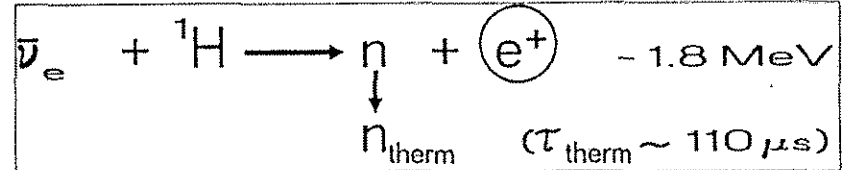
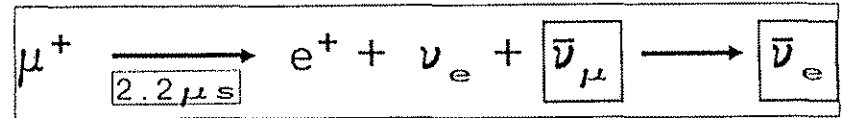
 $> 3.1$ 
 $P(\nu_{\mu} \rightarrow \nu_e) < 2.4 \times 10^{-2}$  (90%CL)

 $\bar{\nu}_{\mu} \longrightarrow \bar{\nu}_e$  appearance


## TEST OF NEUTRON DETECTION



20.01.1994

 $\bar{\nu}_\mu \longrightarrow \bar{\nu}_e$  appearance


$$E_{e^+} \in [30,50] \text{ MeV} \quad \Sigma E_\gamma = 8 \text{ MeV}$$

found: 11

expected for  $P=1$ : 1591

background: 17

(16.2 sequential / 0.38 CC-contamination)

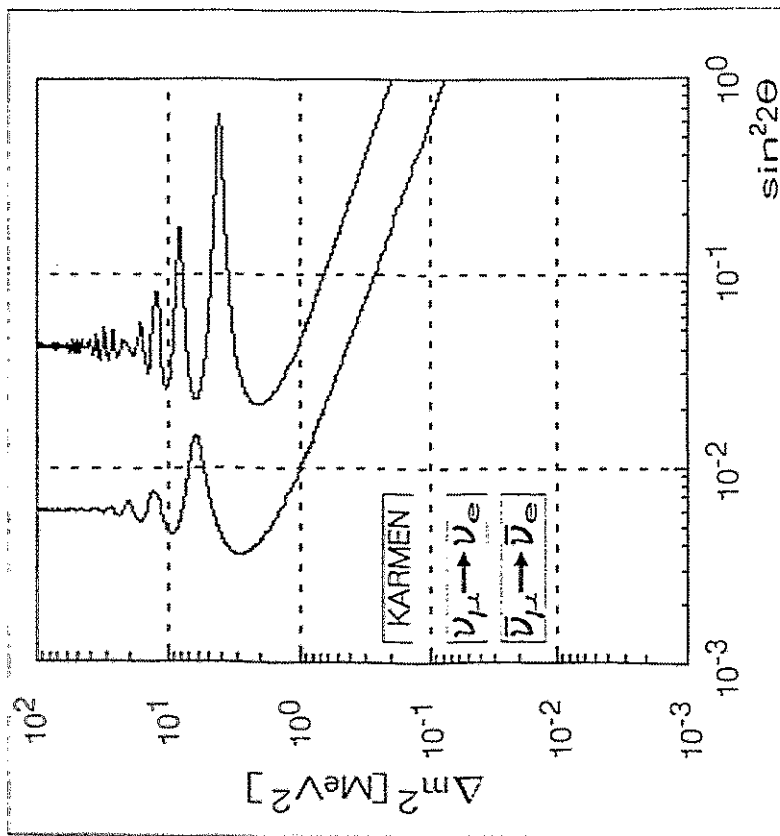
excluded: > 4.9

$$P(\bar{\nu}_\mu \rightarrow \bar{\nu}_e) < 3.1 \times 10^{-3} \quad (90\% \text{CL})$$

29.09.1994

## OSCILLATION LIMITS

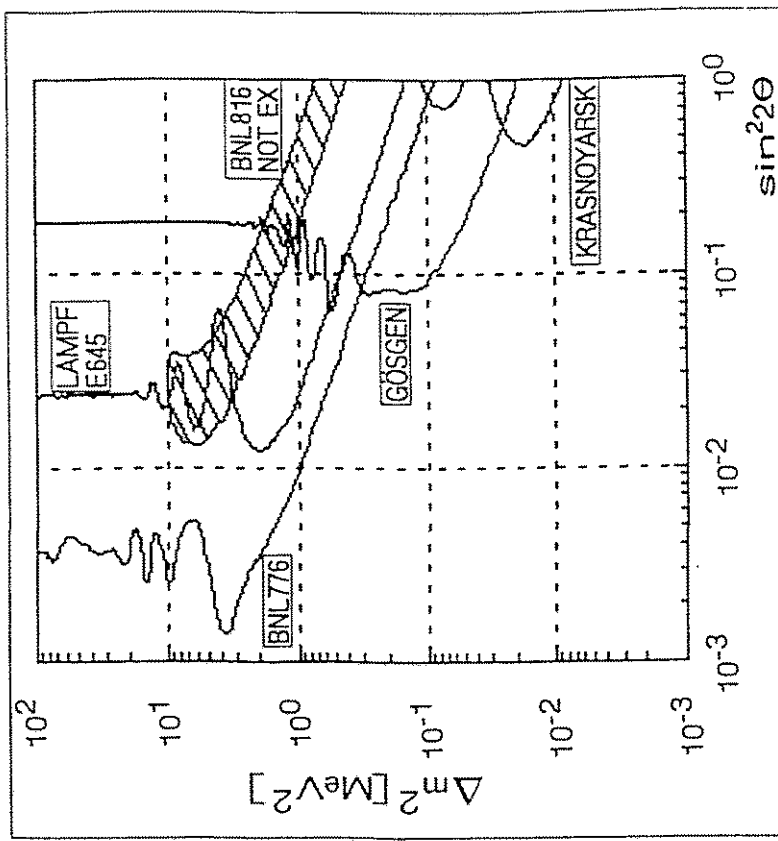
$$P_{\nu_i \rightarrow \nu_j} = \sin^2 2\theta \times \sin^2 \left( 1.27 \times \frac{\Delta m^2 L}{E_\nu} \right)$$



29.09.1994

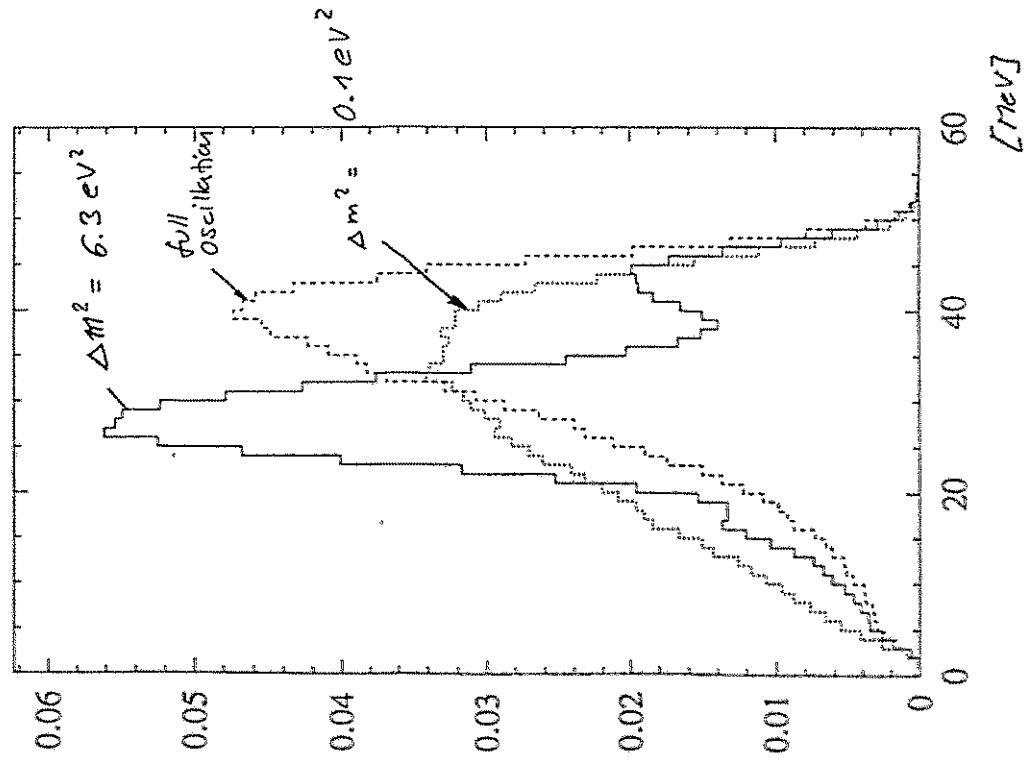
## OSCILLATION LIMITS

$$P_{\nu_i \rightarrow \nu_j} = \sin^2 2\theta \times \sin^2 \left( 1.27 \times \frac{\Delta m^2 L}{E_\nu} \right)$$

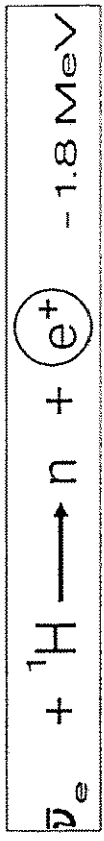
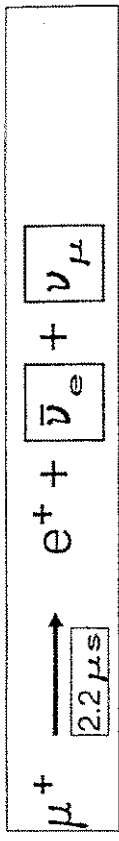


24.05.1994

Positron spectra for various  $\Delta m^2$



LF - VIOLATING DECAYS



$$E_{e^+} \in [30, 50] \text{ MeV} \quad \Sigma E_\gamma = 8 \text{ MeV}$$

found: 11  
 expected for  $\Gamma_i / \Gamma_{\text{tot}} = 1$ : 1591  
 background: 17

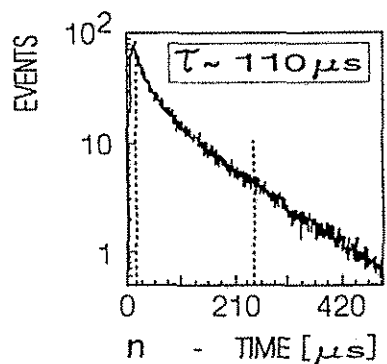
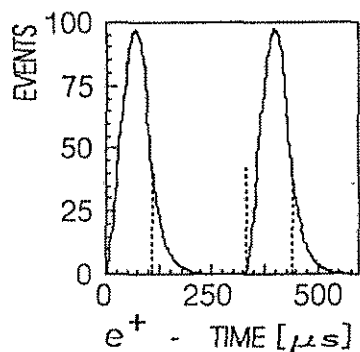
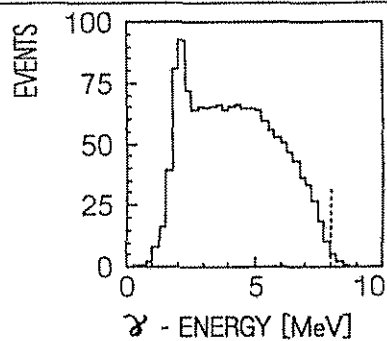
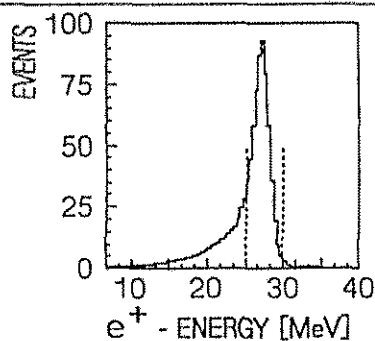
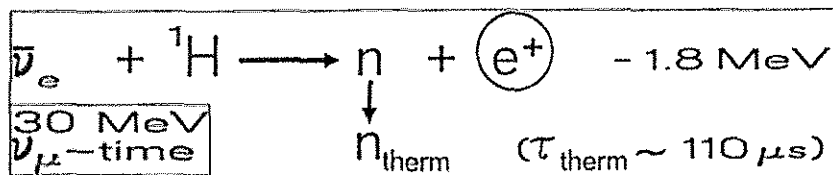
excluded:  $> 4.9$

$$\Gamma_i / \Gamma_{\text{tot}} < 3.1 \times 10^{-3} \quad (90\% \text{CL})$$

$$E_{225} : \Gamma_i / \Gamma < 1.2 \cdot 10^{-2}$$

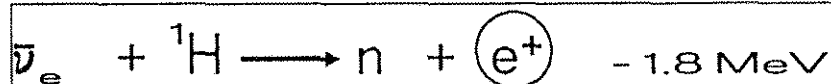
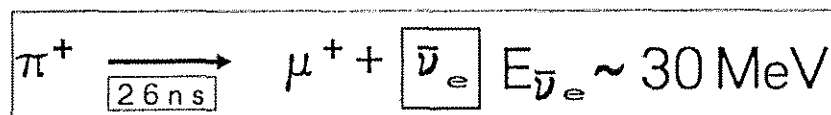
LAMPF 1992

## L - VIOLATING DECAYS



29.09.1994

## L - VIOLATING DECAYS



$$E_{e^+} \in [22, 35] \text{ MeV} \quad \tau_{e^+} \in [0, 500] \text{ ns}$$

MLA input events: 202

excluded  $e^+$ : > 9.7

expected for  $\Gamma_i / \Gamma_{\text{tot}} = 1$ : 3507

$$\Gamma_i / \Gamma_{\text{tot}} < 2.8 \times 10^{-3} \quad (90\% \text{CL})$$

background included in analysis

cosmics

neutrons

CC reactions

$\nu - e^-$ -scattering

$$\text{PDG: } \Gamma_i / \Gamma < 1.5 \cdot 10^{-3}$$

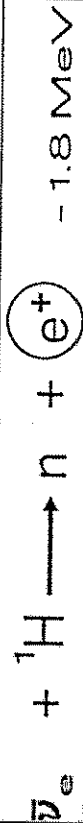
BEBC CERN SPS 1982  $Wb - \nu$ -beam

$E_\nu > 10 \text{ GeV}$

29.09.1994



## L - VIOLATING DECAYS



$$E_{e^+} \in [50, 70] \text{ MeV} \quad T_{e^+} \in [0, 500] \text{ ns}$$

$$\text{MLA input events} : 289$$

$$\text{excluded } e^+ : > 45$$

$$\text{expected for } \Gamma_i / \Gamma_{\text{tot}} = 1 : 20752$$

$$\Gamma_i / \Gamma_{\text{tot}} < 2.1 \times 10^{-3} \quad (90\% \text{CL})$$

background included in analysis  
cosmics  
neutrons

$$PDB: \bar{\nu}_e / \Gamma = (1.2 \pm 0.004) \cdot 10^{-4}$$

B60 PSI 1988

$\pi^+ e^+$  coincidence  $\nu, \bar{\nu}?$

29.09.1994

## SUMMARY

excellent calorimetry; clear  $\nu$  - signatures

$$\text{CC: } {}^{12}\text{C}(\nu_e, e^-) {}^{12}\text{N}_{\text{gs}} \text{ (excl.)}$$

$\nu$  - spectroscopy

$$\langle \sigma \rangle ; \sigma(E_{\nu_e}) ; F_A(q^2) ; \omega_{\nu_e \text{-shape}}$$

$$\text{NC: } {}^{12}\text{C}(\nu, \nu') {}^{12}\text{C}^* (15.1 \text{ MeV})$$

$\langle \sigma(\nu_e + \bar{\nu}_{\mu}) \rangle$  first observation

$(\nu_e; \bar{\nu}_{\mu})$  flavour universality

flavour independent  $\nu$  - flux

$$\text{CC: } {}^{12}\text{C}(\nu_e, e^-) {}^{12}\text{N}^* \text{ (incl.)}$$

$\nu$  - oscillations: stringent limits

l,lf - violating  $\pi^+; \mu^+$  decays:  $\nu$  - ID limits

future: 3000 C p.a. / increased statistics  
exploitation of time structure

20.09.1994

Fünf Jahre Betrieb des S-DALINAC  
– Ein Statusreport –

H. D. Gräf  
Darmstadt

7. Oktober 1994

# Fünf Jahre Betrieb

## des S - DALINAC

### - Ein Statusbericht -

#### I. Beschreibung und Vorgeschichte

#### II. Betriebserfahrung

#### Technische Entwicklungen

#### Status

#### III. Momentane Aktivitäten

#### Ausblick

H.-D. Gräf  
Pirna, 7. Okt. 94

## Arbeitsgruppe

- H. Alt, C. Bähr, H. Bauer, H. Diesener,  
S. Döbert, R. Eichhorn, J. Freudenberger,  
R. Galemann, H. Genz, H.-D. Gräf, L. Gröning,  
R. Hahn, T. Hampel, R. Hofferbert,  
P. Hoffmann - Stascheck, J. Horn, F. Humbert,  
N. Huxel, M. Kohl, M. Kuss, H. Loos,  
C. Lüttge, U. Nething, P. v. Neumann - Cosel,  
F. Neumeyer, M. Rehfeld, A. Richter,  
M. Reichenbach, K. Rühl, P. Schardt,  
C. Schlegel, V. Schlott, G. Schrieder,  
E. Spamer, A. Stascheck, A. Stiller, S. Strauch,  
M. Thomas, O. Titze, T. Wesp, M. Wiencken.

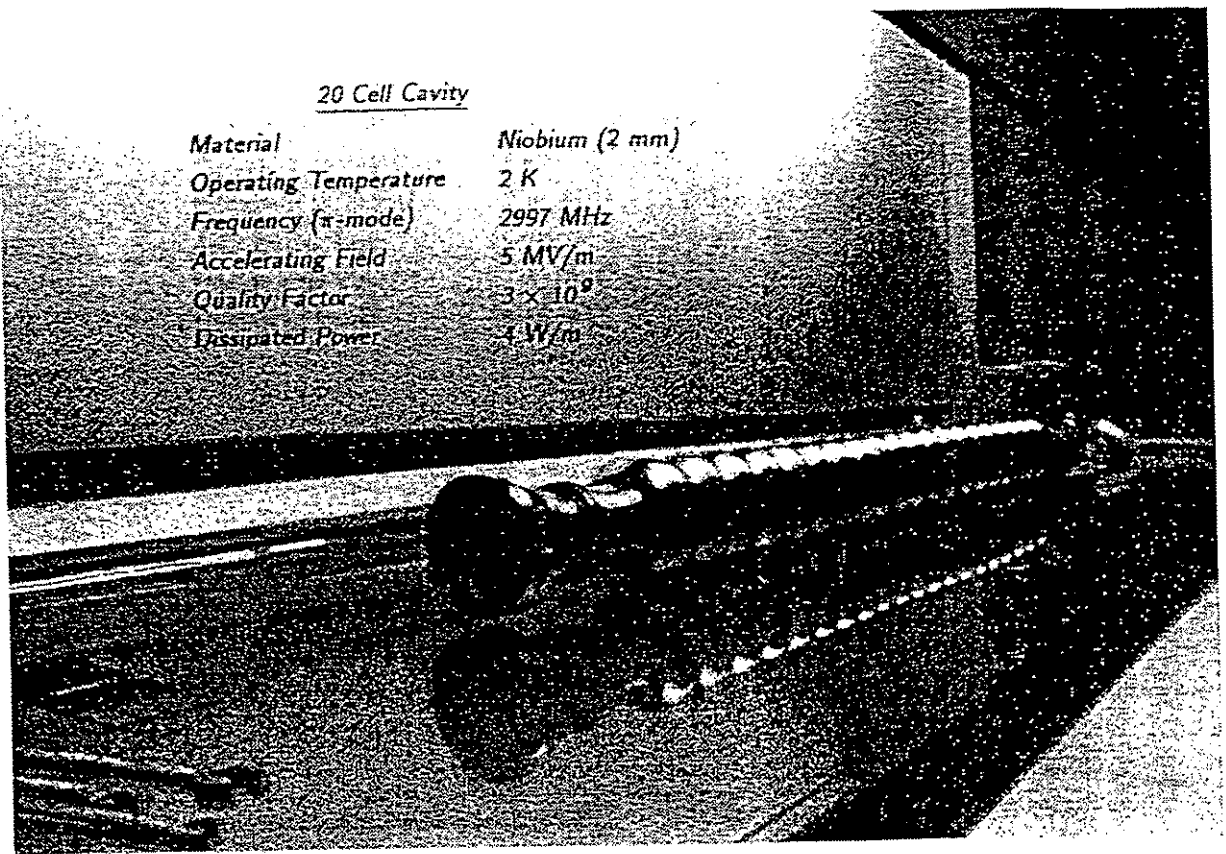
K. Alrutz - Ziemssen, J. Auerhammer,

D. Flasche, G. Herbert, V. Huck,

K. D. Hummel, M. Knirsch, T. Rietdorf,

M. Schanz, S. Simrock, J. Töpfer,

H. Weise, H. Wörtche, W. P. Ziegler.



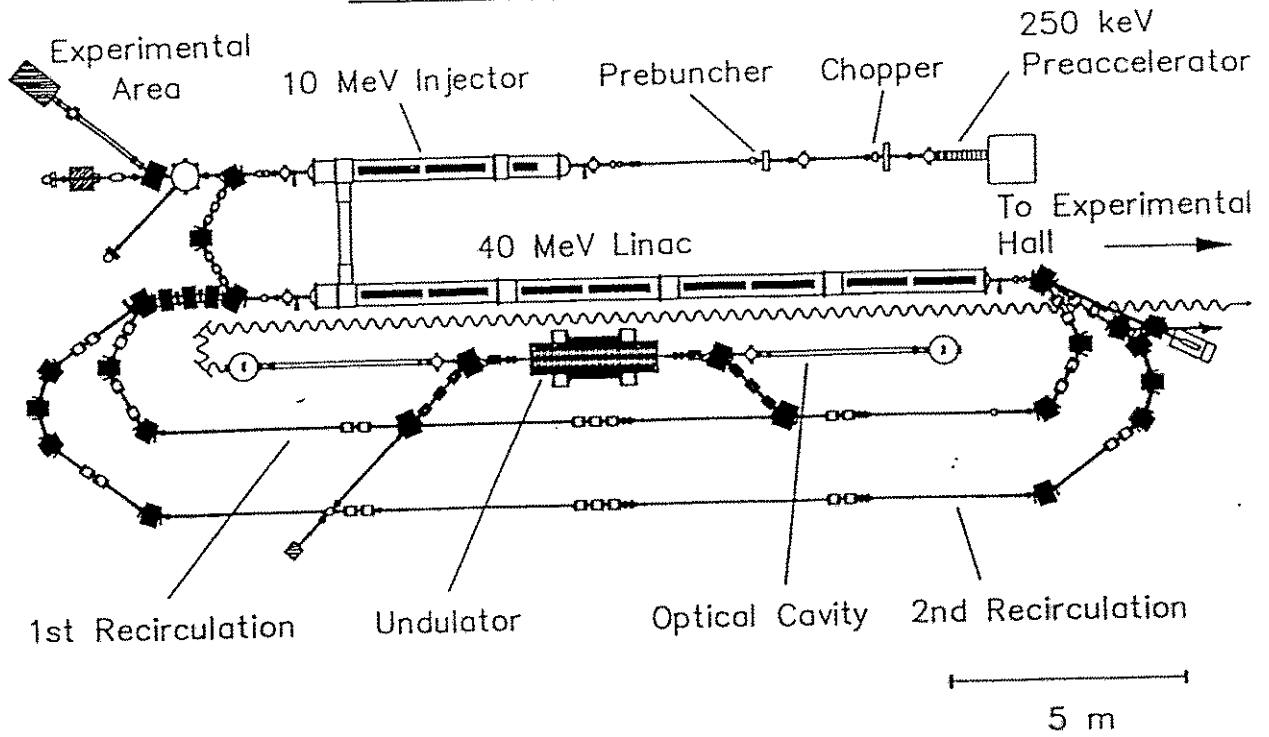
20 Cell Cavity

Material	Niobium (2 mm)
Operating Temperature	2 K
Frequency ( $\pi$ -mode)	2997 MHz
Accelerating Field	5 MV/m
Quality Factor	$3 \times 10^9$
Dissipated Power	1 W/m

## ZEITLICHE ENTWICKLUNG DES S-DALINAC

- Okt 1976 ERSTE ÜBERLEGUNGEN ZUR ERNEUERUNG DES ALTEN  
DARMSTÄDTER ELEKTRONENLINEARBESCHLEUNIGERS (DALINAC)
- MAI 1977 DARMSTADT - WUPPERTAL KOOPERATION (H. PIEL)
- Okt 1977 FB PHYSIK UNTERSTÜTZT DIE ERNEUERUNG
- JUL 1978 ORGA - AUSSCHUSS DER THD UNTERSTÜTZT ERNEUERUNG
- APR 1979 MEMORANDUM
- Okt 1979 "AD - HOC - AUSSCHUSS KERNPHYSIK" DES BMFT EMPFIEHLT  
REALISIERUNG
- MAI 1980 HAUSHALTSAUSSCHUSS DER THD BESCHLIESST LINAC ERSATZ
- JUN 1980 1. HBFG - ANTRAG WIRD EINGEREICHT
- SEP 1980 BEGINN DES PILOTPROJEKTES
- JAN 1981 2. HBFG - ANTRAG WIRD EINGEREICHT
- MAI 1981 DFG EMPFIEHLT REALISIERUNG DES PROJEKTES
- SEP 1981 AUFNAHME IN DAS DRINGLICHKEITSPROGRAMM DER  
HOCHSCHULBAUFÖRDERUNG
- AUG 1982 BAUGENEHMIGUNG WIRD ERTEILT
- Okt 1982 BAUBEGINN
- SEP 1983 RICHTFEST
- JAN 1984 BEGINN DER INSTALLATIONEN
- APR 1986 ERSTE INJEKTORTESTS

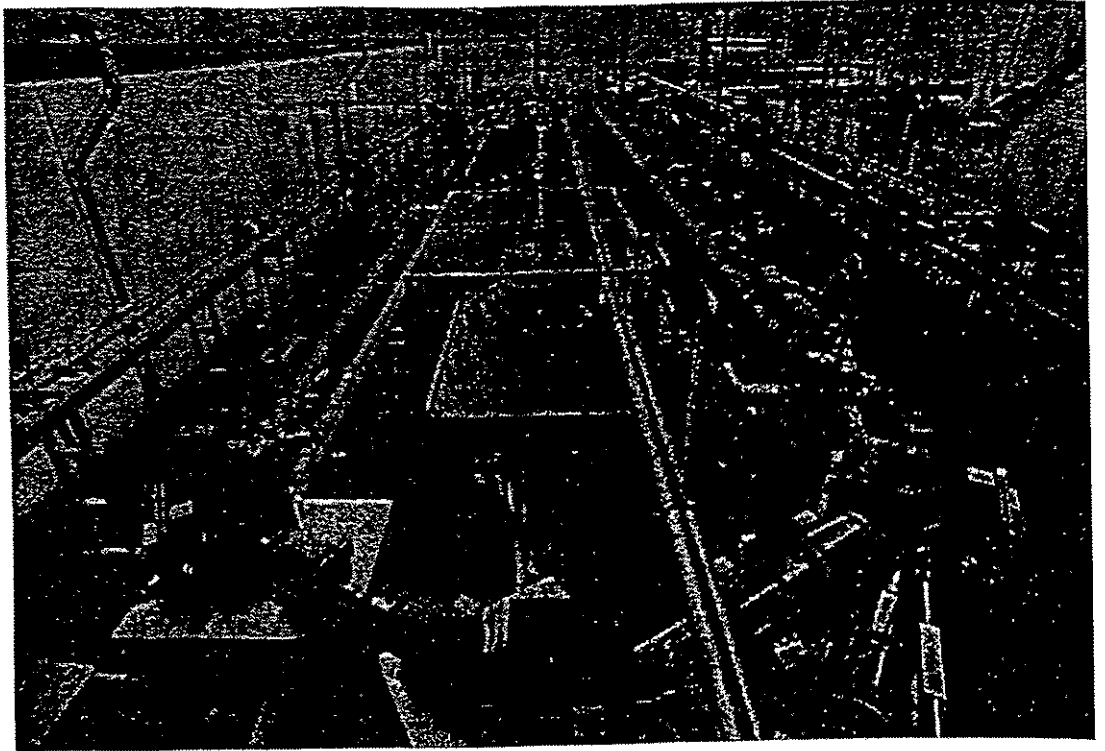
## S - DALINAC



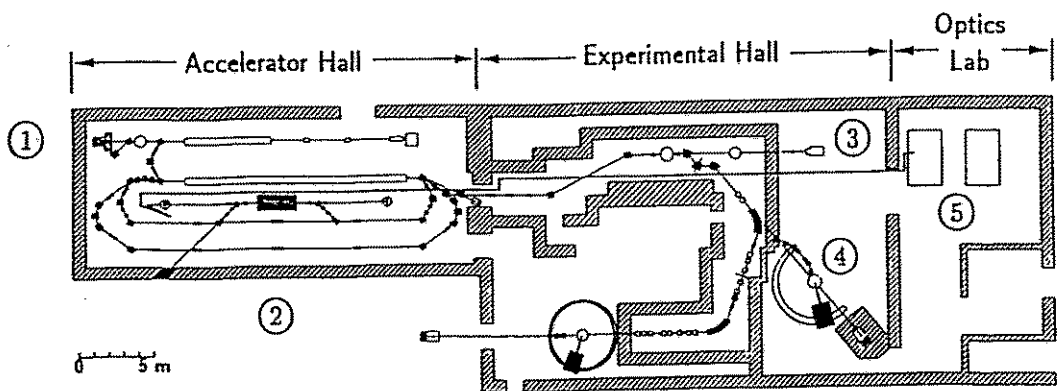
## Parameter des S-DALINAC

Strahlenergie	$E < 130 \text{ MeV}$
Strahlstrom	$i \geq 20 \mu\text{A}$
Beschleunigungsstrukturen	10 x 1 m
Einfangstruktur	0.25 m
Rezirkulationen	2

# S - DALINAC



## S-DALINAC and Experimental Facilities



① Channeling Radiation, PXR, and  $(\gamma, \gamma)$

② Free Electron Laser

③ High Energy Channeling

④  $(e, e'x)$  - and  $(e, e')$  - Experiments

⑤ Optics Experiments

# Technische Entwicklungen

HF - Kontroll - und Regelsystem

Tuner

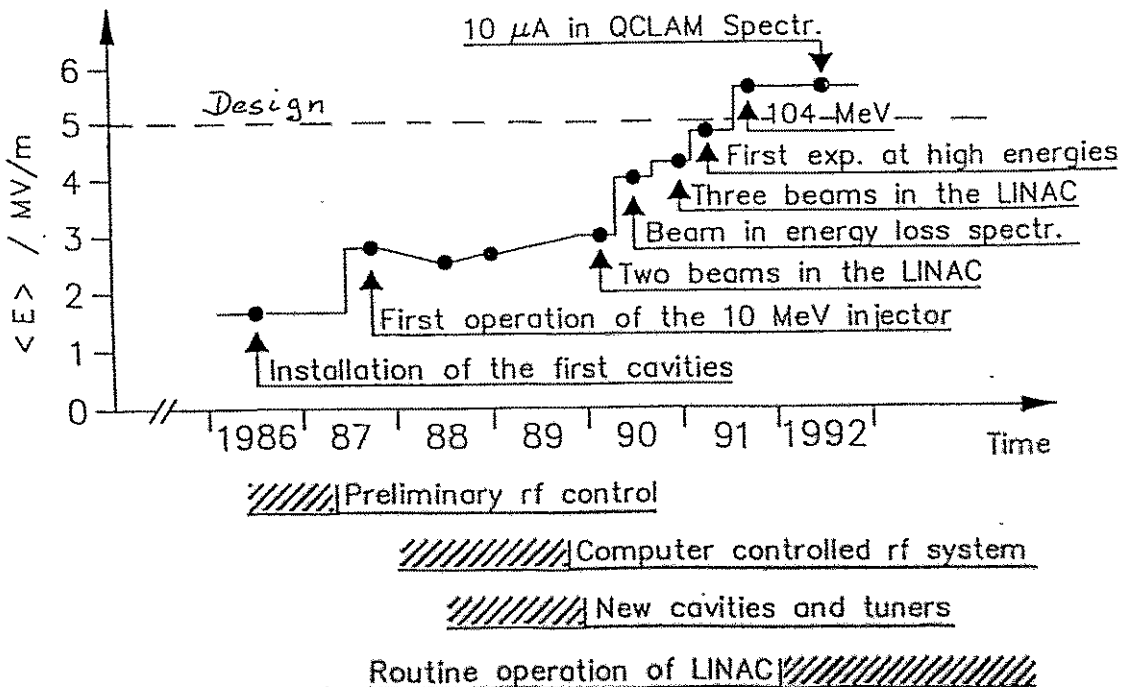
HF - Ein - und Auskoppler

Weglänge der Rezirkulationen

Hochstrominjektion (FEL)

Beschleunigersteuerung

## Technische Entwicklung des S-DALINAC



## Tuner

Nach Installation und Abkühlen muß die Eigenfrequenz der Beschleunigungsstrukturen auf die Betriebsfrequenz einstellbar sein.

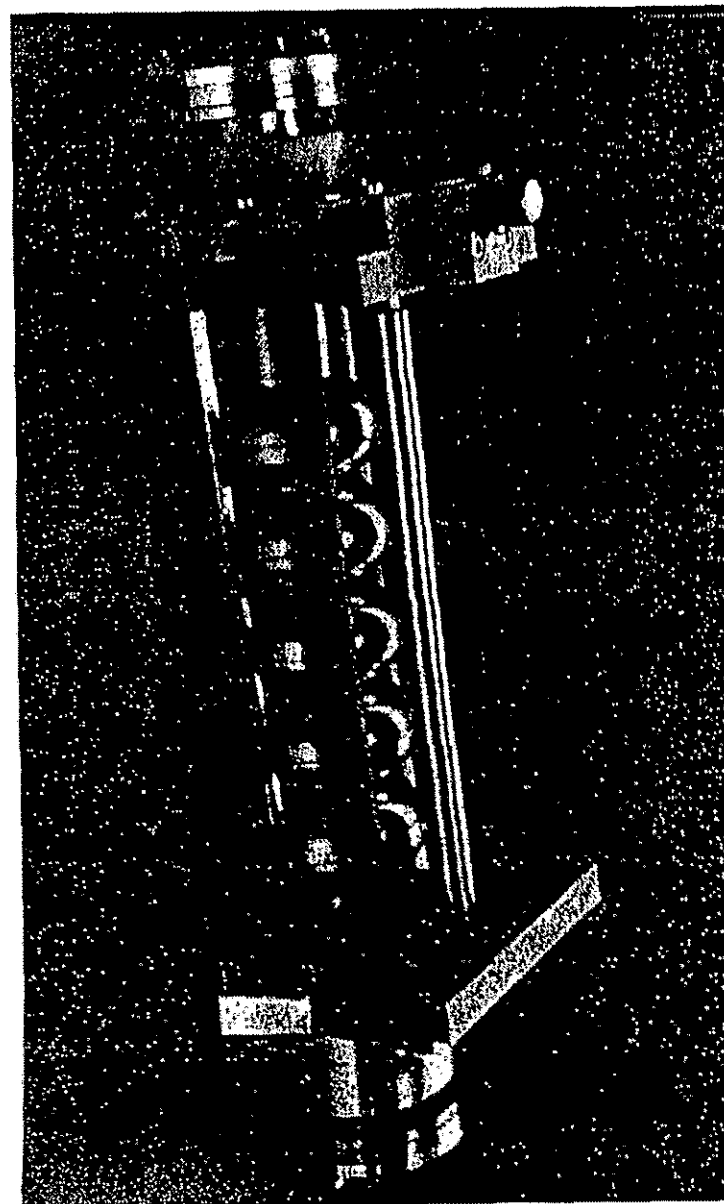
→ Reproduzierbarkeit der Installation und Vorhersagbarkeit der Eigenfrequenz der Strukturen bestimmen den Stellbereich des Tuners.

Korrektur langsamer Driften der Eigenfrequenzen. Stellgeschwindigkeit ist durch mechanische Resonanzen des Cavity-Tuner Systems begrenzt.

Korrektur von Verstimmung der Strukturen durch Lorentzkräfte.

→ Tuner müssen aktiver Teil des HF-Regelsystems sein.

Tuner müssen bei  $T = 2 \text{ K}$  zuverlässig funktionieren.



5 - zellige Empfangstruktur mit Tuner



## Anforderungen

$$\Delta E \leq \pm 13 \text{ keV}$$

$$\Delta V / V \leq \pm 10^{-4}$$

$$\Delta \Phi \leq 1^\circ$$

## Sensibilität

$$\Delta f / \Delta L \approx 500 \text{ kHz / mm} \quad (L = 1 \text{ m})$$

$$\Delta \Phi / \Delta f = 90^\circ \cdot \frac{Q}{f_0}$$

$$\Delta \Phi / \Delta f \approx 10^\circ / \text{nm} \quad \text{bei } Q = 3 \cdot 10^9$$

$$\Delta \Phi / \Delta f \approx 0.1^\circ / \text{nm} \quad \text{bei } Q = 3 \cdot 10^7$$

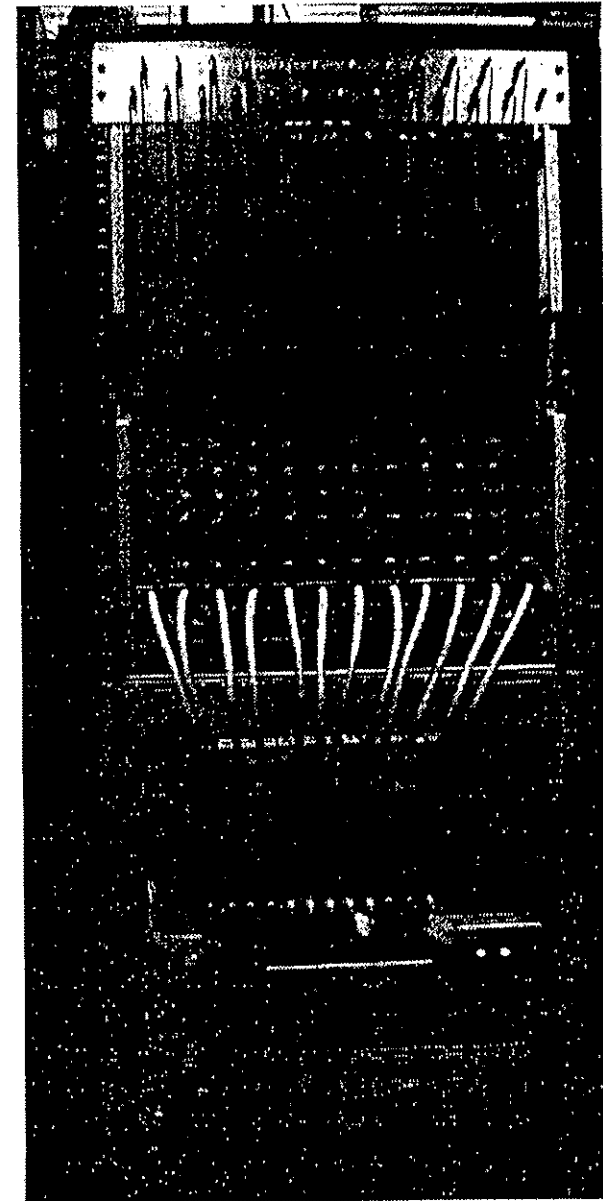
## Konsequenz

Präzise elektronische Stabilisierung von Amplitude und Phase des Beschleunigungsfeldes.

Eigenfrequenz der Strukturen muß aktiv nachgeregelt werden.

## Status

$$\Delta \Phi < 0.4^\circ \quad \Delta V / V \leq \pm 4 \cdot 10^{-4}$$



## RF Couplers

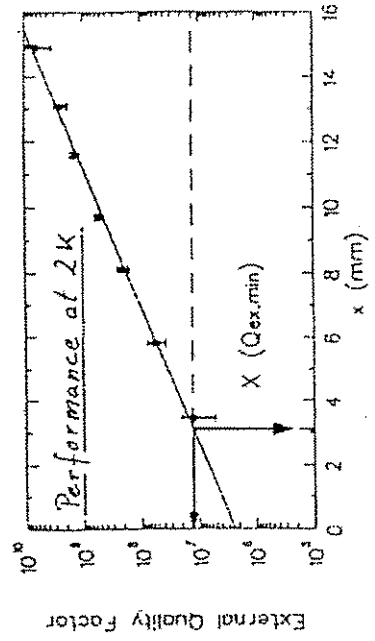
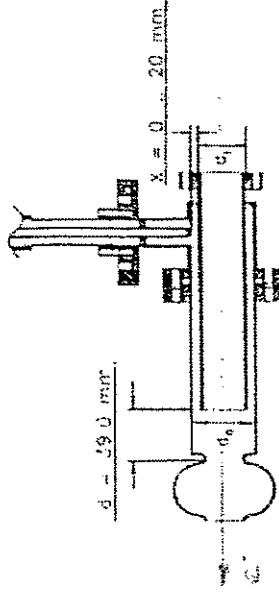
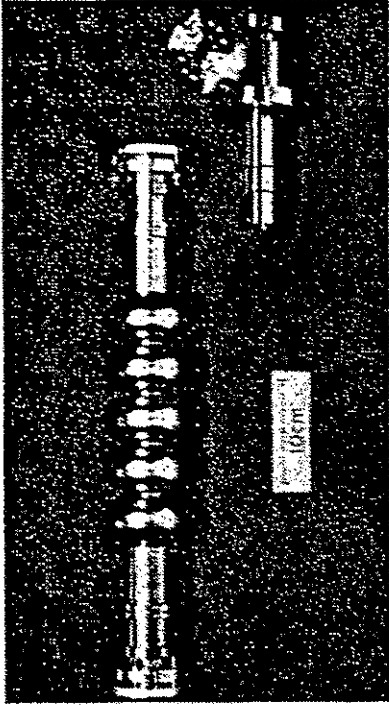
### Input Couplers

- Mechanical Rigidity
- Reproducibility and Predictability of  $Q_{\text{ext}}$
- Variable Coupling,  $10^7 \leq Q_{\text{ext}} \leq 10^9$
- No Transverse Electric Field on Axis
- Low Losses

### Probe Couplers

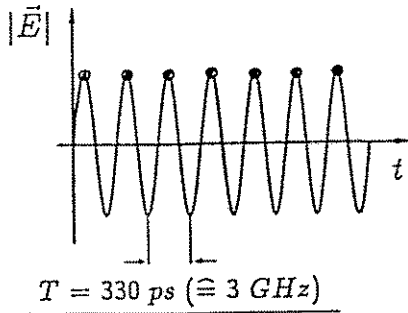
- Mechanical Rigidity
- Reproducibility and Predictability of  $Q_{\text{ext}}$
- Fixed Coupling,  $Q_{\text{ext}} = 1.5 \cdot 10^{10}$

### Variable Input Coupler

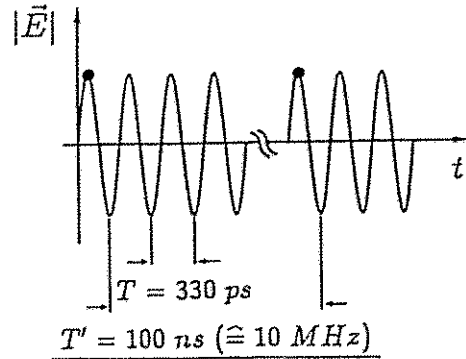


# Time Structure

## Nuclear Physics



## Free Electron Laser



$$P = U \cdot \bar{I}$$

$$300 \text{ W} = 5 \text{ MV/m} \cdot \hat{I} \cdot \frac{2^\circ}{360^\circ}$$

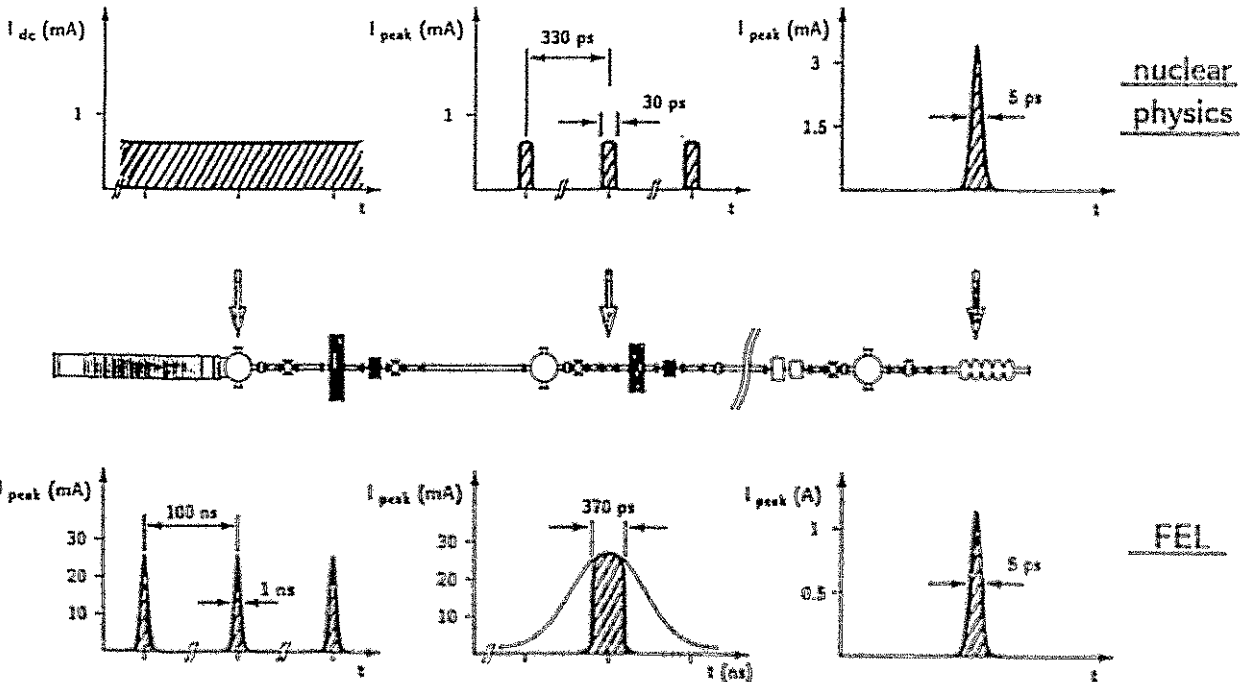
$$\sim \hat{I} \approx 10 \text{ mA}$$

operation at 300th subharmonic  
 $\sim \hat{I} \approx 3 \text{ A (FEL operation)}$

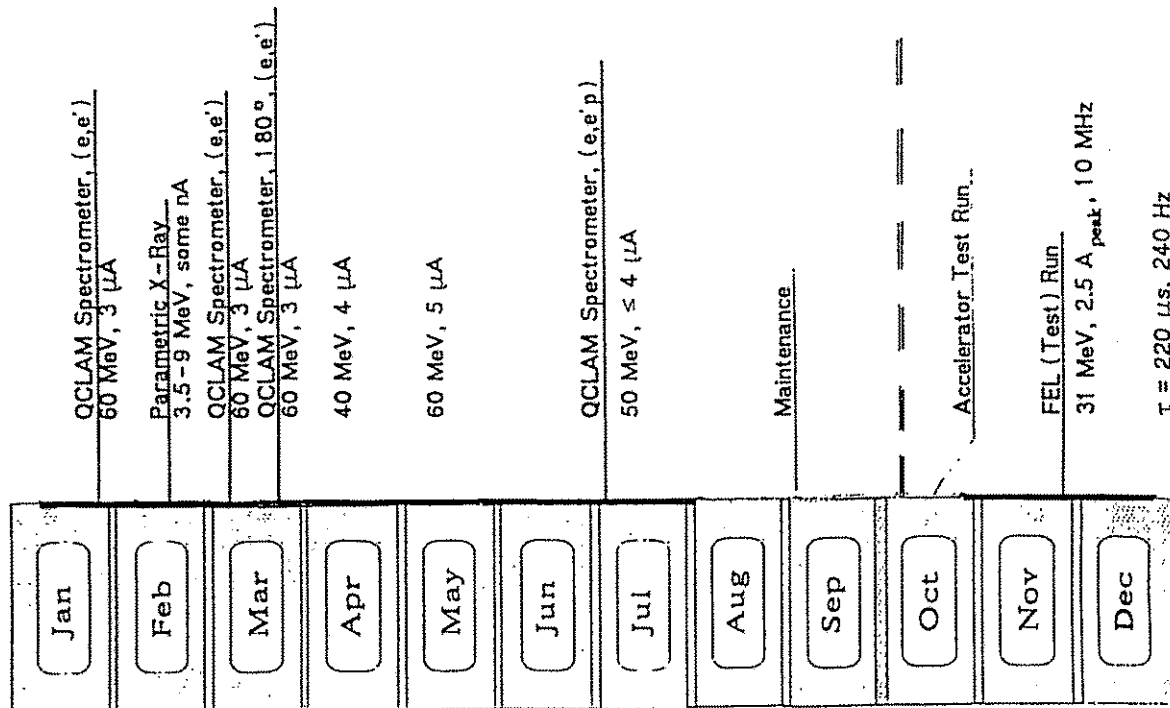
Generation of ps Bunches  
with  $q_b = 5 \text{ pC}$  at 10 MHz Rep. Rate  
(synchronized to Accelerator RF)

157

## High Peak Current Generation



## Operation in 1994



## Beam Characteristics

Experiment	Energy/MeV	Current/ $\mu$ A	Mode
Nucl. Res. Fluorescence	<u>2.5 - 10</u>	<u>40</u>	3 GHz, cw
LE Channeling	3 - 10	<u>0.01 - 10</u>	3 GHz, cw
HE Channeling	75	1	3 GHz, cw
Electron Scattering	22 - <u>80</u>	5	3 GHz; cw
FEL	32 - 38	2.7 A <sub>peak</sub>	10 MHz, (cw)

Energy Spread:  $\Delta E_{FWHM} = 50 \text{ keV}$  at  $E_0 = 80 \text{ MeV}$

Emittance:  $\epsilon_n \approx 3 - 7 \pi \cdot \text{mm} \cdot \text{mrad}$

Beam Time:  $> 8000 \text{ h}$  (total)

## Cavity Characteristics

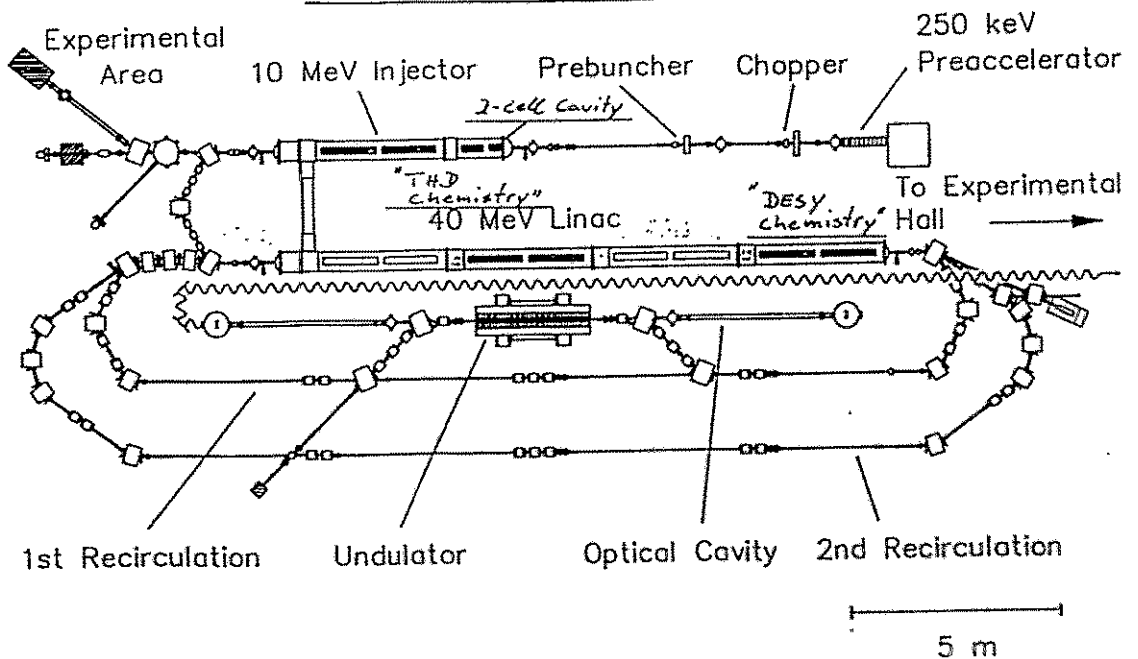
Cavity Type	Number	Material	$E_{acc}$ (MV/m)	$Q_0$
5 cells	1	RRR = (30)	7	
20 cells	2	RRR = 100	4.4 - 6	$< \approx 10^9 >$
20 cells	8	RRR = 280	5 - 10	$< 6 >$

## Cryogenics

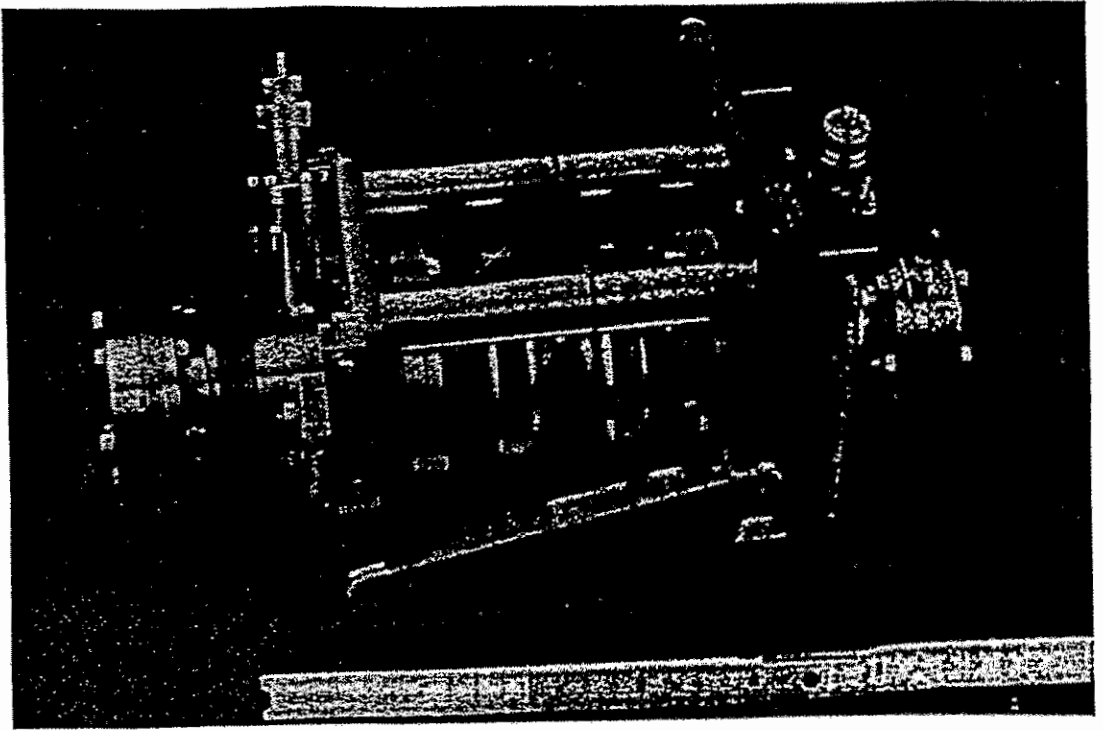
Standby Losses	$\approx 20$ W	
<u>Cavities (RF)</u>	$\approx 125$ W	$\longrightarrow$ <span style="border: 1px solid black; padding: 2px;">Surface Chemistry ?</span>
Couplers, Input Lines	$\approx 15$ W	<span style="border: 1px solid black; padding: 2px;"><u>DESY, TTF</u></span>
Aux. RF Cables	$\approx 10$ W	
Total	$\approx 170$ W	Refrigerator: 100 W

cw Limit:	$E_0 \approx 80$ MeV
50% Duty	$E_0 = 104$ MeV

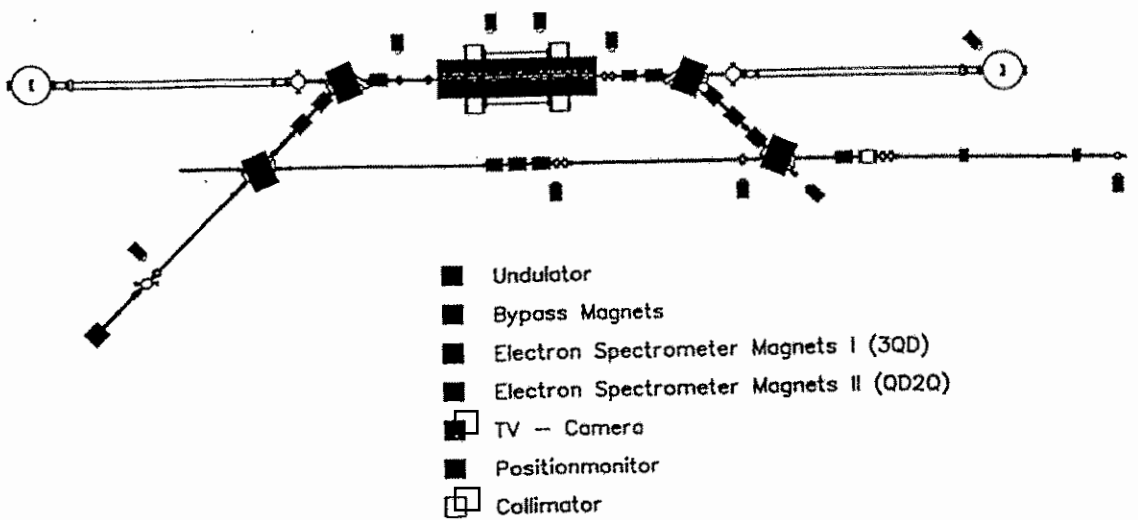
## S - DALINAC



2 - zellige Vorbeschleunigungsstruktur ( $\beta = 0.85$ )



FEL Electron Beam Diagnostics



## Ausblick

Verbesserung der Strukturgüten  
Strahlenergie  $\longrightarrow$  130 MeV

Verbesserung der Diagnostik  
On - Line Strahlsimulation

Erstes Anschwingen des FEL  
Weiterhin T  $\geq$  2000 h Strahl pro Jahr

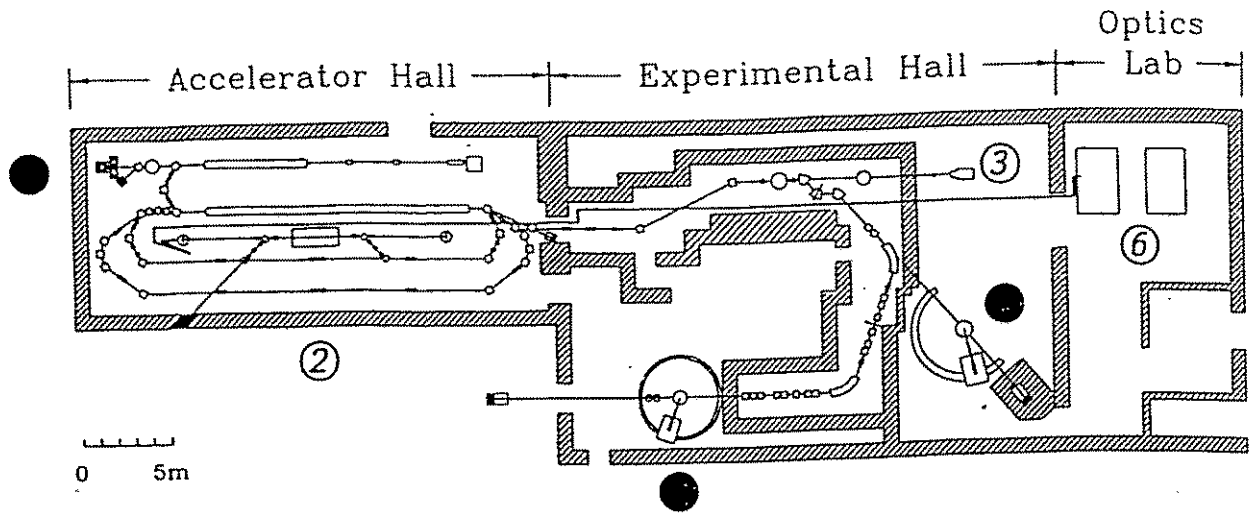
Stand der Experimente zum Studium  
elementarer Kernanregungen  
am S-DALINAC

P. von Neumann-Cosel  
Darmstadt

7. Oktober 1994



# Experiments at the S-DALINAC



- channeling radiation &  $(\gamma, \gamma')$  - experiments
- $(e, e'x)$  - experiments
- ② Free Electron Laser
- $(e, e')$  - experiments
- ③ high energy channeling
- ⑥ optics experiments

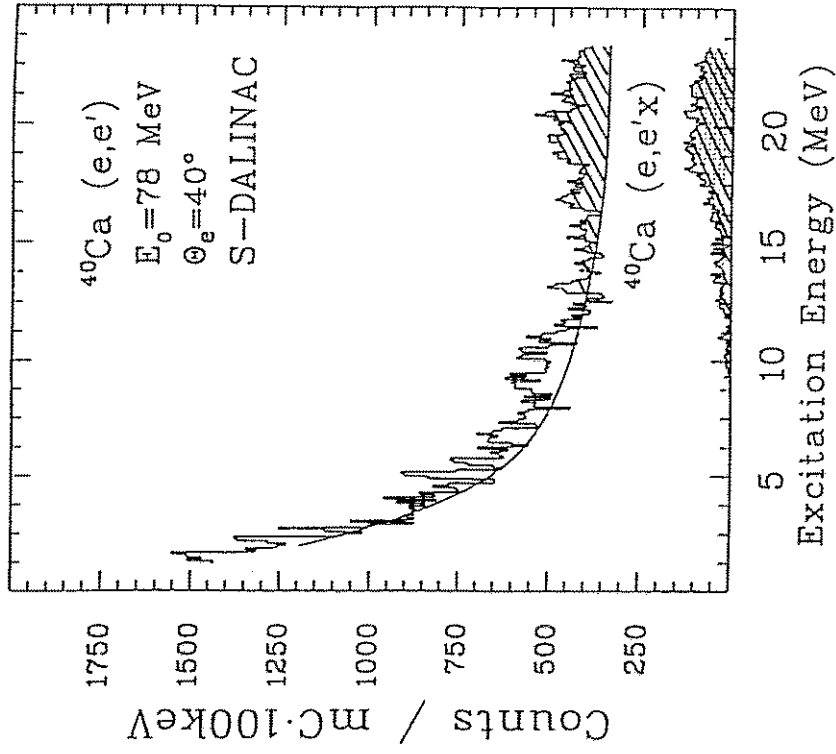
## Stand der Experimente zur Untersuchung elementarer Kernanregungen am S-DALINAC

F. von Neumann-Cosel

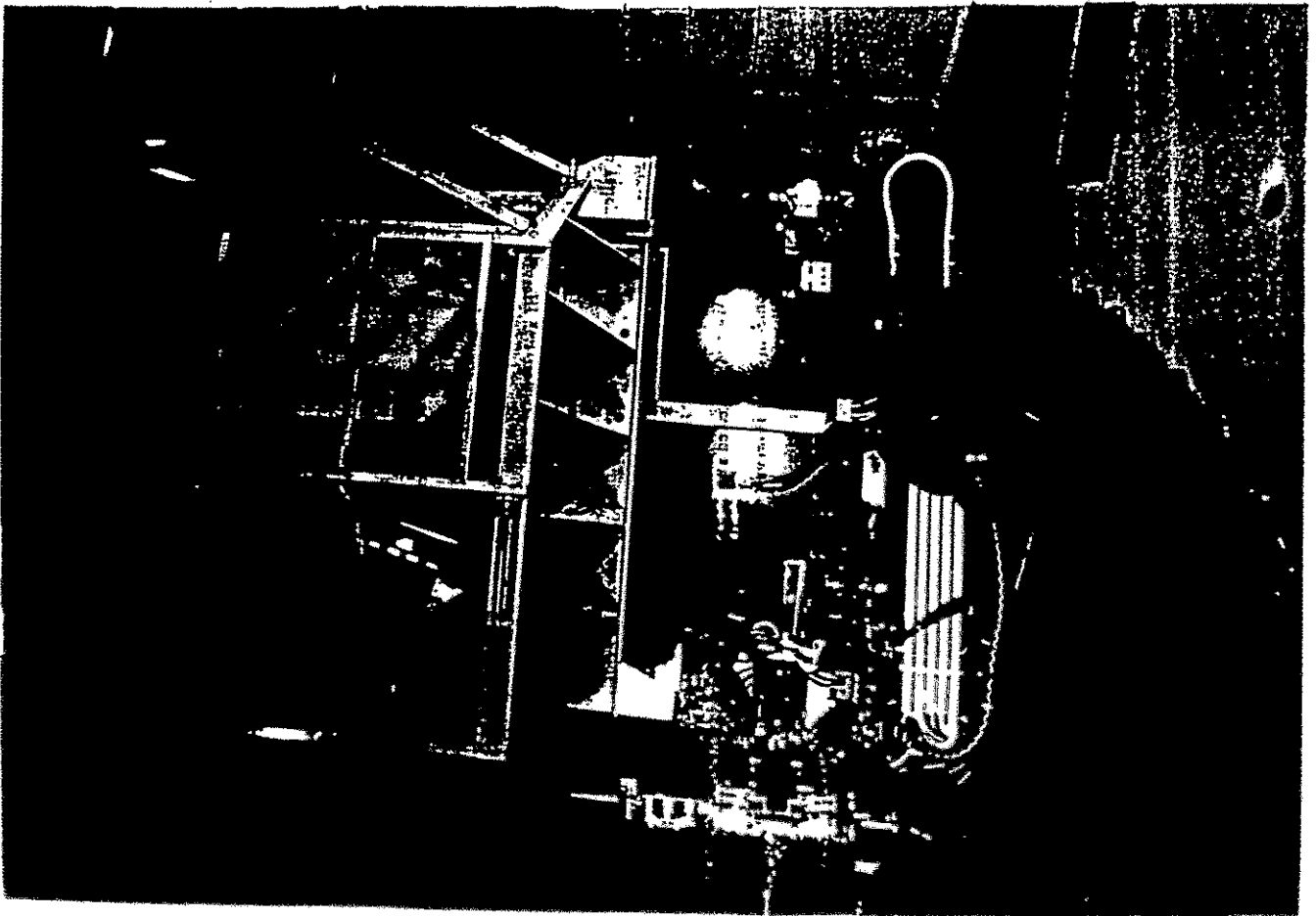
*Institut für Kernphysik, Technische Hochschule Darmstadt*

- Elektronenstreu - Koinzidenzexperimente
  - Elektrische Riesenresonanzen in  $^{40}\text{Ca}$ .
  - IAR in  $^{90}\text{Zr}$
  - Aufbruch des Deutrons bei niedrigem Impulsübertrag
- M1 "Antwort" eines schweren deformierten Kerns
  - das Beispiel  $^{154}\text{Sm}$
- Ein System zur Elektronenstreuung unter  $180^\circ$  und erste Anwendungen

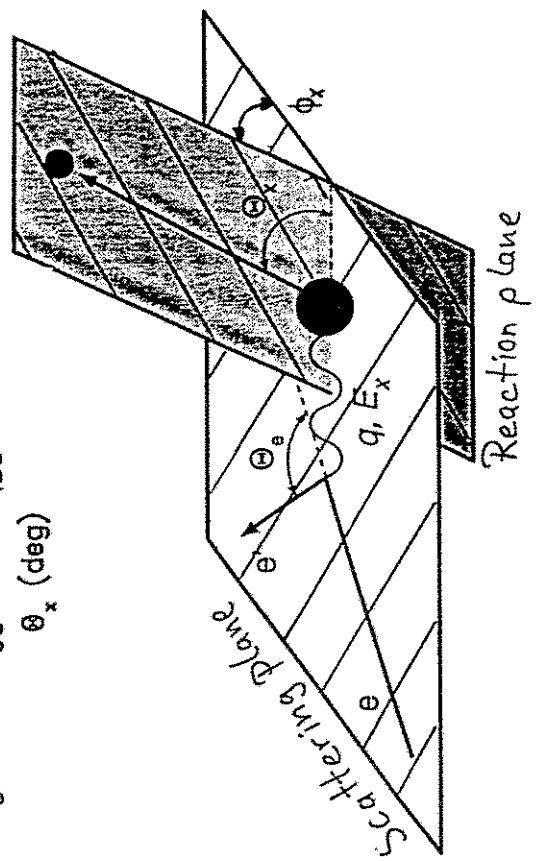
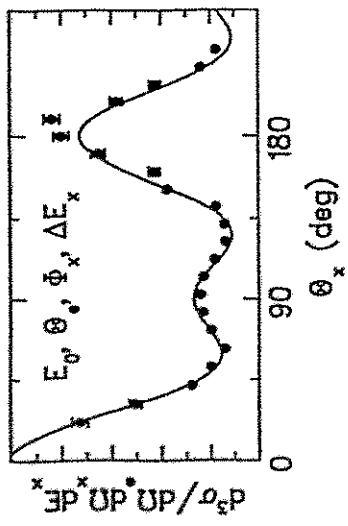
Inclusive vs. exclusive electron scattering



- Backgroundfree response!



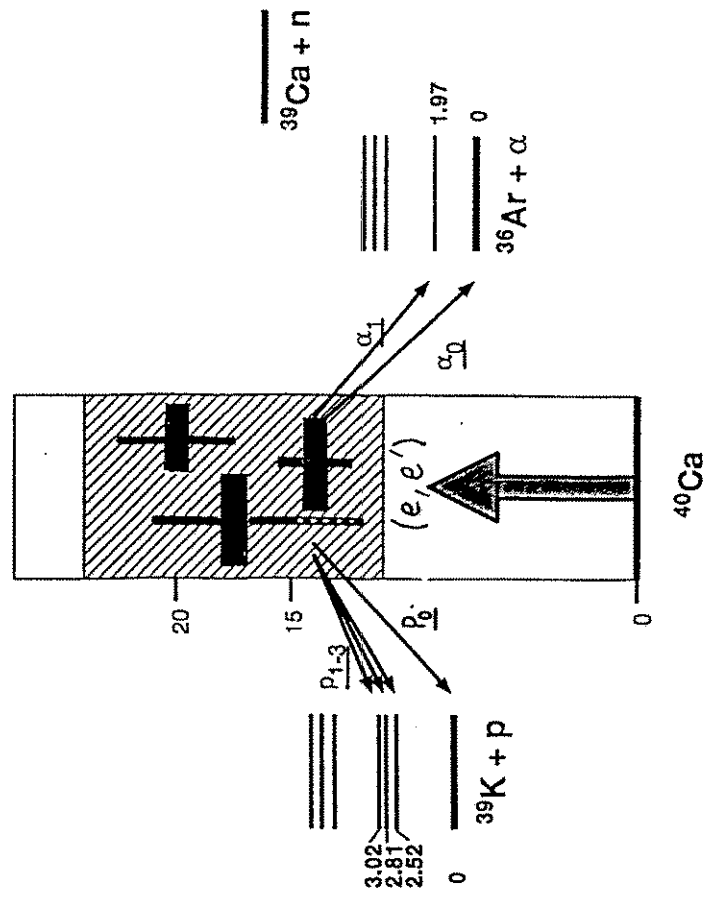
# The Reaction $A(e, e'x)B$



$$\frac{d^3\sigma}{dE_x d\Omega_x d\Omega_z} = \frac{d^3}{dE_x d\Omega_x d\Omega_z} (\sigma_L + \sigma_T + \sigma_{LT} \cos \Phi_z + \sigma_{TT} \cos 2\Phi_z)$$

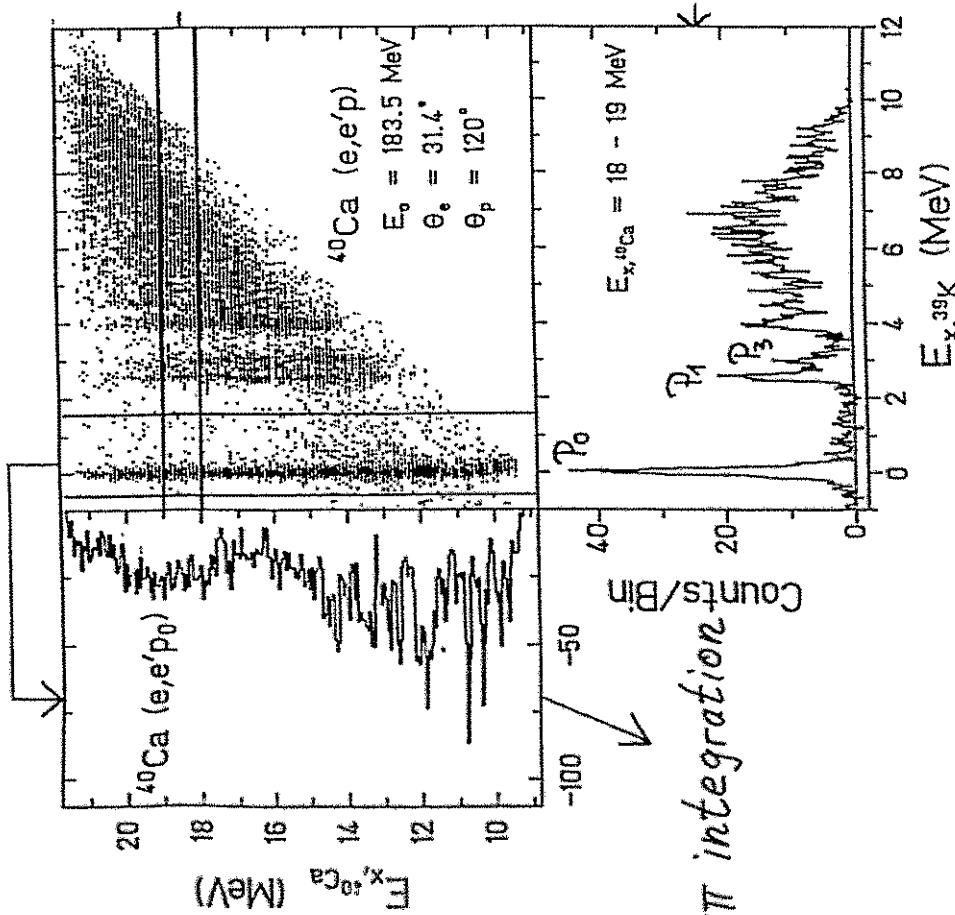
Structure functions

# Excitation and Decay of $^{40}\text{Ca}$



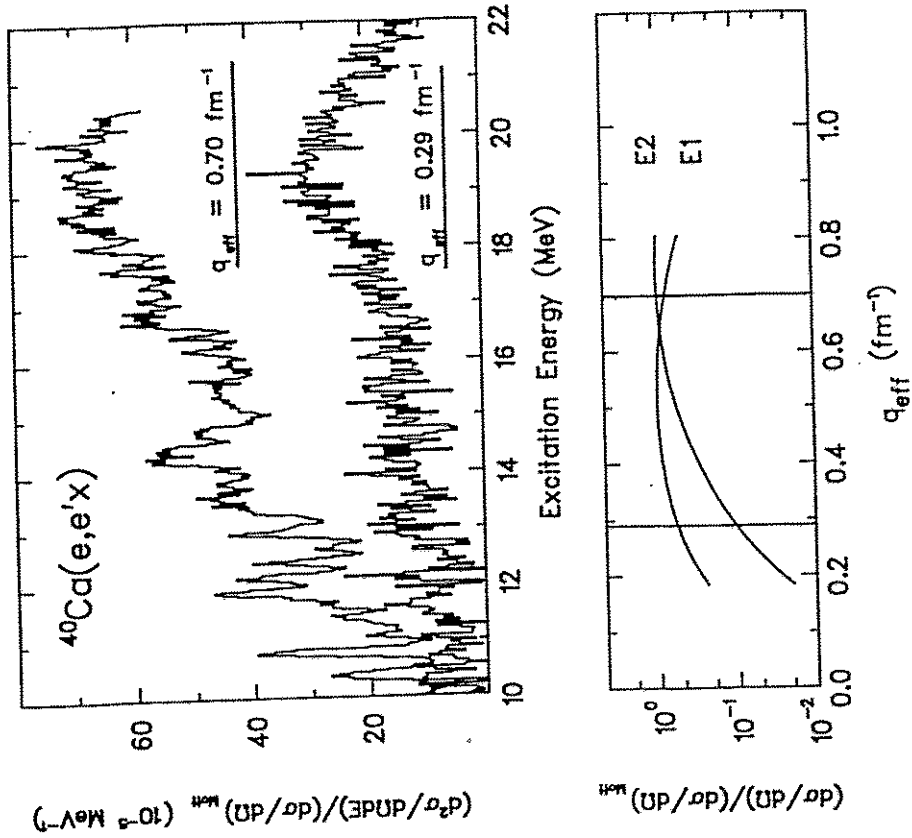
- Decomposition of mingled  $E_0/E_1/E_2$  strength
- Statistical vs. semidirect decay
- Fine structure

Dalitz plot



↓  
HCF

$4\pi$  integrated Cross Sections



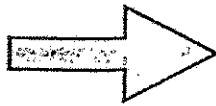
## Multipole Analysis

### Data

- Measurements at three momentum transfers in the excitation energy range  $E_x = 10 - 20.5$  MeV
- Photonuclear cross section

### Cross section

$$\frac{d^2\sigma}{dE_x d\Omega_e} = \left(\frac{d\sigma}{d\Omega}\right)_{Mott} \cdot \sum_{\lambda=0}^{\Lambda} |F_{\lambda}(q, E_x)|^2$$

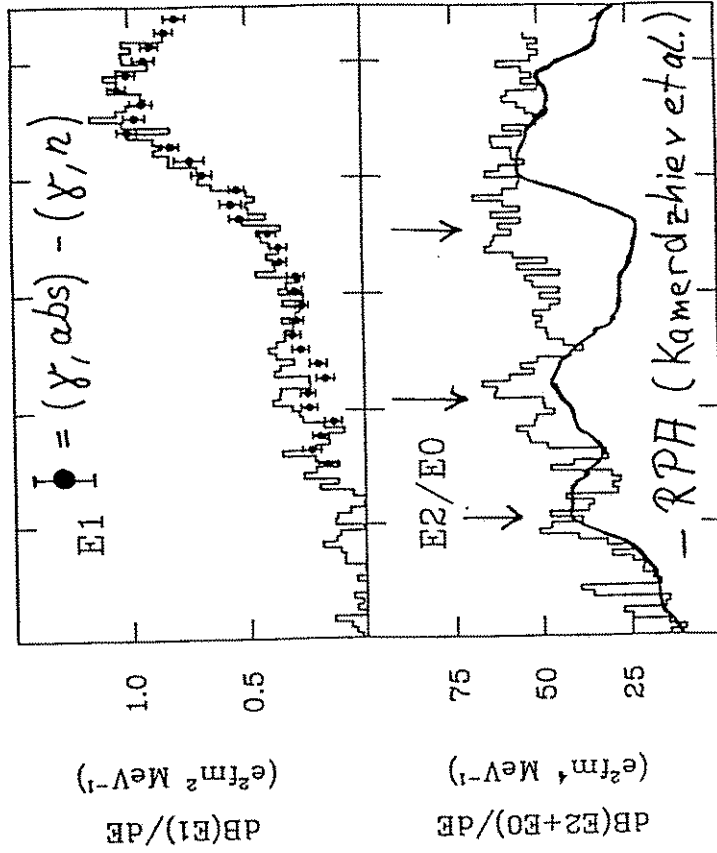


- only E0, E1 and E2 excitations
- indistinguishable E0 and E2 form factors
- shape of the form factors assumed constant as function of  $E_x$

### Fit

$$\frac{\sigma_{exp}}{\sigma_{Mott}}(q_i, E_{xj}) = \frac{a_{E1}(E_{xj}) |F_{E1}(q_i)|^2}{+ a_{E2(E0)}(E_{xj}) |F_{E2(E0)}(q_i)|^2}$$

## Multipole analysis: results



Excitation Energy (MeV)

E1 58 (15) %

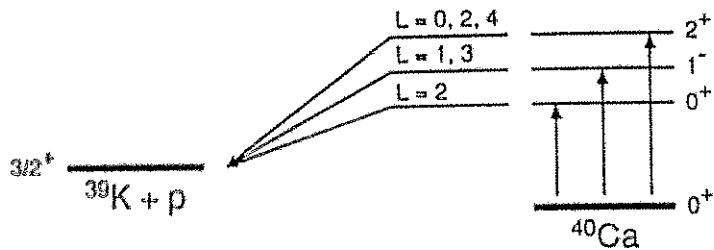
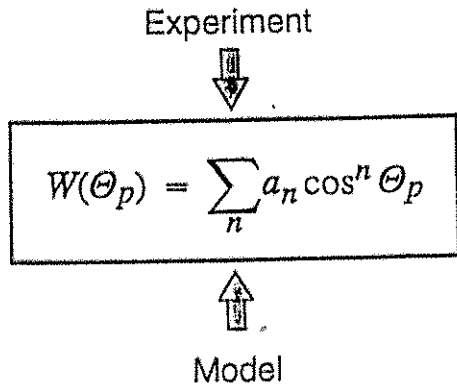
E2(E0) 80 (16) %

EWSR:

E1 58 (15) %

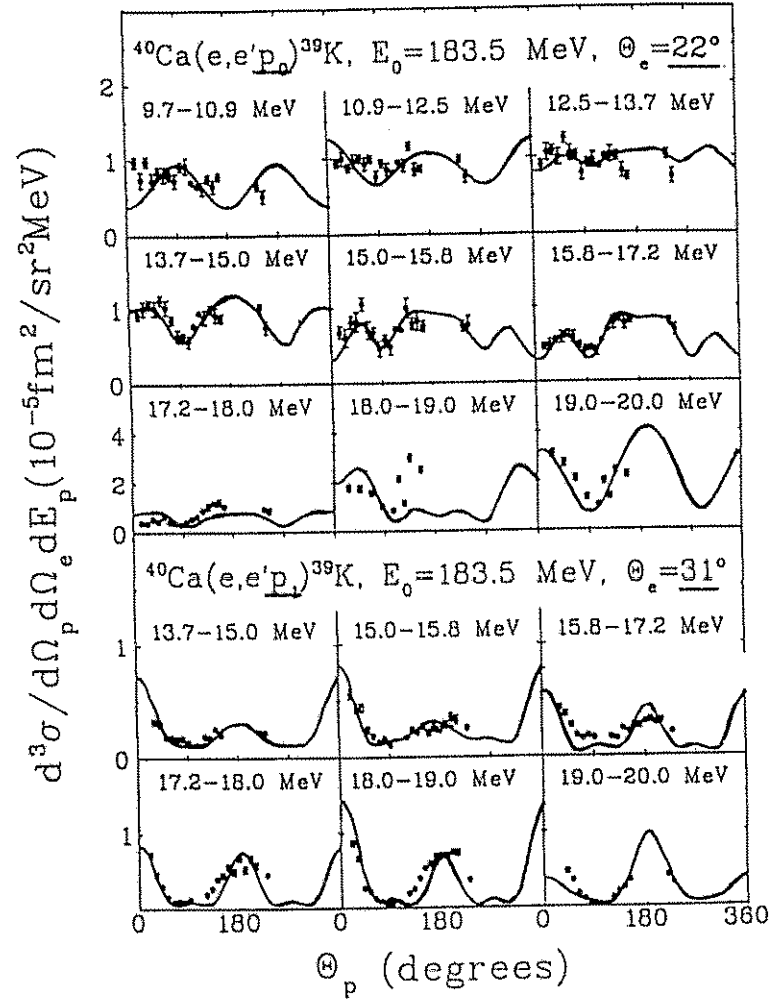
E2(E0) 80 (16) %

Angular correlation functions (e,e'p)



- Shell-model calculation (Kleppinger)
- selfconsistent RPA-calculation including multistep processes (Ryckebusch)

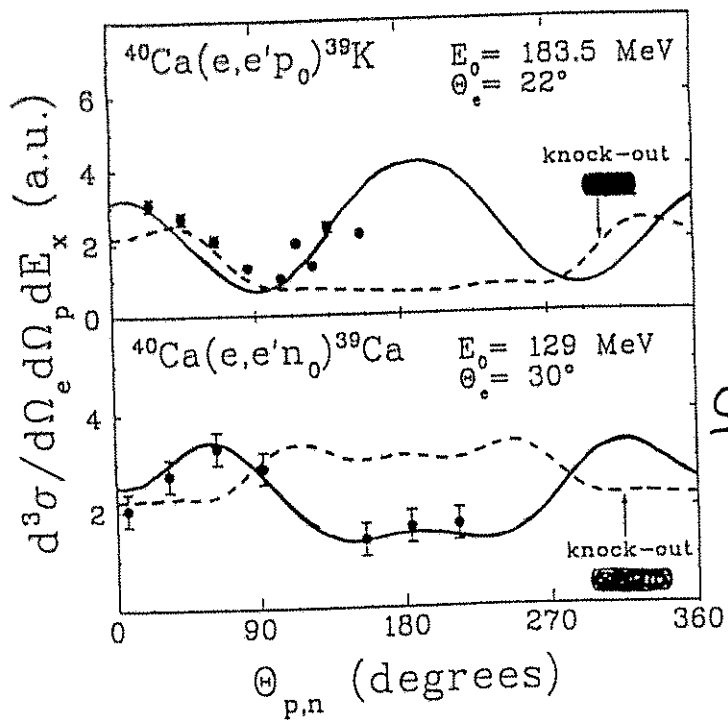
Angular correlation functions: p<sub>0</sub>, p<sub>1</sub> channels



• Very encouraging!

Angular correlation functions:  $p_0$  vs.  $n_0$  channel

$E_x = 19 - 20$  MeV

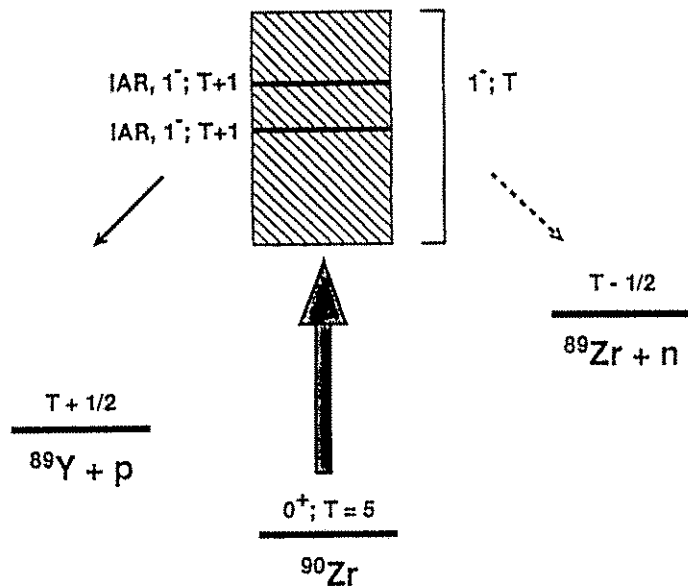


Sendai

knockout + charge exchange rescattering

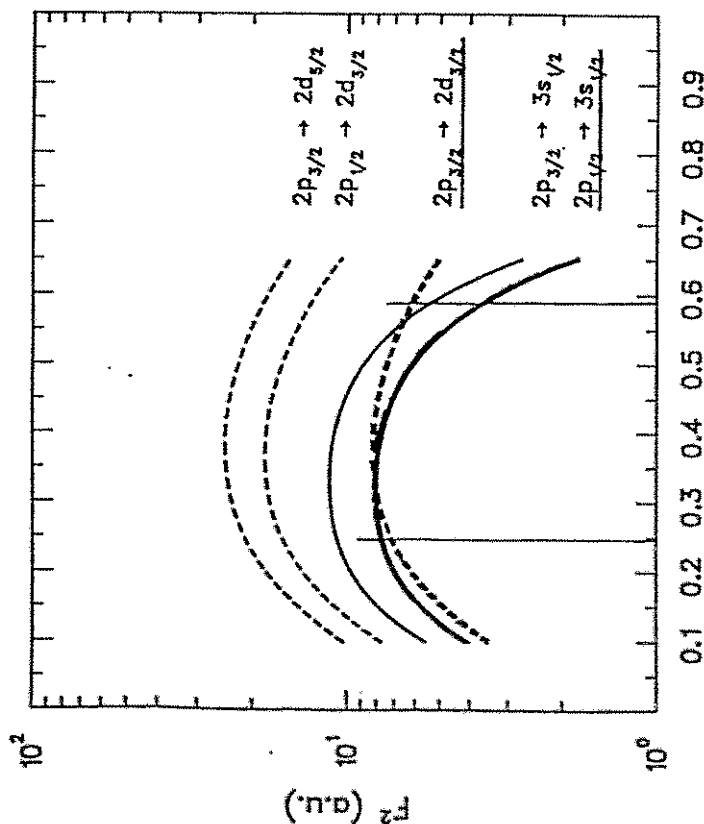
- $\frac{(e,e'p_0)}{(e,e'n_0)} + \frac{(e,e'n)(n,p_0)}{(e,e'p)(p,n_0)}$

Isobaric Analog Resonances in  $^{90}\text{Zr}(e,e'p)$



- Microscopic particle-hole structure of  $1^-, T=T_{g.s.}+1$  IAR?
- look at form factors

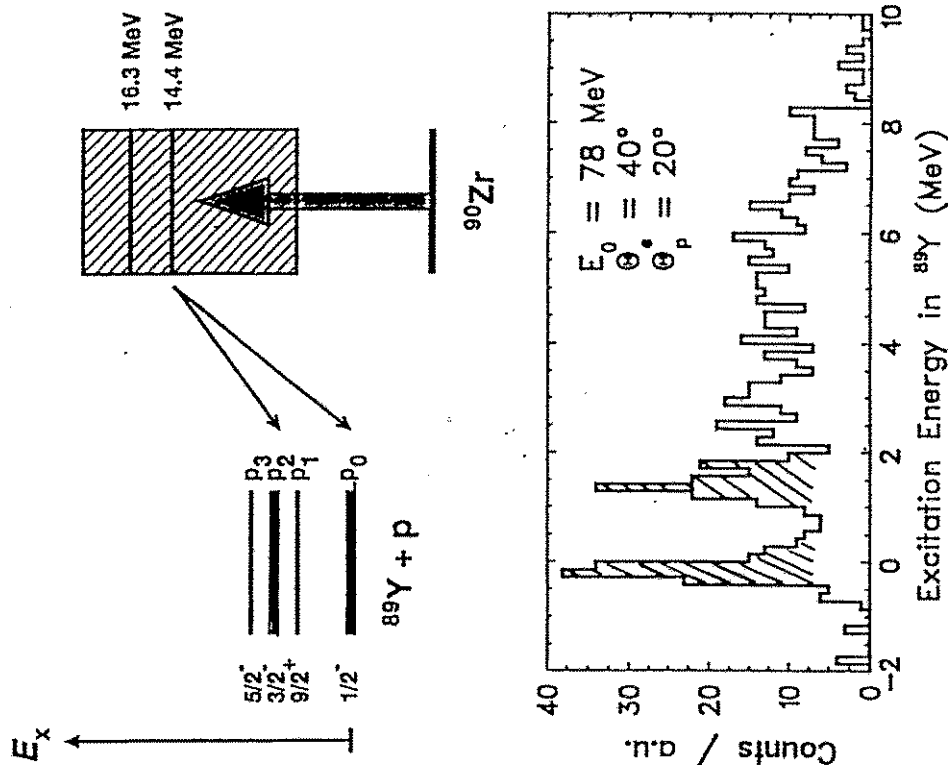
Form Factors for Different p-h Configurations



$$q = 0.25 \text{ fm}^{-1} \rightarrow \frac{\sigma(p_{3/2} \rightarrow d_{5/2})}{\sigma(p_{1/2} \rightarrow s_{1/2})} \approx 0.8$$

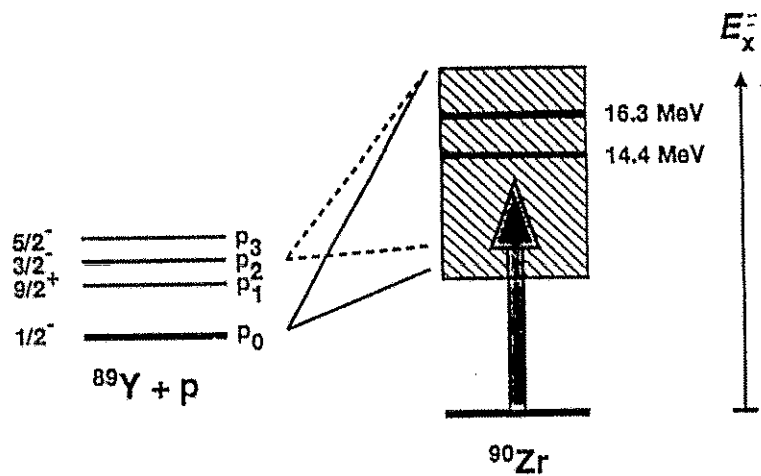
$$q = 0.60 \text{ fm}^{-1} \rightarrow \frac{\sigma(p_{3/2} \rightarrow d_{3/2})}{\sigma(p_{1/2} \rightarrow s_{1/2})} \approx 1.7$$

Residual <sup>89</sup>Y Spectrum





$^{90}\text{Zr}$  Excitation Spectrum for Resolved Final States



Electro-Induced Deuteron Breakup at Low Momentum Transfer

Measured  $D(e, e'p)n$

$E_0 = 50 \text{ MeV}$   $\theta_e = 40^\circ$

$\approx 5 \text{ MeV}$  above threshold

Separation of structure functions

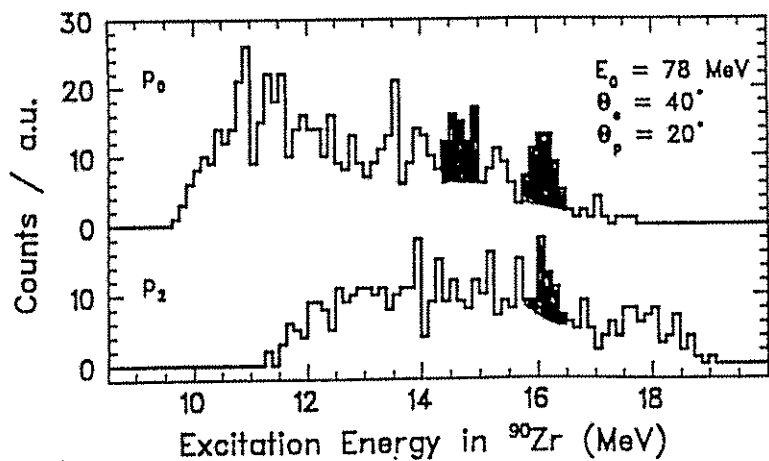
$$\sigma = \sigma_L + \sigma_T + \sigma_{LT} \cos \phi + \sigma_{TT} \cos 2\phi$$

Measure at  $\phi = 0^\circ, 45^\circ, 135^\circ$

$$\textcircled{1} (\sigma_L + \sigma_T) = \sigma_{45} + \sigma_{135}$$

$$\textcircled{2} \sigma_{LT} = \frac{1}{\sqrt{2}} (\sigma_{45} - \sigma_{135})$$

$$\textcircled{3} \sigma_{TT} = \sigma_0 - \left(1 + \frac{1}{\sqrt{2}}\right) \sigma_{45} - \left(1 - \frac{1}{\sqrt{2}}\right) \sigma_{135}$$



M1 Response in Nuclei

Structure of the M1 operator

$$T(M1) = \sum_i \{ g_{e,c} \vec{L}_i + g_{s,c} \vec{S}_i \} \mu_N$$

$$\rightarrow T(M1) \approx T(M1)_{IV} + \overset{\text{small}}{T(M1)_{IS}}$$

$$T(M1)_{IV} = \left\{ \sum_i t_{z,c} \vec{L}_i + (g_p - g_n) \sum_i t_{z,c} \vec{S}_i \right\} \mu_N$$

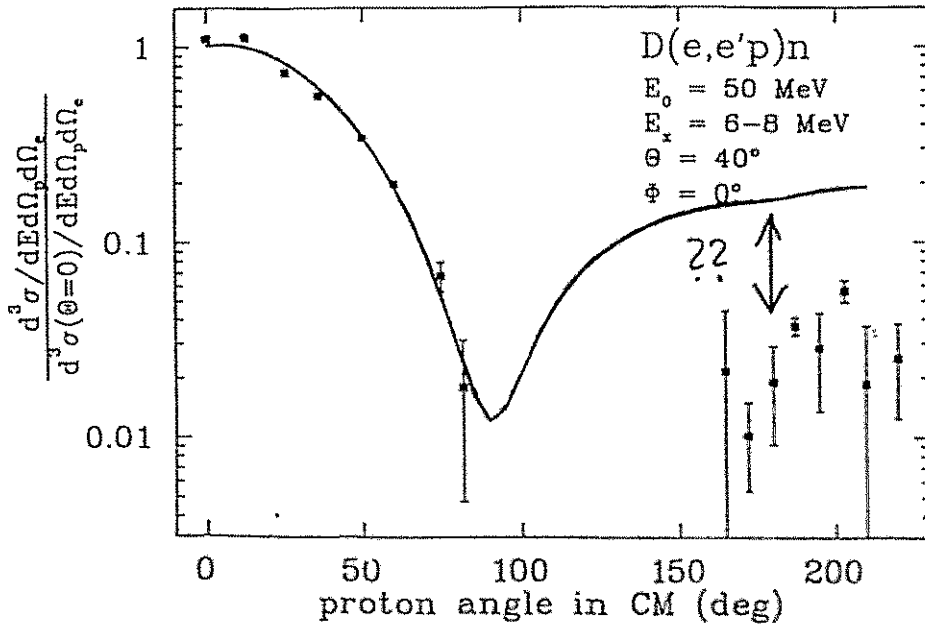
$$= \left\{ \frac{1}{2} (\vec{L}_p - \vec{L}_n) + 4.71 T(M1)_{\Delta T_z=0} \right\} \mu_N$$

rotation generator

enhanced "spin-flip" GT

In-Plane Angular Correlation

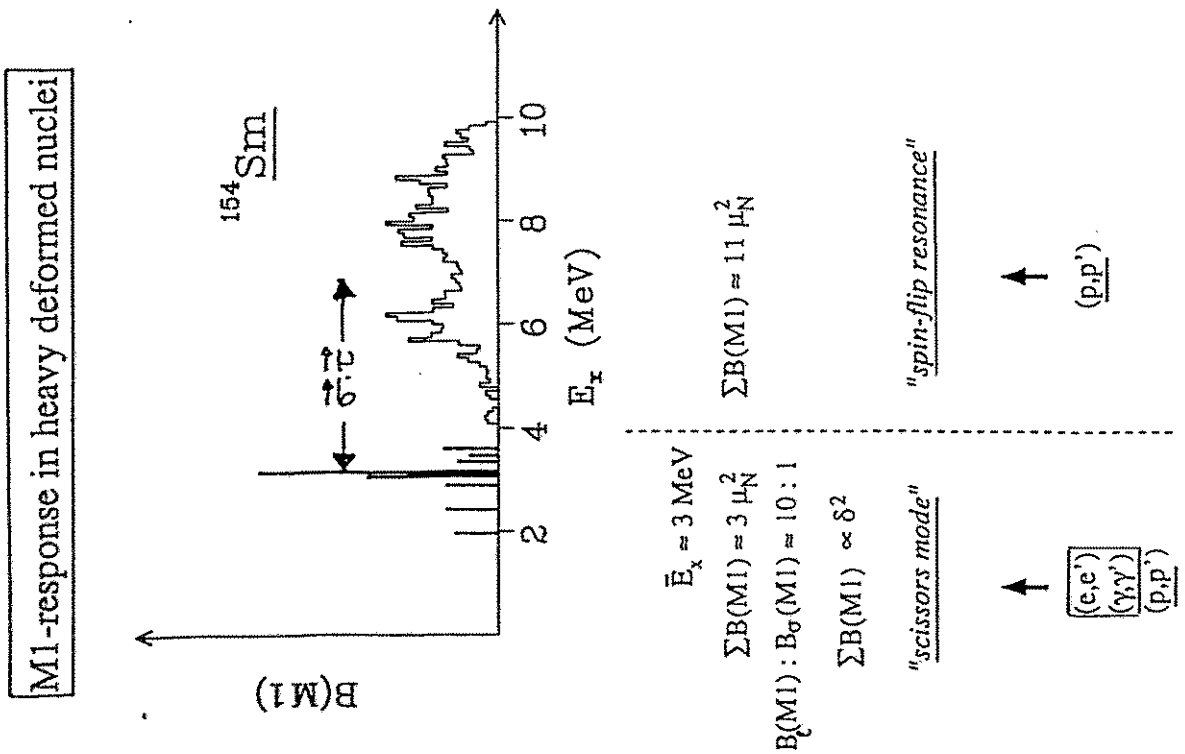
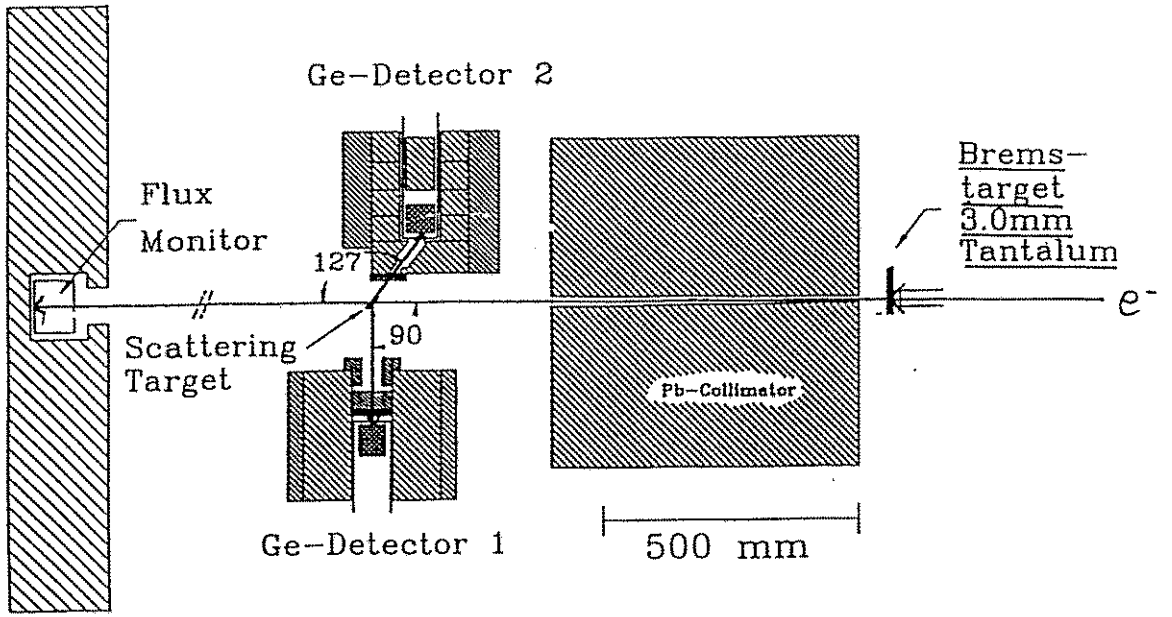
(preliminary)



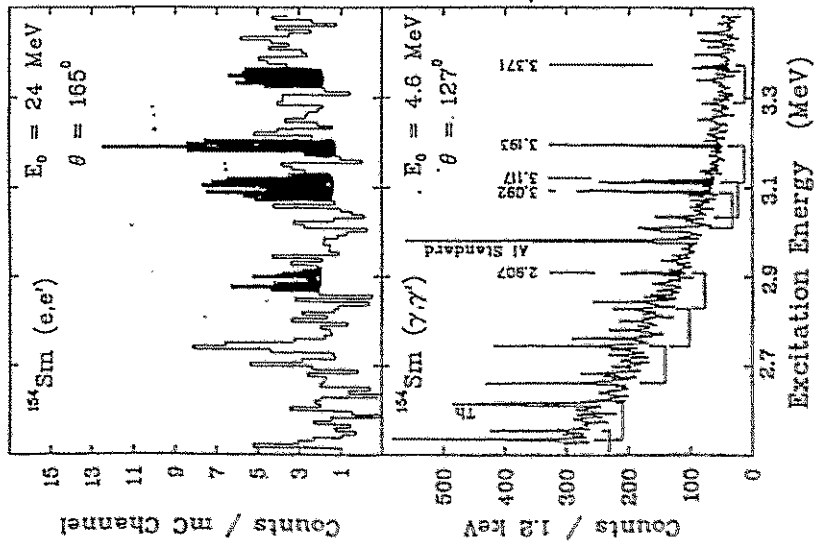
Arenhövel

• No correction for  $\rho$  threshold emission, but that cannot explain the discrepancy!

# Nuclear Resonance Fluorescence

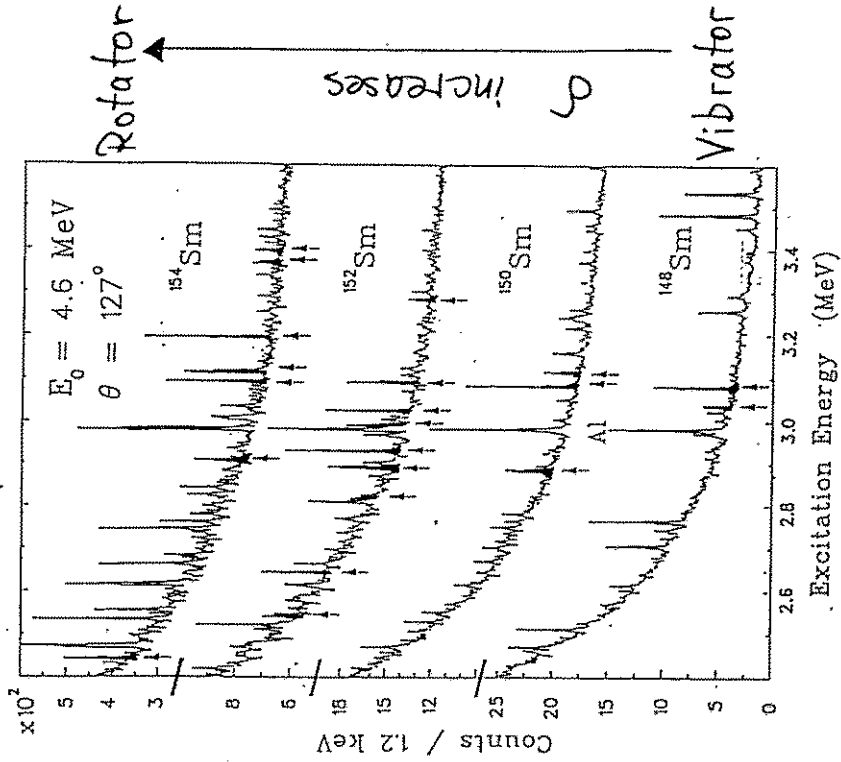


$^{154}\text{Sm}(e,e')$  vs.  $^{154}\text{Sm}(\gamma,\gamma')$



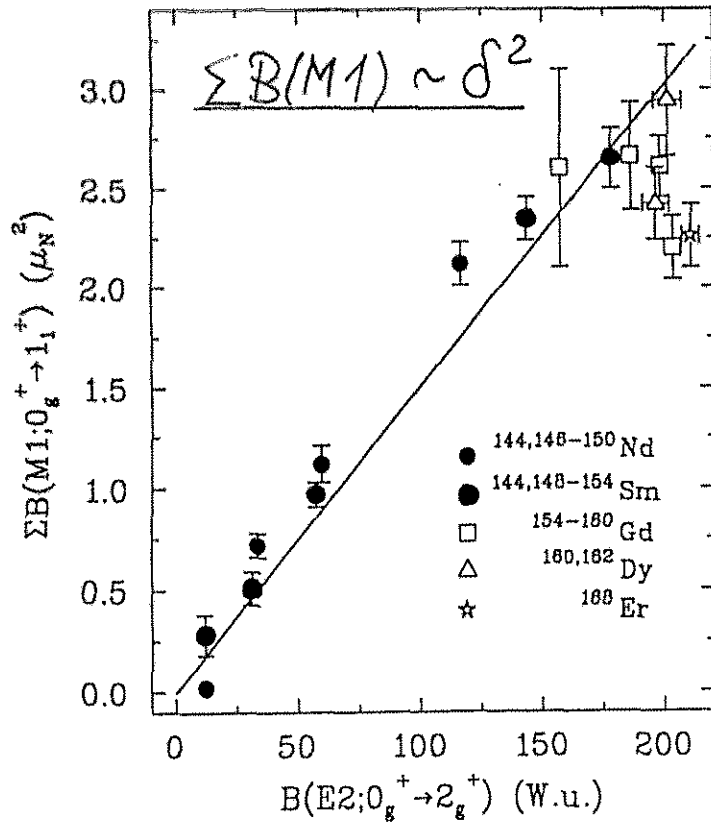
NRF experiments in the Sm isotopic chain

W. Ziegler et al., *Nucl Phys A* 664 (1993) 366



• Fragmentation of the "scissors" mode

# B(M1) – B(E2) correlation



- Confirmed for Nd-chain (Köln/Stuttgart)
- More or less reproduced by all models

spin  
 M1 response in even-even nuclei:

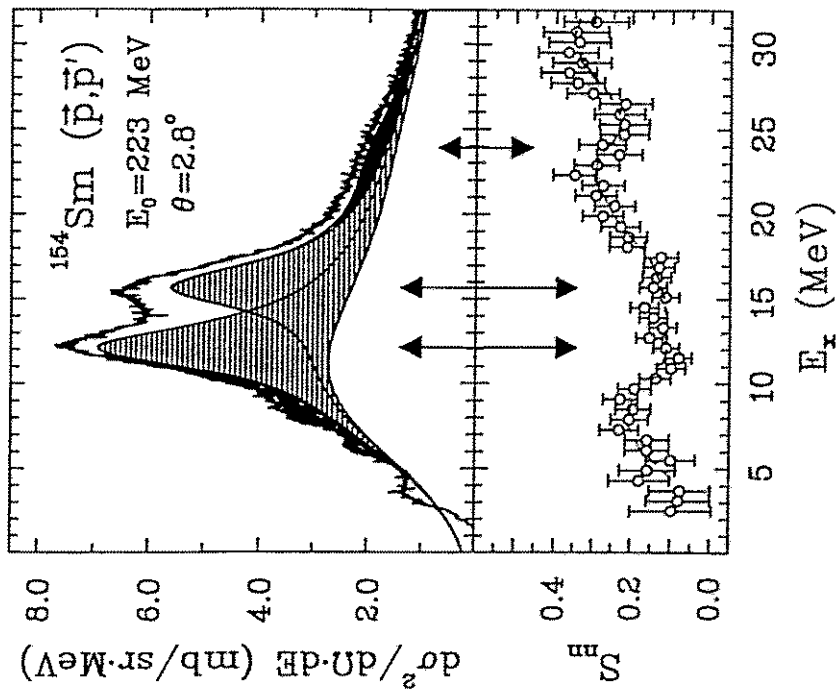
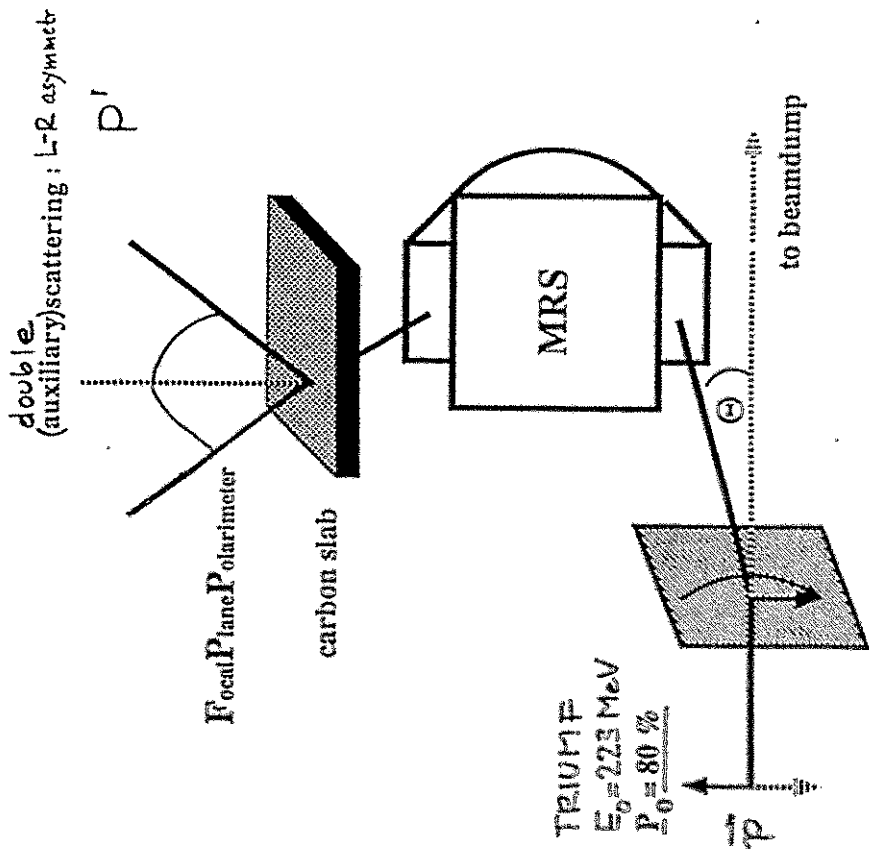
- direct detection of the spin-strength
- existence of a high lying ( $E_x \cong 20$  MeV) "scissors mode":  $K^\pi = 1^+$  component of the Isovector Giant Quadrupole Resonance

→  $(\vec{p}, \vec{p}')$  on  $^{154}\text{Sm}$   
 $E_0 = 223$  MeV ;  $\Theta = 2.4^\circ - 5.9^\circ$

$$\frac{d^2\sigma}{d\Omega dE} ; S_{nn} \text{ für } E_x = 4 - 32 \text{ MeV}$$

↑  
 SPIN-FLIP  
 PROBABILITY

# Scheme of the FPP / MRS Setup

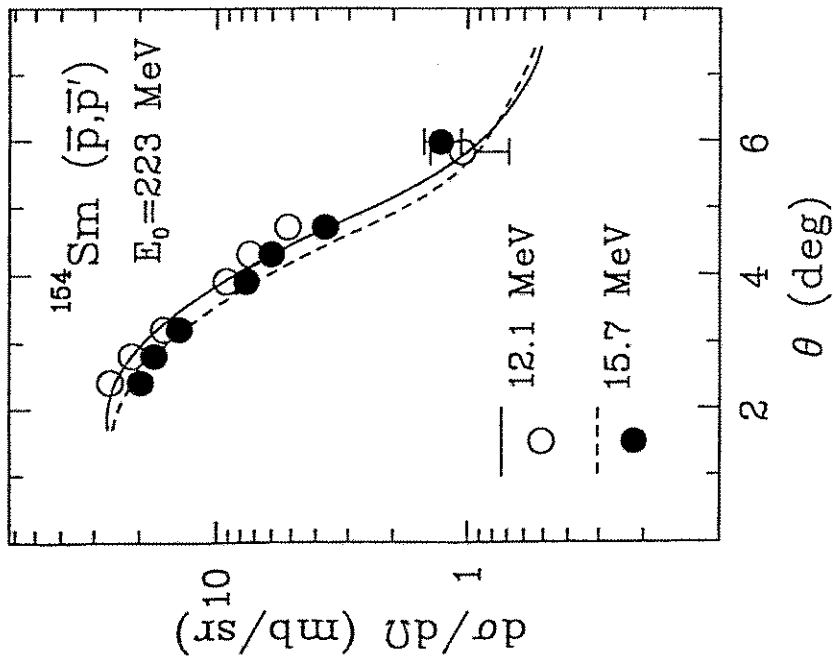


- background dominated by quasifree-contributions
- checked by the E1 - cross section

$$D_{mm'} \approx P'/P_0 \rightarrow -1 \leq D_{mm'} \leq 1 \quad \text{WOLFENSTEIN PARAMETEC}$$

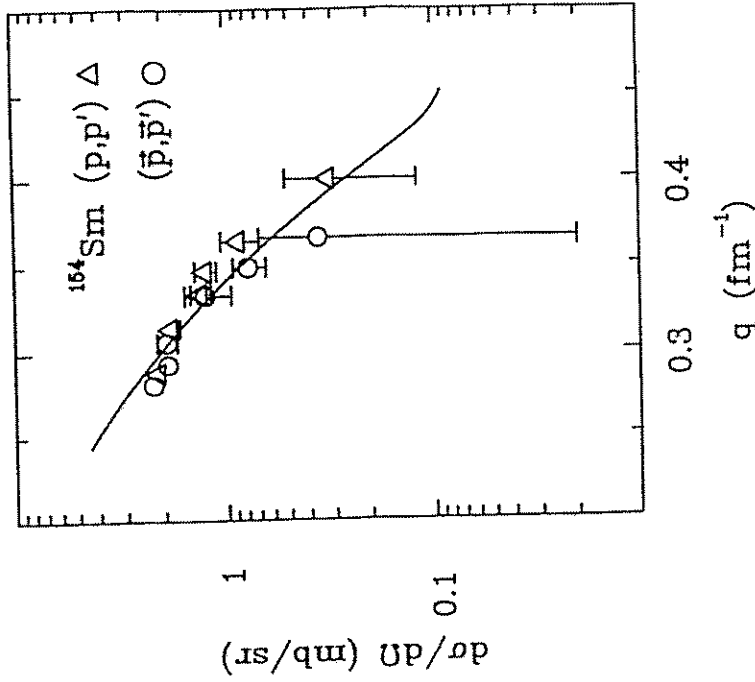
$$\rightarrow S_{mm'} = \frac{1}{2} (1 - D_{mm'}) \quad \text{SPIN-FLIP PROB.}$$

### Giant Dipole Resonance



- K=0 (12.2 MeV) : 47±5% EWSR ↔ 52%
  - K=1 (15.7 MeV) : 64±6% EWSR ↔ 69%
- } ( $\gamma, n$ ) ; ( $\gamma, 2n$ )

### Spin-Flip Resonance



— ( $\nu i_{13/2} \rightarrow \nu i_{11/2}$ ) DWIA cross section

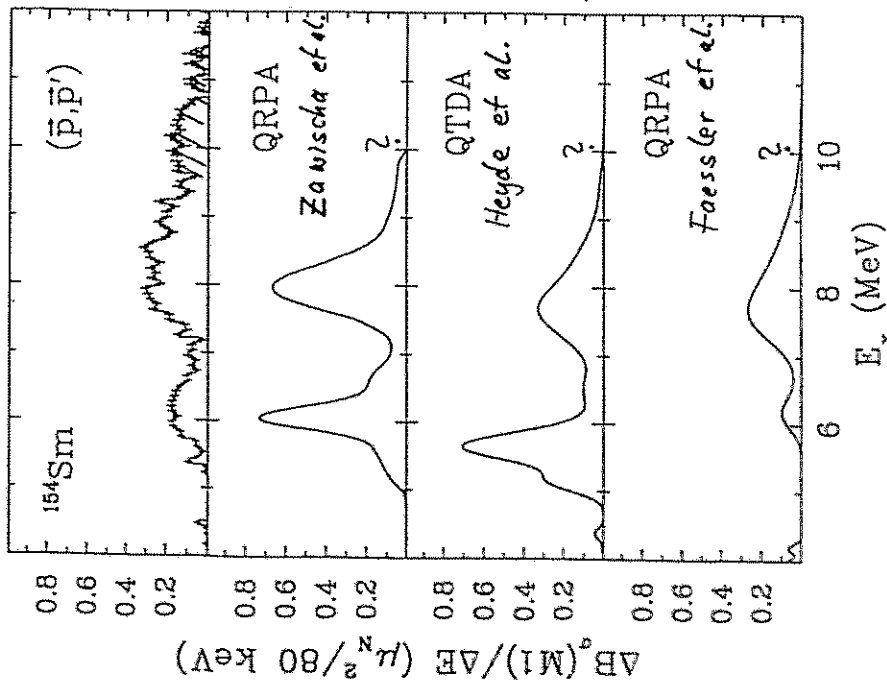
- resulting strength :

$(p, p')$ :	$B_{\sigma}(M1) = 11.0 \pm 2 \mu_N^2$
$(\bar{p}, \bar{p}')$ :	$B_{\sigma}(M1) = 10.5 \pm 2 \mu_N^2$

- within the errors independent of the structure of the transition

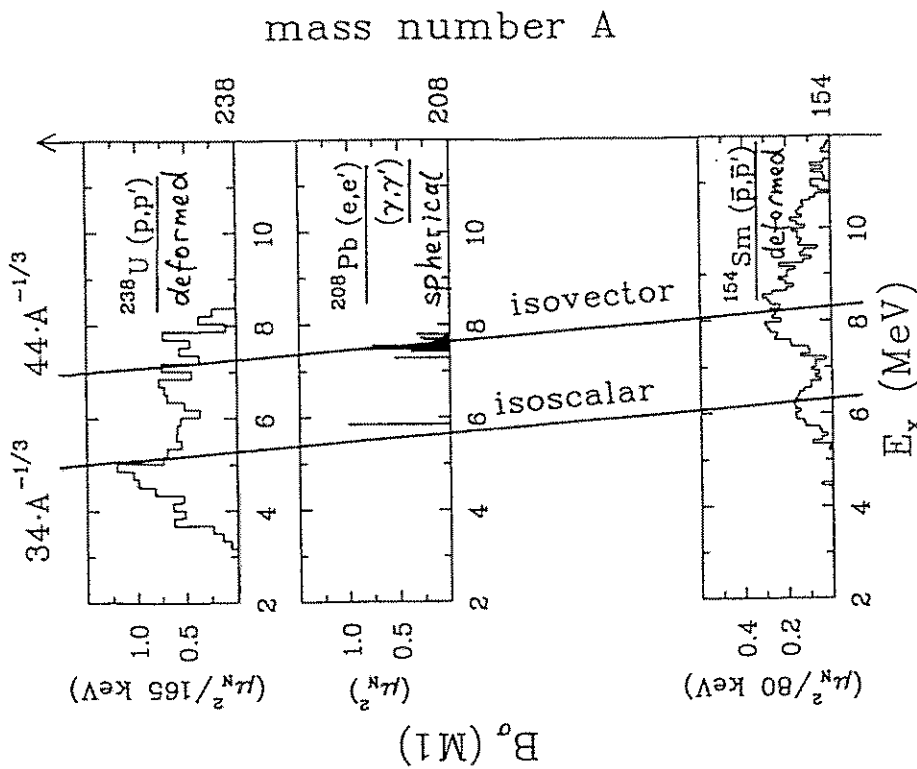
## Comparison:

### Experiment - Theories



- only qualitative understanding of  $q$  most elementary  $M1$  excitation

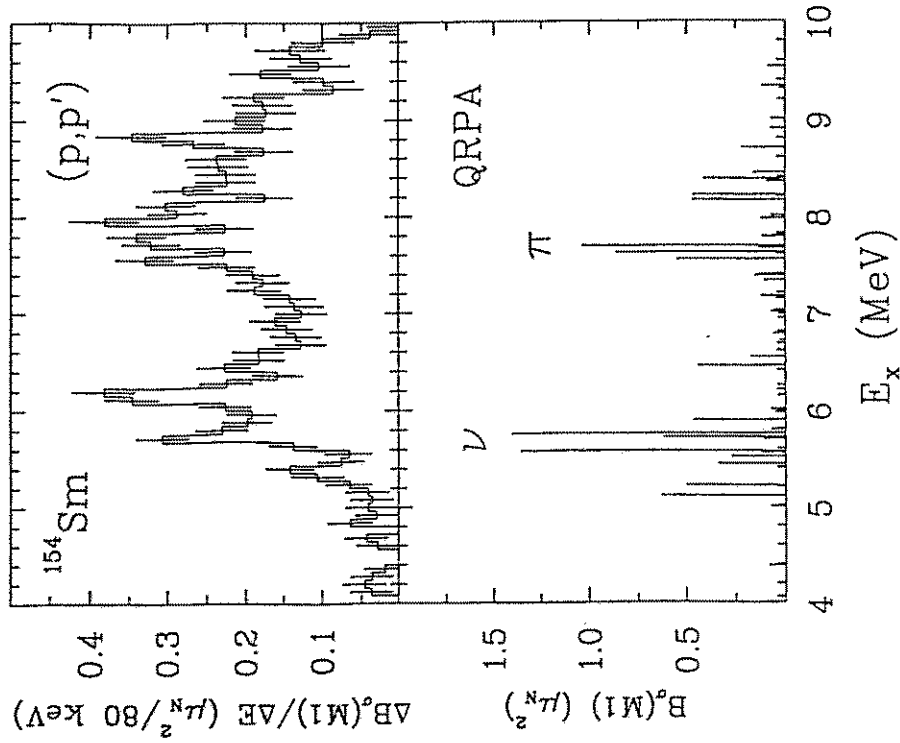
## Mass dependence



- Mixing into underlying  $2q$   $1^+$  states in deformed nuclei

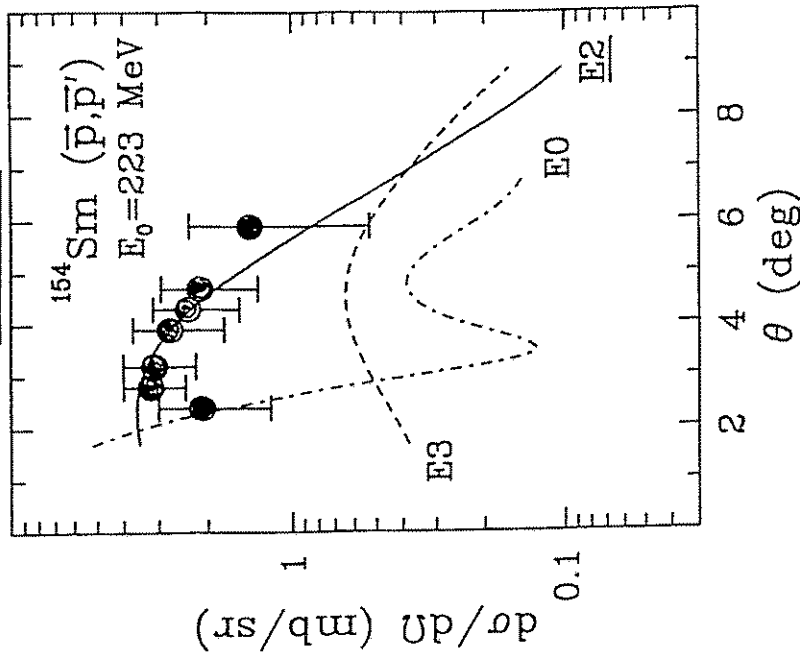


## Microscopic picture of spin-flip M1 strength



•  $1S - 1V$  picture too simple!  
 → test with EUROBALL cluster ( $\nu, \nu'$ )

## Isovector Giant Quadrupole Resonance



—  $\Delta L=2$  DWBA Coulomb excitation cross section

•  $E_x = 23.4 \pm 0.6 \text{ MeV}$ ;  $\Gamma = 6.8 \pm 0.6 \text{ MeV}$

• depletion of the EWSR ( $E_2, \Delta T=1$ ):  $76 \pm 1\%$

# Sum Rule

Zamick, Zheng, Moya de Guerra (1993)

$$\sum_n E_x B(M1)_{\text{orbital}} = \frac{9\chi}{16\pi} \left[ \sum_n B(E2, \Delta T = 0) - \sum_n B(E2, \Delta T = 1) \right]$$

↑

(e,e')

(γ,γ')

7.7 ± 0.4 MeV μ<sub>N</sub><sup>2</sup>

↑

(e,e')

(α,α')

↑

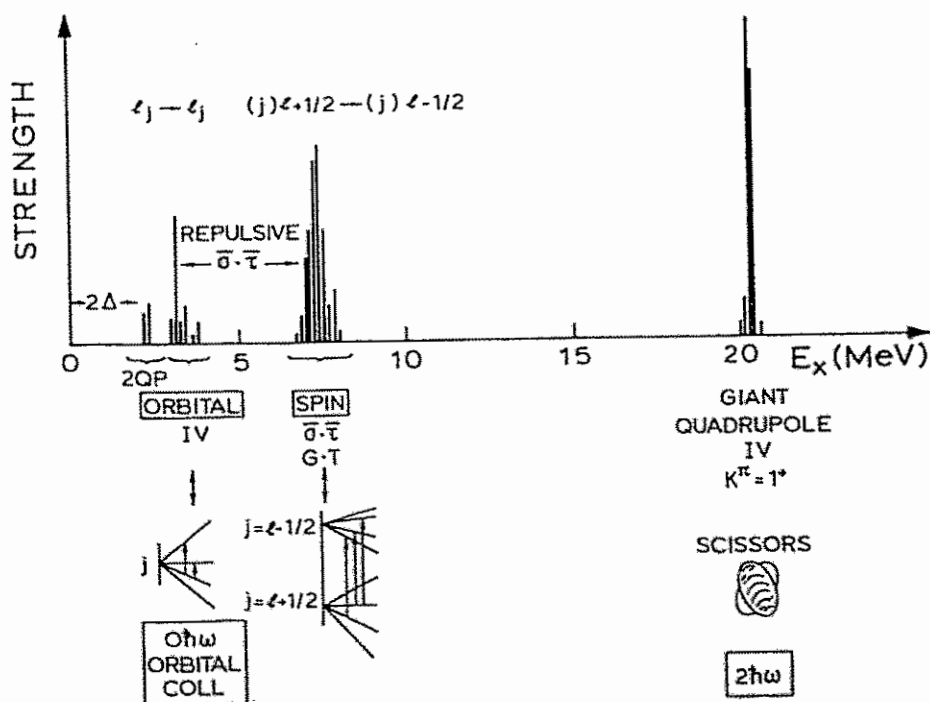
(p,p')

9.3 ± 0.3 MeV μ<sub>N</sub><sup>2</sup>

83% for  $E_x \leq 4$  MeV → "low lying scissors mode" strength in heavy deformed nuclei completely detected!

→ first complete picture of the M1-response in heavy deformed nuclei by comparing the results of electromagnetic and hadronic probes.

## HEAVY NUCLEI



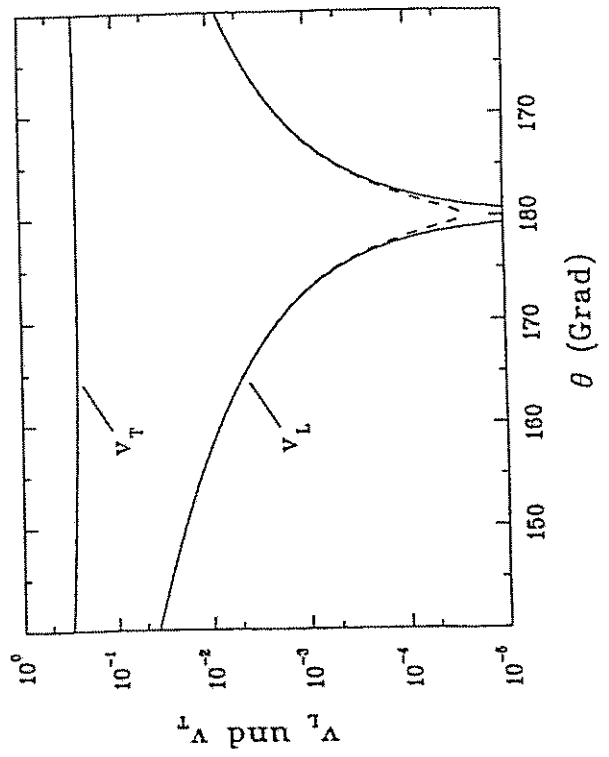
## Inelastic Cross Section for Inclusive

### Electron Scattering

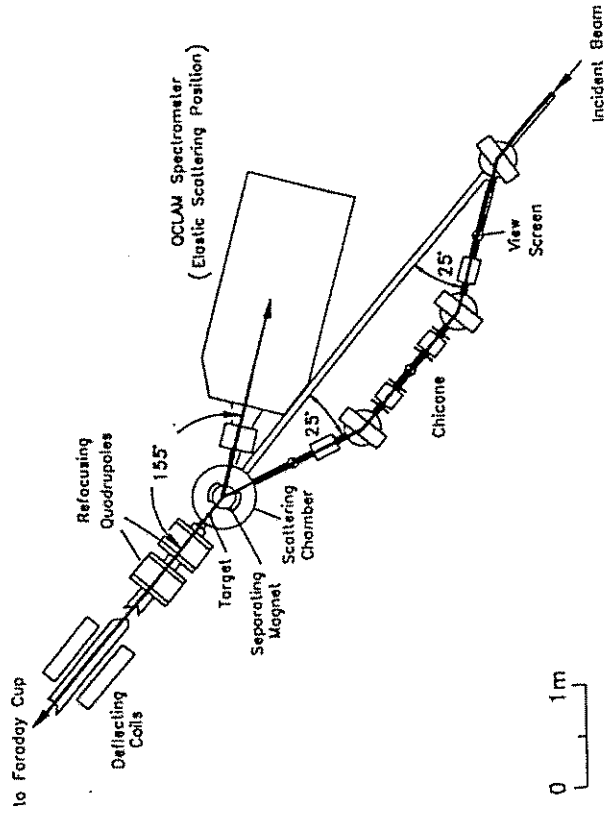
$$\frac{d\sigma}{d\Omega} = \frac{d\sigma}{d\Omega_{\text{Mott}}} \left[ |F_C(q)|^2 + \left( \frac{1}{2} + \tan^2 \frac{\Theta}{2} \right) (|F_E(q)|^2 + |F_M(q)|^2) \right]$$

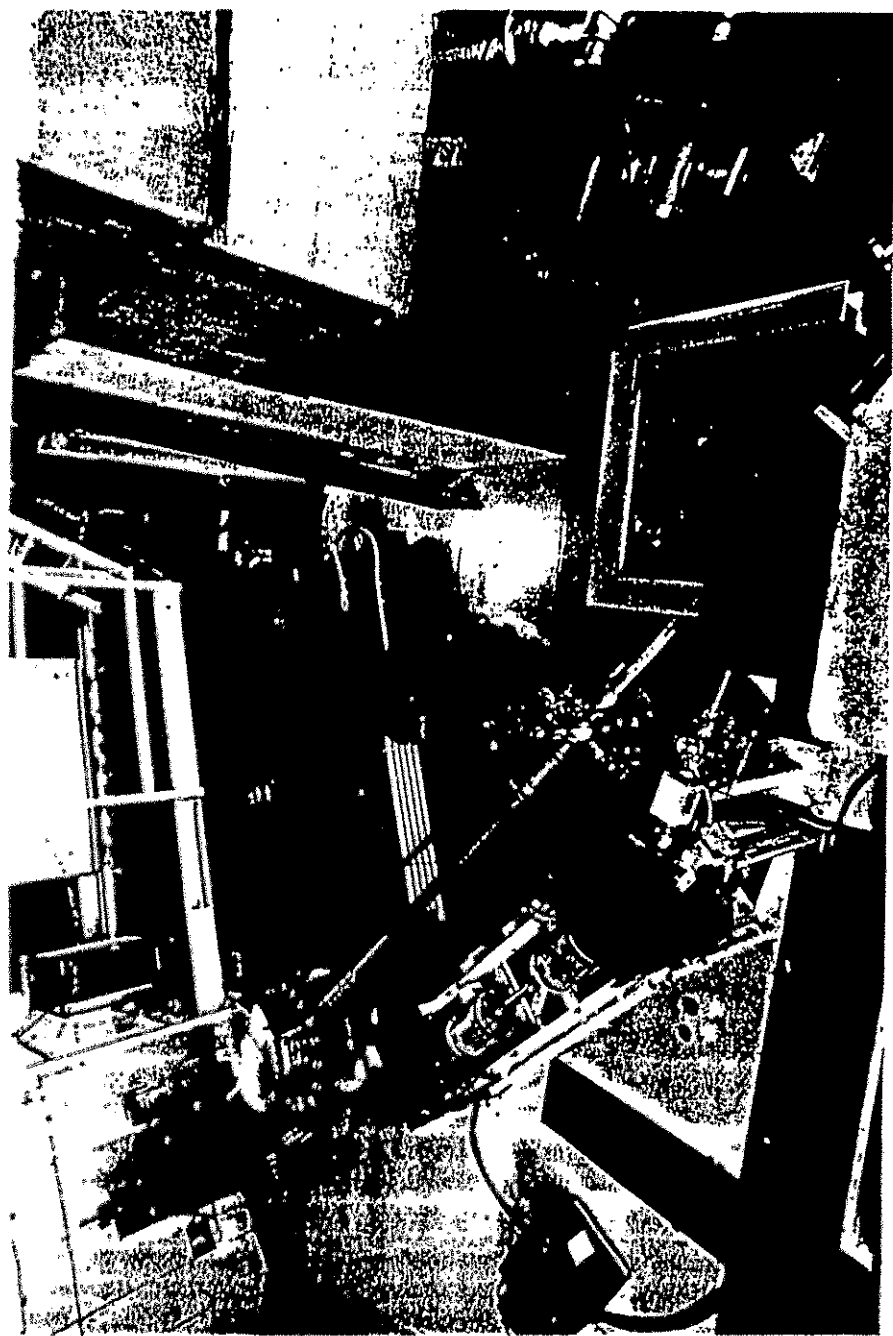
$$\frac{d\sigma}{d\Omega_L} = \left( \frac{Ze^2}{E_0} \right)^2 \frac{\cos^2(\Theta/2)}{4 \sin^4(\Theta/2)} |F_C(q)|^2$$

$$\frac{d\sigma}{d\Omega_T} = \left( \frac{Ze^2}{E_0} \right)^2 \frac{1 + \sin^2(\Theta/2)}{8 \sin^4(\Theta/2)} (|F_E(q)|^2 + |F_M(q)|^2)$$



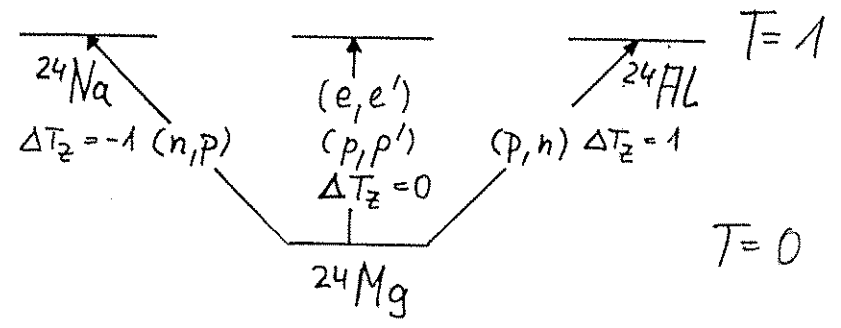
## 180°-System schematic Layout





Meson Exchange Current Enhancements of Isovector  
M1 Strength in Complex Nuclei

(R. Richter et al., PRL 65 (1990) 2519)

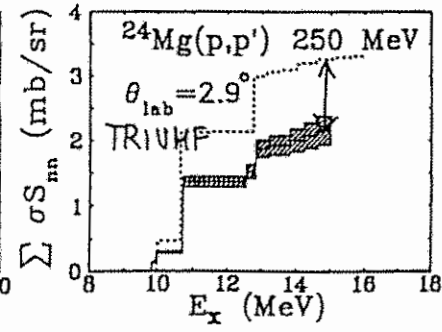
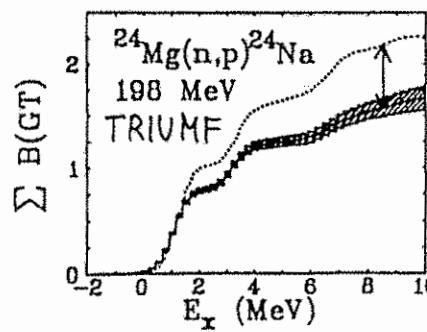
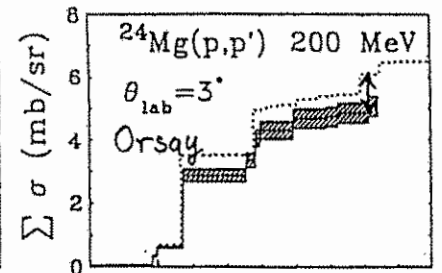
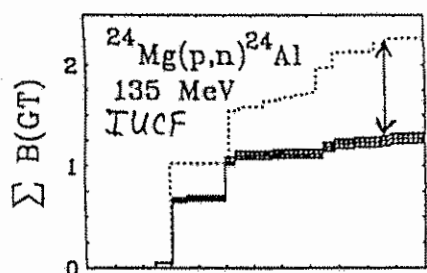
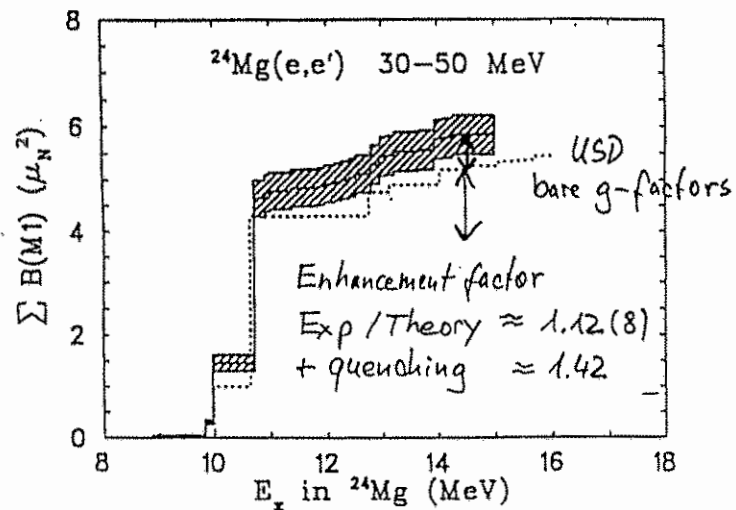


$$(e, e') \rightarrow B(M1) = [M(\sigma) + M(e) + M_{\Delta} + \overset{\text{Large}}{M_V^{MEC}}]^2 \frac{3(\mu_p - \mu_n)}{8\pi}$$

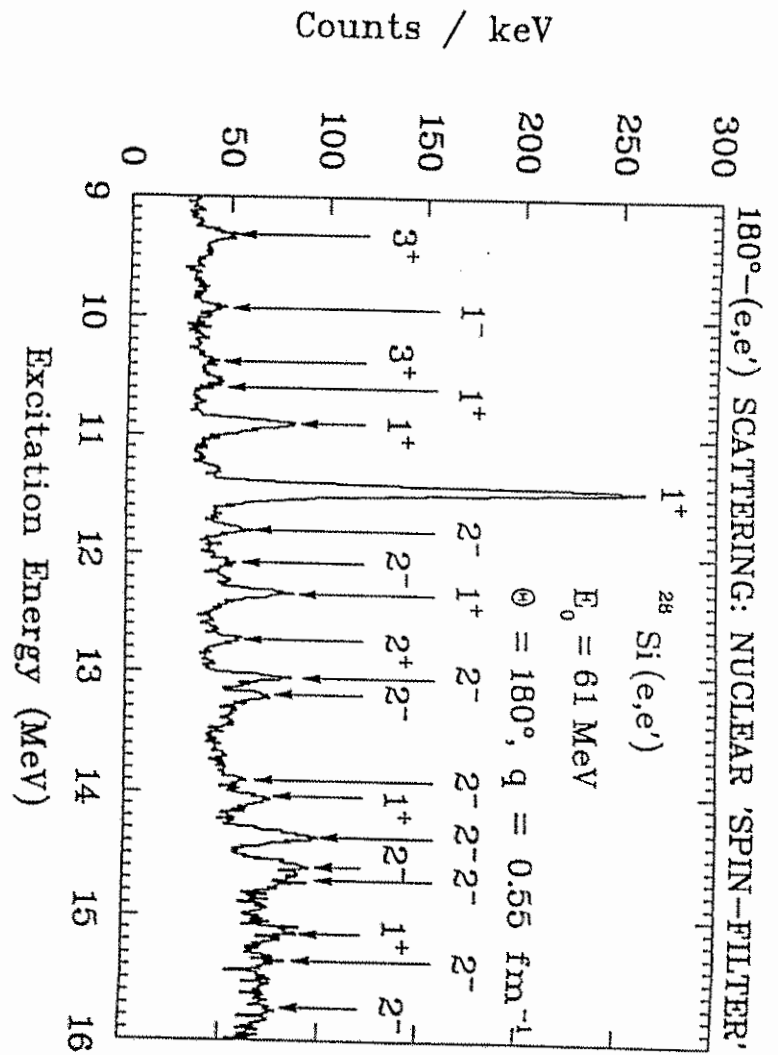
$$\left. \begin{matrix} (p, p') \\ (p, n) \\ (n, p) \end{matrix} \right\} \rightarrow B(GT) = [M(\sigma) + M_{\Delta} + \overset{\text{small}}{M_F^{MEC}}]^2$$

→ R(M1/GT) measures M(e) and M<sub>V</sub><sup>MEC</sup>  
 ↑  
 Predictable in sd-shell

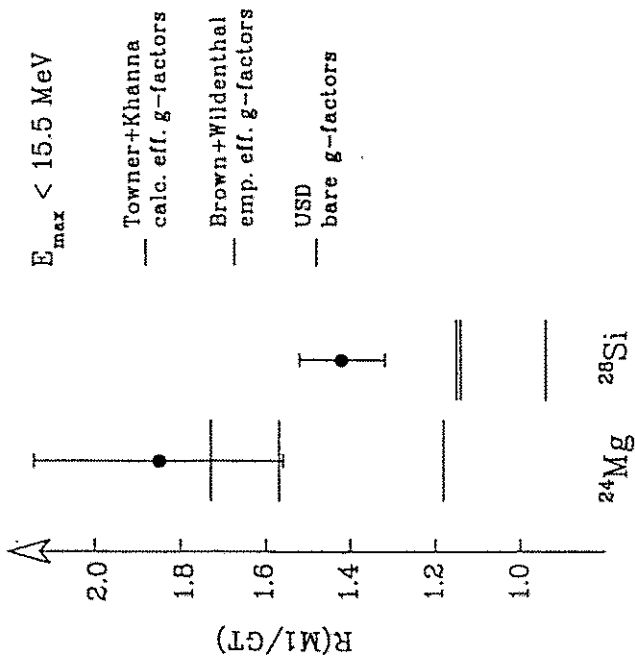
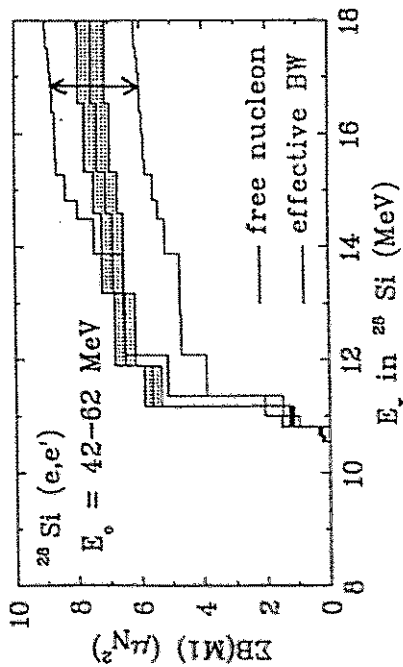
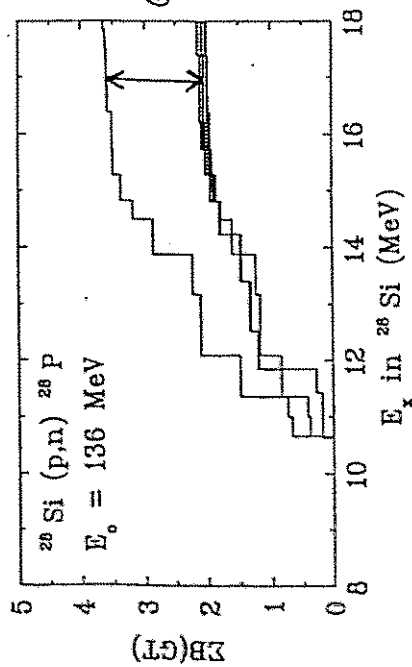
### Running Sums of M1 and GT Strength in $^{24}\text{Mg}$



↑ quenching factor  $\text{Exp/Theory} = 0.72(10)$



# Running Sums for GT- and M1-Transitions



— Towner+Khanna  
 calc. eff. g-factors

— Brown+Wildenthal  
 emp. eff. g-factors

— USD  
 bare g-factors

$$M1_{eff} = g_s S + g_L L + g_0 [\delta_s S + \delta_L L + \delta_P P]$$

$$GT_{eff} = (1 + \delta_s) S + \delta_L L + \delta_P P$$

- Enhancement for effective g-factors
- $^{28}\text{Si}$  g.s. correlations?

## Ausblick

- Riesenresonanzen in  $^{48}\text{Ca}(e,e'x)$
- Ladungsradius, elektrische und magnetische Formfaktoren des Deuterons
- $(e,x)$  Reaktionen (Astrophysik)
- Feinstruktur der Spin-Flip M1 Resonanz  
-  $^{154}\text{Sm}(\gamma,\gamma')$  mit EUROBALL Cluster
- M1, M2, M3 Resonanzen in schweren Kernen

## Experimente an e-Beschleunigern (Koordinator: J. Arends)

1. **H. Ströher** (Giessen)  
Untersuchung von  $N^*$  -Resonanzen mit  $\eta$ -Photoproduktion
2. **P. Grabmayr** (Tübingen)  
( $\gamma, NN$ )- Experimente an leichten Kernen
3. **H. Genz** (Darmstadt)  
Nutzung des S-DALINAC für neuere Entwicklungen in der Strahlungsphysik
4. **H. Jüngst** (Bonn)  
Messung der Reaktionen  $\gamma p \rightarrow K^+ \Lambda$  und  $\gamma p \rightarrow K^+ \Sigma^0$  von der Schwelle bis 2.0 GeV mit SAPHIR an ELSA
5. **A. Richter** (Mainz)  
Elektropionproduktion  $H(e, e' \pi^+)$  an der Dreispektrometeranlage an MAMI



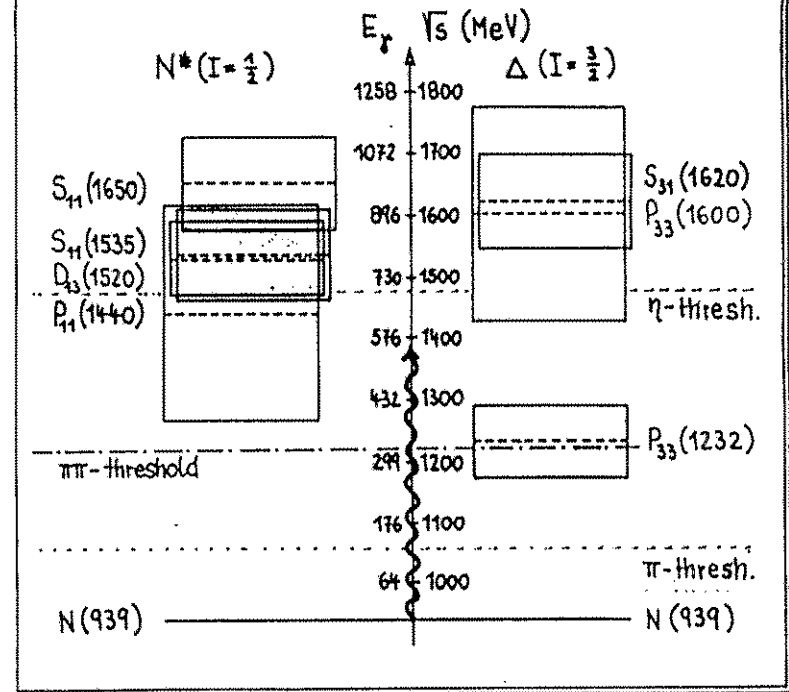
## Untersuchung von $N^*$ -Resonanzen mit $\eta$ -Photoproduktion

H. Ströher (für TAPS- und A2-Kollaboration)  
Arbeitsstreifen Mittelenergiephysik  
Pirna, Okt. '94

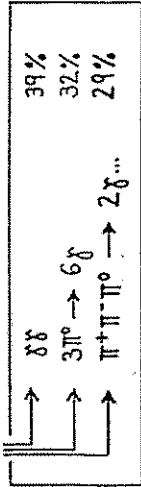
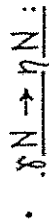
- 1) Einführung
- 2) Experiment
- 3) Ergebnisse: Proton  
Deuteron  
kompl. Kerne
- 4) Zusammenfassung, Ausblick

## Experimente - 3

- Motivation: Studium von Nukleonen-Resonanzen



$\eta$  - Photoproduktion  
Einführung



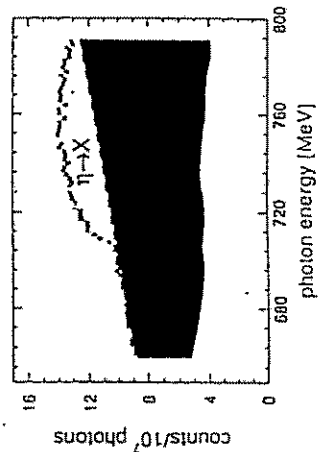
a) bekannte Einschüßenergie:

MAMI @ GM-tagger

b) Photonenspektrometer:

TAPS

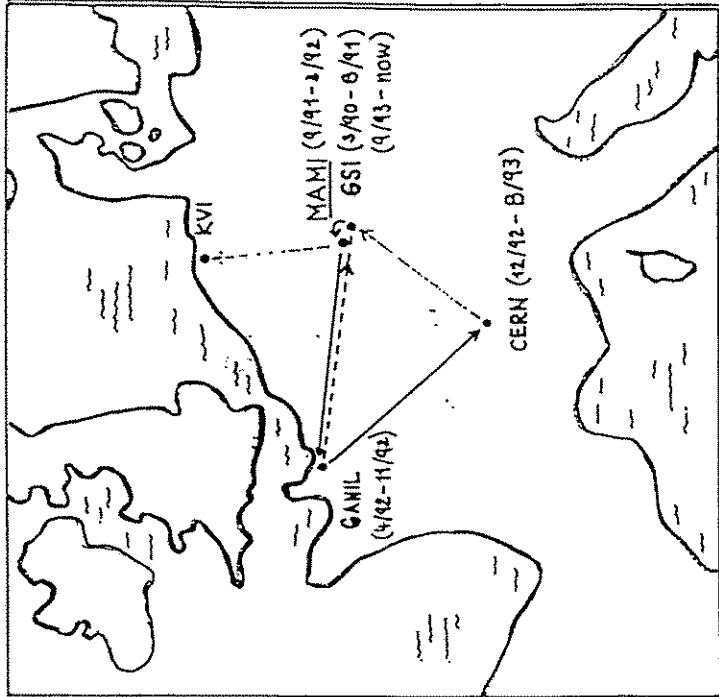
excitation function of 2- $\gamma$ -events



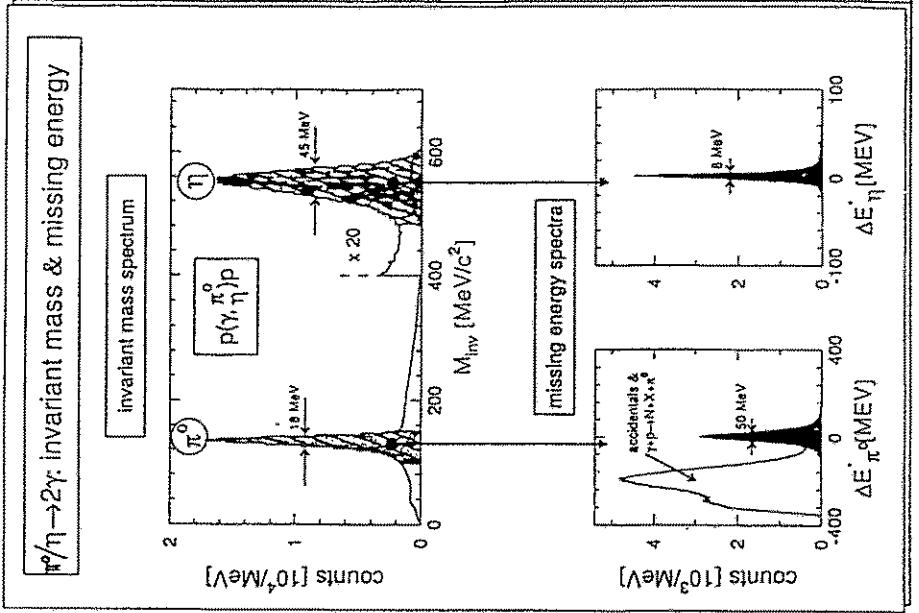
TAPS

"portable"

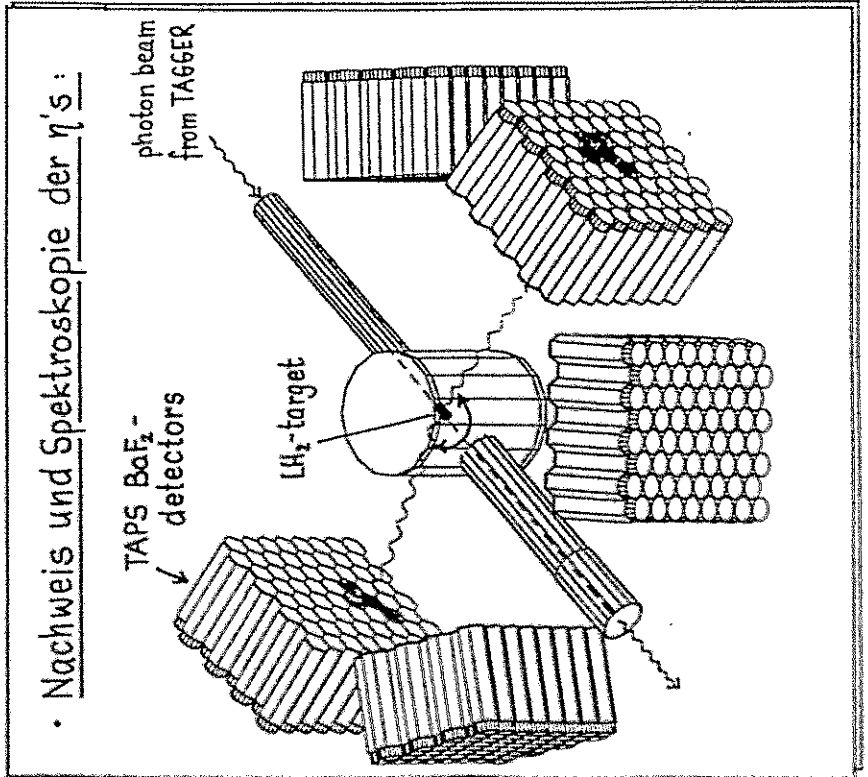
↳ "TRAVEL AROUND PIOTON SPECTROMETER."



Eta - Photoproduction on Nucleon  
Expt'l Results



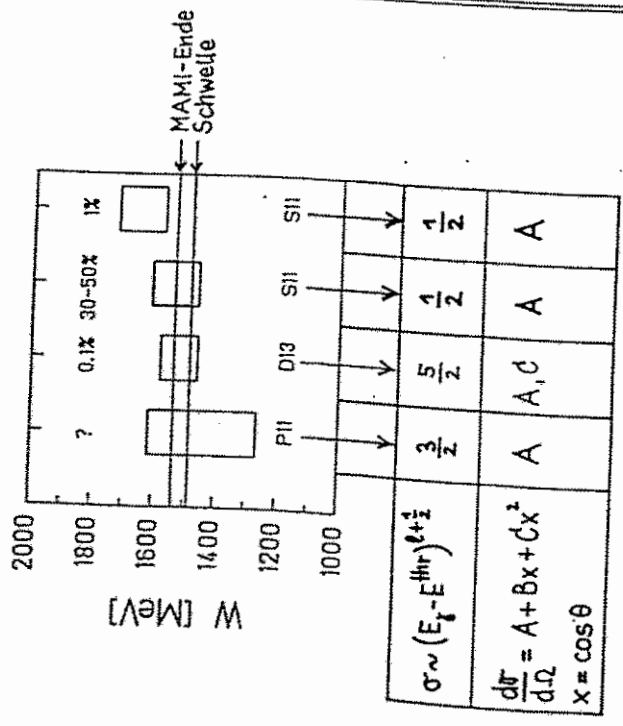
$\eta$  - Photoproduction  
Experiment



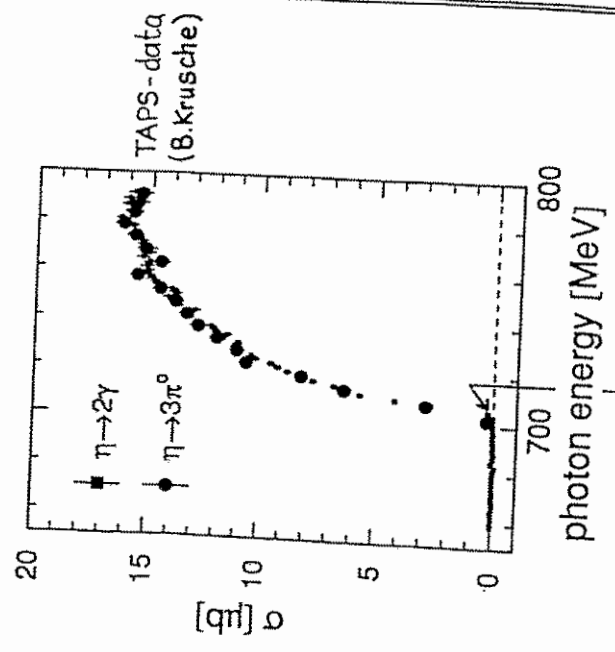
# η - Photoproduction Analyse

# Eta - Photoproduction on Nucleon Results

• Welche Resonanzen tragen bei ?



• total cross section:  $p(\gamma, \eta)p$



$$m_\eta = (547.22 \pm 0.09 \pm 0.25) \text{ MeV}$$

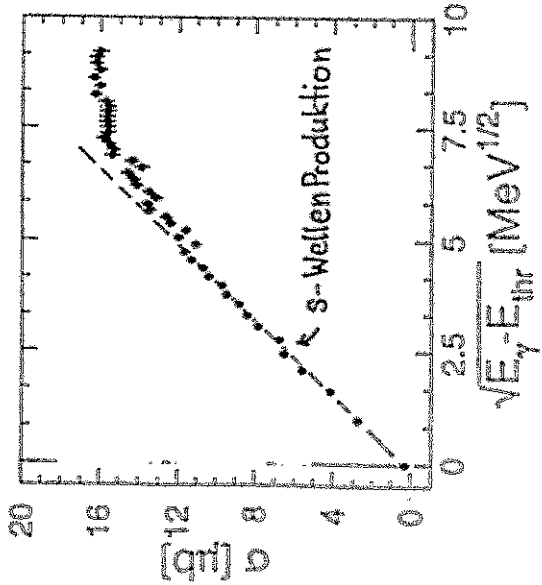
# Experimente - 3

## Eta - Photoproduction on Nucleon Results

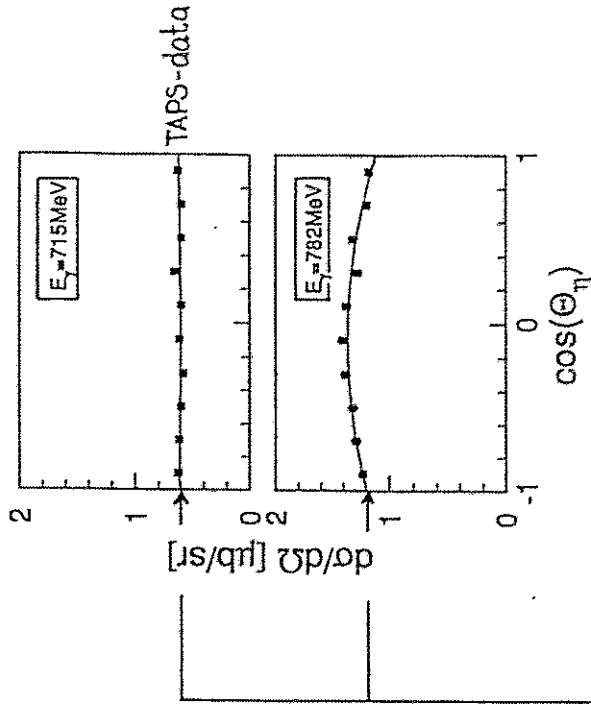
• Analyse: Welche Resonanz?

$$\sigma \sim (E_\gamma - E_{thr})^{\ell + \frac{1}{2}}$$

$$\begin{cases} (E_\gamma - E_{thr})^{1/2} & \ell = 0 ; S_{11} \\ (E_\gamma - E_{thr})^{3/2} & \ell = 1 ; P_{11} \\ (E_\gamma - E_{thr})^{5/2} & \ell = 2 ; D_{13} \end{cases}$$



• diff. cross sections:  $p(\gamma, \eta)p$



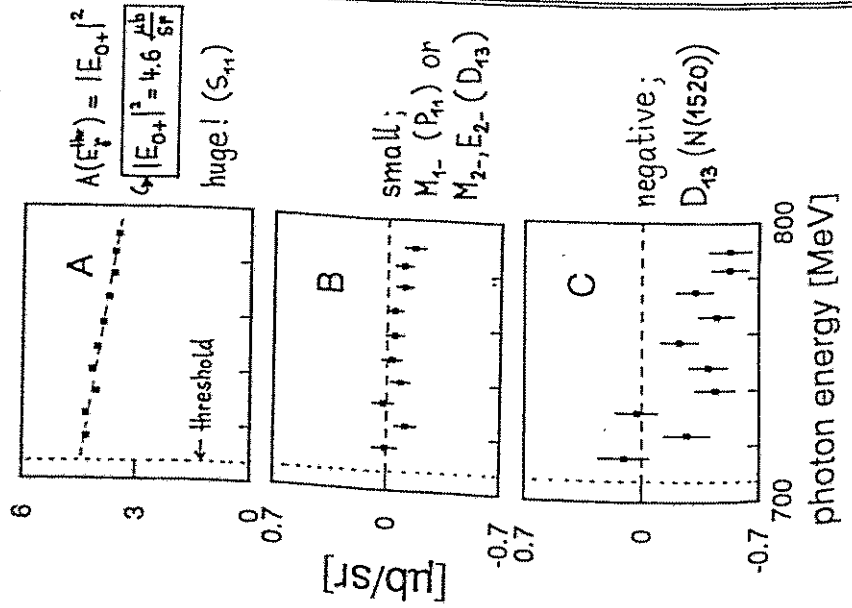
$$\frac{K_Y}{q_\eta} \frac{d\sigma}{d\Omega} = A + B \cos(\Theta_\eta^*) + C \cos^2(\Theta_\eta^*)$$

↑ ↑ ↑  
"physics"

Eta - Photoproduction on Nucleon  
Results

eta - Photoproduction  
Kerne

• angular distribution coefficients:



• Übergang - freies Nukleon  $\rightarrow$  gebundenes N:

a) quasifreie Produktion:



- Bindungsenergie
- Fermibewegung
- Pauli - Blocking  $N^* \rightarrow N\eta$
- 2 Stufenprozesse  $\gamma\pi \& \pi\eta$
- zusätzliche Zerfallskanäle  $N^*N \rightarrow NN$
- Absorption  $\eta N \rightarrow N^* \rightarrow N\pi$

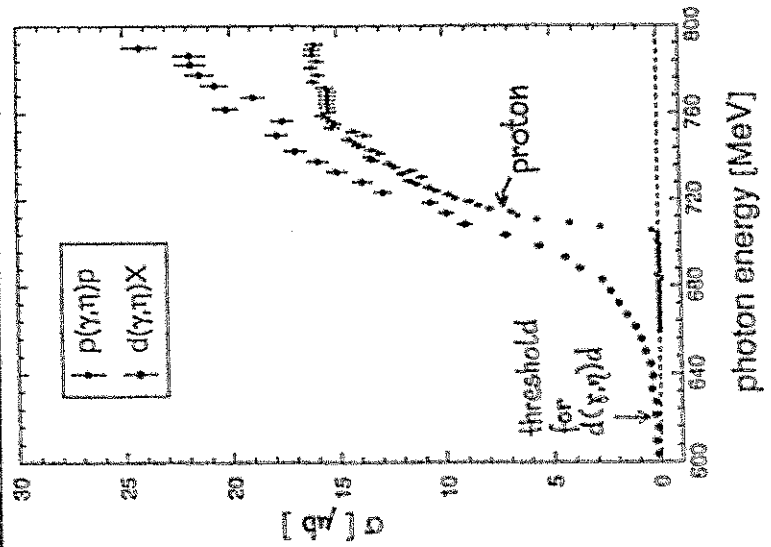
b) kohärente Produktion:



$\hookrightarrow$  kompliziert!

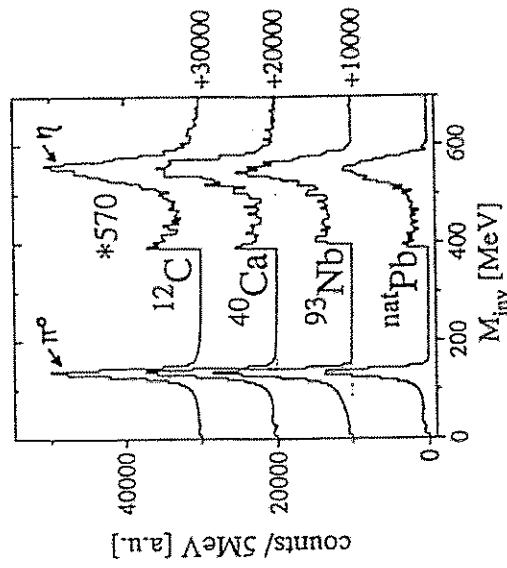
## Eta-Photoproduction on Deuterium Results

• total cross section:  $d(\gamma, \eta)X$



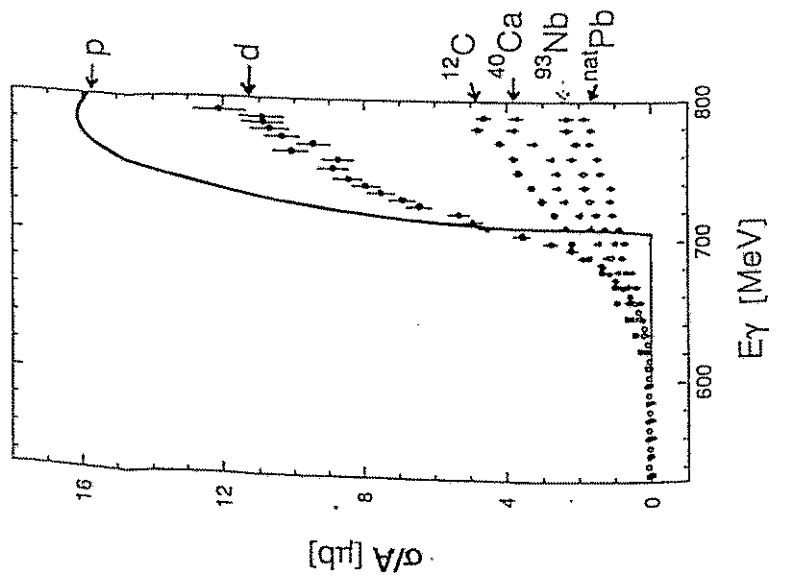
## Eta-Photoproduction on Nuclei Results

• invariant mass spectra:



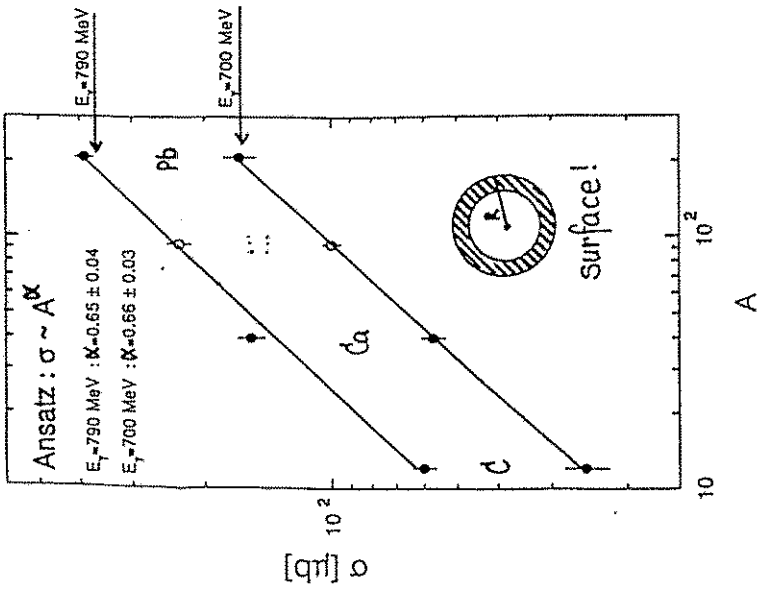
Meson Photoproduction Results

total cross sections for  $A(\gamma, \eta)X$ :



Meson Photoproduction Results

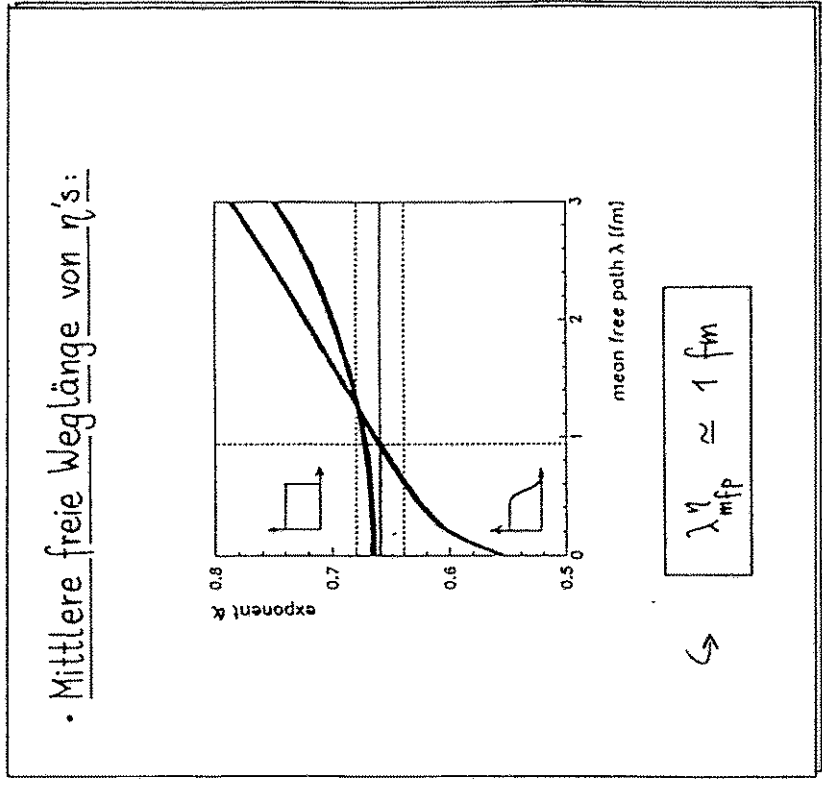
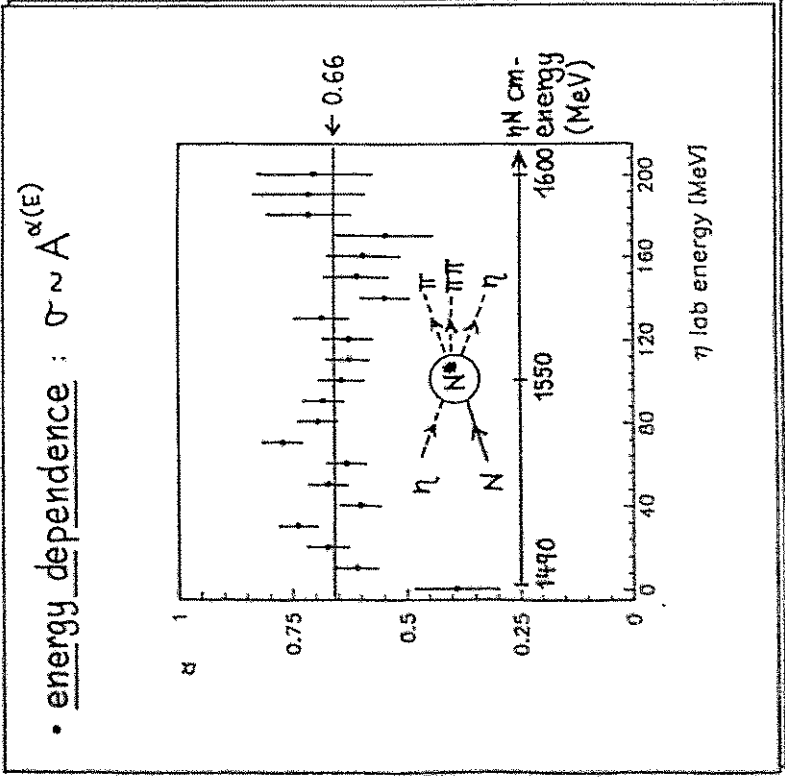
A-dependence of  $\eta$ -production:





Eta - Photo production on Nuclei  
Results

$\eta$  - Photoproduction  
Analyse



Photoproduction of  $\eta$ 's ...  
Summary, Outlook

- TAPS-experiments @ MAMI  
( $E_\gamma = E_\gamma^{\text{thr}} \dots 790 \text{ MeV}$ )
- nucleon:
  - $S_{11}$  (1535) - dominance
  - small contributions from  $P_{11}$ ,  $D_{13}$
  - $\eta$ -mass
- deuteron:
  - Fermi motion
- nuclei: (C, Ca, Nb, Pb)
  - absorption
  - surface production

• OUTLOOK:

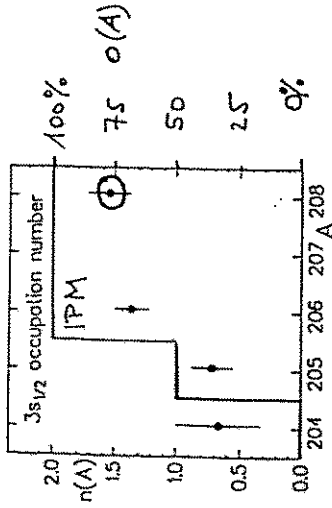
TAPS  $\rightarrow$  MAMI in 1995

# MOTIVATION



quasifrei ( $e, e'p$ )

EINTEILCHEN EIGENSCHAFT



CERES - METHODE

Besetzungs wakt. sch.

$O(3s) \sim 75\%$

Frog. Part. Nucl. Phys 29 (92) 257  
Phys. Rev C 49 (94) 2971

( $\gamma, NN$ ) EXPERIMENTE  
AN LEICHTEN KERNEN

P. GRABMAYR  
UNIVERSITÄT TÜBINGEN

PIRMA, 7. OKT. 1994

• ABWEICHUNG VOM IPM.

→ KORRELATIONEN

• BINDUNGSENERGIE VON KERNEN

[H. Müther et al. Phys. Rev. C 49 (94) 633]

OBER aus NN Streuung + rel. k.

+ KORRELATIONEN

→ REAKTIONSMCHANISMEN DER

PHOTO ABSORPTION

VIELTEILCHENSYSTEM ATOMKERN

NN - KORRELATIONEN

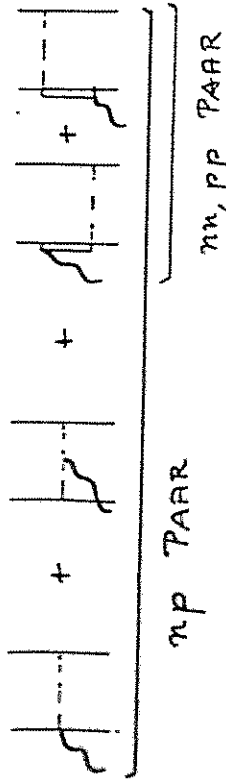
PHOTOABSORPTION (MECHANISCHEN)

( $\gamma, NN$ ) EXP. AN MAHI

PHOTOABSORPTION

QUASIDEUTERON PROZESS

2N - ABS.



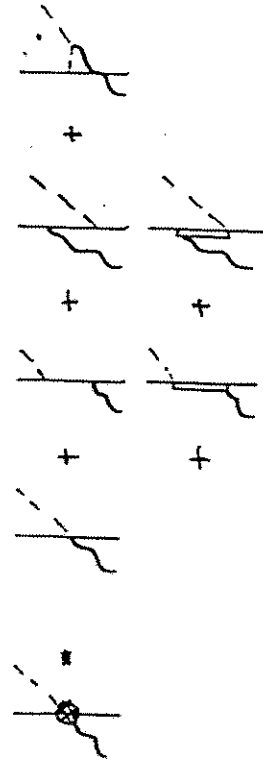
? KORRELATIONEN?

$$\frac{\sigma_{pp}}{\sigma_{np}} = \begin{cases} 0.05 & @ E_\gamma \sim 100 \text{ MeV} \\ 0.20 & @ E_\gamma \sim 400 \text{ MeV} \end{cases}$$

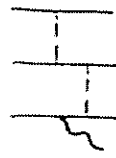
(GIUSTI, RYCKEBUSCH)

AUSSERDEM

1N - ABS.



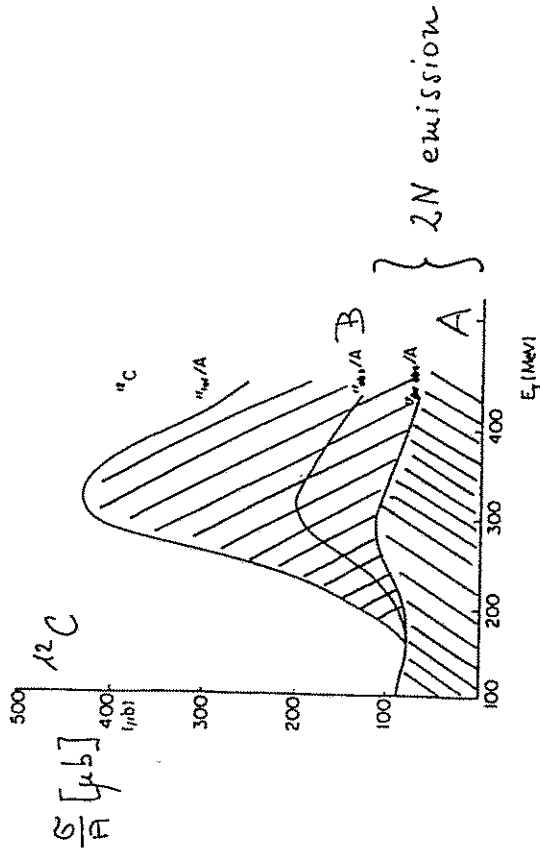
3N - ABS



(CARRASCO, OSET)

TOTAL CROSS SECTION

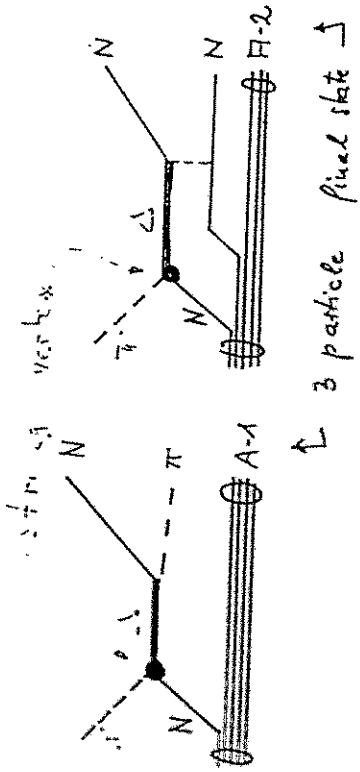
CARRASCO & OSET NPA536(92)445



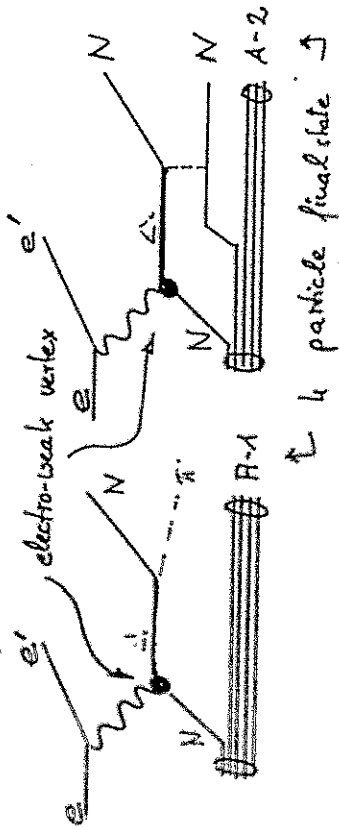
A: genuine body absorption

B: quasifree  $\pi$  production (body)

a)  $\gamma$   $\pi^0$   $\pi^0$   $\pi^0$ :



b) with  $\gamma$ 's &  $\gamma$ 's:

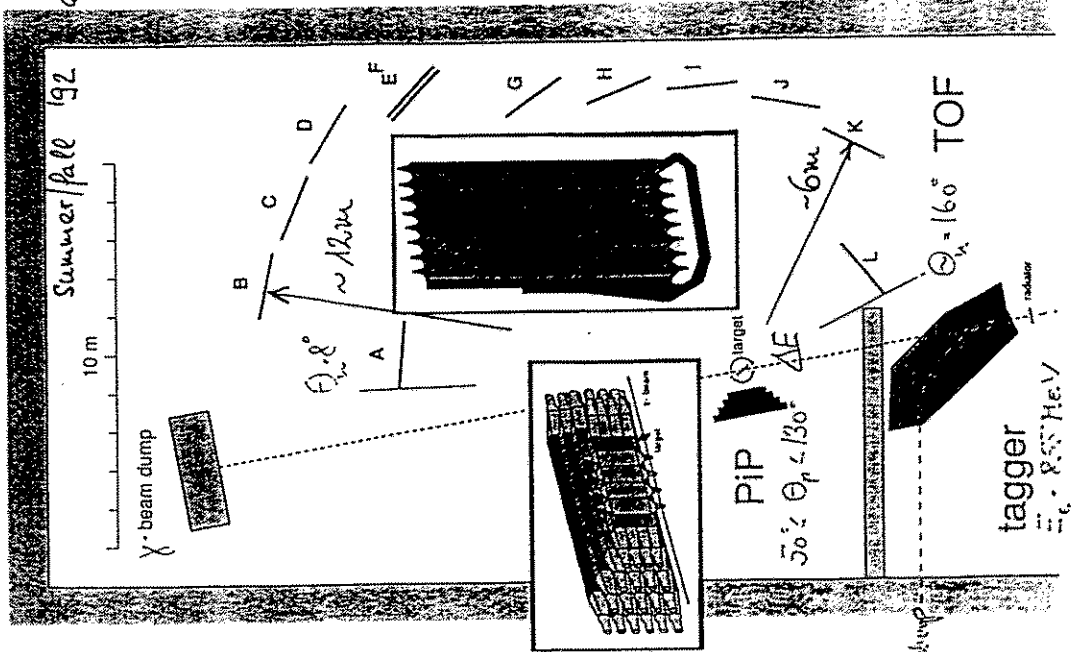


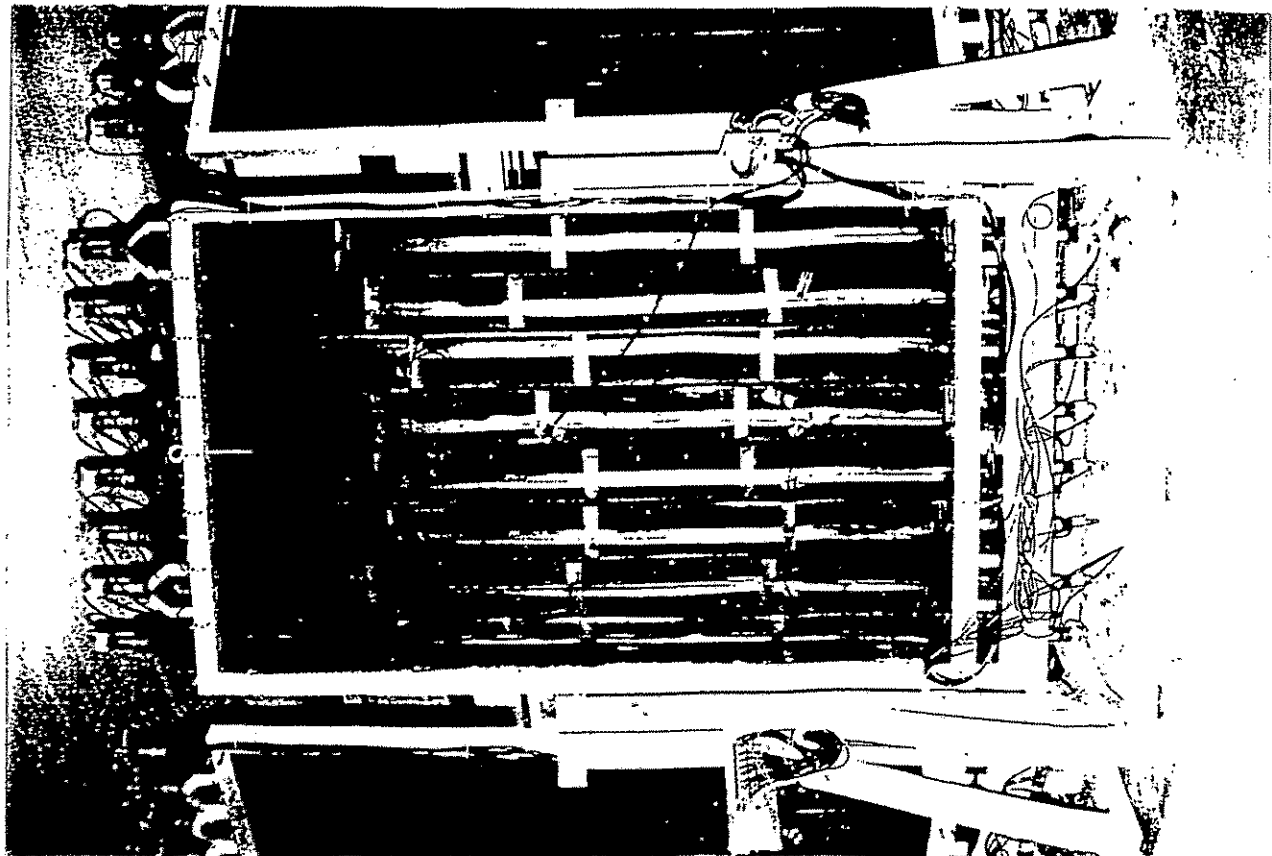
$(\pi^0, \pi^0)$  much easier than  $(\pi^0, \pi^0) / (\pi^0, \pi^0)$

i. fold vs. 3 fold coinc.  
 ii. strong vs. d-weak vertex

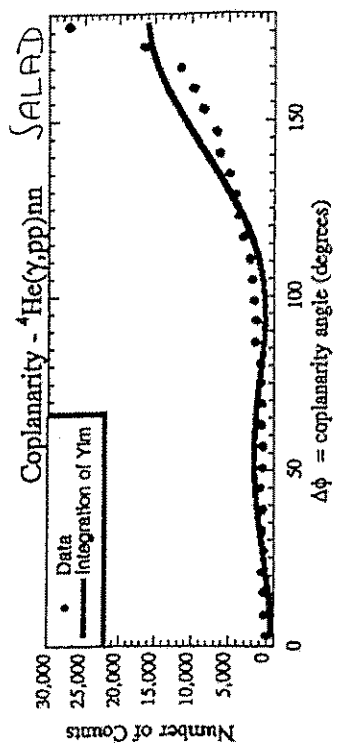
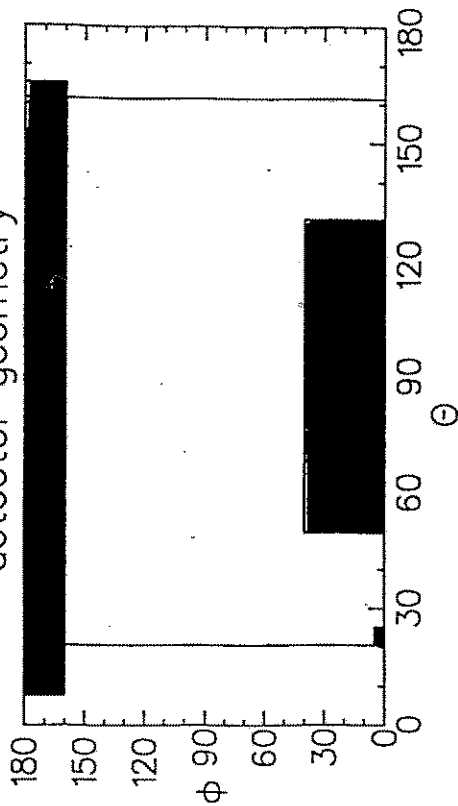
iii. strong interaction not understood, process limited, dominated

# A2-HALL IN MAINZ



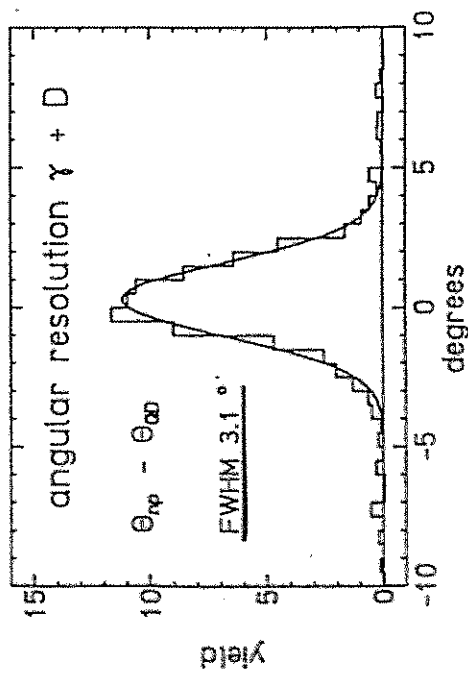
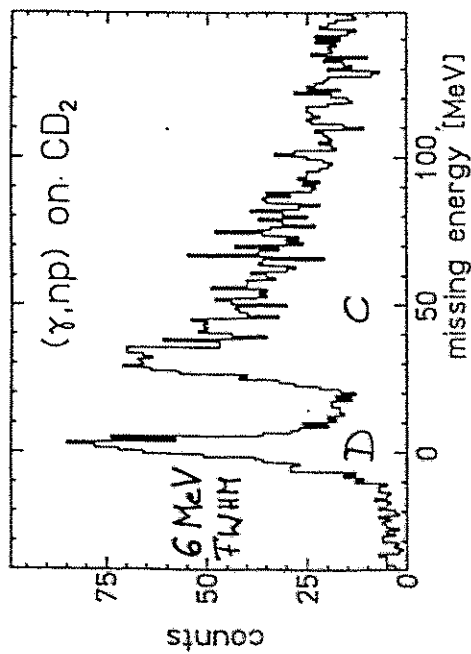


detector geometry

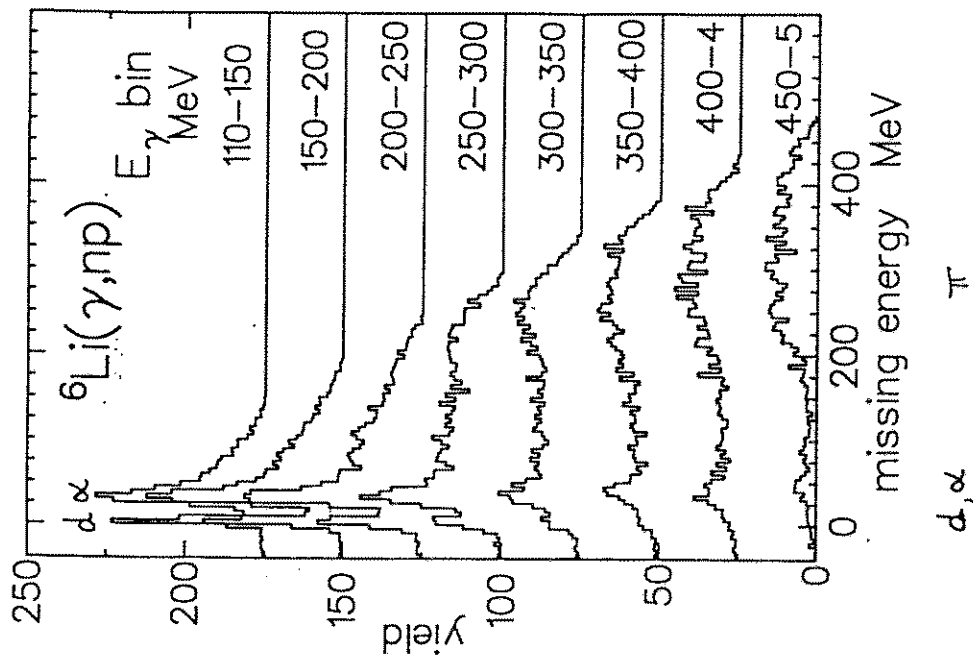


3-fold coincidence: e-n-p

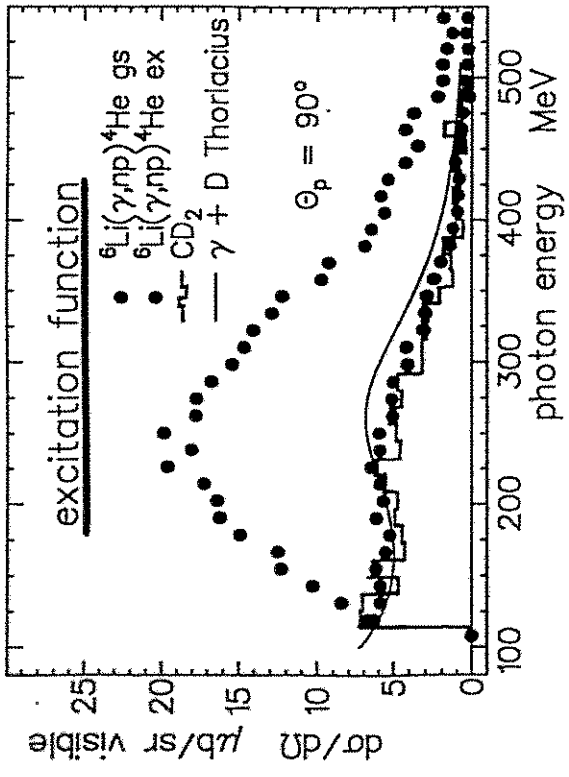
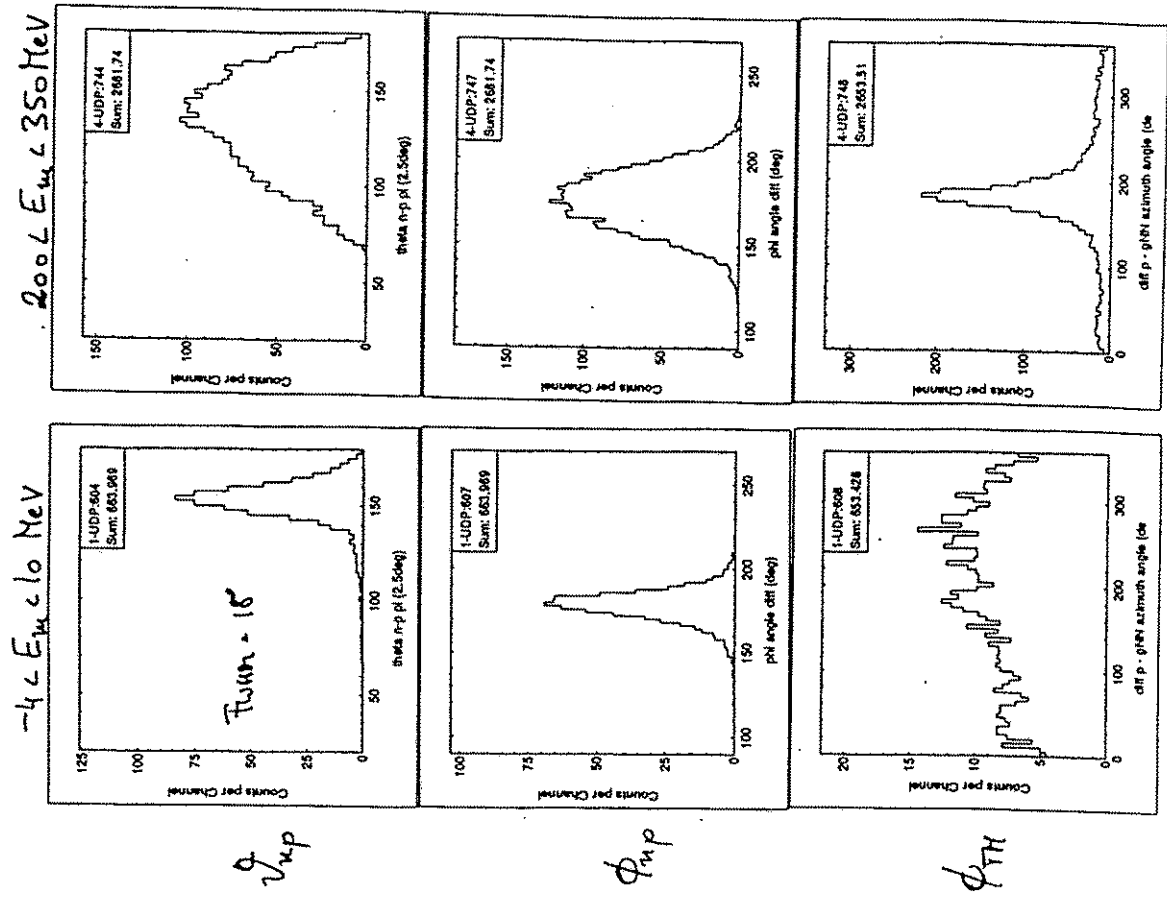
$$E_m = E_\gamma - T_n - T_p - T_R$$



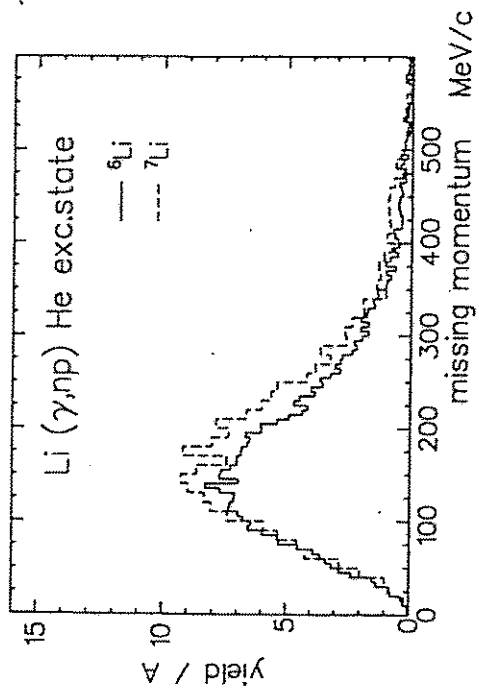
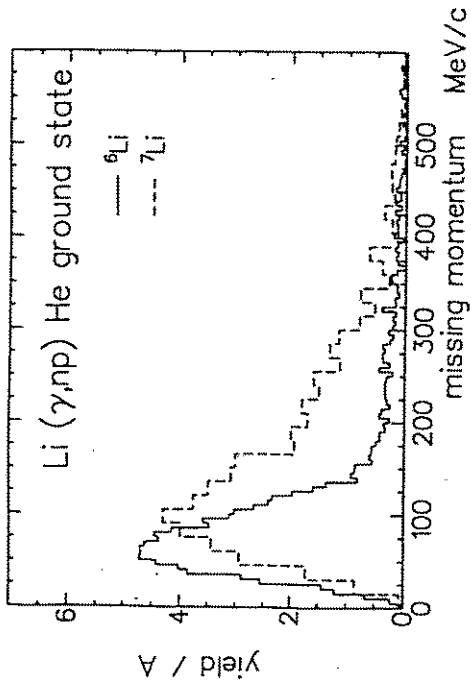
$\Delta p_m \sim 15 \text{ MeV}/c$



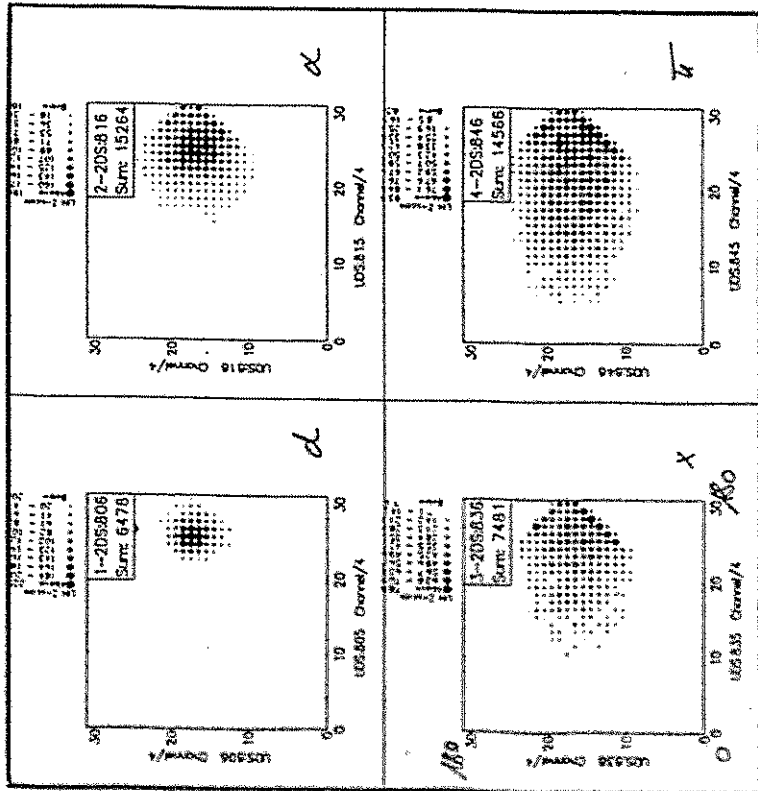
# ${}^6\text{Li}(\gamma, np)$





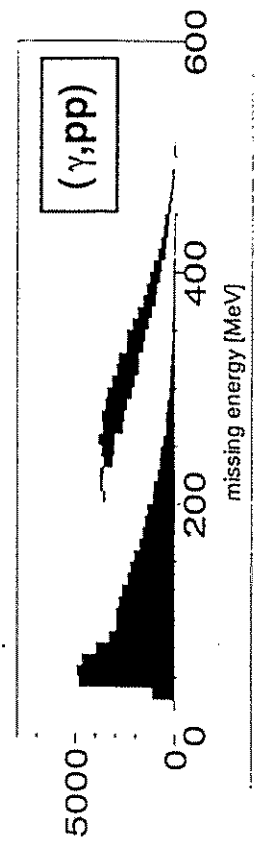
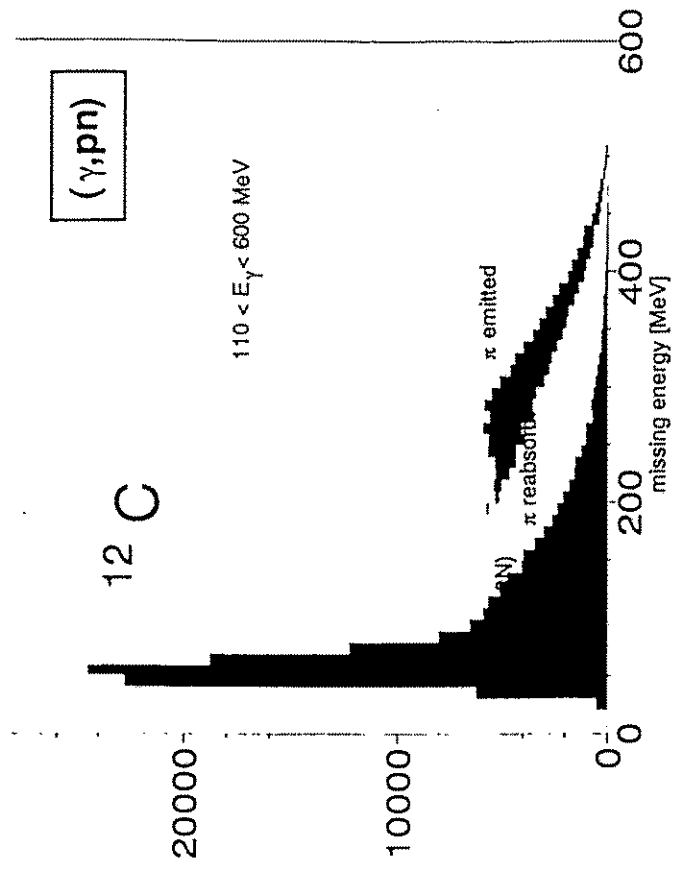
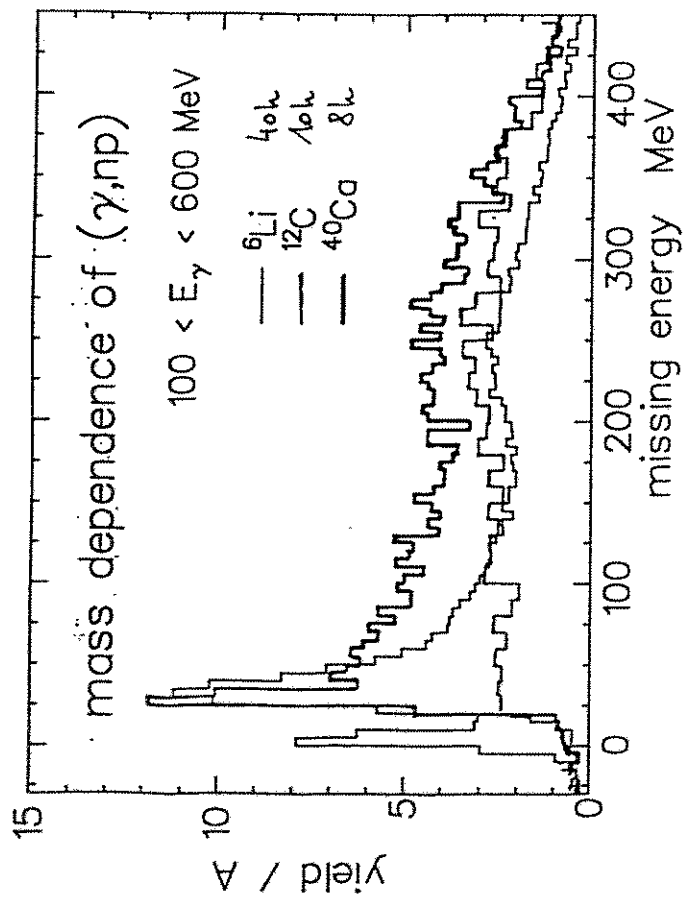


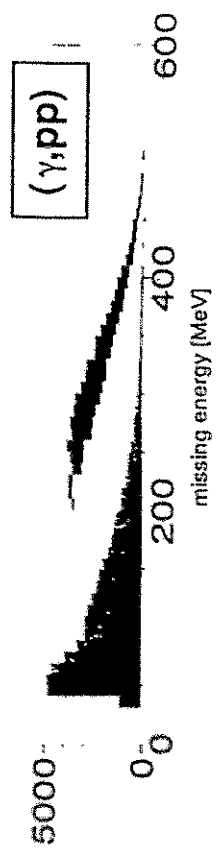
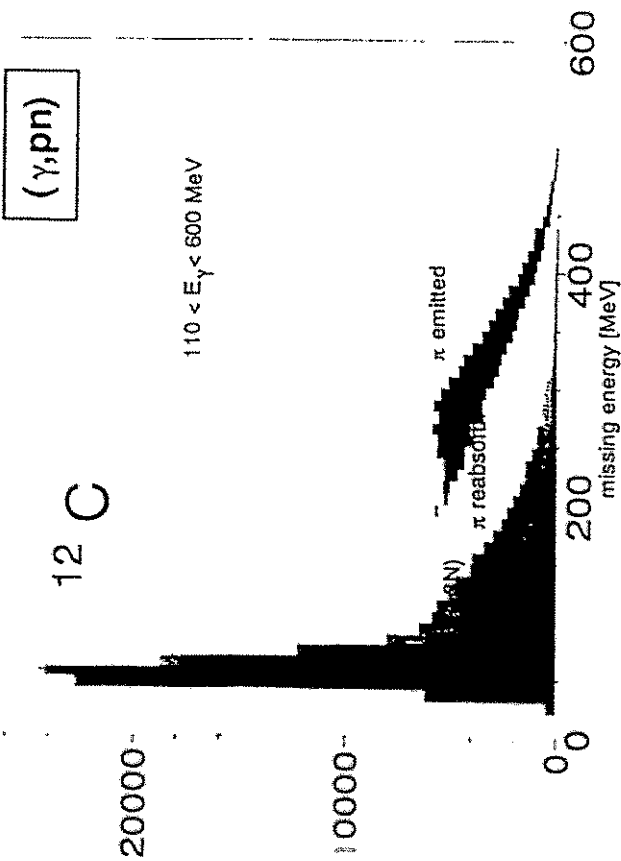
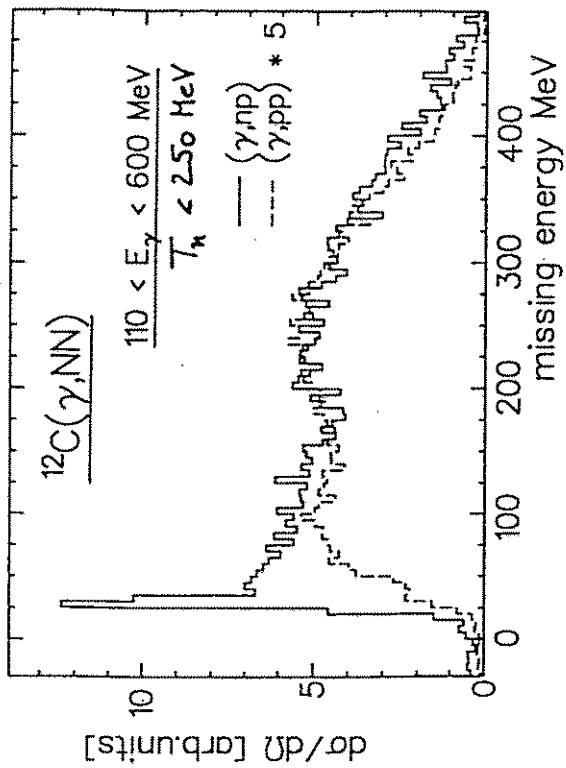
${}^6\text{Li}(\gamma, np)$



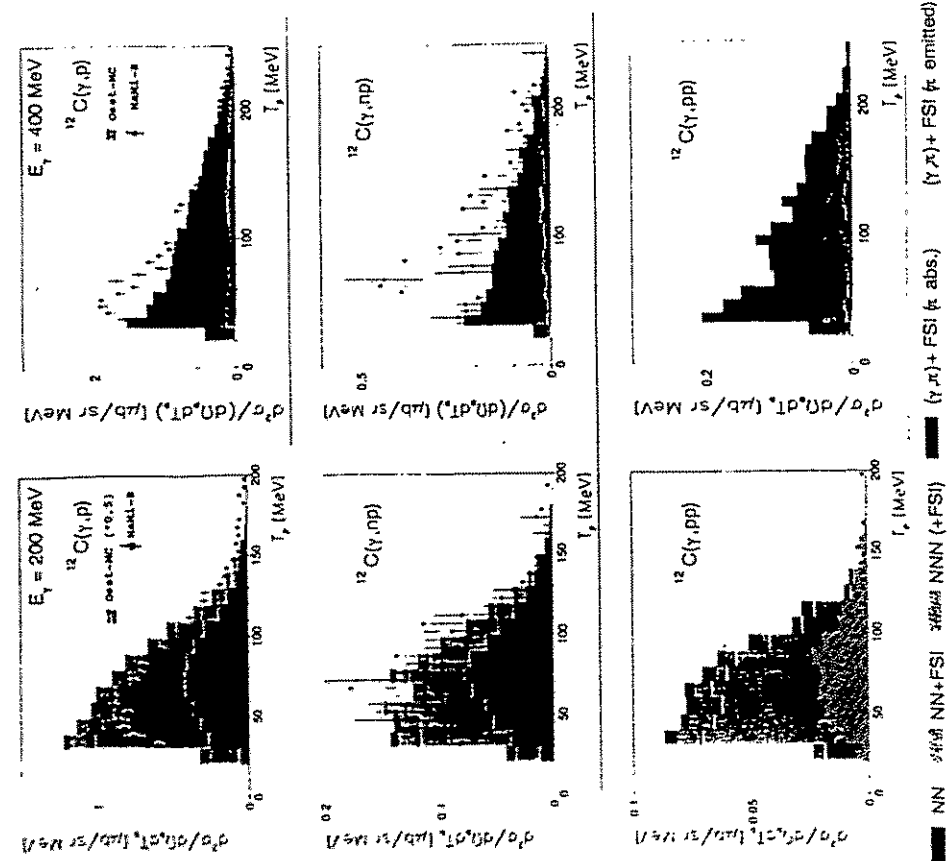
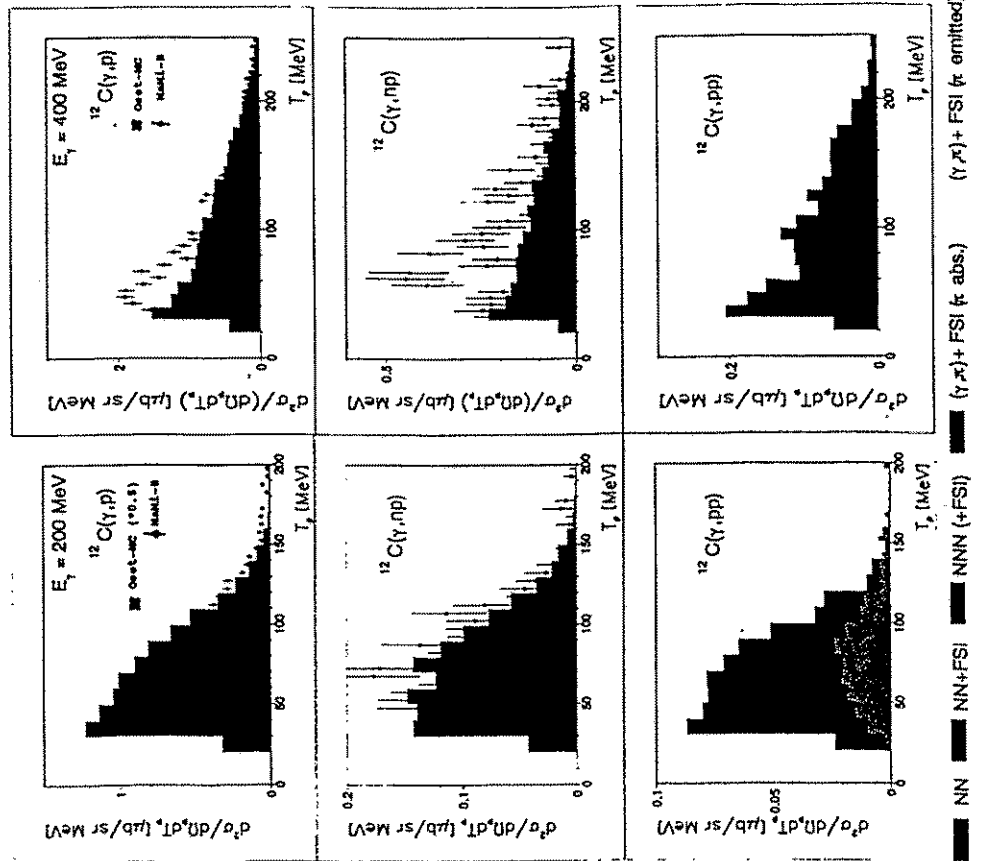
$\rightarrow \alpha, np$

DETECTOR ACCEPTANCES

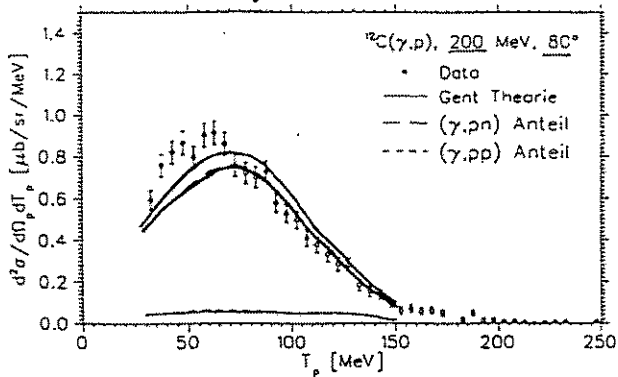




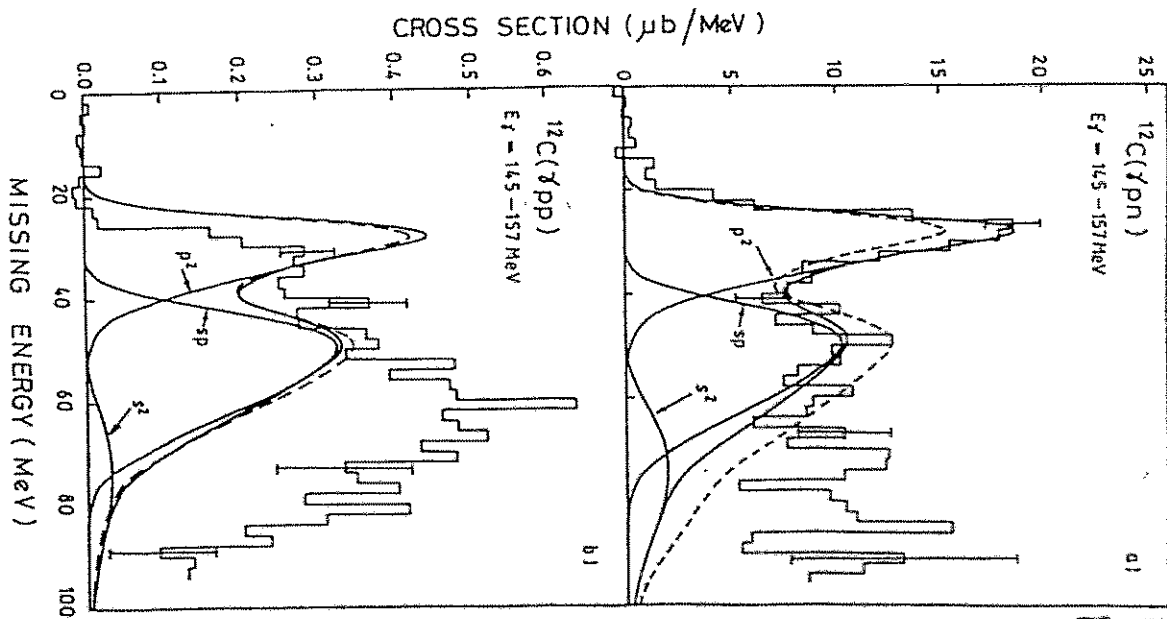
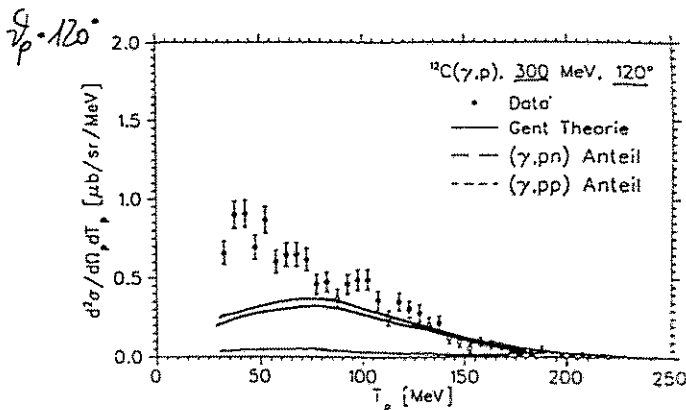
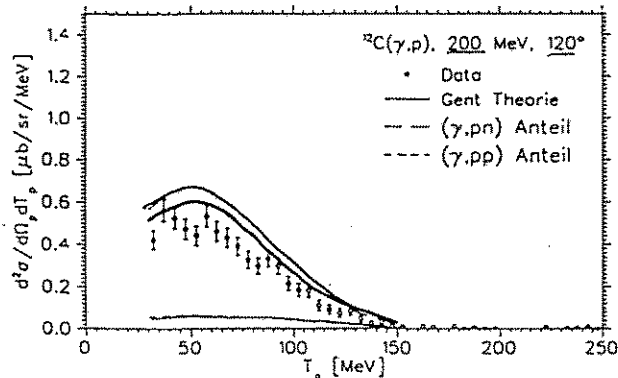
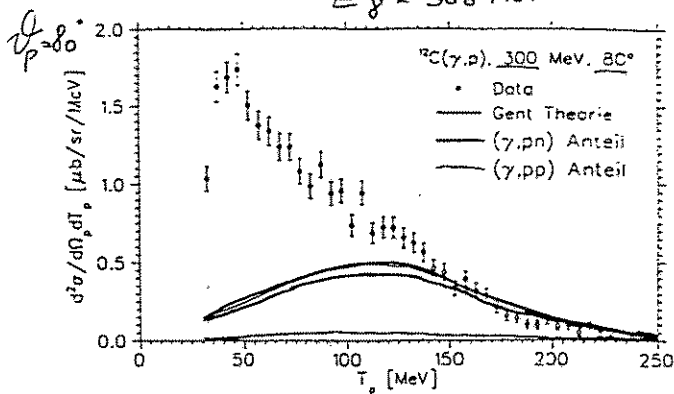
$T_p$  spectra at  $\Theta_p = 80^\circ \pm 10^\circ$ , compared to Oset code



$E_\gamma = 200 \text{ MeV}$

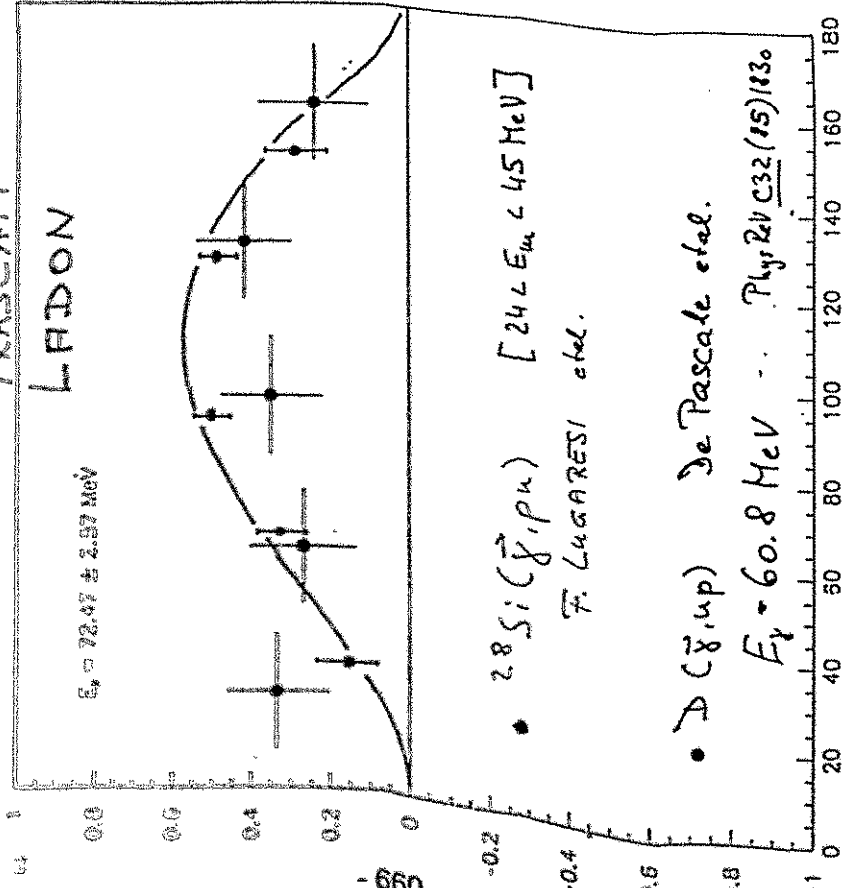


$E_\gamma = 300 \text{ MeV}$



MAMI R  
H. Georig et al.

FRASCATI  
LEADON



SUMMARY

- ( $\gamma, 2N$ ) data of high quality    low background
- large solid angle detectors ( $\sim 1\text{sr}$ )
- large angular range  
 $(50 < \Theta_p < 130^\circ, 10 < \Theta_n < 160^\circ)$
- high flux of tagged photons within  
 $50 < E_\gamma < 800 \text{ MeV}$
- good resolution for missing energy  
 $\Delta E = 6 - 8 \text{ MeV (FWHM)}$
- separation of knockout of  $(1p)^2$  and  $(1p1s), (1s)^2$   
 pairs 'cold' residual
- separation of one- and two-body absorption
- 2N absorption seen up to  $E_\gamma \sim 400 \text{ MeV}$   
 angular distributions
- up to  $E_\gamma \sim 400 \text{ MeV}$  : PWIA valid

MMMI

Edinburgh

## OUTLOOK

- study of  ${}^4\text{He}$  as the densest nucleus  
angular and energy dependence
- employ polarisation  
 $\Sigma$  as signature of 2N-absorption
- detailed comparison between  $(\gamma, \pi N)$  and  $(\gamma, NN)$
- detailed comparison to  $(e, e'pp)$  and  $(e, e'np)$
- high resolution  ${}^{16}\text{O}(\gamma, np){}^{14}\text{N}$   
resolve g.state ( $S = 1, T = 0$ ) and  
2.13 MeV ( $S = 0, T = 1$ ) states.
- mass dependence

Glasgow

J.R.M. Annand, I. Anthony, G. Cross,  
S. Hall, P. Harty, J. Kellie, I. MacGregor,  
S. McAllister, J. McGeorge, G. Miller  
R. Owens, R. Watson, D. Watts, T. Yan

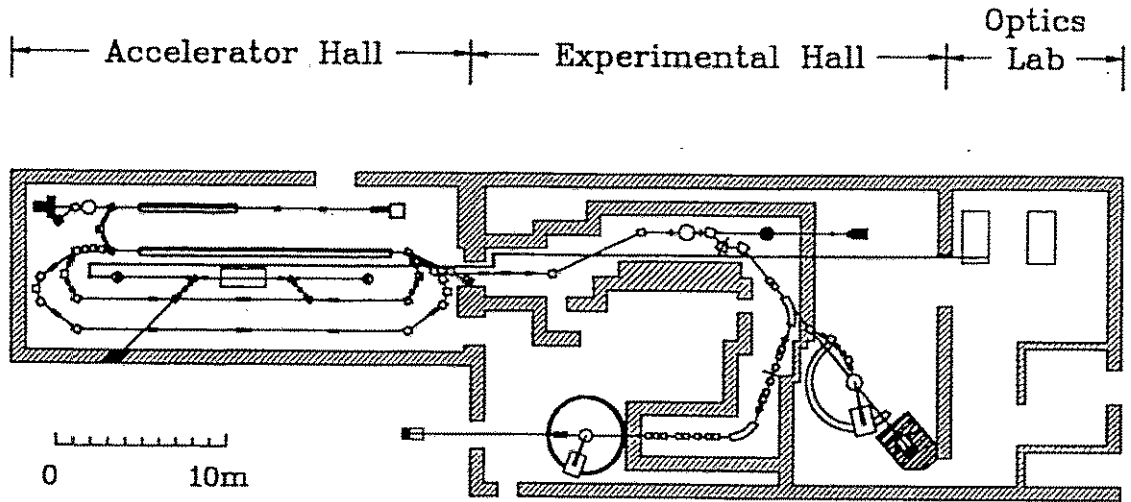
Tübingen

P. Grabmayr, T. Hehl, Th. Lamparter,  
J. Leyppoldt, A. Mondry, G. Mauser,  
M. Sauer, R. Schneider, K. Spaeth,  
G.J. Wagner

Grants:

EC, NATO, DAAD,  
SERC, BMFT, DFG

# S-DALINAC Facility with Experiments



## **ARBEITSTREFFEN**

### **Kern- und Teilchenphysik**

Pirna 04.-07. Oktober 1994

### **NUTZUNG DES S-DALINAC FÜR NEUERE ENTWICKLUNGEN IN DER STRAHLUNGSPHYSIK**

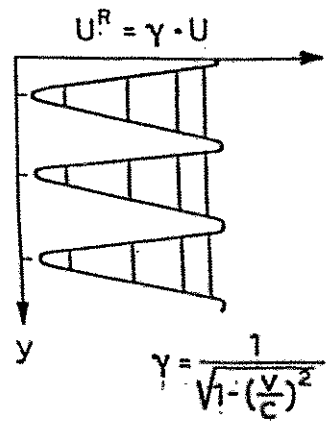
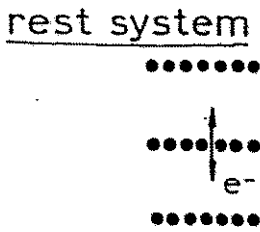
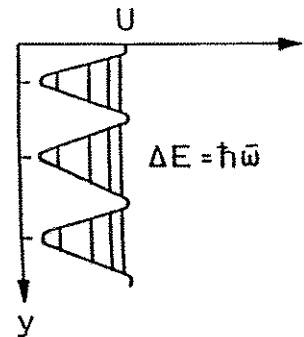
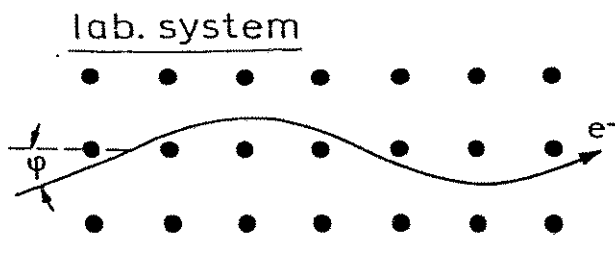
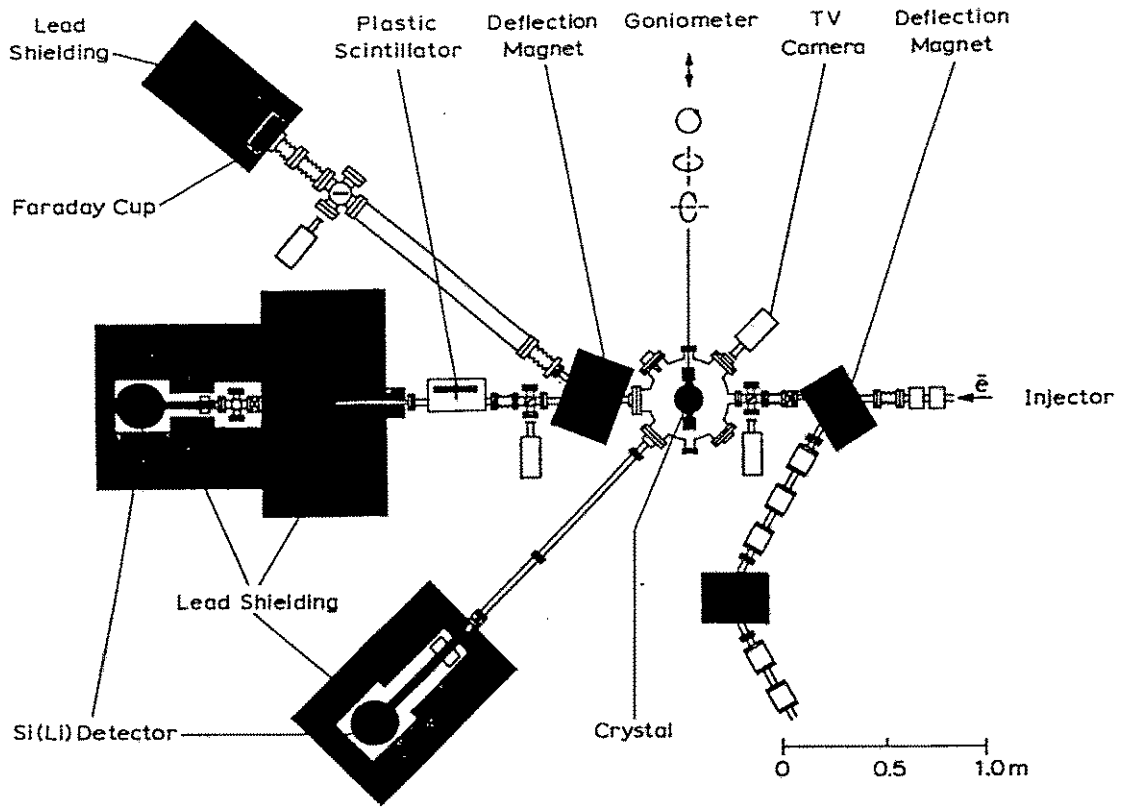
Harald Genz

Technische Hochschule Darmstadt, Institut für Kernphysik

- \* Channeling Strahlung
- \* Parametrische Röntgenstrahlung
- \* Freie-Elektronen-Laser

Unterstützt durch BMFT und DFG



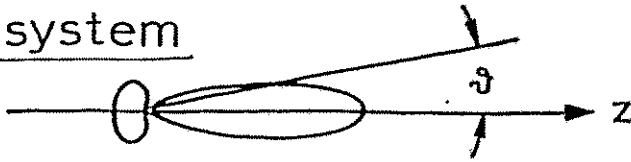


rest system

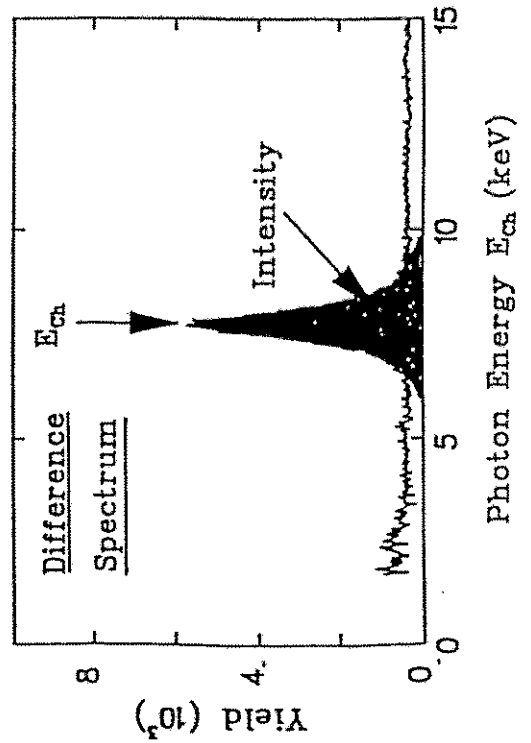
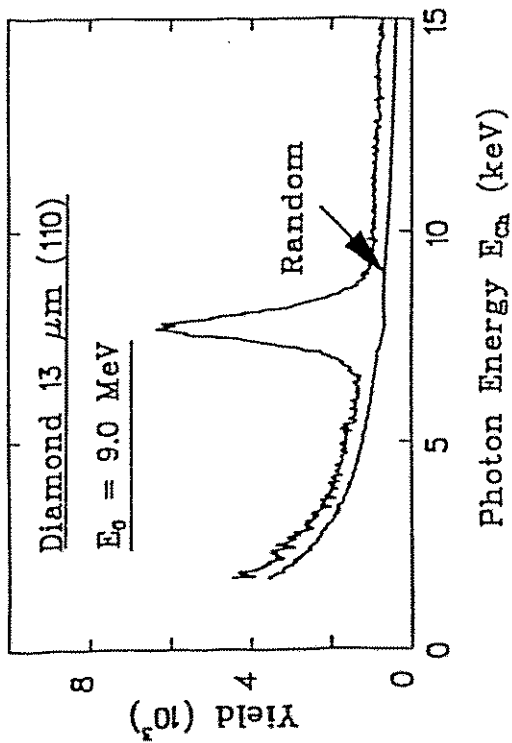


$$\hbar\omega^R = \gamma \hbar\bar{\omega}$$

lab. system



$$E_{ch} = \hbar\omega = 2\gamma^2 \hbar\bar{\omega}$$



Experiment

Theorie

$$\frac{d^2N(i \rightarrow f)}{d\Omega d\omega} = \frac{d^3N(i \rightarrow f)}{d\Omega d\omega dz} \int_0^d P_i(z) dz$$

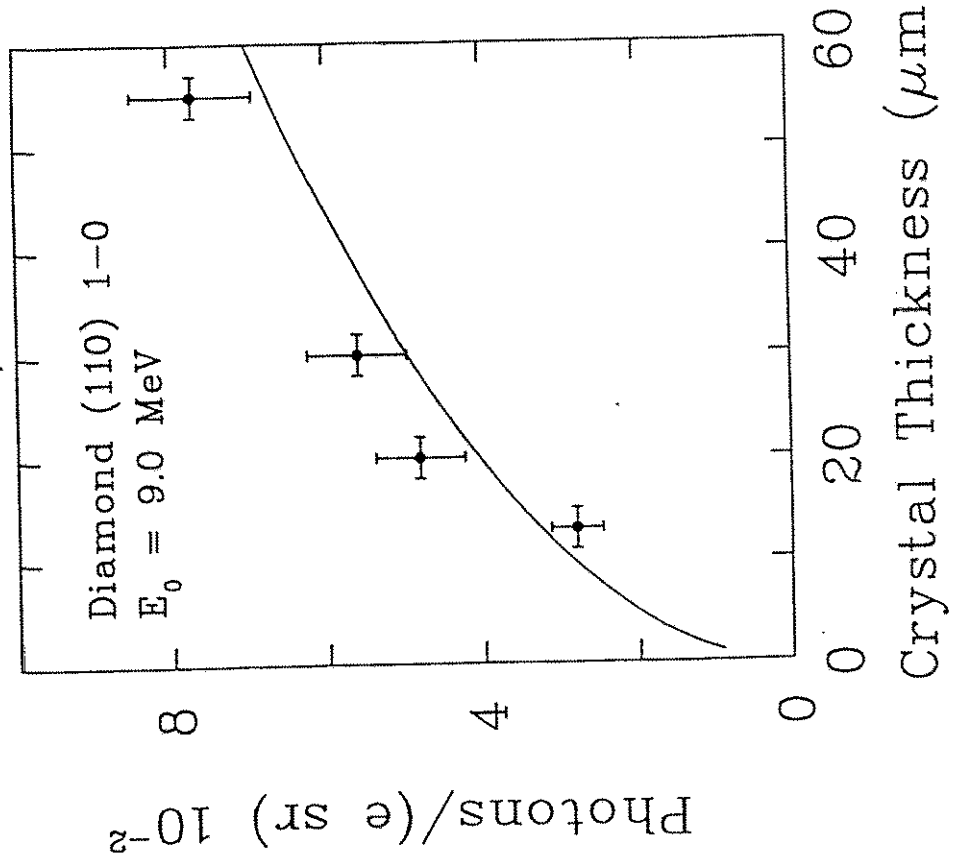
$$I \sim \int_0^d P_i(z) dz$$

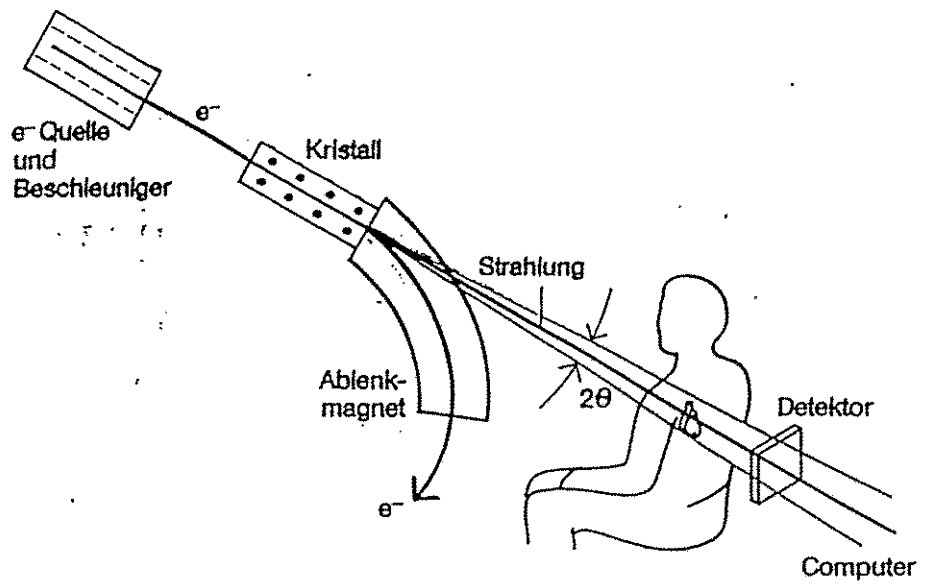
Dynamischer Lösungsansatz  
(Mastergleichung)

$$\frac{dP_i}{dz} = \sum_j w_{ij} (P_j - P_i)$$

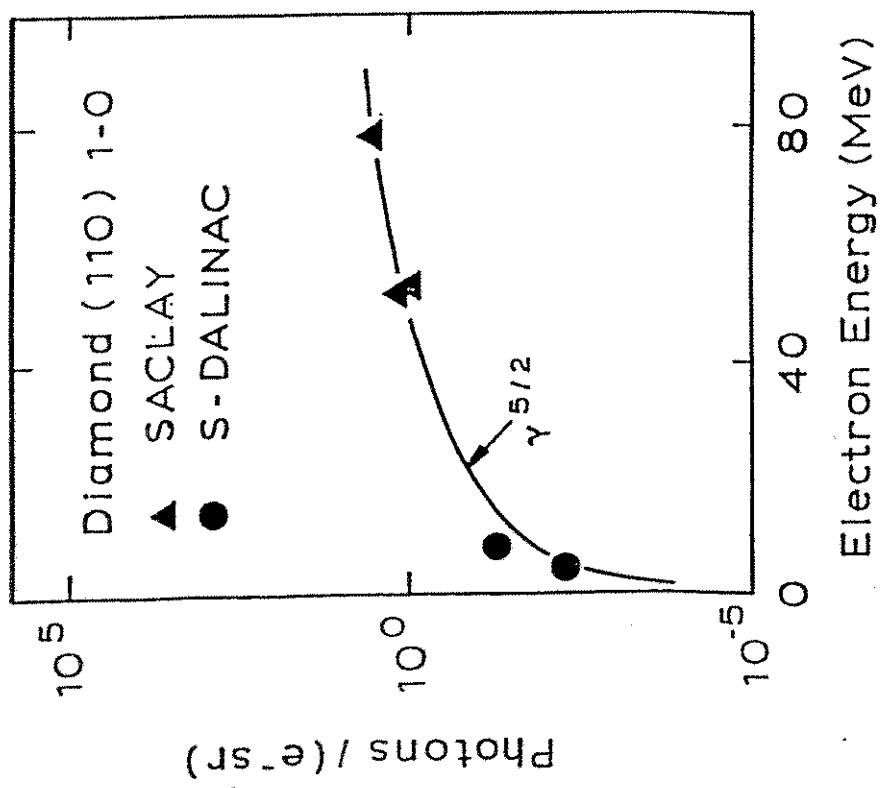
$w_{ij}$  Übergangsrate pro Länge  
 $P_i$  Population des i-ten Zustandes

Thickness Dependence

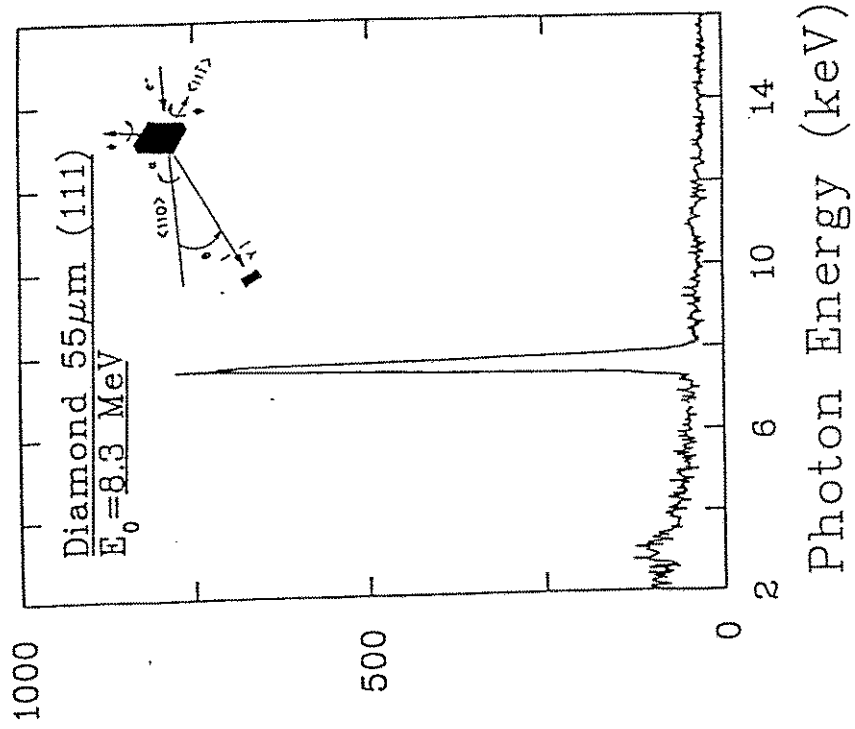




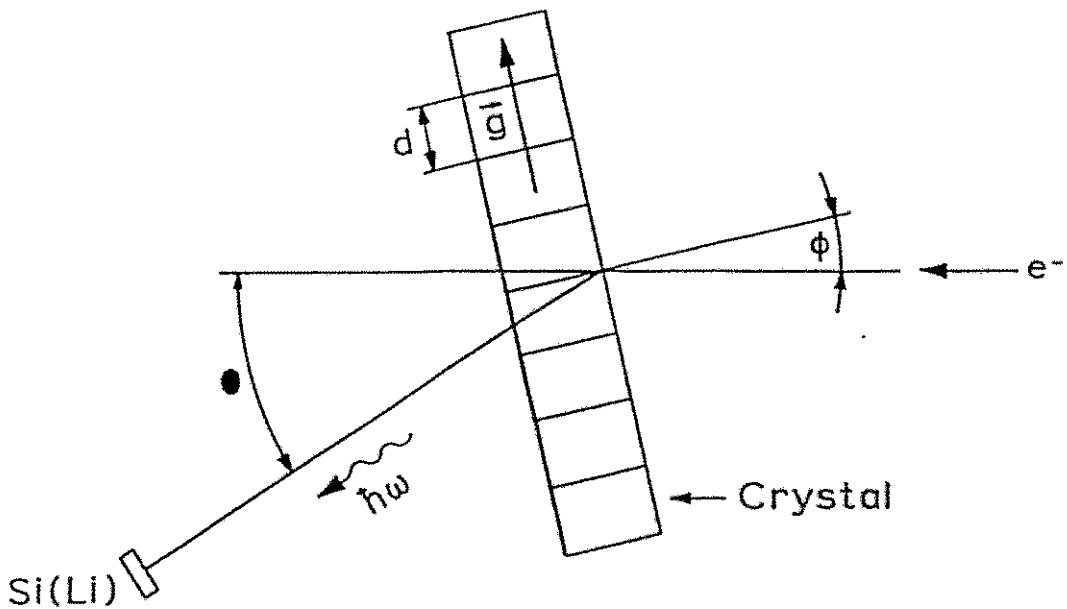
Angiographie mit Channelingstrahlung



Parametric X-Ray Spectrum

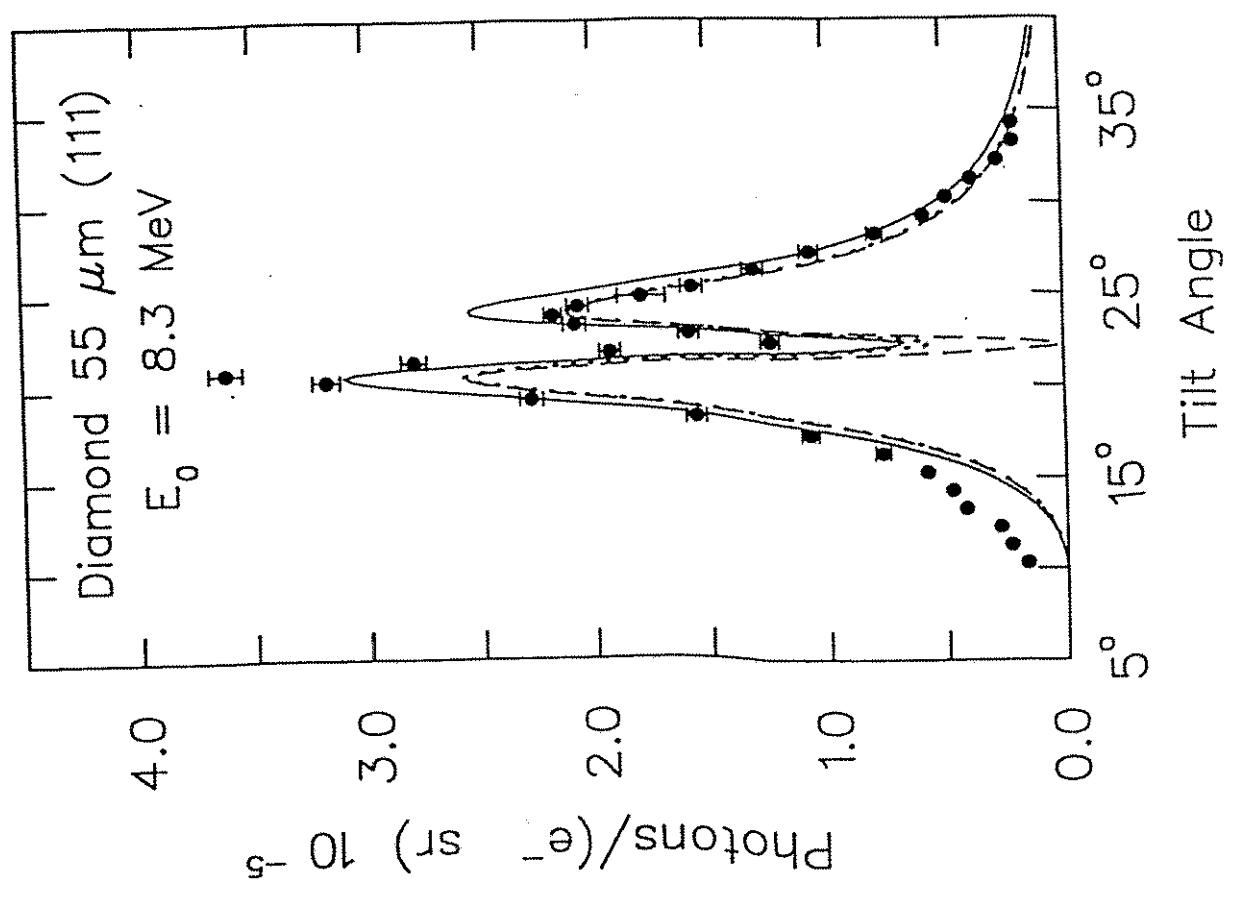
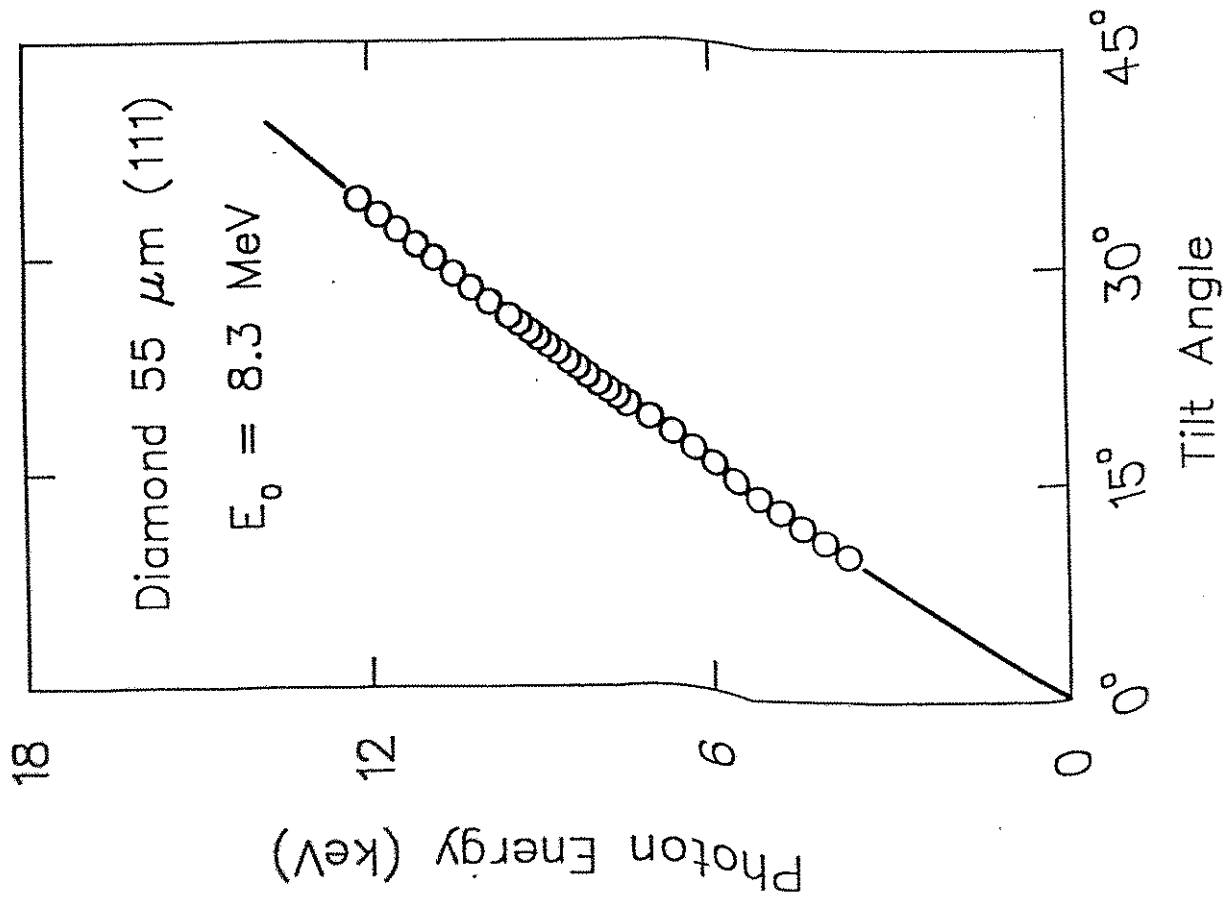


PARAMETRIC X-RAYS: DIFFRACTION OF VIRTUAL PHOTONS

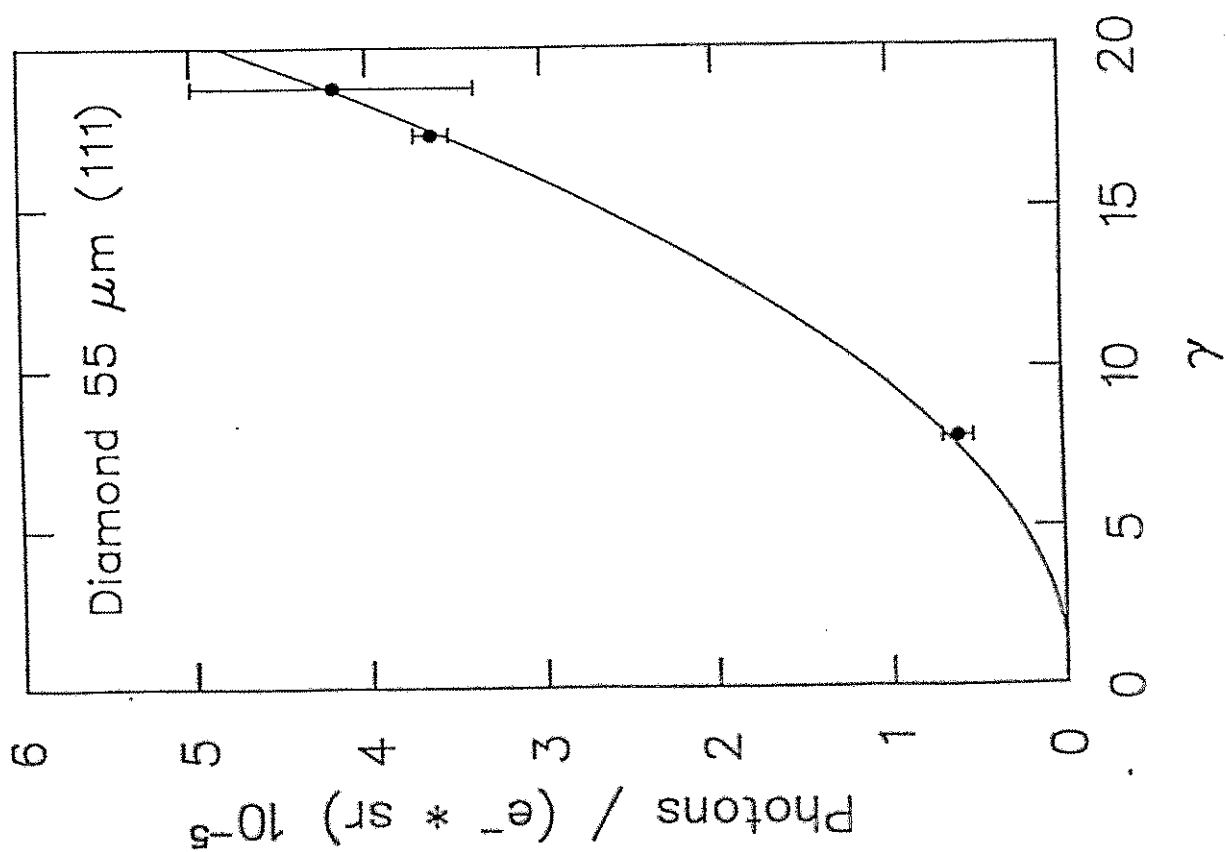
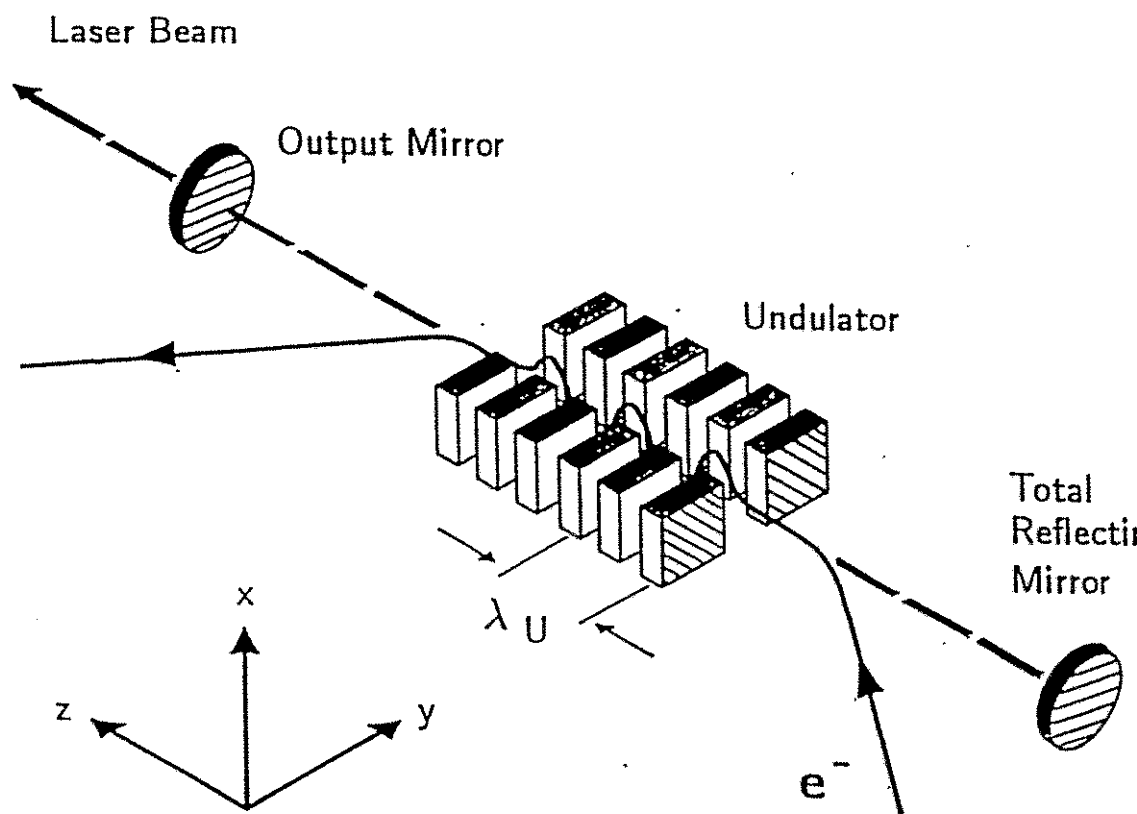


ENERGY DEPENDENCE OF THE PXR-PHOTONS: 
$$\hbar\omega = \hbar c g \frac{\sin \phi}{\beta - \cos \phi}$$

Yield

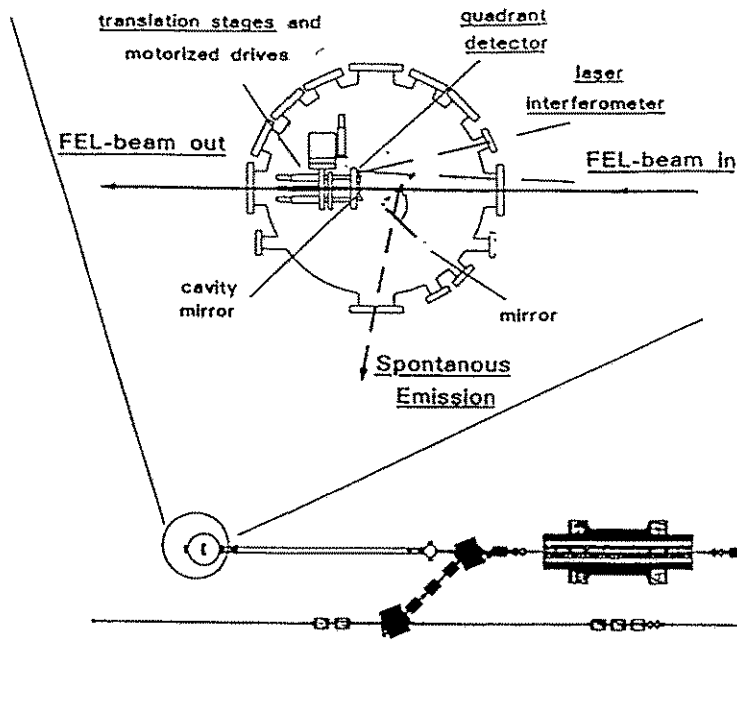


# Free Electron Laser Principle



## Parameters of Darmstadt IR-FEL

<u>Electron Beam</u>			
Pulse Length	$\tau$	=	1.8 ps
Repetition Rate	$\nu$	=	10 MHz
Energy	$E$	=	30 to 50 MeV
Peak Current	$\hat{I}$	=	2.7 A
Mode of Operation	cw		
<u>Undulator</u>			
Period Length	$\lambda_u$	=	3.2 cm
Number of Periods	$N$	=	80
Undulator Length	$L_u$	=	2.56 m
Undulator Parameter	$K$	=	0.5 to 1.3
<u>Optical Cavity</u>			
Q-Value	$Q$	$\approx$	50
Length	$L$	=	15.00363 m
Rayleigh Length	$Z_0 = L_u/2.5$	=	1.024 m
<u>Radiation Characteristics</u>			
Wavelength	$\lambda$	=	2.5 to 7.0 $\mu\text{m}$
Peak Power	$P$	$\approx$	100 kW
Small Signal Gain	$G$	$\approx$	9%

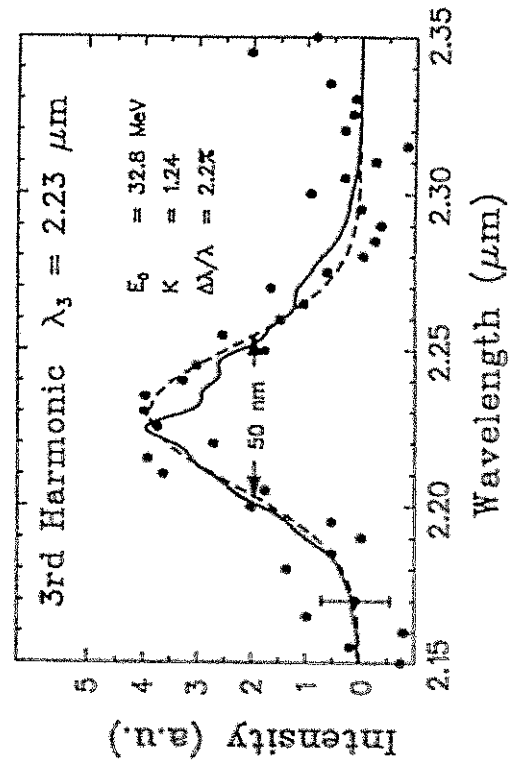
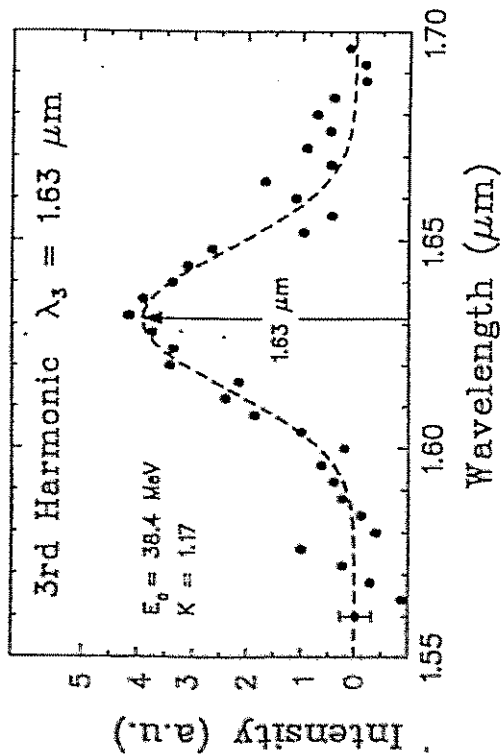
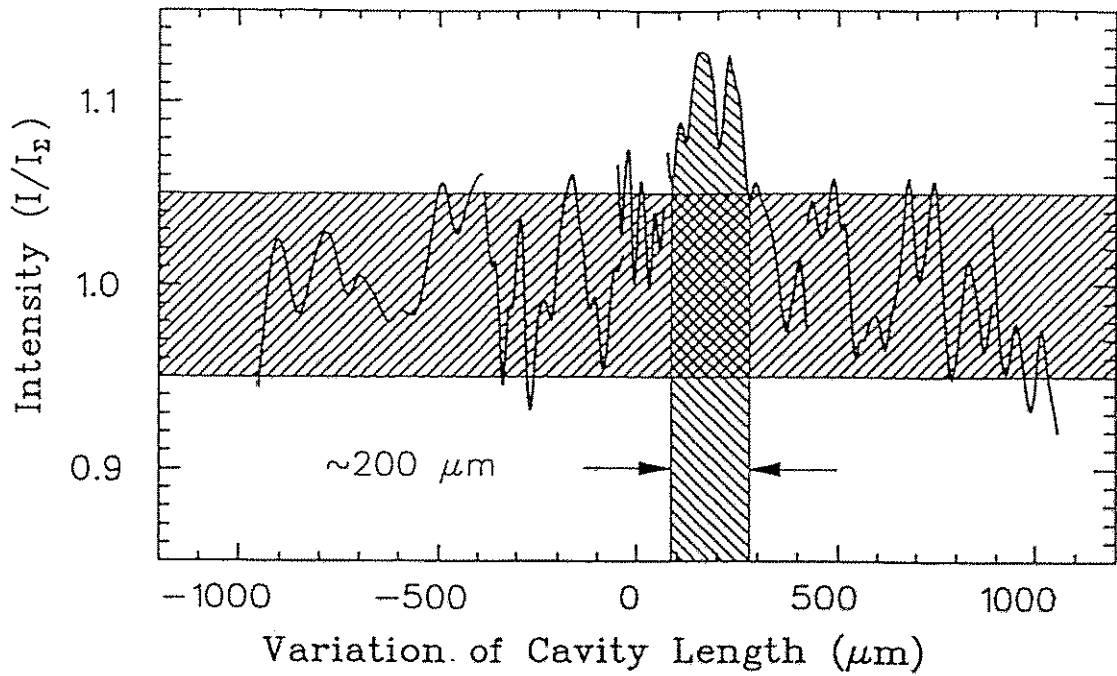


## Optical cavity

cavity length	15 m
Rayleigh length	1 m
mirror radius	7.64 m
wait ( $6\mu\text{m}/3\mu\text{m}$ )	1.4 mm/1.0 mm



# Amplification of Spontaneous Emission



# THD - S-DALINAC - FEL

## STATUS

### I. Achievements

- All components mounted
- Observation of spontaneous emission '92
- Observation of amplification '93

### II. Current Activities

- Improved beam transport system
- Improved beam diagnosis system
- Q-value determination of cavity

### III. Planned Activities

- Next beam time November - December '94

# AKTIVITÄTEN - STRAHLUNGSPHYSIK

## S-DALINAC

*Channelingstrahlung, Parametrische Röntgenstrahlung, Kohärente Bremsstrahlung*

Elektron-Kristalle-Wechselwirkung

Darmstadt - Bonn  
MPI München - Johannesburg  
Darmstadt - MPI München  
Darmstadt - Siemens Erlangen  
Darmstadt - Bonn  
Darmstadt - Moskau  
Darmstadt - Kharkov  
Darmstadt - Washington

Polarisation (CR, PXR)  
Mamographie  
Tiefenlithographie  
Röntgenlinse  
PXR  
Kohärente Bremsstrahlung

## *Freie-Elektronen-Laser*

Bau und Test IR-FEL

Darmstadt

EUROFEL

Darmstadt - Nieuwegein  
Orsay - Frascati  
Darmstadt - Tübingen  
Heidelberg  
Darmstadt - Berlin

Medizinische Anwendungen

Dünne Schichten

## MAMI

Transition Radiation, Smith-Purcell-Strahlung Mainz - Monterey

## GELINA

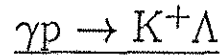
Transition Radiation, Smith-Purcell-Strahlung Geel

S-DALINAC

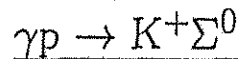


J. Freudenberger  
M. Galemann  
H. Genz  
H.-D. Gräf  
L. Groening  
R. Hahn  
P. Hoffmann-Stascheck  
H. Loos  
U. Nething  
A. Richter  
V. Schlott  
M. Thomas  
M. Wiencken  
T. Wesp

## Measurement of the reactions



and



from the threshold up to 2.0 GeV  
with SAPHIR at ELSA, Bonn

Pirna 1994

M. Bockhorst, R. Burgwinkel, J. Hannappel, K. Heinloth, H.-P. Jakob, N. Jöpen, H. G. Jungst, U. Kirch, F.-J. Klein, L. Lindemann, J. Link, D. Menze, H. Merkel, W. Neuerburg, E. Paul, H. van Pee, R. Plötzke, S. Schmidt, J. Scholmann, W.-J. Schwillke, M. Q. Tran, R. Wedemeyer, F. Welnes, J. Wiskirchen, A. Wolf  
*Physikalisches Institut der Universität Bonn, Germany*

J. Ernst, H. Kalinowsky, E. Klempf, R. Maschuw, C. Strassburger  
*ISKP Bonn, Germany*

F. Simend, M. Schuhmacher, Ch. Pösch  
*II. Physikalisches Institut Göttingen, Germany*

- The SAPHIR detector
- Measurements
- Event reconstruction
- Acceptance
- Separation of the reactions up to 2 GeV
- Data statistics, number of events
- Isobaric model and fit procedure
- Comparison of measurements and model
- Summary and Outlook

## The SAPHIR detector

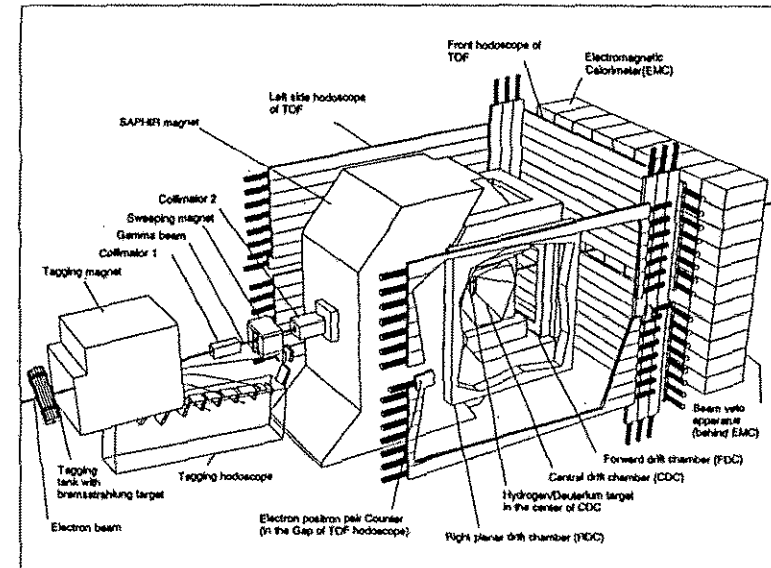


Abb. 1: Total view of the SAPHIR detector

- Tagging system
  - Trigger (photon)
  - Photon energy
- Central Drift Chamber
  - Measurement of charged particle tracks
- TOF counter
  - Trigger (charged particles)
  - Time of flight

## Measurements

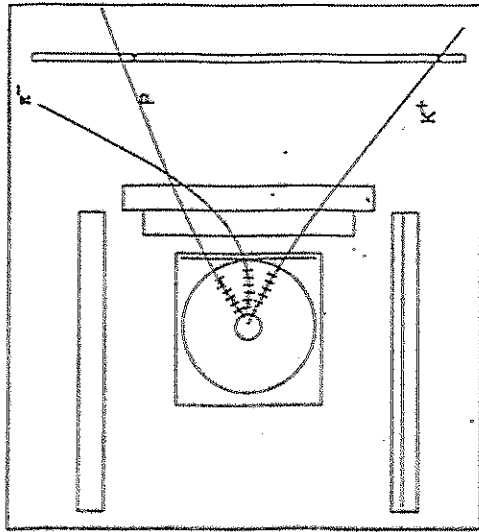


Abb. 2: Single event at SAPHIR,  $\gamma p \rightarrow K^+ \Lambda$

## Measured data

- Photon energy  $E_\gamma = E_e - E_{e'}$  with tagging system
- Tracks and momenta of charged particles ( $\rightarrow$  vertices) with drift chambers
- Time of flight ( $\rightarrow$  mass) with TOFs

## Reactions and decays

- $\gamma p \rightarrow K^+ \Lambda, \Lambda \rightarrow p \pi^-$
- $\gamma p \rightarrow K^+ \Sigma^0, \Sigma^0 \rightarrow \Lambda \gamma, \Lambda \rightarrow p \pi^-$

## Event reconstruction

- 3 reconstructed tracks ( $K^+, p, \pi^-$ )
- Vertices ( $K^+ \Lambda$  or  $K^+ \Sigma^0, \Sigma^0 \rightarrow \Lambda \gamma, \Lambda \rightarrow p \pi^-$ )
- Criteria
  - Cuts in  $P(\chi^2)$  of tracks and vertices
  - Charge conservation ( $K^+, p, \pi^-$ )
  - Kinematic fits
  - Missing mass cut
  - Cut around  $\Lambda$  mass (invariant mass of  $p \pi^-$ )

## Kinematic fit:

## probing energy-momentum conservation

- At the primary vertex:

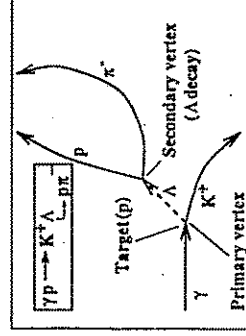
- $E_\gamma + m_{\text{target}} - \sum_i \sqrt{p_i^2 + m_i^2} = 0$
- $\vec{p}_\gamma - \sum_i \vec{p}_i = \vec{0}$

- At decay vertex (e.g.  $\Lambda \rightarrow p \pi^-$ ):

- $m_\Lambda^2 = (\sqrt{p_p^2 + m_p^2} + \sqrt{p_\pi^2 + m_\pi^2})^2 - (\vec{p}_p + \vec{p}_\pi)^2$

## Missing mass:

- $m_\Lambda^2 = (E_\gamma + m_{\text{target}} - \sqrt{p_K^2 + m_K^2})^2 - (\vec{p}_\gamma + \vec{p}_K)^2$



## Determination of polarization of $\Lambda$ , $\Sigma^0$

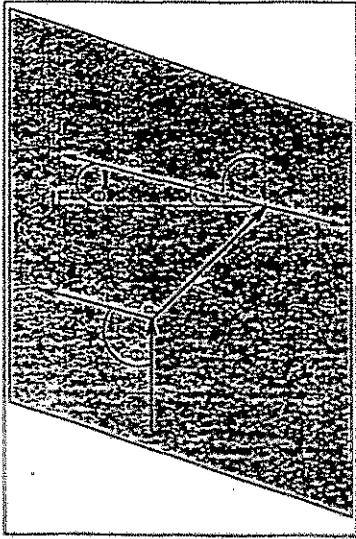


Abb. 3: Production plane, Polarization of the  $\Lambda$ , decay of the  $\Lambda$  in the  $\Lambda$  rest system and definition of all angles

$$W(\Theta_{\text{decay}})d\Omega = \frac{1}{2}(1 + \alpha P_{\Lambda} \cos \Theta_{\text{decay}})d\Omega \quad (1)$$

$$\alpha = 0.642 \pm 0.013 \text{ [PPDB92]}$$

$$P_{\Lambda} = \frac{2N_1 - N_2}{\alpha N_1 + N_2}$$

$$\Sigma^0 \rightarrow \Lambda \gamma (100\%), \vec{\epsilon} \cdot \vec{u}_{\gamma} = 0$$

$$\vec{P}_{\Lambda} = -(\vec{P}_{\gamma} \cdot \vec{u}_{\Lambda})\vec{u}_{\Lambda}$$

- $\vec{\epsilon}$   $\equiv$  Polarization vector of decay photon
- $\vec{u}_{\gamma}$   $\equiv$  Unit vector decay photon direction
- $\vec{P}_{\Lambda}$   $\equiv$  Polarization vector of  $\Lambda$
- $\vec{P}_{\Sigma^0}$   $\equiv$  Polarization vector of  $\Sigma^0$
- $\vec{u}_{\Lambda}$   $\equiv$  Unit vector in  $\Lambda$  direction

$$\text{Averaging over all } \Lambda \text{ directions } \vec{u}_{\Lambda}: \vec{P}_{\Lambda} = -\frac{1}{3}\vec{P}_{\Sigma^0} \quad (4)$$

## Acceptance

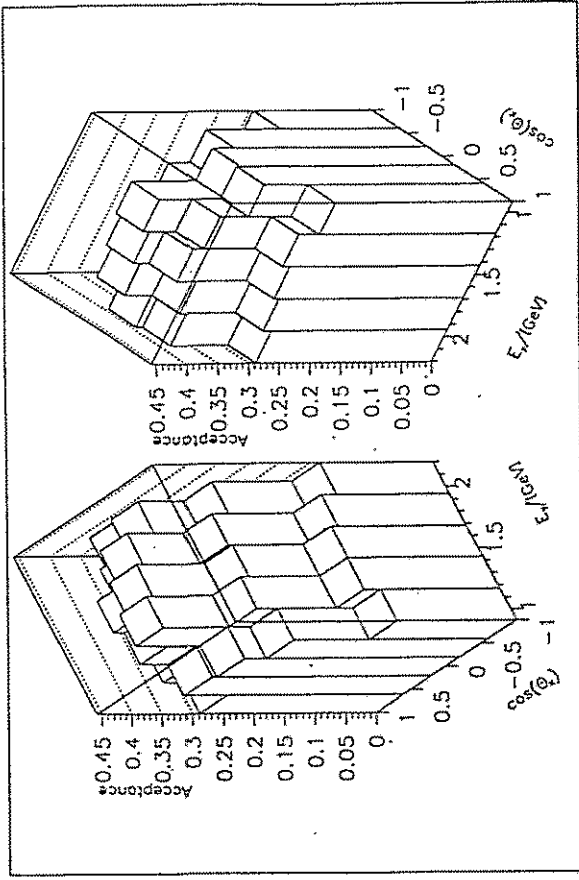


Abb. 4: Acceptance of the SAPHIR detector for the reaction  $\gamma p \rightarrow K^+ \Lambda$

- Simulated  $\gamma p \rightarrow K^+ \Lambda$  events
- Simulations in consideration of multiple scattering, energy loss, resolution
- Same reconstruction program for measured and simulated events
- Acceptance is everywhere  $> 0$
- Acceptance for  $\gamma p \rightarrow K^+ \Sigma^0$  very similar

## Separation of the reactions up to 2 GeV

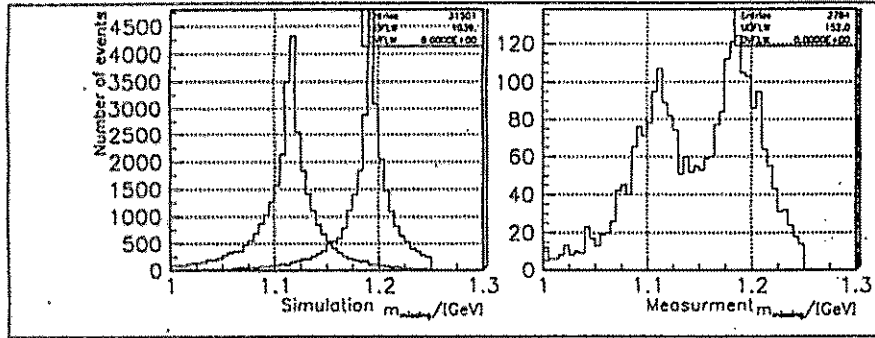


Abb. 5: Missing mass against  $K^+$  for  $\gamma p \rightarrow K^+\Lambda$  and  $\gamma p \rightarrow K^+\Sigma^0$

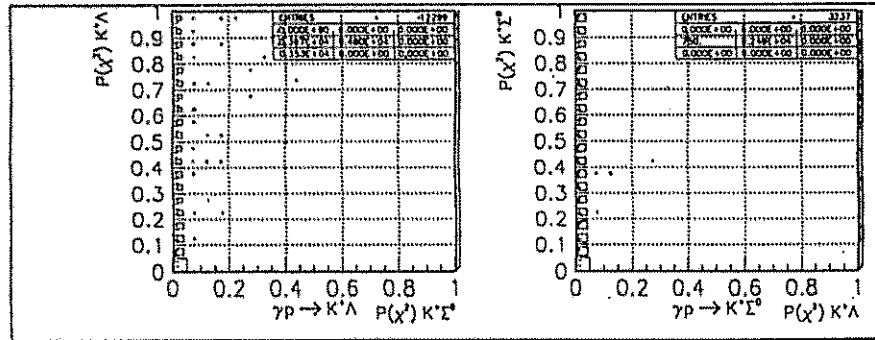


Abb. 6:  $\chi^2$  probabilities of kinematic fits for measured  $\gamma p \rightarrow K^+\Lambda$  and  $\gamma p \rightarrow K^+\Sigma^0$

- Separation of  $\gamma p \rightarrow K^+\Lambda$  and  $\gamma p \rightarrow K^+\Sigma^0$  with kinematic fit
- Separation of background and other reactions with missing mass and invariant mass cuts

## Data statistics, number of events

Run #	$E_\gamma$ [GeV]	Tr. TOF	Trigger Events	Run Time
06.92	0.96 ... 1.48	$\geq 2$	1,594,000	6d 2h
10.92	0.96 ... 1.48	$\geq 2$	2,034,000	4d
02.93	1.32 ... 2.02	$\geq 1$	2,639,000	3d 7h
05.93	1.32 ... 2.02	$\geq 1$	6,590,000	6d 6h
10.93	1.32 ... 2.02	$\geq 1,2$	11,925,000	10d 17h
01.94	1.03 ... 1.54	$\geq 2$	3,003,265	4d 15h
02.94	1.03 ... 1.54	$\geq 2$	2,693,880	6d 17h
05.94	1.32 ... 2.02	$\geq 2$	1,019,090	3d

Tabelle 1: Measurements at the SAPHIR detector with  $H_2$  target

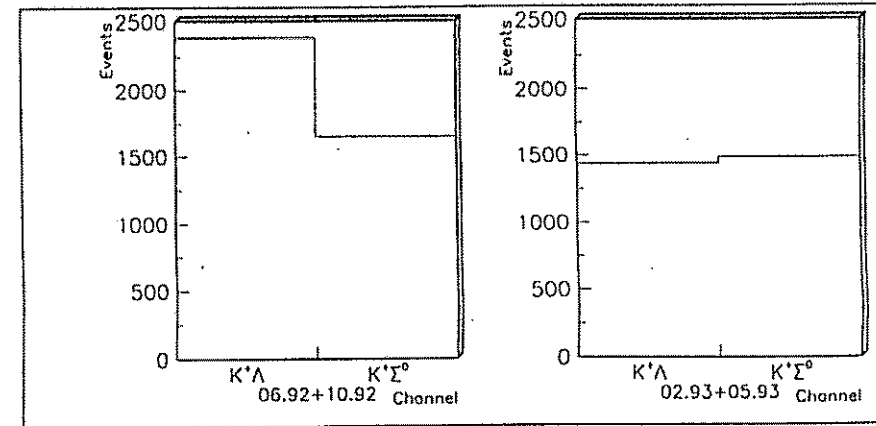


Abb. 7:  $\gamma p \rightarrow K^+\Lambda$  and  $\gamma p \rightarrow K^+\Sigma^0$  events found at SAPHIR

## Isobaric model and fit procedure

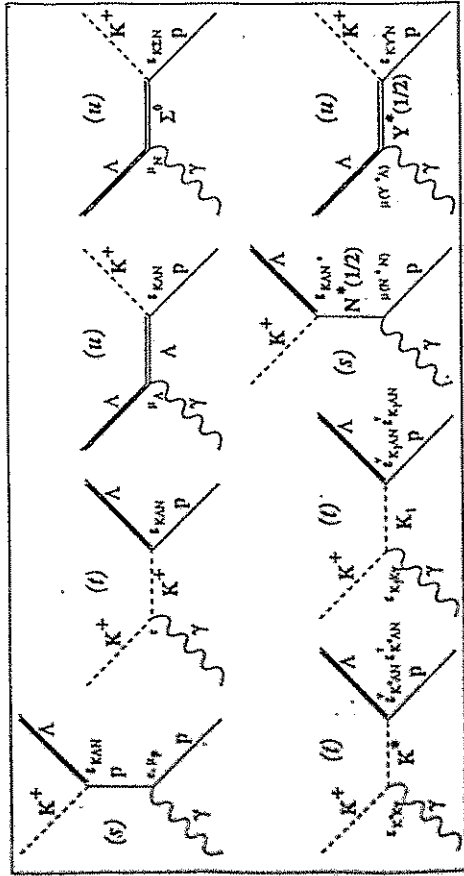


Abb. 8: Feynman diagrams for  $\gamma p \rightarrow K^+ \Lambda$

- Isobaric model
  - Feynman diagrams
  - \* Born terms
  - \* Resonances
- Predictions for cross section and polarizations
- Fit of coupling constants
  - Cross section
  - Polarizations
  - \* Hyperon polarization
  - \* Target asymmetry [BONN78, Althoff et al.]
  - \* Photon polarizations (future)

## Comparison of measurement and model Total cross section

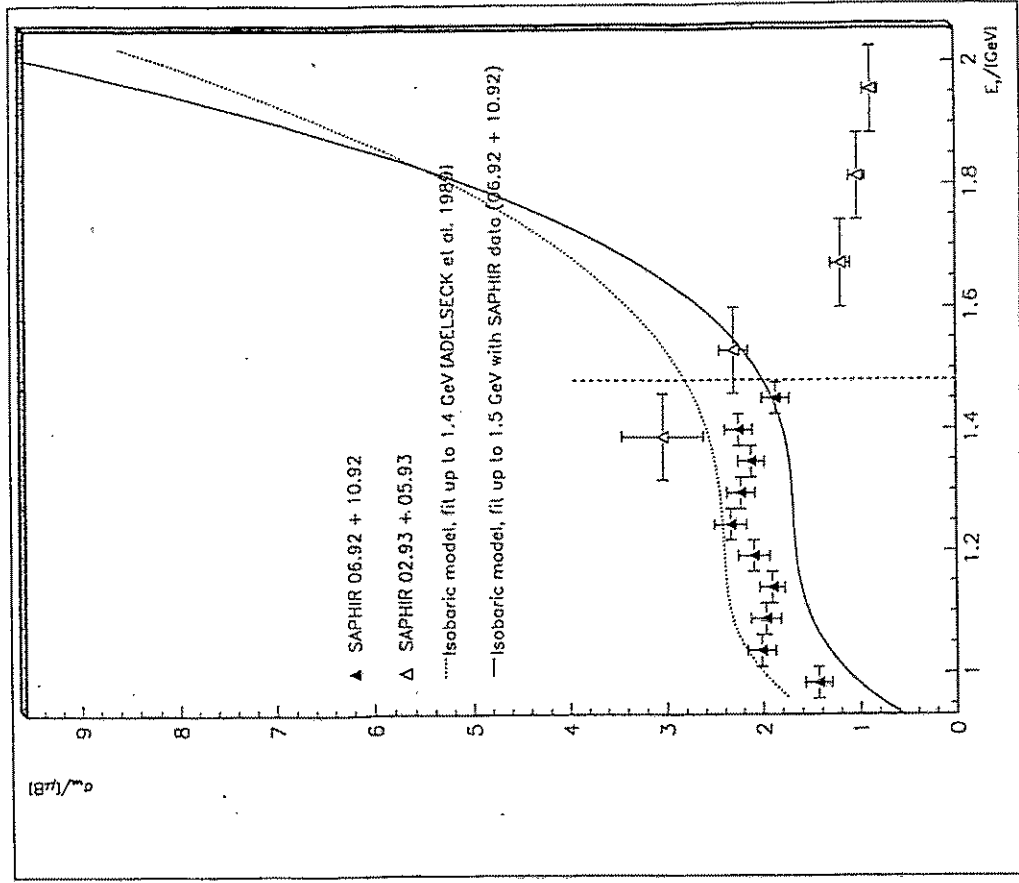


Abb. 9: Total cross section of  $\gamma p \rightarrow K^+ \Lambda$ , fit with differential cross section



## Comparison of measurement and model Differential cross section

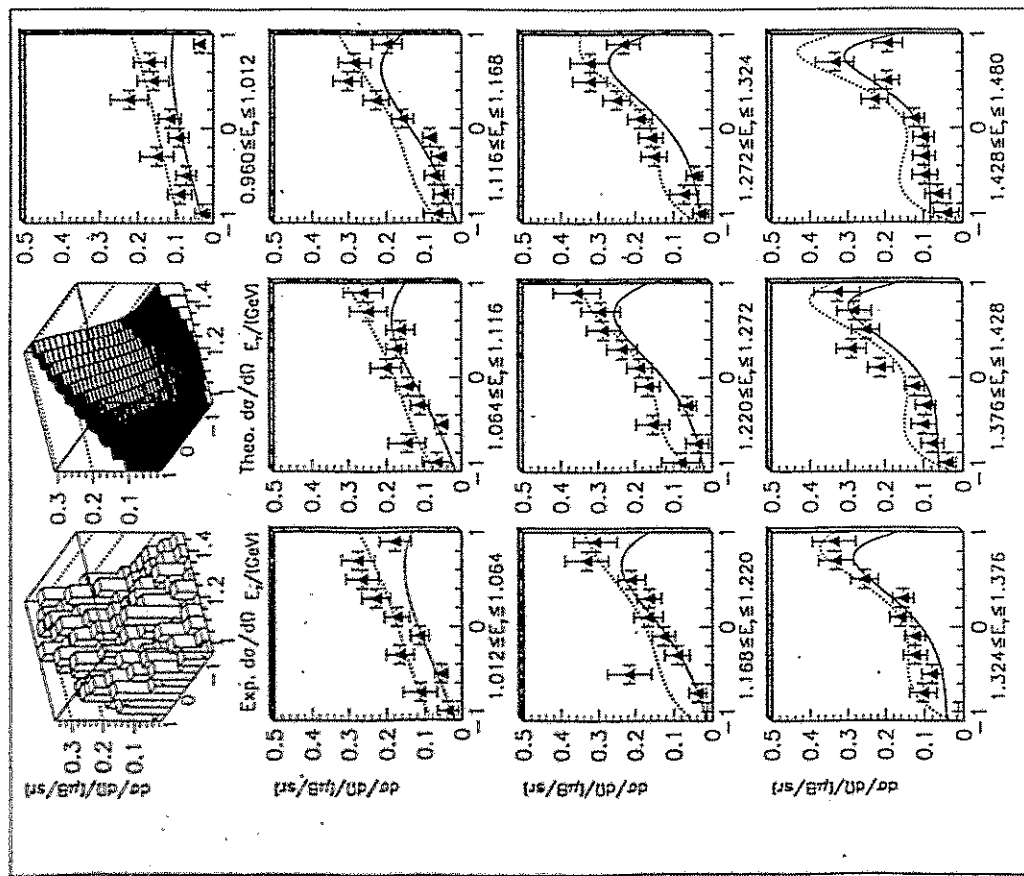


Abb. 10: Fit with  $\Lambda$  polarization for  $\gamma p \rightarrow K^+ \Lambda$

## Comparison of measurement and model Polarization

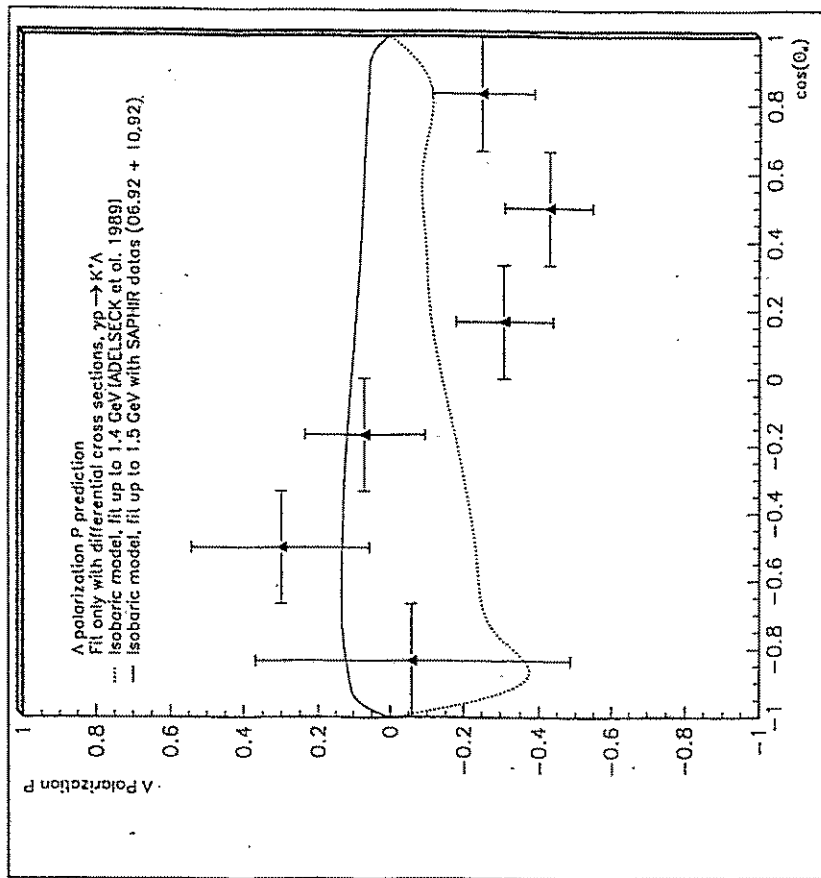


Abb. 11:  $\Lambda$  polarization for  $\gamma p \rightarrow K^+ \Lambda$

First fits including the  $\Lambda$  polarization and the target asymmetry were made yet, but they do not describe the measured polarization good enough.

## Summary and Outlook

### Summary

- Measured cross section and hyperon polarization of  $\gamma p \rightarrow K^+ \Lambda$  and  $\gamma p \rightarrow K^+ \Sigma^0$  with acceptance  $> 0$  over full angle sphere from threshold up to 2 GeV at SAPHIR (4 $\pi$  detector)
- Good event identification
- Good background suppression
- Description of measured data with isobaric model including cross section and polarization

### Outlook

- Analysis of further data
- Data taking with polarized photons and target
- Modification of isobaric model and study of new models

# Elektropionproduktion $H(e, e' \pi^+)$ an der Dreispektrometeranlage an MaMi

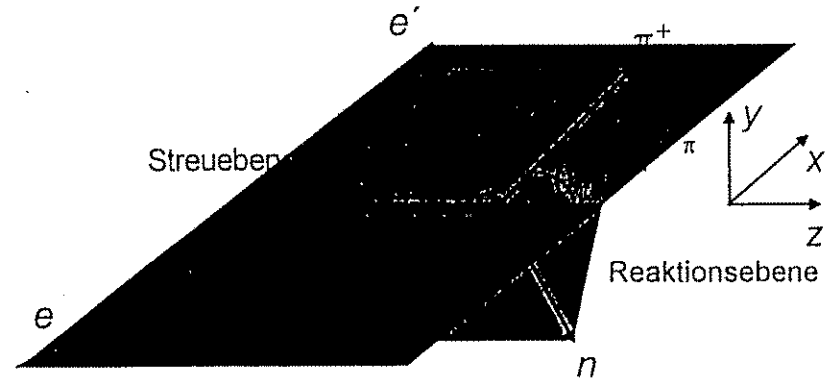
A1-Kollaboration  
 vorgetragen von Alfred Richter

Arbeitstreffen Kern- und Teilchenphysik  
 Pirna, 7. Oktober 1994

## Inhalt

1. Einleitung / Motivation
2. Trennung der WQ-Anteile
3. Kinematische Verhältnisse
5. Datenanalyse
6. Resultate
7. Ausblick

# Trennung der Anteile im Wirkungsquerschnitt



WQ in Ein-Photon-Näherung

$\Gamma$ : Fluß der virtuellen Photonen

$$\frac{d\sigma}{d\varepsilon_j d\Omega_j d\Omega_\pi} = \Gamma \frac{d\sigma_v}{d\Omega_\pi}$$

für unpolarisierte Elektronen und unpolarisiertes Target:

Beachte: implizite  $\sin \Theta_\pi$ -Abhängigkeit in  $\sigma_{TL}$  und  $\sigma_{TT}$

$$\frac{d\sigma_v}{d\Omega_\pi} = \frac{d\sigma_T}{d\Omega_\pi} + \varepsilon_L \frac{d\sigma_L}{d\Omega_\pi} + [2\varepsilon_L(1 + \varepsilon)]^{1/2} \frac{d\sigma_{TL}}{d\Omega_\pi} \cos \Phi_\pi + \varepsilon \frac{d\sigma_{TT}}{d\Omega_\pi} \cos 2\Phi_\pi$$

Rosenbluth-Separation	Links/Rechts-Messung	Out-Of-Plane-Messung
-----------------------	----------------------	----------------------

# Strukturfunktionen und Multipolamplituden

$$\begin{aligned}
 R_T &= |E_{0+}|^2 + 0.5|2M_{1+} + M_{1-}|^2 + 0.5|3E_{1+} - M_{1+} + M_{1-}|^2 \\
 &\quad + 2 \cos \Theta \operatorname{Re} \{ E_{0+}^* (3E_{1+} + M_{1+} - M_{1-}) \} \\
 &\quad + \cos^2 \Theta (|3E_{1+} + M_{1+} - M_{1-}|^2 - 0.5|2M_{1+} + M_{1-}|^2 \\
 &\quad \quad - 0.5|3E_{1+} - M_{1+} + M_{1-}|^2) \\
 R_L &= |L_{0+}|^2 + 4|L_{1+}|^2 + |L_{1-}|^2 - 4 \operatorname{Re} \{ L_{1+}^* L_{1-} \} \\
 &\quad + 2 \cos \Theta \operatorname{Re} \{ L_{0+}^* (4L_{1+} + L_{1-}) \} + 12 \cos^2 \Theta (|L_{1+}|^2 + \operatorname{Re} \{ L_{1+}^* L_{1-} \}) \\
 R_{TL} &= -\sin \Theta \operatorname{Re} \{ L_{0+}^* (3E_{1+} - M_{1+} + M_{1-}) \} + 2L_{1+}^* - L_{1-}^* E_{0+} \\
 &\quad + 6 \cos \Theta (L_{1+}^* (E_{1+} - M_{1+} + M_{1-}) + L_{1-}^* E_{1+}) \\
 R_{TT} &= 3 \sin^2 \Theta (3/2|E_{1+}|^2 - 0.5|M_{1+}|^2 - \operatorname{Re} \{ E_{1+}^* (M_{1+} - M_{1-}) + M_{1+}^* M_{1-} \})
 \end{aligned}$$

## Multipol-Amplituden:

L	elektromagn. Multipol	$\pi N$ -System J	$\pi N$ -System I	Pionprod. Multipol
0	C0	1/2	1	$L_{1-}$
1	E1/C1	1/2	0	$E_{0+}/L_{0+}$
1	M1	1/2	1	$M_{1-}$
1	M1	3/2	1	$M_{1+}$
2	E2/C2	3/2	1	$E_{1+}/L_{1+}$

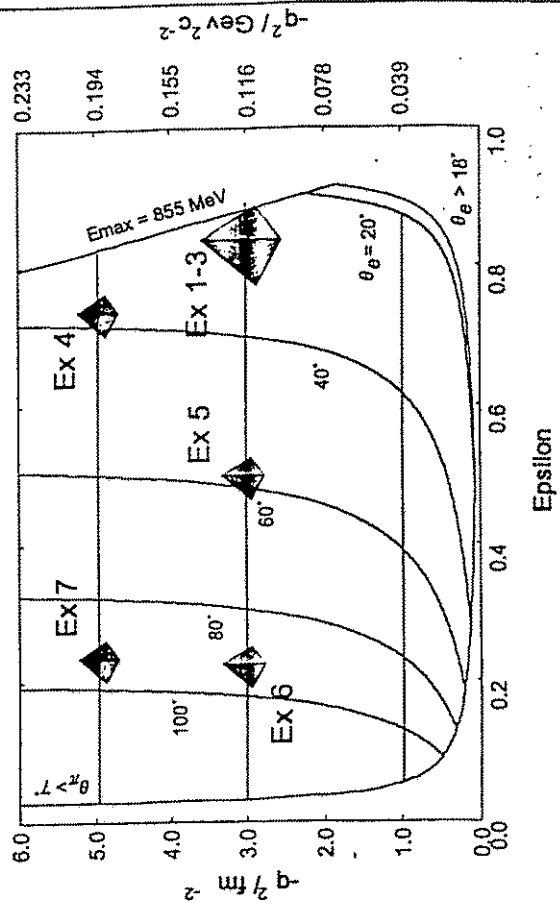
$E_{0+}, M_{1+}, L_{0+}$  sind groß  
 $E_{1+}, M_{1-}, L_{1+}, L_{1-}$  sind klein

somit bspw:  $\sigma_{LT} \sim R_{LT} \sim (A + B \cos \Theta_{\pi}) \sin \Theta_{\pi}$

# Kinematischer Bereich

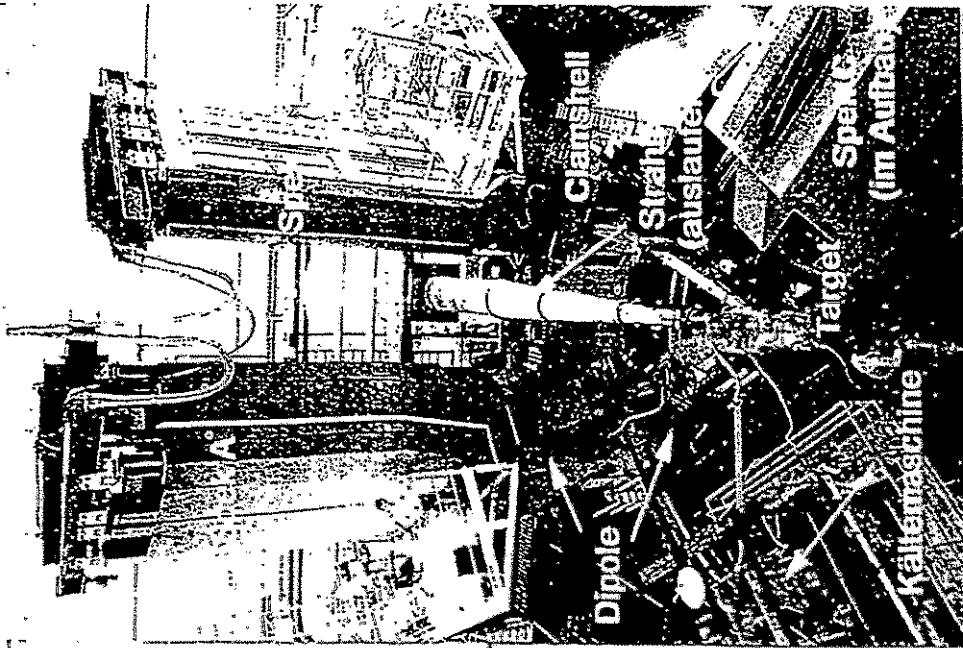
$W = 1125 \text{ MeV}$							
Name	$q^2$ (GeV/c) <sup>2</sup>	$\epsilon$	$E_i$ MeV	$E_f$ MeV	$\Theta_e$	$\Theta_{\pi}$	$ p_{\pi} $ McV/c
Ex 1						39.31°	
Ex 2		0.834	855.11	587.35	27.93°	46.31°	188.84
Ex 3	-0.117					32.31°	
Ex 4		0.500	510.11	242.35	58.22°	28.31°	
Ex 5		0.219	405.11	137.36	92.96°	18.41°	
Ex 6		0.742	855.11	545.79	37.72°	38.27°	
Ex 7	-0.195	0.229	495.11	185.79	93.45°	20.12°	209.62

$W = 1125 \text{ MeV}$



## Dreispektrometeranlage

3 Vielzweckspektrometer A, B, C für Koinzidenzexperimente der Kollaboration "Virtuelle Photonen" (A1)  
 Auflösungen:  $dp/p < 5 \times 10^{-5}$ , Winkel:  $< 0.3$  mrad



### Spektrometer A

$p_{max} = 735$  MeV/c  
 Akzeptanzen:  
 Impuls  $\Delta p = 22\%$   
 Winkel:  
 dispersiv  $\pm 70$  mrad  
 n-disp.  $\pm 100$  mrad  
 Raumwinkel: 28 msr

Länge Zentralstrahl:  
 10.75 m

### Spektrometer B

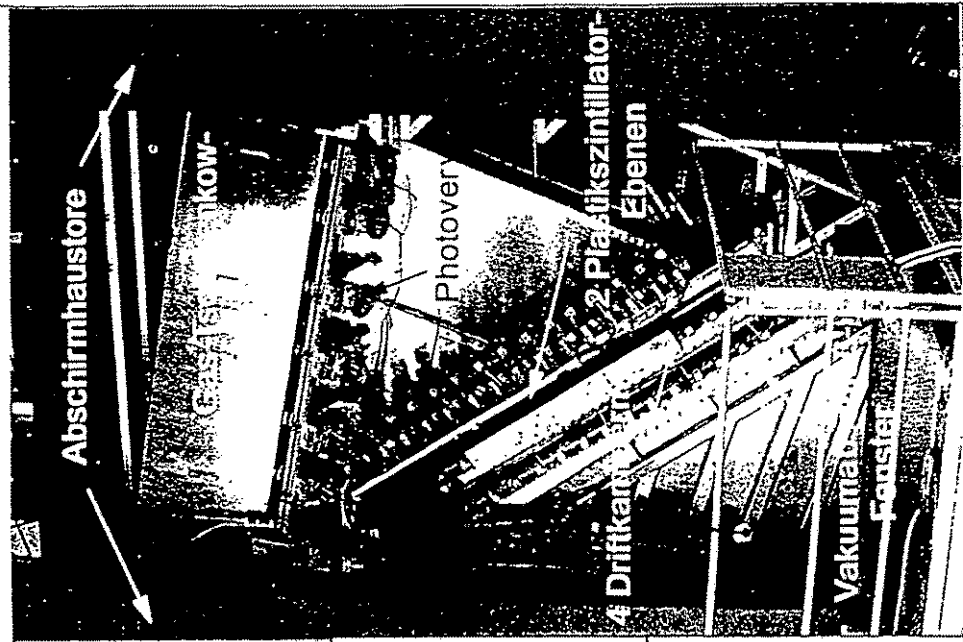
$p_{max} = 870$  MeV/c  
 Akzeptanzen:  
 Impuls  $\Delta p = 15\%$   
 Winkel:  
 dispersiv  $\pm 70$  mrad  
 n-disp.  $\pm 20$  mrad  
 Raumwinkel: 5.6 msr

Länge Zentralstrahl:  
 12.0 m

## Detektorsysteme

Vertexbestimmung: 4 vertikale Driftkammern (VDC)  
 Triggerdetektoren: 2 segmentierte Plastikszintillationssebenen  
 + Gas-Tscherenkow-Detektor

Größe der Fokalebene (Spek A):  $1950 \times 450$  mm



### VDC

$\sim 2000$  Kanäle  
 Einzeldrahtauslese  
 Ortsauflösung  $\sim 90$   $\mu$ m  
 Winkelaufl.  $\sim 0.3$  mrad  
 Nachweiswahrsch.  
 $99.99\%$

### Szintillatoren

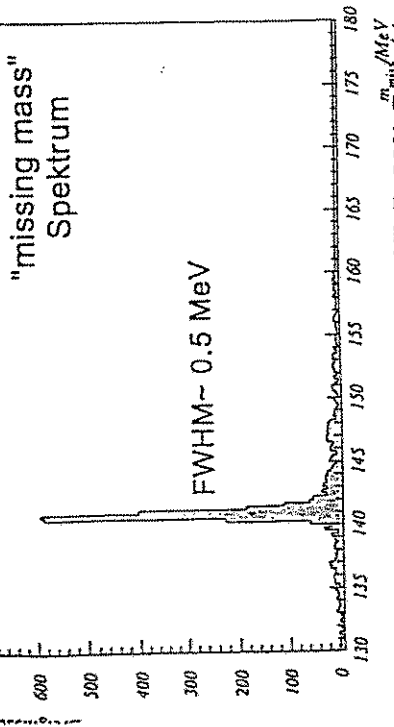
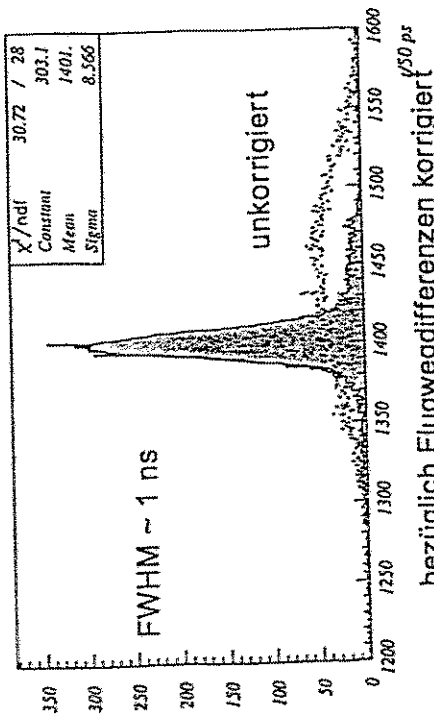
14/15 Segmente/Ebene  
 beidseitig ausgelesen  
 intr. Zeitaufl.  $\sigma \sim 300$  ps  
 Koinz.-Zeitauflösung  
 $\sigma < 500$  ps  
 Nachweiswahrsch.  
 $> 99.5\%$

### Tscherenkow-Detektor

Radiator: Freon 114  
 12/6 sphär. Spiegel  
 mit PM XP 4500 B  
 Nachweiswahrsch.:  
 $> 99.9\%$

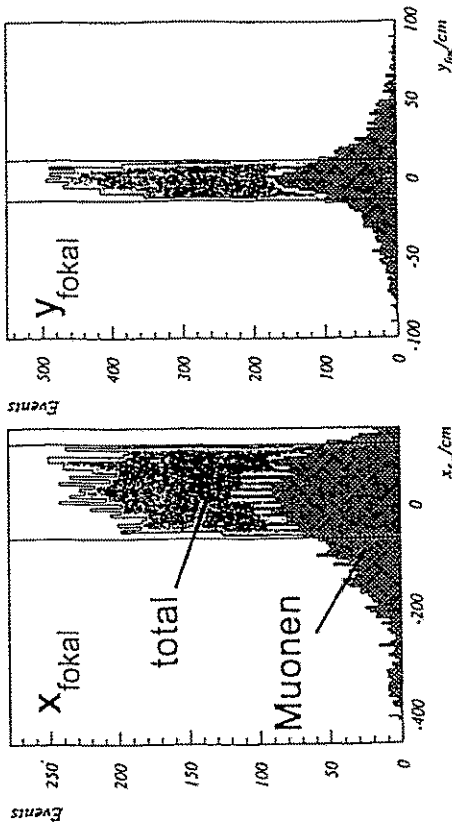
# Teilchenidentifikation

Koinzidenzspektrum

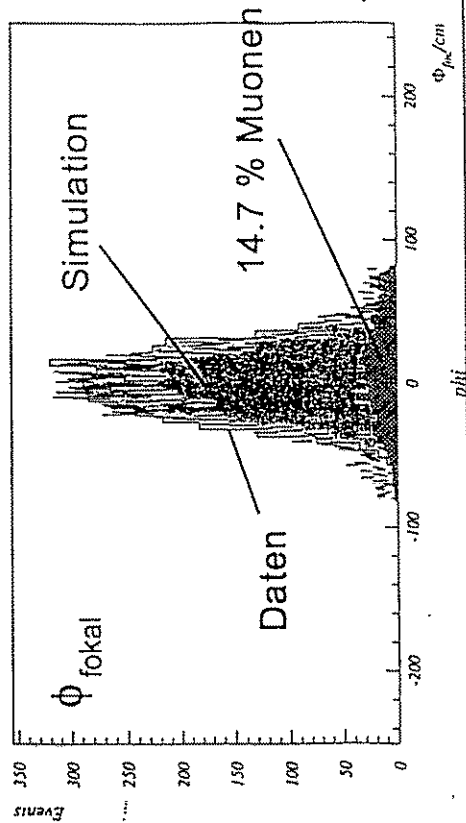


Tscher: 59% Reduktion, Schnitt auf ToF: 88% Redukt.

# Pion-Zerfalls-Simulation

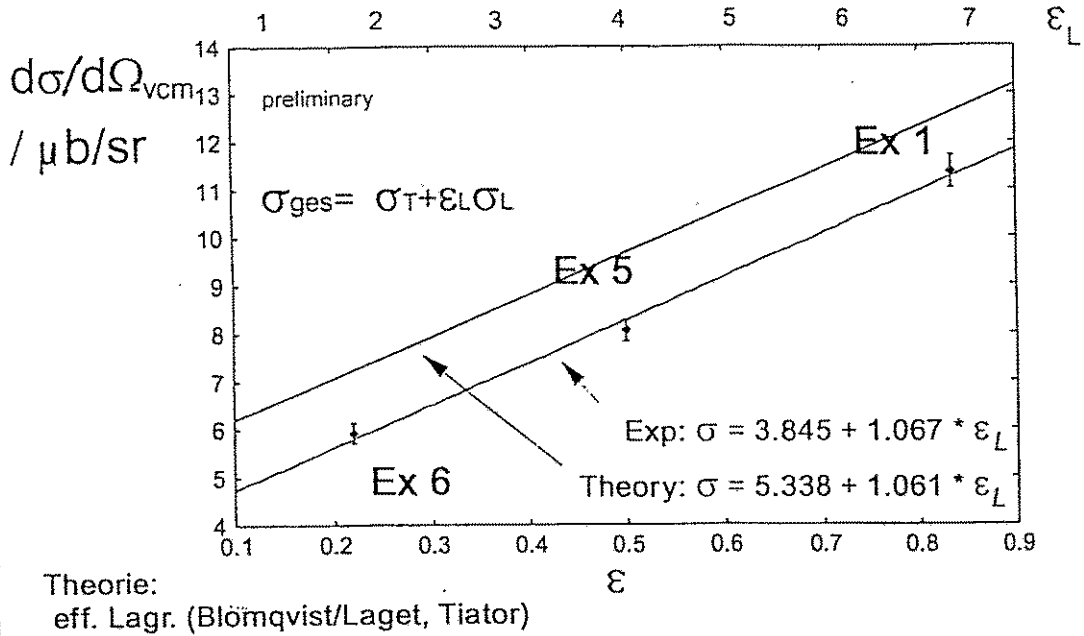


nach Schnitt auf Detektorakzeptanz:



# L/T Separation

$W=1125 \text{ MeV}, q^{*2}=-0.117 \text{ (GeV/c)}^{*2}$

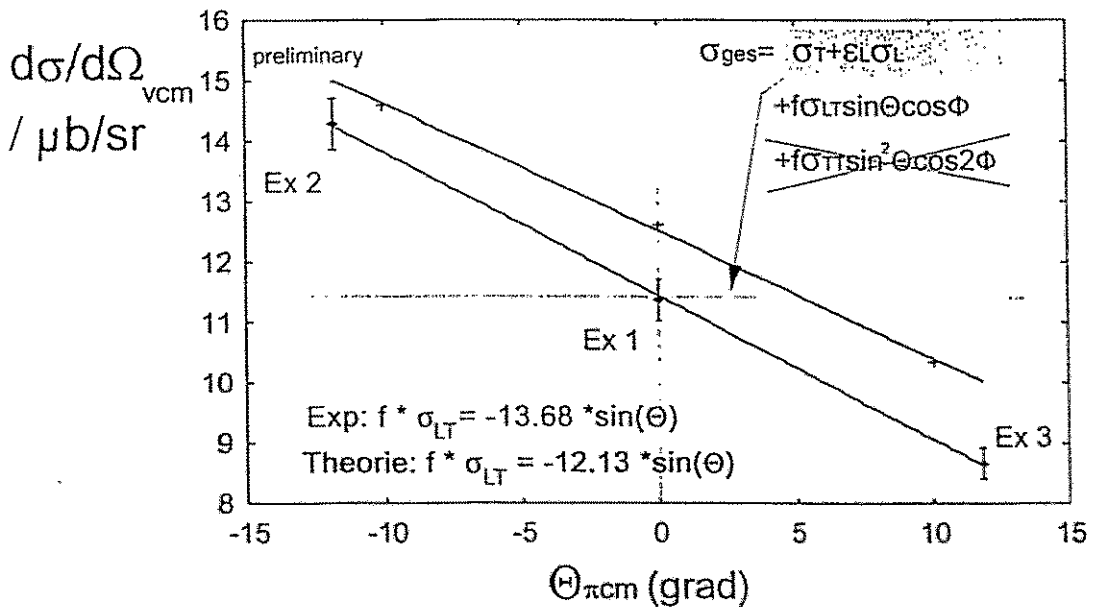


A1-Kollaboration, Inst. f. Kernphysik, Uni Mainz

A.W. Richter 10/94

# Interferenzterm LT

$W=1125 \text{ MeV}, q^{*2}=-0.117 \text{ (GeV/c)}^{*2}, \epsilon=0.834$



A1-Kollaboration, Inst. f. Kernphysik, Uni Mainz

A.W. Richter 10/94

## CERN/LEAR-Aktivitäten (*Koordinator: U. Landgraf*)

1. **J. Pretz** (Mainz)  
Messung der Valenz- und Seequarkpolarisation im Nukleon
2. **J. Hartmann** (München)  
Laserspektroskopie langlebiger Zustände in antiprotonischem Helium
3. **T. v. Egidy** (München)  
Antiprotoninduzierte Spaltung und Kernaufheizung
4. **J. Brose** (Mainz)  
Untersuchung der Annihilation von Antiprotonen in Deuterium
5. **T. Degener** (Bochum)  
Anwendung neuronaler Netze in der Datenanalyse



# Messung der Valenz- und Seequarkpolarisation im Nukleon

Spin Muon Collaboration

Jörg Pretz  
Universität Mainz

Pirm<sup>a</sup> '94  
Ort. '94

## Woher kommt der Spin des Nukleons?

- statisches SU(6) Quarkmodell:  

$$|P\rangle = \frac{1}{\sqrt{18}} (2u^\uparrow u^\uparrow d^\downarrow - u^\uparrow u^\downarrow d^\uparrow - u^\downarrow u^\uparrow d^\downarrow + \text{perm.})$$

$$\Rightarrow \Delta u := u^\uparrow - u^\downarrow = \frac{4}{3} \quad \frac{1}{2}$$

$$\Delta d := d^\uparrow - d^\downarrow = -\frac{2}{3} \quad \frac{1}{2}$$
- inklusive tief inelast. l-N Streuung  
 $\vec{L} + \vec{N} \rightarrow \vec{L}' + X$  & SU(3) Matrixelem.  $\vec{L}, D$

$$\Rightarrow \Delta U = \Delta u + \Delta \bar{u} = 0,83 \pm 0,03$$

$$\Delta D = -0,43 \pm 0,03$$

$$\Delta S = -0,10 \pm 0,03$$

$$\Rightarrow \Delta \Sigma = \Delta U + \Delta D + \Delta S = 0,37 \pm 0,07$$

→ Keine Trennung von

$\Delta q$  und  $\Delta q_S$  möglich!

→ Keine Messung der x-Bjorken-  
Abhängigkeit  $\Delta q(x)$  möglich!

Semi-inklusive  $l$ -Nukleon

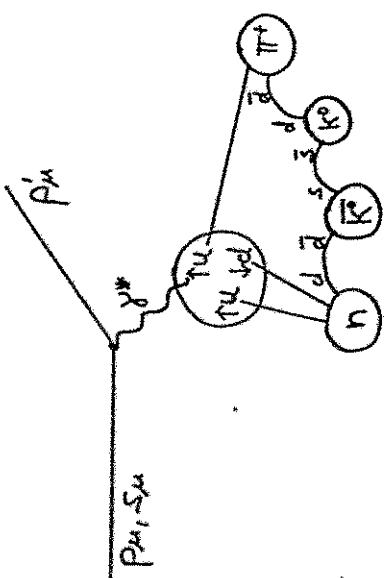
Streuung:  $l + N \rightarrow l' + \text{Hadron} + X$

$$Q^2 = -(p_l - p_{l'})^2$$

$$\nu = E - E'$$

$$x = \frac{Q^2}{2M_p \nu}$$

$$z = \frac{E_{\text{Had}}}{\nu}$$



$$\sigma_h^{\pm}(z) \stackrel{\text{QPM}}{\sim} \sum_{i=u,d,s} e_i^2 q_i^{\pm}(x) \cdot D_{q_i}^h(z)$$

$$A^h(x, z) = \frac{\sigma_h^{\pm}(x, z) - \sigma_{h, \text{nonstr}}^{\pm}(x, z)}{\sigma_h^{\pm}(x, z) + \sigma_{h, \text{nonstr}}^{\pm}(x, z)}$$

$$A^h(x, z) = \frac{\sum e_i^2 \Delta q_i(x) D_{q_i}^h(z)}{\sum e_i^2 q_i(x) D_{q_i}^h(z)}$$

$$\Delta q = q^{\uparrow} - q^{\downarrow}$$

$$q = q^{\uparrow} + q^{\downarrow}$$

Allgemein gilt:

$$A(x, z) = \sum_i c_i \Delta q_i(x)$$

wobei  $c_i = c_i(q(x), D(z))$

-  $q(x)$ : unpolarisierte Quarkverteilungen sind gemessen

-  $D(z)$ : Es tauchen 36 Fragmentationsfunktionen auf:

$$D_{u, \bar{u}, d, \bar{d}, s, \bar{s}}^{\pi^+, \pi^-, K^+, K^-, \bar{K}^+, \bar{K}^-}$$

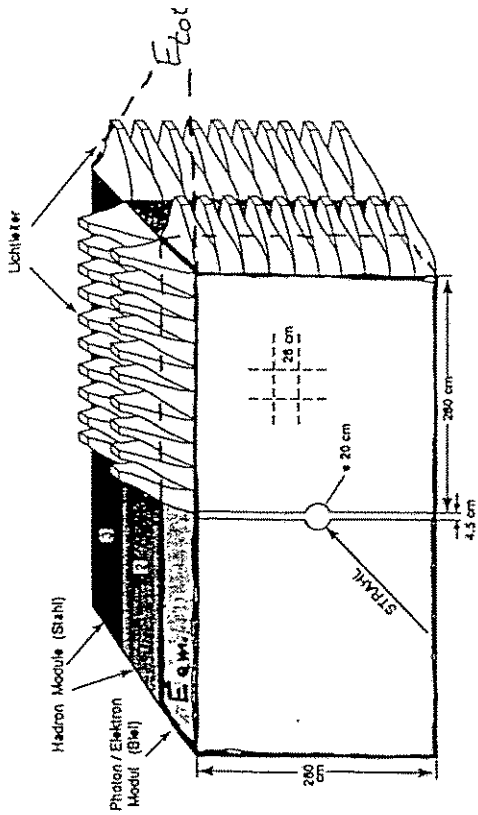
EMC hat unter Annahme von Isospin- und Ladungskonjugationsymmetrie die nonstrange FF bestimmt:

$$D_u^{\pi^+} = D_d^{\pi^-} = D_{\bar{u}}^{\pi^+} = D_{\bar{d}}^{\pi^-}$$

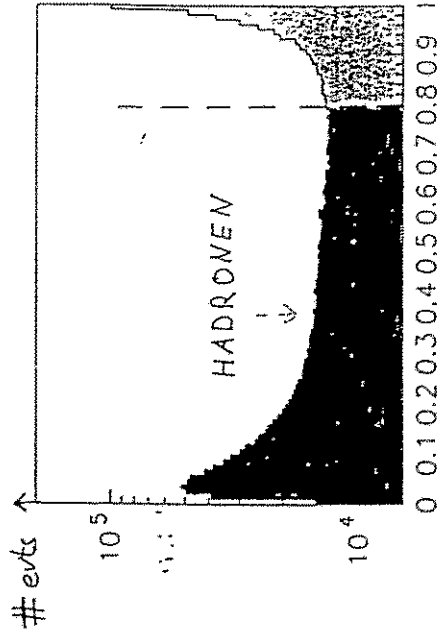
$$\vdots \quad \vdots \quad \vdots \quad \vdots$$

Unter Annahme von SU(3)-Flavoursymmetrie können auch die  $D_{s, \bar{s}}$  durch die EMC-FF ausgedrückt werden.

# Kalorimeter



e.m. - Teil: 20 Strahlungslängen  
 insgesamt: 5,5 hadr. WW-Längen

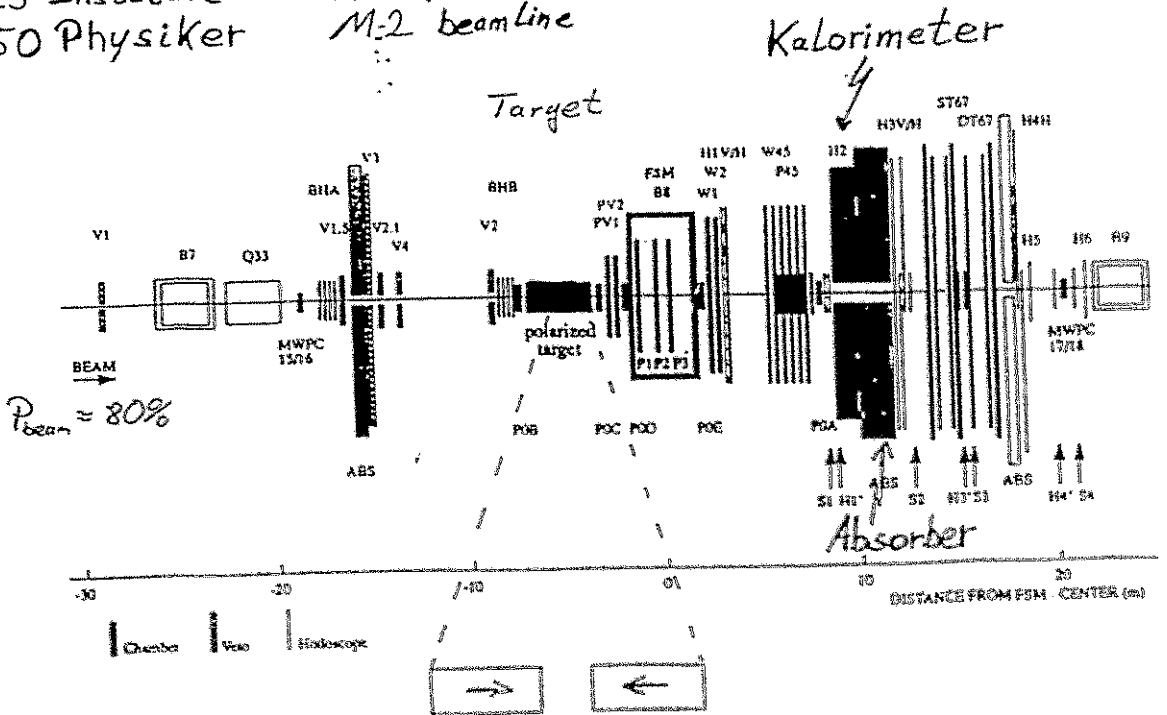


Keine Separation von  $\pi, K$  und  $p$

## SMC EXPERIMENT - SPECTROMETER

~ 25 Institute  
 ~ 150 Physiker

CERN Na47  
 M:2 beamline

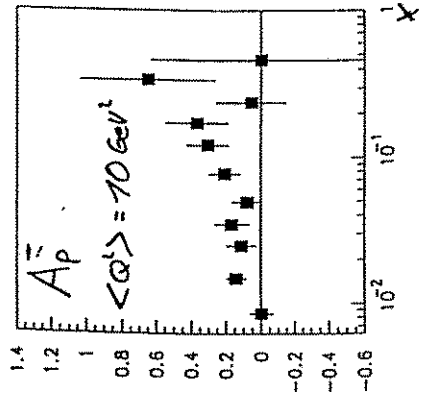
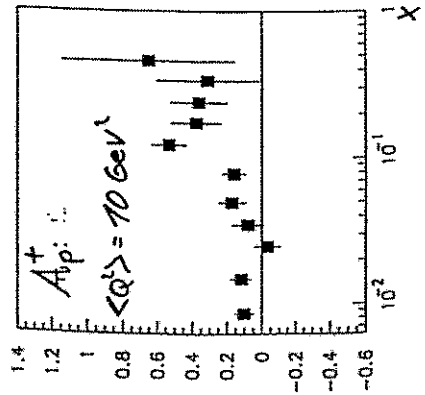
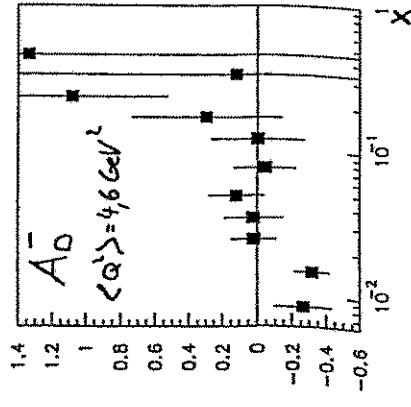
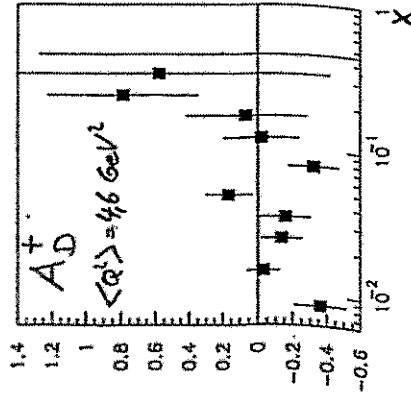


# Semi-inklusive Asymmetrien <sup>7</sup>

$$A = \frac{1}{\rho_B} \frac{P_T \cdot D}{P_T \cdot D} A_{raw}$$

$\rho_B$ : dilution-Faktor  
 $P_T$ : Strahl-Targetppl.  
 $D$ : Depolarisations-Faktor

da  $A(x, \bar{x}) = A(x)$  integriere über  $\bar{x}$  mit  $z_{min} = 0.2$



$0.006 < x < 0.6$

# Methode

Mit Deuteron- und Protontarget können 6 Asymmetrien gemessen werden:

$$\begin{pmatrix} A_D^+ \\ A_D^- \\ A_P^+ \\ A_P^- \\ A_D^{\mu} \\ A_P^{\mu} \end{pmatrix} = \hat{C}(q, D) \begin{pmatrix} \Delta u \\ \Delta \bar{u} \\ \Delta d \\ \Delta \bar{d} \\ \Delta s \\ \Delta \bar{s} \end{pmatrix}$$

semi-inkl. Asymmetrien:  $A_D^+, A_D^-, A_P^+, A_P^-$   
 inkl. Asymmetrien:  $A_D^{\mu}, A_P^{\mu}$

$$\begin{aligned}
 \Delta u &= \Delta u_v + \Delta u_s \\
 \Delta d &= \Delta d_v + \Delta d_s
 \end{aligned}$$

Annahme:

$$\Delta u_s = \Delta \bar{u} = \Delta d_s = \Delta \bar{d} =: \Delta \bar{q}$$

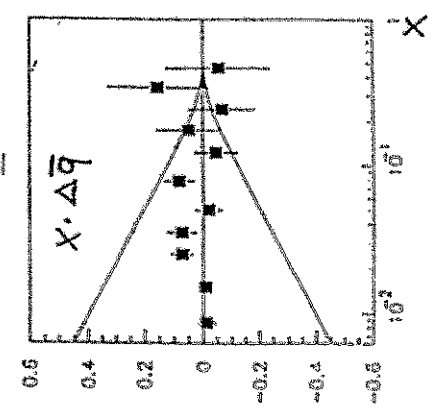
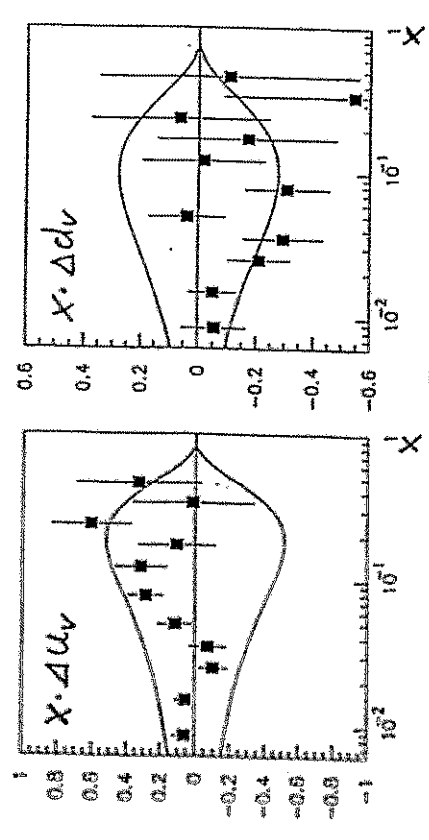
Sensitivität auf  $\Delta \bar{s}$  zu gering ( $\delta_{(s)} > 5$ )  
 $\rightarrow$  Annahme:  $\Delta s + \Delta \bar{s} = \alpha s$ ,  $\alpha$  so bestimmt, daß  $Sdx (ss + \Delta \bar{s}) = -0.12$

$\rightarrow$  Löse LGS für

$\Delta u_v, \Delta d_v \text{ und } \Delta \bar{q}$

$\Delta u_v, \Delta d_v$  und  $\Delta \bar{q}$

Kurven: unpol. Quarkverteilungen  $q_i(x)$   
 $|\Delta q_i(x)| = |q_i^{\uparrow}(x) - q_i^{\downarrow}(x)| \leq q_i^{\uparrow}(x) + q_i^{\downarrow}(x) = q_i(x)$



Ergebnisse

$$\int_0^1 dx \Delta u_v(x) = 0,83 \pm 0,26$$

$$\int_0^1 dx \Delta d_v(x) = -0,67 \pm 0,33$$

$$\int_0^1 dx \Delta \bar{q}(x) = 0,07 \pm 0,07$$

nur statistischer Fehler!

## Zusammenfassung 11

- erste Messung von semi-inklusiven Spin-Asymmetrien bei

$$Q^2 = 4,6 \text{ bzw. } 10 \text{ GeV}^2$$
$$0,006 < x < 0,6$$

dadurch möglich:

- Trennung von  $\Delta q_v$  und  $\Delta q_s$
- Bestimmung der x-Bjorken Abhängigkeit von  $\Delta q(x)$

- Ergebnis:

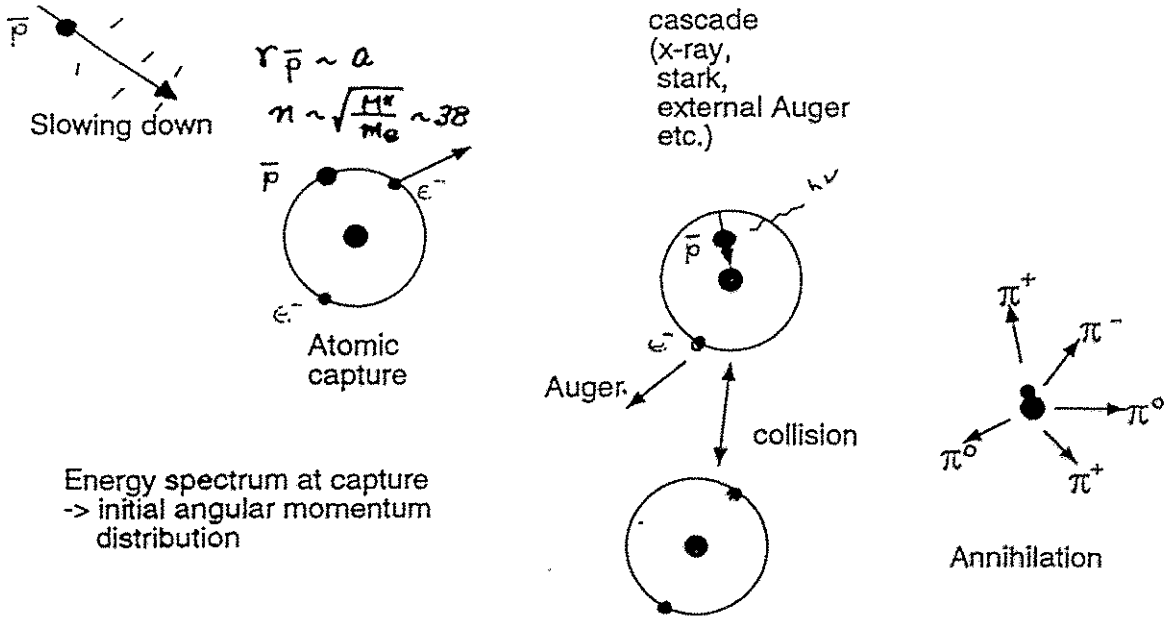
$$\Delta u_v > 0, \Delta d_v < 0, \Delta \bar{q} = 0$$

→ Spin wird von Valenz- und nicht von den non-strange Seequarks getragen

## Ausblick

- '94-er Daten werden Deuteronstatistik vervierfachen
- geplant: '95 Messung mit Protontarget

# Fate of $\bar{p}$ stopping in condensed matter



## Laserspektroskopie langlebiger Zustände in antiprotonischem Helium

N. Morita, M. Kumakura

Institute for Molecular Science, Myodaiji, Okazaki 444, Japan

T. Yanazaki, E. Widmann, H. Masuda, I. Sugai  
 Institute for Nuclear Study, University of Tokyo  
 3-2-1 Midori-cho, Tanashi, Tokyo 188, Japan

R. S. Hayano, F. E. Maas, H. A. Torii  
 Department of Physics, University of Tokyo  
 7-3-1 Hongo, Bunkyo-ku, Tokyo 113, Japan.

F. J. Hartmann, H. Daniel, T. von Egidy, B. Ketzner, W. Müller, A. Niesstroj,  
 W. Schmid

Physik-Department, Technische Universität München  
 D-85747 Garching, Germany

D. Horváth  
 MFKI Research Institute for Particle and Nuclear Physics  
 H-1525 Budapest, Hungary

J. Eades  
 CERN, CH-1211 Geneva 23, Switzerland

M. Inasaki et al., PRL 67, 1246 (1991): KEK

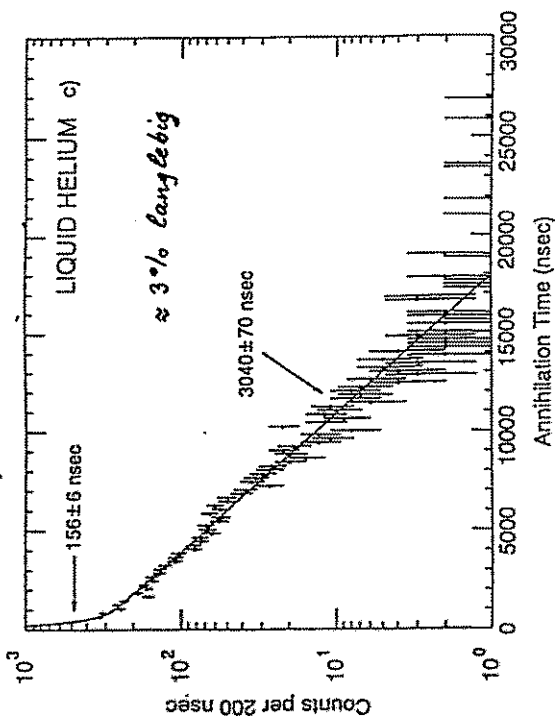


Fig. 2c)

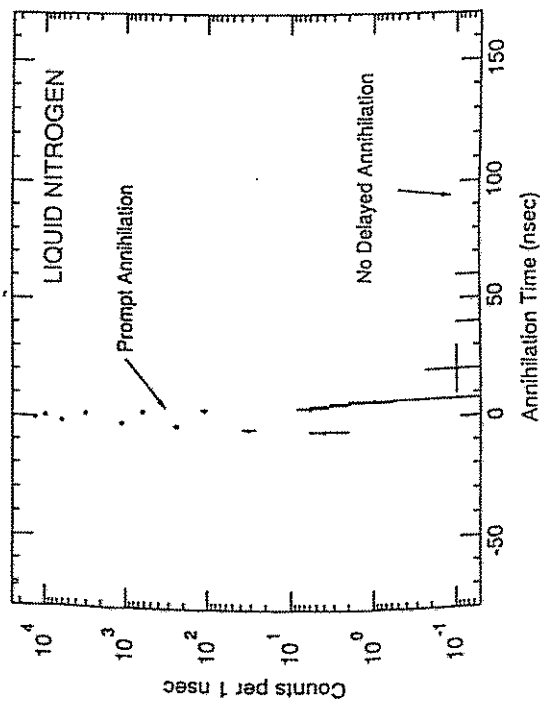
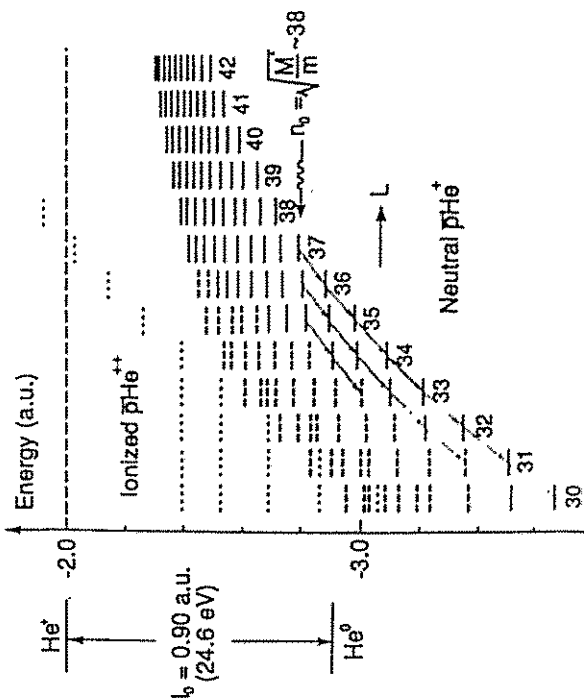
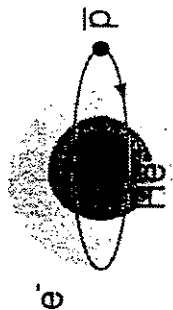
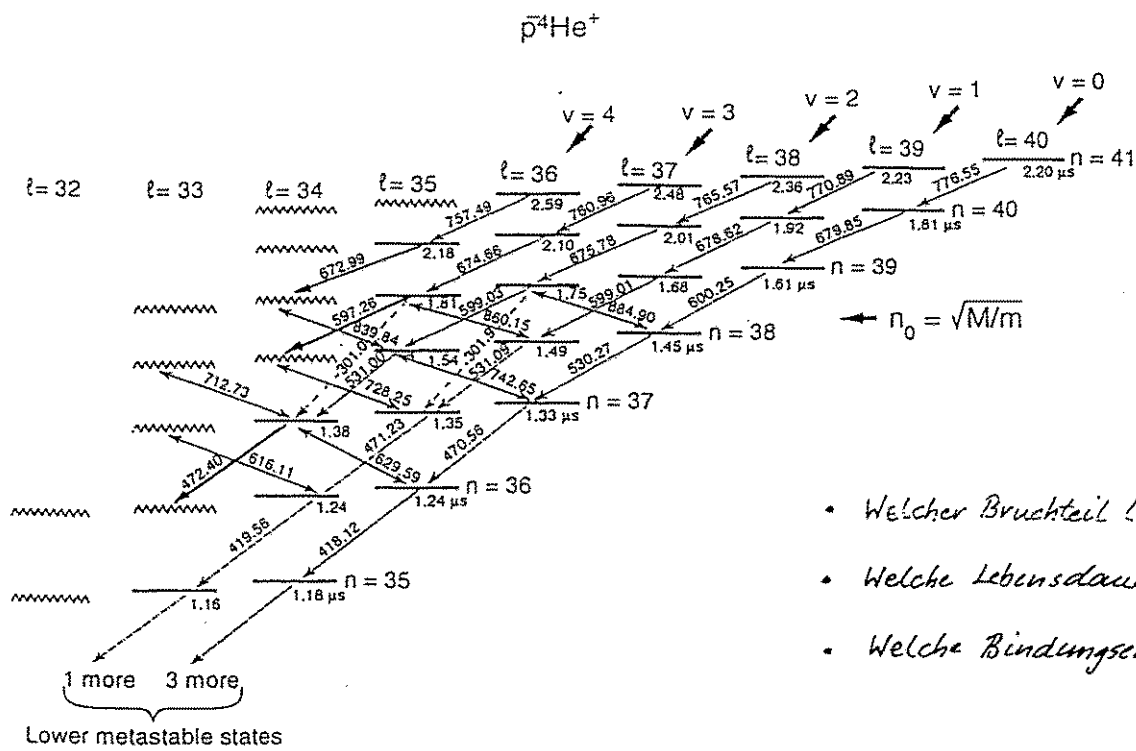


Fig. 3

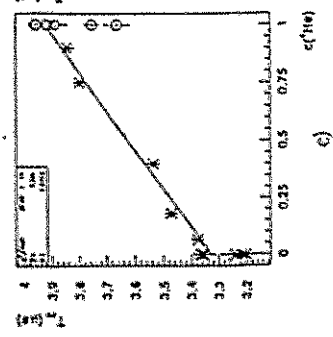
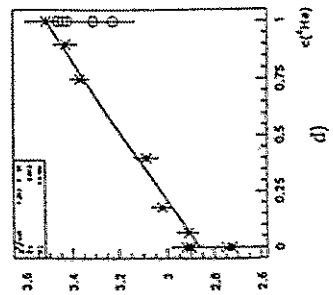
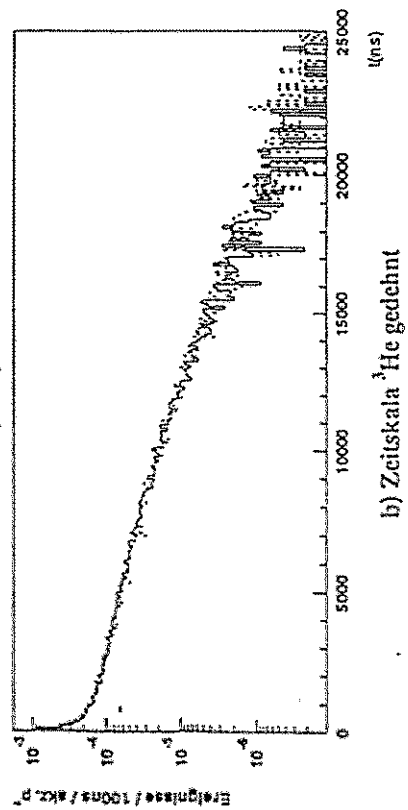
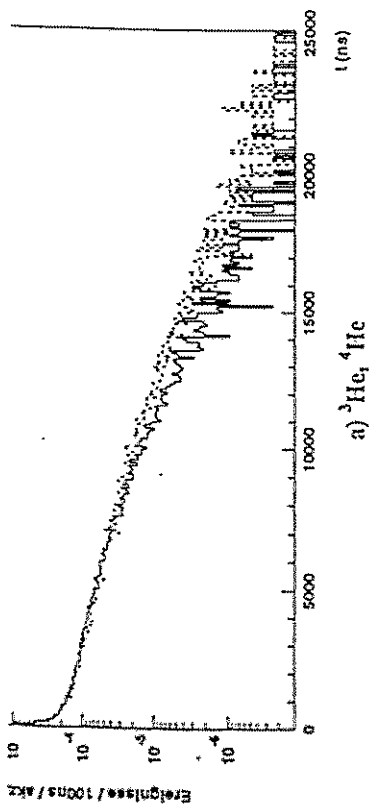
# Laserspektroskopie langlebiger Zustände im antiprotonischem He

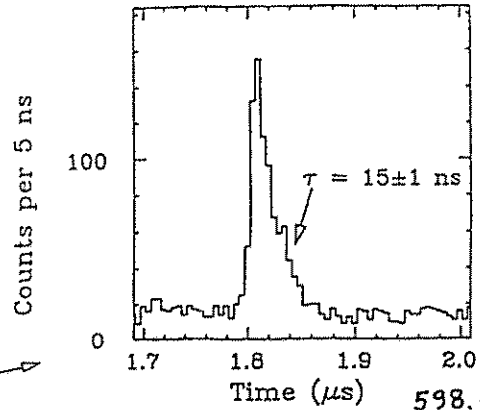
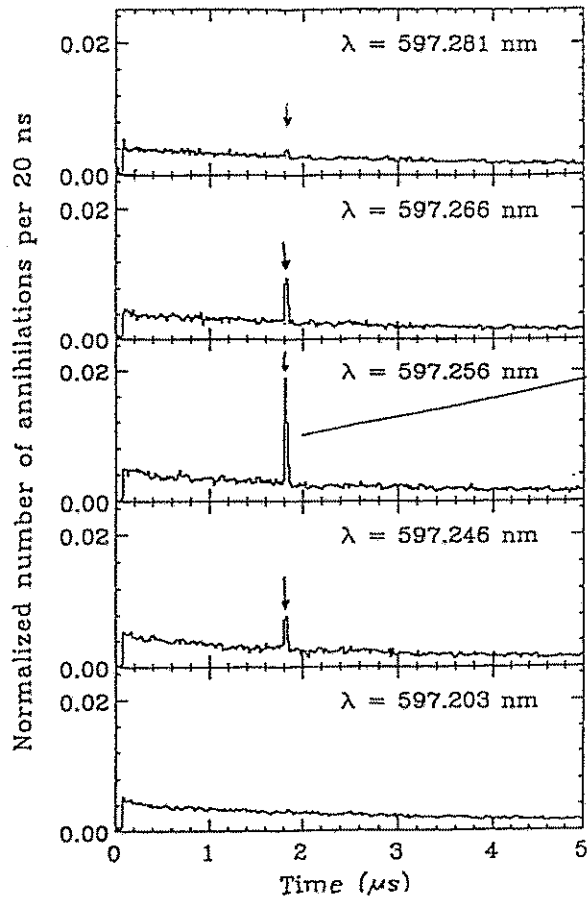




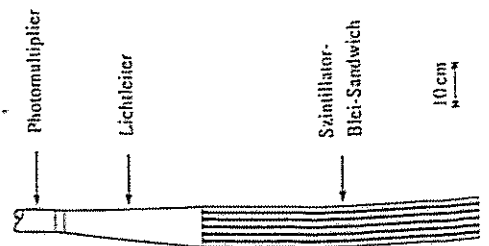
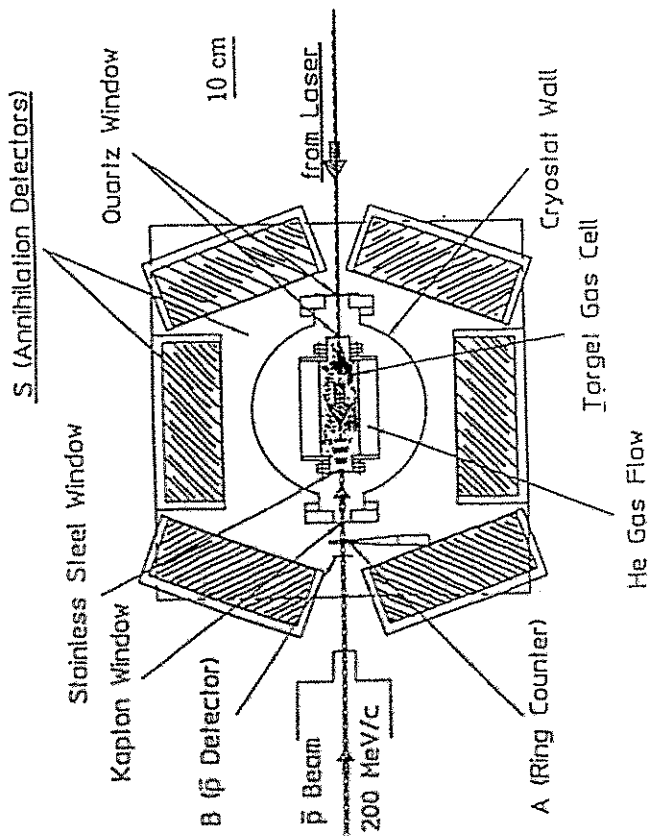
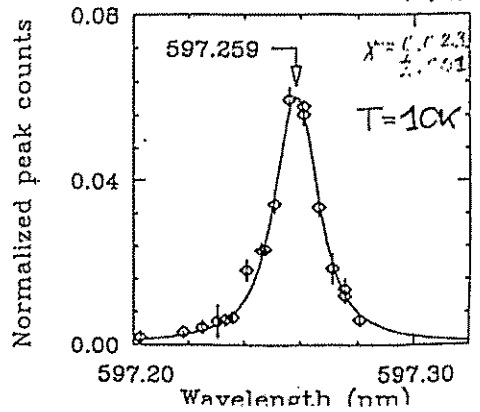


- Welcher Bruchteil langlebiger?
- Welche Lebensdauern?
- Welche Bindungsenergien?





598.01 Shi  
 $\lambda = 597.259(2)$ ; 598.10 Yre  
 (39,35  $\rightarrow$  38,34) 597.14



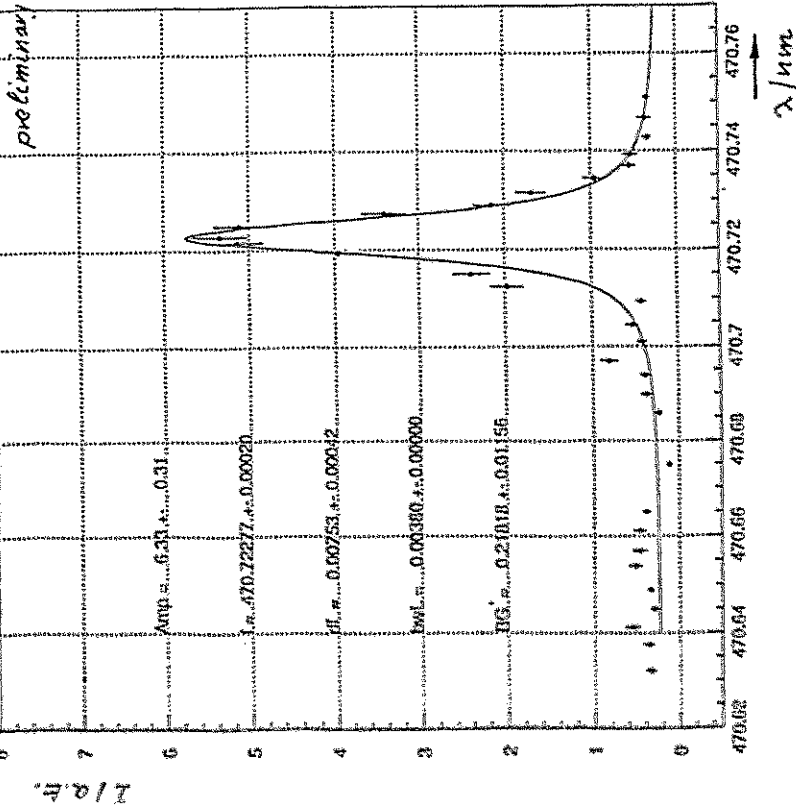
1994

neue Resonanz

20/09/94 15:54

5K-3RD\_LAS2.dal  $\lambda = 470.724(2) \text{ nm}$

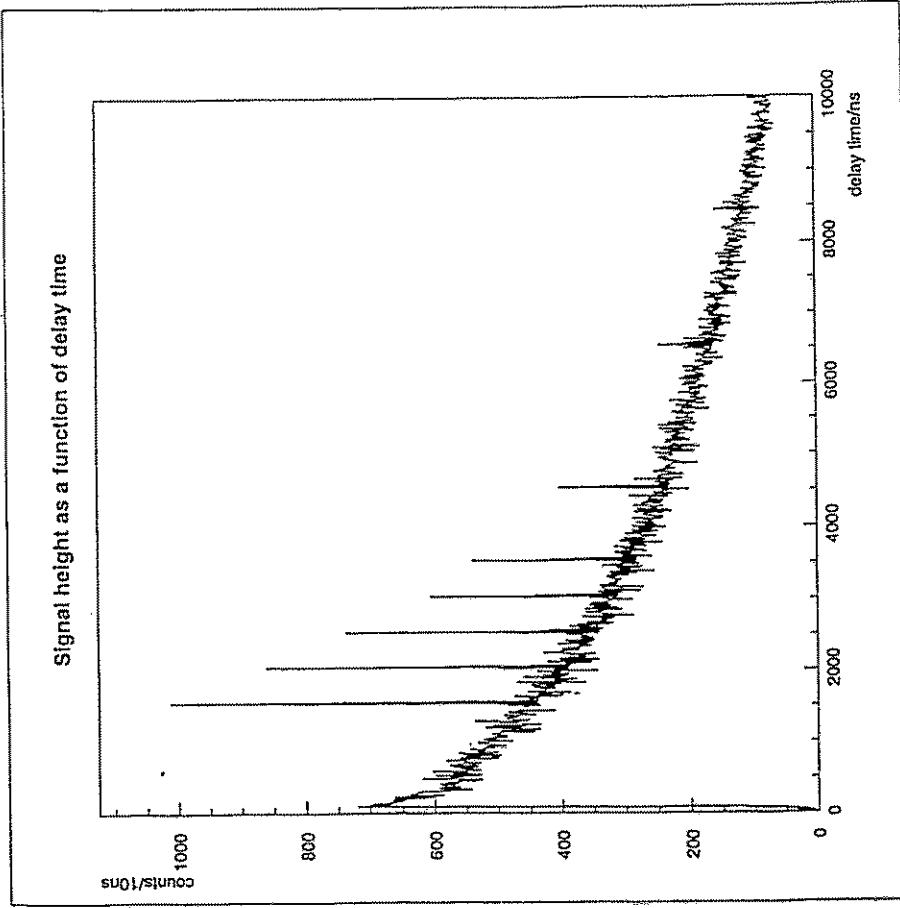
(37, 34)  $\rightarrow$  (36, 33)

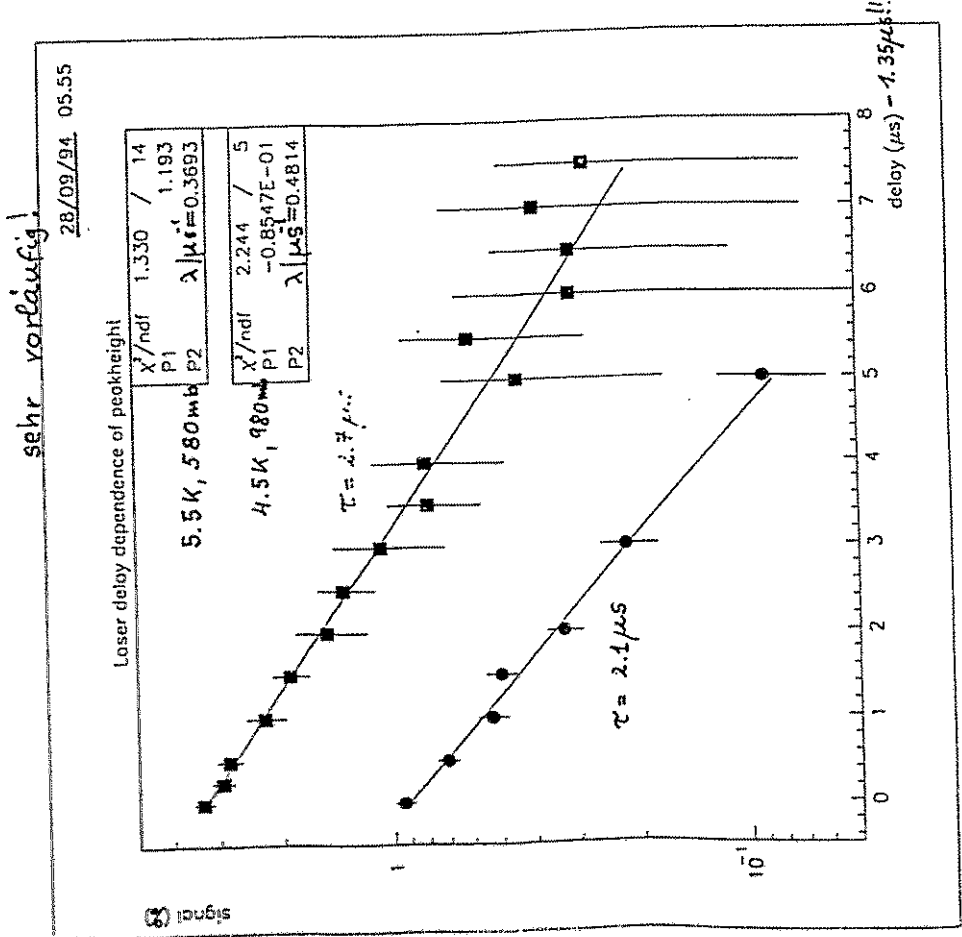
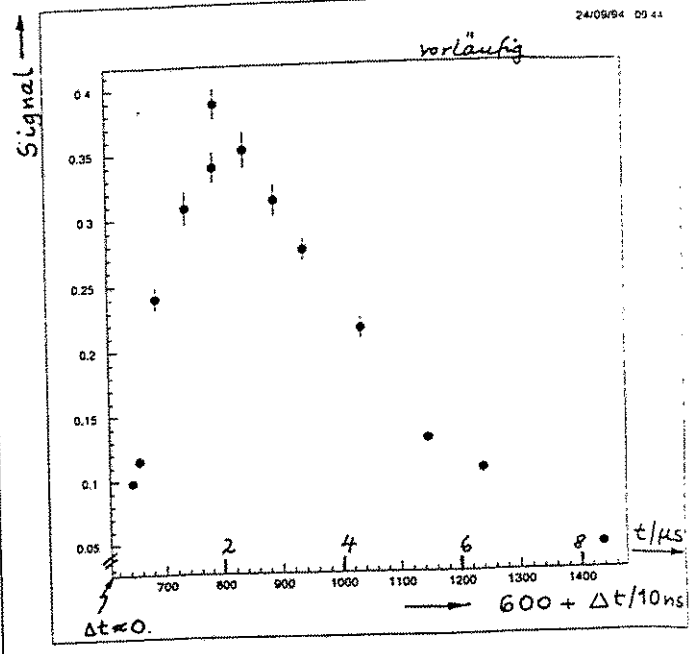
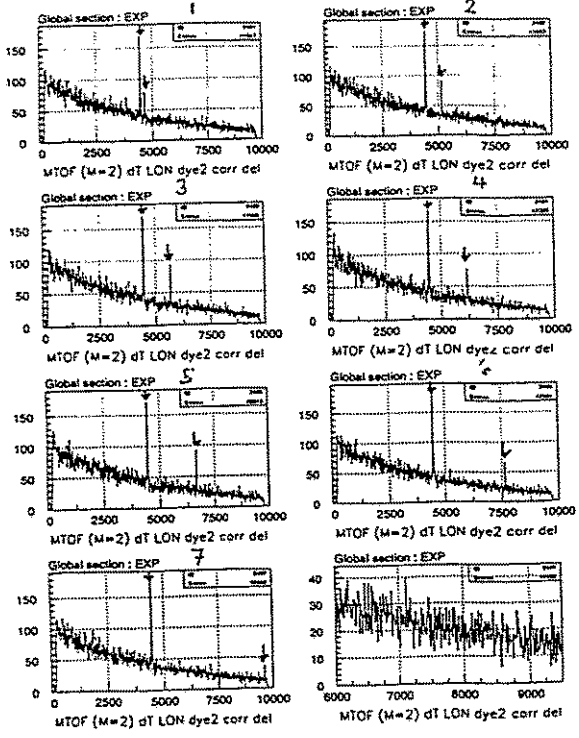


$\lambda = 470.49 \text{ nm}$  Gatsuki

$\lambda = 471.36 \text{ nm}$  Shimemura

$\lambda = 470.81 \text{ nm}$  Karavtsev

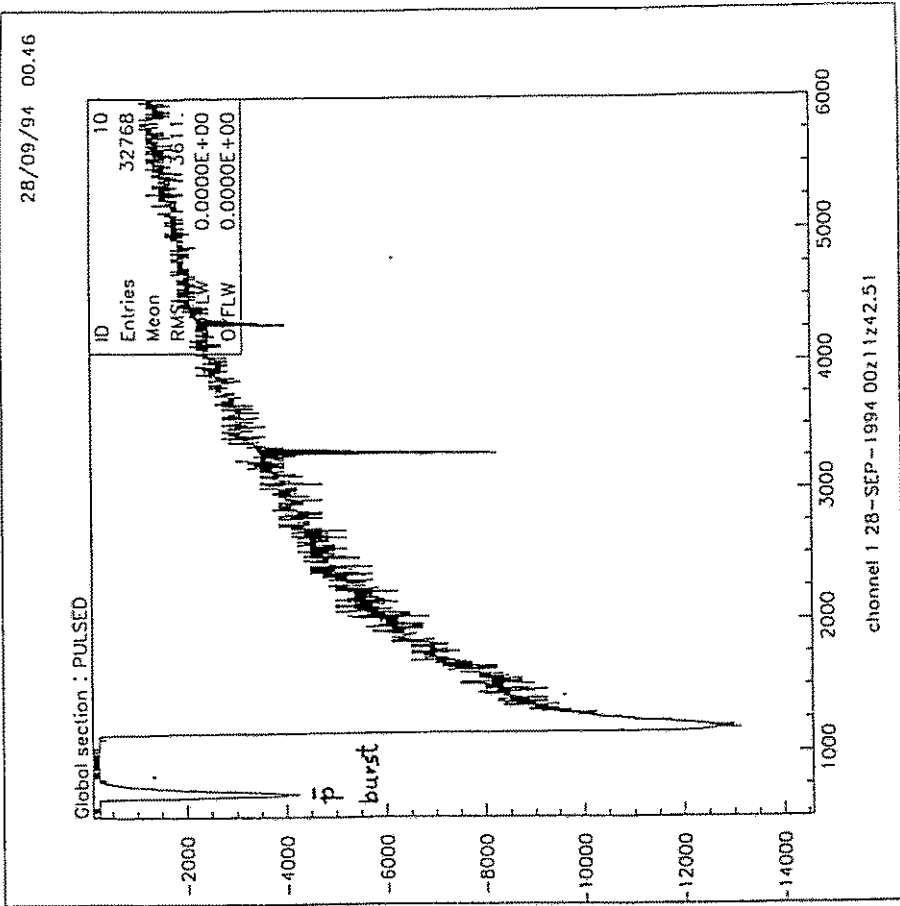




"Pulsed extraction",  $\sim 6 \cdot 10^8 \bar{p}$  in ca. 200 ns.

gepulster PM,

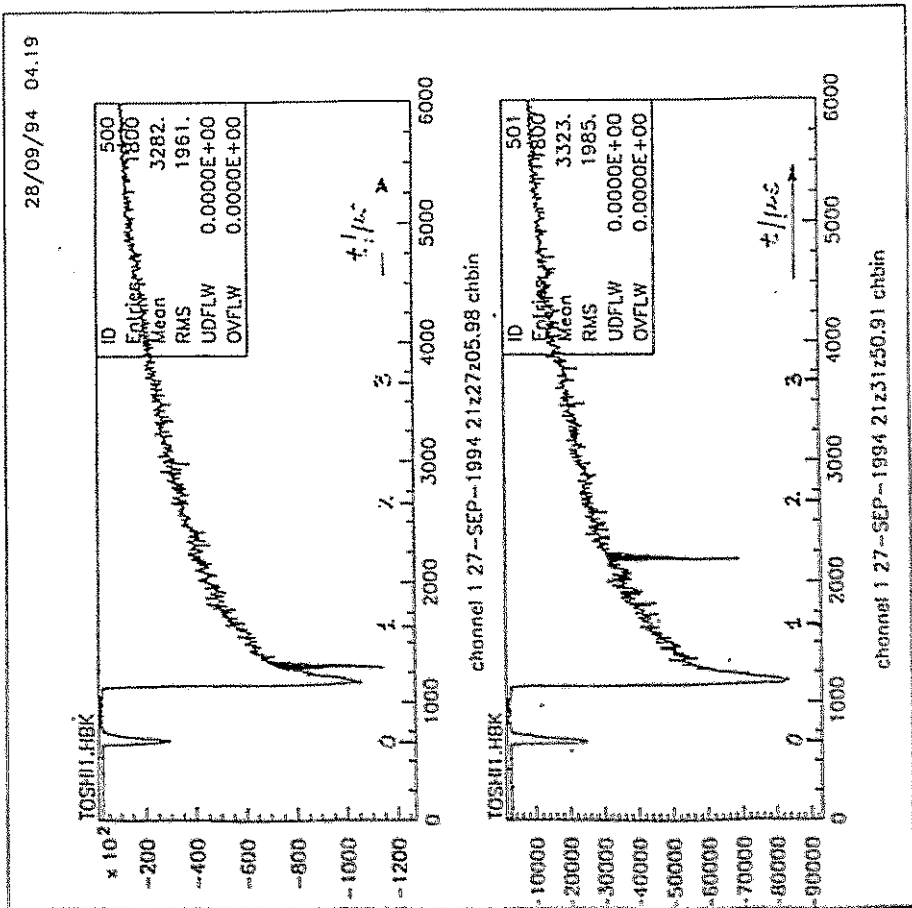
PM-Signal auf Digitaloszill. 2 Gs/s.



"Pulsed extraction",  $\sim 6 \cdot 10^8 \bar{p}$  in ca. 200 ns.

HV - PM gepulst.

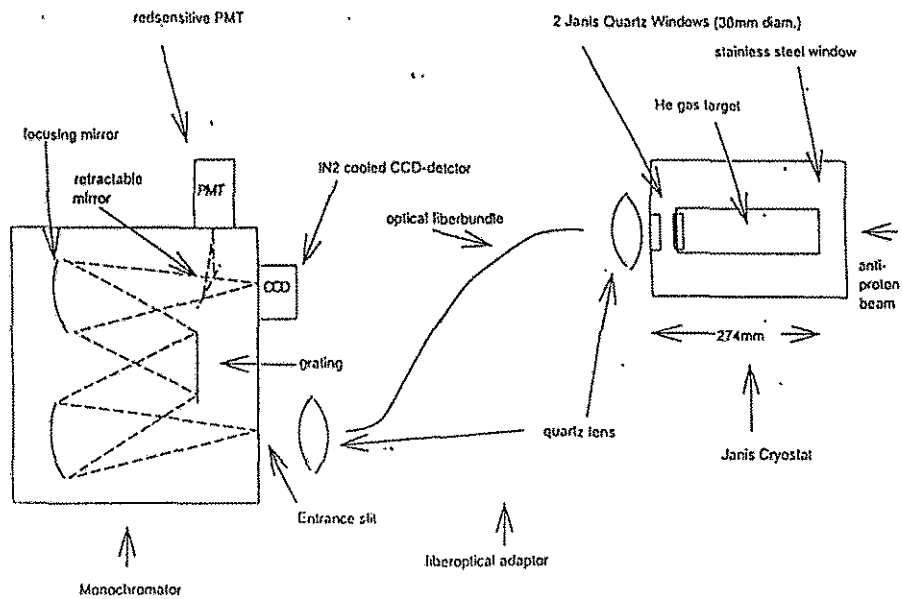
PM - Signal auf Digitaloszill. - 2 Gs/s.



## Monochromator

Zweck: Erster direkter Nachweis der Übergänge in hochangeregten exotischen Atomen (400 – 700 nm)

- Holographisches Beugungsgitter
- Auslese mit CCD-Detektor ( $500 \times 500$  Pixel)  $\sim 1 e^-/px/4 + 8 e^-/px$ .
- Meßbereich bei einer Messung ca. 10 nm
- Auflösung bis zu  $\Delta\lambda \approx 0.008 \text{ nm}$  ( $10 \mu\text{m}$  Spalt).
- Effizienz total ca.  $6.4 \cdot 10^{-6}$  ( $\sim 1.4 \cdot 10^{-5} \cdot 0.61 \cdot 0.75$ ).
- Ankopplung an das Target durch Glasfaserlichtleiter
- Untergrund: Allgemeiner Strahlungsuntergrund, Photonen aus Abbremsung der Antiprotonen und aus Bremsung der Pionen, geladene Teilchen



T.v.Egidy, TU Mü

# Antiprotoninduzierte Spaltung und Kernaufheizung

Experiment PS 203 at LEAR  
PS 208

TU Munich: T.v.E., F.J. Hartmann, S. Schmid,  
W. Schmid

HMI Berlin: D. Hilscher, D. Polster, H. Rosner

INR Moscow: D.I. Ivanov, A.S. Iljinov, E.S. Golubeva,  
M.V. Mebel, V.G. Nedorezov, A.S. Sudov,  
I.A. Pihenichnov

Warsaw University: A. Grabowska, J. Jastrzebski,  
W. Kurcewicz, P. Lubinski, A. Trzcinska

KFA Jülich: H. Machner

FSU Tallahassee: H. S. Plendl

CERN Geneva: J. Eades, S. Neumaier

## Antiprotonen-Kern-Wechselwirkung

Experimentelle Methoden

### Experimente am Low-Energy-Antiproton-Ring LEAR bei CERN

Bisher mit gestoppten Antiprotonen (100, 200, 300 MeV/c).  
Ab 1994 auch mit 2 GeV/c Antiprotonen;  
dadurch erwartet man eine wesentlich höhere Kernaufheizung.

Teilchenspektren gemessen mit Teleskopen und TOF.  
Spaltfragmente: E, A,  $\theta$  beider Fragmente.  
Absolute Spaltwahrscheinlichkeit.  
Restkernverteilung durch Messung der induzierten  $\gamma$ -Strahlung.

### - Neues Gerät (1994): Berliner Ball

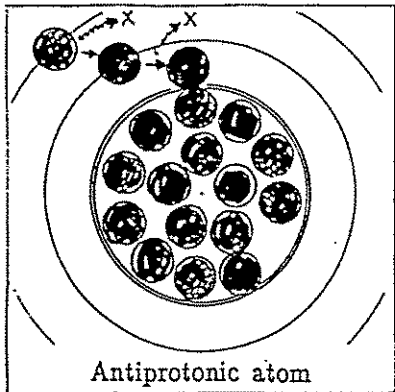
4 $\pi$ -Neutronen-Detektor (1.4m Durchmesser)  
darin 4- $\pi$ -Si-Detektor für geladene Teilchen und Fragmente.

Mißt die Reaktionen sehr heißer Kerne  
(Teilchenemission, Fragmentenergien)  
als Funktion der Anregungsenergie  
(bis über 500 MeV, gemessen durch Neutronenmultiplizität).

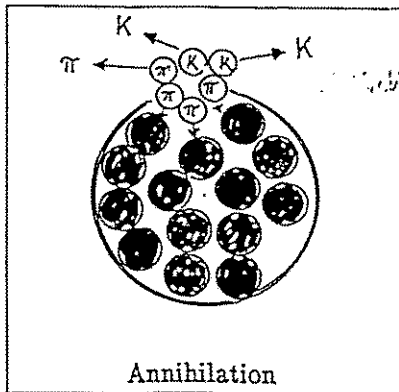
### Neutronenhalo

nachgewiesen durch Messungen der  $\gamma$ -Strahlung der (A-1) Kerne

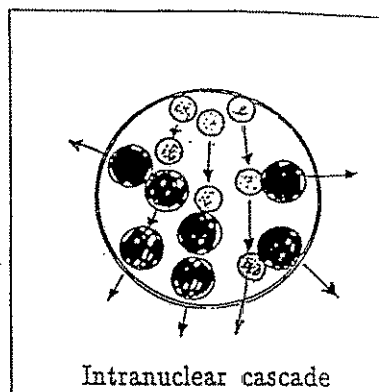
Reactions



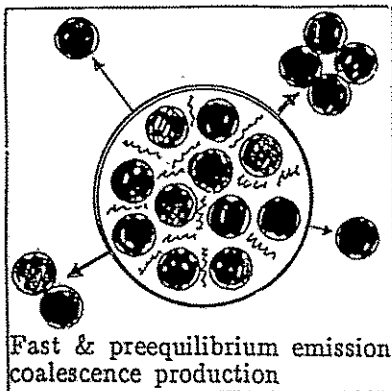
Antiprotonic atom



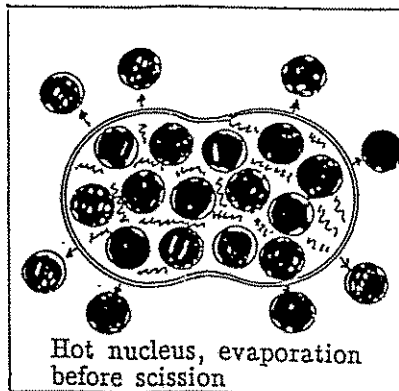
Annihilation



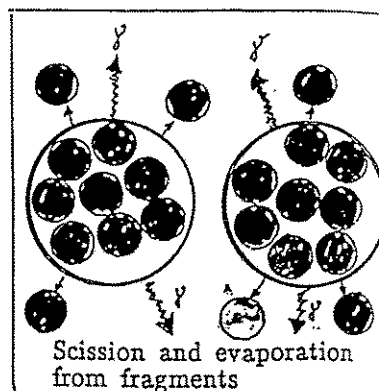
Intranuclear cascade



Fast & preequilibrium emission, coalescence production

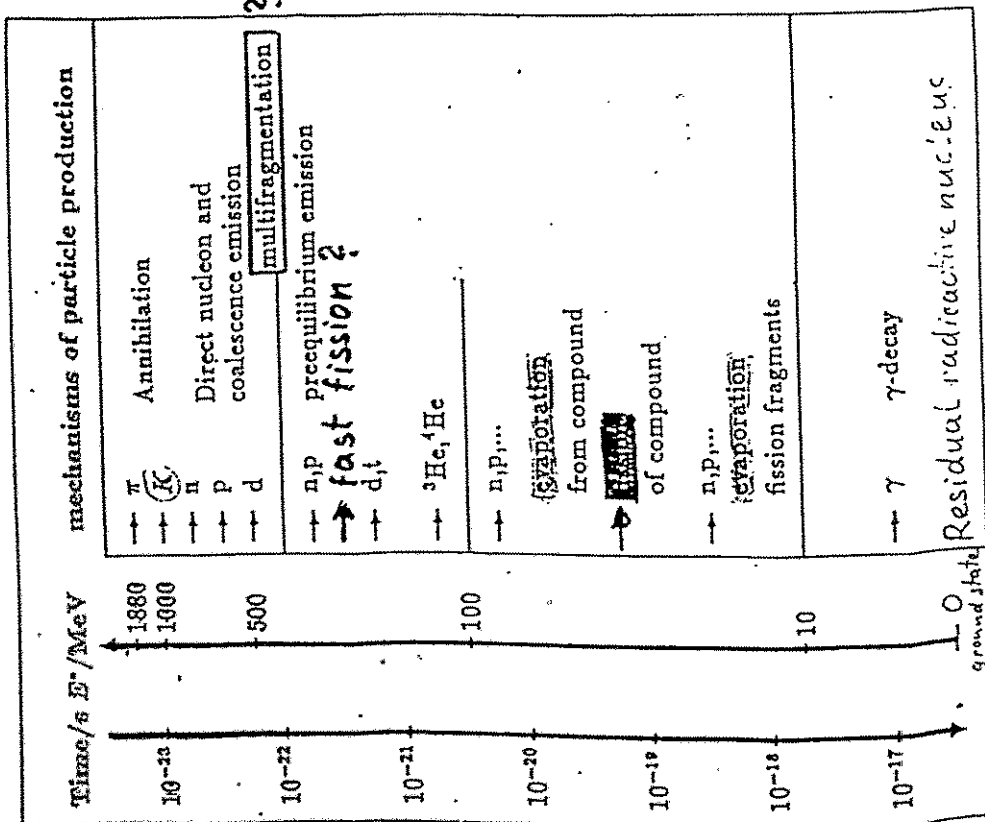


Hot nucleus, evaporation before scission



Scission and evaporation from fragments

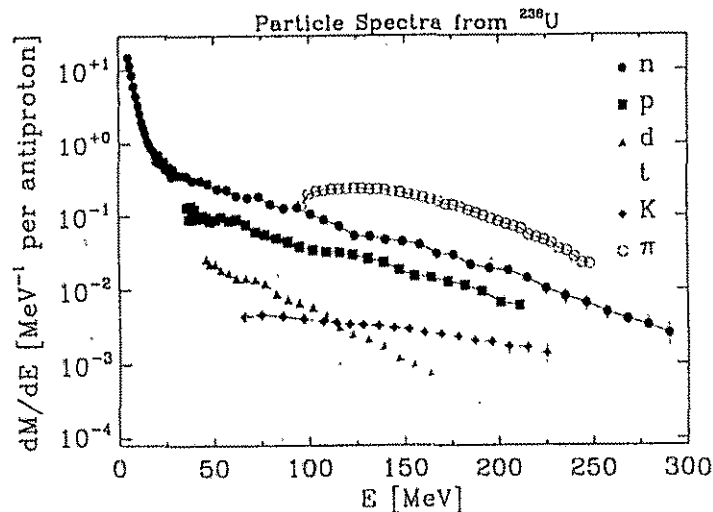
**Time Scale and Energy Scale**  
after Antiproton-Nucleus Annihilation





## Warum studieren wir Antiproton-Kern-Wechselwirkung?

- 1) Antiprotonische Atome: Antiproton-Kern-Potential
- 2) Einfluß der Kernmaterie auf Annihilation?
- 3) Strangenessproduktion, Multipionreaktion
- 4) Heiße Kerne, bis 1 GeV thermalisiert,
- 5) Kleiner Drehimpuls, ohne Kompression
- 6) Teilchenemission kann gemessen werden.
- 7) Restkernverteilung gibt Energiedeposition.
- 8) Spaltung: neue Moden?  
Viele Parameter zu messen:  $E_1, E_2, m_1, m_2, \dots$
- 9) Neutronen vor und nach Spaltung:  
ergibt Zeitskala:  $10^{-16} - 10^{-23} \text{ s}$ .
- 10) Vergleich mit intranuklearen Kaskadenrechnungen gibt Details der Prozesse in heißen Kernen:  
Schnelle Kaskade, Präequilibriumprozesse, Multi-fragmentation, Koaleszenz, Trawling-Effekt, Verdampfung, Thermalisierung, Spaltung, .....
- 11) Komplementär zu Schwerionenreaktionen
- 12) n-Halo durch  $\bar{p}$ -Annihilation



Total mass:  $m_1 + m_2 = TM$  of fission fragments

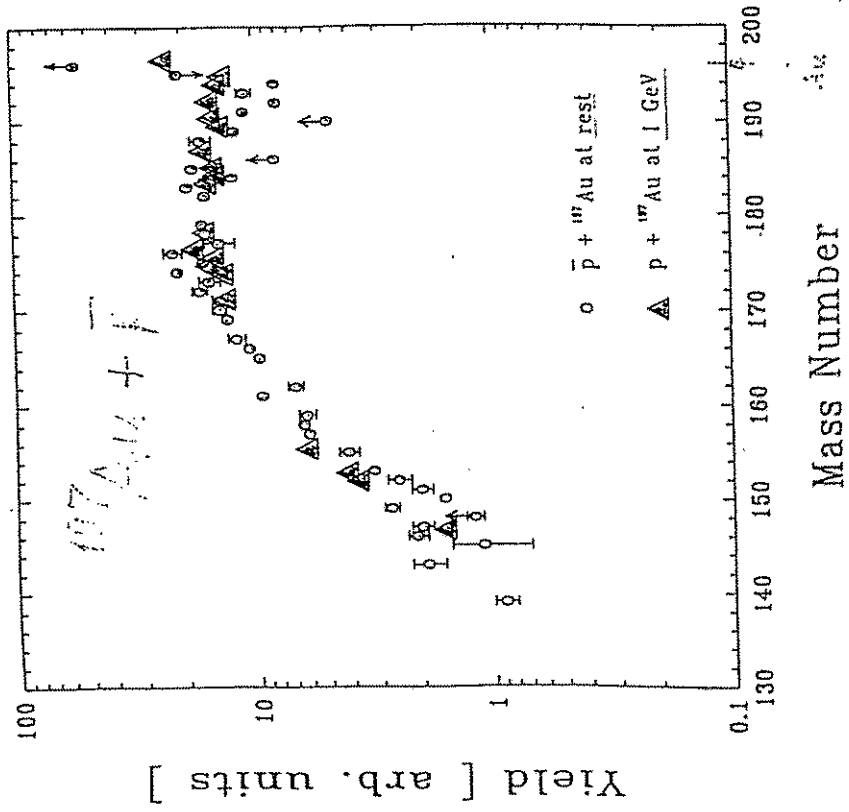
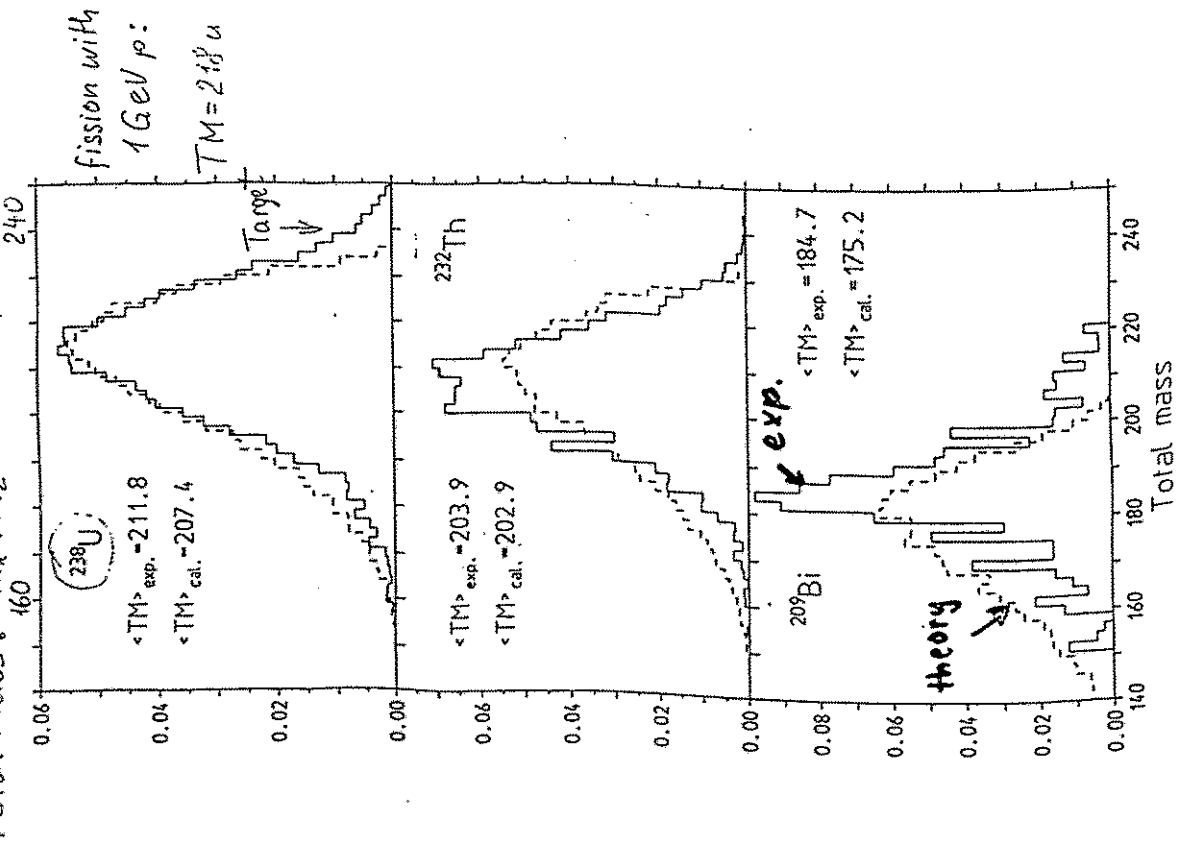
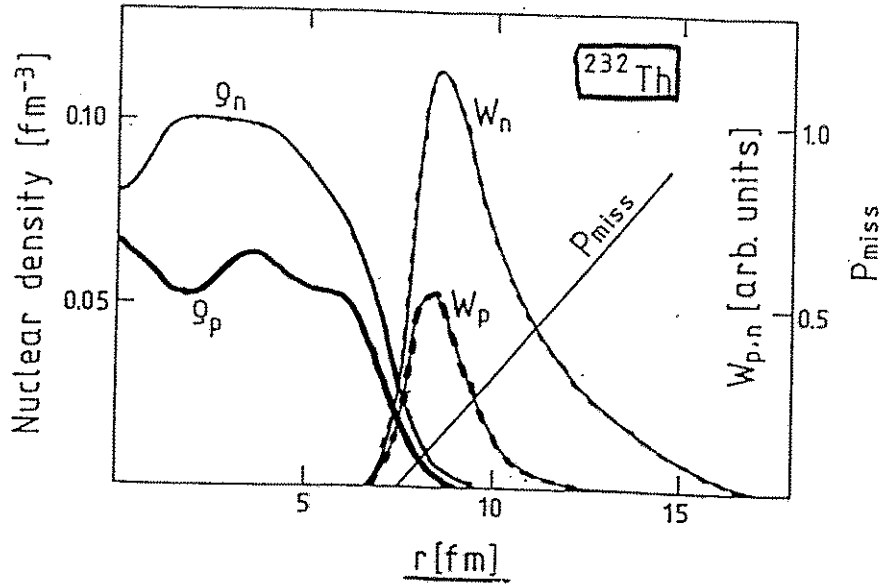
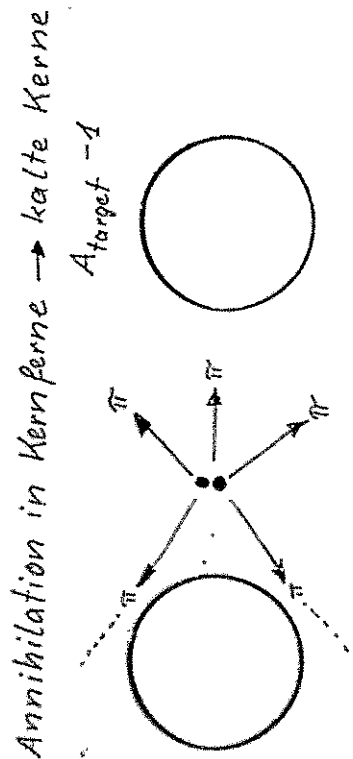
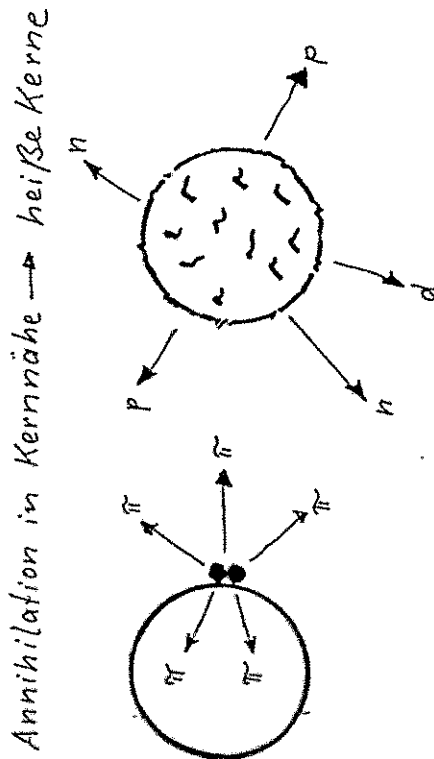


Figure 1. Comparison of the mass yield distributions in the spallation region for the  ${}^{197}\text{Au} + \bar{p}$  at rest and  ${}^{197}\text{Au} + p$  at 1 GeV [2] reactions.

# Proton and neutron density and absorption probability.



Neutronen halo  
 Annihilation ohne Kernanregung  
 ( $A_{\text{target}} - 1$ ) - Kerne

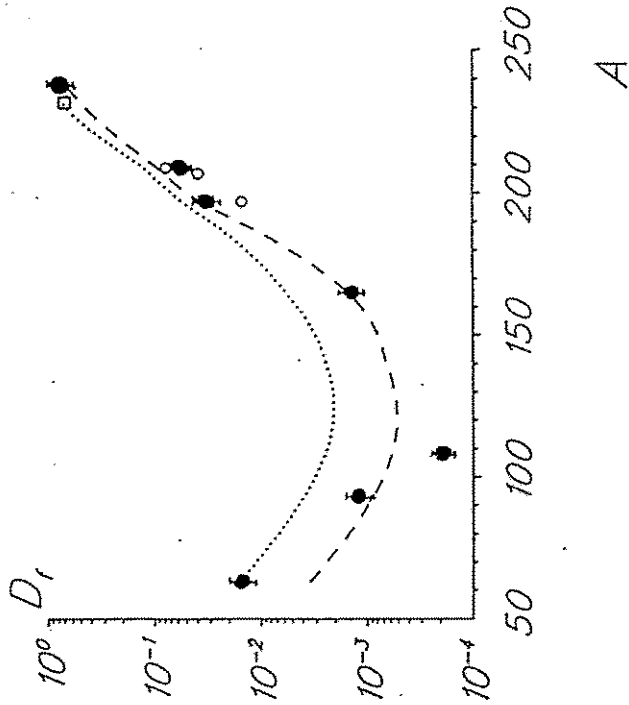




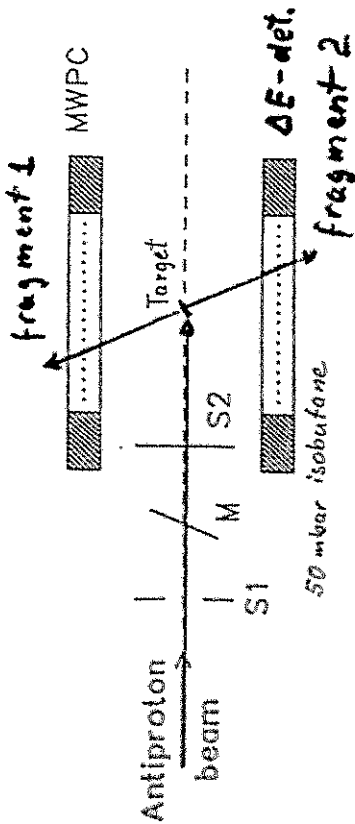
Absolute fission probabilities  
measured with a multiwire proportional  
chamber at LEAR

Absolute Probabilities of Antiproton  
Induced Fission

Cu Nb Ag Ho Au Bi U



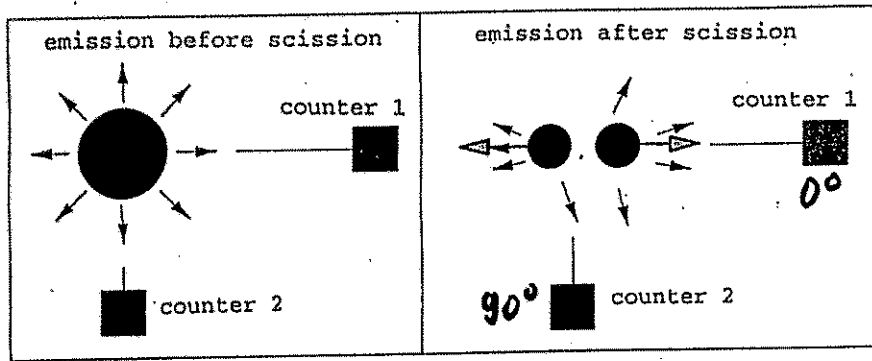
- : LDM : Standard Liquid Drop Model (Myers, Swiatecki)
- ... : MLDM: Modified Liquid Drop Model
- : present paper (Krappe, Mix, Sierk)
- : Bocquet et al.
- : W.Schmid et al.



5 cm

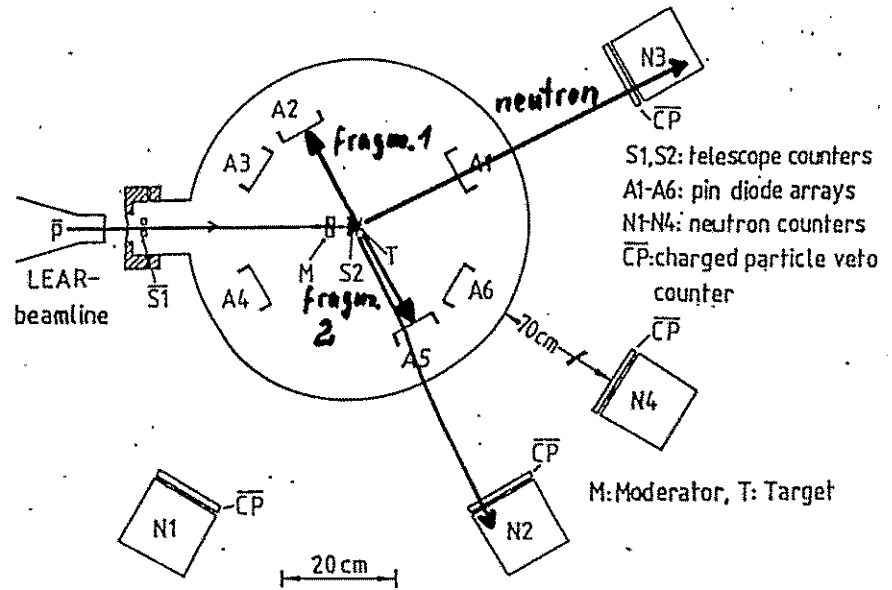
Fig. 1

## Measurement of neutron spectra in correlation with the fission axis

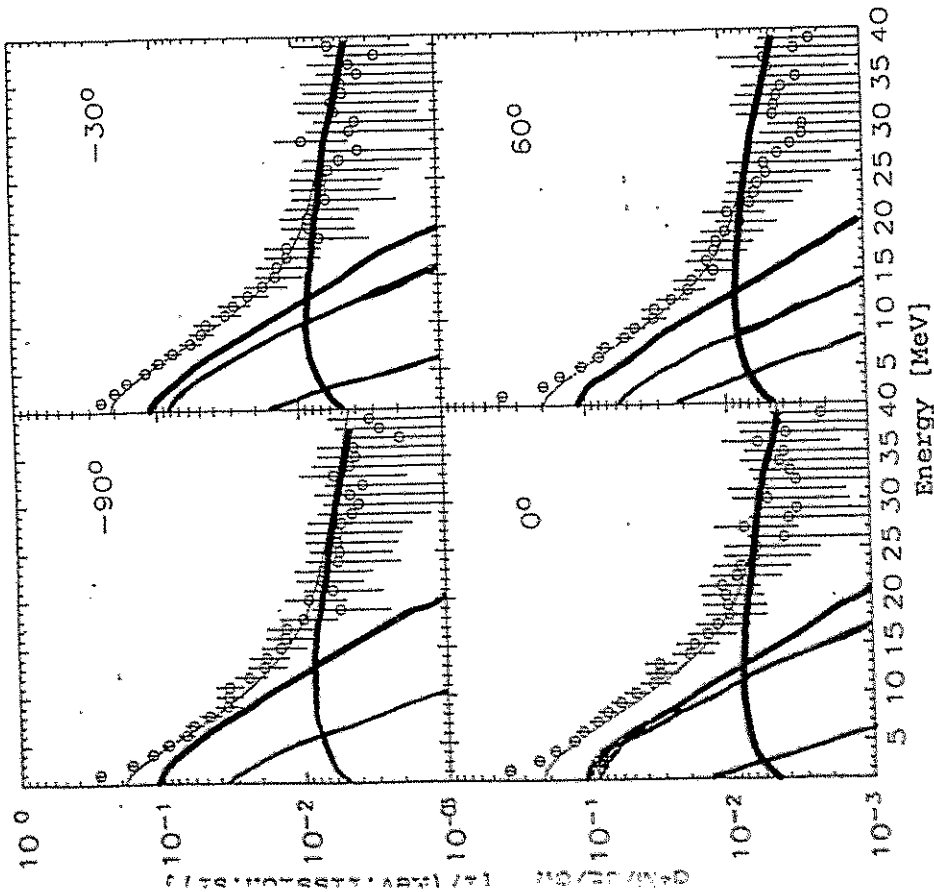


Neutron emission before and after scission is distinguished by kinematical focussing.

## Measurement of fragments and neutrons in coincidence



Neutron spectra at different angles to the fission axis.



$$\text{Fit formula: } \frac{d^2M}{dE d\Omega} = \sum_{i=1}^4 \frac{M_i}{2(\pi T_i)^{3/2}} \sqrt{E} \exp\left(-\frac{E-2\sqrt{\epsilon_i} E \cos \psi_i + \epsilon_i}{T_i}\right)$$

Emission before scission

Emission after scission: forward-backward

Multiplicity of neutrons emitted before and after scission for various reactions.

Reaction	$\overline{E}^*$ in MeV	Multiplicity before scission	Multiplicity after scission
stopped $\bar{p} + {}^{238}\text{U}$	220	15.3(11)	6.4(6)
present exp.		10(1)	15(1)
previous exp. (multiplicity of nucleons)			
$20\text{Ne} + {}^{209}\text{Bi}$	120	5.7(4)	6.4(5) <sub>Hinde</sub>
$46\text{O} + {}^{208}\text{Pb}$	187	7.8(3)	6.8(3) <sub>Hinde</sub>
$475\text{MeVp} + {}^{238}\text{U}$	140	8.4(17)	8.6(17) <sub>Capitel</sub>
$1.6\text{GeVp} + {}^{238}\text{U}$	170	2.3(5)	16.8(24) <sub>Chestner</sub>

The evaluation is not yet finished.

We shall evaluate the multiplicities

as a function of  $E^* \sim$  total mass loss.

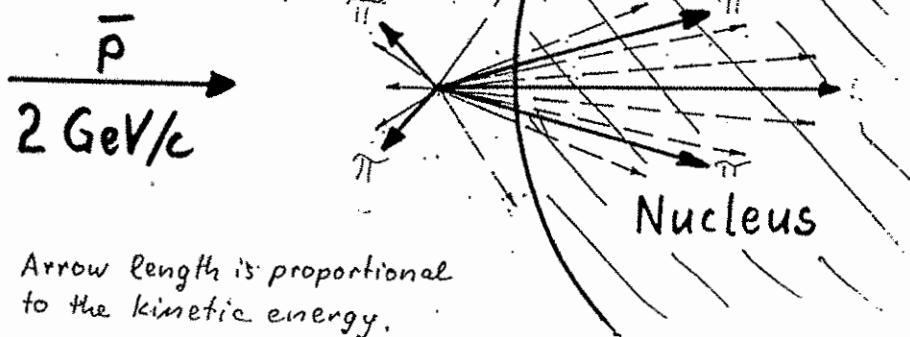
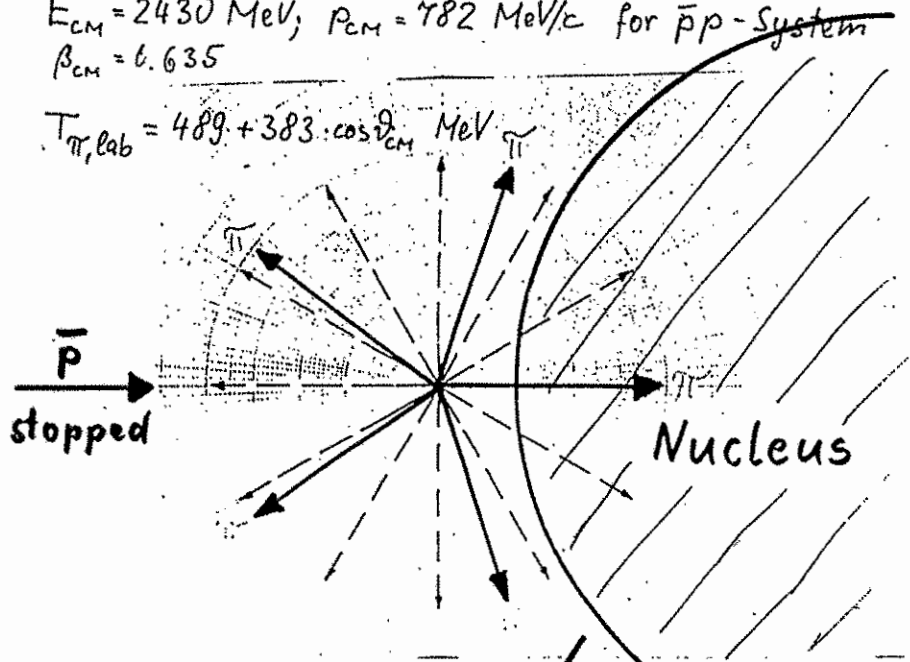
We measured also  $\bar{p} + \text{Bi}$ .

# Annihilation of 2 GeV/c $\bar{p}$

$p_{\bar{p}} = 2 \text{ GeV}/c$  ;  $T_{\bar{p}} = 1271 \text{ MeV}$

$E_{CM} = 2430 \text{ MeV}$ ;  $p_{CM} = 782 \text{ MeV}/c$  for  $\bar{p}p$ -System  
 $\beta_{CM} = 0.635$

$T_{\pi, lab} = 489 + 383 \cdot \cos^2 \theta_{CM} \text{ MeV}$



Arrow length is proportional to the kinetic energy.

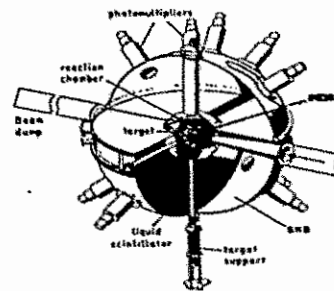
## First Results on the decay of hot nuclei at low spin (PS208)

HMI-Berlin, TU-Munich, GANIL-Caen, U. Warsaw, FZ-Rossendorf, IPN-Orsay, INR-Moscow

$\bar{p} + A \Rightarrow$  well defined hot nuclei at low spin  
 $E^* = 100 - 1000 \text{ MeV}$ ,  $I = 15 - 20 \hbar$

- excitation energy distribution via neutron multiplicity
- decay of hot nuclei: multiplicity of evaporated neutrons (thermal excitation energy) and all charged nuclear particles ( $4\pi$ -Si-ball): evaporation, fission, multifragmentation
- Comparison with  $p$ -,  $^3\text{He}$ - (0.5-2 GeV), HI-reactions

experiment:  $4\pi$ -neutron sphere +  $4\pi$ -silicon ball



- preliminary (on-line) results of two runs at LEAR/CERN  
 $\bar{p}$ -annihilation at rest (200 MeV/c) June 1994  
 $\bar{p}$ -annihilations in flight (1940 MeV/c) August 1994

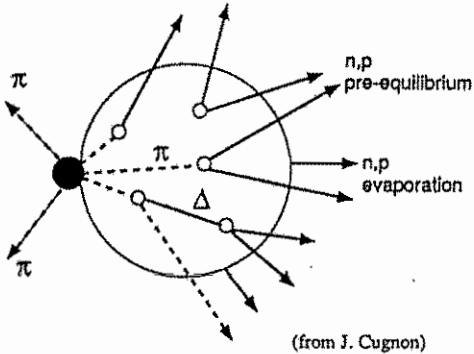


Mechanism of energy dissipation in  $\bar{p}$ +nucleus reactions:

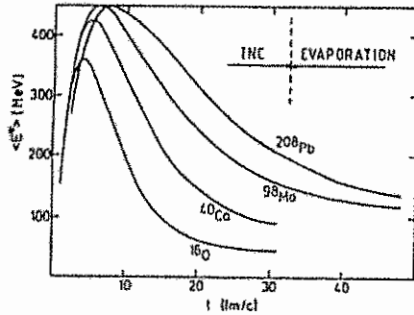
Antiproton annihilation at rest on a heavy nucleus:

$\langle M_{\pi} \rangle = 5$

$\langle E_{\pi} \rangle = 230 \text{ MeV}$



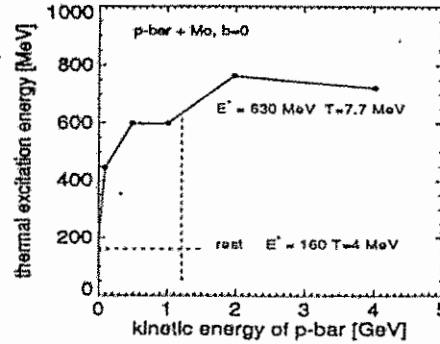
(from J. Cugnon)



$E^*_{\text{therm}} = 200 \text{ MeV}$   
 10% of  $E_{\text{transfer}}$

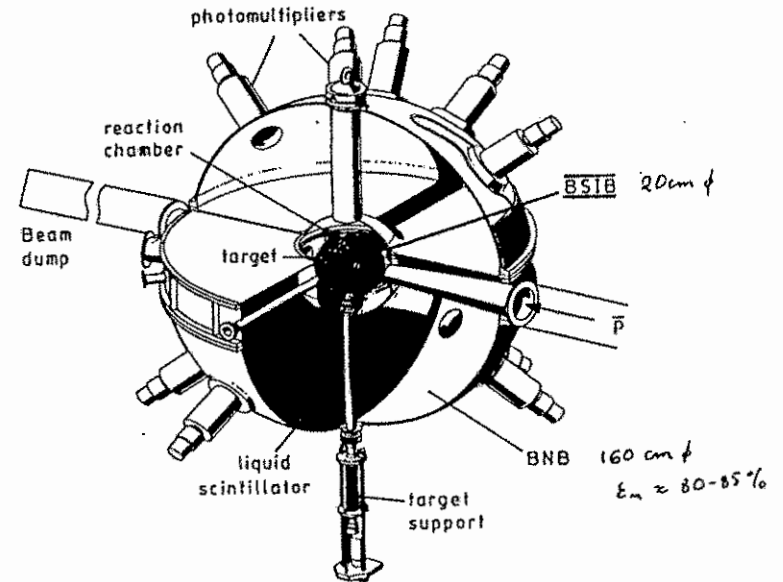
Antiproton annihilation in flight:

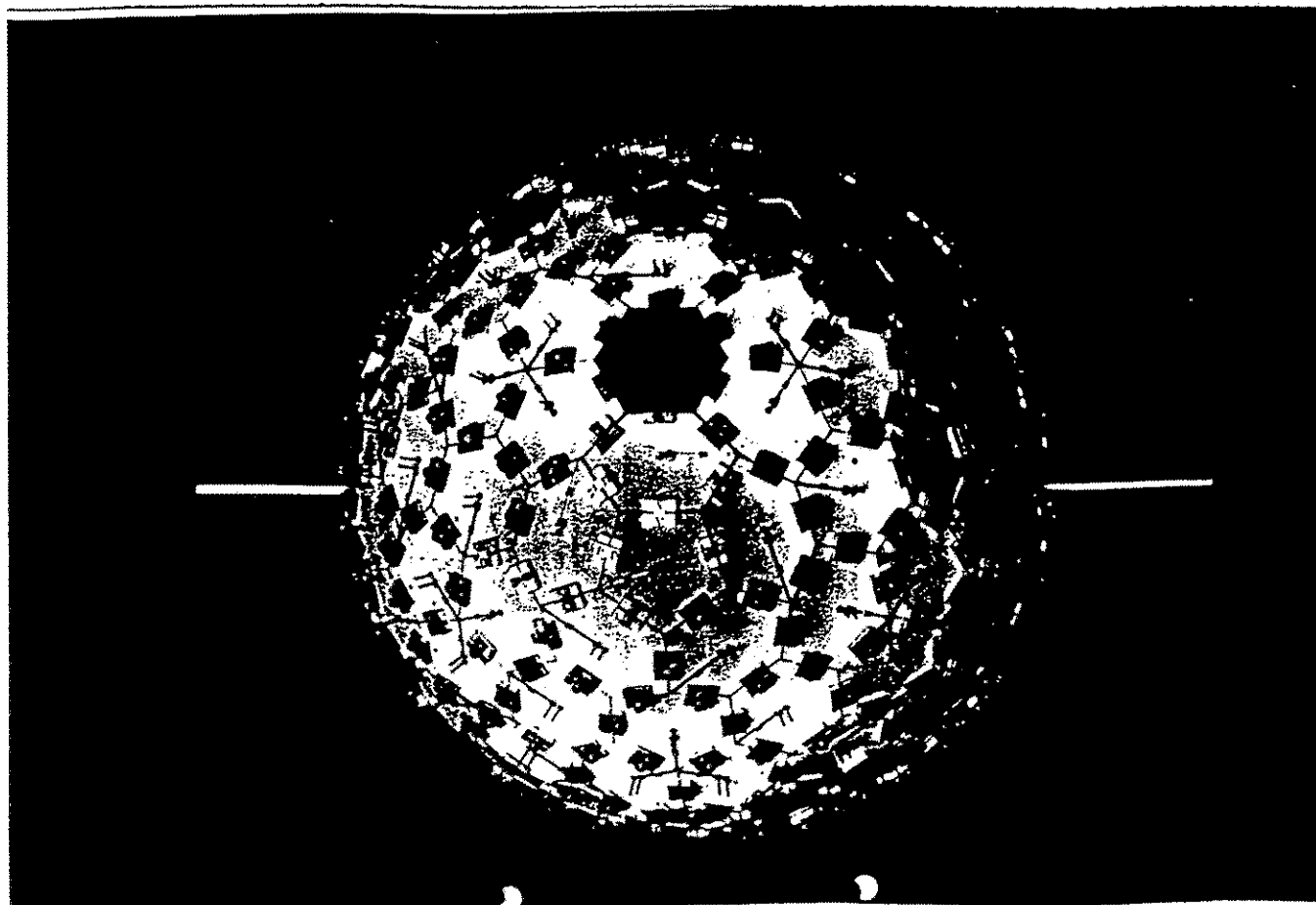
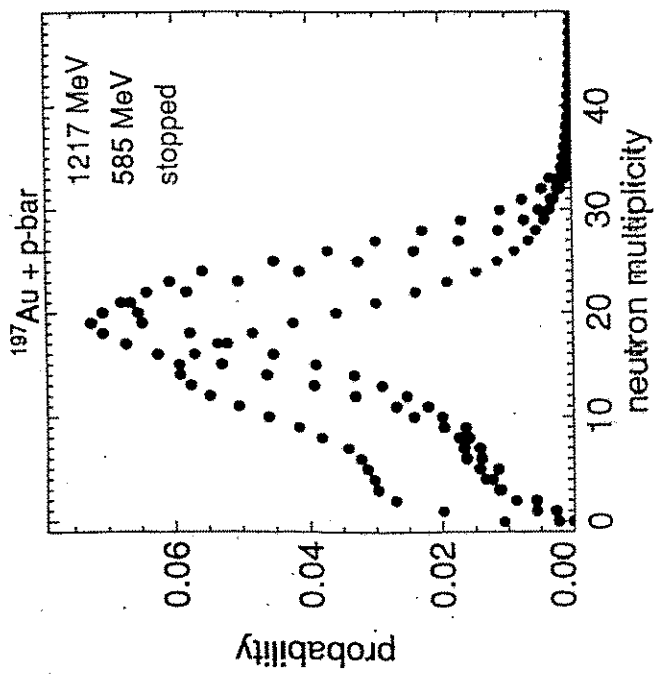
(from J. Cugnon)



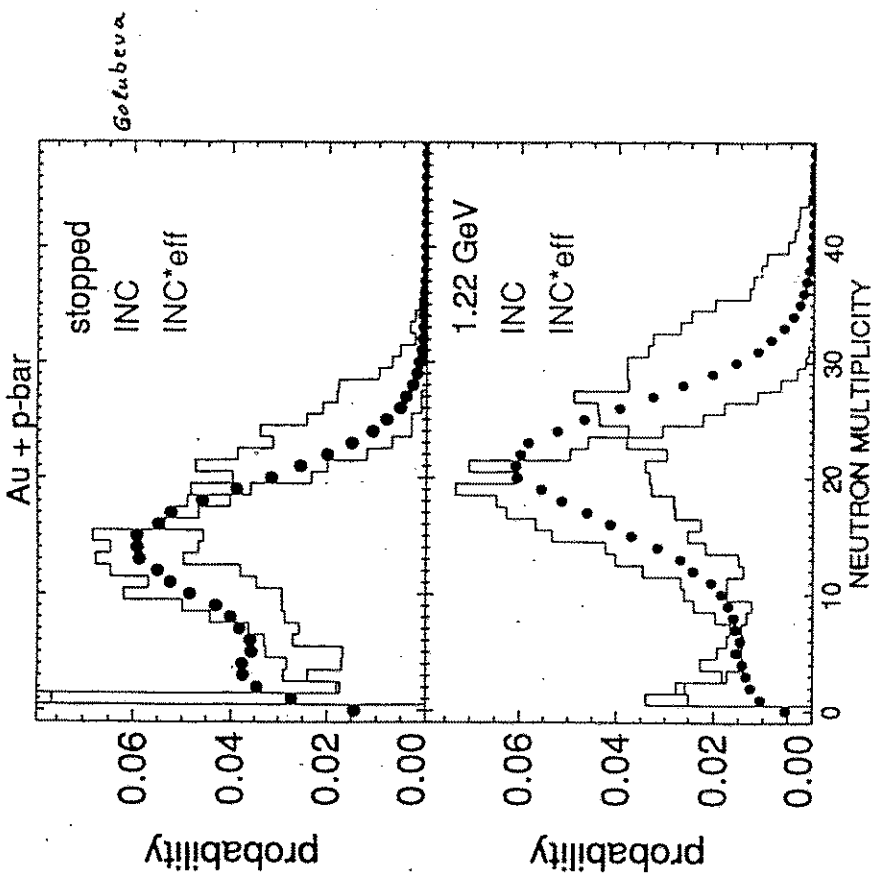
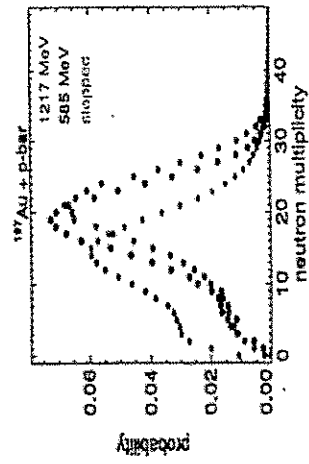
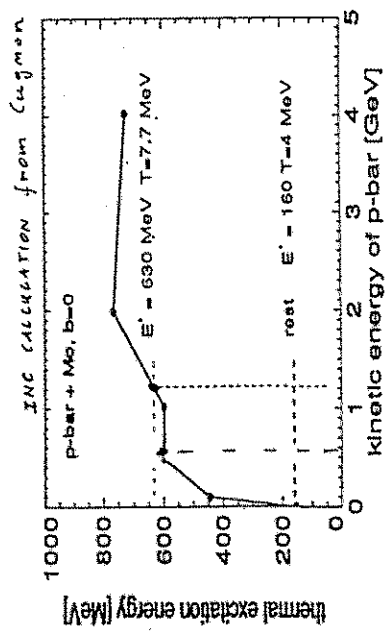
**Berlin 4 $\pi$ -neutron (BNB) and 4 $\pi$ -silicon (BSIB) ball**

- BNB: 1400 l Gd-loaded scintillator liquid,  $\Rightarrow$  neutron multiplicity distributions  $M_n$  and correlated prompt light  $L_p$ -recoils,  $\pi^{+/-}, K^{+/-}$
- BSIB: 160 Si-detectors 500  $\mu$  thick,  $\Rightarrow$  nuclear (no  $\pi$  and K) charged particles p, d,  $\alpha$ , ... IMF, FF:  $M_{cp}, E_{cp}, (\Theta_{cp}, \Phi_{cp})$



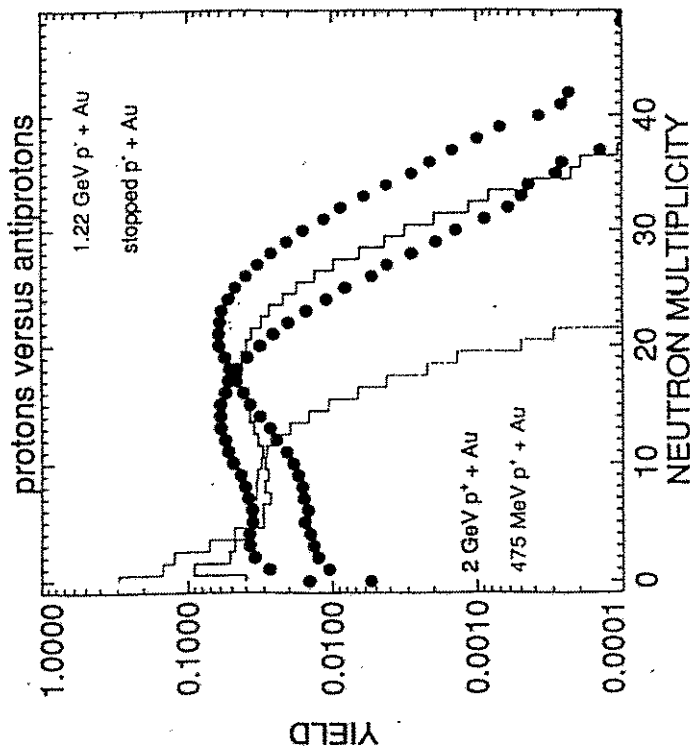
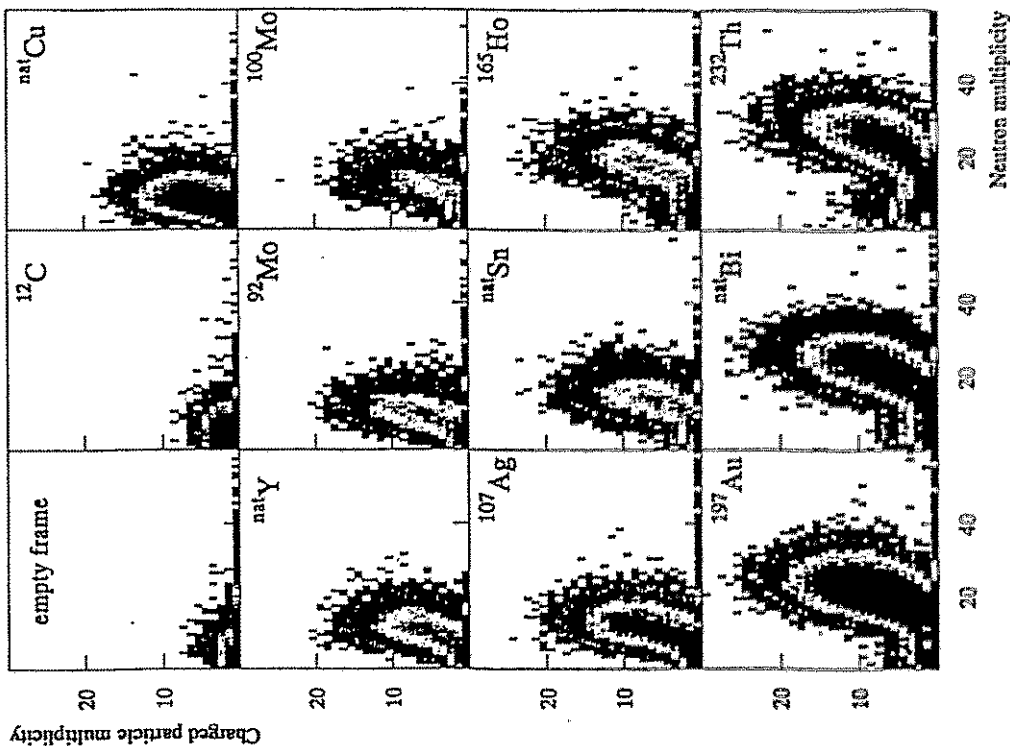


### Increase of $E^*(M_n)$ with $E_p$

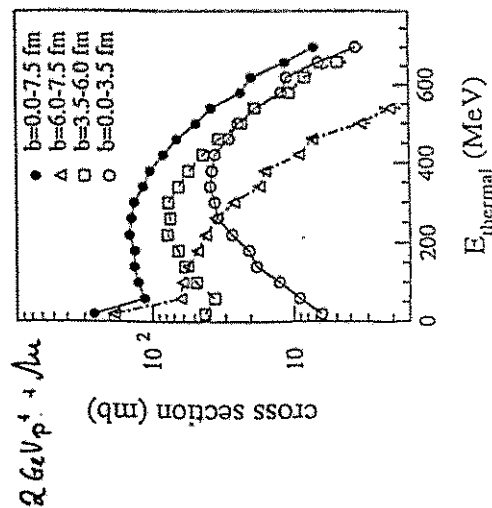


Gognyon

LEAR PS208 AUG-94 1.22 GeV p-bars



Pienkowski et al  
PLB (94) ...



## Results-Conclusions

- background problems with BNB solved
- first neutron multiplicity distributions for  $\bar{p}$ -annihilation at rest and in flight
- large increase of  $M_n$  from stopped to 585 MeV  $\bar{p}$ , small increase from 585 to 1217 MeV
- at 1217 MeV almost only annihilations
- high  $E^*_{\text{thermal}} = 500$  to 800 MeV obtained
- reasonable agreement with INC calculation
- Outlook: evaporation, binary fission probabilities, multifragmentation, fission dynamics at low spin as a function of excitation energy

## First results on the decay of hot nuclei at low spins (PS208)

D.Hilscher<sup>1</sup>, W. Bohne<sup>1</sup>, J. Eades<sup>8</sup>,  
T. von Egidy<sup>3</sup>, P. Figuera<sup>1</sup>, H. Fuchs<sup>1</sup>,  
F.J. Hartmann<sup>3</sup>, J. Galin<sup>2</sup>, F. Goldenbaum<sup>1</sup>,  
Ye.S. Golubeva<sup>7</sup>, K. Gulda<sup>4</sup>, A.S. Iljinov<sup>7</sup>,  
D.I. Ivanov<sup>7</sup>, U. Jahnke<sup>1</sup>, J. Jastrzebski<sup>4</sup>,  
W. Kurcewicz<sup>4</sup>, B. Lott<sup>2</sup>, M. Morjean<sup>2</sup>,  
V.G. Nedorezov<sup>7</sup>, S. Neymaier<sup>8</sup>,  
G. Pausch<sup>5</sup>, A. Peghaire<sup>2</sup>, L. Pienkowski<sup>4</sup>,  
D. Polster<sup>1</sup>, S. Proschitzki<sup>6</sup>,  
I.A. Pshenichov<sup>7</sup>, B. Quednau<sup>2</sup>,  
H. Rossner<sup>1</sup>, S. Schmid<sup>5</sup>, W. Schmid<sup>3</sup>,  
A.S. Sudov<sup>7</sup>, P. Ziem<sup>1</sup>

- |              |                 |
|--------------|-----------------|
| 1 HMI-Berlin | 5 FZ-Rossendorf |
| 2 GANIL-Caen | 6 IPN-Orsay     |
| 3 TU-Munich  | 7 INR-Moscow    |
| 4 U.-Warsaw  | 8 CERN-Geneva   |

## Zusammenfassung

- 1) Sehr heiße Kerne mit kleinem Drehimpuls ohne Kompression.
- 2) Teilchenemission: Mittlerer Impuls für alle Targets und Ejektile ähnlich
- 3) Teilchenspektren verglichen mit Theorie: Auskunft über Details der Prozesse.
- 4) Restkernverteilung: Energiedeposition Vergleich mit Theorie
- 5) Neutronenhalo aus  $(A_{\text{target}} - 1)$ -Kernen
- 6) Spaltung: Asymmetrisch, symmetrisch, auch vor Thermalisierung.
- 7) Spaltung schneller bei heißen Kernen
- 8) Neutronen bei Spaltung: Zeitskala.
- 9) Vergleich mit intranuklearen Kaskadenrechn.

## 1994 mit Berliner Ball

- 1) Multifragmentation
- 2) Phasenübergang bei heißen Kernen
- 3) Strangeness-Produktion in Kernen
- 4) Messung der Neutronenmultiplizitäten  $\rightarrow$  Uhr.
- 5) Annihilation von  $2 \text{ GeV } \bar{p}$ : im Kern  
 $\rightarrow$  Produktion extrem heißer Kerne durch Multipionheizung.

# Untersuchung der Annihilation von Antiprotonen in Deuterium

---

Jens Brose  
Institut für Physik  
Universität Mainz \*

CRYSTAL BARREL Collaboration

Arbeitsstreffen Kern- und Teilchenphysik  
Pirna, 1994

\* jetzt am  
Institut für Kern- und Teilchenphysik  
TU Dresden

- Vergleich der Antiproton-Vernichtung in Wasserstoff und Deuterium  
→ Verzweigungsverhältnisse

- Reaktionsmechanismen  
Einfluß des (nicht) an der Reaktion beteiligten Nukleons

$$p_n < 200 \text{ MeV}/c:$$

- Quasifreie Annihilation am Nukleon  
Spectator-Modell

$$p_n > 200 \text{ MeV}/c:$$

- Meson-Rückstreuung oder -Absorption am Nukleon  
Nukleon-Resonanzanregung
- $q\bar{q}$ - Umordnung / Vernichtung / Erzeugung  
Pontecorvo-Reaktionen

- $\bar{p}d \rightarrow X p$   
reiner  $I = 1$  Anfangszustand

Crystal Barrel Daten

- Rein neutrale Endzustände  
4 · 10<sup>6</sup> Ereignisse
- Daten mit einer Spur geladener Teilchen  
2 · 10<sup>6</sup> Ereignisse
- Minimal getriggerte Daten  
3 · 10<sup>6</sup> Ereignisse

- Datenselektion und kinematische Anpassung an mesonische Endzustände
- Rekonstruktionswahrscheinlichkeit (MC)

• Crystal Barrel: Z. Phys. C58 (1993) 175

$$BR_S(\bar{p}p \rightarrow \pi^+\pi^-) = BR(\bar{p}p \rightarrow \pi^+\pi^-) - 2 \cdot BR(\bar{p}p \rightarrow \pi^0\pi^0)$$

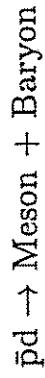
Absolute Verzweigungsverhältnisse · 10<sup>4</sup>

	$H_2: BR(\bar{p}p \rightarrow \pi^0\pi^0)$	$D_2: 2 \cdot BR((\bar{p}p) \pi^0 \rightarrow \pi^0\pi^0)$	$D_2: BR((\bar{p}n)p \rightarrow \pi^0\pi^0)$
$\pi^0\pi^0\pi^0$	63.0 ± 10.0	75.2 ± 7.0	
$\pi^0\pi^0\eta$	67.0 ± 12.0	52.8 ± 5.0	
$\pi^0\eta\eta$	21.0 ± 4.0	25.6 ± 3.0	
$\eta\omega$	151.0 ± 12.0	146.0 ± 14.0	
$\pi^0\omega$	57.3 ± 4.7	89.8 ± 9.0	59.0 ± 10.0
$\pi^-\omega$			
$\pi^0\eta$	2.12 ± 0.12	5.36 ± 0.50	3.9 ± 0.6
$\pi^-\eta$			
$\pi^0\eta'$	1.23 ± 0.13		1.9 ± 0.7
$\pi^-\eta'$			
$\eta\eta$	1.64 ± 0.10	3.38 ± 0.40	
$\pi^0\pi^0$	6.93 ± 0.43	13.5 ± 1.3	
$\pi^+\pi^-$	30.7 ± 1.3		
$(\pi^+\pi^-)_S$	16.8 ± 1.6		
$\pi^-\pi^0$			40.0 ± 5.0



## Pontecorvo-Reaktionen

Antiproton-Nukleon Annihilation  
 nur 1 Meson im Endzustand  
 hier:



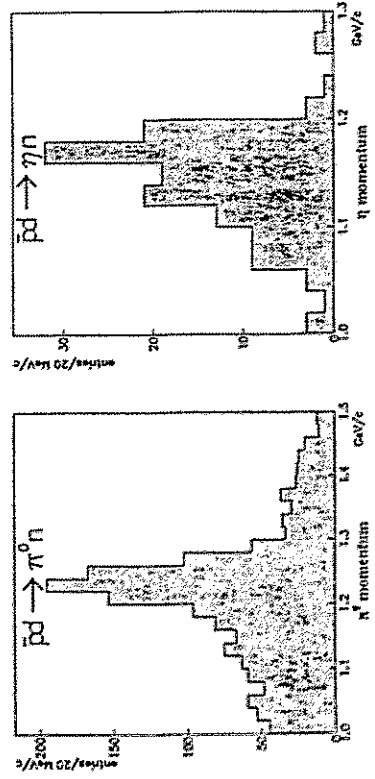
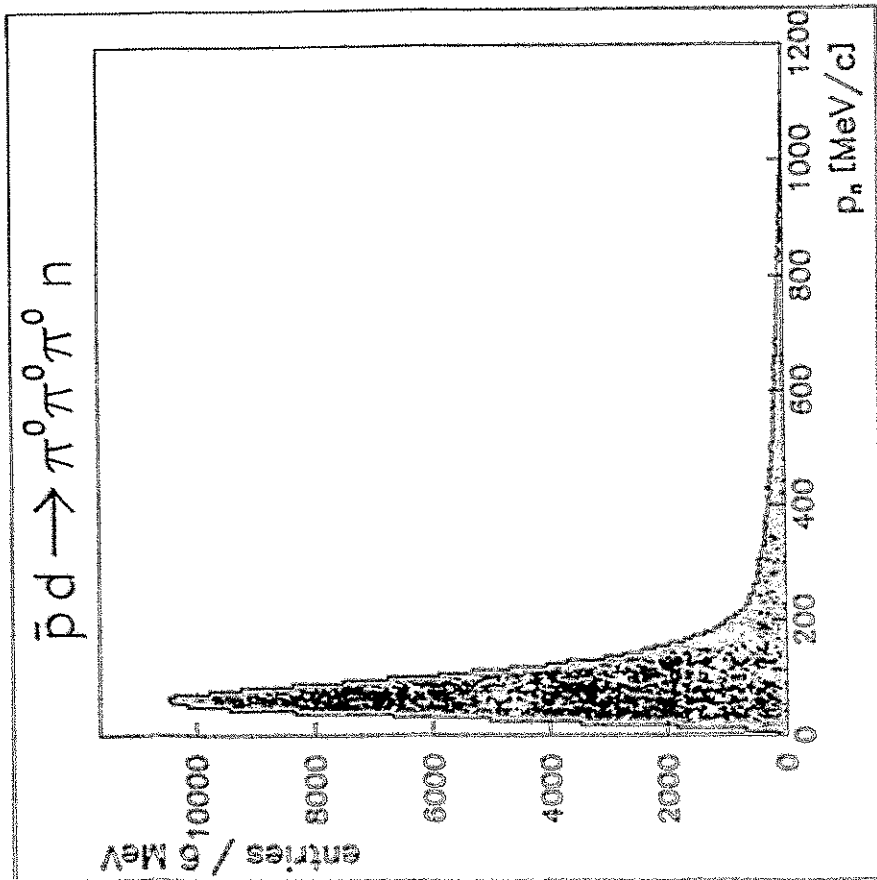
Sensitiv auf kleine Nukleonen-Abstände  
 → Quark-Freiheitsgrade

Bisher nur  $\bar{p}d \rightarrow \pi^- p$  gemessen:

$$BR(\bar{p}d \rightarrow \pi^- p) = (1.20 \pm 0.27) \times 10^{-5}$$

OBELIX

Crystal Barrel: Pontecorvo-Reaktionen mit  
 Neutronen im Endzustand



Verzweigungsverhältnisse:

$$\begin{aligned}BR(\bar{p}d \rightarrow \pi^0 n) &= (7.03 \pm 0.72) \times 10^{-6} \\BR(\bar{p}d \rightarrow \eta n) &= (3.19 \pm 0.48) \times 10^{-6} \\BR(\bar{p}d \rightarrow \omega n) &= (22.8 \pm 4.1) \times 10^{-6} \\BR(\bar{p}d \rightarrow \eta' n) &\leq 14 \times 10^{-6} @ 95\% CL\end{aligned}$$

Ladungsunabhängigkeit:

$$\frac{BR(\bar{p}d \rightarrow \pi^- p)}{BR(\bar{p}d \rightarrow \pi^0 n)} = 2$$

Experiment:

$$\boxed{1.7 \pm 0.4}$$

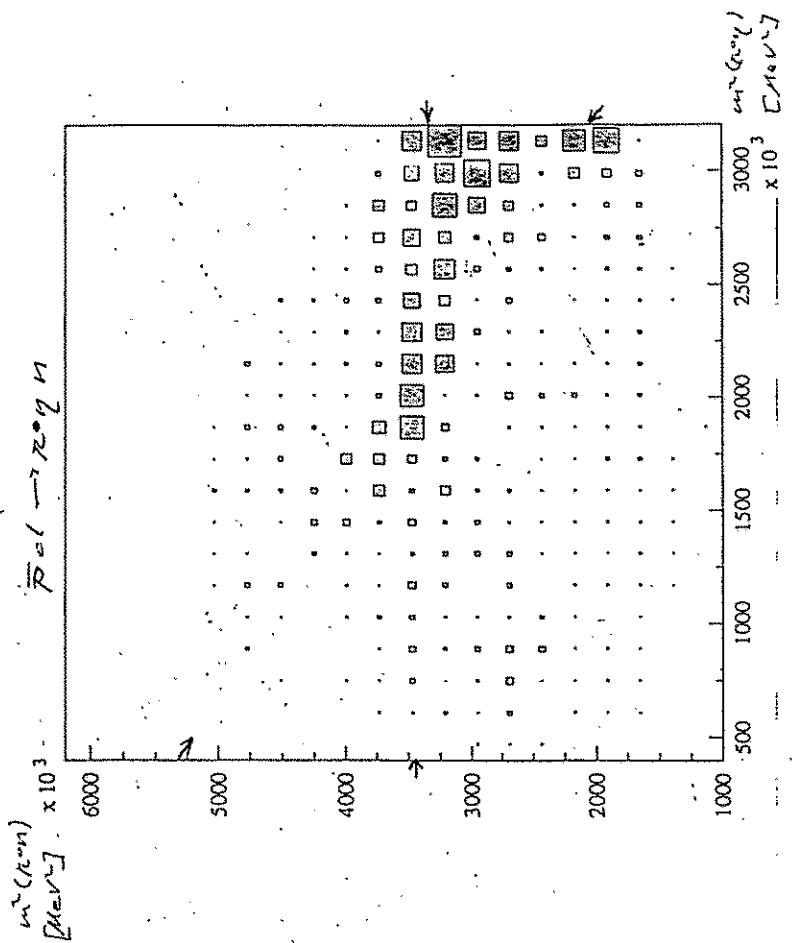
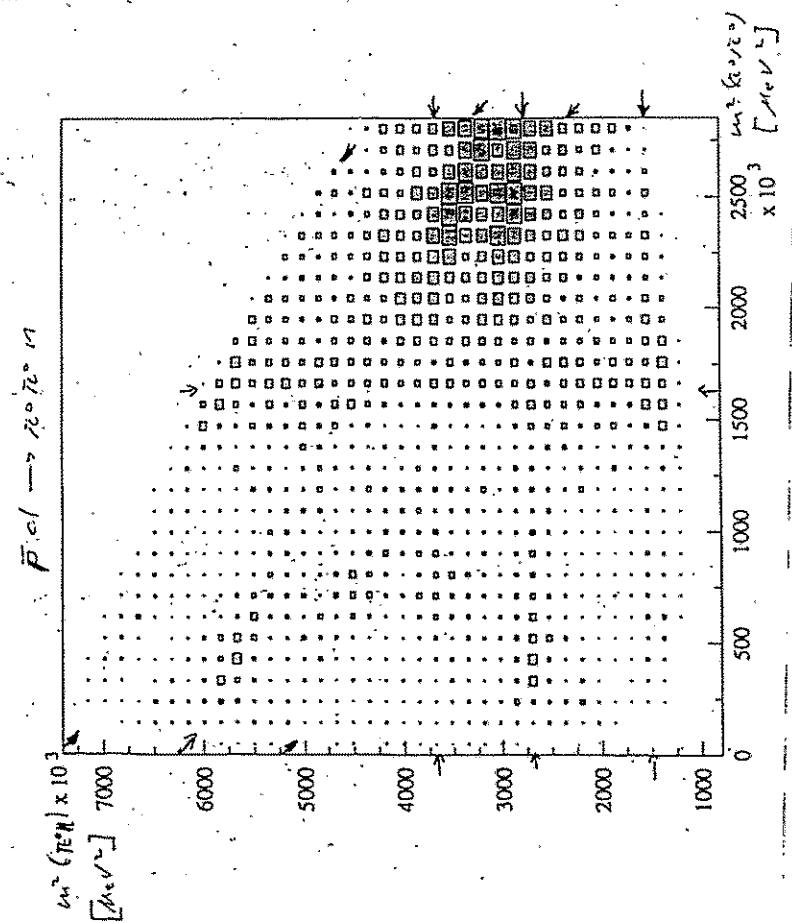
Meson- und Baryon-Resonanzen

$$\begin{aligned}\bar{p}d &\rightarrow \pi^0 \pi^0 n \\ \bar{p}d &\rightarrow \pi^0 \eta n\end{aligned}$$

Dalitz plots:

Interferenzen von  $\pi^0 \pi^0$  ( $\pi^0 \eta$ )  
und  $\pi^0 n$  ( $\pi^0 n$ )  
( $\eta n$ )

Strukturen



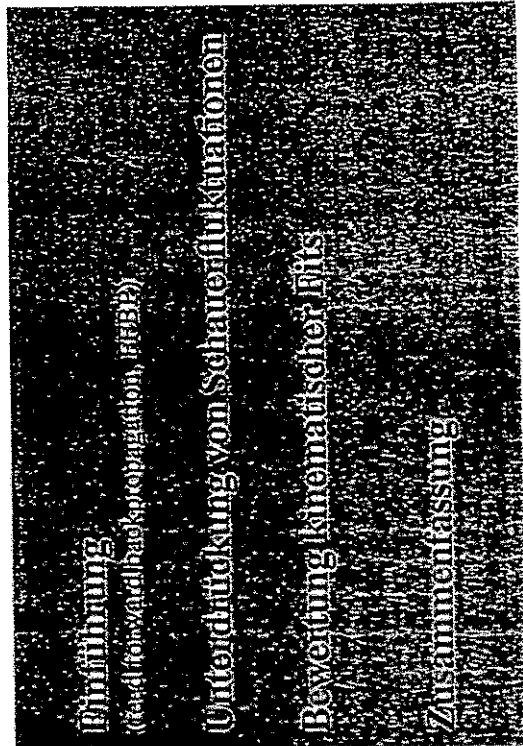
# Anwendung neuronaler Netze in der Datenanalyse

Thomas Degener

Ruhr-Universität Bochum  
Institut für Experimentalphysik I  
D-4630 Bochum  
e-mail: thomas@tau.ep1.ruhr-uni-bochum.de

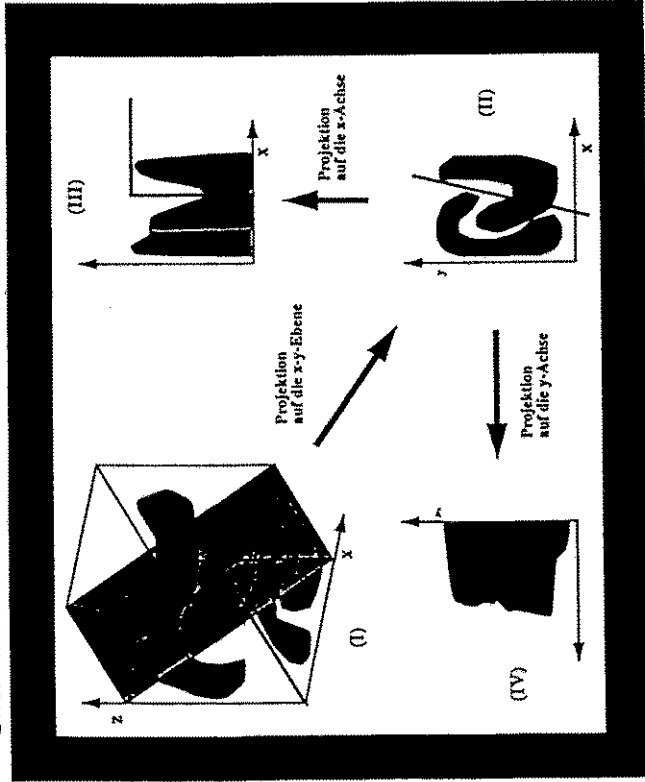


## Inhalt



## Einführung (Standardmethode in der Datenanalyse)

Eine sequentielle Folge von linearen Schnitten separiert zwei Klassen A und B.



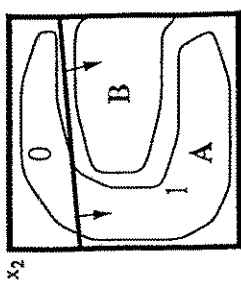
- In jeder Projektion geht Information über die Klassen verloren. Der Parameter  $y$ , für sich allein betrachtet, trägt scheinbar keine zur Trennung der Klassen verwertbare Information.

Ein Netz der zwei oder zwei abwechselnde Parameter (z.B.  $y$ )  
Anzahlparameter ist nicht abgrenzbar Parameter  
• Einmalige und Dreifach-Netz  
Einführung in die Datenanalyse, 1998

Einführung  
(Standardmethode in der Datenanalyse)

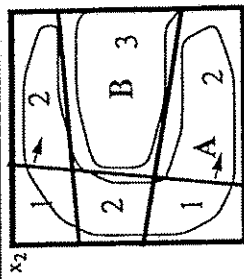
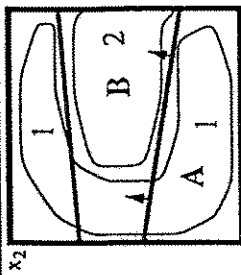
$$U_1 = \text{sgn}(w_{31}x_1 + w_{32}x_2 + w_{30})$$

$$S(x_1, x_2) = U_1$$



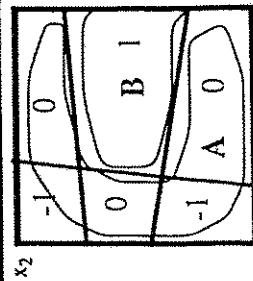
$$U_2 = \text{sgn}(w_{41}x_1 + w_{42}x_2 + w_{40})$$

$$S(x_1, x_2) = U_1 + U_2$$



$$U_3 = \text{sgn}(w_{51}x_1 + w_{52}x_2 + w_{50})$$

$$S(x_1, x_2) = U_1 + U_2 + U_3$$



subtrahiere 2

$$S(x_1, x_2) = U_1 + U_2 + U_3 - 2$$

Einführung  
(Feed forward Backpropagation, FFBP)

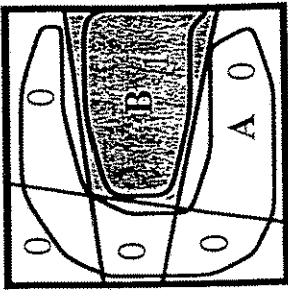
$$S(x_1, x_2) = \text{sgn}\{ U_1 + U_2 + U_3 + w_{60} \}$$

$$= \text{sgn}\{ \text{sgn}(w_{31}x_1 + w_{32}x_2 + w_{30}) +$$

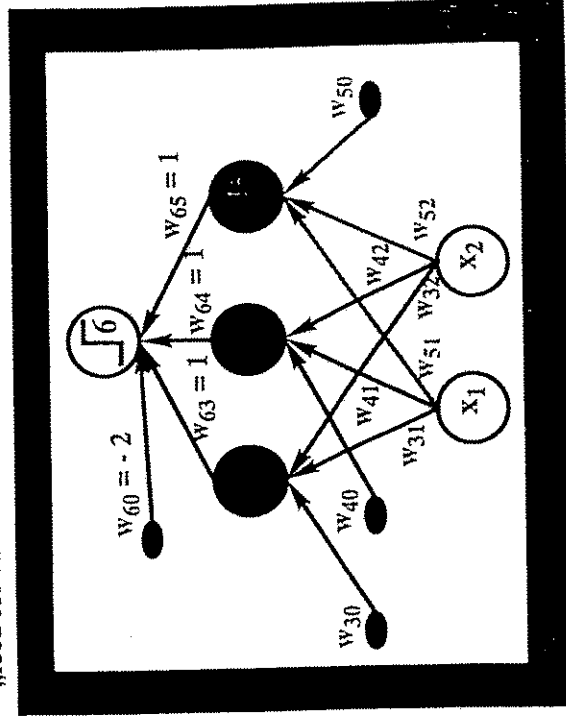
$$\text{sgn}(w_{41}x_1 + w_{42}x_2 + w_{40}) +$$

$$\text{sgn}(w_{51}x_1 + w_{52}x_2 + w_{50}) + w_{60} \}$$

$$w_{60} = -2$$



Eine graphische Darstellung des Ergebnisses ergibt ein „feed forward“ Netz.



Die Bestimmung der Gewichte erfolgt durch den Error Backpropagation Algorithmus.

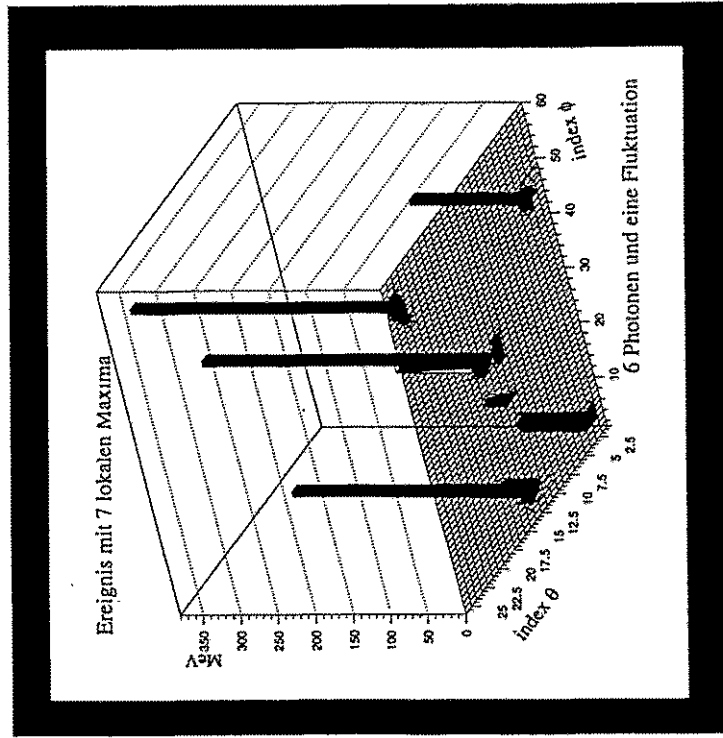
### Neuronale Netze (Pro und Contra)

- Selbstorganisation  
„Lernen“ einer Lösung durch Lernbeispiele (Training)
- Generalisierung  
Fähigkeit auf „unbekannte“ Eingaben zu generalisieren
- Modellunabhängigkeit
- Intrinsic multi-dimensional
- Fehlertoleranz
- Parallelität  
schnelle Lösung durch „parallele Hardware“ möglich  
„Neuro-Computer“ : CNAPS, Synapse

### Contra

- schwer nachvollziehbarer Lösungsweg
- unvorhersagbares Verhalten (in der dynamischen Phase)
- Approximation statt exakter Lösungen

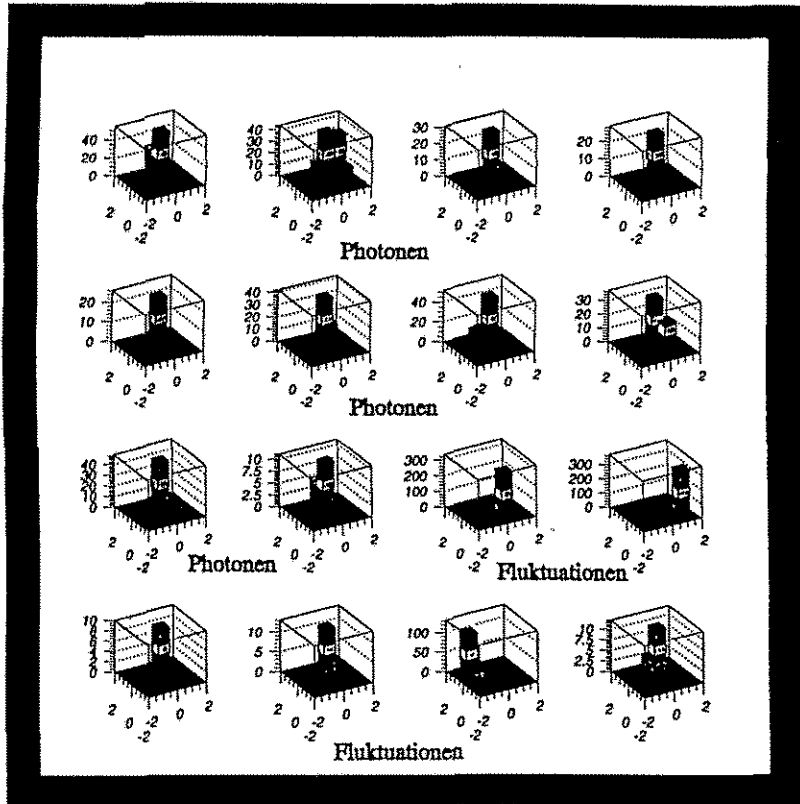
### Unterdrückung von Schauerfluktuationen



Unterdrückung von Schauerfluktuationen  
(neuronaies Netz - Eingaberaum)

5x5 Kristallmatrix

Die lokalen Maxima befinden sich bei (0,0)



Unterdrückung von Schauerfluktuationen

Zur Rekonstruktion von Photonen im Kalorimeter des Crystal Barrel Detektors werden benachbarte Kristalle mit einem Energieeintrag gruppiert (cluster).

- lokales Maximum in einem Cluster = Photon
- Monte Carlo: 5-6% der lokalen Maxima entstehen durch Schauerfluktuationen → zu viele Photonen
- 2 konventionelle Methoden wurden entwickelt („SMART“, „DOLBY C“)

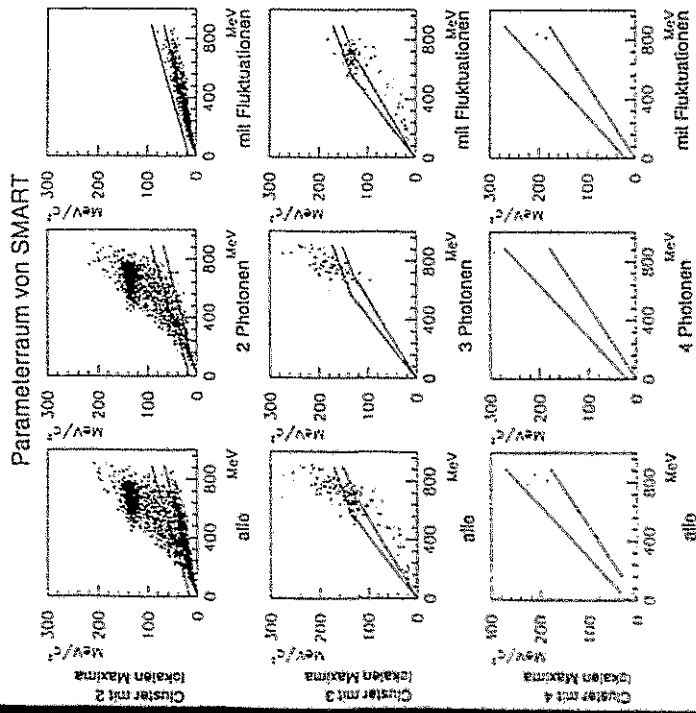
„invarianten Schauerenergie“      Cluster-Energie

$m_S = \sqrt{\left(\sum_{i=1}^n E_i\right)^2 - \left(\sum_{i=1}^n p_i\right)^2}$	$E_{CL} = \sum_{i=1}^n E_i$
--	-----------------------------

- Schnitte im zwei-dimensionalen Parameterraum aus  $m_S$  und  $E_{CL}$  ermöglichen eine gute Separierung von Photonen und Fluktuationen.

## Unterdrückung von Schauerfluktuationen (konventionelle Methode)

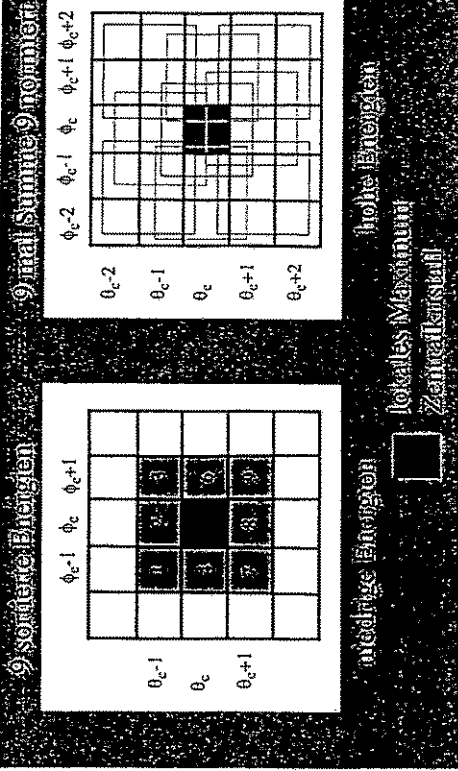
Invariante Schauermasse vs. Cluster-Energie



## Unterdrückung von Schauerfluktuationen (neuronales Netz, FFBP)

Hierarchische Netzwerkstruktur (2 Unter-Netze, 1 Ober-Netz)

- Konfiguration der Unter-Netze: 9-8-1 und 9-7-1
- Eingabeparameter:  
3x3 - Kristallmatrix  $\rightarrow$  9 sortierte Energien  
5x5 - Kristallmatrix  $\rightarrow$  9 mal Summe 9

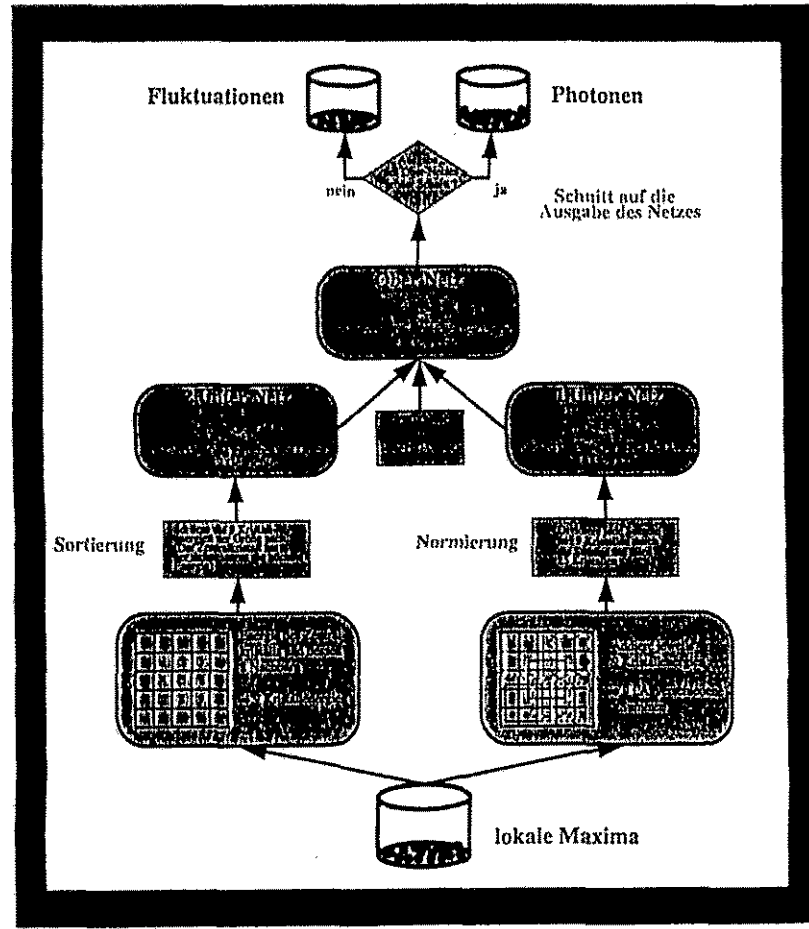


- Sortierung  $\rightarrow$  Rotationsinvarianz (bzgl. Zentralkristall)
- Training beider Netze im gesamten Energiebereich mit Monte Carlo Daten
- jeweils 2000 Fluktuationen (Ausgabe: 0) und Photonen (Ausgabe: 1)
- 3-4-1 Ober-Netz wertet die Ausgaben der Unter-Netze aus
- Training des Ober-Netzes mit festen Gewichten in den Unter-Netzen

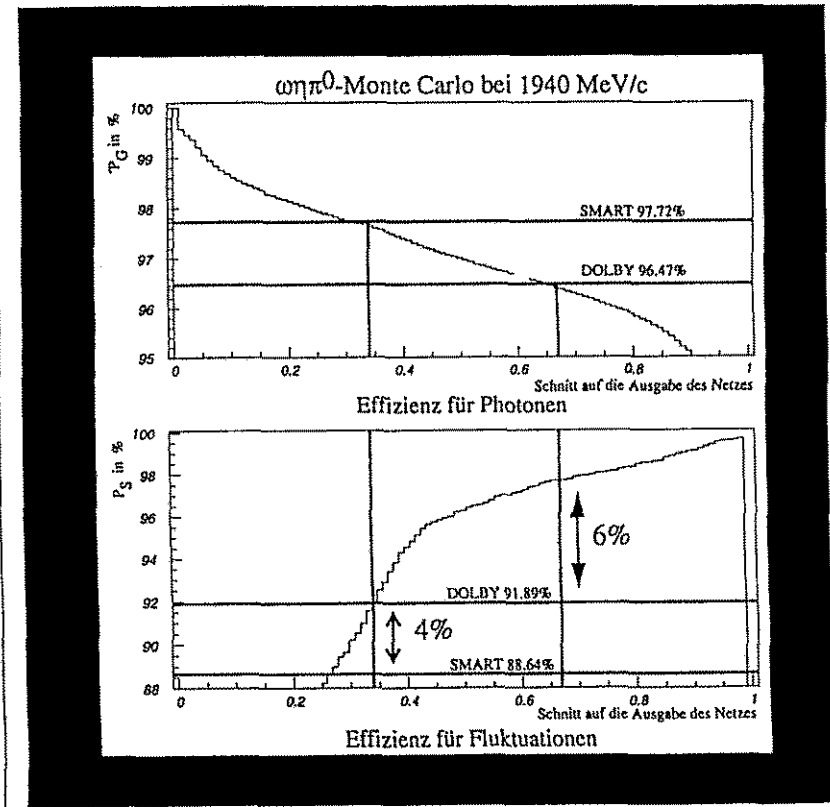


**Unterdrückung von Schauerfluktuationen  
(neuronaales Netz, FFBP)**

**Hierarchische Netzwerk Struktur**



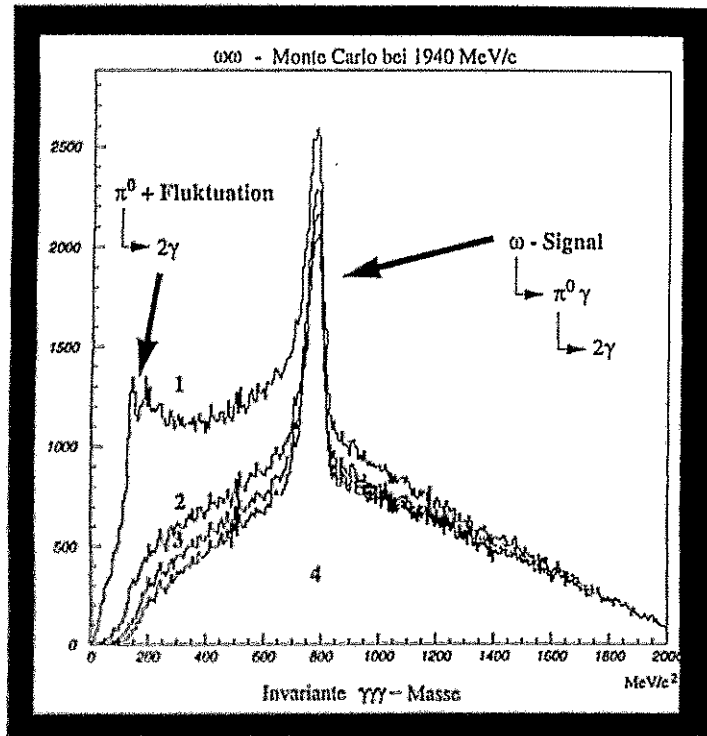
**Unterdrückung von Schauerfluktuationen  
(Vergleich: neuronaales Netz - konventionelle Methoden)**



- Bei gleicher Effizienz für Photonen, eine um 4% (6%) höhere Effizienz Fluktuationen zu erkennen.
- Der Schnitt auf den Ausgabewert des Netzes wirkt wie ein kontinuierlich durchstimmbarer Filter.

*Unterdrückung von Schauerfluktuationen  
(neuronaies Netz, FFBP)*

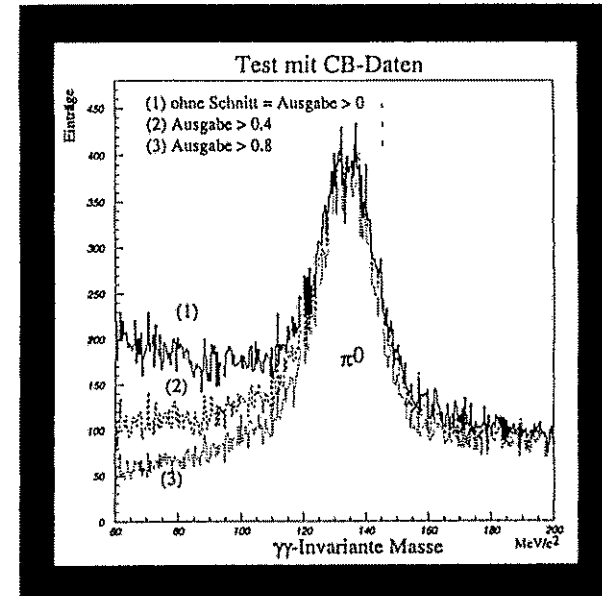
Test mit Monte Carlo Daten



1. ohne Schnitt = Ausgabe > 0
2. Ausgabe > 0.1
3. Ausgabe > 0.4
4. Ausgabe > 0.8

*Unterdrückung von Schauerfluktuationen  
(neuronaies Netz, FFBP)*

Ergebnis



- Vergleichbare Effizienzen, bei 2 GeV/c Strahlimpuls bessere Effizienzen als die konventionellen Methoden.
- keine Abhängigkeit vom Strahlimpuls (200 MeV/c, 600 MeV/c, 1200 MeV/c, 1940 MeV/c)
- keine Abhängigkeit von der  $\gamma$ -Multiplizität oder dem Zerfallkanal
- robust gegenüber Energieauflösung, Kalibrierung und Rauschen
- flexibel einsetzbar, da kontinuierlich durchstimmbaar

- 735 -

### Bewertung kinematischer Fits (FFBP)

Selektion mesonischer Endzustände (Crystal Barrel Detektor)

#### Standardmethode

Selektion einer  $\gamma$ -Multiplizität z.B. :  $6\gamma$

Kinematische Fits zu folgenden Hypothesen:

$H_p$ :  $6\gamma$ -(Phasenraum)

$H_1$ :  $3\pi^0$     $H_2$ :  $2\pi^0\eta$     $H_3$ :  $2\eta\pi^0$     $H_4$ :  $3\eta$

Entscheidung durch Schnitte auf die Wahrscheinlichkeiten  
(confidence level, CL) :

$CL(H_p) > 10\%$  und  $CL(H_1) > 10\%$   
und  $CL(H_1) > CL(H_2-H_4)$

Endzustand =  $3\pi^0$

MC: Entscheidung ist in einigen Prozent der Fälle falsch  
(stark abhängig vom selektierten Endzustand)

Verbesserung durch FFBP-Netz, trainiert mit MC-Datensätzen  
→ fast alle Ereignisse (MC) richtig klassifiziert

### Bestehende Anwendungen (verschiedene Netzwerk-Modelle)

#### Klassifizierung von Teilchen und Endzuständen

- $e^+e^- \rightarrow gg$ -jets,  $qq$ -jets      MC, C.Peterson, Lund
- $p\bar{p} \rightarrow W$ , QCD-jets      MC, P.Bhat et al., DESY
- $Z^0 \rightarrow qq$ -jets      ALEPH, J.Jousset, U BP, Aubiere
- $Z^0 \rightarrow b$ -Quarks      ALEPH, B.Brandl, U Heidelberg
- $Z^0 \rightarrow b$ -Quarks      ALEPH, B.Brandl, U Heidelberg
- $\tau \rightarrow \rho\nu, \tau \rightarrow \pi\nu, \tau \rightarrow e\nu\bar{\nu}$       L3, V.Innocente, INFN
- Schwere Neutrinos      LEP200, K.H.Becks, U Wuppertal
- top  $\rightarrow$  multi-jets      CDF, B.Denby et al., FNAL
- $gg \rightarrow H^0 \rightarrow Z^0Z^0 \rightarrow \mu^+\mu^-\mu^+\mu^-$       CERN LAA, F.Block, U Wuppertal
- Photon-Gluon Fusion  $\rightarrow c\bar{c}, b\bar{b}$       H1, P.Ribarics, MPI München
- $\tau^+\tau^- \rightarrow$  Leptonen      ARGUS, M. Joswig et al.

#### Spurrekonstruktion (Drift- und Proportionalkammern)

- Elastic tracking      MC, M.Gyulassy, LBL
- Elastic arms      MC, C.Peterson, Lund
- Online tracking (VLSI)      CDF, B.Denby, FNAL
- Secondary vertices      ALEPH, G.Stimpfl, U BP, Aubiere
- Online tracking      CP-LEAR, G.Athanasias, CERN

#### Cluster Trigger (segmentierte Kalorimeter)

- Cluster trigger      MC, T.Altherr, L.A.P.P.
- Isolation trigger (VLSI)      CDF, B.Denby, FNAL
- Cluster trigger      LHC, G.Stimpfl, U BP, Aubiere
- Core trigger      CASCADE, H.Majer, KfK

*Bestehende Anwendungen  
(verschiedene Netzwerk-Modelle)*

*Teilchen Identifizierung*

- $\pi$ , K,  $p$  - Separierung (RICH)MC, T.Altherr, L.A.P.P.
- $e$ ,  $\pi$  - Separierung (TRD)LHC, J.Renner, Kopenhagen
- $e$ ,  $\pi$  - Separierung (Si/W)WIZARD, P.G. Costa
- $\gamma$ ,  $\pi^0$  - Separierung (TGT strip)ATLAS, M.Wunsch, U Heidelberg
- $\bar{p}$ ,  $\mu$ ,  $\pi$ ,  $e$ -Separierung (RICH) CAPRICE, K.Jonsson, Stockholm

*Rekonstruktion von invarianten Massen*

- $\eta$ ,  $\pi^0 \rightarrow \gamma\gamma$  MC, T.Awes, Oak Ridge NL
- $\eta$ ,  $\pi^0 \rightarrow \gamma\gamma$  TAPS, F.Lefevre, GANIL
- $\bar{p}p \rightarrow W \rightarrow q\bar{q} \rightarrow$  Hadronen MC, C.Peterson, Lund
- $\bar{p}p \rightarrow X + p$ ,  $K \rightarrow \pi\pi$  E735, T.Alexopoulos, FNAL

*Offline Analyse*

- $\gamma$ -Impulse SPES2, P.Fuchs, SACLAY
- Schauerfluktuationen CB, T.Degner, RUB
- Histogramm Einteilung CB, J.Lüdemann, RUB
- Bewertung kin. Fits CB, J.Lüdemann, RUB
- $pp$ -Bremsstrahlung TOF/COSY, S.Lange, RUB

Zusammenfassung

- Neuronale Netze sind ein gutes Hilfsmittel in der Datenanalyse

⇒ Klassifikation  
⇒ Parametrisierung von nicht linearen Funktionen

- In der Teilchenphysik wurden bisher hauptsächlich drei Netzwerktypen verwendet

⇒ Hopfield Netze  
⇒ Selbstorganisierende Karten  
⇒ Feed forward Backpropagation

- Mit neuronalen Netzen lassen sich Lösungen gleicher Güte wie mit optimierten Standardmethoden finden

- Neuronale Netze eignen sich sehr gut für Parallelverarbeitung

⇒ Echtzeit-Anwendungen, Trigger

- 737 -

## Teilnehmerverzeichnis

Arends, H.J.	Universität Mainz
Arnold, J.	Universität Freiburg
Beck, R.	Universität Mainz
Beinker, M.	TU Dresden
Beuchert, K.	Universität Bochum
Bilger, R.	Universität Tübingen
Blüm, P.	KFK Karlsruhe
Bodmann, B.	Universität Erlangen
Brinkmann, K.T.	TU Dresden
Brose, J.	Universität Mainz
Brüll, A.	MPI Heidelberg
Burger, M.	Universität Freiburg
Burkert, V.	CEBAF
Clement, H.	Universität Tübingen
Degener, A.	Universität Bochum
Denig, A.	Universität Karlsruhe
Dohmen, C.	RWTH Aachen
Dohrmann, F.	Universität Hamburg
Drexlin, G.	KFK Karlsruhe
Dshemuchadse, S.	FZ Rossendorf
Dutz, H.	Universität Bonn
Eberhard, V.	KFK Karlsruhe
von Egidy, T.	TU München
Engelhardt, H.D.	Universität Karlsruhe
Eyrich, W.	Universität Erlangen
Faessler, M.	Universität München
Finckh, E.	Universität Erlangen
Fleischer, R.	TU München
Franz, J.	Universität Freiburg
Freiesleben, H.	TU Dresden
Gehring, R.	Universität Bonn
Genz, H.	TH Darmstadt
Grabmayr, P.	Universität Tübingen
Gräf, H.D.	TH Darmstadt
Gross, A.	Universität Hamburg
Grosse, E.	GSI Darmstadt
von Hagel, U.	Universität Karlsruhe
Hartmann, J.	TU München
Hartwig, D.	GSI Darmstadt
Hauffe, J.	Universität Erlangen
Hehl, T.	Universität Tübingen
Heide, B.	FZ Rossendorf

Heidrich, M.	CERN PPE
Höfl, J.	Universität Erlangen
Jakob, R.	Universität Wuppertal
Janssen, D.	FZ Rossendorf
Jungmann, K.P.	Universität Heidelberg
Kämpfer, B.	FZ Rossendorf
Kilian, K.	KFA Jülich
Kirchner, T.	FZ Rossendorf
Kleinfeller, J.	KFK Karlsruhe
Klempt, E.	Universität Bonn
Kluge, W.	Universität Karlsruhe
Koch, H.	Universität Bochum
Königsmann, K.	MPI Heidelberg
Körner, H.J.	TU München
Körner, G.E.	TU München
Koger, R.	Universität Freiburg
Kolomeitsev, E.	FZ Rossendorf
Kotte, R.	FZ Rossendorf
Kraus, H.	TU München
Krug, J.	Universität Bochum
Kuhlmann, E.	FZ Jülich
Kunze, M.	Universität Bochum
Landgraf, U.	Universität Freiburg
Lange, S.	Universität Bochum
Lohse, T.	Universität Berlin
Mallot, G.	CERN PPE
Marsiske, H.	SLAC
Maschuw, R.	Universität Bonn
Matthäy, H.	Universität Bochum
Melnitchouk, W.	Universität Regensburg
Metsch, B.	Universität Bonn
Meyer, W.	Universität Bonn
Michel, P.	FZ Rossendorf
Möller, K.	TU Dresden, FZ Rossendorf
Müller, H.	FZ Rossendorf
Naumann, B.	FZ Rossendorf
Naumann, L.	FZ Rossendorf
von Neumann-Cosel, P.	TH Darmstadt
Oelert, W.	FZ Jülich
Offermann, E.	Universität Mainz
Paul, S.	CERN PPE
Pilz, W.	FZ Rossendorf
Pirjol, D.	Universität Mainz
Pirner, H.-J.	Universität Heidelberg

Prade, H.	FZ Rossendorf
Pretz, J.	CERN PPE
Richter, A.W.	Universität Mainz
Ringe, P.	Universität Bochum
Ruh, M.	Universität Freiburg
Schamlott, A.	FZ Rossendorf
Schilling, K.D.	FZ Rossendorf
Schleif, M.	FZ Rossendorf
Schmieden, H.	Universität Mainz
Schmitt, H.	Universität Freiburg
Schneider, Ch.	FZ Rossendorf
Schoch, B.	Universität Bonn
Schubert, K.R.	TU Dresden
Schülke, A.	FZ Rossendorf
Schulze, W.	FZ Rossendorf
Schumacher, M.	Universität Göttingen
Schwille, W.J.	Universität Bonn
Seidel, W.	FZ Rossendorf
Sereni, P.	Universität Freiburg
Seyfarth, H.	FZ Jülich
Siebert, H.W.	Universität Heidelberg
Steiner, A.	Universität Regensburg
Stinzing, F.	Universität Erlangen
Stöck, H.	Universität Bochum
Straßburger, Ch.	Universität Bonn
Ströher, H.	Universität Gießen
Strohbusch, U.	Universität Hamburg
Stumm, O.	Universität Erlangen
Tsiapouris, M.	Universität Regensburg
Wagner, G.J.	Universität Tübingen
Walcher, T.	Universität Mainz
Walter, H.Ch.	PSI Villigen
Weise, W.	Universität Regensburg
Weseler, S.	Universität Karlsruhe
Wiedner, U.	Universität Hamburg
Wieser, R.	Universität Karlsruhe
Winter, G.	FZ Rossendorf
Wirth, S.	Universität Erlangen
Wünsch, R.	FZ Rossendorf
Zeitelhack, K.	TU München